

**REGIONE
PUGLIA**



CUP: E75G19000040005

**PIANO DEGLI INTERVENTI AIP 2020-2023 DI CUI ALLA DELIBERA N.6 DEL 22/02/2021
CON COPERTURA FINANZIARIA " FONDI DERIVANTI DA PROVENTI TARIFFARI"**

**PROGETTO DEFINITIVO
POTENZIAMENTO DELL'IMPIANTO DI DEPURAZIONE E DEL RECAPITO FINALE
A SERVIZIO DELL'AGGLOMERATO DEL COMUNE DI SQUINZANO (LE)**

**Acquedotto Pugliese S.p.A.
Direzione Ingegneria**

**Il Responsabile del Procedimento
Ing. Matteo MORELLO**

**Il Direttore
Ing. Gaetano BARBONE**



Ingegneria Ambientale s.r.l.
www.ingegneriambientale.com
info@ingegneriambientale.com

Ing. Franco NACCI

Ing. Stefano SANSONE



Geotek plus s.r.l.
www.geotek-rilievi.com
info@geotek-rilievi.com

PROGETTAZIONE

**Il Progettista
Prof. Ing. Matteo Ranieri**

**Il Coordinatore della Sicurezza in
fase di progettazione
Prof. Ing. Matteo Ranieri**



UNING s.r.l.
info@uning.it



Ingegneria s.r.l.
ingegneria@uning.it

Elaborato

R.37.9

**TABULATI DI CALCOLO STRUTTURALE
-STAZIONE DI FILTRAZIONE-**

Codice Intervento P1370

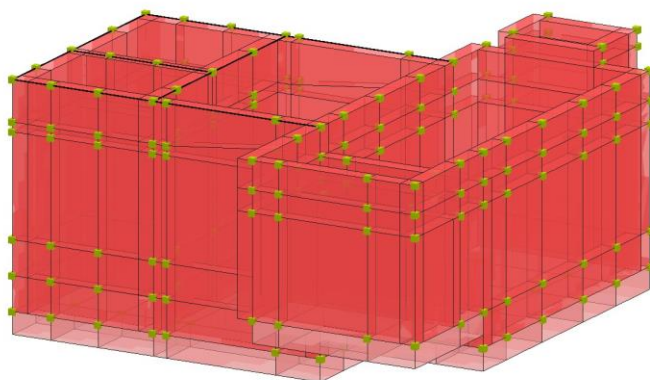
**Codice SAP
210000023391**

**Prot. N. 27346
Data 23/04/2021**

Scala:

00	MAG.2021	Emesso per Progetto DEFINITIVO			
N. Rev.	Data	Descrizione	Disegnato	Controllato	Approvato





Vita nominale, classi d'uso e periodo di riferimento

La costruzione in oggetto è definita dalla seguente tipologia (p.to 2.4 delle NT):

Vita della struttura	
Tipo	Opere infr. imp. normale (50-100)
Vita nominale VN [anni]	50.0
Classe d'uso	III
Coefficiente d'uso CU	1.500
Periodo di riferimento VR [anni]	75.000
Probabilità di superamento PVR allo Stato limite di esercizio - SLD	63.0%
Probabilità di superamento PVR allo Stato limite ultimo - SLV	10.0%
Periodo di ritorno TR SLD [anni]	75.4
Periodo di ritorno TR SLV [anni]	711.8

Per maggiori dettagli riguardo l'azione sismica si veda la definizione degli spettri di risposta

Materiali impiegati e resistenze di calcolo

Per la realizzazione dell'opera in oggetto saranno impiegati i seguenti materiali, di cui si riportano nell'ordine le proprietà meccaniche adottate nel calcolo elastico e le resistenze di calcolo per le verifiche di sicurezza:

Materiali		
C35/45		
Peso specifico	kg/mc	2500
Modulo di Young E	kg/cm ²	3E05
Modulo di Poisson ν		0.13
Coefficiente di dilatazione termica λ	1/°C	1e-05

Caratteristiche dei materiali delle parti in calcestruzzo armato		
Classe calcestruzzo		Classe C35/45
Resistenza cubica R _{ck}	kg/cm ²	450
Resistenza di calcolo f _{cd}	kg/cm ²	212
Resistenza a trazione di calcolo f _{ctd}	kg/cm ²	16
Resistenza cilindrica f _{ck}	kg/cm ²	374
Resistenza a trazione media f _{ctm}	kg/cm ²	34
Classe acciaio barre longitudinali		Acciaio barre B450C
Resistenza allo snervamento f _{yk}	kg/cm ²	≥4500
Resistenza alla rottura barre f _{tk}	kg/cm ²	≥5400
Classe acciaio staffe		Acciaio barre B450C
Resistenza allo snervamento f _{yk}	kg/cm ²	≥4500

Resistenza alla rottura barre ftk	kg/cm ²	>=5400
-----------------------------------	--------------------	--------

I diagrammi costitutivi del calcestruzzo e dell'acciaio per calcestruzzo sono stati adottati in conformità alle indicazioni

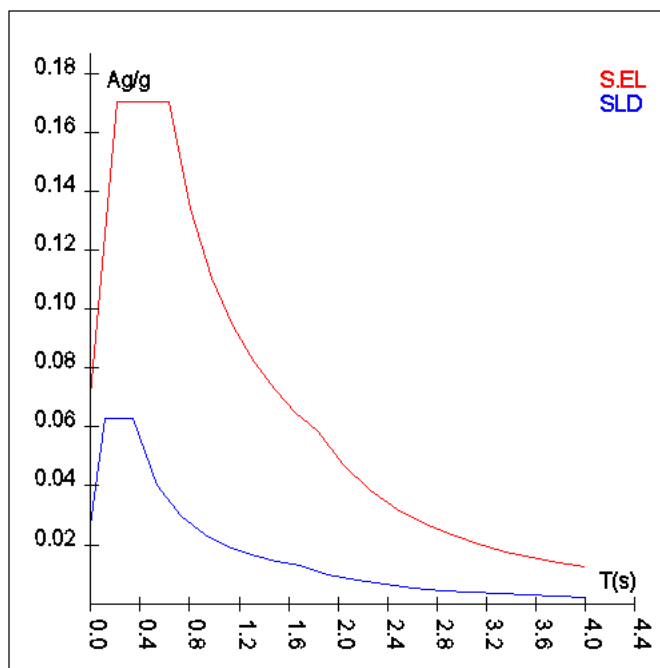
Spettri di risposta

Spettro: SpettroNT_2018

Il calcolo degli spettri e del fattore di comportamento sono stati calcolati per la seguente tipologia di terreno e struttura.

Vita della struttura	
Tipo	Opere infr. imp. normale (50-100)
Vita nominale VN [anni]	50.0
Classe d'uso	III
Coefficiente d'uso CU	1.500
Periodo di riferimento VR [anni]	75.000
Probabilità di superamento PVR allo Stato limite di esercizio - SLD	63.0%
Probabilità di superamento PVR allo Stato limite ultimo - SLV	10.0%
Periodo di ritorno TR SLD [anni]	75.4
Periodo di ritorno TR SLV [anni]	711.8
Parametri del sito	
Comune	
Longitudine	18.212
Latitudine	40.289
Id reticolo del sito	35259-35037-35260-35038
Valori di riferimento del sito	
Accelerazione orizzontale massima del sito Ag/g - SLD (TR=75.4)	0.0222
Fattore di amplificazione dello spettro Fo - SLD (TR=75.4)	2.3607
Periodo di riferimento di inizio del tratto a velocità costante T [*] C [s] - SLD (TR=75.4)	0.235
Accelerazione orizzontale massima del sito Ag/g - SLV (TR=711.8)	0.0587
Fattore di amplificazione dello spettro Fo - SLV (TR=711.8)	2.4204
Periodo di riferimento di inizio del tratto a velocità costante T [*] C [s] - SLV (TR=711.8)	0.501
Coefficiente Amplificazione Topografica St	1.000
Categoria terreno	B
Stato limite SLV	
Coefficiente di amplificazione stratigrafica Ss	1.20
Periodo di inizio del tratto ad accelerazione costante dello spettro TB [s]	0.21
Periodo di inizio del tratto a velocità costante dello spettro TC [s]	0.63
Periodo di inizio del tratto a spostamento costante dello spettro TD [s]	1.83
Stato limite SLD	
Coefficiente di amplificazione stratigrafica Ss	1.20
Periodo di inizio del tratto ad accelerazione costante dello spettro TB [s]	0.12
Periodo di inizio del tratto a velocità costante dello spettro TC [s]	0.35
Periodo di inizio del tratto a spostamento costante dello spettro TD [s]	1.69
Spettro Elastico	
Smorzamento viscoso %	5.0

T El. [s]	Sd El. [a/g]	T SLD [s]	Sd SLD [a/g]
0.00000	0.07045	0.00000	0.02660
0.21106	0.17051	0.11515	0.06280
0.63318	0.17051	0.34546	0.06280
0.80485	0.13415	0.53735	0.04037
0.97651	0.11056	0.72923	0.02975
1.14817	0.09403	0.92112	0.02355
1.31984	0.08180	1.11301	0.01949
1.49150	0.07239	1.30490	0.01663
1.66317	0.06492	1.49679	0.01449
1.83483	0.05884	1.68867	0.01285
2.05135	0.04708	1.91981	0.00994
2.26786	0.03852	2.15094	0.00792
2.48438	0.03210	2.38207	0.00646
2.70090	0.02716	2.61320	0.00536
2.91741	0.02327	2.84434	0.00453
3.13393	0.02017	3.07547	0.00387
3.35045	0.01765	3.30660	0.00335
3.56697	0.01557	3.53773	0.00293
3.78348	0.01384	3.76887	0.00258
4.00000	0.01238	4.00000	0.00229



Azioni sulla struttura

Descrizione	Tipo
Peso Proprio	Automatica
Spinta Terreno	Utente
spinta sovraccarico	Utente
peso acqua 1	Utente
spinta acqua 1	Utente
permanente platee	Utente
filtro	Utente
peso acqua 2	Utente
spinta acqua 2	Utente
spinta sismica terreno SLV	Utente
Spinta sismica terreno SLD	Utente

Scenario di calcolo

Scenario : Set_NT_2018 A2_SLV_SLD_STR_GEO
Combinazione n° 1: Solo Permanenti
 Tipo: STR+GEO
 Spettro: n.a.
 Fattore sisma: n.a.
 Angolo ingresso sisma [°]: n.a.
 Kmod: 0.60

Condizione di carico	Fattore di combinazione	Attiva	Massa	Fattore massa
Peso Proprio	1.3	Si	n.a.	n.a.
Spinta Terreno	1.5	Si	n.a.	n.a.
spinta sovraccarico	1.5	Si	n.a.	n.a.
peso acqua 1	1.5	No	n.a.	n.a.
spinta acqua 1	1.5	No	n.a.	n.a.
permanente platee	1.5	Si	n.a.	n.a.
filtro	1.5	No	n.a.	n.a.
peso acqua 2	1.5	No	n.a.	n.a.
spinta acqua 2	1.5	No	n.a.	n.a.
spinta sismica terreno SLV	1.5	No	n.a.	n.a.
Spinta sismica terreno SLD	1.5	No	n.a.	n.a.

**POTENZIAMENTO DELL'IMPIANTO DI DEPURAZIONE E
DEL RECAPITO FINALE DI SQUINZANO (LE)
PROGETTO DEFINITIVO
Tabulati di calcolo strutturale-Filtrazione**

R.37.9

Maggio 2021

Pagina 4 di 364

Combinazione n° 2: SLU1
Tipo: STR+GEO
Spettro: n.a.
Fattore sisma: n.a.
Angolo ingresso sisma [°]: n.a.
Kmod: 0.90

Condizione di carico	Fattore di combinazione	Attiva	Massa	Fattore massa
Peso Proprio	1.3	Si	n.a.	n.a.
Spinta Terreno	1.5	Si	n.a.	n.a.
spinta sovraccarico	1.5	Si	n.a.	n.a.
peso acqua 1	1.5	No	n.a.	n.a.
spinta acqua 1	1.5	No	n.a.	n.a.
permanente platee	1.5	Si	n.a.	n.a.
filtro	1.5	Si	n.a.	n.a.
peso acqua 2	1.5	No	n.a.	n.a.
spinta acqua 2	1.5	No	n.a.	n.a.
spinta sismica terreno SLV	1.5	No	n.a.	n.a.
Spinta sismica terreno SLD	1.5	No	n.a.	n.a.

Combinazione n° 3: SLU2
Tipo: STR+GEO
Spettro: n.a.
Fattore sisma: n.a.
Angolo ingresso sisma [°]: n.a.
Kmod: 1.00

Condizione di carico	Fattore di combinazione	Attiva	Massa	Fattore massa
Peso Proprio	1.3	Si	n.a.	n.a.
Spinta Terreno	1.5	Si	n.a.	n.a.
spinta sovraccarico	1.5	Si	n.a.	n.a.
peso acqua 1	1.5	Si	n.a.	n.a.
spinta acqua 1	1.5	Si	n.a.	n.a.
permanente platee	1.5	Si	n.a.	n.a.
filtro	1.5	Si	n.a.	n.a.
peso acqua 2	1.5	No	n.a.	n.a.
spinta acqua 2	1.5	No	n.a.	n.a.
spinta sismica terreno SLV	1.5	No	n.a.	n.a.
Spinta sismica terreno SLD	1.5	No	n.a.	n.a.

Combinazione n° 4: SLU3
Tipo: STR+GEO
Spettro: n.a.
Fattore sisma: n.a.
Angolo ingresso sisma [°]: n.a.
Kmod: 1.00

Condizione di carico	Fattore di combinazione	Attiva	Massa	Fattore massa
Peso Proprio	1.3	Si	n.a.	n.a.
Spinta Terreno	1.5	Si	n.a.	n.a.
spinta sovraccarico	1.5	No	n.a.	n.a.
peso acqua 1	1.5	Si	n.a.	n.a.
spinta acqua 1	1.5	Si	n.a.	n.a.
permanente platee	1.5	Si	n.a.	n.a.
filtro	1.5	Si	n.a.	n.a.
peso acqua 2	1.5	No	n.a.	n.a.
spinta acqua 2	1.5	No	n.a.	n.a.
spinta sismica terreno SLV	1.5	No	n.a.	n.a.
Spinta sismica terreno SLD	1.5	No	n.a.	n.a.

Combinazione n° 5: SLU4
Tipo: STR+GEO
Spettro: n.a.
Fattore sisma: n.a.
Angolo ingresso sisma [°]: n.a.
Kmod: 1.00

Condizione di carico	Fattore di combinazione	Attiva	Massa	Fattore massa
Peso Proprio	1.3	Si	n.a.	n.a.
Spinta Terreno	1.5	Si	n.a.	n.a.
spinta sovraccarico	1.5	Si	n.a.	n.a.
peso acqua 1	1.5	No	n.a.	n.a.
spinta acqua 1	1.5	No	n.a.	n.a.
permanente platee	1.5	Si	n.a.	n.a.
filtro	1.5	Si	n.a.	n.a.

**POTENZIAMENTO DELL'IMPIANTO DI DEPURAZIONE E
DEL RECAPITO FINALE DI SQUINZANO (LE)
PROGETTO DEFINITIVO
Tabulati di calcolo strutturale-Filtrazione**

R.37.9

Maggio 2021

Pagina 5 di 364

Condizione di carico	Fattore di combinazione	Attiva	Massa	Fattore massa
peso acqua 2	1.5	Si	n.a.	n.a.
spinta acqua 2	1.5	Si	n.a.	n.a.
spinta sismica terreno SLV	1.5	No	n.a.	n.a.
Spinta sismica terreno SLD	1.5	No	n.a.	n.a.

Combinazione n° 6: SLU5
 Tipo: STR+GEO
 Spettro: n.a.
 Fattore sisma: n.a.
 Angolo ingresso sisma [°]: n.a.
 Kmod: 1.00

Condizione di carico	Fattore di combinazione	Attiva	Massa	Fattore massa
Peso Proprio	1.3	Si	n.a.	n.a.
Spinta Terreno	1.5	Si	n.a.	n.a.
spinta sovraccarico	1.5	No	n.a.	n.a.
peso acqua 1	1.5	No	n.a.	n.a.
spinta acqua 1	1.5	No	n.a.	n.a.
permanente platee	1.5	Si	n.a.	n.a.
filtro	1.5	Si	n.a.	n.a.
peso acqua 2	1.5	Si	n.a.	n.a.
spinta acqua 2	1.5	Si	n.a.	n.a.
spinta sismica terreno SLV	1.5	No	n.a.	n.a.
Spinta sismica terreno SLD	1.5	No	n.a.	n.a.

Combinazione n° 7: SLU6
 Tipo: STR+GEO
 Spettro: n.a.
 Fattore sisma: n.a.
 Angolo ingresso sisma [°]: n.a.
 Kmod: 1.00

Condizione di carico	Fattore di combinazione	Attiva	Massa	Fattore massa
Peso Proprio	1.3	Si	n.a.	n.a.
Spinta Terreno	1.5	Si	n.a.	n.a.
spinta sovraccarico	1.5	No	n.a.	n.a.
peso acqua 1	1.5	Si	n.a.	n.a.
spinta acqua 1	1.5	Si	n.a.	n.a.
permanente platee	1.5	Si	n.a.	n.a.
filtro	1.5	Si	n.a.	n.a.
peso acqua 2	1.5	Si	n.a.	n.a.
spinta acqua 2	1.5	Si	n.a.	n.a.
spinta sismica terreno SLV	1.5	No	n.a.	n.a.
Spinta sismica terreno SLD	1.5	No	n.a.	n.a.

Combinazione n° 8: SLU7
 Tipo: STR+GEO
 Spettro: n.a.
 Fattore sisma: n.a.
 Angolo ingresso sisma [°]: n.a.
 Kmod: 1.00

Condizione di carico	Fattore di combinazione	Attiva	Massa	Fattore massa
Peso Proprio	1.3	Si	n.a.	n.a.
Spinta Terreno	1.5	Si	n.a.	n.a.
spinta sovraccarico	1.5	Si	n.a.	n.a.
peso acqua 1	1.5	Si	n.a.	n.a.
spinta acqua 1	1.5	Si	n.a.	n.a.
permanente platee	1.5	Si	n.a.	n.a.
filtro	1.5	Si	n.a.	n.a.
peso acqua 2	1.5	Si	n.a.	n.a.
spinta acqua 2	1.5	Si	n.a.	n.a.
spinta sismica terreno SLV	1.5	No	n.a.	n.a.
Spinta sismica terreno SLD	1.5	No	n.a.	n.a.

Combinazione n° 9: SISMAX1_SLV
 Tipo: Modale STR+GEO
 Spettro: SpettroNT_2018
 Fattore sisma: 1.00
 Angolo ingresso sisma [°]: 0
 Kmod: 1.00

**POTENZIAMENTO DELL'IMPIANTO DI DEPURAZIONE E
DEL RECAPITO FINALE DI SQUINZANO (LE)
PROGETTO DEFINITIVO
Tabulati di calcolo strutturale-Filtrazione**

R.37.9

Maggio 2021

Pagina 6 di 364

Condizione di carico	Fattore di combinazione	Attiva	Massa	Fattore massa
Peso Proprio	1	Si	Si	1
Spinta Terreno	1	Si	Si	1
spinta sovraccarico	1	Si	Si	1
peso acqua 1	1.2	Si	Si	1
spinta acqua 1	1.2	Si	Si	1
permanente platee	1	Si	Si	1
filtro	1	Si	Si	1
peso acqua 2	1.2	Si	Si	1
spinta acqua 2	1.2	Si	Si	1
spinta sismica terreno SLV	1	Si	Si	1
Spinta sismica terreno SLD	1	No	Si	1

Combinazione n° 10: **SISMAY1_SLV**
 Tipo: Modale STR+GEO
 Spettro: SpettroNT_2018
 Fattore sisma: 1.00
 Angolo ingresso sisma [°]: 90
 Kmod: 1.00

Condizione di carico	Fattore di combinazione	Attiva	Massa	Fattore massa
Peso Proprio	1	Si	Si	1
Spinta Terreno	1	Si	Si	1
spinta sovraccarico	1	Si	Si	1
peso acqua 1	1.2	Si	Si	1
spinta acqua 1	1.2	Si	Si	1
permanente platee	1	Si	Si	1
filtro	1	Si	Si	1
peso acqua 2	1.2	Si	Si	1
spinta acqua 2	1.2	Si	Si	1
spinta sismica terreno SLV	1	Si	Si	1
Spinta sismica terreno SLD	1	No	Si	1

Combinazione n° 11: **SISMAX2_SLV**
 Tipo: Modale STR+GEO
 Spettro: SpettroNT_2018
 Fattore sisma: 1.00
 Angolo ingresso sisma [°]: 0
 Kmod: 1.00

Condizione di carico	Fattore di combinazione	Attiva	Massa	Fattore massa
Peso Proprio	1	Si	Si	1
Spinta Terreno	1	Si	Si	1
spinta sovraccarico	1	No	Si	1
peso acqua 1	1.2	Si	Si	1
spinta acqua 1	1.2	Si	Si	1
permanente platee	1	Si	Si	1
filtro	1	Si	Si	1
peso acqua 2	1.2	Si	Si	1
spinta acqua 2	1.2	Si	Si	1
spinta sismica terreno SLV	1	Si	Si	1
Spinta sismica terreno SLD	1	No	Si	1

Combinazione n° 12: **SISMAY2_SLV**
 Tipo: Modale STR+GEO
 Spettro: SpettroNT_2018
 Fattore sisma: 1.00
 Angolo ingresso sisma [°]: 90
 Kmod: 1.00

Condizione di carico	Fattore di combinazione	Attiva	Massa	Fattore massa
Peso Proprio	1	Si	Si	1
Spinta Terreno	1	Si	Si	1
spinta sovraccarico	1	No	Si	1
peso acqua 1	1.2	Si	Si	1
spinta acqua 1	1.2	Si	Si	1
permanente platee	1	Si	Si	1
filtro	1	Si	Si	1
peso acqua 2	1.2	Si	Si	1
spinta acqua 2	1.2	Si	Si	1
spinta sismica terreno SLV	1	Si	Si	1
Spinta sismica terreno SLD	1	No	Si	1

Combinazione n° 13: **SLE RARA 1**
 Tipo: SLE Rara

**POTENZIAMENTO DELL'IMPIANTO DI DEPURAZIONE E
DEL RECAPITO FINALE DI SQUINZANO (LE)
PROGETTO DEFINITIVO
Tabulati di calcolo strutturale-Filtrazione**

R.37.9

Maggio 2021

Pagina 7 di 364

Spettro: n.a.
Fattore sisma: n.a.
Angolo ingresso sisma [°]: n.a.
Kmod: 1.00

Condizione di carico	Fattore di combinazione	Attiva	Massa	Fattore massa
Peso Proprio	1	Si	n.a.	n.a.
Spinta Terreno	1	Si	n.a.	n.a.
spinta sovraccarico	1	Si	n.a.	n.a.
peso acqua 1	1	Si	n.a.	n.a.
spinta acqua 1	1	Si	n.a.	n.a.
permanente platee	1	Si	n.a.	n.a.
filtro	1	Si	n.a.	n.a.
peso acqua 2	1	Si	n.a.	n.a.
spinta acqua 2	1	Si	n.a.	n.a.
spinta sismica terreno SLV	1	No	n.a.	n.a.
Spinta sismica terreno SLD	1	No	n.a.	n.a.

Combinazione n° 14: **SLE RARA 2**
Tipo: SLE Rara
Spettro: n.a.
Fattore sisma: n.a.
Angolo ingresso sisma [°]: n.a.
Kmod: 1.00

Condizione di carico	Fattore di combinazione	Attiva	Massa	Fattore massa
Peso Proprio	1	Si	n.a.	n.a.
Spinta Terreno	1	Si	n.a.	n.a.
spinta sovraccarico	1	No	n.a.	n.a.
peso acqua 1	1	Si	n.a.	n.a.
spinta acqua 1	1	Si	n.a.	n.a.
permanente platee	1	Si	n.a.	n.a.
filtro	1	Si	n.a.	n.a.
peso acqua 2	1	Si	n.a.	n.a.
spinta acqua 2	1	Si	n.a.	n.a.
spinta sismica terreno SLV	1	No	n.a.	n.a.
Spinta sismica terreno SLD	1	No	n.a.	n.a.

Combinazione n° 15: **SLE RARA 3**
Tipo: SLE Rara
Spettro: n.a.
Fattore sisma: n.a.
Angolo ingresso sisma [°]: n.a.
Kmod: 1.00

Condizione di carico	Fattore di combinazione	Attiva	Massa	Fattore massa
Peso Proprio	1	Si	n.a.	n.a.
Spinta Terreno	1	Si	n.a.	n.a.
spinta sovraccarico	1	No	n.a.	n.a.
peso acqua 1	1	No	n.a.	n.a.
spinta acqua 1	1	No	n.a.	n.a.
permanente platee	1	Si	n.a.	n.a.
filtro	1	Si	n.a.	n.a.
peso acqua 2	1	Si	n.a.	n.a.
spinta acqua 2	1	Si	n.a.	n.a.
spinta sismica terreno SLV	1	No	n.a.	n.a.
Spinta sismica terreno SLD	1	No	n.a.	n.a.

Combinazione n° 16: **SLE FREQUENTE 1**
Tipo: SLE Freq.
Spettro: n.a.
Fattore sisma: n.a.
Angolo ingresso sisma [°]: n.a.
Kmod: 1.00

Condizione di carico	Fattore di combinazione	Attiva	Massa	Fattore massa
Peso Proprio	1	Si	n.a.	n.a.
Spinta Terreno	1	Si	n.a.	n.a.
spinta sovraccarico	1	Si	n.a.	n.a.
peso acqua 1	1	Si	n.a.	n.a.
spinta acqua 1	1	Si	n.a.	n.a.
permanente platee	1	Si	n.a.	n.a.
filtro	1	Si	n.a.	n.a.
peso acqua 2	1	Si	n.a.	n.a.
spinta acqua 2	1	Si	n.a.	n.a.

**POTENZIAMENTO DELL'IMPIANTO DI DEPURAZIONE E
DEL RECAPITO FINALE DI SQUINZANO (LE)
PROGETTO DEFINITIVO
Tabulati di calcolo strutturale-Filtrazione**

R.37.9

Maggio 2021

Pagina 8 di 364

Condizione di carico	Fattore di combinazione	Attiva	Massa	Fattore massa
spinta sismica terreno SLV	1	No	n.a.	n.a.
Spinta sismica terreno SLD	1	No	n.a.	n.a.

Combinazione n° 17: SLE FREQUENTE 2
 Tipo: SLE Freq.
 Spettro: n.a.
 Fattore sisma: n.a.
 Angolo ingresso sisma [°]: n.a.
 Kmod: 1.00

Condizione di carico	Fattore di combinazione	Attiva	Massa	Fattore massa
Peso Proprio	1	Si	n.a.	n.a.
Spinta Terreno	1	Si	n.a.	n.a.
spinta sovraccarico	1	No	n.a.	n.a.
peso acqua 1	1	No	n.a.	n.a.
spinta acqua 1	1	No	n.a.	n.a.
permanente platee	1	Si	n.a.	n.a.
filtro	1	Si	n.a.	n.a.
peso acqua 2	1	Si	n.a.	n.a.
spinta acqua 2	1	Si	n.a.	n.a.
spinta sismica terreno SLV	1	No	n.a.	n.a.
Spinta sismica terreno SLD	1	No	n.a.	n.a.

Combinazione n° 18: Quasi P1
 Tipo: SLE Q.Perm.
 Spettro: n.a.
 Fattore sisma: n.a.
 Angolo ingresso sisma [°]: n.a.
 Kmod: 1.00

Condizione di carico	Fattore di combinazione	Attiva	Massa	Fattore massa
Peso Proprio	1	Si	n.a.	n.a.
Spinta Terreno	1	Si	n.a.	n.a.
spinta sovraccarico	1	Si	n.a.	n.a.
peso acqua 1	1	Si	n.a.	n.a.
spinta acqua 1	1	Si	n.a.	n.a.
permanente platee	1	Si	n.a.	n.a.
filtro	1	Si	n.a.	n.a.
peso acqua 2	1	Si	n.a.	n.a.
spinta acqua 2	1	Si	n.a.	n.a.
spinta sismica terreno SLV	1	No	n.a.	n.a.
Spinta sismica terreno SLD	1	No	n.a.	n.a.

Combinazione n° 19: Quasi P2
 Tipo: SLE Q.Perm.
 Spettro: n.a.
 Fattore sisma: n.a.
 Angolo ingresso sisma [°]: n.a.
 Kmod: 1.00

Condizione di carico	Fattore di combinazione	Attiva	Massa	Fattore massa
Peso Proprio	1	Si	n.a.	n.a.
Spinta Terreno	1	Si	n.a.	n.a.
spinta sovraccarico	1	No	n.a.	n.a.
peso acqua 1	1	Si	n.a.	n.a.
spinta acqua 1	1	Si	n.a.	n.a.
permanente platee	1	Si	n.a.	n.a.
filtro	1	No	n.a.	n.a.
peso acqua 2	1	No	n.a.	n.a.
spinta acqua 2	1	Si	n.a.	n.a.
spinta sismica terreno SLV	1	No	n.a.	n.a.
Spinta sismica terreno SLD	1	No	n.a.	n.a.

Combinazione n° 20: SISMAX_SLD
 Tipo: Modale SLE
 Spettro: SpettroNT_2018
 Fattore sisma: 1.00
 Angolo ingresso sisma [°]: 0
 Kmod: 1.00

Condizione di carico	Fattore di combinazione	Attiva	Massa	Fattore massa
Peso Proprio	1	Si	Si	1
Spinta Terreno	1	Si	Si	1

**POTENZIAMENTO DELL'IMPIANTO DI DEPURAZIONE E
DEL RECAPITO FINALE DI SQUINZANO (LE)
PROGETTO DEFINITIVO
Tabulati di calcolo strutturale-Filtrazione**

R.37.9

Maggio 2021

Pagina 9 di 364

Condizione di carico	Fattore di combinazione	Attiva	Massa	Fattore massa
spinta sovraccarico	1	Si	Si	1
peso acqua 1	1.1	Si	Si	1
spinta acqua 1	1.1	Si	Si	1
permanente platee	1	Si	Si	1
filtro	1	Si	Si	1
peso acqua 2	1.1	Si	Si	1
spinta acqua 2	1.1	Si	Si	1
spinta sismica terreno SLV	1	No	Si	1
Spinta sismica terreno SLD	1	Si	Si	1

Combinazione n° 21: **SISMAY_SLD**
 Tipo: Modale SLE
 Spettro: SpettroNT_ 2018
 Fattore sisma: 1.00
 Angolo ingresso sisma [°]: 90
 Kmod: 1.00

Condizione di carico	Fattore di combinazione	Attiva	Massa	Fattore massa
Peso Proprio	1	Si	Si	1
Spinta Terreno	1	Si	Si	1
spinta sovraccarico	1	Si	Si	1
peso acqua 1	1.1	Si	Si	1
spinta acqua 1	1.1	Si	Si	1
permanente platee	1	Si	Si	1
filtro	1	Si	Si	1
peso acqua 2	1.1	Si	Si	1
spinta acqua 2	1.1	Si	Si	1
spinta sismica terreno SLV	1	No	Si	1
Spinta sismica terreno SLD	1	Si	Si	1

Criteri di verifica

CLS Muri ND		
Generici		
Resistenza caratteristica Rck	kg/cm ²	450
Tensione caratteristica snervamento acciaio barre fyk	kg/cm ²	4500
Tensione caratteristica snervamento acciaio staffe fyk	kg/cm ²	4500
Deformazione unitaria ε _{c0}		0.002
Deformazione ultima ε _{cu}		0.0022
ε _{fu} (solo incrudimento)		0.002
Modulo elastico E acciaio	kg/cm ²	2E06
Copriferro di calcolo	cm	5.0
Copriferro di disegno	cm	5.0
Coefficiente di sicurezza γ _{Cl}		1.5
Coefficiente di sicurezza γ _{Acc}		1.15
Riduzione fcd calcestruzzo		0.85
Usa staffe minime di normativa in assenza di sisma		Si
Usa staffe minime di normativa in presenza di sisma		No
Generici N.T.		
Inclinazione bielle compresse cotg(θ)		1.00
Modello acciaio		Incrudente
Incrudimento E _y /E ₀		0.000
Elemento esistente		No
Generici D.M. 96 T.A.		
Tensione ammissibile σ _c	kg/cm ²	135.0
Tensione ammissibile σ _c in trazione	kg/cm ²	40.2
Tensione ammissibile σ _c acciaio	kg/cm ²	2600.0
Tensione tangenziale ammissibile τ _{c0}	kg/cm ²	8.0
Tensione tangenziale massima τ _{c1}	kg/cm ²	22.6
Coefficiente di omogeneizzazione n		15
Coefficiente di omogeneizzazione n in trazione		0.5
Sezione interamente reagente		No
Fessurazioni		
Verifica a decompressione		No
Verifica formazione fessure		No
Verifica aperture fessure		Si
Classe di esposizione		XA2
Tipo armatura		Poco sensibile
Combinazione Rara		No

**POTENZIAMENTO DELL'IMPIANTO DI DEPURAZIONE E
DEL RECAPITO FINALE DI SQUINZANO (LE)
PROGETTO DEFINITIVO
Tabulati di calcolo strutturale-Filtrazione**

R.37.9

Maggio 2021

Pagina 10 di 364

Combinazione QP		Si
W ammissibile Combinazione QP	mm	0.200
Combinazione Freq.		Si
W ammissibile Combinazione Freq.	mm	0.300
Valore caratteristico apertura fessure wk(*wm)		1
Resistenza media a trazione fctm	kg/cmq	33.52
Coefficiente di breve o lunga durata kt		0.40
Coefficiente di aderenza kl		0.80
Tensioni ammissibili di esercizio		
Verifica Combinazione Rara		Si
Tensione ammissibile σCls	kg/cmq	224
Tensione ammissibile σAcciaio	kg/cmq	3600
Verifica Combinazione QP		Si
Tensione ammissibile σCls	kg/cmq	168
Tensione ammissibile σAcciaio	kg/cmq	3600
Verifica Combinazione Freq.		No
Coefficienti di omogeneizzazione		
Acciaio - Cls compresso		15
Cls tesoro - Cls compresso		0.5
Armatura muri		
Minima percentuale armatura rispetto al Cls in direzione X	%	0.1
Minima percentuale armatura rispetto al Cls in direzione Y	%	0.1
Massima percentuale armatura rispetto al Cls in direzione X	%	2
Massima percentuale armatura rispetto al Cls in direzione Y	%	2
Verifica muri		
Step incremento armatura	cmq	0.01
Verifica muri come pareti		No

CLS Platee ND		
Generici		
Resistenza caratteristica Rck	kg/cmq	450
Tensione caratteristica snervamento acciaio barre fyk	kg/cmq	4500
Tensione caratteristica snervamento acciaio staffe fyk	kg/cmq	4500
Deformazione unitaria εc0		0.002
Deformazione ultima εcu		0.0022
εfu (solo incrudimento)		0.002
Modulo elastico E acciaio	kg/cmq	2E06
Copriferro di calcolo	cm	5.0
Copriferro di disegno	cm	5.0
Coefficiente di sicurezza γCls		1.5
Coefficiente di sicurezza γAcc		1.15
Riduzione fcd calcestruzzo		0.85
Usa staffe minime di normativa in assenza di sisma		Si
Usa staffe minime di normativa in presenza di sisma		No
Generici N.T.		
Inclinazione bielle compresse cotg(θ)		1.00
Modello acciaio		Incrudente
Incrudimento Ey/E0		0.000
Elemento esistente		No
Generici D.M. 96 T.A.		
Tensione ammissibile σc	kg/cmq	135.0
Tensione ammissibile σc in trazione	kg/cmq	40.2
Tensione ammissibile σc acciaio	kg/cmq	2600.0
Tensione tangenziale ammissibile τc0	kg/cmq	8.0
Tensione tangenziale massima τc1	kg/cmq	22.6
Coefficiente di omogeneizzazione n		15
Coefficiente di omogeneizzazione n in trazione		0.5
Sezione interamente reagente		No
Fessurazioni		
Verifica a decompressione		No
Verifica formazione fessure		No
Verifica aperture fessure		Si
Classe di esposizione		XA2
Tipo armatura		Poco sensibile
Combinazione Rara		No
Combinazione QP		Si
W ammissibile Combinazione QP	mm	0.200
Combinazione Freq.		Si
W ammissibile Combinazione Freq.	mm	0.300
Valore caratteristico apertura fessure wk(*wm)		1
Resistenza media a trazione fctm	kg/cmq	33.52
Coefficiente di breve o lunga durata kt		0.40
Coefficiente di aderenza kl		0.80
Tensioni ammissibili di esercizio		

Verifica Combinazione Rara		Si
Tensione ammissibile σ_{Cl}	kg/cm ²	224
Tensione ammissibile $\sigma_{Acciaio}$	kg/cm ²	3600
Verifica Combinazione QP		Si
Tensione ammissibile σ_{Cl}	kg/cm ²	168
Tensione ammissibile $\sigma_{Acciaio}$	kg/cm ²	3600
Verifica Combinazione Freq.		No
Coefficienti di omogeneizzazione		
Acciaio - Cls compresso		15
Cls tesoro - Cls compresso		0.5
Armatura muri		
Minima percentuale armatura rispetto al Cls in direzione X	%	0.1
Minima percentuale armatura rispetto al Cls in direzione Y	%	0.1
Massima percentuale armatura rispetto al Cls in direzione X	%	2
Massima percentuale armatura rispetto al Cls in direzione Y	%	2
Verifica muri		
Step incremento armatura	cm ²	0.01
Verifica muri come pareti		No

Risultati Analisi Dinamica - Statistiche matrice di rigidità
Scenario di calcolo: **Set_NT_2018 A2_SLV_SLD_STR_GEO**

Minimo della diagonale	2.135634e+05
Massimo della diagonale	3.041109e+10
Rapporto Max/Min	1.423984e+05
Media della diagonale	1.032955e+09
Densità	1.852047e-01

Dati generali

Nome struttura	
Numero di frequenze	15
% Filtro masse libere	0.1
% Coefficiente di smorzamento viscoso	5
Spostamenti modalali con segno	Si
Deformabilità a taglio delle aste	Si
Spostamento ammissibile impalcanti	0.0050*h

Impalcanti

N°	Quota m	Rigido m	Incr.Soll.Pil	Inc.Soll.Par.
0	0.00	No	1.000	1.000
1	0.55	Si	1.000	1.000
2	1.10	Si	1.000	1.000
3	2.75	Si	1.000	1.000
4	2.90	Si	1.000	1.000
5	3.10	Si	1.000	1.000
6	3.55	Si	1.000	1.000
7	3.80	Si	1.000	1.000

Percentuali Spostamento masse impalcanti

Posizione	% Spostamento direzione X	% Spostamento direzione Y
1	0	-5
2	5	0
3	0	5
4	-5	0

Combinazioni del Sisma in X e Y e Verticale

Comb.	Pos. SismaX	Pos. SismaY	Fx	Fy	Fz
1	1	2	1	0.3	0.3
2	1	2	0.3	1	0.3
3	1	2	0.3	0.3	1
4	1	4	1	0.3	0.3
5	1	4	0.3	1	0.3
6	1	4	0.3	0.3	1
7	3	2	1	0.3	0.3
8	3	2	0.3	1	0.3
9	3	2	0.3	0.3	1

**POTENZIAMENTO DELL'IMPIANTO DI DEPURAZIONE E
DEL RECAPITO FINALE DI SQUINZANO (LE)
PROGETTO DEFINITIVO
Tabulati di calcolo strutturale-Filtrazione**

R.37.9

Maggio 2021

Pagina 13 di 364

Nodo	X	Y	Z	Tx	Ty	Tz	Rx	Ry	Rz	Impalcato
142	2.38	3.00	0.55	0	0	0	0	0	0	1
144	5.20	3.00	0.55	1	1	0	0	0	1	1
145	5.65	3.00	0.55	1	1	0	0	0	1	1
146	7.15	3.00	0.55	1	1	0	0	0	1	1
147	7.95	3.00	0.55	1	1	0	0	0	1	1
148	0.00	4.00	0.55	0	0	0	0	0	0	1
149	0.65	4.00	0.55	0	0	0	0	0	0	1
150	1.45	4.00	0.55	0	0	0	0	0	0	1
151	2.38	4.00	0.55	0	0	0	0	0	0	1
152	2.60	4.00	0.55	0	0	0	0	0	0	1
153	4.45	4.00	0.55	0	0	0	0	0	0	1
154	5.20	4.00	0.55	1	1	0	0	0	1	1
155	5.65	4.00	0.55	1	1	0	0	0	1	1
156	7.15	4.00	0.55	1	1	0	0	0	1	1
157	7.95	4.00	0.55	1	1	0	0	0	1	1
158	5.20	5.00	0.55	1	1	0	0	0	1	1
159	5.65	5.00	0.55	1	1	0	0	0	1	1
160	7.15	5.00	0.55	1	1	0	0	0	1	1
161	7.95	5.00	0.55	1	1	0	0	0	1	1
162	5.65	6.05	0.55	1	1	0	0	0	1	1
163	7.15	6.05	0.55	1	1	0	0	0	1	1
201	5.20	-2.05	1.10	0	0	0	0	0	0	2
202	5.65	-2.05	1.10	0	0	0	0	0	0	2
203	7.15	-2.05	1.10	0	0	0	0	0	0	2
204	7.95	-2.05	1.10	0	0	0	0	0	0	2
205	5.20	-0.70	1.10	0	0	0	0	0	0	2
206	5.65	-0.70	1.10	0	0	0	0	0	0	2
207	7.15	-0.70	1.10	0	0	0	0	0	0	2
208	7.95	-0.70	1.10	0	0	0	0	0	0	2
209	0.00	0.00	1.10	0	0	0	0	0	0	2
210	0.65	0.00	1.10	0	0	0	0	0	0	2
211	1.45	-0.00	1.10	0	0	0	0	0	0	2
212	2.38	0.00	1.10	0	0	0	0	0	0	2
213	2.60	0.00	1.10	0	0	0	0	0	0	2
214	4.45	0.00	1.10	0	0	0	0	0	0	2
215	5.20	0.00	1.10	0	0	0	0	0	0	2
216	5.65	0.00	1.10	0	0	0	0	0	0	2
217	7.15	0.00	1.10	0	0	0	0	0	0	2
218	7.95	0.00	1.10	0	0	0	0	0	0	2
219	0.00	0.70	1.10	0	0	0	0	0	0	2
222	2.38	0.70	1.10	0	0	0	0	0	0	2
225	5.20	0.70	1.10	0	0	0	0	0	0	2
228	7.95	0.70	1.10	0	0	0	0	0	0	2
229	0.00	1.77	1.10	0	0	0	0	0	0	2
230	0.65	1.77	1.10	0	0	0	0	0	0	2
231	1.45	1.77	1.10	0	0	0	0	0	0	2
232	2.38	1.77	1.10	0	0	0	0	0	0	2
235	5.20	1.77	1.10	0	0	0	0	0	0	2
238	7.95	1.77	1.10	0	0	0	0	0	0	2
239	0.00	3.00	1.10	0	0	0	0	0	0	2
242	2.38	3.00	1.10	0	0	0	0	0	0	2
244	5.20	3.00	1.10	0	0	0	0	0	0	2
247	7.95	3.00	1.10	0	0	0	0	0	0	2
248	0.00	4.00	1.10	0	0	0	0	0	0	2
249	0.65	4.00	1.10	0	0	0	0	0	0	2
250	1.45	4.00	1.10	0	0	0	0	0	0	2
251	2.38	4.00	1.10	0	0	0	0	0	0	2
252	2.60	4.00	1.10	0	0	0	0	0	0	2
253	4.45	4.00	1.10	0	0	0	0	0	0	2
254	5.20	4.00	1.10	0	0	0	0	0	0	2
257	7.95	4.00	1.10	0	0	0	0	0	0	2
258	5.20	5.00	1.10	0	0	0	0	0	0	2
259	5.65	5.00	1.10	0	0	0	0	0	0	2
260	7.15	5.00	1.10	0	0	0	0	0	0	2
261	7.95	5.00	1.10	0	0	0	0	0	0	2
262	5.65	6.05	1.10	0	0	0	0	0	0	2
263	7.15	6.05	1.10	0	0	0	0	0	0	2
301	5.20	-2.05	2.75	0	0	0	0	0	0	3
302	5.65	-2.05	2.75	0	0	0	0	0	0	3
303	7.15	-2.05	2.75	0	0	0	0	0	0	3
304	7.95	-2.05	2.75	0	0	0	0	0	0	3
305	5.20	-0.70	2.75	0	0	0	0	0	0	3
306	5.65	-0.70	2.75	0	0	0	0	0	0	3
307	7.15	-0.70	2.75	0	0	0	0	0	0	3
308	7.95	-0.70	2.75	0	0	0	0	0	0	3
309	0.00	0.00	2.75	0	0	0	0	0	0	3

**POTENZIAMENTO DELL'IMPIANTO DI DEPURAZIONE E
DEL RECAPITO FINALE DI SQUINZANO (LE)
PROGETTO DEFINITIVO
Tabulati di calcolo strutturale-Filtrazione**

R.37.9

Maggio 2021

Pagina 14 di 364

Nodo	X	Y	Z	Tx	Ty	Tz	Rx	Ry	Rz	Impalcato
310	0.65	0.00	2.75	0	0	0	0	0	0	3
311	1.45	0.00	2.75	0	0	0	0	0	0	3
312	2.38	0.00	2.75	0	0	0	0	0	0	3
313	2.60	0.00	2.75	0	0	0	0	0	0	3
314	4.45	0.00	2.75	0	0	0	0	0	0	3
315	5.20	0.00	2.75	0	0	0	0	0	0	3
316	5.65	0.00	2.75	0	0	0	0	0	0	3
317	7.15	0.00	2.75	0	0	0	0	0	0	3
318	7.95	0.00	2.75	0	0	0	0	0	0	3
319	0.00	0.70	2.75	0	0	0	0	0	0	3
322	2.38	0.70	2.75	0	0	0	0	0	0	3
325	5.20	0.70	2.75	0	0	0	0	0	0	3
328	7.95	0.70	2.75	0	0	0	0	0	0	3
329	0.00	1.77	2.75	0	0	0	0	0	0	3
330	0.65	1.77	2.75	0	0	0	0	0	0	3
331	1.45	1.77	2.75	0	0	0	0	0	0	3
332	2.38	1.77	2.75	0	0	0	0	0	0	3
335	5.20	1.77	2.75	0	0	0	0	0	0	3
338	7.95	1.77	2.75	0	0	0	0	0	0	3
339	0.00	3.00	2.75	0	0	0	0	0	0	3
342	2.38	3.00	2.75	0	0	0	0	0	0	3
344	5.20	3.00	2.75	0	0	0	0	0	0	3
347	7.95	3.00	2.75	0	0	0	0	0	0	3
348	0.00	4.00	2.75	0	0	0	0	0	0	3
349	0.65	4.00	2.75	0	0	0	0	0	0	3
350	1.45	4.00	2.75	0	0	0	0	0	0	3
351	2.38	4.00	2.75	0	0	0	0	0	0	3
352	2.60	4.00	2.75	0	0	0	0	0	0	3
353	4.45	4.00	2.75	0	0	0	0	0	0	3
354	5.20	4.00	2.75	0	0	0	0	0	0	3
357	7.95	4.00	2.75	0	0	0	0	0	0	3
358	5.20	5.00	2.75	0	0	0	0	0	0	3
359	5.65	5.00	2.75	0	0	0	0	0	0	3
360	7.15	5.00	2.75	0	0	0	0	0	0	3
361	7.95	5.00	2.75	0	0	0	0	0	0	3
362	5.65	6.05	2.75	0	0	0	0	0	0	3
363	7.15	6.05	2.75	0	0	0	0	0	0	3
409	0.00	0.00	2.90	0	0	0	0	0	0	4
410	0.65	0.00	2.90	0	0	0	0	0	0	4
411	1.45	0.00	2.90	0	0	0	0	0	0	4
412	2.38	0.00	2.90	0	0	0	0	0	0	4
413	2.60	0.00	2.90	0	0	0	0	0	0	4
419	0.00	0.70	2.90	0	0	0	0	0	0	4
422	2.38	0.70	2.90	0	0	0	0	0	0	4
429	0.00	1.77	2.90	0	0	0	0	0	0	4
430	0.65	1.77	2.90	0	0	0	0	0	0	4
431	1.45	1.77	2.90	0	0	0	0	0	0	4
432	2.38	1.77	2.90	0	0	0	0	0	0	4
439	0.00	3.00	2.90	0	0	0	0	0	0	4
442	2.38	3.00	2.90	0	0	0	0	0	0	4
448	0.00	4.00	2.90	0	0	0	0	0	0	4
449	0.65	4.00	2.90	0	0	0	0	0	0	4
450	1.45	4.00	2.90	0	0	0	0	0	0	4
451	2.38	4.00	2.90	0	0	0	0	0	0	4
452	2.60	4.00	2.90	0	0	0	0	0	0	4
501	5.20	-2.05	3.10	0	0	0	0	0	0	5
502	5.65	-2.05	3.10	0	0	0	0	0	0	5
503	7.15	-2.05	3.10	0	0	0	0	0	0	5
504	7.95	-2.05	3.10	0	0	0	0	0	0	5
505	5.20	-0.70	3.10	0	0	0	0	0	0	5
508	7.95	-0.70	3.10	0	0	0	0	0	0	5
514	4.45	0.00	3.10	0	0	0	0	0	0	5
515	5.20	0.00	3.10	0	0	0	0	0	0	5
516	5.65	0.00	3.10	0	0	0	0	0	0	5
517	7.15	0.00	3.10	0	0	0	0	0	0	5
518	7.95	0.00	3.10	0	0	0	0	0	0	5
525	5.20	0.70	3.10	0	0	0	0	0	0	5
528	7.95	0.70	3.10	0	0	0	0	0	0	5
535	5.20	1.77	3.10	0	0	0	0	0	0	5
538	7.95	1.77	3.10	0	0	0	0	0	0	5
544	5.20	3.00	3.10	0	0	0	0	0	0	5
547	7.95	3.00	3.10	0	0	0	0	0	0	5
553	4.45	4.00	3.10	0	0	0	0	0	0	5
554	5.20	4.00	3.10	0	0	0	0	0	0	5
557	7.95	4.00	3.10	0	0	0	0	0	0	5
558	5.20	5.00	3.10	0	0	0	0	0	0	5

**POTENZIAMENTO DELL'IMPIANTO DI DEPURAZIONE E
DEL RECAPITO FINALE DI SQUINZANO (LE)
PROGETTO DEFINITIVO
Tabulati di calcolo strutturale-Filtrazione**

R.37.9

Maggio 2021

Pagina 15 di 364

Nodo	X	Y	Z	Tx	Ty	Tz	Rx	Ry	Rz	Impalcato
559	5.65	5.00	3.10	0	0	0	0	0	0	5
560	7.15	5.00	3.10	0	0	0	0	0	0	5
561	7.95	5.00	3.10	0	0	0	0	0	0	5
562	5.65	6.05	3.10	0	0	0	0	0	0	5
563	7.15	6.05	3.10	0	0	0	0	0	0	5
601	5.20	-2.05	3.55	0	0	0	0	0	0	6
602	5.65	-2.05	3.55	0	0	0	0	0	0	6
603	7.15	-2.05	3.55	0	0	0	0	0	0	6
604	7.95	-2.05	3.55	0	0	0	0	0	0	6
605	5.20	-0.70	3.55	0	0	0	0	0	0	6
608	7.95	-0.70	3.55	0	0	0	0	0	0	6
609	0.00	0.00	3.55	0	0	0	0	0	0	6
610	0.65	0.00	3.55	0	0	0	0	0	0	6
611	1.45	0.00	3.55	0	0	0	0	0	0	6
612	2.38	0.00	3.55	0	0	0	0	0	0	6
613	2.60	0.00	3.55	0	0	0	0	0	0	6
614	4.45	0.00	3.55	0	0	0	0	0	0	6
615	5.20	0.00	3.55	0	0	0	0	0	0	6
618	7.95	0.00	3.55	0	0	0	0	0	0	6
619	0.00	0.70	3.55	0	0	0	0	0	0	6
622	2.38	0.70	3.55	0	0	0	0	0	0	6
625	5.20	0.70	3.55	0	0	0	0	0	0	6
628	7.95	0.70	3.55	0	0	0	0	0	0	6
629	0.00	1.77	3.55	0	0	0	0	0	0	6
630	0.65	1.77	3.55	0	0	0	0	0	0	6
631	1.45	1.77	3.55	0	0	0	0	0	0	6
632	2.38	1.77	3.55	0	0	0	0	0	0	6
635	5.20	1.77	3.55	0	0	0	0	0	0	6
638	7.95	1.77	3.55	0	0	0	0	0	0	6
639	0.00	3.00	3.55	0	0	0	0	0	0	6
642	2.38	3.00	3.55	0	0	0	0	0	0	6
644	5.20	3.00	3.55	0	0	0	0	0	0	6
647	7.95	3.00	3.55	0	0	0	0	0	0	6
648	0.00	4.00	3.55	0	0	0	0	0	0	6
649	0.65	4.00	3.55	0	0	0	0	0	0	6
650	1.45	4.00	3.55	0	0	0	0	0	0	6
651	2.38	4.00	3.55	0	0	0	0	0	0	6
652	2.60	4.00	3.55	0	0	0	0	0	0	6
653	4.45	4.00	3.55	0	0	0	0	0	0	6
654	5.20	4.00	3.55	0	0	0	0	0	0	6
657	7.95	4.00	3.55	0	0	0	0	0	0	6
658	5.20	5.00	3.55	0	0	0	0	0	0	6
659	5.65	5.00	3.55	0	0	0	0	0	0	6
660	7.15	5.00	3.55	0	0	0	0	0	0	6
661	7.95	5.00	3.55	0	0	0	0	0	0	6
662	5.65	6.05	3.55	0	0	0	0	0	0	6
663	7.15	6.05	3.55	0	0	0	0	0	0	6
759	5.65	5.00	3.80	0	0	0	0	0	0	7
760	7.15	5.00	3.80	0	0	0	0	0	0	7
762	5.65	6.05	3.80	0	0	0	0	0	0	7
763	7.15	6.05	3.80	0	0	0	0	0	0	7

Pareti - geometria e vincoli

Parete	Nodi	Tipo	Materiale	Criterio	N.P.	N.P.X	N.P.Y	Spess.
								m
1	9-109-110-10	Discreto	C35/45	CLS Muri ND	16	4	4	0.25
2	10-110-111-11	Discreto	C35/45	CLS Muri ND	16	4	4	0.25
3	11-111-112-12	Discreto	C35/45	CLS Muri ND	16	4	4	0.25
4	12-112-113-13	Discreto	C35/45	CLS Muri ND	16	4	4	0.25
5	13-113-114-14	Discreto	C35/45	CLS Muri ND	16	4	4	0.25
6	9-19-119-109	Discreto	C35/45	CLS Muri ND	16	4	4	0.25
7	19-29-129-119	Discreto	C35/45	CLS Muri ND	16	4	4	0.25
8	29-129-130-30	Discreto	C35/45	CLS Muri ND	16	4	4	0.25
9	31-131-132-32	Discreto	C35/45	CLS Muri ND	16	4	4	0.25
10	22-122-132-32	Discreto	C35/45	CLS Muri ND	16	4	4	0.25
11	12-112-122-22	Discreto	C35/45	CLS Muri ND	16	4	4	0.25
12	125-25-15-115	Discreto	C35/45	CLS Muri ND	16	4	4	0.25
13	114-115-15-14	Discreto	C35/45	CLS Muri ND	16	4	4	0.25
14	25-24-14-15	Platea	C35/45	CLS Platee ND	9			0.35
15	34-33-23-24	Platea	C35/45	CLS Platee ND	9			0.35
16	24-23-13-14	Platea	C35/45	CLS Platee ND	8			0.35
17	33-32-22-23	Platea	C35/45	CLS Platee ND	8			0.35
18	23-22-12-13	Platea	C35/45	CLS Platee ND	8			0.35
19	32-31-21-22	Platea	C35/45	CLS Platee ND	16			0.35

**POTENZIAMENTO DELL'IMPIANTO DI DEPURAZIONE E
DEL RECAPITO FINALE DI SQUINZANO (LE)
PROGETTO DEFINITIVO
Tabulati di calcolo strutturale-Filtrazione**

R.37.9

Maggio 2021

Pagina 16 di 364

Parete	Nodi	Tipo	Materiale	Criterio	N.P.	N.P.X	N.P.Y	Spess.
20	31-30-20-21	Platea	C35/45	CLS Platee ND	16			0.35
21	30-29-19-20	Platea	C35/45	CLS Platee ND	16			0.35
22	22-21-11-12	Platea	C35/45	CLS Platee ND	16			0.35
23	21-20-10-11	Platea	C35/45	CLS Platee ND	16			0.35
24	20-19-9-10	Platea	C35/45	CLS Platee ND	16			0.35
25	40-39-29-30	Platea	C35/45	CLS Platee ND	8			0.35
26	41-40-30-31	Platea	C35/45	CLS Platee ND	8			0.35
27	43-42-33-34	Platea	C35/45	CLS Platee ND	4			0.35
28	54-53-43-44	Platea	C35/45	CLS Platee ND	8			0.35
29	53-51-42-43	Platea	C35/45	CLS Platee ND	8			0.35
30	42-32-33	Platea	C35/45	CLS Platee ND	8			0.35
31	42-41-31-32	Platea	C35/45	CLS Platee ND	12			0.35
32	50-49-40-41	Platea	C35/45	CLS Platee ND	12			0.35
33	49-48-39-40	Platea	C35/45	CLS Platee ND	9			0.35
34	51-50-41-42	Platea	C35/45	CLS Platee ND	16			0.35
35	154-54-44-144	Discreto	C35/45	CLS Muri ND	16	4	4	0.25
36	53-153-154-54	Discreto	C35/45	CLS Muri ND	16	4	4	0.25
37	48-148-149-49	Discreto	C35/45	CLS Muri ND	16	4	4	0.25
38	39-48-148-139	Discreto	C35/45	CLS Muri ND	16	4	4	0.25
39	29-39-139-129	Discreto	C35/45	CLS Muri ND	16	4	4	0.25
40	51-152-153-53	Discreto	C35/45	CLS Muri ND	16	4	4	0.25
41	151-152-51	Discreto	C35/45	CLS Muri ND	16	4	4	0.25
42	42-142-151-51	Discreto	C35/45	CLS Muri ND	16	4	4	0.25
43	50-150-151-51	Discreto	C35/45	CLS Muri ND	16	4	4	0.25
44	32-132-142-42	Discreto	C35/45	CLS Muri ND	16	4	4	0.25
45	49-149-150-50	Discreto	C35/45	CLS Muri ND	16	4	4	0.25
46	30-130-131-31	Discreto	C35/45	CLS Muri ND	16	4	4	0.25
47	138-137-127-128	Platea	C35/45	CLS Platee ND	16			0.35
48	157-156-146-147	Platea	C35/45	CLS Platee ND	16			0.35
49	128-127-117-118	Platea	C35/45	CLS Platee ND	16			0.35
50	147-146-137-138	Platea	C35/45	CLS Platee ND	16			0.35
51	146-145-136-137	Platea	C35/45	CLS Platee ND	8			0.35
52	137-136-126-127	Platea	C35/45	CLS Platee ND	8			0.35
53	127-126-116-117	Platea	C35/45	CLS Platee ND	16			0.35
54	156-155-145-146	Platea	C35/45	CLS Platee ND	9			0.35
55	155-154-144-145	Platea	C35/45	CLS Platee ND	9			0.35
56	126-125-115-116	Platea	C35/45	CLS Platee ND	16			0.35
57	145-144-135-136	Platea	C35/45	CLS Platee ND	8			0.35
58	136-135-125-126	Platea	C35/45	CLS Platee ND	8			0.35
59	25-35-34-24	Platea	C35/45	CLS Platee ND	4			0.35
60	35-44-43-34	Platea	C35/45	CLS Platee ND	4			0.35
61	160-260-263-163	Discreto	C35/45	CLS Muri ND	16	4	4	0.25
62	159-259-262-162	Discreto	C35/45	CLS Muri ND	16	4	4	0.25
63	162-262-263-163	Discreto	C35/45	CLS Muri ND	16	4	4	0.25
64	159-158-154-155	Platea	C35/45	CLS Platee ND	16			0.35
65	161-160-156-157	Platea	C35/45	CLS Platee ND	16			0.35
66	160-159-155-156	Platea	C35/45	CLS Platee ND	16			0.35
67	163-162-159-160	Platea	C35/45	CLS Platee ND	16			0.35
68	158-258-259-159	Discreto	C35/45	CLS Muri ND	16	4	4	0.25
69	160-260-261-161	Discreto	C35/45	CLS Muri ND	16	4	4	0.25
70	159-259-260-160	Discreto	C35/45	CLS Muri ND	16	4	4	0.25
71	157-257-261-161	Discreto	C35/45	CLS Muri ND	16	4	4	0.25
72	154-254-258-158	Discreto	C35/45	CLS Muri ND	16	4	4	0.25
73	110-210-211-111	Discreto	C35/45	CLS Muri ND	16	4	4	0.25
74	112-212-222-122	Discreto	C35/45	CLS Muri ND	16	4	4	0.25
75	122-222-232-132	Discreto	C35/45	CLS Muri ND	16	4	4	0.25
76	111-211-212-112	Discreto	C35/45	CLS Muri ND	16	4	4	0.25
77	109-209-210-110	Discreto	C35/45	CLS Muri ND	16	4	4	0.25
78	113-213-214-114	Discreto	C35/45	CLS Muri ND	16	4	4	0.25
79	112-212-213-113	Discreto	C35/45	CLS Muri ND	16	4	4	0.25
80	109-119-219-209	Discreto	C35/45	CLS Muri ND	16	4	4	0.25
81	129-229-230-130	Discreto	C35/45	CLS Muri ND	16	4	4	0.25
82	119-129-229-219	Discreto	C35/45	CLS Muri ND	16	4	4	0.25
83	130-230-231-131	Discreto	C35/45	CLS Muri ND	16	4	4	0.25
84	131-231-232-132	Discreto	C35/45	CLS Muri ND	16	4	4	0.25
85	114-214-215-115	Discreto	C35/45	CLS Muri ND	16	4	4	0.25
86	225-125-115-215	Discreto	C35/45	CLS Muri ND	16	4	4	0.25
87	254-154-144-244	Discreto	C35/45	CLS Muri ND	16	4	4	0.25
88	153-253-254-154	Discreto	C35/45	CLS Muri ND	16	4	4	0.25
89	132-232-242-142	Discreto	C35/45	CLS Muri ND	16	4	4	0.25
90	142-242-251-151	Discreto	C35/45	CLS Muri ND	16	4	4	0.25
91	129-139-239-229	Discreto	C35/45	CLS Muri ND	16	4	4	0.25
92	148-248-249-149	Discreto	C35/45	CLS Muri ND	16	4	4	0.25
93	251-252-152-151	Discreto	C35/45	CLS Muri ND	16	4	4	0.25
94	139-148-248-239	Discreto	C35/45	CLS Muri ND	16	4	4	0.25
95	149-249-250-150	Discreto	C35/45	CLS Muri ND	16	4	4	0.25

**POTENZIAMENTO DELL'IMPIANTO DI DEPURAZIONE E
DEL RECAPITO FINALE DI SQUINZANO (LE)
PROGETTO DEFINITIVO
Tabulati di calcolo strutturale-Filtrazione**

R.37.9

Maggio 2021

Pagina 17 di 364

Parete	Nodi	Tipo	Materiale	Criterio	N.P.	N.P.X	N.P.Y	Spess.
96	150-250-251-151	Discreto	C35/45	CLS Muri ND	16	4	4	0.25
97	152-252-253-153	Discreto	C35/45	CLS Muri ND	16	4	4	0.25
98	125-225-235-135	Discreto	C35/45	CLS Muri ND	16	4	4	0.25
99	135-235-244-144	Discreto	C35/45	CLS Muri ND	16	4	4	0.25
100	138-238-247-147	Discreto	C35/45	CLS Muri ND	16	4	4	0.25
101	147-247-257-157	Discreto	C35/45	CLS Muri ND	16	4	4	0.25
102	118-218-228-128	Discreto	C35/45	CLS Muri ND	16	4	4	0.25
103	117-217-218-118	Discreto	C35/45	CLS Muri ND	16	4	4	0.25
104	128-228-238-138	Discreto	C35/45	CLS Muri ND	16	4	4	0.25
105	116-216-217-117	Discreto	C35/45	CLS Muri ND	16	4	4	0.25
106	115-215-216-116	Discreto	C35/45	CLS Muri ND	16	4	4	0.25
107	216-215-205-206	Platea	C35/45	CLS Platee ND	16			0.35
108	217-216-206-207	Platea	C35/45	CLS Platee ND	16			0.35
109	218-217-207-208	Platea	C35/45	CLS Platee ND	16			0.35
110	206-205-201-202	Platea	C35/45	CLS Platee ND	16			0.35
111	207-206-202-203	Platea	C35/45	CLS Platee ND	16			0.35
112	208-207-203-204	Platea	C35/45	CLS Platee ND	16			0.35
113	260-360-361-261	Discreto	C35/45	CLS Muri ND	16	4	4	0.25
114	257-357-361-261	Discreto	C35/45	CLS Muri ND	16	4	4	0.25
115	258-358-359-259	Discreto	C35/45	CLS Muri ND	16	4	4	0.25
116	259-359-360-260	Discreto	C35/45	CLS Muri ND	16	4	4	0.25
117	262-362-363-263	Discreto	C35/45	CLS Muri ND	16	4	4	0.25
118	260-360-363-263	Discreto	C35/45	CLS Muri ND	16	4	4	0.25
119	259-359-362-262	Discreto	C35/45	CLS Muri ND	16	4	4	0.25
120	254-354-358-258	Discreto	C35/45	CLS Muri ND	16	4	4	0.25
121	231-331-332-232	Discreto	C35/45	CLS Muri ND	16	4	4	0.25
122	230-330-331-231	Discreto	C35/45	CLS Muri ND	16	4	4	0.25
123	209-309-310-210	Discreto	C35/45	CLS Muri ND	16	4	4	0.25
124	222-322-332-232	Discreto	C35/45	CLS Muri ND	16	4	4	0.25
125	211-311-312-212	Discreto	C35/45	CLS Muri ND	16	4	4	0.25
126	213-313-314-214	Discreto	C35/45	CLS Muri ND	16	4	4	0.25
127	212-312-313-213	Discreto	C35/45	CLS Muri ND	16	4	4	0.25
128	210-310-311-211	Discreto	C35/45	CLS Muri ND	16	4	4	0.25
129	212-312-322-222	Discreto	C35/45	CLS Muri ND	16	4	4	0.25
130	229-329-330-230	Discreto	C35/45	CLS Muri ND	16	4	4	0.25
131	209-219-319-309	Discreto	C35/45	CLS Muri ND	16	4	4	0.25
132	219-229-329-319	Discreto	C35/45	CLS Muri ND	16	4	4	0.25
133	325-225-215-315	Discreto	C35/45	CLS Muri ND	16	4	4	0.25
134	214-314-315-215	Discreto	C35/45	CLS Muri ND	16	4	4	0.25
135	314-514-515-315	Discreto	C35/45	CLS Muri ND	16	4	4	0.25
136	232-332-342-242	Discreto	C35/45	CLS Muri ND	16	4	4	0.25
137	248-348-349-249	Discreto	C35/45	CLS Muri ND	16	4	4	0.25
138	354-254-244-344	Discreto	C35/45	CLS Muri ND	16	4	4	0.25
139	351-352-252-251	Discreto	C35/45	CLS Muri ND	16	4	4	0.25
140	252-352-353-253	Discreto	C35/45	CLS Muri ND	16	4	4	0.25
141	250-350-351-251	Discreto	C35/45	CLS Muri ND	16	4	4	0.25
142	242-342-351-251	Discreto	C35/45	CLS Muri ND	16	4	4	0.25
143	249-349-350-250	Discreto	C35/45	CLS Muri ND	16	4	4	0.25
144	239-248-348-339	Discreto	C35/45	CLS Muri ND	16	4	4	0.25
145	229-239-339-329	Discreto	C35/45	CLS Muri ND	16	4	4	0.25
146	353-553-554-354	Discreto	C35/45	CLS Muri ND	16	4	4	0.25
147	253-353-354-254	Discreto	C35/45	CLS Muri ND	16	4	4	0.25
148	342-442-451-351	Discreto	C35/45	CLS Muri ND	16	4	4	0.25
149	350-450-451-351	Discreto	C35/45	CLS Muri ND	16	4	4	0.25
150	451-452-352-351	Discreto	C35/45	CLS Muri ND	16	4	4	0.25
151	352-452-553-353	Discreto	C35/45	CLS Muri ND	16	4	4	0.25
152	349-449-450-350	Discreto	C35/45	CLS Muri ND	16	4	4	0.25
153	348-448-449-349	Discreto	C35/45	CLS Muri ND	16	4	4	0.25
154	339-348-448-439	Discreto	C35/45	CLS Muri ND	16	4	4	0.25
155	332-432-442-342	Discreto	C35/45	CLS Muri ND	16	4	4	0.25
156	329-339-439-429	Discreto	C35/45	CLS Muri ND	16	4	4	0.25
157	325-525-535-335	Discreto	C35/45	CLS Muri ND	16	4	4	0.25
158	225-325-335-235	Discreto	C35/45	CLS Muri ND	16	4	4	0.25
159	315-515-525-325	Discreto	C35/45	CLS Muri ND	16	4	4	0.25
160	335-535-544-344	Discreto	C35/45	CLS Muri ND	16	4	4	0.25
161	235-335-344-244	Discreto	C35/45	CLS Muri ND	16	4	4	0.25
162	344-544-554-354	Discreto	C35/45	CLS Muri ND	16	4	4	0.25
163	218-318-328-228	Discreto	C35/45	CLS Muri ND	16	4	4	0.25
164	228-328-338-238	Discreto	C35/45	CLS Muri ND	16	4	4	0.25
165	317-517-518-318	Discreto	C35/45	CLS Muri ND	16	4	4	0.25
166	217-317-318-218	Discreto	C35/45	CLS Muri ND	16	4	4	0.25
167	347-547-557-357	Discreto	C35/45	CLS Muri ND	16	4	4	0.25
168	338-538-547-347	Discreto	C35/45	CLS Muri ND	16	4	4	0.25
169	247-347-357-257	Discreto	C35/45	CLS Muri ND	16	4	4	0.25
170	238-338-347-247	Discreto	C35/45	CLS Muri ND	16	4	4	0.25
171	328-528-538-338	Discreto	C35/45	CLS Muri ND	16	4	4	0.25

**POTENZIAMENTO DELL'IMPIANTO DI DEPURAZIONE E
DEL RECAPITO FINALE DI SQUINZANO (LE)
PROGETTO DEFINITIVO
Tabulati di calcolo strutturale-Filtrazione**

R.37.9

Maggio 2021

Pagina 18 di 364

Parete	Nodi	Tipo	Materiale	Criterio	N.P.	N.P.X	N.P.Y	Spess.
172	318-518-528-328	Discreto	C35/45	CLS Muri ND	16	4	4	0.25
173	216-316-317-217	Discreto	C35/45	CLS Muri ND	16	4	4	0.25
174	316-516-517-317	Discreto	C35/45	CLS Muri ND	16	4	4	0.25
175	215-315-316-216	Discreto	C35/45	CLS Muri ND	16	4	4	0.25
176	315-515-516-316	Discreto	C35/45	CLS Muri ND	16	4	4	0.25
177	315-215-205-305	Discreto	C35/45	CLS Muri ND	16	4	4	0.25
178	305-505-515-315	Discreto	C35/45	CLS Muri ND	16	4	4	0.25
179	208-308-318-218	Discreto	C35/45	CLS Muri ND	16	4	4	0.25
180	207-307-308-208	Discreto	C35/45	CLS Muri ND	16	4	4	0.20
181	308-508-518-318	Discreto	C35/45	CLS Muri ND	16	4	4	0.25
182	206-306-307-207	Discreto	C35/45	CLS Muri ND	16	4	4	0.20
183	205-305-306-206	Discreto	C35/45	CLS Muri ND	16	4	4	0.20
184	305-205-201-301	Discreto	C35/45	CLS Muri ND	16	4	4	0.25
185	202-302-303-203	Discreto	C35/45	CLS Muri ND	16	4	4	0.25
186	203-303-304-204	Discreto	C35/45	CLS Muri ND	16	4	4	0.25
187	304-504-508-308	Discreto	C35/45	CLS Muri ND	16	4	4	0.25
188	303-503-504-304	Discreto	C35/45	CLS Muri ND	16	4	4	0.25
189	301-501-505-305	Discreto	C35/45	CLS Muri ND	16	4	4	0.25
190	204-304-308-208	Discreto	C35/45	CLS Muri ND	16	4	4	0.25
191	302-502-503-303	Discreto	C35/45	CLS Muri ND	16	4	4	0.25
192	201-301-302-202	Discreto	C35/45	CLS Muri ND	16	4	4	0.25
193	301-501-502-302	Discreto	C35/45	CLS Muri ND	16	4	4	0.25
194	360-560-561-361	Discreto	C35/45	CLS Muri ND	16	4	4	0.25
195	357-557-561-361	Discreto	C35/45	CLS Muri ND	16	4	4	0.25
196	358-558-559-359	Discreto	C35/45	CLS Muri ND	16	4	4	0.25
197	359-559-560-360	Discreto	C35/45	CLS Muri ND	16	4	4	0.25
198	362-562-563-363	Discreto	C35/45	CLS Muri ND	16	4	4	0.25
199	360-560-563-363	Discreto	C35/45	CLS Muri ND	16	4	4	0.25
200	359-559-562-362	Discreto	C35/45	CLS Muri ND	16	4	4	0.25
201	354-554-558-358	Discreto	C35/45	CLS Muri ND	16	4	4	0.25
202	331-431-432-332	Discreto	C35/45	CLS Muri ND	16	4	4	0.25
203	309-409-410-310	Discreto	C35/45	CLS Muri ND	16	4	4	0.25
204	311-411-412-312	Discreto	C35/45	CLS Muri ND	16	4	4	0.25
205	330-430-431-331	Discreto	C35/45	CLS Muri ND	16	4	4	0.25
206	322-422-432-332	Discreto	C35/45	CLS Muri ND	16	4	4	0.25
207	313-413-514-314	Discreto	C35/45	CLS Muri ND	16	4	4	0.25
208	329-429-430-330	Discreto	C35/45	CLS Muri ND	16	4	4	0.25
209	312-412-413-313	Discreto	C35/45	CLS Muri ND	16	4	4	0.25
210	312-412-422-322	Discreto	C35/45	CLS Muri ND	16	4	4	0.25
211	310-410-411-311	Discreto	C35/45	CLS Muri ND	16	4	4	0.25
212	319-329-429-419	Discreto	C35/45	CLS Muri ND	16	4	4	0.25
213	309-319-419-409	Discreto	C35/45	CLS Muri ND	16	4	4	0.25
214	410-610-611-411	Discreto	C35/45	CLS Muri ND	16	4	4	0.25
215	419-429-629-619	Discreto	C35/45	CLS Muri ND	16	4	4	0.25
216	409-419-619-609	Discreto	C35/45	CLS Muri ND	16	4	4	0.25
217	431-631-632-432	Discreto	C35/45	CLS Muri ND	16	4	4	0.25
218	411-611-612-412	Discreto	C35/45	CLS Muri ND	16	4	4	0.25
219	409-609-610-410	Discreto	C35/45	CLS Muri ND	16	4	4	0.25
220	413-613-614-514	Discreto	C35/45	CLS Muri ND	16	4	4	0.25
221	422-622-632-432	Discreto	C35/45	CLS Muri ND	16	4	4	0.25
222	430-630-631-431	Discreto	C35/45	CLS Muri ND	16	4	4	0.25
223	412-612-622-422	Discreto	C35/45	CLS Muri ND	16	4	4	0.25
224	429-629-630-430	Discreto	C35/45	CLS Muri ND	16	4	4	0.25
225	412-612-613-413	Discreto	C35/45	CLS Muri ND	16	4	4	0.25
226	514-614-615-515	Discreto	C35/45	CLS Muri ND	16	4	4	0.25
227	450-650-651-451	Discreto	C35/45	CLS Muri ND	16	4	4	0.25
228	439-448-648-639	Discreto	C35/45	CLS Muri ND	16	4	4	0.25
229	429-439-639-629	Discreto	C35/45	CLS Muri ND	16	4	4	0.25
230	449-649-650-450	Discreto	C35/45	CLS Muri ND	16	4	4	0.25
231	452-652-653-553	Discreto	C35/45	CLS Muri ND	16	4	4	0.25
232	442-642-651-451	Discreto	C35/45	CLS Muri ND	16	4	4	0.25
233	432-632-642-442	Discreto	C35/45	CLS Muri ND	16	4	4	0.25
234	448-648-649-449	Discreto	C35/45	CLS Muri ND	16	4	4	0.25
235	553-653-654-554	Discreto	C35/45	CLS Muri ND	16	4	4	0.25
236	651-652-452-451	Discreto	C35/45	CLS Muri ND	16	4	4	0.25
237	515-615-625-525	Discreto	C35/45	CLS Muri ND	16	4	4	0.25
238	525-625-635-535	Discreto	C35/45	CLS Muri ND	16	4	4	0.25
239	535-635-644-544	Discreto	C35/45	CLS Muri ND	16	4	4	0.25
240	544-644-654-554	Discreto	C35/45	CLS Muri ND	16	4	4	0.25
241	538-638-647-547	Discreto	C35/45	CLS Muri ND	16	4	4	0.25
242	547-647-657-557	Discreto	C35/45	CLS Muri ND	16	4	4	0.25
243	528-628-638-538	Discreto	C35/45	CLS Muri ND	16	4	4	0.25
244	518-618-628-528	Discreto	C35/45	CLS Muri ND	16	4	4	0.25
245	505-605-615-515	Discreto	C35/45	CLS Muri ND	16	4	4	0.25
246	508-608-618-518	Discreto	C35/45	CLS Muri ND	16	4	4	0.25
247	503-603-604-504	Discreto	C35/45	CLS Muri ND	16	4	4	0.25

Parete	Nodi	Tipo	Materiale	Criterio	N.P.	N.P.X	N.P.Y	Spess.
248	501-601-605-505	Discreto	C35/45	CLS Muri ND	16	4	4	0.25
249	502-602-603-503	Discreto	C35/45	CLS Muri ND	16	4	4	0.25
250	504-604-608-508	Discreto	C35/45	CLS Muri ND	16	4	4	0.25
251	501-601-602-502	Discreto	C35/45	CLS Muri ND	16	4	4	0.25
252	558-658-659-559	Discreto	C35/45	CLS Muri ND	16	4	4	0.25
253	559-659-660-560	Discreto	C35/45	CLS Muri ND	16	4	4	0.25
254	562-662-663-563	Discreto	C35/45	CLS Muri ND	16	4	4	0.25
255	559-659-662-562	Discreto	C35/45	CLS Muri ND	16	4	4	0.25
256	560-660-663-563	Discreto	C35/45	CLS Muri ND	16	4	4	0.25
257	557-657-661-561	Discreto	C35/45	CLS Muri ND	16	4	4	0.25
258	560-660-661-561	Discreto	C35/45	CLS Muri ND	16	4	4	0.25
259	554-654-658-558	Discreto	C35/45	CLS Muri ND	16	4	4	0.25
260	662-762-763-663	Discreto	C35/45	CLS Muri ND	16	4	4	0.25
261	659-759-762-662	Discreto	C35/45	CLS Muri ND	16	4	4	0.25
262	659-759-760-660	Discreto	C35/45	CLS Muri ND	16	4	4	0.25
263	660-760-763-663	Discreto	C35/45	CLS Muri ND	16	4	4	0.25

Muri - Carichi

Shell Indice dello shell
Cond. Condizione di carico
Tipo Tipologia di spinta
 γ Peso specifico: terreno o acqua
Ht Quota del piano di campagna
 \emptyset Angolo di attrito interno
c Coesione
 δ Angolo di attrito terreno paramento shell
 β Angolo di inclinazione del piano di campagna
 k_0 Coefficiente di spinta a riposo (quando richiesto)
 β_m Coefficiente di riduzione dell'accelerazione massima attesa al sito (quando richiesto)
Ag Accelerazione del sito a meno di 'g': quando richiesto, rappresenta il valore della accelerazione dello spettro per T=0, quindi comprensiva dei coefficienti di amplificazione topografica (S_T) e stratigrafica (S_S)
Q Valore del carico uniforme
Vert.1 Valore del carico nel primo vertice⁽¹⁾
Vert.2 Valore del carico nel secondo vertice⁽¹⁾
Vert.3 Valore del carico nel terzo vertice⁽¹⁾
Vert.4 Valore del carico nel quarto vertice⁽¹⁾
Hw Altezza del pelo libero dell'acqua
⁽¹⁾: Per shell con numero di vertici maggiori 4, per carichi trapezoidali, il valore del carico nei vertici e' stampato a gruppi di 4 secondo l'ordine con cui i vertici sono stati definiti

Shell	Cond.	Tipo	Ht	γ	\emptyset	c	δ	β	k_0	β_m	Ag
1			m	kg/m ³	°	kg/cm ²	°	°			
1	Spinta Terreno	Terreno - Riposo - Dir.Neg.	2.35	1900	--	--	--	--	0.50	--	--
1	spinta sismica terreno SLV	Sisma terreno - Riposo - Dir.Pos.	1.10	1900	--	--	--	--	0.50	1.00	0.07
1	spinta sismica terreno SLV	Sisma terreno - Riposo - Dir.Neg.	3.85	1900	--	--	--	--	0.50	1.00	0.00
1	Spinta sismica terreno SLD	Sisma terreno - Riposo - Dir.Neg.	3.85	1900	--	--	--	--	0.50	1.00	0.00
1	Spinta sismica terreno SLD	Sisma terreno - Riposo - Dir.Neg.	0.55	1900	--	--	--	--	0.50	1.00	0.03
1	Spinta sismica terreno SLD	Sisma terreno - Riposo - Dir.Pos.	3.85	1900	--	--	--	--	0.50	1.00	0.00
2	Spinta Terreno	Terreno - Riposo - Dir.Neg.	2.35	1900	--	--	--	--	0.50	--	--
2	spinta sismica terreno SLV	Sisma terreno - Riposo - Dir.Neg.	1.10	1900	--	--	--	--	0.50	1.00	0.07
2	spinta sismica terreno SLV	Sisma terreno - Riposo - Dir.Neg.	3.85	1900	--	--	--	--	0.50	1.00	0.00
2	Spinta sismica terreno SLD	Sisma terreno - Riposo - Dir.Neg.	0.55	1900	--	--	--	--	0.50	1.00	0.03
2	Spinta sismica terreno SLD	Sisma terreno - Riposo - Dir.Pos.	3.85	1900	--	--	--	--	0.50	1.00	0.00
2	Spinta sismica terreno SLD	Sisma terreno - Riposo - Dir.Neg.	3.85	1900	--	--	--	--	0.50	1.00	0.00
3	Spinta Terreno	Terreno - Riposo - Dir.Neg.	2.35	1900	--	--	--	--	0.50	--	--
3	spinta sismica terreno SLV	Sisma terreno - Riposo - Dir.Neg.	1.10	1900	--	--	--	--	0.50	1.00	0.07
3	spinta sismica terreno SLV	Sisma terreno - Riposo - Dir.Neg.	3.85	1900	--	--	--	--	0.50	1.00	0.00
3	Spinta sismica terreno SLD	Sisma terreno - Riposo - Dir.Neg.	0.55	1900	--	--	--	--	0.50	1.00	0.03
3	Spinta sismica terreno SLD	Sisma terreno - Riposo - Dir.Pos.	3.85	1900	--	--	--	--	0.50	1.00	0.00

**POTENZIAMENTO DELL'IMPIANTO DI DEPURAZIONE E
DEL RECAPITO FINALE DI SQUINZANO (LE)
PROGETTO DEFINITIVO
Tabulati di calcolo strutturale-Filtrazione**

R.37.9

Maggio 2021

Pagina 20 di 364

Shel l	Cond.	Tipo	Ht	γ	\emptyset	c	δ	β	k0	β_m	Ag
3	Spinta sismica terreno SLD	Sisma terreno - Riposo - Dir.Neg.	3.85	1900	--	--	--	--	0.50	1.00	0.00
4	Spinta Terreno	Terreno - Riposo - Dir.Neg.	2.35	1900	--	--	--	--	0.50	--	--
4	spinta sismica terreno SLV	Sisma terreno - Riposo - Dir.Neg.	1.10	1900	--	--	--	--	0.50	1.00	0.07
4	spinta sismica terreno SLV	Sisma terreno - Riposo - Dir.Neg.	3.85	1900	--	--	--	--	0.50	1.00	0.00
4	Spinta sismica terreno SLD	Sisma terreno - Riposo - Dir.Neg.	3.85	1900	--	--	--	--	0.50	1.00	0.00
4	Spinta sismica terreno SLD	Sisma terreno - Riposo - Dir.Neg.	0.55	1900	--	--	--	--	0.50	1.00	0.03
4	Spinta sismica terreno SLD	Sisma terreno - Riposo - Dir.Pos.	3.85	1900	--	--	--	--	0.50	1.00	0.00
5	Spinta Terreno	Terreno - Riposo - Dir.Neg.	2.35	1900	--	--	--	--	0.50	--	--
5	spinta sismica terreno SLV	Sisma terreno - Riposo - Dir.Neg.	3.85	1900	--	--	--	--	0.50	1.00	0.00
5	spinta sismica terreno SLV	Sisma terreno - Riposo - Dir.Neg.	1.10	1900	--	--	--	--	0.50	1.00	0.07
5	Spinta sismica terreno SLD	Sisma terreno - Riposo - Dir.Neg.	0.55	1900	--	--	--	--	0.50	1.00	0.03
5	Spinta sismica terreno SLD	Sisma terreno - Riposo - Dir.Pos.	3.85	1900	--	--	--	--	0.50	1.00	0.00
5	Spinta sismica terreno SLD	Sisma terreno - Riposo - Dir.Neg.	3.85	1900	--	--	--	--	0.50	1.00	0.00
6	Spinta Terreno	Terreno - Riposo - Dir.Neg.	2.35	1900	--	--	--	--	0.50	--	--
6	spinta sismica terreno SLV	Sisma terreno - Riposo - Dir.Neg.	3.85	1900	--	--	--	--	0.50	1.00	0.00
6	spinta sismica terreno SLV	Sisma terreno - Riposo - Dir.Neg.	0.00	1900	--	--	--	--	0.50	1.00	0.07
6	Spinta sismica terreno SLD	Sisma terreno - Riposo - Dir.Neg.	3.85	1900	--	--	--	--	0.50	1.00	0.00
6	Spinta sismica terreno SLD	Sisma terreno - Riposo - Dir.Pos.	3.85	1900	--	--	--	--	0.50	1.00	0.00
6	Spinta sismica terreno SLD	Sisma terreno - Riposo - Dir.Pos.	0.55	1900	--	--	--	--	0.50	1.00	0.03
7	Spinta Terreno	Terreno - Riposo - Dir.Neg.	2.35	1900	--	--	--	--	0.50	--	--
7	spinta sismica terreno SLV	Sisma terreno - Riposo - Dir.Neg.	0.00	1900	--	--	--	--	0.50	1.00	0.07
7	spinta sismica terreno SLV	Sisma terreno - Riposo - Dir.Neg.	3.85	1900	--	--	--	--	0.50	1.00	0.00
7	Spinta sismica terreno SLD	Sisma terreno - Riposo - Dir.Neg.	3.85	1900	--	--	--	--	0.50	1.00	0.00
7	Spinta sismica terreno SLD	Sisma terreno - Riposo - Dir.Pos.	3.85	1900	--	--	--	--	0.50	1.00	0.00
7	Spinta sismica terreno SLD	Sisma terreno - Riposo - Dir.Pos.	0.55	1900	--	--	--	--	0.50	1.00	0.03
12	spinta sismica terreno SLV	Sisma terreno - Riposo - Dir.Pos.	0.55	1900	--	--	--	--	0.50	1.00	0.03
12	spinta sismica terreno SLV	Sisma terreno - Riposo - Dir.Neg.	3.85	1900	--	--	--	--	0.50	1.00	0.00
12	Spinta sismica terreno SLD	Sisma terreno - Riposo - Dir.Pos.	3.85	1900	--	--	--	--	0.50	1.00	0.00
12	Spinta sismica terreno SLD	Sisma terreno - Riposo - Dir.Neg.	3.85	1900	--	--	--	--	0.50	1.00	0.00
13	Spinta Terreno	Terreno - Riposo - Dir.Neg.	2.35	1900	--	--	--	--	0.50	--	--
13	spinta sismica terreno SLV	Sisma terreno - Riposo - Dir.Neg.	3.85	1900	--	--	--	--	0.50	1.00	0.00
13	spinta sismica terreno SLV	Sisma terreno - Riposo - Dir.Neg.	0.00	1900	--	--	--	--	0.50	1.00	0.07
13	Spinta sismica terreno SLD	Sisma terreno - Riposo - Dir.Neg.	3.85	1900	--	--	--	--	0.50	1.00	0.00
13	Spinta sismica terreno SLD	Sisma terreno - Riposo - Dir.Neg.	0.55	1900	--	--	--	--	0.50	1.00	0.03
13	Spinta sismica terreno SLD	Sisma terreno - Riposo - Dir.Pos.	3.85	1900	--	--	--	--	0.50	1.00	0.00
35	spinta sismica terreno SLV	Sisma terreno - Riposo - Dir.Neg.	3.85	1900	--	--	--	--	0.50	1.00	0.00
35	Spinta sismica terreno SLD	Sisma terreno - Riposo - Dir.Neg.	3.85	1900	--	--	--	--	0.50	1.00	0.00
35	Spinta sismica terreno SLD	Sisma terreno - Riposo - Dir.Pos.	3.85	1900	--	--	--	--	0.50	1.00	0.00
36	Spinta Terreno	Terreno - Riposo - Dir.Pos.	2.35	1900	--	--	--	--	0.50	--	--
36	spinta sismica terreno SLV	Sisma terreno - Riposo - Dir.Pos.	0.00	1900	--	--	--	--	0.50	1.00	0.07
36	Spinta sismica terreno SLD	Sisma terreno - Riposo - Dir.Pos.	0.55	1900	--	--	--	--	0.50	1.00	0.03
37	Spinta Terreno	Terreno - Riposo - Dir.Pos.	2.35	1900	--	--	--	--	0.50	--	--

**POTENZIAMENTO DELL'IMPIANTO DI DEPURAZIONE E
DEL RECAPITO FINALE DI SQUINZANO (LE)
PROGETTO DEFINITIVO
Tabulati di calcolo strutturale-Filtrazione**

R.37.9

Maggio 2021

Pagina 21 di 364

Shel l	Cond.	Tipo	Ht	γ	\emptyset	c	δ	β	k0	β_m	Ag
37	spinta sismica terreno SLV	Sisma terreno - Riposo - Dir.Pos.	0.00	1900	--	--	--	--	0.50	1.00	0.07
37	Spinta sismica terreno SLD	Sisma terreno - Riposo - Dir.Pos.	0.55	1900	--	--	--	--	0.50	1.00	0.03
38	Spinta Terreno	Terreno - Riposo - Dir.Neg.	2.35	1900	--	--	--	--	0.50	--	--
38	spinta sismica terreno SLV	Sisma terreno - Riposo - Dir.Neg.	0.00	1900	--	--	--	--	0.50	1.00	0.07
38	spinta sismica terreno SLV	Sisma terreno - Riposo - Dir.Neg.	3.85	1900	--	--	--	--	0.50	1.00	0.00
38	Spinta sismica terreno SLD	Sisma terreno - Riposo - Dir.Pos.	3.85	1900	--	--	--	--	0.50	1.00	0.00
38	Spinta sismica terreno SLD	Sisma terreno - Riposo - Dir.Neg.	3.85	1900	--	--	--	--	0.50	1.00	0.00
38	Spinta sismica terreno SLD	Sisma terreno - Riposo - Dir.Pos.	0.55	1900	--	--	--	--	0.50	1.00	0.03
39	Spinta Terreno	Terreno - Riposo - Dir.Neg.	2.35	1900	--	--	--	--	0.50	--	--
39	spinta sismica terreno SLV	Sisma terreno - Riposo - Dir.Neg.	3.85	1900	--	--	--	--	0.50	1.00	0.00
39	spinta sismica terreno SLV	Sisma terreno - Riposo - Dir.Neg.	0.00	1900	--	--	--	--	0.50	1.00	0.07
39	Spinta sismica terreno SLD	Sisma terreno - Riposo - Dir.Pos.	3.85	1900	--	--	--	--	0.50	1.00	0.00
39	Spinta sismica terreno SLD	Sisma terreno - Riposo - Dir.Pos.	0.55	1900	--	--	--	--	0.50	1.00	0.03
39	Spinta sismica terreno SLD	Sisma terreno - Riposo - Dir.Neg.	3.85	1900	--	--	--	--	0.50	1.00	0.00
40	Spinta Terreno	Terreno - Riposo - Dir.Pos.	2.35	1900	--	--	--	--	0.50	--	--
40	spinta sismica terreno SLV	Sisma terreno - Riposo - Dir.Pos.	0.00	1900	--	--	--	--	0.50	1.00	0.07
40	Spinta sismica terreno SLD	Sisma terreno - Riposo - Dir.Pos.	0.55	1900	--	--	--	--	0.50	1.00	0.03
41	Spinta Terreno	Terreno - Riposo - Dir.Pos.	2.35	1900	--	--	--	--	0.50	--	--
41	spinta sismica terreno SLV	Sisma terreno - Riposo - Dir.Pos.	0.00	1900	--	--	--	--	0.50	1.00	0.07
41	Spinta sismica terreno SLD	Sisma terreno - Riposo - Dir.Pos.	0.55	1900	--	--	--	--	0.50	1.00	0.03
43	Spinta Terreno	Terreno - Riposo - Dir.Pos.	2.35	1900	--	--	--	--	0.50	--	--
43	spinta sismica terreno SLV	Sisma terreno - Riposo - Dir.Pos.	0.00	1900	--	--	--	--	0.50	1.00	0.07
43	Spinta sismica terreno SLD	Sisma terreno - Riposo - Dir.Pos.	0.55	1900	--	--	--	--	0.50	1.00	0.03
45	Spinta Terreno	Terreno - Riposo - Dir.Pos.	2.35	1900	--	--	--	--	0.50	--	--
45	spinta sismica terreno SLV	Sisma terreno - Riposo - Dir.Pos.	0.00	1900	--	--	--	--	0.50	1.00	0.07
45	Spinta sismica terreno SLD	Sisma terreno - Riposo - Dir.Pos.	0.55	1900	--	--	--	--	0.50	1.00	0.03
46	spinta sismica terreno SLV	Sisma terreno - Riposo - Dir.Neg.	3.85	1900	--	--	--	--	0.50	1.00	0.00
46	Spinta sismica terreno SLD	Sisma terreno - Riposo - Dir.Neg.	3.85	1900	--	--	--	--	0.50	1.00	0.00
46	Spinta sismica terreno SLD	Sisma terreno - Riposo - Dir.Pos.	3.85	1900	--	--	--	--	0.50	1.00	0.00
61	Spinta Terreno	Terreno - Riposo - Dir.Neg.	2.35	1900	--	--	--	--	0.50	--	--
61	spinta sismica terreno SLV	Sisma terreno - Riposo - Dir.Neg.	3.85	1900	--	--	--	--	0.50	1.00	0.00
61	Spinta sismica terreno SLD	Sisma terreno - Riposo - Dir.Neg.	0.55	1900	--	--	--	--	0.50	1.00	0.03
61	Spinta sismica terreno SLD	Sisma terreno - Riposo - Dir.Pos.	3.85	1900	--	--	--	--	0.50	1.00	0.00
61	Spinta sismica terreno SLD	Sisma terreno - Riposo - Dir.Neg.	3.85	1900	--	--	--	--	0.50	1.00	0.00
62	Spinta Terreno	Terreno - Riposo - Dir.Pos.	2.35	1900	--	--	--	--	0.50	--	--
62	spinta sismica terreno SLV	Sisma terreno - Riposo - Dir.Neg.	3.85	1900	--	--	--	--	0.50	1.00	0.00
62	Spinta sismica terreno SLD	Sisma terreno - Riposo - Dir.Pos.	3.85	1900	--	--	--	--	0.50	1.00	0.00
62	Spinta sismica terreno SLD	Sisma terreno - Riposo - Dir.Pos.	0.55	1900	--	--	--	--	0.50	1.00	0.03
62	Spinta sismica terreno SLD	Sisma terreno - Riposo - Dir.Neg.	3.85	1900	--	--	--	--	0.50	1.00	0.00
63	Spinta Terreno	Terreno - Riposo - Dir.Pos.	2.35	1900	--	--	--	--	0.50	--	--
63	Spinta sismica terreno SLD	Sisma terreno - Riposo - Dir.Pos.	0.55	1900	--	--	--	--	0.50	1.00	0.03
68	spinta sismica terreno SLV	Sisma terreno - Riposo - Dir.Pos.	0.55	1900	--	--	--	--	0.50	1.00	0.07
68	Spinta sismica terreno SLD	Sisma terreno - Riposo - Dir.Pos.	0.55	1900	--	--	--	--	0.50	1.00	0.03

**POTENZIAMENTO DELL'IMPIANTO DI DEPURAZIONE E
DEL RECAPITO FINALE DI SQUINZANO (LE)
PROGETTO DEFINITIVO
Tabulati di calcolo strutturale-Filtrazione**

R.37.9

Maggio 2021

Pagina 22 di 364

Shel l	Cond.	Tipo	Ht	γ	\emptyset	c	δ	β	k0	β_m	Ag
69	spinta sismica terreno SLV	Sisma terreno - Riposo - Dir.Pos.	0.55	1900	--	--	--	--	0.50	1.00	0.07
69	Spinta sismica terreno SLD	Sisma terreno - Riposo - Dir.Pos.	0.55	1900	--	--	--	--	0.50	1.00	0.03
69	Spinta sismica terreno SLD	Sisma terreno - Riposo - Dir.Pos.	0.55	1900	--	--	--	--	0.50	1.00	0.03
70	spinta sismica terreno SLV	Sisma terreno - Riposo - Dir.Pos.	0.55	1900	--	--	--	--	0.50	1.00	0.07
71	Spinta Terreno	Terreno - Riposo - Dir.Neg.	2.35	1900	--	--	--	--	0.50	--	--
71	spinta sismica terreno SLV	Sisma terreno - Riposo - Dir.Neg.	3.85	1900	--	--	--	--	0.50	1.00	0.00
71	spinta sismica terreno SLV	Sisma terreno - Riposo - Dir.Neg.	0.55	1900	--	--	--	--	0.50	1.00	0.07
71	Spinta sismica terreno SLD	Sisma terreno - Riposo - Dir.Neg.	3.85	1900	--	--	--	--	0.50	1.00	0.00
71	Spinta sismica terreno SLD	Sisma terreno - Riposo - Dir.Pos.	3.85	1900	--	--	--	--	0.50	1.00	0.00
71	Spinta sismica terreno SLD	Sisma terreno - Riposo - Dir.Neg.	0.55	1900	--	--	--	--	0.50	1.00	0.03
72	Spinta Terreno	Terreno - Riposo - Dir.Pos.	2.35	1900	--	--	--	--	0.50	--	--
72	spinta sismica terreno SLV	Sisma terreno - Riposo - Dir.Neg.	3.85	1900	--	--	--	--	0.50	1.00	0.00
72	Spinta sismica terreno SLD	Sisma terreno - Riposo - Dir.Pos.	3.85	1900	--	--	--	--	0.50	1.00	0.00
72	Spinta sismica terreno SLD	Sisma terreno - Riposo - Dir.Neg.	3.85	1900	--	--	--	--	0.50	1.00	0.00
72	Spinta sismica terreno SLD	Sisma terreno - Riposo - Dir.Pos.	0.55	1900	--	--	--	--	0.50	1.00	0.03
73	Spinta Terreno	Terreno - Riposo - Dir.Neg.	2.35	1900	--	--	--	--	0.50	--	--
73	spinta sismica terreno SLV	Sisma terreno - Riposo - Dir.Neg.	1.10	1900	--	--	--	--	0.50	1.00	0.07
73	spinta sismica terreno SLV	Sisma terreno - Riposo - Dir.Neg.	3.85	1900	--	--	--	--	0.50	1.00	0.00
73	Spinta sismica terreno SLD	Sisma terreno - Riposo - Dir.Neg.	1.10	1900	--	--	--	--	0.50	1.00	0.03
73	Spinta sismica terreno SLD	Sisma terreno - Riposo - Dir.Pos.	3.85	1900	--	--	--	--	0.50	1.00	0.00
73	Spinta sismica terreno SLD	Sisma terreno - Riposo - Dir.Neg.	3.85	1900	--	--	--	--	0.50	1.00	0.00
76	Spinta Terreno	Terreno - Riposo - Dir.Neg.	2.35	1900	--	--	--	--	0.50	--	--
76	spinta sismica terreno SLV	Sisma terreno - Riposo - Dir.Neg.	1.10	1900	--	--	--	--	0.50	1.00	0.07
76	spinta sismica terreno SLV	Sisma terreno - Riposo - Dir.Neg.	3.85	1900	--	--	--	--	0.50	1.00	0.00
76	Spinta sismica terreno SLD	Sisma terreno - Riposo - Dir.Neg.	3.85	1900	--	--	--	--	0.50	1.00	0.00
76	Spinta sismica terreno SLD	Sisma terreno - Riposo - Dir.Pos.	3.85	1900	--	--	--	--	0.50	1.00	0.00
76	Spinta sismica terreno SLD	Sisma terreno - Riposo - Dir.Neg.	1.10	1900	--	--	--	--	0.50	1.00	0.03
77	Spinta Terreno	Terreno - Riposo - Dir.Neg.	2.35	1900	--	--	--	--	0.50	--	--
77	spinta sismica terreno SLV	Sisma terreno - Riposo - Dir.Neg.	3.85	1900	--	--	--	--	0.50	1.00	0.00
77	spinta sismica terreno SLV	Sisma terreno - Riposo - Dir.Pos.	0.00	1900	--	--	--	--	0.50	1.00	0.07
77	Spinta sismica terreno SLD	Sisma terreno - Riposo - Dir.Pos.	3.85	1900	--	--	--	--	0.50	1.00	0.00
77	Spinta sismica terreno SLD	Sisma terreno - Riposo - Dir.Neg.	3.85	1900	--	--	--	--	0.50	1.00	0.00
77	Spinta sismica terreno SLD	Sisma terreno - Riposo - Dir.Neg.	1.10	1900	--	--	--	--	0.50	1.00	0.03
78	Spinta Terreno	Terreno - Riposo - Dir.Neg.	2.35	1900	--	--	--	--	0.50	--	--
78	spinta sismica terreno SLV	Sisma terreno - Riposo - Dir.Neg.	1.10	1900	--	--	--	--	0.50	1.00	0.07
78	spinta sismica terreno SLV	Sisma terreno - Riposo - Dir.Neg.	3.85	1900	--	--	--	--	0.50	1.00	0.00
78	Spinta sismica terreno SLD	Sisma terreno - Riposo - Dir.Neg.	3.85	1900	--	--	--	--	0.50	1.00	0.00
78	Spinta sismica terreno SLD	Sisma terreno - Riposo - Dir.Neg.	1.10	1900	--	--	--	--	0.50	1.00	0.03
78	Spinta sismica terreno SLD	Sisma terreno - Riposo - Dir.Pos.	3.85	1900	--	--	--	--	0.50	1.00	0.00
79	Spinta Terreno	Terreno - Riposo - Dir.Neg.	2.35	1900	--	--	--	--	0.50	--	--
79	spinta sismica terreno SLV	Sisma terreno - Riposo - Dir.Neg.	1.10	1900	--	--	--	--	0.50	1.00	0.07
79	spinta sismica terreno SLV	Sisma terreno - Riposo - Dir.Neg.	3.85	1900	--	--	--	--	0.50	1.00	0.00

**POTENZIAMENTO DELL'IMPIANTO DI DEPURAZIONE E
DEL RECAPITO FINALE DI SQUINZANO (LE)
PROGETTO DEFINITIVO
Tabulati di calcolo strutturale-Filtrazione**

R.37.9

Maggio 2021

Pagina 23 di 364

Shel l	Cond.	Tipo	Ht	γ	\emptyset	c	δ	β	k0	β_m	Ag
79	Spinta sismica terreno SLD	Sisma terreno - Riposo - Dir.Neg.	1.10	1900	--	--	--	--	0.50	1.00	0.03
79	Spinta sismica terreno SLD	Sisma terreno - Riposo - Dir.Pos.	3.85	1900	--	--	--	--	0.50	1.00	0.00
79	Spinta sismica terreno SLD	Sisma terreno - Riposo - Dir.Neg.	3.85	1900	--	--	--	--	0.50	1.00	0.00
80	Spinta Terreno	Terreno - Riposo - Dir.Neg.	2.35	1900	--	--	--	--	0.50	--	--
80	spinta sismica terreno SLV	Sisma terreno - Riposo - Dir.Neg.	3.85	1900	--	--	--	--	0.50	1.00	0.00
80	spinta sismica terreno SLV	Sisma terreno - Riposo - Dir.Neg.	0.00	1900	--	--	--	--	0.50	1.00	0.07
80	Spinta sismica terreno SLD	Sisma terreno - Riposo - Dir.Neg.	3.85	1900	--	--	--	--	0.50	1.00	0.00
80	Spinta sismica terreno SLD	Sisma terreno - Riposo - Dir.Neg.	0.00	1900	--	--	--	--	0.50	1.00	0.03
80	Spinta sismica terreno SLD	Sisma terreno - Riposo - Dir.Pos.	3.85	1900	--	--	--	--	0.50	1.00	0.00
82	Spinta Terreno	Terreno - Riposo - Dir.Neg.	2.35	1900	--	--	--	--	0.50	--	--
82	spinta sismica terreno SLV	Sisma terreno - Riposo - Dir.Neg.	0.00	1900	--	--	--	--	0.50	1.00	0.07
82	spinta sismica terreno SLV	Sisma terreno - Riposo - Dir.Neg.	3.85	1900	--	--	--	--	0.50	1.00	0.00
82	Spinta sismica terreno SLD	Sisma terreno - Riposo - Dir.Pos.	3.85	1900	--	--	--	--	0.50	1.00	0.00
82	Spinta sismica terreno SLD	Sisma terreno - Riposo - Dir.Neg.	3.85	1900	--	--	--	--	0.50	1.00	0.00
82	Spinta sismica terreno SLD	Sisma terreno - Riposo - Dir.Neg.	0.00	1900	--	--	--	--	0.50	1.00	0.03
85	Spinta Terreno	Terreno - Riposo - Dir.Neg.	2.35	1900	--	--	--	--	0.50	--	--
85	spinta sismica terreno SLV	Sisma terreno - Riposo - Dir.Neg.	0.00	1900	--	--	--	--	0.50	1.00	0.07
85	spinta sismica terreno SLV	Sisma terreno - Riposo - Dir.Neg.	3.85	1900	--	--	--	--	0.50	1.00	0.00
85	Spinta sismica terreno SLD	Sisma terreno - Riposo - Dir.Pos.	3.85	1900	--	--	--	--	0.50	1.00	0.00
85	Spinta sismica terreno SLD	Sisma terreno - Riposo - Dir.Neg.	1.10	1900	--	--	--	--	0.50	1.00	0.03
85	Spinta sismica terreno SLD	Sisma terreno - Riposo - Dir.Neg.	3.85	1900	--	--	--	--	0.50	1.00	0.00
86	spinta sismica terreno SLV	Sisma terreno - Riposo - Dir.Pos.	0.55	1900	--	--	--	--	0.50	1.00	0.07
88	Spinta Terreno	Terreno - Riposo - Dir.Pos.	2.35	1900	--	--	--	--	0.50	--	--
88	spinta sismica terreno SLV	Sisma terreno - Riposo - Dir.Pos.	0.00	1900	--	--	--	--	0.50	1.00	0.07
88	Spinta sismica terreno SLD	Sisma terreno - Riposo - Dir.Pos.	0.00	1900	--	--	--	--	0.50	1.00	0.03
91	Spinta Terreno	Terreno - Riposo - Dir.Neg.	2.35	1900	--	--	--	--	0.50	--	--
91	spinta sismica terreno SLV	Sisma terreno - Riposo - Dir.Neg.	3.85	1900	--	--	--	--	0.50	1.00	0.00
91	spinta sismica terreno SLV	Sisma terreno - Riposo - Dir.Neg.	0.00	1900	--	--	--	--	0.50	1.00	0.07
91	Spinta sismica terreno SLD	Sisma terreno - Riposo - Dir.Neg.	3.85	1900	--	--	--	--	0.50	1.00	0.00
91	Spinta sismica terreno SLD	Sisma terreno - Riposo - Dir.Neg.	0.00	1900	--	--	--	--	0.50	1.00	0.03
91	Spinta sismica terreno SLD	Sisma terreno - Riposo - Dir.Pos.	3.85	1900	--	--	--	--	0.50	1.00	0.00
92	Spinta Terreno	Terreno - Riposo - Dir.Pos.	2.35	1900	--	--	--	--	0.50	--	--
92	spinta sismica terreno SLV	Sisma terreno - Riposo - Dir.Pos.	0.00	1900	--	--	--	--	0.50	1.00	0.07
92	Spinta sismica terreno SLD	Sisma terreno - Riposo - Dir.Neg.	0.00	1900	--	--	--	--	0.50	1.00	0.03
93	Spinta Terreno	Terreno - Riposo - Dir.Pos.	2.35	1900	--	--	--	--	0.50	--	--
93	spinta sismica terreno SLV	Sisma terreno - Riposo - Dir.Pos.	0.00	1900	--	--	--	--	0.50	1.00	0.07
93	Spinta sismica terreno SLD	Sisma terreno - Riposo - Dir.Neg.	0.00	1900	--	--	--	--	0.50	1.00	0.03
94	Spinta Terreno	Terreno - Riposo - Dir.Neg.	2.35	1900	--	--	--	--	0.50	--	--
94	spinta sismica terreno SLV	Sisma terreno - Riposo - Dir.Neg.	0.00	1900	--	--	--	--	0.50	1.00	0.07
94	spinta sismica terreno SLV	Sisma terreno - Riposo - Dir.Neg.	3.85	1900	--	--	--	--	0.50	1.00	0.00
94	Spinta sismica terreno SLD	Sisma terreno - Riposo - Dir.Neg.	0.00	1900	--	--	--	--	0.50	1.00	0.03
94	Spinta sismica terreno SLD	Sisma terreno - Riposo - Dir.Pos.	3.85	1900	--	--	--	--	0.50	1.00	0.00

**POTENZIAMENTO DELL'IMPIANTO DI DEPURAZIONE E
DEL RECAPITO FINALE DI SQUINZANO (LE)
PROGETTO DEFINITIVO
Tabulati di calcolo strutturale-Filtrazione**

R.37.9

Maggio 2021

Pagina 24 di 364

Shel l	Cond.	Tipo	Ht	γ	\emptyset	c	δ	β	k0	β_m	Ag
94	Spinta sismica terreno SLD	Sisma terreno - Riposo - Dir.Neg.	3.85	1900	--	--	--	--	0.50	1.00	0.00
95	Spinta Terreno	Terreno - Riposo - Dir.Pos.	2.35	1900	--	--	--	--	0.50	--	--
95	spinta sismica terreno SLV	Sisma terreno - Riposo - Dir.Pos.	0.00	1900	--	--	--	--	0.50	1.00	0.07
95	Spinta sismica terreno SLD	Sisma terreno - Riposo - Dir.Neg.	0.00	1900	--	--	--	--	0.50	1.00	0.03
96	Spinta Terreno	Terreno - Riposo - Dir.Pos.	2.35	1900	--	--	--	--	0.50	--	--
96	spinta sismica terreno SLV	Sisma terreno - Riposo - Dir.Pos.	0.00	1900	--	--	--	--	0.50	1.00	0.07
96	Spinta sismica terreno SLD	Sisma terreno - Riposo - Dir.Neg.	0.00	1900	--	--	--	--	0.50	1.00	0.03
97	Spinta Terreno	Terreno - Riposo - Dir.Pos.	2.35	1900	--	--	--	--	0.50	--	--
97	spinta sismica terreno SLV	Sisma terreno - Riposo - Dir.Pos.	0.00	1900	--	--	--	--	0.50	1.00	0.07
97	Spinta sismica terreno SLD	Sisma terreno - Riposo - Dir.Pos.	0.00	1900	--	--	--	--	0.50	1.00	0.03
100	Spinta Terreno	Terreno - Riposo - Dir.Neg.	2.35	1900	--	--	--	--	0.50	--	--
100	spinta sismica terreno SLV	Sisma terreno - Riposo - Dir.Neg.	0.55	1900	--	--	--	--	0.50	1.00	0.07
100	spinta sismica terreno SLV	Sisma terreno - Riposo - Dir.Neg.	3.85	1900	--	--	--	--	0.50	1.00	0.00
100	Spinta sismica terreno SLD	Sisma terreno - Riposo - Dir.Neg.	3.85	1900	--	--	--	--	0.50	1.00	0.00
100	Spinta sismica terreno SLD	Sisma terreno - Riposo - Dir.Neg.	0.55	1900	--	--	--	--	0.50	1.00	0.03
100	Spinta sismica terreno SLD	Sisma terreno - Riposo - Dir.Pos.	3.85	1900	--	--	--	--	0.50	1.00	0.00
101	Spinta Terreno	Terreno - Riposo - Dir.Neg.	2.35	1900	--	--	--	--	0.50	--	--
101	spinta sismica terreno SLV	Sisma terreno - Riposo - Dir.Neg.	0.55	1900	--	--	--	--	0.50	1.00	0.07
101	spinta sismica terreno SLV	Sisma terreno - Riposo - Dir.Neg.	3.85	1900	--	--	--	--	0.50	1.00	0.00
101	Spinta sismica terreno SLD	Sisma terreno - Riposo - Dir.Pos.	3.85	1900	--	--	--	--	0.50	1.00	0.00
101	Spinta sismica terreno SLD	Sisma terreno - Riposo - Dir.Neg.	3.85	1900	--	--	--	--	0.50	1.00	0.00
101	Spinta sismica terreno SLD	Sisma terreno - Riposo - Dir.Neg.	0.55	1900	--	--	--	--	0.50	1.00	0.03
102	Spinta Terreno	Terreno - Riposo - Dir.Neg.	2.35	1900	--	--	--	--	0.50	--	--
102	spinta sismica terreno SLV	Sisma terreno - Riposo - Dir.Neg.	3.85	1900	--	--	--	--	0.50	1.00	0.00
102	spinta sismica terreno SLV	Sisma terreno - Riposo - Dir.Neg.	0.55	1900	--	--	--	--	0.50	1.00	0.07
102	Spinta sismica terreno SLD	Sisma terreno - Riposo - Dir.Neg.	3.85	1900	--	--	--	--	0.50	1.00	0.00
102	Spinta sismica terreno SLD	Sisma terreno - Riposo - Dir.Pos.	3.85	1900	--	--	--	--	0.50	1.00	0.00
102	Spinta sismica terreno SLD	Sisma terreno - Riposo - Dir.Neg.	0.55	1900	--	--	--	--	0.50	1.00	0.03
103	spinta sismica terreno SLV	Sisma terreno - Riposo - Dir.Neg.	3.85	1900	--	--	--	--	0.50	1.00	0.00
103	Spinta sismica terreno SLD	Sisma terreno - Riposo - Dir.Pos.	3.85	1900	--	--	--	--	0.50	1.00	0.00
103	Spinta sismica terreno SLD	Sisma terreno - Riposo - Dir.Neg.	3.85	1900	--	--	--	--	0.50	1.00	0.00
104	Spinta Terreno	Terreno - Riposo - Dir.Neg.	2.35	1900	--	--	--	--	0.50	--	--
104	spinta sismica terreno SLV	Sisma terreno - Riposo - Dir.Neg.	3.85	1900	--	--	--	--	0.50	1.00	0.00
104	spinta sismica terreno SLV	Sisma terreno - Riposo - Dir.Neg.	0.55	1900	--	--	--	--	0.50	1.00	0.07
104	Spinta sismica terreno SLD	Sisma terreno - Riposo - Dir.Neg.	3.85	1900	--	--	--	--	0.50	1.00	0.00
104	Spinta sismica terreno SLD	Sisma terreno - Riposo - Dir.Neg.	0.55	1900	--	--	--	--	0.50	1.00	0.03
104	Spinta sismica terreno SLD	Sisma terreno - Riposo - Dir.Pos.	3.85	1900	--	--	--	--	0.50	1.00	0.00
105	spinta sismica terreno SLV	Sisma terreno - Riposo - Dir.Neg.	3.85	1900	--	--	--	--	0.50	1.00	0.00
105	Spinta sismica terreno SLD	Sisma terreno - Riposo - Dir.Pos.	3.85	1900	--	--	--	--	0.50	1.00	0.00
105	Spinta sismica terreno SLD	Sisma terreno - Riposo - Dir.Neg.	3.85	1900	--	--	--	--	0.50	1.00	0.00
106	spinta sismica terreno SLV	Sisma terreno - Riposo - Dir.Neg.	3.85	1900	--	--	--	--	0.50	1.00	0.00
106	Spinta sismica terreno SLD	Sisma terreno - Riposo - Dir.Pos.	3.85	1900	--	--	--	--	0.50	1.00	0.00

**POTENZIAMENTO DELL'IMPIANTO DI DEPURAZIONE E
DEL RECAPITO FINALE DI SQUINZANO (LE)
PROGETTO DEFINITIVO
Tabulati di calcolo strutturale-Filtrazione**

R.37.9

Maggio 2021

Pagina 25 di 364

Shel l	Cond.	Tipo	Ht	γ	\emptyset	c	δ	β	k0	β_m	Ag
106	Spinta sismica terreno SLD	Sisma terreno - Riposo - Dir.Neg.	3.85	1900	--	--	--	--	0.50	1.00	0.00
113	spinta sismica terreno SLV	Sisma terreno - Riposo - Dir.Pos.	0.55	1900	--	--	--	--	0.50	1.00	0.07
113	Spinta sismica terreno SLD	Sisma terreno - Riposo - Dir.Pos.	0.55	1900	--	--	--	--	0.50	1.00	0.03
113	Spinta sismica terreno SLD	Sisma terreno - Riposo - Dir.Pos.	0.55	1900	--	--	--	--	0.50	1.00	0.03
114	Spinta Terreno	Terreno - Riposo - Dir.Neg.	2.35	1900	--	--	--	--	0.50	--	--
114	spinta sismica terreno SLV	Sisma terreno - Riposo - Dir.Neg.	0.55	1900	--	--	--	--	0.50	1.00	0.07
114	spinta sismica terreno SLV	Sisma terreno - Riposo - Dir.Neg.	3.85	1900	--	--	--	--	0.50	1.00	0.00
114	Spinta sismica terreno SLD	Sisma terreno - Riposo - Dir.Pos.	3.85	1900	--	--	--	--	0.50	1.00	0.00
114	Spinta sismica terreno SLD	Sisma terreno - Riposo - Dir.Neg.	3.85	1900	--	--	--	--	0.50	1.00	0.00
114	Spinta sismica terreno SLD	Sisma terreno - Riposo - Dir.Neg.	0.55	1900	--	--	--	--	0.50	1.00	0.03
115	spinta sismica terreno SLV	Sisma terreno - Riposo - Dir.Pos.	0.55	1900	--	--	--	--	0.50	1.00	0.07
115	Spinta sismica terreno SLD	Sisma terreno - Riposo - Dir.Pos.	0.55	1900	--	--	--	--	0.50	1.00	0.03
116	spinta sismica terreno SLV	Sisma terreno - Riposo - Dir.Pos.	0.55	1900	--	--	--	--	0.50	1.00	0.07
117	Spinta Terreno	Terreno - Riposo - Dir.Pos.	2.35	1900	--	--	--	--	0.50	--	--
117	Spinta sismica terreno SLD	Sisma terreno - Riposo - Dir.Pos.	0.55	1900	--	--	--	--	0.50	1.00	0.03
118	Spinta Terreno	Terreno - Riposo - Dir.Neg.	2.35	1900	--	--	--	--	0.50	--	--
118	spinta sismica terreno SLV	Sisma terreno - Riposo - Dir.Neg.	3.85	1900	--	--	--	--	0.50	1.00	0.00
118	Spinta sismica terreno SLD	Sisma terreno - Riposo - Dir.Neg.	3.85	1900	--	--	--	--	0.50	1.00	0.00
118	Spinta sismica terreno SLD	Sisma terreno - Riposo - Dir.Neg.	0.55	1900	--	--	--	--	0.50	1.00	0.03
118	Spinta sismica terreno SLD	Sisma terreno - Riposo - Dir.Pos.	3.85	1900	--	--	--	--	0.50	1.00	0.00
119	Spinta Terreno	Terreno - Riposo - Dir.Pos.	2.35	1900	--	--	--	--	0.50	--	--
119	spinta sismica terreno SLV	Sisma terreno - Riposo - Dir.Neg.	3.85	1900	--	--	--	--	0.50	1.00	0.00
119	Spinta sismica terreno SLD	Sisma terreno - Riposo - Dir.Neg.	3.85	1900	--	--	--	--	0.50	1.00	0.00
119	Spinta sismica terreno SLD	Sisma terreno - Riposo - Dir.Pos.	0.55	1900	--	--	--	--	0.50	1.00	0.03
119	Spinta sismica terreno SLD	Sisma terreno - Riposo - Dir.Pos.	3.85	1900	--	--	--	--	0.50	1.00	0.00
120	Spinta Terreno	Terreno - Riposo - Dir.Pos.	2.35	1900	--	--	--	--	0.50	--	--
120	spinta sismica terreno SLV	Sisma terreno - Riposo - Dir.Neg.	3.85	1900	--	--	--	--	0.50	1.00	0.00
120	Spinta sismica terreno SLD	Sisma terreno - Riposo - Dir.Pos.	0.55	1900	--	--	--	--	0.50	1.00	0.03
120	Spinta sismica terreno SLD	Sisma terreno - Riposo - Dir.Neg.	3.85	1900	--	--	--	--	0.50	1.00	0.00
120	Spinta sismica terreno SLD	Sisma terreno - Riposo - Dir.Pos.	3.85	1900	--	--	--	--	0.50	1.00	0.00
123	Spinta Terreno	Terreno - Riposo - Dir.Neg.	2.35	1900	--	--	--	--	0.50	--	--
123	spinta sismica terreno SLV	Sisma terreno - Riposo - Dir.Neg.	3.85	1900	--	--	--	--	0.50	1.00	0.00
123	spinta sismica terreno SLV	Sisma terreno - Riposo - Dir.Pos.	0.00	1900	--	--	--	--	0.50	1.00	0.07
123	Spinta sismica terreno SLD	Sisma terreno - Riposo - Dir.Neg.	3.85	1900	--	--	--	--	0.50	1.00	0.00
123	Spinta sismica terreno SLD	Sisma terreno - Riposo - Dir.Pos.	3.85	1900	--	--	--	--	0.50	1.00	0.00
123	Spinta sismica terreno SLD	Sisma terreno - Riposo - Dir.Neg.	0.00	1900	--	--	--	--	0.50	1.00	0.03
125	Spinta Terreno	Terreno - Riposo - Dir.Neg.	2.35	1900	--	--	--	--	0.50	--	--
125	spinta sismica terreno SLV	Sisma terreno - Riposo - Dir.Neg.	3.85	1900	--	--	--	--	0.50	1.00	0.00
125	spinta sismica terreno SLV	Sisma terreno - Riposo - Dir.Neg.	0.00	1900	--	--	--	--	0.50	1.00	0.07
125	Spinta sismica terreno SLD	Sisma terreno - Riposo - Dir.Neg.	3.85	1900	--	--	--	--	0.50	1.00	0.00
125	Spinta sismica terreno SLD	Sisma terreno - Riposo - Dir.Neg.	0.00	1900	--	--	--	--	0.50	1.00	0.03
125	Spinta sismica terreno SLD	Sisma terreno - Riposo - Dir.Pos.	3.85	1900	--	--	--	--	0.50	1.00	0.00

**POTENZIAMENTO DELL'IMPIANTO DI DEPURAZIONE E
DEL RECAPITO FINALE DI SQUINZANO (LE)
PROGETTO DEFINITIVO
Tabulati di calcolo strutturale-Filtrazione**

R.37.9

Maggio 2021

Pagina 26 di 364

Shel l	Cond.	Tipo	Ht	γ	\emptyset	c	δ	β	k0	β_m	Ag
126	Spinta Terreno	Terreno - Riposo - Dir.Neg.	2.35	1900	--	--	--	--	0.50	--	--
126	spinta sismica terreno SLV	Sisma terreno - Riposo - Dir.Neg.	0.00	1900	--	--	--	--	0.50	1.00	0.07
126	spinta sismica terreno SLV	Sisma terreno - Riposo - Dir.Neg.	3.85	1900	--	--	--	--	0.50	1.00	0.00
126	Spinta sismica terreno SLD	Sisma terreno - Riposo - Dir.Pos.	3.85	1900	--	--	--	--	0.50	1.00	0.00
126	Spinta sismica terreno SLD	Sisma terreno - Riposo - Dir.Neg.	0.00	1900	--	--	--	--	0.50	1.00	0.03
126	Spinta sismica terreno SLD	Sisma terreno - Riposo - Dir.Neg.	3.85	1900	--	--	--	--	0.50	1.00	0.00
127	Spinta Terreno	Terreno - Riposo - Dir.Neg.	2.35	1900	--	--	--	--	0.50	--	--
127	spinta sismica terreno SLV	Sisma terreno - Riposo - Dir.Neg.	0.00	1900	--	--	--	--	0.50	1.00	0.07
127	spinta sismica terreno SLV	Sisma terreno - Riposo - Dir.Neg.	3.85	1900	--	--	--	--	0.50	1.00	0.00
127	Spinta sismica terreno SLD	Sisma terreno - Riposo - Dir.Pos.	3.85	1900	--	--	--	--	0.50	1.00	0.00
127	Spinta sismica terreno SLD	Sisma terreno - Riposo - Dir.Neg.	3.85	1900	--	--	--	--	0.50	1.00	0.00
127	Spinta sismica terreno SLD	Sisma terreno - Riposo - Dir.Neg.	0.00	1900	--	--	--	--	0.50	1.00	0.03
128	Spinta Terreno	Terreno - Riposo - Dir.Neg.	2.35	1900	--	--	--	--	0.50	--	--
128	spinta sismica terreno SLV	Sisma terreno - Riposo - Dir.Neg.	3.85	1900	--	--	--	--	0.50	1.00	0.00
128	spinta sismica terreno SLV	Sisma terreno - Riposo - Dir.Neg.	0.00	1900	--	--	--	--	0.50	1.00	0.07
128	Spinta sismica terreno SLD	Sisma terreno - Riposo - Dir.Pos.	3.85	1900	--	--	--	--	0.50	1.00	0.00
128	Spinta sismica terreno SLD	Sisma terreno - Riposo - Dir.Neg.	3.85	1900	--	--	--	--	0.50	1.00	0.00
128	Spinta sismica terreno SLD	Sisma terreno - Riposo - Dir.Neg.	0.00	1900	--	--	--	--	0.50	1.00	0.03
131	Spinta Terreno	Terreno - Riposo - Dir.Neg.	2.35	1900	--	--	--	--	0.50	--	--
131	spinta sismica terreno SLV	Sisma terreno - Riposo - Dir.Neg.	3.85	1900	--	--	--	--	0.50	1.00	0.00
131	spinta sismica terreno SLV	Sisma terreno - Riposo - Dir.Neg.	0.00	1900	--	--	--	--	0.50	1.00	0.07
131	Spinta sismica terreno SLD	Sisma terreno - Riposo - Dir.Neg.	0.00	1900	--	--	--	--	0.50	1.00	0.03
131	Spinta sismica terreno SLD	Sisma terreno - Riposo - Dir.Neg.	3.85	1900	--	--	--	--	0.50	1.00	0.00
131	Spinta sismica terreno SLD	Sisma terreno - Riposo - Dir.Pos.	3.85	1900	--	--	--	--	0.50	1.00	0.00
132	Spinta Terreno	Terreno - Riposo - Dir.Neg.	2.35	1900	--	--	--	--	0.50	--	--
132	spinta sismica terreno SLV	Sisma terreno - Riposo - Dir.Neg.	0.00	1900	--	--	--	--	0.50	1.00	0.07
132	spinta sismica terreno SLV	Sisma terreno - Riposo - Dir.Neg.	3.85	1900	--	--	--	--	0.50	1.00	0.00
132	Spinta sismica terreno SLD	Sisma terreno - Riposo - Dir.Neg.	3.85	1900	--	--	--	--	0.50	1.00	0.00
132	Spinta sismica terreno SLD	Sisma terreno - Riposo - Dir.Pos.	3.85	1900	--	--	--	--	0.50	1.00	0.00
132	Spinta sismica terreno SLD	Sisma terreno - Riposo - Dir.Neg.	0.00	1900	--	--	--	--	0.50	1.00	0.03
133	spinta sismica terreno SLV	Sisma terreno - Riposo - Dir.Pos.	0.55	1900	--	--	--	--	0.50	1.00	0.07
134	Spinta Terreno	Terreno - Riposo - Dir.Neg.	2.35	1900	--	--	--	--	0.50	--	--
134	spinta sismica terreno SLV	Sisma terreno - Riposo - Dir.Neg.	0.00	1900	--	--	--	--	0.50	1.00	0.07
134	spinta sismica terreno SLV	Sisma terreno - Riposo - Dir.Neg.	3.85	1900	--	--	--	--	0.50	1.00	0.00
134	Spinta sismica terreno SLD	Sisma terreno - Riposo - Dir.Neg.	3.85	1900	--	--	--	--	0.50	1.00	0.00
134	Spinta sismica terreno SLD	Sisma terreno - Riposo - Dir.Neg.	0.00	1900	--	--	--	--	0.50	1.00	0.03
134	Spinta sismica terreno SLD	Sisma terreno - Riposo - Dir.Pos.	3.85	1900	--	--	--	--	0.50	1.00	0.00
135	Spinta Terreno	Terreno - Riposo - Dir.Neg.	2.35	1900	--	--	--	--	0.50	--	--
135	spinta sismica terreno SLV	Sisma terreno - Riposo - Dir.Neg.	3.85	1900	--	--	--	--	0.50	1.00	0.00
135	Spinta sismica terreno SLD	Sisma terreno - Riposo - Dir.Neg.	3.85	1900	--	--	--	--	0.50	1.00	0.00
135	Spinta sismica terreno SLD	Sisma terreno - Riposo - Dir.Pos.	3.85	1900	--	--	--	--	0.50	1.00	0.00
137	Spinta Terreno	Terreno - Riposo - Dir.Pos.	2.35	1900	--	--	--	--	0.50	--	--

**POTENZIAMENTO DELL'IMPIANTO DI DEPURAZIONE E
DEL RECAPITO FINALE DI SQUINZANO (LE)
PROGETTO DEFINITIVO
Tabulati di calcolo strutturale-Filtrazione**

R.37.9

Maggio 2021

Pagina 27 di 364

Shel l	Cond.	Tipo	Ht	γ	\emptyset	c	δ	β	k0	β_m	Ag
137	spinta sismica terreno SLV	Sisma terreno - Riposo - Dir.Pos.	0.00	1900	--	--	--	--	0.50	1.00	0.07
137	Spinta sismica terreno SLD	Sisma terreno - Riposo - Dir.Pos.	0.00	1900	--	--	--	--	0.50	1.00	0.03
139	Spinta Terreno	Terreno - Riposo - Dir.Pos.	2.35	1900	--	--	--	--	0.50	--	--
139	spinta sismica terreno SLV	Sisma terreno - Riposo - Dir.Pos.	0.00	1900	--	--	--	--	0.50	1.00	0.07
139	Spinta sismica terreno SLD	Sisma terreno - Riposo - Dir.Pos.	0.00	1900	--	--	--	--	0.50	1.00	0.03
140	Spinta Terreno	Terreno - Riposo - Dir.Pos.	2.35	1900	--	--	--	--	0.50	--	--
140	spinta sismica terreno SLV	Sisma terreno - Riposo - Dir.Pos.	0.00	1900	--	--	--	--	0.50	1.00	0.07
140	Spinta sismica terreno SLD	Sisma terreno - Riposo - Dir.Pos.	0.00	1900	--	--	--	--	0.50	1.00	0.03
141	Spinta Terreno	Terreno - Riposo - Dir.Pos.	2.35	1900	--	--	--	--	0.50	--	--
141	spinta sismica terreno SLV	Sisma terreno - Riposo - Dir.Pos.	0.00	1900	--	--	--	--	0.50	1.00	0.07
141	Spinta sismica terreno SLD	Sisma terreno - Riposo - Dir.Pos.	0.00	1900	--	--	--	--	0.50	1.00	0.03
143	Spinta Terreno	Terreno - Riposo - Dir.Pos.	2.35	1900	--	--	--	--	0.50	--	--
143	spinta sismica terreno SLV	Sisma terreno - Riposo - Dir.Pos.	0.00	1900	--	--	--	--	0.50	1.00	0.07
143	Spinta sismica terreno SLD	Sisma terreno - Riposo - Dir.Pos.	0.00	1900	--	--	--	--	0.50	1.00	0.03
144	Spinta Terreno	Terreno - Riposo - Dir.Neg.	2.35	1900	--	--	--	--	0.50	--	--
144	spinta sismica terreno SLV	Sisma terreno - Riposo - Dir.Neg.	3.85	1900	--	--	--	--	0.50	1.00	0.00
144	spinta sismica terreno SLV	Sisma terreno - Riposo - Dir.Neg.	0.00	1900	--	--	--	--	0.50	1.00	0.07
144	Spinta sismica terreno SLD	Sisma terreno - Riposo - Dir.Pos.	3.85	1900	--	--	--	--	0.50	1.00	0.00
144	Spinta sismica terreno SLD	Sisma terreno - Riposo - Dir.Neg.	0.00	1900	--	--	--	--	0.50	1.00	0.03
144	Spinta sismica terreno SLD	Sisma terreno - Riposo - Dir.Neg.	3.85	1900	--	--	--	--	0.50	1.00	0.00
145	Spinta Terreno	Terreno - Riposo - Dir.Neg.	2.35	1900	--	--	--	--	0.50	--	--
145	spinta sismica terreno SLV	Sisma terreno - Riposo - Dir.Neg.	0.00	1900	--	--	--	--	0.50	1.00	0.07
145	spinta sismica terreno SLV	Sisma terreno - Riposo - Dir.Neg.	3.85	1900	--	--	--	--	0.50	1.00	0.00
145	Spinta sismica terreno SLD	Sisma terreno - Riposo - Dir.Neg.	0.00	1900	--	--	--	--	0.50	1.00	0.03
145	Spinta sismica terreno SLD	Sisma terreno - Riposo - Dir.Neg.	3.85	1900	--	--	--	--	0.50	1.00	0.00
145	Spinta sismica terreno SLD	Sisma terreno - Riposo - Dir.Pos.	3.85	1900	--	--	--	--	0.50	1.00	0.00
146	Spinta Terreno	Terreno - Riposo - Dir.Pos.	2.35	1900	--	--	--	--	0.50	--	--
147	Spinta Terreno	Terreno - Riposo - Dir.Pos.	2.35	1900	--	--	--	--	0.50	--	--
147	spinta sismica terreno SLV	Sisma terreno - Riposo - Dir.Pos.	0.00	1900	--	--	--	--	0.50	1.00	0.07
147	Spinta sismica terreno SLD	Sisma terreno - Riposo - Dir.Pos.	0.00	1900	--	--	--	--	0.50	1.00	0.03
149	Spinta Terreno	Terreno - Riposo - Dir.Pos.	2.35	1900	--	--	--	--	0.50	--	--
149	spinta sismica terreno SLV	Sisma terreno - Riposo - Dir.Pos.	0.00	1900	--	--	--	--	0.50	1.00	0.07
149	Spinta sismica terreno SLD	Sisma terreno - Riposo - Dir.Pos.	0.00	1900	--	--	--	--	0.50	1.00	0.03
150	Spinta Terreno	Terreno - Riposo - Dir.Pos.	2.35	1900	--	--	--	--	0.50	--	--
150	spinta sismica terreno SLV	Sisma terreno - Riposo - Dir.Pos.	0.00	1900	--	--	--	--	0.50	1.00	0.07
150	Spinta sismica terreno SLD	Sisma terreno - Riposo - Dir.Pos.	0.00	1900	--	--	--	--	0.50	1.00	0.03
151	Spinta Terreno	Terreno - Riposo - Dir.Pos.	2.35	1900	--	--	--	--	0.50	--	--
152	Spinta Terreno	Terreno - Riposo - Dir.Pos.	2.35	1900	--	--	--	--	0.50	--	--
152	spinta sismica terreno SLV	Sisma terreno - Riposo - Dir.Pos.	0.00	1900	--	--	--	--	0.50	1.00	0.07
152	Spinta sismica terreno SLD	Sisma terreno - Riposo - Dir.Pos.	0.00	1900	--	--	--	--	0.50	1.00	0.03
153	Spinta Terreno	Terreno - Riposo - Dir.Pos.	2.35	1900	--	--	--	--	0.50	--	--
153	spinta sismica terreno SLV	Sisma terreno - Riposo - Dir.Pos.	0.00	1900	--	--	--	--	0.50	1.00	0.07
153	Spinta sismica terreno SLD	Sisma terreno - Riposo - Dir.Pos.	0.00	1900	--	--	--	--	0.50	1.00	0.03
154	Spinta Terreno	Terreno - Riposo - Dir.Neg.	2.35	1900	--	--	--	--	0.50	--	--
154	spinta sismica terreno SLV	Sisma terreno - Riposo - Dir.Neg.	3.85	1900	--	--	--	--	0.50	1.00	0.00

**POTENZIAMENTO DELL'IMPIANTO DI DEPURAZIONE E
DEL RECAPITO FINALE DI SQUINZANO (LE)
PROGETTO DEFINITIVO
Tabulati di calcolo strutturale-Filtrazione**

R.37.9

Maggio 2021

Pagina 28 di 364

Shel l	Cond.	Tipo	Ht	γ	\emptyset	c	δ	β	k0	β_m	Ag
154	Spinta sismica terreno SLD	Sisma terreno - Riposo - Dir.Neg.	3.85	1900	--	--	--	--	0.50	1.00	0.00
154	Spinta sismica terreno SLD	Sisma terreno - Riposo - Dir.Pos.	3.85	1900	--	--	--	--	0.50	1.00	0.00
156	Spinta Terreno	Terreno - Riposo - Dir.Neg.	2.35	1900	--	--	--	--	0.50	--	--
156	spinta sismica terreno SLV	Sisma terreno - Riposo - Dir.Neg.	3.85	1900	--	--	--	--	0.50	1.00	0.00
156	Spinta sismica terreno SLD	Sisma terreno - Riposo - Dir.Pos.	3.85	1900	--	--	--	--	0.50	1.00	0.00
156	Spinta sismica terreno SLD	Sisma terreno - Riposo - Dir.Neg.	3.85	1900	--	--	--	--	0.50	1.00	0.00
163	Spinta Terreno	Terreno - Riposo - Dir.Neg.	2.35	1900	--	--	--	--	0.50	--	--
163	spinta sismica terreno SLV	Sisma terreno - Riposo - Dir.Neg.	0.55	1900	--	--	--	--	0.50	1.00	0.07
163	spinta sismica terreno SLV	Sisma terreno - Riposo - Dir.Neg.	3.85	1900	--	--	--	--	0.50	1.00	0.00
163	Spinta sismica terreno SLD	Sisma terreno - Riposo - Dir.Pos.	3.85	1900	--	--	--	--	0.50	1.00	0.00
163	Spinta sismica terreno SLD	Sisma terreno - Riposo - Dir.Neg.	3.85	1900	--	--	--	--	0.50	1.00	0.00
163	Spinta sismica terreno SLD	Sisma terreno - Riposo - Dir.Neg.	0.55	1900	--	--	--	--	0.50	1.00	0.03
164	Spinta Terreno	Terreno - Riposo - Dir.Neg.	2.35	1900	--	--	--	--	0.50	--	--
164	spinta sismica terreno SLV	Sisma terreno - Riposo - Dir.Neg.	0.55	1900	--	--	--	--	0.50	1.00	0.07
164	spinta sismica terreno SLV	Sisma terreno - Riposo - Dir.Neg.	3.85	1900	--	--	--	--	0.50	1.00	0.00
164	Spinta sismica terreno SLD	Sisma terreno - Riposo - Dir.Pos.	3.85	1900	--	--	--	--	0.50	1.00	0.00
164	Spinta sismica terreno SLD	Sisma terreno - Riposo - Dir.Neg.	3.85	1900	--	--	--	--	0.50	1.00	0.00
164	Spinta sismica terreno SLD	Sisma terreno - Riposo - Dir.Neg.	0.55	1900	--	--	--	--	0.50	1.00	0.03
165	spinta sismica terreno SLV	Sisma terreno - Riposo - Dir.Neg.	3.85	1900	--	--	--	--	0.50	1.00	0.00
165	Spinta sismica terreno SLD	Sisma terreno - Riposo - Dir.Pos.	3.85	1900	--	--	--	--	0.50	1.00	0.00
165	Spinta sismica terreno SLD	Sisma terreno - Riposo - Dir.Neg.	3.85	1900	--	--	--	--	0.50	1.00	0.00
166	spinta sismica terreno SLV	Sisma terreno - Riposo - Dir.Neg.	3.85	1900	--	--	--	--	0.50	1.00	0.00
166	Spinta sismica terreno SLD	Sisma terreno - Riposo - Dir.Pos.	3.85	1900	--	--	--	--	0.50	1.00	0.00
166	Spinta sismica terreno SLD	Sisma terreno - Riposo - Dir.Neg.	3.85	1900	--	--	--	--	0.50	1.00	0.00
167	Spinta Terreno	Terreno - Riposo - Dir.Neg.	2.35	1900	--	--	--	--	0.50	--	--
167	spinta sismica terreno SLV	Sisma terreno - Riposo - Dir.Neg.	3.85	1900	--	--	--	--	0.50	1.00	0.00
167	Spinta sismica terreno SLD	Sisma terreno - Riposo - Dir.Pos.	3.85	1900	--	--	--	--	0.50	1.00	0.00
167	Spinta sismica terreno SLD	Sisma terreno - Riposo - Dir.Neg.	3.85	1900	--	--	--	--	0.50	1.00	0.00
168	Spinta Terreno	Terreno - Riposo - Dir.Neg.	2.35	1900	--	--	--	--	0.50	--	--
168	spinta sismica terreno SLV	Sisma terreno - Riposo - Dir.Neg.	3.85	1900	--	--	--	--	0.50	1.00	0.00
168	Spinta sismica terreno SLD	Sisma terreno - Riposo - Dir.Neg.	3.85	1900	--	--	--	--	0.50	1.00	0.00
168	Spinta sismica terreno SLD	Sisma terreno - Riposo - Dir.Pos.	3.85	1900	--	--	--	--	0.50	1.00	0.00
169	Spinta Terreno	Terreno - Riposo - Dir.Neg.	2.35	1900	--	--	--	--	0.50	--	--
169	spinta sismica terreno SLV	Sisma terreno - Riposo - Dir.Neg.	0.55	1900	--	--	--	--	0.50	1.00	0.07
169	spinta sismica terreno SLV	Sisma terreno - Riposo - Dir.Neg.	3.85	1900	--	--	--	--	0.50	1.00	0.00
169	Spinta sismica terreno SLD	Sisma terreno - Riposo - Dir.Neg.	0.55	1900	--	--	--	--	0.50	1.00	0.03
169	Spinta sismica terreno SLD	Sisma terreno - Riposo - Dir.Neg.	3.85	1900	--	--	--	--	0.50	1.00	0.00
169	Spinta sismica terreno SLD	Sisma terreno - Riposo - Dir.Pos.	3.85	1900	--	--	--	--	0.50	1.00	0.00
170	Spinta Terreno	Terreno - Riposo - Dir.Neg.	2.35	1900	--	--	--	--	0.50	--	--
170	spinta sismica terreno SLV	Sisma terreno - Riposo - Dir.Neg.	3.85	1900	--	--	--	--	0.50	1.00	0.00
170	spinta sismica terreno SLV	Sisma terreno - Riposo - Dir.Neg.	0.55	1900	--	--	--	--	0.50	1.00	0.07
170	Spinta sismica terreno SLD	Sisma terreno - Riposo - Dir.Neg.	0.55	1900	--	--	--	--	0.50	1.00	0.03

**POTENZIAMENTO DELL'IMPIANTO DI DEPURAZIONE E
DEL RECAPITO FINALE DI SQUINZANO (LE)
PROGETTO DEFINITIVO
Tabulati di calcolo strutturale-Filtrazione**

R.37.9

Maggio 2021

Pagina 29 di 364

Shel l	Cond.	Tipo	Ht	γ	\emptyset	c	δ	β	k0	β_m	Ag
170	Spinta sismica terreno SLD	Sisma terreno - Riposo - Dir.Pos.	3.85	1900	--	--	--	--	0.50	1.00	0.00
170	Spinta sismica terreno SLD	Sisma terreno - Riposo - Dir.Neg.	3.85	1900	--	--	--	--	0.50	1.00	0.00
171	Spinta Terreno	Terreno - Riposo - Dir.Neg.	2.35	1900	--	--	--	--	0.50	--	--
171	spinta sismica terreno SLV	Sisma terreno - Riposo - Dir.Neg.	3.85	1900	--	--	--	--	0.50	1.00	0.00
171	Spinta sismica terreno SLD	Sisma terreno - Riposo - Dir.Pos.	3.85	1900	--	--	--	--	0.50	1.00	0.00
171	Spinta sismica terreno SLD	Sisma terreno - Riposo - Dir.Neg.	3.85	1900	--	--	--	--	0.50	1.00	0.00
172	Spinta Terreno	Terreno - Riposo - Dir.Neg.	2.35	1900	--	--	--	--	0.50	--	--
172	spinta sismica terreno SLV	Sisma terreno - Riposo - Dir.Neg.	3.85	1900	--	--	--	--	0.50	1.00	0.00
172	Spinta sismica terreno SLD	Sisma terreno - Riposo - Dir.Neg.	3.85	1900	--	--	--	--	0.50	1.00	0.00
172	Spinta sismica terreno SLD	Sisma terreno - Riposo - Dir.Pos.	3.85	1900	--	--	--	--	0.50	1.00	0.00
173	spinta sismica terreno SLV	Sisma terreno - Riposo - Dir.Neg.	3.85	1900	--	--	--	--	0.50	1.00	0.00
173	Spinta sismica terreno SLD	Sisma terreno - Riposo - Dir.Neg.	3.85	1900	--	--	--	--	0.50	1.00	0.00
173	Spinta sismica terreno SLD	Sisma terreno - Riposo - Dir.Pos.	3.85	1900	--	--	--	--	0.50	1.00	0.00
174	spinta sismica terreno SLV	Sisma terreno - Riposo - Dir.Neg.	3.85	1900	--	--	--	--	0.50	1.00	0.00
174	Spinta sismica terreno SLD	Sisma terreno - Riposo - Dir.Pos.	3.85	1900	--	--	--	--	0.50	1.00	0.00
174	Spinta sismica terreno SLD	Sisma terreno - Riposo - Dir.Neg.	3.85	1900	--	--	--	--	0.50	1.00	0.00
175	spinta sismica terreno SLV	Sisma terreno - Riposo - Dir.Neg.	3.85	1900	--	--	--	--	0.50	1.00	0.00
175	Spinta sismica terreno SLD	Sisma terreno - Riposo - Dir.Neg.	3.85	1900	--	--	--	--	0.50	1.00	0.00
175	Spinta sismica terreno SLD	Sisma terreno - Riposo - Dir.Pos.	3.85	1900	--	--	--	--	0.50	1.00	0.00
176	spinta sismica terreno SLV	Sisma terreno - Riposo - Dir.Neg.	3.85	1900	--	--	--	--	0.50	1.00	0.00
176	Spinta sismica terreno SLD	Sisma terreno - Riposo - Dir.Pos.	3.85	1900	--	--	--	--	0.50	1.00	0.00
176	Spinta sismica terreno SLD	Sisma terreno - Riposo - Dir.Neg.	3.85	1900	--	--	--	--	0.50	1.00	0.00
177	Spinta Terreno	Terreno - Riposo - Dir.Pos.	2.35	1900	--	--	--	--	0.50	--	--
177	spinta sismica terreno SLV	Sisma terreno - Riposo - Dir.Pos.	0.55	1900	--	--	--	--	0.50	1.00	0.07
177	Spinta sismica terreno SLD	Sisma terreno - Riposo - Dir.Pos.	1.10	1900	--	--	--	--	0.50	1.00	0.03
178	Spinta Terreno	Terreno - Riposo - Dir.Pos.	2.35	1900	--	--	--	--	0.50	--	--
179	Spinta Terreno	Terreno - Riposo - Dir.Neg.	2.35	1900	--	--	--	--	0.50	--	--
179	spinta sismica terreno SLV	Sisma terreno - Riposo - Dir.Neg.	1.10	1900	--	--	--	--	0.50	1.00	0.07
179	spinta sismica terreno SLV	Sisma terreno - Riposo - Dir.Neg.	3.85	1900	--	--	--	--	0.50	1.00	0.00
179	Spinta sismica terreno SLD	Sisma terreno - Riposo - Dir.Neg.	3.85	1900	--	--	--	--	0.50	1.00	0.00
179	Spinta sismica terreno SLD	Sisma terreno - Riposo - Dir.Pos.	3.85	1900	--	--	--	--	0.50	1.00	0.00
179	Spinta sismica terreno SLD	Sisma terreno - Riposo - Dir.Neg.	1.10	1900	--	--	--	--	0.50	1.00	0.03
180	spinta sismica terreno SLV	Sisma terreno - Riposo - Dir.Neg.	3.85	1900	--	--	--	--	0.50	1.00	0.00
180	Spinta sismica terreno SLD	Sisma terreno - Riposo - Dir.Pos.	3.85	1900	--	--	--	--	0.50	1.00	0.00
180	Spinta sismica terreno SLD	Sisma terreno - Riposo - Dir.Neg.	3.85	1900	--	--	--	--	0.50	1.00	0.00
181	Spinta Terreno	Terreno - Riposo - Dir.Neg.	2.35	1900	--	--	--	--	0.50	--	--
181	spinta sismica terreno SLV	Sisma terreno - Riposo - Dir.Neg.	3.85	1900	--	--	--	--	0.50	1.00	0.00
181	Spinta sismica terreno SLD	Sisma terreno - Riposo - Dir.Neg.	3.85	1900	--	--	--	--	0.50	1.00	0.00
181	Spinta sismica terreno SLD	Sisma terreno - Riposo - Dir.Pos.	3.85	1900	--	--	--	--	0.50	1.00	0.00
182	spinta sismica terreno SLV	Sisma terreno - Riposo - Dir.Neg.	3.85	1900	--	--	--	--	0.50	1.00	0.00
182	Spinta sismica terreno SLD	Sisma terreno - Riposo - Dir.Pos.	3.85	1900	--	--	--	--	0.50	1.00	0.00

Shel l	Cond.	Tipo	Ht	γ	\emptyset	c	δ	β	k0	β_m	Ag
182	Spinta sismica terreno SLD	Sisma terreno - Riposo - Dir.Neg.	3.85	1900	--	--	--	--	0.50	1.00	0.00
183	spinta sismica terreno SLV	Sisma terreno - Riposo - Dir.Neg.	3.85	1900	--	--	--	--	0.50	1.00	0.00
183	Spinta sismica terreno SLD	Sisma terreno - Riposo - Dir.Pos.	3.85	1900	--	--	--	--	0.50	1.00	0.00
183	Spinta sismica terreno SLD	Sisma terreno - Riposo - Dir.Neg.	3.85	1900	--	--	--	--	0.50	1.00	0.00
184	Spinta Terreno	Terreno - Riposo - Dir.Pos.	2.35	1900	--	--	--	--	0.50	--	--
184	spinta sismica terreno SLV	Sisma terreno - Riposo - Dir.Pos.	0.55	1900	--	--	--	--	0.50	1.00	0.07
184	Spinta sismica terreno SLD	Sisma terreno - Riposo - Dir.Pos.	1.10	1900	--	--	--	--	0.50	1.00	0.03
185	Spinta Terreno	Terreno - Riposo - Dir.Neg.	2.35	1900	--	--	--	--	0.50	--	--
185	spinta sismica terreno SLV	Sisma terreno - Riposo - Dir.Neg.	1.10	1900	--	--	--	--	0.50	1.00	0.07
185	spinta sismica terreno SLV	Sisma terreno - Riposo - Dir.Neg.	3.85	1900	--	--	--	--	0.50	1.00	0.00
185	Spinta sismica terreno SLD	Sisma terreno - Riposo - Dir.Neg.	1.10	1900	--	--	--	--	0.50	1.00	0.03
185	Spinta sismica terreno SLD	Sisma terreno - Riposo - Dir.Pos.	3.85	1900	--	--	--	--	0.50	1.00	0.00
185	Spinta sismica terreno SLD	Sisma terreno - Riposo - Dir.Neg.	3.85	1900	--	--	--	--	0.50	1.00	0.00
186	Spinta Terreno	Terreno - Riposo - Dir.Neg.	2.35	1900	--	--	--	--	0.50	--	--
186	spinta sismica terreno SLV	Sisma terreno - Riposo - Dir.Neg.	1.10	1900	--	--	--	--	0.50	1.00	0.07
186	spinta sismica terreno SLV	Sisma terreno - Riposo - Dir.Neg.	3.85	1900	--	--	--	--	0.50	1.00	0.00
186	Spinta sismica terreno SLD	Sisma terreno - Riposo - Dir.Neg.	1.10	1900	--	--	--	--	0.50	1.00	0.03
186	Spinta sismica terreno SLD	Sisma terreno - Riposo - Dir.Neg.	3.85	1900	--	--	--	--	0.50	1.00	0.00
186	Spinta sismica terreno SLD	Sisma terreno - Riposo - Dir.Pos.	3.85	1900	--	--	--	--	0.50	1.00	0.00
187	Spinta Terreno	Terreno - Riposo - Dir.Neg.	2.35	1900	--	--	--	--	0.50	--	--
187	spinta sismica terreno SLV	Sisma terreno - Riposo - Dir.Neg.	3.85	1900	--	--	--	--	0.50	1.00	0.00
187	Spinta sismica terreno SLD	Sisma terreno - Riposo - Dir.Pos.	3.85	1900	--	--	--	--	0.50	1.00	0.00
187	Spinta sismica terreno SLD	Sisma terreno - Riposo - Dir.Neg.	3.85	1900	--	--	--	--	0.50	1.00	0.00
188	Spinta Terreno	Terreno - Riposo - Dir.Neg.	2.35	1900	--	--	--	--	0.50	--	--
188	spinta sismica terreno SLV	Sisma terreno - Riposo - Dir.Neg.	3.85	1900	--	--	--	--	0.50	1.00	0.00
188	Spinta sismica terreno SLD	Sisma terreno - Riposo - Dir.Neg.	3.85	1900	--	--	--	--	0.50	1.00	0.00
188	Spinta sismica terreno SLD	Sisma terreno - Riposo - Dir.Pos.	3.85	1900	--	--	--	--	0.50	1.00	0.00
189	Spinta Terreno	Terreno - Riposo - Dir.Pos.	2.35	1900	--	--	--	--	0.50	--	--
190	Spinta Terreno	Terreno - Riposo - Dir.Neg.	2.35	1900	--	--	--	--	0.50	--	--
190	spinta sismica terreno SLV	Sisma terreno - Riposo - Dir.Neg.	3.85	1900	--	--	--	--	0.50	1.00	0.00
190	spinta sismica terreno SLV	Sisma terreno - Riposo - Dir.Neg.	1.10	1900	--	--	--	--	0.50	1.00	0.07
190	Spinta sismica terreno SLD	Sisma terreno - Riposo - Dir.Neg.	1.10	1900	--	--	--	--	0.50	1.00	0.03
190	Spinta sismica terreno SLD	Sisma terreno - Riposo - Dir.Pos.	3.85	1900	--	--	--	--	0.50	1.00	0.00
190	Spinta sismica terreno SLD	Sisma terreno - Riposo - Dir.Neg.	3.85	1900	--	--	--	--	0.50	1.00	0.00
191	Spinta Terreno	Terreno - Riposo - Dir.Neg.	2.35	1900	--	--	--	--	0.50	--	--
191	spinta sismica terreno SLV	Sisma terreno - Riposo - Dir.Neg.	3.85	1900	--	--	--	--	0.50	1.00	0.00
191	Spinta sismica terreno SLD	Sisma terreno - Riposo - Dir.Pos.	3.85	1900	--	--	--	--	0.50	1.00	0.00
191	Spinta sismica terreno SLD	Sisma terreno - Riposo - Dir.Neg.	3.85	1900	--	--	--	--	0.50	1.00	0.00
192	Spinta Terreno	Terreno - Riposo - Dir.Neg.	2.35	1900	--	--	--	--	0.50	--	--
192	spinta sismica terreno SLV	Sisma terreno - Riposo - Dir.Neg.	1.10	1900	--	--	--	--	0.50	1.00	0.07
192	spinta sismica terreno SLV	Sisma terreno - Riposo - Dir.Neg.	3.85	1900	--	--	--	--	0.50	1.00	0.00
192	Spinta sismica terreno SLD	Sisma terreno - Riposo - Dir.Neg.	3.85	1900	--	--	--	--	0.50	1.00	0.00
192	Spinta sismica terreno SLD	Sisma terreno - Riposo - Dir.Neg.	1.10	1900	--	--	--	--	0.50	1.00	0.03

**POTENZIAMENTO DELL'IMPIANTO DI DEPURAZIONE E
DEL RECAPITO FINALE DI SQUINZANO (LE)
PROGETTO DEFINITIVO
Tabulati di calcolo strutturale-Filtrazione**

R.37.9

Maggio 2021

Pagina 31 di 364

Shel l	Cond.	Tipo	Ht	γ	\emptyset	c	δ	β	k0	β_m	Ag
192	Spinta sismica terreno SLD	Sisma terreno - Riposo - Dir.Pos.	3.85	1900	--	--	--	--	0.50	1.00	0.00
193	Spinta Terreno	Terreno - Riposo - Dir.Neg.	2.35	1900	--	--	--	--	0.50	--	--
193	spinta sismica terreno SLV	Sisma terreno - Riposo - Dir.Neg.	3.85	1900	--	--	--	--	0.50	1.00	0.00
193	Spinta sismica terreno SLD	Sisma terreno - Riposo - Dir.Pos.	3.85	1900	--	--	--	--	0.50	1.00	0.00
193	Spinta sismica terreno SLD	Sisma terreno - Riposo - Dir.Neg.	3.85	1900	--	--	--	--	0.50	1.00	0.00
194	Spinta sismica terreno SLD	Sisma terreno - Riposo - Dir.Pos.	0.55	1900	--	--	--	--	0.50	1.00	0.03
195	Spinta Terreno	Terreno - Riposo - Dir.Neg.	2.35	1900	--	--	--	--	0.50	--	--
195	spinta sismica terreno SLV	Sisma terreno - Riposo - Dir.Neg.	3.85	1900	--	--	--	--	0.50	1.00	0.00
195	Spinta sismica terreno SLD	Sisma terreno - Riposo - Dir.Pos.	3.85	1900	--	--	--	--	0.50	1.00	0.00
195	Spinta sismica terreno SLD	Sisma terreno - Riposo - Dir.Neg.	3.85	1900	--	--	--	--	0.50	1.00	0.00
198	Spinta Terreno	Terreno - Riposo - Dir.Pos.	2.35	1900	--	--	--	--	0.50	--	--
199	Spinta Terreno	Terreno - Riposo - Dir.Neg.	2.35	1900	--	--	--	--	0.50	--	--
199	spinta sismica terreno SLV	Sisma terreno - Riposo - Dir.Neg.	3.85	1900	--	--	--	--	0.50	1.00	0.00
199	Spinta sismica terreno SLD	Sisma terreno - Riposo - Dir.Pos.	3.85	1900	--	--	--	--	0.50	1.00	0.00
199	Spinta sismica terreno SLD	Sisma terreno - Riposo - Dir.Neg.	3.85	1900	--	--	--	--	0.50	1.00	0.00
200	Spinta Terreno	Terreno - Riposo - Dir.Pos.	2.35	1900	--	--	--	--	0.50	--	--
200	spinta sismica terreno SLV	Sisma terreno - Riposo - Dir.Neg.	3.85	1900	--	--	--	--	0.50	1.00	0.00
200	Spinta sismica terreno SLD	Sisma terreno - Riposo - Dir.Neg.	3.85	1900	--	--	--	--	0.50	1.00	0.00
200	Spinta sismica terreno SLD	Sisma terreno - Riposo - Dir.Pos.	3.85	1900	--	--	--	--	0.50	1.00	0.00
201	Spinta Terreno	Terreno - Riposo - Dir.Pos.	2.35	1900	--	--	--	--	0.50	--	--
201	spinta sismica terreno SLV	Sisma terreno - Riposo - Dir.Neg.	3.85	1900	--	--	--	--	0.50	1.00	0.00
201	Spinta sismica terreno SLD	Sisma terreno - Riposo - Dir.Neg.	3.85	1900	--	--	--	--	0.50	1.00	0.00
201	Spinta sismica terreno SLD	Sisma terreno - Riposo - Dir.Pos.	3.85	1900	--	--	--	--	0.50	1.00	0.00
203	Spinta Terreno	Terreno - Riposo - Dir.Neg.	2.35	1900	--	--	--	--	0.50	--	--
203	spinta sismica terreno SLV	Sisma terreno - Riposo - Dir.Neg.	3.85	1900	--	--	--	--	0.50	1.00	0.00
203	spinta sismica terreno SLV	Sisma terreno - Riposo - Dir.Pos.	0.00	1900	--	--	--	--	0.50	1.00	0.07
203	Spinta sismica terreno SLD	Sisma terreno - Riposo - Dir.Pos.	3.85	1900	--	--	--	--	0.50	1.00	0.00
203	Spinta sismica terreno SLD	Sisma terreno - Riposo - Dir.Neg.	3.85	1900	--	--	--	--	0.50	1.00	0.00
203	Spinta sismica terreno SLD	Sisma terreno - Riposo - Dir.Neg.	0.00	1900	--	--	--	--	0.50	1.00	0.03
204	Spinta Terreno	Terreno - Riposo - Dir.Neg.	2.35	1900	--	--	--	--	0.50	--	--
204	spinta sismica terreno SLV	Sisma terreno - Riposo - Dir.Neg.	3.85	1900	--	--	--	--	0.50	1.00	0.00
204	spinta sismica terreno SLV	Sisma terreno - Riposo - Dir.Neg.	0.00	1900	--	--	--	--	0.50	1.00	0.07
204	Spinta sismica terreno SLD	Sisma terreno - Riposo - Dir.Neg.	0.00	1900	--	--	--	--	0.50	1.00	0.03
204	Spinta sismica terreno SLD	Sisma terreno - Riposo - Dir.Neg.	3.85	1900	--	--	--	--	0.50	1.00	0.00
204	Spinta sismica terreno SLD	Sisma terreno - Riposo - Dir.Pos.	3.85	1900	--	--	--	--	0.50	1.00	0.00
207	Spinta Terreno	Terreno - Riposo - Dir.Neg.	2.35	1900	--	--	--	--	0.50	--	--
207	spinta sismica terreno SLV	Sisma terreno - Riposo - Dir.Neg.	3.85	1900	--	--	--	--	0.50	1.00	0.00
207	Spinta sismica terreno SLD	Sisma terreno - Riposo - Dir.Neg.	3.85	1900	--	--	--	--	0.50	1.00	0.00
207	Spinta sismica terreno SLD	Sisma terreno - Riposo - Dir.Pos.	3.85	1900	--	--	--	--	0.50	1.00	0.00
209	Spinta Terreno	Terreno - Riposo - Dir.Neg.	2.35	1900	--	--	--	--	0.50	--	--
209	spinta sismica terreno SLV	Sisma terreno - Riposo - Dir.Neg.	0.00	1900	--	--	--	--	0.50	1.00	0.07
209	spinta sismica terreno SLV	Sisma terreno - Riposo - Dir.Neg.	3.85	1900	--	--	--	--	0.50	1.00	0.00
209	Spinta sismica terreno SLD	Sisma terreno - Riposo - Dir.Neg.	0.00	1900	--	--	--	--	0.50	1.00	0.03

**POTENZIAMENTO DELL'IMPIANTO DI DEPURAZIONE E
DEL RECAPITO FINALE DI SQUINZANO (LE)
PROGETTO DEFINITIVO
Tabulati di calcolo strutturale-Filtrazione**

R.37.9

Maggio 2021

Pagina 32 di 364

Shel l	Cond.	Tipo	Ht	γ	\emptyset	c	δ	β	k0	β_m	Ag
209	Spinta sismica terreno SLD	Sisma terreno - Riposo - Dir.Neg.	3.85	1900	--	--	--	--	0.50	1.00	0.00
209	Spinta sismica terreno SLD	Sisma terreno - Riposo - Dir.Pos.	3.85	1900	--	--	--	--	0.50	1.00	0.00
211	Spinta Terreno	Terreno - Riposo - Dir.Neg.	2.35	1900	--	--	--	--	0.50	--	--
211	spinta sismica terreno SLV	Sisma terreno - Riposo - Dir.Neg.	0.00	1900	--	--	--	--	0.50	1.00	0.07
211	spinta sismica terreno SLV	Sisma terreno - Riposo - Dir.Neg.	3.85	1900	--	--	--	--	0.50	1.00	0.00
211	Spinta sismica terreno SLD	Sisma terreno - Riposo - Dir.Neg.	3.85	1900	--	--	--	--	0.50	1.00	0.00
211	Spinta sismica terreno SLD	Sisma terreno - Riposo - Dir.Pos.	3.85	1900	--	--	--	--	0.50	1.00	0.00
211	Spinta sismica terreno SLD	Sisma terreno - Riposo - Dir.Neg.	0.00	1900	--	--	--	--	0.50	1.00	0.03
212	Spinta Terreno	Terreno - Riposo - Dir.Neg.	2.35	1900	--	--	--	--	0.50	--	--
212	spinta sismica terreno SLV	Sisma terreno - Riposo - Dir.Neg.	3.85	1900	--	--	--	--	0.50	1.00	0.00
212	Spinta sismica terreno SLD	Sisma terreno - Riposo - Dir.Neg.	3.85	1900	--	--	--	--	0.50	1.00	0.00
212	Spinta sismica terreno SLD	Sisma terreno - Riposo - Dir.Pos.	3.85	1900	--	--	--	--	0.50	1.00	0.00
213	Spinta Terreno	Terreno - Riposo - Dir.Neg.	2.35	1900	--	--	--	--	0.50	--	--
213	spinta sismica terreno SLV	Sisma terreno - Riposo - Dir.Neg.	3.85	1900	--	--	--	--	0.50	1.00	0.00
213	Spinta sismica terreno SLD	Sisma terreno - Riposo - Dir.Neg.	3.85	1900	--	--	--	--	0.50	1.00	0.00
213	Spinta sismica terreno SLD	Sisma terreno - Riposo - Dir.Pos.	3.85	1900	--	--	--	--	0.50	1.00	0.00
214	Spinta Terreno	Terreno - Riposo - Dir.Neg.	2.35	1900	--	--	--	--	0.50	--	--
214	spinta sismica terreno SLV	Sisma terreno - Riposo - Dir.Neg.	3.85	1900	--	--	--	--	0.50	1.00	0.00
214	Spinta sismica terreno SLD	Sisma terreno - Riposo - Dir.Pos.	3.85	1900	--	--	--	--	0.50	1.00	0.00
214	Spinta sismica terreno SLD	Sisma terreno - Riposo - Dir.Neg.	3.85	1900	--	--	--	--	0.50	1.00	0.00
215	Spinta Terreno	Terreno - Riposo - Dir.Neg.	2.35	1900	--	--	--	--	0.50	--	--
215	spinta sismica terreno SLV	Sisma terreno - Riposo - Dir.Neg.	3.85	1900	--	--	--	--	0.50	1.00	0.00
215	Spinta sismica terreno SLD	Sisma terreno - Riposo - Dir.Neg.	3.85	1900	--	--	--	--	0.50	1.00	0.00
215	Spinta sismica terreno SLD	Sisma terreno - Riposo - Dir.Pos.	3.85	1900	--	--	--	--	0.50	1.00	0.00
216	Spinta Terreno	Terreno - Riposo - Dir.Neg.	2.35	1900	--	--	--	--	0.50	--	--
216	spinta sismica terreno SLV	Sisma terreno - Riposo - Dir.Neg.	3.85	1900	--	--	--	--	0.50	1.00	0.00
216	Spinta sismica terreno SLD	Sisma terreno - Riposo - Dir.Neg.	3.85	1900	--	--	--	--	0.50	1.00	0.00
216	Spinta sismica terreno SLD	Sisma terreno - Riposo - Dir.Pos.	3.85	1900	--	--	--	--	0.50	1.00	0.00
218	Spinta Terreno	Terreno - Riposo - Dir.Neg.	2.35	1900	--	--	--	--	0.50	--	--
218	spinta sismica terreno SLV	Sisma terreno - Riposo - Dir.Neg.	3.85	1900	--	--	--	--	0.50	1.00	0.00
218	Spinta sismica terreno SLD	Sisma terreno - Riposo - Dir.Neg.	3.85	1900	--	--	--	--	0.50	1.00	0.00
218	Spinta sismica terreno SLD	Sisma terreno - Riposo - Dir.Pos.	3.85	1900	--	--	--	--	0.50	1.00	0.00
219	Spinta Terreno	Terreno - Riposo - Dir.Neg.	2.35	1900	--	--	--	--	0.50	--	--
219	spinta sismica terreno SLV	Sisma terreno - Riposo - Dir.Neg.	3.85	1900	--	--	--	--	0.50	1.00	0.00
219	Spinta sismica terreno SLD	Sisma terreno - Riposo - Dir.Neg.	3.85	1900	--	--	--	--	0.50	1.00	0.00
219	Spinta sismica terreno SLD	Sisma terreno - Riposo - Dir.Pos.	3.85	1900	--	--	--	--	0.50	1.00	0.00
220	Spinta Terreno	Terreno - Riposo - Dir.Neg.	2.35	1900	--	--	--	--	0.50	--	--
220	spinta sismica terreno SLV	Sisma terreno - Riposo - Dir.Neg.	3.85	1900	--	--	--	--	0.50	1.00	0.00
220	Spinta sismica terreno SLD	Sisma terreno - Riposo - Dir.Pos.	3.85	1900	--	--	--	--	0.50	1.00	0.00
220	Spinta sismica terreno SLD	Sisma terreno - Riposo - Dir.Neg.	3.85	1900	--	--	--	--	0.50	1.00	0.00
225	Spinta Terreno	Terreno - Riposo - Dir.Neg.	2.35	1900	--	--	--	--	0.50	--	--
225	spinta sismica terreno SLV	Sisma terreno - Riposo - Dir.Neg.	3.85	1900	--	--	--	--	0.50	1.00	0.00
225	Spinta sismica terreno SLD	Sisma terreno - Riposo - Dir.Neg.	3.85	1900	--	--	--	--	0.50	1.00	0.00

**POTENZIAMENTO DELL'IMPIANTO DI DEPURAZIONE E
DEL RECAPITO FINALE DI SQUINZANO (LE)
PROGETTO DEFINITIVO
Tabulati di calcolo strutturale-Filtrazione**

R.37.9

Maggio 2021

Pagina 33 di 364

Shel l	Cond.	Tipo	Ht	γ	\emptyset	c	δ	β	k0	β_m	Ag
225	Spinta sismica terreno SLD	Sisma terreno - Riposo - Dir.Pos.	3.85	1900	--	--	--	--	0.50	1.00	0.00
226	Spinta Terreno	Terreno - Riposo - Dir.Neg.	2.35	1900	--	--	--	--	0.50	--	--
226	spinta sismica terreno SLV	Sisma terreno - Riposo - Dir.Neg.	3.85	1900	--	--	--	--	0.50	1.00	0.00
226	Spinta sismica terreno SLD	Sisma terreno - Riposo - Dir.Pos.	3.85	1900	--	--	--	--	0.50	1.00	0.00
226	Spinta sismica terreno SLD	Sisma terreno - Riposo - Dir.Neg.	3.85	1900	--	--	--	--	0.50	1.00	0.00
227	Spinta Terreno	Terreno - Riposo - Dir.Pos.	2.35	1900	--	--	--	--	0.50	--	--
228	Spinta Terreno	Terreno - Riposo - Dir.Neg.	2.35	1900	--	--	--	--	0.50	--	--
228	spinta sismica terreno SLV	Sisma terreno - Riposo - Dir.Neg.	3.85	1900	--	--	--	--	0.50	1.00	0.00
228	Spinta sismica terreno SLD	Sisma terreno - Riposo - Dir.Neg.	3.85	1900	--	--	--	--	0.50	1.00	0.00
228	Spinta sismica terreno SLD	Sisma terreno - Riposo - Dir.Pos.	3.85	1900	--	--	--	--	0.50	1.00	0.00
229	Spinta Terreno	Terreno - Riposo - Dir.Neg.	2.35	1900	--	--	--	--	0.50	--	--
229	spinta sismica terreno SLV	Sisma terreno - Riposo - Dir.Neg.	3.85	1900	--	--	--	--	0.50	1.00	0.00
229	Spinta sismica terreno SLD	Sisma terreno - Riposo - Dir.Neg.	3.85	1900	--	--	--	--	0.50	1.00	0.00
229	Spinta sismica terreno SLD	Sisma terreno - Riposo - Dir.Pos.	3.85	1900	--	--	--	--	0.50	1.00	0.00
230	Spinta Terreno	Terreno - Riposo - Dir.Pos.	2.35	1900	--	--	--	--	0.50	--	--
231	Spinta Terreno	Terreno - Riposo - Dir.Pos.	2.35	1900	--	--	--	--	0.50	--	--
234	Spinta Terreno	Terreno - Riposo - Dir.Pos.	2.35	1900	--	--	--	--	0.50	--	--
235	Spinta Terreno	Terreno - Riposo - Dir.Pos.	2.35	1900	--	--	--	--	0.50	--	--
236	Spinta Terreno	Terreno - Riposo - Dir.Pos.	2.35	1900	--	--	--	--	0.50	--	--
241	Spinta Terreno	Terreno - Riposo - Dir.Neg.	2.35	1900	--	--	--	--	0.50	--	--
241	spinta sismica terreno SLV	Sisma terreno - Riposo - Dir.Neg.	3.85	1900	--	--	--	--	0.50	1.00	0.00
241	Spinta sismica terreno SLD	Sisma terreno - Riposo - Dir.Neg.	3.85	1900	--	--	--	--	0.50	1.00	0.00
241	Spinta sismica terreno SLD	Sisma terreno - Riposo - Dir.Pos.	3.85	1900	--	--	--	--	0.50	1.00	0.00
242	Spinta Terreno	Terreno - Riposo - Dir.Neg.	2.35	1900	--	--	--	--	0.50	--	--
242	spinta sismica terreno SLV	Sisma terreno - Riposo - Dir.Neg.	3.85	1900	--	--	--	--	0.50	1.00	0.00
242	Spinta sismica terreno SLD	Sisma terreno - Riposo - Dir.Neg.	3.85	1900	--	--	--	--	0.50	1.00	0.00
242	Spinta sismica terreno SLD	Sisma terreno - Riposo - Dir.Pos.	3.85	1900	--	--	--	--	0.50	1.00	0.00
243	Spinta Terreno	Terreno - Riposo - Dir.Neg.	2.35	1900	--	--	--	--	0.50	--	--
243	spinta sismica terreno SLV	Sisma terreno - Riposo - Dir.Neg.	3.85	1900	--	--	--	--	0.50	1.00	0.00
243	Spinta sismica terreno SLD	Sisma terreno - Riposo - Dir.Pos.	3.85	1900	--	--	--	--	0.50	1.00	0.00
243	Spinta sismica terreno SLD	Sisma terreno - Riposo - Dir.Neg.	3.85	1900	--	--	--	--	0.50	1.00	0.00
244	Spinta Terreno	Terreno - Riposo - Dir.Neg.	2.35	1900	--	--	--	--	0.50	--	--
244	spinta sismica terreno SLV	Sisma terreno - Riposo - Dir.Neg.	3.85	1900	--	--	--	--	0.50	1.00	0.00
244	Spinta sismica terreno SLD	Sisma terreno - Riposo - Dir.Neg.	3.85	1900	--	--	--	--	0.50	1.00	0.00
244	Spinta sismica terreno SLD	Sisma terreno - Riposo - Dir.Pos.	3.85	1900	--	--	--	--	0.50	1.00	0.00
245	Spinta Terreno	Terreno - Riposo - Dir.Pos.	2.35	1900	--	--	--	--	0.50	--	--
246	Spinta Terreno	Terreno - Riposo - Dir.Neg.	2.35	1900	--	--	--	--	0.50	--	--
246	spinta sismica terreno SLV	Sisma terreno - Riposo - Dir.Neg.	3.85	1900	--	--	--	--	0.50	1.00	0.00
246	Spinta sismica terreno SLD	Sisma terreno - Riposo - Dir.Pos.	3.85	1900	--	--	--	--	0.50	1.00	0.00
246	Spinta sismica terreno SLD	Sisma terreno - Riposo - Dir.Neg.	3.85	1900	--	--	--	--	0.50	1.00	0.00
247	Spinta Terreno	Terreno - Riposo - Dir.Neg.	2.35	1900	--	--	--	--	0.50	--	--
247	spinta sismica terreno SLV	Sisma terreno - Riposo - Dir.Neg.	3.85	1900	--	--	--	--	0.50	1.00	0.00
247	Spinta sismica terreno SLD	Sisma terreno - Riposo - Dir.Pos.	3.85	1900	--	--	--	--	0.50	1.00	0.00
247	Spinta sismica terreno SLD	Sisma terreno - Riposo - Dir.Neg.	3.85	1900	--	--	--	--	0.50	1.00	0.00
248	Spinta Terreno	Terreno - Riposo - Dir.Pos.	2.35	1900	--	--	--	--	0.50	--	--
249	Spinta Terreno	Terreno - Riposo - Dir.Neg.	2.35	1900	--	--	--	--	0.50	--	--
249	spinta sismica terreno SLV	Sisma terreno - Riposo - Dir.Neg.	3.85	1900	--	--	--	--	0.50	1.00	0.00

**POTENZIAMENTO DELL'IMPIANTO DI DEPURAZIONE E
DEL RECAPITO FINALE DI SQUINZANO (LE)
PROGETTO DEFINITIVO
Tabulati di calcolo strutturale-Filtrazione**

R.37.9

Maggio 2021

Pagina 34 di 364

Shel l	Cond.	Tipo	Ht	γ	\emptyset	c	δ	β	k0	β_m	Ag
249	Spinta sismica terreno SLD	Sisma terreno - Riposo - Dir.Neg.	3.85	1900	--	--	--	--	0.50	1.00	0.00
249	Spinta sismica terreno SLD	Sisma terreno - Riposo - Dir.Pos.	3.85	1900	--	--	--	--	0.50	1.00	0.00
250	Spinta Terreno	Terreno - Riposo - Dir.Neg.	2.35	1900	--	--	--	--	0.50	--	--
250	spinta sismica terreno SLV	Sisma terreno - Riposo - Dir.Neg.	3.85	1900	--	--	--	--	0.50	1.00	0.00
250	Spinta sismica terreno SLD	Sisma terreno - Riposo - Dir.Neg.	3.85	1900	--	--	--	--	0.50	1.00	0.00
250	Spinta sismica terreno SLD	Sisma terreno - Riposo - Dir.Pos.	3.85	1900	--	--	--	--	0.50	1.00	0.00
251	Spinta Terreno	Terreno - Riposo - Dir.Neg.	2.35	1900	--	--	--	--	0.50	--	--
251	spinta sismica terreno SLV	Sisma terreno - Riposo - Dir.Neg.	3.85	1900	--	--	--	--	0.50	1.00	0.00
251	Spinta sismica terreno SLD	Sisma terreno - Riposo - Dir.Pos.	3.85	1900	--	--	--	--	0.50	1.00	0.00
251	Spinta sismica terreno SLD	Sisma terreno - Riposo - Dir.Neg.	3.85	1900	--	--	--	--	0.50	1.00	0.00
254	Spinta Terreno	Terreno - Riposo - Dir.Pos.	2.35	1900	--	--	--	--	0.50	--	--
255	Spinta Terreno	Terreno - Riposo - Dir.Pos.	2.35	1900	--	--	--	--	0.50	--	--
255	spinta sismica terreno SLV	Sisma terreno - Riposo - Dir.Neg.	3.85	1900	--	--	--	--	0.50	1.00	0.00
255	Spinta sismica terreno SLD	Sisma terreno - Riposo - Dir.Pos.	3.85	1900	--	--	--	--	0.50	1.00	0.00
255	Spinta sismica terreno SLD	Sisma terreno - Riposo - Dir.Neg.	3.85	1900	--	--	--	--	0.50	1.00	0.00
256	Spinta Terreno	Terreno - Riposo - Dir.Neg.	2.35	1900	--	--	--	--	0.50	--	--
256	spinta sismica terreno SLV	Sisma terreno - Riposo - Dir.Neg.	3.85	1900	--	--	--	--	0.50	1.00	0.00
256	Spinta sismica terreno SLD	Sisma terreno - Riposo - Dir.Neg.	3.85	1900	--	--	--	--	0.50	1.00	0.00
256	Spinta sismica terreno SLD	Sisma terreno - Riposo - Dir.Pos.	3.85	1900	--	--	--	--	0.50	1.00	0.00
257	Spinta Terreno	Terreno - Riposo - Dir.Neg.	2.35	1900	--	--	--	--	0.50	--	--
257	spinta sismica terreno SLV	Sisma terreno - Riposo - Dir.Neg.	3.85	1900	--	--	--	--	0.50	1.00	0.00
257	Spinta sismica terreno SLD	Sisma terreno - Riposo - Dir.Pos.	3.85	1900	--	--	--	--	0.50	1.00	0.00
257	Spinta sismica terreno SLD	Sisma terreno - Riposo - Dir.Neg.	3.85	1900	--	--	--	--	0.50	1.00	0.00
258	Spinta sismica terreno SLD	Sisma terreno - Riposo - Dir.Pos.	0.55	1900	--	--	--	--	0.50	1.00	0.03
259	Spinta Terreno	Terreno - Riposo - Dir.Pos.	2.35	1900	--	--	--	--	0.50	--	--
259	spinta sismica terreno SLV	Sisma terreno - Riposo - Dir.Neg.	3.85	1900	--	--	--	--	0.50	1.00	0.00
259	Spinta sismica terreno SLD	Sisma terreno - Riposo - Dir.Pos.	3.85	1900	--	--	--	--	0.50	1.00	0.00
259	Spinta sismica terreno SLD	Sisma terreno - Riposo - Dir.Neg.	3.85	1900	--	--	--	--	0.50	1.00	0.00
260	Spinta Terreno	Terreno - Riposo - Dir.Pos.	3.55	1900	--	--	--	--	0.50	--	--
261	Spinta Terreno	Terreno - Riposo - Dir.Pos.	3.55	1900	--	--	--	--	0.50	--	--
261	spinta sismica terreno SLV	Sisma terreno - Riposo - Dir.Neg.	3.85	1900	--	--	--	--	0.50	1.00	0.00
261	Spinta sismica terreno SLD	Sisma terreno - Riposo - Dir.Neg.	3.85	1900	--	--	--	--	0.50	1.00	0.00
261	Spinta sismica terreno SLD	Sisma terreno - Riposo - Dir.Pos.	3.85	1900	--	--	--	--	0.50	1.00	0.00
263	Spinta Terreno	Terreno - Riposo - Dir.Neg.	3.55	1900	--	--	--	--	0.50	--	--
263	spinta sismica terreno SLV	Sisma terreno - Riposo - Dir.Neg.	3.85	1900	--	--	--	--	0.50	1.00	0.00
263	Spinta sismica terreno SLD	Sisma terreno - Riposo - Dir.Pos.	3.85	1900	--	--	--	--	0.50	1.00	0.00
263	Spinta sismica terreno SLD	Sisma terreno - Riposo - Dir.Neg.	3.85	1900	--	--	--	--	0.50	1.00	0.00

She ll	Cond.	Tipo	Q	Vert.1	Vert.2	Vert.3	Vert.4	Hw	γ
			t/mq	t/mq	t/mq	t/mq	t/mq	m	kg/mc
1	Peso Proprio	Peso Proprio kg	223						
1	spinta sovraccarico	Uniforme_GLOBY	-0.60						
1	spinta acqua 1	Idrostatico - Positivo						2.75	1100
2	Peso Proprio	Peso Proprio kg	275						
2	spinta sovraccarico	Uniforme_GLOBY	-0.60						
2	spinta acqua 1	Idrostatico - Positivo						2.75	1100
3	Peso Proprio	Peso Proprio kg	318						

**POTENZIAMENTO DELL'IMPIANTO DI DEPURAZIONE E
DEL RECAPITO FINALE DI SQUINZANO (LE)
PROGETTO DEFINITIVO
Tabulati di calcolo strutturale-Filtrazione**

R.37.9

Maggio 2021

Pagina 35 di 364

She 11	Cond.	Tipo	Q	Vert.1	Vert.2	Vert.3	Vert.4	Hw	γ
3	spinta sovraccarico	Uniforme_GLOBY	-0.60						
3	spinta acqua 1	Idrostatico - Positivo						2.75	1100
4	Peso Proprio	Peso Proprio kg	77						
4	spinta sovraccarico	Uniforme_GLOBY	-0.60						
4	spinta acqua 1	Idrostatico - Positivo						2.75	1100
5	Peso Proprio	Peso Proprio kg	636						
5	spinta sovraccarico	Uniforme_GLOBY	-0.60						
5	spinta acqua 1	Idrostatico - Positivo						2.75	1100
6	Peso Proprio	Peso Proprio kg	241						
6	spinta sovraccarico	Uniforme_GLOBX	-0.60						
6	spinta acqua 1	Idrostatico - Positivo						2.75	1100
7	Peso Proprio	Peso Proprio kg	370						
7	spinta sovraccarico	Uniforme_GLOBX	-0.60						
7	spinta acqua 1	Idrostatico - Positivo						2.75	1100
8	Peso Proprio	Peso Proprio kg	223						
9	Peso Proprio	Peso Proprio kg	318						
10	Peso Proprio	Peso Proprio kg	370						
11	Peso Proprio	Peso Proprio kg	241						
12	Peso Proprio	Peso Proprio kg	241						
12	spinta acqua 1	Idrostatico - Positivo						2.75	1100
12	spinta acqua 2	Idrostatico - Negativo						2.75	1100
13	Peso Proprio	Peso Proprio kg	258						
13	spinta sovraccarico	Uniforme_GLOBY	-0.60						
13	spinta acqua 1	Idrostatico - Positivo						2.75	1100
14	Peso Proprio	Peso Proprio kg	459						
14	peso acqua 1	Uniforme_GLOBZ	3.00						
14	permanente platee	Uniforme_GLOBZ	0.20						
15	Peso Proprio	Peso Proprio kg	1740						
15	peso acqua 1	Uniforme_GLOBZ	3.00						
15	permanente platee	Uniforme_GLOBZ	0.20						
16	Peso Proprio	Peso Proprio kg	1133						
16	peso acqua 1	Uniforme_GLOBZ	3.00						
16	permanente platee	Uniforme_GLOBZ	0.20						
17	Peso Proprio	Peso Proprio kg	212						
17	peso acqua 1	Uniforme_GLOBZ	3.00						
17	permanente platee	Uniforme_GLOBZ	0.20						
18	Peso Proprio	Peso Proprio kg	138						
18	peso acqua 1	Uniforme_GLOBZ	3.00						
18	permanente platee	Uniforme_GLOBZ	0.20						
19	Peso Proprio	Peso Proprio kg	870						
19	peso acqua 1	Uniforme_GLOBZ	3.00						
19	permanente platee	Uniforme_GLOBZ	0.20						
20	Peso Proprio	Peso Proprio kg	752						
20	peso acqua 1	Uniforme_GLOBZ	3.00						
20	permanente platee	Uniforme_GLOBZ	0.20						
21	Peso Proprio	Peso Proprio kg	611						
21	peso acqua 1	Uniforme_GLOBZ	3.00						
21	permanente platee	Uniforme_GLOBZ	0.20						
22	Peso Proprio	Peso Proprio kg	567						
22	peso acqua 1	Uniforme_GLOBZ	3.00						
22	permanente platee	Uniforme_GLOBZ	0.20						
23	Peso Proprio	Peso Proprio kg	490						
23	peso acqua 1	Uniforme_GLOBZ	3.00						
23	permanente platee	Uniforme_GLOBZ	0.20						
24	Peso Proprio	Peso Proprio kg	398						
24	peso acqua 1	Uniforme_GLOBZ	3.00						
24	permanente platee	Uniforme_GLOBZ	0.20						
25	Peso Proprio	Peso Proprio kg	697						
25	peso acqua 1	Uniforme_GLOBZ	3.00						

**POTENZIAMENTO DELL'IMPIANTO DI DEPURAZIONE E
DEL RECAPITO FINALE DI SQUINZANO (LE)
PROGETTO DEFINITIVO
Tabulati di calcolo strutturale-Filtrazione**

R.37.9

Maggio 2021

Pagina 36 di 364

She 11	Cond.	Tipo	Q	Vert.1	Vert.2	Vert.3	Vert.4	Hw	γ
25	permanente platee	Uniforme_GLOBZ	0.20						
26	Peso Proprio	Peso Proprio kg	858						
26	peso acqua 1	Uniforme_GLOBZ	3.00						
26	permanente platee	Uniforme_GLOBZ	0.20						
27	Peso Proprio	Peso Proprio kg	2104						
27	peso acqua 1	Uniforme_GLOBZ	3.00						
27	permanente platee	Uniforme_GLOBZ	0.20						
28	Peso Proprio	Peso Proprio kg	656						
28	peso acqua 1	Uniforme_GLOBZ	3.00						
28	permanente platee	Uniforme_GLOBZ	0.20						
29	Peso Proprio	Peso Proprio kg	1816						
29	peso acqua 1	Uniforme_GLOBZ	3.00						
29	permanente platee	Uniforme_GLOBZ	0.20						
30	Peso Proprio	Peso Proprio kg	121						
30	peso acqua 1	Uniforme_GLOBZ	3.00						
30	permanente platee	Uniforme_GLOBZ	0.20						
31	Peso Proprio	Peso Proprio kg	991						
31	peso acqua 1	Uniforme_GLOBZ	3.00						
31	permanente platee	Uniforme_GLOBZ	0.20						
32	Peso Proprio	Peso Proprio kg	700						
32	peso acqua 1	Uniforme_GLOBZ	3.00						
32	permanente platee	Uniforme_GLOBZ	0.20						
33	Peso Proprio	Peso Proprio kg	569						
33	peso acqua 1	Uniforme_GLOBZ	3.00						
33	permanente platee	Uniforme_GLOBZ	0.20						
34	Peso Proprio	Peso Proprio kg	809						
34	peso acqua 1	Uniforme_GLOBZ	3.00						
34	permanente platee	Uniforme_GLOBZ	0.20						
35	Peso Proprio	Peso Proprio kg	344						
35	spinta acqua 1	Idrostatico - Positivo						2.75	1100
35	spinta acqua 2	Idrostatico - Negativo						2.75	1100
36	Peso Proprio	Peso Proprio kg	258						
36	spinta sovraccarico	Uniforme_GLOBY	0.60						
36	spinta acqua 1	Idrostatico - Negativo						2.75	1100
37	Peso Proprio	Peso Proprio kg	223						
37	spinta sovraccarico	Uniforme_GLOBY	0.60						
37	spinta acqua 1	Idrostatico - Negativo						2.75	1100
38	Peso Proprio	Peso Proprio kg	344						
38	spinta sovraccarico	Uniforme_GLOBX	-0.60						
38	spinta acqua 1	Idrostatico - Positivo						2.75	1100
39	Peso Proprio	Peso Proprio kg	421						
39	spinta sovraccarico	Uniforme_GLOBX	-0.60						
39	spinta acqua 1	Idrostatico - Positivo						2.75	1100
40	Peso Proprio	Peso Proprio kg	675						
40	spinta sovraccarico	Uniforme_GLOBY	0.60						
40	spinta acqua 1	Idrostatico - Negativo						2.75	1100
41	Peso Proprio	Peso Proprio kg	39						
41	spinta sovraccarico	Uniforme_GLOBY	0.60						
41	spinta acqua 1	Idrostatico - Negativo						2.75	1100
42	Peso Proprio	Peso Proprio kg	344						
43	Peso Proprio	Peso Proprio kg	318						
43	spinta sovraccarico	Uniforme_GLOBY	0.60						
43	spinta acqua 1	Idrostatico - Negativo						2.75	1100
44	Peso Proprio	Peso Proprio kg	421						
45	Peso Proprio	Peso Proprio kg	275						
45	spinta sovraccarico	Uniforme_GLOBY	0.60						
45	spinta acqua 1	Idrostatico - Negativo						2.75	1100
46	Peso Proprio	Peso Proprio kg	275						

**POTENZIAMENTO DELL'IMPIANTO DI DEPURAZIONE E
DEL RECAPITO FINALE DI SQUINZANO (LE)
PROGETTO DEFINITIVO
Tabulati di calcolo strutturale-Filtrazione**

R.37.9

Maggio 2021

Pagina 37 di 364

She 11	Cond.	Tipo	Q	Vert.1	Vert.2	Vert.3	Vert.4	Hw	γ
47	Peso Proprio	Peso Proprio kg	752						
47	permanente platee	Uniforme_GLOBZ	0.20						
47	filtro	Uniforme_GLOBZ	2.00						
47	peso acqua 2	Uniforme_GLOBZ	3.00						
48	Peso Proprio	Peso Proprio kg	700						
48	permanente platee	Uniforme_GLOBZ	0.20						
48	filtro	Uniforme_GLOBZ	2.00						
48	peso acqua 2	Uniforme_GLOBZ	3.00						
49	Peso Proprio	Peso Proprio kg	490						
49	permanente platee	Uniforme_GLOBZ	0.20						
49	filtro	Uniforme_GLOBZ	2.00						
49	peso acqua 2	Uniforme_GLOBZ	3.00						
50	Peso Proprio	Peso Proprio kg	857						
50	permanente platee	Uniforme_GLOBZ	0.20						
50	filtro	Uniforme_GLOBZ	2.00						
50	peso acqua 2	Uniforme_GLOBZ	3.00						
51	Peso Proprio	Peso Proprio kg	1608						
51	permanente platee	Uniforme_GLOBZ	0.20						
51	filtro	Uniforme_GLOBZ	2.00						
51	peso acqua 2	Uniforme_GLOBZ	3.00						
52	Peso Proprio	Peso Proprio kg	1411						
52	permanente platee	Uniforme_GLOBZ	0.20						
52	filtro	Uniforme_GLOBZ	2.00						
52	peso acqua 2	Uniforme_GLOBZ	3.00						
53	Peso Proprio	Peso Proprio kg	919						
53	permanente platee	Uniforme_GLOBZ	0.20						
53	filtro	Uniforme_GLOBZ	2.00						
53	peso acqua 2	Uniforme_GLOBZ	3.00						
54	Peso Proprio	Peso Proprio kg	1313						
54	permanente platee	Uniforme_GLOBZ	0.20						
54	filtro	Uniforme_GLOBZ	2.00						
54	peso acqua 2	Uniforme_GLOBZ	3.00						
55	Peso Proprio	Peso Proprio kg	394						
55	permanente platee	Uniforme_GLOBZ	0.20						
55	filtro	Uniforme_GLOBZ	2.00						
55	peso acqua 2	Uniforme_GLOBZ	3.00						
56	Peso Proprio	Peso Proprio kg	276						
56	permanente platee	Uniforme_GLOBZ	0.20						
56	filtro	Uniforme_GLOBZ	2.00						
56	peso acqua 2	Uniforme_GLOBZ	3.00						
57	Peso Proprio	Peso Proprio kg	482						
57	permanente platee	Uniforme_GLOBZ	0.20						
57	filtro	Uniforme_GLOBZ	2.00						
57	peso acqua 2	Uniforme_GLOBZ	3.00						
58	Peso Proprio	Peso Proprio kg	423						
58	permanente platee	Uniforme_GLOBZ	0.20						
58	filtro	Uniforme_GLOBZ	2.00						
58	peso acqua 2	Uniforme_GLOBZ	3.00						
59	Peso Proprio	Peso Proprio kg	705						
59	peso acqua 1	Uniforme_GLOBZ	3.00						
60	Peso Proprio	Peso Proprio kg	804						
60	peso acqua 1	Uniforme_GLOBZ	3.00						
61	Peso Proprio	Peso Proprio kg	361						
61	spinta acqua 2	Idrostatico - Positivo						2.75	1100
62	Peso Proprio	Peso Proprio kg	361						
62	spinta acqua 2	Idrostatico - Negativo						2.75	1100
63	Peso Proprio	Peso Proprio kg	516						
63	spinta sovraccarico	Uniforme_GLOBY	0.60						
63	spinta acqua 2	Idrostatico - Negativo						2.75	1100
64	Peso Proprio	Peso Proprio kg	394						
64	permanente platee	Uniforme_GLOBZ	0.20						
64	filtro	Uniforme_GLOBZ	2.00						

**POTENZIAMENTO DELL'IMPIANTO DI DEPURAZIONE E
DEL RECAPITO FINALE DI SQUINZANO (LE)
PROGETTO DEFINITIVO
Tabulati di calcolo strutturale-Filtrazione**

R.37.9

Maggio 2021

Pagina 38 di 364

She 11	Cond.	Tipo	Q	Vert.1	Vert.2	Vert.3	Vert.4	Hw	γ
64	peso acqua 2	Uniforme_GLOBZ	3.00						
65	Peso Proprio	Peso Proprio kg	700						
65	permanente platee	Uniforme_GLOBZ	0.20						
65	filtro	Uniforme_GLOBZ	2.00						
65	peso acqua 2	Uniforme_GLOBZ	3.00						
66	Peso Proprio	Peso Proprio kg	1312						
66	permanente platee	Uniforme_GLOBZ	0.20						
66	filtro	Uniforme_GLOBZ	2.00						
66	peso acqua 2	Uniforme_GLOBZ	3.00						
67	Peso Proprio	Peso Proprio kg	1378						
67	permanente platee	Uniforme_GLOBZ	0.20						
67	peso acqua 2	Uniforme_GLOBZ	3.00						
68	Peso Proprio	Peso Proprio kg	155						
68	spinta sovraccarico	Uniforme_GLOBY	0.60						
68	spinta acqua 2	Idrostatico - Negativo						2.75	1100
69	Peso Proprio	Peso Proprio kg	275						
69	spinta sovraccarico	Uniforme_GLOBY	0.60						
69	spinta acqua 2	Idrostatico - Negativo						2.75	1100
70	Peso Proprio	Peso Proprio kg	516						
71	Peso Proprio	Peso Proprio kg	344						
71	spinta sovraccarico	Uniforme_GLOBX	0.60						
71	spinta acqua 2	Idrostatico - Positivo						2.75	1100
72	Peso Proprio	Peso Proprio kg	344						
72	spinta acqua 2	Idrostatico - Negativo						2.75	1100
73	Peso Proprio	Peso Proprio kg	275						
73	spinta sovraccarico	Uniforme_GLOBY	-0.60						
73	spinta acqua 1	Idrostatico - Positivo						2.75	1100
74	Peso Proprio	Peso Proprio kg	241						
75	Peso Proprio	Peso Proprio kg	370						
76	Peso Proprio	Peso Proprio kg	318						
76	spinta sovraccarico	Uniforme_GLOBY	-0.60						
76	spinta acqua 1	Idrostatico - Positivo						2.75	1100
77	Peso Proprio	Peso Proprio kg	223						
77	spinta sovraccarico	Uniforme_GLOBY	-0.60						
77	spinta acqua 1	Idrostatico - Positivo						2.75	1100
78	Peso Proprio	Peso Proprio kg	636						
78	spinta sovraccarico	Uniforme_GLOBY	-0.60						
78	spinta acqua 1	Idrostatico - Positivo						2.75	1100
79	Peso Proprio	Peso Proprio kg	77						
79	spinta sovraccarico	Uniforme_GLOBY	-0.60						
79	spinta acqua 1	Idrostatico - Positivo						2.75	1100
80	Peso Proprio	Peso Proprio kg	241						
80	spinta sovraccarico	Uniforme_GLOBX	-0.60						
80	spinta acqua 1	Idrostatico - Positivo						2.75	1100
81	Peso Proprio	Peso Proprio kg	223						
82	Peso Proprio	Peso Proprio kg	370						
82	spinta sovraccarico	Uniforme_GLOBX	-0.60						
82	spinta acqua 1	Idrostatico - Positivo						2.75	1100
83	Peso Proprio	Peso Proprio kg	275						
84	Peso Proprio	Peso Proprio kg	318						
85	Peso Proprio	Peso Proprio kg	258						
85	spinta sovraccarico	Uniforme_GLOBY	-0.60						
85	spinta acqua 1	Idrostatico - Positivo						2.75	1100
86	Peso Proprio	Peso Proprio kg	241						
86	spinta acqua 1	Idrostatico - Positivo						2.75	1100
86	spinta acqua 2	Idrostatico - Negativo						2.75	1100
87	Peso Proprio	Peso Proprio kg	344						
87	spinta acqua 1	Idrostatico - Positivo						2.75	1100
87	spinta acqua 2	Idrostatico - Negativo						2.75	1100
88	Peso Proprio	Peso Proprio kg	258						
88	spinta sovraccarico	Uniforme_GLOBY	0.60						

**POTENZIAMENTO DELL'IMPIANTO DI DEPURAZIONE E
DEL RECAPITO FINALE DI SQUINZANO (LE)
PROGETTO DEFINITIVO
Tabulati di calcolo strutturale-Filtrazione**

R.37.9

Maggio 2021

Pagina 39 di 364

She ll	Cond.	Tipo	Q	Vert.1	Vert.2	Vert.3	Vert.4	Hw	γ
88	spinta acqua 1	Idrostatico - Negativo						2.75	1100
89	Peso Proprio	Peso Proprio kg	421						
90	Peso Proprio	Peso Proprio kg	344						
91	Peso Proprio	Peso Proprio kg	421						
91	spinta sovraccarico	Uniforme_GLOBX	-0.60						
91	spinta acqua 1	Idrostatico - Positivo						2.75	1100
92	Peso Proprio	Peso Proprio kg	223						
92	spinta sovraccarico	Uniforme_GLOBY	0.60						
92	spinta acqua 1	Idrostatico - Negativo						2.75	1100
93	Peso Proprio	Peso Proprio kg	77						
93	spinta sovraccarico	Uniforme_GLOBY	0.60						
93	spinta acqua 1	Idrostatico - Negativo						2.75	1100
94	Peso Proprio	Peso Proprio kg	344						
94	spinta sovraccarico	Uniforme_GLOBX	-0.60						
94	spinta acqua 1	Idrostatico - Positivo						2.75	1100
95	Peso Proprio	Peso Proprio kg	275						
95	spinta sovraccarico	Uniforme_GLOBY	0.60						
95	spinta acqua 1	Idrostatico - Negativo						2.75	1100
96	Peso Proprio	Peso Proprio kg	318						
96	spinta sovraccarico	Uniforme_GLOBY	0.60						
96	spinta acqua 1	Idrostatico - Negativo						2.75	1100
97	Peso Proprio	Peso Proprio kg	636						
97	spinta sovraccarico	Uniforme_GLOBY	0.60						
97	spinta acqua 1	Idrostatico - Negativo						2.75	1100
98	Peso Proprio	Peso Proprio kg	370						
98	spinta acqua 1	Idrostatico - Positivo						2.75	1100
98	spinta acqua 2	Idrostatico - Negativo						2.75	1100
99	Peso Proprio	Peso Proprio kg	421						
99	spinta acqua 1	Idrostatico - Positivo						2.75	1100
99	spinta acqua 2	Idrostatico - Negativo						2.75	1100
100	Peso Proprio	Peso Proprio kg	421						
100	spinta sovraccarico	Uniforme_GLOBX	0.60						
100	spinta acqua 2	Idrostatico - Positivo						2.75	1100
101	Peso Proprio	Peso Proprio kg	344						
101	spinta sovraccarico	Uniforme_GLOBX	0.60						
101	spinta acqua 2	Idrostatico - Positivo						2.75	1100
102	Peso Proprio	Peso Proprio kg	241						
102	spinta sovraccarico	Uniforme_GLOBX	0.60						
102	spinta acqua 2	Idrostatico - Positivo						2.75	1100
103	Peso Proprio	Peso Proprio kg	275						
104	Peso Proprio	Peso Proprio kg	370						
104	spinta sovraccarico	Uniforme_GLOBX	0.60						
104	spinta acqua 2	Idrostatico - Positivo						2.75	1100
105	Peso Proprio	Peso Proprio kg	516						
106	Peso Proprio	Peso Proprio kg	155						
106	spinta sovraccarico	Uniforme_GLOBY	-0.60						
107	Peso Proprio	Peso Proprio kg	276						
107	permanente platee	Uniforme_GLOBZ	0.20						
107	peso acqua 2	Uniforme_GLOBZ	2.00						
108	Peso Proprio	Peso Proprio kg	919						
108	permanente platee	Uniforme_GLOBZ	0.20						
108	peso acqua 2	Uniforme_GLOBZ	2.00						
109	Peso Proprio	Peso Proprio kg	490						
109	permanente platee	Uniforme_GLOBZ	0.20						
109	peso acqua 2	Uniforme_GLOBZ	2.00						
110	Peso Proprio	Peso Proprio kg	532						
110	permanente platee	Uniforme_GLOBZ	0.20						
110	peso acqua 2	Uniforme_GLOBZ	2.00						
111	Peso Proprio	Peso Proprio kg	1772						

**POTENZIAMENTO DELL'IMPIANTO DI DEPURAZIONE E
DEL RECAPITO FINALE DI SQUINZANO (LE)
PROGETTO DEFINITIVO
Tabulati di calcolo strutturale-Filtrazione**

R.37.9

Maggio 2021

Pagina 40 di 364

She 11	Cond.	Tipo	Q	Vert.1	Vert.2	Vert.3	Vert.4	Hw	γ
111	permanente platee	Uniforme_GLOBZ	0.20						
111	peso acqua 2	Uniforme_GLOBZ	2.00						
112	Peso Proprio	Peso Proprio kg	945						
112	permanente platee	Uniforme_GLOBZ	0.20						
112	peso acqua 2	Uniforme_GLOBZ	2.00						
113	Peso Proprio	Peso Proprio kg	825						
113	spinta sovraccarico	Uniforme_GLOBY	0.60						
113	spinta acqua 2	Idrostatico - Negativo						2.75	1100
114	Peso Proprio	Peso Proprio kg	1031						
114	spinta sovraccarico	Uniforme_GLOBX	0.60						
114	spinta acqua 2	Idrostatico - Positivo						2.75	1100
115	Peso Proprio	Peso Proprio kg	464						
115	spinta sovraccarico	Uniforme_GLOBY	0.60						
115	spinta acqua 2	Idrostatico - Negativo						2.75	1100
116	Peso Proprio	Peso Proprio kg	1547						
117	Peso Proprio	Peso Proprio kg	1547						
117	spinta sovraccarico	Uniforme_GLOBY	0.60						
117	spinta acqua 2	Idrostatico - Negativo						2.75	1100
118	Peso Proprio	Peso Proprio kg	1083						
118	spinta acqua 2	Idrostatico - Positivo						2.75	1100
119	Peso Proprio	Peso Proprio kg	1083						
119	spinta acqua 2	Idrostatico - Negativo						2.75	1100
120	Peso Proprio	Peso Proprio kg	1031						
120	spinta acqua 2	Idrostatico - Negativo						2.75	1100
121	Peso Proprio	Peso Proprio kg	954						
122	Peso Proprio	Peso Proprio kg	825						
123	Peso Proprio	Peso Proprio kg	670						
123	spinta sovraccarico	Uniforme_GLOBY	-0.60						
123	spinta acqua 1	Idrostatico - Positivo						2.75	1100
124	Peso Proprio	Peso Proprio kg	1109						
125	Peso Proprio	Peso Proprio kg	954						
125	spinta sovraccarico	Uniforme_GLOBY	-0.60						
125	spinta acqua 1	Idrostatico - Positivo						2.75	1100
126	Peso Proprio	Peso Proprio kg	1908						
126	spinta sovraccarico	Uniforme_GLOBY	-0.60						
126	spinta acqua 1	Idrostatico - Positivo						2.75	1100
127	Peso Proprio	Peso Proprio kg	232						
127	spinta sovraccarico	Uniforme_GLOBY	-0.60						
127	spinta acqua 1	Idrostatico - Positivo						2.75	1100
128	Peso Proprio	Peso Proprio kg	825						
128	spinta sovraccarico	Uniforme_GLOBY	-0.60						
128	spinta acqua 1	Idrostatico - Positivo						2.75	1100
129	Peso Proprio	Peso Proprio kg	722						
130	Peso Proprio	Peso Proprio kg	670						
131	Peso Proprio	Peso Proprio kg	722						
131	spinta sovraccarico	Uniforme_GLOBX	-0.60						
131	spinta acqua 1	Idrostatico - Positivo						2.75	1100
132	Peso Proprio	Peso Proprio kg	1109						
132	spinta sovraccarico	Uniforme_GLOBX	-0.60						
132	spinta acqua 1	Idrostatico - Positivo						2.75	1100
133	Peso Proprio	Peso Proprio kg	722						
133	spinta acqua 1	Idrostatico - Positivo						2.75	1100
133	spinta acqua 2	Idrostatico - Negativo						2.75	1100
134	Peso Proprio	Peso Proprio kg	773						
134	spinta sovraccarico	Uniforme_GLOBY	-0.60						
134	spinta acqua 1	Idrostatico - Positivo						2.75	1100
135	Peso Proprio	Peso Proprio kg	164						
135	spinta acqua 1	Idrostatico - Positivo						2.75	1900
135	spinta acqua 2	Idrostatico - Positivo						2.45	1100
136	Peso Proprio	Peso Proprio kg	1263						
137	Peso Proprio	Peso Proprio kg	670						

**POTENZIAMENTO DELL'IMPIANTO DI DEPURAZIONE E
DEL RECAPITO FINALE DI SQUINZANO (LE)
PROGETTO DEFINITIVO
Tabulati di calcolo strutturale-Filtrazione**

R.37.9

Maggio 2021

Pagina 41 di 364

She ll	Cond.	Tipo	Q	Vert.1	Vert.2	Vert.3	Vert.4	Hw	γ
137	spinta sovraccarico	Uniforme_GLOBY	0.60						
137	spinta acqua 1	Idrostatico - Negativo						2.75	1100
138	Peso Proprio	Peso Proprio kg	1031						
138	spinta acqua 1	Idrostatico - Positivo						2.75	1100
138	spinta acqua 2	Idrostatico - Negativo						2.75	1100
139	Peso Proprio	Peso Proprio kg	232						
139	spinta sovraccarico	Uniforme_GLOBY	0.60						
139	spinta acqua 1	Idrostatico - Negativo						2.75	1100
140	Peso Proprio	Peso Proprio kg	1908						
140	spinta sovraccarico	Uniforme_GLOBY	0.60						
140	spinta acqua 1	Idrostatico - Negativo						2.75	1100
141	Peso Proprio	Peso Proprio kg	954						
141	spinta sovraccarico	Uniforme_GLOBY	0.60						
141	spinta acqua 1	Idrostatico - Negativo						2.75	1100
142	Peso Proprio	Peso Proprio kg	1031						
143	Peso Proprio	Peso Proprio kg	825						
143	spinta sovraccarico	Uniforme_GLOBY	0.60						
143	spinta acqua 1	Idrostatico - Negativo						2.75	1100
144	Peso Proprio	Peso Proprio kg	1031						
144	spinta sovraccarico	Uniforme_GLOBX	-0.60						
144	spinta acqua 1	Idrostatico - Positivo						2.75	1100
145	Peso Proprio	Peso Proprio kg	1263						
145	spinta sovraccarico	Uniforme_GLOBX	-0.60						
145	spinta acqua 1	Idrostatico - Positivo						2.75	1100
146	Peso Proprio	Peso Proprio kg	164						
146	spinta acqua 1	Idrostatico - Positivo						2.45	1100
146	spinta acqua 1	Idrostatico - Negativo						2.75	1900
146	spinta acqua 2	Idrostatico - Negativo						2.45	1100
147	Peso Proprio	Peso Proprio kg	773						
147	spinta sovraccarico	Uniforme_GLOBY	0.60						
147	spinta acqua 1	Idrostatico - Negativo						2.75	1100
148	Peso Proprio	Peso Proprio kg	94						
148	spinta acqua 2	Idrostatico - Positivo						2.45	1100
148	spinta acqua 2	Idrostatico - Positivo						2.65	1100
149	Peso Proprio	Peso Proprio kg	87						
149	spinta acqua 1	Idrostatico - Negativo						2.75	1900
149	spinta acqua 1	Idrostatico - Positivo						2.65	1100
149	spinta acqua 2	Idrostatico - Negativo						2.65	1100
150	Peso Proprio	Peso Proprio kg	21						
150	spinta acqua 1	Idrostatico - Positivo						2.45	1100
150	spinta acqua 1	Idrostatico - Negativo						2.75	1900
150	spinta acqua 2	Idrostatico - Negativo						2.45	1100
151	Peso Proprio	Peso Proprio kg	289						
151	spinta acqua 1	Idrostatico - Negativo						2.75	1900
151	spinta acqua 1	Idrostatico - Positivo						2.45	1100
151	spinta acqua 2	Idrostatico - Negativo						2.45	1100
152	Peso Proprio	Peso Proprio kg	75						
152	spinta acqua 1	Idrostatico - Positivo						2.65	1100
152	spinta acqua 1	Idrostatico - Negativo						2.75	1900
152	spinta acqua 2	Idrostatico - Negativo						2.65	1100
153	Peso Proprio	Peso Proprio kg	61						
153	spinta acqua 1	Idrostatico - Negativo						2.75	1900
153	spinta acqua 1	Idrostatico - Positivo						2.65	1100
153	spinta acqua 2	Idrostatico - Negativo						2.65	1100
154	Peso Proprio	Peso Proprio kg	94						
154	spinta acqua 1	Idrostatico - Positivo						2.75	1900
154	spinta acqua 2	Idrostatico - Positivo						2.65	1100
155	Peso Proprio	Peso Proprio kg	115						
155	spinta acqua 2	Idrostatico - Positivo						2.65	1100
155	spinta acqua 2	Idrostatico - Positivo						2.45	1100
156	Peso Proprio	Peso Proprio kg	115						
156	spinta acqua 1	Idrostatico - Positivo						2.75	1900
156	spinta acqua 2	Idrostatico - Positivo						2.65	1100
157	Peso Proprio	Peso Proprio kg	235						
157	spinta acqua 1	Idrostatico - Positivo						2.75	1900
157	spinta acqua 2	Idrostatico - Positivo						2.65	1100
157	spinta acqua 2	Idrostatico - Positivo						2.45	1100

**POTENZIAMENTO DELL'IMPIANTO DI DEPURAZIONE E
DEL RECAPITO FINALE DI SQUINZANO (LE)
PROGETTO DEFINITIVO
Tabulati di calcolo strutturale-Filtrazione**

R.37.9

Maggio 2021

Pagina 42 di 364

She ll	Cond.	Tipo	Q	Vert.1	Vert.2	Vert.3	Vert.4	Hw	γ
157	spinta acqua 2	Idrostatico - Negativo						2.75	1900
158	Peso Proprio	Peso Proprio kg	1109						
158	spinta acqua 1	Idrostatico - Positivo						2.75	1100
158	spinta acqua 2	Idrostatico - Negativo						2.75	1100
159	Peso Proprio	Peso Proprio kg	153						
159	spinta acqua 1	Idrostatico - Positivo						2.75	1900
159	spinta acqua 2	Idrostatico - Positivo						2.65	1100
159	spinta acqua 2	Idrostatico - Positivo						2.45	1100
159	spinta acqua 2	Idrostatico - Negativo						2.75	1900
160	Peso Proprio	Peso Proprio kg	268						
160	spinta acqua 1	Idrostatico - Positivo						2.75	1900
160	spinta acqua 2	Idrostatico - Positivo						2.65	1100
160	spinta acqua 2	Idrostatico - Positivo						2.45	1100
160	spinta acqua 2	Idrostatico - Negativo						2.75	1900
161	Peso Proprio	Peso Proprio kg	1263						
161	spinta acqua 1	Idrostatico - Positivo						2.75	1100
161	spinta acqua 2	Idrostatico - Negativo						2.75	1100
162	Peso Proprio	Peso Proprio kg	219						
162	spinta acqua 1	Idrostatico - Positivo						2.75	1900
162	spinta acqua 2	Idrostatico - Negativo						2.75	1900
162	spinta acqua 2	Idrostatico - Positivo						2.45	1100
162	spinta acqua 2	Idrostatico - Positivo						2.65	1100
163	Peso Proprio	Peso Proprio kg	722						
163	spinta sovraccarico	Uniforme_GLOBX	0.60						
163	spinta acqua 2	Idrostatico - Positivo						2.75	1100
164	Peso Proprio	Peso Proprio kg	1109						
164	spinta sovraccarico	Uniforme_GLOBX	0.60						
164	spinta acqua 2	Idrostatico - Positivo						2.75	1100
165	Peso Proprio	Peso Proprio kg	175						
165	spinta acqua 2	Idrostatico - Negativo						1.35	1100
166	Peso Proprio	Peso Proprio kg	825						
167	Peso Proprio	Peso Proprio kg	219						
167	spinta acqua 2	Idrostatico - Negativo						1.35	1100
167	spinta acqua 2	Idrostatico - Positivo						2.75	1900
167	spinta acqua 2	Idrostatico - Negativo						1.35	1100
168	Peso Proprio	Peso Proprio kg	268						
168	spinta acqua 2	Idrostatico - Positivo						2.75	1900
168	spinta acqua 2	Idrostatico - Negativo						1.35	1100
168	spinta acqua 2	Idrostatico - Negativo						1.35	1100
169	Peso Proprio	Peso Proprio kg	1031						
169	spinta sovraccarico	Uniforme_GLOBX	0.60						
169	spinta acqua 2	Idrostatico - Positivo						2.75	1100
170	Peso Proprio	Peso Proprio kg	1263						
170	spinta sovraccarico	Uniforme_GLOBX	0.60						
170	spinta acqua 2	Idrostatico - Positivo						2.75	1100
171	Peso Proprio	Peso Proprio kg	235						
171	spinta acqua 2	Idrostatico - Negativo						1.35	1100
171	spinta acqua 2	Idrostatico - Positivo						2.75	1900
171	spinta acqua 2	Idrostatico - Negativo						1.35	1100
172	Peso Proprio	Peso Proprio kg	153						
172	spinta acqua 2	Idrostatico - Positivo						2.75	1900
172	spinta acqua 2	Idrostatico - Negativo						1.35	1100
172	spinta acqua 2	Idrostatico - Negativo						1.35	1100
173	Peso Proprio	Peso Proprio kg	1547						
174	Peso Proprio	Peso Proprio kg	328						
174	spinta acqua 2	Idrostatico - Negativo						1.35	1100
175	Peso Proprio	Peso Proprio kg	464						
175	spinta sovraccarico	Uniforme_GLOBY	-0.60						
176	Peso Proprio	Peso Proprio kg	98						
176	spinta acqua 2	Idrostatico - Negativo						1.35	1100
177	Peso Proprio	Peso Proprio kg	722						
177	spinta sovraccarico	Uniforme_GLOBX	-0.60						
177	spinta acqua 2	Idrostatico - Negativo						2.75	1100
178	Peso Proprio	Peso Proprio kg	153						
178	spinta acqua 2	Idrostatico - Positivo						2.45	1100
178	spinta acqua 2	Idrostatico - Negativo						2.75	1900
178	spinta acqua 2	Idrostatico - Positivo						2.65	1100
179	Peso Proprio	Peso Proprio kg	722						

**POTENZIAMENTO DELL'IMPIANTO DI DEPURAZIONE E
DEL RECAPITO FINALE DI SQUINZANO (LE)
PROGETTO DEFINITIVO
Tabulati di calcolo strutturale-Filtrazione**

R.37.9

Maggio 2021

Pagina 43 di 364

She 11	Cond.	Tipo	Q	Vert.1	Vert.2	Vert.3	Vert.4	Hw	γ
179	spinta sovraccarico	Uniforme_GLOBX	0.60						
179	spinta acqua 2	Idrostatico - Positivo						2.75	1100
180	Peso Proprio	Peso Proprio kg	660						
181	Peso Proprio	Peso Proprio kg	153						
181	spinta acqua 2	Idrostatico - Positivo						2.75	1900
181	spinta acqua 2	Idrostatico - Negativo						1.35	1100
181	spinta acqua 2	Idrostatico - Negativo						1.35	1100
182	Peso Proprio	Peso Proprio kg	1237						
183	Peso Proprio	Peso Proprio kg	371						
184	Peso Proprio	Peso Proprio kg	1392						
184	spinta sovraccarico	Uniforme_GLOBX	-0.60						
184	spinta acqua 2	Idrostatico - Negativo						2.75	1100
185	Peso Proprio	Peso Proprio kg	1547						
185	spinta sovraccarico	Uniforme_GLOBY	-0.60						
185	spinta acqua 2	Idrostatico - Positivo						2.75	1100
186	Peso Proprio	Peso Proprio kg	825						
186	spinta sovraccarico	Uniforme_GLOBY	-0.60						
186	spinta acqua 2	Idrostatico - Positivo						2.75	1100
187	Peso Proprio	Peso Proprio kg	295						
187	spinta acqua 2	Idrostatico - Negativo						1.35	1100
187	spinta acqua 2	Idrostatico - Negativo						1.35	1100
188	Peso Proprio	Peso Proprio kg	175						
188	spinta acqua 2	Idrostatico - Positivo						2.75	1900
188	spinta acqua 2	Idrostatico - Negativo						1.35	1100
189	Peso Proprio	Peso Proprio kg	295						
189	spinta acqua 2	Idrostatico - Negativo						2.75	1900
189	spinta acqua 2	Idrostatico - Positivo						2.65	1100
189	spinta acqua 2	Idrostatico - Positivo						2.45	1100
190	Peso Proprio	Peso Proprio kg	1392						
190	spinta sovraccarico	Uniforme_GLOBX	0.60						
191	Peso Proprio	Peso Proprio kg	328						
191	spinta acqua 2	Idrostatico - Negativo						1.35	1100
191	spinta acqua 2	Idrostatico - Positivo						2.75	1900
192	Peso Proprio	Peso Proprio kg	464						
192	spinta sovraccarico	Uniforme_GLOBY	-0.60						
192	spinta acqua 2	Idrostatico - Positivo						2.75	1100
193	Peso Proprio	Peso Proprio kg	98						
193	spinta acqua 2	Idrostatico - Positivo						2.75	1900
193	spinta acqua 2	Idrostatico - Negativo						1.35	1100
194	Peso Proprio	Peso Proprio kg	175						
194	spinta acqua 1	Idrostatico - Positivo						1.35	1100
194	spinta acqua 2	Idrostatico - Negativo						2.75	1900
194	spinta acqua 2	Idrostatico - Negativo						1.35	1100
195	Peso Proprio	Peso Proprio kg	219						
195	spinta acqua 2	Idrostatico - Negativo						1.35	1100
195	spinta acqua 2	Idrostatico - Negativo						1.35	1100
195	spinta acqua 2	Idrostatico - Positivo						2.75	1900
196	Peso Proprio	Peso Proprio kg	98						
196	spinta acqua 1	Idrostatico - Positivo						1.35	1100
196	spinta acqua 2	Idrostatico - Negativo						1.35	1100
196	spinta acqua 2	Idrostatico - Negativo						2.75	1900
197	Peso Proprio	Peso Proprio kg	328						
197	spinta acqua 1	Idrostatico - Positivo						1.35	1100
197	spinta acqua 2	Idrostatico - Negativo						1.35	1100
198	Peso Proprio	Peso Proprio kg	328						
198	spinta acqua 1	Idrostatico - Positivo						1.35	1100
198	spinta acqua 2	Idrostatico - Negativo						1.35	1100
198	spinta acqua 2	Idrostatico - Negativo						2.75	1900
199	Peso Proprio	Peso Proprio kg	230						
199	spinta acqua 2	Idrostatico - Positivo						2.75	1900
199	spinta acqua 2	Idrostatico - Negativo						1.35	1100
199	spinta acqua 2	Idrostatico - Negativo						1.35	1100
200	Peso Proprio	Peso Proprio kg	230						
200	spinta acqua 2	Idrostatico - Negativo						1.35	1100
200	spinta acqua 2	Idrostatico - Negativo						2.75	1900
200	spinta acqua 2	Idrostatico - Negativo						1.35	1100
201	Peso Proprio	Peso Proprio kg	219						
201	spinta acqua 2	Idrostatico - Negativo						1.35	1100
201	spinta acqua 2	Idrostatico - Negativo						1.35	1100

**POTENZIAMENTO DELL'IMPIANTO DI DEPURAZIONE E
DEL RECAPITO FINALE DI SQUINZANO (LE)
PROGETTO DEFINITIVO
Tabulati di calcolo strutturale-Filtrazione**

R.37.9

Maggio 2021

Pagina 44 di 364

She 11	Cond.	Tipo	Q	Vert.1	Vert.2	Vert.3	Vert.4	Hw	γ
201	spinta acqua 2	Idrostatico - Negativo						2.75	1900
202	Peso Proprio	Peso Proprio kg	87						
202	spinta acqua 1	Idrostatico - Positivo						2.65	1100
202	spinta acqua 2	Idrostatico - Negativo						2.65	1100
203	Peso Proprio	Peso Proprio kg	61						
203	spinta acqua 1	Idrostatico - Positivo						2.75	1900
203	spinta acqua 2	Idrostatico - Positivo						2.65	1100
204	Peso Proprio	Peso Proprio kg	87						
204	spinta acqua 1	Idrostatico - Positivo						2.75	1900
204	spinta acqua 2	Idrostatico - Positivo						2.65	1100
205	Peso Proprio	Peso Proprio kg	75						
205	spinta acqua 1	Idrostatico - Positivo						2.65	1100
205	spinta acqua 2	Idrostatico - Negativo						2.65	1100
206	Peso Proprio	Peso Proprio kg	101						
206	spinta acqua 2	Idrostatico - Positivo						2.65	1100
206	spinta acqua 2	Idrostatico - Positivo						2.45	1100
207	Peso Proprio	Peso Proprio kg	289						
207	spinta acqua 1	Idrostatico - Positivo						2.75	1900
207	spinta acqua 2	Idrostatico - Positivo						2.45	1100
208	Peso Proprio	Peso Proprio kg	61						
208	spinta acqua 1	Idrostatico - Positivo						2.65	1100
208	spinta acqua 2	Idrostatico - Negativo						2.65	1100
209	Peso Proprio	Peso Proprio kg	21						
209	spinta acqua 1	Idrostatico - Positivo						2.75	1900
209	spinta acqua 2	Idrostatico - Positivo						2.45	1100
210	Peso Proprio	Peso Proprio kg	66						
210	spinta acqua 2	Idrostatico - Positivo						2.65	1100
210	spinta acqua 2	Idrostatico - Positivo						2.45	1100
211	Peso Proprio	Peso Proprio kg	75						
211	spinta acqua 1	Idrostatico - Positivo						2.75	1900
211	spinta acqua 2	Idrostatico - Positivo						2.65	1100
212	Peso Proprio	Peso Proprio kg	101						
212	spinta acqua 1	Idrostatico - Positivo						2.75	1900
212	spinta acqua 2	Idrostatico - Positivo						2.65	1100
213	Peso Proprio	Peso Proprio kg	66						
213	spinta acqua 1	Idrostatico - Positivo						2.75	1900
213	spinta acqua 2	Idrostatico - Positivo						2.65	1100
214	Peso Proprio	Peso Proprio kg	325						
214	spinta acqua 1	Idrostatico - Positivo						2.75	1900
214	spinta acqua 2	Idrostatico - Positivo						2.65	1100
215	Peso Proprio	Peso Proprio kg	437						
215	spinta acqua 1	Idrostatico - Positivo						2.75	1900
215	spinta acqua 2	Idrostatico - Positivo						2.65	1100
216	Peso Proprio	Peso Proprio kg	284						
216	spinta acqua 1	Idrostatico - Positivo						2.75	1900
216	spinta acqua 2	Idrostatico - Positivo						2.65	1100
217	Peso Proprio	Peso Proprio kg	376						
217	spinta acqua 1	Idrostatico - Negativo						2.65	1100
217	spinta acqua 2	Idrostatico - Positivo						2.65	1100
218	Peso Proprio	Peso Proprio kg	376						
218	spinta acqua 1	Idrostatico - Positivo						2.75	1900
218	spinta acqua 2	Idrostatico - Positivo						2.65	1100
219	Peso Proprio	Peso Proprio kg	264						
219	spinta acqua 1	Idrostatico - Positivo						2.75	1900
219	spinta acqua 2	Idrostatico - Positivo						2.65	1100
220	Peso Proprio	Peso Proprio kg	636						
220	spinta acqua 1	Idrostatico - Positivo						2.75	1900
220	spinta acqua 2	Idrostatico - Positivo						2.45	1100
221	Peso Proprio	Peso Proprio kg	437						
221	spinta acqua 2	Idrostatico - Positivo						2.65	1100
221	spinta acqua 2	Idrostatico - Positivo						2.45	1100
222	Peso Proprio	Peso Proprio kg	325						
222	spinta acqua 1	Idrostatico - Negativo						2.65	1100
222	spinta acqua 2	Idrostatico - Positivo						2.65	1100
223	Peso Proprio	Peso Proprio kg	284						
223	spinta acqua 2	Idrostatico - Positivo						2.45	1100
223	spinta acqua 2	Idrostatico - Positivo						2.65	1100
224	Peso Proprio	Peso Proprio kg	264						
224	spinta acqua 1	Idrostatico - Negativo						2.65	1100
224	spinta acqua 2	Idrostatico - Positivo						2.65	1100
225	Peso Proprio	Peso Proprio kg	91						
225	spinta acqua 1	Idrostatico - Positivo						2.75	1900
225	spinta acqua 2	Idrostatico - Positivo						2.45	1100
226	Peso Proprio	Peso Proprio kg	211						
226	spinta acqua 1	Idrostatico - Positivo						2.75	1900

**POTENZIAMENTO DELL'IMPIANTO DI DEPURAZIONE E
DEL RECAPITO FINALE DI SQUINZANO (LE)
PROGETTO DEFINITIVO
Tabulati di calcolo strutturale-Filtrazione**

R.37.9

Maggio 2021

Pagina 45 di 364

She 11	Cond.	Tipo	Q	Vert.1	Vert.2	Vert.3	Vert.4	Hw	γ
226	spinta acqua 2	Idrostatico - Positivo						2.45	1100
227	Peso Proprio	Peso Proprio kg	376						
227	spinta acqua 1	Idrostatico - Negativo						2.75	1900
227	spinta acqua 1	Idrostatico - Negativo						2.65	1100
227	spinta acqua 2	Idrostatico - Positivo						2.65	1100
228	Peso Proprio	Peso Proprio kg	406						
228	spinta acqua 1	Idrostatico - Positivo						2.75	1900
228	spinta acqua 2	Idrostatico - Positivo						2.65	1100
229	Peso Proprio	Peso Proprio kg	498						
229	spinta acqua 1	Idrostatico - Positivo						2.75	1900
229	spinta acqua 2	Idrostatico - Positivo						2.65	1100
230	Peso Proprio	Peso Proprio kg	325						
230	spinta acqua 1	Idrostatico - Negativo						2.75	1900
230	spinta acqua 1	Idrostatico - Negativo						2.65	1100
230	spinta acqua 2	Idrostatico - Positivo						2.65	1100
231	Peso Proprio	Peso Proprio kg	636						
231	spinta acqua 1	Idrostatico - Negativo						2.75	1900
231	spinta acqua 1	Idrostatico - Positivo						2.45	1100
231	spinta acqua 2	Idrostatico - Negativo						2.45	1100
232	Peso Proprio	Peso Proprio kg	406						
232	spinta acqua 2	Idrostatico - Positivo						2.45	1100
232	spinta acqua 2	Idrostatico - Positivo						2.65	1100
233	Peso Proprio	Peso Proprio kg	498						
233	spinta acqua 2	Idrostatico - Positivo						2.45	1100
233	spinta acqua 2	Idrostatico - Positivo						2.65	1100
234	Peso Proprio	Peso Proprio kg	264						
234	spinta acqua 1	Idrostatico - Negativo						2.65	1100
234	spinta acqua 1	Idrostatico - Negativo						2.75	1900
234	spinta acqua 2	Idrostatico - Positivo						2.65	1100
235	Peso Proprio	Peso Proprio kg	211						
235	spinta acqua 1	Idrostatico - Negativo						2.75	1900
235	spinta acqua 1	Idrostatico - Positivo						2.45	1100
235	spinta acqua 2	Idrostatico - Negativo						2.45	1100
236	Peso Proprio	Peso Proprio kg	91						
236	spinta acqua 1	Idrostatico - Positivo						2.45	1100
236	spinta acqua 1	Idrostatico - Negativo						2.75	1900
236	spinta acqua 2	Idrostatico - Negativo						2.45	1100
237	Peso Proprio	Peso Proprio kg	197						
237	spinta acqua 1	Idrostatico - Positivo						2.75	1900
237	spinta acqua 2	Idrostatico - Negativo						2.75	1900
237	spinta acqua 2	Idrostatico - Positivo						2.65	1100
237	spinta acqua 2	Idrostatico - Positivo						2.45	1100
238	Peso Proprio	Peso Proprio kg	302						
238	spinta acqua 1	Idrostatico - Positivo						2.75	1900
238	spinta acqua 2	Idrostatico - Positivo						2.45	1100
238	spinta acqua 2	Idrostatico - Positivo						2.65	1100
238	spinta acqua 2	Idrostatico - Negativo						2.75	1900
239	Peso Proprio	Peso Proprio kg	345						
239	spinta acqua 1	Idrostatico - Positivo						2.75	1900
239	spinta acqua 2	Idrostatico - Positivo						2.65	1100
239	spinta acqua 2	Idrostatico - Negativo						2.75	1900
239	spinta acqua 2	Idrostatico - Positivo						2.45	1100
240	Peso Proprio	Peso Proprio kg	281						
240	spinta acqua 1	Idrostatico - Positivo						2.75	1900
240	spinta acqua 2	Idrostatico - Positivo						2.45	1100
240	spinta acqua 2	Idrostatico - Positivo						2.65	1100
240	spinta acqua 2	Idrostatico - Negativo						2.75	1900
241	Peso Proprio	Peso Proprio kg	345						
241	spinta acqua 2	Idrostatico - Positivo						2.75	1900
241	spinta acqua 2	Idrostatico - Negativo						1.35	1100
241	spinta acqua 2	Idrostatico - Negativo						1.35	1100
242	Peso Proprio	Peso Proprio kg	281						
242	spinta acqua 2	Idrostatico - Negativo						1.35	1100
242	spinta acqua 2	Idrostatico - Positivo						2.75	1900
242	spinta acqua 2	Idrostatico - Negativo						1.35	1100
243	Peso Proprio	Peso Proprio kg	302						
243	spinta acqua 2	Idrostatico - Negativo						1.35	1100
243	spinta acqua 2	Idrostatico - Positivo						2.75	1900
243	spinta acqua 2	Idrostatico - Negativo						1.35	1100
244	Peso Proprio	Peso Proprio kg	197						
244	spinta acqua 2	Idrostatico - Negativo						1.35	1100
244	spinta acqua 2	Idrostatico - Negativo						1.35	1100
244	spinta acqua 2	Idrostatico - Positivo						2.75	1900
245	Peso Proprio	Peso Proprio kg	197						
245	spinta acqua 2	Idrostatico - Positivo						2.45	1100

**POTENZIAMENTO DELL'IMPIANTO DI DEPURAZIONE E
DEL RECAPITO FINALE DI SQUINZANO (LE)
PROGETTO DEFINITIVO
Tabulati di calcolo strutturale-Filtrazione**

R.37.9

Maggio 2021

Pagina 46 di 364

She 11	Cond.	Tipo	Q	Vert.1	Vert.2	Vert.3	Vert.4	Hw	γ
245	spinta acqua 2	Idrostatico - Positivo						2.65	1100
245	spinta acqua 2	Idrostatico - Negativo						2.75	1900
246	Peso Proprio	Peso Proprio kg	197						
246	spinta acqua 2	Idrostatico - Positivo						2.75	1900
246	spinta acqua 2	Idrostatico - Negativo						1.35	1100
246	spinta acqua 2	Idrostatico - Negativo						1.35	1100
247	Peso Proprio	Peso Proprio kg	225						
247	spinta acqua 2	Idrostatico - Positivo						2.75	1900
247	spinta acqua 2	Idrostatico - Negativo						1.35	1100
248	Peso Proprio	Peso Proprio kg	380						
248	spinta acqua 2	Idrostatico - Positivo						2.65	1100
248	spinta acqua 2	Idrostatico - Negativo						2.75	1900
248	spinta acqua 2	Idrostatico - Positivo						2.45	1100
249	Peso Proprio	Peso Proprio kg	422						
249	spinta acqua 2	Idrostatico - Negativo						1.35	1100
249	spinta acqua 2	Idrostatico - Positivo						2.75	1900
250	Peso Proprio	Peso Proprio kg	380						
250	spinta acqua 2	Idrostatico - Negativo						1.35	1100
250	spinta acqua 2	Idrostatico - Negativo						1.35	1100
251	Peso Proprio	Peso Proprio kg	127						
251	spinta acqua 2	Idrostatico - Positivo						2.75	1900
251	spinta acqua 2	Idrostatico - Negativo						1.35	1100
252	Peso Proprio	Peso Proprio kg	127						
252	spinta acqua 1	Idrostatico - Positivo						1.35	1100
252	spinta acqua 2	Idrostatico - Negativo						1.35	1100
252	spinta acqua 2	Idrostatico - Negativo						2.75	1900
253	Peso Proprio	Peso Proprio kg	422						
253	spinta acqua 1	Idrostatico - Positivo						1.35	1100
253	spinta acqua 2	Idrostatico - Negativo						1.35	1100
254	Peso Proprio	Peso Proprio kg	422						
254	spinta acqua 1	Idrostatico - Positivo						1.35	1100
254	spinta acqua 2	Idrostatico - Negativo						2.75	1900
254	spinta acqua 2	Idrostatico - Negativo						1.35	1100
255	Peso Proprio	Peso Proprio kg	295						
255	spinta acqua 2	Idrostatico - Negativo						1.35	1100
255	spinta acqua 2	Idrostatico - Negativo						1.35	1100
255	spinta acqua 2	Idrostatico - Negativo						2.75	1900
256	Peso Proprio	Peso Proprio kg	295						
256	spinta acqua 2	Idrostatico - Positivo						2.75	1900
256	spinta acqua 2	Idrostatico - Negativo						1.35	1100
256	spinta acqua 2	Idrostatico - Negativo						1.35	1100
257	Peso Proprio	Peso Proprio kg	281						
257	spinta acqua 2	Idrostatico - Positivo						2.75	1900
257	spinta acqua 2	Idrostatico - Negativo						1.35	1100
257	spinta acqua 2	Idrostatico - Negativo						1.35	1100
258	Peso Proprio	Peso Proprio kg	225						
258	spinta acqua 1	Idrostatico - Positivo						1.35	1100
258	spinta acqua 2	Idrostatico - Negativo						1.35	1100
258	spinta acqua 2	Idrostatico - Negativo						2.75	1900
259	Peso Proprio	Peso Proprio kg	281						
259	spinta acqua 2	Idrostatico - Negativo						1.35	1100
259	spinta acqua 2	Idrostatico - Negativo						2.75	1900
259	spinta acqua 2	Idrostatico - Negativo						1.35	1100
260	Peso Proprio	Peso Proprio kg	234						
260	spinta acqua 1	Idrostatico - Positivo						1.35	1100
260	spinta acqua 2	Idrostatico - Negativo						2.75	1900
260	spinta acqua 2	Idrostatico - Negativo						1.35	1100
261	Peso Proprio	Peso Proprio kg	164						
261	spinta acqua 2	Idrostatico - Negativo						2.75	1900
261	spinta acqua 2	Idrostatico - Negativo						1.35	1100
261	spinta acqua 2	Idrostatico - Negativo						1.35	1100
262	Peso Proprio	Peso Proprio kg	234						
262	spinta acqua 1	Idrostatico - Positivo						1.35	1100
262	spinta acqua 2	Idrostatico - Negativo						1.35	1100
263	Peso Proprio	Peso Proprio kg	164						
263	spinta acqua 2	Idrostatico - Negativo						1.35	1100
263	spinta acqua 2	Idrostatico - Positivo						2.75	1900
263	spinta acqua 2	Idrostatico - Negativo						1.35	1100

Tabulati di verifica

L'esito di ogni elaborazione viene sintetizzato nei disegni e schemi grafici allegati, che evidenziano i valori numerici nei punti e/o nelle sezioni significative, ai fini della valutazione del comportamento complessivo della struttura, e quelli necessari ai fini delle verifiche di misura della sicurezza.

Di seguito si riportano le tabelle relative a:

- Forze sismiche e masse
- Massime tensioni terreno platee per combinazione
- Massimi spostamenti dei nodi
- Massime reazioni vincolari
- Massimi spostamenti degli impalcati
- Massimi spostamenti degli impalcati (SLD)
- Massime sollecitazioni muri Discretizzati
- Massime tensioni terreno platee per combinazione (SLE)
- Massimi spostamenti dei nodi (SLE)
- Massime reazioni vincolari (SLE)
- Massime sollecitazioni muri Discretizzati (SLE)

Risultati Analisi Dinamica - Baricentri masse e masse

Scenario di calcolo: **Set_NT_ 2018 A2_SLV_SLD_STR_GEO**

Piano	Rigido	Massa kg	X m	Y m	Z m
0	No	0	0.00	0.00	0.00
1	Si	100791	6.22	2.37	0.55
2	Si	49974	5.17	0.52	1.30
3	Si	29203	4.83	1.50	2.43
4	Si	5279	1.37	1.77	3.05
5	Si	5406	6.19	1.62	3.12
6	Si	7714	4.60	1.87	3.43
7	Si	394	6.48	5.49	3.74

Piano	Rigido	Massa kg	X m	Y m	Z m
0	No	0	0.00	0.00	0.00
1	Si	100791	6.62	2.67	0.55
2	Si	49974	5.56	0.91	1.30
3	Si	29203	5.23	1.88	2.43
4	Si	5279	1.54	1.97	3.05
5	Si	5406	6.41	2.03	3.12
6	Si	7714	5.00	2.25	3.43
7	Si	394	6.55	5.54	3.74

Piano	Rigido	Massa kg	X m	Y m	Z m
0	No	0	0.00	0.00	0.00
1	Si	100791	6.22	2.98	0.55
2	Si	49974	5.17	1.31	1.30
3	Si	29203	4.83	2.26	2.43
4	Si	5279	1.37	2.17	3.05
5	Si	5406	6.19	2.43	3.12
6	Si	7714	4.60	2.62	3.43
7	Si	394	6.48	5.59	3.74

Piano	Rigido	Massa kg	X m	Y m	Z m
0	No	0	0.00	0.00	0.00
1	Si	100791	5.83	2.67	0.55
2	Si	49974	4.77	0.91	1.30
3	Si	29203	4.44	1.88	2.43
4	Si	5279	1.19	1.97	3.05
5	Si	5406	5.97	2.03	3.12
6	Si	7714	4.20	2.25	3.43
7	Si	394	6.40	5.54	3.74

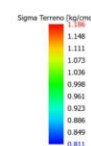
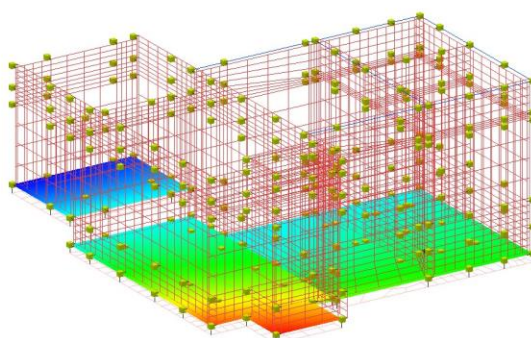
Risultati Analisi Dinamica - Sollecitazioni massime per combinazione - Sigma terreno platea

Scenario di calcolo: **Set_NT_ 2018 A2_SLV_SLD_STR_GEO**

Combinazione	Muro	Nodi	SigmaMax kg/cm ²	SigmaMin kg/cm ²
1	33	49-48-39-40	0.50	0.37
2	67	163-162-159-160	0.70	0.45
3	33	49-48-39-40	1.01	0.46
4	33	49-48-39-40	1.02	0.46
5	65	161-160-156-157	1.18	0.39

Combinazione	Muro	Nodi	SigmaMax	SigmaMin
6	65	161-160-156-157	1.19	0.39
7	67	163-162-159-160	1.19	0.81
8	67	163-162-159-160	1.19	0.81
9-I-1	67	163-162-159-160	0.87	0.60
9-II-1	67	163-162-159-160	0.91	0.63
9-I-2	67	163-162-159-160	0.92	0.60
9-II-2	67	163-162-159-160	0.91	0.65
9-I-3	67	163-162-159-160	0.92	0.60
9-II-3	67	163-162-159-160	0.89	0.61
9-I-4	67	163-162-159-160	0.91	0.63
9-II-4	67	163-162-159-160	0.87	0.60
10-I-1	67	163-162-159-160	0.94	0.59
10-II-1	67	163-162-159-160	0.85	0.66
10-I-2	67	163-162-159-160	0.93	0.59
10-II-2	67	163-162-159-160	0.93	0.65
10-I-3	67	163-162-159-160	0.94	0.59
10-II-3	67	163-162-159-160	0.92	0.66
10-I-4	67	163-162-159-160	0.94	0.59
10-II-4	67	163-162-159-160	0.84	0.66
Assoluti				
7	67	163-162-159-160	1.19	
1	33	49-48-39-40		0.37

Tipo diagramma: Tensioni medie terreno
Combinazione corrente : Scenario Set_NT_2018 A2_SLV_SLD_STR_GEO - C 8
Tensioni medie terreno aste
Tensioni medie terreno platee



Risultati Analisi Dinamica - Spostamenti massimi - Nodi
Scenario di calcolo: Set_NT_2018 A2_SLV_SLD_STR_GEO

la tripletta (Cb [-SubC-Cbm]) indica la Combinazione - SottoCombinazione sismica - Posizione Masse, nel caso non sismico mancano SubC-Cbm

Nodo	Trasl. X	Trasl. Y	Trasl. Z	Rotaz. X	Rotaz. Y	Rotaz. Z
	mm	mm	mm	mrads	mrads	mrads
9	0.00(1)	0.00(1)	-1.94(4)	-0.05(6)	0.12(5)	0.00(1)
10	0.00(1)	0.00(1)	-1.87(4)	-0.05(5)	0.12(5)	0.00(1)
11	0.00(1)	0.00(1)	-1.82(7)	-0.05(5)	0.12(5)	0.00(1)
12	0.00(1)	0.00(1)	-1.81(8)	-0.05(10-I-4)	0.12(5)	0.00(1)
13	0.00(1)	0.00(1)	-1.81(8)	-0.04(10-I-4)	0.12(5)	0.00(1)
14	0.00(1)	0.00(1)	-1.82(8)	-0.02(10-I-4)	0.11(6)	0.00(1)
15	0.00(1)	0.00(1)	-1.83(8)	-0.02(3)	0.07(6)	0.00(1)
19	0.00(1)	0.00(1)	-1.95(4)	-0.05(12-I-4)	0.12(5)	0.00(1)
20	0.00(1)	0.00(1)	-1.88(4)	-0.05(12-I-4)	0.12(5)	0.00(1)
21	0.00(1)	0.00(1)	-1.84(7)	-0.05(10-I-4)	0.12(5)	0.00(1)
22	0.00(1)	0.00(1)	-1.84(8)	-0.05(10-I-4)	0.11(5)	0.00(1)
23	0.00(1)	0.00(1)	-1.84(8)	-0.05(10-I-4)	0.11(5)	0.00(1)
24	0.00(1)	0.00(1)	-1.82(8)	-0.03(10-I-4)	0.12(5)	0.00(1)
25	0.00(1)	0.00(1)	-1.84(8)	-0.03(10-I-1)	0.11(5)	0.00(1)

**POTENZIAMENTO DELL'IMPIANTO DI DEPURAZIONE E
DEL RECAPITO FINALE DI SQUINZANO (LE)
PROGETTO DEFINITIVO
Tabulati di calcolo strutturale-Filtrazione**

R.37.9

Maggio 2021

Pagina 49 di 364

Nodo	Trasl. X	Trasl. Y	Trasl. Z	Rotaz. X	Rotaz. Y	Rotaz. Z
29	0.00(1)	0.00(1)	-1.98(4)	-0.05(12-I-4)	0.13(5)	0.00(1)
30	0.00(1)	0.00(1)	-1.91(4)	-0.05(12-I-4)	0.12(5)	0.00(1)
31	0.00(1)	0.00(1)	-1.89(7)	-0.05(12-I-4)	0.12(5)	0.00(1)
32	0.00(1)	0.00(1)	-1.89(8)	-0.05(10-I-4)	-0.11(4)	0.00(1)
33	0.00(1)	0.00(1)	-1.89(8)	-0.06(10-I-4)	-0.11(4)	0.00(1)
34	0.00(1)	0.00(1)	-1.86(8)	-0.06(10-I-4)	0.12(5)	0.00(1)
35	0.00(1)	0.00(1)	-1.87(8)	-0.07(8)	0.12(5)	0.00(1)
39	0.00(1)	0.00(1)	-2.01(4)	-0.05(12-I-4)	0.13(5)	0.00(1)
40	0.00(1)	0.00(1)	-1.95(7)	-0.06(12-I-4)	0.12(5)	0.00(1)
41	0.00(1)	0.00(1)	-1.95(7)	-0.06(12-I-4)	0.13(5)	0.00(1)
42	0.00(1)	0.00(1)	-1.96(8)	-0.07(7)	0.11(5)	0.00(1)
43	0.00(1)	0.00(1)	-1.98(8)	-0.10(5)	0.14(5)	0.00(1)
44	0.00(1)	0.00(1)	-2.02(8)	-0.12(5)	0.13(5)	0.00(1)
48	0.00(1)	0.00(1)	-2.03(4)	-0.06(12-I-4)	0.13(5)	0.00(1)
49	0.00(1)	0.00(1)	-2.01(7)	-0.06(12-I-4)	0.13(5)	0.00(1)
50	0.00(1)	0.00(1)	-2.02(7)	-0.07(12-I-4)	0.13(5)	0.00(1)
51	0.00(1)	0.00(1)	-2.03(8)	-0.07(7)	0.13(5)	0.00(1)
53	0.00(1)	0.00(1)	-2.08(8)	-0.09(7)	0.13(5)	0.00(1)
54	0.00(1)	0.00(1)	-2.08(8)	-0.07(6)	0.09(5)	0.00(1)
109	0.07(5)	0.03(6)	-1.94(4)	-0.05(5)	0.13(5)	0.00(5)
110	0.07(5)	0.04(5)	-1.87(4)	-0.08(5)	0.12(5)	0.02(2)
111	0.07(5)	0.05(5)	-1.82(7)	-0.09(5)	0.12(5)	-0.01(5)
112	0.07(5)	0.03(5)	-1.81(8)	-0.07(5)	0.13(5)	0.01(1)
113	0.07(5)	0.04(5)	-1.81(8)	-0.07(5)	0.12(5)	0.02(1)
114	0.04(6)	0.03(5)	-1.82(7)	-0.08(5)	0.13(6)	-0.04(5)
115	0.00(1)	0.00(1)	-1.82(8)	-0.06(8)	0.14(6)	0.00(1)
116	0.00(1)	0.00(1)	-1.82(8)	-0.07(8)	0.17(6)	0.00(1)
117	0.00(1)	0.00(1)	-1.83(7)	-0.09(8)	0.18(6)	0.00(1)
118	0.00(1)	0.00(1)	-1.88(6)	-0.09(7)	0.17(6)	0.00(1)
119	0.08(5)	0.03(5)	-1.95(4)	-0.05(12-I-4)	0.14(5)	-0.01(2)
122	0.06(5)	0.03(5)	-1.84(8)	-0.05(10-I-4)	0.12(5)	0.00(7)
125	0.00(1)	0.00(1)	-1.86(8)	-0.08(5)	0.16(6)	0.00(1)
126	0.00(1)	0.00(1)	-1.86(8)	-0.07(8)	0.17(6)	0.00(1)
127	0.00(1)	0.00(1)	-1.89(7)	-0.09(7)	0.18(6)	0.00(1)
128	0.00(1)	0.00(1)	-1.96(6)	-0.09(7)	0.19(6)	0.00(1)
129	0.07(5)	0.03(12-I-4)	-1.98(4)	-0.05(12-I-4)	0.14(5)	-0.01(2)
130	0.07(5)	0.03(12-I-4)	-1.91(4)	-0.05(12-I-4)	0.13(5)	0.00(10-II-4)
131	0.07(5)	0.03(12-I-4)	-1.90(7)	-0.05(12-I-4)	0.13(5)	0.00(10-II-4)
132	0.07(5)	0.03(12-I-4)	-1.90(8)	-0.06(12-I-4)	0.13(5)	-0.00(10-II-4)
135	-0.01(6)	0.00(1)	-1.94(8)	-0.08(8)	0.13(6)	-0.00(10-II-4)
136	0.00(1)	0.00(1)	-1.94(8)	-0.08(8)	0.18(6)	0.00(1)
137	0.00(1)	0.00(1)	-1.98(7)	-0.09(7)	0.20(6)	0.00(1)
138	0.00(1)	0.00(1)	-2.07(6)	-0.09(7)	0.21(6)	0.00(1)
139	0.09(5)	0.03(12-I-4)	-2.01(4)	-0.05(12-I-4)	0.17(5)	-0.01(4)
142	0.07(5)	0.03(12-I-4)	-1.97(8)	-0.06(12-I-4)	0.13(5)	-0.01(4)
144	0.00(1)	0.00(1)	-2.03(8)	-0.08(8)	0.15(6)	0.00(1)
145	0.00(1)	0.00(1)	-2.03(8)	-0.08(8)	0.18(6)	0.00(1)
146	0.00(1)	0.00(1)	-2.09(7)	-0.09(7)	0.22(6)	0.00(1)
147	0.00(1)	0.00(1)	-2.19(6)	-0.10(7)	0.24(6)	0.00(1)
148	0.08(5)	0.03(12-I-4)	-2.03(4)	-0.06(12-I-4)	0.14(5)	-0.00(4)
149	0.08(5)	0.03(12-I-4)	-2.01(7)	-0.06(12-I-4)	0.14(5)	-0.02(1)
150	0.07(5)	0.04(12-I-4)	-2.02(7)	-0.06(7)	0.14(5)	0.01(2)
151	0.07(5)	0.04(12-I-4)	-2.03(8)	-0.06(12-I-4)	0.14(5)	-0.01(1)
152	0.07(5)	0.04(7)	-2.03(8)	-0.07(7)	0.14(5)	-0.02(1)
153	0.05(5)	0.04(7)	-2.07(8)	-0.07(7)	0.14(5)	-0.04(7)
154	0.00(1)	0.00(1)	-2.09(8)	-0.10(6)	0.20(6)	0.00(1)
155	0.00(1)	0.00(1)	-2.11(8)	-0.09(6)	0.21(6)	0.00(1)
156	0.00(1)	0.00(1)	-2.19(7)	-0.10(7)	0.23(6)	0.00(1)
157	0.00(1)	0.00(1)	-2.29(6)	-0.10(7)	0.24(6)	0.00(1)
158	0.00(1)	0.00(1)	-2.19(8)	-0.09(7)	0.23(6)	0.00(1)
159	0.00(1)	0.00(1)	-2.21(8)	-0.09(7)	0.22(6)	0.00(1)
160	0.00(1)	0.00(1)	-2.30(7)	-0.10(7)	0.23(6)	0.00(1)
161	0.00(1)	0.00(1)	-2.39(6)	-0.10(7)	0.23(6)	0.00(1)
162	0.00(1)	0.00(1)	-2.30(8)	-0.09(7)	0.22(6)	0.00(1)
163	0.00(1)	0.00(1)	-2.39(7)	-0.09(7)	0.23(6)	0.00(1)
201	0.09(6)	0.04(5)	-1.66(7)	-0.07(8)	0.14(5)	0.01(3)
202	0.09(6)	0.04(5)	-1.66(7)	-0.07(8)	0.14(5)	0.01(3)
203	0.09(6)	0.05(8)	-1.63(7)	-0.09(8)	0.14(5)	0.01(7)
204	0.09(6)	0.05(7)	-1.68(6)	-0.10(7)	0.14(5)	0.01(7)
205	0.09(6)	0.04(5)	-1.76(7)	-0.08(8)	0.15(5)	0.01(4)
206	0.09(6)	0.04(5)	-1.75(7)	-0.08(8)	0.15(6)	0.01(4)
207	0.09(6)	0.05(8)	-1.75(7)	-0.10(7)	0.16(6)	-0.00(1)
208	0.09(6)	0.05(7)	-1.81(6)	-0.10(7)	0.16(6)	-0.01(9-II-1)
209	0.14(5)	0.05(6)	-1.94(4)	-0.05(10-I-4)	0.12(5)	0.01(5)
210	0.14(5)	0.08(5)	-1.87(4)	-0.06(5)	0.12(5)	0.04(2)
211	0.13(5)	0.09(5)	-1.82(7)	-0.06(5)	0.12(5)	-0.02(1)

**POTENZIAMENTO DELL'IMPIANTO DI DEPURAZIONE E
DEL RECAPITO FINALE DI SQUINZANO (LE)
PROGETTO DEFINITIVO
Tabulati di calcolo strutturale-Filtrazione**

R.37.9

Maggio 2021

Pagina 50 di 364

Nodo	Trasl. X	Trasl. Y	Trasl. Z	Rotaz. X	Rotaz. Y	Rotaz. Z
212	0.13(5)	0.07(5)	-1.81(8)	-0.06(5)	0.13(6)	0.03(1)
213	0.13(5)	0.08(5)	-1.81(8)	-0.06(5)	0.15(6)	0.05(1)
214	0.11(6)	0.08(5)	-1.81(7)	-0.08(5)	0.15(6)	-0.06(5)
215	0.10(6)	0.04(5)	-1.81(8)	-0.08(8)	0.16(6)	-0.01(5)
216	0.09(6)	0.04(8)	-1.81(8)	-0.09(8)	0.16(6)	0.01(4)
217	0.09(6)	0.05(8)	-1.83(7)	-0.11(7)	0.17(6)	0.00(6)
218	0.09(6)	0.05(7)	-1.88(6)	-0.10(7)	0.16(6)	-0.01(7)
219	0.15(5)	0.06(5)	-1.95(4)	-0.05(12-I-4)	0.12(5)	-0.02(2)
222	0.13(5)	0.06(10-I-4)	-1.85(8)	-0.05(10-I-4)	0.12(5)	-0.01(2)
225	0.07(5)	0.05(5)	-1.86(8)	-0.08(5)	0.13(5)	0.04(6)
228	0.11(6)	0.05(8)	-1.96(6)	-0.10(7)	0.19(6)	0.03(1)
229	0.15(5)	0.06(12-I-4)	-1.98(4)	-0.05(12-I-4)	0.13(5)	-0.01(2)
230	0.14(5)	0.06(12-I-4)	-1.91(4)	-0.05(12-I-4)	0.13(5)	0.01(10-II-4)
231	0.14(5)	0.06(12-I-4)	-1.90(7)	-0.06(12-I-4)	0.13(5)	0.01(10-II-4)
232	0.14(5)	0.06(12-I-4)	-1.90(8)	-0.06(12-I-4)	0.13(5)	-0.00(10-II-4)
235	0.04(5)	0.04(8)	-1.94(8)	-0.08(8)	0.09(5)	-0.01(3)
238	0.13(6)	0.05(7)	-2.07(6)	-0.10(7)	0.24(6)	-0.02(6)
239	0.18(5)	0.06(12-I-4)	-2.01(4)	-0.05(12-I-4)	0.14(5)	-0.02(4)
242	0.14(5)	0.06(12-I-4)	-1.97(8)	-0.06(12-I-4)	0.13(5)	-0.02(4)
244	0.07(5)	0.04(8)	-2.03(8)	-0.08(8)	0.12(5)	-0.04(5)
247	0.14(6)	0.06(7)	-2.20(6)	-0.10(7)	0.27(6)	-0.01(2)
248	0.15(5)	0.06(12-I-4)	-2.03(4)	-0.05(12-I-4)	0.14(5)	-0.00(7)
249	0.15(5)	0.06(12-I-4)	-2.01(7)	-0.05(12-I-4)	0.14(5)	-0.03(1)
250	0.14(5)	0.07(7)	-2.02(7)	-0.05(7)	0.14(5)	0.02(2)
251	0.15(5)	0.07(12-I-4)	-2.03(8)	-0.05(12-I-4)	0.14(5)	-0.03(1)
252	0.15(5)	0.07(7)	-2.04(8)	-0.06(7)	0.15(5)	-0.05(1)
253	0.12(5)	0.08(7)	-2.08(8)	-0.07(7)	0.16(5)	0.05(1)
254	0.12(5)	0.04(8)	-2.10(8)	-0.08(8)	0.18(5)	-0.03(7)
257	0.14(6)	0.06(7)	-2.29(6)	-0.10(7)	0.26(6)	-0.03(2)
258	0.12(6)	0.04(8)	-2.19(8)	-0.07(7)	0.23(6)	0.00(1)
259	0.12(6)	0.05(8)	-2.21(8)	-0.08(8)	0.21(6)	0.00(5)
260	0.12(6)	0.05(7)	-2.30(7)	-0.09(7)	0.23(6)	0.01(6)
261	0.12(6)	0.06(7)	-2.39(6)	-0.10(7)	0.23(6)	-0.02(1)
262	0.12(6)	0.05(7)	-2.30(8)	-0.08(7)	0.23(6)	-0.01(1)
263	0.12(6)	0.05(7)	-2.39(7)	-0.10(7)	0.22(6)	0.00(2)
301	0.32(5)	0.17(8)	-1.66(7)	-0.08(8)	0.14(5)	0.03(3)
302	0.32(5)	0.17(8)	-1.66(7)	-0.08(7)	0.14(5)	0.03(2)
303	0.32(6)	0.21(8)	-1.63(7)	-0.10(7)	0.14(5)	0.04(6)
304	0.32(6)	0.22(7)	-1.68(6)	-0.10(7)	0.14(5)	-0.02(1)
305	0.34(6)	0.16(8)	-1.76(7)	-0.08(8)	0.14(6)	-0.02(11-I-1)
306	0.34(6)	0.17(8)	-1.76(7)	-0.07(8)	0.15(6)	0.02(7)
307	0.34(6)	0.21(7)	-1.76(7)	-0.10(7)	0.16(6)	0.03(6)
308	0.34(6)	0.22(7)	-1.81(6)	-0.11(7)	0.15(5)	-0.02(5)
309	0.33(5)	0.14(12-I-4)	-1.94(4)	-0.05(12-I-4)	0.12(6)	0.01(6)
310	0.34(5)	0.14(10-I-4)	-1.87(4)	-0.06(12-I-4)	0.12(5)	0.02(2)
311	0.33(5)	0.15(10-I-4)	-1.82(8)	-0.06(12-I-4)	0.13(5)	0.02(12-II-4)
312	0.33(5)	0.16(10-I-4)	-1.82(8)	-0.06(12-I-4)	0.12(6)	0.02(2)
313	0.34(5)	0.16(10-I-4)	-1.82(8)	-0.06(7)	0.15(6)	0.04(2)
314	0.34(6)	0.17(5)	-1.82(8)	-0.08(7)	0.15(6)	-0.03(1)
315	0.34(6)	0.17(8)	-1.82(8)	-0.08(8)	0.15(6)	-0.02(3)
316	0.35(6)	0.17(8)	-1.82(8)	-0.08(7)	0.15(6)	0.03(6)
317	0.36(6)	0.22(7)	-1.83(7)	-0.10(7)	0.16(6)	0.02(6)
318	0.36(6)	0.22(7)	-1.88(6)	-0.10(7)	0.16(6)	0.03(3)
319	0.34(5)	0.14(12-I-4)	-1.95(4)	-0.05(12-I-4)	0.12(6)	-0.02(2)
322	0.34(5)	0.16(12-I-4)	-1.85(8)	-0.05(12-I-4)	0.12(5)	0.02(2)
325	0.31(5)	0.16(8)	-1.87(8)	-0.08(8)	0.15(5)	-0.08(3)
328	0.40(6)	0.21(8)	-1.96(6)	-0.10(7)	0.17(6)	0.11(1)
329	0.35(5)	0.14(12-I-4)	-1.98(4)	-0.05(12-I-4)	0.12(5)	-0.01(2)
330	0.35(5)	0.14(12-I-4)	-1.92(4)	-0.05(12-I-4)	0.12(5)	0.02(10-II-4)
331	0.35(5)	0.15(12-I-4)	-1.90(7)	-0.06(12-I-4)	0.12(5)	0.03(10-II-4)
332	0.35(5)	0.16(12-I-4)	-1.91(8)	-0.06(12-I-4)	0.13(5)	-0.01(10-II-4)
335	0.26(5)	0.16(8)	-1.94(8)	-0.08(8)	0.16(5)	-0.05(3)
338	0.50(6)	0.21(7)	-2.07(6)	-0.10(7)	0.20(6)	0.07(1)
339	0.38(5)	0.14(12-I-4)	-2.01(4)	-0.05(12-I-4)	0.12(6)	-0.03(4)
342	0.36(5)	0.15(12-I-4)	-1.97(8)	-0.06(12-I-4)	0.14(5)	-0.03(12-II-4)
344	0.30(5)	0.16(8)	-2.03(8)	-0.07(8)	0.15(5)	-0.08(6)
347	0.55(6)	0.22(7)	-2.19(6)	-0.10(7)	0.22(6)	-0.05(2)
348	0.37(5)	0.14(12-I-4)	-2.03(4)	-0.05(12-I-4)	0.13(5)	-0.01(7)
349	0.37(5)	0.14(12-I-4)	-2.01(7)	-0.06(5)	0.14(5)	0.02(4)
350	0.37(5)	0.15(12-I-4)	-2.02(7)	-0.07(5)	0.14(5)	0.03(10-II-4)
351	0.37(5)	0.16(12-I-4)	-2.03(8)	-0.06(5)	0.14(5)	-0.02(1)
352	0.37(5)	0.16(12-I-4)	-2.04(8)	-0.07(5)	0.15(5)	-0.04(1)
353	0.37(5)	0.19(7)	-2.08(8)	-0.10(5)	0.16(5)	0.06(1)
354	0.38(5)	0.16(8)	-2.11(8)	-0.08(8)	0.15(5)	-0.12(6)
357	0.54(6)	0.23(7)	-2.29(6)	-0.10(7)	0.22(6)	-0.12(2)
358	0.49(6)	0.17(8)	-2.19(8)	-0.07(8)	0.23(6)	0.03(1)

**POTENZIAMENTO DELL'IMPIANTO DI DEPURAZIONE E
DEL RECAPITO FINALE DI SQUINZANO (LE)
PROGETTO DEFINITIVO
Tabulati di calcolo strutturale-Filtrazione**

R.37.9

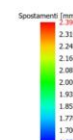
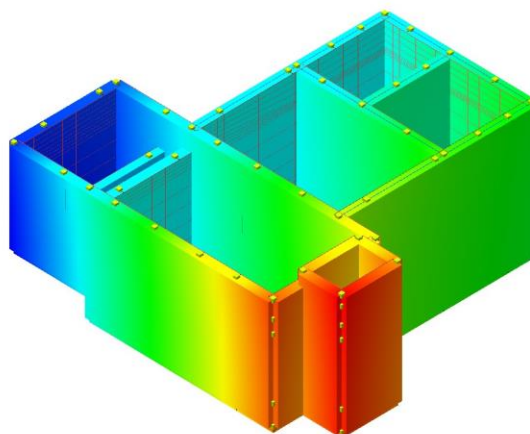
Maggio 2021

Pagina 51 di 364

Nodo	Trasl. X	Trasl. Y	Trasl. Z	Rotaz. X	Rotaz. Y	Rotaz. Z
359	0.49(6)	0.18(8)	-2.21(8)	-0.08(8)	0.22(6)	0.01(12-II-2)
360	0.49(6)	0.20(7)	-2.30(7)	-0.09(8)	0.22(6)	0.02(6)
361	0.49(6)	0.23(7)	-2.39(6)	-0.10(7)	0.22(6)	-0.07(1)
362	0.49(6)	0.18(8)	-2.30(8)	-0.08(8)	0.23(6)	0.02(6)
363	0.49(6)	0.20(7)	-2.39(7)	-0.09(8)	0.22(6)	0.01(5)
409	0.35(5)	0.15(12-I-4)	-1.94(4)	-0.05(12-I-4)	0.12(6)	0.01(6)
410	0.35(5)	0.15(10-I-4)	-1.87(4)	-0.06(12-I-4)	0.12(5)	0.02(2)
411	0.35(5)	0.16(10-I-4)	-1.82(8)	-0.06(12-I-4)	0.12(5)	0.02(12-II-4)
412	0.35(5)	0.17(10-I-4)	-1.82(8)	-0.06(12-I-4)	0.12(6)	0.02(2)
413	0.35(5)	0.17(10-I-4)	-1.82(8)	-0.06(7)	0.13(5)	0.03(2)
419	0.36(5)	0.15(12-I-4)	-1.95(4)	-0.05(12-I-4)	0.12(6)	-0.02(2)
422	0.35(5)	0.16(12-I-4)	-1.85(8)	-0.06(12-I-4)	0.12(5)	-0.02(2)
429	0.37(5)	0.15(12-I-4)	-1.98(4)	-0.05(12-I-4)	0.12(5)	-0.01(2)
430	0.37(5)	0.15(12-I-4)	-1.92(4)	-0.05(12-I-4)	0.12(5)	0.02(10-II-4)
431	0.37(5)	0.16(12-I-4)	-1.90(7)	-0.06(12-I-4)	0.13(5)	0.03(10-II-4)
432	0.37(5)	0.16(12-I-4)	-1.91(8)	-0.06(12-I-4)	0.13(5)	-0.01(10-II-4)
439	0.39(5)	0.15(12-I-4)	-2.01(4)	-0.05(12-I-4)	0.12(6)	-0.03(4)
442	0.38(5)	0.16(12-I-4)	-1.97(8)	-0.06(10-I-4)	0.14(5)	-0.03(12-II-4)
448	0.39(5)	0.15(12-I-4)	-2.03(4)	-0.05(10-I-4)	0.13(5)	-0.01(7)
449	0.39(5)	0.15(12-I-4)	-2.01(7)	-0.06(5)	0.13(5)	0.02(4)
450	0.39(5)	0.16(12-I-4)	-2.02(7)	-0.07(5)	0.14(5)	0.03(10-II-4)
451	0.39(5)	0.17(12-I-4)	-2.03(8)	-0.06(5)	0.14(5)	-0.02(1)
452	0.39(5)	0.17(12-I-4)	-2.04(8)	-0.07(5)	0.14(5)	-0.03(1)
501	0.37(5)	0.19(8)	-1.66(7)	-0.08(8)	0.14(5)	0.02(2)
502	0.37(5)	0.20(8)	-1.66(7)	-0.08(7)	0.14(5)	0.03(2)
503	0.37(6)	0.24(8)	-1.63(7)	-0.10(7)	0.14(5)	0.05(6)
504	0.37(6)	0.26(7)	-1.68(6)	-0.10(7)	0.14(5)	-0.02(1)
505	0.39(6)	0.19(8)	-1.76(7)	-0.08(8)	0.14(6)	-0.02(11-I-1)
508	0.39(6)	0.25(7)	-1.81(6)	-0.10(7)	0.15(5)	-0.03(6)
514	0.38(6)	0.19(8)	-1.82(8)	-0.08(7)	0.14(5)	0.02(12-II-4)
515	0.39(6)	0.19(8)	-1.81(8)	-0.08(8)	0.13(5)	-0.02(3)
516	0.41(6)	0.20(8)	-1.82(8)	-0.07(7)	0.17(6)	0.04(6)
517	0.42(6)	0.25(7)	-1.83(7)	-0.10(7)	0.18(6)	0.03(6)
518	0.42(6)	0.25(7)	-1.88(6)	-0.10(7)	0.16(6)	-0.04(6)
525	0.36(5)	0.19(8)	-1.87(8)	-0.08(8)	0.15(5)	-0.08(3)
528	0.46(6)	0.25(8)	-1.96(6)	-0.10(7)	0.18(6)	0.11(1)
535	0.32(5)	0.19(8)	-1.94(8)	-0.08(8)	0.16(5)	-0.05(3)
538	0.56(6)	0.25(7)	-2.07(6)	-0.10(7)	0.19(6)	-0.08(6)
544	0.35(5)	0.19(8)	-2.03(8)	-0.08(8)	0.15(5)	-0.07(6)
547	0.63(6)	0.26(7)	-2.19(6)	-0.10(7)	0.21(6)	-0.06(2)
553	0.42(5)	0.22(7)	-2.08(8)	-0.10(5)	0.15(5)	0.05(1)
554	0.44(5)	0.19(8)	-2.11(8)	-0.08(8)	0.16(5)	-0.14(6)
557	0.61(6)	0.26(7)	-2.29(6)	-0.10(7)	0.22(6)	-0.12(2)
558	0.57(6)	0.20(8)	-2.19(8)	-0.08(8)	0.23(6)	0.03(1)
559	0.57(6)	0.20(8)	-2.21(8)	-0.08(8)	0.22(6)	0.01(12-II-2)
560	0.57(6)	0.23(7)	-2.30(7)	-0.09(8)	0.22(6)	0.02(6)
561	0.57(6)	0.26(7)	-2.39(6)	-0.10(7)	0.22(6)	-0.08(1)
562	0.57(6)	0.20(8)	-2.30(8)	-0.08(8)	0.23(6)	0.02(6)
563	0.57(6)	0.23(7)	-2.39(7)	-0.09(8)	0.22(6)	0.01(5)
601	0.43(5)	0.23(8)	-1.66(7)	-0.08(8)	0.14(6)	0.02(2)
602	0.43(5)	0.24(8)	-1.66(7)	-0.08(7)	0.14(5)	0.03(5)
603	0.44(6)	0.28(8)	-1.63(7)	-0.10(7)	0.14(5)	0.05(6)
604	0.43(6)	0.30(7)	-1.68(5)	-0.11(7)	0.14(5)	-0.02(1)
605	0.45(6)	0.22(8)	-1.76(7)	-0.08(8)	0.14(6)	-0.02(9-I-1)
608	0.46(5)	0.30(7)	-1.81(6)	-0.10(7)	0.15(5)	-0.03(6)
609	0.43(5)	0.18(12-I-4)	-1.94(4)	-0.05(12-I-4)	0.12(6)	0.01(7)
610	0.43(5)	0.19(12-I-4)	-1.87(4)	-0.06(12-I-4)	0.12(5)	0.02(10-II-4)
611	0.43(5)	0.20(12-I-4)	-1.82(8)	-0.06(12-I-4)	0.12(5)	0.02(10-II-4)
612	0.43(5)	0.20(10-I-4)	-1.82(8)	-0.06(12-I-4)	0.12(6)	0.02(10-II-4)
613	0.43(5)	0.20(10-I-4)	-1.82(8)	-0.06(7)	0.12(5)	0.03(10-II-4)
614	0.44(6)	0.22(8)	-1.82(8)	-0.08(7)	0.13(6)	0.02(12-II-4)
615	0.45(6)	0.22(8)	-1.81(8)	-0.08(8)	0.13(5)	-0.03(3)
618	0.49(6)	0.30(7)	-1.88(6)	-0.11(7)	0.16(6)	-0.05(6)
619	0.43(5)	0.18(12-I-4)	-1.96(4)	-0.05(12-I-4)	0.12(6)	-0.02(2)
622	0.43(5)	0.20(12-I-4)	-1.85(8)	-0.05(10-I-4)	0.12(5)	-0.02(2)
625	0.43(5)	0.22(8)	-1.87(8)	-0.07(8)	0.14(5)	-0.08(3)
628	0.54(6)	0.29(7)	-1.96(6)	-0.10(7)	0.17(6)	0.12(1)
629	0.45(5)	0.18(12-I-4)	-1.98(4)	-0.05(12-I-4)	0.12(5)	-0.01(10-II-4)
630	0.45(5)	0.19(12-I-4)	-1.92(4)	-0.05(12-I-4)	0.12(5)	0.02(10-II-4)
631	0.45(5)	0.20(12-I-4)	-1.90(7)	-0.06(12-I-4)	0.12(5)	0.03(10-II-4)
632	0.45(5)	0.20(12-I-4)	-1.91(8)	-0.06(10-I-4)	0.13(5)	-0.02(10-II-4)
635	0.39(5)	0.22(8)	-1.94(8)	-0.07(8)	0.16(5)	-0.05(3)
638	0.65(6)	0.29(7)	-2.07(6)	-0.10(7)	0.20(6)	-0.09(6)
639	0.47(5)	0.18(12-I-4)	-2.01(4)	-0.05(12-I-4)	0.12(6)	-0.04(12-II-4)
642	0.47(5)	0.20(12-I-4)	-1.98(8)	-0.06(12-I-4)	0.13(5)	-0.04(12-II-4)
644	0.42(5)	0.22(8)	-2.03(8)	-0.07(8)	0.15(5)	-0.07(6)

Nodo	Trasl. X	Trasl. Y	Trasl. Z	Rotaz. X	Rotaz. Y	Rotaz. Z
647	0.72 (6)	0.30 (7)	-2.19 (6)	-0.10 (7)	0.22 (6)	-0.06 (2)
648	0.48 (5)	0.18 (12-I-4)	-2.03 (4)	-0.05 (10-I-4)	0.13 (5)	-0.01 (7)
649	0.47 (5)	0.18 (12-I-4)	-2.01 (7)	-0.06 (5)	0.13 (5)	0.02 (3)
650	0.47 (5)	0.19 (12-I-4)	-2.02 (7)	-0.06 (5)	0.13 (5)	0.03 (10-I-4)
651	0.48 (5)	0.20 (12-I-4)	-2.03 (8)	-0.06 (5)	0.14 (5)	0.02 (6)
652	0.48 (5)	0.21 (12-I-4)	-2.04 (8)	-0.07 (5)	0.14 (5)	0.03 (7)
653	0.49 (5)	0.25 (7)	-2.09 (8)	-0.10 (5)	0.15 (5)	0.05 (1)
654	0.51 (5)	0.22 (8)	-2.11 (8)	-0.08 (8)	0.15 (5)	-0.16 (6)
657	0.71 (6)	0.31 (7)	-2.29 (6)	-0.10 (7)	0.22 (6)	-0.13 (2)
658	0.68 (6)	0.23 (8)	-2.19 (8)	-0.08 (8)	0.23 (6)	0.04 (3)
659	0.67 (6)	0.24 (8)	-2.21 (8)	-0.09 (8)	0.23 (6)	0.01 (12-II-2)
660	0.67 (6)	0.27 (7)	-2.30 (7)	-0.09 (8)	0.22 (6)	0.02 (6)
661	0.67 (6)	0.31 (7)	-2.39 (6)	-0.10 (7)	0.22 (6)	-0.08 (1)
662	0.67 (6)	0.24 (8)	-2.30 (8)	-0.08 (8)	0.23 (6)	0.01 (6)
663	0.67 (6)	0.27 (7)	-2.39 (7)	-0.09 (8)	0.23 (6)	0.01 (6)
759	0.73 (6)	0.26 (8)	-2.21 (8)	-0.08 (8)	0.23 (6)	0.01 (12-I-2)
760	0.73 (6)	0.29 (7)	-2.30 (7)	-0.09 (8)	0.22 (6)	0.02 (6)
762	0.73 (6)	0.26 (8)	-2.30 (8)	-0.08 (8)	0.23 (6)	0.01 (6)
763	0.73 (6)	0.29 (7)	-2.39 (7)	-0.09 (8)	0.23 (6)	0.01 (6)

Tipo diagramma: Deformata
Combinazione corrente: Scenario Set_NT_ 2018 A2_SLV_SLD_STR_GEO - C 8



Risultati Analisi Dinamica - Reazioni massime - Nodi
Scenario di calcolo: Set_NT_ 2018 A2_SLV_SLD_STR_GEO

Nodo	Rx kg	Ry kg	Rz kg	Mx kg*m	My kg*m	Mz kg*m
9	-146 (6)	-110 (5)	0	0	0	14 (11-II-4)
10	-224 (4)	-984 (5)	0	0	0	32 (4)
11	-354 (4)	-1395 (5)	0	0	0	37 (4)
12	-663 (4)	-819 (5)	0	0	0	67 (4)
13	-985 (4)	-1096 (5)	0	0	0	-229 (5)
14	4690 (6)	-2125 (1)	0	0	0	-593 (6)
15	4032 (5)	1289 (10-I-4)	0	0	0	-366 (5)
19	-1052 (1)	-205 (5)	0	0	0	12 (12-II-4)
20	182 (1)	181 (2)	0	0	0	-2 (6)
21	-264 (7)	195 (5)	0	0	0	5 (7)
22	352 (5)	-677 (6)	0	0	0	71 (5)
23	876 (7)	838 (5)	0	0	0	63 (5)
24	-1774 (6)	4326 (5)	0	0	0	-56 (5)
25	2229 (5)	1894 (6)	0	0	0	-88 (10-I-1)
29	-1015 (1)	195 (12-II-4)	0	0	0	9 (10-II-4)
30	313 (7)	317 (7)	0	0	0	-35 (5)
31	-1166 (5)	349 (7)	0	0	0	58 (7)
32	-883 (5)	-305 (6)	0	0	0	34 (5)
33	4978 (5)	348 (5)	0	0	0	-217 (5)

Nodo	Rx	Ry	Rz	Mx	My	Mz
34	536 (5)	-772 (10-I-1)	0	0	0	42 (12-I-1)
35	-218 (4)	-1301 (8)	0	0	0	36 (8)
39	-1732 (2)	284 (10-II-4)	0	0	0	14 (10-II-4)
40	1054 (5)	179 (4)	0	0	0	34 (5)
41	-821 (7)	226 (7)	0	0	0	-61 (7)
42	3246 (6)	-584 (5)	0	0	0	-323 (5)
43	-5307 (6)	-7503 (5)	0	0	0	686 (5)
44	3621 (5)	-1088 (1)	0	0	0	-313 (5)
48	-280 (2)	159 (5)	0	0	0	-21 (4)
49	-386 (4)	710 (2)	0	0	0	-29 (4)
50	-550 (3)	1270 (5)	0	0	0	-47 (3)
51	-1300 (3)	1746 (5)	0	0	0	160 (5)
53	5119 (5)	2798 (5)	0	0	0	576 (6)
54	5270 (5)	3530 (7)	0	0	0	-430 (4)
115	-15827 (6)	-2546 (5)	0	0	0	2313 (5)
116	1469 (4)	-905 (1)	0	0	0	-146 (3)
117	987 (7)	-925 (1)	0	0	0	-99 (7)
118	508 (7)	-291 (1)	0	0	0	-42 (6)
125	-1078 (3)	-1579 (5)	0	0	0	235 (3)
126	644 (1)	486 (1)	0	0	0	-50 (6)
127	-504 (1)	461 (1)	0	0	0	-10 (1)
128	1174 (2)	-396 (1)	0	0	0	-33 (5)
136	2610 (6)	617 (6)	0	0	0	140 (6)
137	-1515 (1)	421 (6)	0	0	0	-51 (6)
138	2799 (1)	-305 (7)	0	0	0	-18 (2)
144	2787 (6)	-3141 (5)	0	0	0	653 (6)
145	2254 (4)	1355 (6)	0	0	0	206 (6)
146	-1487 (1)	151 (5)	0	0	0	-40 (5)
147	2888 (1)	-281 (7)	0	0	0	40 (3)
154	-23028 (5)	-3698 (7)	0	0	0	-2075 (5)
155	-1188 (6)	-901 (6)	0	0	0	-140 (6)
156	-730 (1)	-553 (6)	0	0	0	19 (6)
157	1858 (1)	418 (1)	0	0	0	20 (3)
158	-208 (4)	671 (5)	0	0	0	-22 (1)
159	544 (5)	714 (6)	0	0	0	-29 (7)
160	519 (1)	453 (1)	0	0	0	27 (8)
161	136 (7)	356 (1)	0	0	0	21 (3)
162	303 (6)	548 (2)	0	0	0	31 (2)
163	202 (6)	408 (1)	0	0	0	61 (6)

Risultati Analisi Dinamica - Spostamenti massimi - Impalcati
Scenario di calcolo: **Set_NT_ 2018 A2_SLV_SLD_STR_GEO**

la tripletta (Cb [-SubC-Cbm]) indica la Combinazione - SottoCombinazione sismica - Posizione Masse, nel caso non sismico mancano SubC-Cbm

Piano	Trasl. X	Trasl. Y	Trasl. Z	Rotaz. X	Rotaz. Y	Rotaz. Z
	mm	mm	mm	mrads	mrads	mrads
1	0.04 (5-1)	0.02 (12-I-4)	-1.98 (7-1)	0.00 (1-1)	0.00 (1-1)	-0.00 (12-I-4)
2	0.14 (6-1)	0.06 (8-1)	-1.94 (7-1)	0.00 (1-1)	0.00 (1-1)	-0.00 (12-I-4)
3	0.35 (6-1)	0.16 (8-1)	-1.95 (7-1)	0.00 (1-1)	0.00 (1-1)	0.00 (10-II-4)
4	0.38 (5-1)	0.16 (12-I-4)	-1.91 (7-1)	0.00 (1-1)	0.00 (1-1)	-0.01 (10-II-2)
5	0.45 (6-1)	0.22 (8-1)	-1.98 (7-1)	0.00 (1-1)	0.00 (1-1)	-0.02 (12-I-2)
6	0.50 (6-1)	0.22 (8-1)	-1.98 (7-1)	0.00 (1-1)	0.00 (1-1)	-0.01 (6-1)
7	0.72 (6-1)	0.27 (8-1)	-2.30 (7-1)	0.00 (1-1)	0.00 (1-1)	0.03 (11-I-3)

Risultati Analisi Dinamica - Spostamenti massimi - Impalcati (SLD)
Scenario di calcolo: **Set_NT_ 2018 A2_SLV_SLD_STR_GEO**

la tripletta (Cb [-SubC-Cbm]) indica la Combinazione - SottoCombinazione sismica - Posizione Masse, nel caso non sismico mancano SubC-Cbm

Piano	Trasl. X	Trasl. Y	Trasl. Z	Rotaz. X	Rotaz. Y	Rotaz. Z
	mm	mm	mm	mrads	mrads	mrads
1	-0.03 (19-1)	0.01 (21-I-4)	-1.47 (20-II-2)	0.00 (13-1)	0.00 (13-1)	-0.00 (21-I-4)
2	-0.10 (19-1)	0.05 (21-I-4)	-1.44 (20-II-2)	0.00 (13-1)	0.00 (13-1)	-0.00 (21-I-4)
3	-0.25 (19-1)	0.13 (21-I-4)	-1.45 (20-II-2)	0.00 (13-1)	0.00 (13-1)	-0.00 (15-1)
4	-0.30 (19-1)	0.13 (21-I-4)	-1.44 (20-II-2)	0.00 (13-1)	0.00 (13-1)	-0.01 (21-II-2)
5	-0.31 (19-1)	0.17 (21-I-1)	-1.47 (21-I-3)	0.00 (13-1)	0.00 (13-1)	-0.01 (15-1)
6	-0.35 (19-1)	0.18 (21-I-4)	-1.47 (20-II-2)	0.00 (13-1)	0.00 (13-1)	-0.00 (15-1)
7	0.47 (15-1)	0.21 (21-I-1)	-1.71 (21-I-4)	0.00 (13-1)	0.00 (13-1)	0.02 (20-I-3)

Risultati Analisi Dinamica - Sollecitazioni Massime - Muri discretizzati
Scenario di calcolo: **Set_NT_ 2018 A2_SLV_SLD_STR_GEO**

**POTENZIAMENTO DELL'IMPIANTO DI DEPURAZIONE E
DEL RECAPITO FINALE DI SQUINZANO (LE)
PROGETTO DEFINITIVO
Tabulati di calcolo strutturale-Filtrazione**

R.37.9

Maggio 2021

Pagina 54 di 364

Muro	Pann.	Sxx	Syy	Sxy	Mxx	Myy	Mxy
		kg/cmq	kg/cmq	kg/cmq	kg*m/m	kg*m/m	kg*m/m
1	1	-0.37 (2)	0.12 (4)	0.27 (4)	-151 (5)	-57 (2)	-53 (1)
1	2	-0.62 (1)	-0.11 (2)	0.37 (4)	-227 (5)	-43 (5)	-100 (2)
1	3	-0.80 (1)	-0.14 (2)	0.45 (1)	-345 (5)	-42 (5)	-111 (2)
1	4	-0.94 (1)	-0.15 (5)	0.46 (1)	-462 (5)	-48 (5)	-103 (2)
1	5	-0.52 (2)	-0.27 (5)	0.26 (4)	-84 (5)	-129 (2)	-69 (1)
1	6	-0.68 (1)	-0.27 (5)	0.40 (4)	-113 (5)	-60 (2)	-136 (2)
1	7	-0.80 (1)	-0.28 (5)	0.45 (1)	-165 (5)	-18 (2)	-152 (2)
1	8	-0.89 (1)	-0.28 (5)	0.46 (1)	-223 (5)	-12 (9-I-1)	-141 (2)
1	9	-0.70 (1)	-0.51 (5)	0.26 (4)	-42 (5)	-214 (2)	-77 (1)
1	10	-0.73 (1)	-0.47 (5)	0.39 (4)	-35 (5)	-86 (2)	-155 (2)
1	11	-0.79 (1)	-0.44 (5)	0.45 (4)	-42 (5)	-18 (10-II-4)	-176 (2)
1	12	-0.84 (1)	-0.42 (5)	0.47 (4)	-57 (5)	45 (1)	-166 (2)
1	13	-0.86 (1)	-0.70 (5)	0.27 (4)	-18 (5)	-305 (2)	-75 (1)
1	14	-0.79 (1)	-0.65 (5)	0.38 (4)	-25 (10-I-4)	-120 (2)	-154 (2)
1	15	-0.78 (1)	-0.60 (5)	0.45 (4)	42 (1)	-27 (10-II-4)	-178 (2)
1	16	-0.80 (1)	-0.56 (5)	0.48 (4)	59 (1)	79 (1)	-170 (2)
2	1	-0.98 (1)	-0.17 (5)	0.44 (1)	-566 (5)	-55 (5)	-82 (2)
2	2	-0.95 (1)	-0.18 (5)	0.47 (4)	-644 (5)	-62 (5)	-49 (2)
2	3	-0.96 (1)	-0.19 (5)	0.54 (4)	-680 (5)	-66 (5)	-19 (10-II-4)
2	4	-1.00 (1)	-0.19 (5)	0.60 (4)	-675 (5)	-67 (5)	33 (5)
2	5	-0.92 (1)	-0.28 (5)	0.46 (4)	-280 (5)	-15 (7)	-111 (2)
2	6	-0.91 (1)	-0.29 (5)	0.49 (4)	-326 (5)	-18 (7)	-66 (2)
2	7	-0.92 (1)	-0.30 (5)	0.54 (4)	-350 (5)	-20 (7)	-24 (10-II-4)
2	8	-0.93 (1)	-0.30 (5)	0.59 (4)	-349 (5)	-20 (7)	40 (5)
2	9	-0.86 (1)	-0.41 (5)	0.48 (4)	-77 (5)	73 (1)	-132 (2)
2	10	-0.86 (1)	-0.41 (5)	0.50 (4)	-96 (5)	87 (1)	-79 (2)
2	11	-0.86 (1)	-0.41 (5)	0.54 (4)	-108 (5)	89 (1)	-29 (10-II-4)
2	12	-0.86 (1)	-0.42 (5)	0.59 (4)	-112 (5)	81 (1)	45 (1)
2	13	-0.81 (1)	-0.53 (5)	0.49 (4)	69 (1)	127 (1)	-137 (2)
2	14	-0.82 (3)	-0.52 (5)	0.51 (4)	74 (1)	152 (1)	-83 (2)
2	15	-0.83 (3)	-0.52 (5)	0.55 (4)	-75 (10-I-4)	157 (1)	-33 (10-II-4)
2	16	-0.83 (3)	-0.53 (5)	0.59 (4)	-78 (10-I-4)	144 (2)	46 (1)
3	1	-0.96 (5)	-0.20 (5)	0.64 (4)	-617 (5)	-64 (5)	64 (5)
3	2	-0.83 (5)	-0.21 (5)	0.71 (4)	-515 (5)	-60 (5)	86 (5)
3	3	-0.75 (5)	-0.23 (5)	0.85 (4)	-406 (5)	-65 (5)	79 (5)
3	4	-1.00 (5)	-0.25 (5)	1.06 (4)	-380 (5)	-78 (5)	19 (6)
3	5	-0.88 (1)	-0.32 (5)	0.64 (4)	-322 (5)	-17 (7)	85 (5)
3	6	-0.77 (1)	-0.37 (5)	0.72 (4)	-274 (5)	-22 (5)	113 (5)
3	7	-0.68 (5)	-0.45 (5)	0.87 (4)	-230 (5)	-71 (5)	101 (5)
3	8	-0.84 (5)	-0.45 (5)	1.08 (4)	-227 (5)	-152 (1)	-21 (10-II-4)
3	9	-0.83 (1)	-0.45 (5)	0.64 (4)	-108 (5)	58 (2)	98 (1)
3	10	-0.75 (1)	-0.52 (5)	0.73 (4)	-100 (5)	-12 (10-I-4)	128 (5)
3	11	-0.71 (1)	-0.60 (5)	0.89 (4)	-100 (5)	-91 (1)	113 (5)
3	12	-0.77 (1)	-0.68 (5)	1.08 (4)	-125 (5)	-256 (1)	-26 (10-II-4)
3	13	-0.79 (3)	-0.57 (5)	0.65 (4)	-77 (10-I-4)	107 (2)	99 (1)
3	14	-0.73 (1)	-0.65 (5)	0.74 (4)	-70 (10-I-4)	29 (5)	128 (5)
3	15	-0.71 (1)	-0.74 (5)	0.88 (4)	-59 (10-I-4)	-121 (1)	110 (5)
3	16	-0.76 (1)	-0.85 (5)	1.05 (4)	-61 (5)	-371 (1)	-30 (10-II-4)
4	1	-1.23 (5)	0.18 (4)	-1.13 (5)	-406 (5)	-85 (5)	86 (7)
4	2	-1.14 (5)	-0.19 (5)	1.20 (4)	-422 (5)	-83 (5)	87 (7)
4	3	-1.43 (6)	-0.09 (1)	1.29 (3)	-466 (5)	-80 (5)	95 (7)
4	4	-1.37 (5)	-0.29 (3)	-1.47 (6)	-505 (5)	-78 (5)	-94 (1)
4	5	-0.95 (5)	-0.46 (5)	1.21 (4)	-242 (5)	-130 (1)	99 (7)
4	6	-1.02 (5)	-0.45 (5)	1.24 (4)	-257 (5)	-111 (5)	-112 (1)
4	7	-1.00 (5)	-0.47 (5)	1.26 (4)	-276 (5)	-94 (5)	-128 (1)
4	8	-1.05 (5)	-0.42 (5)	1.29 (3)	-300 (5)	-79 (5)	-136 (1)
4	9	-0.82 (1)	-0.71 (5)	1.16 (4)	-133 (5)	-184 (1)	-116 (1)
4	10	-0.86 (1)	-0.73 (5)	1.20 (4)	-137 (5)	-150 (1)	-144 (1)
4	11	-0.89 (1)	-0.77 (5)	1.24 (4)	-144 (5)	-118 (1)	-163 (1)
4	12	-0.91 (1)	-0.89 (5)	1.26 (4)	-155 (5)	-89 (1)	-175 (1)
4	13	-0.79 (1)	-0.92 (5)	1.08 (4)	-61 (5)	-259 (1)	-122 (1)
4	14	-0.83 (1)	-0.96 (5)	1.13 (4)	-66 (9-II-4)	-206 (1)	-153 (1)
4	15	-0.86 (1)	-1.02 (5)	1.17 (4)	-72 (9-II-4)	-157 (1)	-175 (1)
4	16	-0.90 (1)	-1.20 (5)	1.21 (4)	-79 (9-II-4)	-115 (1)	-189 (1)
5	1	-1.33 (5)	-0.34 (5)	1.68 (3)	-708 (5)	-85 (5)	96 (7)
5	2	-1.76 (5)	-0.50 (5)	-2.44 (6)	-1038 (5)	-114 (5)	81 (7)
5	3	-1.89 (5)	-0.78 (5)	-4.02 (5)	-1181 (5)	-130 (5)	74 (5)
5	4	-1.81 (5)	-1.37 (5)	-6.45 (5)	-1061 (5)	-114 (5)	157 (5)
5	5	-1.08 (5)	-0.67 (5)	1.63 (3)	-433 (5)	-43 (5)	-147 (1)
5	6	-1.40 (1)	-1.02 (5)	-2.34 (6)	-645 (5)	-32 (5)	89 (7)
5	7	-1.64 (1)	-1.76 (5)	-3.80 (5)	-749 (5)	-40 (6)	69 (5)
5	8	-1.78 (3)	-3.38 (5)	-5.97 (5)	-694 (5)	-34 (6)	189 (5)
5	9	-1.04 (1)	-0.98 (5)	1.56 (3)	-222 (5)	-22 (10-II-4)	-189 (1)

**POTENZIAMENTO DELL'IMPIANTO DI DEPURAZIONE E
DEL RECAPITO FINALE DI SQUINZANO (LE)
PROGETTO DEFINITIVO
Tabulati di calcolo strutturale-Filtrazione**

R.37.9

Maggio 2021

Pagina 55 di 364

Muro	Pann.	Sxx	Syy	Sxy	Mxx	Myy	Mxy
5	10	-1.41(3)	-1.51(5)	-2.16(6)	-342(5)	53(2)	-117(1)
5	11	-1.86(3)	-2.63(5)	-3.39(5)	-415(5)	62(2)	61(5)
5	12	-2.12(3)	-5.06(5)	-5.10(5)	-419(5)	61(2)	206(5)
5	13	-1.07(3)	-1.26(5)	1.45(4)	-110(9-II-4)	-25(10-II-4)	-208(1)
5	14	-1.54(3)	-1.94(5)	-1.91(5)	-154(10-II-1)	124(2)	-134(1)
5	15	-2.02(3)	-3.33(5)	-2.86(5)	-183(10-II-1)	146(2)	51(5)
5	16	-2.29(3)	-6.28(5)	-3.92(5)	-217(8)	131(2)	199(5)
6	1	-0.03(10-II-4)	-0.40(4)	0.20(5)	-58(2)	-143(1)	25(7)
6	2	-0.22(2)	-0.45(1)	0.22(5)	-135(2)	-70(1)	-38(5)
6	3	-0.45(2)	-0.63(1)	0.21(5)	-217(2)	-28(1)	-42(5)
6	4	-0.67(2)	-0.80(1)	0.19(5)	-302(2)	-21(9-II-4)	-37(5)
6	5	-0.09(1)	-0.59(1)	0.38(5)	-39(1)	-206(1)	-63(2)
6	6	-0.23(1)	-0.65(1)	0.41(5)	-53(2)	-86(1)	-85(2)
6	7	-0.42(2)	-0.69(1)	0.40(5)	-75(2)	-34(9-II-1)	-94(2)
6	8	-0.62(2)	-0.74(1)	0.37(5)	-104(2)	-30(7)	-88(2)
6	9	-0.13(1)	-0.77(1)	0.48(5)	-33(1)	-287(1)	-73(2)
6	10	-0.24(1)	-0.77(1)	0.49(5)	-12(3)	-115(1)	-97(2)
6	11	-0.39(1)	-0.75(1)	0.48(5)	-17(10-II-4)	-42(10-II-2)	-109(2)
6	12	-0.56(2)	-0.74(1)	0.45(5)	21(5)	59(2)	-105(2)
6	13	-0.15(1)	-0.91(3)	0.50(5)	-34(1)	-362(1)	-62(2)
6	14	-0.24(1)	-0.85(1)	0.50(5)	-20(4)	-146(1)	-82(2)
6	15	-0.37(1)	-0.80(1)	0.50(5)	57(5)	-48(10-II-2)	-93(2)
6	16	-0.51(2)	-0.75(1)	0.47(5)	91(5)	79(2)	-92(2)
7	1	-0.15(1)	-0.97(4)	0.48(5)	-36(1)	-411(1)	-34(2)
7	2	-0.24(1)	-0.90(3)	0.49(5)	27(5)	-169(1)	-42(2)
7	3	-0.35(1)	-0.84(3)	0.48(5)	81(5)	-52(10-II-1)	-47(2)
7	4	-0.46(1)	-0.78(3)	0.47(5)	128(5)	88(2)	-49(2)
7	5	-0.15(1)	-0.88(3)	0.48(5)	-36(1)	-404(1)	-23(10-II-4)
7	6	-0.24(1)	-0.84(3)	0.47(5)	22(2)	-170(1)	-24(10-II-4)
7	7	-0.33(1)	-0.80(3)	0.47(5)	73(2)	-53(9-I-4)	25(6)
7	8	-0.43(1)	-0.76(3)	0.46(5)	116(2)	80(2)	22(6)
7	9	-0.14(1)	-0.82(1)	0.47(5)	-38(5)	-331(1)	37(5)
7	10	-0.24(1)	-0.77(1)	0.48(5)	-10(5)	-147(5)	54(5)
7	11	-0.32(1)	-0.74(1)	0.48(5)	-14(7)	-48(9-I-4)	59(1)
7	12	-0.40(1)	-0.70(1)	0.47(5)	30(2)	53(2)	54(1)
7	13	-0.15(1)	-0.80(1)	0.50(2)	-58(5)	-281(5)	-27(10-II-4)
7	14	-0.24(1)	-0.74(1)	0.49(2)	-88(5)	-140(5)	-28(10-II-4)
7	15	-0.32(1)	-0.70(1)	0.50(5)	-128(5)	-51(5)	-27(10-II-4)
7	16	-0.39(1)	-0.68(1)	0.51(5)	-176(5)	-36(9-I-4)	-26(10-II-4)
8	1	0.72(5)	0.22(5)	1.01(1)	35(10-II-4)	-5(2)	17(2)
8	2	-1.01(4)	-0.06(4)	1.30(1)	31(10-II-4)	-5(2)	12(5)
8	3	-1.50(4)	-0.13(6)	1.40(1)	24(10-II-4)	-5(5)	-11(10-II-4)
8	4	-1.73(4)	-0.18(5)	1.32(1)	-26(7)	-4(7)	-20(10-II-4)
8	5	-0.55(4)	-0.22(2)	1.01(1)	14(10-II-4)	-21(10-II-4)	16(2)
8	6	-0.94(4)	-0.21(5)	1.40(1)	14(10-II-4)	-16(2)	15(5)
8	7	-1.33(4)	-0.27(5)	1.44(1)	13(10-II-4)	-14(2)	-14(10-II-4)
8	8	-1.59(4)	-0.32(5)	1.38(1)	-19(7)	-11(2)	-21(10-II-4)
8	9	-0.49(4)	-0.69(2)	1.01(5)	-6(5)	-33(10-II-4)	17(2)
8	10	-0.87(4)	-0.62(5)	1.37(5)	-7(6)	-28(2)	16(1)
8	11	-1.21(4)	-0.57(5)	1.44(5)	-10(7)	-24(2)	-14(10-II-4)
8	12	-1.45(4)	-0.55(5)	1.40(5)	-14(7)	-20(2)	-22(10-II-4)
8	13	-0.70(1)	-1.12(2)	0.98(5)	-7(5)	-45(2)	18(2)
8	14	-0.80(4)	-1.01(5)	1.28(5)	-7(5)	-41(2)	17(1)
8	15	-1.11(4)	-0.89(5)	1.38(5)	-8(7)	-35(2)	-14(10-II-4)
8	16	-1.34(4)	-0.81(5)	1.37(5)	-10(7)	-28(2)	-23(10-II-4)
9	1	-1.92(7)	-0.33(5)	0.78(1)	-49(7)	-6(7)	-29(10-II-4)
9	2	-1.67(7)	-0.42(5)	-0.81(7)	-45(7)	-6(6)	-30(10-II-4)
9	3	-1.50(5)	-0.63(5)	-0.63(7)	-44(6)	-5(6)	-19(10-II-4)
9	4	-3.51(5)	-1.15(5)	0.91(5)	-44(6)	8(10-II-4)	-8(8)
9	5	-1.84(7)	-0.53(5)	0.80(1)	-36(7)	-5(6)	-32(10-II-4)
9	6	-1.66(7)	-0.73(5)	-0.71(4)	-32(7)	6(10-II-4)	-27(10-II-4)
9	7	-1.59(6)	-1.14(5)	0.80(5)	-29(6)	14(10-II-4)	-15(10-II-4)
9	8	-3.34(5)	-1.27(5)	0.84(5)	-23(6)	20(10-II-4)	-4(7)
9	9	-1.76(7)	-0.68(5)	0.87(5)	-26(7)	5(10-II-4)	-33(10-II-4)
9	10	-1.67(7)	-0.88(5)	0.83(5)	-23(7)	13(10-II-4)	-25(10-II-4)
9	11	-1.72(6)	-1.12(5)	0.95(5)	-18(6)	24(10-II-4)	-13(10-II-4)
9	12	-2.91(5)	-1.08(5)	0.76(5)	-12(6)	34(10-II-4)	-1(7)
9	13	-1.71(7)	-0.77(5)	0.95(5)	-18(7)	10(10-II-4)	-34(10-II-4)
9	14	-1.68(7)	-0.89(5)	0.94(5)	-16(7)	21(10-II-4)	-25(10-II-4)
9	15	-1.78(7)	-0.96(5)	0.98(5)	-11(7)	34(10-II-4)	-11(10-II-4)
9	16	-2.47(5)	-0.85(5)	0.70(5)	-6(7)	47(10-II-4)	2(10-II-2)
10	1	-2.25(6)	-0.27(5)	1.12(6)	137(7)	22(5)	-36(7)
10	2	-2.63(6)	-0.33(5)	0.84(6)	245(5)	37(5)	-28(7)
10	3	-2.81(6)	-0.35(5)	0.51(6)	384(5)	55(5)	30(2)
10	4	-2.49(6)	-0.35(5)	-0.22(10-II-4)	507(5)	47(5)	38(2)
10	5	-2.07(6)	-0.38(1)	1.16(6)	115(5)	33(1)	-30(7)

**POTENZIAMENTO DELL'IMPIANTO DI DEPURAZIONE E
DEL RECAPITO FINALE DI SQUINZANO (LE)
PROGETTO DEFINITIVO
Tabulati di calcolo strutturale-Filtrazione**

R.37.9

Maggio 2021

Pagina 56 di 364

Muro	Pann.	Sxx	Syy	Sxy	Mxx	Myy	Mxy
10	6	-2.43(6)	-0.40(1)	0.86(6)	187(5)	42(5)	38(2)
10	7	-2.60(6)	-0.40(1)	0.49(6)	252(5)	48(5)	51(2)
10	8	-2.38(6)	-0.51(5)	0.22(6)	272(5)	-18(2)	42(2)
10	9	-1.88(6)	-0.54(1)	1.19(6)	96(5)	44(1)	34(2)
10	10	-2.22(6)	-0.54(1)	0.87(6)	131(5)	44(5)	54(2)
10	11	-2.37(6)	-0.55(1)	0.54(6)	148(5)	40(6)	56(2)
10	12	-2.29(6)	-0.62(1)	0.30(6)	133(5)	-59(2)	38(2)
10	13	-1.75(7)	-0.75(1)	1.19(6)	74(5)	55(1)	44(5)
10	14	-2.02(7)	-0.71(1)	0.88(6)	85(5)	44(5)	59(2)
10	15	-2.16(6)	-0.70(1)	0.57(6)	77(5)	38(7)	52(2)
10	16	-2.18(6)	-0.73(1)	0.34(6)	54(5)	-91(5)	33(2)
11	1	1.64(6)	0.38(6)	1.11(6)	136(4)	-16(7)	-47(5)
11	2	-0.58(3)	0.13(7)	1.41(6)	146(4)	20(1)	-52(1)
11	3	-1.15(8)	-0.14(1)	1.40(6)	144(4)	20(1)	-36(6)
11	4	-1.75(6)	-0.21(1)	1.32(6)	136(4)	19(3)	-37(7)
11	5	1.09(6)	0.37(7)	1.08(6)	61(4)	-70(7)	-83(5)
11	6	-0.59(3)	0.41(7)	1.51(6)	78(4)	37(1)	-53(1)
11	7	-1.09(3)	0.36(7)	1.50(6)	90(4)	40(1)	-29(1)
11	8	-1.59(6)	-0.33(1)	1.38(6)	95(4)	36(1)	-30(7)
11	9	0.56(6)	-0.66(1)	1.07(6)	43(5)	-106(7)	-98(5)
11	10	-0.65(1)	-0.58(1)	1.49(6)	40(1)	61(1)	-48(1)
11	11	-1.05(3)	0.56(7)	1.53(6)	52(1)	60(1)	-21(1)
11	12	-1.45(7)	-0.54(1)	1.41(6)	66(5)	52(1)	-24(4)
11	13	-0.61(1)	-1.09(1)	1.04(6)	43(5)	-132(7)	-104(5)
11	14	-0.77(1)	-0.99(1)	1.40(6)	43(5)	89(1)	-40(1)
11	15	-1.01(3)	-0.88(1)	1.48(6)	50(5)	82(1)	-11(1)
11	16	-1.34(7)	-0.81(1)	1.39(6)	60(5)	70(1)	23(5)
12	1	-17.11(5)	-2.01(5)	-5.42(5)	3525(6)	355(6)	-103(6)
12	2	-7.99(5)	-1.06(5)	-4.67(10-I-1)	3364(6)	504(6)	84(3)
12	3	-3.74(6)	-0.86(6)	-4.70(5)	3332(6)	502(6)	71(6)
12	4	6.50(8)	0.72(3)	-5.79(5)	3406(6)	342(6)	194(5)
12	5	-14.37(5)	1.85(8)	-2.63(10-I-1)	1130(6)	31(3)	90(5)
12	6	-7.90(5)	-1.03(5)	-4.97(10-I-1)	1334(6)	322(6)	23(5)
12	7	-3.48(6)	-1.09(6)	-5.05(5)	1334(6)	332(6)	17(4)
12	8	4.61(3)	-2.68(5)	-3.46(5)	1133(6)	24(3)	66(3)
12	9	-11.95(6)	1.45(6)	-1.84(10-I-1)	-487(5)	-156(6)	153(6)
12	10	-7.08(5)	-0.55(6)	-4.16(10-I-1)	-471(5)	-45(3)	83(6)
12	11	-3.40(6)	-1.69(5)	-4.40(5)	-426(5)	-72(3)	-58(6)
12	12	3.04(3)	-2.12(5)	-2.94(5)	-333(5)	-145(6)	110(3)
12	13	-10.94(6)	1.07(10-I-1)	-1.94(10-I-1)	-2407(5)	-321(6)	77(6)
12	14	-5.80(6)	-0.42(6)	-3.43(10-I-1)	-2222(5)	-261(5)	79(6)
12	15	-3.11(5)	-1.00(5)	-3.83(5)	-2122(6)	-237(5)	12(3)
12	16	-3.34(5)	-1.44(5)	-3.34(5)	-1949(5)	-271(6)	123(5)
13	1	-10.15(5)	-1.97(3)	4.55(5)	77(2)	-280(5)	-274(5)
13	2	-8.19(5)	-1.75(3)	6.61(5)	38(2)	-406(5)	-295(5)
13	3	-5.35(5)	-1.43(1)	8.13(5)	-31(1)	-573(5)	-267(5)
13	4	-2.17(6)	-2.02(5)	8.82(5)	-86(1)	-823(5)	-205(5)
13	5	-13.82(5)	-1.33(4)	4.64(5)	-27(1)	-373(5)	-280(5)
13	6	-11.14(6)	-1.00(1)	7.80(5)	-38(1)	-414(5)	-318(5)
13	7	-7.03(6)	-1.12(6)	9.80(5)	-54(1)	-460(5)	-291(5)
13	8	-2.54(6)	-1.88(6)	10.31(5)	-75(1)	-572(1)	-205(5)
13	9	-19.20(6)	-1.41(6)	4.55(5)	-234(5)	-501(5)	-271(5)
13	10	-15.63(6)	-1.96(6)	9.58(5)	-208(5)	-437(5)	-325(5)
13	11	-7.80(6)	-1.94(6)	10.36(5)	-157(5)	-338(5)	-272(5)
13	12	-2.26(6)	-1.21(6)	10.08(5)	-77(5)	-376(1)	-193(5)
13	13	-31.60(6)	-12.03(6)	9.04(5)	-805(5)	-962(5)	-219(5)
13	14	-15.08(5)	-8.31(6)	6.45(5)	-519(5)	-488(5)	-282(5)
13	15	-8.28(5)	3.57(3)	5.83(5)	-274(5)	-270(5)	-247(5)
13	16	-0.99(5)	2.15(5)	7.22(5)	-93(5)	342(10-I-1)	-210(5)
14	1	2.83(5)	-0.84(10-I-1)	0.29(3)	-1346(6)	-491(6)	99(6)
14	2	2.74(6)	-0.92(10-I-1)	-0.88(6)	-675(6)	321(10-I-1)	-117(3)
14	3	-1.77(4)	-0.92(7)	-0.74(6)	338(4)	321(7)	-64(10-I-4)
14	4	2.31(5)	0.92(1)	-0.24(10-II-4)	386(4)	-213(1)	103(6)
14	5	3.16(5)	-0.70(4)	0.19(3)	543(3)	-394(5)	327(6)
14	6	4.05(5)	-0.85(3)	0.36(5)	-935(5)	-255(1)	475(6)
14	7	4.41(5)	-1.13(10-I-4)	0.15(10-I-4)	-1332(5)	367(5)	214(6)
14	8	3.04(5)	-0.95(10-I-1)	0.23(3)	-1596(5)	-189(6)	79(1)
14	9	2.85(5)	-0.73(10-I-4)	0.20(10-I-4)	-870(6)	-302(5)	472(6)
15	1	-1.04(7)	-2.12(6)	0.44(6)	275(7)	187(4)	-251(6)
15	2	-1.05(4)	-2.32(6)	0.50(6)	326(7)	414(7)	-170(6)
15	3	-1.26(6)	-2.61(6)	0.37(6)	387(6)	769(6)	81(3)
15	4	-1.10(7)	-1.42(6)	0.41(6)	247(6)	550(6)	-86(6)
15	5	-1.07(7)	-1.10(7)	0.73(6)	37(7)	235(6)	-112(6)
15	6	-0.87(7)	-1.09(7)	0.59(6)	-235(5)	148(7)	-234(6)
15	7	-0.52(7)	-1.11(7)	0.56(6)	-125(5)	112(7)	-291(6)
15	8	-0.87(7)	-1.59(7)	0.39(6)	156(7)	-196(5)	-342(6)

**POTENZIAMENTO DELL'IMPIANTO DI DEPURAZIONE E
DEL RECAPITO FINALE DI SQUINZANO (LE)
PROGETTO DEFINITIVO
Tabulati di calcolo strutturale-Filtrazione**

R.37.9

Maggio 2021

Pagina 57 di 364

Muro	Pann.	Sxx	Syy	Sxy	Mxx	Myy	Mxy
15	9	-1.08(6)	-1.50(7)	0.47(6)	184(7)	263(7)	-277(6)
16	1	-1.25(4)	-0.84(7)	0.48(5)	338(4)	422(7)	64(10-II-4)
16	2	-1.26(4)	0.95(1)	0.64(5)	321(4)	-619(5)	62(10-II-4)
16	3	-0.91(4)	0.87(1)	0.58(6)	244(7)	636(6)	-253(6)
16	4	-0.85(4)	0.91(1)	0.65(6)	122(4)	-881(5)	-109(6)
16	5	-0.54(7)	0.74(1)	0.83(6)	187(6)	532(6)	-283(6)
16	6	-0.47(4)	0.78(1)	0.68(6)	56(7)	-729(5)	-186(6)
16	7	-0.22(7)	-0.51(7)	0.82(6)	60(6)	276(7)	-302(6)
16	8	0.24(5)	0.60(1)	0.54(6)	-84(1)	-394(5)	-241(6)
17	1	1.58(5)	-0.70(7)	-0.27(10-II-4)	-100(1)	148(7)	63(10-II-4)
17	2	1.10(5)	-0.85(6)	0.59(6)	103(7)	235(6)	-156(6)
17	3	0.66(5)	-0.67(7)	0.73(6)	116(7)	158(7)	-156(6)
17	4	0.58(1)	-0.70(7)	0.73(6)	39(7)	158(7)	-170(6)
17	5	1.58(5)	-0.61(7)	-0.22(10-II-4)	-553(5)	96(7)	72(10-II-4)
17	6	1.13(5)	-0.70(7)	0.54(6)	-502(5)	120(7)	-114(6)
17	7	0.69(5)	-0.65(7)	0.67(6)	-350(5)	103(7)	-154(6)
17	8	0.60(1)	-0.63(7)	0.71(6)	-236(5)	123(7)	-170(6)
18	1	0.57(1)	0.55(5)	0.72(6)	-173(5)	-141(5)	-127(6)
18	2	0.44(1)	0.61(5)	0.80(6)	-71(1)	-134(5)	-131(6)
18	3	0.53(1)	-0.59(7)	0.90(6)	-73(5)	139(7)	-151(6)
18	4	0.58(1)	-0.54(7)	0.80(6)	-139(1)	126(7)	-189(6)
18	5	0.49(1)	0.37(1)	0.63(6)	-141(3)	-75(1)	-185(6)
18	6	0.50(1)	0.55(5)	0.55(6)	-128(3)	-98(5)	-175(6)
18	7	0.57(1)	0.93(5)	0.52(6)	-144(3)	-208(5)	-130(6)
18	8	0.63(1)	0.84(5)	0.54(6)	-132(1)	-235(5)	-93(6)
19	1	1.90(5)	-0.51(7)	-0.42(10-II-4)	-594(5)	-99(1)	-96(6)
19	2	1.42(5)	-0.53(7)	-0.22(10-II-4)	-658(5)	69(7)	-155(6)
19	3	1.11(5)	-0.51(7)	0.43(6)	-588(5)	92(7)	-152(6)
19	4	1.07(5)	-0.47(7)	0.64(6)	-399(5)	131(7)	-87(6)
19	5	1.42(5)	-0.52(7)	-0.48(10-II-4)	-351(5)	-176(1)	-84(6)
19	6	1.20(5)	-0.46(7)	-0.24(10-II-4)	-295(5)	95(7)	-66(6)
19	7	0.94(5)	-0.43(7)	0.34(6)	-217(5)	172(7)	-71(6)
19	8	0.76(5)	-0.40(7)	0.58(6)	-149(5)	208(7)	97(3)
19	9	0.96(5)	-0.32(7)	-0.49(10-II-4)	-150(5)	-199(1)	-55(6)
19	10	0.98(5)	-0.40(7)	-0.24(10-II-4)	-54(5)	108(7)	36(10-II-4)
19	11	0.79(5)	-0.45(7)	0.28(6)	60(4)	216(7)	41(10-II-4)
19	12	0.51(5)	-0.42(7)	0.46(6)	41(4)	235(7)	100(3)
19	13	0.69(5)	0.29(1)	-0.28(10-II-4)	58(4)	-144(1)	69(10-II-4)
19	14	0.81(5)	-0.33(7)	0.18(6)	175(7)	108(7)	110(10-II-4)
19	15	0.69(5)	-0.53(7)	0.27(6)	201(7)	201(7)	87(10-II-4)
19	16	0.39(5)	-0.57(7)	0.30(6)	120(7)	204(7)	77(10-II-4)
20	1	0.25(5)	0.27(1)	-0.45(10-II-4)	-92(5)	-164(3)	27(10-II-4)
20	2	-0.25(4)	-0.31(7)	-0.47(10-II-4)	-82(5)	72(7)	-71(7)
20	3	-0.28(4)	-0.56(7)	-0.36(10-II-4)	-50(5)	170(7)	-64(7)
20	4	-0.28(4)	-0.64(7)	-0.22(10-II-4)	34(4)	185(7)	-36(6)
20	5	-0.22(4)	-0.13(7)	-0.37(10-II-4)	-52(5)	-255(4)	52(10-II-4)
20	6	-0.28(4)	-0.25(7)	-0.33(10-II-4)	66(4)	81(7)	63(10-II-4)
20	7	-0.35(4)	-0.41(7)	-0.28(10-II-4)	90(4)	209(7)	52(10-II-4)
20	8	-0.39(4)	-0.50(7)	-0.20(10-II-4)	98(4)	225(7)	48(10-II-4)
20	9	-0.28(4)	-0.10(7)	-0.32(10-II-4)	42(4)	-251(4)	64(10-II-4)
20	10	-0.32(4)	-0.22(7)	-0.26(10-II-4)	105(4)	76(7)	78(10-II-4)
20	11	-0.39(4)	-0.36(7)	-0.21(10-II-4)	128(4)	198(7)	68(10-II-4)
20	12	-0.45(4)	-0.45(7)	-0.17(10-II-4)	124(4)	213(7)	48(10-II-4)
20	13	-0.34(4)	0.20(1)	-0.23(10-II-4)	71(4)	-158(4)	94(10-II-4)
20	14	-0.37(4)	-0.19(7)	-0.15(10-II-4)	106(4)	59(7)	127(10-II-4)
20	15	-0.42(4)	-0.41(7)	0.15(7)	115(4)	143(7)	97(10-II-4)
20	16	-0.45(4)	-0.50(7)	-0.15(2)	107(4)	156(7)	51(10-II-4)
21	1	-0.29(4)	0.28(3)	-0.34(10-II-4)	103(4)	-125(4)	58(10-II-4)
21	2	0.38(5)	-0.15(7)	-0.37(10-II-4)	190(4)	60(7)	40(2)
21	3	0.42(5)	-0.37(7)	-0.29(10-II-4)	230(4)	129(7)	43(2)
21	4	0.31(5)	-0.45(7)	-0.20(10-II-4)	169(4)	138(7)	-51(7)
21	5	0.31(5)	0.17(2)	-0.20(10-II-4)	83(4)	-156(4)	86(10-II-4)
21	6	0.37(5)	-0.11(7)	-0.25(10-II-4)	134(4)	52(7)	90(10-II-4)
21	7	0.42(5)	-0.26(7)	-0.22(10-II-4)	152(4)	122(7)	64(10-II-4)
21	8	0.36(5)	-0.32(4)	-0.22(2)	121(4)	141(7)	-63(7)
21	9	0.40(5)	0.12(2)	-0.14(10-II-4)	-92(5)	-110(4)	91(10-II-4)
21	10	0.39(5)	-0.10(7)	-0.17(10-II-4)	-110(5)	26(7)	88(10-II-4)
21	11	0.44(5)	-0.20(7)	-0.15(10-II-4)	-130(5)	83(7)	64(10-II-4)
21	12	0.47(5)	-0.27(4)	-0.23(2)	-119(5)	114(7)	-63(7)
21	13	0.47(5)	0.08(3)	-0.08(10-II-4)	-213(1)	-68(4)	55(4)
21	14	0.40(5)	-0.11(7)	-0.10(10-II-4)	-328(1)	-42(1)	64(4)
21	15	0.47(5)	-0.23(7)	-0.10(2)	-390(1)	-48(2)	41(4)
21	16	0.60(1)	-0.29(4)	-0.15(2)	-295(1)	71(7)	-26(6)
22	1	0.94(5)	-0.42(7)	0.49(6)	-278(5)	99(7)	-133(6)
22	2	0.60(2)	0.27(1)	0.58(6)	-270(5)	70(7)	-65(6)
22	3	0.38(1)	0.43(5)	0.56(6)	-184(1)	-94(5)	43(3)

**POTENZIAMENTO DELL'IMPIANTO DI DEPURAZIONE E
DEL RECAPITO FINALE DI SQUINZANO (LE)
PROGETTO DEFINITIVO
Tabulati di calcolo strutturale-Filtrazione**

R.37.9

Maggio 2021

Pagina 58 di 364

Muro	Pann.	Sxx	Syy	Sxy	Mxx	Myy	Mxy
22	4	0.25(3)	0.61(5)	0.34(6)	-86(1)	-232(5)	30(3)
22	5	0.61(5)	-0.39(7)	-0.28(3)	-103(5)	156(7)	-119(6)
22	6	0.50(2)	0.31(1)	0.36(6)	-88(1)	129(7)	70(3)
22	7	0.39(1)	0.40(5)	0.36(6)	-93(1)	-91(5)	80(3)
22	8	0.28(1)	0.48(5)	0.29(6)	-93(1)	-313(5)	54(4)
22	9	0.36(5)	-0.38(7)	-0.31(3)	31(7)	209(7)	-91(6)
22	10	0.35(2)	0.37(2)	0.20(6)	48(7)	155(7)	67(3)
22	11	0.34(1)	0.48(5)	0.23(6)	32(7)	-119(5)	79(3)
22	12	0.29(2)	0.59(5)	0.21(6)	-74(2)	-395(5)	54(4)
22	13	0.25(5)	-0.51(7)	-0.27(10-II-4)	87(7)	188(7)	-77(6)
22	14	0.30(5)	-0.44(7)	-0.29(3)	132(7)	150(7)	-86(6)
22	15	0.28(5)	0.62(5)	-0.25(3)	105(7)	-130(5)	-91(6)
22	16	0.25(5)	0.89(5)	-0.12(10-II-4)	44(7)	-340(5)	-30(5)
23	1	-0.27(4)	-0.54(7)	0.22(6)	44(4)	191(7)	52(10-II-4)
23	2	-0.28(7)	-0.48(7)	0.32(6)	23(10-II-4)	144(7)	91(2)
23	3	-0.27(7)	0.67(5)	0.34(6)	-42(5)	-161(5)	94(2)
23	4	-0.23(7)	0.95(5)	0.20(6)	-68(5)	-381(5)	46(3)
23	5	-0.36(4)	0.45(2)	-0.17(10-II-4)	96(4)	251(7)	34(10-II-4)
23	6	-0.31(7)	0.53(2)	0.15(6)	77(4)	183(7)	37(10-II-4)
23	7	-0.25(7)	0.65(5)	0.13(6)	48(4)	-185(5)	31(10-II-4)
23	8	-0.24(7)	0.75(5)	0.11(6)	-76(5)	-508(5)	13(4)
23	9	-0.41(4)	0.45(2)	-0.15(10-II-4)	116(4)	242(7)	-39(7)
23	10	-0.33(4)	0.52(5)	-0.13(2)	102(7)	178(7)	-47(7)
23	11	-0.26(4)	0.62(5)	0.11(7)	73(7)	-179(5)	-44(7)
23	12	-0.25(4)	0.72(5)	0.11(7)	-75(2)	-491(1)	-5(6)
23	13	-0.42(4)	-0.44(7)	-0.18(2)	102(4)	169(7)	-56(7)
23	14	-0.34(4)	-0.42(4)	-0.26(2)	98(7)	135(4)	-98(6)
23	15	-0.27(4)	0.59(5)	-0.29(2)	90(7)	-142(5)	-105(7)
23	16	-0.25(4)	0.81(5)	-0.18(2)	-67(2)	-339(1)	-46(7)
24	1	-0.32(4)	-0.42(7)	0.27(7)	136(4)	135(4)	54(2)
24	2	0.29(2)	-0.38(4)	0.32(7)	159(4)	116(4)	60(2)
24	3	0.25(2)	0.52(5)	0.31(7)	107(4)	-102(5)	69(2)
24	4	-0.21(7)	0.75(5)	0.17(7)	53(4)	-252(1)	33(2)
24	5	0.31(5)	-0.32(7)	0.30(7)	102(4)	136(4)	49(2)
24	6	0.30(5)	0.31(2)	0.25(7)	110(4)	109(4)	-81(7)
24	7	0.28(1)	0.40(5)	0.20(7)	87(4)	-89(5)	-99(7)
24	8	0.22(1)	0.46(5)	0.12(7)	-50(5)	-273(1)	-56(4)
24	9	0.45(5)	-0.32(5)	0.29(7)	-85(5)	95(10-II-4)	53(2)
24	10	0.36(5)	0.28(2)	0.19(7)	-79(2)	81(4)	-87(7)
24	11	0.30(1)	0.30(5)	0.14(7)	-75(2)	-80(2)	-100(7)
24	12	0.24(1)	0.31(5)	-0.11(2)	-72(1)	-201(2)	-68(4)
24	13	0.64(1)	-0.33(7)	0.16(7)	-225(1)	60(10-II-4)	18(2)
24	14	0.41(1)	-0.25(4)	0.12(7)	-252(1)	-44(5)	-37(8)
24	15	0.30(1)	0.25(5)	-0.11(2)	-189(1)	-72(2)	-48(1)
24	16	0.22(1)	0.24(5)	-0.07(2)	-102(1)	-108(2)	-40(1)
25	1	0.49(5)	-0.16(7)	-0.16(10-II-4)	67(4)	-70(4)	-39(6)
25	2	0.39(5)	-0.07(7)	-0.14(10-II-4)	196(4)	17(5)	47(10-II-4)
25	3	0.55(5)	-0.53(7)	-0.20(10-II-4)	210(7)	175(7)	84(10-II-4)
25	4	0.81(5)	-0.35(7)	-0.19(10-II-4)	-250(5)	138(7)	36(10-II-4)
25	5	0.55(5)	-0.28(7)	-0.22(10-II-4)	-415(5)	53(7)	-66(7)
25	6	0.45(1)	-0.11(7)	-0.20(10-II-4)	-384(5)	-44(1)	-84(4)
25	7	0.51(5)	0.07(4)	-0.15(10-II-4)	-256(1)	-103(4)	-60(7)
25	8	0.50(5)	-0.13(10-II-4)	-0.18(10-II-4)	-129(5)	-130(4)	-48(6)
26	1	-0.47(4)	-0.83(7)	-0.37(10-II-4)	54(4)	239(7)	132(7)
26	2	-0.30(4)	-0.24(7)	-0.23(10-II-4)	-68(5)	-51(3)	113(10-II-4)
26	3	-0.59(4)	-0.62(7)	-0.42(10-II-4)	146(7)	289(7)	85(10-II-4)
26	4	-0.31(4)	-0.38(7)	-0.29(10-II-4)	53(4)	-93(4)	78(10-II-4)
26	5	-0.66(4)	-0.57(7)	-0.44(10-II-4)	183(7)	278(7)	68(10-II-4)
26	6	-0.37(4)	-0.34(7)	-0.32(10-II-4)	87(4)	-92(4)	56(10-II-4)
26	7	-0.66(7)	-0.66(7)	-0.47(10-II-4)	159(4)	206(7)	36(10-II-4)
26	8	-0.46(4)	-0.16(7)	-0.37(10-II-4)	103(4)	-46(4)	-39(7)
27	1	-1.51(7)	-1.85(6)	-0.88(5)	398(7)	197(7)	304(5)
27	2	-1.53(6)	-2.55(6)	-1.07(5)	437(6)	735(6)	209(5)
27	3	-1.02(6)	-1.13(6)	-0.65(10-II-4)	86(7)	174(7)	274(5)
27	4	-1.05(7)	-1.48(6)	-0.69(10-II-4)	139(7)	402(6)	123(5)
28	1	3.39(5)	2.31(5)	1.01(6)	-809(5)	-435(5)	-644(6)
28	2	2.82(5)	2.23(5)	0.86(6)	388(4)	-310(5)	-392(6)
28	3	1.77(5)	1.47(5)	1.32(6)	368(4)	-246(5)	-152(6)
28	4	3.30(5)	3.59(5)	1.59(6)	-960(5)	-764(5)	-334(6)
28	5	2.86(5)	2.78(5)	1.05(6)	-1790(5)	-984(5)	-412(6)
28	6	3.39(5)	2.67(5)	1.04(6)	-1530(5)	-848(5)	-168(4)
28	7	4.08(5)	2.73(8)	0.49(7)	962(4)	-514(3)	-92(5)
28	8	3.91(5)	2.77(5)	0.75(7)	-1170(5)	-264(2)	-481(6)
29	1	-0.42(7)	-0.66(7)	-0.59(6)	-131(5)	-1000(5)	105(7)
29	2	0.35(1)	0.51(2)	-0.48(6)	-95(1)	-575(5)	145(6)
29	3	0.17(1)	0.48(1)	-0.67(7)	60(6)	-167(1)	342(6)

**POTENZIAMENTO DELL'IMPIANTO DI DEPURAZIONE E
DEL RECAPITO FINALE DI SQUINZANO (LE)
PROGETTO DEFINITIVO
Tabulati di calcolo strutturale-Filtrazione**

R.37.9

Maggio 2021

Pagina 59 di 364

Muro	Pann.	Sxx	Syy	Sxy	Mxx	Myy	Mxy
29	4	-0.44 (7)	0.53 (1)	-0.88 (6)	138 (6)	162 (7)	336 (5)
29	5	-0.54 (7)	-0.50 (7)	-0.82 (7)	212 (6)	538 (6)	320 (5)
29	6	-1.31 (7)	0.79 (5)	-0.57 (2)	321 (4)	349 (6)	86 (10-II-4)
29	7	-1.04 (4)	1.13 (5)	-0.42 (5)	253 (4)	-446 (5)	-68 (4)
29	8	-0.70 (7)	-0.80 (7)	-0.56 (5)	87 (4)	-1007 (5)	137 (5)
30	1	-0.52 (7)	1.54 (5)	0.52 (10-II-4)	104 (7)	-343 (5)	-114 (10-II-4)
30	2	-0.58 (7)	1.27 (5)	0.51 (10-II-4)	128 (7)	-176 (5)	-114 (10-II-4)
30	3	-0.68 (7)	1.03 (5)	0.71 (10-II-4)	151 (7)	-160 (5)	-162 (8)
30	4	-0.56 (7)	1.25 (5)	0.64 (10-II-4)	88 (7)	-533 (5)	-122 (10-II-4)
30	5	-0.58 (7)	0.92 (5)	0.62 (10-II-4)	86 (7)	-515 (5)	-119 (10-II-4)
30	6	-0.57 (7)	0.97 (5)	0.63 (10-II-4)	91 (7)	-463 (5)	-125 (10-II-4)
30	7	-0.57 (7)	1.45 (5)	0.62 (10-II-4)	89 (7)	-540 (5)	-126 (5)
30	8	-0.59 (7)	1.22 (5)	0.62 (10-II-4)	81 (7)	-612 (5)	-116 (5)
31	1	0.89 (5)	-0.57 (7)	-0.68 (10-II-4)	138 (7)	292 (7)	68 (10-II-4)
31	2	0.62 (5)	-0.78 (7)	-0.68 (10-II-4)	213 (7)	243 (7)	70 (10-II-4)
31	3	0.84 (5)	-0.24 (7)	-0.44 (10-II-4)	161 (7)	42 (7)	86 (10-II-4)
31	4	1.23 (5)	-0.45 (7)	-0.33 (10-II-4)	-104 (5)	-84 (1)	106 (10-II-4)
31	5	1.43 (5)	-0.45 (7)	-0.20 (10-II-4)	-373 (5)	-170 (1)	158 (8)
31	6	1.82 (5)	-0.43 (7)	-0.27 (10-II-4)	-618 (5)	-104 (1)	149 (10-II-4)
31	7	1.37 (5)	-0.50 (7)	-0.42 (10-II-4)	-749 (5)	53 (7)	192 (8)
31	8	1.22 (5)	-0.55 (7)	-0.54 (10-II-4)	-775 (5)	73 (7)	179 (8)
31	9	1.47 (5)	-0.57 (7)	-0.70 (8)	-596 (5)	131 (7)	100 (10-II-4)
31	10	1.05 (5)	-0.57 (7)	-0.82 (8)	-219 (5)	233 (7)	38 (10-II-4)
31	11	1.04 (5)	-0.52 (7)	-0.58 (10-II-4)	-242 (5)	204 (7)	141 (7)
31	12	1.18 (5)	-0.48 (7)	-0.42 (10-II-4)	-300 (5)	97 (6)	166 (7)
32	1	-0.33 (7)	0.50 (1)	-0.36 (10-II-4)	130 (7)	-339 (5)	122 (7)
32	2	-0.34 (7)	0.48 (1)	-0.33 (7)	115 (7)	-163 (5)	138 (7)
32	3	-0.61 (7)	-0.67 (7)	-0.42 (10-II-4)	172 (7)	212 (7)	149 (7)
32	4	-0.68 (7)	-0.60 (7)	-0.48 (10-II-4)	171 (7)	295 (7)	118 (10-II-4)
32	5	-0.67 (7)	-0.70 (7)	-0.46 (10-II-4)	160 (7)	303 (7)	105 (10-II-4)
32	6	-0.56 (7)	-0.83 (7)	-0.50 (10-II-4)	86 (7)	240 (7)	84 (10-II-4)
32	7	-0.52 (7)	-0.78 (7)	-0.62 (5)	40 (7)	208 (7)	44 (10-II-4)
32	8	-0.54 (7)	-0.56 (7)	-0.69 (5)	-45 (10-II-4)	132 (7)	-55 (1)
32	9	-0.43 (7)	0.84 (5)	-0.43 (5)	-68 (5)	-380 (5)	-28 (1)
32	10	-0.34 (7)	0.64 (1)	-0.37 (7)	-67 (1)	-525 (5)	39 (5)
32	11	-0.47 (7)	-0.50 (7)	-0.43 (10-II-4)	91 (7)	126 (7)	101 (10-II-4)
32	12	-0.55 (7)	-0.65 (7)	-0.50 (10-II-4)	123 (7)	269 (7)	104 (10-II-4)
33	1	0.33 (2)	0.36 (5)	-0.20 (7)	-86 (2)	-131 (1)	98 (4)
33	2	0.33 (2)	0.25 (5)	-0.11 (10-II-4)	-125 (1)	-72 (5)	38 (1)
33	3	0.43 (2)	0.24 (5)	-0.24 (7)	-291 (1)	-81 (1)	47 (6)
33	4	0.51 (2)	-0.40 (7)	-0.34 (7)	-309 (1)	-73 (2)	80 (7)
33	5	0.79 (5)	-0.47 (7)	-0.41 (7)	-202 (2)	99 (7)	89 (7)
33	6	0.43 (1)	-0.63 (7)	-0.61 (7)	162 (4)	139 (7)	128 (7)
33	7	0.30 (1)	0.49 (1)	-0.48 (7)	143 (7)	-82 (1)	138 (7)
33	8	0.31 (2)	0.36 (2)	-0.44 (7)	-86 (5)	-123 (1)	127 (7)
33	9	0.45 (2)	-0.30 (7)	-0.33 (7)	-136 (1)	-84 (1)	166 (7)
34	1	-0.26 (6)	0.55 (5)	-0.53 (5)	-95 (3)	-260 (5)	-20 (4)
34	2	0.25 (1)	-0.29 (7)	-0.29 (5)	-300 (5)	-76 (1)	82 (10-II-4)
34	3	0.78 (5)	-0.58 (7)	-0.89 (5)	-523 (5)	120 (7)	112 (10-II-4)
34	4	1.53 (5)	-0.62 (7)	-0.43 (10-II-4)	-528 (5)	121 (7)	140 (10-II-4)
34	5	0.14 (1)	0.36 (5)	-0.49 (5)	-78 (1)	-350 (5)	-61 (4)
34	6	0.31 (1)	-0.29 (7)	-0.64 (5)	-101 (5)	99 (7)	54 (10-II-4)
34	7	0.62 (5)	-0.50 (7)	-0.64 (5)	-130 (5)	200 (7)	76 (10-II-4)
34	8	0.90 (5)	-0.68 (7)	-0.31 (10-II-4)	-173 (5)	195 (7)	185 (7)
34	9	0.19 (1)	0.46 (1)	-0.39 (5)	-47 (1)	-414 (5)	-58 (4)
34	10	0.33 (1)	-0.40 (7)	-0.46 (5)	103 (7)	141 (7)	56 (10-II-4)
34	11	0.46 (5)	-0.59 (7)	-0.43 (10-II-4)	124 (7)	248 (7)	71 (10-II-4)
34	12	0.44 (5)	-0.69 (7)	-0.29 (10-II-4)	73 (7)	249 (7)	168 (7)
34	13	0.19 (1)	0.82 (5)	-0.20 (10-II-4)	132 (7)	-330 (5)	77 (5)
34	14	0.32 (5)	-0.47 (7)	-0.26 (10-II-4)	254 (7)	157 (7)	164 (5)
34	15	0.40 (5)	-0.73 (7)	-0.30 (10-II-4)	293 (7)	244 (7)	131 (5)
34	16	0.27 (5)	-0.82 (7)	-0.32 (10-II-4)	192 (7)	242 (7)	123 (10-II-4)
35	1	-9.59 (5)	-2.33 (5)	-7.24 (8)	4204 (6)	481 (6)	129 (3)
35	2	-4.88 (5)	-1.44 (5)	-8.15 (8)	3801 (6)	531 (6)	44 (8)
35	3	-4.31 (6)	-0.56 (6)	-8.45 (8)	3573 (6)	478 (6)	98 (6)
35	4	-3.32 (6)	1.50 (8)	-6.54 (8)	3518 (6)	397 (6)	150 (6)
35	5	-7.70 (5)	0.33 (3)	-5.26 (8)	1404 (6)	74 (5)	124 (6)
35	6	-4.14 (5)	-1.69 (5)	-8.72 (8)	1638 (6)	342 (6)	19 (3)
35	7	-4.72 (6)	-0.93 (5)	-9.14 (8)	1502 (6)	259 (6)	34 (6)
35	8	-6.01 (6)	-0.38 (10-I-1)	-5.32 (8)	1140 (6)	44 (5)	-80 (5)
35	9	-4.29 (5)	-0.36 (6)	-4.78 (7)	-377 (5)	-143 (6)	196 (6)
35	10	-3.44 (5)	-1.08 (5)	-8.51 (8)	-508 (5)	-103 (3)	-41 (3)
35	11	-4.38 (6)	-1.79 (5)	-9.37 (8)	-620 (5)	-98 (3)	-62 (6)
35	12	-11.52 (6)	0.66 (6)	-6.02 (5)	-673 (5)	-178 (6)	-164 (6)
35	13	2.68 (4)	0.90 (8)	-5.29 (7)	-2235 (5)	-315 (5)	61 (7)
35	14	-2.45 (5)	-0.29 (5)	-8.06 (8)	-2539 (5)	-270 (5)	-57 (3)

**POTENZIAMENTO DELL'IMPIANTO DI DEPURAZIONE E
DEL RECAPITO FINALE DI SQUINZANO (LE)
PROGETTO DEFINITIVO
Tabulati di calcolo strutturale-Filtrazione**

R.37.9

Maggio 2021

Pagina 60 di 364

Muro	Pann.	Sxx	Syy	Sxy	Mxx	Myy	Mxy
35	15	-4.38(6)	-1.33(5)	-8.63(8)	-2701(5)	-315(5)	-125(6)
35	16	-13.25(6)	-3.02(5)	-9.22(5)	-2923(5)	-400(5)	98(3)
36	1	-2.32(5)	-2.64(5)	-9.25(5)	1348(5)	195(5)	256(7)
36	2	-2.77(5)	-3.07(5)	-10.96(5)	1332(5)	196(5)	329(7)
36	3	-2.57(5)	-2.73(5)	-10.44(5)	1311(5)	179(5)	349(7)
36	4	-1.73(4)	-1.14(5)	-6.23(5)	1381(5)	91(5)	275(7)
36	5	-2.07(3)	-6.29(5)	-8.45(5)	770(5)	166(5)	306(7)
36	6	-1.97(5)	-8.28(5)	-10.32(5)	679(5)	170(5)	368(7)
36	7	-3.72(5)	-9.18(5)	-10.77(5)	547(5)	103(2)	366(7)
36	8	-6.28(5)	-9.20(5)	-5.15(5)	377(5)	-417(7)	229(7)
36	9	-2.60(3)	-9.43(5)	-6.61(5)	310(5)	177(7)	299(7)
36	10	-2.18(3)	-12.99(5)	-7.92(5)	171(5)	138(5)	334(7)
36	11	-3.84(5)	-18.22(5)	-10.07(5)	-151(7)	-150(7)	309(7)
36	12	-12.83(5)	-17.14(5)	-6.28(5)	-400(7)	-738(7)	182(7)
36	13	-2.86(4)	-11.34(5)	-4.12(5)	71(10-II-1)	190(7)	242(7)
36	14	-2.77(3)	-15.77(5)	-4.11(5)	-198(7)	100(8)	-243(1)
36	15	-2.93(5)	-22.48(5)	-4.15(5)	-333(7)	-221(7)	-215(1)
36	16	-17.19(5)	-37.08(5)	-9.63(5)	-1395(6)	-1037(7)	-348(5)
37	1	0.67(4)	0.22(4)	0.35(4)	176(5)	61(1)	35(1)
37	2	-0.40(1)	0.12(4)	0.52(4)	249(5)	47(5)	73(1)
37	3	-0.80(5)	-0.11(5)	0.65(1)	364(5)	46(5)	79(1)
37	4	-1.00(5)	-0.15(5)	0.55(1)	484(5)	51(5)	77(1)
37	5	0.49(4)	0.27(4)	0.37(4)	96(5)	135(1)	57(2)
37	6	-0.51(1)	0.27(4)	0.56(4)	127(5)	65(1)	105(1)
37	7	-0.75(1)	0.26(4)	0.62(1)	179(5)	24(5)	121(1)
37	8	-0.90(5)	0.23(4)	0.61(1)	237(5)	9(10-II-2)	112(1)
37	9	-0.44(1)	-0.42(5)	0.38(4)	49(5)	219(1)	67(2)
37	10	-0.59(1)	-0.40(5)	0.55(4)	46(10-II-4)	92(1)	124(1)
37	11	-0.73(1)	-0.37(5)	0.60(1)	60(10-II-4)	-17(4)	145(1)
37	12	-0.83(1)	-0.36(5)	0.61(1)	71(10-II-4)	-40(2)	136(1)
37	13	-0.66(1)	-0.65(5)	0.38(4)	23(5)	312(1)	66(2)
37	14	-0.66(1)	-0.60(5)	0.53(4)	36(10-II-4)	127(1)	124(1)
37	15	-0.72(1)	-0.55(5)	0.59(3)	51(10-II-4)	-27(4)	146(1)
37	16	-0.78(1)	-0.51(5)	0.60(3)	65(10-II-4)	-73(2)	139(1)
38	1	-0.17(1)	-1.23(8)	-0.36(5)	-64(5)	-646(2)	-63(4)
38	2	-0.22(1)	-1.14(3)	-0.38(5)	-24(7)	-328(2)	-74(4)
38	3	-0.31(1)	-1.04(3)	-0.37(5)	79(2)	-102(5)	-80(4)
38	4	-0.42(1)	-0.95(3)	-0.34(5)	142(2)	-77(9-I-4)	-82(4)
38	5	-0.16(1)	-0.97(4)	-0.50(5)	-53(2)	-514(2)	-82(4)
38	6	-0.25(1)	-0.90(1)	-0.47(5)	-15(4)	-258(2)	108(1)
38	7	-0.37(1)	-0.86(1)	-0.44(5)	51(2)	-77(2)	133(1)
38	8	-0.49(1)	-0.81(1)	-0.40(5)	92(2)	-66(9-I-4)	138(1)
38	9	-0.12(1)	-0.65(1)	-0.35(5)	-45(2)	-341(2)	87(1)
38	10	-0.26(1)	-0.68(1)	-0.39(5)	-30(1)	-173(2)	125(1)
38	11	-0.41(1)	-0.70(1)	-0.40(5)	-24(1)	-60(3)	149(1)
38	12	-0.58(1)	-0.72(1)	-0.36(5)	28(4)	-48(9-I-4)	152(1)
38	13	0.08(10-II-4)	-0.36(1)	0.25(4)	-57(1)	-218(2)	-52(4)
38	14	-0.21(1)	-0.44(1)	0.23(4)	-110(1)	-117(2)	65(5)
38	15	-0.44(1)	-0.57(1)	0.23(4)	-178(1)	-55(2)	76(5)
38	16	-0.66(1)	-0.71(1)	0.24(4)	-255(1)	-29(10-I-1)	75(5)
39	1	-0.15(1)	-0.80(1)	0.24(4)	-65(5)	-318(5)	-60(2)
39	2	-0.24(1)	-0.75(1)	0.22(4)	-96(2)	-167(5)	-80(2)
39	3	-0.33(1)	-0.71(1)	0.20(4)	-140(2)	-69(5)	-93(2)
39	4	-0.40(1)	-0.69(1)	0.19(4)	-192(2)	-43(9-I-4)	-95(2)
39	5	-0.15(1)	-0.88(1)	0.39(4)	-52(5)	-452(5)	-97(2)
39	6	-0.25(1)	-0.83(1)	0.39(4)	-17(5)	-234(5)	-134(2)
39	7	-0.32(1)	-0.79(1)	0.36(4)	-23(7)	-77(5)	-156(2)
39	8	-0.38(1)	-0.76(1)	0.32(4)	36(1)	-60(9-I-4)	-161(2)
39	9	-0.17(1)	-1.08(8)	0.44(4)	-63(5)	-622(5)	-61(2)
39	10	-0.23(1)	-1.03(8)	0.42(4)	-22(7)	-318(5)	-87(2)
39	11	-0.30(1)	-0.97(3)	0.39(4)	72(1)	-101(5)	-104(2)
39	12	-0.37(1)	-0.91(3)	0.36(4)	130(1)	-74(9-I-4)	-107(2)
39	13	-0.17(1)	-1.27(8)	0.36(4)	-69(5)	-690(5)	-37(10-II-4)
39	14	-0.22(1)	-1.17(8)	0.36(4)	-26(7)	-354(5)	-41(4)
39	15	-0.29(1)	-1.08(3)	0.34(4)	85(1)	-113(5)	-46(4)
39	16	-0.38(1)	-1.00(4)	0.31(4)	155(1)	-80(9-I-4)	-48(4)
40	1	-2.39(5)	0.72(6)	-0.82(6)	545(5)	116(5)	-142(5)
40	2	-3.37(5)	-1.09(3)	1.38(4)	882(5)	212(5)	-280(5)
40	3	-4.62(5)	1.75(5)	-2.25(5)	1095(5)	324(5)	-405(5)
40	4	-6.44(5)	3.17(5)	-4.69(5)	1178(5)	348(5)	-415(5)
40	5	-2.15(5)	-0.58(3)	-0.97(5)	405(5)	91(7)	-104(7)
40	6	-2.90(5)	-0.87(3)	1.55(4)	601(5)	95(7)	-148(5)
40	7	-4.08(5)	-1.03(3)	-2.77(5)	705(5)	179(5)	-255(5)
40	8	-5.64(5)	0.97(6)	-5.35(5)	723(5)	238(5)	-290(1)
40	9	-1.97(5)	-0.50(1)	-1.11(5)	288(5)	98(7)	-111(7)
40	10	-2.56(5)	-0.59(3)	-1.75(5)	367(5)	128(7)	-74(10-II-4)

**POTENZIAMENTO DELL'IMPIANTO DI DEPURAZIONE E
DEL RECAPITO FINALE DI SQUINZANO (LE)
PROGETTO DEFINITIVO
Tabulati di calcolo strutturale-Filtrazione**

R.37.9

Maggio 2021

Pagina 61 di 364

Muro	Pann.	Sxx	Syy	Sxy	Mxx	Myy	Mxy
40	11	-3.44(5)	-0.46(1)	-3.06(5)	386(5)	92(7)	-148(1)
40	12	-4.55(5)	-1.21(5)	-5.51(5)	340(5)	150(5)	-219(1)
40	13	-1.83(5)	-0.49(1)	-1.19(5)	179(5)	-155(1)	134(1)
40	14	-2.28(5)	-0.50(1)	-1.88(5)	170(5)	-190(1)	-62(10-II-4)
40	15	-2.81(5)	-0.96(5)	-3.11(5)	191(10-I-4)	129(7)	-86(1)
40	16	-3.37(5)	-3.15(5)	-5.13(5)	211(7)	89(10-II-4)	-170(1)
41	1	-0.89(5)	-0.78(2)	0.96(6)	285(1)	71(9-II-2)	130(7)
41	2	-0.73(5)	-0.88(5)	1.28(6)	274(1)	75(5)	130(7)
41	3	-0.80(5)	-0.86(5)	1.48(6)	270(1)	69(5)	134(7)
41	4	-0.91(5)	-0.83(5)	1.59(6)	259(1)	64(5)	141(7)
41	5	-0.94(5)	-0.82(2)	1.14(6)	225(1)	65(9-II-2)	-140(1)
41	6	-0.91(5)	-0.85(2)	1.24(6)	216(1)	74(5)	-126(1)
41	7	-0.84(5)	-0.91(5)	1.27(6)	212(1)	97(5)	128(7)
41	8	-0.71(5)	-0.93(5)	1.42(6)	209(1)	127(5)	141(7)
41	9	-0.98(5)	-0.84(2)	1.17(6)	170(1)	74(9-II-2)	-166(1)
41	10	-0.80(5)	-0.91(5)	1.27(6)	168(1)	98(5)	-146(1)
41	11	-0.68(5)	-1.02(5)	1.31(6)	162(1)	153(5)	120(7)
41	12	-0.51(5)	-1.11(5)	1.37(6)	155(1)	219(5)	132(7)
41	13	-1.00(5)	-0.88(1)	1.25(6)	125(1)	84(9-II-2)	-184(1)
41	14	-0.66(5)	-1.06(5)	1.30(6)	134(1)	137(5)	-158(1)
41	15	-0.37(5)	-1.24(5)	1.32(6)	124(1)	235(5)	116(7)
41	16	0.23(4)	-1.52(5)	1.25(6)	117(2)	364(5)	121(7)
42	1	-2.93(6)	-0.31(5)	-1.27(5)	178(7)	23(6)	60(7)
42	2	-2.36(6)	-0.21(1)	-1.56(5)	163(4)	19(3)	72(8)
42	3	-1.11(6)	-0.10(1)	-1.69(5)	134(4)	16(1)	75(2)
42	4	1.07(5)	0.29(5)	-1.40(5)	142(4)	-18(7)	68(2)
42	5	-2.70(6)	-0.35(1)	-1.30(5)	128(7)	30(5)	60(7)
42	6	-2.12(6)	0.32(7)	-1.63(5)	109(4)	31(1)	59(3)
42	7	-1.10(6)	0.40(7)	-1.81(5)	88(4)	31(1)	70(2)
42	8	0.67(5)	0.38(7)	-1.42(5)	62(4)	-76(7)	93(5)
42	9	-2.45(6)	0.49(7)	-1.32(5)	102(6)	39(1)	61(4)
42	10	-1.91(6)	0.56(7)	-1.66(5)	73(6)	44(1)	52(3)
42	11	-1.02(6)	0.58(7)	-1.82(5)	46(2)	-50(7)	62(2)
42	12	0.33(10-II-4)	-0.63(1)	-1.40(5)	42(5)	-119(7)	105(5)
42	13	-2.21(7)	0.68(7)	-1.31(5)	85(5)	49(1)	58(4)
42	14	-1.71(7)	-0.75(1)	-1.62(5)	65(5)	57(1)	46(3)
42	15	-0.98(5)	-0.89(1)	-1.74(5)	46(5)	-74(7)	53(2)
42	16	-0.53(1)	-1.06(1)	-1.34(5)	42(5)	-151(7)	108(5)
43	1	-1.29(6)	-0.22(5)	0.54(3)	618(5)	66(5)	-87(5)
43	2	-1.14(5)	-0.24(5)	0.52(3)	515(5)	62(5)	-103(5)
43	3	-1.04(5)	-0.26(5)	0.60(3)	408(5)	68(5)	-89(5)
43	4	-1.31(5)	-0.28(5)	0.75(3)	398(5)	88(5)	-21(10-II-4)
43	5	-1.14(6)	-0.32(5)	0.54(3)	324(5)	23(7)	-107(5)
43	6	-1.05(5)	-0.38(5)	0.54(3)	278(5)	29(5)	-130(5)
43	7	-0.97(5)	-0.47(5)	0.63(3)	235(5)	82(5)	-111(5)
43	8	-1.13(5)	-0.47(5)	0.77(3)	242(5)	166(1)	7(10-I-4)
43	9	-1.02(7)	-0.44(5)	0.55(3)	112(5)	-52(1)	-119(2)
43	10	-0.94(5)	-0.52(5)	0.57(3)	106(5)	26(9-II-1)	-144(5)
43	11	-0.90(5)	-0.61(5)	0.66(3)	107(5)	107(2)	-121(5)
43	12	-0.96(5)	-0.69(5)	0.79(4)	137(5)	272(1)	19(5)
43	13	-0.95(7)	-0.56(5)	0.57(3)	88(10-II-4)	-97(1)	-119(2)
43	14	-0.87(7)	-0.64(5)	0.60(3)	81(10-II-4)	30(9-II-1)	-144(5)
43	15	-0.81(5)	-0.74(5)	0.67(3)	70(9-II-3)	141(2)	-118(5)
43	16	-0.84(2)	-0.85(5)	0.81(4)	69(5)	390(1)	29(5)
44	1	-2.69(6)	-0.34(5)	0.57(5)	500(5)	51(5)	-24(5)
44	2	-3.20(6)	-0.38(5)	-0.14(10-II-4)	377(5)	55(5)	27(10-II-4)
44	3	-3.30(6)	-0.39(5)	-0.39(5)	265(5)	39(5)	45(7)
44	4	-3.25(6)	-0.37(5)	-0.84(5)	186(6)	28(5)	56(7)
44	5	-2.53(6)	-0.46(1)	0.43(5)	277(5)	17(7)	-29(5)
44	6	-3.00(6)	-0.39(1)	-0.11(10-II-4)	263(5)	54(5)	-28(1)
44	7	-3.07(6)	-0.40(1)	-0.41(5)	212(5)	44(5)	46(4)
44	8	-3.02(6)	-0.38(1)	-0.86(5)	159(5)	35(5)	57(7)
44	9	-2.43(6)	-0.57(1)	0.38(5)	143(5)	-36(1)	22(4)
44	10	-2.76(6)	-0.51(1)	-0.13(10-II-4)	167(5)	50(6)	-31(1)
44	11	-2.84(6)	-0.50(1)	-0.42(5)	159(5)	48(5)	49(4)
44	12	-2.76(6)	-0.49(1)	-0.88(5)	131(5)	41(5)	59(4)
44	13	-2.30(6)	-0.68(1)	0.35(5)	64(5)	-60(5)	27(4)
44	14	-2.53(6)	-0.63(1)	-0.16(10-II-4)	98(5)	50(7)	37(4)
44	15	-2.61(6)	-0.62(1)	-0.43(5)	112(5)	49(5)	52(4)
44	16	-2.51(6)	-0.63(1)	-0.89(5)	103(5)	46(5)	60(4)
45	1	-1.08(5)	-0.17(5)	0.60(1)	581(5)	58(5)	59(1)
45	2	-1.09(6)	-0.21(5)	0.51(1)	638(5)	62(5)	-43(7)
45	3	-1.13(6)	-0.21(5)	0.57(1)	666(5)	65(5)	-42(10-II-4)
45	4	-1.27(6)	-0.21(5)	0.56(3)	672(5)	67(5)	-60(5)
45	5	-0.98(5)	-0.26(5)	0.58(1)	290(5)	15(7)	85(1)
45	6	-1.02(8)	-0.29(5)	0.55(1)	328(5)	19(7)	-50(4)

**POTENZIAMENTO DELL'IMPIANTO DI DEPURAZIONE E
DEL RECAPITO FINALE DI SQUINZANO (LE)
PROGETTO DEFINITIVO
Tabulati di calcolo strutturale-Filtrazione**

R.37.9

Maggio 2021

Pagina 62 di 364

Muro	Pann.	Sxx	Syy	Sxy	Mxx	Myy	Mxy
45	7	-1.05(7)	-0.32(5)	0.55(1)	347(5)	21(7)	-39(10-II-4)
45	8	-1.13(6)	-0.30(5)	0.56(3)	349(5)	24(7)	-66(5)
45	9	-0.88(5)	-0.37(5)	0.58(1)	85(5)	-69(2)	103(1)
45	10	-0.96(8)	-0.39(5)	0.55(1)	101(5)	-85(2)	-53(4)
45	11	-1.00(7)	-0.41(5)	0.55(3)	112(5)	-87(1)	-37(10-II-4)
45	12	-1.04(7)	-0.41(5)	0.56(3)	115(5)	-77(1)	-70(2)
45	13	-0.82(1)	-0.49(5)	0.59(3)	76(10-II-4)	-122(2)	106(1)
45	14	-0.89(3)	-0.50(5)	0.57(3)	85(10-II-4)	-149(2)	54(1)
45	15	-0.94(7)	-0.51(5)	0.56(3)	89(10-II-4)	-153(2)	-36(10-II-4)
45	16	-0.96(7)	-0.52(5)	0.56(3)	91(10-II-4)	-138(1)	-70(2)
46	1	-1.86(4)	-0.22(5)	1.30(5)	-28(7)	-5(7)	-23(10-II-4)
46	2	-1.96(7)	-0.25(5)	1.18(5)	-34(7)	-5(7)	-28(10-II-4)
46	3	-2.00(7)	-0.27(5)	1.09(5)	-39(7)	-6(7)	-30(10-II-4)
46	4	-2.00(7)	-0.29(5)	0.93(1)	-42(7)	-6(7)	-31(10-II-4)
46	5	-1.74(4)	-0.37(5)	1.31(5)	-23(7)	-8(2)	-26(10-II-4)
46	6	-1.86(7)	-0.39(5)	1.20(5)	-27(7)	-6(8)	-31(10-II-4)
46	7	-1.90(7)	-0.42(5)	1.09(5)	-31(7)	-6(7)	-34(10-II-4)
46	8	-1.90(7)	-0.45(5)	0.95(5)	-34(7)	-6(7)	-34(10-II-4)
46	9	-1.62(4)	-0.55(5)	1.32(5)	-18(7)	-15(2)	-29(10-II-4)
46	10	-1.75(7)	-0.55(5)	1.21(5)	-21(7)	-10(5)	-34(10-II-4)
46	11	-1.80(7)	-0.56(5)	1.10(5)	-24(7)	-7(5)	-37(10-II-4)
46	12	-1.81(7)	-0.59(5)	0.98(5)	-26(7)	-6(6)	-37(10-II-4)
46	13	-1.51(7)	-0.75(5)	1.30(5)	-13(7)	-21(2)	-30(10-II-4)
46	14	-1.64(7)	-0.71(5)	1.20(5)	-16(7)	-14(2)	-36(10-II-4)
46	15	-1.71(7)	-0.69(5)	1.11(5)	-18(7)	-9(5)	-38(10-II-4)
46	16	-1.73(7)	-0.71(5)	1.01(5)	-19(7)	-6(6)	-38(10-II-4)
47	1	1.63(2)	-0.32(7)	-0.55(6)	-699(1)	-83(5)	-60(1)
47	2	1.19(2)	0.21(2)	-0.64(6)	-865(1)	-97(2)	21(7)
47	3	0.99(2)	0.23(2)	-0.64(6)	-752(1)	-88(2)	24(7)
47	4	0.93(2)	0.22(5)	-0.52(6)	-460(1)	86(7)	85(7)
47	5	1.32(2)	-0.39(7)	-0.83(7)	-320(2)	-108(5)	172(6)
47	6	1.10(2)	-0.18(7)	-0.75(6)	-323(1)	-42(2)	228(6)
47	7	0.91(2)	0.18(2)	-0.75(6)	-275(1)	36(7)	235(7)
47	8	0.77(2)	0.27(5)	-0.75(6)	-185(2)	140(7)	237(7)
47	9	0.99(2)	-0.27(7)	-0.91(6)	202(7)	71(1)	183(6)
47	10	1.00(2)	-0.25(1)	-0.86(6)	201(7)	83(1)	238(6)
47	11	0.83(2)	-0.16(1)	-0.86(6)	175(7)	65(1)	244(6)
47	12	0.60(2)	0.19(2)	-0.85(6)	126(7)	78(7)	238(7)
47	13	-0.92(7)	-0.30(1)	-0.91(6)	266(7)	107(1)	182(6)
47	14	0.92(2)	-0.31(1)	-0.91(6)	416(1)	139(1)	214(6)
47	15	0.76(2)	-0.24(1)	-0.91(6)	383(1)	115(1)	217(6)
47	16	-0.48(7)	-0.14(1)	-0.89(6)	183(1)	45(7)	203(6)
48	1	1.30(1)	-0.38(7)	-0.25(3)	-599(1)	-39(2)	-77(1)
48	2	1.17(2)	-0.33(7)	-0.17(5)	-903(1)	-86(3)	-19(6)
48	3	1.32(2)	-0.32(6)	0.19(1)	-977(1)	-94(3)	12(3)
48	4	1.79(1)	-0.30(7)	0.35(1)	-763(1)	95(6)	72(3)
48	5	1.00(2)	-0.43(7)	-0.42(3)	-247(2)	77(1)	-204(1)
48	6	1.07(2)	-0.36(7)	-0.21(10-II-2)	-336(1)	47(7)	-73(1)
48	7	1.21(2)	-0.31(6)	0.23(1)	-371(1)	75(6)	62(5)
48	8	1.42(2)	-0.31(1)	0.63(1)	-341(1)	133(6)	158(3)
48	9	-0.84(7)	-0.47(7)	-0.40(3)	221(7)	102(1)	-207(1)
48	10	0.96(2)	-0.43(7)	-0.25(10-II-2)	287(7)	98(1)	-92(1)
48	11	1.09(2)	-0.38(7)	0.27(1)	307(7)	116(6)	69(6)
48	12	-1.05(7)	-0.32(6)	0.62(1)	280(7)	138(6)	147(8)
48	13	-0.88(7)	-0.49(7)	-0.29(10-II-2)	288(7)	117(1)	-108(1)
48	14	0.87(2)	-0.48(7)	-0.28(10-II-2)	432(1)	153(1)	83(6)
48	15	1.00(2)	-0.46(6)	0.31(1)	450(1)	148(1)	89(7)
48	16	-1.12(7)	-0.45(6)	0.38(1)	354(7)	132(6)	119(6)
49	1	0.83(1)	-0.23(7)	-0.50(7)	-284(1)	-106(6)	68(7)
49	2	0.50(2)	0.22(1)	-0.51(7)	-284(1)	-55(2)	45(1)
49	3	0.33(2)	0.30(1)	-0.42(6)	-167(1)	-78(1)	59(1)
49	4	0.39(6)	0.32(1)	-0.22(6)	-68(1)	201(6)	39(1)
49	5	0.60(2)	-0.32(7)	-0.77(7)	-130(2)	-144(6)	197(6)
49	6	0.45(2)	0.24(1)	-0.61(7)	-99(3)	-44(2)	215(7)
49	7	0.32(2)	0.30(1)	-0.47(6)	-75(3)	-68(1)	185(7)
49	8	0.27(2)	0.35(1)	-0.34(6)	-65(1)	216(6)	62(1)
49	9	0.42(2)	0.19(1)	-0.85(7)	70(7)	-82(5)	210(6)
49	10	0.36(2)	0.22(1)	-0.73(7)	55(7)	-42(5)	222(7)
49	11	0.29(2)	0.31(1)	-0.57(6)	44(7)	-66(1)	201(7)
49	12	0.24(2)	0.37(1)	-0.41(6)	-42(2)	-235(1)	58(1)
49	13	-0.46(7)	0.14(2)	-0.85(6)	86(7)	69(1)	195(6)
49	14	-0.41(7)	0.18(2)	-0.78(6)	113(1)	-28(5)	201(6)
49	15	-0.41(7)	0.35(1)	-0.65(7)	-66(5)	-65(1)	184(6)
49	16	-0.27(7)	0.55(1)	-0.37(6)	-50(5)	-212(1)	62(6)
50	1	1.78(2)	-0.42(6)	-0.38(6)	-820(1)	-66(3)	-71(1)
50	2	1.49(2)	-0.28(7)	-0.46(6)	-1119(1)	-120(3)	14(5)

**POTENZIAMENTO DELL'IMPIANTO DI DEPURAZIONE E
DEL RECAPITO FINALE DI SQUINZANO (LE)
PROGETTO DEFINITIVO
Tabulati di calcolo strutturale-Filtrazione**

R.37.9

Maggio 2021

Pagina 63 di 364

Muro	Pann.	Sxx	Syy	Sxy	Mxx	Myy	Mxy
50	3	1.47 (2)	0.20 (2)	-0.50 (6)	-1102 (1)	-117 (3)	16 (6)
50	4	1.70 (2)	-0.17 (1)	-0.41 (6)	-788 (1)	84 (7)	78 (6)
50	5	1.47 (2)	-0.48 (6)	-0.58 (6)	-368 (2)	42 (1)	-177 (1)
50	6	1.39 (2)	-0.31 (7)	-0.54 (6)	-441 (1)	-37 (2)	162 (6)
50	7	1.37 (2)	-0.19 (7)	-0.59 (6)	-435 (1)	42 (7)	188 (6)
50	8	1.41 (2)	-0.23 (1)	-0.61 (6)	-348 (2)	127 (7)	217 (6)
50	9	1.11 (2)	-0.45 (6)	-0.64 (6)	270 (7)	81 (1)	-171 (1)
50	10	1.29 (2)	-0.37 (7)	-0.63 (6)	306 (7)	90 (1)	179 (6)
50	11	1.27 (2)	-0.29 (1)	-0.69 (6)	299 (7)	88 (1)	205 (6)
50	12	1.09 (2)	-0.24 (1)	-0.71 (6)	250 (7)	93 (7)	222 (6)
50	13	-1.12 (7)	-0.47 (6)	-0.62 (6)	353 (7)	113 (1)	109 (6)
50	14	1.20 (2)	-0.40 (7)	-0.73 (6)	538 (1)	160 (1)	171 (6)
50	15	1.19 (2)	-0.33 (1)	-0.77 (6)	531 (1)	159 (1)	181 (6)
50	16	-0.97 (7)	-0.31 (1)	-0.78 (6)	310 (7)	107 (1)	188 (6)
51	1	-1.44 (7)	-0.55 (1)	-0.70 (6)	315 (7)	207 (6)	141 (6)
51	2	-1.38 (7)	-0.57 (1)	-0.63 (6)	312 (7)	117 (1)	191 (6)
51	3	-1.28 (7)	-0.56 (1)	-0.62 (6)	291 (7)	124 (1)	191 (6)
51	4	-1.21 (7)	-0.56 (1)	-0.67 (6)	254 (7)	107 (1)	169 (6)
51	5	-1.84 (6)	-0.55 (1)	-0.56 (6)	426 (6)	227 (6)	110 (7)
51	6	-1.36 (6)	-0.59 (1)	-0.51 (6)	343 (6)	134 (6)	82 (7)
51	7	-1.21 (7)	-0.60 (1)	-0.56 (6)	297 (1)	144 (1)	83 (6)
51	8	-1.19 (1)	-0.58 (1)	-0.56 (6)	272 (1)	130 (1)	107 (6)
52	1	-0.85 (7)	-0.46 (1)	-0.81 (6)	193 (7)	138 (1)	192 (6)
52	2	-1.06 (7)	-0.41 (1)	-0.79 (6)	230 (7)	178 (1)	160 (6)
52	3	-1.02 (1)	-0.47 (1)	-0.60 (6)	241 (1)	171 (1)	99 (6)
52	4	-0.70 (6)	-0.51 (7)	-0.57 (6)	164 (1)	81 (7)	91 (6)
52	5	-0.66 (1)	-0.58 (1)	-0.71 (6)	169 (1)	-25 (1)	149 (6)
52	6	-0.63 (7)	-0.56 (1)	-0.79 (6)	114 (7)	-70 (1)	181 (6)
52	7	-0.62 (7)	-0.37 (1)	-0.85 (6)	118 (7)	-37 (1)	194 (6)
52	8	-0.72 (7)	-0.40 (1)	-0.86 (6)	152 (7)	75 (1)	205 (6)
53	1	-0.46 (7)	0.17 (1)	-0.79 (6)	134 (7)	161 (1)	201 (6)
53	2	-0.29 (7)	0.21 (1)	-0.74 (6)	150 (7)	50 (7)	207 (6)
53	3	-0.19 (1)	0.31 (1)	-0.62 (6)	157 (7)	-109 (1)	182 (6)
53	4	-0.19 (7)	0.38 (1)	-0.41 (6)	102 (7)	-328 (1)	50 (1)
53	5	-0.50 (7)	0.32 (1)	-0.74 (6)	149 (1)	323 (1)	194 (6)
53	6	-0.42 (7)	0.28 (1)	-0.67 (6)	122 (4)	111 (1)	206 (6)
53	7	-0.37 (7)	0.25 (1)	-0.55 (6)	84 (4)	-151 (1)	182 (6)
53	8	-0.34 (7)	0.26 (1)	-0.47 (6)	48 (7)	-503 (1)	-19 (7)
53	9	-0.52 (6)	0.36 (1)	-0.74 (6)	166 (1)	327 (1)	149 (7)
53	10	-0.59 (6)	0.30 (1)	-0.60 (6)	122 (1)	104 (1)	185 (6)
53	11	-0.56 (6)	0.27 (1)	-0.47 (6)	89 (4)	-160 (1)	190 (6)
53	12	-0.49 (6)	0.28 (1)	-0.41 (7)	46 (7)	-505 (1)	65 (5)
53	13	-0.83 (6)	-0.40 (7)	-0.76 (6)	231 (6)	204 (6)	105 (7)
53	14	-0.87 (6)	-0.32 (7)	-0.70 (6)	263 (6)	137 (6)	-134 (1)
53	15	-0.93 (6)	0.35 (1)	-0.60 (7)	215 (6)	-125 (1)	-127 (1)
53	16	-0.89 (6)	0.43 (1)	-0.38 (7)	158 (6)	-335 (1)	-60 (1)
54	1	-1.16 (6)	-0.86 (6)	-0.62 (6)	263 (6)	111 (5)	118 (7)
54	2	-1.45 (6)	-1.23 (6)	-0.92 (6)	391 (6)	224 (6)	160 (6)
54	3	-1.85 (6)	-0.84 (6)	-0.72 (7)	458 (6)	221 (6)	196 (6)
54	4	-1.45 (7)	-0.61 (6)	-0.52 (7)	300 (7)	190 (6)	127 (6)
54	5	-1.41 (6)	-0.60 (6)	-0.49 (6)	269 (7)	162 (7)	100 (7)
54	6	-1.28 (7)	-0.60 (6)	-0.49 (6)	213 (7)	120 (7)	67 (10-II-2)
54	7	-1.15 (7)	-0.63 (6)	-0.47 (6)	199 (7)	59 (10-I-3)	-60 (1)
54	8	-1.18 (7)	-0.80 (6)	-0.61 (6)	237 (7)	76 (3)	83 (7)
54	9	-1.29 (6)	-0.77 (6)	-0.60 (6)	283 (7)	143 (7)	107 (7)
55	1	-2.61 (6)	-1.58 (6)	-1.31 (6)	540 (6)	673 (6)	179 (7)
55	2	-2.59 (6)	-2.34 (6)	-1.05 (7)	1004 (6)	723 (6)	181 (3)
55	3	-3.82 (6)	-2.16 (6)	-0.93 (6)	1473 (6)	509 (6)	-143 (6)
55	4	-3.76 (6)	-2.19 (6)	-1.02 (6)	1270 (6)	307 (6)	55 (6)
55	5	-4.73 (6)	-1.67 (6)	-0.72 (7)	1187 (6)	232 (6)	177 (6)
55	6	-4.12 (6)	-1.26 (6)	-0.66 (7)	475 (6)	109 (6)	297 (6)
55	7	-2.75 (6)	-1.62 (6)	-1.08 (6)	226 (6)	364 (6)	295 (6)
55	8	-2.98 (6)	-1.60 (6)	-1.19 (6)	354 (6)	508 (6)	235 (7)
55	9	-3.81 (6)	-1.76 (6)	-1.02 (6)	927 (6)	486 (6)	244 (6)
56	1	-1.90 (6)	-0.78 (6)	-0.64 (6)	-85 (3)	225 (7)	116 (7)
56	2	-2.57 (6)	-0.64 (6)	0.57 (1)	-178 (5)	159 (7)	225 (7)
56	3	-2.63 (6)	0.42 (1)	-0.45 (4)	270 (4)	-80 (1)	266 (6)
56	4	-2.09 (6)	0.69 (1)	-0.44 (4)	162 (7)	-327 (5)	190 (6)
56	5	-2.24 (6)	-0.85 (6)	-0.82 (6)	-322 (3)	342 (7)	103 (4)
56	6	-2.73 (6)	-0.75 (6)	-0.56 (7)	253 (6)	316 (6)	204 (7)
56	7	-2.77 (6)	-0.48 (7)	-0.60 (8)	273 (6)	98 (6)	241 (8)
56	8	-2.43 (6)	0.53 (1)	-0.64 (4)	268 (6)	-470 (5)	198 (5)
56	9	-2.56 (6)	-1.04 (6)	-0.79 (6)	596 (6)	448 (6)	-100 (5)
56	10	-2.86 (6)	-1.18 (6)	-0.61 (8)	743 (6)	449 (6)	190 (8)
56	11	-2.79 (6)	-1.19 (6)	-0.84 (8)	798 (6)	194 (6)	251 (8)
56	12	-3.06 (6)	0.52 (1)	-0.68 (4)	608 (6)	-378 (5)	184 (5)

**POTENZIAMENTO DELL'IMPIANTO DI DEPURAZIONE E
DEL RECAPITO FINALE DI SQUINZANO (LE)
PROGETTO DEFINITIVO
Tabulati di calcolo strutturale-Filtrazione**

R.37.9

Maggio 2021

Pagina 64 di 364

Muro	Pann.	Sxx	Syy	Sxy	Mxx	Myy	Mxy
56	13	2.92 (3)	-2.19 (6)	-0.57 (6)	1020 (6)	625 (6)	-95 (5)
56	14	-2.82 (6)	-1.75 (6)	-0.70 (8)	1444 (6)	546 (6)	-90 (6)
56	15	-2.74 (6)	-1.60 (6)	-0.74 (8)	1292 (6)	382 (6)	-84 (1)
56	16	-3.90 (6)	-2.37 (6)	-1.67 (5)	1258 (6)	377 (6)	293 (5)
57	1	-2.15 (6)	-0.36 (1)	-0.56 (3)	890 (6)	238 (6)	133 (6)
57	2	-0.64 (4)	-0.49 (6)	-0.31 (3)	1161 (6)	182 (6)	121 (6)
57	3	-0.89 (3)	-0.53 (1)	-0.24 (6)	1326 (6)	181 (6)	94 (6)
57	4	1.00 (6)	-0.51 (1)	-0.30 (6)	1372 (6)	170 (6)	82 (6)
57	5	-2.16 (6)	-0.50 (6)	1.10 (6)	1000 (6)	222 (6)	151 (6)
57	6	-0.84 (3)	-0.62 (1)	-0.36 (6)	1205 (6)	102 (6)	95 (6)
57	7	0.98 (6)	-0.62 (1)	-0.33 (6)	1402 (6)	150 (6)	18 (10-I-2)
57	8	0.98 (6)	-0.57 (1)	-0.32 (6)	1444 (6)	174 (6)	-53 (1)
58	1	-0.49 (6)	-0.48 (7)	-0.56 (6)	744 (6)	174 (6)	-213 (1)
58	2	0.18 (3)	-0.45 (7)	-0.51 (6)	777 (6)	169 (6)	-156 (1)
58	3	1.00 (6)	-0.41 (1)	-0.30 (6)	1206 (6)	138 (1)	-110 (1)
58	4	1.01 (6)	-0.45 (1)	-0.26 (6)	1354 (6)	119 (6)	-109 (1)
58	5	-0.72 (4)	-0.56 (4)	-0.29 (6)	1211 (6)	83 (6)	-138 (1)
58	6	-0.99 (3)	-0.76 (5)	-0.22 (5)	1045 (6)	114 (6)	169 (3)
58	7	-1.59 (6)	0.49 (1)	1.03 (3)	687 (6)	227 (1)	-296 (6)
58	8	1.17 (3)	-0.57 (7)	0.91 (3)	605 (6)	276 (5)	-356 (5)
59	1	-2.74 (6)	-0.69 (4)	-0.44 (1)	386 (7)	-228 (6)	96 (1)
59	2	-2.48 (6)	-1.02 (4)	0.26 (5)	383 (7)	257 (4)	95 (6)
59	3	-3.90 (6)	-0.38 (6)	0.24 (3)	1012 (6)	36 (5)	-83 (5)
59	4	-3.56 (6)	-0.64 (7)	0.53 (5)	978 (6)	230 (6)	-74 (10-I-2)
60	1	-3.56 (6)	-0.49 (6)	1.07 (5)	1074 (6)	-40 (4)	-102 (8)
60	2	-3.15 (6)	-0.79 (6)	0.44 (3)	1065 (6)	355 (6)	-332 (5)
60	3	-1.53 (6)	-0.56 (4)	1.11 (8)	-168 (10-I-1)	-391 (5)	-327 (8)
60	4	-1.52 (6)	-0.96 (4)	0.66 (3)	-115 (10-I-1)	320 (4)	-353 (5)
61	1	-1.04 (3)	-0.25 (1)	-0.79 (1)	-132 (1)	18 (7)	-34 (4)
61	2	-0.99 (3)	-0.15 (3)	0.81 (6)	-109 (2)	-5 (2)	9 (5)
61	3	-0.95 (4)	-0.13 (4)	0.74 (6)	-98 (2)	-10 (2)	14 (2)
61	4	-0.88 (7)	-0.14 (7)	0.53 (6)	-67 (2)	-26 (2)	-19 (5)
61	5	-0.96 (3)	-0.30 (6)	-0.78 (1)	-44 (1)	48 (6)	-33 (4)
61	6	-0.92 (3)	-0.23 (1)	0.77 (6)	-30 (2)	27 (4)	9 (9-I-3)
61	7	-0.90 (3)	-0.18 (2)	0.73 (6)	-33 (5)	-22 (5)	18 (2)
61	8	-0.73 (4)	-0.22 (3)	0.54 (6)	-42 (6)	-53 (2)	-28 (5)
61	9	-0.91 (7)	-0.34 (6)	-0.75 (1)	-16 (10-I-4)	69 (6)	-33 (7)
61	10	-0.86 (3)	-0.26 (1)	-0.79 (1)	-28 (5)	50 (4)	-8 (4)
61	11	-0.87 (3)	-0.28 (2)	-0.70 (1)	-33 (5)	-32 (5)	18 (2)
61	12	-0.82 (3)	-0.39 (3)	0.53 (6)	-31 (5)	-80 (2)	-32 (7)
61	13	-0.95 (7)	-0.33 (6)	-0.72 (1)	28 (4)	86 (6)	34 (1)
61	14	-0.80 (4)	-0.28 (1)	-0.76 (1)	38 (4)	67 (4)	-6 (7)
61	15	-0.84 (3)	-0.38 (2)	-0.67 (1)	33 (1)	-39 (5)	14 (2)
61	16	-0.93 (3)	-0.50 (3)	0.50 (6)	-23 (5)	-105 (2)	-33 (7)
62	1	-0.89 (3)	-0.30 (5)	-0.78 (1)	-89 (5)	12 (4)	26 (1)
62	2	-0.85 (3)	-0.10 (2)	-0.61 (2)	154 (4)	15 (4)	8 (1)
62	3	-0.75 (3)	-0.05 (3)	-0.56 (2)	127 (4)	20 (3)	17 (8)
62	4	0.38 (6)	0.12 (5)	-0.58 (6)	72 (3)	30 (3)	34 (3)
62	5	-0.86 (8)	-0.46 (6)	-0.78 (1)	-36 (5)	20 (6)	51 (1)
62	6	-0.79 (3)	-0.20 (5)	-0.67 (2)	52 (4)	23 (8)	7 (1)
62	7	-0.74 (3)	-0.08 (1)	-0.61 (2)	45 (4)	18 (3)	14 (8)
62	8	0.43 (6)	0.15 (6)	-0.59 (6)	37 (3)	69 (3)	30 (1)
62	9	-0.83 (8)	-0.43 (6)	-0.84 (5)	-16 (2)	34 (6)	53 (1)
62	10	-0.76 (3)	-0.22 (1)	-0.74 (5)	30 (7)	36 (8)	7 (1)
62	11	-0.73 (3)	-0.18 (1)	-0.68 (5)	23 (7)	20 (3)	13 (1)
62	12	-0.60 (3)	-0.21 (3)	-0.62 (6)	20 (3)	112 (3)	36 (5)
62	13	-0.82 (7)	-0.36 (6)	-0.90 (5)	-16 (2)	43 (6)	47 (2)
62	14	-0.71 (3)	-0.24 (2)	-0.84 (5)	29 (8)	47 (8)	-6 (6)
62	15	-0.72 (3)	-0.28 (1)	-0.75 (5)	26 (8)	26 (3)	16 (1)
62	16	-0.80 (3)	-0.31 (2)	-0.66 (6)	16 (8)	152 (3)	40 (1)
63	1	-1.08 (3)	-0.15 (2)	-0.61 (6)	223 (1)	24 (1)	-62 (6)
63	2	-1.30 (3)	-0.16 (3)	-0.57 (6)	305 (1)	22 (1)	-37 (6)
63	3	-1.20 (3)	-0.14 (3)	-0.61 (6)	275 (1)	22 (1)	-46 (2)
63	4	-0.82 (3)	-0.09 (3)	-0.55 (6)	168 (1)	28 (1)	-53 (2)
63	5	-1.03 (3)	-0.20 (1)	-0.59 (6)	93 (1)	19 (6)	-78 (6)
63	6	-1.21 (3)	-0.17 (1)	-0.59 (6)	118 (1)	-38 (3)	-47 (6)
63	7	-1.13 (3)	-0.16 (1)	-0.63 (6)	107 (1)	-30 (3)	-62 (2)
63	8	-0.80 (3)	-0.19 (1)	-0.55 (6)	74 (1)	38 (2)	-66 (2)
63	9	-0.96 (3)	-0.25 (1)	-0.59 (6)	61 (6)	-33 (3)	-83 (6)
63	10	-1.10 (3)	0.22 (7)	-0.60 (6)	45 (6)	-87 (3)	-54 (6)
63	11	-1.05 (3)	0.22 (7)	-0.64 (6)	29 (5)	-69 (3)	-67 (2)
63	12	-0.83 (3)	-0.27 (1)	-0.55 (6)	16 (1)	57 (2)	-70 (2)
63	13	-0.91 (3)	-0.29 (1)	-0.58 (6)	61 (6)	-51 (3)	-81 (6)
63	14	-1.02 (3)	0.28 (7)	-0.61 (6)	-87 (3)	-128 (3)	-56 (6)
63	15	-0.98 (3)	-0.27 (1)	-0.63 (6)	-78 (3)	-101 (3)	-62 (2)
63	16	-0.85 (3)	-0.32 (3)	-0.54 (6)	-27 (3)	78 (2)	-62 (2)

**POTENZIAMENTO DELL'IMPIANTO DI DEPURAZIONE E
DEL RECAPITO FINALE DI SQUINZANO (LE)
PROGETTO DEFINITIVO
Tabulati di calcolo strutturale-Filtrazione**

R.37.9

Maggio 2021

Pagina 65 di 364

Muro	Pann.	Sxx	Syy	Sxy	Mxx	Myy	Mxy
64	1	0.41(5)	0.74(6)	-0.27(7)	-128(5)	-236(6)	-72(5)
64	2	-0.25(7)	0.29(6)	-0.71(7)	66(7)	-77(6)	-73(2)
64	3	-0.48(7)	-0.47(7)	-0.83(6)	144(1)	122(4)	-91(5)
64	4	-0.81(6)	-0.98(6)	-0.89(6)	180(6)	323(6)	62(6)
64	5	0.54(5)	0.38(6)	-0.27(7)	-119(5)	-244(5)	65(7)
64	6	-0.21(7)	0.28(5)	-0.50(7)	58(4)	-97(6)	143(6)
64	7	-0.50(7)	-0.46(7)	-0.53(7)	116(7)	154(4)	93(7)
64	8	-0.79(6)	-0.85(6)	-0.74(6)	189(6)	434(6)	124(6)
64	9	0.58(5)	0.43(6)	-0.27(6)	-129(6)	-208(5)	94(6)
64	10	-0.14(7)	-0.31(3)	-0.34(7)	35(4)	-92(5)	207(6)
64	11	-0.51(7)	-0.57(4)	-0.36(7)	110(7)	163(4)	120(7)
64	12	-0.76(6)	-0.88(7)	-0.51(6)	210(6)	428(5)	101(6)
64	13	0.57(6)	0.71(6)	-0.27(6)	-109(6)	-182(5)	96(5)
64	14	-0.13(7)	0.34(6)	-0.14(6)	-45(2)	-82(6)	127(5)
64	15	-0.50(7)	-1.08(3)	-0.25(4)	-106(5)	217(3)	162(8)
64	16	-0.87(6)	-1.57(4)	-0.17(1)	-202(3)	351(4)	65(6)
65	1	0.20(2)	0.23(1)	0.06(1)	-116(3)	-64(1)	-51(7)
65	2	0.38(1)	-0.21(7)	0.09(1)	-279(3)	-35(3)	-70(1)
65	3	0.63(1)	-0.24(7)	0.16(1)	-459(1)	-34(2)	-56(7)
65	4	1.14(1)	-0.30(7)	0.28(1)	-455(1)	72(7)	45(3)
65	5	0.22(2)	-0.21(7)	0.15(1)	-65(3)	-93(4)	-94(1)
65	6	0.37(2)	-0.19(7)	0.18(1)	-106(3)	26(7)	-167(1)
65	7	0.57(2)	-0.17(7)	0.25(1)	-154(3)	77(7)	-144(1)
65	8	0.83(2)	-0.23(1)	0.53(1)	-189(1)	125(7)	84(3)
65	9	-0.30(7)	-0.17(7)	0.22(1)	68(7)	-160(7)	-98(1)
65	10	0.38(2)	-0.10(7)	0.29(1)	135(7)	49(1)	-174(1)
65	11	0.52(2)	-0.16(1)	0.35(1)	190(7)	104(7)	-152(1)
65	12	-0.70(7)	-0.21(1)	0.58(1)	203(7)	180(7)	67(3)
65	13	-0.39(7)	0.43(6)	0.31(1)	126(7)	-194(6)	85(6)
65	14	-0.40(7)	0.14(6)	0.44(1)	204(7)	46(1)	82(7)
65	15	-0.51(7)	-0.23(1)	0.48(1)	257(7)	109(1)	-75(1)
65	16	-0.75(7)	-0.32(1)	0.47(1)	248(7)	151(7)	57(7)
66	1	-0.45(7)	0.56(6)	-0.35(7)	-66(2)	-408(6)	-60(1)
66	2	-0.72(7)	0.28(6)	-0.50(7)	105(7)	-107(6)	-135(1)
66	3	-0.83(7)	-0.18(1)	-0.45(7)	152(7)	125(1)	-136(1)
66	4	-0.96(7)	-0.20(1)	-0.37(7)	207(7)	246(6)	-61(1)
66	5	-0.48(7)	0.30(6)	-0.27(7)	27(7)	-624(6)	33(7)
66	6	-0.62(7)	0.23(6)	-0.29(7)	125(7)	-180(6)	43(7)
66	7	-0.83(7)	0.20(6)	-0.36(7)	204(7)	202(1)	50(7)
66	8	-0.97(7)	0.21(6)	-0.39(7)	262(7)	445(6)	85(7)
66	9	-0.45(7)	0.26(6)	-0.21(7)	38(4)	-651(6)	43(7)
66	10	-0.53(7)	0.18(6)	-0.28(7)	118(7)	-195(6)	75(7)
66	11	-0.72(7)	0.14(6)	-0.37(7)	188(7)	210(7)	95(4)
66	12	-0.91(7)	0.14(6)	-0.47(7)	259(6)	531(6)	112(7)
66	13	-0.28(7)	0.53(6)	0.27(2)	27(7)	-435(6)	69(7)
66	14	-0.40(7)	0.21(6)	0.19(2)	82(7)	-128(6)	183(7)
66	15	-0.56(7)	-0.29(10-I-3)	-0.19(7)	158(6)	160(7)	187(7)
66	16	-0.82(6)	-0.46(8)	-0.39(6)	240(6)	406(6)	162(6)
67	1	-0.07(10-I-4)	0.29(1)	-0.13(3)	-96(4)	-153(3)	-73(3)
67	2	-0.24(7)	0.28(1)	-0.11(3)	-162(4)	54(7)	-61(3)
67	3	-0.24(7)	0.28(1)	-0.08(3)	-175(4)	-32(6)	63(6)
67	4	-0.23(7)	0.44(6)	-0.05(10-II-2)	-97(3)	-218(6)	83(7)
67	5	-0.24(7)	0.28(1)	-0.16(4)	80(7)	-306(3)	-59(4)
67	6	-0.22(7)	0.27(1)	-0.13(7)	149(7)	162(7)	-41(3)
67	7	-0.24(7)	0.26(1)	-0.13(7)	155(7)	175(3)	42(7)
67	8	-0.35(7)	0.24(1)	-0.09(6)	92(4)	-213(6)	94(7)
67	9	-0.28(7)	0.31(1)	-0.19(7)	88(7)	-345(3)	25(6)
67	10	-0.24(7)	0.29(1)	-0.19(7)	171(7)	179(7)	51(6)
67	11	-0.29(7)	0.27(1)	-0.11(7)	197(4)	199(3)	34(6)
67	12	-0.40(7)	0.25(1)	0.10(3)	121(4)	-214(6)	29(7)
67	13	0.12(1)	0.34(1)	-0.20(6)	-40(1)	-206(3)	74(4)
67	14	-0.35(8)	0.28(1)	-0.23(6)	72(7)	93(7)	81(3)
67	15	-0.44(8)	0.25(1)	-0.17(6)	75(8)	97(3)	18(1)
67	16	-0.37(7)	0.34(5)	0.18(2)	55(8)	-190(6)	-66(2)
68	1	-1.41(5)	-0.13(2)	-1.17(5)	398(6)	68(5)	-88(5)
68	2	-0.77(1)	-0.10(2)	-0.90(5)	305(6)	63(6)	-29(5)
68	3	-0.91(1)	-0.09(4)	-0.75(5)	273(6)	41(6)	-14(10-I-3)
68	4	-1.23(6)	-0.08(5)	-0.68(5)	202(6)	20(1)	-22(10-II-2)
68	5	-0.99(5)	-0.12(2)	-0.90(5)	229(6)	68(5)	-116(5)
68	6	-0.95(5)	-0.17(2)	-0.97(5)	203(6)	77(6)	-37(5)
68	7	-1.00(6)	-0.14(2)	-0.84(5)	172(6)	38(6)	-25(10-I-2)
68	8	-1.22(6)	-0.11(2)	-0.78(5)	118(6)	-39(6)	-59(6)
68	9	-0.81(5)	0.20(10-II-4)	-0.86(5)	136(6)	51(5)	-124(5)
68	10	-0.92(6)	-0.18(2)	-0.89(5)	120(6)	61(5)	-46(5)
68	11	-1.05(6)	-0.17(2)	-0.88(5)	102(6)	40(1)	-44(6)
68	12	-1.20(6)	0.19(7)	-0.86(5)	70(6)	-53(6)	-84(6)

**POTENZIAMENTO DELL'IMPIANTO DI DEPURAZIONE E
DEL RECAPITO FINALE DI SQUINZANO (LE)
PROGETTO DEFINITIVO
Tabulati di calcolo strutturale-Filtrazione**

R.37.9

Maggio 2021

Pagina 66 di 364

Muro	Pann.	Sxx	Syy	Sxy	Mxx	Myy	Mxy
68	13	-0.79 (6)	-0.26 (2)	-0.84 (5)	88 (6)	47 (2)	-134 (5)
68	14	-0.88 (6)	-0.24 (2)	-0.86 (5)	70 (6)	43 (1)	-49 (5)
68	15	-1.00 (6)	0.24 (7)	-0.88 (5)	62 (6)	45 (1)	-50 (6)
68	16	-1.15 (6)	0.25 (7)	-0.90 (5)	44 (6)	-52 (5)	-96 (6)
69	1	-1.23 (7)	-0.18 (1)	-0.42 (3)	129 (1)	24 (1)	-85 (6)
69	2	-0.85 (7)	-0.13 (1)	-0.46 (4)	148 (1)	32 (1)	-56 (6)
69	3	-0.42 (1)	-0.07 (1)	-0.37 (4)	160 (1)	37 (1)	60 (1)
69	4	0.17 (7)	0.06 (10-I-4)	-0.26 (7)	182 (1)	37 (1)	81 (1)
69	5	-1.15 (7)	-0.18 (2)	-0.48 (3)	66 (1)	36 (1)	-78 (6)
69	6	-0.81 (7)	-0.14 (2)	-0.46 (4)	86 (1)	49 (1)	-63 (6)
69	7	-0.45 (1)	-0.11 (2)	-0.40 (4)	96 (1)	62 (1)	66 (1)
69	8	-0.16 (1)	0.11 (10-I-4)	-0.26 (7)	103 (1)	87 (2)	83 (1)
69	9	-1.11 (7)	-0.21 (2)	-0.48 (3)	41 (6)	54 (1)	-70 (6)
69	10	-0.78 (7)	-0.22 (2)	-0.46 (3)	57 (6)	67 (1)	-64 (6)
69	11	-0.48 (4)	-0.21 (2)	-0.39 (4)	53 (1)	89 (2)	68 (1)
69	12	-0.26 (3)	-0.21 (2)	-0.26 (7)	62 (1)	142 (2)	87 (1)
69	13	-1.08 (7)	-0.28 (2)	-0.48 (8)	34 (6)	72 (1)	-62 (6)
69	14	-0.75 (7)	-0.30 (2)	-0.45 (3)	53 (6)	85 (1)	-61 (6)
69	15	-0.51 (4)	-0.34 (2)	-0.38 (8)	49 (6)	122 (2)	70 (1)
69	16	-0.41 (3)	-0.37 (2)	-0.27 (7)	43 (1)	198 (2)	92 (1)
70	1	-1.56 (7)	-0.19 (2)	0.44 (4)	145 (6)	19 (6)	-16 (6)
70	2	-1.85 (7)	-0.18 (4)	0.24 (7)	101 (6)	14 (1)	-27 (6)
70	3	-1.84 (7)	-0.18 (4)	-0.47 (1)	90 (1)	14 (1)	-33 (7)
70	4	-1.52 (7)	-0.15 (4)	-0.65 (3)	107 (1)	8 (1)	-44 (7)
70	5	-1.51 (7)	-0.25 (2)	0.43 (4)	99 (6)	13 (6)	-15 (6)
70	6	-1.79 (7)	-0.18 (1)	0.24 (7)	81 (6)	17 (1)	-39 (6)
70	7	-1.77 (7)	-0.19 (1)	-0.46 (1)	60 (1)	16 (1)	-40 (6)
70	8	-1.47 (7)	-0.21 (2)	-0.66 (3)	54 (1)	-18 (4)	-37 (6)
70	9	-1.44 (7)	-0.30 (2)	0.40 (4)	68 (6)	-20 (4)	-15 (7)
70	10	-1.69 (7)	0.25 (7)	-0.24 (1)	64 (6)	19 (1)	-47 (6)
70	11	-1.68 (7)	0.27 (7)	-0.45 (1)	45 (6)	17 (1)	-47 (6)
70	12	-1.42 (7)	0.30 (7)	-0.63 (1)	36 (6)	-30 (4)	-35 (6)
70	13	-1.38 (7)	0.36 (7)	0.36 (7)	48 (6)	-29 (4)	-14 (7)
70	14	-1.58 (7)	0.37 (7)	-0.24 (1)	51 (6)	19 (1)	-50 (6)
70	15	-1.58 (7)	0.40 (7)	-0.43 (1)	42 (6)	16 (1)	-51 (6)
70	16	-1.35 (7)	0.44 (7)	-0.60 (1)	35 (6)	-37 (2)	-35 (6)
71	1	-1.28 (1)	-0.12 (3)	-0.59 (1)	-876 (1)	-102 (1)	127 (2)
71	2	-0.89 (1)	-0.11 (3)	-0.61 (1)	-627 (1)	-72 (1)	138 (2)
71	3	-0.59 (3)	-0.07 (3)	-0.53 (1)	-360 (1)	-45 (3)	142 (3)
71	4	-0.36 (8)	0.13 (1)	-0.35 (1)	-161 (1)	-37 (2)	112 (1)
71	5	-1.17 (1)	-0.11 (3)	-0.59 (1)	-568 (1)	-47 (1)	190 (2)
71	6	-0.85 (1)	-0.11 (3)	-0.63 (1)	-396 (1)	-34 (2)	206 (2)
71	7	-0.59 (3)	0.14 (6)	-0.58 (1)	-227 (1)	-38 (2)	207 (3)
71	8	-0.33 (3)	0.22 (6)	-0.39 (1)	-106 (1)	-75 (2)	151 (1)
71	9	-1.08 (1)	0.15 (7)	-0.60 (1)	-329 (1)	-28 (5)	248 (2)
71	10	-0.81 (1)	0.20 (7)	-0.65 (1)	-220 (1)	-30 (5)	264 (2)
71	11	-0.58 (3)	0.27 (7)	-0.61 (1)	-124 (1)	-42 (2)	256 (3)
71	12	-0.38 (3)	0.35 (7)	-0.40 (1)	-65 (3)	-130 (2)	181 (1)
71	13	-0.99 (1)	0.22 (7)	-0.60 (1)	-147 (1)	-48 (6)	284 (2)
71	14	-0.76 (1)	0.28 (7)	-0.64 (1)	-89 (1)	-38 (6)	297 (3)
71	15	-0.58 (3)	0.35 (7)	-0.60 (1)	-60 (9-II-2)	-57 (2)	282 (1)
71	16	-0.43 (3)	0.42 (7)	-0.40 (1)	-40 (9-II-2)	-201 (2)	196 (1)
72	1	-4.38 (5)	-0.43 (7)	-4.03 (5)	459 (5)	246 (5)	-277 (5)
72	2	-0.98 (5)	-0.10 (6)	-2.04 (5)	287 (2)	72 (5)	110 (4)
72	3	-0.36 (3)	0.10 (6)	-1.57 (5)	123 (1)	21 (2)	81 (7)
72	4	1.18 (6)	0.34 (6)	-1.22 (5)	77 (4)	-32 (7)	39 (7)
72	5	-4.40 (5)	0.64 (5)	-2.86 (5)	-221 (6)	-262 (4)	182 (7)
72	6	-1.30 (5)	-0.24 (8)	-2.38 (5)	150 (1)	134 (5)	118 (4)
72	7	-0.45 (2)	0.22 (6)	-1.72 (5)	72 (1)	-46 (4)	89 (7)
72	8	0.93 (6)	0.36 (6)	-1.24 (5)	38 (3)	-89 (7)	54 (7)
72	9	-3.88 (5)	0.90 (5)	-2.24 (5)	-344 (6)	-170 (7)	268 (6)
72	10	-1.65 (5)	0.23 (6)	-2.30 (5)	-178 (6)	148 (5)	147 (7)
72	11	-0.55 (2)	0.25 (6)	-1.83 (5)	-55 (6)	-77 (4)	107 (7)
72	12	0.57 (6)	0.33 (6)	-1.27 (5)	28 (1)	-134 (7)	75 (6)
72	13	-3.36 (5)	1.04 (5)	-1.82 (5)	-332 (6)	-145 (6)	306 (6)
72	14	-1.79 (5)	0.52 (6)	-2.11 (5)	-209 (6)	-118 (4)	179 (6)
72	15	-0.72 (5)	0.34 (6)	-1.81 (5)	-88 (6)	-99 (4)	124 (7)
72	16	-0.28 (2)	0.28 (7)	-1.29 (5)	24 (3)	-180 (7)	96 (6)
73	1	-0.76 (1)	-0.64 (5)	0.50 (4)	154 (1)	172 (1)	-130 (2)
73	2	-0.80 (3)	-0.62 (5)	0.52 (4)	173 (1)	209 (1)	-80 (2)
73	3	-0.81 (3)	-0.62 (5)	0.55 (4)	178 (1)	217 (1)	-35 (10-II-4)
73	4	-0.81 (3)	-0.63 (5)	0.59 (4)	171 (1)	200 (2)	41 (1)
73	5	-0.73 (3)	-0.73 (5)	0.49 (4)	201 (1)	208 (1)	-114 (2)
73	6	-0.77 (3)	-0.71 (5)	0.52 (4)	230 (1)	256 (1)	-73 (2)
73	7	-0.79 (3)	-0.70 (5)	0.55 (4)	239 (1)	268 (5)	-37 (10-II-4)
73	8	-0.79 (3)	-0.71 (5)	0.58 (4)	230 (1)	247 (5)	-37 (10-II-4)

**POTENZIAMENTO DELL'IMPIANTO DI DEPURAZIONE E
DEL RECAPITO FINALE DI SQUINZANO (LE)
PROGETTO DEFINITIVO
Tabulati di calcolo strutturale-Filtrazione**

R.37.9

Maggio 2021

Pagina 67 di 364

Muro	Pann.	Sxx	Syy	Sxy	Mxx	Myy	Mxy
73	9	-0.70 (3)	-0.80 (5)	0.49 (4)	222 (1)	234 (1)	-94 (2)
73	10	-0.74 (3)	-0.77 (5)	0.51 (4)	256 (1)	292 (1)	-62 (2)
73	11	-0.76 (3)	-0.76 (5)	0.54 (4)	269 (1)	308 (5)	-38 (10-II-4)
73	12	-0.78 (3)	-0.78 (5)	0.57 (4)	258 (1)	284 (5)	-36 (10-II-4)
73	13	-0.68 (3)	-0.84 (5)	0.47 (4)	224 (1)	253 (1)	-74 (2)
73	14	-0.71 (3)	-0.81 (5)	0.50 (4)	261 (1)	319 (5)	-51 (2)
73	15	-0.74 (3)	-0.81 (5)	0.52 (4)	274 (1)	338 (5)	-39 (10-II-4)
73	16	-0.75 (3)	-0.82 (5)	0.55 (4)	263 (1)	311 (5)	-34 (10-II-4)
74	1	-0.98 (1)	-1.47 (1)	0.99 (6)	42 (5)	-150 (7)	-103 (5)
74	2	-0.89 (1)	-1.35 (1)	1.29 (6)	43 (5)	122 (2)	-32 (1)
74	3	-0.98 (3)	-1.20 (1)	1.38 (6)	48 (5)	104 (1)	12 (9-I-4)
74	4	-1.24 (7)	-1.07 (1)	1.33 (6)	53 (5)	86 (1)	29 (5)
74	5	-1.25 (1)	-1.76 (1)	0.93 (6)	40 (5)	183 (2)	-98 (5)
74	6	-0.99 (1)	-1.64 (1)	1.17 (6)	42 (5)	155 (2)	-25 (1)
74	7	-0.96 (3)	-1.47 (1)	1.25 (6)	45 (5)	127 (2)	14 (9-I-4)
74	8	-1.16 (7)	-1.32 (1)	1.23 (6)	45 (5)	101 (2)	32 (5)
74	9	-1.43 (1)	-1.96 (1)	0.86 (6)	39 (5)	226 (2)	-90 (5)
74	10	-1.07 (1)	-1.83 (1)	1.03 (6)	42 (5)	185 (2)	-18 (1)
74	11	-0.95 (1)	-1.68 (1)	1.12 (6)	42 (5)	148 (2)	14 (9-I-4)
74	12	-1.10 (4)	-1.51 (1)	1.11 (6)	39 (5)	116 (2)	31 (2)
74	13	-1.54 (1)	-2.03 (1)	0.78 (6)	39 (5)	266 (2)	-82 (5)
74	14	-1.12 (1)	-1.97 (1)	0.91 (6)	42 (5)	213 (2)	-12 (1)
74	15	-0.95 (1)	-1.82 (1)	0.98 (6)	40 (5)	167 (2)	15 (2)
74	16	-1.05 (4)	-1.66 (1)	0.99 (6)	34 (5)	128 (2)	31 (2)
75	1	-1.62 (7)	-0.96 (1)	1.15 (6)	55 (5)	65 (2)	48 (5)
75	2	-1.90 (7)	-0.88 (1)	0.88 (6)	50 (5)	41 (5)	57 (2)
75	3	-2.02 (7)	-0.85 (1)	0.60 (6)	33 (6)	37 (7)	45 (2)
75	4	-2.04 (7)	-0.84 (1)	0.36 (6)	17 (7)	-111 (5)	31 (2)
75	5	-1.51 (7)	-1.17 (1)	1.09 (6)	40 (5)	72 (2)	47 (5)
75	6	-1.78 (7)	-1.04 (1)	0.85 (6)	27 (5)	36 (5)	53 (2)
75	7	-1.91 (7)	-0.98 (1)	0.60 (6)	14 (7)	37 (7)	38 (2)
75	8	-1.97 (7)	-0.94 (1)	0.39 (7)	-18 (1)	-124 (5)	30 (2)
75	9	-1.40 (7)	-1.34 (1)	1.01 (6)	29 (5)	78 (2)	45 (2)
75	10	-1.67 (7)	-1.19 (1)	0.81 (6)	13 (6)	31 (1)	48 (2)
75	11	-1.81 (7)	-1.10 (1)	0.59 (6)	-13 (1)	38 (7)	34 (2)
75	12	-1.89 (7)	-1.05 (1)	0.42 (7)	-29 (2)	-133 (2)	29 (2)
75	13	-1.31 (7)	-1.48 (1)	0.92 (6)	22 (5)	83 (2)	42 (2)
75	14	-1.55 (7)	-1.31 (1)	0.76 (6)	-8 (3)	27 (1)	42 (2)
75	15	-1.71 (7)	-1.20 (1)	0.56 (6)	-20 (1)	-45 (2)	30 (2)
75	16	-1.79 (7)	-1.13 (1)	0.43 (7)	-34 (2)	-139 (2)	29 (2)
76	1	-0.79 (3)	-0.67 (5)	0.64 (4)	148 (1)	149 (5)	90 (1)
76	2	-0.76 (3)	-0.75 (5)	0.73 (4)	107 (1)	44 (5)	115 (5)
76	3	-0.73 (3)	-0.85 (5)	0.86 (4)	-52 (10-I-4)	-156 (1)	96 (5)
76	4	-0.75 (1)	-0.98 (5)	1.01 (4)	-41 (9-II-1)	-482 (1)	-32 (10-II-4)
76	5	-0.79 (3)	-0.76 (5)	0.63 (4)	199 (1)	183 (5)	76 (1)
76	6	-0.77 (3)	-0.83 (5)	0.71 (4)	145 (1)	54 (5)	95 (5)
76	7	-0.77 (3)	-0.93 (5)	0.82 (4)	74 (1)	-191 (1)	77 (5)
76	8	-0.78 (3)	-1.06 (5)	0.95 (4)	-33 (10-I-4)	-579 (1)	-38 (5)
76	9	-0.78 (3)	-0.82 (5)	0.62 (4)	222 (1)	209 (5)	57 (1)
76	10	-0.78 (3)	-0.90 (5)	0.69 (4)	160 (1)	58 (5)	71 (5)
76	11	-0.78 (3)	-0.99 (5)	0.78 (4)	80 (2)	-222 (1)	54 (5)
76	12	-0.81 (3)	-1.11 (5)	0.88 (4)	-27 (10-I-4)	-658 (1)	-43 (5)
76	13	-0.77 (3)	-0.86 (5)	0.59 (4)	226 (2)	226 (5)	-40 (4)
76	14	-0.77 (3)	-0.93 (5)	0.65 (4)	161 (2)	57 (5)	46 (5)
76	15	-0.79 (3)	-1.03 (5)	0.72 (4)	79 (2)	-251 (1)	-30 (4)
76	16	-0.84 (3)	-1.16 (5)	0.82 (4)	-20 (10-I-4)	-716 (1)	-48 (5)
77	1	-0.99 (1)	-0.84 (5)	0.27 (4)	-13 (9-I-4)	-390 (2)	-66 (1)
77	2	-0.84 (1)	-0.79 (5)	0.37 (4)	41 (1)	-156 (2)	-141 (5)
77	3	-0.78 (1)	-0.73 (5)	0.44 (4)	87 (1)	-35 (10-II-4)	-164 (5)
77	4	-0.77 (1)	-0.68 (5)	0.48 (4)	124 (1)	105 (1)	-159 (2)
77	5	-1.08 (1)	-0.93 (5)	0.27 (4)	-12 (10-II-4)	-463 (2)	-54 (1)
77	6	-0.88 (1)	-0.88 (5)	0.36 (4)	51 (1)	-191 (2)	-119 (5)
77	7	-0.79 (1)	-0.83 (5)	0.43 (4)	109 (1)	-43 (10-II-4)	-140 (5)
77	8	-0.75 (1)	-0.78 (5)	0.47 (4)	159 (1)	124 (1)	-138 (5)
77	9	-1.13 (1)	-0.97 (2)	0.26 (4)	-13 (2)	-519 (2)	-41 (5)
77	10	-0.91 (1)	-0.93 (5)	0.35 (4)	51 (1)	-220 (2)	-94 (5)
77	11	-0.79 (1)	-0.89 (5)	0.41 (4)	116 (1)	-51 (10-II-4)	-112 (5)
77	12	-0.73 (1)	-0.84 (5)	0.45 (4)	173 (1)	135 (1)	-112 (5)
77	13	-1.14 (1)	-0.96 (5)	0.26 (4)	-19 (2)	-559 (2)	-29 (5)
77	14	-0.92 (1)	-0.95 (5)	0.34 (4)	46 (1)	-245 (2)	-68 (5)
77	15	-0.79 (1)	-0.91 (5)	0.40 (4)	113 (1)	-60 (10-II-4)	-84 (5)
77	16	-0.72 (1)	-0.87 (5)	0.44 (4)	172 (1)	142 (1)	-86 (5)
78	1	-1.14 (3)	-1.49 (5)	1.30 (4)	-102 (10-II-1)	37 (6)	-208 (1)
78	2	-1.60 (3)	-2.29 (5)	1.64 (4)	-151 (7)	188 (2)	-139 (1)
78	3	-2.06 (3)	-3.83 (5)	-2.25 (5)	-189 (7)	223 (2)	39 (5)
78	4	-2.23 (3)	-6.90 (5)	-2.63 (5)	-236 (7)	191 (2)	174 (5)

**POTENZIAMENTO DELL'IMPIANTO DI DEPURAZIONE E
DEL RECAPITO FINALE DI SQUINZANO (LE)
PROGETTO DEFINITIVO
Tabulati di calcolo strutturale-Filtrazione**

R.37.9

Maggio 2021

Pagina 68 di 364

Muro	Pann.	Sxx	Syy	Sxy	Mxx	Myy	Mxy
78	5	-1.17 (3)	-1.66 (5)	1.13 (4)	137 (1)	49 (5)	-195 (1)
78	6	-1.61 (3)	-2.53 (5)	1.34 (4)	212 (1)	243 (2)	-135 (1)
78	7	-1.99 (3)	-4.11 (5)	-1.61 (5)	221 (1)	291 (2)	-27 (10-II-4)
78	8	-1.97 (3)	-6.97 (5)	-1.43 (5)	-256 (7)	238 (2)	141 (5)
78	9	-1.18 (3)	-1.78 (5)	0.93 (4)	173 (1)	55 (6)	-172 (1)
78	10	-1.57 (3)	-2.68 (5)	1.04 (4)	279 (1)	289 (2)	-123 (1)
78	11	-1.85 (3)	-4.19 (5)	-1.00 (5)	302 (1)	348 (2)	-32 (10-II-4)
78	12	-1.61 (3)	-6.60 (5)	-0.45 (5)	-256 (7)	274 (2)	110 (1)
78	13	-1.12 (3)	-1.85 (5)	0.72 (4)	188 (1)	58 (6)	-141 (1)
78	14	-1.47 (3)	-2.72 (5)	0.74 (4)	316 (1)	324 (2)	-105 (1)
78	15	-1.68 (3)	-4.10 (5)	-0.47 (5)	348 (1)	392 (2)	-35 (10-II-4)
78	16	-1.28 (3)	-5.97 (5)	-0.42 (3)	278 (1)	301 (2)	85 (1)
79	1	-0.78 (1)	-1.10 (5)	0.98 (4)	-50 (9-II-4)	-342 (1)	-115 (1)
79	2	-0.81 (1)	-1.14 (5)	1.02 (4)	-56 (9-II-4)	-270 (1)	-147 (1)
79	3	-0.85 (1)	-1.22 (5)	1.06 (4)	-62 (9-II-4)	-206 (1)	-170 (1)
79	4	-0.91 (3)	-1.39 (5)	1.11 (4)	-70 (9-II-4)	-149 (1)	-185 (1)
79	5	-0.81 (3)	-1.22 (5)	0.86 (4)	-42 (10-II-4)	-425 (1)	-101 (1)
79	6	-0.85 (3)	-1.28 (5)	0.90 (4)	-48 (10-II-4)	-337 (1)	-132 (1)
79	7	-0.90 (3)	-1.35 (5)	0.94 (4)	-54 (10-II-4)	-258 (1)	-154 (1)
79	8	-0.96 (3)	-1.46 (5)	0.99 (4)	69 (1)	-188 (1)	-169 (1)
79	9	-0.84 (3)	-1.29 (5)	0.73 (4)	-35 (10-II-4)	-499 (1)	87 (7)
79	10	-0.90 (3)	-1.37 (5)	0.76 (4)	41 (1)	-399 (1)	-111 (1)
79	11	-0.95 (3)	-1.43 (5)	0.79 (4)	63 (1)	-309 (1)	-131 (1)
79	12	-0.99 (3)	-1.46 (5)	0.85 (4)	85 (1)	-228 (1)	-144 (1)
79	13	-0.86 (3)	-1.30 (5)	0.62 (4)	-28 (10-II-4)	-561 (1)	80 (7)
79	14	-0.90 (3)	-1.38 (5)	0.63 (4)	40 (1)	-450 (1)	-89 (1)
79	15	-0.96 (3)	-1.44 (5)	0.64 (4)	63 (1)	-351 (1)	-105 (1)
79	16	-1.04 (3)	-1.50 (5)	0.65 (4)	85 (1)	-261 (1)	-117 (1)
80	1	-0.84 (2)	-0.94 (1)	-0.18 (4)	-380 (2)	-17 (10-II-4)	35 (7)
80	2	-0.96 (2)	-1.04 (1)	-0.18 (4)	-445 (2)	-14 (10-II-4)	33 (7)
80	3	-1.03 (2)	-1.10 (1)	-0.18 (4)	-495 (2)	-19 (5)	31 (7)
80	4	-1.05 (2)	-1.12 (1)	-0.18 (7)	-529 (2)	-26 (5)	30 (7)
80	5	-0.78 (2)	-0.79 (1)	0.31 (5)	-135 (2)	47 (1)	-73 (2)
80	6	-0.90 (2)	-0.83 (1)	0.25 (5)	-165 (2)	51 (1)	-54 (2)
80	7	-0.98 (2)	-0.86 (1)	0.19 (5)	-192 (2)	46 (1)	-36 (2)
80	8	-1.02 (2)	-0.87 (1)	0.15 (2)	-215 (2)	37 (1)	-23 (10-II-4)
80	9	-0.70 (2)	-0.73 (1)	0.39 (5)	25 (6)	90 (1)	-91 (2)
80	10	-0.82 (2)	-0.73 (1)	0.33 (5)	25 (6)	100 (1)	-72 (2)
80	11	-0.90 (2)	-0.73 (1)	0.27 (5)	-26 (10-II-4)	97 (1)	-53 (2)
80	12	-0.95 (2)	-0.73 (1)	0.21 (5)	-27 (10-II-4)	87 (1)	-34 (2)
80	13	-0.64 (2)	-0.71 (1)	0.43 (5)	116 (5)	122 (1)	-82 (2)
80	14	-0.74 (2)	-0.68 (1)	0.37 (5)	132 (1)	138 (1)	-69 (2)
80	15	-0.83 (2)	-0.66 (1)	0.32 (5)	141 (1)	138 (1)	-54 (2)
80	16	-0.88 (1)	-0.64 (1)	0.26 (5)	143 (1)	127 (1)	-40 (2)
81	1	-0.97 (1)	-1.46 (5)	0.93 (5)	-8 (2)	-63 (2)	19 (2)
81	2	-0.78 (1)	-1.33 (5)	1.17 (5)	-8 (5)	-55 (2)	17 (1)
81	3	-1.02 (4)	-1.18 (5)	1.27 (5)	-8 (5)	-46 (2)	-14 (4)
81	4	-1.23 (4)	-1.04 (5)	1.28 (5)	-9 (5)	-37 (2)	-23 (10-II-4)
81	5	-1.15 (1)	-1.69 (5)	0.87 (5)	-10 (10-II-4)	-82 (2)	18 (2)
81	6	-0.86 (1)	-1.56 (5)	1.04 (5)	-9 (10-II-4)	-70 (2)	16 (1)
81	7	-0.94 (4)	-1.39 (5)	1.14 (5)	-9 (5)	-58 (2)	-15 (4)
81	8	-1.14 (4)	-1.23 (5)	1.17 (5)	-9 (5)	-46 (2)	-23 (10-II-4)
81	9	-1.24 (1)	-1.83 (5)	0.79 (5)	-12 (10-II-4)	-100 (2)	17 (2)
81	10	-0.91 (1)	-1.69 (5)	0.91 (5)	-11 (10-II-4)	-84 (2)	14 (1)
81	11	-0.86 (4)	-1.53 (5)	1.00 (5)	-10 (2)	-69 (2)	-15 (4)
81	12	-1.05 (4)	-1.36 (5)	1.04 (5)	-10 (5)	-55 (2)	-23 (10-II-4)
81	13	-1.28 (1)	-1.85 (5)	0.70 (5)	-13 (10-II-4)	-116 (2)	15 (2)
81	14	-0.94 (1)	-1.75 (5)	0.78 (5)	-12 (10-II-4)	-97 (2)	13 (1)
81	15	-0.80 (4)	-1.59 (5)	0.86 (5)	-11 (2)	-79 (2)	-15 (4)
81	16	-0.97 (4)	-1.43 (5)	0.91 (5)	-11 (2)	-63 (2)	-23 (10-II-4)
82	1	-0.57 (1)	-0.73 (3)	0.44 (5)	166 (5)	139 (2)	-47 (2)
82	2	-0.67 (1)	-0.69 (3)	0.40 (5)	194 (1)	161 (1)	-44 (2)
82	3	-0.74 (1)	-0.65 (3)	0.35 (5)	212 (1)	163 (1)	-39 (2)
82	4	-0.79 (1)	-0.61 (3)	0.30 (5)	221 (1)	152 (1)	-35 (2)
82	5	-0.52 (1)	-0.72 (3)	0.44 (5)	151 (2)	132 (2)	-21 (10-II-4)
82	6	-0.59 (1)	-0.68 (3)	0.41 (5)	177 (2)	153 (1)	-19 (10-II-4)
82	7	-0.66 (1)	-0.65 (3)	0.38 (5)	194 (2)	155 (1)	-18 (10-II-4)
82	8	-0.71 (1)	-0.61 (3)	0.34 (5)	202 (2)	147 (1)	-23 (2)
82	9	-0.48 (1)	-0.67 (1)	0.46 (5)	40 (2)	92 (1)	41 (1)
82	10	-0.54 (1)	-0.64 (3)	0.44 (5)	46 (2)	107 (1)	25 (1)
82	11	-0.60 (1)	-0.62 (3)	0.41 (5)	48 (2)	108 (1)	-12 (10-II-4)
82	12	-0.64 (1)	-0.60 (3)	0.38 (5)	46 (2)	101 (1)	-16 (2)
82	13	-0.45 (1)	-0.67 (1)	0.51 (5)	-221 (5)	-32 (7)	-24 (10-II-4)
82	14	-0.50 (1)	-0.66 (1)	0.49 (5)	-261 (5)	40 (1)	-30 (2)
82	15	-0.54 (1)	-0.66 (1)	0.47 (5)	-290 (5)	40 (1)	-39 (2)
82	16	-0.57 (1)	-0.65 (1)	0.44 (5)	-307 (5)	33 (1)	-46 (2)

**POTENZIAMENTO DELL'IMPIANTO DI DEPURAZIONE E
DEL RECAPITO FINALE DI SQUINZANO (LE)
PROGETTO DEFINITIVO
Tabulati di calcolo strutturale-Filtrazione**

R.37.9

Maggio 2021

Pagina 69 di 364

Muro	Pann.	Sxx	Syy	Sxy	Mxx	Myy	Mxy
83	1	-1.40 (7)	-0.93 (5)	1.24 (5)	-10 (6)	-28 (2)	-31 (10-II-4)
83	2	-1.54 (7)	-0.85 (5)	1.17 (5)	-12 (7)	-19 (2)	-37 (10-II-4)
83	3	-1.62 (7)	-0.80 (5)	1.10 (5)	-13 (7)	-11 (5)	-39 (10-II-4)
83	4	-1.65 (7)	-0.79 (5)	1.03 (5)	-13 (7)	-5 (6)	-39 (10-II-4)
83	5	-1.31 (7)	-1.09 (5)	1.16 (5)	-10 (5)	-35 (2)	-31 (10-II-4)
83	6	-1.44 (7)	-0.97 (5)	1.11 (5)	-10 (5)	-23 (2)	-37 (10-II-4)
83	7	-1.53 (7)	-0.89 (5)	1.06 (5)	-9 (6)	-13 (5)	-40 (10-II-4)
83	8	-1.58 (7)	-0.83 (5)	1.02 (5)	-9 (6)	6 (10-II-4)	-39 (10-II-4)
83	9	-1.21 (7)	-1.20 (5)	1.05 (5)	-10 (5)	-41 (2)	-31 (10-II-4)
83	10	-1.35 (7)	-1.06 (5)	1.04 (5)	-9 (5)	-27 (2)	-37 (10-II-4)
83	11	-1.45 (7)	-0.94 (5)	1.01 (5)	-8 (5)	-14 (5)	-40 (10-II-4)
83	12	-1.51 (7)	-0.85 (5)	0.97 (5)	-7 (6)	8 (10-II-4)	-39 (10-II-4)
83	13	-1.13 (7)	-1.27 (5)	0.94 (5)	-10 (5)	-47 (2)	-31 (10-II-4)
83	14	-1.27 (7)	-1.10 (5)	0.94 (5)	-9 (5)	-30 (2)	-37 (10-II-4)
83	15	-1.37 (7)	-0.97 (5)	0.93 (5)	-7 (5)	-15 (5)	-40 (10-II-4)
83	16	-1.44 (7)	-0.85 (5)	0.91 (5)	-5 (6)	11 (10-II-4)	-39 (10-II-4)
84	1	-1.67 (7)	-0.80 (5)	0.99 (5)	-12 (7)	15 (10-II-4)	-34 (10-II-4)
84	2	-1.69 (7)	-0.83 (5)	0.98 (5)	-10 (7)	29 (10-II-4)	-24 (10-II-4)
84	3	-1.82 (7)	-0.79 (5)	0.94 (5)	-7 (7)	44 (10-II-4)	-11 (10-II-4)
84	4	-2.17 (6)	-0.66 (5)	0.64 (5)	4 (10-II-4)	60 (10-II-4)	4 (10-II-2)
84	5	-1.62 (7)	-0.80 (5)	0.98 (5)	-8 (7)	20 (10-II-4)	-34 (10-II-4)
84	6	-1.68 (7)	-0.75 (5)	0.96 (5)	-7 (7)	37 (10-II-4)	-24 (10-II-4)
84	7	-1.82 (7)	-0.65 (5)	0.87 (5)	-4 (7)	55 (10-II-4)	-11 (10-II-4)
84	8	-2.04 (7)	-0.51 (5)	0.59 (5)	6 (2)	73 (10-II-4)	4 (10-II-2)
84	9	-1.57 (7)	-0.77 (5)	0.94 (5)	-5 (7)	25 (10-II-4)	-34 (10-II-4)
84	10	-1.65 (7)	-0.67 (5)	0.90 (5)	-4 (7)	45 (10-II-4)	-25 (10-II-4)
84	11	-1.78 (7)	-0.54 (5)	0.79 (5)	6 (2)	66 (10-II-4)	-11 (10-II-4)
84	12	-1.97 (7)	-0.41 (5)	0.53 (5)	8 (2)	87 (10-II-4)	5 (10-II-2)
84	13	-1.51 (7)	-0.74 (5)	0.88 (5)	-3 (6)	30 (10-II-4)	-34 (10-II-4)
84	14	-1.60 (7)	-0.60 (5)	0.82 (5)	4 (10-II-4)	53 (10-II-4)	-24 (10-II-4)
84	15	-1.73 (7)	-0.46 (5)	0.70 (5)	7 (2)	77 (10-II-4)	-10 (10-II-4)
84	16	-1.88 (7)	-0.33 (5)	0.49 (1)	10 (2)	101 (10-II-4)	5 (10-II-2)
85	1	-1.69 (3)	-10.66 (5)	-2.36 (5)	-292 (8)	101 (2)	230 (2)
85	2	-0.96 (1)	-14.12 (5)	-1.45 (5)	-361 (8)	-30 (5)	213 (2)
85	3	-1.32 (6)	-19.00 (5)	-1.00 (3)	-529 (8)	-264 (5)	175 (1)
85	4	-8.78 (6)	-24.86 (6)	5.09 (6)	-724 (5)	-759 (5)	-260 (4)
85	5	-1.11 (4)	-9.98 (5)	-0.52 (5)	-290 (7)	110 (2)	186 (1)
85	6	-1.10 (6)	-12.05 (5)	-1.12 (3)	-329 (10-I-1)	-56 (5)	169 (1)
85	7	-3.89 (6)	-13.81 (5)	3.02 (6)	-381 (8)	-302 (5)	-164 (7)
85	8	-6.94 (6)	-11.66 (5)	2.08 (6)	-401 (5)	-676 (2)	-190 (7)
85	9	-0.88 (1)	-8.68 (5)	-0.93 (3)	-268 (7)	110 (2)	150 (1)
85	10	-1.99 (6)	-9.71 (5)	1.85 (6)	-267 (7)	-87 (5)	-143 (7)
85	11	-4.12 (6)	-9.46 (5)	2.28 (6)	-252 (10-I-1)	-352 (5)	-157 (7)
85	12	-5.60 (6)	-8.42 (5)	1.20 (6)	-216 (10-I-1)	-716 (5)	-155 (7)
85	13	-1.15 (6)	-7.31 (5)	1.38 (6)	-231 (7)	111 (1)	-118 (7)
85	14	-2.37 (6)	-7.50 (5)	1.89 (6)	-206 (7)	-116 (5)	-135 (7)
85	15	-3.85 (6)	-7.15 (5)	1.78 (6)	-163 (4)	-385 (5)	-135 (7)
85	16	-4.53 (6)	-6.75 (5)	0.70 (6)	-247 (4)	-728 (2)	-176 (4)
86	1	-3.40 (6)	1.33 (4)	1.00 (8)	68 (1)	-41 (1)	263 (3)
86	2	-3.19 (6)	1.37 (4)	1.70 (5)	-97 (6)	-95 (5)	-229 (6)
86	3	-2.80 (6)	-1.71 (5)	1.98 (5)	-168 (6)	-314 (5)	-125 (6)
86	4	-3.71 (5)	-2.92 (5)	2.22 (5)	-177 (6)	-750 (5)	-59 (7)
86	5	-4.30 (5)	1.35 (4)	1.16 (5)	-73 (6)	-51 (7)	-275 (6)
86	6	-3.76 (6)	1.38 (4)	2.37 (5)	-92 (6)	-67 (1)	-274 (6)
86	7	-2.81 (6)	-1.57 (5)	2.68 (5)	-171 (6)	-183 (5)	-168 (6)
86	8	3.66 (4)	-1.58 (1)	1.49 (5)	-176 (6)	-696 (5)	-71 (7)
86	9	-5.71 (5)	1.16 (4)	1.35 (5)	-146 (6)	-88 (6)	-254 (6)
86	10	-4.45 (5)	1.01 (4)	3.07 (5)	-94 (7)	-60 (1)	-283 (6)
86	11	-2.44 (6)	0.97 (4)	3.21 (5)	-41 (7)	-77 (1)	249 (3)
86	12	4.39 (3)	-1.57 (5)	1.66 (3)	62 (3)	-660 (5)	-50 (7)
86	13	-7.60 (5)	-0.60 (5)	1.65 (5)	-359 (6)	-94 (6)	-208 (6)
86	14	-5.22 (5)	-0.55 (5)	3.40 (5)	-213 (4)	-41 (4)	246 (3)
86	15	-1.85 (6)	0.44 (4)	3.55 (5)	494 (5)	-55 (3)	282 (3)
86	16	5.19 (3)	0.67 (4)	2.36 (3)	562 (5)	-252 (5)	115 (3)
87	1	-4.01 (5)	1.09 (7)	0.66 (7)	-463 (5)	-983 (5)	192 (6)
87	2	-3.12 (5)	0.74 (7)	1.35 (7)	-323 (6)	-169 (5)	288 (6)
87	3	-2.07 (6)	-0.46 (2)	1.56 (7)	-167 (6)	105 (6)	360 (6)
87	4	-1.35 (1)	-0.66 (6)	1.49 (6)	192 (1)	122 (5)	320 (5)
87	5	-4.80 (5)	1.06 (7)	0.75 (7)	-497 (6)	-1005 (5)	205 (6)
87	6	-3.48 (5)	0.60 (7)	1.62 (7)	-306 (6)	71 (4)	369 (6)
87	7	-2.23 (6)	-0.43 (2)	1.82 (7)	237 (3)	97 (5)	408 (6)
87	8	-1.47 (1)	-0.76 (5)	1.63 (6)	279 (3)	59 (5)	329 (5)
87	9	-5.83 (5)	1.01 (7)	0.98 (7)	-339 (6)	-929 (5)	266 (6)
87	10	-3.73 (5)	-0.32 (1)	1.94 (7)	253 (1)	45 (6)	456 (6)
87	11	-2.46 (6)	-0.34 (5)	2.01 (7)	314 (3)	85 (5)	402 (6)
87	12	-1.60 (1)	-0.85 (5)	1.86 (6)	495 (3)	87 (3)	304 (5)

**POTENZIAMENTO DELL'IMPIANTO DI DEPURAZIONE E
DEL RECAPITO FINALE DI SQUINZANO (LE)
PROGETTO DEFINITIVO
Tabulati di calcolo strutturale-Filtrazione**

R.37.9

Maggio 2021

Pagina 70 di 364

Muro	Pann.	Sxx	Syy	Sxy	Mxx	Myy	Mxy
87	13	-7.05(5)	-0.40(5)	1.77(7)	626(5)	-347(5)	229(6)
87	14	-4.16(5)	-0.33(5)	2.07(7)	580(5)	93(5)	437(6)
87	15	-2.69(5)	-0.29(1)	1.94(7)	472(2)	69(2)	333(6)
87	16	-1.73(1)	-0.37(5)	2.50(5)	846(3)	132(3)	286(6)
88	1	-2.61(4)	-11.45(5)	-1.57(5)	-228(5)	184(7)	-253(1)
88	2	-2.34(3)	-15.34(5)	-0.46(9-II-2)	-298(5)	65(3)	-271(1)
88	3	-3.26(5)	-20.77(5)	2.21(6)	-526(6)	-260(7)	-270(2)
88	4	-14.65(5)	-28.40(5)	7.39(5)	-388(3)	-910(7)	-845(5)
88	5	-2.05(4)	-10.09(5)	-0.58(4)	-324(5)	168(7)	-254(1)
88	6	-2.27(5)	-12.14(5)	2.18(5)	-359(5)	35(1)	-287(2)
88	7	-5.74(5)	-13.83(5)	4.82(5)	-318(8)	-258(7)	-328(5)
88	8	-9.27(5)	-9.16(5)	1.70(5)	-247(4)	-720(7)	-295(5)
88	9	-1.63(8)	-8.13(5)	1.53(5)	-361(5)	148(7)	-247(2)
88	10	-3.28(5)	-8.73(5)	2.86(5)	-318(5)	26(1)	-277(2)
88	11	-5.65(5)	-7.36(5)	2.96(5)	-219(5)	-263(7)	-269(2)
88	12	-5.96(5)	-5.40(5)	-0.86(4)	-150(7)	-563(7)	-205(2)
88	13	-2.16(5)	-6.22(5)	1.84(5)	-353(5)	-142(1)	-226(2)
88	14	-3.57(5)	-5.74(5)	2.28(5)	-277(5)	-39(10-I-4)	-242(2)
88	15	-4.89(5)	-4.50(5)	1.70(5)	-168(5)	263(1)	-218(2)
88	16	-4.01(5)	-3.36(5)	-0.70(4)	-102(7)	627(1)	-189(3)
89	1	-2.15(6)	-0.78(1)	0.33(5)	24(7)	-74(5)	31(4)
89	2	-2.33(7)	-0.75(1)	-0.19(10-II-4)	52(5)	54(7)	42(4)
89	3	-2.42(7)	-0.74(1)	-0.43(5)	74(5)	47(5)	55(4)
89	4	-2.34(7)	-0.78(1)	-0.87(5)	78(5)	49(5)	59(4)
89	5	-2.07(7)	-0.88(1)	0.31(5)	17(7)	-81(5)	34(7)
89	6	-2.22(7)	-0.86(1)	-0.22(10-II-4)	28(7)	58(7)	46(4)
89	7	-2.27(7)	-0.87(1)	-0.42(5)	46(5)	44(6)	56(4)
89	8	-2.17(7)	-0.94(1)	-0.83(5)	58(5)	51(1)	58(4)
89	9	-1.98(7)	-0.98(1)	0.29(5)	-22(1)	-85(1)	36(7)
89	10	-2.09(7)	-0.96(1)	-0.24(10-II-4)	20(7)	62(7)	47(4)
89	11	-2.12(7)	-0.98(1)	-0.41(10-II-4)	27(6)	43(7)	57(4)
89	12	-2.01(7)	-1.08(1)	-0.77(5)	42(5)	53(1)	56(4)
89	13	-1.88(7)	-1.06(1)	0.26(5)	-27(1)	-86(1)	37(7)
89	14	-1.97(7)	-1.05(1)	-0.26(10-II-4)	15(7)	67(7)	48(7)
89	15	-1.98(7)	-1.09(1)	-0.43(10-II-4)	16(6)	42(7)	56(4)
89	16	-1.86(7)	-1.20(1)	-0.70(5)	31(5)	54(1)	54(4)
90	1	-2.05(7)	-0.87(1)	-1.26(5)	71(5)	57(1)	54(4)
90	2	-1.58(7)	-1.01(1)	-1.53(5)	60(5)	69(1)	39(3)
90	3	-0.97(5)	-1.22(1)	-1.61(5)	45(5)	-96(7)	44(2)
90	4	-0.86(1)	-1.43(1)	-1.25(5)	41(5)	-176(7)	107(5)
90	5	-1.89(7)	-1.07(1)	-1.18(5)	59(5)	65(1)	51(4)
90	6	-1.46(7)	-1.25(1)	-1.41(5)	54(5)	80(1)	34(4)
90	7	-0.98(1)	-1.50(1)	-1.44(5)	44(5)	-116(7)	36(2)
90	8	-1.12(1)	-1.72(1)	-1.16(6)	36(5)	-196(7)	102(5)
90	9	-1.75(7)	-1.24(1)	-1.07(5)	49(5)	71(1)	47(4)
90	10	-1.36(7)	-1.45(1)	-1.25(5)	48(5)	90(1)	31(4)
90	11	-1.00(1)	-1.70(1)	-1.26(5)	43(5)	-134(7)	30(2)
90	12	-1.29(1)	-1.93(1)	-1.06(6)	33(5)	-213(7)	93(5)
90	13	-1.62(7)	-1.38(1)	-0.96(5)	41(5)	76(1)	44(4)
90	14	-1.27(7)	-1.60(1)	-1.10(5)	43(5)	99(1)	28(4)
90	15	-1.01(1)	-1.85(1)	-1.09(5)	40(5)	-150(7)	25(2)
90	16	-1.42(1)	-2.01(1)	-0.95(6)	34(5)	-224(7)	84(5)
91	1	-0.45(1)	-0.68(1)	-0.18(1)	-244(2)	-38(9-I-4)	-88(2)
91	2	-0.50(1)	-0.67(1)	-0.19(1)	-290(2)	44(1)	-76(2)
91	3	-0.54(1)	-0.67(1)	-0.18(1)	-328(2)	47(1)	-61(2)
91	4	-0.58(1)	-0.65(1)	-0.17(1)	-353(2)	43(1)	-43(2)
91	5	-0.45(1)	-0.73(3)	0.29(4)	53(1)	98(1)	-151(2)
91	6	-0.51(1)	-0.71(3)	0.25(4)	65(1)	133(1)	-132(2)
91	7	-0.56(1)	-0.69(3)	0.22(4)	73(1)	148(1)	-107(2)
91	8	-0.60(1)	-0.66(4)	0.19(4)	-76(4)	150(1)	-79(2)
91	9	-0.45(1)	-0.86(4)	0.32(4)	180(1)	144(1)	-102(2)
91	10	-0.51(1)	-0.81(4)	0.28(4)	221(1)	198(1)	-90(2)
91	11	-0.57(1)	-0.77(4)	0.25(4)	253(1)	224(1)	-75(2)
91	12	-0.62(1)	-0.72(4)	0.22(4)	276(1)	230(1)	-58(2)
91	13	-0.47(1)	-0.93(4)	0.28(4)	217(1)	161(1)	-50(4)
91	14	-0.55(1)	-0.86(4)	0.26(4)	269(1)	222(1)	-50(4)
91	15	-0.62(1)	-0.80(4)	0.23(4)	310(1)	252(1)	-49(4)
91	16	-0.68(1)	-0.74(4)	0.21(4)	340(2)	258(1)	-48(4)
92	1	-0.84(1)	-0.83(5)	0.38(4)	13(10-II-2)	400(1)	59(2)
92	2	-0.74(1)	-0.77(5)	0.51(4)	-37(1)	165(1)	111(5)
92	3	-0.72(1)	-0.71(5)	0.58(4)	-82(1)	-38(4)	133(5)
92	4	-0.74(1)	-0.65(5)	0.60(3)	-119(1)	-99(2)	127(1)
92	5	-0.97(1)	-0.96(5)	0.38(4)	11(1)	475(1)	48(2)
92	6	-0.80(1)	-0.90(5)	0.50(4)	-47(2)	200(1)	91(5)
92	7	-0.73(1)	-0.83(5)	0.56(4)	-104(1)	-50(4)	111(5)
92	8	-0.71(1)	-0.77(5)	0.59(4)	-153(1)	-118(2)	108(5)

**POTENZIAMENTO DELL'IMPIANTO DI DEPURAZIONE E
DEL RECAPITO FINALE DI SQUINZANO (LE)
PROGETTO DEFINITIVO
Tabulati di calcolo strutturale-Filtrazione**

R.37.9

Maggio 2021

Pagina 71 di 364

Muro	Pann.	Sxx	Syy	Sxy	Mxx	Myy	Mxy
92	9	-1.06(1)	-1.04(1)	0.38(4)	16(1)	533(1)	37(2)
92	10	-0.84(1)	-0.99(5)	0.49(4)	-48(2)	231(1)	67(5)
92	11	-0.74(1)	-0.92(5)	0.55(4)	-110(2)	-61(4)	84(5)
92	12	-0.69(1)	-0.86(5)	0.58(4)	-166(1)	-130(2)	83(5)
92	13	-1.10(1)	-1.05(5)	0.38(4)	22(1)	573(1)	33(3)
92	14	-0.87(1)	-1.03(5)	0.47(4)	-43(2)	256(1)	44(5)
92	15	-0.75(1)	-0.97(5)	0.53(4)	-107(2)	-72(4)	57(5)
92	16	-0.68(1)	-0.92(5)	0.57(4)	-164(2)	-137(2)	58(5)
93	1	-1.21(5)	-0.82(3)	0.75(6)	535(1)	-35(6)	111(7)
93	2	-1.23(5)	-0.80(3)	0.87(6)	476(1)	-31(6)	117(7)
93	3	-1.19(5)	-0.78(3)	0.99(6)	404(1)	36(10-II-4)	123(7)
93	4	-1.12(5)	-0.78(1)	1.14(6)	324(1)	49(9-II-2)	128(7)
93	5	-1.29(5)	-0.84(3)	0.74(6)	425(1)	-49(5)	-88(1)
93	6	-1.30(5)	-0.85(3)	0.88(6)	376(1)	-44(5)	-110(1)
93	7	-1.21(5)	-0.83(3)	1.01(6)	317(1)	41(10-I-4)	-132(1)
93	8	-1.12(5)	-0.78(1)	1.11(6)	253(1)	55(9-II-2)	-146(1)
93	9	-1.31(5)	-0.88(3)	0.73(6)	327(1)	-72(5)	-108(1)
93	10	-1.34(5)	-0.89(3)	0.89(6)	288(1)	-65(1)	-134(1)
93	11	-1.29(5)	-0.86(3)	1.04(6)	240(1)	-51(1)	-158(1)
93	12	-1.21(5)	-0.81(1)	1.15(6)	189(1)	61(9-II-2)	-175(1)
93	13	-1.23(5)	-0.94(3)	0.72(6)	238(1)	-93(5)	-121(1)
93	14	-1.31(5)	-0.91(3)	0.94(6)	209(1)	-87(1)	-149(1)
93	15	-1.37(5)	-0.90(3)	1.07(6)	171(1)	-70(1)	-174(1)
93	16	-1.40(5)	-0.90(3)	1.27(6)	132(1)	68(9-II-2)	-195(1)
94	1	-0.53(1)	-0.87(3)	-0.31(5)	197(2)	151(1)	-80(4)
94	2	-0.62(1)	-0.80(3)	-0.26(5)	243(2)	207(1)	-76(4)
94	3	-0.70(1)	-0.74(3)	-0.21(5)	279(2)	232(1)	-70(4)
94	4	-0.76(1)	-0.68(3)	0.18(4)	305(2)	237(1)	-63(4)
94	5	-0.62(1)	-0.76(1)	-0.35(5)	126(2)	120(1)	129(1)
94	6	-0.72(1)	-0.72(1)	-0.28(5)	153(2)	160(1)	110(1)
94	7	-0.80(1)	-0.69(1)	-0.22(5)	172(2)	178(1)	87(1)
94	8	-0.86(1)	-0.67(1)	0.17(4)	183(2)	179(1)	-66(4)
94	9	-0.73(1)	-0.73(1)	-0.30(5)	43(4)	67(1)	139(1)
94	10	-0.84(1)	-0.75(1)	-0.23(5)	57(4)	89(1)	117(1)
94	11	-0.92(1)	-0.76(1)	0.19(4)	70(4)	95(1)	90(1)
94	12	-0.97(1)	-0.76(1)	0.19(4)	83(4)	93(1)	61(1)
94	13	-0.83(1)	-0.83(1)	0.25(4)	-330(1)	-21(10-I-4)	66(5)
94	14	-0.95(1)	-0.93(1)	0.26(4)	-396(1)	-15(10-I-4)	-60(4)
94	15	-1.02(1)	-0.99(1)	0.26(4)	-449(1)	-10(10-I-4)	-56(4)
94	16	-1.04(1)	-1.02(1)	0.26(4)	-486(1)	15(4)	-51(4)
95	1	-0.76(1)	-0.62(5)	0.60(3)	-148(1)	-167(2)	99(1)
95	2	-0.84(3)	-0.60(5)	0.58(3)	-168(1)	-204(2)	51(1)
95	3	-0.89(4)	-0.60(5)	0.57(3)	-173(1)	-211(5)	-34(10-II-4)
95	4	-0.91(4)	-0.62(5)	0.57(3)	-166(1)	-191(5)	-66(2)
95	5	-0.71(1)	-0.73(5)	0.60(3)	-194(1)	-202(2)	84(5)
95	6	-0.79(3)	-0.70(5)	0.59(3)	-223(1)	-250(2)	-44(4)
95	7	-0.84(4)	-0.69(5)	0.58(3)	-233(1)	-260(5)	-33(10-II-4)
95	8	-0.86(4)	-0.71(5)	0.58(4)	-224(1)	-236(5)	-58(2)
95	9	-0.67(1)	-0.81(5)	0.60(4)	-214(1)	-229(2)	65(5)
95	10	-0.74(3)	-0.78(5)	0.59(4)	-249(1)	-286(5)	-39(4)
95	11	-0.79(4)	-0.76(5)	0.59(4)	-261(1)	-299(5)	-32(10-II-4)
95	12	-0.82(4)	-0.77(5)	0.59(4)	-251(1)	-270(5)	-50(2)
95	13	-0.64(1)	-0.87(5)	0.59(4)	-215(1)	-247(2)	46(5)
95	14	-0.69(3)	-0.83(5)	0.60(4)	-252(1)	-312(5)	-34(4)
95	15	-0.74(4)	-0.82(5)	0.59(4)	-265(1)	-327(5)	-31(10-II-4)
95	16	-0.78(4)	-0.82(5)	0.59(4)	-255(1)	-296(5)	-41(2)
96	1	-0.90(4)	-0.66(5)	0.58(3)	-143(1)	-135(5)	-111(2)
96	2	-0.85(4)	-0.74(5)	0.61(3)	-102(1)	33(9-II-1)	-132(5)
96	3	-0.80(3)	-0.84(5)	0.68(4)	58(9-II-4)	180(2)	-106(5)
96	4	-0.79(3)	-0.97(5)	0.78(4)	49(9-II-3)	505(1)	38(5)
96	5	-0.86(4)	-0.75(5)	0.59(4)	-193(1)	-166(5)	-96(2)
96	6	-0.83(4)	-0.82(5)	0.62(4)	-139(1)	36(3)	-113(5)
96	7	-0.80(3)	-0.92(5)	0.68(4)	-68(1)	219(2)	-87(5)
96	8	-0.80(3)	-1.05(5)	0.77(4)	39(9-II-4)	609(2)	43(5)
96	9	-0.83(4)	-0.81(5)	0.60(4)	-215(1)	-189(5)	-78(2)
96	10	-0.81(4)	-0.88(5)	0.62(4)	-153(1)	40(3)	-89(5)
96	11	-0.79(4)	-0.98(5)	0.68(4)	-74(1)	256(2)	-66(5)
96	12	-0.80(3)	-1.09(5)	0.75(4)	31(9-II-1)	696(2)	46(5)
96	13	-0.79(4)	-0.86(5)	0.60(4)	-218(1)	-204(5)	-60(2)
96	14	-0.79(4)	-0.92(5)	0.62(4)	-153(1)	44(3)	-65(5)
96	15	-0.78(4)	-1.02(5)	0.66(4)	-72(1)	290(2)	-42(5)
96	16	-0.80(4)	-1.14(5)	0.73(4)	25(10-II-4)	763(2)	49(5)
97	1	-1.01(3)	-1.47(5)	-1.32(6)	99(9-II-2)	-38(1)	210(1)
97	2	-1.51(4)	-2.28(5)	-1.74(5)	137(9-II-2)	-185(1)	140(2)
97	3	-2.09(4)	-3.90(5)	-2.22(5)	142(9-II-2)	-202(1)	38(10-I-4)
97	4	-2.57(4)	-7.25(5)	-2.28(5)	-137(5)	232(7)	-168(1)

**POTENZIAMENTO DELL'IMPIANTO DI DEPURAZIONE E
DEL RECAPITO FINALE DI SQUINZANO (LE)
PROGETTO DEFINITIVO
Tabulati di calcolo strutturale-Filtrazione**

R.37.9

Maggio 2021

Pagina 72 di 364

Muro	Pann.	Sxx	Syy	Sxy	Mxx	Myy	Mxy
97	5	-1.07 (3)	-1.63 (5)	-1.15 (6)	-136 (1)	-49 (1)	197 (1)
97	6	-1.50 (4)	-2.50 (5)	-1.40 (5)	-212 (1)	-241 (1)	133 (2)
97	7	-1.99 (4)	-4.10 (5)	-1.56 (5)	-243 (5)	-273 (1)	28 (10-I-4)
97	8	-2.30 (4)	-7.03 (5)	-0.99 (5)	-285 (5)	249 (7)	-166 (1)
97	9	-1.06 (3)	-1.73 (5)	-0.95 (6)	-175 (1)	-54 (1)	174 (1)
97	10	-1.45 (4)	-2.61 (5)	-1.06 (6)	-286 (5)	-289 (1)	119 (2)
97	11	-1.84 (4)	-4.07 (5)	-0.96 (6)	-347 (5)	-335 (1)	-29 (10-II-4)
97	12	-1.96 (4)	-6.34 (5)	-0.38 (9-II-2)	-368 (5)	258 (7)	-155 (1)
97	13	-1.00 (3)	-1.78 (5)	-0.75 (6)	-196 (5)	-56 (1)	143 (1)
97	14	-1.35 (4)	-2.62 (5)	-0.76 (6)	-337 (5)	-327 (1)	98 (1)
97	15	-1.69 (4)	-3.89 (5)	-0.49 (6)	-407 (5)	-387 (1)	-35 (10-II-4)
97	16	-1.67 (4)	-5.41 (5)	-0.58 (4)	-403 (5)	-303 (1)	-144 (2)
98	1	-3.49 (5)	-1.46 (6)	-1.59 (7)	-571 (6)	-159 (6)	-231 (6)
98	2	-1.23 (4)	0.61 (5)	0.57 (5)	688 (3)	85 (3)	-187 (6)
98	3	-1.22 (4)	0.60 (6)	0.39 (5)	834 (3)	82 (3)	-124 (6)
98	4	-1.29 (4)	0.61 (6)	0.45 (5)	935 (3)	88 (3)	-93 (6)
98	5	-3.36 (5)	0.62 (4)	-0.89 (7)	-272 (6)	-54 (6)	-184 (6)
98	6	-1.16 (4)	-0.59 (5)	0.41 (1)	403 (3)	67 (5)	-168 (6)
98	7	-1.25 (4)	0.25 (7)	0.38 (5)	512 (3)	66 (1)	-139 (6)
98	8	-1.29 (4)	-0.28 (1)	0.46 (5)	583 (3)	67 (1)	82 (3)
98	9	-2.93 (6)	0.90 (4)	0.54 (1)	106 (1)	-45 (4)	233 (3)
98	10	-1.24 (4)	-0.68 (5)	0.40 (1)	181 (3)	96 (5)	191 (3)
98	11	-1.23 (4)	-0.44 (5)	0.39 (1)	254 (3)	117 (5)	151 (3)
98	12	-1.26 (4)	-0.36 (1)	0.43 (5)	305 (3)	109 (5)	103 (3)
98	13	-2.50 (6)	0.99 (4)	0.56 (1)	97 (1)	-77 (4)	255 (3)
98	14	-1.24 (4)	-0.68 (5)	0.40 (1)	139 (1)	130 (5)	217 (3)
98	15	-1.20 (4)	-0.65 (5)	0.38 (1)	178 (1)	164 (5)	171 (3)
98	16	-1.22 (4)	-0.52 (5)	0.38 (5)	210 (1)	169 (5)	118 (3)
99	1	-1.31 (4)	0.56 (6)	0.47 (6)	987 (3)	83 (3)	-47 (6)
99	2	-1.32 (4)	-0.57 (3)	0.45 (6)	1001 (3)	76 (3)	-22 (4)
99	3	-1.12 (4)	-0.51 (3)	0.42 (5)	975 (3)	71 (3)	113 (6)
99	4	-1.24 (1)	-1.68 (5)	0.79 (6)	1021 (3)	-189 (6)	180 (6)
99	5	-1.30 (4)	-0.37 (1)	0.51 (5)	628 (3)	67 (1)	36 (3)
99	6	-1.27 (4)	-0.45 (1)	0.57 (6)	651 (3)	70 (1)	70 (5)
99	7	-1.16 (4)	-0.57 (1)	0.78 (6)	659 (3)	67 (1)	117 (5)
99	8	-1.20 (1)	-1.00 (5)	1.07 (6)	624 (3)	71 (3)	160 (5)
99	9	-1.27 (4)	-0.42 (1)	0.54 (5)	341 (3)	109 (5)	49 (3)
99	10	-1.21 (4)	-0.49 (6)	0.69 (6)	366 (3)	119 (6)	72 (5)
99	11	-1.00 (1)	-0.58 (5)	0.92 (6)	374 (3)	114 (6)	129 (5)
99	12	-1.17 (1)	-0.83 (5)	1.19 (6)	342 (3)	58 (5)	206 (5)
99	13	-1.21 (4)	-0.49 (2)	0.56 (5)	231 (1)	172 (6)	60 (3)
99	14	-1.14 (4)	-0.53 (5)	0.75 (6)	241 (1)	179 (6)	68 (5)
99	15	-0.95 (1)	-0.63 (5)	0.98 (6)	237 (1)	166 (6)	137 (5)
99	16	-1.11 (1)	-0.73 (5)	1.23 (6)	221 (1)	132 (5)	226 (5)
100	1	-1.71 (1)	-0.19 (1)	-0.28 (6)	-1449 (1)	-175 (1)	99 (6)
100	2	-1.55 (1)	-0.20 (1)	-0.22 (6)	-1510 (1)	-182 (1)	82 (6)
100	3	-1.58 (1)	-0.20 (1)	0.12 (3)	-1538 (1)	-185 (1)	65 (6)
100	4	-1.80 (1)	-0.18 (1)	0.09 (10-I-1)	-1535 (1)	-186 (1)	50 (5)
100	5	-1.56 (1)	-0.15 (1)	-0.27 (6)	-1013 (1)	-106 (1)	112 (6)
100	6	-1.48 (1)	-0.19 (1)	-0.21 (6)	-1069 (1)	-111 (1)	89 (6)
100	7	-1.51 (1)	-0.18 (1)	0.12 (3)	-1092 (1)	-114 (1)	66 (6)
100	8	-1.66 (1)	-0.14 (3)	-0.09 (1)	-1081 (1)	-114 (1)	53 (2)
100	9	-1.43 (1)	-0.17 (2)	-0.27 (6)	-651 (1)	-41 (1)	125 (6)
100	10	-1.40 (1)	-0.18 (2)	-0.20 (6)	-697 (1)	-45 (1)	97 (6)
100	11	-1.44 (1)	-0.18 (3)	-0.11 (6)	-715 (1)	-47 (1)	67 (6)
100	12	-1.52 (1)	-0.15 (3)	-0.11 (1)	-703 (1)	-47 (1)	64 (2)
100	13	-1.31 (1)	-0.20 (2)	-0.26 (6)	-358 (1)	-34 (7)	133 (6)
100	14	-1.32 (1)	-0.20 (2)	-0.19 (6)	-392 (1)	-34 (7)	102 (6)
100	15	-1.35 (1)	-0.19 (2)	-0.11 (6)	-404 (1)	-36 (6)	69 (6)
100	16	-1.40 (1)	-0.16 (3)	-0.12 (1)	-394 (1)	-40 (6)	74 (2)
101	1	-1.76 (1)	-0.18 (1)	-0.30 (1)	-1478 (1)	-178 (1)	57 (2)
101	2	-1.52 (1)	-0.18 (1)	-0.38 (1)	-1369 (1)	-164 (1)	74 (2)
101	3	-1.43 (1)	-0.17 (1)	-0.38 (1)	-1237 (1)	-146 (1)	96 (2)
101	4	-1.45 (1)	-0.14 (1)	-0.45 (1)	-1080 (1)	-127 (1)	115 (2)
101	5	-1.62 (1)	-0.14 (3)	-0.29 (1)	-1033 (1)	-107 (1)	83 (2)
101	6	-1.46 (1)	-0.17 (3)	-0.38 (1)	-952 (1)	-95 (1)	111 (2)
101	7	-1.37 (1)	-0.16 (3)	-0.40 (1)	-848 (1)	-80 (1)	140 (2)
101	8	-1.34 (1)	-0.13 (3)	-0.48 (1)	-721 (1)	-65 (1)	167 (2)
101	9	-1.50 (1)	-0.14 (3)	-0.27 (1)	-665 (1)	-41 (1)	108 (2)
101	10	-1.38 (1)	-0.16 (3)	-0.37 (1)	-606 (1)	-30 (1)	146 (2)
101	11	-1.30 (1)	-0.16 (3)	-0.42 (1)	-528 (1)	-24 (5)	183 (2)
101	12	-1.24 (1)	-0.14 (2)	-0.50 (1)	-435 (1)	-26 (5)	218 (2)
101	13	-1.38 (1)	-0.16 (3)	-0.27 (1)	-367 (1)	-43 (6)	126 (2)
101	14	-1.30 (1)	-0.17 (3)	-0.37 (1)	-325 (1)	-46 (6)	171 (2)
101	15	-1.22 (1)	-0.17 (2)	-0.44 (1)	-272 (1)	-48 (6)	214 (2)
101	16	-1.14 (1)	-0.16 (2)	-0.52 (1)	-211 (1)	-50 (6)	253 (2)

**POTENZIAMENTO DELL'IMPIANTO DI DEPURAZIONE E
DEL RECAPITO FINALE DI SQUINZANO (LE)
PROGETTO DEFINITIVO
Tabulati di calcolo strutturale-Filtrazione**

R.37.9

Maggio 2021

Pagina 73 di 364

Muro	Pann.	Sxx	Syy	Sxy	Mxx	Myy	Mxy
102	1	0.16(9-I-1)	0.14(1)	-0.72(6)	-187(6)	-46(1)	93(7)
102	2	-0.51(1)	0.12(7)	-0.95(6)	-261(1)	-46(1)	121(7)
102	3	-0.76(1)	-0.16(1)	-0.97(6)	-407(1)	-56(1)	133(7)
102	4	-0.97(1)	-0.18(1)	-0.85(6)	-566(1)	-71(1)	138(7)
102	5	0.60(7)	0.37(7)	-0.70(6)	-109(1)	-89(3)	110(6)
102	6	-0.62(1)	0.42(7)	-1.00(6)	-163(1)	-61(1)	-156(2)
102	7	-0.75(1)	0.42(7)	-0.95(6)	-250(1)	-51(1)	-176(2)
102	8	-0.88(1)	0.33(7)	-0.83(6)	-353(1)	-47(1)	-182(2)
102	9	1.08(7)	0.72(7)	-0.80(6)	-59(2)	-151(3)	112(6)
102	10	-0.68(1)	0.90(7)	-1.02(6)	-89(1)	-94(1)	-187(2)
102	11	-0.69(1)	0.66(7)	-0.87(6)	-133(1)	-57(1)	-223(2)
102	12	-0.78(1)	0.51(7)	0.76(1)	-193(1)	-32(1)	-236(3)
102	13	1.44(7)	1.70(7)	-1.17(6)	44(4)	-260(3)	-102(3)
102	14	-0.67(1)	1.04(7)	-0.80(6)	-42(5)	-150(1)	-199(2)
102	15	-0.62(1)	0.80(7)	-0.73(6)	-64(9-II-1)	-74(1)	-248(3)
102	16	-0.69(1)	0.61(7)	0.67(1)	-87(9-II-1)	-29(9-II-2)	-269(1)
103	1	-0.85(1)	-0.13(1)	-0.93(7)	-335(1)	-41(1)	-45(6)
103	2	-0.66(1)	0.13(6)	-0.89(7)	-296(1)	-37(1)	-38(7)
103	3	0.71(6)	0.20(6)	-0.82(7)	-257(1)	-39(1)	-24(7)
103	4	1.37(6)	0.34(6)	-0.63(6)	-218(1)	-50(1)	26(6)
103	5	-0.79(1)	0.26(7)	-0.93(7)	-140(1)	-17(1)	-36(6)
103	6	-0.66(1)	0.28(7)	-0.92(7)	-122(1)	-15(1)	-29(6)
103	7	0.72(6)	0.33(7)	-0.88(7)	-106(1)	-32(3)	-15(6)
103	8	1.19(6)	0.34(6)	-0.62(6)	-93(1)	-87(1)	43(6)
103	9	-0.71(1)	0.40(7)	-0.94(7)	-210(7)	-17(10-II-1)	-30(6)
103	10	-0.61(1)	0.41(7)	-0.93(7)	-193(7)	-18(10-II-1)	-20(6)
103	11	0.74(6)	-0.41(1)	-0.88(7)	-168(7)	-31(3)	16(1)
103	12	0.98(6)	0.39(6)	-0.63(6)	-121(7)	134(7)	54(6)
103	13	-0.64(1)	0.53(7)	-0.95(7)	-317(7)	28(1)	-25(6)
103	14	-0.57(1)	0.52(7)	-0.92(7)	-313(7)	-25(10-II-1)	21(9-II-1)
103	15	0.75(6)	-0.63(1)	-0.81(6)	-305(7)	-27(3)	30(7)
103	16	0.76(6)	-0.87(1)	-0.69(6)	-303(7)	-117(2)	48(7)
104	1	-1.09(1)	-0.18(1)	-0.74(6)	-758(1)	-91(1)	140(6)
104	2	-1.16(1)	-0.19(1)	-0.65(6)	-971(1)	-115(1)	135(6)
104	3	-1.34(1)	-0.19(1)	0.58(1)	-1166(1)	-139(1)	127(6)
104	4	-1.64(1)	-0.18(1)	0.46(1)	-1334(1)	-160(1)	115(6)
104	5	-0.99(1)	-0.28(1)	0.71(1)	-489(1)	-50(1)	-176(1)
104	6	-1.09(1)	-0.26(1)	0.62(1)	-648(1)	-61(1)	161(6)
104	7	-1.25(1)	-0.22(1)	0.56(1)	-795(1)	-78(1)	148(6)
104	8	-1.49(1)	-0.16(1)	0.43(1)	-920(1)	-94(1)	132(6)
104	9	-0.89(1)	-0.38(1)	0.68(1)	-280(1)	-23(9-II-2)	-234(1)
104	10	-1.01(1)	-0.31(1)	0.60(1)	-388(1)	-19(9-II-2)	-213(1)
104	11	-1.17(1)	-0.24(1)	0.53(1)	-492(1)	-22(1)	-181(1)
104	12	-1.35(1)	-0.19(2)	0.41(1)	-581(1)	-33(1)	149(6)
104	13	-0.80(1)	-0.46(1)	0.63(1)	-121(1)	24(2)	-270(1)
104	14	-0.93(1)	-0.34(1)	0.56(1)	-185(1)	40(2)	-250(1)
104	15	-1.08(1)	-0.27(2)	0.49(1)	-250(1)	42(2)	-215(1)
104	16	-1.23(1)	-0.22(2)	0.38(1)	-309(1)	38(2)	-172(1)
105	1	-1.34(6)	-0.63(5)	-1.35(4)	-422(1)	-51(1)	-56(7)
105	2	-1.01(1)	-0.26(5)	-0.91(4)	-417(1)	-52(1)	-53(7)
105	3	-1.04(1)	-0.12(1)	-0.77(7)	-400(1)	-50(1)	-51(7)
105	4	-0.99(1)	-0.13(1)	-0.87(7)	-369(1)	-46(1)	-50(6)
105	5	-0.84(1)	-1.50(5)	-1.05(4)	-189(1)	-18(1)	-55(7)
105	6	-0.95(1)	-0.68(5)	-0.81(4)	-189(1)	-22(1)	-52(7)
105	7	-0.95(1)	-0.30(5)	-0.79(7)	-181(1)	-22(1)	-47(7)
105	8	-0.90(1)	0.23(7)	-0.89(7)	-162(1)	-21(1)	-43(6)
105	9	-0.78(1)	-1.94(5)	-0.64(4)	-220(4)	-24(7)	-55(7)
105	10	-0.88(1)	-0.94(5)	-0.72(7)	-221(7)	-23(7)	-51(7)
105	11	-0.87(1)	0.46(4)	-0.82(7)	-228(7)	-23(7)	-48(6)
105	12	-0.81(1)	0.36(7)	-0.91(7)	-223(7)	-19(7)	-40(6)
105	13	-0.69(1)	-1.97(5)	-0.60(7)	279(1)	45(1)	-47(7)
105	14	-0.78(1)	-1.05(5)	-0.74(7)	-291(7)	37(1)	-56(6)
105	15	-0.78(1)	0.58(4)	-0.85(7)	-309(7)	33(1)	-51(6)
105	16	-0.73(1)	0.48(7)	-0.93(7)	-317(7)	30(1)	-39(6)
106	1	-5.37(6)	-4.28(5)	3.77(5)	-504(5)	-270(5)	94(1)
106	2	-2.12(6)	-2.72(5)	3.46(5)	-407(1)	-111(5)	-55(7)
106	3	-1.88(6)	-1.80(5)	2.58(5)	-413(1)	-58(1)	-56(7)
106	4	-1.49(6)	-1.31(5)	1.90(5)	-420(1)	-51(1)	-59(4)
106	5	-4.77(6)	-7.04(5)	0.28(6)	-291(5)	-352(5)	-82(6)
106	6	-2.19(6)	-5.25(5)	0.94(5)	-193(8)	-167(5)	-49(7)
106	7	-1.33(6)	-3.74(5)	1.25(5)	-186(3)	-64(5)	-60(4)
106	8	-1.08(6)	-2.72(5)	-1.18(4)	-188(3)	-30(6)	-63(4)
106	9	-3.86(6)	-5.23(5)	-0.34(9-II-1)	-210(4)	-244(2)	-29(7)
106	10	-2.69(6)	-4.69(5)	-0.44(5)	-235(4)	-125(2)	-60(4)
106	11	-1.58(6)	-3.91(5)	-0.36(9-II-1)	-238(4)	-60(6)	-66(4)
106	12	-1.02(6)	-3.13(5)	-0.46(9-II-1)	-234(4)	-34(7)	-64(4)

**POTENZIAMENTO DELL'IMPIANTO DI DEPURAZIONE E
DEL RECAPITO FINALE DI SQUINZANO (LE)
PROGETTO DEFINITIVO
Tabulati di calcolo strutturale-Filtrazione**

R.37.9

Maggio 2021

Pagina 74 di 364

Muro	Pann.	Sxx	Syy	Sxy	Mxx	Myy	Mxy
106	13	-3.47 (6)	-4.17 (5)	-0.82 (5)	-375 (4)	-175 (2)	-95 (4)
106	14	-2.62 (6)	-3.82 (5)	-0.91 (5)	-344 (4)	-81 (2)	-77 (4)
106	15	-1.77 (6)	-3.40 (5)	-0.83 (5)	-318 (4)	-58 (6)	-64 (4)
106	16	-1.11 (6)	-2.89 (5)	-0.67 (6)	297 (1)	52 (1)	-52 (4)
107	1	-1.30 (5)	-0.60 (1)	0.39 (5)	38 (7)	-156 (4)	240 (6)
107	2	-0.84 (5)	-0.57 (1)	0.30 (5)	78 (6)	139 (1)	234 (6)
107	3	-0.55 (5)	-0.57 (1)	0.19 (9-II-1)	102 (7)	235 (3)	192 (6)
107	4	-0.42 (5)	-0.56 (1)	0.17 (9-II-1)	95 (7)	213 (4)	161 (6)
107	5	-1.25 (5)	-0.65 (1)	0.43 (5)	-39 (2)	-168 (4)	263 (5)
107	6	-0.76 (5)	-0.62 (1)	0.30 (5)	56 (6)	123 (3)	224 (6)
107	7	-0.46 (5)	-0.64 (1)	0.18 (9-II-1)	77 (7)	220 (3)	176 (6)
107	8	-0.36 (2)	-0.63 (1)	0.15 (9-II-1)	79 (7)	215 (4)	138 (6)
107	9	1.26 (4)	-0.74 (1)	0.47 (5)	-63 (5)	-160 (4)	262 (5)
107	10	-0.62 (5)	-0.78 (1)	0.28 (5)	20 (7)	110 (3)	199 (7)
107	11	-0.37 (5)	-0.75 (1)	0.17 (9-II-1)	37 (7)	193 (3)	157 (7)
107	12	-0.35 (3)	-0.70 (1)	-0.15 (1)	41 (7)	205 (4)	112 (7)
107	13	1.38 (4)	-1.30 (1)	0.62 (5)	-106 (7)	-134 (4)	171 (8)
107	14	-0.39 (5)	-1.08 (1)	0.22 (9-II-1)	-83 (5)	117 (3)	170 (7)
107	15	-0.27 (2)	-0.88 (1)	-0.17 (1)	-84 (2)	155 (3)	127 (7)
107	16	-0.35 (3)	-0.76 (1)	-0.17 (1)	-69 (2)	136 (4)	-95 (1)
108	1	-0.47 (5)	-0.53 (1)	0.30 (7)	86 (6)	128 (6)	118 (7)
108	2	-0.48 (5)	-0.53 (1)	0.33 (7)	109 (7)	217 (6)	147 (6)
108	3	-0.49 (5)	-0.52 (1)	0.37 (7)	120 (7)	217 (7)	164 (6)
108	4	-0.51 (5)	-0.51 (1)	0.44 (6)	103 (7)	162 (3)	199 (6)
108	5	-0.75 (5)	-0.52 (1)	0.28 (7)	85 (7)	115 (6)	143 (7)
108	6	-0.69 (5)	-0.52 (1)	0.31 (7)	110 (7)	211 (6)	174 (6)
108	7	-0.64 (5)	-0.52 (1)	0.35 (6)	122 (7)	231 (3)	179 (6)
108	8	-0.59 (5)	-0.52 (1)	0.38 (6)	108 (7)	184 (3)	195 (6)
108	9	-1.03 (5)	-0.52 (1)	0.25 (7)	82 (7)	103 (1)	164 (6)
108	10	-0.86 (5)	-0.51 (1)	0.28 (6)	109 (7)	179 (7)	199 (6)
108	11	-0.71 (5)	-0.51 (1)	0.31 (6)	124 (7)	245 (3)	193 (6)
108	12	-0.61 (5)	-0.51 (1)	0.29 (6)	112 (7)	201 (3)	193 (6)
108	13	-1.28 (5)	-0.54 (1)	0.28 (5)	68 (7)	-118 (4)	206 (6)
108	14	-0.92 (5)	-0.52 (1)	0.30 (5)	101 (7)	158 (1)	224 (6)
108	15	-0.67 (5)	-0.51 (1)	0.25 (5)	120 (7)	245 (3)	199 (6)
108	16	-0.52 (5)	-0.50 (1)	0.20 (9-II-1)	116 (7)	212 (3)	181 (6)
109	1	0.31 (1)	0.73 (9-II-1)	0.24 (9-II-1)	-269 (6)	-118 (7)	-135 (2)
109	2	-0.10 (4)	-0.50 (1)	-0.10 (2)	-237 (6)	13 (2)	-99 (3)
109	3	-0.12 (4)	-0.46 (1)	0.11 (1)	-212 (6)	46 (7)	72 (6)
109	4	-0.12 (3)	-0.47 (4)	0.12 (1)	-175 (4)	56 (7)	144 (6)
109	5	0.18 (9-II-1)	-0.58 (1)	-0.23 (2)	-70 (3)	-77 (3)	-141 (2)
109	6	-0.09 (2)	-0.51 (1)	0.24 (9-II-1)	-39 (2)	83 (6)	-114 (3)
109	7	-0.16 (2)	-0.48 (1)	0.22 (9-II-1)	-34 (2)	112 (7)	144 (6)
109	8	-0.17 (2)	-0.45 (1)	0.30 (6)	-42 (1)	109 (7)	209 (6)
109	9	-0.22 (2)	-0.57 (1)	-0.25 (2)	50 (6)	90 (6)	-121 (2)
109	10	-0.20 (2)	-0.54 (1)	0.29 (7)	70 (6)	155 (6)	107 (6)
109	11	-0.22 (2)	-0.50 (1)	0.32 (7)	76 (6)	160 (7)	153 (6)
109	12	-0.27 (6)	-0.47 (1)	0.40 (6)	59 (7)	122 (3)	214 (6)
109	13	-0.31 (2)	-0.55 (1)	0.28 (7)	85 (6)	120 (6)	-95 (2)
109	14	-0.30 (5)	-0.54 (1)	0.32 (7)	101 (6)	198 (6)	124 (6)
109	15	-0.33 (5)	-0.52 (1)	0.37 (7)	108 (7)	192 (7)	156 (6)
109	16	-0.39 (5)	-0.48 (1)	0.44 (6)	87 (7)	139 (3)	207 (6)
110	1	-0.43 (3)	-0.47 (1)	0.29 (3)	92 (7)	-90 (6)	194 (7)
110	2	-0.46 (3)	-0.42 (1)	0.26 (3)	175 (7)	271 (7)	127 (6)
110	3	-0.43 (3)	-0.37 (1)	0.18 (3)	168 (7)	316 (7)	-49 (4)
110	4	-0.57 (3)	-0.36 (3)	-0.10 (2)	93 (7)	-422 (1)	-66 (7)
110	5	-0.43 (3)	-0.50 (1)	0.30 (3)	72 (7)	-85 (6)	200 (7)
110	6	-0.45 (3)	-0.38 (1)	0.26 (3)	138 (7)	224 (7)	125 (7)
110	7	-0.38 (3)	-0.31 (3)	0.18 (3)	143 (7)	264 (7)	-57 (4)
110	8	-0.42 (3)	-0.30 (3)	-0.10 (2)	80 (7)	-352 (1)	-86 (7)
110	9	-0.41 (3)	-0.55 (3)	0.28 (3)	-38 (2)	-70 (6)	189 (7)
110	10	-0.43 (3)	-0.39 (3)	0.22 (3)	77 (7)	171 (7)	123 (7)
110	11	-0.33 (3)	-0.23 (3)	0.16 (3)	99 (7)	204 (7)	-56 (4)
110	12	-0.29 (3)	-0.18 (3)	-0.08 (2)	-65 (1)	-271 (1)	-97 (7)
110	13	-0.43 (3)	-0.72 (3)	0.21 (4)	-115 (3)	69 (3)	132 (7)
110	14	-0.38 (3)	-0.44 (3)	0.13 (3)	-192 (3)	112 (7)	108 (7)
110	15	-0.24 (3)	-0.31 (7)	-0.16 (6)	-174 (3)	145 (7)	-70 (1)
110	16	-0.19 (3)	-0.11 (7)	-0.11 (6)	-102 (3)	-195 (1)	-95 (7)
111	1	-0.48 (5)	-0.47 (1)	-0.23 (3)	113 (7)	49 (3)	121 (6)
111	2	-0.42 (3)	-0.48 (1)	-0.20 (3)	186 (7)	394 (7)	149 (6)
111	3	-0.51 (3)	-0.50 (2)	0.13 (6)	162 (7)	411 (7)	195 (6)
111	4	-0.73 (3)	-0.53 (2)	0.10 (9-II-1)	74 (7)	-610 (2)	200 (7)
111	5	-0.51 (5)	-0.49 (1)	0.20 (6)	113 (7)	57 (3)	148 (6)
111	6	-0.46 (3)	-0.53 (1)	0.19 (9-II-1)	192 (7)	432 (7)	145 (6)
111	7	-0.59 (3)	-0.56 (1)	0.16 (9-II-1)	169 (7)	471 (7)	146 (6)
111	8	-0.86 (3)	-0.57 (2)	0.11 (9-II-1)	82 (7)	-682 (2)	128 (7)

**POTENZIAMENTO DELL'IMPIANTO DI DEPURAZIONE E
DEL RECAPITO FINALE DI SQUINZANO (LE)
PROGETTO DEFINITIVO
Tabulati di calcolo strutturale-Filtrazione**

R.37.9

Maggio 2021

Pagina 75 di 364

Muro	Pann.	Sxx	Syy	Sxy	Mxx	Myy	Mxy
111	9	-0.46(5)	-0.48(1)	0.24(9-II-1)	114(7)	56(3)	168(6)
111	10	-0.49(3)	-0.52(1)	0.22(9-II-1)	196(7)	417(7)	139(6)
111	11	-0.59(3)	-0.55(1)	0.18(9-II-1)	174(7)	468(7)	98(6)
111	12	-0.86(3)	-0.56(1)	0.10(9-II-1)	87(7)	-663(3)	62(5)
111	13	-0.47(3)	-0.46(1)	0.27(9-II-1)	118(4)	-80(6)	182(6)
111	14	-0.49(3)	-0.47(1)	0.22(9-II-1)	196(7)	344(7)	134(6)
111	15	-0.52(3)	-0.48(1)	0.16(9-II-1)	181(7)	395(7)	53(6)
111	16	-0.71(3)	-0.49(1)	-0.09(2)	91(7)	-541(3)	-41(4)
112	1	-0.13(3)	-0.61(4)	-0.17(4)	-270(8)	43(7)	80(6)
112	2	-0.29(8)	-0.39(4)	-0.11(3)	-438(8)	67(7)	144(6)
112	3	-0.32(5)	-0.37(6)	0.13(6)	-395(8)	-65(1)	196(6)
112	4	-0.24(6)	-0.29(6)	0.13(6)	-203(8)	-106(1)	161(6)
112	5	-0.23(3)	-0.42(3)	-0.27(3)	-82(3)	54(7)	-78(3)
112	6	-0.35(8)	-0.31(3)	-0.21(3)	-118(8)	167(7)	163(6)
112	7	-0.33(8)	-0.21(2)	-0.16(3)	-119(8)	162(7)	251(6)
112	8	-0.21(8)	-0.19(2)	0.08(5)	-88(8)	-239(2)	234(7)
112	9	-0.31(5)	-0.40(1)	-0.31(3)	59(6)	58(7)	-85(3)
112	10	-0.38(8)	-0.34(2)	-0.25(3)	84(6)	257(7)	156(6)
112	11	-0.36(8)	-0.33(2)	-0.18(3)	63(6)	249(7)	251(6)
112	12	-0.38(3)	-0.33(2)	0.08(9-II-1)	-64(1)	-379(2)	250(7)
112	13	-0.39(5)	-0.44(1)	-0.30(3)	95(7)	48(7)	94(6)
112	14	-0.40(8)	-0.41(1)	-0.25(3)	154(7)	329(7)	153(6)
112	15	-0.42(3)	-0.41(2)	-0.17(3)	131(7)	329(7)	232(6)
112	16	-0.56(3)	-0.41(2)	0.09(9-II-1)	-60(1)	-499(2)	233(7)
113	1	-0.99(7)	-0.38(2)	-0.46(8)	22(7)	96(1)	-50(6)
113	2	-0.71(7)	-0.47(2)	-0.44(8)	35(7)	120(1)	-58(6)
113	3	-0.54(4)	-0.56(2)	-0.37(8)	31(8)	192(2)	-76(6)
113	4	-0.62(3)	-0.63(2)	-0.26(7)	36(2)	321(2)	105(1)
113	5	-0.84(7)	-0.56(2)	-0.38(5)	-9(2)	-126(6)	48(1)
113	6	-0.63(7)	-0.65(2)	-0.37(8)	12(7)	173(1)	-61(6)
113	7	-0.57(3)	-0.73(2)	-0.32(8)	26(2)	288(2)	-82(6)
113	8	-0.74(3)	-0.82(2)	-0.24(7)	52(2)	486(2)	101(1)
113	9	-0.67(7)	-0.63(2)	-0.30(5)	-15(5)	-173(6)	-49(6)
113	10	-0.52(7)	-0.68(2)	-0.29(6)	11(3)	219(1)	-67(6)
113	11	-0.52(3)	-0.73(2)	0.27(1)	34(2)	358(2)	-83(6)
113	12	-0.66(3)	-0.77(2)	0.27(1)	63(2)	590(2)	88(1)
113	13	-0.49(7)	-0.57(1)	0.23(1)	-23(6)	-226(6)	-53(6)
113	14	-0.39(7)	-0.59(2)	0.27(1)	18(3)	264(1)	-72(6)
113	15	-0.40(3)	-0.61(2)	0.29(1)	41(2)	402(2)	-83(6)
113	16	-0.47(3)	-0.63(2)	0.27(1)	70(2)	640(2)	76(1)
114	1	-0.83(1)	0.28(7)	-0.58(1)	92(2)	102(1)	301(2)
114	2	-0.67(1)	0.34(7)	-0.61(1)	73(2)	-59(6)	304(3)
114	3	-0.56(3)	0.39(7)	-0.55(1)	-40(9-II-2)	-109(2)	284(1)
114	4	-0.51(3)	0.44(7)	-0.38(1)	-28(5)	-334(2)	207(1)
114	5	-0.64(1)	-0.35(2)	-0.51(1)	218(3)	147(1)	255(2)
114	6	-0.56(1)	-0.39(2)	-0.51(1)	150(1)	-79(6)	246(1)
114	7	-0.53(3)	-0.43(2)	-0.46(1)	71(1)	-199(2)	221(1)
114	8	-0.56(3)	-0.46(2)	-0.35(1)	-21(5)	-496(2)	162(1)
114	9	-0.48(1)	-0.42(2)	-0.39(1)	206(1)	147(1)	173(2)
114	10	-0.46(1)	-0.46(2)	-0.39(1)	132(1)	-95(5)	157(1)
114	11	-0.49(1)	-0.50(2)	-0.36(1)	50(1)	-281(2)	135(1)
114	12	-0.58(1)	-0.53(2)	-0.31(1)	-39(2)	-591(2)	106(1)
114	13	-0.33(1)	-0.45(2)	-0.27(1)	132(1)	-150(6)	103(2)
114	14	-0.34(1)	-0.48(2)	-0.27(1)	74(1)	-120(5)	85(1)
114	15	-0.39(1)	-0.51(2)	-0.26(1)	-24(6)	-342(2)	68(1)
114	16	-0.51(1)	-0.53(2)	-0.25(1)	-60(2)	-626(2)	62(1)
115	1	-0.73(6)	0.37(7)	-0.92(5)	21(6)	-119(7)	-136(5)
115	2	-0.84(6)	0.35(7)	-0.90(5)	24(6)	57(1)	-49(5)
115	3	-0.93(6)	0.38(7)	-0.89(5)	27(6)	60(1)	-49(6)
115	4	-1.03(6)	0.45(7)	-0.90(5)	24(6)	70(1)	-97(6)
115	5	-0.76(6)	0.46(7)	-0.94(5)	-30(6)	-276(6)	-124(5)
115	6	-0.75(6)	0.46(7)	-0.92(5)	-15(5)	-158(6)	-52(1)
115	7	-0.77(6)	0.48(7)	-0.92(5)	-14(2)	89(1)	-44(10-I-2)
115	8	-0.80(6)	0.51(7)	-0.93(5)	15(7)	96(1)	-94(6)
115	9	-0.63(6)	0.54(7)	-0.85(5)	-71(6)	-473(6)	-104(5)
115	10	-0.60(6)	0.56(6)	-0.86(5)	-42(6)	-287(6)	-54(1)
115	11	-0.57(6)	0.55(7)	-0.87(5)	-21(5)	124(1)	-44(10-I-2)
115	12	-0.55(6)	0.53(7)	-0.89(5)	11(7)	125(1)	-85(6)
115	13	-0.39(6)	0.71(6)	-0.73(6)	-112(6)	-680(6)	-88(5)
115	14	-0.35(6)	0.74(6)	-0.77(6)	-75(6)	-420(6)	-52(1)
115	15	-0.32(6)	0.71(6)	-0.80(6)	-40(6)	174(1)	-43(10-II-2)
115	16	-0.29(7)	0.61(6)	-0.83(6)	11(1)	180(10-I-3)	-72(6)
116	1	-1.18(7)	0.49(7)	0.35(7)	27(6)	-34(4)	-21(7)
116	2	-1.38(7)	0.55(7)	-0.24(1)	34(6)	-20(9-I-2)	-52(6)
116	3	-1.39(7)	0.58(7)	-0.37(1)	34(6)	15(1)	-56(6)
116	4	-1.24(7)	0.61(7)	-0.49(1)	31(6)	-38(3)	-41(6)

**POTENZIAMENTO DELL'IMPIANTO DI DEPURAZIONE E
DEL RECAPITO FINALE DI SQUINZANO (LE)
PROGETTO DEFINITIVO
Tabulati di calcolo strutturale-Filtrazione**

R.37.9

Maggio 2021

Pagina 76 di 364

Muro	Pann.	Sxx	Syy	Sxy	Mxx	Myy	Mxy
116	5	-0.91(7)	0.60(7)	0.29(7)	-21(2)	-63(6)	-18(7)
116	6	-1.07(7)	0.66(7)	-0.21(2)	-26(3)	-34(9-I-2)	-50(6)
116	7	-1.11(7)	0.70(7)	-0.26(1)	-26(3)	-19(10-II-3)	-56(6)
116	8	-1.02(7)	0.72(7)	-0.29(1)	25(6)	55(10-I-3)	-42(6)
116	9	-0.66(7)	0.62(7)	0.21(7)	-17(2)	-104(6)	-16(10-II-2)
116	10	-0.80(7)	0.68(7)	-0.16(2)	-19(2)	-48(6)	-47(6)
116	11	-0.84(7)	0.71(7)	-0.19(5)	-18(2)	28(1)	-52(6)
116	12	-0.79(7)	0.71(7)	-0.22(5)	20(6)	66(10-I-3)	-43(6)
116	13	-0.44(7)	0.70(6)	-0.14(2)	-30(6)	-147(6)	-18(10-II-2)
116	14	-0.57(7)	0.71(6)	-0.12(5)	-21(6)	-65(6)	-42(6)
116	15	-0.60(7)	0.69(6)	-0.13(5)	-12(10-II-3)	39(1)	-44(6)
116	16	-0.56(7)	0.65(6)	-0.15(6)	13(6)	77(6)	-39(6)
117	1	-0.80(3)	0.35(7)	-0.61(6)	-80(3)	-72(2)	-65(6)
117	2	-0.86(3)	0.33(7)	-0.60(6)	-128(3)	-176(3)	-55(6)
117	3	-0.86(3)	-0.31(1)	-0.59(6)	-112(3)	-134(1)	-45(5)
117	4	-0.90(3)	-0.38(2)	-0.48(6)	-45(3)	105(2)	-45(2)
117	5	-0.70(3)	0.32(7)	-0.61(6)	-74(1)	-86(2)	-47(6)
117	6	-0.71(3)	0.30(7)	-0.55(6)	-109(1)	-201(1)	-48(6)
117	7	-0.74(3)	-0.30(2)	-0.50(6)	-94(1)	-150(1)	-45(6)
117	8	-0.83(3)	-0.32(2)	-0.39(6)	43(6)	124(2)	-36(5)
117	9	-0.60(3)	0.26(7)	-0.57(6)	-49(1)	-97(5)	-46(2)
117	10	-0.60(3)	0.21(7)	-0.48(6)	-67(1)	-176(1)	-39(6)
117	11	-0.63(3)	-0.21(2)	-0.41(6)	-56(1)	-129(1)	-51(6)
117	12	-0.69(3)	-0.21(2)	-0.30(6)	37(6)	117(2)	-41(6)
117	13	-0.47(3)	0.17(7)	-0.48(6)	-49(5)	-117(5)	-51(2)
117	14	-0.48(3)	0.11(7)	-0.39(6)	-35(5)	-128(1)	-31(6)
117	15	-0.50(3)	-0.13(2)	-0.32(6)	-25(1)	-93(1)	-49(6)
117	16	-0.52(3)	-0.13(2)	-0.22(6)	24(6)	127(5)	-41(6)
118	1	-1.00(7)	-0.29(5)	-0.61(1)	33(2)	110(6)	37(1)
118	2	-0.74(7)	-0.34(2)	-0.62(1)	40(4)	78(4)	9(1)
118	3	-0.82(3)	-0.49(2)	-0.52(1)	32(4)	-46(5)	8(2)
118	4	-1.07(3)	-0.64(2)	0.40(6)	-11(5)	-137(2)	-20(8)
118	5	-0.92(7)	-0.26(2)	-0.39(1)	30(2)	145(6)	44(1)
118	6	-0.65(7)	-0.38(2)	-0.36(1)	23(2)	72(4)	11(1)
118	7	-0.76(3)	-0.50(2)	-0.29(1)	14(4)	-52(5)	8(5)
118	8	-1.04(3)	-0.62(2)	0.28(6)	-11(2)	-158(2)	-16(4)
118	9	-0.74(7)	-0.29(2)	-0.21(1)	21(2)	187(6)	35(1)
118	10	-0.52(7)	7(2)	-0.35(2)	7(2)	64(6)	6(2)
118	11	-0.63(3)	-0.42(2)	0.19(3)	-10(1)	-50(1)	14(5)
118	12	-0.83(3)	-0.47(2)	0.16(6)	-19(2)	-147(2)	-13(4)
118	13	-0.51(7)	-0.29(2)	0.19(3)	32(5)	242(6)	21(1)
118	14	-0.39(4)	-0.30(2)	0.23(3)	19(6)	101(6)	8(6)
118	15	-0.46(3)	-0.31(2)	0.23(3)	-17(1)	-58(1)	20(6)
118	16	-0.56(1)	-0.30(2)	0.17(2)	-17(1)	-133(5)	-8(4)
119	1	-0.78(7)	-0.15(2)	-1.02(6)	18(8)	60(6)	40(6)
119	2	-0.64(3)	-0.26(2)	-0.97(6)	26(8)	62(8)	-2(9-II-3)
119	3	-0.75(3)	-0.37(2)	-0.87(6)	21(8)	43(1)	18(1)
119	4	-1.00(3)	-0.48(3)	-0.72(6)	13(2)	190(3)	39(1)
119	5	-0.61(7)	0.18(6)	-1.09(6)	22(8)	84(6)	49(6)
119	6	-0.54(3)	-0.23(3)	-1.09(6)	21(8)	75(8)	-5(4)
119	7	-0.74(3)	-0.35(3)	-0.99(6)	14(8)	72(1)	16(1)
119	8	-1.02(3)	-0.47(1)	-0.79(6)	20(3)	-208(6)	25(5)
119	9	-0.39(7)	0.42(6)	-1.06(6)	28(5)	108(6)	52(6)
119	10	-0.44(3)	0.36(6)	-1.06(6)	21(1)	78(8)	8(5)
119	11	-0.62(3)	0.31(6)	-0.97(6)	21(1)	82(1)	9(1)
119	12	-0.84(3)	-0.34(1)	-0.76(6)	-22(6)	-226(6)	26(6)
119	13	-0.22(4)	0.62(6)	-0.89(6)	33(5)	133(6)	51(6)
119	14	-0.33(3)	0.51(6)	-0.89(6)	25(1)	79(1)	10(6)
119	15	-0.46(3)	0.36(6)	-0.81(6)	21(1)	-82(6)	5(6)
119	16	-0.60(2)	0.20(6)	-0.64(6)	-28(6)	-231(6)	26(6)
120	1	-2.48(5)	1.20(6)	-1.32(5)	-203(6)	130(1)	323(6)
120	2	-1.69(5)	0.79(6)	-1.67(5)	-160(6)	-85(7)	277(6)
120	3	-0.95(5)	0.53(6)	-1.59(5)	-96(6)	-158(7)	197(6)
120	4	-0.62(2)	0.43(6)	-1.21(5)	-46(6)	-290(7)	137(6)
120	5	-1.57(5)	1.16(6)	-0.84(5)	-54(6)	127(3)	314(6)
120	6	-1.30(5)	0.91(6)	-1.11(5)	-64(6)	-117(6)	329(6)
120	7	-1.03(5)	0.69(6)	-1.16(5)	-68(6)	-284(6)	273(6)
120	8	-0.90(5)	0.54(6)	-1.03(5)	-76(6)	-498(6)	187(6)
120	9	-0.98(5)	1.09(6)	-0.60(6)	33(4)	154(6)	312(6)
120	10	-0.93(5)	0.97(6)	-0.76(6)	38(3)	-128(6)	336(6)
120	11	-0.88(5)	0.82(6)	-0.84(5)	-57(6)	-444(6)	291(6)
120	12	-0.90(5)	0.71(6)	-0.85(5)	-103(6)	-792(6)	200(6)
120	13	-0.58(6)	1.19(6)	-0.49(6)	42(6)	314(6)	311(6)
120	14	-0.60(5)	1.14(6)	-0.58(6)	34(3)	-132(6)	340(6)
120	15	-0.64(5)	1.03(6)	-0.66(6)	-77(6)	-604(6)	296(6)
120	16	-0.74(5)	0.91(6)	-0.71(6)	-143(6)	-1094(6)	197(6)

**POTENZIAMENTO DELL'IMPIANTO DI DEPURAZIONE E
DEL RECAPITO FINALE DI SQUINZANO (LE)
PROGETTO DEFINITIVO
Tabulati di calcolo strutturale-Filtrazione**

R.37.9

Maggio 2021

Pagina 77 di 364

Muro	Pann.	Sxx	Syy	Sxy	Mxx	Myy	Mxy
121	1	-1.38 (7)	-0.66 (5)	0.70 (5)	4 (10-II-2)	41 (10-II-4)	-35 (10-II-4)
121	2	-1.47 (7)	-0.51 (5)	0.64 (5)	7 (10-II-4)	70 (10-II-4)	-25 (10-II-4)
121	3	-1.59 (7)	-0.36 (5)	0.53 (5)	11 (10-II-4)	99 (10-II-4)	-11 (10-II-4)
121	4	-1.72 (7)	-0.24 (5)	0.39 (1)	14 (10-II-4)	130 (10-II-4)	6 (10-II-2)
121	5	-1.13 (7)	-0.54 (5)	0.43 (5)	6 (10-II-2)	56 (10-II-4)	-35 (10-II-4)
121	6	-1.22 (7)	-0.40 (5)	0.38 (5)	11 (10-II-4)	94 (10-II-4)	-25 (10-II-4)
121	7	-1.32 (7)	-0.28 (2)	0.32 (1)	16 (10-II-4)	134 (10-II-4)	-11 (10-II-4)
121	8	-1.42 (7)	-0.19 (1)	-0.31 (7)	21 (10-II-4)	174 (10-II-4)	6 (10-II-2)
121	9	-0.86 (7)	-0.42 (2)	0.20 (5)	9 (10-II-2)	70 (10-II-4)	-34 (10-II-4)
121	10	-0.93 (7)	-0.32 (1)	0.18 (5)	15 (10-II-4)	118 (10-II-4)	-25 (10-II-4)
121	11	-1.01 (7)	-0.24 (1)	0.17 (1)	21 (10-II-4)	168 (10-II-4)	-11 (10-II-4)
121	12	-1.08 (7)	-0.18 (1)	-0.27 (7)	27 (10-II-4)	220 (10-II-4)	5 (10-II-2)
121	13	-0.58 (7)	-0.30 (1)	0.11 (9-I-4)	12 (10-II-2)	83 (10-II-4)	-34 (10-II-4)
121	14	-0.64 (7)	-0.24 (1)	0.08 (9-I-4)	19 (10-II-4)	141 (10-II-4)	-25 (10-II-4)
121	15	-0.69 (7)	0.20 (7)	-0.13 (7)	27 (10-II-4)	203 (10-II-4)	-12 (10-II-4)
121	16	-0.74 (7)	0.17 (7)	-0.23 (7)	34 (10-II-4)	267 (10-II-4)	5 (10-II-2)
122	1	-0.97 (7)	-1.27 (5)	0.70 (5)	-11 (2)	-57 (2)	-32 (10-II-4)
122	2	-1.10 (7)	-1.11 (5)	0.73 (5)	-8 (5)	-37 (2)	-38 (10-II-4)
122	3	-1.21 (7)	-0.96 (5)	0.74 (5)	-6 (5)	-17 (5)	-40 (10-II-4)
122	4	-1.29 (7)	-0.81 (5)	0.73 (5)	-3 (5)	15 (10-II-2)	-39 (10-II-4)
122	5	-0.76 (7)	-1.08 (5)	0.40 (9-I-4)	-12 (2)	-70 (2)	-32 (10-II-4)
122	6	-0.87 (7)	-0.95 (5)	0.42 (5)	-8 (2)	-44 (2)	-38 (10-II-4)
122	7	-0.96 (7)	-0.81 (5)	0.44 (5)	-5 (2)	-19 (2)	-40 (10-II-4)
122	8	-1.05 (7)	-0.68 (5)	0.44 (5)	4 (4)	22 (10-II-2)	-39 (10-II-4)
122	9	-0.57 (7)	-0.78 (5)	0.31 (9-I-4)	-13 (10-II-4)	-87 (10-II-4)	-32 (10-II-4)
122	10	-0.65 (7)	-0.69 (2)	0.29 (9-I-4)	-8 (10-II-4)	-51 (10-II-4)	-37 (10-II-4)
122	11	-0.72 (7)	-0.60 (2)	0.26 (9-I-4)	-4 (1)	-19 (2)	-39 (10-II-4)
122	12	-0.79 (7)	-0.51 (2)	0.23 (9-I-4)	5 (4)	28 (10-II-2)	-39 (10-II-4)
122	13	-0.39 (6)	-0.48 (1)	0.25 (7)	-15 (10-II-4)	-103 (10-II-4)	-31 (10-II-4)
122	14	-0.43 (7)	-0.44 (1)	0.22 (7)	-9 (10-II-4)	-59 (10-II-4)	-36 (10-II-4)
122	15	-0.48 (7)	-0.39 (1)	0.18 (7)	-3 (10-II-4)	-19 (2)	-38 (10-II-4)
122	16	-0.53 (7)	-0.35 (1)	0.14 (9-I-4)	5 (10-II-2)	34 (10-II-2)	-37 (10-II-4)
123	1	-1.08 (1)	-0.94 (2)	0.25 (7)	-34 (2)	-579 (2)	-28 (9-II-4)
123	2	-0.90 (1)	-0.91 (5)	0.33 (7)	28 (1)	-269 (2)	-31 (9-II-4)
123	3	-0.77 (1)	-0.89 (5)	0.38 (7)	89 (1)	-75 (10-II-4)	-39 (10-II-2)
123	4	-0.69 (1)	-0.87 (5)	0.42 (7)	145 (1)	137 (1)	-45 (10-II-4)
123	5	-0.89 (1)	-0.74 (2)	0.24 (7)	-46 (2)	-541 (2)	-36 (7)
123	6	-0.78 (1)	-0.74 (5)	0.31 (7)	-14 (10-II-4)	-271 (2)	45 (1)
123	7	-0.69 (1)	-0.74 (5)	0.37 (7)	46 (1)	-95 (10-II-4)	46 (1)
123	8	-0.62 (1)	-0.74 (5)	0.42 (7)	87 (5)	112 (1)	-47 (10-II-4)
123	9	-0.65 (1)	-0.52 (2)	0.22 (7)	-48 (2)	-447 (2)	44 (1)
123	10	-0.60 (1)	-0.53 (2)	0.29 (7)	-19 (2)	-240 (2)	72 (1)
123	11	-0.55 (1)	-0.54 (5)	0.34 (7)	-18 (4)	-109 (10-II-4)	78 (1)
123	12	-0.50 (1)	-0.54 (5)	0.38 (7)	35 (5)	-81 (10-II-4)	71 (1)
123	13	-0.42 (1)	-0.33 (2)	0.19 (7)	-41 (2)	-340 (2)	47 (1)
123	14	-0.40 (1)	-0.34 (2)	0.24 (7)	-25 (2)	-200 (2)	76 (1)
123	15	-0.39 (1)	-0.35 (2)	0.28 (7)	-24 (6)	-118 (10-II-4)	83 (1)
123	16	-0.37 (1)	-0.36 (2)	0.32 (7)	-26 (6)	-83 (10-II-4)	76 (1)
124	1	-1.13 (7)	-1.62 (1)	0.78 (7)	-19 (4)	88 (2)	36 (2)
124	2	-1.35 (7)	-1.45 (1)	0.69 (7)	-11 (3)	23 (4)	35 (2)
124	3	-1.50 (7)	-1.34 (1)	0.57 (7)	-24 (1)	-59 (2)	26 (2)
124	4	-1.60 (7)	-1.27 (1)	0.45 (7)	-38 (2)	-148 (2)	24 (2)
124	5	-0.90 (7)	-1.56 (1)	0.77 (7)	-16 (4)	92 (2)	27 (2)
124	6	-1.05 (7)	-1.45 (1)	0.69 (7)	-9 (1)	25 (4)	29 (10-II-4)
124	7	-1.17 (7)	-1.36 (1)	0.58 (7)	-22 (1)	-71 (2)	28 (10-II-4)
124	8	-1.26 (7)	-1.30 (1)	0.45 (7)	-37 (2)	-158 (2)	23 (10-II-4)
124	9	-0.68 (4)	-1.30 (1)	0.73 (7)	10 (5)	92 (2)	25 (10-II-4)
124	10	-0.77 (7)	-1.24 (1)	0.65 (7)	-6 (1)	29 (4)	30 (10-II-4)
124	11	-0.84 (7)	-1.20 (1)	0.54 (7)	-19 (1)	-77 (2)	29 (10-II-4)
124	12	-0.91 (7)	-1.17 (1)	0.41 (7)	-34 (2)	-163 (2)	23 (10-II-4)
124	13	-0.47 (4)	-0.94 (1)	0.64 (7)	11 (10-II-4)	89 (2)	25 (10-II-4)
124	14	-0.49 (7)	-0.93 (1)	0.57 (7)	7 (7)	37 (7)	29 (10-II-4)
124	15	-0.53 (7)	-0.93 (1)	0.47 (7)	-17 (2)	-80 (2)	29 (10-II-4)
124	16	-0.57 (7)	-0.93 (1)	0.35 (7)	-30 (2)	-165 (2)	23 (10-II-4)
125	1	-0.72 (3)	-0.89 (5)	0.53 (7)	197 (5)	233 (5)	-27 (4)
125	2	-0.75 (3)	-0.95 (5)	0.55 (4)	136 (5)	47 (5)	-26 (4)
125	3	-0.78 (3)	-1.02 (5)	0.60 (4)	59 (5)	-282 (1)	-21 (6)
125	4	-0.79 (3)	-1.09 (5)	0.64 (4)	-20 (1)	-750 (1)	-41 (5)
125	5	-0.62 (3)	-0.79 (5)	0.54 (7)	125 (5)	212 (5)	-49 (2)
125	6	-0.65 (3)	-0.82 (5)	0.56 (7)	79 (5)	37 (10-I-2)	-61 (2)
125	7	-0.68 (3)	-0.87 (5)	0.58 (7)	21 (5)	-287 (1)	-59 (2)
125	8	-0.71 (3)	-0.91 (5)	0.61 (7)	-41 (1)	-706 (1)	-39 (5)
125	9	-0.48 (3)	-0.57 (5)	0.52 (7)	57 (5)	165 (5)	-72 (2)
125	10	-0.51 (3)	0.58 (4)	0.54 (7)	33 (10-I-4)	46 (10-I-2)	-88 (2)
125	11	-0.53 (3)	0.65 (4)	0.59 (6)	23 (10-I-2)	-247 (1)	-77 (2)
125	12	-0.56 (3)	0.72 (4)	0.65 (6)	-50 (1)	-567 (1)	-35 (8)

**POTENZIAMENTO DELL'IMPIANTO DI DEPURAZIONE E
DEL RECAPITO FINALE DI SQUINZANO (LE)
PROGETTO DEFINITIVO
Tabulati di calcolo strutturale-Filtrazione**

R.37.9

Maggio 2021

Pagina 78 di 364

Muro	Pann.	Sxx	Syy	Sxy	Mxx	Myy	Mxy
125	13	-0.33(3)	0.47(7)	0.46(7)	54(10-I-4)	111(5)	-76(2)
125	14	-0.34(3)	0.51(7)	0.51(6)	46(10-I-2)	50(10-I-2)	-91(2)
125	15	-0.36(3)	0.56(7)	0.57(6)	33(10-I-2)	-183(1)	-77(2)
125	16	-0.39(3)	0.61(7)	0.61(6)	-44(1)	-391(1)	-36(3)
126	1	-1.12(3)	-1.86(5)	0.35(4)	180(1)	54(6)	-84(2)
126	2	-1.33(3)	-2.56(5)	0.23(4)	319(1)	355(2)	-72(2)
126	3	-1.26(4)	-3.50(5)	0.34(6)	361(1)	439(2)	-41(10-II-4)
126	4	-0.81(1)	-4.47(5)	1.05(6)	294(1)	327(1)	-63(4)
126	5	-0.88(3)	-1.49(5)	0.28(6)	125(1)	38(6)	-76(10-II-4)
126	6	-0.92(4)	-1.88(5)	0.54(6)	248(1)	355(2)	-69(10-II-4)
126	7	-0.70(4)	-2.26(5)	0.93(6)	288(1)	452(1)	-47(3)
126	8	-0.92(6)	-2.45(5)	1.32(6)	233(1)	336(1)	-48(2)
126	9	-0.62(3)	1.02(4)	0.51(6)	63(5)	-31(10-II-4)	-69(4)
126	10	-0.58(4)	1.20(4)	0.73(6)	144(1)	305(1)	-63(10-II-4)
126	11	-0.52(6)	1.26(4)	0.99(6)	174(1)	408(1)	-51(3)
126	12	-0.93(6)	1.10(4)	1.15(6)	138(1)	303(1)	-92(2)
126	13	-0.39(3)	0.72(7)	0.54(5)	47(10-I-4)	-52(2)	90(1)
126	14	-0.33(4)	0.78(7)	0.67(5)	73(10-II-2)	234(1)	-72(4)
126	15	-0.53(6)	0.84(7)	0.76(5)	82(10-II-1)	333(1)	-51(3)
126	16	-0.84(6)	1.07(6)	0.75(5)	74(10-II-4)	249(1)	-110(2)
127	1	-0.82(3)	-1.57(5)	0.33(4)	19(6)	-629(1)	65(7)
127	2	-0.87(3)	-1.52(5)	0.34(4)	29(6)	-510(1)	-41(1)
127	3	-0.90(3)	-1.57(5)	0.34(4)	47(5)	-402(1)	-51(10-II-4)
127	4	-0.92(3)	-1.65(5)	0.33(4)	71(1)	-303(1)	-60(1)
127	5	-0.74(3)	-1.37(5)	0.15(6)	-28(1)	-654(1)	63(6)
127	6	-0.76(3)	-1.26(5)	0.16(6)	-9(1)	-541(1)	46(6)
127	7	-0.78(3)	-1.29(5)	0.17(6)	16(5)	-437(1)	-52(10-II-4)
127	8	-0.81(3)	-1.32(5)	0.17(6)	35(5)	-341(1)	-59(10-II-4)
127	9	-0.59(3)	-0.91(5)	0.36(6)	-48(1)	-588(1)	57(6)
127	10	-0.60(3)	0.86(4)	0.37(6)	-34(1)	-496(1)	54(5)
127	11	-0.61(3)	0.87(4)	0.39(6)	-20(2)	-409(1)	59(5)
127	12	-0.63(3)	0.86(4)	0.40(6)	22(10-I-4)	-328(1)	62(1)
127	13	-0.40(3)	0.61(7)	0.41(5)	-53(1)	-480(1)	49(5)
127	14	-0.40(3)	0.66(7)	0.43(5)	-44(1)	-413(1)	62(5)
127	15	-0.40(3)	0.68(7)	0.44(5)	-36(2)	-349(1)	72(1)
127	16	-0.41(3)	0.71(7)	0.47(5)	28(10-I-4)	-288(1)	80(1)
128	1	-0.63(1)	-0.85(5)	0.45(7)	193(1)	259(1)	-47(10-II-4)
128	2	-0.65(3)	-0.84(5)	0.48(7)	229(5)	336(5)	-45(10-II-4)
128	3	-0.68(3)	-0.84(5)	0.49(7)	242(5)	358(5)	-38(10-II-4)
128	4	-0.70(3)	-0.86(5)	0.51(7)	232(5)	328(5)	-30(10-II-4)
128	5	-0.56(1)	-0.74(5)	0.45(7)	123(5)	234(5)	-47(10-II-4)
128	6	-0.55(3)	-0.74(5)	0.48(7)	150(5)	314(5)	-42(10-II-4)
128	7	-0.57(3)	-0.75(5)	0.51(7)	159(5)	338(5)	-35(10-II-4)
128	8	-0.60(3)	-0.76(5)	0.53(7)	152(5)	308(5)	-33(2)
128	9	-0.46(1)	-0.55(5)	0.42(7)	56(5)	179(5)	52(1)
128	10	-0.44(3)	-0.55(5)	0.45(7)	72(5)	249(5)	-35(10-II-4)
128	11	-0.45(3)	-0.56(5)	0.48(7)	77(5)	271(5)	-30(10-II-4)
128	12	-0.47(3)	-0.56(5)	0.50(7)	72(5)	246(5)	-45(2)
128	13	-0.34(1)	-0.36(2)	0.35(7)	38(10-I-4)	114(5)	56(1)
128	14	-0.32(1)	-0.37(2)	0.38(7)	49(10-I-4)	170(5)	-31(4)
128	15	-0.32(3)	0.38(7)	0.41(7)	56(10-I-4)	189(5)	-25(10-II-4)
128	16	-0.32(3)	0.42(7)	0.44(7)	58(10-I-4)	172(5)	-47(2)
129	1	-1.53(1)	-2.19(1)	0.68(7)	41(5)	317(2)	-58(6)
129	2	-1.16(1)	-2.05(1)	0.77(7)	43(5)	250(2)	-12(9-II-4)
129	3	-0.93(1)	-1.92(1)	0.82(7)	38(5)	194(2)	18(2)
129	4	-0.95(4)	-1.78(1)	0.82(7)	30(5)	145(2)	29(2)
129	5	-1.29(1)	-1.90(1)	0.67(7)	38(5)	355(2)	-70(7)
129	6	-1.03(1)	-1.82(1)	0.75(7)	40(5)	282(2)	-18(7)
129	7	-0.83(1)	-1.75(1)	0.80(7)	35(5)	218(2)	20(2)
129	8	-0.80(4)	-1.67(1)	0.81(7)	26(5)	160(2)	24(2)
129	9	-0.91(1)	-1.42(1)	0.64(7)	38(2)	354(2)	-76(7)
129	10	-0.78(1)	-1.40(1)	0.72(7)	34(2)	286(2)	-26(7)
129	11	-0.66(1)	-1.37(1)	0.76(7)	28(5)	222(2)	22(1)
129	12	-0.64(4)	-1.34(1)	0.76(7)	21(5)	163(2)	21(2)
129	13	-0.62(3)	-0.93(1)	0.58(7)	37(2)	336(2)	-75(7)
129	14	-0.53(3)	-0.94(1)	0.65(7)	32(2)	275(2)	28(1)
129	15	-0.47(3)	-0.94(1)	0.67(7)	25(2)	216(2)	22(1)
129	16	-0.46(4)	-0.94(1)	0.67(7)	18(2)	159(2)	19(2)
130	1	-1.21(1)	-1.83(1)	0.54(5)	-16(10-II-4)	-143(2)	11(2)
130	2	-0.95(1)	-1.69(5)	0.57(5)	-14(10-II-4)	-120(2)	-10(7)
130	3	-0.78(1)	-1.56(5)	0.62(5)	-14(2)	-98(2)	-14(4)
130	4	-0.82(4)	-1.43(5)	0.66(5)	-13(2)	-78(2)	-23(10-II-4)
130	5	-1.00(1)	-1.47(5)	0.36(5)	-21(10-II-4)	-175(2)	5(10-II-4)
130	6	-0.85(1)	-1.38(5)	0.38(9-I-4)	-19(10-II-4)	-147(2)	-7(7)
130	7	-0.72(1)	-1.29(5)	0.40(9-I-4)	-16(10-II-4)	-120(2)	-15(10-II-4)
130	8	-0.64(7)	-1.19(5)	0.41(9-I-4)	-15(2)	-96(10-II-4)	-24(10-II-4)

**POTENZIAMENTO DELL'IMPIANTO DI DEPURAZIONE E
DEL RECAPITO FINALE DI SQUINZANO (LE)
PROGETTO DEFINITIVO
Tabulati di calcolo strutturale-Filtrazione**

R.37.9

Maggio 2021

Pagina 79 di 364

Muro	Pann.	Sxx	Syy	Sxy	Mxx	Myy	Mxy
130	9	-0.73(1)	-1.02(5)	0.28(9-I-4)	-26(10-II-4)	-205(10-II-4)	4(10-II-4)
130	10	-0.66(1)	-0.97(5)	0.31(9-I-4)	-23(10-II-4)	-178(10-II-4)	-7(6)
130	11	-0.59(1)	-0.91(5)	0.32(9-I-4)	-20(10-II-4)	-149(10-II-4)	-15(10-II-4)
130	12	-0.53(5)	-0.85(5)	0.32(9-I-4)	-17(10-II-4)	-120(10-II-4)	-24(10-II-4)
130	13	-0.46(1)	-0.60(5)	0.21(9-I-4)	-32(10-II-4)	-249(10-II-4)	-5(5)
130	14	-0.44(1)	-0.57(5)	0.24(7)	-28(10-II-4)	-214(10-II-4)	-10(5)
130	15	-0.41(1)	-0.54(1)	0.26(7)	-24(10-II-4)	-178(10-II-4)	-16(10-II-4)
130	16	-0.39(5)	-0.51(1)	0.26(7)	-20(10-II-4)	-142(10-II-4)	-25(10-II-4)
131	1	-1.06(5)	-1.08(1)	-0.18(7)	-545(2)	-42(5)	27(6)
131	2	-0.87(5)	-0.90(1)	-0.17(7)	-512(2)	-52(5)	31(6)
131	3	-0.62(5)	-0.67(1)	-0.16(7)	-426(2)	-50(2)	25(6)
131	4	-0.39(2)	-0.45(1)	-0.14(7)	-327(2)	-43(2)	15(6)
131	5	-1.01(2)	-0.86(1)	-0.13(7)	-241(2)	16(1)	27(6)
131	6	-0.85(2)	-0.76(1)	-0.12(6)	-252(2)	-16(5)	39(6)
131	7	-0.62(2)	-0.60(1)	-0.12(6)	-232(2)	-26(2)	32(6)
131	8	-0.40(2)	-0.42(1)	-0.09(7)	-200(2)	-28(2)	27(5)
131	9	-0.96(2)	-0.71(1)	0.11(2)	-29(10-II-4)	58(1)	-31(10-II-4)
131	10	-0.82(2)	-0.64(1)	-0.10(6)	-56(2)	19(1)	37(6)
131	11	-0.62(2)	-0.53(1)	-0.10(6)	-80(2)	-20(6)	34(5)
131	12	-0.40(2)	-0.38(1)	-0.07(6)	-94(2)	-22(6)	30(5)
131	13	-0.90(1)	-0.62(1)	0.15(2)	127(1)	92(1)	-31(10-II-4)
131	14	-0.79(2)	-0.56(1)	0.10(9-I-4)	88(1)	42(1)	-31(10-II-4)
131	15	-0.60(2)	-0.47(1)	0.09(9-I-4)	-53(4)	25(10-I-4)	25(6)
131	16	-0.39(2)	-0.35(1)	0.06(9-I-4)	-40(4)	29(10-I-4)	20(5)
132	1	-0.83(1)	-0.55(1)	0.20(5)	212(1)	115(1)	-26(2)
132	2	-0.76(1)	-0.49(1)	0.12(9-I-4)	172(1)	58(1)	-27(10-II-4)
132	3	-0.59(2)	-0.42(1)	0.11(9-I-4)	113(1)	29(9-I-4)	-26(10-II-4)
132	4	-0.39(2)	-0.31(1)	0.09(9-I-4)	-58(4)	34(10-I-4)	-23(10-II-4)
132	5	-0.75(1)	-0.55(3)	0.26(5)	195(2)	111(1)	-35(2)
132	6	-0.70(1)	-0.46(1)	0.15(5)	162(2)	57(1)	-44(2)
132	7	-0.56(1)	-0.39(1)	0.13(9-I-4)	115(2)	30(9-I-4)	-45(2)
132	8	-0.37(2)	-0.30(1)	0.11(9-I-4)	69(2)	35(9-I-4)	-41(2)
132	9	-0.68(1)	-0.55(3)	0.31(5)	38(2)	74(1)	-39(2)
132	10	-0.64(1)	-0.48(1)	0.20(5)	-36(7)	35(1)	-58(2)
132	11	-0.52(1)	-0.40(1)	0.15(9-I-4)	-38(7)	23(9-I-4)	-61(2)
132	12	-0.35(1)	-0.30(1)	0.13(9-I-4)	-38(7)	29(9-I-4)	-55(2)
132	13	-0.61(1)	-0.62(1)	0.36(5)	-301(5)	20(1)	-48(2)
132	14	-0.58(1)	-0.54(1)	0.24(5)	-257(5)	-11(7)	-51(2)
132	15	-0.47(1)	-0.44(1)	0.17(9-I-4)	-177(5)	-18(6)	-42(2)
132	16	-0.32(1)	-0.33(1)	0.14(9-I-4)	-90(5)	21(10-II-4)	-34(2)
133	1	-0.71(6)	-0.65(2)	0.50(7)	-54(6)	169(3)	55(5)
133	2	-0.75(6)	-0.69(2)	0.55(6)	-88(6)	314(3)	51(1)
133	3	-0.77(5)	-0.72(2)	0.66(6)	-118(6)	484(3)	45(1)
133	4	-0.75(5)	-0.78(2)	0.76(6)	-141(6)	675(3)	-61(6)
133	5	-1.11(6)	-0.73(2)	0.60(7)	-129(4)	139(3)	54(1)
133	6	-1.18(6)	-0.78(2)	0.62(7)	-22(6)	305(3)	48(1)
133	7	-1.22(5)	-0.85(2)	0.75(6)	-64(6)	507(3)	40(1)
133	8	-1.20(5)	-0.92(2)	0.91(6)	-108(6)	750(3)	-69(6)
133	9	-1.61(6)	-0.89(1)	0.71(7)	63(5)	83(3)	113(3)
133	10	-1.77(6)	-0.99(1)	0.80(7)	19(1)	-263(6)	86(3)
133	11	-1.86(5)	-1.13(1)	0.87(6)	-60(6)	-500(6)	63(3)
133	12	-1.84(5)	-1.21(1)	1.13(6)	-115(5)	-793(6)	-92(6)
133	13	-2.37(6)	0.98(4)	0.88(3)	56(1)	-34(6)	206(3)
133	14	-2.49(6)	-1.24(1)	1.19(8)	-44(6)	-182(6)	162(3)
133	15	-2.57(5)	-1.58(1)	1.26(7)	-105(6)	-433(5)	-99(6)
133	16	-2.84(5)	-1.70(1)	1.28(6)	-176(5)	-813(5)	-115(6)
134	1	-1.57(6)	-4.68(5)	1.59(6)	198(1)	116(1)	-84(7)
134	2	-2.36(6)	-4.63(5)	1.63(6)	129(1)	-136(5)	-85(7)
134	3	-2.97(6)	-4.36(5)	1.30(6)	-70(4)	-407(5)	-75(7)
134	4	-3.01(6)	-4.03(5)	0.67(6)	-77(5)	-780(2)	-91(7)
134	5	-1.50(6)	-2.31(5)	1.37(6)	148(1)	113(1)	-63(6)
134	6	-1.75(6)	-2.20(5)	1.22(6)	82(1)	-152(5)	-69(6)
134	7	-1.86(6)	-2.04(5)	0.89(6)	13(10-II-4)	-426(5)	-73(6)
134	8	-1.75(6)	-2.01(5)	0.51(6)	-78(5)	-781(5)	-110(6)
134	9	-1.14(6)	0.92(4)	1.11(6)	80(1)	101(1)	-109(5)
134	10	-1.14(6)	0.80(4)	0.98(6)	36(10-II-4)	-159(5)	-113(5)
134	11	-1.04(5)	0.71(4)	0.76(6)	-24(6)	-402(5)	-106(5)
134	12	-0.88(5)	0.72(4)	0.45(6)	-68(5)	-705(5)	-116(6)
134	13	-0.88(6)	1.45(6)	0.71(6)	59(10-II-4)	110(3)	-133(5)
134	14	-0.76(6)	1.72(6)	0.69(6)	45(10-II-4)	-149(5)	-133(5)
134	15	-0.45(5)	1.89(6)	0.62(6)	30(10-II-4)	-335(5)	-117(5)
134	16	-0.36(1)	1.99(6)	0.39(6)	-53(5)	-557(5)	-109(5)
135	1	-0.64(6)	2.22(6)	0.38(5)	42(10-II-4)	130(3)	-130(5)
135	2	-0.63(6)	2.59(6)	0.35(5)	34(3)	147(4)	-130(5)
135	3	-0.29(6)	2.97(6)	0.38(5)	38(4)	-284(5)	-109(5)
135	4	0.58(6)	3.20(6)	0.28(9-I-2)	-49(5)	-449(5)	-104(5)

**POTENZIAMENTO DELL'IMPIANTO DI DEPURAZIONE E
DEL RECAPITO FINALE DI SQUINZANO (LE)
PROGETTO DEFINITIVO
Tabulati di calcolo strutturale-Filtrazione**

R.37.9

Maggio 2021

Pagina 80 di 364

Muro	Pann.	Sxx	Syy	Sxy	Mxx	Myy	Mxy
135	5	-0.70 (6)	2.40 (6)	0.24 (5)	33 (10-II-4)	136 (3)	-129 (5)
135	6	-0.63 (6)	2.82 (6)	0.20 (5)	31 (4)	153 (4)	-129 (5)
135	7	-0.27 (6)	3.35 (6)	0.24 (5)	38 (4)	-263 (5)	-108 (5)
135	8	0.80 (6)	3.76 (6)	0.26 (9-I-2)	-49 (5)	-405 (5)	-103 (5)
135	9	-0.66 (6)	2.49 (6)	0.12 (2)	27 (3)	142 (3)	-126 (5)
135	10	-0.61 (6)	2.93 (6)	0.21 (3)	30 (4)	160 (4)	-126 (5)
135	11	-0.28 (6)	3.56 (6)	0.32 (3)	38 (4)	-244 (5)	-108 (5)
135	12	0.94 (6)	4.42 (6)	0.34 (3)	47 (4)	-353 (5)	-101 (5)
135	13	-0.59 (6)	2.53 (6)	-0.18 (6)	26 (4)	147 (3)	-121 (5)
135	14	-0.54 (6)	2.90 (6)	0.33 (3)	27 (4)	166 (4)	-122 (5)
135	15	-0.21 (6)	3.46 (6)	0.53 (3)	34 (4)	237 (4)	-107 (5)
135	16	1.04 (6)	4.68 (6)	0.72 (3)	-43 (5)	-302 (5)	-113 (5)
136	1	-1.67 (7)	-1.19 (1)	0.22 (5)	-30 (1)	115 (4)	34 (7)
136	2	-1.71 (7)	-1.18 (1)	-0.27 (10-II-4)	-18 (1)	79 (7)	47 (7)
136	3	-1.69 (7)	-1.23 (1)	-0.44 (10-II-4)	5 (7)	42 (4)	54 (7)
136	4	-1.58 (7)	-1.36 (1)	-0.64 (7)	17 (5)	52 (1)	50 (4)
136	5	-1.31 (7)	-1.23 (1)	0.16 (5)	-28 (1)	155 (7)	33 (10-II-4)
136	6	-1.32 (7)	-1.22 (1)	-0.26 (10-II-4)	-18 (1)	98 (7)	43 (10-II-4)
136	7	-1.29 (7)	-1.27 (1)	-0.45 (7)	-9 (1)	44 (4)	49 (7)
136	8	-1.20 (7)	-1.38 (1)	-0.63 (7)	-12 (4)	47 (1)	46 (7)
136	9	-0.94 (7)	-1.11 (1)	-0.12 (4)	30 (7)	188 (7)	31 (10-II-4)
136	10	-0.93 (7)	-1.11 (1)	-0.25 (7)	17 (7)	116 (7)	41 (10-II-4)
136	11	-0.91 (7)	-1.14 (1)	-0.43 (7)	-8 (1)	48 (4)	46 (10-II-4)
136	12	-0.85 (7)	-1.20 (1)	-0.59 (7)	-9 (4)	41 (1)	44 (10-II-4)
136	13	-0.58 (7)	0.93 (7)	-0.10 (4)	34 (7)	215 (7)	31 (10-II-4)
136	14	-0.57 (7)	0.92 (7)	-0.23 (7)	20 (7)	131 (7)	41 (10-II-4)
136	15	-0.56 (7)	-0.88 (1)	-0.37 (7)	7 (7)	52 (4)	45 (10-II-4)
136	16	-0.54 (7)	-0.90 (1)	-0.50 (7)	-6 (7)	35 (1)	45 (10-II-4)
137	1	-1.10 (1)	-1.06 (1)	0.36 (4)	36 (1)	588 (1)	33 (7)
137	2	-0.89 (1)	-1.01 (5)	0.44 (4)	-26 (2)	275 (1)	25 (9-II-4)
137	3	-0.74 (1)	-0.98 (5)	0.50 (4)	-84 (2)	-89 (4)	23 (10-I-4)
137	4	-0.65 (1)	-0.95 (5)	0.54 (4)	-138 (2)	-136 (2)	-19 (4)
137	5	-0.94 (1)	-0.87 (1)	0.33 (4)	46 (1)	533 (1)	42 (7)
137	6	-0.80 (1)	-0.85 (5)	0.40 (7)	-15 (10-II-4)	262 (1)	-54 (2)
137	7	-0.68 (1)	-0.84 (5)	0.46 (7)	-43 (2)	-110 (4)	-64 (2)
137	8	-0.60 (1)	-0.83 (5)	0.50 (7)	-82 (5)	-121 (2)	-62 (2)
137	9	-0.72 (1)	-0.61 (1)	0.30 (7)	44 (1)	406 (1)	45 (7)
137	10	-0.64 (1)	-0.61 (5)	0.38 (7)	-22 (10-II-4)	-219 (4)	-75 (2)
137	11	-0.56 (1)	-0.61 (5)	0.44 (7)	-33 (10-II-4)	-124 (4)	-92 (2)
137	12	-0.50 (1)	-0.61 (5)	0.48 (7)	-43 (10-II-4)	-114 (10-II-4)	-91 (2)
137	13	-0.48 (1)	-0.37 (1)	0.26 (7)	32 (1)	-296 (4)	41 (7)
137	14	-0.44 (1)	-0.37 (1)	0.32 (7)	-32 (10-II-4)	-211 (4)	-78 (2)
137	15	-0.40 (1)	-0.37 (1)	0.37 (7)	-45 (10-II-4)	-137 (4)	-96 (2)
137	16	-0.37 (1)	-0.36 (1)	0.41 (7)	-56 (10-II-4)	-133 (10-II-4)	-96 (2)
138	1	-0.63 (6)	1.11 (7)	0.26 (10-I-1)	60 (4)	377 (4)	147 (6)
138	2	-0.55 (6)	1.06 (7)	0.38 (5)	48 (7)	-291 (1)	90 (7)
138	3	-0.47 (6)	1.00 (7)	0.49 (5)	56 (6)	-218 (1)	73 (4)
138	4	-0.39 (6)	0.93 (7)	0.57 (5)	82 (6)	291 (6)	73 (4)
138	5	-1.06 (5)	1.08 (7)	0.29 (10-I-1)	-72 (5)	-543 (5)	161 (6)
138	6	-0.97 (6)	0.99 (7)	0.42 (8)	-53 (2)	-269 (1)	96 (7)
138	7	-0.82 (6)	0.87 (7)	0.60 (5)	-88 (3)	-187 (1)	73 (7)
138	8	-0.64 (6)	0.76 (7)	0.72 (5)	-143 (3)	271 (6)	52 (7)
138	9	-1.69 (5)	1.09 (7)	0.37 (7)	-141 (5)	-723 (5)	182 (6)
138	10	-1.55 (6)	0.94 (7)	0.59 (8)	-76 (2)	-303 (5)	138 (6)
138	11	-1.26 (6)	0.74 (7)	0.79 (5)	-85 (3)	-142 (1)	118 (6)
138	12	-0.92 (6)	-0.58 (2)	0.94 (5)	-156 (3)	247 (6)	110 (6)
138	13	-2.80 (5)	1.05 (7)	0.52 (7)	-308 (5)	-877 (5)	187 (6)
138	14	-2.40 (5)	0.85 (7)	0.97 (7)	-209 (5)	-276 (5)	204 (6)
138	15	-1.77 (6)	0.53 (7)	1.16 (7)	-77 (6)	96 (6)	243 (6)
138	16	-1.14 (6)	-0.62 (2)	1.25 (6)	101 (1)	192 (6)	235 (6)
139	1	0.80 (4)	-0.36 (1)	-0.22 (5)	427 (1)	-56 (7)	101 (5)
139	2	0.86 (4)	-0.52 (3)	0.13 (4)	544 (1)	-42 (7)	106 (6)
139	3	-1.28 (5)	-0.67 (3)	0.18 (10-II-4)	617 (1)	-31 (7)	105 (6)
139	4	-1.49 (5)	-0.77 (3)	0.48 (6)	598 (1)	-30 (6)	101 (7)
139	5	0.84 (4)	-0.35 (1)	-0.22 (5)	360 (1)	-49 (7)	110 (5)
139	6	0.89 (4)	-0.53 (3)	-0.14 (5)	452 (1)	-33 (7)	97 (6)
139	7	-1.16 (5)	-0.68 (3)	0.17 (10-II-4)	505 (1)	-21 (7)	85 (6)
139	8	-1.44 (5)	-0.79 (3)	0.46 (6)	481 (1)	-42 (6)	67 (7)
139	9	0.85 (4)	-0.35 (1)	-0.23 (5)	297 (1)	-43 (7)	119 (5)
139	10	0.90 (4)	-0.53 (3)	-0.15 (5)	366 (1)	-32 (10-II-4)	100 (5)
139	11	-1.16 (5)	-0.70 (3)	0.17 (10-II-4)	401 (1)	-33 (5)	77 (6)
139	12	-1.46 (5)	-0.82 (3)	0.45 (6)	374 (1)	-63 (5)	52 (7)
139	13	0.81 (4)	-0.35 (3)	-0.26 (5)	235 (1)	-44 (10-II-4)	127 (5)
139	14	0.87 (4)	-0.54 (3)	-0.15 (5)	285 (1)	-36 (10-II-4)	104 (5)
139	15	-1.15 (5)	-0.71 (3)	0.17 (10-II-4)	306 (1)	-54 (5)	74 (6)
139	16	-1.46 (5)	-0.83 (3)	0.42 (6)	276 (1)	-87 (5)	-62 (1)

**POTENZIAMENTO DELL'IMPIANTO DI DEPURAZIONE E
DEL RECAPITO FINALE DI SQUINZANO (LE)
PROGETTO DEFINITIVO
Tabulati di calcolo strutturale-Filtrazione**

R.37.9

Maggio 2021

Pagina 81 di 364

Muro	Pann.	Sxx	Syy	Sxy	Mxx	Myy	Mxy
140	1	-0.97 (3)	-1.77 (5)	-0.40 (6)	-200 (5)	-50 (5)	82 (1)
140	2	-1.21 (4)	-2.38 (5)	-0.27 (6)	-354 (5)	-367 (1)	58 (1)
140	3	-1.31 (4)	-3.12 (5)	-0.24 (9-II-3)	-424 (5)	-451 (1)	-47 (10-II-4)
140	4	-1.36 (5)	-3.62 (5)	0.87 (5)	-383 (5)	-357 (1)	-105 (2)
140	5	-0.77 (3)	-1.38 (5)	-0.15 (9-II-3)	-151 (5)	-49 (10-II-4)	-81 (6)
140	6	-0.87 (3)	-1.70 (5)	0.22 (5)	-282 (5)	-382 (1)	-73 (6)
140	7	-0.87 (3)	-1.92 (5)	0.49 (5)	-331 (5)	-487 (1)	-56 (10-II-4)
140	8	-1.43 (5)	-1.78 (5)	-0.67 (4)	-272 (5)	-387 (1)	-86 (10-II-4)
140	9	-0.56 (3)	0.98 (4)	0.23 (5)	-84 (5)	-69 (10-II-4)	-121 (5)
140	10	-0.59 (3)	1.07 (4)	0.37 (5)	-169 (2)	-346 (1)	-100 (6)
140	11	-0.69 (5)	1.08 (4)	-0.45 (4)	-200 (2)	-455 (1)	-59 (7)
140	12	-1.12 (5)	0.97 (4)	-0.52 (4)	-160 (2)	-364 (1)	-70 (10-II-4)
140	13	-0.36 (3)	0.89 (4)	0.29 (5)	-63 (10-II-4)	-84 (10-II-4)	-150 (5)
140	14	-0.37 (3)	0.88 (4)	0.35 (5)	-85 (10-II-3)	-285 (1)	-118 (5)
140	15	-0.49 (5)	0.81 (4)	-0.38 (4)	-87 (9-II-2)	-390 (1)	-57 (7)
140	16	-0.72 (5)	0.73 (7)	-0.40 (3)	-74 (3)	-318 (1)	-75 (4)
141	1	-0.71 (4)	-0.90 (5)	0.59 (4)	-187 (5)	-207 (5)	-52 (10-II-4)
141	2	-0.72 (4)	-0.94 (5)	0.60 (4)	-127 (5)	51 (3)	-55 (10-II-4)
141	3	-0.74 (4)	-1.01 (5)	0.62 (4)	-51 (5)	332 (2)	-47 (10-II-4)
141	4	-0.75 (3)	-1.07 (5)	0.64 (4)	26 (1)	812 (2)	38 (2)
141	5	-0.57 (4)	-0.80 (5)	0.56 (7)	-116 (5)	-182 (5)	-52 (10-II-4)
141	6	-0.60 (4)	-0.83 (5)	0.56 (7)	-70 (5)	63 (3)	-55 (10-II-4)
141	7	-0.62 (4)	-0.87 (5)	0.56 (7)	-14 (5)	354 (2)	-46 (10-II-4)
141	8	-0.65 (3)	-0.90 (5)	0.57 (7)	47 (1)	789 (2)	31 (1)
141	9	-0.43 (4)	0.62 (4)	0.58 (7)	-50 (5)	-133 (5)	-45 (10-II-4)
141	10	-0.44 (4)	0.66 (4)	0.58 (7)	-28 (10-II-3)	75 (3)	64 (1)
141	11	-0.46 (3)	0.70 (4)	0.58 (7)	21 (2)	328 (2)	59 (1)
141	12	-0.50 (3)	0.76 (4)	0.58 (7)	58 (1)	668 (2)	18 (1)
141	13	-0.28 (4)	0.61 (4)	0.54 (7)	-55 (10-II-4)	-81 (5)	-49 (4)
141	14	-0.29 (3)	0.66 (4)	0.55 (7)	-39 (10-II-3)	92 (2)	65 (1)
141	15	-0.31 (1)	0.70 (4)	0.55 (7)	32 (1)	276 (2)	56 (1)
141	16	-0.34 (1)	0.76 (4)	0.54 (7)	54 (1)	507 (2)	-15 (6)
142	1	-1.37 (7)	-1.53 (1)	-0.80 (7)	29 (5)	80 (1)	41 (4)
142	2	-1.10 (7)	-1.74 (1)	-0.90 (7)	36 (5)	-112 (7)	28 (4)
142	3	-1.03 (1)	-1.95 (1)	-0.91 (7)	37 (5)	-176 (7)	20 (3)
142	4	-1.42 (1)	-2.16 (1)	-0.82 (7)	-33 (4)	-246 (7)	46 (5)
142	5	-1.05 (7)	-1.51 (1)	-0.77 (7)	-22 (4)	80 (1)	37 (4)
142	6	-0.88 (7)	-1.65 (1)	-0.84 (7)	-29 (4)	-140 (7)	28 (4)
142	7	-0.93 (1)	-1.78 (1)	-0.84 (7)	-34 (4)	-207 (7)	22 (3)
142	8	-1.23 (1)	-1.89 (2)	-0.76 (7)	-37 (4)	-277 (7)	42 (9-II-3)
142	9	-0.77 (7)	-1.27 (1)	-0.70 (7)	-19 (4)	-95 (7)	38 (10-II-4)
142	10	-0.69 (7)	-1.34 (1)	-0.76 (7)	-27 (4)	-161 (7)	30 (10-II-4)
142	11	-0.74 (2)	-1.40 (1)	-0.77 (7)	-33 (4)	-231 (7)	24 (4)
142	12	-0.92 (1)	-1.44 (1)	-0.70 (7)	-41 (7)	-300 (7)	45 (4)
142	13	-0.51 (7)	-0.92 (1)	-0.59 (7)	-17 (7)	-106 (7)	40 (10-II-4)
142	14	-0.49 (7)	-0.94 (1)	-0.65 (7)	-26 (7)	-176 (7)	32 (10-II-4)
142	15	-0.54 (3)	-0.96 (1)	-0.67 (7)	-35 (7)	-249 (7)	26 (4)
142	16	-0.67 (3)	-0.96 (1)	-0.62 (7)	-49 (7)	-325 (7)	47 (4)
143	1	-0.60 (1)	-0.91 (5)	0.57 (4)	-185 (2)	-256 (2)	-24 (4)
143	2	-0.61 (3)	-0.88 (5)	0.58 (4)	-219 (2)	-330 (5)	-25 (4)
143	3	-0.65 (4)	-0.87 (5)	0.59 (4)	-231 (5)	-347 (5)	-30 (10-II-4)
143	4	-0.69 (4)	-0.87 (5)	0.58 (4)	-222 (5)	-310 (5)	-43 (10-II-4)
143	5	-0.53 (1)	-0.81 (5)	0.53 (7)	-117 (5)	-238 (5)	-53 (2)
143	6	-0.49 (3)	-0.80 (5)	0.55 (7)	-142 (5)	-311 (5)	-39 (2)
143	7	-0.52 (4)	-0.79 (5)	0.56 (7)	-151 (5)	-328 (5)	-31 (10-II-4)
143	8	-0.55 (4)	-0.79 (5)	0.56 (7)	-143 (5)	-289 (5)	-43 (10-II-4)
143	9	-0.44 (1)	-0.60 (5)	0.51 (7)	-54 (5)	-192 (5)	-78 (2)
143	10	-0.40 (1)	-0.59 (5)	0.54 (7)	-68 (5)	-253 (5)	-53 (2)
143	11	-0.40 (4)	-0.58 (5)	0.56 (7)	-72 (5)	-265 (5)	-32 (10-II-4)
143	12	-0.41 (4)	-0.58 (5)	0.57 (7)	-66 (5)	-228 (5)	-39 (10-II-4)
143	13	-0.33 (1)	0.40 (4)	0.44 (7)	-64 (10-II-4)	-140 (5)	-83 (2)
143	14	-0.30 (1)	0.45 (4)	0.47 (7)	-69 (10-II-4)	-182 (5)	-56 (2)
143	15	-0.28 (1)	0.51 (4)	0.50 (7)	-69 (10-II-4)	-187 (5)	-34 (10-II-4)
143	16	-0.28 (4)	0.56 (4)	0.52 (7)	-65 (10-II-4)	-156 (5)	-37 (4)
144	1	-0.81 (1)	-0.58 (3)	0.16 (4)	322 (2)	209 (1)	-50 (4)
144	2	-0.75 (1)	-0.47 (1)	0.13 (4)	307 (2)	137 (2)	-42 (6)
144	3	-0.59 (1)	-0.39 (1)	0.11 (2)	255 (2)	69 (2)	-56 (2)
144	4	-0.39 (1)	-0.29 (1)	0.11 (2)	192 (2)	56 (9-I-4)	-60 (2)
144	5	-0.89 (1)	-0.62 (1)	0.16 (4)	187 (2)	154 (1)	-47 (4)
144	6	-0.79 (1)	-0.55 (1)	0.14 (4)	174 (2)	97 (2)	-58 (6)
144	7	-0.60 (1)	-0.45 (1)	0.14 (6)	146 (2)	47 (2)	-80 (5)
144	8	-0.38 (1)	-0.33 (1)	0.13 (2)	117 (2)	51 (10-II-4)	-85 (5)
144	9	-0.97 (1)	-0.75 (1)	0.19 (4)	103 (4)	74 (2)	-37 (7)
144	10	-0.83 (1)	-0.67 (1)	0.18 (4)	124 (4)	39 (2)	-62 (6)
144	11	-0.60 (1)	-0.53 (1)	0.16 (4)	136 (4)	31 (10-II-4)	-82 (5)
144	12	-0.37 (5)	-0.37 (1)	0.15 (4)	145 (4)	40 (10-II-4)	-86 (5)

**POTENZIAMENTO DELL'IMPIANTO DI DEPURAZIONE E
DEL RECAPITO FINALE DI SQUINZANO (LE)
PROGETTO DEFINITIVO
Tabulati di calcolo strutturale-Filtrazione**

R.37.9

Maggio 2021

Pagina 82 di 364

Muro	Pann.	Sxx	Syy	Sxy	Mxx	Myy	Mxy
144	13	-1.04(5)	-1.00(1)	0.26(4)	-501(1)	25(4)	-36(7)
144	14	-0.85(5)	-0.85(1)	0.25(4)	-458(1)	34(4)	-46(6)
144	15	-0.60(5)	-0.64(1)	0.22(4)	-351(1)	38(4)	-48(5)
144	16	-0.35(5)	-0.43(1)	0.19(7)	275(4)	46(4)	-49(5)
145	1	-0.62(1)	-0.62(1)	-0.14(5)	-365(2)	30(1)	-37(10-II-4)
145	2	-0.60(1)	-0.54(1)	-0.12(10-II-4)	-342(2)	-23(7)	-35(10-II-4)
145	3	-0.52(2)	-0.44(1)	-0.10(10-II-4)	-278(2)	-23(6)	43(1)
145	4	-0.38(2)	-0.32(1)	-0.07(10-II-1)	-204(2)	-26(6)	45(1)
145	5	-0.65(1)	-0.60(4)	0.15(4)	-88(4)	128(1)	-59(10-II-4)
145	6	-0.63(1)	-0.50(4)	-0.10(10-II-4)	-104(4)	79(1)	-56(10-II-4)
145	7	-0.54(2)	-0.39(4)	-0.08(10-II-4)	-115(4)	-38(7)	58(1)
145	8	-0.39(2)	-0.28(4)	-0.05(10-II-1)	-122(4)	28(9-I-4)	61(1)
145	9	-0.68(1)	-0.64(4)	0.17(4)	289(1)	203(1)	-56(10-II-4)
145	10	-0.66(1)	-0.52(4)	0.11(4)	272(1)	134(1)	-53(10-II-4)
145	11	-0.55(1)	-0.40(4)	0.07(4)	222(1)	67(1)	-54(4)
145	12	-0.39(2)	-0.29(4)	0.05(2)	160(1)	47(9-I-4)	-54(4)
145	13	-0.73(1)	-0.63(4)	0.17(4)	361(2)	229(1)	-46(4)
145	14	-0.70(1)	-0.50(4)	0.12(4)	346(2)	153(1)	-43(4)
145	15	-0.58(1)	-0.38(4)	0.08(4)	285(2)	78(1)	-40(10-II-4)
145	16	-0.39(2)	-0.27(4)	0.08(2)	210(2)	56(9-I-4)	-39(10-II-4)
146	1	-0.42(8)	0.87(7)	-0.35(3)	86(6)	451(6)	118(5)
146	2	-0.52(5)	0.82(7)	-0.35(3)	91(6)	585(6)	149(5)
146	3	-0.59(6)	0.78(7)	-0.41(8)	98(6)	730(6)	172(5)
146	4	-0.64(6)	0.75(7)	-0.48(8)	129(6)	912(5)	-92(3)
146	5	-0.41(5)	1.00(6)	-0.34(3)	84(6)	472(6)	118(5)
146	6	-0.45(5)	0.96(6)	-0.34(3)	89(6)	607(6)	147(5)
146	7	-0.49(5)	0.91(6)	-0.39(8)	98(6)	755(6)	170(5)
146	8	-0.55(6)	0.88(6)	-0.46(5)	121(5)	910(5)	88(6)
146	9	-0.35(5)	1.16(6)	-0.31(3)	79(6)	490(6)	115(5)
146	10	-0.37(5)	1.13(6)	-0.32(3)	85(6)	627(6)	143(5)
146	11	-0.42(8)	1.07(6)	-0.37(8)	95(6)	778(6)	167(5)
146	12	-0.48(8)	1.01(6)	-0.44(5)	116(6)	932(6)	89(6)
146	13	-0.29(5)	1.35(6)	-0.28(3)	73(6)	509(6)	110(5)
146	14	-0.30(8)	1.30(6)	-0.30(3)	78(6)	647(6)	139(5)
146	15	-0.36(8)	1.22(6)	-0.35(8)	88(6)	801(6)	163(5)
146	16	-0.42(8)	1.15(6)	-0.42(8)	112(6)	958(6)	90(6)
147	1	-2.47(5)	-3.18(5)	1.31(5)	-289(5)	-169(1)	-146(2)
147	2	-3.19(5)	-2.66(5)	1.12(5)	-194(5)	91(6)	-145(3)
147	3	-3.31(5)	-1.94(5)	-0.82(4)	-86(5)	291(1)	-163(3)
147	4	-2.19(5)	-1.51(5)	-0.64(7)	52(1)	675(1)	-172(3)
147	5	-2.02(5)	-1.35(5)	-0.68(4)	-177(2)	190(7)	-110(3)
147	6	-2.09(5)	1.14(4)	-0.61(4)	-102(2)	249(6)	-126(3)
147	7	-1.91(5)	1.02(4)	-0.54(7)	-23(2)	480(5)	158(6)
147	8	-1.46(7)	1.01(4)	-0.66(8)	75(5)	861(5)	-152(3)
147	9	-1.33(5)	0.87(4)	-0.49(4)	-99(1)	269(6)	93(6)
147	10	-1.34(5)	0.80(4)	-0.46(4)	-53(1)	396(6)	141(6)
147	11	-1.26(6)	0.75(4)	-0.51(8)	64(6)	583(5)	184(6)
147	12	-1.13(6)	0.75(4)	-0.61(8)	98(5)	909(5)	-130(3)
147	13	-0.79(5)	0.68(7)	-0.40(3)	75(6)	387(6)	121(5)
147	14	-0.82(5)	0.65(7)	-0.40(3)	85(6)	519(6)	154(5)
147	15	-0.83(6)	0.61(7)	-0.46(8)	95(6)	663(6)	178(5)
147	16	-0.82(6)	0.56(7)	-0.53(8)	112(5)	911(5)	115(6)
148	1	-0.39(7)	-0.71(1)	-0.51(7)	-15(7)	-110(7)	41(10-II-4)
148	2	-0.35(4)	-0.70(1)	-0.56(7)	-25(7)	-183(7)	33(10-II-4)
148	3	-0.37(2)	-0.70(1)	-0.58(7)	-34(7)	-258(7)	27(4)
148	4	-0.53(3)	-0.71(1)	-0.57(7)	-62(7)	-340(7)	59(4)
148	5	-0.35(7)	-0.67(1)	-0.49(7)	-15(7)	-111(7)	40(10-II-4)
148	6	-0.36(7)	-0.67(1)	-0.55(7)	-25(7)	-183(7)	32(10-II-4)
148	7	-0.41(3)	-0.66(1)	-0.57(7)	-35(7)	-260(7)	27(4)
148	8	-0.57(8)	-0.66(1)	-0.55(7)	-59(7)	-341(7)	58(4)
148	9	-0.33(7)	0.67(7)	-0.48(7)	-15(7)	-112(7)	40(10-II-4)
148	10	-0.34(7)	-0.63(1)	-0.53(7)	-24(7)	-184(7)	32(10-II-4)
148	11	-0.40(3)	-0.62(1)	-0.56(7)	-35(7)	-262(7)	26(4)
148	12	-0.57(8)	-0.62(1)	-0.54(7)	-57(7)	-342(7)	56(4)
148	13	-0.30(7)	0.66(7)	-0.46(7)	-14(7)	-112(7)	39(10-II-4)
148	14	-0.31(4)	-0.59(1)	-0.51(7)	-24(7)	-185(7)	31(10-II-4)
148	15	-0.38(3)	-0.58(1)	-0.54(7)	-35(7)	-263(7)	25(4)
148	16	-0.54(8)	-0.58(1)	-0.53(7)	-56(7)	-343(7)	55(4)
149	1	-0.23(1)	0.66(7)	0.49(7)	-46(10-II-3)	61(4)	-48(4)
149	2	-0.23(1)	0.73(7)	0.51(7)	-33(10-II-3)	99(2)	53(1)
149	3	-0.23(1)	0.78(7)	0.51(7)	36(1)	245(2)	-46(7)
149	4	-0.21(1)	0.82(7)	0.51(7)	55(2)	418(2)	-21(5)
149	5	-0.21(1)	0.68(7)	0.47(7)	-42(10-II-3)	59(4)	-48(4)
149	6	-0.22(1)	0.75(7)	0.50(7)	30(1)	100(2)	54(1)
149	7	-0.23(1)	0.80(7)	0.50(7)	37(1)	240(2)	-47(7)
149	8	-0.23(1)	0.85(7)	0.50(7)	52(2)	405(2)	-20(5)

**POTENZIAMENTO DELL'IMPIANTO DI DEPURAZIONE E
DEL RECAPITO FINALE DI SQUINZANO (LE)
PROGETTO DEFINITIVO
Tabulati di calcolo strutturale-Filtrazione**

R.37.9

Maggio 2021

Pagina 83 di 364

Muro	Pann.	Sxx	Syy	Sxy	Mxx	Myy	Mxy
149	9	-0.20(1)	0.70(7)	0.46(7)	-38(10-II-3)	58(4)	-47(4)
149	10	-0.21(1)	0.77(7)	0.49(7)	31(1)	102(2)	55(1)
149	11	-0.22(1)	0.83(7)	0.49(7)	38(1)	235(2)	-47(7)
149	12	-0.22(1)	0.89(7)	0.48(7)	50(2)	391(2)	-19(5)
149	13	-0.19(1)	0.71(7)	0.45(7)	-33(10-II-3)	56(4)	-47(7)
149	14	-0.20(1)	0.79(7)	0.47(7)	32(1)	103(2)	55(1)
149	15	-0.21(1)	0.85(7)	0.48(7)	38(1)	230(2)	-47(7)
149	16	-0.22(1)	0.92(7)	0.48(7)	49(1)	376(2)	-19(5)
150	1	1.08(7)	-0.23(1)	-0.23(5)	324(1)	-61(7)	100(5)
150	2	1.06(7)	-0.24(1)	-0.23(5)	336(1)	-61(7)	101(5)
150	3	1.05(7)	-0.27(5)	-0.24(5)	348(1)	-61(7)	100(5)
150	4	1.07(7)	-0.36(5)	-0.22(5)	359(1)	-62(7)	99(5)
150	5	1.09(7)	-0.22(1)	0.22(4)	-291(7)	-55(7)	110(5)
150	6	1.06(7)	-0.24(1)	-0.23(5)	-292(7)	-55(7)	110(5)
150	7	1.04(7)	-0.25(1)	-0.22(5)	300(1)	-56(7)	109(5)
150	8	1.01(7)	-0.26(1)	0.22(4)	308(1)	-55(7)	109(5)
150	9	1.09(7)	-0.21(1)	0.22(4)	-261(7)	-50(7)	120(5)
150	10	1.06(7)	-0.23(1)	0.23(4)	-263(7)	-50(7)	120(5)
150	11	1.03(7)	-0.24(2)	0.24(4)	-263(7)	-51(7)	119(5)
150	12	1.00(7)	-0.29(5)	0.22(4)	-261(7)	-51(7)	119(5)
150	13	1.09(7)	-0.22(1)	0.22(4)	-232(7)	-47(7)	129(5)
150	14	1.06(7)	-0.23(1)	0.22(4)	-234(7)	-47(7)	128(5)
150	15	1.03(7)	-0.23(1)	0.22(4)	-234(7)	-48(7)	126(5)
150	16	1.00(7)	-0.40(5)	-0.24(5)	-231(7)	-49(7)	124(5)
151	1	-0.33(3)	1.01(7)	0.30(5)	-49(10-II-4)	-88(10-II-4)	-138(5)
151	2	-0.40(3)	1.01(7)	0.31(5)	-62(10-II-3)	-248(1)	-113(5)
151	3	-0.39(3)	0.98(7)	-0.32(3)	-62(3)	-347(1)	-57(7)
151	4	-0.38(5)	0.92(7)	-0.34(3)	72(6)	304(7)	-71(4)
151	5	-0.25(3)	1.05(7)	0.28(5)	-44(10-II-4)	-89(7)	-142(5)
151	6	-0.27(3)	1.06(7)	0.30(5)	-53(10-II-3)	-241(1)	-114(5)
151	7	-0.30(5)	1.05(7)	-0.30(3)	-54(3)	-336(1)	-55(7)
151	8	-0.42(5)	1.00(7)	-0.32(3)	71(6)	304(7)	-72(4)
151	9	-0.23(1)	1.09(7)	0.26(5)	-39(10-II-4)	-92(7)	-144(5)
151	10	-0.24(3)	1.12(7)	0.28(5)	-45(10-II-3)	-232(1)	-113(5)
151	11	-0.28(5)	1.11(7)	-0.28(3)	51(6)	-325(1)	-53(7)
151	12	-0.36(5)	1.14(6)	-0.29(3)	69(6)	305(7)	-70(4)
151	13	-0.22(1)	1.13(7)	0.25(5)	-34(10-II-4)	-95(7)	-145(5)
151	14	-0.23(2)	1.17(7)	0.27(5)	-38(10-II-3)	-224(1)	-111(5)
151	15	-0.27(5)	1.17(7)	-0.26(3)	49(6)	-313(1)	-52(7)
151	16	-0.32(5)	1.31(6)	-0.26(3)	64(6)	308(6)	-69(4)
152	1	-0.25(1)	0.39(7)	0.37(7)	-57(10-II-4)	-143(10-II-4)	-77(2)
152	2	-0.24(1)	0.46(7)	0.40(7)	-60(10-II-4)	-142(5)	-53(2)
152	3	-0.23(4)	0.53(7)	0.43(7)	-59(10-II-4)	-144(5)	-35(10-II-4)
152	4	-0.23(4)	0.59(7)	0.46(7)	-55(10-II-4)	-116(5)	-37(4)
152	5	-0.25(1)	0.39(7)	0.36(7)	-53(10-II-4)	-142(10-II-4)	-77(2)
152	6	-0.23(1)	0.46(7)	0.39(7)	-56(10-II-4)	-137(5)	-53(2)
152	7	-0.22(1)	0.53(7)	0.42(7)	-55(10-II-4)	-138(5)	-35(10-II-4)
152	8	-0.21(1)	0.61(7)	0.45(7)	-51(10-II-4)	-110(5)	-37(4)
152	9	-0.24(1)	0.39(7)	0.35(7)	-49(10-II-4)	-142(10-II-4)	-76(2)
152	10	-0.22(1)	0.46(7)	0.38(7)	-51(10-II-4)	-132(10-II-4)	-53(2)
152	11	-0.21(1)	0.54(7)	0.41(7)	-50(10-II-4)	-131(5)	-35(10-II-4)
152	12	-0.20(1)	0.62(7)	0.43(7)	-46(10-II-4)	-104(5)	-36(4)
152	13	-0.23(1)	0.39(7)	0.33(7)	-44(10-II-4)	-142(10-II-4)	-75(2)
152	14	-0.21(1)	0.47(7)	0.36(7)	-46(10-II-4)	-131(10-II-4)	-52(2)
152	15	-0.20(1)	0.55(7)	0.39(7)	-45(10-II-4)	-125(5)	-35(10-II-4)
152	16	-0.19(1)	0.63(7)	0.42(7)	-41(10-II-3)	-98(5)	-36(4)
153	1	-0.41(2)	-0.25(1)	0.23(7)	-33(4)	-273(4)	39(7)
153	2	-0.35(1)	-0.24(1)	0.27(7)	-32(10-II-4)	-206(4)	-71(2)
153	3	-0.30(1)	0.27(7)	0.31(7)	-42(10-II-4)	-144(4)	-88(2)
153	4	-0.27(1)	0.32(7)	0.34(7)	-51(10-II-4)	-140(10-II-4)	-89(2)
153	5	-0.39(3)	-0.22(1)	0.22(7)	-31(4)	-272(4)	39(7)
153	6	-0.32(1)	0.22(4)	0.26(7)	-30(10-II-4)	-205(4)	-71(2)
153	7	-0.30(1)	0.27(7)	0.30(7)	-40(10-II-4)	-145(4)	-88(2)
153	8	-0.27(1)	0.32(7)	0.33(7)	-47(10-II-4)	-140(10-II-4)	-89(2)
153	9	-0.38(3)	-0.20(1)	0.22(7)	-31(4)	-269(4)	38(7)
153	10	-0.31(1)	0.22(4)	0.25(7)	-29(4)	-204(4)	-71(2)
153	11	-0.28(1)	0.26(7)	0.29(7)	-36(10-II-4)	-145(4)	-88(2)
153	12	-0.26(1)	0.32(7)	0.32(7)	-43(10-II-4)	-140(10-II-4)	-88(2)
153	13	-0.38(3)	-0.18(1)	0.21(7)	-31(4)	-267(4)	37(7)
153	14	-0.30(3)	0.21(4)	0.24(7)	-28(4)	-203(4)	-70(2)
153	15	-0.27(1)	0.26(7)	0.27(7)	-33(10-II-4)	-146(4)	-87(2)
153	16	-0.25(1)	0.32(7)	0.30(7)	-39(10-II-4)	-140(10-II-4)	-88(2)
154	1	-0.28(5)	-0.23(4)	0.10(2)	158(2)	41(9-I-4)	-56(2)
154	2	-0.26(5)	-0.22(1)	0.10(2)	153(2)	36(9-I-4)	-56(2)
154	3	-0.24(5)	-0.21(1)	0.09(2)	148(2)	31(9-I-4)	-55(2)
154	4	-0.22(5)	-0.20(1)	0.09(2)	142(2)	27(9-I-4)	-55(2)

**POTENZIAMENTO DELL'IMPIANTO DI DEPURAZIONE E
DEL RECAPITO FINALE DI SQUINZANO (LE)
PROGETTO DEFINITIVO
Tabulati di calcolo strutturale-Filtrazione**

R.37.9

Maggio 2021

Pagina 84 di 364

Muro	Pann.	Sxx	Syy	Sxy	Mxx	Myy	Mxy
154	5	-0.26(5)	-0.25(1)	0.12(3)	109(10-II-4)	38(10-II-4)	-76(2)
154	6	-0.24(5)	-0.24(1)	0.11(3)	109(10-II-4)	34(10-II-4)	-77(2)
154	7	-0.22(5)	-0.23(1)	0.11(3)	109(10-II-4)	30(10-II-4)	-76(2)
154	8	-0.21(5)	-0.22(1)	0.11(3)	108(10-II-4)	27(4)	-76(2)
154	9	-0.25(5)	-0.29(1)	0.15(8)	149(4)	35(4)	-74(5)
154	10	-0.23(5)	-0.27(1)	0.14(8)	149(4)	35(4)	-75(5)
154	11	-0.21(5)	-0.26(1)	0.14(8)	150(4)	35(4)	-76(5)
154	12	-0.19(5)	-0.24(1)	0.14(8)	150(4)	35(4)	-76(5)
154	13	-0.24(5)	-0.34(1)	0.19(7)	259(4)	50(4)	-42(5)
154	14	-0.21(5)	-0.30(1)	0.18(7)	257(4)	50(4)	-43(5)
154	15	-0.19(5)	-0.28(1)	0.18(7)	254(4)	50(4)	-43(5)
154	16	-0.16(5)	-0.26(1)	0.18(7)	250(4)	49(4)	-43(5)
155	1	-0.48(7)	0.95(7)	-0.10(4)	37(7)	230(7)	34(10-II-4)
155	2	-0.48(7)	0.93(7)	-0.21(7)	20(7)	139(7)	42(10-II-4)
155	3	-0.48(7)	0.88(7)	-0.33(7)	8(7)	55(4)	46(10-II-4)
155	4	-0.45(7)	0.78(7)	-0.43(7)	-7(6)	-32(7)	46(10-II-4)
155	5	-0.38(7)	0.97(7)	-0.10(4)	36(7)	233(7)	33(10-II-4)
155	6	-0.38(7)	0.95(7)	-0.20(7)	20(7)	140(7)	41(10-II-4)
155	7	-0.38(7)	0.89(7)	-0.32(7)	8(7)	55(4)	45(10-II-4)
155	8	-0.37(7)	0.79(7)	-0.42(7)	-7(6)	-33(7)	45(10-II-4)
155	9	-0.34(7)	0.98(7)	-0.09(4)	36(7)	235(7)	32(10-II-4)
155	10	-0.35(7)	0.96(7)	-0.20(7)	20(7)	141(7)	40(10-II-4)
155	11	-0.35(7)	0.89(7)	-0.31(7)	8(7)	55(4)	44(10-II-4)
155	12	-0.34(7)	0.79(7)	-0.40(7)	-7(6)	-33(7)	44(10-II-4)
155	13	-0.34(7)	0.98(7)	-0.09(4)	36(7)	237(7)	31(10-II-4)
155	14	-0.35(7)	0.96(7)	-0.19(7)	20(7)	142(7)	39(10-II-4)
155	15	-0.35(7)	0.90(7)	-0.30(7)	8(7)	56(4)	44(10-II-4)
155	16	-0.33(7)	0.79(7)	-0.39(7)	-7(6)	-33(7)	43(10-II-4)
156	1	-0.30(2)	-0.27(1)	-0.05(10-II-1)	-199(10-II-4)	-27(2)	-33(4)
156	2	-0.28(2)	-0.25(1)	-0.05(10-II-1)	-200(10-II-4)	-27(2)	34(1)
156	3	-0.27(2)	-0.24(1)	-0.05(10-II-1)	-200(10-II-4)	-27(2)	35(1)
156	4	-0.25(2)	-0.23(1)	-0.05(10-II-1)	-200(10-II-4)	-27(2)	35(1)
156	5	-0.30(2)	-0.23(4)	-0.04(10-II-1)	-124(4)	-25(6)	-57(4)
156	6	-0.29(2)	-0.21(4)	-0.04(10-II-1)	-125(4)	-25(6)	-57(4)
156	7	-0.27(2)	-0.20(1)	-0.04(9-I-4)	-126(7)	-24(6)	-56(4)
156	8	-0.26(2)	-0.20(4)	-0.04(9-I-4)	-126(7)	-23(6)	-55(4)
156	9	-0.30(2)	-0.25(4)	0.05(2)	127(1)	31(9-I-4)	-52(4)
156	10	-0.28(5)	-0.22(4)	0.04(2)	122(1)	-28(6)	-52(4)
156	11	-0.27(5)	-0.21(4)	0.04(2)	117(1)	-27(6)	-51(4)
156	12	-0.25(5)	-0.20(4)	0.04(2)	-113(7)	-26(6)	-50(4)
156	13	-0.29(5)	-0.25(4)	0.08(2)	169(2)	39(9-I-4)	-40(10-II-4)
156	14	-0.27(5)	-0.21(4)	0.07(2)	163(2)	34(9-I-4)	-39(10-II-4)
156	15	-0.26(5)	-0.20(4)	0.07(2)	157(2)	30(9-I-4)	-38(10-II-4)
156	16	-0.24(5)	-0.19(4)	0.07(2)	151(2)	-26(6)	-38(10-II-4)
157	1	-0.47(6)	-0.60(3)	0.41(7)	-51(6)	48(10-II-4)	69(5)
157	2	-0.35(6)	-0.55(2)	0.38(7)	-12(6)	141(5)	53(5)
157	3	-0.29(4)	-0.52(2)	0.36(7)	-26(3)	249(6)	46(1)
157	4	-0.31(4)	0.58(7)	0.34(7)	-47(3)	328(6)	43(10-II-4)
157	5	-0.38(6)	-0.64(3)	0.38(7)	-56(6)	50(10-II-4)	74(5)
157	6	-0.30(6)	-0.57(3)	0.35(7)	-21(6)	133(5)	57(5)
157	7	-0.25(7)	-0.51(3)	0.33(7)	-13(3)	241(6)	45(1)
157	8	-0.26(4)	0.59(7)	0.31(7)	-31(3)	322(6)	43(10-II-4)
157	9	-0.32(6)	-0.67(3)	0.34(7)	-57(6)	53(3)	78(5)
157	10	-0.25(6)	-0.61(3)	0.32(7)	-27(6)	125(5)	60(5)
157	11	-0.21(7)	0.56(6)	0.29(7)	-9(2)	233(6)	43(1)
157	12	-0.22(4)	0.64(6)	0.28(7)	-18(3)	315(6)	42(10-II-4)
157	13	-0.26(6)	-0.71(3)	0.31(7)	-53(6)	59(3)	81(5)
157	14	-0.21(6)	-0.65(3)	0.28(7)	-28(6)	117(5)	61(5)
157	15	-0.18(7)	0.62(6)	0.26(7)	-11(5)	226(6)	42(10-II-4)
157	16	-0.19(4)	0.70(6)	0.24(7)	-11(2)	308(6)	42(10-II-4)
158	1	-1.86(6)	0.91(4)	0.57(3)	107(5)	-93(4)	226(3)
158	2	-1.19(7)	-0.74(5)	0.34(1)	170(5)	183(5)	213(3)
158	3	-1.10(4)	-0.78(5)	0.32(1)	210(5)	235(5)	176(3)
158	4	-1.11(4)	-0.75(5)	0.32(10-II-4)	233(5)	259(5)	130(3)
158	5	-1.32(6)	-0.79(1)	0.61(4)	138(5)	88(5)	139(3)
158	6	-0.88(7)	-0.71(1)	0.48(4)	216(5)	215(5)	151(3)
158	7	-0.84(4)	-0.72(5)	0.37(4)	276(5)	293(5)	140(3)
158	8	-0.88(4)	-0.72(5)	0.36(7)	313(5)	340(6)	115(3)
158	9	-0.94(6)	-0.70(2)	0.55(7)	-84(4)	56(5)	61(3)
158	10	-0.68(6)	-0.68(2)	0.48(7)	-146(4)	200(5)	79(3)
158	11	-0.58(4)	-0.67(2)	0.43(7)	-197(4)	296(6)	86(3)
158	12	-0.63(4)	-0.65(2)	0.42(7)	-232(3)	363(6)	83(3)
158	13	-0.62(6)	-0.63(2)	0.48(7)	13(1)	43(10-II-4)	56(1)
158	14	-0.47(6)	-0.60(2)	0.44(7)	-49(4)	164(5)	55(1)
158	15	-0.39(7)	-0.58(2)	0.41(7)	-83(3)	270(6)	51(1)
158	16	-0.41(4)	0.55(7)	0.39(7)	-112(3)	346(6)	54(3)

**POTENZIAMENTO DELL'IMPIANTO DI DEPURAZIONE E
DEL RECAPITO FINALE DI SQUINZANO (LE)
PROGETTO DEFINITIVO
Tabulati di calcolo strutturale-Filtrazione**

R.37.9

Maggio 2021

Pagina 85 di 364

Muro	Pann.	Sxx	Syy	Sxy	Mxx	Myy	Mxy
159	1	-0.55 (5)	-0.75 (3)	0.71 (6)	-206 (6)	635 (3)	-68 (6)
159	2	-0.53 (6)	-0.71 (3)	0.60 (6)	-173 (6)	456 (3)	44 (1)
159	3	-0.55 (6)	-0.69 (3)	0.50 (6)	-129 (6)	305 (3)	63 (5)
159	4	-0.54 (6)	-0.66 (3)	0.43 (7)	-91 (6)	178 (3)	73 (5)
159	5	-0.48 (6)	-0.73 (3)	0.70 (6)	-233 (6)	625 (3)	-65 (6)
159	6	-0.46 (6)	-0.71 (3)	0.58 (6)	-189 (6)	440 (3)	43 (5)
159	7	-0.46 (6)	-0.71 (3)	0.48 (6)	-135 (6)	298 (3)	73 (5)
159	8	-0.44 (6)	-0.68 (3)	0.40 (7)	-94 (6)	179 (3)	80 (5)
159	9	-0.39 (6)	-0.70 (3)	0.69 (6)	-266 (6)	613 (3)	-52 (6)
159	10	-0.38 (5)	-0.72 (3)	0.54 (6)	-191 (6)	422 (3)	61 (5)
159	11	-0.39 (6)	-0.73 (3)	0.44 (6)	-130 (6)	292 (3)	83 (5)
159	12	-0.36 (6)	-0.71 (3)	0.37 (7)	-91 (6)	180 (3)	88 (5)
159	13	-0.29 (5)	-0.67 (3)	0.62 (6)	-283 (6)	-587 (6)	39 (1)
159	14	-0.33 (6)	-0.75 (3)	0.46 (6)	-164 (6)	402 (3)	79 (5)
159	15	-0.31 (6)	-0.75 (3)	0.40 (6)	-115 (6)	287 (3)	94 (5)
159	16	-0.29 (6)	-0.74 (3)	0.33 (6)	-81 (6)	182 (3)	93 (5)
160	1	-0.31 (4)	0.66 (7)	0.33 (7)	-61 (3)	382 (6)	52 (3)
160	2	-0.29 (4)	0.75 (7)	0.36 (6)	-68 (3)	406 (6)	58 (3)
160	3	-0.26 (4)	0.86 (7)	0.43 (5)	66 (6)	397 (6)	62 (3)
160	4	-0.25 (1)	0.96 (7)	0.48 (5)	61 (6)	360 (6)	74 (4)
160	5	-0.27 (4)	0.68 (7)	0.30 (7)	-44 (3)	376 (6)	50 (3)
160	6	-0.26 (4)	0.79 (7)	0.33 (6)	-51 (3)	401 (6)	57 (3)
160	7	-0.24 (4)	0.90 (6)	0.39 (5)	51 (6)	395 (6)	62 (4)
160	8	-0.22 (4)	1.04 (6)	0.44 (5)	50 (6)	359 (6)	76 (4)
160	9	-0.23 (4)	0.73 (6)	0.27 (7)	-30 (3)	371 (6)	49 (3)
160	10	-0.22 (4)	0.85 (6)	0.29 (6)	-36 (3)	397 (6)	57 (3)
160	11	-0.21 (4)	0.99 (6)	0.35 (5)	38 (6)	392 (6)	63 (4)
160	12	-0.19 (4)	1.13 (6)	0.40 (5)	40 (6)	359 (6)	76 (4)
160	13	-0.19 (4)	0.80 (6)	0.24 (7)	-18 (3)	366 (6)	47 (3)
160	14	-0.19 (4)	0.92 (6)	0.25 (6)	-24 (3)	393 (6)	56 (3)
160	15	-0.18 (4)	1.07 (6)	0.31 (5)	28 (6)	389 (6)	62 (4)
160	16	-0.17 (4)	1.22 (6)	0.36 (5)	31 (6)	359 (6)	75 (4)
161	1	-1.08 (4)	-0.71 (5)	0.54 (5)	239 (5)	273 (6)	75 (3)
161	2	-0.97 (4)	-0.68 (5)	0.77 (6)	228 (5)	278 (6)	55 (5)
161	3	-0.84 (1)	-0.65 (5)	0.99 (6)	200 (5)	266 (6)	121 (5)
161	4	-0.98 (1)	-0.67 (2)	1.16 (6)	144 (5)	235 (6)	187 (5)
161	5	-0.86 (4)	-0.69 (5)	0.49 (6)	328 (5)	369 (6)	79 (3)
161	6	-0.78 (4)	-0.66 (2)	0.70 (6)	317 (5)	379 (6)	45 (10-II-4)
161	7	-0.66 (4)	-0.64 (2)	0.87 (6)	275 (5)	368 (6)	64 (5)
161	8	-0.74 (1)	-0.62 (2)	0.96 (6)	-222 (3)	328 (6)	88 (6)
161	9	-0.63 (4)	-0.62 (2)	0.44 (6)	-253 (3)	403 (6)	70 (3)
161	10	-0.59 (4)	-0.59 (2)	0.58 (6)	-255 (3)	419 (6)	51 (3)
161	11	-0.53 (4)	0.58 (7)	0.70 (5)	-235 (3)	406 (6)	37 (10-II-4)
161	12	-0.52 (1)	0.66 (7)	0.75 (5)	-194 (3)	357 (6)	33 (7)
161	13	-0.42 (4)	0.61 (7)	0.39 (7)	-130 (3)	395 (6)	58 (3)
161	14	-0.41 (4)	0.67 (7)	0.45 (6)	-136 (3)	416 (6)	58 (3)
161	15	-0.38 (4)	0.75 (7)	0.53 (5)	-128 (3)	405 (6)	56 (3)
161	16	-0.34 (4)	0.84 (7)	0.58 (5)	-107 (3)	361 (6)	64 (4)
162	1	-0.27 (1)	1.07 (6)	0.48 (5)	54 (6)	303 (6)	83 (4)
162	2	-0.33 (6)	1.14 (6)	0.43 (5)	45 (6)	240 (6)	81 (4)
162	3	-0.41 (6)	1.17 (6)	0.35 (5)	49 (7)	-300 (1)	87 (7)
162	4	-0.47 (5)	1.15 (6)	0.27 (5)	57 (7)	-372 (1)	141 (6)
162	5	-0.23 (1)	1.15 (6)	0.45 (5)	47 (6)	308 (6)	84 (4)
162	6	-0.26 (6)	1.23 (6)	0.42 (5)	43 (6)	254 (6)	83 (4)
162	7	-0.30 (6)	1.26 (6)	0.35 (5)	48 (7)	-303 (1)	87 (7)
162	8	-0.36 (6)	1.26 (6)	0.26 (5)	56 (7)	-375 (1)	138 (6)
162	9	-0.19 (1)	1.25 (6)	0.42 (5)	41 (6)	313 (6)	84 (4)
162	10	-0.20 (6)	1.33 (6)	0.40 (5)	41 (6)	266 (6)	83 (4)
162	11	-0.23 (6)	1.37 (6)	0.35 (5)	45 (7)	-306 (1)	87 (7)
162	12	-0.29 (6)	1.37 (6)	0.25 (5)	56 (7)	-377 (1)	136 (6)
162	13	-0.16 (1)	1.35 (6)	0.38 (5)	35 (6)	317 (6)	83 (4)
162	14	-0.16 (1)	1.45 (6)	0.37 (5)	39 (6)	279 (6)	82 (4)
162	15	-0.16 (6)	1.49 (6)	0.33 (5)	42 (6)	-309 (1)	87 (7)
162	16	-0.22 (6)	1.50 (6)	0.24 (5)	54 (7)	-378 (1)	135 (6)
163	1	-0.92 (1)	-0.92 (1)	-0.86 (6)	-48 (1)	-486 (1)	-135 (3)
163	2	-0.70 (1)	-0.97 (1)	-0.60 (6)	31 (4)	-274 (1)	-198 (1)
163	3	-0.61 (1)	-0.81 (1)	-0.54 (6)	51 (4)	-133 (1)	-252 (1)
163	4	-0.62 (1)	-0.66 (1)	-0.52 (6)	68 (3)	47 (6)	-280 (1)
163	5	-0.66 (1)	-0.59 (2)	-0.76 (6)	-49 (1)	-693 (1)	108 (6)
163	6	-0.64 (1)	-0.59 (2)	-0.66 (6)	24 (4)	-431 (1)	-157 (1)
163	7	-0.60 (1)	-0.58 (2)	-0.53 (6)	67 (2)	-232 (1)	-200 (1)
163	8	-0.58 (1)	-0.55 (2)	-0.46 (6)	123 (2)	94 (6)	-229 (1)
163	9	-0.49 (1)	-0.51 (3)	-0.69 (6)	-78 (3)	-800 (1)	95 (6)
163	10	-0.48 (1)	-0.51 (3)	-0.60 (6)	41 (6)	-533 (1)	-102 (1)
163	11	-0.48 (1)	-0.50 (3)	-0.52 (6)	36 (2)	-318 (1)	-128 (1)
163	12	-0.47 (1)	-0.49 (3)	-0.45 (6)	91 (2)	-147 (1)	-150 (1)

**POTENZIAMENTO DELL'IMPIANTO DI DEPURAZIONE E
DEL RECAPITO FINALE DI SQUINZANO (LE)
PROGETTO DEFINITIVO
Tabulati di calcolo strutturale-Filtrazione**

R.37.9

Maggio 2021

Pagina 86 di 364

Muro	Pann.	Sxx	Syy	Sxy	Mxx	Myy	Mxy
163	13	-0.33(1)	-0.50(3)	-0.58(6)	-117(3)	-832(1)	94(6)
163	14	-0.33(1)	-0.48(3)	-0.52(6)	-78(1)	-579(1)	70(6)
163	15	-0.33(1)	-0.47(3)	-0.45(6)	47(6)	-367(1)	-72(1)
163	16	-0.33(1)	-0.47(3)	-0.40(6)	41(9-I-2)	-195(1)	-82(1)
164	1	-0.68(1)	-0.51(1)	-0.48(6)	86(3)	56(2)	-292(1)
164	2	-0.79(1)	-0.41(2)	0.44(1)	94(3)	106(2)	-277(1)
164	3	-0.91(1)	-0.34(2)	0.39(1)	-98(9-II-1)	131(2)	-244(1)
164	4	-1.02(1)	-0.28(2)	0.31(1)	-110(9-II-1)	141(2)	-199(1)
164	5	-0.58(1)	-0.50(2)	-0.40(6)	186(2)	64(2)	-249(1)
164	6	-0.63(1)	-0.44(2)	-0.34(6)	250(2)	163(2)	-249(1)
164	7	-0.70(1)	-0.38(2)	-0.30(6)	298(2)	221(2)	-227(1)
164	8	-0.76(1)	-0.34(2)	-0.25(6)	332(2)	255(2)	-190(1)
164	9	-0.47(1)	-0.47(3)	-0.37(6)	160(2)	40(4)	-169(1)
164	10	-0.49(1)	-0.43(3)	-0.31(6)	235(2)	174(2)	-177(1)
164	11	-0.52(1)	-0.40(3)	-0.25(6)	297(2)	262(2)	-170(1)
164	12	-0.56(1)	-0.37(3)	-0.21(6)	346(2)	319(2)	-148(1)
164	13	-0.33(1)	-0.46(3)	-0.33(6)	81(2)	63(6)	-95(1)
164	14	-0.34(1)	-0.44(3)	-0.26(6)	146(2)	158(2)	-107(1)
164	15	-0.36(1)	-0.42(3)	-0.21(6)	200(2)	268(2)	-110(1)
164	16	-0.37(1)	-0.40(3)	-0.17(6)	244(2)	345(2)	102(6)
165	1	-0.15(1)	-1.43(3)	-0.49(6)	21(6)	203(6)	-46(8)
165	2	-0.18(1)	-1.32(3)	-0.44(6)	28(6)	263(6)	-49(3)
165	3	-0.23(1)	-1.16(3)	-0.44(6)	41(6)	337(6)	-56(3)
165	4	-0.39(6)	-1.01(3)	-0.47(6)	40(6)	420(6)	72(6)
165	5	-0.10(1)	-1.49(3)	-0.35(6)	15(6)	209(6)	-44(8)
165	6	-0.13(1)	-1.38(3)	-0.33(5)	21(6)	273(6)	-46(3)
165	7	-0.19(1)	-1.24(3)	-0.38(5)	35(6)	354(6)	-55(3)
165	8	-0.41(6)	-1.06(1)	-0.42(6)	45(6)	456(6)	72(6)
165	9	-0.08(6)	-1.55(3)	-0.21(6)	8(6)	214(6)	-38(8)
165	10	-0.09(5)	-1.45(3)	-0.20(5)	10(6)	279(6)	-39(3)
165	11	-0.11(5)	-1.40(3)	-0.28(5)	24(6)	372(6)	-50(3)
165	12	-0.33(6)	-1.26(1)	-0.38(5)	45(6)	498(6)	77(6)
165	13	-0.14(6)	-1.60(3)	-0.07(5)	2(6)	214(6)	-20(8)
165	14	-0.08(6)	-1.52(3)	-0.08(5)	2(6)	280(6)	-20(3)
165	15	-0.09(6)	-1.54(3)	-0.07(5)	3(6)	369(6)	-23(3)
165	16	-0.27(5)	-2.05(1)	-0.34(5)	38(6)	581(6)	84(6)
166	1	-0.87(3)	-0.68(2)	-0.96(6)	147(3)	51(7)	-38(6)
166	2	-0.78(3)	-0.77(2)	-0.92(6)	111(3)	66(7)	-15(6)
166	3	-0.74(1)	-0.88(2)	-0.82(6)	60(3)	97(6)	-19(1)
166	4	-0.80(1)	-0.96(3)	-0.66(6)	59(6)	145(6)	53(6)
166	5	-0.67(3)	-0.94(2)	-1.13(6)	42(7)	100(7)	-35(5)
166	6	-0.63(1)	-1.02(2)	-1.05(6)	40(7)	128(6)	-46(3)
166	7	-0.70(1)	-1.11(1)	-0.91(6)	36(7)	162(6)	-63(3)
166	8	-0.87(1)	-1.24(1)	-0.66(6)	37(6)	-193(3)	70(6)
166	9	-0.47(3)	-1.04(3)	-1.11(6)	33(7)	145(6)	-47(3)
166	10	-0.49(1)	-1.08(3)	-1.02(6)	32(7)	184(6)	-58(3)
166	11	-0.55(1)	-1.12(3)	-0.88(6)	32(6)	224(6)	-66(3)
166	12	-0.64(1)	-1.19(3)	-0.69(6)	33(6)	260(6)	67(6)
166	13	-0.28(1)	-1.28(3)	-0.81(6)	29(6)	183(6)	-47(8)
166	14	-0.33(1)	-1.19(3)	-0.74(6)	34(6)	235(6)	-55(3)
166	15	-0.36(1)	-1.10(3)	-0.68(6)	39(6)	292(6)	-61(3)
166	16	-0.43(6)	-1.03(3)	-0.59(6)	40(6)	350(6)	65(6)
167	1	-0.30(1)	-0.37(2)	-0.13(1)	190(1)	424(1)	71(2)
167	2	-0.28(1)	-0.38(2)	-0.15(1)	169(1)	380(1)	84(2)
167	3	-0.27(1)	-0.40(2)	-0.17(1)	142(1)	315(1)	90(2)
167	4	-0.25(4)	-0.42(2)	-0.18(1)	109(1)	224(1)	86(2)
167	5	-0.25(1)	-0.38(2)	-0.11(1)	155(1)	427(1)	68(2)
167	6	-0.24(1)	-0.39(2)	-0.13(1)	137(1)	381(1)	80(2)
167	7	-0.23(7)	-0.40(2)	-0.15(1)	113(1)	313(1)	84(2)
167	8	-0.22(4)	-0.42(2)	-0.16(1)	84(1)	220(1)	80(2)
167	9	-0.21(1)	-0.40(5)	-0.10(1)	124(1)	430(1)	65(2)
167	10	-0.20(1)	-0.41(5)	-0.12(1)	108(1)	382(1)	76(2)
167	11	-0.20(7)	-0.42(5)	-0.13(1)	88(1)	311(1)	80(2)
167	12	-0.19(7)	-0.42(5)	-0.13(1)	63(1)	215(1)	76(9-II-1)
167	13	-0.18(1)	-0.43(5)	-0.09(1)	96(1)	433(1)	63(5)
167	14	-0.17(7)	-0.44(5)	-0.10(1)	83(1)	383(1)	73(2)
167	15	-0.17(7)	-0.45(5)	-0.11(1)	65(1)	310(1)	76(2)
167	16	-0.16(7)	-0.46(5)	-0.11(1)	45(1)	212(1)	74(9-II-1)
168	1	-0.29(1)	-0.40(3)	-0.11(6)	182(2)	411(3)	84(6)
168	2	-0.31(1)	-0.38(3)	-0.09(6)	201(3)	449(3)	75(6)
168	3	-0.31(1)	-0.36(3)	-0.07(6)	207(3)	461(3)	61(6)
168	4	-0.31(1)	-0.36(2)	-0.09(1)	203(1)	450(1)	60(5)
168	5	-0.25(1)	-0.40(3)	-0.09(6)	148(2)	413(3)	82(6)
168	6	-0.26(1)	-0.39(3)	-0.08(6)	165(3)	453(3)	73(6)
168	7	-0.26(1)	-0.37(3)	-0.07(6)	171(1)	465(3)	61(6)
168	8	-0.26(1)	-0.37(2)	-0.09(1)	167(1)	455(1)	59(5)

**POTENZIAMENTO DELL'IMPIANTO DI DEPURAZIONE E
DEL RECAPITO FINALE DI SQUINZANO (LE)
PROGETTO DEFINITIVO
Tabulati di calcolo strutturale-Filtrazione**

R.37.9

Maggio 2021

Pagina 87 di 364

Muro	Pann.	Sxx	Syy	Sxy	Mxx	Myy	Mxy
168	9	-0.21(1)	-0.41(3)	-0.08(6)	117(3)	415(3)	80(6)
168	10	-0.22(1)	-0.39(3)	-0.07(6)	132(3)	457(3)	72(6)
168	11	-0.22(1)	-0.38(8)	-0.06(6)	138(1)	470(3)	60(6)
168	12	-0.22(1)	-0.39(5)	-0.08(1)	135(1)	459(1)	59(5)
168	13	-0.18(1)	-0.42(3)	-0.07(6)	90(3)	417(3)	78(6)
168	14	-0.18(1)	-0.41(8)	-0.06(6)	103(3)	461(3)	71(6)
168	15	-0.18(1)	-0.41(8)	-0.05(6)	108(1)	474(3)	60(6)
168	16	-0.18(1)	-0.42(5)	-0.07(1)	105(1)	464(1)	58(5)
169	1	-1.17(1)	-0.19(2)	-0.26(1)	-118(9-II-2)	143(3)	144(2)
169	2	-1.11(1)	-0.20(2)	-0.36(1)	-110(9-II-2)	141(3)	195(2)
169	3	-1.05(1)	-0.21(2)	-0.44(1)	-100(9-II-2)	137(1)	240(2)
169	4	-0.96(1)	0.23(7)	-0.52(1)	97(2)	127(1)	277(2)
169	5	-0.88(1)	-0.26(2)	-0.25(1)	359(2)	274(3)	141(2)
169	6	-0.84(1)	-0.27(2)	-0.33(1)	341(3)	263(1)	186(2)
169	7	-0.79(1)	-0.29(2)	-0.41(1)	313(3)	243(1)	223(2)
169	8	-0.72(1)	-0.32(2)	-0.47(1)	272(3)	208(1)	247(2)
169	9	-0.62(1)	-0.32(2)	-0.22(1)	388(3)	361(1)	115(2)
169	10	-0.59(1)	-0.33(2)	-0.28(1)	360(3)	337(1)	147(2)
169	11	-0.56(1)	-0.35(2)	-0.33(1)	319(1)	298(1)	169(2)
169	12	-0.51(1)	-0.39(2)	-0.37(1)	269(1)	238(1)	178(2)
169	13	-0.40(1)	-0.35(2)	-0.16(1)	285(1)	408(1)	86(2)
169	14	-0.38(1)	-0.37(2)	-0.20(1)	260(1)	371(1)	105(2)
169	15	-0.36(1)	-0.39(2)	-0.23(1)	226(1)	315(1)	116(2)
169	16	-0.34(1)	-0.42(2)	-0.26(1)	183(1)	235(1)	115(2)
170	1	-1.09(1)	-0.25(2)	-0.23(6)	-118(9-II-2)	144(2)	-143(1)
170	2	-1.13(1)	-0.23(2)	-0.17(6)	-124(9-II-2)	145(3)	107(6)
170	3	-1.17(1)	-0.21(2)	-0.11(6)	-126(9-II-2)	145(3)	70(6)
170	4	-1.19(1)	-0.20(2)	-0.14(1)	-123(9-II-2)	144(3)	85(2)
170	5	-0.82(1)	-0.30(2)	-0.20(6)	355(2)	274(2)	-140(1)
170	6	-0.86(1)	-0.28(2)	-0.15(6)	369(2)	284(3)	104(6)
170	7	-0.89(1)	-0.26(2)	-0.11(6)	373(2)	287(3)	70(6)
170	8	-0.90(1)	-0.25(2)	-0.15(1)	370(2)	283(3)	84(2)
170	9	-0.59(1)	-0.34(3)	-0.17(6)	382(2)	356(3)	115(6)
170	10	-0.62(1)	-0.32(3)	-0.13(6)	406(2)	377(3)	93(6)
170	11	-0.64(1)	-0.31(3)	-0.11(6)	414(3)	383(3)	67(6)
170	12	-0.64(1)	-0.31(2)	-0.14(1)	407(3)	376(3)	72(2)
170	13	-0.39(1)	-0.38(3)	-0.13(6)	278(2)	398(3)	95(6)
170	14	-0.41(1)	-0.36(3)	-0.11(6)	300(3)	430(3)	81(6)
170	15	-0.41(1)	-0.35(3)	-0.09(6)	308(3)	440(3)	63(6)
170	16	-0.41(1)	-0.34(2)	-0.12(1)	302(3)	430(1)	62(5)
171	1	-0.24(1)	-0.46(3)	-0.28(6)	37(9-I-2)	79(6)	67(6)
171	2	-0.25(1)	-0.45(3)	-0.22(6)	77(2)	142(2)	79(6)
171	3	-0.27(1)	-0.43(3)	-0.17(6)	119(2)	262(2)	86(6)
171	4	-0.28(1)	-0.42(3)	-0.14(6)	154(2)	348(2)	88(6)
171	5	-0.22(1)	-0.46(3)	-0.26(6)	27(9-I-2)	84(6)	63(6)
171	6	-0.22(1)	-0.45(3)	-0.21(6)	54(2)	136(2)	74(6)
171	7	-0.23(1)	-0.44(3)	-0.16(6)	92(2)	258(2)	82(6)
171	8	-0.24(1)	-0.42(3)	-0.12(6)	123(2)	348(2)	85(6)
171	9	-0.19(1)	-0.46(3)	-0.24(6)	19(9-I-2)	88(6)	60(6)
171	10	-0.19(1)	-0.46(3)	-0.19(6)	36(2)	129(2)	72(6)
171	11	-0.20(1)	-0.44(3)	-0.14(6)	69(2)	255(2)	79(6)
171	12	-0.21(1)	-0.43(3)	-0.11(6)	96(2)	347(2)	82(6)
171	13	-0.16(1)	-0.47(3)	-0.21(6)	17(7)	92(6)	59(6)
171	14	-0.16(1)	-0.46(3)	-0.16(6)	23(3)	123(2)	70(6)
171	15	-0.17(1)	-0.45(3)	-0.12(6)	49(2)	251(2)	77(6)
171	16	-0.17(1)	-0.43(3)	-0.09(6)	72(2)	347(2)	80(6)
172	1	-0.26(1)	-0.46(3)	-0.51(6)	-156(1)	-838(1)	107(6)
172	2	-0.25(1)	-0.47(3)	-0.44(6)	-119(1)	-586(1)	67(6)
172	3	-0.24(1)	-0.46(3)	-0.39(6)	-76(1)	-381(1)	58(6)
172	4	-0.24(1)	-0.46(3)	-0.34(6)	37(6)	-217(1)	59(6)
172	5	-0.25(6)	0.48(6)	-0.46(6)	-168(1)	-841(1)	110(6)
172	6	-0.22(1)	-0.45(3)	-0.40(6)	-129(1)	-578(1)	67(6)
172	7	-0.22(1)	-0.46(3)	-0.35(6)	-84(1)	-381(1)	55(6)
172	8	-0.21(1)	-0.46(3)	-0.31(6)	-43(1)	-223(1)	55(6)
172	9	-0.25(6)	0.52(6)	-0.40(6)	-174(1)	-840(1)	117(6)
172	10	-0.20(1)	-0.44(3)	-0.34(6)	-125(1)	-566(1)	68(6)
172	11	-0.19(1)	-0.45(3)	-0.31(6)	-83(1)	-380(1)	53(6)
172	12	-0.19(1)	-0.46(3)	-0.28(6)	-47(1)	-228(1)	53(6)
172	13	-0.24(6)	0.52(6)	-0.33(5)	-160(1)	-822(1)	134(6)
172	14	-0.18(1)	-0.44(3)	-0.29(6)	-104(1)	-546(1)	70(6)
172	15	-0.17(1)	-0.46(3)	-0.28(6)	-74(1)	-378(1)	52(6)
172	16	-0.16(1)	-0.46(3)	-0.25(6)	-45(1)	-233(1)	51(6)
173	1	-0.84(1)	-1.73(5)	-0.88(6)	201(3)	58(3)	-80(6)
173	2	-1.05(4)	-1.07(5)	-0.89(6)	209(3)	56(3)	-86(6)
173	3	-1.13(4)	-0.57(2)	-0.92(6)	200(3)	49(3)	-79(6)
173	4	-1.00(4)	0.61(7)	-0.95(6)	177(3)	40(4)	-60(6)

**POTENZIAMENTO DELL'IMPIANTO DI DEPURAZIONE E
DEL RECAPITO FINALE DI SQUINZANO (LE)
PROGETTO DEFINITIVO
Tabulati di calcolo strutturale-Filtrazione**

R.37.9

Maggio 2021

Pagina 88 di 364

Muro	Pann.	Sxx	Syy	Sxy	Mxx	Myy	Mxy
173	5	-0.62 (1)	-0.81 (2)	-1.33 (6)	57 (3)	-52 (6)	-67 (6)
173	6	-0.72 (4)	0.78 (7)	-1.36 (6)	80 (3)	43 (3)	-78 (7)
173	7	-0.81 (4)	0.79 (7)	-1.30 (6)	80 (3)	44 (4)	-75 (6)
173	8	-0.75 (4)	-0.84 (2)	-1.22 (6)	61 (3)	72 (7)	-57 (6)
173	9	-0.46 (1)	1.14 (6)	-1.44 (6)	10 (1)	-64 (6)	-70 (6)
173	10	-0.47 (3)	1.12 (6)	-1.48 (6)	14 (8)	15 (3)	-74 (6)
173	11	-0.52 (3)	1.05 (6)	-1.38 (6)	22 (7)	51 (7)	-72 (7)
173	12	-0.50 (3)	-0.96 (3)	-1.23 (6)	30 (7)	100 (7)	-58 (7)
173	13	-0.29 (1)	2.77 (6)	-1.33 (6)	-19 (4)	-84 (7)	-72 (6)
173	14	-0.26 (3)	2.37 (6)	-1.21 (6)	-12 (4)	-21 (9-II-1)	-73 (6)
173	15	-0.27 (3)	1.91 (6)	-1.07 (6)	13 (6)	57 (7)	-68 (6)
173	16	-0.27 (3)	1.46 (6)	-0.92 (6)	22 (6)	121 (7)	-58 (7)
174	1	-0.16 (1)	3.98 (6)	-1.03 (6)	-14 (4)	-97 (7)	-72 (6)
174	2	-0.16 (3)	3.18 (6)	-0.81 (6)	-11 (3)	-29 (9-II-1)	-74 (6)
174	3	-0.18 (4)	2.42 (6)	-0.69 (6)	-11 (3)	59 (7)	-68 (6)
174	4	-0.16 (3)	1.75 (6)	-0.58 (6)	15 (6)	132 (6)	-58 (7)
174	5	-0.11 (3)	4.44 (6)	-0.80 (6)	-10 (4)	-101 (7)	-68 (6)
174	6	-0.10 (3)	3.43 (6)	-0.62 (6)	-8 (3)	-32 (3)	-70 (6)
174	7	-0.10 (4)	2.58 (6)	-0.52 (6)	-8 (3)	60 (7)	-65 (6)
174	8	-0.09 (3)	1.84 (6)	-0.42 (6)	10 (6)	136 (6)	-55 (7)
174	9	-0.06 (3)	4.85 (6)	-0.51 (6)	-5 (4)	-103 (7)	-60 (6)
174	10	-0.05 (7)	3.68 (6)	-0.39 (6)	-4 (3)	-35 (3)	-61 (6)
174	11	-0.06 (6)	2.72 (6)	-0.32 (6)	-4 (3)	60 (7)	-57 (6)
174	12	-0.07 (6)	1.92 (6)	-0.26 (6)	5 (6)	139 (6)	-48 (7)
174	13	-0.04 (3)	5.20 (6)	-0.17 (6)	-1 (4)	-104 (7)	-32 (6)
174	14	-0.05 (6)	3.90 (6)	-0.12 (6)	0	-35 (3)	-33 (6)
174	15	-0.12 (6)	2.85 (6)	-0.10 (6)	0	60 (7)	-31 (6)
174	16	-0.15 (6)	1.99 (6)	-0.09 (6)	1 (6)	140 (6)	-26 (7)
175	1	-2.31 (5)	-2.68 (5)	-0.57 (6)	93 (4)	-179 (2)	43 (3)
175	2	-1.90 (6)	-2.50 (5)	-0.72 (6)	132 (3)	-128 (5)	-55 (6)
175	3	-1.52 (6)	-2.31 (5)	-0.82 (6)	163 (3)	-98 (6)	-70 (6)
175	4	-1.17 (6)	-2.07 (5)	-0.86 (6)	183 (3)	-78 (6)	-76 (6)
175	5	-1.42 (5)	-0.92 (5)	-0.74 (6)	-14 (6)	-207 (3)	80 (3)
175	6	-1.23 (5)	-0.92 (5)	-0.94 (6)	11 (1)	-125 (5)	61 (3)
175	7	-1.02 (5)	-0.89 (5)	-1.09 (6)	16 (3)	-102 (6)	-53 (6)
175	8	-0.81 (5)	-0.87 (2)	-1.20 (6)	31 (3)	-86 (6)	-57 (6)
175	9	-0.63 (5)	1.05 (6)	-0.77 (6)	-24 (4)	-204 (3)	69 (3)
175	10	-0.50 (5)	1.08 (6)	-0.94 (6)	-23 (4)	-158 (7)	62 (3)
175	11	-0.44 (1)	1.10 (6)	-1.12 (6)	-21 (4)	-132 (7)	-58 (6)
175	12	-0.45 (1)	1.07 (6)	-1.25 (6)	-18 (4)	-107 (7)	-63 (6)
175	13	-0.44 (1)	2.53 (6)	-0.83 (6)	-25 (4)	-240 (7)	60 (3)
175	14	0.45 (6)	2.68 (6)	-1.09 (6)	-25 (4)	-208 (7)	56 (3)
175	15	-0.39 (1)	2.77 (6)	-1.26 (6)	-24 (4)	-175 (7)	-60 (6)
175	16	-0.35 (1)	2.77 (6)	-1.34 (6)	-23 (4)	-144 (7)	-66 (6)
176	1	1.22 (6)	4.28 (6)	-1.04 (6)	-28 (7)	-283 (7)	53 (3)
176	2	0.99 (6)	4.47 (6)	-1.36 (6)	-25 (7)	-242 (7)	50 (3)
176	3	0.61 (6)	4.57 (6)	-1.38 (6)	-21 (7)	-201 (7)	-60 (6)
176	4	0.35 (6)	4.52 (6)	-1.28 (6)	-18 (7)	-164 (7)	-67 (6)
176	5	1.59 (6)	5.10 (6)	-1.29 (6)	-32 (7)	-305 (7)	50 (3)
176	6	1.05 (6)	5.47 (6)	-1.53 (6)	-24 (7)	-255 (7)	49 (3)
176	7	0.53 (6)	5.49 (6)	-1.34 (6)	-18 (7)	-209 (7)	-57 (6)
176	8	0.25 (6)	5.16 (6)	-1.06 (6)	-14 (7)	-170 (7)	-63 (6)
176	9	1.97 (6)	6.52 (6)	-1.73 (6)	-36 (7)	-333 (7)	52 (8)
176	10	0.94 (6)	7.02 (6)	-1.67 (6)	-20 (7)	-267 (7)	46 (3)
176	11	0.29 (6)	6.33 (6)	-0.97 (6)	-10 (7)	-214 (7)	-49 (6)
176	12	-0.12 (3)	5.81 (6)	-0.70 (6)	-8 (7)	-174 (7)	-54 (6)
176	13	2.40 (6)	10.73 (6)	-2.50 (6)	-37 (7)	-375 (7)	53 (8)
176	14	0.15 (6)	8.26 (6)	-0.61 (6)	-5 (7)	-259 (7)	24 (3)
176	15	-0.07 (6)	7.12 (6)	-0.35 (6)	-3 (7)	-211 (7)	-26 (6)
176	16	0.14 (6)	6.28 (6)	-0.26 (6)	-2 (8)	-173 (7)	-28 (6)
177	1	-0.67 (5)	-0.42 (3)	-0.26 (3)	-106 (6)	-362 (6)	64 (3)
177	2	-0.65 (5)	-0.40 (3)	-0.34 (3)	-92 (6)	-228 (6)	67 (3)
177	3	-0.62 (5)	-0.38 (3)	-0.41 (3)	-79 (5)	-111 (6)	63 (3)
177	4	-0.61 (5)	-0.34 (3)	-0.45 (3)	-63 (5)	89 (4)	76 (4)
177	5	-1.03 (5)	0.37 (6)	-0.28 (3)	-61 (6)	-313 (6)	70 (3)
177	6	-0.95 (5)	0.30 (6)	-0.40 (3)	-43 (6)	-183 (6)	60 (3)
177	7	-0.84 (5)	-0.24 (3)	-0.50 (3)	-33 (5)	-66 (6)	54 (4)
177	8	-0.71 (5)	-0.28 (3)	-0.55 (4)	-21 (5)	56 (7)	63 (7)
177	9	-1.49 (5)	0.20 (6)	0.41 (1)	-54 (6)	-257 (6)	65 (3)
177	10	-1.22 (5)	0.19 (6)	-0.59 (4)	-41 (5)	-113 (6)	54 (4)
177	11	-0.87 (5)	-0.16 (1)	-0.65 (4)	-30 (5)	-17 (1)	43 (7)
177	12	-0.66 (5)	-0.25 (1)	-0.67 (4)	-20 (2)	55 (6)	71 (7)
177	13	-1.97 (5)	-0.60 (5)	0.99 (5)	109 (4)	-166 (6)	59 (4)
177	14	-0.92 (5)	-0.54 (5)	-0.59 (4)	81 (4)	45 (2)	51 (7)
177	15	-0.59 (5)	-0.44 (1)	-0.50 (4)	62 (4)	39 (6)	56 (7)
177	16	-0.59 (3)	-0.34 (9-II-1)	-0.45 (4)	50 (7)	58 (6)	61 (7)

**POTENZIAMENTO DELL'IMPIANTO DI DEPURAZIONE E
DEL RECAPITO FINALE DI SQUINZANO (LE)
PROGETTO DEFINITIVO
Tabulati di calcolo strutturale-Filtrazione**

R.37.9

Maggio 2021

Pagina 89 di 364

Muro	Pann.	Sxx	Syy	Sxy	Mxx	Myy	Mxy
178	1	-0.52 (6)	-0.48 (3)	-0.43 (3)	112 (4)	106 (3)	79 (3)
178	2	-0.49 (6)	-0.51 (3)	-0.36 (3)	-116 (6)	-139 (6)	67 (3)
178	3	-0.48 (6)	-0.53 (3)	-0.32 (3)	-147 (6)	-246 (6)	66 (3)
178	4	-0.49 (6)	-0.53 (3)	-0.25 (3)	-175 (6)	-389 (6)	60 (8)
178	5	-0.44 (6)	-0.45 (3)	-0.36 (3)	-86 (6)	-97 (6)	67 (3)
178	6	-0.43 (6)	-0.53 (3)	-0.35 (3)	-121 (6)	-151 (6)	70 (3)
178	7	-0.42 (6)	-0.57 (3)	-0.31 (3)	-165 (6)	-243 (6)	71 (3)
178	8	-0.42 (6)	-0.59 (3)	-0.26 (9-I-2)	-202 (6)	-387 (6)	60 (8)
178	9	-0.37 (6)	-0.48 (3)	-0.31 (3)	-87 (6)	-114 (6)	66 (3)
178	10	-0.38 (6)	-0.56 (3)	-0.32 (3)	-119 (6)	-165 (6)	72 (3)
178	11	-0.37 (6)	-0.62 (3)	-0.29 (3)	-172 (6)	-242 (6)	80 (3)
178	12	-0.34 (6)	-0.67 (3)	-0.26 (9-I-2)	-234 (6)	-367 (6)	60 (3)
178	13	-0.31 (6)	-0.51 (3)	-0.27 (3)	-80 (6)	-127 (6)	68 (3)
178	14	-0.33 (6)	-0.60 (3)	-0.28 (3)	-108 (6)	-177 (6)	76 (3)
178	15	-0.33 (6)	-0.67 (3)	-0.25 (3)	-154 (6)	-250 (6)	90 (3)
178	16	-0.21 (6)	-0.75 (3)	-0.26 (9-I-2)	-256 (6)	-333 (6)	86 (3)
179	1	-0.86 (7)	-0.56 (1)	-0.41 (7)	-67 (6)	-34 (5)	55 (6)
179	2	-0.81 (6)	-0.68 (1)	-0.43 (7)	-58 (6)	-41 (5)	41 (6)
179	3	-0.68 (6)	-0.81 (1)	-0.48 (7)	-49 (6)	-65 (2)	42 (6)
179	4	-0.82 (1)	-0.84 (1)	-0.61 (7)	-37 (5)	-158 (1)	-57 (1)
179	5	-0.63 (6)	-0.48 (1)	-0.56 (7)	26 (1)	-27 (2)	62 (6)
179	6	-0.56 (6)	-0.46 (1)	-0.56 (7)	24 (3)	-46 (2)	43 (6)
179	7	-0.56 (1)	-0.43 (1)	-0.56 (7)	17 (4)	-113 (1)	46 (6)
179	8	-0.60 (1)	-0.48 (1)	-0.48 (7)	16 (4)	-230 (1)	-66 (1)
179	9	-0.50 (7)	-0.40 (3)	-0.52 (7)	20 (3)	-43 (2)	57 (6)
179	10	-0.46 (4)	0.39 (6)	-0.48 (7)	9 (2)	-93 (2)	40 (6)
179	11	-0.42 (1)	-0.39 (3)	-0.44 (7)	8 (6)	-181 (2)	47 (6)
179	12	-0.45 (1)	-0.40 (3)	0.38 (1)	-25 (3)	-311 (2)	-66 (1)
179	13	-0.50 (7)	0.40 (6)	-0.35 (7)	-48 (6)	-73 (1)	69 (6)
179	14	-0.38 (6)	-0.36 (3)	-0.33 (7)	-25 (6)	-141 (2)	68 (6)
179	15	-0.32 (6)	-0.38 (3)	-0.31 (7)	-33 (3)	-237 (2)	75 (6)
179	16	-0.31 (1)	-0.37 (3)	0.30 (1)	-60 (3)	-365 (2)	-70 (1)
180	1	-1.33 (7)	-0.37 (2)	-0.89 (7)	21 (3)	19 (7)	-37 (6)
180	2	-1.06 (7)	-0.39 (2)	-0.99 (7)	-16 (1)	25 (7)	-30 (6)
180	3	-0.68 (6)	-0.41 (1)	-1.00 (7)	-16 (1)	39 (6)	-17 (6)
180	4	-0.37 (2)	-0.45 (1)	-0.81 (7)	-12 (1)	58 (6)	-8 (4)
180	5	-0.91 (7)	-0.33 (1)	-0.87 (7)	13 (7)	35 (6)	-31 (6)
180	6	-0.78 (7)	-0.41 (1)	-0.96 (7)	14 (7)	54 (6)	-18 (6)
180	7	-0.63 (7)	-0.49 (1)	-0.98 (7)	16 (6)	81 (6)	5 (1)
180	8	-0.66 (3)	-0.59 (2)	-0.87 (7)	14 (6)	117 (6)	-12 (7)
180	9	-0.51 (7)	0.16 (4)	-0.72 (7)	13 (6)	60 (6)	-30 (6)
180	10	-0.53 (7)	-0.24 (5)	-0.82 (7)	16 (6)	85 (6)	-21 (7)
180	11	-0.55 (7)	-0.32 (5)	-0.84 (7)	18 (6)	115 (6)	-10 (7)
180	12	-0.64 (8)	-0.45 (5)	-0.82 (7)	18 (6)	148 (6)	-23 (7)
180	13	-0.13 (7)	0.58 (4)	-0.33 (7)	5 (6)	74 (6)	-29 (6)
180	14	-0.17 (7)	0.50 (3)	-0.43 (7)	7 (6)	106 (6)	-23 (7)
180	15	-0.24 (7)	-0.57 (6)	-0.58 (7)	6 (6)	145 (6)	-15 (7)
180	16	-0.45 (8)	-0.51 (6)	-0.77 (7)	14 (6)	186 (6)	-20 (7)
181	1	-0.31 (7)	-0.38 (3)	-0.27 (8)	-30 (6)	-94 (1)	157 (6)
181	2	-0.27 (6)	-0.38 (3)	-0.26 (8)	-39 (9-II-2)	-169 (2)	105 (6)
181	3	-0.26 (6)	-0.39 (3)	-0.25 (8)	-59 (2)	-260 (2)	105 (6)
181	4	-0.26 (6)	-0.41 (3)	0.24 (1)	-90 (3)	-380 (2)	-79 (1)
181	5	-0.38 (7)	0.39 (6)	-0.21 (8)	-19 (9-II-2)	-105 (2)	121 (6)
181	6	-0.26 (7)	-0.37 (3)	-0.23 (8)	-41 (2)	-179 (2)	114 (6)
181	7	-0.22 (6)	-0.39 (3)	-0.22 (8)	-69 (2)	-262 (2)	111 (6)
181	8	-0.25 (6)	-0.41 (3)	0.21 (1)	-98 (2)	-370 (2)	89 (6)
181	9	-0.32 (7)	0.41 (6)	-0.17 (8)	-28 (2)	-118 (2)	104 (6)
181	10	-0.23 (7)	-0.36 (3)	-0.20 (8)	-46 (2)	-189 (2)	112 (6)
181	11	-0.20 (6)	-0.40 (3)	-0.19 (8)	-72 (2)	-267 (2)	118 (6)
181	12	-0.25 (6)	-0.42 (3)	-0.18 (8)	-106 (2)	-350 (2)	104 (6)
181	13	-0.26 (7)	0.44 (6)	0.14 (1)	-33 (2)	-131 (2)	94 (6)
181	14	-0.20 (7)	0.39 (6)	-0.17 (8)	-45 (2)	-201 (2)	107 (6)
181	15	-0.18 (6)	-0.39 (3)	-0.16 (8)	-68 (2)	-280 (2)	121 (6)
181	16	-0.27 (6)	-0.46 (3)	-0.16 (3)	-101 (2)	-327 (3)	129 (6)
182	1	-1.46 (7)	-0.30 (3)	0.55 (3)	54 (7)	16 (3)	-35 (6)
182	2	-1.64 (7)	-0.36 (3)	0.25 (3)	47 (7)	20 (3)	-43 (6)
182	3	-1.65 (7)	-0.39 (2)	-0.32 (7)	35 (4)	19 (3)	-44 (6)
182	4	-1.52 (7)	-0.40 (2)	-0.66 (7)	27 (3)	14 (4)	-40 (6)
182	5	-0.97 (7)	-0.23 (2)	0.57 (4)	11 (3)	-43 (6)	-32 (6)
182	6	-1.08 (7)	-0.17 (1)	0.27 (3)	14 (4)	-17 (6)	-46 (6)
182	7	-1.10 (7)	-0.18 (1)	-0.26 (7)	14 (4)	13 (3)	-49 (6)
182	8	-1.03 (7)	-0.24 (1)	-0.64 (7)	13 (7)	22 (7)	-43 (6)
182	9	-0.51 (7)	0.31 (7)	0.48 (7)	-17 (6)	-65 (6)	-29 (6)
182	10	-0.53 (7)	0.38 (7)	0.22 (3)	-9 (6)	-27 (6)	-41 (6)
182	11	-0.54 (7)	0.37 (4)	-0.19 (6)	4 (10-I-1)	13 (10-I-1)	-45 (6)
182	12	-0.53 (7)	0.29 (4)	-0.51 (7)	9 (7)	34 (7)	-40 (6)

**POTENZIAMENTO DELL'IMPIANTO DI DEPURAZIONE E
DEL RECAPITO FINALE DI SQUINZANO (LE)
PROGETTO DEFINITIVO
Tabulati di calcolo strutturale-Filtrazione**

R.37.9

Maggio 2021

Pagina 90 di 364

Muro	Pann.	Sxx	Syy	Sxy	Mxx	Myy	Mxy
182	13	-0.11 (7)	0.56 (4)	0.22 (7)	-7 (7)	-80 (6)	-29 (6)
182	14	-0.10 (7)	0.80 (4)	0.09 (4)	-4 (7)	-35 (6)	-38 (6)
182	15	-0.10 (7)	0.87 (4)	-0.07 (6)	0	14 (10-I-1)	-42 (6)
182	16	-0.11 (7)	0.77 (4)	-0.21 (7)	3 (6)	40 (7)	-39 (6)
183	1	-0.61 (7)	0.37 (7)	0.74 (3)	-18 (1)	-87 (7)	34 (7)
183	2	-0.79 (7)	0.37 (7)	0.78 (3)	28 (7)	-67 (6)	10 (3)
183	3	-1.02 (7)	0.30 (7)	0.76 (3)	41 (7)	-48 (6)	-12 (6)
183	4	-1.21 (7)	0.27 (7)	0.71 (3)	50 (7)	-33 (6)	-20 (6)
183	5	-0.63 (3)	-0.44 (2)	0.77 (4)	-23 (6)	-125 (7)	58 (7)
183	6	-0.67 (4)	-0.41 (2)	0.77 (4)	-21 (6)	-104 (6)	15 (7)
183	7	-0.75 (7)	-0.37 (2)	0.76 (4)	-18 (6)	-86 (6)	-9 (6)
183	8	-0.84 (7)	-0.33 (2)	0.73 (4)	-16 (6)	-70 (6)	-18 (6)
183	9	-0.55 (3)	-0.28 (2)	0.66 (7)	-24 (6)	-164 (6)	53 (7)
183	10	-0.54 (4)	-0.27 (2)	0.68 (7)	-25 (6)	-140 (6)	12 (4)
183	11	-0.52 (4)	-0.23 (1)	0.68 (7)	-24 (6)	-119 (6)	-11 (6)
183	12	-0.51 (7)	0.22 (7)	0.64 (7)	-22 (6)	-99 (6)	-17 (6)
183	13	-0.58 (4)	0.38 (4)	0.59 (4)	-26 (7)	-215 (7)	48 (7)
183	14	-0.34 (4)	-0.24 (10-I-2)	0.49 (4)	-20 (7)	-170 (7)	11 (4)
183	15	-0.21 (4)	0.31 (6)	0.39 (7)	-14 (7)	-140 (7)	-12 (6)
183	16	-0.16 (4)	0.39 (6)	0.32 (7)	-11 (7)	-118 (6)	-16 (6)
184	1	-0.51 (5)	0.29 (6)	0.30 (6)	-71 (5)	-29 (6)	35 (10-I-2)
184	2	-0.35 (3)	-0.33 (3)	0.26 (6)	-52 (5)	34 (7)	33 (7)
184	3	-0.37 (3)	-0.36 (3)	-0.22 (3)	-20 (5)	96 (5)	34 (7)
184	4	-0.47 (3)	-0.38 (2)	-0.19 (3)	29 (3)	286 (2)	-21 (1)
184	5	-0.53 (5)	0.22 (7)	0.41 (6)	-30 (5)	-68 (6)	25 (9-I-1)
184	6	-0.45 (3)	-0.30 (1)	0.29 (6)	-39 (2)	42 (7)	40 (6)
184	7	-0.48 (3)	-0.40 (2)	0.19 (6)	-20 (2)	75 (5)	44 (6)
184	8	-0.62 (3)	-0.47 (2)	-0.20 (3)	25 (2)	302 (2)	-30 (1)
184	9	-0.59 (3)	-0.27 (1)	0.44 (5)	-26 (2)	-65 (7)	29 (6)
184	10	-0.59 (3)	-0.32 (1)	0.35 (1)	-46 (2)	56 (7)	46 (6)
184	11	-0.55 (3)	-0.37 (1)	0.25 (1)	-35 (1)	61 (8)	45 (6)
184	12	-0.59 (3)	-0.43 (1)	-0.19 (3)	17 (8)	240 (2)	37 (7)
184	13	-0.66 (3)	-0.47 (1)	0.37 (1)	64 (7)	-45 (7)	51 (7)
184	14	-0.74 (3)	-0.29 (1)	0.30 (1)	122 (7)	51 (7)	52 (7)
184	15	-0.62 (4)	0.24 (6)	0.24 (1)	109 (7)	49 (8)	26 (5)
184	16	-0.41 (3)	0.12 (6)	0.14 (6)	57 (3)	126 (2)	-22 (1)
185	1	-1.14 (3)	-0.42 (3)	0.24 (3)	-103 (3)	-68 (6)	-94 (2)
185	2	-1.28 (3)	-0.49 (3)	0.14 (2)	-142 (3)	-71 (6)	-51 (5)
185	3	-1.26 (3)	-0.51 (3)	-0.10 (9-II-1)	-149 (3)	-64 (6)	-74 (6)
185	4	-1.11 (3)	-0.47 (3)	-0.19 (3)	-124 (2)	-48 (6)	-105 (6)
185	5	-0.85 (3)	-0.34 (2)	0.25 (3)	123 (1)	-119 (6)	-94 (2)
185	6	-0.96 (3)	-0.31 (3)	0.13 (2)	152 (1)	142 (1)	-67 (5)
185	7	-0.95 (3)	-0.32 (3)	0.08 (6)	157 (1)	145 (3)	-81 (6)
185	8	-0.84 (3)	-0.34 (3)	-0.20 (3)	139 (1)	130 (2)	-99 (6)
185	9	-0.61 (4)	-0.32 (2)	0.19 (3)	147 (1)	-149 (6)	-70 (5)
185	10	-0.68 (4)	-0.27 (1)	0.11 (9-I-1)	189 (1)	195 (1)	-67 (5)
185	11	-0.68 (4)	-0.28 (1)	0.09 (6)	197 (1)	201 (3)	-75 (6)
185	12	-0.60 (4)	-0.31 (1)	-0.14 (3)	168 (1)	176 (2)	-74 (6)
185	13	-0.41 (4)	-0.24 (1)	0.14 (7)	98 (1)	-157 (6)	-71 (6)
185	14	-0.45 (4)	-0.23 (1)	0.10 (7)	129 (1)	203 (1)	-72 (6)
185	15	-0.45 (4)	-0.23 (1)	0.09 (6)	134 (1)	211 (2)	-67 (6)
185	16	-0.41 (4)	-0.25 (1)	0.09 (6)	113 (2)	180 (2)	-54 (6)
186	1	-0.91 (3)	-0.42 (3)	-0.27 (3)	-99 (5)	32 (3)	-113 (6)
186	2	-0.73 (3)	-0.41 (3)	-0.30 (3)	-77 (5)	14 (2)	114 (1)
186	3	-0.55 (2)	-0.39 (3)	-0.27 (3)	-51 (5)	51 (6)	110 (1)
186	4	-0.47 (1)	-0.40 (1)	-0.17 (3)	-35 (2)	128 (6)	69 (3)
186	5	-0.70 (3)	-0.38 (3)	-0.26 (3)	112 (1)	96 (2)	101 (1)
186	6	-0.60 (3)	-0.42 (1)	-0.28 (3)	80 (1)	46 (2)	109 (1)
186	7	-0.50 (2)	-0.46 (1)	-0.25 (3)	40 (1)	101 (6)	99 (1)
186	8	-0.51 (5)	-0.53 (1)	-0.17 (3)	-9 (9-I-1)	-226 (1)	62 (3)
186	9	-0.52 (3)	-0.35 (1)	-0.19 (3)	127 (2)	122 (2)	-64 (6)
186	10	-0.47 (3)	-0.39 (1)	-0.19 (3)	86 (2)	68 (5)	-51 (6)
186	11	-0.45 (3)	-0.42 (1)	-0.17 (3)	39 (2)	153 (6)	41 (1)
186	12	-0.46 (2)	-0.45 (1)	0.15 (6)	19 (6)	-276 (1)	31 (3)
186	13	-0.36 (3)	-0.27 (1)	-0.11 (3)	83 (2)	118 (2)	-39 (6)
186	14	-0.35 (3)	-0.28 (1)	0.12 (6)	54 (2)	101 (6)	-25 (6)
186	15	-0.35 (3)	-0.30 (1)	0.13 (6)	34 (5)	192 (6)	-16 (4)
186	16	-0.37 (3)	-0.30 (1)	0.14 (6)	38 (6)	305 (6)	13 (10-I-1)
187	1	-0.32 (1)	-0.29 (3)	0.18 (6)	-25 (1)	286 (6)	36 (3)
187	2	-0.31 (7)	-0.31 (3)	0.22 (6)	-6 (4)	174 (6)	47 (2)
187	3	-0.43 (7)	0.34 (6)	0.23 (6)	-37 (6)	64 (6)	26 (2)
187	4	-0.58 (7)	0.43 (6)	0.20 (1)	-53 (6)	-108 (6)	77 (6)
187	5	-0.28 (1)	-0.25 (3)	0.18 (6)	-25 (1)	291 (6)	36 (3)
187	6	-0.22 (5)	0.28 (6)	0.22 (6)	-12 (1)	175 (6)	48 (2)
187	7	-0.28 (7)	0.34 (6)	0.22 (6)	-27 (6)	67 (6)	27 (2)
187	8	-0.45 (7)	0.42 (6)	0.17 (1)	-26 (6)	-58 (5)	49 (6)

**POTENZIAMENTO DELL'IMPIANTO DI DEPURAZIONE E
DEL RECAPITO FINALE DI SQUINZANO (LE)
PROGETTO DEFINITIVO
Tabulati di calcolo strutturale-Filtrazione**

R.37.9

Maggio 2021

Pagina 91 di 364

Muro	Pann.	Sxx	Syy	Sxy	Mxx	Myy	Mxy
187	9	-0.25(1)	0.22(6)	0.16(6)	25(6)	293(6)	35(3)
187	10	-0.19(5)	0.28(6)	0.20(6)	-15(1)	177(6)	48(2)
187	11	-0.22(7)	0.35(6)	0.20(6)	-15(8)	68(6)	28(2)
187	12	-0.35(7)	0.43(6)	0.15(1)	-15(9-II-2)	-53(2)	47(6)
187	13	-0.21(1)	0.22(6)	0.15(6)	25(6)	295(6)	33(3)
187	14	-0.16(5)	0.29(6)	0.18(6)	-16(1)	179(6)	47(2)
187	15	-0.18(7)	0.36(6)	0.18(6)	-16(3)	71(6)	28(2)
187	16	-0.28(7)	0.44(6)	0.13(1)	-22(2)	-65(2)	49(6)
188	1	-0.26(3)	-0.20(1)	0.10(5)	42(2)	109(2)	-34(5)
188	2	-0.25(3)	-0.20(1)	0.11(5)	37(5)	123(6)	-35(2)
188	3	-0.26(3)	-0.20(1)	0.12(6)	33(6)	212(6)	-30(2)
188	4	-0.29(3)	-0.20(1)	0.14(6)	48(6)	315(6)	-16(1)
188	5	-0.23(3)	-0.17(1)	0.10(5)	34(5)	105(5)	-35(5)
188	6	-0.23(3)	-0.17(1)	0.10(5)	32(5)	130(6)	-38(2)
188	7	-0.24(3)	-0.17(1)	0.12(6)	36(6)	217(6)	-33(2)
188	8	-0.26(3)	-0.17(1)	0.14(6)	50(6)	317(6)	-17(1)
188	9	-0.20(3)	-0.15(1)	0.09(5)	28(5)	107(5)	-37(2)
188	10	-0.20(3)	-0.14(1)	0.10(5)	27(5)	136(6)	-39(2)
188	11	-0.21(3)	0.15(6)	0.11(6)	36(6)	222(6)	-34(2)
188	12	-0.23(3)	0.17(6)	0.13(6)	50(6)	318(6)	-17(1)
188	13	-0.17(3)	0.13(7)	0.08(5)	23(5)	109(5)	-37(2)
188	14	-0.17(3)	0.14(7)	0.09(5)	26(6)	142(6)	-40(2)
188	15	-0.18(3)	0.15(6)	0.10(6)	35(6)	226(6)	-35(2)
188	16	-0.21(3)	0.17(6)	0.12(6)	48(6)	319(6)	-16(1)
189	1	-0.44(3)	-0.27(2)	-0.17(3)	38(3)	259(2)	-13(1)
189	2	-0.33(3)	-0.31(3)	-0.21(3)	26(3)	110(5)	31(7)
189	3	-0.34(4)	-0.34(3)	-0.23(3)	-44(5)	41(3)	36(7)
189	4	-0.44(7)	-0.33(3)	-0.24(3)	93(4)	-93(6)	57(10-I-2)
189	5	-0.33(3)	-0.24(2)	-0.15(3)	35(3)	252(5)	-17(5)
189	6	-0.26(3)	-0.30(3)	-0.20(3)	31(3)	115(5)	31(7)
189	7	-0.25(3)	-0.35(3)	-0.22(3)	-40(6)	51(3)	38(7)
189	8	-0.37(7)	-0.37(3)	-0.25(3)	-68(5)	-75(6)	50(9-I-1)
189	9	-0.27(1)	-0.22(2)	-0.14(3)	32(3)	255(5)	-19(5)
189	10	-0.22(3)	-0.29(3)	-0.19(3)	32(3)	121(10-I-2)	30(7)
189	11	-0.21(3)	-0.35(3)	-0.21(3)	40(3)	61(3)	39(7)
189	12	-0.31(7)	-0.40(3)	-0.24(3)	-60(6)	75(3)	51(3)
189	13	-0.23(1)	-0.20(2)	-0.12(3)	29(10-I-2)	258(5)	-20(5)
189	14	-0.18(2)	-0.27(3)	-0.17(3)	29(3)	127(10-I-2)	30(7)
189	15	-0.18(5)	-0.35(3)	-0.19(3)	38(3)	71(3)	39(7)
189	16	-0.26(7)	-0.43(3)	-0.22(3)	-54(6)	81(3)	53(3)
190	1	-0.45(3)	-0.27(3)	0.25(6)	-35(3)	103(6)	-20(10-II-2)
190	2	-0.73(7)	-0.32(1)	0.28(6)	-23(4)	67(6)	39(6)
190	3	-0.96(7)	-0.40(1)	0.27(1)	-39(7)	40(5)	71(6)
190	4	-0.86(7)	-0.55(1)	0.29(1)	-59(7)	-39(5)	71(5)
190	5	-0.47(3)	-0.53(1)	0.23(6)	33(6)	-168(1)	24(2)
190	6	-0.56(8)	-0.48(1)	0.31(6)	59(5)	122(6)	41(6)
190	7	-0.73(7)	-0.47(1)	0.34(1)	61(1)	86(8)	61(6)
190	8	-0.73(7)	-0.47(1)	0.40(1)	34(1)	-72(5)	41(5)
190	9	-0.45(3)	-0.55(1)	0.22(6)	26(6)	228(6)	40(2)
190	10	-0.43(8)	-0.49(1)	0.29(6)	37(8)	152(6)	45(5)
190	11	-0.54(7)	-0.43(1)	0.29(1)	46(3)	86(8)	54(6)
190	12	-0.58(7)	0.39(6)	0.36(1)	33(3)	-98(6)	35(6)
190	13	-0.36(1)	-0.42(1)	0.20(6)	20(6)	269(6)	43(3)
190	14	-0.31(8)	-0.40(3)	0.26(6)	17(10-II-1)	167(6)	46(5)
190	15	-0.38(7)	-0.37(3)	0.26(6)	-43(6)	67(8)	36(6)
190	16	-0.51(7)	0.38(6)	0.28(6)	-80(6)	-132(6)	46(6)
191	1	-0.31(4)	-0.19(1)	0.12(7)	51(1)	-156(6)	-76(6)
191	2	-0.34(4)	-0.18(1)	0.09(7)	71(1)	194(1)	-73(6)
191	3	-0.34(4)	-0.18(1)	0.08(5)	73(1)	204(2)	-64(6)
191	4	-0.30(4)	-0.19(1)	0.09(5)	61(2)	171(2)	-48(6)
191	5	-0.27(4)	-0.17(1)	0.11(7)	36(1)	-155(6)	-76(6)
191	6	-0.28(4)	-0.17(1)	0.08(7)	51(1)	189(1)	-72(6)
191	7	-0.28(4)	-0.17(1)	0.08(5)	53(1)	199(2)	-62(6)
191	8	-0.26(4)	-0.17(1)	0.09(5)	43(2)	166(2)	-45(6)
191	9	-0.23(4)	-0.15(1)	0.10(7)	24(1)	-154(6)	-75(6)
191	10	-0.24(4)	-0.15(1)	0.07(7)	35(1)	184(1)	-71(6)
191	11	-0.24(4)	-0.15(1)	0.07(5)	36(1)	194(2)	-61(6)
191	12	-0.22(4)	-0.15(1)	0.08(5)	30(10-I-1)	161(2)	-44(6)
191	13	-0.19(4)	-0.14(5)	0.09(7)	-16(6)	-154(6)	-74(6)
191	14	-0.20(4)	-0.14(1)	0.07(7)	22(1)	179(1)	-71(6)
191	15	-0.20(4)	-0.14(1)	0.06(5)	24(10-I-1)	189(2)	-60(6)
191	16	-0.18(4)	-0.13(1)	0.07(5)	24(10-I-1)	157(2)	-44(5)
192	1	-0.57(3)	-0.35(3)	0.31(3)	-31(1)	-38(2)	-94(3)
192	2	-0.69(3)	-0.34(3)	0.34(3)	-41(10-II-2)	-43(5)	-106(2)
192	3	-0.82(3)	-0.35(3)	0.34(3)	-53(8)	-52(6)	-110(2)
192	4	-0.94(3)	-0.36(3)	0.32(3)	-69(3)	-61(6)	-106(2)

**POTENZIAMENTO DELL'IMPIANTO DI DEPURAZIONE E
DEL RECAPITO FINALE DI SQUINZANO (LE)
PROGETTO DEFINITIVO
Tabulati di calcolo strutturale-Filtrazione**

R.37.9

Maggio 2021

Pagina 92 di 364

Muro	Pann.	Sxx	Syy	Sxy	Mxx	Myy	Mxy
192	5	-0.54 (3)	-0.44 (2)	0.32 (3)	-31 (6)	-109 (2)	-93 (3)
192	6	-0.60 (3)	-0.42 (2)	0.33 (3)	50 (2)	-69 (5)	-98 (2)
192	7	-0.66 (3)	-0.40 (2)	0.33 (3)	73 (1)	-80 (6)	-104 (2)
192	8	-0.72 (3)	-0.38 (2)	0.32 (3)	93 (1)	-98 (6)	-104 (2)
192	9	-0.48 (3)	-0.43 (2)	0.22 (3)	-38 (6)	-153 (2)	-44 (3)
192	10	-0.48 (3)	-0.42 (2)	0.23 (3)	54 (1)	-105 (5)	-51 (10-I-1)
192	11	-0.51 (3)	-0.39 (2)	0.24 (3)	79 (1)	-110 (6)	-58 (5)
192	12	-0.54 (3)	-0.37 (2)	0.23 (3)	104 (1)	-129 (6)	-63 (5)
192	13	-0.37 (3)	-0.32 (2)	0.15 (4)	-29 (6)	-170 (5)	-37 (7)
192	14	-0.36 (3)	-0.31 (2)	0.16 (4)	-35 (6)	-138 (5)	-50 (6)
192	15	-0.37 (4)	-0.29 (2)	0.16 (4)	50 (1)	-134 (6)	-60 (6)
192	16	-0.38 (4)	-0.28 (2)	0.15 (4)	67 (1)	-145 (6)	-64 (6)
193	1	-0.26 (3)	-0.22 (5)	0.13 (4)	-25 (6)	-192 (5)	-40 (7)
193	2	-0.28 (3)	-0.21 (2)	0.14 (4)	-24 (6)	-156 (5)	-60 (6)
193	3	-0.28 (4)	-0.21 (2)	0.14 (4)	-27 (6)	-145 (6)	-70 (6)
193	4	-0.28 (4)	-0.20 (2)	0.13 (4)	32 (1)	-151 (6)	-74 (6)
193	5	-0.24 (3)	-0.22 (5)	0.13 (4)	-23 (6)	-200 (5)	-39 (7)
193	6	-0.25 (3)	-0.20 (5)	0.13 (4)	-23 (6)	-163 (5)	-61 (6)
193	7	-0.25 (4)	-0.19 (5)	0.13 (4)	-24 (6)	-149 (6)	-70 (6)
193	8	-0.25 (4)	-0.17 (5)	0.12 (4)	-25 (6)	-152 (6)	-74 (6)
193	9	-0.22 (3)	-0.20 (5)	0.12 (4)	-24 (5)	-206 (5)	-38 (7)
193	10	-0.22 (3)	-0.20 (5)	0.12 (4)	-22 (6)	-168 (5)	-61 (6)
193	11	-0.22 (4)	-0.18 (5)	0.12 (4)	-22 (6)	-152 (6)	-70 (6)
193	12	-0.22 (4)	-0.17 (5)	0.11 (4)	-22 (6)	-154 (6)	-74 (6)
193	13	-0.19 (3)	-0.19 (5)	0.11 (4)	-26 (5)	-210 (5)	-37 (7)
193	14	-0.19 (3)	-0.19 (5)	0.11 (4)	-21 (6)	-172 (5)	-61 (6)
193	15	-0.18 (4)	-0.18 (5)	0.11 (4)	-20 (6)	-155 (6)	-70 (6)
193	16	-0.18 (4)	-0.17 (5)	0.10 (4)	-19 (6)	-155 (6)	-73 (6)
194	1	-0.42 (7)	-0.54 (1)	0.22 (1)	-29 (6)	-263 (6)	-54 (6)
194	2	-0.30 (8)	-0.52 (2)	0.26 (1)	30 (3)	292 (1)	-74 (6)
194	3	-0.30 (3)	-0.52 (2)	0.28 (1)	52 (2)	422 (2)	-81 (6)
194	4	-0.37 (3)	-0.50 (2)	0.25 (1)	80 (2)	656 (2)	68 (1)
194	5	-0.35 (7)	-0.52 (1)	0.21 (1)	-30 (6)	-278 (6)	-53 (6)
194	6	-0.28 (8)	-0.50 (1)	0.25 (1)	34 (3)	302 (1)	-74 (6)
194	7	-0.28 (3)	-0.50 (2)	0.27 (1)	56 (2)	427 (2)	-80 (6)
194	8	-0.30 (3)	-0.49 (2)	0.24 (1)	81 (2)	658 (2)	66 (1)
194	9	-0.31 (7)	-0.51 (1)	0.20 (1)	-30 (6)	-294 (6)	-52 (6)
194	10	-0.25 (8)	-0.48 (1)	0.24 (1)	34 (3)	311 (1)	-73 (6)
194	11	-0.24 (3)	-0.48 (2)	0.25 (1)	55 (2)	431 (2)	-79 (6)
194	12	-0.26 (3)	-0.47 (2)	0.23 (1)	80 (2)	658 (2)	63 (1)
194	13	-0.26 (7)	-0.49 (1)	0.19 (1)	-31 (6)	-310 (6)	-50 (6)
194	14	-0.21 (8)	-0.47 (1)	0.23 (1)	33 (3)	320 (1)	-73 (6)
194	15	-0.20 (3)	-0.46 (2)	0.24 (1)	52 (2)	434 (2)	-78 (6)
194	16	-0.22 (3)	-0.45 (2)	0.21 (1)	77 (2)	657 (2)	60 (1)
195	1	-0.24 (4)	-0.44 (2)	-0.19 (1)	71 (1)	-149 (6)	77 (9-II-2)
195	2	-0.24 (1)	-0.47 (2)	-0.19 (1)	-29 (6)	-151 (2)	69 (9-II-2)
195	3	-0.28 (1)	-0.48 (2)	-0.20 (1)	-31 (2)	-370 (2)	55 (9-II-2)
195	4	-0.43 (1)	-0.48 (2)	-0.22 (1)	-77 (2)	-636 (2)	49 (1)
195	5	-0.21 (4)	-0.44 (2)	-0.16 (1)	50 (1)	-149 (6)	74 (9-II-2)
195	6	-0.22 (1)	-0.46 (2)	-0.17 (1)	-22 (6)	-161 (2)	66 (9-II-2)
195	7	-0.27 (1)	-0.47 (2)	-0.18 (1)	-41 (2)	-378 (2)	51 (9-II-2)
195	8	-0.40 (1)	-0.47 (2)	-0.20 (1)	-80 (2)	-638 (2)	44 (1)
195	9	-0.18 (4)	-0.43 (2)	-0.13 (1)	34 (1)	-148 (6)	72 (9-II-2)
195	10	-0.19 (1)	-0.45 (2)	-0.14 (1)	-17 (6)	-171 (2)	63 (9-II-2)
195	11	-0.24 (1)	-0.46 (2)	-0.16 (1)	-46 (2)	-385 (2)	49 (9-II-2)
195	12	-0.37 (1)	-0.46 (2)	-0.19 (1)	-81 (2)	-637 (2)	40 (1)
195	13	-0.16 (4)	-0.46 (5)	-0.11 (1)	-22 (6)	-148 (6)	70 (9-II-2)
195	14	-0.16 (1)	-0.45 (5)	-0.11 (1)	-16 (2)	-180 (2)	61 (9-II-2)
195	15	-0.20 (1)	-0.45 (2)	-0.13 (1)	-46 (2)	-392 (2)	47 (9-II-2)
195	16	-0.33 (1)	-0.46 (2)	-0.17 (1)	-79 (2)	-636 (2)	37 (1)
196	1	-0.19 (6)	0.97 (6)	-0.68 (6)	-142 (6)	-806 (6)	-85 (5)
196	2	-0.19 (7)	0.90 (6)	-0.73 (6)	-94 (6)	-500 (6)	-51 (3)
196	3	-0.21 (4)	0.88 (6)	-0.75 (6)	-54 (6)	210 (1)	-42 (10-II-2)
196	4	-0.27 (1)	0.90 (6)	-0.79 (6)	21 (1)	215 (10-I-3)	-65 (6)
196	5	-0.16 (1)	0.99 (6)	-0.67 (6)	-145 (6)	-848 (6)	-80 (5)
196	6	-0.18 (1)	0.97 (6)	-0.69 (6)	-100 (6)	-527 (6)	-50 (3)
196	7	-0.20 (1)	0.93 (6)	-0.72 (6)	-57 (6)	224 (1)	-42 (10-II-2)
196	8	-0.23 (1)	0.88 (6)	-0.75 (6)	24 (1)	228 (10-I-3)	-59 (7)
196	9	-0.16 (1)	1.06 (6)	-0.65 (6)	-150 (6)	-892 (6)	-77 (5)
196	10	-0.18 (1)	1.03 (6)	-0.67 (6)	-103 (6)	-552 (6)	-49 (3)
196	11	-0.20 (1)	0.98 (6)	-0.68 (6)	-59 (6)	237 (1)	-42 (10-II-2)
196	12	-0.21 (1)	0.91 (6)	-0.69 (6)	27 (1)	242 (10-I-3)	-55 (7)
196	13	-0.15 (1)	1.14 (6)	-0.63 (6)	-154 (6)	-933 (6)	-74 (6)
196	14	-0.17 (1)	1.09 (6)	-0.63 (6)	-104 (6)	-576 (6)	-47 (10-II-2)
196	15	-0.20 (1)	1.03 (6)	-0.63 (6)	-60 (6)	250 (1)	-41 (10-II-2)
196	16	-0.21 (1)	0.95 (6)	-0.63 (6)	29 (1)	257 (10-I-3)	-52 (7)

**POTENZIAMENTO DELL'IMPIANTO DI DEPURAZIONE E
DEL RECAPITO FINALE DI SQUINZANO (LE)
PROGETTO DEFINITIVO
Tabulati di calcolo strutturale-Filtrazione**

R.37.9

Maggio 2021

Pagina 93 di 364

Muro	Pann.	Sxx	Syy	Sxy	Mxx	Myy	Mxy
197	1	-0.29(7)	0.69(6)	-0.13(5)	-41(6)	-172(6)	-12(10-II-2)
197	2	-0.48(7)	0.70(6)	0.11(4)	-32(6)	-73(6)	-39(6)
197	3	-0.51(7)	0.67(6)	0.10(3)	-9(6)	44(1)	-39(6)
197	4	-0.43(7)	0.61(6)	0.15(3)	10(6)	80(6)	-36(6)
197	5	-0.28(7)	0.73(6)	-0.11(5)	-46(6)	-180(6)	-11(10-II-2)
197	6	-0.43(6)	0.70(6)	0.11(4)	-34(6)	-75(6)	-35(6)
197	7	-0.45(7)	0.66(6)	0.11(3)	-10(6)	45(1)	-35(6)
197	8	-0.39(7)	0.60(6)	0.15(3)	10(10-I-3)	81(6)	-34(6)
197	9	-0.26(7)	0.75(6)	0.10(4)	-50(6)	-186(6)	-10(10-II-2)
197	10	-0.39(6)	0.69(6)	0.10(4)	-36(6)	-77(6)	-32(6)
197	11	-0.41(6)	0.64(6)	0.11(3)	-11(6)	46(1)	-32(6)
197	12	-0.35(7)	0.59(6)	0.14(3)	11(10-I-3)	81(6)	-32(6)
197	13	-0.23(7)	0.76(6)	0.10(4)	-52(6)	-192(6)	-10(10-II-2)
197	14	-0.36(6)	0.68(6)	0.10(4)	-37(6)	-80(6)	-28(6)
197	15	-0.37(6)	0.62(6)	0.11(3)	-11(6)	47(1)	-29(6)
197	16	-0.32(7)	0.57(6)	0.14(3)	11(10-I-3)	81(6)	-29(6)
198	1	-0.41(3)	0.17(6)	-0.40(6)	-52(6)	-124(5)	-42(2)
198	2	-0.38(3)	0.06(7)	-0.33(6)	-27(5)	-97(1)	-27(5)
198	3	-0.39(3)	-0.09(2)	-0.25(6)	13(4)	86(6)	-44(6)
198	4	-0.41(3)	-0.15(6)	-0.18(6)	22(2)	143(5)	-36(6)
198	5	-0.36(3)	0.14(6)	-0.39(6)	-52(6)	-129(6)	-40(2)
198	6	-0.35(3)	-0.05(2)	-0.30(6)	-23(6)	-87(1)	-25(5)
198	7	-0.36(3)	-0.09(5)	-0.23(6)	14(2)	85(6)	-41(6)
198	8	-0.38(3)	-0.18(6)	-0.15(6)	24(2)	147(5)	-33(6)
198	9	-0.33(3)	0.12(6)	-0.36(6)	-52(6)	-135(6)	-37(2)
198	10	-0.32(3)	-0.04(2)	-0.28(6)	-25(6)	-78(1)	-23(5)
198	11	-0.33(3)	-0.10(5)	-0.20(6)	19(2)	83(6)	-39(6)
198	12	-0.34(3)	-0.20(6)	-0.13(5)	25(2)	154(6)	-31(6)
198	13	-0.29(3)	0.11(6)	-0.34(6)	-51(6)	-139(6)	-33(2)
198	14	-0.29(3)	-0.04(2)	-0.25(6)	-25(6)	-68(1)	-21(5)
198	15	-0.29(3)	-0.12(6)	-0.17(6)	21(2)	81(6)	-36(6)
198	16	-0.31(3)	-0.22(6)	-0.12(5)	25(2)	161(6)	-28(6)
199	1	-0.36(7)	-0.31(2)	0.19(3)	46(6)	282(6)	-15(8)
199	2	-0.31(4)	-0.27(2)	0.22(3)	32(6)	124(6)	12(6)
199	3	-0.34(3)	-0.23(2)	0.21(3)	15(6)	-57(1)	21(6)
199	4	-0.43(1)	-0.21(2)	0.17(2)	-14(1)	-155(5)	-8(4)
199	5	-0.31(7)	-0.31(2)	0.18(3)	51(6)	297(6)	-14(8)
199	6	-0.28(4)	-0.26(2)	0.20(3)	36(6)	131(6)	11(6)
199	7	-0.31(1)	-0.21(2)	0.20(3)	17(6)	-56(1)	18(6)
199	8	-0.38(1)	-0.17(2)	0.16(2)	-12(1)	-163(5)	-7(4)
199	9	-0.28(4)	-0.30(2)	0.17(3)	55(6)	311(6)	-11(8)
199	10	-0.25(4)	-0.25(2)	0.19(3)	38(6)	136(6)	11(6)
199	11	-0.28(1)	-0.19(2)	0.18(3)	17(6)	-54(1)	16(6)
199	12	-0.34(1)	-0.16(5)	0.15(2)	-11(1)	-169(5)	-7(4)
199	13	-0.24(4)	-0.30(2)	0.15(3)	58(6)	325(6)	-9(8)
199	14	-0.23(4)	-0.24(2)	0.17(3)	40(6)	141(6)	10(6)
199	15	-0.26(1)	-0.17(5)	0.16(3)	17(6)	-52(1)	14(6)
199	16	-0.30(1)	-0.15(2)	0.13(2)	-9(1)	-173(5)	-6(4)
200	1	-0.18(4)	0.84(6)	-0.73(6)	53(6)	153(6)	59(6)
200	2	-0.24(4)	0.60(6)	-0.72(6)	20(1)	82(1)	11(6)
200	3	-0.34(3)	0.38(6)	-0.64(6)	17(1)	-90(6)	-9(3)
200	4	-0.50(5)	0.23(6)	-0.55(6)	-37(6)	-233(6)	38(6)
200	5	-0.15(3)	0.84(6)	-0.68(6)	49(6)	159(6)	53(6)
200	6	-0.23(3)	0.63(6)	-0.65(6)	19(1)	82(1)	10(6)
200	7	-0.32(2)	0.40(6)	-0.58(6)	14(1)	-93(6)	-9(3)
200	8	-0.50(5)	0.20(6)	-0.50(6)	-34(6)	-233(6)	35(6)
200	9	-0.14(3)	0.86(6)	-0.62(6)	49(6)	165(6)	47(6)
200	10	-0.22(3)	0.65(6)	-0.57(6)	18(1)	81(1)	8(6)
200	11	-0.31(5)	0.40(6)	-0.50(6)	12(1)	-94(6)	-10(3)
200	12	-0.48(5)	0.19(6)	-0.44(6)	-31(6)	-232(6)	32(6)
200	13	-0.13(3)	0.89(6)	-0.56(6)	52(6)	171(6)	41(6)
200	14	-0.20(4)	0.66(6)	-0.49(6)	16(6)	80(1)	6(6)
200	15	-0.29(5)	0.40(6)	-0.42(6)	10(1)	-96(6)	-10(3)
200	16	-0.44(6)	0.19(6)	-0.39(6)	-30(6)	-232(6)	29(6)
201	1	-0.49(6)	1.45(6)	-0.39(6)	54(6)	419(6)	309(6)
201	2	-0.43(6)	1.33(6)	-0.48(6)	25(3)	-132(6)	342(6)
201	3	-0.42(5)	1.22(6)	-0.55(6)	-93(6)	-702(6)	301(6)
201	4	-0.56(5)	1.14(6)	-0.66(6)	-173(6)	-1289(6)	203(6)
201	5	-0.36(6)	1.51(6)	-0.38(6)	61(6)	460(6)	302(6)
201	6	-0.37(6)	1.41(6)	-0.45(6)	22(3)	-130(6)	333(6)
201	7	-0.42(5)	1.30(6)	-0.52(6)	-98(6)	-735(6)	294(6)
201	8	-0.52(5)	1.17(6)	-0.61(6)	-180(6)	-1363(6)	198(6)
201	9	-0.31(6)	1.61(6)	-0.36(6)	69(6)	499(6)	297(6)
201	10	-0.32(6)	1.50(6)	-0.41(6)	18(3)	-128(6)	329(6)
201	11	-0.36(5)	1.37(6)	-0.48(6)	-100(6)	-767(6)	291(6)
201	12	-0.46(5)	1.24(6)	-0.57(6)	-186(6)	-1434(6)	195(6)

**POTENZIAMENTO DELL'IMPIANTO DI DEPURAZIONE E
DEL RECAPITO FINALE DI SQUINZANO (LE)
PROGETTO DEFINITIVO
Tabulati di calcolo strutturale-Filtrazione**

R.37.9

Maggio 2021

Pagina 94 di 364

Muro	Pann.	Sxx	Syy	Sxy	Mxx	Myy	Mxy
201	13	-0.27 (6)	1.73 (6)	-0.32 (6)	76 (6)	537 (6)	293 (6)
201	14	-0.27 (6)	1.60 (6)	-0.36 (6)	-14 (6)	-125 (6)	325 (6)
201	15	-0.31 (5)	1.45 (6)	-0.43 (6)	-99 (6)	-797 (6)	289 (6)
201	16	-0.38 (5)	1.31 (6)	-0.53 (6)	-190 (6)	-1505 (6)	193 (6)
202	1	-0.43 (7)	-0.23 (1)	0.07 (9-I-4)	12 (10-II-2)	90 (10-II-4)	-34 (10-II-4)
202	2	-0.48 (7)	0.22 (7)	0.04 (9-I-4)	20 (10-II-4)	153 (10-II-4)	-27 (10-II-4)
202	3	-0.53 (7)	0.21 (7)	-0.12 (7)	29 (10-II-4)	221 (10-II-4)	-14 (10-II-4)
202	4	-0.61 (7)	0.20 (7)	-0.22 (7)	38 (10-II-4)	294 (10-II-4)	3 (10-I-1)
202	5	-0.41 (7)	-0.22 (1)	0.07 (9-I-4)	12 (10-II-4)	90 (10-II-4)	-33 (10-II-4)
202	6	-0.46 (7)	0.22 (7)	0.04 (9-I-4)	21 (10-II-4)	154 (10-II-4)	-26 (10-II-4)
202	7	-0.50 (7)	0.21 (7)	-0.12 (7)	29 (10-II-4)	224 (10-II-4)	-13 (10-II-4)
202	8	-0.55 (7)	0.21 (7)	-0.21 (7)	38 (10-II-4)	300 (10-II-4)	3 (10-I-1)
202	9	-0.39 (7)	0.22 (7)	0.06 (9-I-4)	12 (10-II-4)	91 (10-II-4)	-32 (10-II-4)
202	10	-0.43 (7)	0.22 (7)	-0.04 (9-II-4)	21 (10-II-4)	156 (10-II-4)	-25 (10-II-4)
202	11	-0.48 (7)	0.22 (7)	-0.11 (7)	29 (10-II-4)	227 (10-II-4)	-12 (10-II-4)
202	12	-0.52 (7)	0.21 (7)	-0.21 (7)	38 (10-II-4)	305 (10-II-4)	3 (3)
202	13	-0.37 (7)	0.22 (7)	0.06 (9-I-4)	12 (10-II-4)	92 (10-II-4)	-32 (10-II-4)
202	14	-0.41 (7)	0.22 (7)	-0.04 (9-II-4)	21 (10-II-4)	158 (10-II-4)	-24 (10-II-4)
202	15	-0.47 (7)	0.22 (7)	-0.11 (7)	29 (10-II-4)	230 (10-II-4)	-11 (10-II-4)
202	16	-0.51 (7)	0.20 (7)	-0.21 (7)	39 (10-II-4)	309 (10-II-4)	3 (3)
203	1	-0.33 (3)	-0.25 (2)	0.16 (7)	-41 (2)	-284 (2)	40 (1)
203	2	-0.31 (1)	-0.24 (2)	0.20 (7)	-29 (2)	-178 (2)	68 (1)
203	3	-0.29 (1)	-0.26 (2)	0.23 (7)	-24 (2)	-122 (10-II-4)	75 (1)
203	4	-0.27 (1)	-0.27 (2)	0.26 (7)	-25 (6)	-86 (10-II-4)	69 (1)
203	5	-0.31 (3)	-0.22 (2)	0.16 (7)	-39 (2)	-275 (2)	40 (1)
203	6	-0.28 (1)	-0.23 (2)	0.19 (7)	-31 (2)	-175 (2)	69 (1)
203	7	-0.28 (1)	-0.24 (2)	0.22 (7)	-26 (2)	-122 (10-II-4)	75 (1)
203	8	-0.27 (1)	-0.26 (2)	0.25 (7)	-24 (6)	-86 (10-II-4)	68 (1)
203	9	-0.30 (8)	-0.20 (2)	0.15 (7)	-38 (2)	-267 (2)	40 (1)
203	10	-0.27 (1)	-0.22 (2)	0.18 (7)	-31 (2)	-172 (2)	68 (1)
203	11	-0.26 (1)	-0.23 (2)	0.21 (7)	-28 (2)	-122 (10-II-4)	75 (1)
203	12	-0.26 (1)	-0.25 (2)	0.24 (7)	-26 (2)	-87 (10-II-4)	68 (1)
203	13	-0.30 (7)	-0.19 (2)	0.15 (7)	-37 (2)	-258 (2)	40 (1)
203	14	-0.26 (3)	-0.20 (2)	0.17 (7)	-31 (2)	-169 (2)	68 (1)
203	15	-0.25 (1)	-0.22 (2)	0.20 (7)	-29 (2)	-123 (10-II-4)	74 (1)
203	16	-0.24 (1)	-0.23 (2)	0.23 (7)	-28 (2)	-87 (10-II-4)	67 (1)
204	1	-0.25 (3)	0.51 (7)	0.41 (6)	47 (10-I-1)	83 (5)	-69 (2)
204	2	-0.26 (3)	0.57 (7)	0.47 (6)	40 (10-I-2)	48 (10-I-2)	-81 (2)
204	3	-0.28 (3)	0.62 (7)	0.53 (6)	31 (10-II-4)	-146 (1)	-65 (2)
204	4	-0.28 (3)	0.66 (7)	0.56 (6)	-44 (1)	-293 (1)	-47 (4)
204	5	-0.24 (3)	0.51 (7)	0.40 (6)	43 (10-I-1)	78 (5)	-69 (2)
204	6	-0.24 (1)	0.58 (7)	0.46 (6)	36 (9-I-1)	47 (10-I-2)	-82 (2)
204	7	-0.26 (1)	0.63 (7)	0.51 (6)	28 (7)	-139 (1)	-67 (2)
204	8	-0.26 (3)	0.68 (7)	0.55 (6)	-41 (1)	-278 (1)	-47 (4)
204	9	-0.22 (1)	0.52 (7)	0.39 (6)	39 (10-I-1)	74 (5)	-69 (2)
204	10	-0.23 (1)	0.59 (7)	0.45 (6)	33 (9-I-1)	46 (10-I-1)	-82 (2)
204	11	-0.25 (1)	0.65 (7)	0.50 (6)	-28 (1)	-134 (1)	-67 (2)
204	12	-0.25 (1)	0.70 (7)	0.54 (6)	-39 (1)	-262 (1)	-46 (4)
204	13	-0.22 (1)	0.53 (7)	0.38 (6)	34 (10-I-1)	70 (5)	-68 (2)
204	14	-0.22 (1)	0.60 (7)	0.43 (6)	29 (9-I-1)	45 (10-I-1)	-81 (2)
204	15	-0.24 (1)	0.66 (7)	0.48 (6)	-28 (1)	-128 (1)	-68 (2)
204	16	-0.24 (1)	0.73 (7)	0.52 (6)	-37 (1)	-246 (1)	-45 (4)
205	1	-0.31 (7)	-0.33 (1)	0.23 (7)	-16 (10-II-4)	-111 (10-II-4)	-31 (10-II-4)
205	2	-0.34 (7)	-0.31 (1)	0.21 (7)	-9 (10-II-4)	-64 (10-II-4)	-36 (10-II-4)
205	3	-0.36 (7)	-0.29 (1)	0.17 (7)	-3 (10-II-4)	-19 (2)	-38 (10-II-4)
205	4	-0.39 (7)	-0.26 (1)	0.12 (7)	6 (10-II-2)	37 (10-II-2)	-37 (10-II-4)
205	5	-0.29 (6)	-0.30 (1)	0.23 (7)	-16 (10-II-4)	-112 (10-II-4)	-31 (10-II-4)
205	6	-0.31 (7)	-0.29 (1)	0.21 (7)	-9 (10-II-4)	-64 (10-II-4)	-35 (10-II-4)
205	7	-0.34 (7)	-0.27 (1)	0.17 (7)	-3 (10-II-4)	-19 (2)	-37 (10-II-4)
205	8	-0.37 (7)	-0.25 (1)	0.12 (7)	6 (10-II-2)	37 (10-II-2)	-37 (10-II-4)
205	9	-0.27 (6)	-0.28 (1)	0.23 (7)	-16 (10-II-4)	-113 (10-II-4)	-30 (10-II-4)
205	10	-0.29 (7)	-0.27 (1)	0.20 (7)	-9 (10-II-4)	-65 (10-II-4)	-35 (10-II-4)
205	11	-0.32 (7)	-0.25 (1)	0.17 (7)	-3 (10-II-4)	-19 (2)	-36 (10-II-4)
205	12	-0.35 (7)	-0.23 (1)	0.12 (7)	6 (10-II-2)	37 (10-II-2)	-36 (10-II-4)
205	13	-0.26 (6)	-0.26 (1)	0.22 (7)	-16 (10-II-4)	-114 (10-II-4)	-30 (10-II-4)
205	14	-0.26 (7)	-0.25 (1)	0.20 (7)	-9 (10-II-4)	-65 (10-II-4)	-34 (10-II-4)
205	15	-0.29 (7)	-0.23 (1)	0.16 (7)	-2 (10-II-4)	-19 (2)	-36 (10-II-4)
205	16	-0.33 (7)	-0.22 (1)	0.12 (7)	6 (10-II-2)	38 (10-II-2)	-35 (10-II-4)
206	1	-0.39 (4)	-0.72 (1)	0.56 (7)	12 (10-II-4)	87 (2)	26 (10-II-4)
206	2	-0.43 (7)	-0.75 (1)	0.50 (7)	8 (7)	41 (7)	30 (10-II-4)
206	3	-0.46 (7)	0.80 (7)	0.42 (7)	-15 (2)	82 (7)	30 (10-II-4)
206	4	-0.49 (7)	0.87 (7)	0.31 (7)	-27 (2)	-166 (2)	23 (10-II-4)
206	5	-0.34 (4)	-0.69 (1)	0.54 (7)	12 (10-II-4)	87 (2)	25 (10-II-4)
206	6	-0.34 (7)	0.72 (7)	0.49 (7)	9 (7)	42 (7)	29 (10-II-4)
206	7	-0.36 (7)	0.81 (7)	0.41 (7)	-15 (2)	82 (7)	29 (10-II-4)
206	8	-0.39 (7)	0.88 (7)	0.30 (7)	-27 (2)	-166 (2)	22 (10-II-4)

**POTENZIAMENTO DELL'IMPIANTO DI DEPURAZIONE E
DEL RECAPITO FINALE DI SQUINZANO (LE)
PROGETTO DEFINITIVO
Tabulati di calcolo strutturale-Filtrazione**

R.37.9

Maggio 2021

Pagina 95 di 364

Muro	Pann.	Sxx	Syy	Sxy	Mxx	Myy	Mxy
206	9	-0.31(4)	-0.65(1)	0.53(7)	12(10-II-4)	86(2)	24(10-II-4)
206	10	-0.31(7)	0.72(7)	0.47(7)	9(7)	43(7)	28(10-II-4)
206	11	-0.32(7)	0.81(7)	0.40(7)	-14(2)	83(7)	28(10-II-4)
206	12	-0.35(7)	0.89(7)	0.30(7)	-26(2)	-166(2)	22(10-II-4)
206	13	-0.28(4)	-0.62(1)	0.51(7)	12(10-II-4)	87(10-II-4)	24(10-II-4)
206	14	-0.29(7)	0.72(7)	0.46(7)	9(7)	43(7)	27(10-II-4)
206	15	-0.32(7)	0.82(7)	0.39(7)	-14(2)	84(7)	28(10-II-4)
206	16	-0.35(7)	0.89(7)	0.29(7)	-26(2)	-166(2)	21(10-II-4)
207	1	-0.41(3)	0.80(7)	0.51(5)	33(10-I-4)	-64(2)	-81(4)
207	2	-0.45(3)	0.85(6)	0.58(5)	53(10-II-2)	193(1)	-70(4)
207	3	-0.33(4)	1.18(6)	0.58(5)	60(10-II-1)	287(1)	-51(3)
207	4	-0.52(6)	1.70(6)	0.47(5)	53(10-II-4)	213(1)	-104(2)
207	5	-0.29(3)	0.81(7)	0.48(5)	28(10-I-4)	-67(2)	-84(4)
207	6	-0.26(4)	0.94(6)	0.54(5)	45(10-II-2)	184(1)	-71(4)
207	7	-0.36(6)	1.30(6)	0.52(5)	50(10-II-1)	274(1)	-50(3)
207	8	-0.63(6)	1.85(6)	0.37(5)	42(10-II-4)	202(1)	-104(2)
207	9	-0.26(3)	0.83(7)	0.46(5)	-27(2)	-70(2)	-85(4)
207	10	-0.21(4)	1.04(6)	0.51(5)	37(10-II-2)	175(1)	-71(4)
207	11	-0.35(6)	1.43(6)	0.47(5)	40(10-II-1)	262(1)	-50(3)
207	12	-0.58(6)	1.97(6)	0.26(5)	33(10-II-4)	191(1)	-102(2)
207	13	-0.24(3)	0.84(7)	0.44(5)	-29(2)	-73(2)	-86(4)
207	14	-0.20(6)	1.14(6)	0.48(5)	30(10-II-2)	166(1)	-70(4)
207	15	-0.35(6)	1.55(6)	0.41(5)	32(10-II-1)	249(1)	-49(3)
207	16	-0.53(6)	2.07(6)	0.17(5)	26(10-II-4)	182(1)	-99(2)
208	1	-0.38(1)	-0.38(5)	0.20(7)	-36(10-II-4)	-273(10-II-4)	-5(5)
208	2	-0.32(1)	-0.36(5)	0.22(7)	-31(10-II-4)	-233(10-II-4)	-11(2)
208	3	-0.27(1)	-0.35(1)	0.24(7)	-26(10-II-4)	-193(10-II-4)	-17(10-II-4)
208	4	-0.27(7)	-0.34(1)	0.24(7)	-22(10-II-4)	-154(10-II-4)	-25(10-II-4)
208	5	-0.32(9-I-4)	-0.35(5)	0.19(7)	-36(10-II-4)	-278(10-II-4)	-5(5)
208	6	-0.30(1)	-0.33(5)	0.22(7)	-31(10-II-4)	-236(10-II-4)	-11(2)
208	7	-0.29(5)	-0.32(1)	0.24(7)	-26(10-II-4)	-195(10-II-4)	-17(10-II-4)
208	8	-0.28(5)	-0.31(1)	0.24(7)	-22(10-II-4)	-155(10-II-4)	-25(10-II-4)
208	9	-0.31(9-I-4)	-0.31(5)	0.19(7)	-36(10-II-4)	-282(10-II-4)	-5(5)
208	10	-0.29(5)	-0.30(5)	0.22(7)	-31(10-II-4)	-239(10-II-4)	-10(2)
208	11	-0.28(5)	-0.29(1)	0.23(7)	-26(10-II-4)	-198(10-II-4)	-17(10-II-4)
208	12	-0.27(5)	-0.29(1)	0.23(7)	-21(10-II-4)	-157(10-II-4)	-24(10-II-4)
208	13	-0.30(9-I-4)	-0.28(5)	0.18(7)	-36(10-II-4)	-286(10-II-4)	-5(5)
208	14	-0.28(5)	-0.27(5)	0.21(7)	-31(10-II-4)	-242(10-II-4)	-10(2)
208	15	-0.27(5)	-0.26(1)	0.22(7)	-26(10-II-4)	-200(10-II-4)	-16(10-II-4)
208	16	-0.26(5)	-0.26(1)	0.23(7)	-21(10-II-4)	-159(10-II-4)	-24(10-II-4)
209	1	-0.32(5)	0.81(7)	0.38(5)	-59(1)	-419(2)	47(5)
209	2	-0.28(1)	0.77(7)	-0.40(4)	-49(2)	-367(2)	61(1)
209	3	-0.27(2)	0.77(7)	-0.41(4)	-44(2)	-318(2)	70(1)
209	4	-0.55(5)	0.78(7)	0.43(5)	-42(2)	-271(2)	75(1)
209	5	-0.29(1)	0.79(7)	0.40(5)	-56(1)	-409(2)	48(5)
209	6	-0.28(1)	0.79(7)	-0.39(4)	-49(2)	-361(2)	61(1)
209	7	-0.27(1)	0.78(7)	0.42(5)	-43(2)	-315(2)	71(1)
209	8	-0.26(2)	0.79(7)	-0.40(4)	-41(2)	-272(2)	78(1)
209	9	-0.27(1)	0.79(7)	0.40(5)	-54(2)	-400(2)	48(5)
209	10	-0.27(1)	0.79(7)	0.40(5)	-48(2)	-354(2)	61(1)
209	11	-0.26(1)	0.80(7)	-0.41(4)	-43(2)	-310(2)	73(1)
209	12	-0.26(1)	0.80(7)	-0.39(4)	-40(2)	-268(2)	80(1)
209	13	-0.27(3)	0.80(7)	-0.39(4)	-53(2)	-390(2)	48(5)
209	14	-0.25(1)	0.81(7)	-0.40(4)	-48(2)	-346(2)	62(1)
209	15	-0.25(1)	0.81(7)	-0.40(4)	-43(2)	-303(2)	73(1)
209	16	-0.28(3)	0.81(7)	-0.39(4)	-40(2)	-261(2)	82(1)
210	1	-0.49(9-II-4)	-0.68(1)	0.54(7)	37(2)	324(2)	-81(7)
210	2	-0.38(3)	-0.67(1)	0.57(7)	30(2)	266(2)	29(1)
210	3	-0.37(4)	-0.69(1)	0.60(7)	23(2)	210(2)	23(2)
210	4	-0.37(4)	-0.71(1)	0.59(7)	18(10-II-4)	156(2)	20(2)
210	5	-0.51(8)	-0.63(1)	0.53(7)	35(2)	323(2)	-79(7)
210	6	-0.40(8)	-0.63(1)	0.57(7)	30(2)	265(2)	28(1)
210	7	-0.37(4)	-0.65(1)	0.58(7)	22(10-II-4)	209(2)	22(2)
210	8	-0.34(4)	-0.67(1)	0.58(7)	18(10-II-4)	155(2)	19(10-II-4)
210	9	-0.51(8)	-0.59(1)	0.52(7)	35(2)	320(2)	-77(7)
210	10	-0.40(7)	-0.59(1)	0.56(7)	30(2)	263(2)	28(1)
210	11	-0.35(4)	-0.61(1)	0.57(7)	23(10-II-4)	208(2)	21(2)
210	12	-0.32(4)	-0.63(1)	0.56(7)	18(10-II-4)	155(2)	19(10-II-4)
210	13	-0.50(8)	-0.54(1)	0.51(7)	34(2)	318(2)	-76(7)
210	14	-0.40(7)	-0.55(1)	0.54(7)	29(2)	261(2)	27(1)
210	15	-0.33(4)	-0.57(1)	0.55(7)	23(10-II-4)	207(2)	20(2)
210	16	-0.29(4)	-0.59(1)	0.54(7)	18(10-II-4)	154(2)	18(10-II-4)
211	1	-0.26(1)	-0.28(1)	0.29(7)	32(10-I-4)	79(5)	50(1)
211	2	-0.25(1)	0.32(7)	0.32(7)	43(10-I-4)	126(5)	-29(4)
211	3	-0.25(1)	0.38(7)	0.35(7)	48(10-I-4)	144(5)	-22(10-II-4)
211	4	-0.25(3)	0.44(7)	0.38(7)	50(10-I-4)	130(5)	-43(2)

**POTENZIAMENTO DELL'IMPIANTO DI DEPURAZIONE E
DEL RECAPITO FINALE DI SQUINZANO (LE)
PROGETTO DEFINITIVO
Tabulati di calcolo strutturale-Filtrazione**

R.37.9

Maggio 2021

Pagina 96 di 364

Muro	Pann.	Sxx	Syy	Sxy	Mxx	Myy	Mxy
211	5	-0.26(1)	-0.27(1)	0.28(7)	29(10-I-4)	73(5)	50(1)
211	6	-0.25(1)	0.32(7)	0.31(7)	39(10-I-4)	120(5)	-29(4)
211	7	-0.24(1)	0.38(7)	0.34(7)	44(10-I-4)	137(5)	-21(10-II-4)
211	8	-0.24(3)	0.45(7)	0.37(7)	46(10-I-4)	124(5)	-43(2)
211	9	-0.25(1)	-0.26(1)	0.27(7)	-26(6)	68(5)	50(1)
211	10	-0.23(1)	0.32(7)	0.30(7)	35(10-I-4)	113(5)	-29(4)
211	11	-0.23(1)	0.39(7)	0.33(7)	40(10-I-4)	130(5)	-21(10-II-4)
211	12	-0.22(1)	0.45(7)	0.36(7)	41(10-I-4)	118(5)	-43(2)
211	13	-0.23(1)	0.25(7)	0.25(7)	-27(2)	63(5)	50(1)
211	14	-0.22(1)	0.32(7)	0.28(7)	31(10-I-4)	106(5)	-28(4)
211	15	-0.22(1)	0.39(7)	0.31(7)	35(10-I-4)	123(5)	-20(10-II-4)
211	16	-0.22(3)	0.46(7)	0.34(7)	36(10-I-1)	112(5)	-43(2)
212	1	-0.27(2)	-0.22(1)	0.07(9-I-4)	-46(4)	-21(6)	-23(10-II-4)
212	2	-0.26(2)	-0.23(1)	0.07(9-I-4)	-44(4)	-20(6)	-22(10-II-4)
212	3	-0.24(2)	-0.23(1)	0.06(9-I-4)	-42(4)	-21(2)	-21(10-II-4)
212	4	-0.22(5)	-0.21(1)	0.06(9-I-4)	-40(4)	-22(2)	-21(10-II-4)
212	5	-0.26(2)	-0.21(1)	0.09(9-I-4)	-51(7)	23(9-I-4)	-36(2)
212	6	-0.25(5)	-0.22(1)	0.09(9-I-4)	-50(7)	19(9-I-4)	-35(2)
212	7	-0.23(5)	-0.21(1)	0.09(9-I-4)	-48(7)	-17(6)	-35(2)
212	8	-0.21(5)	-0.20(1)	0.08(9-I-4)	-47(7)	-17(5)	-34(2)
212	9	-0.25(5)	-0.23(1)	0.11(9-I-4)	-38(7)	21(9-I-4)	-45(2)
212	10	-0.23(5)	-0.22(1)	0.11(9-I-4)	-39(7)	17(9-I-4)	-45(2)
212	11	-0.22(5)	-0.22(1)	0.11(9-I-4)	-39(7)	14(9-I-4)	-45(2)
212	12	-0.20(5)	-0.21(1)	0.10(9-I-4)	-39(7)	-12(6)	-44(2)
212	13	-0.23(5)	-0.27(1)	0.12(9-I-4)	-45(5)	15(10-II-4)	-32(10-II-4)
212	14	-0.21(5)	-0.24(1)	0.12(9-I-4)	-43(10-I-4)	14(10-II-4)	-32(10-II-4)
212	15	-0.20(5)	-0.23(1)	0.12(9-I-4)	-42(10-I-4)	12(10-II-4)	-32(10-II-4)
212	16	-0.18(5)	-0.23(1)	0.11(9-I-4)	-39(10-I-4)	11(10-II-4)	-32(10-II-4)
213	1	-0.28(2)	-0.39(1)	-0.13(7)	-275(2)	-44(2)	17(7)
213	2	-0.25(2)	-0.34(1)	-0.13(7)	-268(2)	-43(2)	16(7)
213	3	-0.23(2)	-0.31(1)	-0.12(7)	-261(2)	-43(2)	16(9-II-4)
213	4	-0.21(2)	-0.30(1)	-0.12(7)	-253(2)	-42(2)	16(9-II-4)
213	5	-0.27(2)	-0.34(1)	-0.09(7)	-182(2)	-32(2)	18(5)
213	6	-0.26(2)	-0.31(1)	-0.09(7)	-180(2)	-34(2)	19(5)
213	7	-0.24(2)	-0.29(1)	-0.09(7)	-177(2)	-34(2)	19(5)
213	8	-0.22(2)	-0.27(1)	-0.09(7)	-174(2)	-34(2)	19(5)
213	9	-0.28(2)	-0.29(1)	-0.06(7)	-101(2)	-26(2)	23(5)
213	10	-0.26(2)	-0.28(1)	-0.06(7)	-102(2)	-28(2)	23(5)
213	11	-0.24(2)	-0.27(1)	-0.06(7)	-103(2)	-29(2)	23(5)
213	12	-0.22(2)	-0.25(1)	-0.06(7)	-104(2)	-30(2)	23(5)
213	13	-0.28(2)	-0.25(1)	0.05(9-I-4)	-36(2)	-21(2)	-18(4)
213	14	-0.26(2)	-0.26(1)	0.04(9-I-4)	-39(2)	-24(2)	-18(4)
213	15	-0.24(2)	-0.25(1)	0.04(9-I-4)	-42(2)	-26(2)	-18(4)
213	16	-0.22(2)	-0.23(1)	0.04(9-I-4)	-46(2)	-27(2)	-18(4)
214	1	-0.20(1)	0.24(7)	0.22(7)	-31(2)	-53(4)	46(1)
214	2	-0.19(1)	0.31(7)	0.25(7)	-32(2)	91(5)	-28(4)
214	3	-0.18(1)	0.39(7)	0.28(7)	-31(2)	107(5)	-20(10-II-4)
214	4	-0.18(1)	0.47(7)	0.31(7)	-30(1)	97(5)	-41(2)
214	5	-0.14(1)	0.22(7)	0.16(7)	-28(2)	-52(10-II-4)	39(1)
214	6	-0.13(1)	0.31(7)	0.18(7)	-30(2)	68(5)	-26(4)
214	7	-0.13(1)	0.39(7)	0.21(7)	-30(2)	83(5)	-20(10-II-4)
214	8	-0.13(1)	0.48(7)	0.23(7)	-28(1)	75(5)	-36(2)
214	9	-0.08(1)	0.20(7)	0.09(7)	-18(2)	-57(10-II-4)	32(1)
214	10	-0.08(1)	0.28(7)	0.11(7)	-20(2)	50(5)	-24(4)
214	11	-0.08(4)	0.39(7)	0.13(7)	-20(2)	64(5)	-21(10-II-4)
214	12	-0.08(4)	0.50(7)	0.15(7)	-18(1)	59(5)	-32(2)
214	13	-0.03(6)	0.21(6)	0.03(7)	-5(2)	-59(10-II-4)	-18(4)
214	14	-0.03(7)	0.29(6)	0.04(7)	-5(2)	41(5)	-16(4)
214	15	-0.03(1)	0.37(6)	0.05(7)	-6(2)	55(5)	-15(10-II-4)
214	16	-0.03(1)	0.49(6)	0.06(7)	-5(1)	53(10-I-4)	-19(2)
215	1	-0.17(5)	-0.18(1)	0.05(9-I-4)	-37(4)	-24(2)	-21(10-II-4)
215	2	-0.10(8)	-0.13(1)	0.04(9-I-4)	-31(4)	-20(2)	-21(10-II-4)
215	3	-0.11(7)	-0.08(1)	0.02(9-I-4)	-29(6)	-12(2)	-21(10-II-4)
215	4	-0.20(7)	-0.03(4)	0.01(9-I-4)	-33(2)	-3(2)	-14(10-II-4)
215	5	-0.17(5)	-0.18(1)	0.07(9-I-4)	-43(7)	-18(1)	-33(2)
215	6	-0.09(5)	-0.13(1)	0.06(9-I-4)	-39(7)	-15(1)	-30(10-II-4)
215	7	-0.10(9-II-4)	-0.08(1)	0.04(9-I-4)	-35(7)	-9(1)	-29(10-II-4)
215	8	-0.17(7)	-0.03(7)	0.01(9-I-4)	-34(7)	-2(1)	-20(10-II-4)
215	9	-0.16(5)	-0.18(1)	0.09(9-I-4)	-39(7)	-12(1)	-42(2)
215	10	-0.09(5)	-0.13(1)	0.08(9-I-4)	-40(7)	-7(1)	-37(2)
215	11	-0.08(9-II-4)	-0.08(1)	0.06(9-I-4)	-41(7)	-3(5)	-32(2)
215	12	-0.13(7)	-0.03(1)	0.02(9-I-4)	-42(7)	0	-22(10-II-4)
215	13	-0.14(5)	-0.19(1)	0.10(9-I-4)	-33(10-I-4)	9(10-II-4)	-31(10-II-4)
215	14	-0.07(5)	-0.14(1)	0.09(9-I-4)	45(2)	9(10-II-4)	-29(10-II-4)
215	15	-0.05(9-II-4)	-0.10(1)	0.07(7)	69(2)	10(10-II-4)	-26(10-II-4)
215	16	0.08(9-I-4)	-0.05(2)	0.05(7)	82(2)	9(2)	-14(10-II-4)

**POTENZIAMENTO DELL'IMPIANTO DI DEPURAZIONE E
DEL RECAPITO FINALE DI SQUINZANO (LE)
PROGETTO DEFINITIVO
Tabulati di calcolo strutturale-Filtrazione**

R.37.9

Maggio 2021

Pagina 97 di 364

Muro	Pann.	Sxx	Syy	Sxy	Mxx	Myy	Mxy
216	1	-0.17 (2)	-0.25 (1)	-0.12 (7)	-233 (2)	-38 (2)	14 (9-II-4)
216	2	-0.11 (2)	-0.19 (1)	-0.10 (7)	-204 (2)	-30 (2)	11 (9-II-4)
216	3	-0.11 (10-I-2)	-0.13 (1)	-0.08 (7)	-189 (10-II-4)	-20 (2)	9 (9-II-4)
216	4	0.14 (5)	-0.04 (1)	-0.06 (7)	-188 (10-II-4)	-6 (2)	8 (5)
216	5	-0.18 (2)	-0.23 (1)	-0.09 (7)	-168 (2)	-33 (2)	17 (5)
216	6	-0.10 (2)	-0.16 (1)	-0.08 (7)	-158 (2)	-26 (2)	14 (5)
216	7	-0.10 (10-I-1)	-0.09 (1)	-0.06 (7)	-152 (2)	-14 (2)	12 (5)
216	8	-0.15 (7)	-0.03 (4)	-0.03 (6)	-148 (2)	-3 (2)	-7 (4)
216	9	-0.17 (2)	-0.21 (1)	-0.05 (7)	-106 (2)	-30 (2)	20 (5)
216	10	-0.10 (8)	-0.14 (1)	-0.05 (7)	-109 (2)	-23 (2)	-17 (4)
216	11	-0.10 (10-I-1)	-0.08 (1)	-0.03 (9-II-4)	-112 (2)	-13 (2)	-14 (4)
216	12	-0.18 (7)	-0.03 (7)	-0.01 (9-II-4)	-114 (2)	-3 (2)	-9 (4)
216	13	-0.17 (5)	-0.20 (1)	0.03 (9-I-4)	-53 (2)	-27 (2)	-17 (4)
216	14	-0.10 (8)	-0.14 (1)	-0.02 (5)	-63 (2)	-22 (2)	-16 (4)
216	15	-0.10 (7)	-0.08 (1)	-0.02 (5)	-72 (2)	-13 (2)	-14 (4)
216	16	-0.20 (7)	-0.03 (1)	-0.01 (9-II-4)	-76 (2)	-3 (2)	-9 (10-II-4)
217	1	-0.29 (7)	0.22 (7)	0.05 (7)	12 (10-II-4)	95 (10-II-4)	-32 (10-II-4)
217	2	-0.33 (7)	0.23 (7)	-0.04 (9-II-4)	20 (10-II-4)	162 (10-II-4)	-25 (10-II-4)
217	3	-0.38 (7)	0.23 (7)	-0.11 (7)	29 (10-II-4)	237 (10-II-4)	-12 (10-II-4)
217	4	-0.42 (7)	0.21 (7)	-0.19 (7)	39 (10-II-4)	320 (10-II-4)	3 (10-II-2)
217	5	-0.19 (7)	0.24 (7)	-0.05 (1)	10 (10-II-4)	99 (10-II-4)	-33 (10-II-4)
217	6	-0.22 (7)	0.25 (7)	-0.04 (9-II-4)	17 (10-II-4)	170 (10-II-4)	-25 (10-II-4)
217	7	-0.27 (7)	0.25 (7)	-0.11 (7)	26 (10-II-4)	249 (10-II-4)	-13 (10-II-4)
217	8	-0.32 (7)	0.23 (7)	-0.17 (7)	37 (10-II-4)	339 (10-II-4)	3 (10-I-1)
217	9	-0.10 (7)	0.29 (7)	-0.04 (1)	6 (10-II-4)	103 (10-II-4)	-33 (10-II-4)
217	10	-0.12 (7)	0.29 (7)	-0.03 (9-II-4)	11 (10-II-4)	176 (10-II-4)	-26 (10-II-4)
217	11	-0.14 (7)	0.25 (7)	-0.10 (7)	17 (10-II-4)	260 (10-II-4)	-13 (10-II-4)
217	12	-0.25 (7)	0.27 (7)	-0.15 (7)	31 (10-II-4)	357 (10-II-4)	4 (10-I-1)
217	13	-0.03 (7)	0.37 (7)	-0.02 (1)	2 (10-II-4)	105 (10-II-4)	-22 (10-II-4)
217	14	-0.03 (1)	0.37 (7)	-0.01 (9-II-4)	3 (10-II-4)	180 (10-II-4)	-20 (10-II-4)
217	15	-0.03 (1)	0.31 (7)	-0.04 (7)	3 (10-II-4)	265 (10-II-4)	-12 (10-II-4)
217	16	-0.14 (7)	0.14 (6)	-0.14 (7)	20 (10-II-4)	365 (10-II-4)	4 (10-II-2)
218	1	-0.18 (1)	0.55 (7)	0.34 (6)	-27 (1)	59 (5)	-65 (2)
218	2	-0.19 (1)	0.64 (7)	0.40 (6)	-24 (1)	42 (10-I-1)	-77 (2)
218	3	-0.21 (1)	0.71 (7)	0.44 (6)	-24 (1)	-113 (1)	-66 (2)
218	4	-0.22 (1)	0.77 (7)	0.48 (6)	32 (7)	-204 (1)	-40 (4)
218	5	-0.13 (1)	0.59 (7)	0.27 (6)	-24 (1)	52 (10-I-1)	-57 (2)
218	6	-0.14 (1)	0.71 (7)	0.32 (6)	-17 (1)	37 (10-I-1)	-68 (2)
218	7	-0.15 (1)	0.80 (7)	0.37 (6)	12 (7)	-90 (1)	-59 (2)
218	8	-0.18 (1)	0.87 (7)	0.39 (6)	21 (7)	-138 (1)	-38 (4)
218	9	-0.08 (1)	0.61 (7)	0.17 (6)	-14 (1)	48 (10-I-1)	-49 (2)
218	10	-0.08 (1)	0.77 (7)	0.21 (6)	-8 (1)	34 (10-I-1)	-58 (2)
218	11	-0.09 (1)	0.96 (7)	0.28 (7)	3 (10-II-4)	-71 (1)	-51 (2)
218	12	0.23 (7)	1.05 (6)	0.27 (6)	6 (10-II-4)	-83 (10-I-4)	-35 (4)
218	13	-0.03 (7)	0.65 (6)	0.07 (7)	-4 (1)	46 (10-I-1)	-28 (2)
218	14	-0.06 (7)	0.84 (6)	0.08 (7)	-2 (1)	33 (10-I-1)	-36 (2)
218	15	-0.03 (4)	1.07 (6)	0.11 (7)	2 (2)	-61 (1)	-32 (2)
218	16	0.19 (7)	1.44 (7)	0.25 (7)	-10 (7)	-83 (10-I-4)	-31 (7)
219	1	-0.25 (7)	-0.15 (2)	0.13 (7)	-31 (2)	-235 (2)	39 (1)
219	2	-0.21 (3)	-0.17 (2)	0.15 (7)	-29 (2)	-160 (2)	64 (1)
219	3	-0.21 (1)	-0.19 (2)	0.17 (7)	-28 (2)	-123 (10-II-4)	69 (1)
219	4	-0.20 (1)	-0.20 (2)	0.19 (7)	-29 (2)	-87 (10-II-4)	63 (1)
219	5	-0.22 (7)	-0.12 (10-II-4)	0.11 (7)	-21 (2)	-202 (2)	34 (1)
219	6	-0.16 (7)	-0.13 (2)	0.11 (7)	-19 (2)	-156 (10-II-4)	56 (1)
219	7	-0.14 (1)	-0.14 (2)	0.13 (7)	-22 (2)	-123 (10-II-4)	60 (1)
219	8	-0.14 (1)	0.16 (7)	0.14 (7)	-25 (2)	-89 (10-II-4)	54 (1)
219	9	-0.17 (7)	-0.11 (10-II-4)	0.07 (7)	-15 (10-II-4)	-187 (10-II-4)	31 (1)
219	10	-0.10 (7)	-0.10 (10-II-4)	0.08 (7)	-8 (2)	-157 (10-II-4)	48 (1)
219	11	-0.09 (4)	-0.10 (9-I-4)	0.08 (7)	-11 (2)	-125 (10-II-4)	50 (1)
219	12	-0.08 (1)	0.14 (7)	0.08 (7)	-15 (2)	-92 (10-II-4)	45 (1)
219	13	-0.08 (7)	-0.09 (4)	0.07 (7)	-5 (10-I-2)	-184 (10-II-4)	20 (1)
219	14	-0.03 (7)	-0.07 (9-I-4)	0.04 (7)	-2 (3)	-157 (10-II-4)	29 (1)
219	15	-0.03 (1)	0.09 (6)	0.03 (7)	-2 (2)	-126 (10-II-4)	30 (1)
219	16	-0.03 (1)	0.14 (6)	0.03 (7)	-4 (2)	-93 (10-II-4)	25 (1)
220	1	-0.19 (1)	0.99 (6)	-0.40 (4)	-30 (2)	-78 (2)	-84 (4)
220	2	-0.17 (6)	1.33 (6)	0.42 (5)	-26 (2)	149 (1)	-69 (4)
220	3	-0.26 (6)	1.74 (6)	0.33 (5)	-25 (5)	232 (1)	-49 (10-II-4)
220	4	-0.38 (6)	2.17 (6)	-0.10 (4)	-23 (5)	172 (1)	-94 (2)
220	5	-0.13 (1)	1.24 (6)	-0.34 (4)	-27 (2)	-85 (2)	-81 (4)
220	6	-0.12 (6)	1.60 (6)	0.32 (5)	-25 (2)	128 (5)	-66 (4)
220	7	-0.17 (6)	1.98 (6)	0.23 (5)	-24 (5)	213 (1)	-49 (10-II-4)
220	8	-0.25 (6)	2.28 (6)	-0.10 (7)	-20 (5)	162 (1)	-88 (2)
220	9	-0.08 (1)	1.49 (6)	-0.24 (4)	-16 (2)	-91 (2)	-75 (4)
220	10	-0.07 (6)	1.86 (6)	0.21 (5)	-16 (2)	112 (5)	-60 (4)
220	11	-0.09 (6)	2.24 (6)	-0.14 (4)	-16 (5)	198 (1)	-46 (10-II-4)
220	12	-0.14 (6)	2.41 (6)	-0.09 (6)	-12 (5)	153 (1)	-77 (2)

**POTENZIAMENTO DELL'IMPIANTO DI DEPURAZIONE E
DEL RECAPITO FINALE DI SQUINZANO (LE)
PROGETTO DEFINITIVO
Tabulati di calcolo strutturale-Filtrazione**

R.37.9

Maggio 2021

Pagina 98 di 364

Muro	Pann.	Sxx	Syy	Sxy	Mxx	Myy	Mxy
220	13	-0.04(5)	1.71(6)	-0.09(4)	-6(2)	-94(2)	-46(4)
220	14	-0.05(5)	2.14(6)	-0.06(4)	-3(2)	105(5)	-40(4)
220	15	-0.06(4)	2.54(6)	-0.05(4)	-3(2)	191(1)	-30(10-II-4)
220	16	-0.03(4)	2.60(6)	-0.04(6)	-3(5)	149(1)	-44(2)
221	1	-0.24(4)	0.58(7)	0.46(7)	11(10-II-4)	89(10-II-4)	24(10-II-4)
221	2	-0.23(7)	0.72(7)	0.41(7)	8(7)	45(7)	28(10-II-4)
221	3	-0.23(7)	0.84(7)	0.35(7)	13(7)	85(7)	28(10-II-4)
221	4	-0.23(7)	0.92(7)	0.26(7)	-24(2)	-165(2)	22(10-II-4)
221	5	-0.16(4)	0.57(7)	0.36(7)	9(10-II-4)	92(10-II-4)	25(10-II-4)
221	6	-0.15(4)	0.75(7)	0.32(7)	7(7)	48(7)	28(10-II-4)
221	7	-0.14(7)	0.90(7)	0.29(7)	-10(2)	87(7)	28(10-II-4)
221	8	-0.13(4)	0.99(7)	0.22(7)	-21(2)	-164(2)	23(10-II-4)
221	9	-0.09(4)	0.58(7)	0.23(7)	5(3)	95(10-II-4)	25(10-II-4)
221	10	-0.08(6)	0.80(7)	0.21(7)	4(7)	51(7)	28(10-II-4)
221	11	-0.08(1)	1.00(7)	0.20(7)	-6(2)	90(7)	28(10-II-4)
221	12	-0.09(1)	1.12(7)	0.17(7)	-15(2)	-164(2)	22(10-II-4)
221	13	-0.03(7)	0.63(7)	0.08(7)	1(4)	97(10-II-4)	17(10-II-4)
221	14	-0.05(7)	0.88(7)	0.07(7)	1(7)	52(7)	21(10-II-4)
221	15	-0.04(1)	1.11(7)	0.07(7)	1(7)	92(7)	21(10-II-4)
221	16	0.04(7)	1.35(7)	0.11(7)	-11(10-II-4)	-164(2)	10(10-II-4)
222	1	-0.22(6)	-0.19(1)	0.20(7)	-14(10-II-4)	-117(10-II-4)	-30(10-II-4)
222	2	-0.22(7)	-0.19(1)	0.18(7)	-8(10-II-4)	-67(10-II-4)	-34(10-II-4)
222	3	-0.24(7)	-0.19(1)	0.15(7)	-2(10-II-4)	-18(2)	-36(10-II-4)
222	4	-0.26(7)	0.21(7)	0.11(7)	6(10-II-2)	39(10-II-2)	-35(10-II-4)
222	5	-0.15(6)	0.10(7)	0.16(7)	-12(10-II-4)	-122(10-II-4)	-30(10-II-4)
222	6	-0.15(6)	0.15(7)	0.15(7)	-7(10-II-4)	-70(10-II-4)	-35(10-II-4)
222	7	-0.16(7)	0.19(7)	0.13(7)	-2(10-II-1)	-18(2)	-36(10-II-4)
222	8	-0.17(7)	0.22(7)	0.09(7)	5(10-II-2)	41(10-II-2)	-36(10-II-4)
222	9	-0.09(6)	0.12(6)	0.11(7)	-7(10-II-4)	-126(10-II-4)	-31(10-II-4)
222	10	-0.09(6)	0.15(7)	0.10(7)	-4(10-II-4)	-72(10-II-4)	-35(10-II-4)
222	11	-0.09(7)	0.21(7)	0.09(7)	0	-18(10-II-4)	-37(10-II-4)
222	12	-0.09(7)	0.26(7)	0.06(7)	3(10-II-2)	42(10-II-2)	-37(10-II-4)
222	13	-0.03(6)	0.18(6)	0.04(7)	-2(10-II-4)	-128(10-II-4)	-21(10-II-4)
222	14	-0.03(7)	0.21(6)	0.03(7)	0	-73(10-II-4)	-26(10-II-4)
222	15	-0.03(1)	0.25(7)	0.03(7)	0	-19(10-II-4)	-27(10-II-4)
222	16	-0.03(2)	0.32(7)	0.03(7)	0	43(10-II-2)	-24(10-II-4)
223	1	-0.48(7)	-0.44(1)	0.48(7)	34(2)	312(2)	-67(7)
223	2	-0.37(7)	-0.45(1)	0.50(7)	27(2)	257(2)	26(1)
223	3	-0.30(7)	-0.47(1)	0.50(7)	22(10-II-4)	205(2)	20(2)
223	4	-0.26(4)	-0.49(1)	0.49(7)	17(10-II-4)	152(2)	19(10-II-4)
223	5	-0.47(7)	-0.27(1)	0.42(7)	31(2)	303(2)	-60(7)
223	6	-0.32(7)	-0.28(1)	0.43(7)	26(3)	251(2)	23(1)
223	7	-0.23(7)	0.29(7)	0.42(7)	20(10-II-4)	201(2)	19(2)
223	8	-0.18(4)	0.41(7)	0.39(7)	14(10-II-4)	151(2)	19(10-II-4)
223	9	-0.49(7)	-0.17(10-I-1)	0.33(7)	25(3)	309(10-II-4)	-53(7)
223	10	-0.21(7)	-0.19(10-I-1)	0.37(7)	20(3)	249(10-II-4)	-22(7)
223	11	-0.14(7)	0.23(7)	0.30(7)	13(3)	199(2)	19(2)
223	12	-0.10(4)	0.39(7)	0.25(7)	9(3)	150(10-II-4)	19(10-II-4)
223	13	-0.31(7)	-0.46(7)	0.34(7)	19(10-II-4)	319(10-II-4)	-37(7)
223	14	-0.04(7)	0.29(5)	0.18(7)	6(3)	252(10-II-4)	-15(7)
223	15	-0.03(1)	0.31(6)	0.11(7)	4(3)	200(10-II-4)	14(2)
223	16	-0.03(1)	0.39(6)	0.09(7)	2(3)	153(10-II-4)	13(2)
224	1	-0.26(8)	-0.23(9-I-4)	0.16(7)	-36(10-II-4)	-296(10-II-4)	-6(5)
224	2	-0.23(5)	-0.22(9-I-4)	0.19(7)	-31(10-II-4)	-250(10-II-4)	-10(2)
224	3	-0.23(5)	-0.20(9-I-4)	0.21(7)	-25(10-II-4)	-206(10-II-4)	-17(10-II-4)
224	4	-0.22(5)	-0.19(1)	0.21(7)	-20(10-II-4)	-163(10-II-4)	-24(10-II-4)
224	5	-0.20(8)	-0.17(9-I-4)	0.14(7)	-35(10-II-4)	-314(10-II-4)	-5(5)
224	6	-0.17(8)	-0.16(9-I-4)	0.16(7)	-28(10-II-4)	-263(10-II-4)	-10(2)
224	7	-0.16(5)	-0.14(9-I-4)	0.17(7)	-22(10-II-4)	-215(10-II-4)	-17(10-II-4)
224	8	-0.15(5)	-0.11(9-I-4)	0.17(7)	-17(10-II-4)	-170(10-II-4)	-24(10-II-4)
224	9	-0.17(7)	-0.13(7)	0.11(7)	-29(10-II-4)	-329(10-II-4)	-3(5)
224	10	-0.11(7)	-0.12(7)	0.13(7)	-19(10-II-4)	-274(10-II-4)	-8(2)
224	11	-0.09(5)	-0.07(9-I-4)	0.12(7)	-14(10-II-4)	-223(10-II-4)	-17(10-II-4)
224	12	-0.09(5)	0.09(6)	0.11(7)	-10(10-II-4)	-176(10-II-4)	-25(10-II-4)
224	13	-0.11(7)	-0.29(7)	0.09(7)	-19(10-II-4)	-336(10-II-4)	5(10-II-4)
224	14	-0.03(7)	0.21(1)	0.05(7)	-5(10-II-4)	-280(10-II-4)	-6(10-II-2)
224	15	-0.03(1)	0.20(5)	0.04(7)	-4(10-II-4)	-228(10-II-4)	-13(10-II-4)
224	16	-0.03(5)	0.19(5)	0.04(7)	-3(10-II-4)	-179(10-II-4)	-17(10-II-4)
225	1	-0.23(1)	0.82(7)	-0.37(4)	-47(2)	-362(2)	46(5)
225	2	-0.22(1)	0.83(7)	-0.38(4)	-44(2)	-323(2)	60(1)
225	3	-0.22(1)	0.84(7)	-0.38(4)	-41(2)	-284(2)	72(1)
225	4	-0.21(1)	0.89(6)	-0.38(4)	-37(2)	-244(2)	79(1)
225	5	-0.17(1)	0.99(6)	-0.33(4)	-37(2)	-319(2)	43(5)
225	6	-0.17(1)	0.99(6)	-0.34(4)	-34(2)	-289(2)	57(1)
225	7	-0.16(1)	1.05(6)	-0.34(4)	-32(2)	-258(2)	67(1)
225	8	-0.15(1)	1.10(6)	-0.35(4)	-29(2)	-226(2)	73(1)

**POTENZIAMENTO DELL'IMPIANTO DI DEPURAZIONE E
DEL RECAPITO FINALE DI SQUINZANO (LE)
PROGETTO DEFINITIVO
Tabulati di calcolo strutturale-Filtrazione**

R.37.9

Maggio 2021

Pagina 99 di 364

Muro	Pann.	Sxx	Syy	Sxy	Mxx	Myy	Mxy
225	9	-0.11(1)	1.23(6)	-0.31(4)	-26(2)	-283(2)	44(1)
225	10	-0.09(1)	1.24(6)	-0.28(4)	-22(2)	-264(2)	56(1)
225	11	-0.08(1)	1.30(6)	-0.27(4)	-19(2)	-242(2)	-64(4)
225	12	-0.08(1)	1.32(6)	-0.26(4)	-17(2)	-215(2)	-69(4)
225	13	0.03(10-II-4)	1.42(6)	-0.17(4)	-22(10-II-4)	-277(2)	40(5)
225	14	-0.02(6)	1.44(6)	-0.11(4)	-11(10-II-4)	-260(2)	40(1)
225	15	-0.03(6)	1.47(6)	-0.10(4)	-7(10-II-4)	-238(2)	-40(4)
225	16	-0.04(5)	1.49(6)	-0.10(4)	-7(2)	-214(2)	-40(4)
226	1	-0.44(6)	2.47(6)	-0.32(6)	23(4)	153(3)	-115(5)
226	2	-0.38(6)	2.68(6)	-0.52(6)	22(4)	174(4)	-117(5)
226	3	-0.17(1)	2.93(6)	-0.79(6)	29(4)	245(4)	-105(5)
226	4	1.36(6)	3.23(6)	-1.36(6)	41(6)	317(4)	-131(5)
226	5	-0.28(6)	2.36(6)	-0.39(6)	17(4)	160(3)	-106(2)
226	6	-0.20(6)	2.39(6)	-0.60(6)	17(4)	182(4)	-108(5)
226	7	-0.13(1)	2.30(6)	-0.82(6)	12(4)	255(4)	-103(5)
226	8	0.89(6)	1.26(6)	0.43(3)	23(7)	348(4)	-90(5)
226	9	-0.16(6)	2.25(6)	-0.36(6)	10(4)	164(3)	-91(2)
226	10	-0.07(6)	2.01(6)	-0.51(6)	8(4)	190(3)	-94(5)
226	11	0.13(6)	1.57(6)	-0.42(6)	-6(5)	267(4)	-91(5)
226	12	0.40(6)	0.95(6)	0.17(9-I-2)	19(4)	342(4)	-78(5)
226	13	-0.02(2)	2.18(6)	-0.17(6)	-3(5)	166(3)	-48(2)
226	14	-0.05(3)	1.61(6)	-0.18(6)	2(3)	194(3)	-53(5)
226	15	-0.06(6)	1.03(6)	-0.13(6)	-2(7)	269(4)	-50(5)
226	16	0.14(6)	0.93(6)	0.23(6)	12(4)	341(4)	-62(5)
227	1	-0.16(1)	0.76(7)	0.41(7)	32(1)	52(4)	-46(7)
227	2	-0.17(1)	0.85(7)	0.44(7)	31(1)	106(2)	-53(7)
227	3	-0.18(1)	0.93(7)	0.46(7)	34(2)	218(2)	-47(7)
227	4	-0.20(1)	1.00(7)	0.43(7)	41(2)	337(2)	-21(6)
227	5	-0.12(1)	0.83(7)	0.32(7)	27(1)	52(3)	-44(7)
227	6	-0.12(1)	0.97(7)	0.37(7)	24(1)	111(3)	-50(7)
227	7	-0.13(1)	1.07(7)	0.40(7)	22(2)	198(2)	-46(7)
227	8	-0.15(1)	1.15(7)	0.37(7)	27(2)	278(2)	-22(6)
227	9	-0.07(1)	0.89(7)	0.21(7)	17(1)	57(3)	-41(4)
227	10	-0.08(1)	1.07(7)	0.25(7)	12(2)	117(3)	-46(7)
227	11	-0.08(1)	1.30(7)	0.33(7)	11(3)	186(3)	-42(7)
227	12	0.25(7)	1.32(7)	0.29(7)	21(10-II-4)	268(10-II-4)	-20(6)
227	13	-0.03(7)	0.95(7)	0.08(7)	4(1)	59(3)	-25(4)
227	14	-0.06(7)	1.19(7)	0.09(7)	3(2)	119(3)	-30(7)
227	15	-0.03(4)	1.46(7)	0.13(7)	3(4)	187(3)	-27(7)
227	16	0.22(7)	1.89(7)	0.28(7)	13(10-II-4)	271(3)	11(4)
228	1	-0.18(5)	-0.17(1)	0.08(2)	130(2)	-22(1)	-53(2)
228	2	-0.12(9-II-3)	-0.12(1)	0.07(2)	112(2)	-22(1)	-48(2)
228	3	-0.11(9-II-3)	-0.08(6)	0.04(2)	98(2)	-14(1)	-42(2)
228	4	-0.19(7)	-0.03(2)	0.02(9-II-4)	92(2)	-4(1)	-27(10-II-4)
228	5	-0.16(5)	-0.18(1)	0.10(3)	108(10-II-4)	27(4)	-72(2)
228	6	-0.10(10-II-3)	-0.13(1)	0.08(3)	107(10-II-4)	21(4)	-64(2)
228	7	-0.08(9-II-3)	-0.08(1)	0.06(9-II-4)	107(10-II-4)	13(4)	-56(2)
228	8	-0.17(7)	-0.04(8)	0.02(10-I-4)	107(10-II-4)	3(4)	-35(2)
228	9	-0.13(5)	-0.20(1)	0.13(8)	151(4)	33(4)	-72(5)
228	10	-0.07(10-II-3)	-0.13(1)	0.11(8)	153(4)	26(4)	-64(5)
228	11	0.08(2)	-0.08(1)	0.09(8)	156(4)	14(4)	-55(5)
228	12	0.19(2)	-0.03(7)	0.03(8)	158(4)	2(4)	-35(2)
228	13	0.12(4)	-0.22(1)	0.17(7)	243(4)	46(4)	-41(5)
228	14	0.10(4)	-0.14(1)	0.15(7)	234(4)	38(4)	-36(5)
228	15	0.08(2)	-0.06(1)	0.11(7)	224(4)	23(4)	-34(5)
228	16	0.28(2)	0.03(7)	0.08(7)	216(4)	6(4)	-24(5)
229	1	-0.22(2)	-0.19(1)	-0.04(9-I-4)	-200(10-II-4)	-25(2)	34(1)
229	2	-0.15(2)	-0.14(1)	-0.04(7)	-199(10-II-4)	-20(10-II-4)	-32(4)
229	3	-0.16(9-II-4)	-0.08(1)	-0.04(7)	-199(10-II-4)	-17(10-II-4)	-29(4)
229	4	-0.15(9-II-4)	0.02(10-II-4)	-0.04(7)	-199(10-II-4)	-12(10-II-4)	-16(4)
229	5	-0.21(2)	-0.17(1)	-0.04(9-I-4)	-127(7)	-23(2)	-54(4)
229	6	-0.15(5)	-0.12(1)	-0.04(9-I-4)	-130(7)	-19(2)	-50(4)
229	7	-0.16(9-II-4)	-0.08(1)	-0.03(9-I-4)	-132(7)	-11(2)	-46(4)
229	8	-0.18(9-II-4)	-0.03(2)	-0.01(9-I-4)	-133(7)	-2(5)	-32(4)
229	9	-0.21(5)	-0.17(4)	0.04(2)	-108(7)	-24(5)	-49(4)
229	10	-0.14(5)	-0.12(4)	0.03(2)	-102(7)	-23(5)	-47(4)
229	11	-0.15(9-II-4)	-0.08(4)	0.02(2)	-98(7)	-15(5)	-44(4)
229	12	-0.19(7)	-0.03(7)	0.01(2)	-96(7)	-4(2)	-31(4)
229	13	-0.20(5)	-0.16(4)	0.06(2)	136(2)	-24(5)	-38(10-II-4)
229	14	-0.13(9-II-4)	-0.12(4)	0.05(2)	114(2)	-24(5)	-38(10-II-4)
229	15	-0.14(9-II-4)	-0.08(4)	0.03(2)	98(2)	-16(5)	-38(10-II-4)
229	16	-0.20(7)	-0.03(7)	0.01(2)	89(2)	-4(5)	-25(10-II-4)
230	1	-0.19(1)	0.39(7)	0.29(7)	-31(10-II-4)	-140(10-II-4)	-72(2)
230	2	-0.18(1)	0.47(7)	0.32(7)	-32(10-II-4)	-129(10-II-4)	-51(2)
230	3	-0.17(1)	0.56(7)	0.35(7)	32(1)	-109(5)	-35(10-II-4)
230	4	-0.16(1)	0.66(7)	0.37(7)	33(1)	-84(5)	-36(4)

**POTENZIAMENTO DELL'IMPIANTO DI DEPURAZIONE E
DEL RECAPITO FINALE DI SQUINZANO (LE)
PROGETTO DEFINITIVO
Tabulati di calcolo strutturale-Filtrazione**

R.37.9

Maggio 2021

Pagina 100 di
364

Muro	Pann.	Sxx	Syy	Sxy	Mxx	Myy	Mxy
230	5	-0.13(1)	0.38(7)	0.21(7)	22(1)	-138(10-II-4)	-66(2)
230	6	-0.13(1)	0.48(7)	0.24(7)	27(1)	-126(10-II-4)	-47(2)
230	7	-0.12(1)	0.59(7)	0.26(7)	30(1)	-102(10-II-4)	-36(10-II-4)
230	8	-0.12(1)	0.70(7)	0.29(7)	30(1)	-65(10-II-4)	-35(4)
230	9	-0.08(1)	0.37(7)	0.13(7)	14(1)	-137(10-II-4)	-59(2)
230	10	-0.08(1)	0.48(7)	0.15(7)	18(1)	-123(10-II-4)	-44(2)
230	11	-0.08(4)	0.61(7)	0.17(7)	20(1)	-98(10-II-4)	-36(10-II-4)
230	12	-0.08(4)	0.75(7)	0.18(7)	19(1)	-61(10-II-4)	-34(10-II-4)
230	13	-0.03(6)	0.36(7)	0.05(7)	4(1)	-137(10-II-4)	-35(2)
230	14	-0.04(7)	0.48(7)	0.05(7)	5(1)	-122(10-II-4)	-29(2)
230	15	-0.03(1)	0.60(7)	0.06(7)	5(1)	-96(10-II-4)	-26(10-II-4)
230	16	-0.03(1)	0.75(7)	0.07(7)	5(1)	-59(10-II-4)	-22(10-II-4)
231	1	-0.18(1)	1.23(7)	-0.23(4)	-32(7)	-101(7)	-140(5)
231	2	-0.17(2)	1.26(7)	0.23(5)	-27(3)	-208(1)	-109(5)
231	3	-0.19(5)	1.34(6)	-0.22(3)	44(6)	-298(1)	-51(7)
231	4	-0.20(5)	1.53(6)	-0.22(3)	55(6)	322(6)	-66(4)
231	5	-0.13(1)	1.39(7)	-0.19(4)	-26(7)	-110(7)	-131(5)
231	6	-0.12(2)	1.40(7)	0.18(5)	22(5)	-190(1)	-103(5)
231	7	-0.13(5)	1.62(6)	-0.16(3)	33(6)	-280(1)	-51(7)
231	8	-0.13(5)	1.80(6)	-0.16(3)	41(6)	339(6)	-62(4)
231	9	-0.07(1)	1.56(7)	-0.14(4)	-15(7)	-118(7)	-119(5)
231	10	-0.07(5)	1.66(6)	0.12(5)	14(5)	-176(1)	-94(5)
231	11	-0.08(6)	1.91(6)	-0.10(3)	21(5)	-266(1)	-49(7)
231	12	-0.08(6)	2.09(6)	-0.10(3)	23(5)	353(6)	-55(4)
231	13	-0.03(5)	1.70(7)	-0.05(4)	4(1)	-122(7)	-72(5)
231	14	-0.04(6)	1.93(6)	-0.04(4)	3(5)	-169(1)	-62(5)
231	15	-0.05(3)	2.21(6)	0.04(6)	3(5)	-261(1)	-33(7)
231	16	-0.03(3)	2.40(6)	-0.04(3)	6(5)	359(6)	-32(4)
232	1	-0.25(7)	0.66(7)	-0.41(7)	-13(6)	-114(7)	39(10-II-4)
232	2	-0.27(7)	0.52(7)	-0.46(7)	-22(7)	-188(7)	31(10-II-4)
232	3	-0.35(7)	-0.48(1)	-0.50(7)	-33(7)	-266(7)	26(4)
232	4	-0.50(8)	-0.47(1)	-0.49(7)	-52(7)	-348(7)	47(4)
232	5	-0.16(7)	0.67(7)	-0.31(7)	-11(6)	-116(7)	40(10-II-4)
232	6	-0.19(7)	0.50(7)	-0.36(7)	-17(7)	-192(7)	32(10-II-4)
232	7	-0.27(7)	0.34(7)	-0.41(7)	-25(7)	-271(7)	25(4)
232	8	-0.47(7)	-0.31(1)	-0.43(7)	-48(7)	-356(7)	43(4)
232	9	-0.09(7)	0.70(7)	-0.19(7)	-7(6)	-119(7)	40(10-II-4)
232	10	-0.10(4)	0.50(7)	-0.23(7)	-11(6)	-196(7)	32(10-II-4)
232	11	-0.13(7)	0.34(6)	-0.31(7)	-12(10-II-4)	-277(7)	26(4)
232	12	-0.49(7)	0.26(6)	-0.34(7)	-36(7)	-355(7)	39(4)
232	13	-0.03(1)	0.75(7)	-0.07(7)	-2(6)	-120(7)	26(10-II-4)
232	14	-0.04(1)	0.60(6)	-0.08(7)	-3(6)	-199(7)	23(10-II-4)
232	15	-0.03(4)	0.51(6)	-0.11(7)	-2(5)	-281(7)	20(4)
232	16	-0.26(7)	0.46(5)	-0.30(7)	-14(6)	-341(7)	29(4)
233	1	-0.24(7)	1.02(7)	-0.09(4)	34(7)	242(7)	31(10-II-4)
233	2	-0.25(7)	1.00(7)	-0.18(7)	20(7)	145(7)	39(10-II-4)
233	3	-0.25(7)	0.92(7)	-0.26(7)	8(7)	57(4)	44(10-II-4)
233	4	-0.25(7)	0.80(7)	-0.34(7)	-6(6)	-33(7)	43(10-II-4)
233	5	-0.13(7)	1.11(7)	-0.08(4)	31(7)	250(7)	31(10-II-4)
233	6	-0.15(7)	1.08(7)	-0.15(7)	16(7)	150(7)	39(10-II-4)
233	7	-0.16(7)	0.98(7)	-0.21(7)	6(7)	59(4)	44(10-II-4)
233	8	-0.16(7)	0.84(7)	-0.26(7)	-5(5)	-34(7)	44(10-II-4)
233	9	-0.10(2)	1.25(7)	-0.07(7)	22(7)	257(7)	28(10-II-4)
233	10	-0.08(7)	1.19(7)	-0.10(7)	9(7)	155(7)	38(10-II-4)
233	11	-0.08(6)	1.06(7)	-0.13(7)	4(7)	60(4)	44(10-II-4)
233	12	-0.09(6)	0.89(7)	-0.17(7)	-3(5)	-34(7)	44(10-II-4)
233	13	-0.06(2)	1.45(7)	-0.06(7)	12(10-II-4)	260(7)	16(10-II-4)
233	14	-0.03(1)	1.32(7)	-0.04(7)	1(7)	158(7)	28(10-II-4)
233	15	-0.04(7)	1.17(7)	-0.04(7)	1(7)	61(4)	31(10-II-4)
233	16	-0.03(7)	0.98(7)	-0.06(7)	0	-34(7)	28(10-II-4)
234	1	-0.31(3)	0.16(4)	0.19(7)	-26(4)	-258(4)	31(7)
234	2	-0.25(3)	0.20(7)	0.21(7)	-26(4)	-201(4)	-68(2)
234	3	-0.22(1)	0.25(7)	0.24(7)	-25(4)	-148(4)	-84(2)
234	4	-0.21(1)	0.31(7)	0.26(7)	-28(10-II-4)	-140(10-II-4)	-84(2)
234	5	-0.25(8)	0.15(4)	0.15(7)	-20(4)	-245(4)	-27(1)
234	6	-0.19(3)	0.19(7)	0.16(7)	-21(4)	-198(4)	-62(2)
234	7	-0.16(3)	0.23(7)	0.18(7)	-20(4)	-151(4)	-75(2)
234	8	-0.14(1)	0.30(7)	0.20(7)	-19(4)	-141(10-II-4)	-76(2)
234	9	-0.21(7)	0.17(4)	0.11(7)	-14(4)	-237(4)	-27(1)
234	10	-0.12(4)	0.14(7)	0.13(7)	-13(4)	-196(4)	-56(2)
234	11	-0.10(4)	0.21(7)	0.12(7)	-12(4)	-154(4)	-66(2)
234	12	-0.08(1)	0.29(7)	0.12(7)	-11(4)	-141(10-II-4)	-67(2)
234	13	-0.11(7)	0.18(2)	0.11(7)	-6(3)	-234(4)	-19(1)
234	14	-0.03(7)	0.20(5)	0.07(7)	-4(3)	-195(4)	-36(2)

**POTENZIAMENTO DELL'IMPIANTO DI DEPURAZIONE E
DEL RECAPITO FINALE DI SQUINZANO (LE)
PROGETTO DEFINITIVO
Tabulati di calcolo strutturale-Filtrazione**

R.37.9

Maggio 2021

Pagina 101 di
364

Muro	Pann.	Sxx	Syy	Sxy	Mxx	Myy	Mxy
234	15	-0.03(1)	0.22(5)	0.04(7)	-3(4)	-156(4)	-42(2)
234	16	-0.03(1)	0.26(6)	0.04(7)	-3(4)	-142(10-II-4)	-39(2)
235	1	-0.20(8)	1.56(6)	-0.24(3)	62(6)	528(6)	103(5)
235	2	-0.23(8)	1.51(6)	-0.27(3)	66(6)	669(6)	131(5)
235	3	-0.28(8)	1.42(6)	-0.31(8)	75(6)	827(6)	157(5)
235	4	-0.36(8)	1.32(6)	-0.38(8)	105(6)	986(6)	96(6)
235	5	-0.13(8)	1.83(6)	-0.18(3)	45(6)	548(6)	92(5)
235	6	-0.16(3)	1.78(6)	-0.22(3)	48(6)	692(6)	119(5)
235	7	-0.22(3)	1.67(6)	-0.27(3)	52(6)	857(6)	146(5)
235	8	-0.32(3)	1.52(6)	-0.34(8)	95(6)	1018(6)	101(6)
235	9	-0.07(4)	2.11(6)	-0.10(3)	25(6)	563(6)	76(5)
235	10	-0.11(3)	2.07(6)	-0.14(3)	26(6)	710(6)	99(5)
235	11	-0.15(3)	2.00(6)	-0.23(3)	22(6)	882(6)	124(5)
235	12	-0.29(3)	1.77(6)	-0.28(3)	84(6)	1042(6)	102(6)
235	13	-0.03(6)	2.45(6)	-0.03(3)	8(5)	567(6)	38(5)
235	14	-0.01(1)	2.41(6)	-0.05(3)	8(6)	718(6)	54(5)
235	15	-0.03(1)	2.34(6)	-0.07(3)	-6(6)	892(6)	63(5)
235	16	-0.23(3)	2.29(6)	-0.31(3)	62(6)	1057(6)	74(6)
236	1	1.85(7)	-0.05(5)	0.13(4)	-303(7)	-26(7)	62(5)
236	2	1.64(7)	-0.10(1)	0.25(4)	-293(7)	-39(7)	89(5)
236	3	1.36(7)	-0.15(1)	0.21(4)	-298(7)	-53(7)	93(5)
236	4	1.16(7)	-0.20(1)	0.22(4)	-314(7)	-60(7)	99(5)
236	5	1.79(7)	-0.04(6)	0.06(4)	-289(7)	-11(7)	64(5)
236	6	1.60(7)	-0.09(5)	0.20(4)	-277(7)	-30(7)	96(5)
236	7	1.33(7)	-0.15(1)	0.23(4)	-276(7)	-46(7)	103(5)
236	8	1.16(7)	-0.20(1)	0.23(4)	-285(7)	-53(7)	108(5)
236	9	1.79(7)	-0.04(6)	0.06(4)	-266(7)	-7(7)	65(5)
236	10	1.60(7)	-0.09(5)	0.18(4)	-256(7)	-24(7)	103(5)
236	11	1.36(7)	-0.15(1)	0.22(4)	-252(7)	-40(7)	112(5)
236	12	1.18(7)	-0.20(1)	0.22(4)	-256(7)	-48(7)	118(5)
236	13	1.76(7)	-0.04(5)	0.06(4)	-240(7)	-7(7)	63(5)
236	14	1.57(7)	-0.09(1)	0.17(4)	-232(7)	-20(7)	109(5)
236	15	1.36(7)	-0.14(1)	0.22(4)	-226(7)	-35(7)	119(5)
236	16	1.20(7)	-0.20(1)	0.22(4)	-227(7)	-43(7)	126(5)
237	1	-0.18(3)	-0.73(3)	0.39(6)	-185(6)	478(3)	41(3)
237	2	-0.20(5)	-0.76(3)	0.40(6)	-115(6)	378(3)	91(5)
237	3	-0.23(6)	-0.79(3)	0.35(6)	-87(6)	282(3)	102(5)
237	4	-0.22(6)	-0.78(3)	0.28(6)	-64(6)	185(3)	97(5)
237	5	-0.14(6)	-0.82(3)	0.32(6)	-39(6)	369(3)	29(9-II-1)
237	6	-0.18(6)	-0.85(3)	0.34(6)	-55(6)	353(3)	94(5)
237	7	-0.16(6)	-0.85(3)	0.28(6)	-50(6)	278(3)	102(5)
237	8	-0.14(6)	-0.84(3)	0.22(6)	-42(6)	188(3)	95(5)
237	9	-0.22(6)	-0.87(3)	0.23(6)	14(7)	323(3)	30(1)
237	10	-0.08(6)	-0.92(3)	0.26(6)	11(3)	333(3)	80(5)
237	11	-0.08(6)	-0.93(3)	0.19(6)	-19(6)	275(3)	91(5)
237	12	-0.07(6)	-0.91(3)	0.14(6)	-20(6)	192(3)	84(5)
237	13	-0.13(6)	-1.06(9-I-2)	0.19(6)	13(6)	300(3)	25(1)
237	14	-0.03(6)	-1.02(3)	0.10(6)	3(6)	322(3)	45(5)
237	15	-0.02(1)	-1.01(3)	0.07(6)	-3(6)	274(3)	51(5)
237	16	-0.03(4)	-1.00(3)	0.05(7)	-4(6)	193(3)	47(5)
238	1	-0.20(6)	-0.75(3)	0.26(7)	-44(6)	66(3)	82(5)
238	2	-0.16(6)	-0.70(3)	0.23(7)	-27(6)	109(5)	61(5)
238	3	-0.14(7)	0.68(6)	0.21(7)	-14(5)	218(6)	42(10-II-4)
238	4	-0.14(4)	0.77(6)	0.20(7)	-9(2)	301(6)	42(10-II-4)
238	5	-0.13(6)	-0.81(3)	0.19(7)	-31(6)	73(3)	79(5)
238	6	-0.11(6)	-0.75(3)	0.17(7)	-20(6)	100(5)	58(5)
238	7	-0.10(7)	0.75(6)	0.16(7)	-13(5)	209(6)	41(10-II-4)
238	8	-0.10(4)	0.84(6)	0.15(7)	-8(5)	295(6)	41(10-II-4)
238	9	-0.07(6)	-0.88(3)	0.12(7)	-16(6)	79(3)	70(5)
238	10	-0.06(6)	-0.81(3)	0.11(7)	-11(6)	92(5)	51(5)
238	11	-0.06(4)	0.83(6)	0.10(7)	-8(5)	203(6)	38(10-II-4)
238	12	-0.06(4)	0.92(6)	0.09(7)	-5(5)	289(6)	38(10-II-4)
238	13	-0.03(4)	-0.95(3)	0.04(7)	-4(6)	81(3)	39(5)
238	14	-0.02(3)	-0.88(3)	0.04(7)	-2(6)	90(5)	28(5)
238	15	-0.02(1)	0.91(6)	0.03(7)	-2(5)	200(6)	22(10-II-4)
238	16	-0.03(5)	0.99(6)	0.03(7)	-1(5)	287(6)	22(10-II-4)
239	1	-0.15(4)	0.87(6)	0.20(7)	-11(2)	360(6)	47(3)
239	2	-0.15(4)	1.00(6)	0.21(6)	-14(3)	389(6)	55(3)
239	3	-0.14(4)	1.16(6)	0.26(5)	18(6)	387(6)	61(4)
239	4	-0.13(4)	1.33(6)	0.30(5)	23(6)	360(6)	73(4)
239	5	-0.10(4)	0.95(6)	0.14(7)	-7(2)	355(6)	46(3)
239	6	-0.10(4)	1.09(6)	0.15(6)	-10(1)	386(6)	53(3)
239	7	-0.10(4)	1.26(6)	0.19(5)	-12(1)	385(6)	58(3)
239	8	-0.09(4)	1.45(6)	0.23(5)	14(7)	361(6)	68(4)

**POTENZIAMENTO DELL'IMPIANTO DI DEPURAZIONE E
DEL RECAPITO FINALE DI SQUINZANO (LE)
PROGETTO DEFINITIVO
Tabulati di calcolo strutturale-Filtrazione**

R.37.9

Maggio 2021

Pagina 102 di
364

Muro	Pann.	Sxx	Syy	Sxy	Mxx	Myy	Mxy
239	9	-0.06(3)	1.02(6)	0.09(7)	-4(1)	351(6)	42(3)
239	10	-0.06(3)	1.17(6)	0.09(6)	-5(1)	383(6)	49(3)
239	11	-0.06(1)	1.35(6)	0.12(5)	-6(1)	384(6)	52(3)
239	12	-0.06(1)	1.56(6)	0.15(5)	7(7)	362(6)	60(4)
239	13	-0.03(5)	1.09(6)	0.03(7)	0	349(6)	25(3)
239	14	-0.04(5)	1.24(6)	0.03(6)	-1(1)	382(6)	29(3)
239	15	-0.03(5)	1.44(6)	0.04(5)	-1(1)	384(6)	30(3)
239	16	-0.03(5)	1.67(6)	0.05(5)	2(7)	363(6)	34(4)
240	1	-0.13(1)	1.48(6)	0.33(5)	28(6)	323(6)	80(4)
240	2	-0.12(1)	1.59(6)	0.33(5)	35(6)	292(6)	79(4)
240	3	-0.10(6)	1.66(6)	0.32(5)	41(6)	-313(1)	86(7)
240	4	-0.15(6)	1.67(6)	0.23(5)	50(6)	383(7)	134(6)
240	5	-0.09(1)	1.62(6)	0.25(5)	20(6)	329(6)	74(4)
240	6	-0.09(1)	1.77(6)	0.27(5)	27(6)	306(6)	73(4)
240	7	-0.07(1)	1.89(6)	0.29(5)	34(6)	321(7)	84(7)
240	8	-0.06(6)	1.91(6)	0.22(5)	46(6)	391(7)	129(6)
240	9	-0.06(1)	1.77(6)	0.16(5)	10(6)	334(6)	65(4)
240	10	-0.06(1)	1.97(6)	0.18(5)	16(6)	318(6)	63(4)
240	11	-0.07(5)	2.16(6)	0.22(5)	21(6)	338(6)	75(7)
240	12	0.16(9-II-2)	2.24(6)	0.19(5)	28(6)	440(6)	112(6)
240	13	-0.02(5)	1.91(6)	0.06(5)	2(6)	336(6)	36(4)
240	14	-0.02(1)	2.14(6)	0.07(5)	4(6)	322(6)	35(4)
240	15	-0.02(1)	2.41(6)	0.07(5)	5(6)	348(6)	43(7)
240	16	0.13(3)	2.79(6)	0.18(5)	-18(3)	466(6)	60(6)
241	1	-0.14(1)	-0.45(8)	-0.06(6)	63(3)	420(3)	77(6)
241	2	-0.14(1)	-0.45(8)	-0.05(6)	73(3)	465(3)	70(6)
241	3	-0.14(1)	-0.44(8)	-0.04(6)	77(1)	479(3)	59(6)
241	4	-0.14(1)	-0.45(5)	-0.05(1)	75(1)	469(1)	58(5)
241	5	-0.10(1)	0.50(1)	-0.04(6)	37(3)	423(3)	75(6)
241	6	-0.10(1)	0.50(1)	-0.03(6)	44(1)	470(3)	68(6)
241	7	-0.10(1)	0.48(1)	-0.03(6)	47(1)	485(3)	58(6)
241	8	-0.10(1)	-0.49(5)	-0.04(1)	45(1)	474(1)	57(5)
241	9	-0.06(8)	0.56(1)	-0.02(6)	17(3)	426(3)	69(6)
241	10	-0.06(5)	0.56(1)	-0.02(6)	20(1)	475(3)	62(6)
241	11	-0.06(6)	0.54(1)	-0.02(6)	21(1)	490(3)	53(6)
241	12	-0.06(6)	-0.54(5)	-0.02(1)	21(1)	479(1)	52(5)
241	13	-0.02(5)	0.63(1)	-0.01(6)	3(3)	426(3)	41(6)
241	14	-0.02(5)	0.63(1)	-0.01(6)	4(1)	476(3)	37(6)
241	15	-0.02(5)	0.61(1)	-0.01(6)	4(1)	491(3)	31(6)
241	16	-0.02(5)	-0.58(5)	-0.01(1)	4(1)	481(1)	31(5)
242	1	-0.14(1)	-0.47(5)	-0.07(1)	68(1)	436(1)	63(5)
242	2	-0.14(7)	-0.48(1)	-0.08(1)	58(1)	384(1)	70(2)
242	3	-0.13(7)	-0.49(5)	-0.09(1)	44(1)	309(1)	74(2)
242	4	-0.13(7)	-0.49(5)	-0.08(1)	28(1)	208(1)	73(9-II-1)
242	5	-0.10(7)	-0.51(5)	-0.05(1)	41(1)	440(1)	62(5)
242	6	-0.10(7)	-0.52(5)	-0.06(1)	34(1)	386(1)	69(2)
242	7	-0.10(7)	-0.53(5)	-0.06(1)	25(1)	308(1)	73(2)
242	8	-0.09(7)	-0.54(5)	-0.06(1)	14(1)	204(1)	71(9-II-1)
242	9	-0.06(6)	-0.55(5)	-0.03(1)	18(1)	444(1)	56(5)
242	10	-0.06(6)	-0.56(5)	-0.04(1)	15(1)	389(1)	64(2)
242	11	-0.06(6)	-0.57(5)	-0.04(1)	10(1)	308(1)	68(2)
242	12	-0.06(6)	-0.58(5)	-0.03(1)	-6(6)	202(1)	66(2)
242	13	-0.02(5)	-0.59(5)	-0.01(1)	3(1)	445(1)	33(5)
242	14	-0.02(2)	-0.61(5)	-0.01(1)	3(1)	389(1)	38(2)
242	15	-0.02(2)	-0.62(5)	-0.01(1)	2(1)	308(1)	41(2)
242	16	-0.02(2)	-0.63(5)	-0.01(1)	-1(6)	201(1)	40(2)
243	1	-0.13(1)	-0.47(3)	-0.18(6)	-16(1)	96(6)	59(6)
243	2	-0.13(1)	-0.47(3)	-0.14(6)	14(9-I-2)	117(2)	69(6)
243	3	-0.13(1)	-0.46(3)	-0.10(6)	32(3)	248(2)	76(6)
243	4	-0.13(1)	-0.44(3)	-0.08(6)	49(3)	346(2)	79(6)
243	5	-0.09(1)	-0.49(3)	-0.14(6)	-13(1)	100(6)	60(6)
243	6	-0.09(1)	-0.48(3)	-0.10(6)	8(9-I-2)	112(2)	69(6)
243	7	-0.09(1)	0.48(1)	-0.07(6)	16(3)	245(2)	75(6)
243	8	-0.09(1)	0.49(1)	-0.05(6)	28(3)	347(2)	77(6)
243	9	-0.05(1)	0.50(1)	-0.09(6)	-8(1)	103(6)	58(6)
243	10	-0.05(1)	0.52(1)	-0.06(6)	3(9-I-2)	107(2)	65(6)
243	11	-0.05(3)	0.54(1)	-0.05(6)	6(3)	243(2)	70(6)
243	12	-0.06(8)	0.56(1)	-0.03(6)	12(3)	347(2)	71(6)
243	13	-0.02(8)	0.57(1)	-0.03(6)	-2(1)	104(6)	35(6)
243	14	-0.02(5)	0.59(1)	-0.02(6)	0	105(2)	39(6)
243	15	-0.02(5)	0.61(1)	-0.02(6)	1(9-II-1)	242(2)	42(6)
243	16	-0.02(5)	0.62(1)	-0.01(6)	2(3)	347(2)	43(6)
244	1	-0.29(6)	0.49(6)	-0.22(6)	-85(1)	-683(1)	142(6)
244	2	-0.16(5)	-0.44(3)	-0.24(6)	-78(1)	-523(1)	71(6)

**POTENZIAMENTO DELL'IMPIANTO DI DEPURAZIONE E
DEL RECAPITO FINALE DI SQUINZANO (LE)
PROGETTO DEFINITIVO
Tabulati di calcolo strutturale-Filtrazione**

R.37.9

Maggio 2021

Pagina 103 di
364

Muro	Pann.	Sxx	Syy	Sxy	Mxx	Myy	Mxy
244	3	-0.14(1)	-0.46(3)	-0.23(6)	-55(1)	-377(1)	53(6)
244	4	-0.13(1)	-0.47(3)	-0.21(6)	-37(1)	-238(1)	52(6)
244	5	-0.17(6)	0.49(6)	-0.16(6)	-27(1)	-540(1)	103(6)
244	6	-0.10(1)	-0.45(3)	-0.19(6)	-38(1)	-496(1)	73(6)
244	7	-0.10(1)	-0.47(3)	-0.18(6)	-32(1)	-375(1)	56(6)
244	8	-0.09(1)	-0.48(3)	-0.16(6)	-25(1)	-244(1)	54(6)
244	9	-0.08(6)	0.54(6)	-0.10(6)	-6(9-II-2)	-504(1)	87(6)
244	10	-0.06(1)	-0.48(3)	-0.13(6)	-9(1)	-473(1)	67(6)
244	11	-0.06(1)	-0.49(3)	-0.12(6)	-13(1)	-373(1)	55(6)
244	12	-0.05(1)	-0.50(3)	-0.11(6)	-12(1)	-249(1)	53(6)
244	13	-0.02(3)	0.61(6)	-0.04(6)	2(1)	-489(1)	49(6)
244	14	-0.02(3)	0.53(1)	-0.05(6)	-1(9-II-2)	-464(1)	40(6)
244	15	-0.02(7)	0.55(1)	-0.05(6)	-2(9-II-2)	-372(1)	34(6)
244	16	-0.02(3)	0.56(1)	-0.04(6)	-2(1)	-251(1)	32(6)
245	1	-0.24(6)	-0.55(3)	-0.23(3)	-66(6)	-140(6)	69(3)
245	2	-0.25(6)	-0.64(3)	-0.23(3)	-86(6)	-193(6)	80(3)
245	3	-0.23(5)	-0.73(3)	-0.24(9-I-2)	-109(6)	-258(6)	95(3)
245	4	-0.14(1)	-0.82(3)	-0.31(5)	-170(6)	-333(6)	126(3)
245	5	-0.16(6)	-0.59(3)	-0.17(3)	-45(6)	-155(6)	69(3)
245	6	-0.17(6)	-0.69(3)	-0.18(9-I-2)	-55(6)	-208(6)	80(3)
245	7	-0.17(5)	-0.78(3)	-0.21(9-I-2)	-55(6)	-268(6)	95(3)
245	8	-0.12(1)	-0.82(3)	-0.21(9-I-2)	-39(6)	-322(6)	90(3)
245	9	-0.08(6)	-0.63(3)	-0.11(3)	-23(6)	-166(6)	63(3)
245	10	-0.09(6)	-0.73(3)	-0.12(9-I-2)	-25(6)	-221(6)	74(3)
245	11	-0.11(6)	-0.83(3)	-0.15(5)	-17(6)	-277(6)	81(3)
245	12	-0.11(1)	-0.92(3)	-0.18(5)	-10(4)	-278(6)	67(3)
245	13	-0.03(3)	-0.66(3)	-0.04(3)	-5(6)	-170(6)	37(3)
245	14	-0.02(4)	-0.78(3)	-0.04(9-I-2)	-5(6)	-227(6)	42(3)
245	15	-0.04(7)	-0.90(3)	-0.06(5)	2(3)	-280(6)	46(3)
245	16	-0.06(5)	-1.00(3)	-0.10(5)	-9(4)	-272(6)	38(3)
246	1	-0.19(7)	0.48(6)	0.12(1)	-33(1)	-146(2)	87(6)
246	2	-0.16(7)	0.45(6)	-0.13(8)	-40(2)	-215(2)	102(6)
246	3	-0.15(6)	0.41(6)	0.14(1)	-52(2)	-296(2)	118(6)
246	4	-0.21(6)	-0.45(3)	0.17(1)	-52(3)	-383(2)	-185(1)
246	5	-0.13(7)	0.53(6)	0.09(1)	-27(1)	-161(2)	81(6)
246	6	-0.11(7)	0.52(6)	0.10(1)	-30(2)	-231(2)	95(6)
246	7	-0.10(6)	0.50(6)	0.12(1)	-25(2)	-316(1)	110(6)
246	8	-0.16(6)	0.52(6)	-0.11(7)	-18(3)	-456(1)	117(6)
246	9	-0.07(7)	0.61(6)	0.06(1)	-16(1)	-173(2)	71(6)
246	10	-0.06(4)	0.61(6)	0.07(1)	-16(1)	-244(2)	83(6)
246	11	-0.06(6)	0.61(6)	0.07(1)	-12(1)	-336(1)	94(6)
246	12	-0.08(6)	0.59(6)	-0.07(7)	-6(9-II-2)	-442(1)	98(6)
246	13	-0.02(3)	0.69(6)	0.02(1)	-4(1)	-177(2)	40(6)
246	14	-0.02(3)	0.71(6)	0.02(1)	-4(1)	-249(2)	47(6)
246	15	-0.02(3)	0.72(6)	0.03(1)	-2(1)	-340(1)	52(6)
246	16	-0.02(3)	0.69(6)	-0.03(7)	0	-436(1)	54(6)
247	1	-0.13(7)	0.12(7)	0.07(5)	17(5)	112(5)	-38(5)
247	2	-0.13(3)	0.13(7)	0.07(5)	23(6)	148(6)	-39(2)
247	3	-0.14(3)	0.14(6)	0.08(6)	30(6)	230(6)	-34(2)
247	4	-0.18(3)	0.17(6)	0.11(6)	43(6)	319(6)	-15(2)
247	5	-0.09(7)	0.13(4)	0.05(5)	13(6)	115(5)	-37(5)
247	6	-0.09(8)	0.12(7)	0.06(1)	17(6)	155(6)	-36(2)
247	7	-0.10(3)	0.13(7)	0.07(1)	22(6)	235(6)	-32(2)
247	8	-0.13(3)	0.17(6)	0.10(6)	35(6)	320(6)	-15(2)
247	9	-0.06(7)	0.16(3)	0.03(5)	8(6)	117(5)	-35(5)
247	10	-0.06(7)	0.14(3)	0.04(1)	9(6)	160(6)	-30(2)
247	11	-0.06(3)	0.12(8)	0.06(1)	11(6)	240(6)	-28(2)
247	12	-0.09(3)	0.17(5)	0.08(6)	22(6)	317(6)	-15(2)
247	13	-0.02(4)	0.22(3)	0.01(5)	2(6)	117(5)	-20(5)
247	14	-0.02(1)	0.21(3)	0.01(1)	2(6)	162(6)	-17(5)
247	15	-0.02(3)	0.19(3)	0.02(1)	2(7)	241(6)	-15(2)
247	16	-0.03(3)	0.21(2)	0.05(1)	5(7)	309(6)	-12(1)
248	1	-0.18(1)	-0.18(3)	-0.10(3)	27(10-I-2)	261(5)	-21(5)
248	2	-0.14(2)	-0.25(3)	-0.15(3)	24(3)	134(10-I-2)	29(7)
248	3	-0.14(5)	-0.35(3)	-0.16(3)	32(3)	82(3)	38(7)
248	4	-0.19(7)	-0.45(3)	-0.19(3)	-44(6)	88(3)	53(3)
248	5	-0.13(1)	-0.18(10-I-1)	-0.08(3)	24(10-I-2)	264(5)	-22(5)
248	6	-0.09(2)	-0.22(3)	-0.12(3)	16(3)	141(10-I-2)	29(7)
248	7	-0.10(6)	-0.34(3)	-0.13(3)	22(3)	92(3)	37(7)
248	8	-0.13(7)	-0.47(3)	-0.15(3)	-30(6)	95(3)	52(3)
248	9	-0.08(5)	-0.20(10-I-1)	-0.06(3)	19(5)	267(5)	-22(5)
248	10	-0.06(1)	-0.23(10-I-1)	-0.08(3)	7(3)	147(10-I-2)	27(7)
248	11	-0.06(6)	-0.33(3)	-0.08(3)	12(3)	99(3)	33(7)
248	12	-0.07(7)	-0.49(3)	-0.09(3)	-16(6)	101(3)	48(3)

**POTENZIAMENTO DELL'IMPIANTO DI DEPURAZIONE E
DEL RECAPITO FINALE DI SQUINZANO (LE)
PROGETTO DEFINITIVO
Tabulati di calcolo strutturale-Filtrazione**

R.37.9

Maggio 2021

Pagina 104 di
364

Muro	Pann.	Sxx	Syy	Sxy	Mxx	Myy	Mxy
248	13	-0.06(6)	-0.24(6)	-0.05(3)	12(5)	271(5)	-18(5)
248	14	-0.04(6)	-0.23(10-I-1)	-0.02(3)	-2(6)	148(10-I-2)	18(7)
248	15	-0.02(1)	-0.32(3)	-0.03(3)	2(3)	102(3)	20(7)
248	16	-0.03(3)	-0.50(3)	-0.03(3)	-4(6)	103(3)	28(3)
249	1	-0.15(4)	-0.14(5)	0.07(7)	-12(6)	-153(6)	-73(6)
249	2	-0.15(4)	0.14(4)	0.06(7)	13(10-I-1)	174(1)	-70(6)
249	3	-0.15(4)	0.15(4)	0.05(5)	18(10-I-1)	183(2)	-60(6)
249	4	-0.14(4)	0.13(4)	0.06(5)	17(10-I-1)	152(2)	-44(5)
249	5	-0.10(4)	-0.13(5)	0.05(7)	-7(6)	-153(6)	-70(6)
249	6	-0.10(4)	0.17(4)	0.04(7)	8(10-I-1)	168(1)	-68(6)
249	7	-0.10(4)	0.18(4)	0.04(5)	11(10-I-1)	178(2)	-59(6)
249	8	-0.10(7)	0.16(4)	0.05(5)	11(10-I-1)	148(2)	-44(6)
249	9	-0.06(4)	0.15(4)	0.03(7)	-3(10-I-1)	-153(6)	-64(6)
249	10	-0.06(4)	0.20(4)	0.03(7)	4(10-I-1)	165(1)	-62(6)
249	11	-0.06(4)	0.21(4)	0.03(5)	5(10-I-1)	174(2)	-55(6)
249	12	-0.06(7)	0.18(4)	0.03(5)	5(10-II-1)	144(2)	-42(6)
249	13	-0.02(5)	0.21(3)	0.01(7)	-1(3)	-152(6)	-37(6)
249	14	-0.03(1)	0.25(3)	0.01(7)	0	163(1)	-37(6)
249	15	-0.03(1)	0.26(3)	0.01(5)	1(10-II-1)	173(2)	-33(6)
249	16	-0.02(1)	0.24(3)	0.01(5)	1(6)	143(2)	-25(6)
250	1	-0.17(1)	0.22(6)	0.13(6)	23(6)	296(6)	31(3)
250	2	-0.13(5)	0.29(6)	0.16(6)	-14(1)	181(6)	45(2)
250	3	-0.14(7)	0.38(6)	0.16(6)	-18(1)	77(6)	27(2)
250	4	-0.20(7)	0.47(6)	0.11(1)	-25(1)	-78(2)	51(6)
250	5	-0.13(1)	0.21(6)	0.11(6)	20(6)	297(6)	29(3)
250	6	-0.09(5)	0.29(6)	0.13(6)	-10(1)	183(6)	42(2)
250	7	-0.10(7)	0.41(6)	0.12(6)	-16(1)	84(6)	27(5)
250	8	-0.13(7)	0.51(6)	0.08(6)	-22(1)	-91(2)	52(6)
250	9	-0.11(6)	0.19(6)	0.09(6)	14(6)	299(6)	26(3)
250	10	-0.06(1)	0.29(6)	0.09(6)	6(6)	186(6)	36(2)
250	11	-0.06(6)	0.44(6)	0.08(6)	-10(1)	90(6)	27(5)
250	12	-0.07(7)	0.56(6)	0.05(6)	-13(1)	-101(2)	48(6)
250	13	-0.10(6)	0.14(10-II-1)	0.07(6)	7(6)	302(6)	19(3)
250	14	-0.04(6)	0.31(6)	0.02(6)	0	186(6)	21(2)
250	15	-0.03(1)	0.48(6)	0.03(6)	-2(1)	92(6)	17(5)
250	16	-0.02(3)	0.63(6)	0.02(6)	-3(1)	-105(2)	29(6)
251	1	-0.16(3)	-0.18(5)	0.10(4)	-26(5)	-213(5)	-36(7)
251	2	-0.15(3)	-0.17(5)	0.10(4)	-21(5)	-176(5)	-60(6)
251	3	-0.14(4)	-0.16(5)	0.10(4)	-18(6)	-158(6)	-68(6)
251	4	-0.14(4)	-0.15(5)	0.09(4)	-16(6)	-157(6)	-71(6)
251	5	-0.13(3)	-0.16(5)	0.09(4)	-24(5)	-216(5)	-34(7)
251	6	-0.11(3)	-0.15(5)	0.08(4)	-19(5)	-179(5)	-58(6)
251	7	-0.10(4)	-0.15(5)	0.08(4)	-14(6)	-160(6)	-65(6)
251	8	-0.10(4)	-0.14(5)	0.07(4)	-11(6)	-158(6)	-68(6)
251	9	-0.08(3)	-0.15(6)	0.07(4)	-20(10-I-2)	-217(5)	-29(7)
251	10	-0.06(4)	-0.14(6)	0.05(4)	-13(5)	-181(5)	-52(6)
251	11	-0.06(4)	-0.15(6)	0.05(4)	-8(5)	-161(6)	-58(6)
251	12	-0.06(4)	-0.14(6)	0.04(4)	-6(5)	-159(6)	-60(6)
251	13	0.06(5)	-0.13(7)	-0.06(5)	-15(5)	-214(5)	16(1)
251	14	-0.02(4)	-0.16(6)	0.02(4)	-3(6)	-175(5)	-30(6)
251	15	-0.02(4)	-0.17(6)	0.02(4)	-2(5)	-158(6)	-32(6)
251	16	-0.03(7)	-0.17(6)	0.01(4)	-2(3)	-157(6)	-33(6)
252	1	-0.12(3)	1.25(6)	-0.59(6)	-155(6)	-977(6)	-71(6)
252	2	-0.16(1)	1.19(6)	-0.57(6)	-102(6)	-602(6)	-47(10-II-2)
252	3	-0.20(1)	1.10(6)	-0.55(6)	-57(6)	264(1)	-41(10-II-2)
252	4	-0.21(1)	0.99(6)	-0.54(6)	31(1)	275(10-I-3)	-49(7)
252	5	-0.08(3)	1.43(6)	-0.52(6)	-149(6)	-1025(6)	-65(6)
252	6	-0.13(1)	1.31(6)	-0.47(6)	-89(6)	-632(6)	-46(10-II-2)
252	7	-0.19(1)	1.17(6)	-0.43(6)	-48(6)	279(1)	-42(7)
252	8	-0.21(1)	1.04(6)	-0.42(6)	33(1)	297(10-I-3)	-50(6)
252	9	-0.07(7)	1.65(6)	-0.39(6)	-128(6)	-1066(6)	-49(6)
252	10	-0.08(7)	1.41(6)	-0.29(6)	-56(6)	-665(6)	-45(10-II-2)
252	11	-0.18(1)	1.25(6)	-0.28(5)	-29(6)	295(1)	-52(6)
252	12	-0.22(1)	1.06(6)	-0.26(6)	33(1)	324(10-I-3)	-58(6)
252	13	-0.19(6)	1.69(6)	-0.08(1)	-86(6)	-1092(6)	-29(1)
252	14	-0.03(6)	1.49(6)	-0.11(6)	-5(6)	-678(6)	-36(7)
252	15	-0.04(1)	1.28(6)	-0.11(5)	-9(6)	301(1)	-45(6)
252	16	-0.27(1)	-1.22(1)	-0.27(1)	29(1)	348(10-I-3)	-57(6)
253	1	-0.21(6)	0.76(6)	0.10(4)	-55(6)	-196(6)	-9(10-II-2)
253	2	-0.32(6)	0.65(6)	0.09(4)	-37(6)	-82(6)	-24(6)
253	3	-0.33(6)	0.59(6)	0.10(3)	-10(6)	48(1)	-25(6)
253	4	-0.28(6)	-0.58(1)	0.13(3)	12(10-II-2)	82(6)	-25(6)
253	5	-0.19(6)	0.73(6)	0.09(7)	-57(6)	-200(6)	-6(10-II-2)
253	6	-0.28(6)	0.60(6)	0.07(4)	-36(6)	-85(6)	-20(6)

**POTENZIAMENTO DELL'IMPIANTO DI DEPURAZIONE E
DEL RECAPITO FINALE DI SQUINZANO (LE)
PROGETTO DEFINITIVO
Tabulati di calcolo strutturale-Filtrazione**

R.37.9

Maggio 2021

Pagina 105 di
364

Muro	Pann.	Sxx	Syy	Sxy	Mxx	Myy	Mxy
253	7	-0.28(6)	-0.56(1)	0.10(3)	9(3)	48(1)	-22(6)
253	8	-0.25(6)	-0.61(1)	0.13(3)	15(6)	84(6)	-20(6)
253	9	-0.18(6)	-0.67(1)	0.11(7)	-58(6)	-201(6)	5(1)
253	10	-0.22(6)	-0.54(1)	0.07(7)	-31(6)	-89(6)	-14(6)
253	11	-0.23(6)	-0.54(1)	0.09(3)	8(3)	48(1)	-19(6)
253	12	-0.22(6)	-0.64(1)	0.12(3)	19(6)	89(6)	-11(6)
253	13	-0.15(6)	-0.66(1)	0.14(6)	-56(6)	-204(6)	9(7)
253	14	-0.16(6)	-0.51(1)	0.06(7)	-21(6)	-93(6)	-12(10-II-2)
253	15	-0.15(6)	-0.50(1)	0.08(3)	6(3)	48(1)	-18(6)
253	16	-0.18(6)	-0.62(1)	0.13(1)	22(6)	106(6)	-11(1)
254	1	-0.25(3)	0.10(6)	-0.31(6)	-49(6)	-144(6)	-29(5)
254	2	-0.25(3)	-0.03(5)	-0.22(6)	-23(6)	-59(1)	-20(5)
254	3	-0.25(3)	-0.14(6)	-0.14(6)	21(2)	80(6)	-34(6)
254	4	-0.27(2)	-0.23(6)	-0.10(5)	24(5)	169(6)	-26(6)
254	5	-0.21(3)	0.09(6)	-0.27(6)	-44(6)	-149(6)	-25(5)
254	6	-0.20(3)	-0.05(5)	-0.18(6)	-20(6)	-50(1)	-18(5)
254	7	-0.20(3)	-0.16(6)	-0.11(6)	18(2)	79(6)	-31(6)
254	8	-0.22(2)	-0.25(6)	-0.09(2)	24(5)	177(6)	-23(6)
254	9	-0.17(3)	0.08(6)	-0.22(6)	-38(6)	-154(6)	-22(5)
254	10	-0.15(3)	-0.06(6)	-0.14(6)	-16(6)	-49(5)	-18(6)
254	11	-0.16(3)	-0.18(6)	-0.08(6)	15(2)	78(6)	-29(6)
254	12	-0.18(5)	-0.26(6)	-0.08(2)	22(5)	185(6)	-21(6)
254	13	-0.12(3)	0.07(10-II-2)	-0.17(6)	-30(6)	-159(6)	-18(5)
254	14	-0.11(3)	-0.09(6)	-0.10(6)	-11(6)	-48(5)	-19(6)
254	15	-0.11(3)	-0.20(6)	-0.05(6)	10(2)	78(6)	-28(6)
254	16	-0.14(5)	-0.28(6)	-0.07(2)	18(5)	192(6)	-19(6)
255	1	-0.13(3)	0.91(6)	-0.48(6)	55(6)	177(6)	34(6)
255	2	-0.18(4)	0.66(6)	-0.39(6)	19(6)	78(1)	5(6)
255	3	-0.28(6)	0.40(6)	-0.33(6)	8(1)	-96(6)	-10(3)
255	4	-0.42(6)	0.18(6)	-0.32(6)	-26(6)	-231(6)	26(6)
255	5	-0.12(3)	0.93(6)	-0.38(6)	61(6)	183(6)	27(6)
255	6	-0.17(7)	0.64(6)	-0.27(6)	21(6)	76(1)	-4(9-II-3)
255	7	-0.25(6)	0.37(6)	-0.22(6)	5(1)	-96(6)	-9(3)
255	8	-0.35(6)	0.18(6)	-0.25(6)	-24(6)	-231(6)	23(6)
255	9	-0.11(3)	0.93(6)	-0.25(6)	64(6)	187(6)	19(6)
255	10	-0.15(6)	0.57(6)	-0.13(6)	19(6)	72(1)	-4(9-II-3)
255	11	-0.21(6)	0.33(6)	-0.13(6)	3(9-II-2)	-96(6)	-9(3)
255	12	-0.28(6)	0.17(6)	-0.19(6)	-22(6)	-231(6)	21(6)
255	13	-0.09(3)	0.75(6)	-0.04(6)	56(6)	184(6)	12(1)
255	14	-0.12(6)	0.44(6)	0.04(3)	13(6)	68(1)	-2(9-II-3)
255	15	-0.16(6)	0.28(6)	-0.06(6)	3(6)	-95(6)	-8(3)
255	16	-0.20(6)	0.16(6)	-0.13(6)	-18(6)	-230(6)	19(6)
256	1	-0.21(4)	-0.29(2)	0.13(3)	61(6)	338(6)	-8(3)
256	2	-0.19(4)	-0.22(2)	0.14(3)	41(6)	144(6)	10(6)
256	3	-0.22(1)	-0.17(5)	0.13(3)	15(6)	-50(1)	12(6)
256	4	-0.25(1)	-0.14(5)	0.12(2)	-8(5)	-180(6)	-6(4)
256	5	-0.17(4)	-0.28(2)	0.10(3)	62(6)	351(6)	7(6)
256	6	-0.16(1)	-0.20(2)	0.11(3)	39(6)	145(6)	9(6)
256	7	-0.18(1)	-0.16(5)	0.11(3)	13(6)	-48(1)	10(6)
256	8	-0.21(1)	-0.14(5)	0.10(2)	-11(6)	-189(6)	-5(4)
256	9	-0.15(1)	-0.26(2)	-0.08(6)	59(6)	356(6)	13(6)
256	10	-0.13(1)	-0.19(5)	0.08(3)	34(6)	145(6)	7(6)
256	11	-0.15(1)	-0.16(5)	0.08(3)	9(6)	-46(1)	8(6)
256	12	-0.16(1)	-0.14(6)	0.08(2)	-13(6)	-197(6)	-5(4)
256	13	-0.12(1)	-0.23(5)	-0.10(6)	47(6)	341(6)	26(6)
256	14	-0.10(1)	-0.17(5)	-0.05(6)	24(6)	145(6)	-6(3)
256	15	-0.11(1)	-0.16(5)	0.06(3)	-5(1)	-45(1)	9(6)
256	16	-0.11(1)	-0.16(6)	0.07(2)	-15(6)	-204(6)	-4(3)
257	1	-0.12(7)	-0.49(5)	-0.08(1)	-16(6)	-149(6)	69(9-II-2)
257	2	-0.12(1)	-0.49(5)	-0.08(1)	-19(2)	-189(2)	60(9-II-2)
257	3	-0.16(1)	-0.47(5)	-0.10(1)	-43(2)	-399(2)	46(9-II-2)
257	4	-0.28(1)	-0.45(2)	-0.15(1)	-72(2)	-634(2)	33(1)
257	5	-0.09(7)	-0.54(5)	-0.05(1)	-9(6)	-149(6)	67(9-II-2)
257	6	-0.09(6)	-0.53(5)	-0.05(1)	-16(2)	-199(2)	59(9-II-2)
257	7	-0.10(1)	-0.51(5)	-0.06(1)	-33(2)	-408(2)	44(9-II-2)
257	8	-0.21(1)	-0.49(5)	-0.12(1)	-59(2)	-633(2)	28(1)
257	9	-0.06(6)	-0.58(5)	-0.03(1)	-4(6)	-150(6)	62(9-II-2)
257	10	-0.05(6)	-0.57(5)	0.02(3)	-9(2)	-207(2)	55(9-II-2)
257	11	-0.06(1)	-0.55(5)	0.04(3)	-18(2)	-416(2)	41(9-II-2)
257	12	-0.12(1)	-0.54(5)	-0.08(1)	-37(2)	-631(2)	21(1)
257	13	-0.02(2)	-0.63(5)	-0.01(6)	-1(2)	-150(6)	37(9-II-2)
257	14	-0.03(2)	-0.62(5)	0.01(3)	-2(2)	-209(2)	33(9-II-2)
257	15	-0.03(6)	-0.60(5)	0.01(3)	-3(2)	-417(2)	26(9-II-2)
257	16	0.05(2)	-0.60(6)	0.04(8)	-11(3)	-628(2)	13(1)

**POTENZIAMENTO DELL'IMPIANTO DI DEPURAZIONE E
DEL RECAPITO FINALE DI SQUINZANO (LE)
PROGETTO DEFINITIVO
Tabulati di calcolo strutturale-Filtrazione**

R.37.9

Maggio 2021

Pagina 106 di
364

Muro	Pann.	Sxx	Syy	Sxy	Mxx	Myy	Mxy
258	1	-0.23(5)	-0.49(1)	0.18(1)	-30(6)	-331(6)	-47(6)
258	2	-0.18(1)	-0.47(1)	0.22(1)	28(3)	329(1)	-73(6)
258	3	-0.16(8)	-0.45(2)	0.22(1)	46(2)	437(2)	-77(6)
258	4	-0.17(8)	-0.44(2)	0.19(1)	69(2)	654(2)	56(1)
258	5	-0.19(1)	-0.51(1)	0.17(1)	-29(6)	-358(6)	-43(6)
258	6	-0.14(1)	-0.49(1)	0.21(1)	21(3)	339(1)	-72(6)
258	7	-0.11(8)	-0.44(1)	0.19(1)	33(2)	441(2)	-76(6)
258	8	-0.13(5)	-0.43(2)	0.16(1)	56(2)	651(2)	52(1)
258	9	-0.20(1)	-0.58(1)	0.18(1)	-27(6)	-391(6)	-35(6)
258	10	-0.09(1)	-0.56(1)	0.17(1)	11(1)	348(1)	-68(6)
258	11	-0.06(7)	-0.41(1)	0.15(1)	17(2)	445(2)	-70(6)
258	12	-0.08(8)	-0.40(2)	0.13(1)	36(2)	646(2)	47(1)
258	13	-0.19(1)	-0.89(1)	0.21(1)	-23(6)	-427(6)	-13(5)
258	14	-0.05(1)	-0.57(1)	0.05(1)	2(2)	350(1)	-43(6)
258	15	-0.02(3)	-0.39(1)	0.05(1)	3(2)	445(2)	-43(6)
258	16	0.08(1)	-0.27(9-II-2)	0.12(1)	11(2)	641(2)	33(1)
259	1	-0.23(6)	1.88(6)	-0.28(7)	79(6)	579(6)	290(6)
259	2	-0.21(6)	1.71(6)	-0.30(6)	-9(7)	-122(6)	324(6)
259	3	-0.25(6)	1.55(6)	-0.37(6)	-93(6)	-830(6)	289(6)
259	4	-0.29(5)	1.39(6)	-0.47(6)	-188(6)	-1586(6)	191(6)
259	5	-0.19(6)	2.04(6)	-0.22(7)	77(6)	628(6)	284(6)
259	6	-0.14(6)	1.84(6)	-0.22(7)	-6(7)	-120(6)	323(6)
259	7	-0.17(6)	1.66(6)	-0.30(6)	-74(6)	-864(6)	288(6)
259	8	-0.18(5)	1.50(6)	-0.40(6)	-176(6)	-1678(6)	186(6)
259	9	-0.16(5)	2.19(6)	-0.17(4)	59(6)	677(6)	262(6)
259	10	-0.06(6)	1.98(6)	-0.14(7)	-5(7)	-116(6)	308(6)
259	11	-0.08(6)	1.76(6)	-0.23(6)	-38(6)	-895(6)	275(6)
259	12	-0.10(5)	1.57(6)	-0.29(6)	-138(6)	-1756(6)	168(6)
259	13	-0.10(5)	2.28(6)	-0.08(4)	34(6)	685(6)	159(6)
259	14	0.07(6)	2.16(6)	-0.06(6)	-8(6)	-119(6)	194(6)
259	15	0.07(6)	1.88(6)	-0.06(6)	2(7)	-902(6)	177(6)
259	16	-0.13(6)	1.42(6)	-0.17(6)	-69(6)	-1766(6)	107(6)
260	1	-0.09(3)	0.07(10-II-2)	-0.13(6)	-23(6)	-164(6)	-16(5)
260	2	-0.08(3)	-0.12(6)	-0.07(6)	7(3)	-48(5)	-19(6)
260	3	-0.08(3)	-0.22(6)	-0.03(6)	6(2)	78(6)	-27(6)
260	4	-0.09(3)	-0.29(6)	-0.06(2)	16(6)	197(6)	-18(6)
260	5	-0.06(3)	0.06(3)	-0.09(6)	-17(6)	-168(6)	-14(2)
260	6	-0.05(3)	-0.15(6)	-0.05(6)	4(3)	-48(5)	-19(6)
260	7	-0.05(3)	-0.24(6)	-0.02(2)	4(2)	78(6)	-25(6)
260	8	-0.07(3)	-0.30(6)	-0.05(2)	12(6)	199(6)	-16(6)
260	9	-0.03(3)	0.07(3)	-0.06(6)	-12(6)	-173(6)	-11(2)
260	10	-0.03(3)	-0.18(6)	-0.03(6)	2(2)	-47(5)	-17(6)
260	11	-0.03(2)	-0.26(6)	-0.01(2)	1(3)	78(6)	-22(6)
260	12	-0.04(3)	-0.30(6)	-0.03(2)	7(6)	201(6)	-13(6)
260	13	0.02(6)	0.09(3)	-0.01(6)	-7(6)	-177(6)	-6(2)
260	14	-0.01(3)	-0.21(6)	-0.01(6)	1(6)	-47(5)	-9(6)
260	15	-0.02(6)	-0.28(6)	-0.00(6)	0	77(6)	-12(6)
260	16	-0.02(6)	-0.29(6)	-0.02(3)	2(6)	200(6)	-9(6)
261	1	-0.07(3)	0.42(6)	0.10(10-II-2)	29(6)	178(6)	19(1)
261	2	-0.10(6)	0.33(6)	0.04(10-II-2)	10(6)	66(1)	4(6)
261	3	-0.09(6)	0.22(6)	0.04(3)	4(6)	-94(6)	7(6)
261	4	-0.11(6)	0.14(6)	-0.09(6)	-18(6)	-229(6)	19(6)
261	5	0.05(6)	0.18(6)	0.04(10-II-2)	13(6)	175(6)	13(1)
261	6	-0.08(6)	0.24(6)	0.05(10-II-2)	6(6)	65(1)	4(6)
261	7	-0.07(6)	0.18(6)	0.03(3)	3(6)	-94(6)	9(6)
261	8	-0.10(6)	0.13(6)	-0.07(6)	-14(6)	-227(6)	17(6)
261	9	0.04(6)	-0.10(1)	-0.01(6)	5(6)	172(6)	8(1)
261	10	-0.05(7)	0.13(6)	0.05(6)	2(6)	64(1)	4(6)
261	11	-0.04(3)	0.14(6)	0.02(3)	3(6)	-94(6)	9(6)
261	12	-0.07(6)	0.10(5)	-0.06(6)	-11(6)	-223(6)	15(6)
261	13	0.02(6)	-0.10(10-II-2)	-0.03(6)	2(10-II-2)	171(6)	5(7)
261	14	-0.02(1)	-0.07(1)	0.03(6)	0	63(1)	2(6)
261	15	-0.01(1)	0.13(6)	0.01(6)	2(6)	-94(6)	5(6)
261	16	-0.05(6)	0.11(2)	-0.04(6)	-7(6)	-215(6)	12(6)
262	1	-0.07(6)	-0.52(1)	-0.24(1)	-31(6)	-204(6)	14(1)
262	2	-0.10(1)	-0.50(1)	0.05(7)	-16(6)	-96(6)	-12(10-II-2)
262	3	-0.10(1)	-0.48(1)	0.05(3)	4(3)	49(1)	-21(6)
262	4	-0.13(7)	-0.48(1)	0.26(1)	10(5)	135(6)	-22(1)
262	5	-0.07(1)	-0.36(1)	-0.15(1)	-17(6)	-204(6)	10(7)
262	6	-0.08(6)	-0.48(1)	0.05(6)	-10(6)	-97(6)	-10(10-II-2)
262	7	-0.08(6)	-0.47(1)	0.05(1)	3(3)	51(1)	-17(6)
262	8	-0.07(5)	-0.31(1)	0.16(1)	11(6)	160(6)	-13(1)
262	9	-0.05(3)	-0.25(1)	-0.08(1)	-9(6)	-203(6)	9(6)
262	10	-0.04(6)	-0.47(1)	0.04(6)	-4(6)	-99(6)	-9(10-II-2)

**POTENZIAMENTO DELL'IMPIANTO DI DEPURAZIONE E
DEL RECAPITO FINALE DI SQUINZANO (LE)
PROGETTO DEFINITIVO
Tabulati di calcolo strutturale-Filtrazione**

R.37.9

Maggio 2021

Pagina 107 di
364

Muro	Pann.	Sxx	Syy	Sxy	Mxx	Myy	Mxy
262	11	-0.04(6)	-0.45(1)	0.04(1)	-3(6)	52(1)	-14(6)
262	12	-0.05(1)	-0.20(1)	0.08(1)	10(6)	172(6)	-7(1)
262	13	0.02(6)	-0.17(1)	-0.02(1)	-3(6)	-202(6)	7(6)
262	14	-0.01(3)	-0.47(1)	0.02(6)	0	-98(6)	-5(10-II-2)
262	15	-0.01(6)	-0.45(1)	0.02(1)	-3(6)	52(1)	-8(6)
262	16	-0.04(6)	-0.12(1)	0.02(3)	7(6)	176(6)	4(3)
263	1	-0.07(1)	-0.18(5)	-0.14(6)	39(6)	309(6)	43(6)
263	2	-0.07(4)	-0.16(5)	-0.04(6)	14(6)	145(6)	6(6)
263	3	-0.08(1)	-0.17(6)	0.04(2)	-3(1)	-44(1)	10(6)
263	4	-0.09(1)	-0.18(6)	0.06(2)	-14(6)	-209(6)	-5(3)
263	5	-0.07(1)	-0.12(10-II-3)	-0.11(6)	25(6)	279(6)	26(6)
263	6	-0.05(4)	-0.16(5)	-0.04(6)	9(6)	147(6)	7(6)
263	7	-0.05(7)	-0.18(6)	0.03(2)	-1(1)	-44(1)	10(6)
263	8	-0.05(1)	-0.19(6)	0.06(2)	-12(6)	-212(6)	-5(3)
263	9	-0.04(1)	-0.09(10-II-3)	-0.07(6)	15(6)	263(6)	15(6)
263	10	-0.03(6)	-0.17(6)	-0.03(6)	3(5)	147(6)	8(6)
263	11	-0.04(6)	-0.20(6)	0.02(2)	1(6)	-44(1)	10(6)
263	12	-0.03(1)	-0.19(6)	0.05(2)	-9(6)	-214(6)	-6(3)
263	13	0.02(6)	-0.06(9-II-3)	-0.02(6)	9(6)	255(6)	5(6)
263	14	-0.02(6)	-0.19(6)	-0.01(6)	0	147(6)	5(6)
263	15	-0.03(6)	-0.23(6)	-0.01(6)	1(6)	-43(1)	7(6)
263	16	-0.01(6)	-0.15(6)	0.05(5)	-5(6)	-214(6)	-6(3)

Risultati Analisi Dinamica - Sollecitazioni massime per combinazione - Sigma terreno platea - S.L.E
Scenario di calcolo: **Set_NT_ 2018 A2_SLV_SLD_STR_GEO**

Combinazione	Muro	Nodi	SigmaMax kg/cmq	SigmaMin kg/cmq
13	67	163-162-159-160	0.83	0.58
14	67	163-162-159-160	0.84	0.58
15	65	161-160-156-157	0.84	0.31
16	67	163-162-159-160	0.83	0.58
17	65	161-160-156-157	0.84	0.31
18	67	163-162-159-160	0.83	0.58
19	33	49-48-39-40	0.74	0.26
20-I-1	67	163-162-159-160	0.85	0.60
20-II-1	67	163-162-159-160	0.87	0.61
20-I-2	67	163-162-159-160	0.87	0.60
20-II-2	67	163-162-159-160	0.86	0.62
20-I-3	67	163-162-159-160	0.87	0.60
20-II-3	67	163-162-159-160	0.85	0.60
20-I-4	67	163-162-159-160	0.87	0.62
20-II-4	67	163-162-159-160	0.85	0.60
21-I-1	67	163-162-159-160	0.88	0.59
21-II-1	67	163-162-159-160	0.84	0.63
21-I-2	67	163-162-159-160	0.87	0.59
21-II-2	67	163-162-159-160	0.88	0.63
21-I-3	67	163-162-159-160	0.88	0.59
21-II-3	67	163-162-159-160	0.86	0.62
21-I-4	67	163-162-159-160	0.88	0.59
21-II-4	67	163-162-159-160	0.83	0.62
Assoluti				
21-I-4	67	163-162-159-160	0.88	
19	33	49-48-39-40		0.26

Risultati Analisi Dinamica - Spostamenti massimi - Nodi - S.L.E.
Scenario di calcolo: **Set_NT_ 2018 A2_SLV_SLD_STR_GEO**

la tripletta (Cb [-SubC-Cbm]) indica la Combinazione - SottoCombinazione sismica - Posizione Masse, nel caso non sismico mancano SubC-Cbm

Nodo	Trasl. X	Trasl. Y	Trasl. Z	Rotaz. X	Rotaz. Y	Rotaz. Z
	mm	mm	mm	mrad	mrad	mrad
9	0.00(13)	0.00(13)	-1.45(19)	-0.04(21-I-4)	-0.11(19)	0.00(13)
10	0.00(13)	0.00(13)	-1.39(21-II-4)	-0.04(21-I-4)	-0.11(19)	0.00(13)
11	0.00(13)	0.00(13)	-1.38(21-II-4)	-0.04(21-I-4)	-0.10(19)	0.00(13)
12	0.00(13)	0.00(13)	-1.38(21-II-4)	-0.04(21-I-4)	-0.10(19)	0.00(13)
13	0.00(13)	0.00(13)	-1.38(21-II-1)	-0.04(21-I-4)	-0.11(19)	0.00(13)
14	0.00(13)	0.00(13)	-1.37(21-II-1)	-0.02(21-I-4)	-0.09(19)	0.00(13)
15	0.00(13)	0.00(13)	-1.38(21-II-1)	0.01(15)	-0.05(19)	0.00(13)
19	0.00(13)	0.00(13)	-1.45(19)	-0.04(21-I-4)	-0.11(19)	0.00(13)
20	0.00(13)	0.00(13)	-1.40(20-I-4)	-0.04(21-I-4)	-0.11(19)	0.00(13)

**POTENZIAMENTO DELL'IMPIANTO DI DEPURAZIONE E
DEL RECAPITO FINALE DI SQUINZANO (LE)
PROGETTO DEFINITIVO
Tabulati di calcolo strutturale-Filtrazione**

R.37.9

Maggio 2021

Pagina 108 di
364

Nodo	Trasl. X	Trasl. Y	Trasl. Z	Rotaz. X	Rotaz. Y	Rotaz. Z
21	0.00 (13)	0.00 (13)	-1.39 (21-II-4)	-0.04 (21-I-4)	-0.10 (19)	0.00 (13)
22	0.00 (13)	0.00 (13)	-1.39 (21-II-1)	-0.04 (21-I-4)	-0.11 (19)	0.00 (13)
23	0.00 (13)	0.00 (13)	-1.39 (21-II-1)	-0.04 (21-I-4)	-0.11 (19)	0.00 (13)
24	0.00 (13)	0.00 (13)	-1.37 (21-II-1)	-0.02 (21-I-4)	-0.09 (19)	0.00 (13)
25	0.00 (13)	0.00 (13)	-1.38 (21-II-1)	-0.02 (21-I-1)	-0.08 (19)	0.00 (13)
29	0.00 (13)	0.00 (13)	-1.46 (19)	-0.04 (21-I-4)	-0.11 (19)	0.00 (13)
30	0.00 (13)	0.00 (13)	-1.43 (20-I-4)	-0.04 (21-I-4)	-0.11 (19)	0.00 (13)
31	0.00 (13)	0.00 (13)	-1.43 (20-I-4)	-0.04 (21-I-4)	-0.10 (19)	0.00 (13)
32	0.00 (13)	0.00 (13)	-1.42 (20-I-4)	-0.05 (21-I-4)	-0.11 (19)	0.00 (13)
33	0.00 (13)	0.00 (13)	-1.42 (20-II-2)	-0.05 (21-I-4)	-0.11 (19)	0.00 (13)
34	0.00 (13)	0.00 (13)	-1.39 (20-II-2)	-0.05 (21-I-4)	-0.09 (19)	0.00 (13)
35	0.00 (13)	0.00 (13)	-1.40 (20-I-1)	-0.06 (21-I-4)	-0.09 (19)	0.00 (13)
39	0.00 (13)	0.00 (13)	-1.47 (19)	-0.04 (21-I-4)	-0.11 (19)	0.00 (13)
40	0.00 (13)	0.00 (13)	-1.46 (20-I-4)	-0.05 (21-I-4)	-0.11 (19)	0.00 (13)
41	0.00 (13)	0.00 (13)	-1.46 (20-I-4)	-0.05 (21-I-4)	-0.10 (19)	0.00 (13)
42	0.00 (13)	0.00 (13)	-1.47 (20-I-3)	-0.05 (21-I-4)	-0.11 (19)	0.00 (13)
43	0.00 (13)	0.00 (13)	-1.48 (21-I-4)	-0.08 (21-I-4)	0.09 (15)	0.00 (13)
44	0.00 (13)	0.00 (13)	-1.51 (21-I-4)	-0.08 (21-I-4)	0.08 (15)	0.00 (13)
48	0.00 (13)	0.00 (13)	-1.50 (21-I-4)	-0.05 (21-I-4)	-0.10 (19)	0.00 (13)
49	0.00 (13)	0.00 (13)	-1.51 (21-I-4)	-0.05 (21-I-4)	-0.10 (19)	0.00 (13)
50	0.00 (13)	0.00 (13)	-1.51 (21-I-4)	-0.05 (21-I-4)	-0.10 (19)	0.00 (13)
51	0.00 (13)	0.00 (13)	-1.52 (21-I-4)	-0.06 (21-I-4)	-0.10 (19)	0.00 (13)
53	0.00 (13)	0.00 (13)	-1.55 (21-I-4)	-0.06 (21-I-4)	-0.08 (19)	0.00 (13)
54	0.00 (13)	0.00 (13)	-1.56 (21-I-4)	-0.05 (15)	0.06 (15)	0.00 (13)
109	-0.06 (19)	0.02 (21-I-4)	-1.45 (19)	-0.04 (21-I-4)	-0.10 (19)	0.00 (15)
110	-0.06 (19)	0.03 (15)	-1.39 (21-II-4)	-0.05 (15)	-0.10 (19)	0.01 (15)
111	-0.05 (19)	0.03 (15)	-1.38 (21-II-4)	-0.05 (15)	-0.10 (19)	-0.00 (15)
112	-0.05 (19)	0.02 (21-I-4)	-1.38 (21-II-4)	-0.05 (21-I-4)	-0.10 (19)	-0.01 (14)
113	-0.05 (19)	0.02 (21-I-4)	-1.38 (21-II-1)	-0.05 (21-I-4)	-0.10 (19)	-0.01 (14)
114	-0.04 (19)	0.02 (15)	-1.37 (21-II-1)	-0.04 (15)	-0.10 (19)	-0.02 (15)
115	0.00 (13)	0.00 (13)	-1.37 (21-II-1)	-0.04 (21-I-1)	-0.12 (19)	0.00 (13)
116	0.00 (13)	0.00 (13)	-1.37 (21-II-1)	-0.05 (21-I-1)	-0.13 (19)	0.00 (13)
117	0.00 (13)	0.00 (13)	-1.37 (21-II-3)	-0.07 (21-I-1)	-0.12 (19)	0.00 (13)
118	0.00 (13)	0.00 (13)	-1.38 (21-II-3)	-0.07 (21-I-1)	-0.12 (19)	0.00 (13)
119	-0.06 (19)	0.02 (21-I-4)	-1.45 (19)	-0.04 (21-I-4)	-0.11 (19)	0.00 (19)
122	-0.06 (19)	0.02 (21-I-4)	-1.39 (21-II-1)	-0.04 (21-I-4)	-0.10 (19)	0.00 (19)
125	0.00 (13)	0.00 (13)	-1.39 (21-II-1)	-0.06 (21-I-1)	-0.13 (19)	0.00 (13)
126	0.00 (13)	0.00 (13)	-1.39 (21-II-3)	-0.06 (21-I-1)	-0.14 (19)	0.00 (13)
127	0.00 (13)	0.00 (13)	-1.41 (20-II-1)	-0.07 (21-I-1)	0.12 (15)	0.00 (13)
128	0.00 (13)	0.00 (13)	-1.42 (20-II-1)	-0.07 (21-I-1)	0.12 (15)	0.00 (13)
129	-0.06 (19)	0.02 (21-I-4)	-1.46 (19)	-0.04 (21-I-4)	-0.11 (19)	-0.00 (21-II-4)
130	-0.06 (19)	0.02 (21-I-4)	-1.43 (20-I-4)	-0.04 (21-I-4)	-0.11 (19)	0.00 (21-II-4)
131	-0.06 (19)	0.02 (21-I-4)	-1.43 (20-I-4)	-0.05 (21-I-4)	-0.11 (19)	0.00 (21-II-4)
132	-0.06 (19)	0.03 (21-I-4)	-1.43 (20-I-4)	-0.05 (21-I-4)	-0.11 (19)	-0.00 (21-II-4)
135	-0.01 (15)	0.00 (19)	-1.45 (20-I-1)	-0.06 (21-I-1)	-0.16 (19)	-0.00 (21-II-4)
136	0.00 (13)	0.00 (13)	-1.45 (20-I-1)	-0.06 (21-I-1)	-0.14 (19)	0.00 (13)
137	0.00 (13)	0.00 (13)	-1.47 (20-II-1)	-0.07 (21-I-1)	0.14 (15)	0.00 (13)
138	0.00 (13)	0.00 (13)	-1.49 (20-II-1)	-0.07 (21-I-1)	0.14 (15)	0.00 (13)
139	-0.06 (19)	0.02 (21-I-4)	-1.47 (19)	-0.04 (21-I-4)	-0.11 (19)	-0.01 (14)
142	-0.06 (19)	0.03 (21-I-4)	-1.47 (20-I-3)	-0.05 (21-I-4)	-0.10 (19)	-0.01 (14)
144	0.00 (13)	0.00 (13)	-1.51 (21-I-4)	-0.06 (21-I-1)	-0.14 (19)	0.00 (13)
145	0.00 (13)	0.00 (13)	-1.51 (21-I-4)	-0.06 (21-I-1)	-0.14 (19)	0.00 (13)
146	0.00 (13)	0.00 (13)	-1.54 (21-II-3)	-0.07 (21-I-1)	0.15 (15)	0.00 (13)
147	0.00 (13)	0.00 (13)	-1.57 (21-II-3)	-0.07 (21-I-1)	0.16 (15)	0.00 (13)
148	-0.05 (19)	0.02 (21-I-4)	-1.50 (21-I-4)	-0.04 (21-I-4)	-0.10 (19)	-0.00 (14)
149	-0.05 (19)	0.03 (21-I-4)	-1.51 (21-I-4)	-0.04 (21-I-4)	-0.10 (19)	0.01 (14)
150	-0.05 (19)	0.03 (21-I-4)	-1.52 (21-I-4)	-0.05 (21-I-4)	-0.10 (19)	0.01 (15)
151	-0.05 (19)	0.03 (21-I-4)	-1.52 (21-I-4)	-0.04 (21-I-4)	-0.09 (19)	0.01 (14)
152	-0.05 (19)	0.03 (21-I-4)	-1.53 (21-I-4)	-0.05 (21-I-4)	-0.10 (19)	0.01 (14)
153	-0.04 (19)	0.03 (14)	-1.55 (21-I-4)	-0.05 (14)	-0.10 (19)	-0.02 (14)
154	0.00 (13)	0.00 (13)	-1.56 (21-I-4)	-0.07 (15)	-0.13 (19)	0.00 (13)
155	0.00 (13)	0.00 (13)	-1.57 (21-I-4)	-0.07 (21-I-1)	0.13 (15)	0.00 (13)
156	0.00 (13)	0.00 (13)	-1.61 (21-I-4)	-0.07 (21-I-1)	0.15 (15)	0.00 (13)
157	0.00 (13)	0.00 (13)	-1.64 (21-II-3)	-0.07 (21-I-1)	0.16 (15)	0.00 (13)
158	0.00 (13)	0.00 (13)	-1.64 (21-I-4)	-0.07 (21-I-1)	0.15 (15)	0.00 (13)
159	0.00 (13)	0.00 (13)	-1.65 (21-I-4)	-0.07 (21-I-1)	0.14 (15)	0.00 (13)
160	0.00 (13)	0.00 (13)	-1.69 (21-I-4)	-0.07 (21-I-1)	0.15 (15)	0.00 (13)
161	0.00 (13)	0.00 (13)	-1.71 (21-I-4)	-0.08 (21-I-1)	0.15 (15)	0.00 (13)
162	0.00 (13)	0.00 (13)	-1.72 (21-I-4)	-0.07 (21-I-1)	0.15 (15)	0.00 (13)
163	0.00 (13)	0.00 (13)	-1.76 (21-I-4)	-0.07 (21-I-1)	0.15 (15)	0.00 (13)
201	-0.08 (19)	0.03 (21-I-1)	-1.28 (21-II-1)	-0.06 (21-I-1)	-0.13 (19)	-0.00 (19)
202	-0.08 (19)	0.03 (21-I-1)	-1.28 (21-II-1)	-0.06 (21-I-1)	-0.13 (19)	-0.00 (19)
203	-0.08 (19)	0.04 (21-I-1)	-1.26 (21-II-1)	-0.07 (21-I-1)	-0.13 (19)	0.01 (14)
204	-0.08 (19)	0.04 (21-I-1)	-1.25 (21-II-2)	-0.07 (21-I-1)	-0.13 (19)	0.01 (14)

**POTENZIAMENTO DELL'IMPIANTO DI DEPURAZIONE E
DEL RECAPITO FINALE DI SQUINZANO (LE)
PROGETTO DEFINITIVO
Tabulati di calcolo strutturale-Filtrazione**

R.37.9

Maggio 2021

Pagina 109 di
364

Nodo	Trasl. X	Trasl. Y	Trasl. Z	Rotaz. X	Rotaz. Y	Rotaz. Z
205	-0.08(19)	0.03(21-I-1)	-1.34(21-II-1)	-0.06(21-I-1)	-0.13(19)	-0.00(15)
206	-0.08(19)	0.03(21-I-1)	-1.33(21-II-1)	-0.07(21-I-1)	-0.13(19)	0.01(14)
207	-0.08(19)	0.04(21-I-1)	-1.33(21-II-2)	-0.07(21-I-1)	-0.13(19)	-0.00(19)
208	-0.08(19)	0.04(21-I-1)	-1.33(21-II-2)	-0.08(21-I-1)	-0.13(19)	-0.01(19)
209	-0.11(19)	0.05(21-I-4)	-1.45(19)	-0.04(21-I-4)	-0.10(19)	0.00(15)
210	-0.11(19)	0.05(21-I-4)	-1.39(21-II-4)	-0.05(21-I-4)	-0.10(19)	0.01(15)
211	-0.11(19)	0.05(21-I-4)	-1.38(21-II-4)	-0.05(21-I-4)	-0.10(19)	0.01(14)
212	-0.11(19)	0.05(21-I-4)	-1.38(21-II-4)	-0.05(21-I-4)	-0.10(19)	-0.01(14)
213	-0.11(19)	0.05(21-I-4)	-1.38(21-II-1)	-0.05(21-I-4)	-0.12(19)	-0.02(14)
214	-0.09(19)	0.04(21-I-4)	-1.37(21-II-1)	-0.06(21-I-4)	-0.12(19)	-0.02(15)
215	-0.08(19)	0.03(21-I-1)	-1.37(21-II-1)	-0.07(21-I-1)	-0.13(19)	0.01(19)
216	-0.08(19)	0.03(21-I-1)	-1.37(21-II-1)	-0.07(21-I-1)	-0.13(19)	0.00(14)
217	-0.07(19)	0.04(21-I-1)	-1.37(21-II-3)	-0.08(21-I-1)	-0.12(19)	-0.00(19)
218	-0.07(19)	0.04(21-I-1)	-1.37(21-II-3)	-0.08(21-I-1)	-0.12(19)	-0.01(19)
219	-0.12(19)	0.05(21-I-4)	-1.45(19)	-0.04(21-I-4)	-0.10(19)	0.01(19)
222	-0.11(19)	0.05(21-I-4)	-1.39(21-II-1)	-0.05(21-I-4)	-0.10(19)	0.01(19)
225	-0.08(19)	0.03(21-I-1)	-1.40(21-II-1)	-0.06(21-I-1)	-0.14(19)	0.03(15)
228	0.07(15)	0.04(21-I-1)	-1.42(20-II-1)	-0.07(21-I-1)	0.12(15)	-0.02(15)
229	-0.12(19)	0.05(21-I-4)	-1.46(19)	-0.04(21-I-4)	-0.10(19)	-0.00(21-II-4)
230	-0.12(19)	0.05(21-I-4)	-1.43(20-I-4)	-0.04(21-I-4)	-0.11(19)	0.00(21-II-4)
231	-0.12(19)	0.05(21-I-4)	-1.43(20-I-4)	-0.05(21-I-4)	-0.11(19)	0.01(21-II-4)
232	-0.12(19)	0.05(21-I-4)	-1.43(20-I-4)	-0.05(21-I-4)	-0.11(19)	-0.00(21-II-4)
235	-0.08(19)	0.03(21-I-1)	-1.45(20-I-1)	-0.06(21-I-1)	-0.14(19)	0.01(15)
238	0.09(15)	0.04(21-I-1)	-1.49(20-II-1)	-0.07(21-I-1)	0.16(15)	-0.01(15)
239	-0.12(19)	0.05(21-I-4)	-1.47(19)	-0.04(21-I-4)	-0.10(19)	-0.01(14)
242	-0.11(19)	0.05(21-I-4)	-1.47(20-I-3)	-0.05(21-I-4)	-0.10(19)	-0.01(14)
244	-0.08(19)	0.03(21-I-1)	-1.51(21-I-4)	-0.06(21-I-1)	-0.14(19)	-0.03(15)
247	0.10(15)	0.04(21-I-1)	-1.57(21-II-3)	-0.07(21-I-1)	0.18(15)	-0.01(21-II-2)
248	-0.11(19)	0.05(21-I-4)	-1.50(21-I-4)	-0.04(21-I-4)	-0.09(19)	-0.00(14)
249	-0.11(19)	0.05(21-I-4)	-1.51(21-I-4)	-0.04(21-I-4)	-0.10(19)	0.01(14)
250	-0.10(19)	0.05(21-I-4)	-1.52(21-I-4)	-0.04(21-I-4)	-0.09(19)	0.01(15)
251	-0.10(19)	0.05(21-I-4)	-1.52(21-I-4)	-0.04(21-I-4)	-0.09(19)	0.01(14)
252	-0.11(19)	0.05(21-I-4)	-1.53(21-I-4)	-0.04(21-I-4)	-0.11(19)	0.02(14)
253	-0.09(19)	0.05(14)	-1.55(21-I-4)	-0.05(14)	-0.11(19)	-0.03(14)
254	-0.08(19)	0.03(21-I-1)	-1.57(21-I-4)	-0.06(21-I-1)	-0.13(19)	-0.02(19)
257	0.09(15)	0.04(14)	-1.64(21-II-3)	-0.07(21-I-1)	0.17(15)	0.01(19)
258	0.08(15)	0.03(21-I-1)	-1.64(21-I-4)	-0.06(21-I-1)	0.15(15)	0.00(19)
259	0.08(15)	0.04(21-I-1)	-1.65(21-I-4)	-0.07(21-I-1)	0.14(15)	0.00(19)
260	0.08(15)	0.04(21-I-1)	-1.69(21-I-4)	-0.07(21-I-1)	0.15(15)	0.00(15)
261	0.08(15)	0.04(14)	-1.71(21-I-4)	-0.07(21-I-1)	0.15(15)	0.01(15)
262	0.08(15)	0.04(21-I-1)	-1.72(21-I-4)	-0.06(21-I-1)	0.15(15)	0.01(15)
263	0.08(15)	0.04(21-I-1)	-1.76(21-I-4)	-0.07(21-I-1)	0.14(15)	0.00(13)
301	-0.30(19)	0.14(21-I-1)	-1.28(21-II-1)	-0.06(21-I-1)	-0.13(19)	0.01(21-I-1)
302	-0.29(19)	0.14(21-I-1)	-1.28(21-II-1)	-0.06(21-I-1)	-0.13(19)	0.02(21-II-2)
303	-0.29(19)	0.16(21-I-1)	-1.26(21-II-1)	-0.07(21-I-1)	-0.13(19)	0.03(15)
304	-0.29(19)	0.16(21-I-1)	-1.25(21-II-2)	-0.08(21-I-1)	-0.13(19)	0.01(14)
305	-0.29(19)	0.13(21-I-1)	-1.34(21-II-1)	-0.06(21-I-1)	-0.12(19)	-0.01(20-I-1)
306	-0.29(19)	0.14(21-I-1)	-1.34(21-II-1)	-0.06(21-I-1)	-0.13(19)	0.01(14)
307	-0.29(19)	0.16(21-I-1)	-1.33(21-II-2)	-0.07(21-I-1)	-0.12(19)	0.02(15)
308	-0.29(19)	0.16(21-I-1)	-1.33(21-II-2)	-0.08(21-I-1)	-0.13(19)	-0.01(20-II-1)
309	-0.28(19)	0.12(21-I-4)	-1.45(19)	-0.04(21-I-4)	-0.10(19)	0.01(20-II-4)
310	-0.28(19)	0.13(21-I-4)	-1.39(21-II-4)	-0.04(21-I-4)	-0.10(19)	0.02(21-II-4)
311	-0.28(19)	0.13(21-I-4)	-1.39(21-II-4)	-0.04(21-I-4)	-0.10(19)	0.01(14)
312	-0.28(19)	0.13(21-I-4)	-1.38(21-II-4)	-0.05(21-I-4)	-0.10(19)	0.01(21-II-4)
313	-0.28(19)	0.14(21-I-4)	-1.38(21-II-1)	-0.05(21-I-4)	-0.12(19)	0.02(21-II-4)
314	-0.28(19)	0.15(21-I-4)	-1.37(21-II-1)	-0.06(21-I-1)	-0.12(19)	-0.02(21-I-4)
315	-0.28(19)	0.13(21-I-1)	-1.37(21-II-1)	-0.06(21-I-1)	-0.12(19)	0.01(15)
316	-0.28(19)	0.14(21-I-1)	-1.37(21-II-1)	-0.06(21-I-1)	-0.12(19)	0.02(15)
317	-0.28(19)	0.16(21-I-1)	-1.37(21-II-3)	-0.07(21-I-1)	-0.12(19)	0.02(15)
318	-0.28(19)	0.16(21-I-1)	-1.37(21-II-3)	-0.07(21-I-1)	-0.13(19)	-0.02(15)
319	-0.28(19)	0.12(21-I-4)	-1.45(19)	-0.04(21-I-4)	-0.10(19)	-0.01(21-II-4)
322	-0.28(19)	0.13(21-I-4)	-1.40(21-II-1)	-0.04(21-I-4)	-0.10(19)	-0.01(21-II-4)
325	-0.28(19)	0.13(21-I-1)	-1.40(21-II-1)	-0.06(21-I-1)	-0.11(19)	0.05(15)
328	0.26(15)	0.17(21-I-1)	-1.42(20-II-1)	-0.07(21-I-1)	-0.13(19)	-0.06(15)
329	-0.29(19)	0.12(21-I-4)	-1.46(19)	-0.04(21-I-4)	-0.10(19)	-0.01(21-II-4)
330	-0.29(19)	0.12(21-I-4)	-1.43(20-I-4)	-0.04(21-I-4)	-0.10(19)	0.01(21-II-4)
331	-0.29(19)	0.13(21-I-4)	-1.43(20-I-4)	-0.05(21-I-4)	-0.10(19)	0.02(21-II-4)
332	-0.29(19)	0.13(21-I-4)	-1.43(20-I-4)	-0.05(21-I-4)	-0.10(19)	-0.01(21-II-4)
335	-0.28(19)	0.13(21-I-1)	-1.45(20-I-1)	-0.06(21-I-1)	-0.11(19)	0.02(15)
338	0.33(15)	0.16(21-I-1)	-1.49(20-II-1)	-0.07(21-I-1)	0.13(15)	-0.05(15)
339	-0.28(19)	0.12(21-I-4)	-1.47(20-I-4)	-0.04(21-I-4)	-0.09(19)	-0.02(14)
342	-0.27(19)	0.13(21-I-4)	-1.48(20-I-3)	-0.05(21-I-4)	-0.10(19)	-0.02(14)
344	-0.27(19)	0.13(21-I-1)	-1.51(21-I-4)	-0.06(21-I-1)	-0.10(19)	-0.05(15)
347	0.36(15)	0.16(21-I-1)	-1.57(21-II-3)	-0.07(21-I-1)	0.14(15)	-0.03(21-II-2)

**POTENZIAMENTO DELL'IMPIANTO DI DEPURAZIONE E
DEL RECAPITO FINALE DI SQUINZANO (LE)
PROGETTO DEFINITIVO
Tabulati di calcolo strutturale-Filtrazione**

R.37.9

Maggio 2021

Pagina 110 di
364

Nodo	Trasl. X	Trasl. Y	Trasl. Z	Rotaz. X	Rotaz. Y	Rotaz. Z
348	-0.26(19)	0.12(21-I-4)	-1.50(21-I-4)	-0.04(21-I-4)	-0.09(19)	-0.01(14)
349	-0.27(19)	0.11(21-I-4)	-1.51(21-I-4)	-0.05(21-I-4)	-0.10(19)	0.01(14)
350	-0.26(19)	0.12(21-I-4)	-1.52(21-I-4)	-0.05(21-I-4)	-0.10(19)	0.02(21-II-4)
351	-0.26(19)	0.13(21-I-4)	-1.53(21-I-4)	-0.05(21-I-4)	-0.09(19)	0.01(14)
352	-0.26(19)	0.13(21-I-4)	-1.53(21-I-4)	-0.05(21-I-4)	-0.11(19)	0.02(14)
353	-0.26(19)	0.13(14)	-1.56(21-I-4)	-0.06(21-I-4)	-0.11(19)	0.03(21-II-4)
354	-0.26(19)	0.13(21-I-1)	-1.57(21-I-4)	-0.07(21-I-1)	-0.10(19)	-0.08(15)
357	0.35(15)	0.16(14)	-1.64(21-II-3)	-0.07(21-I-1)	0.15(15)	-0.05(20-II-2)
358	0.32(15)	0.14(21-I-1)	-1.64(21-I-4)	-0.06(21-I-1)	0.15(15)	0.02(19)
359	0.32(15)	0.14(21-I-1)	-1.65(21-I-4)	-0.07(21-I-1)	0.14(15)	0.01(19)
360	0.32(15)	0.15(21-I-1)	-1.69(21-I-4)	-0.07(21-I-1)	0.15(15)	0.01(15)
361	0.32(15)	0.16(21-I-1)	-1.71(21-I-4)	-0.07(21-I-1)	0.15(15)	0.03(15)
362	0.32(15)	0.14(21-I-1)	-1.72(21-I-4)	-0.06(21-I-1)	0.15(15)	0.01(15)
363	0.32(15)	0.15(21-I-1)	-1.76(21-I-4)	-0.07(21-I-1)	0.15(15)	0.01(13)
409	-0.29(19)	0.12(21-I-4)	-1.45(19)	-0.04(21-I-4)	-0.10(19)	0.01(20-II-4)
410	-0.29(19)	0.13(21-I-4)	-1.39(21-II-4)	-0.04(21-I-4)	-0.10(19)	0.02(21-II-4)
411	-0.29(19)	0.14(21-I-4)	-1.39(21-II-4)	-0.04(14)	-0.10(19)	0.01(14)
412	-0.29(19)	0.14(21-I-4)	-1.38(21-II-4)	-0.05(21-I-4)	-0.10(19)	0.01(21-II-4)
413	-0.29(19)	0.14(21-I-4)	-1.38(21-II-1)	-0.04(21-I-4)	-0.11(19)	0.02(21-II-4)
419	-0.30(19)	0.12(21-I-4)	-1.45(19)	-0.04(21-I-4)	-0.10(19)	-0.01(21-II-4)
422	-0.30(19)	0.14(21-I-4)	-1.40(21-II-1)	-0.05(21-I-4)	-0.10(19)	-0.01(21-II-4)
429	-0.30(19)	0.12(21-I-4)	-1.46(19)	-0.04(21-I-4)	-0.10(19)	-0.01(21-II-4)
430	-0.30(19)	0.12(21-I-4)	-1.43(20-I-4)	-0.04(21-I-4)	-0.10(19)	0.01(21-II-4)
431	-0.30(19)	0.13(21-I-4)	-1.43(20-I-4)	-0.05(21-I-4)	-0.10(19)	0.02(21-II-4)
432	-0.30(19)	0.14(21-I-4)	-1.43(20-I-4)	-0.05(21-I-4)	-0.10(19)	-0.01(21-II-4)
439	-0.29(19)	0.12(21-I-4)	-1.47(20-I-4)	-0.04(21-I-4)	-0.09(19)	-0.02(14)
442	-0.29(19)	0.13(21-I-4)	-1.48(20-I-3)	-0.05(21-I-4)	-0.10(19)	-0.02(14)
448	-0.28(19)	0.12(21-I-4)	-1.50(21-I-4)	-0.04(21-I-4)	-0.10(19)	-0.01(14)
449	-0.28(19)	0.12(21-I-4)	-1.51(21-I-4)	-0.05(21-I-4)	-0.10(19)	0.01(14)
450	-0.28(19)	0.12(21-I-4)	-1.52(21-I-4)	-0.05(21-I-4)	-0.10(19)	0.02(21-II-4)
451	-0.28(19)	0.14(21-I-4)	-1.53(21-I-4)	-0.05(21-I-4)	-0.09(19)	0.01(14)
452	-0.28(19)	0.13(21-I-4)	-1.53(21-I-4)	-0.05(21-I-4)	-0.10(19)	0.02(14)
501	-0.34(19)	0.16(21-I-1)	-1.28(21-II-1)	-0.06(21-I-1)	-0.13(19)	0.01(21-I-1)
502	-0.34(19)	0.17(21-I-1)	-1.28(21-II-1)	-0.06(21-I-1)	-0.13(19)	0.02(21-II-2)
503	-0.34(19)	0.19(21-I-1)	-1.26(21-II-1)	-0.07(21-I-1)	-0.13(19)	0.03(15)
504	-0.34(19)	0.19(21-I-1)	-1.25(21-II-2)	-0.07(21-I-1)	-0.13(19)	0.01(14)
505	-0.33(19)	0.15(21-I-1)	-1.34(21-II-1)	-0.06(21-I-1)	-0.12(19)	-0.02(20-I-1)
508	-0.33(19)	0.19(21-I-1)	-1.33(21-II-2)	-0.08(21-I-1)	-0.13(19)	-0.02(15)
514	-0.31(19)	0.16(21-I-4)	-1.37(21-II-1)	-0.05(21-I-1)	-0.11(19)	-0.01(21-I-4)
515	-0.32(19)	0.15(21-I-1)	-1.37(21-II-1)	-0.06(21-I-1)	-0.11(19)	0.01(15)
516	-0.32(19)	0.16(21-I-1)	-1.37(21-II-1)	-0.06(21-I-1)	-0.13(19)	0.02(15)
517	-0.32(19)	0.18(21-I-1)	-1.37(21-II-3)	-0.07(21-I-1)	-0.13(19)	0.02(15)
518	-0.33(19)	0.19(21-I-1)	-1.37(21-II-3)	-0.07(21-I-1)	-0.13(19)	-0.03(15)
525	-0.32(19)	0.15(21-I-1)	-1.40(21-II-1)	-0.06(21-I-1)	-0.11(19)	0.05(15)
528	0.30(15)	0.19(21-I-1)	-1.42(20-I-1)	-0.07(21-I-1)	-0.13(19)	-0.06(15)
535	-0.32(19)	0.15(21-I-1)	-1.45(20-I-1)	-0.06(21-I-1)	-0.11(19)	0.02(15)
538	0.37(15)	0.19(21-I-1)	-1.49(20-II-1)	-0.07(21-I-1)	0.13(15)	-0.05(15)
544	-0.31(19)	0.15(21-I-1)	-1.51(21-I-4)	-0.06(21-I-1)	-0.10(19)	-0.05(15)
547	0.41(15)	0.18(21-I-1)	-1.57(21-II-3)	-0.07(21-I-1)	0.14(15)	-0.04(21-II-2)
553	-0.29(19)	0.15(14)	-1.56(21-I-4)	-0.07(21-I-4)	-0.10(19)	0.03(21-II-4)
554	-0.29(19)	0.15(21-I-1)	-1.57(21-I-4)	-0.06(21-I-1)	-0.10(19)	-0.10(15)
557	0.40(15)	0.18(14)	-1.64(21-II-3)	-0.07(21-I-1)	0.14(15)	-0.06(20-II-2)
558	0.38(15)	0.16(21-I-1)	-1.64(21-I-4)	-0.06(21-I-1)	0.15(15)	0.02(19)
559	0.37(15)	0.16(21-I-1)	-1.65(21-I-4)	-0.07(21-I-1)	0.14(15)	0.01(19)
560	0.38(15)	0.17(21-I-1)	-1.69(21-I-4)	-0.07(21-I-1)	0.15(15)	0.01(15)
561	0.37(15)	0.18(21-I-1)	-1.71(21-I-4)	-0.07(21-I-1)	0.15(15)	0.03(15)
562	0.37(15)	0.16(21-I-1)	-1.72(21-I-4)	-0.07(21-I-1)	0.15(15)	0.01(15)
563	0.37(15)	0.17(21-I-1)	-1.76(21-I-4)	-0.07(21-I-1)	0.15(15)	0.01(15)
601	-0.40(19)	0.19(21-I-1)	-1.28(21-II-1)	-0.06(21-I-1)	-0.13(19)	0.01(21-I-1)
602	-0.40(19)	0.19(21-I-1)	-1.28(21-II-1)	-0.06(21-I-1)	-0.13(19)	0.02(21-I-2)
603	-0.40(19)	0.22(21-I-1)	-1.26(21-II-1)	-0.07(21-I-1)	-0.13(19)	0.03(15)
604	-0.40(19)	0.22(21-I-1)	-1.25(21-II-2)	-0.08(21-I-1)	-0.13(19)	0.01(14)
605	-0.38(19)	0.18(21-I-1)	-1.34(21-II-1)	-0.06(21-I-1)	-0.12(19)	-0.02(20-I-1)
608	-0.39(19)	0.22(21-I-1)	-1.33(21-II-2)	-0.08(21-I-1)	-0.13(19)	-0.02(15)
609	-0.36(19)	0.15(21-I-4)	-1.45(19)	-0.04(21-I-4)	-0.10(19)	0.01(21-I-4)
610	-0.36(19)	0.16(21-I-4)	-1.39(21-II-4)	-0.04(21-I-4)	-0.10(19)	0.02(21-II-4)
611	-0.36(19)	0.16(21-I-4)	-1.39(21-II-4)	-0.04(21-I-4)	-0.10(19)	0.01(21-II-4)
612	-0.36(19)	0.17(21-I-4)	-1.38(21-II-4)	-0.04(21-I-4)	-0.10(19)	0.01(21-II-4)
613	-0.36(19)	0.17(21-I-4)	-1.38(21-II-1)	-0.04(21-I-4)	-0.10(19)	0.02(21-II-4)
614	-0.36(19)	0.19(21-I-1)	-1.37(21-II-1)	-0.05(21-I-1)	-0.11(19)	0.01(14)
615	-0.37(19)	0.18(21-I-1)	-1.37(21-II-1)	-0.06(21-I-1)	-0.11(19)	0.02(15)
618	-0.38(19)	0.22(21-I-1)	-1.37(21-II-3)	-0.08(21-I-1)	-0.13(19)	-0.04(15)
619	-0.36(19)	0.15(21-I-4)	-1.45(19)	-0.04(21-I-4)	-0.10(19)	-0.01(21-II-4)
622	-0.36(19)	0.17(21-I-4)	-1.40(21-II-3)	-0.05(21-I-4)	-0.10(19)	-0.01(21-II-4)

**POTENZIAMENTO DELL'IMPIANTO DI DEPURAZIONE E
DEL RECAPITO FINALE DI SQUINZANO (LE)
PROGETTO DEFINITIVO
Tabulati di calcolo strutturale-Filtrazione**

R.37.9

Maggio 2021

Pagina 111 di
364

Nodo	Trasl. X	Trasl. Y	Trasl. Z	Rotaz. X	Rotaz. Y	Rotaz. Z
625	-0.37 (19)	0.18 (21-I-1)	-1.40 (21-II-1)	-0.06 (21-I-1)	-0.11 (19)	0.04 (15)
628	-0.36 (19)	0.23 (21-I-1)	-1.42 (20-II-1)	-0.08 (21-I-1)	-0.13 (19)	-0.06 (15)
629	-0.37 (19)	0.15 (21-I-4)	-1.46 (19)	-0.04 (21-I-4)	-0.10 (19)	-0.01 (21-II-4)
630	-0.37 (19)	0.15 (21-I-4)	-1.43 (20-I-4)	-0.04 (21-I-4)	-0.10 (19)	0.01 (21-II-4)
631	-0.37 (19)	0.16 (21-I-4)	-1.43 (20-I-4)	-0.05 (21-I-4)	-0.10 (19)	0.02 (21-II-4)
632	-0.37 (19)	0.17 (21-I-4)	-1.43 (20-I-4)	-0.05 (21-I-4)	-0.10 (19)	-0.01 (21-II-4)
635	-0.37 (19)	0.18 (21-I-1)	-1.45 (20-I-1)	-0.06 (21-I-1)	-0.11 (19)	-0.02 (21-II-4)
638	0.43 (15)	0.22 (21-I-1)	-1.49 (20-II-1)	-0.07 (21-I-1)	0.13 (15)	-0.06 (15)
639	-0.36 (19)	0.15 (21-I-4)	-1.47 (20-I-4)	-0.04 (21-I-4)	-0.10 (19)	-0.02 (14)
642	-0.35 (19)	0.17 (21-I-4)	-1.48 (20-I-3)	-0.05 (21-I-4)	-0.10 (19)	-0.03 (14)
644	-0.35 (19)	0.18 (21-I-1)	-1.51 (21-I-4)	-0.06 (21-I-1)	-0.10 (19)	-0.05 (15)
647	0.47 (15)	0.21 (21-I-1)	-1.57 (21-II-3)	-0.07 (21-I-1)	0.14 (15)	-0.04 (21-II-2)
648	-0.34 (19)	0.15 (21-I-4)	-1.50 (21-I-4)	-0.04 (21-I-4)	-0.10 (19)	-0.01 (14)
649	-0.34 (19)	0.15 (21-I-4)	-1.51 (21-I-4)	-0.05 (21-I-4)	-0.10 (19)	0.01 (13)
650	-0.34 (19)	0.16 (21-I-4)	-1.52 (21-I-4)	-0.05 (21-I-4)	-0.10 (19)	0.02 (21-II-4)
651	-0.34 (19)	0.17 (21-I-4)	-1.53 (21-I-4)	-0.05 (21-I-4)	-0.09 (19)	0.01 (15)
652	-0.34 (19)	0.17 (21-I-4)	-1.53 (21-I-4)	-0.05 (21-I-4)	-0.10 (19)	0.02 (14)
653	-0.34 (19)	0.18 (21-I-4)	-1.56 (21-I-4)	-0.07 (21-I-4)	-0.10 (19)	0.03 (21-II-4)
654	-0.34 (19)	0.18 (21-I-1)	-1.57 (21-I-4)	-0.06 (21-I-1)	-0.10 (19)	-0.11 (15)
657	0.47 (15)	0.21 (14)	-1.64 (21-II-3)	-0.07 (21-I-1)	0.15 (15)	-0.06 (20-II-2)
658	0.44 (15)	0.19 (21-I-1)	-1.64 (21-I-4)	-0.06 (21-I-1)	0.15 (15)	0.03 (19)
659	0.44 (15)	0.19 (21-I-1)	-1.65 (21-I-4)	-0.07 (21-I-1)	0.15 (15)	0.01 (19)
660	0.44 (15)	0.21 (21-I-1)	-1.69 (21-I-4)	-0.07 (21-I-1)	0.15 (15)	0.01 (15)
661	0.44 (15)	0.21 (21-I-1)	-1.71 (21-I-4)	-0.07 (21-I-1)	0.15 (15)	0.03 (15)
662	0.44 (15)	0.19 (21-I-1)	-1.72 (21-I-4)	-0.07 (21-I-1)	0.15 (15)	0.01 (15)
663	0.44 (15)	0.20 (21-I-1)	-1.76 (21-I-4)	-0.07 (21-I-1)	0.15 (15)	0.01 (15)
759	0.48 (15)	0.21 (21-I-1)	-1.65 (21-I-4)	-0.07 (21-I-1)	0.15 (15)	0.01 (19)
760	0.48 (15)	0.22 (21-I-1)	-1.69 (21-I-4)	-0.07 (21-I-1)	0.15 (15)	0.01 (15)
762	0.48 (15)	0.21 (21-I-1)	-1.72 (21-I-4)	-0.07 (21-I-1)	0.15 (15)	0.01 (15)
763	0.48 (15)	0.22 (21-I-1)	-1.76 (21-I-4)	-0.07 (21-I-1)	0.15 (15)	0.01 (15)

Risultati Analisi Dinamica - Reazioni massime - Nodi - S.I.E
Scenario di calcolo: Set_NT_ 2018 A2_SLV_SLD_STR_GEO

Nodo	Rx kg	Ry kg	Rz kg	Mx kg*m	My kg*m	Mz kg*m
9	-115 (19)	-49 (15)	0	0	0	12 (19)
10	-216 (19)	-494 (15)	0	0	0	28 (19)
11	-341 (19)	-709 (15)	0	0	0	35 (19)
12	-599 (19)	-565 (15)	0	0	0	58 (19)
13	-959 (19)	-551 (15)	0	0	0	143 (19)
14	-4050 (19)	-849 (15)	0	0	0	521 (19)
15	-2926 (19)	996 (21-I-4)	0	0	0	-229 (15)
19	-547 (15)	-97 (15)	0	0	0	-7 (21-I-4)
20	131 (15)	94 (15)	0	0	0	-2 (15)
21	-213 (19)	112 (15)	0	0	0	4 (20-I-4)
22	234 (15)	-487 (15)	0	0	0	48 (15)
23	683 (21-II-4)	586 (15)	0	0	0	45 (15)
24	-1249 (15)	3036 (15)	0	0	0	-32 (15)
25	-2163 (19)	1383 (15)	0	0	0	-71 (21-I-1)
29	-470 (15)	-63 (21-I-4)	0	0	0	-8 (21-I-4)
30	222 (14)	238 (21-II-4)	0	0	0	-23 (15)
31	-650 (15)	266 (21-I-4)	0	0	0	46 (21-I-4)
32	-410 (15)	-221 (15)	0	0	0	24 (15)
33	3626 (15)	232 (15)	0	0	0	-160 (15)
34	272 (15)	-578 (21-I-1)	0	0	0	30 (21-I-1)
35	-199 (19)	-1027 (21-I-1)	0	0	0	29 (21-I-4)
39	-823 (15)	153 (21-II-4)	0	0	0	-3 (21-I-4)
40	730 (15)	118 (14)	0	0	0	21 (15)
41	-630 (20-I-4)	165 (14)	0	0	0	-48 (20-I-3)
42	2423 (15)	-390 (15)	0	0	0	-205 (15)
43	-3690 (15)	-5146 (15)	0	0	0	459 (15)
44	-2945 (19)	-720 (15)	0	0	0	-215 (15)
48	-182 (15)	84 (15)	0	0	0	-13 (19)
49	-238 (21-II-4)	-296 (19)	0	0	0	-17 (19)
50	-349 (19)	632 (15)	0	0	0	-30 (19)
51	-1024 (19)	1046 (15)	0	0	0	-132 (19)
53	-3308 (19)	1385 (15)	0	0	0	-420 (19)
54	-3612 (19)	2798 (21-I-4)	0	0	0	-361 (19)
115	13315 (19)	-1911 (21-I-1)	0	0	0	-1540 (19)
116	1460 (19)	-368 (19)	0	0	0	-160 (19)
117	789 (19)	-290 (19)	0	0	0	-76 (19)
118	371 (14)	125 (20-II-2)	0	0	0	-29 (15)

**POTENZIAMENTO DELL'IMPIANTO DI DEPURAZIONE E
DEL RECAPITO FINALE DI SQUINZANO (LE)
PROGETTO DEFINITIVO
Tabulati di calcolo strutturale-Filtrazione**

R.37.9

Maggio 2021

Pagina 112 di
364

Nodo	Rx	Ry	Rz	Mx	My	Mz
125	1405 (19)	-1273 (21-I-4)	0	0	0	84 (21-I-1)
126	1219 (19)	796 (19)	0	0	0	-38 (19)
127	-272 (19)	602 (19)	0	0	0	-17 (19)
128	-190 (19)	-306 (19)	0	0	0	-33 (20-II-2)
136	2344 (19)	438 (15)	0	0	0	109 (19)
137	-786 (19)	356 (19)	0	0	0	-37 (15)
138	-697 (19)	-261 (19)	0	0	0	27 (19)
144	2492 (19)	-2184 (21-I-4)	0	0	0	449 (15)
145	2774 (19)	-899 (19)	0	0	0	-185 (19)
146	-639 (20-II-1)	-301 (19)	0	0	0	28 (19)
147	-775 (14)	-170 (14)	0	0	0	-21 (19)
154	16530 (19)	-2808 (21-I-1)	0	0	0	1955 (19)
155	1513 (19)	-642 (15)	0	0	0	124 (19)
156	-366 (19)	-530 (19)	0	0	0	17 (19)
157	-463 (14)	307 (19)	0	0	0	-33 (19)
158	-131 (19)	471 (15)	0	0	0	-12 (15)
159	322 (20-II-3)	524 (15)	0	0	0	-33 (19)
160	-151 (14)	152 (21-II-3)	0	0	0	18 (13)
161	98 (14)	-155 (14)	0	0	0	11 (13)
162	207 (15)	271 (15)	0	0	0	12 (21-I-2)
163	135 (15)	-251 (14)	0	0	0	40 (15)

Risultati Analisi Dinamica - Sollecitazioni Massime - Muri discretizzati - S.I.E
Scenario di calcolo: **Set_NT_ 2018 A2_SLV_SLD_STR_GEO**

Muro	Pann.	Sxx	Syy	Sxy	Mxx	Myy	Mxy
		kg/cmq	kg/cmq	kg/cmq	kg*m/m	kg*m/m	kg*m/m
1	1	0.24 (19)	0.11 (19)	0.24 (19)	-80 (15)	-27 (15)	-26 (15)
1	2	-0.29 (21-II-4)	0.06 (19)	0.33 (19)	-118 (15)	-20 (15)	-43 (15)
1	3	-0.48 (21-II-4)	-0.06 (15)	0.38 (19)	-174 (15)	-20 (15)	-44 (15)
1	4	-0.62 (21-II-4)	-0.08 (15)	0.39 (19)	-230 (15)	-24 (15)	-39 (15)
1	5	0.16 (14)	0.15 (19)	0.23 (19)	-42 (15)	-57 (15)	-36 (15)
1	6	-0.29 (21-II-4)	0.16 (19)	0.35 (19)	-57 (15)	-24 (15)	-60 (15)
1	7	-0.46 (21-II-4)	0.14 (19)	0.39 (19)	-82 (15)	-10 (20-I-1)	-64 (15)
1	8	-0.57 (21-II-4)	0.13 (19)	0.41 (19)	-109 (15)	-10 (20-I-1)	-57 (15)
1	9	-0.21 (15)	-0.22 (15)	0.23 (19)	-24 (21-I-4)	-91 (15)	-41 (15)
1	10	-0.30 (15)	0.21 (19)	0.35 (19)	-34 (21-I-4)	-32 (15)	-69 (15)
1	11	-0.44 (21-II-4)	0.21 (19)	0.40 (19)	-45 (21-I-4)	-14 (21-II-4)	-76 (15)
1	12	-0.54 (21-II-4)	0.21 (19)	0.42 (19)	-55 (21-I-4)	-22 (15)	-70 (15)
1	13	-0.30 (15)	-0.31 (15)	0.23 (19)	-21 (20-I-4)	-128 (15)	-40 (15)
1	14	-0.31 (15)	-0.29 (15)	0.34 (19)	-32 (21-I-4)	-44 (15)	-69 (15)
1	15	-0.42 (21-II-4)	-0.25 (15)	0.39 (19)	-44 (21-I-4)	-17 (21-II-4)	-76 (15)
1	16	-0.51 (19)	0.26 (19)	0.42 (19)	-55 (21-I-4)	38 (15)	-72 (15)
2	1	-0.68 (21-II-4)	-0.09 (15)	0.39 (19)	-280 (15)	-28 (15)	-29 (15)
2	2	-0.69 (19)	-0.11 (15)	0.42 (19)	-317 (15)	-32 (15)	14 (19)
2	3	-0.68 (21-II-4)	-0.11 (15)	0.48 (19)	-338 (15)	-34 (15)	-8 (21-II-4)
2	4	-0.73 (15)	-0.12 (15)	0.53 (19)	-342 (15)	-35 (15)	19 (15)
2	5	-0.65 (19)	-0.12 (15)	0.41 (19)	-137 (15)	-10 (14)	-43 (15)
2	6	-0.68 (19)	-0.14 (15)	0.43 (19)	-160 (15)	-13 (14)	-23 (15)
2	7	-0.68 (19)	-0.15 (15)	0.48 (19)	-173 (15)	-14 (14)	-11 (21-II-4)
2	8	-0.68 (19)	-0.16 (15)	0.52 (19)	-177 (15)	-15 (14)	20 (15)
2	9	-0.62 (19)	0.20 (19)	0.43 (19)	-65 (21-I-4)	33 (15)	-54 (15)
2	10	-0.66 (19)	-0.18 (15)	0.44 (19)	-73 (21-I-4)	37 (15)	-30 (15)
2	11	-0.68 (19)	-0.19 (15)	0.48 (19)	-79 (21-I-4)	36 (15)	-14 (21-II-4)
2	12	-0.68 (19)	-0.21 (15)	0.52 (19)	-82 (21-I-4)	32 (15)	-20 (14)
2	13	-0.60 (19)	0.25 (19)	0.43 (19)	-65 (21-I-4)	57 (15)	-57 (15)
2	14	-0.65 (19)	0.25 (19)	0.45 (19)	-74 (21-I-4)	66 (15)	-34 (15)
2	15	-0.67 (19)	0.25 (19)	0.48 (19)	-79 (21-I-4)	67 (15)	-17 (21-II-4)
2	16	-0.67 (19)	-0.25 (15)	0.51 (19)	-80 (21-I-4)	61 (15)	-23 (14)
3	1	-0.73 (15)	-0.13 (15)	0.57 (19)	-322 (15)	-35 (15)	32 (15)
3	2	-0.63 (15)	-0.14 (15)	0.64 (19)	-282 (15)	-33 (15)	42 (15)
3	3	-0.55 (15)	-0.15 (15)	0.76 (19)	-239 (15)	-35 (15)	41 (15)
3	4	-0.72 (15)	-0.18 (15)	0.94 (19)	-241 (15)	-39 (15)	13 (15)
3	5	-0.65 (19)	-0.17 (15)	0.57 (19)	-170 (15)	-13 (14)	39 (15)
3	6	-0.57 (15)	-0.22 (15)	0.64 (19)	-153 (15)	-13 (21-I-4)	52 (15)
3	7	-0.51 (15)	-0.29 (15)	0.77 (19)	-138 (15)	-33 (15)	50 (15)
3	8	-0.62 (15)	-0.30 (15)	0.96 (19)	-143 (15)	-56 (15)	-11 (21-II-4)
3	9	-0.65 (19)	-0.23 (15)	0.57 (19)	-82 (21-I-4)	-24 (14)	43 (15)
3	10	-0.58 (19)	-0.29 (15)	0.65 (19)	-78 (21-I-4)	-13 (21-I-4)	57 (15)
3	11	-0.51 (19)	-0.36 (15)	0.78 (19)	-71 (21-I-4)	-35 (15)	53 (15)
3	12	-0.53 (15)	-0.42 (15)	0.95 (19)	-79 (15)	94 (14)	-16 (21-II-4)
3	13	-0.65 (19)	-0.29 (15)	0.56 (19)	-78 (21-I-4)	46 (15)	41 (15)
3	14	-0.61 (19)	-0.35 (15)	0.65 (19)	-71 (21-I-4)	15 (15)	55 (15)

**POTENZIAMENTO DELL'IMPIANTO DI DEPURAZIONE E
DEL RECAPITO FINALE DI SQUINZANO (LE)
PROGETTO DEFINITIVO
Tabulati di calcolo strutturale-Filtrazione**

R.37.9

Maggio 2021

Pagina 113 di
364

Muro	Pann.	Sxx	Syy	Sxy	Mxx	Myy	Mxy
3	15	-0.57 (19)	-0.43 (15)	0.77 (19)	-61 (21-I-4)	-42 (15)	50 (15)
3	16	-0.57 (19)	-0.51 (15)	0.92 (19)	-54 (21-I-4)	-135 (15)	-19 (21-II-4)
4	1	-0.89 (15)	0.17 (19)	1.01 (19)	-259 (15)	-45 (15)	62 (14)
4	2	-0.83 (15)	-0.10 (15)	1.12 (19)	-261 (15)	-45 (15)	63 (14)
4	3	-1.05 (15)	-0.03 (19)	1.20 (19)	-282 (15)	-43 (15)	69 (14)
4	4	-1.01 (15)	-0.30 (19)	1.15 (19)	-300 (15)	-43 (15)	60 (14)
4	5	-0.69 (15)	0.31 (19)	1.14 (19)	-154 (15)	-51 (15)	70 (14)
4	6	-0.75 (15)	0.33 (19)	1.17 (19)	-160 (15)	-48 (15)	68 (14)
4	7	-0.74 (15)	0.33 (19)	1.20 (19)	-169 (15)	-42 (15)	69 (14)
4	8	-0.78 (15)	0.27 (19)	1.20 (19)	-180 (15)	-36 (15)	71 (14)
4	9	-0.55 (15)	0.48 (19)	1.10 (19)	-85 (15)	73 (14)	72 (14)
4	10	-0.59 (15)	0.52 (19)	1.13 (19)	-86 (15)	54 (14)	68 (14)
4	11	-0.63 (15)	0.55 (19)	1.16 (19)	-90 (15)	-40 (15)	70 (14)
4	12	-0.64 (15)	0.64 (19)	1.19 (19)	-96 (15)	-31 (15)	72 (14)
4	13	-0.56 (19)	0.63 (19)	1.02 (19)	-62 (20-II-4)	111 (14)	72 (14)
4	14	-0.60 (19)	0.67 (19)	1.06 (19)	-66 (20-II-4)	86 (14)	65 (14)
4	15	-0.64 (19)	0.73 (19)	1.09 (19)	-72 (20-II-4)	65 (14)	65 (14)
4	16	-0.70 (19)	0.88 (19)	1.13 (19)	-78 (20-II-4)	47 (14)	67 (14)
5	1	-0.96 (15)	-0.22 (15)	1.59 (19)	-388 (15)	-46 (15)	69 (14)
5	2	-1.29 (15)	-0.33 (15)	2.28 (19)	-538 (15)	-61 (15)	58 (14)
5	3	-1.40 (15)	-0.51 (15)	3.34 (19)	-610 (15)	-70 (15)	52 (15)
5	4	-1.35 (15)	0.91 (19)	5.04 (19)	-572 (15)	-65 (15)	80 (15)
5	5	-0.81 (15)	-0.41 (15)	1.53 (19)	-242 (15)	-23 (15)	77 (14)
5	6	-1.01 (15)	0.70 (19)	2.21 (19)	-341 (15)	-24 (15)	63 (14)
5	7	-1.32 (19)	1.32 (19)	3.17 (19)	-396 (15)	-30 (15)	47 (15)
5	8	-1.56 (19)	2.71 (19)	4.61 (19)	-385 (15)	-27 (15)	91 (15)
5	9	-0.79 (19)	0.69 (19)	1.47 (19)	-129 (15)	-20 (21-II-4)	80 (14)
5	10	-1.17 (19)	1.16 (19)	2.05 (19)	-189 (15)	-32 (14)	64 (14)
5	11	-1.61 (19)	2.12 (19)	2.82 (19)	-230 (15)	-36 (14)	41 (15)
5	12	-1.96 (19)	4.19 (19)	3.87 (19)	-246 (15)	-26 (19)	94 (15)
5	13	-0.90 (19)	0.94 (19)	1.36 (19)	-108 (21-II-1)	-20 (21-II-4)	77 (14)
5	14	-1.32 (19)	1.56 (19)	1.82 (19)	-152 (21-II-1)	-47 (14)	62 (14)
5	15	-1.81 (19)	2.76 (19)	2.37 (19)	-181 (21-II-1)	-54 (14)	36 (21-I-4)
5	16	-2.20 (19)	5.22 (19)	2.89 (19)	-206 (20-II-1)	-42 (19)	87 (15)
6	1	0.03 (21-I-4)	-0.31 (19)	-0.14 (19)	-28 (15)	-98 (15)	22 (19)
6	2	-0.10 (15)	-0.27 (19)	-0.13 (19)	-56 (15)	-49 (15)	29 (19)
6	3	-0.21 (15)	-0.29 (15)	-0.13 (19)	-89 (15)	-26 (20-II-4)	31 (19)
6	4	-0.31 (15)	-0.37 (15)	-0.14 (19)	-124 (15)	-21 (21-II-4)	30 (19)
6	5	-0.05 (15)	-0.44 (19)	0.14 (15)	-21 (15)	-123 (15)	30 (19)
6	6	-0.10 (15)	-0.42 (19)	0.15 (15)	-23 (15)	-55 (15)	35 (19)
6	7	-0.19 (15)	-0.40 (19)	0.15 (15)	-29 (15)	-33 (21-II-2)	35 (19)
6	8	-0.28 (15)	-0.38 (15)	0.12 (15)	-38 (15)	-28 (21-II-1)	31 (19)
6	9	-0.07 (15)	-0.59 (19)	0.19 (15)	-18 (15)	-160 (15)	32 (19)
6	10	-0.11 (15)	-0.56 (19)	0.19 (15)	-11 (21-II-4)	-68 (15)	37 (19)
6	11	-0.17 (15)	-0.52 (19)	0.18 (15)	-15 (21-II-4)	-41 (21-II-2)	39 (19)
6	12	-0.24 (15)	-0.49 (19)	0.16 (15)	-18 (21-II-4)	-36 (21-II-1)	36 (19)
6	13	-0.08 (15)	-0.73 (19)	0.20 (15)	-19 (15)	-194 (15)	27 (19)
6	14	-0.10 (15)	-0.67 (19)	0.20 (15)	-14 (19)	-81 (15)	32 (19)
6	15	-0.15 (15)	-0.62 (19)	0.19 (15)	26 (15)	-47 (21-II-2)	34 (19)
6	16	-0.21 (15)	-0.57 (19)	0.17 (15)	43 (15)	-43 (21-II-1)	33 (19)
7	1	-0.08 (15)	-0.79 (19)	-0.17 (19)	-20 (15)	-213 (15)	15 (19)
7	2	-0.10 (15)	-0.72 (19)	0.17 (15)	-17 (19)	-90 (15)	18 (19)
7	3	-0.14 (15)	-0.67 (19)	0.17 (15)	35 (15)	-51 (21-II-1)	21 (19)
7	4	-0.18 (15)	-0.62 (19)	0.16 (15)	57 (15)	-47 (21-II-1)	21 (19)
7	5	-0.09 (15)	-0.71 (19)	-0.20 (19)	-19 (15)	-206 (15)	-14 (21-II-4)
7	6	-0.11 (15)	-0.67 (19)	-0.19 (19)	-15 (19)	-88 (15)	17 (15)
7	7	-0.14 (15)	-0.64 (19)	-0.17 (19)	31 (15)	-52 (20-I-4)	18 (15)
7	8	-0.17 (15)	-0.60 (19)	0.15 (15)	50 (15)	-48 (20-I-4)	16 (15)
7	9	-0.08 (15)	-0.56 (20-I-4)	-0.18 (19)	-20 (15)	-166 (15)	23 (15)
7	10	-0.12 (15)	-0.55 (19)	-0.18 (19)	-10 (21-I-4)	-75 (15)	32 (15)
7	11	-0.14 (15)	-0.54 (19)	0.16 (15)	-12 (21-I-4)	-49 (20-I-4)	34 (15)
7	12	-0.17 (15)	-0.53 (19)	0.17 (15)	-15 (19)	-43 (20-I-4)	31 (15)
7	13	-0.08 (15)	-0.48 (15)	0.19 (15)	-29 (15)	-139 (15)	-20 (21-II-4)
7	14	-0.13 (15)	-0.46 (15)	0.19 (15)	-45 (15)	-70 (15)	-23 (21-II-4)
7	15	-0.16 (15)	-0.45 (15)	0.20 (21-I-4)	-65 (15)	-45 (20-I-4)	-23 (21-II-4)
7	16	-0.18 (15)	-0.46 (20-I-4)	0.23 (21-I-4)	-88 (15)	-37 (20-I-4)	-21 (21-II-4)
8	1	-0.42 (19)	0.09 (20-I-4)	0.50 (15)	-10 (21-I-4)	-2 (21-II-4)	6 (15)
8	2	-0.78 (19)	-0.04 (19)	0.64 (15)	-11 (21-I-4)	-3 (21-I-4)	6 (15)
8	3	-1.16 (19)	-0.09 (15)	0.68 (15)	-15 (21-I-4)	-3 (21-I-4)	5 (15)
8	4	-1.35 (19)	-0.13 (15)	0.58 (15)	-19 (14)	-4 (21-I-4)	-9 (21-II-4)
8	5	-0.40 (19)	0.15 (20-I-4)	0.49 (15)	-6 (21-I-4)	-10 (21-II-4)	6 (15)
8	6	-0.73 (19)	-0.13 (15)	0.69 (15)	-9 (21-I-4)	-8 (21-II-4)	7 (15)
8	7	-1.04 (19)	-0.14 (15)	0.69 (15)	-11 (21-I-4)	-8 (21-II-2)	-4 (21-II-4)
8	8	-1.23 (19)	-0.17 (15)	0.63 (15)	-14 (14)	-7 (21-II-2)	-9 (21-II-4)

Muro	Pann.	Sxx	Syy	Sxy	Mxx	Myy	Mxy
8	9	-0.38(19)	-0.36(15)	0.48(15)	-5(21-I-4)	-17(21-II-4)	6(15)
8	10	-0.68(19)	-0.31(15)	0.66(15)	-7(21-I-4)	-15(21-II-4)	6(15)
8	11	-0.94(19)	-0.28(15)	0.69(15)	-8(21-I-4)	-14(21-II-4)	-6(14)
8	12	-1.13(19)	-0.26(15)	0.64(15)	-10(21-I-4)	-12(21-II-4)	-11(21-II-4)
8	13	-0.46(15)	-0.56(15)	0.46(15)	-4(21-II-2)	-25(21-II-4)	6(15)
8	14	-0.63(19)	-0.49(15)	0.61(15)	-5(21-I-4)	-22(21-II-4)	-7(14)
8	15	-0.86(19)	-0.42(15)	0.65(15)	-7(21-I-4)	-20(21-II-4)	-8(14)
8	16	-1.04(19)	-0.38(15)	0.62(15)	-8(21-I-4)	-17(21-II-4)	-11(21-II-4)
9	1	-1.46(14)	-0.23(15)	-0.48(14)	-37(21-I-4)	-5(21-I-4)	-19(21-II-4)
9	2	-1.27(14)	-0.28(15)	-0.59(14)	-35(21-I-4)	-4(15)	-22(21-II-4)
9	3	-1.12(15)	-0.42(15)	-0.45(14)	-31(15)	-4(15)	-15(21-II-4)
9	4	-2.35(15)	-0.73(15)	0.44(15)	-32(15)	4(21-II-4)	-7(21-II-4)
9	5	-1.39(14)	-0.32(15)	-0.48(14)	-26(21-I-4)	-4(15)	-21(21-II-4)
9	6	-1.26(14)	-0.46(15)	-0.51(14)	-25(21-I-4)	-3(15)	-19(21-II-4)
9	7	-1.20(15)	-0.73(15)	-0.37(19)	-21(15)	7(21-II-4)	-12(21-II-4)
9	8	-2.30(15)	-0.80(15)	0.37(15)	-17(15)	14(21-II-4)	-3(14)
9	9	-1.34(14)	-0.39(15)	-0.44(19)	-19(14)	-4(15)	-22(21-II-4)
9	10	-1.26(14)	-0.54(15)	-0.43(19)	-17(21-I-4)	6(21-II-4)	-17(21-II-4)
9	11	-1.31(20-I-4)	-0.70(15)	0.36(15)	-13(15)	13(21-II-4)	-10(21-II-4)
9	12	-2.08(15)	-0.68(15)	0.32(15)	-9(15)	23(21-II-4)	-2(19)
9	13	-1.30(14)	-0.43(15)	-0.39(19)	-13(14)	4(21-II-4)	-22(21-II-4)
9	14	-1.27(14)	-0.53(15)	-0.37(19)	-11(14)	11(21-II-4)	-17(21-II-4)
9	15	-1.35(20-I-4)	-0.59(15)	0.39(15)	-8(14)	20(21-II-4)	-8(21-II-4)
9	16	-1.85(15)	-0.52(15)	0.27(15)	-5(14)	31(21-II-4)	1(21-II-2)
10	1	-1.71(15)	-0.17(15)	0.80(15)	110(20-I-4)	17(20-I-4)	-28(14)
10	2	-1.98(15)	-0.21(15)	0.59(15)	168(15)	26(15)	-21(14)
10	3	-2.10(15)	-0.23(15)	0.36(15)	249(15)	37(15)	14(21-II-4)
10	4	-1.86(15)	-0.23(15)	-0.14(21-II-4)	317(15)	32(15)	23(21-II-4)
10	5	-1.57(15)	0.16(14)	0.83(15)	88(20-I-4)	20(21-II-4)	-26(19)
10	6	-1.83(15)	-0.14(15)	0.61(15)	128(15)	29(15)	-18(19)
10	7	-1.95(15)	-0.15(15)	0.35(15)	164(15)	35(15)	24(21-II-4)
10	8	-1.78(15)	-0.28(15)	0.16(15)	171(15)	7(14)	21(21-II-4)
10	9	-1.47(20-I-4)	0.32(14)	0.85(15)	69(15)	23(21-II-4)	-26(19)
10	10	-1.68(15)	0.25(14)	0.62(15)	90(15)	31(15)	20(21-II-4)
10	11	-1.78(15)	0.18(14)	0.38(15)	98(15)	30(15)	25(21-II-4)
10	12	-1.72(15)	-0.25(15)	0.22(15)	85(15)	-25(15)	16(21-II-4)
10	13	-1.36(20-I-4)	0.44(14)	0.85(15)	52(15)	26(21-II-4)	-25(19)
10	14	-1.54(20-I-4)	0.37(14)	0.63(15)	58(15)	31(15)	23(21-II-4)
10	15	-1.63(15)	0.29(14)	0.41(15)	53(15)	29(14)	21(21-II-4)
10	16	-1.64(15)	-0.22(15)	0.25(15)	37(15)	-40(15)	-14(19)
11	1	1.18(15)	0.28(15)	0.80(15)	121(19)	-12(14)	-27(15)
11	2	-0.44(19)	0.10(14)	1.01(15)	132(19)	12(19)	-26(15)
11	3	-0.93(21-II-4)	0.03(14)	1.01(15)	124(19)	15(19)	-28(15)
11	4	-1.35(21-II-4)	-0.10(15)	0.95(15)	112(19)	15(19)	-28(14)
11	5	0.78(15)	0.27(14)	0.77(15)	52(19)	-52(14)	-52(15)
11	6	-0.44(19)	0.30(14)	1.09(15)	68(19)	-18(14)	-21(15)
11	7	-0.87(21-II-4)	0.26(14)	1.08(15)	77(19)	8(21-II-4)	-26(19)
11	8	-1.26(21-II-4)	0.21(14)	0.99(15)	78(19)	14(21-II-4)	-28(19)
11	9	0.40(15)	0.38(14)	0.76(15)	32(15)	-79(14)	-62(15)
11	10	-0.47(19)	0.40(14)	1.07(15)	29(15)	-37(14)	-19(15)
11	11	-0.81(21-II-4)	0.40(14)	1.10(15)	39(19)	-15(14)	-21(19)
11	12	-1.17(21-II-4)	0.38(14)	1.01(15)	50(15)	17(21-II-4)	-26(19)
11	13	-0.22(19)	0.47(14)	0.74(15)	27(15)	-98(19)	-67(15)
11	14	-0.50(19)	0.48(14)	1.01(15)	27(15)	-52(14)	-16(15)
11	15	-0.77(19)	0.49(14)	1.07(15)	33(15)	-25(14)	-15(19)
11	16	-1.08(21-II-4)	0.48(14)	1.00(15)	42(15)	20(15)	-22(19)
12	1	-11.42(15)	-1.30(21-I-4)	-4.37(21-I-1)	-2906(19)	-294(19)	73(19)
12	2	-5.41(15)	-0.70(15)	-3.83(21-I-1)	-2750(19)	-413(19)	41(19)
12	3	-2.52(15)	-0.60(15)	-3.75(21-I-1)	-2736(19)	-410(19)	-53(19)
12	4	5.32(21-I-1)	0.42(21-I-1)	-3.52(21-I-4)	-2775(19)	-280(19)	-140(19)
12	5	-9.83(15)	1.45(21-I-1)	-2.16(21-I-1)	-939(19)	14(19)	-72(19)
12	6	-5.42(15)	-0.69(15)	-4.05(21-I-1)	-1097(19)	-265(19)	-17(19)
12	7	-2.35(15)	-0.78(15)	-3.89(21-I-1)	-1096(19)	-270(19)	10(19)
12	8	3.04(21-I-1)	-1.82(15)	-2.17(21-I-4)	-918(19)	15(19)	40(21-I-1)
12	9	-8.45(15)	1.06(15)	-1.40(21-I-1)	325(19)	121(19)	-120(19)
12	10	-4.93(15)	-0.40(15)	-3.28(21-I-1)	314(19)	-37(19)	-65(19)
12	11	-2.30(15)	-1.17(15)	-3.39(21-I-1)	282(19)	-55(19)	47(19)
12	12	2.37(19)	-1.47(15)	-1.78(21-I-4)	-217(15)	113(19)	69(19)
12	13	-7.86(15)	0.77(21-I-1)	-1.27(21-I-1)	1744(19)	236(19)	-61(19)
12	14	-4.06(15)	-0.30(15)	-2.66(21-I-1)	1625(19)	186(19)	-55(19)
12	15	-2.06(15)	-0.68(15)	-2.93(21-I-1)	1562(19)	169(19)	6(19)
12	16	2.66(19)	-0.98(21-I-4)	-1.91(15)	1388(19)	198(19)	72(15)
13	1	8.36(19)	-2.09(19)	-3.13(19)	-25(19)	-246(21-I-4)	-116(15)
13	2	6.77(19)	-1.79(19)	-4.78(19)	-18(19)	-250(15)	-130(15)

Muro	Pann.	Sxx	Syy	Sxy	Mxx	Myy	Mxy
13	3	4.41 (19)	-1.18 (19)	-6.02 (19)	-22 (15)	-340 (15)	-121 (15)
13	4	1.63 (19)	-1.47 (15)	-6.67 (19)	-52 (15)	-477 (15)	-94 (15)
13	5	11.26 (19)	-1.63 (19)	-3.13 (19)	-20 (21-II-1)	-307 (21-I-1)	-120 (15)
13	6	9.09 (19)	-1.04 (19)	-5.60 (19)	-22 (15)	-259 (15)	-143 (15)
13	7	5.73 (19)	-0.84 (15)	-7.13 (19)	-34 (15)	-288 (15)	-132 (15)
13	8	1.96 (19)	-1.34 (15)	-7.44 (19)	-44 (15)	-344 (15)	-89 (15)
13	9	15.50 (19)	-0.98 (15)	-3.15 (19)	-108 (15)	-373 (21-I-1)	-125 (15)
13	10	12.52 (19)	-1.33 (15)	-7.11 (19)	-105 (15)	-272 (15)	-156 (15)
13	11	6.17 (19)	-1.30 (15)	-7.54 (19)	-87 (15)	-225 (15)	-125 (15)
13	12	1.76 (19)	-0.82 (15)	-7.25 (19)	-49 (15)	-218 (15)	-83 (15)
13	13	25.41 (19)	10.04 (19)	-7.07 (19)	-390 (15)	-769 (21-I-1)	-112 (15)
13	14	11.81 (19)	7.14 (19)	-4.76 (19)	-243 (15)	-316 (21-I-1)	-151 (15)
13	15	6.28 (19)	2.89 (19)	-4.09 (19)	-124 (15)	-186 (15)	-130 (15)
13	16	0.76 (19)	1.31 (15)	-5.02 (19)	-49 (15)	227 (21-I-1)	-108 (15)
14	1	-2.40 (19)	-0.57 (21-I-1)	-0.19 (15)	-902 (15)	-347 (15)	75 (15)
14	2	-2.01 (19)	-0.61 (21-I-1)	-0.59 (15)	472 (19)	249 (21-I-1)	-88 (19)
14	3	-1.69 (19)	-0.66 (21-I-1)	-0.51 (15)	288 (19)	247 (21-I-4)	-50 (21-I-4)
14	4	-2.23 (19)	0.50 (15)	-0.13 (15)	338 (19)	-119 (15)	76 (15)
14	5	-2.84 (19)	-0.47 (21-I-1)	0.13 (21-I-4)	500 (19)	-268 (15)	228 (15)
14	6	-3.29 (19)	-0.49 (21-I-1)	0.23 (21-I-4)	698 (19)	-155 (15)	324 (15)
14	7	-3.40 (19)	-0.84 (21-I-4)	0.11 (21-I-4)	-851 (15)	-310 (19)	147 (15)
14	8	-2.55 (19)	-0.67 (21-I-4)	0.14 (21-I-4)	-1063 (15)	-143 (15)	85 (19)
14	9	-2.51 (19)	-0.51 (21-I-1)	0.15 (21-I-4)	589 (19)	-207 (15)	334 (15)
15	1	-0.80 (14)	-1.56 (15)	0.32 (15)	208 (14)	128 (14)	-183 (15)
15	2	-0.85 (19)	-1.69 (15)	0.36 (15)	249 (14)	302 (14)	-123 (15)
15	3	-0.96 (15)	-1.90 (15)	0.28 (15)	292 (15)	558 (15)	44 (21-II-2)
15	4	-0.82 (14)	-1.04 (15)	0.31 (15)	184 (15)	400 (15)	-64 (15)
15	5	-0.80 (14)	-0.82 (14)	0.54 (15)	27 (14)	173 (15)	-80 (15)
15	6	-0.65 (14)	-0.81 (14)	0.43 (15)	-157 (20-I-4)	108 (14)	-170 (15)
15	7	-0.39 (14)	-0.82 (14)	0.41 (15)	-79 (20-I-4)	81 (14)	-214 (15)
15	8	-0.66 (14)	-1.18 (14)	0.28 (15)	118 (14)	-93 (15)	-252 (15)
15	9	-0.81 (15)	-1.11 (14)	0.34 (15)	139 (14)	194 (14)	-202 (15)
16	1	-1.07 (19)	-0.58 (14)	0.32 (15)	294 (19)	308 (14)	37 (19)
16	2	-1.13 (19)	-0.42 (14)	0.41 (15)	294 (19)	-384 (15)	32 (21-II-4)
16	3	-0.74 (19)	-0.45 (14)	0.43 (15)	186 (14)	467 (15)	-178 (15)
16	4	-0.70 (19)	-0.52 (14)	0.45 (15)	99 (19)	-552 (15)	-79 (15)
16	5	-0.41 (14)	-0.40 (14)	0.61 (15)	140 (15)	394 (15)	-204 (15)
16	6	-0.36 (19)	-0.46 (14)	0.49 (15)	41 (14)	-455 (15)	-138 (15)
16	7	-0.16 (14)	-0.36 (14)	0.61 (15)	42 (15)	206 (14)	-221 (15)
16	8	0.11 (15)	-0.24 (14)	0.40 (15)	-40 (21-II-4)	-244 (15)	-179 (15)
17	1	1.04 (15)	-0.52 (14)	-0.14 (21-II-4)	-47 (15)	109 (14)	36 (21-II-4)
17	2	0.71 (15)	-0.62 (15)	0.44 (15)	75 (14)	173 (15)	-116 (15)
17	3	0.40 (15)	-0.49 (14)	0.54 (15)	86 (14)	117 (14)	-116 (15)
17	4	0.39 (20-I-4)	-0.52 (14)	0.54 (15)	28 (14)	117 (14)	-126 (15)
17	5	1.03 (15)	-0.45 (14)	0.14 (15)	-377 (15)	69 (14)	44 (21-II-4)
17	6	0.72 (15)	-0.51 (14)	0.40 (15)	-348 (15)	88 (14)	-84 (15)
17	7	0.43 (15)	-0.48 (14)	0.50 (15)	-245 (15)	75 (14)	-113 (15)
17	8	0.39 (20-I-4)	-0.46 (14)	0.52 (15)	-163 (15)	90 (14)	-125 (15)
18	1	0.38 (20-I-4)	0.30 (15)	0.53 (15)	-129 (15)	-82 (15)	-94 (15)
18	2	0.26 (20-I-4)	0.33 (15)	0.59 (15)	-32 (15)	-74 (15)	-97 (15)
18	3	0.32 (20-I-4)	-0.43 (14)	0.66 (15)	-45 (15)	103 (14)	-112 (15)
18	4	0.39 (20-I-4)	-0.40 (14)	0.59 (15)	-91 (21-II-4)	93 (14)	-138 (15)
18	5	0.27 (20-I-4)	0.17 (15)	0.47 (15)	-96 (19)	-32 (15)	-136 (15)
18	6	0.33 (20-I-4)	0.31 (15)	0.40 (15)	-89 (19)	-53 (15)	-128 (15)
18	7	0.38 (20-I-4)	0.62 (15)	0.38 (15)	-100 (19)	-137 (15)	-95 (15)
18	8	0.45 (20-I-4)	0.54 (15)	0.40 (15)	-94 (20-I-4)	-155 (15)	-69 (15)
19	1	1.34 (15)	-0.37 (14)	-0.29 (21-II-4)	-428 (15)	-49 (20-I-4)	-74 (15)
19	2	0.99 (15)	-0.39 (14)	0.16 (15)	-479 (15)	50 (14)	-118 (15)
19	3	0.76 (15)	-0.38 (14)	0.32 (15)	-432 (15)	67 (14)	-115 (15)
19	4	0.73 (15)	-0.34 (14)	0.47 (15)	-288 (15)	97 (14)	-63 (15)
19	5	0.99 (15)	-0.39 (14)	-0.36 (21-II-4)	-246 (15)	-130 (20-I-4)	-66 (15)
19	6	0.83 (15)	-0.34 (14)	-0.11 (21-II-4)	-204 (15)	70 (14)	-53 (15)
19	7	0.63 (15)	-0.31 (14)	0.25 (15)	-147 (15)	129 (14)	-55 (15)
19	8	0.50 (15)	-0.29 (14)	0.44 (15)	-96 (15)	156 (14)	64 (21-II-4)
19	9	0.64 (15)	-0.23 (14)	-0.37 (21-II-4)	-98 (15)	-166 (20-I-4)	-44 (15)
19	10	0.65 (15)	-0.29 (14)	-0.12 (21-II-4)	-24 (15)	80 (14)	-24 (19)
19	11	0.52 (15)	-0.33 (14)	0.22 (15)	51 (19)	163 (14)	-20 (15)
19	12	0.31 (15)	-0.31 (14)	0.35 (15)	35 (19)	177 (14)	71 (21-II-4)
19	13	0.44 (15)	0.12 (19)	-0.16 (21-II-4)	48 (19)	-116 (20-I-4)	43 (21-II-4)
19	14	0.52 (15)	-0.24 (14)	0.15 (15)	136 (19)	81 (14)	85 (21-II-4)
19	15	0.44 (15)	-0.40 (14)	0.22 (15)	158 (19)	152 (14)	61 (21-II-4)
19	16	0.21 (15)	-0.43 (14)	0.23 (15)	96 (19)	153 (14)	52 (21-II-4)
20	1	-0.15 (19)	0.12 (21-I-1)	-0.32 (21-II-4)	-55 (15)	-130 (19)	-32 (19)
20	2	-0.21 (19)	-0.23 (14)	-0.34 (21-II-4)	-48 (20-I-4)	54 (14)	-63 (19)

Muro	Pann.	Sxx	Syy	Sxy	Mxx	Myy	Mxy
20	3	-0.23(19)	-0.42(14)	-0.23(21-II-4)	-25(20-I-4)	129(14)	-51(19)
20	4	-0.23(19)	-0.48(14)	-0.10(21-II-4)	28(19)	139(14)	-29(15)
20	5	-0.18(19)	-0.09(14)	-0.24(21-II-4)	-25(15)	-201(19)	26(21-II-4)
20	6	-0.22(19)	-0.19(14)	-0.20(21-II-4)	53(19)	61(14)	39(21-II-4)
20	7	-0.28(19)	-0.30(14)	-0.16(21-II-4)	72(19)	158(14)	29(21-II-4)
20	8	-0.31(19)	-0.37(14)	-0.08(21-II-4)	78(19)	169(14)	26(21-II-4)
20	9	-0.22(19)	-0.07(14)	-0.20(21-II-4)	33(19)	-198(19)	38(21-II-4)
20	10	-0.25(19)	-0.16(14)	-0.14(21-II-4)	83(19)	58(14)	52(21-II-4)
20	11	-0.31(19)	-0.27(14)	-0.10(21-II-4)	102(19)	150(14)	43(21-II-4)
20	12	-0.35(19)	-0.34(14)	0.09(14)	99(19)	160(19)	27(21-II-4)
20	13	-0.27(19)	0.13(19)	-0.11(21-II-4)	55(19)	-124(19)	67(21-II-4)
20	14	-0.29(19)	-0.14(14)	0.14(19)	83(19)	44(14)	98(21-II-4)
20	15	-0.33(19)	-0.31(14)	0.14(19)	92(19)	109(14)	70(21-II-4)
20	16	-0.36(19)	-0.37(14)	0.11(19)	85(19)	118(19)	29(21-II-4)
21	1	-0.22(19)	0.21(19)	-0.23(21-II-4)	81(19)	-100(19)	34(21-II-4)
21	2	-0.16(19)	-0.11(14)	-0.25(21-II-4)	151(19)	45(14)	-36(19)
21	3	0.19(15)	-0.28(14)	-0.19(21-II-4)	184(19)	100(19)	-33(19)
21	4	-0.22(19)	-0.34(14)	-0.11(21-II-4)	134(19)	107(19)	-43(19)
21	5	-0.20(19)	0.07(15)	-0.10(21-II-4)	63(19)	-128(19)	62(21-II-4)
21	6	-0.17(19)	-0.08(14)	-0.15(21-II-4)	105(19)	40(14)	64(21-II-4)
21	7	0.18(15)	-0.19(14)	-0.13(21-II-4)	120(19)	96(19)	39(21-II-4)
21	8	-0.21(19)	-0.24(14)	-0.12(21-II-4)	96(19)	112(19)	-54(19)
21	9	0.17(15)	-0.03(14)	-0.06(21-II-4)	-47(15)	-96(19)	70(21-II-4)
21	10	0.16(15)	-0.08(14)	-0.09(21-II-4)	-55(15)	19(14)	65(21-II-4)
21	11	-0.19(19)	-0.15(14)	-0.08(21-II-4)	-66(15)	65(19)	41(21-II-4)
21	12	0.22(15)	-0.20(21-II-4)	-0.11(21-II-4)	-57(15)	91(19)	-54(19)
21	13	0.22(15)	0.04(19)	0.05(19)	-125(15)	-58(19)	42(19)
21	14	0.17(15)	-0.08(14)	0.07(19)	-203(15)	-20(15)	52(19)
21	15	0.20(15)	-0.17(14)	0.07(19)	-242(15)	23(14)	35(19)
21	16	0.30(15)	-0.21(14)	-0.06(21-II-4)	-177(15)	54(19)	-20(15)
22	1	0.63(21-II-4)	-0.31(14)	0.36(15)	-203(20-I-4)	73(14)	-99(15)
22	2	0.36(21-II-4)	-0.19(14)	0.42(15)	-203(20-I-4)	51(14)	-47(15)
22	3	0.20(21-II-4)	0.22(15)	0.41(15)	-135(20-I-4)	-50(15)	-29(15)
22	4	0.14(21-II-4)	0.37(15)	0.25(15)	-66(20-I-4)	-158(15)	19(19)
22	5	0.37(15)	-0.29(14)	0.14(15)	-68(20-I-4)	118(14)	-90(15)
22	6	0.28(21-II-4)	-0.19(14)	0.26(15)	-57(20-I-4)	96(14)	36(21-II-4)
22	7	0.20(21-II-4)	0.18(15)	0.26(15)	-53(20-I-4)	-43(15)	46(21-II-4)
22	8	0.17(21-II-4)	0.25(15)	0.21(15)	-57(20-I-4)	-213(15)	44(19)
22	9	0.19(15)	-0.27(14)	-0.18(21-II-4)	24(19)	159(14)	-70(15)
22	10	0.19(15)	-0.23(14)	0.14(15)	36(14)	116(14)	37(21-II-4)
22	11	0.17(15)	0.20(15)	0.16(15)	24(14)	-55(15)	48(21-II-4)
22	12	0.13(15)	0.28(15)	0.16(15)	-37(15)	-259(15)	44(19)
22	13	0.11(15)	-0.38(14)	-0.16(21-II-4)	69(19)	142(14)	-58(15)
22	14	0.17(15)	-0.32(14)	-0.18(21-II-4)	101(14)	112(14)	-63(15)
22	15	0.16(15)	0.27(15)	-0.16(21-II-4)	80(14)	-53(15)	-66(15)
22	16	0.12(15)	0.46(15)	-0.07(21-II-4)	33(14)	-207(15)	-21(15)
23	1	-0.22(19)	-0.40(14)	0.17(15)	34(19)	144(14)	29(21-II-4)
23	2	-0.22(19)	-0.35(14)	0.24(15)	11(19)	107(14)	60(21-II-4)
23	3	-0.21(19)	0.28(15)	0.25(15)	-30(15)	-74(15)	65(21-II-4)
23	4	-0.17(19)	0.47(15)	0.15(15)	-40(15)	-230(15)	34(21-II-4)
23	5	-0.29(19)	-0.30(14)	0.11(15)	76(19)	192(14)	-24(14)
23	6	-0.25(19)	-0.29(14)	0.12(15)	59(19)	139(19)	-23(15)
23	7	-0.20(19)	-0.28(19)	0.11(15)	35(19)	-87(15)	-23(15)
23	8	-0.18(19)	0.32(15)	0.09(15)	-37(15)	-315(15)	11(19)
23	9	-0.33(19)	-0.27(14)	0.08(14)	93(19)	187(19)	-31(14)
23	10	-0.26(19)	-0.28(19)	0.09(14)	82(19)	137(19)	-37(14)
23	11	-0.20(19)	-0.28(19)	0.09(14)	57(19)	-83(15)	-35(14)
23	12	-0.19(19)	0.30(15)	0.08(14)	-31(15)	-299(15)	-3(15)
23	13	-0.33(19)	-0.33(19)	0.09(14)	83(19)	130(19)	-45(14)
23	14	-0.26(19)	-0.31(19)	-0.08(21-II-4)	80(19)	104(19)	-76(15)
23	15	-0.19(19)	0.25(15)	-0.09(21-II-4)	69(19)	-61(15)	-82(14)
23	16	-0.18(19)	0.39(15)	-0.05(21-II-4)	43(19)	-195(15)	-36(19)
24	1	-0.25(19)	-0.32(19)	0.21(19)	106(19)	103(19)	19(21-II-4)
24	2	-0.15(19)	-0.28(19)	0.25(19)	122(19)	87(19)	-25(14)
24	3	-0.15(14)	0.22(15)	0.24(19)	77(19)	49(19)	-25(14)
24	4	-0.15(14)	0.38(15)	0.13(19)	35(19)	-138(15)	-13(14)
24	5	-0.22(19)	-0.24(19)	0.25(19)	78(19)	105(21-II-4)	18(21-II-4)
24	6	-0.14(19)	-0.22(19)	0.20(19)	84(19)	82(19)	-64(19)
24	7	0.12(15)	0.17(15)	0.16(19)	66(19)	41(19)	-79(19)
24	8	0.11(15)	0.22(15)	0.09(14)	23(19)	-147(15)	-47(19)
24	9	0.22(15)	-0.24(19)	0.24(19)	-41(15)	74(21-II-4)	19(21-II-4)
24	10	0.18(15)	-0.18(19)	0.15(19)	-38(15)	60(19)	-70(19)
24	11	0.15(15)	-0.13(19)	0.11(14)	-34(15)	-32(15)	-81(19)
24	12	0.14(15)	0.15(15)	0.05(14)	-37(15)	-93(15)	-56(19)

**POTENZIAMENTO DELL'IMPIANTO DI DEPURAZIONE E
DEL RECAPITO FINALE DI SQUINZANO (LE)
PROGETTO DEFINITIVO
Tabulati di calcolo strutturale-Filtrazione**

R.37.9

Maggio 2021

Pagina 117 di
364

Muro	Pann.	Sxx	Syy	Sxy	Mxx	Myy	Mxy
24	13	0.34 (15)	-0.25 (19)	0.13 (19)	-134 (15)	42 (21-II-4)	6 (21-II-4)
24	14	0.22 (15)	-0.18 (19)	0.10 (19)	-152 (15)	27 (14)	-31 (20-II-2)
24	15	0.17 (15)	-0.12 (19)	0.06 (14)	-106 (15)	-32 (15)	-39 (20-I-1)
24	16	0.15 (15)	-0.10 (19)	-0.02 (21-II-4)	-58 (15)	-41 (15)	-27 (21-II-4)
25	1	0.21 (15)	-0.11 (14)	-0.07 (21-II-4)	52 (19)	-45 (14)	-31 (15)
25	2	-0.23 (19)	-0.05 (14)	0.08 (19)	151 (19)	12 (15)	16 (21-II-4)
25	3	-0.30 (19)	-0.39 (14)	-0.09 (21-II-4)	159 (19)	130 (14)	54 (21-II-4)
25	4	0.36 (15)	-0.26 (14)	-0.10 (21-II-4)	-131 (15)	102 (14)	21 (21-II-4)
25	5	-0.27 (19)	-0.20 (14)	-0.14 (21-II-4)	-255 (15)	37 (14)	-52 (19)
25	6	-0.20 (14)	-0.08 (14)	-0.13 (21-II-4)	-242 (15)	-21 (15)	-61 (14)
25	7	0.23 (15)	0.07 (19)	-0.09 (21-II-4)	-153 (15)	-68 (19)	-45 (14)
25	8	0.22 (15)	-0.08 (21-II-4)	-0.10 (21-II-4)	-68 (15)	-86 (14)	-38 (15)
26	1	-0.36 (19)	-0.62 (14)	-0.23 (21-II-4)	38 (19)	178 (14)	103 (21-II-4)
26	2	-0.23 (19)	-0.18 (14)	-0.09 (21-II-4)	-38 (15)	-37 (19)	85 (21-II-4)
26	3	-0.45 (19)	-0.46 (14)	-0.28 (21-II-4)	109 (14)	217 (14)	57 (21-II-4)
26	4	-0.24 (19)	-0.28 (14)	-0.15 (21-II-4)	41 (19)	-71 (19)	50 (21-II-4)
26	5	-0.49 (19)	-0.42 (14)	-0.30 (21-II-4)	138 (19)	208 (14)	40 (21-II-4)
26	6	-0.29 (19)	-0.25 (14)	-0.19 (21-II-4)	68 (19)	-69 (19)	27 (21-II-4)
26	7	-0.49 (19)	-0.49 (14)	-0.33 (21-II-4)	121 (19)	154 (14)	-20 (19)
26	8	-0.35 (19)	-0.11 (14)	-0.24 (21-II-4)	79 (19)	-35 (19)	-38 (19)
27	1	-1.13 (14)	-1.38 (15)	-0.59 (21-II-4)	301 (14)	153 (14)	205 (15)
27	2	-1.15 (15)	-1.87 (15)	-0.77 (21-I-2)	328 (15)	535 (15)	153 (21-I-2)
27	3	-0.75 (15)	-0.84 (15)	-0.51 (21-II-4)	61 (14)	130 (14)	188 (15)
27	4	-0.78 (14)	-1.09 (15)	-0.56 (21-II-4)	102 (14)	292 (15)	95 (21-II-4)
28	1	-2.72 (19)	1.49 (15)	0.72 (15)	-524 (15)	-274 (15)	-451 (15)
28	2	-2.19 (19)	1.38 (15)	0.62 (15)	316 (19)	-177 (15)	-278 (15)
28	3	-1.73 (19)	0.85 (15)	0.92 (15)	284 (19)	-161 (21-I-4)	-113 (21-I-4)
28	4	2.12 (15)	2.39 (15)	1.08 (15)	-629 (15)	-514 (15)	-230 (15)
28	5	-2.38 (19)	1.85 (15)	0.74 (15)	-1203 (15)	-666 (15)	-293 (15)
28	6	-2.22 (19)	1.85 (21-I-4)	0.73 (15)	-1006 (15)	-579 (15)	-123 (19)
28	7	-3.39 (19)	2.20 (21-I-4)	0.38 (21-I-4)	936 (19)	-363 (19)	-63 (15)
28	8	-3.18 (19)	1.86 (15)	0.56 (21-I-4)	-762 (15)	-184 (21-I-1)	-331 (15)
29	1	-0.30 (14)	-0.47 (14)	-0.42 (15)	-78 (15)	-645 (15)	83 (19)
29	2	0.17 (21-II-4)	0.20 (15)	-0.36 (21-II-4)	-56 (19)	-377 (15)	108 (15)
29	3	-0.10 (14)	-0.17 (14)	-0.51 (21-II-4)	-58 (19)	-79 (15)	250 (15)
29	4	-0.33 (14)	-0.30 (14)	-0.64 (15)	95 (15)	118 (14)	241 (15)
29	5	-0.39 (14)	-0.37 (14)	-0.66 (21-II-4)	154 (15)	398 (15)	225 (15)
29	6	-0.99 (14)	-0.34 (19)	-0.41 (21-II-4)	251 (19)	265 (15)	52 (21-II-4)
29	7	-0.90 (19)	0.49 (15)	-0.23 (15)	235 (19)	-236 (15)	-50 (19)
29	8	-0.52 (14)	-0.58 (14)	-0.39 (15)	68 (19)	-625 (15)	106 (21-II-4)
30	1	-0.38 (14)	1.02 (15)	0.38 (21-II-4)	76 (14)	-228 (15)	-86 (21-II-4)
30	2	-0.42 (14)	0.82 (15)	0.37 (21-II-4)	94 (14)	-111 (15)	-85 (21-II-4)
30	3	-0.50 (14)	0.71 (15)	0.57 (21-II-4)	112 (14)	-104 (15)	-132 (21-II-4)
30	4	-0.41 (14)	0.86 (15)	0.49 (21-II-4)	64 (14)	-381 (15)	-91 (21-II-4)
30	5	-0.42 (14)	0.61 (15)	0.49 (21-II-4)	63 (14)	-357 (15)	-91 (21-II-4)
30	6	-0.42 (14)	0.62 (15)	0.49 (21-II-4)	66 (14)	-318 (15)	-96 (21-II-4)
30	7	-0.42 (14)	1.00 (15)	0.47 (21-II-4)	65 (14)	-396 (15)	-90 (21-II-4)
30	8	-0.44 (14)	0.80 (15)	0.47 (21-II-4)	59 (14)	-448 (15)	-84 (21-II-4)
31	1	0.60 (15)	-0.42 (14)	-0.55 (21-II-4)	102 (14)	219 (14)	39 (21-II-4)
31	2	0.39 (15)	-0.58 (14)	-0.54 (21-II-4)	161 (14)	182 (14)	41 (21-II-4)
31	3	0.55 (15)	-0.18 (14)	-0.30 (21-II-4)	122 (14)	30 (14)	58 (21-II-4)
31	4	0.85 (15)	-0.33 (14)	-0.20 (21-II-4)	-67 (15)	-59 (20-I-4)	79 (21-II-4)
31	5	0.99 (15)	-0.33 (14)	0.10 (15)	-263 (15)	-123 (20-I-4)	128 (21-II-4)
31	6	1.29 (15)	-0.31 (14)	-0.13 (21-II-4)	-446 (15)	-54 (20-I-4)	122 (21-II-4)
31	7	0.96 (15)	-0.36 (14)	-0.28 (21-II-4)	-551 (15)	38 (14)	155 (21-II-4)
31	8	0.86 (15)	-0.41 (14)	-0.39 (21-II-4)	-578 (15)	53 (14)	144 (21-II-4)
31	9	1.05 (15)	-0.42 (14)	-0.56 (21-II-4)	-442 (15)	96 (14)	71 (21-II-4)
31	10	0.73 (15)	-0.42 (14)	-0.65 (21-II-4)	-152 (15)	174 (14)	-27 (19)
31	11	0.72 (15)	-0.38 (14)	-0.44 (21-II-4)	-167 (15)	152 (14)	112 (21-II-4)
31	12	0.82 (15)	-0.35 (14)	-0.28 (21-II-4)	-210 (15)	72 (15)	131 (21-II-4)
32	1	-0.24 (14)	-0.35 (14)	-0.27 (21-II-4)	94 (14)	-203 (15)	91 (21-II-4)
32	2	-0.25 (19)	-0.29 (14)	-0.24 (21-II-4)	84 (14)	-81 (15)	102 (14)
32	3	-0.46 (14)	-0.50 (14)	-0.30 (21-II-4)	127 (14)	158 (14)	114 (21-II-4)
32	4	-0.51 (14)	-0.44 (14)	-0.36 (21-II-4)	130 (19)	222 (14)	88 (21-II-4)
32	5	-0.50 (14)	-0.52 (14)	-0.34 (21-II-4)	120 (14)	229 (14)	75 (21-II-4)
32	6	-0.41 (14)	-0.61 (14)	-0.37 (21-II-4)	64 (14)	180 (14)	56 (21-II-4)
32	7	-0.38 (14)	-0.58 (14)	-0.46 (21-II-4)	29 (14)	154 (14)	-20 (19)
32	8	-0.40 (14)	-0.40 (14)	-0.49 (21-II-4)	-29 (21-II-4)	96 (14)	-32 (19)
32	9	-0.31 (14)	0.41 (15)	-0.32 (21-II-4)	-35 (15)	-234 (15)	-25 (19)
32	10	-0.25 (14)	-0.31 (14)	-0.29 (21-II-4)	-27 (15)	-337 (15)	27 (15)
32	11	-0.35 (14)	-0.36 (14)	-0.33 (21-II-4)	67 (14)	91 (14)	76 (21-II-4)
32	12	-0.40 (14)	-0.48 (14)	-0.38 (21-II-4)	92 (14)	201 (14)	75 (21-II-4)
33	1	0.16 (15)	0.18 (15)	-0.15 (14)	-50 (15)	-68 (15)	72 (14)
33	2	0.18 (15)	0.11 (15)	-0.08 (21-II-4)	-74 (15)	-32 (15)	28 (15)

**POTENZIAMENTO DELL'IMPIANTO DI DEPURAZIONE E
DEL RECAPITO FINALE DI SQUINZANO (LE)
PROGETTO DEFINITIVO
Tabulati di calcolo strutturale-Filtrazione**

R.37.9

Maggio 2021

Pagina 118 di
364

Muro	Pann.	Sxx	Syy	Sxy	Mxx	Myy	Mxy
33	3	0.21 (15)	-0.14 (19)	-0.17 (14)	-188 (15)	-40 (15)	36 (15)
33	4	0.21 (15)	-0.29 (14)	-0.25 (14)	-196 (15)	-34 (15)	60 (14)
33	5	0.38 (15)	-0.34 (14)	-0.30 (21-II-4)	-105 (15)	74 (14)	65 (14)
33	6	-0.29 (19)	-0.47 (14)	-0.45 (21-II-4)	126 (19)	104 (14)	97 (21-II-4)
33	7	-0.17 (14)	0.20 (15)	-0.35 (14)	111 (19)	56 (14)	101 (14)
33	8	0.13 (15)	0.15 (15)	-0.32 (14)	-45 (15)	-62 (15)	94 (14)
33	9	0.21 (15)	-0.22 (14)	-0.24 (14)	-73 (15)	38 (14)	124 (14)
34	1	-0.18 (15)	0.32 (15)	-0.38 (15)	-77 (19)	-173 (15)	-26 (19)
34	2	-0.09 (14)	-0.20 (14)	-0.67 (15)	-226 (20-I-4)	29 (14)	54 (21-II-4)
34	3	0.52 (15)	-0.43 (14)	-0.63 (15)	-390 (15)	89 (14)	84 (21-II-4)
34	4	1.09 (15)	-0.45 (14)	-0.29 (21-II-4)	-392 (15)	89 (14)	112 (21-II-4)
34	5	-0.06 (14)	0.16 (15)	-0.34 (15)	-51 (15)	-235 (15)	-53 (19)
34	6	0.15 (15)	-0.21 (14)	-0.44 (15)	-66 (15)	72 (14)	-29 (19)
34	7	0.40 (15)	-0.37 (14)	-0.44 (15)	-90 (15)	148 (14)	46 (21-II-4)
34	8	0.62 (15)	-0.50 (14)	-0.17 (21-II-4)	-121 (15)	146 (14)	145 (21-II-4)
34	9	0.06 (15)	0.19 (15)	-0.26 (15)	-16 (15)	-273 (15)	-51 (19)
34	10	0.19 (15)	-0.29 (14)	-0.30 (21-II-4)	76 (14)	103 (14)	28 (15)
34	11	0.28 (15)	-0.43 (14)	-0.30 (21-II-4)	92 (14)	184 (14)	42 (21-II-4)
34	12	0.26 (15)	-0.51 (14)	-0.15 (21-II-4)	53 (14)	187 (14)	132 (21-II-4)
34	13	-0.08 (14)	0.42 (15)	-0.13 (21-II-4)	96 (14)	-203 (15)	49 (15)
34	14	0.18 (15)	-0.34 (14)	-0.15 (21-II-4)	188 (14)	114 (14)	112 (15)
34	15	0.24 (15)	-0.53 (14)	-0.18 (21-II-4)	219 (14)	181 (14)	90 (15)
34	16	0.13 (15)	-0.60 (14)	-0.19 (21-II-4)	144 (14)	181 (14)	96 (21-II-4)
35	1	-6.26 (21-I-1)	-1.60 (15)	-5.85 (21-I-1)	-2890 (19)	-321 (19)	122 (19)
35	2	-3.22 (15)	-0.99 (15)	-6.52 (21-I-4)	-2752 (19)	-385 (19)	43 (19)
35	3	-2.99 (15)	-0.39 (15)	-6.76 (21-I-4)	-2815 (19)	-391 (19)	65 (15)
35	4	-2.39 (15)	1.24 (21-I-1)	-5.29 (21-I-1)	-3056 (19)	-342 (19)	97 (15)
35	5	-4.97 (15)	-0.23 (15)	-4.25 (21-I-4)	-1031 (19)	47 (15)	85 (15)
35	6	-2.73 (15)	-1.17 (15)	-6.99 (21-I-4)	-1240 (19)	-254 (19)	17 (19)
35	7	-3.29 (15)	-0.65 (15)	-7.31 (21-I-4)	-1259 (19)	-252 (19)	22 (15)
35	8	-4.30 (15)	-0.27 (21-I-1)	-4.26 (21-I-1)	-1047 (19)	-34 (19)	54 (19)
35	9	-2.63 (15)	-0.26 (15)	-3.85 (21-I-4)	-228 (15)	111 (19)	130 (15)
35	10	-2.27 (15)	-0.74 (15)	-6.83 (21-I-4)	-310 (15)	-73 (19)	-38 (19)
35	11	-3.07 (15)	-1.24 (15)	-7.47 (21-I-4)	-388 (15)	-67 (19)	-40 (15)
35	12	-8.19 (15)	0.49 (15)	-4.63 (21-I-4)	-430 (15)	124 (19)	128 (19)
35	13	2.56 (19)	0.74 (21-I-4)	-4.25 (21-I-4)	-1434 (15)	-204 (15)	41 (14)
35	14	-1.61 (15)	-0.19 (15)	-6.47 (21-I-4)	-1635 (15)	-172 (15)	-46 (19)
35	15	-3.08 (15)	-0.92 (15)	-6.89 (21-I-4)	-1746 (15)	-202 (15)	-82 (15)
35	16	-9.41 (15)	-2.10 (15)	-6.67 (21-I-4)	-1894 (15)	-261 (15)	86 (19)
36	1	-1.65 (15)	-1.68 (15)	6.10 (19)	795 (15)	121 (15)	179 (14)
36	2	-1.91 (15)	2.01 (19)	7.09 (19)	840 (15)	125 (15)	231 (14)
36	3	-1.70 (15)	1.84 (19)	7.15 (19)	877 (15)	113 (15)	246 (14)
36	4	-1.14 (21-I-1)	0.81 (19)	5.30 (19)	957 (15)	45 (15)	197 (21-I-4)
36	5	-1.69 (19)	4.34 (19)	5.37 (19)	449 (15)	123 (21-I-1)	213 (14)
36	6	-1.43 (21-I-4)	5.83 (19)	6.72 (19)	418 (15)	114 (21-I-1)	257 (14)
36	7	-2.46 (15)	6.31 (19)	7.49 (19)	353 (15)	43 (15)	256 (14)
36	8	-4.09 (15)	6.44 (19)	4.27 (19)	249 (15)	-292 (14)	161 (14)
36	9	-2.41 (19)	6.55 (19)	-4.19 (15)	176 (20-II-2)	133 (21-I-1)	207 (14)
36	10	-1.79 (19)	9.09 (19)	-5.02 (15)	97 (21-II-1)	109 (21-I-1)	232 (14)
36	11	-2.55 (15)	12.95 (19)	7.01 (19)	-99 (14)	-103 (14)	215 (14)
36	12	-8.28 (15)	12.18 (19)	4.97 (19)	-287 (21-I-1)	-517 (14)	127 (14)
36	13	-2.76 (19)	7.85 (19)	-2.62 (15)	63 (21-II-1)	135 (14)	167 (14)
36	14	-2.56 (19)	11.01 (19)	-2.60 (15)	-132 (14)	88 (21-I-1)	163 (14)
36	15	-2.00 (15)	15.77 (19)	-2.61 (15)	-246 (21-I-1)	-152 (14)	143 (14)
36	16	-11.01 (15)	26.90 (19)	7.42 (19)	-1010 (21-I-1)	-726 (14)	-204 (15)
37	1	0.43 (14)	0.14 (14)	0.23 (19)	99 (15)	29 (15)	17 (15)
37	2	-0.22 (15)	0.07 (14)	0.35 (19)	136 (15)	23 (15)	-33 (14)
37	3	-0.57 (15)	0.05 (14)	0.42 (19)	193 (15)	23 (15)	-46 (14)
37	4	-0.74 (15)	-0.08 (15)	0.32 (19)	254 (15)	27 (15)	-46 (14)
37	5	0.33 (14)	0.18 (14)	0.24 (19)	52 (15)	55 (15)	29 (15)
37	6	-0.27 (15)	0.17 (14)	0.37 (19)	69 (15)	26 (15)	45 (15)
37	7	-0.51 (15)	0.17 (19)	0.40 (19)	96 (15)	10 (15)	-49 (14)
37	8	-0.66 (15)	0.15 (19)	0.37 (19)	125 (15)	10 (21-II-2)	-50 (14)
37	9	0.24 (14)	0.22 (14)	0.24 (19)	26 (21-II-4)	88 (15)	35 (15)
37	10	-0.29 (15)	0.23 (14)	0.36 (19)	39 (21-II-4)	-39 (14)	55 (15)
37	11	-0.46 (15)	0.24 (19)	0.40 (19)	52 (21-II-4)	-10 (14)	61 (15)
37	12	-0.59 (21-I-4)	0.23 (19)	0.39 (19)	63 (21-II-4)	-19 (15)	55 (15)
37	13	-0.24 (15)	-0.29 (15)	0.24 (19)	21 (21-II-4)	126 (15)	35 (15)
37	14	-0.32 (15)	0.26 (19)	0.35 (19)	35 (21-II-4)	-58 (14)	56 (15)
37	15	-0.43 (15)	0.28 (19)	0.39 (19)	50 (21-II-4)	-17 (14)	63 (15)
37	16	-0.53 (19)	0.28 (19)	0.40 (19)	64 (21-II-4)	-36 (15)	57 (15)
38	1	-0.10 (15)	-0.97 (20-I-4)	0.17 (14)	-34 (15)	-324 (15)	-44 (14)
38	2	0.08 (14)	-0.90 (20-I-4)	-0.16 (15)	-17 (14)	-163 (15)	-50 (14)
38	3	0.16 (14)	-0.83 (20-I-4)	-0.15 (15)	-32 (19)	-89 (20-I-4)	-54 (14)

**POTENZIAMENTO DELL'IMPIANTO DI DEPURAZIONE E
DEL RECAPITO FINALE DI SQUINZANO (LE)
PROGETTO DEFINITIVO
Tabulati di calcolo strutturale-Filtrazione**

R.37.9

Maggio 2021

Pagina 119 di
364

Muro	Pann.	Sxx	Syy	Sxy	Mxx	Myy	Mxy
38	4	0.22 (14)	-0.76 (20-I-4)	-0.14 (15)	59 (15)	-75 (20-I-4)	-55 (14)
38	5	-0.09 (15)	-0.77 (19)	-0.25 (15)	-28 (15)	-263 (15)	-57 (14)
38	6	-0.10 (15)	-0.71 (19)	-0.23 (15)	-12 (21-I-4)	-132 (15)	-64 (14)
38	7	0.17 (14)	-0.66 (21-I-4)	-0.21 (15)	22 (15)	-79 (21-I-2)	-68 (14)
38	8	0.23 (14)	-0.62 (21-I-4)	-0.18 (15)	41 (15)	-65 (20-I-4)	-67 (14)
38	9	-0.06 (15)	-0.45 (19)	-0.16 (15)	-23 (15)	-183 (15)	-55 (14)
38	10	-0.11 (15)	-0.44 (19)	-0.19 (15)	-13 (15)	-94 (15)	-64 (14)
38	11	-0.17 (15)	-0.44 (15)	-0.19 (15)	10 (14)	-62 (21-I-2)	-66 (14)
38	12	-0.23 (15)	-0.44 (15)	-0.16 (15)	19 (14)	-48 (21-I-2)	-64 (14)
38	13	0.05 (21-II-4)	-0.21 (19)	0.14 (19)	-28 (15)	-131 (15)	-35 (14)
38	14	0.12 (21-II-4)	-0.20 (15)	0.12 (19)	-46 (15)	-70 (15)	-43 (14)
38	15	-0.19 (15)	-0.27 (15)	0.12 (19)	75 (14)	-45 (21-I-2)	-45 (14)
38	16	-0.29 (15)	-0.34 (15)	0.13 (19)	104 (14)	-31 (21-I-1)	-44 (14)
39	1	-0.08 (15)	-0.50 (15)	0.14 (14)	-31 (15)	-154 (15)	-25 (15)
39	2	-0.12 (15)	-0.48 (15)	0.13 (14)	-47 (15)	-81 (15)	-33 (15)
39	3	-0.15 (15)	-0.47 (15)	0.12 (14)	-68 (15)	-52 (20-I-4)	-39 (15)
39	4	-0.17 (15)	-0.48 (20-I-4)	0.11 (14)	-91 (15)	-44 (20-I-4)	-39 (15)
39	5	-0.09 (15)	-0.63 (20-I-4)	0.26 (14)	-25 (15)	-217 (15)	-43 (15)
39	6	-0.12 (15)	-0.62 (20-I-4)	0.25 (14)	-14 (21-II-4)	-111 (15)	-60 (15)
39	7	-0.13 (15)	-0.61 (20-I-4)	0.23 (14)	-18 (21-II-4)	-68 (20-I-4)	-70 (15)
39	8	-0.15 (15)	-0.60 (20-I-4)	0.20 (14)	-26 (14)	-59 (20-I-4)	-71 (15)
39	9	-0.10 (15)	-0.86 (20-I-4)	0.29 (14)	-32 (15)	-302 (15)	-28 (15)
39	10	-0.10 (15)	-0.82 (20-I-4)	0.28 (14)	-16 (14)	-152 (15)	-42 (15)
39	11	-0.11 (15)	-0.77 (20-I-4)	0.26 (14)	-33 (14)	-83 (20-I-4)	-50 (15)
39	12	0.14 (14)	-0.73 (20-I-4)	0.23 (14)	52 (15)	-73 (20-I-4)	-51 (15)
39	13	-0.10 (15)	-1.00 (20-I-4)	0.22 (14)	-36 (15)	-340 (15)	-25 (21-II-4)
39	14	-0.08 (15)	-0.93 (20-I-4)	0.22 (14)	-19 (14)	-172 (15)	-27 (14)
39	15	0.14 (14)	-0.87 (20-I-4)	0.21 (14)	-37 (14)	-91 (20-I-4)	-30 (14)
39	16	0.19 (14)	-0.80 (20-I-4)	0.19 (14)	62 (15)	-78 (20-I-4)	-32 (14)
40	1	-1.60 (15)	-0.61 (19)	0.72 (19)	281 (15)	82 (15)	-98 (15)
40	2	-2.29 (15)	-1.08 (19)	1.35 (19)	427 (15)	124 (15)	-156 (15)
40	3	-3.14 (15)	-1.66 (19)	2.25 (19)	546 (15)	170 (15)	-205 (15)
40	4	-4.26 (15)	-2.51 (19)	3.81 (19)	655 (15)	173 (15)	-200 (15)
40	5	-1.45 (15)	-0.53 (19)	0.93 (19)	196 (15)	66 (14)	-75 (14)
40	6	-1.97 (15)	-0.82 (19)	1.56 (19)	286 (15)	70 (14)	-90 (15)
40	7	-2.76 (15)	-1.01 (19)	2.52 (19)	357 (15)	104 (15)	-124 (15)
40	8	-3.74 (15)	-0.86 (19)	4.22 (19)	420 (15)	118 (15)	-105 (15)
40	9	-1.33 (15)	-0.40 (19)	1.07 (19)	129 (15)	70 (14)	-79 (14)
40	10	-1.75 (15)	-0.48 (19)	1.70 (19)	176 (21-I-4)	91 (14)	-59 (21-II-4)
40	11	-2.34 (15)	-0.29 (19)	2.67 (19)	231 (21-I-4)	71 (21-II-4)	-60 (21-II-4)
40	12	-3.04 (15)	0.74 (19)	4.29 (19)	266 (21-I-4)	78 (15)	95 (14)
40	13	-1.25 (15)	-0.20 (19)	1.14 (19)	114 (21-I-4)	73 (14)	-77 (14)
40	14	-1.57 (15)	-0.21 (21-I-4)	1.76 (19)	160 (21-I-4)	110 (14)	-43 (21-II-4)
40	15	-1.94 (15)	-0.56 (15)	2.65 (19)	188 (21-I-4)	92 (14)	-42 (21-II-4)
40	16	-2.30 (15)	2.13 (19)	3.97 (19)	169 (21-I-4)	80 (21-II-4)	110 (14)
41	1	-0.49 (15)	-0.53 (15)	-0.70 (19)	-126 (14)	72 (20-II-2)	92 (14)
41	2	0.56 (19)	-0.63 (15)	0.85 (15)	-126 (14)	72 (20-II-2)	92 (14)
41	3	0.48 (19)	-0.61 (15)	1.00 (15)	-123 (14)	68 (20-II-2)	95 (14)
41	4	-0.53 (15)	-0.60 (15)	1.08 (15)	-120 (14)	66 (20-II-2)	100 (14)
41	5	-0.53 (15)	-0.57 (15)	0.75 (15)	-99 (14)	67 (20-II-2)	78 (14)
41	6	-0.52 (15)	-0.60 (15)	0.82 (15)	-97 (14)	73 (20-II-2)	83 (14)
41	7	-0.49 (15)	-0.64 (15)	0.84 (15)	-94 (14)	77 (20-II-2)	90 (14)
41	8	-0.40 (15)	-0.65 (15)	0.96 (15)	-90 (14)	84 (20-II-3)	100 (14)
41	9	-0.56 (15)	-0.58 (20-II-4)	0.77 (15)	-74 (14)	75 (20-II-2)	74 (14)
41	10	-0.46 (15)	-0.64 (15)	0.83 (15)	-71 (14)	84 (20-II-2)	78 (14)
41	11	-0.39 (15)	-0.71 (15)	0.87 (15)	-64 (14)	93 (20-II-3)	84 (14)
41	12	-0.30 (15)	-0.76 (15)	0.91 (15)	59 (15)	136 (15)	93 (14)
41	13	-0.59 (15)	-0.59 (20-II-4)	0.82 (15)	-54 (14)	85 (20-II-2)	75 (14)
41	14	-0.39 (15)	-0.73 (15)	0.86 (15)	-51 (14)	96 (20-II-2)	78 (14)
41	15	-0.21 (15)	-0.84 (15)	0.88 (15)	49 (15)	141 (15)	81 (14)
41	16	0.18 (19)	-1.04 (15)	0.83 (15)	54 (15)	226 (15)	86 (14)
42	1	-2.20 (15)	-0.20 (15)	-0.85 (15)	134 (14)	18 (15)	44 (21-II-4)
42	2	-1.77 (15)	-0.12 (15)	-1.07 (15)	118 (14)	14 (19)	57 (21-II-4)
42	3	-0.84 (15)	0.04 (21-II-4)	-1.18 (15)	101 (19)	9 (19)	46 (15)
42	4	0.70 (15)	0.21 (15)	-1.00 (15)	101 (19)	-13 (14)	35 (15)
42	5	-2.03 (15)	0.15 (14)	-0.87 (15)	97 (14)	19 (15)	44 (14)
42	6	-1.60 (15)	0.23 (14)	-1.12 (15)	81 (14)	11 (15)	45 (21-II-4)
42	7	-0.83 (15)	0.28 (14)	-1.26 (15)	64 (19)	-17 (14)	36 (20-II-1)
42	8	0.44 (15)	0.28 (21-II-4)	-1.00 (15)	42 (19)	-56 (14)	53 (15)
42	9	-1.85 (15)	0.35 (14)	-0.89 (15)	76 (15)	21 (15)	40 (14)
42	10	-1.44 (15)	0.40 (14)	-1.14 (15)	55 (15)	12 (15)	36 (21-II-4)
42	11	-0.78 (15)	0.41 (14)	-1.26 (15)	35 (20-I-4)	-35 (14)	29 (20-II-4)
42	12	0.25 (21-II-4)	0.39 (14)	-0.99 (15)	29 (15)	-86 (14)	59 (15)
42	13	-1.67 (14)	0.48 (14)	-0.89 (15)	61 (15)	22 (15)	36 (14)

Muro	Pann.	Sxx	Syy	Sxy	Mxx	Myy	Mxy
42	14	-1.31 (21-I-4)	0.51 (14)	-1.11 (15)	47 (15)	-19 (14)	29 (21-II-4)
42	15	-0.74 (15)	0.50 (14)	-1.20 (15)	31 (15)	-52 (14)	23 (20-II-4)
42	16	-0.22 (19)	0.47 (14)	-0.95 (15)	26 (15)	-109 (14)	60 (15)
43	1	-0.97 (15)	-0.14 (15)	0.40 (19)	331 (15)	36 (15)	-43 (15)
43	2	-0.85 (15)	-0.16 (15)	0.41 (19)	288 (15)	35 (15)	-50 (15)
43	3	-0.75 (15)	-0.17 (15)	0.49 (19)	241 (15)	37 (15)	-46 (15)
43	4	-0.90 (15)	-0.20 (15)	0.63 (19)	247 (15)	44 (15)	-13 (14)
43	5	-0.86 (15)	-0.18 (15)	0.40 (19)	177 (15)	18 (20-II-4)	-51 (15)
43	6	-0.78 (15)	-0.23 (15)	0.42 (19)	159 (15)	20 (21-II-4)	-61 (15)
43	7	-0.70 (15)	-0.30 (15)	0.51 (19)	142 (15)	39 (15)	-55 (15)
43	8	-0.79 (15)	-0.31 (15)	0.66 (19)	150 (15)	67 (15)	16 (21-I-4)
43	9	-0.78 (14)	-0.23 (15)	0.40 (19)	85 (21-II-4)	29 (14)	-55 (15)
43	10	-0.71 (15)	-0.29 (15)	0.44 (19)	82 (21-II-4)	27 (20-II-1)	-67 (15)
43	11	-0.66 (15)	-0.36 (15)	0.53 (19)	77 (21-II-4)	44 (15)	-59 (15)
43	12	-0.68 (15)	-0.43 (15)	0.67 (19)	84 (15)	106 (15)	25 (21-I-4)
43	13	-0.72 (14)	-0.28 (15)	0.41 (19)	89 (21-II-4)	-41 (15)	-53 (15)
43	14	-0.67 (20-II-4)	-0.35 (15)	0.45 (19)	81 (21-II-4)	32 (20-II-1)	-65 (15)
43	15	-0.61 (15)	-0.42 (15)	0.54 (19)	70 (21-II-4)	53 (15)	-57 (15)
43	16	-0.61 (15)	-0.51 (15)	0.66 (19)	63 (20-II-3)	152 (15)	29 (21-I-4)
44	1	-2.00 (15)	-0.22 (15)	0.37 (15)	311 (15)	33 (15)	-14 (15)
44	2	-2.39 (15)	-0.25 (15)	0.08 (21-I-4)	242 (15)	36 (15)	16 (14)
44	3	-2.46 (15)	-0.26 (15)	-0.25 (15)	179 (15)	27 (15)	32 (14)
44	4	-2.44 (15)	-0.24 (15)	-0.56 (15)	139 (15)	21 (15)	40 (14)
44	5	-1.89 (15)	-0.24 (15)	0.27 (15)	173 (15)	12 (14)	-15 (15)
44	6	-2.24 (15)	-0.16 (15)	0.11 (21-I-4)	171 (15)	38 (15)	13 (14)
44	7	-2.30 (15)	-0.17 (15)	-0.26 (15)	144 (15)	31 (15)	31 (14)
44	8	-2.26 (15)	-0.14 (15)	-0.57 (15)	117 (15)	24 (15)	41 (14)
44	9	-1.82 (15)	-0.21 (15)	0.23 (15)	91 (15)	-14 (15)	11 (14)
44	10	-2.07 (15)	0.16 (14)	0.09 (21-I-4)	111 (15)	37 (15)	16 (14)
44	11	-2.14 (15)	0.21 (14)	-0.27 (15)	109 (15)	34 (15)	31 (14)
44	12	-2.08 (15)	0.28 (14)	-0.59 (15)	94 (15)	27 (15)	40 (14)
44	13	-1.73 (15)	0.21 (14)	0.20 (15)	43 (15)	-25 (15)	17 (14)
44	14	-1.90 (15)	0.28 (14)	0.06 (21-I-4)	67 (15)	37 (14)	22 (14)
44	15	-1.96 (15)	0.35 (14)	-0.29 (15)	77 (15)	36 (15)	32 (14)
44	16	-1.89 (15)	0.42 (14)	-0.60 (15)	73 (15)	29 (15)	39 (14)
45	1	-0.82 (15)	-0.10 (15)	0.34 (19)	300 (15)	31 (15)	-40 (14)
45	2	-0.83 (15)	-0.13 (15)	0.30 (19)	324 (15)	33 (15)	-30 (14)
45	3	-0.85 (15)	-0.13 (15)	0.37 (19)	338 (15)	34 (15)	-31 (21-II-4)
45	4	-0.95 (15)	-0.13 (15)	0.40 (19)	349 (15)	37 (15)	-33 (15)
45	5	-0.76 (21-I-4)	0.12 (19)	0.34 (19)	150 (15)	11 (14)	-45 (14)
45	6	-0.80 (21-I-4)	-0.14 (15)	0.33 (19)	168 (15)	14 (14)	-34 (14)
45	7	-0.81 (21-I-4)	-0.17 (15)	0.36 (19)	179 (15)	16 (14)	-27 (21-II-4)
45	8	-0.86 (15)	-0.16 (15)	0.39 (19)	184 (15)	17 (14)	-34 (15)
45	9	-0.70 (21-I-4)	0.21 (19)	0.37 (19)	71 (21-II-4)	-30 (15)	-46 (14)
45	10	-0.75 (21-I-4)	0.18 (19)	0.36 (19)	78 (21-II-4)	-35 (15)	-35 (14)
45	11	-0.77 (21-I-4)	-0.19 (15)	0.37 (19)	82 (21-II-4)	-35 (15)	-25 (21-II-4)
45	12	-0.79 (20-II-4)	-0.20 (15)	0.39 (19)	85 (21-II-4)	33 (14)	-33 (15)
45	13	-0.64 (19)	0.27 (19)	0.38 (19)	76 (21-II-4)	-55 (15)	-44 (14)
45	14	-0.70 (19)	0.25 (19)	0.37 (19)	85 (21-II-4)	-64 (15)	-33 (14)
45	15	-0.72 (21-I-4)	0.23 (19)	0.38 (19)	90 (21-II-4)	-65 (15)	-23 (21-II-4)
45	16	-0.73 (14)	-0.24 (15)	0.39 (19)	91 (21-II-4)	-58 (15)	-31 (15)
46	1	-1.44 (19)	-0.15 (15)	0.56 (15)	-21 (14)	-3 (21-I-4)	-12 (21-II-4)
46	2	-1.50 (19)	-0.17 (15)	0.46 (15)	-25 (14)	-4 (14)	-16 (21-II-4)
46	3	-1.52 (14)	-0.19 (15)	0.39 (15)	-28 (14)	-4 (14)	-18 (21-II-4)
46	4	-1.52 (14)	-0.20 (15)	-0.46 (14)	-31 (14)	-4 (14)	-20 (21-II-4)
46	5	-1.35 (19)	-0.20 (15)	0.56 (15)	-17 (14)	-6 (21-II-2)	-14 (21-II-4)
46	6	-1.42 (19)	-0.22 (15)	0.48 (15)	-20 (14)	-5 (21-I-1)	-18 (21-II-4)
46	7	-1.45 (14)	-0.24 (15)	0.40 (15)	-23 (14)	-5 (21-I-4)	-21 (21-II-4)
46	8	-1.44 (14)	-0.27 (15)	-0.42 (14)	-25 (14)	-4 (21-I-4)	-22 (21-II-4)
46	9	-1.26 (19)	-0.27 (15)	0.57 (15)	-13 (14)	-10 (21-II-4)	-16 (21-II-4)
46	10	-1.33 (19)	-0.28 (15)	0.49 (15)	-16 (14)	-7 (21-II-2)	-20 (21-II-4)
46	11	-1.37 (14)	-0.29 (15)	0.41 (15)	-17 (14)	-5 (21-I-1)	-23 (21-II-4)
46	12	-1.37 (14)	-0.33 (15)	-0.39 (19)	-19 (14)	-4 (15)	-23 (21-II-4)
46	13	-1.17 (19)	-0.35 (15)	0.56 (15)	-10 (21-I-4)	-14 (21-II-4)	-17 (21-II-4)
46	14	-1.25 (14)	-0.34 (15)	0.49 (15)	-12 (14)	-10 (21-II-4)	-21 (21-II-4)
46	15	-1.30 (14)	-0.34 (15)	0.42 (15)	-13 (14)	-6 (21-I-2)	-24 (21-II-4)
46	16	-1.31 (14)	-0.37 (15)	0.36 (15)	-14 (14)	-4 (15)	-24 (21-II-4)
47	1	-0.46 (19)	-0.57 (19)	-0.41 (19)	-212 (20-I-3)	-54 (21-II-2)	33 (15)
47	2	-0.67 (19)	-0.41 (19)	-0.47 (15)	-313 (19)	-41 (21-I-1)	33 (19)
47	3	-0.58 (19)	-0.29 (19)	-0.47 (15)	-284 (19)	-29 (21-I-1)	43 (19)
47	4	-0.26 (19)	-0.16 (19)	-0.37 (15)	-136 (19)	69 (19)	104 (19)
47	5	-0.70 (19)	-0.60 (19)	-0.67 (19)	97 (19)	-66 (15)	114 (15)
47	6	-0.70 (19)	-0.44 (19)	-0.55 (15)	-76 (20-II-1)	73 (19)	168 (15)
47	7	-0.61 (19)	-0.34 (19)	-0.54 (15)	-61 (20-II-1)	74 (19)	190 (19)

Muro	Pann.	Sxx	Syy	Sxy	Mxx	Myy	Mxy
47	8	-0.42 (19)	-0.21 (19)	-0.54 (15)	61 (19)	101 (19)	247 (19)
47	9	-0.95 (19)	-0.55 (19)	-0.69 (19)	277 (19)	126 (19)	122 (15)
47	10	-0.73 (19)	-0.54 (19)	-0.63 (15)	308 (19)	133 (19)	174 (15)
47	11	-0.62 (19)	-0.45 (19)	-0.62 (15)	278 (19)	123 (19)	188 (19)
47	12	-0.58 (19)	-0.38 (19)	-0.61 (15)	189 (19)	67 (19)	240 (19)
47	13	-1.09 (19)	-0.61 (19)	-0.67 (15)	428 (19)	165 (19)	126 (15)
47	14	-0.74 (19)	-0.64 (19)	-0.67 (15)	527 (19)	185 (19)	154 (15)
47	15	-0.63 (19)	-0.54 (19)	-0.67 (15)	464 (19)	158 (19)	157 (15)
47	16	-0.69 (19)	-0.45 (19)	-0.64 (15)	293 (19)	82 (19)	151 (15)
48	1	-0.39 (14)	-0.34 (19)	-0.15 (21-II-2)	-208 (21-I-4)	76 (19)	-84 (19)
48	2	-0.70 (19)	-0.36 (19)	0.19 (19)	-338 (21-I-4)	-28 (21-I-2)	-26 (19)
48	3	-0.76 (19)	-0.41 (19)	0.21 (19)	-359 (21-I-4)	-28 (21-I-3)	-19 (19)
48	4	-0.51 (14)	-0.52 (19)	0.27 (19)	-252 (21-I-4)	68 (15)	49 (21-II-2)
48	5	-0.58 (19)	-0.37 (19)	-0.25 (21-II-2)	91 (19)	101 (19)	-194 (19)
48	6	-0.75 (19)	-0.40 (19)	0.22 (19)	86 (14)	76 (19)	-106 (19)
48	7	-0.81 (19)	-0.44 (19)	0.25 (19)	97 (14)	74 (19)	-79 (19)
48	8	-0.78 (19)	-0.52 (19)	0.45 (19)	122 (14)	96 (15)	117 (21-II-2)
48	9	-0.79 (19)	-0.48 (19)	-0.25 (21-II-2)	239 (19)	90 (19)	-180 (19)
48	10	-0.78 (19)	-0.51 (19)	0.24 (19)	324 (19)	125 (19)	-100 (19)
48	11	-0.87 (19)	-0.53 (19)	0.27 (19)	348 (19)	127 (19)	-72 (19)
48	12	-1.07 (19)	-0.49 (19)	0.44 (19)	307 (19)	129 (19)	114 (21-II-2)
48	13	-0.92 (19)	-0.54 (19)	-0.21 (21-II-2)	356 (19)	111 (19)	-88 (19)
48	14	-0.81 (19)	-0.58 (19)	0.26 (19)	520 (19)	164 (19)	50 (15)
48	15	-0.90 (19)	-0.59 (19)	0.27 (19)	563 (19)	170 (19)	55 (14)
48	16	-1.25 (19)	-0.56 (19)	0.30 (19)	456 (19)	155 (19)	81 (15)
49	1	0.19 (21-II-2)	-0.25 (19)	-0.44 (19)	-72 (21-II-2)	-74 (15)	54 (19)
49	2	0.14 (21-II-2)	-0.09 (19)	-0.39 (19)	-94 (19)	-12 (15)	74 (19)
49	3	0.15 (21-II-2)	-0.11 (20-II-2)	-0.30 (15)	-39 (19)	37 (14)	69 (19)
49	4	0.28 (15)	-0.14 (20-II-2)	-0.16 (15)	-32 (20-II-1)	134 (15)	28 (19)
49	5	-0.27 (19)	-0.24 (19)	-0.74 (19)	54 (19)	-95 (15)	143 (15)
49	6	-0.17 (19)	-0.11 (14)	-0.53 (19)	41 (19)	44 (19)	218 (19)
49	7	0.08 (20-II-1)	-0.03 (14)	-0.37 (19)	37 (15)	38 (14)	205 (19)
49	8	0.17 (20-II-1)	0.08 (19)	-0.25 (15)	-11 (20-II-1)	136 (15)	80 (19)
49	9	-0.50 (19)	-0.12 (14)	-0.80 (19)	136 (19)	135 (19)	152 (15)
49	10	-0.38 (19)	-0.08 (14)	-0.63 (19)	112 (19)	65 (19)	203 (19)
49	11	-0.25 (19)	0.03 (21-I-1)	-0.47 (19)	76 (19)	19 (21-II-1)	195 (19)
49	12	-0.17 (19)	0.07 (19)	-0.30 (15)	25 (19)	-159 (19)	71 (19)
49	13	-0.65 (19)	-0.19 (19)	-0.72 (19)	192 (19)	128 (19)	140 (15)
49	14	-0.48 (19)	-0.11 (19)	-0.73 (19)	169 (19)	62 (19)	145 (15)
49	15	-0.47 (19)	0.06 (19)	-0.63 (19)	85 (19)	-19 (19)	132 (15)
49	16	-0.43 (19)	0.25 (19)	-0.33 (19)	49 (19)	-161 (19)	44 (15)
50	1	-0.60 (19)	-0.49 (19)	-0.27 (15)	-273 (20-I-3)	59 (19)	-54 (19)
50	2	-0.90 (19)	-0.44 (19)	-0.31 (15)	-391 (20-I-3)	-47 (20-II-2)	9 (15)
50	3	-0.89 (19)	-0.44 (19)	-0.34 (15)	-375 (20-I-3)	-46 (20-II-2)	11 (15)
50	4	-0.55 (19)	-0.47 (19)	-0.27 (15)	-244 (20-I-3)	88 (19)	68 (19)
50	5	-0.83 (19)	-0.51 (19)	-0.43 (21-II-2)	119 (19)	80 (19)	-113 (19)
50	6	-0.93 (19)	-0.48 (19)	-0.37 (15)	-109 (20-II-2)	71 (19)	110 (15)
50	7	-0.92 (19)	-0.47 (19)	-0.40 (15)	-106 (20-II-2)	79 (19)	130 (15)
50	8	-0.77 (19)	-0.46 (19)	-0.39 (15)	112 (14)	124 (19)	164 (15)
50	9	-1.08 (19)	-0.55 (19)	-0.46 (15)	324 (19)	111 (19)	-104 (19)
50	10	-0.95 (19)	-0.58 (19)	-0.43 (15)	394 (19)	135 (19)	121 (15)
50	11	-0.92 (19)	-0.58 (19)	-0.48 (15)	387 (19)	147 (19)	142 (15)
50	12	-0.99 (19)	-0.54 (19)	-0.47 (15)	309 (19)	143 (19)	166 (15)
50	13	-1.24 (19)	-0.61 (19)	-0.43 (15)	492 (19)	145 (19)	69 (15)
50	14	-0.95 (19)	-0.65 (19)	-0.50 (15)	652 (19)	190 (19)	116 (15)
50	15	-0.91 (19)	-0.67 (19)	-0.52 (15)	645 (19)	201 (19)	125 (15)
50	16	-1.13 (19)	-0.64 (19)	-0.53 (15)	473 (19)	165 (19)	135 (15)
51	1	-1.92 (19)	-0.73 (19)	-0.48 (15)	419 (19)	154 (15)	96 (15)
51	2	-1.84 (19)	-0.83 (19)	-0.43 (15)	441 (19)	184 (19)	130 (15)
51	3	-1.84 (19)	-0.86 (19)	-0.43 (15)	428 (19)	211 (19)	130 (15)
51	4	-1.85 (19)	-0.86 (19)	-0.46 (15)	399 (19)	186 (19)	115 (15)
51	5	-1.57 (19)	-0.75 (19)	-0.38 (15)	320 (15)	167 (15)	76 (14)
51	6	-1.75 (19)	-0.79 (19)	-0.35 (15)	294 (19)	168 (19)	56 (14)
51	7	-1.77 (19)	-0.88 (19)	-0.38 (15)	317 (19)	213 (19)	56 (15)
51	8	-1.69 (19)	-0.93 (19)	-0.38 (15)	329 (19)	211 (19)	72 (15)
52	1	-1.41 (19)	-0.72 (19)	-0.57 (15)	333 (19)	217 (19)	137 (15)
52	2	-1.70 (19)	-0.68 (19)	-0.54 (15)	388 (19)	275 (19)	114 (15)
52	3	-1.50 (19)	-0.77 (19)	-0.40 (15)	298 (19)	266 (19)	63 (15)
52	4	-1.05 (19)	-0.71 (19)	-0.38 (15)	186 (19)	96 (19)	57 (15)
52	5	-1.19 (19)	-0.91 (19)	-0.48 (15)	250 (19)	-32 (19)	101 (15)
52	6	-1.16 (19)	-0.89 (19)	-0.55 (15)	222 (19)	-89 (19)	128 (15)
52	7	-1.09 (19)	-0.65 (19)	-0.60 (15)	177 (19)	-16 (15)	142 (15)
52	8	-1.25 (19)	-0.67 (19)	-0.60 (15)	245 (19)	141 (19)	149 (15)
53	1	-0.86 (19)	-0.03 (19)	-0.56 (15)	208 (19)	234 (19)	146 (15)

Muro	Pann.	Sxx	Syy	Sxy	Mxx	Myy	Mxy
53	2	-0.69 (19)	-0.04 (14)	-0.52 (15)	174 (19)	106 (19)	159 (19)
53	3	-0.53 (19)	-0.03 (14)	-0.43 (15)	141 (19)	-52 (19)	152 (19)
53	4	-0.48 (19)	0.10 (19)	-0.29 (15)	92 (19)	-288 (19)	58 (19)
53	5	-0.92 (19)	0.12 (19)	-0.51 (15)	266 (19)	394 (19)	135 (15)
53	6	-0.72 (19)	0.04 (21-II-1)	-0.46 (15)	217 (19)	167 (19)	143 (15)
53	7	-0.60 (19)	-0.05 (14)	-0.39 (15)	143 (19)	-101 (19)	126 (15)
53	8	-0.57 (19)	-0.06 (14)	-0.33 (15)	65 (19)	-466 (19)	-19 (19)
53	9	-0.80 (19)	0.16 (19)	-0.48 (15)	249 (19)	361 (19)	101 (14)
53	10	-0.61 (19)	0.08 (19)	-0.40 (15)	214 (19)	128 (19)	122 (15)
53	11	-0.49 (19)	-0.07 (14)	-0.32 (15)	149 (19)	-117 (19)	125 (15)
53	12	-0.47 (19)	-0.06 (14)	-0.28 (14)	69 (19)	-410 (19)	-78 (19)
53	13	-0.61 (15)	-0.26 (14)	-0.48 (15)	165 (15)	172 (19)	64 (14)
53	14	-0.63 (15)	-0.20 (14)	-0.46 (15)	180 (15)	98 (15)	-102 (19)
53	15	-0.66 (15)	0.12 (19)	-0.40 (14)	144 (15)	-104 (19)	-105 (19)
53	16	-0.62 (15)	0.14 (19)	-0.26 (14)	105 (15)	-225 (19)	-80 (19)
54	1	-1.37 (19)	-0.66 (15)	-0.42 (15)	272 (19)	73 (21-I-1)	92 (19)
54	2	-1.10 (15)	-0.89 (15)	-0.64 (15)	285 (15)	163 (15)	114 (15)
54	3	-1.40 (15)	-0.63 (15)	-0.50 (14)	338 (15)	168 (15)	137 (15)
54	4	-1.80 (19)	-0.56 (19)	-0.36 (14)	429 (19)	193 (19)	83 (15)
54	5	-1.46 (19)	-0.69 (19)	-0.32 (15)	439 (19)	205 (19)	69 (21-II-2)
54	6	-1.42 (19)	-0.69 (19)	-0.33 (15)	323 (19)	146 (19)	45 (21-II-2)
54	7	-1.36 (19)	-0.68 (19)	-0.31 (15)	271 (19)	53 (19)	32 (14)
54	8	-1.44 (19)	-0.73 (19)	-0.41 (15)	326 (19)	48 (21-I-1)	55 (14)
54	9	-1.41 (19)	-0.70 (19)	-0.40 (15)	453 (19)	131 (19)	71 (14)
55	1	-1.72 (15)	-1.09 (15)	-0.91 (15)	353 (15)	461 (15)	158 (19)
55	2	-1.71 (15)	-1.54 (15)	-0.80 (21-I-1)	-726 (19)	478 (15)	179 (19)
55	3	-2.54 (15)	-1.45 (15)	-0.65 (15)	-1130 (19)	337 (15)	-94 (15)
55	4	-2.53 (15)	-1.49 (15)	-0.71 (15)	-918 (19)	-244 (19)	39 (15)
55	5	-3.16 (15)	-1.17 (15)	-0.57 (19)	781 (15)	162 (15)	126 (15)
55	6	-2.79 (15)	-0.89 (15)	-0.56 (19)	348 (15)	85 (15)	207 (15)
55	7	-1.85 (15)	-1.14 (15)	-0.75 (15)	296 (19)	258 (15)	210 (15)
55	8	-1.96 (15)	-1.11 (15)	-0.83 (15)	246 (15)	353 (15)	172 (14)
55	9	-2.53 (15)	-1.21 (15)	-0.72 (15)	605 (15)	333 (15)	175 (15)
56	1	-1.28 (15)	-0.57 (21-I-1)	0.63 (19)	168 (19)	163 (21-I-1)	74 (14)
56	2	-1.69 (15)	-0.42 (15)	0.52 (19)	318 (19)	111 (14)	154 (21-I-1)
56	3	-1.73 (15)	0.28 (19)	-0.26 (21-I-1)	312 (19)	-37 (19)	177 (15)
56	4	-1.37 (15)	0.36 (19)	0.17 (15)	117 (19)	-221 (15)	126 (15)
56	5	-1.50 (15)	-0.59 (21-I-1)	0.84 (19)	215 (15)	252 (21-I-1)	43 (14)
56	6	-1.79 (15)	-0.50 (21-I-1)	0.43 (19)	171 (15)	216 (15)	144 (21-I-1)
56	7	-1.81 (15)	-0.30 (14)	-0.43 (21-I-1)	182 (15)	-113 (19)	175 (21-I-1)
56	8	-1.59 (15)	0.26 (19)	-0.28 (19)	174 (15)	-323 (15)	-143 (19)
56	9	-1.70 (15)	-0.71 (15)	0.84 (19)	392 (15)	308 (21-I-1)	-70 (15)
56	10	-1.87 (15)	-0.78 (15)	-0.44 (21-I-1)	-520 (19)	304 (15)	138 (21-I-1)
56	11	-1.82 (15)	-0.75 (15)	-0.63 (21-I-1)	-529 (19)	-161 (19)	186 (21-I-1)
56	12	-1.98 (15)	-0.19 (14)	-0.41 (21-I-1)	391 (15)	-261 (15)	-147 (19)
56	13	-1.78 (15)	-1.48 (15)	0.61 (19)	-680 (19)	422 (15)	-69 (15)
56	14	1.90 (19)	-1.14 (15)	-0.53 (21-I-1)	-1058 (19)	361 (15)	-64 (15)
56	15	-1.78 (15)	-1.01 (15)	-0.55 (21-I-1)	-1029 (19)	-274 (19)	-66 (19)
56	16	-2.51 (15)	1.66 (19)	-1.08 (15)	-940 (19)	-436 (19)	-220 (19)
57	1	-1.51 (15)	-0.34 (19)	0.30 (15)	639 (15)	175 (15)	100 (15)
57	2	-0.20 (19)	-0.59 (19)	-0.15 (19)	848 (15)	220 (19)	85 (15)
57	3	0.56 (15)	-0.81 (19)	-0.17 (15)	965 (15)	243 (19)	64 (15)
57	4	0.67 (15)	-0.87 (19)	-0.20 (15)	997 (15)	259 (19)	52 (15)
57	5	-1.50 (15)	-0.46 (19)	0.75 (15)	680 (15)	161 (15)	200 (19)
57	6	0.46 (15)	-0.81 (19)	-0.25 (15)	829 (15)	167 (19)	90 (19)
57	7	0.65 (15)	-0.87 (19)	-0.23 (15)	967 (15)	175 (19)	37 (19)
57	8	0.65 (15)	-0.89 (19)	-0.23 (15)	997 (15)	184 (19)	-25 (15)
58	1	-0.35 (15)	-0.34 (14)	-0.36 (15)	531 (15)	130 (15)	-185 (19)
58	2	-0.13 (15)	-0.40 (19)	-0.32 (15)	567 (15)	146 (19)	-120 (19)
58	3	0.67 (15)	-0.79 (19)	-0.20 (15)	879 (15)	247 (19)	-69 (19)
58	4	0.67 (15)	-0.82 (19)	-0.18 (15)	940 (15)	187 (19)	-100 (19)
58	5	0.41 (15)	-0.72 (19)	-0.20 (15)	831 (15)	161 (19)	-140 (19)
58	6	0.61 (15)	-0.65 (19)	-0.19 (19)	711 (15)	166 (19)	-130 (19)
58	7	-1.09 (15)	-0.28 (19)	0.40 (21-I-4)	457 (15)	221 (19)	-217 (15)
58	8	-0.75 (15)	-0.38 (14)	-0.38 (15)	420 (15)	200 (15)	-262 (15)
59	1	-1.96 (15)	-0.65 (19)	-0.44 (19)	308 (21-I-1)	-158 (15)	111 (19)
59	2	-1.79 (15)	-0.89 (19)	-0.27 (19)	293 (21-I-1)	226 (19)	73 (15)
59	3	-2.81 (15)	-0.28 (15)	-0.14 (15)	732 (15)	-22 (19)	-55 (21-II-2)
59	4	-2.58 (15)	-0.48 (14)	0.37 (21-II-2)	710 (15)	176 (15)	-45 (21-I-2)
60	1	-2.59 (15)	-0.36 (15)	0.72 (15)	776 (15)	-32 (19)	-80 (21-II-2)
60	2	-2.30 (15)	-0.59 (15)	0.34 (21-I-2)	771 (15)	262 (15)	-237 (21-II-2)
60	3	-1.15 (15)	-0.59 (19)	0.85 (21-I-2)	-128 (21-I-1)	-271 (15)	-249 (21-II-2)
60	4	-1.15 (15)	-0.85 (19)	0.43 (21-II-4)	-81 (21-I-1)	242 (19)	-246 (15)
61	1	-0.69 (19)	-0.16 (19)	0.40 (15)	-28 (21-I-4)	11 (14)	-19 (14)

**POTENZIAMENTO DELL'IMPIANTO DI DEPURAZIONE E
DEL RECAPITO FINALE DI SQUINZANO (LE)
PROGETTO DEFINITIVO
Tabulati di calcolo strutturale-Filtrazione**

R.37.9

Maggio 2021

Pagina 123 di
364

Muro	Pann.	Sxx	Syy	Sxy	Mxx	Myy	Mxy
61	2	-0.64 (21-I-1)	-0.10 (21-II-3)	0.53 (15)	30 (19)	-3 (20-II-3)	6 (20-I-3)
61	3	-0.66 (14)	-0.08 (14)	0.49 (15)	21 (19)	-5 (21-I-2)	-8 (19)
61	4	-0.60 (14)	-0.09 (14)	0.35 (15)	-36 (15)	4 (19)	-13 (13)
61	5	-0.76 (19)	-0.23 (15)	0.36 (14)	-22 (21-I-4)	31 (15)	-19 (14)
61	6	-0.61 (21-I-1)	-0.13 (20-I-2)	0.49 (15)	-23 (21-I-1)	-8 (19)	6 (20-I-3)
61	7	-0.58 (13)	-0.06 (13)	0.47 (15)	-24 (21-I-2)	-14 (21-I-2)	-11 (19)
61	8	-0.48 (14)	-0.05 (13)	0.35 (15)	-29 (15)	10 (19)	-19 (13)
61	9	-0.79 (19)	-0.25 (15)	0.32 (14)	-17 (21-I-4)	46 (15)	-19 (14)
61	10	-0.59 (21-I-1)	-0.14 (20-I-2)	0.43 (15)	-24 (21-I-1)	-16 (19)	4 (20-I-3)
61	11	-0.53 (13)	-0.06 (13)	0.44 (15)	-27 (21-I-1)	-21 (21-I-2)	-13 (19)
61	12	-0.40 (13)	0.08 (19)	0.34 (15)	-23 (21-I-2)	17 (19)	-22 (14)
61	13	-0.80 (19)	-0.23 (15)	0.28 (14)	-13 (19)	57 (15)	-19 (14)
61	14	-0.58 (14)	-0.15 (21-II-3)	0.37 (15)	-20 (21-I-4)	-22 (19)	-4 (14)
61	15	-0.50 (21-II-2)	-0.07 (21-II-3)	0.39 (15)	-22 (21-I-1)	-26 (13)	-13 (19)
61	16	-0.35 (21-II-2)	0.11 (19)	0.32 (15)	-18 (21-I-2)	23 (19)	-22 (14)
62	1	-0.65 (21-I-3)	-0.22 (15)	-0.41 (15)	-42 (15)	9 (19)	-5 (20-II-2)
62	2	-0.47 (21-I-1)	-0.07 (15)	-0.30 (15)	26 (19)	9 (19)	6 (19)
62	3	-0.37 (21-I-4)	0.01 (15)	-0.33 (15)	-29 (15)	-6 (15)	17 (19)
62	4	0.27 (15)	0.09 (15)	-0.42 (15)	-19 (15)	-18 (15)	14 (21-I-3)
62	5	-0.65 (21-I-3)	-0.33 (15)	-0.52 (15)	23 (19)	22 (19)	19 (15)
62	6	-0.43 (21-I-4)	-0.13 (15)	-0.39 (15)	29 (19)	20 (19)	-4 (20-II-3)
62	7	-0.32 (21-I-4)	0.06 (19)	-0.40 (15)	20 (19)	10 (21-II-2)	14 (19)
62	8	0.30 (15)	0.11 (15)	-0.43 (15)	14 (21-I-4)	-44 (15)	21 (21-I-2)
62	9	-0.63 (21-I-3)	-0.31 (15)	-0.61 (15)	22 (19)	32 (19)	28 (15)
62	10	-0.42 (21-I-4)	-0.14 (15)	-0.50 (15)	29 (19)	29 (19)	-3 (15)
62	11	-0.28 (21-I-4)	0.07 (19)	-0.47 (15)	23 (21-I-4)	15 (21-II-2)	11 (19)
62	12	0.30 (15)	0.11 (15)	-0.45 (15)	16 (21-I-4)	-66 (15)	23 (21-I-2)
62	13	-0.62 (14)	-0.25 (15)	-0.67 (15)	20 (19)	41 (19)	35 (15)
62	14	-0.42 (21-I-4)	-0.10 (15)	-0.59 (15)	27 (19)	37 (19)	-4 (15)
62	15	-0.27 (21-I-4)	0.09 (19)	-0.53 (15)	22 (20-I-1)	19 (21-II-2)	8 (20-I-3)
62	16	0.29 (15)	0.11 (19)	-0.48 (15)	15 (21-I-4)	-84 (15)	24 (21-I-2)
63	1	-0.57 (21-I-2)	-0.03 (21-I-2)	-0.43 (15)	82 (21-I-2)	12 (21-I-2)	-43 (15)
63	2	-0.78 (21-I-1)	-0.04 (21-I-4)	-0.40 (15)	54 (21-II-3)	5 (20-I-2)	-25 (15)
63	3	-0.71 (21-I-1)	-0.02 (21-I-4)	-0.42 (15)	-44 (14)	4 (21-II-3)	-14 (13)
63	4	-0.30 (21-I-4)	0.05 (15)	-0.37 (15)	-51 (14)	-5 (14)	-14 (13)
63	5	-0.56 (21-I-2)	0.10 (19)	-0.42 (15)	59 (21-I-2)	14 (15)	-54 (15)
63	6	-0.71 (21-I-1)	0.09 (19)	-0.41 (15)	49 (21-II-3)	15 (15)	-32 (15)
63	7	-0.66 (21-I-1)	0.10 (15)	-0.44 (15)	36 (21-I-2)	12 (15)	-20 (21-II-2)
63	8	-0.31 (21-I-4)	0.10 (15)	-0.37 (15)	19 (21-I-2)	8 (21-II-2)	-20 (13)
63	9	-0.52 (21-I-2)	0.16 (19)	-0.41 (15)	45 (15)	12 (15)	-57 (15)
63	10	-0.66 (21-I-1)	0.15 (19)	-0.42 (15)	39 (21-II-3)	26 (15)	-37 (15)
63	11	-0.61 (21-I-1)	0.15 (14)	-0.44 (15)	32 (21-II-3)	24 (15)	-24 (21-II-2)
63	12	-0.34 (21-I-4)	0.12 (15)	-0.37 (15)	21 (21-I-2)	12 (21-II-2)	-24 (21-I-2)
63	13	-0.48 (21-II-2)	0.19 (19)	-0.40 (15)	44 (15)	-8 (13)	-56 (15)
63	14	-0.61 (21-I-1)	0.20 (14)	-0.42 (15)	43 (15)	36 (15)	-38 (15)
63	15	-0.57 (21-I-1)	0.18 (14)	-0.43 (15)	38 (19)	35 (15)	-27 (21-II-2)
63	16	-0.35 (21-I-4)	0.13 (19)	-0.36 (15)	26 (19)	16 (21-II-2)	-27 (21-I-2)
64	1	0.21 (15)	0.54 (15)	-0.41 (19)	-65 (15)	-174 (15)	-45 (21-I-4)
64	2	-0.39 (19)	-0.24 (19)	-0.68 (19)	105 (19)	82 (19)	80 (19)
64	3	-0.57 (19)	-0.35 (19)	-0.63 (15)	210 (19)	129 (19)	129 (19)
64	4	-0.59 (15)	-0.71 (15)	-0.64 (15)	148 (19)	230 (15)	64 (19)
64	5	0.34 (15)	0.28 (15)	-0.33 (19)	-75 (15)	-173 (15)	82 (19)
64	6	-0.36 (19)	-0.25 (19)	-0.57 (19)	97 (19)	110 (19)	157 (19)
64	7	-0.68 (19)	-0.36 (19)	-0.55 (19)	149 (19)	167 (19)	164 (19)
64	8	-0.57 (15)	-0.62 (15)	-0.54 (15)	140 (15)	304 (15)	90 (15)
64	9	0.41 (15)	0.31 (15)	-0.24 (19)	-94 (15)	-137 (15)	86 (19)
64	10	-0.26 (19)	-0.32 (19)	-0.44 (19)	62 (19)	102 (19)	158 (19)
64	11	-0.71 (19)	-0.58 (19)	-0.55 (19)	128 (19)	196 (19)	157 (19)
64	12	-0.55 (15)	-0.65 (14)	-0.38 (15)	145 (15)	295 (15)	73 (15)
64	13	0.41 (15)	0.52 (15)	-0.20 (15)	-81 (15)	-122 (15)	67 (15)
64	14	-0.23 (19)	-0.28 (19)	-0.20 (19)	-18 (15)	68 (19)	99 (21-I-4)
64	15	-0.70 (19)	-1.00 (19)	-0.46 (19)	85 (19)	223 (19)	132 (21-I-4)
64	16	-0.60 (15)	-1.61 (19)	-0.35 (19)	110 (15)	280 (19)	48 (15)
65	1	-0.07 (19)	-0.13 (14)	0.09 (19)	-62 (13)	-17 (19)	-53 (19)
65	2	-0.18 (14)	-0.14 (14)	0.23 (19)	-127 (21-II-2)	11 (19)	-92 (19)
65	3	-0.29 (19)	-0.21 (19)	0.30 (19)	-191 (21-I-4)	31 (19)	-77 (19)
65	4	-0.27 (14)	-0.38 (19)	0.36 (19)	-156 (21-I-4)	51 (14)	-30 (19)
65	5	-0.17 (19)	-0.13 (14)	0.17 (19)	15 (19)	-67 (19)	-106 (19)
65	6	-0.24 (19)	-0.15 (19)	0.29 (19)	32 (19)	48 (19)	-194 (19)
65	7	-0.36 (19)	-0.22 (19)	0.39 (19)	59 (15)	89 (19)	-186 (19)
65	8	-0.45 (19)	-0.36 (19)	0.59 (19)	86 (14)	92 (14)	-69 (19)
65	9	-0.34 (19)	-0.11 (14)	0.22 (19)	63 (19)	-159 (19)	-97 (19)
65	10	-0.32 (19)	-0.15 (19)	0.36 (19)	124 (19)	53 (19)	-170 (19)
65	11	-0.46 (19)	-0.26 (19)	0.46 (19)	181 (19)	122 (19)	-163 (19)

**POTENZIAMENTO DELL'IMPIANTO DI DEPURAZIONE E
DEL RECAPITO FINALE DI SQUINZANO (LE)
PROGETTO DEFINITIVO
Tabulati di calcolo strutturale-Filtrazione**

R.37.9

Maggio 2021

Pagina 124 di
364

Muro	Pann.	Sxx	Syy	Sxy	Mxx	Myy	Mxy
65	12	-0.67 (19)	-0.27 (19)	0.61 (19)	198 (19)	167 (19)	-65 (19)
65	13	-0.53 (19)	0.32 (15)	0.27 (19)	118 (19)	-151 (19)	55 (15)
65	14	-0.43 (19)	-0.09 (19)	0.50 (19)	176 (19)	39 (19)	51 (14)
65	15	-0.50 (19)	-0.31 (19)	0.56 (19)	286 (19)	121 (19)	-45 (19)
65	16	-0.79 (19)	-0.38 (19)	0.50 (19)	283 (19)	162 (19)	38 (21-II-2)
66	1	-0.44 (19)	0.40 (15)	-0.24 (14)	47 (19)	-336 (19)	-54 (19)
66	2	-0.72 (19)	0.19 (15)	-0.35 (14)	124 (19)	-76 (15)	-125 (19)
66	3	-0.93 (19)	-0.18 (19)	-0.31 (14)	190 (19)	148 (19)	-121 (19)
66	4	-1.16 (19)	-0.19 (19)	-0.24 (14)	256 (19)	255 (19)	-56 (19)
66	5	-0.52 (19)	0.20 (15)	-0.19 (14)	40 (19)	-545 (19)	22 (14)
66	6	-0.70 (19)	0.15 (15)	-0.20 (14)	164 (19)	-130 (15)	29 (19)
66	7	-0.96 (19)	0.14 (15)	-0.24 (14)	273 (19)	224 (19)	33 (14)
66	8	-1.22 (19)	0.15 (15)	-0.27 (14)	336 (19)	403 (19)	58 (14)
66	9	-0.54 (19)	0.18 (15)	-0.18 (19)	47 (19)	-499 (15)	56 (19)
66	10	-0.67 (19)	0.12 (15)	-0.20 (19)	153 (19)	-140 (15)	108 (19)
66	11	-0.86 (19)	0.10 (15)	-0.26 (14)	243 (19)	227 (19)	124 (19)
66	12	-1.08 (19)	0.10 (15)	-0.37 (19)	291 (19)	402 (15)	79 (14)
66	13	-0.41 (19)	0.38 (15)	0.14 (21-I-4)	52 (19)	-328 (15)	93 (19)
66	14	-0.60 (19)	-0.17 (19)	-0.21 (19)	91 (19)	-89 (15)	199 (19)
66	15	-0.81 (19)	-0.23 (19)	-0.28 (19)	117 (15)	147 (19)	194 (19)
66	16	-0.71 (19)	-0.34 (21-I-1)	-0.32 (19)	177 (15)	299 (15)	119 (15)
67	1	-0.10 (19)	-0.09 (14)	-0.05 (13)	-54 (14)	-32 (21-I-3)	-43 (21-I-1)
67	2	-0.19 (19)	0.04 (20-I-2)	-0.02 (13)	-90 (14)	36 (14)	-21 (21-II-2)
67	3	-0.20 (19)	0.16 (15)	-0.03 (13)	-92 (14)	-25 (15)	43 (15)
67	4	-0.24 (19)	0.33 (15)	0.06 (19)	-43 (21-II-2)	-158 (15)	58 (14)
67	5	-0.19 (19)	-0.07 (14)	-0.11 (14)	57 (14)	-87 (21-I-3)	-41 (14)
67	6	-0.19 (19)	-0.04 (19)	-0.09 (14)	107 (14)	115 (14)	-19 (20-II-3)
67	7	-0.23 (19)	0.04 (15)	-0.09 (14)	113 (14)	92 (21-I-3)	29 (14)
67	8	-0.33 (19)	0.07 (15)	-0.06 (15)	81 (19)	-153 (15)	67 (14)
67	9	-0.20 (19)	-0.08 (19)	-0.13 (14)	62 (14)	-106 (21-I-3)	18 (15)
67	10	-0.20 (19)	-0.07 (19)	-0.13 (14)	123 (14)	127 (14)	37 (15)
67	11	-0.27 (19)	-0.05 (19)	-0.08 (14)	132 (14)	103 (21-I-3)	24 (15)
67	12	-0.38 (19)	0.05 (15)	-0.07 (19)	97 (19)	-153 (15)	27 (19)
67	13	-0.08 (19)	0.09 (15)	-0.15 (15)	16 (19)	-71 (21-II-2)	52 (14)
67	14	-0.26 (21-I-4)	0.07 (15)	-0.16 (15)	51 (14)	65 (14)	48 (13)
67	15	-0.33 (21-I-4)	0.12 (15)	-0.13 (15)	61 (19)	45 (21-I-3)	-8 (21-I-2)
67	16	-0.36 (19)	0.24 (15)	-0.09 (19)	67 (19)	-136 (15)	-47 (20-II-3)
68	1	-0.93 (15)	-0.09 (15)	-0.72 (15)	292 (15)	48 (15)	-53 (15)
68	2	-0.58 (21-I-4)	-0.05 (15)	-0.47 (15)	225 (15)	46 (15)	-23 (19)
68	3	-0.73 (21-I-4)	-0.03 (14)	-0.41 (20-II-2)	202 (15)	30 (15)	-22 (19)
68	4	-0.97 (19)	0.03 (15)	-0.40 (20-II-2)	149 (15)	4 (15)	-26 (19)
68	5	-0.69 (15)	0.13 (19)	-0.51 (15)	166 (15)	42 (15)	-66 (15)
68	6	-0.69 (15)	0.09 (19)	-0.53 (15)	148 (15)	54 (15)	-28 (19)
68	7	-0.76 (15)	0.11 (19)	-0.43 (20-II-2)	125 (15)	27 (15)	-30 (19)
68	8	-0.93 (19)	0.12 (19)	-0.40 (20-II-3)	87 (15)	-26 (15)	-44 (15)
68	9	-0.59 (15)	0.24 (19)	-0.48 (15)	98 (15)	-30 (19)	-71 (15)
68	10	-0.69 (15)	0.22 (19)	-0.48 (15)	86 (15)	41 (15)	-30 (15)
68	11	-0.79 (15)	0.22 (19)	-0.47 (15)	73 (15)	22 (19)	-37 (19)
68	12	-0.90 (15)	0.23 (19)	-0.44 (15)	51 (15)	-36 (15)	-63 (15)
68	13	-0.58 (15)	0.30 (19)	-0.47 (15)	62 (15)	-54 (19)	-78 (15)
68	14	-0.66 (15)	0.31 (19)	-0.48 (15)	49 (15)	22 (20-II-2)	-32 (15)
68	15	-0.75 (15)	0.31 (19)	-0.48 (15)	44 (15)	24 (19)	-39 (19)
68	16	-0.87 (15)	0.31 (19)	-0.49 (15)	32 (15)	-35 (21-II-3)	-71 (15)
69	1	-1.16 (19)	-0.08 (20-I-2)	-0.25 (13)	71 (19)	12 (19)	-57 (15)
69	2	-0.80 (19)	-0.04 (20-I-3)	-0.28 (14)	71 (19)	17 (19)	-36 (15)
69	3	-0.35 (19)	0.00 (21-I-3)	-0.24 (14)	62 (19)	12 (21-I-2)	-27 (15)
69	4	0.11 (14)	0.05 (19)	-0.16 (14)	80 (19)	-14 (14)	-31 (15)
69	5	-1.10 (19)	0.06 (19)	-0.29 (13)	59 (19)	16 (19)	-50 (15)
69	6	-0.76 (19)	0.08 (19)	-0.29 (14)	75 (19)	32 (19)	-41 (15)
69	7	-0.36 (19)	0.08 (19)	-0.26 (14)	72 (19)	30 (21-II-3)	-35 (15)
69	8	0.07 (21-I-4)	0.11 (19)	-0.17 (14)	62 (19)	-59 (19)	-34 (15)
69	9	-1.03 (19)	0.15 (19)	-0.31 (13)	48 (19)	-24 (21-II-3)	-44 (15)
69	10	-0.72 (19)	0.16 (19)	-0.30 (13)	65 (19)	38 (19)	-41 (15)
69	11	-0.36 (19)	0.15 (19)	-0.26 (14)	61 (19)	44 (20-I-1)	-41 (15)
69	12	-0.02 (19)	0.15 (19)	-0.17 (14)	45 (19)	-95 (19)	-40 (15)
69	13	-0.97 (19)	0.23 (19)	-0.32 (13)	39 (19)	-33 (21-II-3)	-38 (15)
69	14	-0.68 (19)	0.21 (19)	-0.30 (13)	52 (19)	39 (19)	-39 (15)
69	15	-0.36 (19)	0.20 (19)	-0.26 (13)	46 (19)	54 (20-I-1)	-45 (15)
69	16	-0.07 (21-II-2)	0.19 (19)	-0.17 (14)	32 (20-I-3)	-123 (19)	-45 (15)
70	1	-1.34 (19)	-0.10 (15)	0.30 (19)	108 (15)	14 (15)	-12 (15)
70	2	-1.63 (19)	-0.11 (15)	0.17 (19)	77 (15)	10 (15)	-20 (15)
70	3	-1.65 (19)	-0.11 (19)	-0.21 (21-I-4)	34 (15)	4 (19)	-22 (14)
70	4	-1.44 (19)	-0.07 (19)	-0.26 (21-I-4)	47 (19)	4 (19)	-30 (14)
70	5	-1.27 (19)	0.11 (19)	0.31 (19)	73 (15)	11 (19)	-11 (19)

Muro	Pann.	Sxx	Syy	Sxy	Mxx	Myy	Mxy
70	6	-1.55 (19)	0.08 (19)	0.18 (19)	61 (15)	9 (15)	-28 (15)
70	7	-1.57 (19)	0.07 (19)	-0.21 (21-I-4)	37 (15)	6 (19)	-27 (15)
70	8	-1.36 (19)	0.10 (19)	-0.28 (21-I-4)	37 (19)	-2 (21-II-3)	-25 (15)
70	9	-1.20 (19)	0.25 (19)	0.32 (19)	50 (15)	13 (19)	-11 (19)
70	10	-1.46 (19)	0.23 (19)	0.18 (19)	48 (15)	8 (19)	-33 (15)
70	11	-1.48 (19)	0.22 (19)	-0.22 (21-I-4)	35 (15)	8 (19)	-32 (15)
70	12	-1.29 (19)	0.24 (19)	-0.30 (21-I-4)	31 (19)	-5 (21-II-3)	-24 (15)
70	13	-1.13 (19)	0.36 (19)	0.33 (19)	35 (15)	14 (19)	-11 (19)
70	14	-1.37 (19)	0.34 (19)	0.19 (19)	38 (15)	11 (19)	-35 (15)
70	15	-1.39 (19)	0.33 (19)	-0.22 (21-I-4)	32 (15)	11 (19)	-35 (15)
70	16	-1.22 (19)	0.33 (19)	-0.31 (21-I-4)	27 (19)	7 (19)	-24 (15)
71	1	-0.94 (19)	-0.06 (21-II-2)	-0.21 (19)	-207 (20-II-2)	-27 (20-II-2)	-73 (19)
71	2	-0.65 (19)	-0.04 (21-II-2)	-0.21 (19)	-143 (21-I-2)	-20 (20-II-2)	-78 (19)
71	3	-0.40 (13)	0.06 (19)	-0.17 (19)	-87 (21-I-4)	-15 (21-I-4)	-73 (19)
71	4	0.27 (19)	0.15 (19)	0.16 (14)	-60 (21-I-4)	-9 (21-II-3)	-54 (15)
71	5	-0.87 (19)	0.11 (19)	-0.22 (19)	-180 (20-II-2)	-26 (20-II-2)	-85 (19)
71	6	-0.62 (19)	0.15 (19)	-0.24 (19)	-131 (20-II-2)	-24 (20-II-1)	-90 (19)
71	7	-0.39 (21-II-2)	0.22 (19)	-0.21 (19)	-85 (21-I-4)	-24 (21-I-2)	-86 (19)
71	8	0.26 (19)	0.30 (19)	-0.15 (19)	-55 (21-I-4)	31 (19)	-65 (15)
71	9	-0.81 (19)	0.21 (19)	-0.25 (19)	-151 (20-II-2)	-25 (20-I-1)	-95 (19)
71	10	-0.59 (19)	0.26 (19)	-0.27 (19)	-113 (20-II-2)	-28 (21-I-2)	-100 (19)
71	11	-0.38 (21-II-2)	0.32 (19)	-0.26 (19)	-75 (21-I-4)	-33 (21-I-2)	-92 (19)
71	12	0.22 (19)	0.38 (19)	-0.17 (19)	-49 (21-I-4)	60 (19)	-71 (15)
71	13	-0.76 (19)	0.28 (19)	-0.28 (19)	-120 (20-II-2)	-34 (15)	-101 (19)
71	14	-0.55 (19)	0.33 (19)	-0.30 (19)	-91 (20-II-2)	-32 (21-I-2)	-103 (19)
71	15	-0.37 (21-II-2)	0.37 (19)	-0.29 (19)	-61 (20-II-2)	-43 (21-I-2)	-96 (15)
71	16	0.17 (19)	0.40 (19)	-0.20 (19)	-41 (21-I-4)	92 (19)	-74 (15)
72	1	-2.99 (15)	-0.30 (14)	-2.52 (15)	-427 (19)	-235 (19)	319 (19)
72	2	-0.70 (15)	-0.07 (15)	-1.24 (15)	113 (15)	-42 (19)	171 (19)
72	3	-0.25 (19)	0.07 (15)	-0.95 (15)	26 (21-II-4)	-21 (19)	108 (19)
72	4	0.85 (15)	0.25 (15)	-0.75 (15)	27 (19)	-34 (19)	41 (19)
72	5	-3.00 (15)	0.36 (15)	-1.82 (15)	-143 (15)	-247 (19)	129 (14)
72	6	-0.91 (15)	-0.20 (21-I-4)	-1.48 (15)	43 (19)	-94 (19)	181 (19)
72	7	-0.31 (21-I-4)	0.23 (19)	-1.06 (15)	33 (21-II-4)	-58 (19)	112 (19)
72	8	0.68 (15)	0.26 (15)	-0.76 (15)	22 (19)	-101 (19)	41 (19)
72	9	-2.66 (15)	0.57 (15)	-1.43 (15)	-222 (15)	-117 (14)	185 (15)
72	10	-1.14 (15)	0.16 (15)	-1.47 (15)	127 (19)	-112 (19)	122 (19)
72	11	-0.37 (21-I-4)	0.28 (19)	-1.16 (15)	56 (19)	-89 (19)	103 (19)
72	12	0.42 (15)	0.28 (19)	-0.79 (15)	23 (21-II-4)	-158 (19)	54 (15)
72	13	-2.31 (15)	0.69 (15)	-1.17 (15)	244 (19)	-97 (15)	210 (15)
72	14	-1.23 (15)	0.36 (15)	-1.37 (15)	160 (19)	-83 (19)	125 (15)
72	15	-0.47 (15)	0.29 (19)	-1.17 (15)	73 (19)	-115 (19)	87 (14)
72	16	0.23 (19)	0.30 (19)	-0.81 (15)	20 (19)	-206 (19)	69 (15)
73	1	-0.57 (19)	0.30 (19)	0.43 (19)	74 (15)	77 (15)	-53 (15)
73	2	-0.63 (19)	0.30 (19)	0.45 (19)	82 (15)	90 (15)	-33 (15)
73	3	-0.65 (19)	0.31 (19)	0.47 (19)	83 (15)	93 (15)	-18 (21-II-4)
73	4	-0.66 (19)	0.32 (19)	0.51 (19)	78 (15)	85 (15)	-24 (14)
73	5	-0.55 (19)	0.32 (19)	0.43 (19)	97 (15)	92 (15)	-46 (15)
73	6	-0.61 (19)	0.34 (19)	0.44 (19)	110 (15)	110 (15)	-30 (15)
73	7	-0.64 (19)	0.35 (19)	0.47 (19)	114 (15)	114 (15)	-20 (21-II-4)
73	8	-0.65 (19)	0.37 (19)	0.49 (19)	109 (15)	105 (15)	-23 (14)
73	9	-0.53 (19)	0.34 (19)	0.41 (19)	107 (15)	102 (15)	-36 (15)
73	10	-0.58 (19)	0.36 (19)	0.43 (19)	123 (15)	124 (15)	-29 (21-II-4)
73	11	-0.62 (19)	0.39 (19)	0.45 (19)	128 (15)	129 (15)	-21 (21-II-4)
73	12	-0.64 (19)	0.42 (19)	0.48 (19)	123 (15)	119 (15)	-21 (14)
73	13	-0.51 (19)	0.35 (19)	0.39 (19)	106 (15)	108 (15)	-40 (21-II-4)
73	14	-0.56 (19)	0.38 (19)	0.41 (19)	123 (15)	133 (15)	-32 (21-II-4)
73	15	-0.60 (19)	0.41 (19)	0.43 (19)	129 (15)	139 (15)	-21 (21-II-4)
73	16	-0.62 (19)	0.45 (19)	0.45 (19)	125 (15)	129 (15)	-19 (14)
74	1	-0.31 (19)	-0.55 (15)	0.71 (15)	23 (15)	-111 (19)	-67 (15)
74	2	-0.54 (19)	0.54 (14)	0.93 (15)	23 (15)	-65 (14)	-12 (15)
74	3	-0.75 (19)	0.55 (14)	1.00 (15)	28 (15)	-35 (14)	-10 (19)
74	4	-1.00 (21-II-4)	0.55 (14)	0.96 (15)	33 (15)	25 (15)	-18 (19)
74	5	-0.38 (19)	-0.69 (15)	0.67 (15)	19 (15)	-120 (19)	-66 (15)
74	6	-0.56 (19)	-0.60 (15)	0.84 (15)	21 (15)	-75 (14)	-9 (15)
74	7	-0.74 (19)	0.59 (14)	0.91 (15)	24 (15)	-43 (14)	10 (20-I-4)
74	8	-0.93 (21-II-4)	0.60 (14)	0.89 (15)	26 (15)	29 (15)	16 (21-II-4)
74	9	-0.46 (15)	-0.78 (15)	0.63 (15)	-21 (19)	-126 (19)	-63 (15)
74	10	-0.58 (19)	-0.68 (15)	0.75 (15)	-25 (19)	-83 (14)	-7 (15)
74	11	-0.73 (19)	0.62 (14)	0.82 (15)	-21 (19)	-50 (14)	11 (20-I-4)
74	12	-0.87 (21-II-4)	0.63 (14)	0.81 (15)	20 (15)	32 (15)	17 (21-II-4)
74	13	-0.54 (15)	-0.79 (15)	0.57 (15)	-22 (19)	-130 (19)	-59 (15)
74	14	-0.60 (19)	-0.73 (15)	0.67 (15)	-28 (19)	-89 (14)	-6 (20-II-4)
74	15	-0.71 (19)	0.64 (14)	0.72 (15)	-25 (19)	-56 (14)	10 (20-I-4)

**POTENZIAMENTO DELL'IMPIANTO DI DEPURAZIONE E
DEL RECAPITO FINALE DI SQUINZANO (LE)
PROGETTO DEFINITIVO
Tabulati di calcolo strutturale-Filtrazione**

R.37.9

Maggio 2021

Pagina 126 di
364

Muro	Pann.	Sxx	Syy	Sxy	Mxx	Myy	Mxy
74	16	-0.82 (19)	0.65 (14)	0.73 (15)	-20 (19)	35 (21-II-4)	17 (21-II-4)
75	1	-1.26 (20-I-4)	0.52 (14)	0.83 (15)	37 (15)	28 (21-II-4)	-22 (19)
75	2	-1.44 (14)	0.46 (14)	0.63 (15)	35 (15)	29 (15)	-22 (19)
75	3	-1.52 (14)	0.39 (14)	0.43 (15)	25 (15)	28 (14)	-18 (19)
75	4	-1.54 (14)	0.32 (14)	0.27 (15)	13 (14)	-46 (15)	-16 (19)
75	5	-1.16 (20-I-4)	0.58 (14)	0.79 (15)	25 (15)	30 (21-II-4)	20 (21-II-4)
75	6	-1.35 (14)	0.53 (14)	0.62 (15)	19 (15)	26 (15)	-22 (19)
75	7	-1.45 (14)	0.47 (14)	0.44 (15)	10 (14)	28 (19)	-19 (19)
75	8	-1.49 (14)	0.42 (14)	0.29 (14)	7 (14)	-48 (15)	-16 (19)
75	9	-1.07 (14)	0.62 (14)	0.74 (15)	16 (15)	30 (21-II-4)	21 (21-II-4)
75	10	-1.26 (14)	0.58 (14)	0.60 (15)	9 (15)	22 (15)	-21 (19)
75	11	-1.37 (14)	0.53 (14)	0.43 (15)	5 (14)	30 (19)	-19 (19)
75	12	-1.42 (14)	0.49 (14)	0.31 (14)	-10 (15)	-47 (15)	-16 (19)
75	13	-0.99 (14)	0.64 (14)	0.68 (15)	-13 (19)	31 (21-II-4)	20 (21-II-4)
75	14	-1.17 (14)	0.62 (14)	0.56 (15)	-6 (19)	19 (19)	-19 (19)
75	15	-1.28 (14)	0.58 (14)	0.41 (15)	-7 (20-I-4)	33 (19)	-17 (19)
75	16	-1.35 (14)	0.55 (14)	0.32 (14)	-13 (15)	-45 (21-I-4)	-15 (19)
76	1	-0.65 (19)	0.34 (19)	0.56 (19)	-71 (21-I-4)	65 (15)	-36 (14)
76	2	-0.63 (19)	-0.40 (15)	0.63 (19)	-63 (21-I-4)	24 (15)	47 (15)
76	3	-0.61 (19)	-0.48 (15)	0.74 (19)	-51 (21-I-4)	54 (14)	42 (15)
76	4	-0.62 (19)	-0.57 (15)	0.87 (19)	-44 (21-I-4)	-179 (15)	-21 (21-II-4)
76	5	-0.66 (19)	0.40 (19)	0.54 (19)	94 (15)	80 (15)	-33 (14)
76	6	-0.65 (19)	0.44 (19)	0.61 (19)	68 (15)	29 (15)	37 (15)
76	7	-0.64 (19)	-0.51 (15)	0.70 (19)	-43 (21-I-4)	68 (14)	31 (15)
76	8	-0.66 (19)	-0.60 (15)	0.80 (19)	-36 (21-I-4)	-216 (15)	-24 (15)
76	9	-0.65 (19)	0.45 (19)	0.52 (19)	107 (15)	90 (15)	-29 (14)
76	10	-0.65 (19)	0.51 (19)	0.57 (19)	78 (15)	32 (15)	-30 (14)
76	11	-0.66 (19)	0.59 (19)	0.65 (19)	40 (15)	79 (14)	-21 (19)
76	12	-0.69 (19)	0.69 (19)	0.73 (19)	-30 (21-I-4)	-245 (15)	-27 (15)
76	13	-0.64 (19)	0.49 (19)	0.48 (19)	108 (15)	97 (15)	-24 (14)
76	14	-0.65 (19)	0.56 (19)	0.53 (19)	79 (15)	32 (15)	-24 (14)
76	15	-0.67 (19)	0.65 (19)	0.59 (19)	41 (15)	89 (14)	18 (21-I-4)
76	16	-0.71 (19)	0.78 (19)	0.67 (19)	-23 (21-I-4)	-265 (15)	-31 (15)
77	1	-0.36 (15)	-0.38 (15)	0.23 (19)	-19 (20-I-4)	-162 (15)	-37 (15)
77	2	-0.33 (15)	-0.35 (15)	0.33 (19)	-29 (20-I-1)	-57 (15)	-61 (15)
77	3	-0.40 (21-II-4)	-0.32 (15)	0.38 (19)	44 (15)	-20 (21-II-4)	-69 (15)
77	4	-0.49 (19)	-0.29 (15)	0.41 (19)	61 (15)	51 (15)	-66 (15)
77	5	-0.40 (15)	-0.42 (15)	0.23 (19)	-18 (21-II-4)	-190 (15)	-32 (15)
77	6	-0.34 (15)	-0.39 (15)	0.31 (19)	28 (15)	-70 (15)	-50 (15)
77	7	-0.39 (19)	-0.36 (15)	0.37 (19)	55 (15)	-23 (21-II-4)	-57 (15)
77	8	-0.47 (19)	-0.33 (15)	0.40 (19)	78 (15)	59 (15)	-56 (15)
77	9	-0.42 (15)	-0.43 (15)	0.22 (19)	-17 (21-II-4)	-209 (15)	-26 (15)
77	10	-0.35 (15)	-0.41 (15)	0.30 (19)	28 (15)	-80 (15)	-37 (15)
77	11	-0.39 (19)	-0.38 (15)	0.35 (19)	58 (15)	-24 (21-II-4)	-43 (15)
77	12	-0.46 (19)	-0.36 (15)	0.39 (19)	84 (15)	63 (15)	-43 (15)
77	13	-0.42 (15)	-0.42 (15)	0.22 (19)	-15 (21-II-4)	-220 (15)	-25 (20-II-4)
77	14	-0.35 (15)	-0.41 (15)	0.28 (19)	25 (15)	-88 (15)	-40 (20-II-4)
77	15	-0.39 (19)	-0.39 (15)	0.33 (19)	56 (15)	-26 (21-II-4)	-45 (21-I-2)
77	16	-0.45 (19)	-0.37 (15)	0.37 (19)	83 (15)	65 (15)	-45 (21-II-4)
78	1	-0.97 (19)	1.15 (19)	1.22 (19)	-95 (21-II-1)	24 (15)	69 (14)
78	2	-1.40 (19)	1.88 (19)	1.56 (19)	-138 (20-II-4)	67 (15)	56 (14)
78	3	-1.88 (19)	3.21 (19)	1.85 (19)	-169 (20-II-4)	-72 (14)	29 (21-I-4)
78	4	-2.17 (19)	5.74 (19)	1.84 (19)	-209 (21-I-4)	59 (15)	71 (15)
78	5	-1.01 (19)	1.30 (19)	1.05 (19)	-81 (20-II-4)	33 (15)	59 (14)
78	6	-1.43 (19)	2.10 (19)	1.26 (19)	-120 (14)	89 (15)	48 (14)
78	7	-1.83 (19)	3.46 (19)	1.32 (19)	-153 (14)	96 (15)	20 (21-I-4)
78	8	-1.93 (19)	5.78 (19)	-0.90 (15)	-196 (21-I-1)	76 (15)	53 (15)
78	9	-1.02 (19)	1.41 (19)	0.86 (19)	-70 (14)	38 (15)	-48 (15)
78	10	-1.40 (19)	2.24 (19)	0.95 (19)	-124 (14)	107 (15)	38 (14)
78	11	-1.71 (19)	3.53 (19)	0.82 (19)	-159 (14)	115 (15)	-11 (21-II-4)
78	12	-1.59 (19)	5.45 (19)	-0.26 (15)	-177 (14)	85 (15)	-45 (14)
78	13	-0.97 (19)	1.48 (19)	0.65 (19)	78 (15)	40 (15)	-55 (21-II-4)
78	14	-1.31 (19)	2.28 (19)	0.66 (19)	-123 (14)	119 (15)	-42 (21-II-4)
78	15	-1.56 (19)	3.45 (19)	0.38 (19)	-158 (14)	129 (15)	-17 (21-II-4)
78	16	-1.27 (19)	4.90 (19)	-0.45 (19)	-166 (14)	-96 (14)	-47 (14)
79	1	-0.62 (19)	0.75 (19)	0.92 (19)	-50 (20-II-4)	146 (14)	69 (14)
79	2	-0.66 (19)	0.81 (19)	0.96 (19)	-55 (20-II-4)	115 (14)	60 (14)
79	3	-0.70 (19)	0.88 (19)	1.00 (19)	-60 (20-II-4)	89 (14)	58 (14)
79	4	-0.76 (19)	1.02 (19)	1.04 (19)	-66 (20-II-4)	67 (14)	59 (14)
79	5	-0.67 (19)	0.85 (19)	0.80 (19)	-42 (21-II-4)	175 (14)	66 (14)
79	6	-0.71 (19)	0.91 (19)	0.84 (19)	-45 (21-II-4)	141 (14)	53 (14)
79	7	-0.76 (19)	0.98 (19)	0.87 (19)	-50 (21-II-4)	112 (14)	50 (14)
79	8	-0.81 (19)	1.08 (19)	0.92 (19)	-55 (21-II-4)	85 (14)	50 (14)
79	9	-0.70 (19)	0.91 (19)	0.68 (19)	-34 (21-II-4)	199 (14)	61 (14)

Muro	Pann.	Sxx	Syy	Sxy	Mxx	Myy	Mxy
79	10	-0.76(19)	0.98(19)	0.71(19)	-37(21-II-4)	163(14)	46(14)
79	11	-0.81(19)	1.05(19)	0.74(19)	-40(21-II-4)	131(14)	41(14)
79	12	-0.85(19)	1.08(19)	0.79(19)	-44(21-II-4)	102(14)	-41(21-II-4)
79	13	-0.72(19)	0.94(19)	0.57(19)	-27(21-II-4)	218(14)	57(14)
79	14	-0.76(19)	0.99(19)	0.57(19)	-28(21-II-4)	180(14)	39(14)
79	15	-0.81(19)	1.05(19)	0.59(19)	33(15)	145(14)	-41(21-II-4)
79	16	-0.90(19)	1.07(19)	0.59(19)	41(15)	114(14)	-47(21-II-4)
80	1	-0.39(15)	-0.43(15)	-0.15(19)	-156(15)	-17(21-II-4)	28(19)
80	2	-0.44(15)	-0.47(15)	-0.15(19)	-181(15)	-14(21-II-4)	27(19)
80	3	-0.46(15)	-0.50(15)	-0.15(19)	-198(15)	-13(21-II-4)	25(19)
80	4	-0.45(15)	-0.50(15)	-0.15(19)	-207(15)	-12(21-II-4)	23(19)
80	5	-0.35(15)	-0.39(15)	-0.12(19)	-49(15)	-23(21-II-4)	26(19)
80	6	-0.40(15)	-0.41(15)	-0.12(19)	-60(15)	25(15)	21(19)
80	7	-0.42(15)	-0.41(15)	-0.11(19)	-69(15)	22(15)	-17(21-II-4)
80	8	-0.43(15)	-0.41(15)	0.11(20-I-4)	-76(15)	18(15)	-18(21-II-4)
80	9	-0.30(15)	-0.46(19)	0.14(20-I-4)	-20(21-II-4)	43(15)	31(19)
80	10	-0.35(15)	-0.43(19)	0.14(20-I-4)	-21(21-II-4)	49(15)	26(19)
80	11	-0.38(15)	-0.40(19)	0.15(20-I-4)	-22(21-II-4)	47(15)	-22(21-II-4)
80	12	-0.39(15)	-0.38(21-II-4)	0.15(20-I-4)	-23(21-II-4)	42(15)	-24(21-II-4)
80	13	-0.26(15)	-0.53(19)	0.15(20-I-4)	55(15)	59(15)	30(19)
80	14	-0.30(15)	-0.49(19)	0.16(20-I-4)	62(15)	67(15)	25(19)
80	15	-0.33(15)	-0.46(19)	0.17(20-I-4)	65(15)	66(15)	-22(21-II-4)
80	16	-0.35(15)	-0.43(19)	0.17(20-I-4)	65(15)	60(15)	-24(21-II-4)
81	1	-0.59(15)	-0.70(15)	0.43(15)	-5(21-II-4)	-33(21-II-4)	6(21-II-4)
81	2	-0.59(19)	-0.63(15)	0.55(15)	-5(21-II-2)	-30(21-II-4)	-8(14)
81	3	-0.80(19)	-0.55(15)	0.59(15)	-6(21-II-2)	-27(21-II-4)	-9(14)
81	4	-0.96(19)	-0.48(15)	0.58(15)	-7(21-I-4)	-23(21-II-4)	-12(21-II-4)
81	5	-0.67(15)	-0.79(15)	0.39(15)	-6(21-II-4)	-43(21-II-4)	6(21-II-4)
81	6	-0.58(15)	-0.72(15)	0.48(15)	-6(21-II-4)	-39(21-II-4)	-8(14)
81	7	-0.74(19)	-0.64(15)	0.52(15)	-6(21-II-4)	-34(21-II-4)	-10(14)
81	8	-0.88(19)	-0.56(15)	0.53(15)	-6(21-II-2)	-28(21-II-4)	-13(21-II-4)
81	9	-0.71(15)	-0.84(15)	0.40(20-I-4)	-7(21-II-4)	-53(21-II-4)	6(21-II-4)
81	10	-0.60(15)	-0.77(15)	0.46(20-I-4)	-7(21-II-4)	-47(21-II-4)	-8(14)
81	11	-0.68(19)	-0.69(15)	0.49(20-I-4)	-6(21-II-4)	-41(21-II-4)	-10(14)
81	12	-0.82(19)	-0.60(15)	0.48(20-I-4)	-6(21-II-4)	-34(21-II-4)	-13(21-II-4)
81	13	-0.71(15)	-0.83(15)	0.40(20-I-4)	-8(21-II-4)	-63(21-II-4)	6(21-II-4)
81	14	-0.60(15)	-0.77(15)	0.46(20-I-4)	-8(21-II-4)	-56(21-II-4)	-8(14)
81	15	-0.63(19)	-0.70(15)	0.49(20-I-4)	-7(21-II-4)	-48(21-II-4)	-10(14)
81	16	-0.75(19)	-0.62(15)	0.49(20-I-4)	-6(21-II-4)	-40(21-II-4)	-13(21-II-4)
82	1	-0.23(15)	-0.58(19)	0.15(20-I-4)	74(15)	67(15)	20(19)
82	2	-0.26(15)	-0.54(19)	0.17(20-I-4)	86(15)	77(15)	18(19)
82	3	-0.29(15)	-0.50(19)	0.18(20-I-4)	92(15)	77(15)	-17(21-II-4)
82	4	-0.31(15)	-0.47(19)	0.19(20-I-4)	93(15)	71(15)	-18(21-II-4)
82	5	-0.20(15)	-0.57(19)	0.16(20-I-4)	65(15)	63(15)	13(15)
82	6	-0.23(15)	-0.54(19)	0.18(20-I-4)	75(15)	73(15)	-11(21-II-4)
82	7	-0.25(15)	-0.51(19)	0.19(20-I-4)	80(15)	73(15)	-10(21-II-4)
82	8	-0.26(15)	-0.48(19)	0.20(20-I-4)	81(15)	67(15)	-9(21-II-4)
82	9	-0.19(15)	-0.52(19)	0.18(21-I-4)	-19(19)	42(15)	24(15)
82	10	-0.21(15)	-0.50(19)	0.20(21-I-4)	-22(19)	49(15)	15(15)
82	11	-0.23(15)	-0.49(19)	0.22(21-I-4)	-24(19)	49(15)	6(15)
82	12	-0.24(15)	-0.47(19)	0.22(21-I-4)	-25(19)	45(15)	5(21-I-4)
82	13	-0.19(15)	-0.47(19)	0.24(21-I-4)	-109(15)	-29(21-I-4)	-20(21-II-4)
82	14	-0.20(15)	-0.47(19)	0.26(21-I-4)	-127(15)	-23(21-I-4)	-19(21-II-4)
82	15	-0.21(15)	-0.47(19)	0.26(21-I-4)	-139(15)	-19(14)	-18(21-II-4)
82	16	-0.21(15)	-0.46(20-I-4)	0.27(21-I-4)	-145(15)	-17(14)	-18(21-II-4)
83	1	-1.08(19)	-0.43(15)	0.54(15)	-8(21-I-4)	-18(21-II-4)	-18(21-II-4)
83	2	-1.17(14)	-0.39(15)	0.48(15)	-9(21-I-4)	-12(21-II-4)	-22(21-II-4)
83	3	-1.23(14)	-0.38(15)	0.43(15)	-10(21-I-4)	-7(21-II-4)	-25(21-II-4)
83	4	-1.25(14)	-0.40(15)	0.38(15)	-10(14)	-4(15)	-25(21-II-4)
83	5	-1.00(19)	-0.49(15)	0.50(15)	-6(15)	-22(21-II-4)	-18(21-II-4)
83	6	-1.09(14)	-0.44(15)	0.46(15)	-7(15)	-15(21-II-4)	-23(21-II-4)
83	7	-1.16(14)	-0.41(15)	0.42(15)	-7(15)	-7(21-II-4)	-25(21-II-4)
83	8	-1.20(14)	-0.40(15)	0.39(15)	-7(21-I-4)	-4(15)	-25(21-II-4)
83	9	-0.93(19)	-0.53(15)	0.46(15)	-6(15)	-26(21-II-4)	-19(21-II-4)
83	10	-1.02(14)	-0.47(15)	0.43(15)	-6(15)	-17(21-II-4)	-23(21-II-4)
83	11	-1.09(14)	-0.42(15)	0.41(15)	-5(15)	-8(21-II-4)	-25(21-II-4)
83	12	-1.14(14)	-0.40(15)	0.38(15)	-5(15)	-3(15)	-25(21-II-4)
83	13	-0.86(19)	-0.54(15)	0.46(20-I-4)	-6(21-II-4)	-31(21-II-4)	-19(21-II-4)
83	14	-0.96(14)	-0.48(15)	0.42(20-I-4)	-5(15)	-20(21-II-4)	-23(21-II-4)
83	15	-1.03(14)	-0.42(15)	0.38(15)	-4(15)	-8(21-II-4)	-25(21-II-4)
83	16	-1.09(14)	-0.38(15)	0.36(15)	-3(15)	4(21-II-4)	-25(21-II-4)
84	1	-1.26(14)	-0.43(15)	0.35(15)	-9(14)	7(21-II-4)	-22(21-II-4)
84	2	-1.28(14)	-0.47(15)	0.36(15)	-8(14)	16(21-II-4)	-16(21-II-4)
84	3	-1.38(14)	-0.47(15)	0.37(15)	-5(14)	27(21-II-4)	-7(21-II-4)

Muro	Pann.	Sxx	Syy	Sxy	Mxx	Myy	Mxy
84	4	-1.63 (15)	-0.39 (15)	0.23 (15)	-3 (14)	39 (21-II-4)	2 (21-II-2)
84	5	-1.22 (14)	-0.41 (15)	0.37 (15)	-6 (14)	10 (21-II-4)	-22 (21-II-4)
84	6	-1.27 (14)	-0.41 (15)	0.36 (15)	-5 (14)	21 (21-II-4)	-16 (21-II-4)
84	7	-1.37 (14)	-0.36 (15)	0.33 (15)	-3 (14)	34 (21-II-4)	-7 (21-II-4)
84	8	-1.54 (14)	-0.29 (15)	-0.22 (19)	3 (21-II-4)	47 (21-II-4)	3 (21-II-2)
84	9	-1.18 (14)	-0.38 (15)	0.36 (15)	-4 (14)	13 (21-II-4)	-22 (21-II-4)
84	10	-1.24 (14)	-0.34 (15)	0.34 (15)	-3 (14)	27 (21-II-4)	-16 (21-II-4)
84	11	-1.34 (14)	-0.28 (15)	0.29 (15)	2 (21-II-4)	41 (21-II-4)	-7 (21-II-4)
84	12	-1.48 (14)	-0.21 (15)	-0.22 (14)	4 (21-II-4)	56 (21-II-4)	4 (21-II-2)
84	13	-1.14 (14)	-0.34 (15)	0.34 (15)	-2 (15)	17 (21-II-4)	-22 (21-II-4)
84	14	-1.21 (14)	-0.29 (15)	0.31 (15)	2 (21-II-4)	32 (21-II-4)	-15 (21-II-4)
84	15	-1.30 (14)	-0.22 (15)	0.25 (15)	4 (21-II-4)	48 (21-II-4)	-6 (21-II-4)
84	16	-1.41 (14)	-0.16 (15)	-0.23 (14)	6 (21-II-4)	64 (21-II-4)	4 (21-II-2)
85	1	-1.85 (19)	8.75 (19)	-1.51 (15)	-262 (21-I-1)	32 (15)	87 (15)
85	2	-1.14 (19)	11.47 (19)	-0.91 (15)	-315 (21-I-1)	-26 (21-II-2)	75 (15)
85	3	-0.93 (15)	15.31 (19)	-0.97 (19)	-446 (21-I-1)	-115 (15)	-59 (14)
85	4	7.41 (19)	20.00 (19)	-4.32 (19)	-468 (21-I-4)	-349 (15)	-159 (14)
85	5	-1.26 (19)	8.15 (19)	-0.31 (15)	-242 (21-I-1)	-37 (19)	-71 (14)
85	6	-0.80 (15)	9.73 (19)	-1.15 (19)	-286 (21-I-1)	-45 (21-I-4)	-86 (14)
85	7	2.64 (19)	11.07 (19)	-2.81 (19)	-327 (21-I-1)	-128 (15)	-111 (14)
85	8	5.52 (19)	9.13 (19)	-1.72 (19)	-300 (21-I-4)	-285 (15)	-130 (14)
85	9	-0.58 (19)	7.04 (19)	-0.97 (19)	-202 (21-I-1)	-46 (14)	-79 (14)
85	10	-1.37 (15)	7.76 (19)	-1.86 (19)	-217 (21-I-1)	-63 (21-I-4)	-96 (14)
85	11	2.76 (19)	7.43 (19)	-2.10 (19)	-213 (21-I-1)	-150 (15)	-107 (14)
85	12	4.19 (19)	6.44 (19)	-0.94 (19)	-181 (21-I-1)	-305 (15)	-107 (14)
85	13	-0.84 (15)	5.87 (19)	-1.40 (19)	-158 (14)	-58 (14)	-79 (14)
85	14	-1.62 (15)	5.90 (19)	-1.80 (19)	-148 (21-I-1)	-76 (21-I-4)	-91 (14)
85	15	-2.57 (15)	5.48 (19)	-1.62 (19)	-126 (21-I-1)	-160 (15)	-91 (14)
85	16	3.10 (19)	5.08 (19)	-0.48 (19)	-95 (14)	-259 (15)	-98 (14)
86	1	-2.41 (15)	0.86 (14)	0.82 (21-I-1)	77 (19)	-89 (19)	-176 (15)
86	2	-2.24 (15)	0.77 (14)	1.38 (21-I-1)	102 (19)	-74 (19)	-157 (15)
86	3	-1.94 (15)	-0.66 (15)	1.52 (21-I-1)	134 (19)	-205 (15)	-88 (15)
86	4	-2.39 (15)	-1.30 (15)	1.45 (15)	-119 (15)	-483 (15)	-106 (19)
86	5	-3.04 (15)	0.91 (14)	0.84 (21-I-1)	-46 (15)	-110 (19)	-186 (15)
86	6	-2.65 (15)	0.80 (14)	1.67 (21-I-1)	-60 (15)	-113 (19)	-186 (15)
86	7	-1.95 (15)	0.75 (19)	1.85 (21-I-1)	-112 (15)	-118 (15)	-117 (15)
86	8	2.46 (19)	-0.50 (15)	1.10 (21-I-1)	-116 (15)	-439 (15)	-124 (19)
86	9	-3.96 (15)	0.76 (14)	0.86 (21-I-1)	-141 (19)	-119 (19)	-175 (15)
86	10	-3.11 (15)	0.58 (19)	1.99 (21-I-1)	-189 (19)	-127 (19)	-193 (15)
86	11	-1.71 (15)	0.75 (19)	2.17 (21-I-1)	-106 (19)	-83 (19)	-168 (15)
86	12	2.78 (19)	-0.70 (15)	1.23 (19)	32 (21-I-4)	-409 (15)	-107 (19)
86	13	-5.20 (15)	-0.39 (15)	1.03 (21-I-1)	-368 (19)	-92 (19)	-149 (15)
86	14	-3.62 (15)	-0.32 (15)	2.16 (21-I-1)	-506 (19)	-106 (19)	-154 (15)
86	15	-1.32 (15)	0.35 (19)	2.18 (21-I-1)	-608 (19)	-108 (19)	-162 (15)
86	16	3.34 (21-I-1)	0.59 (19)	1.77 (21-I-1)	-455 (19)	-153 (15)	35 (21-I-1)
87	1	-2.74 (15)	0.75 (14)	0.40 (14)	340 (19)	533 (19)	133 (15)
87	2	-2.21 (15)	0.52 (14)	0.95 (21-I-1)	249 (19)	-66 (15)	199 (15)
87	3	-1.56 (15)	0.23 (19)	1.14 (21-I-1)	144 (19)	-87 (19)	244 (15)
87	4	-0.92 (15)	-0.39 (21-I-1)	1.01 (15)	101 (19)	-82 (19)	212 (15)
87	5	-3.26 (15)	0.72 (14)	0.45 (14)	-321 (15)	633 (19)	142 (15)
87	6	-2.45 (15)	0.41 (14)	1.16 (21-I-1)	-197 (15)	34 (14)	251 (15)
87	7	-1.68 (15)	0.14 (19)	1.35 (21-I-1)	-113 (15)	-109 (19)	275 (15)
87	8	-0.90 (15)	-0.47 (21-I-1)	1.11 (15)	-107 (15)	-92 (19)	218 (15)
87	9	-3.94 (15)	0.69 (14)	0.60 (14)	-220 (15)	655 (19)	181 (15)
87	10	-2.61 (15)	0.16 (19)	1.40 (21-I-1)	-148 (19)	-74 (19)	307 (15)
87	11	-1.85 (15)	-0.14 (15)	1.52 (21-I-1)	-183 (19)	-109 (19)	272 (15)
87	12	-0.83 (15)	-0.49 (21-I-1)	1.27 (15)	-204 (15)	-94 (19)	206 (15)
87	13	-4.75 (15)	-0.19 (15)	1.15 (14)	-674 (19)	240 (19)	160 (15)
87	14	-2.89 (15)	-0.19 (15)	1.52 (21-I-1)	-651 (19)	-108 (19)	294 (15)
87	15	-2.03 (15)	-0.16 (15)	1.45 (21-I-1)	-448 (19)	-89 (19)	227 (15)
87	16	-0.81 (15)	-0.25 (15)	1.72 (15)	-389 (15)	-74 (15)	200 (15)
88	1	-2.48 (19)	7.85 (19)	-1.02 (15)	-148 (15)	131 (14)	112 (14)
88	2	-2.06 (19)	10.65 (19)	-0.46 (19)	-202 (15)	57 (21-I-2)	86 (14)
88	3	-2.20 (15)	14.73 (19)	-2.14 (19)	-400 (21-I-1)	-177 (14)	100 (19)
88	4	-9.42 (15)	20.30 (19)	-5.53 (19)	-302 (21-I-1)	-628 (14)	-497 (15)
88	5	-1.80 (19)	6.81 (19)	-0.98 (19)	-197 (15)	119 (14)	-68 (21-II-4)
88	6	-1.61 (15)	8.24 (19)	-2.22 (19)	-232 (15)	57 (19)	-100 (21-I-2)
88	7	-3.78 (15)	9.41 (19)	-4.00 (19)	-244 (21-I-1)	-174 (14)	-160 (21-I-1)
88	8	-5.93 (15)	6.30 (19)	-1.84 (19)	-175 (21-I-4)	-489 (14)	-196 (21-I-1)
88	9	-1.27 (21-I-4)	5.34 (19)	-1.74 (19)	-210 (15)	105 (14)	-99 (21-I-2)
88	10	-2.24 (15)	5.72 (19)	-2.68 (19)	-197 (15)	54 (19)	-132 (21-I-2)
88	11	-3.72 (15)	4.78 (19)	-2.75 (19)	-146 (15)	-176 (14)	-149 (21-I-1)
88	12	-3.84 (15)	3.52 (19)	-1.08 (19)	-103 (14)	-382 (14)	-140 (21-I-3)
88	13	-1.52 (15)	3.94 (19)	-1.92 (19)	-197 (15)	95 (14)	-116 (21-I-2)

Muro	Pann.	Sxx	Syy	Sxy	Mxx	Myy	Mxy
88	14	-2.41 (15)	3.57 (19)	-2.27 (19)	-162 (15)	50 (19)	-136 (21-I-2)
88	15	-3.24 (15)	2.70 (19)	-1.91 (19)	-107 (15)	-154 (14)	-129 (21-I-1)
88	16	-2.63 (15)	1.96 (19)	-0.82 (19)	-69 (14)	-311 (14)	-116 (20-II-2)
89	1	-1.62 (15)	0.33 (14)	0.18 (15)	18 (14)	-29 (15)	21 (14)
89	2	-1.76 (14)	0.39 (14)	-0.07 (21-II-4)	38 (15)	39 (14)	27 (14)
89	3	-1.82 (14)	0.46 (14)	-0.30 (15)	52 (15)	35 (15)	35 (14)
89	4	-1.76 (14)	0.53 (14)	-0.59 (15)	54 (15)	30 (15)	37 (14)
89	5	-1.56 (14)	0.43 (14)	0.17 (15)	12 (14)	32 (14)	24 (14)
89	6	-1.67 (14)	0.48 (14)	-0.10 (21-II-4)	20 (14)	42 (14)	31 (14)
89	7	-1.71 (14)	0.54 (14)	-0.30 (15)	33 (15)	33 (15)	37 (14)
89	8	-1.64 (14)	0.60 (14)	-0.58 (15)	39 (15)	29 (15)	36 (14)
89	9	-1.49 (14)	0.51 (14)	0.15 (15)	10 (14)	44 (14)	26 (14)
89	10	-1.57 (14)	0.55 (14)	-0.13 (21-II-4)	14 (14)	45 (14)	33 (14)
89	11	-1.60 (14)	0.60 (14)	-0.31 (21-II-4)	20 (15)	32 (14)	38 (14)
89	12	-1.52 (14)	0.65 (14)	-0.55 (15)	27 (15)	28 (15)	36 (14)
89	13	-1.41 (14)	0.57 (14)	0.14 (15)	10 (14)	56 (14)	26 (14)
89	14	-1.48 (14)	0.60 (14)	-0.14 (21-II-4)	11 (14)	48 (14)	34 (14)
89	15	-1.48 (14)	0.65 (14)	-0.33 (21-II-4)	11 (15)	31 (14)	38 (14)
89	16	-1.40 (14)	0.68 (14)	-0.52 (21-II-4)	19 (15)	25 (15)	35 (14)
90	1	-1.55 (14)	0.57 (14)	-0.86 (15)	48 (15)	22 (15)	33 (14)
90	2	-1.21 (21-I-4)	0.59 (14)	-1.06 (15)	39 (15)	-30 (14)	24 (21-II-4)
90	3	-0.73 (15)	0.57 (14)	-1.12 (15)	27 (15)	-67 (14)	18 (20-II-4)
90	4	-0.35 (15)	-0.55 (15)	-0.90 (15)	24 (15)	-127 (14)	59 (15)
90	5	-1.43 (14)	0.64 (14)	-0.82 (15)	38 (15)	22 (15)	30 (14)
90	6	-1.12 (21-I-4)	0.64 (14)	-0.98 (15)	32 (15)	-41 (14)	20 (21-II-4)
90	7	-0.72 (15)	0.61 (14)	-1.01 (15)	24 (15)	-81 (14)	16 (20-II-4)
90	8	-0.51 (15)	-0.68 (15)	-0.84 (15)	18 (15)	-140 (14)	57 (15)
90	9	-1.32 (14)	0.67 (14)	-0.76 (15)	29 (15)	21 (15)	28 (14)
90	10	-1.04 (20-I-3)	0.67 (14)	-0.89 (15)	26 (15)	-51 (14)	18 (21-II-4)
90	11	-0.72 (15)	0.64 (14)	-0.90 (15)	22 (15)	-94 (14)	15 (20-II-4)
90	12	-0.62 (15)	-0.76 (15)	-0.77 (15)	-19 (19)	-151 (14)	52 (15)
90	13	-1.22 (14)	0.69 (14)	-0.69 (15)	22 (15)	-25 (14)	26 (14)
90	14	-0.96 (14)	0.68 (14)	-0.79 (15)	21 (15)	-60 (14)	16 (21-II-4)
90	15	-0.70 (15)	0.65 (14)	-0.80 (15)	-22 (19)	-105 (14)	14 (20-II-4)
90	16	-0.70 (15)	-0.78 (15)	-0.70 (15)	-20 (19)	-158 (14)	53 (20-II-3)
91	1	-0.18 (15)	-0.49 (20-I-4)	0.10 (14)	-115 (15)	-36 (20-I-4)	-34 (15)
91	2	-0.19 (15)	-0.49 (20-I-4)	0.09 (14)	-136 (15)	-29 (21-II-4)	-27 (15)
91	3	-0.20 (15)	-0.48 (20-I-4)	0.08 (14)	-151 (15)	-25 (14)	-27 (21-II-4)
91	4	-0.20 (15)	-0.48 (20-I-4)	0.07 (14)	-161 (15)	-23 (14)	-28 (21-II-4)
91	5	-0.16 (15)	-0.58 (20-I-4)	0.18 (14)	-34 (14)	-48 (20-I-4)	-65 (15)
91	6	-0.18 (15)	-0.56 (20-I-4)	0.15 (14)	-41 (14)	62 (15)	-55 (15)
91	7	-0.19 (15)	-0.54 (20-I-4)	0.13 (14)	-47 (14)	68 (15)	-50 (21-II-4)
91	8	-0.20 (15)	-0.52 (19)	0.11 (14)	-53 (14)	67 (15)	-52 (21-II-4)
91	9	0.18 (14)	-0.69 (20-I-4)	0.20 (14)	72 (15)	70 (15)	-48 (15)
91	10	0.21 (14)	-0.64 (20-I-4)	0.17 (14)	87 (15)	95 (15)	-42 (21-II-4)
91	11	0.23 (14)	-0.60 (19)	0.15 (14)	98 (15)	105 (15)	-44 (21-II-4)
91	12	0.24 (14)	-0.57 (19)	0.12 (14)	104 (15)	105 (15)	-45 (21-II-4)
91	13	0.23 (14)	-0.74 (20-I-4)	0.17 (14)	88 (15)	79 (15)	-33 (14)
91	14	0.26 (14)	-0.68 (20-I-4)	0.15 (14)	109 (15)	107 (15)	-33 (14)
91	15	0.27 (14)	-0.63 (19)	0.13 (14)	124 (15)	119 (15)	-32 (14)
91	16	0.28 (14)	-0.59 (19)	0.11 (14)	133 (15)	119 (15)	-32 (14)
92	1	-0.33 (15)	-0.37 (15)	0.24 (19)	19 (21-II-2)	161 (15)	32 (15)
92	2	-0.35 (15)	-0.34 (15)	0.33 (19)	34 (20-II-2)	-76 (14)	49 (15)
92	3	-0.41 (15)	0.30 (19)	0.38 (19)	49 (21-II-1)	-25 (14)	56 (15)
92	4	-0.50 (19)	0.31 (19)	0.40 (19)	63 (21-II-4)	-49 (15)	52 (15)
92	5	-0.40 (15)	-0.43 (15)	0.24 (19)	17 (21-I-4)	189 (15)	27 (15)
92	6	-0.37 (15)	-0.40 (15)	0.32 (19)	31 (21-I-4)	-92 (14)	39 (15)
92	7	-0.39 (15)	-0.36 (15)	0.37 (19)	-51 (15)	-32 (14)	45 (15)
92	8	-0.47 (19)	0.33 (19)	0.39 (19)	-74 (15)	-58 (15)	43 (15)
92	9	-0.44 (15)	-0.46 (15)	0.24 (14)	15 (21-I-4)	210 (15)	26 (20-II-4)
92	10	-0.38 (15)	-0.43 (15)	0.31 (19)	-27 (15)	-106 (14)	27 (15)
92	11	-0.38 (15)	-0.39 (15)	0.35 (20-I-4)	-55 (15)	-40 (14)	32 (15)
92	12	-0.44 (19)	-0.36 (15)	0.38 (19)	-80 (15)	-63 (15)	30 (15)
92	13	-0.45 (15)	-0.45 (15)	0.24 (14)	-13 (14)	220 (15)	31 (20-II-4)
92	14	-0.39 (15)	-0.44 (15)	0.30 (14)	-25 (15)	-117 (14)	27 (20-II-4)
92	15	-0.37 (15)	-0.41 (15)	0.35 (20-I-4)	-53 (15)	-47 (14)	26 (21-II-2)
92	16	-0.42 (19)	-0.38 (15)	0.37 (20-I-4)	-79 (15)	-66 (15)	-21 (14)
93	1	0.66 (19)	-0.64 (19)	0.50 (15)	-221 (14)	-23 (15)	79 (14)
93	2	-0.67 (15)	-0.62 (19)	0.58 (15)	-200 (14)	32 (21-I-4)	83 (14)
93	3	-0.66 (15)	-0.59 (19)	0.65 (15)	-175 (14)	42 (21-I-4)	87 (14)
93	4	-0.64 (15)	-0.55 (19)	0.76 (15)	-145 (14)	54 (20-II-2)	90 (14)
93	5	-0.69 (15)	-0.66 (19)	0.49 (15)	-182 (14)	-32 (15)	56 (14)
93	6	-0.71 (15)	-0.67 (19)	0.58 (15)	-163 (14)	33 (21-I-4)	62 (14)
93	7	-0.67 (15)	-0.63 (19)	0.67 (15)	-141 (14)	45 (21-I-4)	68 (14)

Muro	Pann.	Sxx	Syy	Sxy	Mxx	Myy	Mxy
93	8	-0.64 (15)	-0.56 (19)	0.73 (15)	-114 (14)	58 (20-II-2)	74 (14)
93	9	0.71 (19)	-0.71 (19)	0.48 (15)	-146 (14)	-42 (15)	47 (14)
93	10	-0.74 (15)	-0.71 (19)	0.59 (15)	-130 (14)	-37 (15)	55 (14)
93	11	-0.73 (15)	-0.67 (19)	0.68 (15)	-110 (14)	48 (21-I-4)	62 (14)
93	12	-0.70 (15)	-0.58 (19)	0.75 (15)	-87 (14)	63 (20-II-2)	70 (14)
93	13	0.67 (19)	-0.76 (19)	0.48 (15)	-113 (14)	-51 (15)	45 (14)
93	14	0.73 (19)	-0.72 (19)	0.62 (15)	-100 (14)	-46 (15)	53 (14)
93	15	-0.77 (15)	-0.70 (19)	0.70 (15)	-83 (14)	52 (20-II-2)	61 (14)
93	16	-0.82 (15)	-0.69 (19)	0.83 (15)	-63 (14)	68 (20-II-2)	71 (14)
94	1	0.26 (14)	-0.70 (20-I-4)	-0.12 (15)	83 (15)	74 (15)	-54 (14)
94	2	0.29 (14)	-0.64 (20-I-4)	0.11 (14)	101 (15)	100 (15)	-50 (14)
94	3	0.30 (14)	-0.59 (19)	0.10 (14)	115 (15)	110 (15)	-46 (14)
94	4	0.31 (14)	-0.55 (19)	0.09 (14)	123 (15)	110 (15)	-42 (14)
94	5	0.27 (14)	-0.58 (21-I-4)	-0.15 (15)	57 (15)	58 (15)	-64 (14)
94	6	0.29 (14)	-0.54 (21-I-4)	-0.11 (15)	68 (15)	78 (15)	-58 (14)
94	7	0.31 (14)	-0.50 (21-I-4)	0.08 (14)	75 (15)	85 (15)	-51 (14)
94	8	-0.32 (15)	-0.47 (19)	0.08 (14)	79 (15)	84 (15)	-44 (14)
94	9	-0.30 (15)	-0.44 (15)	-0.13 (15)	28 (14)	-34 (21-I-4)	-58 (14)
94	10	-0.35 (15)	-0.44 (15)	0.09 (14)	37 (14)	43 (15)	-52 (14)
94	11	-0.37 (15)	-0.44 (15)	0.10 (14)	45 (14)	46 (15)	-45 (14)
94	12	-0.39 (15)	-0.43 (15)	0.10 (14)	54 (14)	45 (15)	-37 (14)
94	13	-0.37 (15)	-0.41 (15)	0.13 (14)	-131 (15)	-21 (21-I-4)	-42 (14)
94	14	-0.42 (15)	-0.46 (15)	0.14 (14)	-155 (15)	-15 (21-I-4)	-40 (14)
94	15	-0.44 (15)	-0.49 (15)	0.15 (14)	-173 (15)	-11 (21-I-4)	-37 (14)
94	16	-0.44 (15)	-0.51 (15)	0.15 (14)	-184 (15)	9 (19)	-35 (14)
95	1	-0.60 (19)	0.31 (19)	0.39 (19)	76 (21-II-4)	-75 (15)	-39 (14)
95	2	-0.66 (19)	0.30 (19)	0.39 (19)	86 (21-II-4)	-89 (15)	-30 (14)
95	3	-0.69 (19)	0.29 (19)	0.39 (19)	91 (21-II-4)	-91 (15)	-22 (21-II-4)
95	4	-0.70 (19)	0.29 (19)	0.39 (19)	92 (21-II-4)	-82 (15)	-28 (15)
95	5	-0.56 (19)	0.34 (19)	0.39 (19)	-92 (15)	-91 (15)	-34 (14)
95	6	-0.62 (19)	0.34 (19)	0.39 (19)	-104 (15)	-108 (15)	-26 (14)
95	7	-0.66 (19)	0.34 (19)	0.39 (19)	-107 (15)	-111 (15)	-20 (21-II-4)
95	8	-0.67 (19)	0.33 (19)	0.40 (19)	-102 (15)	-101 (15)	-26 (21-II-4)
95	9	-0.53 (19)	0.35 (19)	0.39 (19)	-102 (15)	-102 (15)	-27 (14)
95	10	-0.59 (19)	0.36 (19)	0.39 (19)	-117 (15)	-123 (15)	-22 (14)
95	11	-0.63 (19)	0.37 (19)	0.39 (19)	-122 (15)	-127 (15)	-19 (21-II-4)
95	12	-0.64 (19)	0.37 (19)	0.40 (19)	-117 (15)	-115 (15)	-28 (21-II-4)
95	13	-0.50 (19)	0.36 (19)	0.38 (20-I-4)	-102 (15)	-109 (15)	-22 (14)
95	14	-0.56 (19)	0.38 (19)	0.38 (19)	-118 (15)	-133 (15)	-19 (14)
95	15	-0.59 (19)	0.39 (19)	0.39 (19)	-124 (15)	-137 (15)	-18 (21-II-4)
95	16	-0.61 (19)	0.40 (19)	0.39 (19)	-119 (15)	-124 (15)	-29 (21-II-4)
96	1	-0.68 (19)	-0.32 (15)	0.41 (19)	88 (21-II-4)	-60 (15)	-48 (15)
96	2	-0.64 (19)	-0.39 (15)	0.46 (19)	79 (21-II-4)	37 (20-II-1)	-58 (15)
96	3	-0.60 (19)	-0.47 (15)	0.53 (19)	65 (20-II-4)	65 (15)	-51 (15)
96	4	-0.58 (19)	-0.57 (15)	0.63 (19)	53 (20-II-4)	199 (15)	30 (21-I-4)
96	5	-0.66 (19)	-0.36 (15)	0.41 (19)	-88 (15)	-74 (15)	-40 (15)
96	6	-0.64 (19)	-0.42 (15)	0.45 (19)	72 (20-II-4)	40 (20-II-1)	-48 (15)
96	7	-0.61 (19)	-0.50 (15)	0.51 (19)	58 (20-II-4)	77 (15)	-41 (15)
96	8	-0.60 (19)	-0.60 (15)	0.60 (19)	45 (20-II-4)	239 (15)	29 (21-I-4)
96	9	-0.64 (19)	-0.38 (15)	0.41 (19)	-101 (15)	-83 (15)	-34 (21-II-4)
96	10	-0.63 (19)	-0.44 (15)	0.44 (19)	-73 (15)	41 (20-II-1)	-37 (15)
96	11	-0.62 (19)	-0.52 (15)	0.49 (19)	49 (20-II-1)	88 (15)	-30 (15)
96	12	-0.62 (19)	-0.61 (15)	0.56 (19)	38 (20-II-1)	271 (15)	27 (21-I-4)
96	13	-0.62 (19)	0.41 (19)	0.40 (19)	-102 (15)	-89 (15)	-38 (21-II-4)
96	14	-0.62 (19)	-0.45 (15)	0.43 (19)	-74 (15)	40 (20-II-1)	-41 (21-II-4)
96	15	-0.61 (19)	-0.53 (15)	0.47 (19)	-37 (15)	98 (15)	-33 (21-II-4)
96	16	-0.63 (19)	-0.61 (15)	0.53 (19)	30 (21-II-4)	293 (15)	25 (21-I-4)
97	1	-0.80 (19)	-0.86 (15)	-0.86 (15)	94 (20-II-2)	22 (21-I-4)	-73 (14)
97	2	-1.29 (19)	1.38 (19)	-1.12 (15)	127 (20-II-2)	93 (14)	-49 (19)
97	3	-1.92 (19)	2.54 (19)	-1.43 (15)	132 (21-II-1)	140 (14)	30 (21-I-4)
97	4	-2.47 (19)	4.89 (19)	-1.47 (15)	-80 (15)	163 (14)	90 (14)
97	5	-0.87 (19)	-0.94 (15)	-0.75 (15)	69 (20-II-2)	-25 (15)	-66 (14)
97	6	-1.30 (19)	1.53 (19)	-0.91 (15)	97 (14)	110 (14)	-45 (19)
97	7	-1.81 (19)	2.66 (19)	-1.02 (15)	-119 (15)	163 (14)	21 (21-I-4)
97	8	-2.15 (19)	4.69 (19)	-0.66 (15)	-157 (15)	174 (14)	61 (14)
97	9	-0.87 (19)	-0.99 (15)	-0.62 (15)	-84 (15)	-30 (15)	-58 (14)
97	10	-1.25 (19)	1.60 (19)	-0.70 (15)	-135 (15)	123 (14)	-41 (19)
97	11	-1.64 (19)	2.62 (19)	-0.64 (15)	-169 (15)	181 (14)	11 (21-I-4)
97	12	-1.74 (19)	4.16 (19)	-0.53 (19)	-196 (15)	180 (14)	-53 (21-II-4)
97	13	-0.81 (19)	1.02 (19)	-0.49 (15)	-96 (15)	-32 (15)	51 (21-I-4)
97	14	-1.15 (19)	1.61 (19)	-0.50 (15)	-158 (15)	133 (14)	-37 (14)
97	15	-1.48 (19)	2.47 (19)	-0.34 (15)	-195 (15)	194 (14)	-17 (21-II-4)
97	16	-1.39 (19)	3.46 (19)	-0.92 (19)	-208 (15)	182 (14)	-69 (21-II-4)
98	1	-2.58 (21-I-4)	-0.96 (15)	-1.15 (21-I-1)	-377 (15)	-111 (15)	-165 (15)

**POTENZIAMENTO DELL'IMPIANTO DI DEPURAZIONE E
DEL RECAPITO FINALE DI SQUINZANO (LE)
PROGETTO DEFINITIVO
Tabulati di calcolo strutturale-Filtrazione**

R.37.9

Maggio 2021

Pagina 131 di
364

Muro	Pann.	Sxx	Syy	Sxy	Mxx	Myy	Mxy
98	2	-0.90 (19)	0.41 (21-I-1)	0.37 (15)	-338 (15)	54 (19)	-133 (15)
98	3	-1.08 (19)	0.41 (15)	0.27 (15)	-418 (15)	60 (19)	-89 (15)
98	4	-1.15 (19)	0.41 (15)	0.31 (15)	-488 (15)	62 (19)	-67 (15)
98	5	-2.44 (21-I-4)	0.39 (19)	-0.59 (14)	-177 (15)	-51 (19)	-127 (15)
98	6	-0.84 (19)	-0.33 (15)	-0.24 (21-I-1)	-213 (15)	46 (15)	-117 (15)
98	7	-1.03 (19)	0.20 (19)	0.25 (15)	-239 (15)	59 (19)	-98 (15)
98	8	-1.12 (19)	0.17 (15)	0.31 (15)	-275 (15)	65 (19)	-57 (15)
98	9	-2.10 (15)	0.53 (14)	0.29 (19)	-64 (15)	-50 (19)	-149 (15)
98	10	-0.84 (14)	0.31 (19)	-0.23 (21-I-1)	105 (19)	64 (15)	-123 (15)
98	11	-0.95 (19)	0.26 (19)	0.21 (19)	159 (19)	82 (15)	-103 (15)
98	12	-1.05 (19)	0.21 (19)	0.29 (15)	191 (19)	78 (15)	-63 (15)
98	13	-1.80 (15)	0.62 (14)	0.40 (19)	77 (19)	-47 (19)	-157 (15)
98	14	-0.92 (14)	0.40 (19)	0.27 (19)	102 (19)	86 (15)	-130 (15)
98	15	-0.89 (19)	0.32 (19)	0.24 (19)	135 (19)	113 (15)	-105 (15)
98	16	-0.98 (19)	0.28 (19)	0.26 (15)	160 (19)	118 (15)	-68 (15)
99	1	-1.21 (19)	0.36 (15)	0.33 (15)	-522 (15)	62 (19)	-34 (15)
99	2	-1.18 (19)	0.27 (15)	0.31 (15)	-525 (15)	62 (19)	17 (19)
99	3	-1.07 (19)	-0.31 (21-I-1)	0.29 (15)	-508 (15)	63 (19)	79 (15)
99	4	-0.96 (19)	-1.19 (15)	0.57 (15)	-529 (15)	-130 (15)	129 (15)
99	5	-1.15 (19)	0.15 (15)	0.36 (15)	-302 (15)	66 (19)	18 (21-II-4)
99	6	-1.12 (19)	-0.13 (20-II-1)	0.40 (15)	-319 (15)	66 (19)	43 (15)
99	7	-1.01 (19)	-0.27 (15)	0.54 (15)	-331 (15)	59 (19)	76 (15)
99	8	-0.89 (19)	-0.61 (15)	0.75 (15)	-299 (15)	-33 (15)	102 (15)
99	9	-1.08 (19)	0.15 (19)	0.38 (15)	202 (19)	78 (15)	24 (21-II-4)
99	10	-1.05 (19)	-0.16 (21-II-1)	0.48 (15)	191 (19)	86 (15)	39 (15)
99	11	-0.97 (19)	-0.27 (15)	0.64 (15)	-161 (15)	82 (15)	76 (15)
99	12	-0.87 (19)	-0.43 (21-I-1)	0.83 (15)	-140 (15)	30 (15)	127 (15)
99	13	-1.01 (19)	0.23 (19)	0.39 (15)	169 (19)	122 (15)	27 (21-II-4)
99	14	-0.99 (19)	-0.19 (15)	0.53 (15)	161 (19)	127 (15)	33 (15)
99	15	-0.93 (19)	-0.26 (15)	0.69 (15)	136 (19)	117 (15)	77 (15)
99	16	-0.86 (19)	-0.39 (21-I-1)	0.85 (15)	109 (19)	85 (15)	139 (15)
100	1	-1.30 (19)	-0.10 (19)	-0.18 (21-II-1)	-392 (20-II-2)	-47 (20-II-2)	69 (15)
100	2	-1.17 (19)	-0.11 (19)	-0.16 (21-II-1)	-410 (20-II-2)	-49 (20-II-2)	56 (15)
100	3	-1.17 (19)	-0.11 (19)	-0.10 (21-II-1)	-417 (20-II-2)	-50 (20-II-2)	44 (15)
100	4	-1.29 (19)	-0.10 (19)	-0.06 (21-II-1)	-415 (20-II-2)	-50 (20-II-2)	36 (21-II-2)
100	5	-1.21 (19)	-0.05 (20-I-1)	-0.18 (15)	-331 (20-II-2)	-36 (20-II-2)	77 (15)
100	6	-1.14 (19)	-0.08 (20-I-1)	-0.15 (21-II-1)	-348 (20-II-2)	-37 (20-II-2)	61 (15)
100	7	-1.13 (19)	-0.09 (20-I-1)	-0.10 (21-II-1)	-354 (20-II-2)	-38 (20-II-2)	45 (15)
100	8	-1.21 (19)	-0.07 (20-I-1)	-0.07 (21-II-1)	-349 (20-II-2)	-39 (20-II-2)	39 (21-II-2)
100	9	-1.13 (19)	0.08 (19)	-0.17 (15)	-271 (20-II-2)	-23 (21-I-2)	86 (15)
100	10	-1.10 (19)	-0.07 (20-I-1)	-0.14 (21-II-1)	-286 (20-II-2)	-23 (21-I-3)	66 (15)
100	11	-1.10 (19)	-0.08 (20-I-1)	-0.10 (21-II-1)	-291 (20-II-2)	-24 (20-II-1)	46 (15)
100	12	-1.14 (19)	-0.07 (20-I-1)	-0.08 (21-II-1)	-285 (20-II-2)	-26 (20-II-1)	44 (21-II-2)
100	13	-1.06 (19)	0.14 (19)	-0.16 (15)	-212 (20-II-2)	-40 (19)	92 (15)
100	14	-1.05 (19)	0.11 (19)	-0.13 (15)	-223 (20-II-2)	-38 (19)	70 (15)
100	15	-1.05 (19)	0.11 (19)	-0.10 (21-II-1)	-227 (20-II-2)	-37 (19)	47 (15)
100	16	-1.07 (19)	0.13 (19)	-0.08 (21-II-1)	-222 (20-II-2)	-37 (19)	48 (21-II-2)
101	1	-1.26 (19)	-0.10 (19)	-0.14 (19)	-393 (20-II-2)	-48 (20-II-2)	35 (21-II-2)
101	2	-1.11 (19)	-0.10 (19)	-0.16 (19)	-354 (20-II-2)	-43 (20-II-2)	-41 (19)
101	3	-1.05 (19)	-0.09 (21-II-3)	-0.13 (19)	-310 (20-II-2)	-38 (20-II-2)	-51 (19)
101	4	-1.07 (19)	-0.07 (21-II-2)	-0.15 (19)	-263 (20-II-2)	-33 (20-II-2)	-61 (19)
101	5	-1.19 (19)	-0.06 (20-I-1)	-0.13 (19)	-331 (20-II-2)	-37 (20-II-2)	45 (21-II-2)
101	6	-1.08 (19)	-0.08 (21-I-2)	-0.16 (19)	-302 (20-II-2)	-34 (20-II-2)	49 (21-II-2)
101	7	-1.03 (19)	-0.07 (21-I-2)	-0.15 (19)	-266 (20-II-2)	-31 (20-II-2)	-61 (19)
101	8	-1.00 (19)	0.07 (19)	-0.17 (19)	-226 (20-II-2)	-29 (20-II-2)	-74 (19)
101	9	-1.12 (19)	0.08 (19)	-0.13 (19)	-270 (20-II-2)	-25 (21-I-3)	54 (21-II-2)
101	10	-1.05 (19)	0.08 (19)	-0.16 (19)	-248 (20-II-2)	-24 (21-I-3)	62 (21-II-2)
101	11	-0.99 (19)	0.10 (19)	-0.17 (19)	-220 (20-II-2)	-23 (20-II-1)	-70 (19)
101	12	-0.94 (19)	0.16 (19)	-0.20 (19)	-188 (20-II-2)	-23 (20-II-1)	-85 (19)
101	13	-1.06 (19)	0.14 (19)	-0.13 (19)	-211 (20-II-2)	-37 (19)	61 (21-II-2)
101	14	-1.00 (19)	0.15 (19)	-0.17 (19)	-194 (20-II-2)	-36 (19)	71 (20-I-1)
101	15	-0.94 (19)	0.18 (19)	-0.20 (19)	-173 (20-II-2)	-35 (15)	79 (20-I-1)
101	16	-0.88 (19)	0.23 (19)	-0.23 (19)	-148 (20-II-2)	-36 (15)	-91 (19)
102	1	0.21 (19)	0.15 (19)	-0.48 (15)	-165 (19)	8 (15)	72 (19)
102	2	-0.09 (19)	0.10 (19)	-0.61 (15)	-124 (20-II-1)	-19 (20-II-1)	100 (19)
102	3	-0.39 (19)	0.09 (14)	-0.61 (15)	-135 (21-II-3)	-21 (20-II-1)	105 (19)
102	4	-0.65 (19)	0.06 (14)	-0.52 (15)	-159 (21-II-3)	-23 (20-II-1)	102 (19)
102	5	0.39 (14)	0.31 (19)	-0.46 (15)	-70 (21-II-3)	59 (15)	77 (15)
102	6	0.14 (14)	0.28 (19)	-0.63 (15)	-90 (21-II-3)	-24 (20-II-2)	115 (19)
102	7	-0.40 (19)	0.27 (14)	-0.59 (15)	-113 (21-II-3)	-28 (20-II-1)	120 (19)
102	8	-0.63 (19)	0.21 (14)	-0.51 (15)	-139 (20-II-1)	-26 (20-II-1)	118 (19)
102	9	0.68 (14)	0.46 (14)	-0.52 (15)	-30 (20-I-1)	93 (15)	78 (15)
102	10	0.15 (14)	0.58 (14)	-0.64 (15)	-58 (21-II-3)	43 (15)	113 (19)
102	11	-0.42 (19)	0.42 (14)	-0.54 (15)	-88 (20-II-1)	-34 (20-II-2)	124 (19)

Muro	Pann.	Sxx	Syy	Sxy	Mxx	Myy	Mxy
102	12	-0.61 (19)	0.32 (14)	-0.46 (15)	-115 (20-II-1)	-28 (20-II-2)	130 (15)
102	13	0.92 (20-II-1)	1.13 (20-II-1)	-0.76 (15)	75 (19)	143 (15)	58 (15)
102	14	-0.21 (19)	0.65 (14)	-0.50 (15)	-39 (20-I-1)	75 (15)	97 (19)
102	15	-0.43 (19)	0.50 (14)	-0.45 (15)	-64 (20-II-1)	-39 (20-II-2)	120 (15)
102	16	-0.58 (19)	0.39 (14)	-0.41 (15)	-88 (20-II-1)	-30 (20-II-2)	135 (15)
103	1	-0.87 (19)	0.06 (14)	-0.92 (19)	-173 (19)	-22 (19)	-32 (15)
103	2	-0.55 (19)	0.09 (15)	-0.88 (19)	-131 (19)	-16 (19)	-27 (14)
103	3	0.45 (15)	0.14 (15)	-0.74 (19)	-93 (19)	-7 (19)	-17 (14)
103	4	0.96 (15)	0.25 (15)	-0.46 (15)	-85 (19)	18 (14)	20 (19)
103	5	-0.83 (19)	0.19 (19)	-0.91 (19)	-146 (19)	-19 (19)	-25 (15)
103	6	-0.57 (19)	0.20 (14)	-0.90 (19)	-117 (19)	-13 (19)	-20 (15)
103	7	0.46 (15)	0.24 (14)	-0.80 (19)	-85 (19)	12 (15)	-10 (15)
103	8	0.82 (15)	0.25 (15)	-0.46 (15)	-61 (19)	61 (19)	31 (15)
103	9	-0.78 (19)	0.32 (19)	-0.88 (19)	-143 (14)	-14 (19)	-20 (15)
103	10	-0.56 (19)	0.29 (14)	-0.87 (19)	-130 (14)	-16 (20-II-2)	19 (19)
103	11	0.46 (15)	0.26 (14)	-0.80 (19)	-112 (21-II-1)	18 (15)	28 (19)
103	12	0.64 (15)	0.27 (15)	-0.47 (15)	-88 (20-II-1)	103 (19)	39 (15)
103	13	-0.74 (19)	0.42 (19)	-0.83 (19)	-203 (14)	-19 (21-II-1)	43 (19)
103	14	-0.54 (19)	0.36 (14)	-0.83 (19)	-199 (14)	-22 (20-II-2)	48 (19)
103	15	0.47 (15)	0.33 (14)	-0.74 (19)	-203 (20-II-1)	-21 (20-II-2)	57 (19)
103	16	-0.68 (19)	0.28 (15)	-0.53 (19)	-214 (20-II-1)	105 (19)	53 (19)
104	1	-0.83 (19)	0.03 (14)	-0.46 (15)	-199 (20-II-1)	-26 (20-II-1)	99 (15)
104	2	-0.91 (19)	-0.06 (19)	-0.40 (15)	-252 (20-II-1)	-31 (20-II-1)	95 (15)
104	3	-1.02 (19)	-0.08 (19)	-0.31 (15)	-306 (20-II-1)	-37 (20-II-1)	89 (15)
104	4	-1.22 (19)	-0.09 (19)	-0.21 (15)	-357 (20-II-2)	-43 (20-II-2)	81 (15)
104	5	-0.80 (19)	0.15 (14)	-0.44 (15)	-175 (20-II-1)	-24 (20-II-1)	117 (15)
104	6	-0.90 (19)	0.08 (14)	-0.38 (15)	-220 (20-II-1)	-25 (20-II-1)	112 (15)
104	7	-1.00 (19)	-0.03 (20-I-1)	-0.30 (15)	-263 (20-II-1)	-28 (20-II-1)	103 (15)
104	8	-1.15 (19)	-0.04 (20-I-1)	-0.21 (15)	-302 (20-II-2)	-33 (20-II-1)	92 (15)
104	9	-0.76 (19)	0.23 (14)	-0.41 (15)	-147 (20-II-1)	-22 (20-II-2)	133 (15)
104	10	-0.87 (19)	0.15 (19)	-0.35 (15)	-184 (20-II-1)	-19 (19)	128 (15)
104	11	-0.97 (19)	0.10 (19)	-0.28 (15)	-218 (20-II-1)	-20 (19)	117 (15)
104	12	-1.08 (19)	0.09 (19)	-0.21 (15)	-248 (20-II-2)	-21 (19)	103 (15)
104	13	-0.72 (19)	0.29 (19)	-0.36 (15)	-115 (20-II-1)	-25 (19)	141 (15)
104	14	-0.83 (19)	0.22 (19)	-0.32 (15)	-145 (20-II-1)	-32 (19)	137 (15)
104	15	-0.92 (19)	0.18 (19)	-0.26 (15)	-171 (20-II-1)	-37 (19)	125 (15)
104	16	-1.02 (19)	0.16 (19)	-0.20 (15)	-194 (20-II-2)	-40 (19)	110 (15)
105	1	-0.99 (15)	0.44 (19)	-1.51 (19)	-278 (19)	-34 (19)	-38 (14)
105	2	-0.94 (19)	-0.17 (15)	-1.02 (19)	-270 (19)	-33 (19)	-36 (14)
105	3	-1.17 (19)	-0.06 (15)	-0.89 (19)	-253 (19)	-32 (19)	-35 (14)
105	4	-1.14 (19)	0.03 (14)	-0.86 (19)	-217 (19)	-28 (19)	-35 (15)
105	5	-0.57 (15)	1.27 (19)	-1.18 (19)	-206 (19)	-22 (19)	-38 (14)
105	6	-1.00 (19)	0.60 (19)	-0.91 (19)	-207 (19)	-24 (19)	-36 (14)
105	7	-1.14 (19)	0.34 (19)	-0.84 (19)	-197 (19)	-25 (19)	-32 (14)
105	8	-1.07 (19)	0.23 (19)	-0.86 (19)	-174 (19)	-23 (19)	-30 (15)
105	9	-0.54 (19)	1.75 (19)	-0.73 (19)	-144 (14)	-17 (14)	-38 (14)
105	10	-0.97 (19)	0.94 (19)	-0.75 (19)	-154 (14)	-16 (14)	-35 (14)
105	11	-1.09 (19)	0.58 (19)	-0.77 (19)	-158 (14)	-17 (19)	-33 (15)
105	12	-1.00 (19)	0.40 (19)	-0.83 (19)	-153 (14)	-17 (19)	-27 (15)
105	13	-0.36 (19)	1.86 (19)	-0.44 (20-II-1)	-167 (14)	-19 (14)	-33 (14)
105	14	-0.84 (19)	1.13 (19)	-0.55 (19)	-188 (14)	-18 (14)	-38 (15)
105	15	-0.99 (19)	0.74 (19)	-0.67 (19)	-200 (14)	-18 (14)	-34 (15)
105	16	-0.92 (19)	0.53 (19)	-0.77 (19)	-204 (14)	-16 (21-II-1)	36 (19)
106	1	4.30 (19)	3.46 (19)	-2.94 (19)	-307 (15)	-151 (15)	-52 (14)
106	2	-1.46 (15)	2.17 (19)	-3.01 (19)	-261 (19)	-63 (15)	-37 (14)
106	3	-1.31 (15)	1.41 (19)	-2.44 (19)	-277 (19)	-31 (15)	-37 (14)
106	4	-1.07 (15)	0.97 (19)	-2.05 (19)	-282 (19)	-33 (19)	-39 (14)
106	5	3.63 (19)	5.50 (19)	-0.58 (19)	-207 (21-I-4)	-183 (15)	-54 (15)
106	6	-1.50 (15)	4.26 (19)	-1.01 (19)	-166 (21-I-4)	-94 (15)	-34 (14)
106	7	-0.95 (15)	3.09 (19)	-1.37 (19)	-182 (19)	-42 (15)	-35 (14)
106	8	-0.80 (15)	2.28 (19)	-1.40 (19)	-197 (19)	-22 (15)	-37 (14)
106	9	2.77 (19)	4.16 (19)	-0.30 (19)	-137 (21-I-1)	-116 (21-I-1)	-19 (14)
106	10	-1.82 (15)	3.82 (19)	-0.30 (15)	-130 (14)	-66 (21-I-1)	-34 (14)
106	11	-1.11 (15)	3.27 (19)	-0.35 (19)	-132 (14)	-39 (15)	-37 (14)
106	12	-0.75 (15)	2.68 (19)	-0.60 (19)	-136 (14)	-23 (14)	-38 (14)
106	13	2.42 (19)	3.30 (19)	-0.53 (15)	141 (15)	-82 (21-I-1)	-55 (19)
106	14	-1.77 (15)	3.15 (19)	-0.59 (15)	-134 (14)	51 (19)	-50 (19)
106	15	-1.22 (15)	2.92 (19)	-0.55 (15)	-140 (14)	42 (19)	-39 (19)
106	16	-0.80 (15)	2.60 (19)	-0.45 (15)	-149 (14)	32 (19)	-34 (14)
107	1	0.96 (19)	-0.24 (20-II-1)	0.21 (15)	89 (19)	-59 (21-I-1)	161 (15)
107	2	-0.50 (15)	-0.25 (15)	0.16 (20-II-1)	64 (19)	157 (19)	159 (15)
107	3	-0.33 (15)	-0.22 (20-II-1)	0.15 (20-II-1)	79 (19)	177 (19)	130 (15)
107	4	-0.30 (20-II-1)	-0.19 (20-II-1)	0.13 (20-II-1)	75 (19)	125 (19)	107 (15)
107	5	1.01 (19)	-0.29 (20-II-1)	0.22 (15)	57 (19)	-63 (21-I-1)	172 (15)

Muro	Pann.	Sxx	Syy	Sxy	Mxx	Myy	Mxy
107	6	-0.45 (15)	-0.28 (20-II-1)	0.16 (20-II-1)	51 (19)	152 (19)	154 (15)
107	7	-0.28 (15)	-0.28 (20-II-1)	0.15 (20-II-1)	67 (19)	168 (19)	119 (15)
107	8	-0.26 (20-II-1)	-0.25 (20-II-1)	0.11 (20-II-1)	68 (19)	128 (19)	91 (15)
107	9	1.03 (19)	-0.34 (20-II-1)	-0.30 (19)	-44 (21-I-2)	-59 (21-I-1)	169 (15)
107	10	-0.37 (15)	-0.38 (20-II-1)	0.18 (20-II-1)	42 (19)	137 (19)	136 (14)
107	11	-0.23 (15)	-0.37 (20-II-1)	0.13 (20-II-1)	48 (19)	150 (19)	104 (14)
107	12	-0.22 (21-II-1)	-0.33 (20-II-1)	-0.09 (15)	45 (19)	124 (19)	72 (14)
107	13	1.00 (19)	-0.60 (20-II-1)	-0.33 (19)	-74 (14)	47 (15)	132 (20-II-1)
107	14	-0.25 (15)	-0.54 (20-II-1)	0.18 (20-II-1)	-45 (15)	127 (19)	114 (20-II-1)
107	15	-0.17 (21-II-1)	-0.55 (19)	0.11 (20-II-1)	-40 (15)	118 (19)	79 (14)
107	16	-0.19 (21-II-1)	-0.54 (19)	-0.13 (15)	-32 (15)	86 (19)	29 (14)
108	1	0.29 (19)	0.13 (14)	0.38 (19)	67 (19)	97 (15)	95 (19)
108	2	-0.29 (15)	0.12 (14)	0.36 (19)	81 (14)	161 (15)	99 (15)
108	3	-0.32 (15)	0.12 (14)	0.34 (19)	88 (14)	159 (21-II-1)	111 (15)
108	4	-0.35 (15)	0.13 (14)	0.33 (19)	75 (14)	101 (21-II-1)	136 (15)
108	5	-0.46 (15)	0.09 (14)	0.31 (19)	84 (19)	89 (15)	97 (14)
108	6	-0.43 (15)	0.10 (14)	0.26 (19)	82 (14)	159 (15)	117 (15)
108	7	-0.41 (15)	0.12 (14)	0.24 (15)	90 (14)	174 (21-II-1)	121 (15)
108	8	-0.40 (15)	0.12 (14)	0.26 (15)	78 (14)	115 (21-II-1)	132 (15)
108	9	-0.64 (15)	-0.08 (21-I-1)	0.20 (20-II-1)	97 (19)	70 (15)	111 (15)
108	10	-0.54 (15)	-0.08 (21-I-1)	0.20 (20-II-1)	88 (19)	154 (19)	135 (15)
108	11	-0.45 (15)	0.09 (14)	0.20 (20-II-1)	91 (14)	176 (21-II-1)	131 (15)
108	12	-0.40 (15)	0.11 (19)	0.20 (20-II-1)	81 (14)	123 (21-II-1)	130 (15)
108	13	0.80 (19)	-0.21 (15)	0.20 (20-II-1)	93 (19)	49 (15)	139 (15)
108	14	-0.56 (15)	-0.20 (15)	0.18 (20-II-1)	86 (19)	159 (19)	152 (15)
108	15	-0.41 (15)	-0.17 (15)	0.17 (20-II-1)	89 (19)	174 (19)	135 (15)
108	16	-0.33 (15)	-0.13 (21-I-1)	0.16 (20-II-1)	84 (14)	127 (20-II-1)	121 (15)
109	1	0.24 (20-II-1)	0.58 (20-II-1)	0.36 (19)	-196 (15)	-83 (14)	-60 (20-I-1)
109	2	-0.06 (15)	0.35 (20-II-1)	0.20 (19)	-172 (15)	-19 (19)	33 (19)
109	3	-0.03 (15)	0.19 (20-II-1)	0.18 (19)	-155 (15)	33 (20-I-1)	52 (15)
109	4	0.03 (19)	-0.14 (19)	0.18 (19)	-117 (14)	37 (20-I-1)	102 (15)
109	5	0.26 (19)	0.23 (14)	0.42 (19)	-38 (20-II-1)	-42 (21-I-2)	73 (19)
109	6	0.09 (19)	0.20 (20-II-1)	0.37 (19)	-17 (15)	61 (15)	58 (15)
109	7	-0.09 (15)	0.12 (20-II-1)	0.31 (19)	-10 (13)	79 (14)	97 (15)
109	8	-0.09 (15)	-0.07 (20-I-1)	0.32 (19)	-13 (20-I-2)	77 (20-I-1)	145 (15)
109	9	0.26 (19)	0.17 (14)	0.42 (19)	36 (15)	69 (15)	93 (19)
109	10	0.14 (19)	0.15 (14)	0.41 (19)	51 (15)	114 (15)	70 (15)
109	11	-0.15 (15)	0.10 (14)	0.39 (19)	55 (15)	115 (14)	103 (15)
109	12	-0.19 (15)	0.05 (14)	0.38 (19)	43 (14)	79 (20-I-1)	148 (15)
109	13	0.27 (19)	0.13 (14)	0.41 (19)	62 (15)	91 (15)	100 (19)
109	14	-0.18 (15)	0.13 (14)	0.41 (19)	74 (15)	146 (15)	82 (15)
109	15	-0.22 (15)	0.11 (14)	0.39 (19)	79 (14)	139 (14)	105 (15)
109	16	-0.27 (15)	0.11 (14)	0.38 (19)	63 (14)	87 (21-II-1)	143 (15)
110	1	-0.25 (21-II-1)	-0.23 (20-II-1)	0.23 (20-II-1)	82 (19)	-61 (15)	134 (14)
110	2	-0.22 (21-II-1)	-0.18 (20-II-1)	0.16 (20-II-1)	140 (19)	199 (19)	85 (15)
110	3	-0.17 (20-I-1)	-0.12 (21-II-1)	0.10 (20-II-1)	132 (19)	224 (14)	-55 (19)
110	4	0.20 (15)	0.07 (15)	0.10 (19)	65 (14)	-118 (21-I-1)	-66 (19)
110	5	-0.24 (21-II-1)	-0.29 (20-II-1)	0.21 (20-II-1)	71 (19)	-57 (15)	138 (14)
110	6	-0.19 (21-II-1)	-0.21 (20-II-1)	0.14 (20-II-1)	117 (19)	169 (19)	84 (14)
110	7	-0.14 (20-I-1)	-0.13 (20-II-1)	-0.09 (15)	115 (19)	186 (14)	-62 (19)
110	8	0.16 (15)	-0.05 (21-II-1)	0.07 (19)	55 (14)	-95 (21-I-1)	-80 (19)
110	9	-0.21 (21-II-1)	-0.36 (19)	0.18 (20-II-1)	43 (19)	-46 (15)	129 (14)
110	10	-0.16 (21-I-2)	-0.31 (19)	0.11 (20-II-1)	74 (19)	134 (19)	81 (14)
110	11	-0.11 (21-I-2)	-0.20 (19)	-0.11 (15)	84 (19)	147 (19)	-66 (19)
110	12	0.12 (15)	-0.04 (21-II-1)	-0.04 (15)	39 (14)	-67 (21-I-1)	-88 (19)
110	13	-0.24 (21-II-4)	-0.51 (19)	0.13 (19)	-53 (20-II-1)	42 (19)	87 (14)
110	14	-0.10 (21-II-1)	-0.43 (19)	-0.08 (15)	-58 (21-II-1)	92 (19)	68 (14)
110	15	-0.04 (21-I-2)	-0.34 (19)	-0.12 (15)	-31 (20-II-1)	106 (19)	-62 (19)
110	16	0.08 (15)	-0.10 (19)	-0.08 (15)	-20 (20-II-1)	43 (14)	-84 (19)
111	1	-0.33 (20-I-1)	0.19 (14)	0.12 (19)	81 (14)	31 (21-II-1)	81 (15)
111	2	-0.30 (21-II-3)	0.16 (19)	0.12 (15)	133 (14)	282 (14)	102 (15)
111	3	-0.29 (20-I-2)	0.15 (19)	0.09 (19)	115 (14)	291 (14)	135 (15)
111	4	-0.31 (20-I-2)	0.13 (19)	0.09 (20-II-1)	50 (14)	-202 (21-I-1)	139 (14)
111	5	-0.35 (21-II-2)	0.19 (14)	0.15 (20-II-1)	81 (14)	22 (21-I-1)	99 (15)
111	6	-0.30 (21-II-3)	0.19 (19)	0.14 (20-II-1)	137 (14)	310 (14)	99 (15)
111	7	-0.28 (20-I-2)	0.17 (19)	0.12 (20-II-1)	120 (14)	333 (14)	100 (15)
111	8	-0.31 (20-I-2)	0.15 (19)	0.10 (19)	56 (14)	-217 (21-I-1)	88 (14)
111	9	-0.35 (21-II-1)	0.18 (19)	0.20 (20-II-1)	82 (14)	-39 (15)	114 (15)
111	10	-0.28 (21-II-1)	0.17 (19)	0.18 (20-II-1)	141 (14)	299 (14)	94 (15)
111	11	-0.25 (20-I-2)	0.16 (19)	0.15 (20-II-1)	124 (14)	331 (14)	65 (15)
111	12	-0.26 (20-I-2)	0.15 (14)	0.13 (19)	60 (14)	-202 (21-I-1)	41 (20-II-1)
111	13	-0.31 (21-II-1)	-0.13 (20-II-1)	0.22 (20-II-1)	87 (19)	-55 (15)	125 (15)
111	14	-0.25 (21-II-1)	-0.13 (21-I-1)	0.18 (20-II-1)	145 (19)	248 (14)	90 (15)
111	15	-0.20 (20-I-1)	-0.11 (21-I-1)	0.13 (19)	133 (19)	280 (14)	31 (15)

Muro	Pann.	Sxx	Syy	Sxy	Mxx	Myy	Mxy
111	16	0.19(15)	0.13(15)	0.13(19)	63(19)	-157(21-I-1)	-46(19)
112	1	-0.07(20-I-1)	-0.32(14)	-0.08(20-I-1)	-207(21-I-2)	30(14)	55(15)
112	2	-0.23(20-II-1)	-0.28(14)	0.09(19)	-337(21-II-1)	48(14)	102(15)
112	3	-0.25(20-II-1)	-0.27(15)	0.11(19)	-306(21-II-1)	41(14)	141(15)
112	4	-0.16(15)	-0.20(15)	0.10(15)	-160(20-II-1)	-60(20-II-1)	116(15)
112	5	-0.17(20-I-1)	-0.12(20-I-1)	-0.09(20-I-1)	-54(20-II-1)	38(14)	47(15)
112	6	-0.27(21-II-1)	-0.12(20-I-1)	0.10(19)	-93(20-II-1)	119(14)	112(15)
112	7	-0.26(20-II-1)	-0.11(15)	0.10(15)	-95(20-II-1)	114(14)	177(15)
112	8	-0.17(20-II-1)	-0.07(21-II-1)	0.06(20-II-1)	-71(20-II-1)	-98(20-II-1)	165(14)
112	9	-0.23(20-I-1)	0.05(14)	0.10(19)	43(15)	39(14)	50(15)
112	10	-0.29(21-II-3)	-0.06(20-I-1)	0.10(19)	62(15)	184(14)	107(15)
112	11	-0.28(20-I-2)	-0.07(21-I-1)	0.09(15)	47(15)	177(14)	176(15)
112	12	-0.22(20-II-1)	-0.07(21-I-1)	0.07(20-II-1)	-20(20-II-1)	-138(21-I-1)	175(14)
112	13	-0.27(20-I-1)	0.13(14)	0.11(19)	69(14)	35(21-II-1)	62(15)
112	14	-0.30(21-II-3)	0.10(19)	0.11(15)	111(14)	236(14)	105(15)
112	15	-0.29(20-I-2)	0.10(19)	0.09(15)	94(14)	233(14)	162(15)
112	16	-0.27(20-I-1)	0.08(19)	0.08(20-II-1)	36(14)	-173(21-I-1)	163(14)
113	1	-0.84(19)	0.32(19)	-0.31(21-I-1)	26(19)	-52(15)	-30(15)
113	2	-0.61(19)	0.30(19)	-0.30(21-I-1)	29(19)	29(20-II-2)	-37(15)
113	3	-0.35(19)	0.27(19)	-0.26(21-I-1)	21(13)	70(20-I-1)	-49(15)
113	4	-0.17(21-II-2)	0.24(19)	-0.16(14)	22(21-I-2)	-167(19)	-53(15)
113	5	-0.67(19)	0.36(19)	-0.26(21-I-1)	15(19)	-79(15)	30(19)
113	6	-0.51(19)	0.34(19)	-0.25(21-I-1)	10(19)	-39(15)	-39(15)
113	7	-0.35(21-II-2)	0.31(19)	-0.21(21-I-1)	12(20-I-1)	98(20-II-1)	-53(15)
113	8	-0.30(21-II-2)	0.29(19)	-0.14(14)	24(21-I-2)	-217(19)	-53(15)
113	9	-0.50(14)	0.33(19)	-0.18(15)	-12(21-II-3)	-109(15)	-30(15)
113	10	-0.40(19)	0.31(19)	-0.18(15)	-3(15)	-73(15)	-43(15)
113	11	-0.34(21-II-2)	0.30(19)	-0.16(15)	-14(19)	128(20-II-2)	-53(15)
113	12	-0.36(21-I-2)	0.28(19)	0.12(19)	-29(19)	260(21-I-2)	-47(15)
113	13	-0.36(14)	0.26(19)	-0.13(15)	-16(20-I-2)	-143(15)	-33(15)
113	14	-0.29(14)	0.24(19)	-0.13(15)	-11(15)	-103(15)	-47(15)
113	15	-0.28(21-I-2)	-0.26(20-II-2)	-0.12(15)	-24(19)	156(20-II-2)	-53(15)
113	16	-0.32(21-I-4)	-0.31(20-II-2)	0.13(19)	-38(19)	327(20-I-1)	-42(15)
114	1	-0.64(19)	0.36(19)	-0.32(19)	-66(19)	-58(15)	107(20-II-2)
114	2	-0.47(19)	0.39(19)	-0.34(19)	-49(19)	-39(15)	103(20-II-2)
114	3	-0.34(21-II-2)	0.41(19)	-0.32(19)	-34(20-II-2)	-65(21-I-2)	-92(15)
114	4	-0.19(21-II-2)	0.43(19)	-0.21(19)	-27(20-I-1)	144(19)	-75(15)
114	5	-0.50(19)	0.39(19)	-0.34(19)	-87(15)	-84(15)	116(20-II-2)
114	6	-0.38(19)	0.39(19)	-0.35(19)	-62(15)	-52(21-II-2)	112(20-II-2)
114	7	-0.31(21-II-2)	0.38(19)	-0.31(19)	-34(15)	-104(21-I-2)	97(20-II-2)
114	8	-0.26(21-II-2)	0.36(19)	-0.21(19)	-18(21-I-2)	202(19)	-58(15)
114	9	-0.37(19)	0.38(19)	-0.32(19)	-85(15)	-97(15)	104(20-II-2)
114	10	-0.30(19)	0.36(19)	-0.31(19)	-59(15)	-70(21-II-2)	97(20-II-2)
114	11	-0.27(21-II-3)	0.33(19)	-0.28(19)	-30(15)	-145(21-I-2)	82(20-II-2)
114	12	-0.29(21-II-3)	-0.33(21-II-3)	-0.20(19)	-18(21-I-2)	-249(21-I-2)	45(20-II-2)
114	13	-0.25(19)	0.38(19)	-0.26(19)	60(21-I-2)	-99(15)	83(20-II-2)
114	14	-0.22(19)	-0.39(21-II-3)	-0.25(19)	36(21-I-2)	-94(21-II-2)	74(20-II-2)
114	15	-0.22(21-II-3)	-0.41(21-II-3)	-0.23(19)	-16(15)	-185(21-I-2)	57(20-II-2)
114	16	-0.26(21-II-3)	-0.43(21-II-3)	-0.18(19)	22(19)	-307(20-I-1)	28(20-II-2)
115	1	-0.53(15)	0.44(19)	-0.55(15)	14(15)	-86(14)	-83(15)
115	2	-0.62(15)	0.42(19)	-0.53(15)	16(15)	-36(14)	-32(15)
115	3	-0.69(15)	0.42(19)	-0.52(15)	18(15)	31(19)	-38(19)
115	4	-0.77(15)	0.44(19)	-0.53(15)	18(19)	54(19)	-71(15)
115	5	-0.55(15)	0.42(19)	-0.62(15)	-21(15)	-194(15)	-79(15)
115	6	-0.55(15)	0.40(19)	-0.60(15)	-9(15)	-109(15)	-33(19)
115	7	-0.57(15)	0.41(19)	-0.60(15)	11(19)	51(19)	-36(19)
115	8	-0.59(15)	0.42(19)	-0.61(15)	18(19)	103(19)	-69(15)
115	9	-0.46(15)	0.38(14)	-0.59(15)	-50(15)	-328(15)	-70(15)
115	10	-0.44(15)	0.39(15)	-0.60(15)	-29(15)	-196(15)	-36(19)
115	11	-0.42(15)	0.39(14)	-0.62(15)	-11(15)	81(19)	-35(19)
115	12	-0.41(15)	0.37(14)	-0.64(15)	21(19)	149(19)	-62(15)
115	13	-0.29(15)	0.49(15)	-0.53(15)	-78(15)	-469(15)	-62(20-II-2)
115	14	-0.26(15)	0.51(15)	-0.56(15)	-52(15)	-285(15)	-39(19)
115	15	-0.25(19)	0.49(15)	-0.58(15)	-27(15)	119(19)	-35(19)
115	16	-0.27(19)	0.42(15)	-0.60(15)	23(19)	201(19)	-52(15)
116	1	-0.96(19)	0.46(19)	0.34(19)	18(15)	-18(15)	-14(14)
116	2	-1.18(19)	0.46(19)	0.19(19)	24(15)	16(19)	-36(15)
116	3	-1.21(19)	0.46(19)	-0.22(21-I-4)	24(15)	18(19)	-38(15)
116	4	-1.07(19)	0.46(19)	-0.31(21-I-4)	22(19)	19(19)	-28(15)
116	5	-0.74(19)	0.47(19)	0.32(19)	9(19)	-43(15)	-12(14)
116	6	-0.90(19)	0.49(19)	0.19(19)	13(19)	23(19)	-35(15)
116	7	-0.94(19)	0.49(19)	-0.18(21-I-4)	16(19)	28(19)	-38(15)
116	8	-0.84(19)	0.50(14)	-0.26(21-I-4)	18(15)	37(19)	-29(15)
116	9	-0.53(19)	0.43(14)	0.27(19)	-9(20-I-2)	-71(15)	-11(14)

Muro	Pann.	Sxx	Syy	Sxy	Mxx	Myy	Mxy
116	10	-0.66(19)	0.48(14)	0.17(19)	8(19)	-31(15)	-32(15)
116	11	-0.68(19)	0.49(14)	-0.13(21-I-4)	11(19)	38(19)	-35(15)
116	12	-0.61(19)	0.49(14)	-0.18(21-I-4)	14(15)	51(19)	-29(15)
116	13	-0.36(19)	0.48(15)	0.21(19)	-21(15)	-99(15)	-9(14)
116	14	-0.44(19)	0.48(15)	0.13(19)	-14(15)	-42(15)	-29(15)
116	15	-0.46(19)	0.47(15)	-0.08(15)	-7(21-II-3)	44(19)	-30(15)
116	16	-0.41(14)	0.44(15)	-0.11(15)	9(15)	58(19)	-26(15)
117	1	-0.41(21-I-1)	0.24(19)	-0.43(15)	35(15)	-25(21-II-2)	-44(15)
117	2	-0.51(21-I-1)	0.24(19)	-0.41(15)	46(15)	45(15)	-38(15)
117	3	-0.49(21-I-1)	0.21(19)	-0.40(15)	44(15)	50(15)	-30(21-II-2)
117	4	-0.38(21-I-1)	0.16(19)	-0.32(15)	29(15)	28(21-II-2)	-28(21-I-2)
117	5	-0.33(21-I-4)	0.23(19)	-0.43(15)	20(14)	-46(21-II-2)	-32(15)
117	6	-0.39(21-I-1)	0.23(19)	-0.38(15)	36(15)	-49(21-I-2)	-33(15)
117	7	-0.40(21-I-1)	0.21(19)	-0.34(15)	38(15)	64(15)	-32(15)
117	8	-0.39(21-I-1)	0.17(19)	-0.26(15)	29(15)	48(21-II-2)	-24(21-I-2)
117	9	-0.28(21-I-4)	0.19(19)	-0.40(15)	-29(21-I-2)	-62(21-II-2)	-21(15)
117	10	-0.31(21-I-1)	0.19(19)	-0.33(15)	-31(21-I-2)	-63(21-I-2)	-27(15)
117	11	-0.33(21-I-1)	0.17(19)	-0.28(15)	26(15)	67(15)	-35(15)
117	12	-0.37(21-II-2)	0.15(19)	-0.20(15)	24(15)	67(21-II-2)	-28(15)
117	13	-0.22(21-I-4)	0.14(19)	-0.34(15)	-37(21-I-2)	-73(15)	-23(21-II-2)
117	14	-0.23(21-I-4)	0.13(19)	-0.27(15)	-37(21-I-3)	-64(21-I-2)	-21(15)
117	15	-0.26(21-I-1)	0.12(19)	-0.21(15)	-27(21-I-2)	62(15)	-34(15)
117	16	-0.32(21-I-2)	-0.11(21-I-2)	-0.14(15)	16(15)	78(21-II-2)	-28(15)
118	1	-0.79(19)	-0.18(21-II-3)	0.21(14)	-13(19)	72(15)	-15(15)
118	2	-0.55(14)	-0.14(21-II-3)	0.25(14)	-14(19)	-34(19)	-5(19)
118	3	-0.44(21-II-2)	-0.10(21-II-3)	0.27(15)	-12(13)	-31(13)	-12(19)
118	4	-0.34(21-I-1)	0.16(19)	0.25(15)	-7(21-I-2)	31(19)	-14(13)
118	5	-0.69(19)	-0.14(21-I-2)	-0.23(19)	-14(19)	94(15)	14(19)
118	6	-0.48(14)	-0.14(21-II-3)	-0.23(19)	-13(19)	-49(19)	-4(19)
118	7	-0.40(21-I-1)	-0.14(21-II-3)	-0.19(19)	-8(19)	-36(13)	-8(19)
118	8	-0.36(21-I-4)	0.17(19)	0.17(15)	4(19)	-52(21-I-2)	-10(14)
118	9	-0.54(14)	-0.12(21-I-2)	-0.26(19)	-15(19)	121(15)	12(19)
118	10	-0.39(19)	-0.15(21-II-3)	-0.27(19)	-15(19)	-57(19)	-2(19)
118	11	-0.35(21-I-4)	-0.17(21-II-3)	-0.24(19)	-9(19)	-35(13)	9(15)
118	12	-0.38(21-I-4)	-0.19(21-II-3)	-0.15(19)	-4(20-I-3)	-74(21-I-2)	-4(14)
118	13	-0.37(14)	0.15(19)	-0.24(19)	23(21-II-3)	158(15)	-11(13)
118	14	-0.30(19)	-0.15(21-II-3)	-0.25(19)	16(21-II-3)	64(15)	5(15)
118	15	-0.27(21-I-4)	-0.17(21-II-3)	-0.23(19)	7(21-II-3)	-30(13)	13(15)
118	16	-0.33(21-I-4)	-0.20(21-II-3)	-0.15(19)	-2(13)	-88(21-I-2)	4(21-II-2)
119	1	-0.58(14)	-0.09(21-I-2)	-0.75(15)	20(19)	58(19)	30(15)
119	2	-0.39(21-I-4)	-0.07(21-I-2)	-0.71(15)	20(19)	46(19)	1(19)
119	3	-0.28(21-I-4)	0.12(19)	-0.63(15)	14(13)	-23(15)	6(13)
119	4	0.21(15)	0.18(15)	-0.52(15)	8(20-II-3)	-112(15)	18(21-I-2)
119	5	-0.45(14)	0.13(15)	-0.79(15)	18(19)	80(19)	35(15)
119	6	-0.34(21-I-4)	0.14(15)	-0.79(15)	15(13)	55(19)	3(15)
119	7	-0.32(21-I-4)	0.16(15)	-0.71(15)	9(13)	-35(15)	2(13)
119	8	-0.31(21-I-4)	0.18(15)	-0.56(15)	-11(15)	-144(15)	16(15)
119	9	-0.32(19)	0.30(15)	-0.76(15)	20(13)	99(19)	37(15)
119	10	-0.28(21-I-4)	0.25(15)	-0.76(15)	15(13)	62(19)	6(15)
119	11	-0.33(21-I-4)	0.21(15)	-0.69(15)	8(13)	-46(15)	2(15)
119	12	-0.41(21-I-2)	0.17(15)	-0.54(15)	-15(15)	-157(15)	19(15)
119	13	-0.19(19)	0.44(15)	-0.64(15)	23(15)	116(19)	36(15)
119	14	-0.22(21-I-4)	0.36(15)	-0.63(15)	12(13)	65(19)	7(15)
119	15	-0.31(21-I-4)	0.25(15)	-0.57(15)	-4(15)	-56(15)	4(15)
119	16	-0.44(21-I-2)	0.14(15)	-0.46(15)	-20(15)	-160(15)	19(15)
120	1	-1.72(15)	0.83(15)	-0.89(15)	177(19)	84(19)	220(15)
120	2	-1.15(15)	0.55(15)	-1.11(15)	133(19)	-60(14)	189(15)
120	3	-0.62(15)	0.37(15)	-1.05(15)	67(19)	-129(19)	135(15)
120	4	-0.27(15)	0.32(19)	-0.77(15)	-30(15)	-258(19)	95(15)
120	5	-1.11(15)	0.81(15)	-0.61(15)	77(19)	50(19)	214(15)
120	6	-0.90(15)	0.64(15)	-0.78(15)	55(19)	-82(15)	223(15)
120	7	-0.68(15)	0.48(15)	-0.80(15)	-46(15)	-202(15)	185(15)
120	8	-0.57(15)	0.38(15)	-0.69(15)	-52(15)	-353(15)	128(15)
120	9	-0.71(15)	0.77(15)	-0.47(15)	26(19)	107(15)	212(15)
120	10	-0.65(15)	0.68(15)	-0.57(15)	-14(15)	-91(15)	227(15)
120	11	-0.60(15)	0.58(15)	-0.62(15)	-40(15)	-312(15)	196(15)
120	12	-0.59(15)	0.50(15)	-0.60(15)	-72(15)	-554(15)	136(15)
120	13	-0.43(15)	0.86(15)	-0.38(15)	29(15)	216(15)	211(15)
120	14	-0.43(15)	0.81(15)	-0.44(15)	-12(15)	-94(15)	229(15)
120	15	-0.45(15)	0.73(15)	-0.49(15)	-53(15)	-422(15)	199(15)
120	16	-0.50(15)	0.64(15)	-0.52(15)	-99(15)	-761(15)	133(15)
121	1	-1.04(14)	-0.27(15)	0.30(20-I-4)	2(21-II-2)	24(21-II-4)	-22(21-II-4)
121	2	-1.11(14)	-0.21(15)	0.24(20-I-4)	4(21-II-4)	43(21-II-4)	-16(21-II-4)
121	3	-1.19(14)	-0.14(15)	-0.18(19)	7(21-II-4)	63(21-II-4)	-6(21-II-4)

**POTENZIAMENTO DELL'IMPIANTO DI DEPURAZIONE E
DEL RECAPITO FINALE DI SQUINZANO (LE)
PROGETTO DEFINITIVO
Tabulati di calcolo strutturale-Filtrazione**

R.37.9

Maggio 2021

Pagina 136 di
364

Muro	Pann.	Sxx	Syy	Sxy	Mxx	Myy	Mxy
121	4	-1.28 (14)	0.08 (19)	-0.23 (14)	9 (21-II-4)	83 (21-II-4)	4 (21-II-2)
121	5	-0.85 (14)	0.19 (19)	0.25 (20-I-4)	4 (21-II-2)	34 (21-II-4)	-22 (21-II-4)
121	6	-0.91 (14)	0.16 (19)	0.19 (20-I-4)	7 (21-II-4)	59 (21-II-4)	-16 (21-II-4)
121	7	-0.98 (14)	0.13 (19)	-0.14 (14)	10 (21-II-4)	85 (21-II-4)	-6 (21-II-4)
121	8	-1.05 (14)	0.11 (14)	-0.22 (14)	14 (21-II-4)	112 (21-II-4)	5 (21-II-2)
121	9	-0.64 (14)	0.17 (14)	0.17 (20-I-4)	6 (21-II-2)	43 (21-II-4)	-22 (21-II-4)
121	10	-0.70 (14)	0.15 (14)	0.12 (20-I-4)	10 (21-II-4)	75 (21-II-4)	-16 (21-II-4)
121	11	-0.75 (14)	0.14 (14)	-0.12 (14)	14 (21-II-4)	108 (21-II-4)	-6 (21-II-4)
121	12	-0.80 (14)	0.12 (14)	-0.19 (14)	18 (21-II-4)	141 (21-II-4)	4 (21-II-2)
121	13	-0.43 (14)	0.16 (14)	0.09 (20-I-4)	8 (21-II-2)	52 (21-II-4)	-21 (21-II-4)
121	14	-0.47 (14)	0.15 (14)	0.06 (20-I-4)	13 (21-II-4)	90 (21-II-4)	-16 (21-II-4)
121	15	-0.51 (14)	0.14 (14)	-0.09 (14)	18 (21-II-4)	130 (21-II-4)	-7 (21-II-4)
121	16	-0.55 (14)	0.12 (14)	-0.17 (14)	23 (21-II-4)	171 (21-II-4)	4 (21-II-2)
122	1	-0.74 (14)	-0.52 (15)	0.45 (20-I-4)	-6 (21-II-4)	-39 (21-II-4)	-20 (21-II-4)
122	2	-0.83 (14)	-0.45 (15)	0.42 (20-I-4)	-4 (21-II-4)	-24 (21-II-4)	-24 (21-II-4)
122	3	-0.91 (14)	-0.39 (15)	0.38 (20-I-4)	-3 (15)	-9 (21-II-4)	-26 (21-II-4)
122	4	-0.97 (14)	-0.33 (15)	0.34 (20-I-4)	-2 (15)	7 (21-II-2)	-25 (21-II-4)
122	5	-0.58 (14)	-0.38 (15)	0.38 (20-I-4)	-7 (21-II-4)	-51 (21-II-4)	-20 (21-II-4)
122	6	-0.66 (14)	-0.33 (15)	0.36 (20-I-4)	-4 (21-II-4)	-31 (21-II-4)	-24 (21-II-4)
122	7	-0.73 (14)	-0.28 (15)	0.33 (20-I-4)	-2 (21-II-4)	-11 (21-II-4)	-26 (21-II-4)
122	8	-0.79 (14)	-0.23 (15)	0.29 (20-I-4)	2 (14)	11 (21-II-2)	-25 (21-II-4)
122	9	-0.43 (14)	-0.31 (20-I-4)	0.28 (20-I-4)	-8 (21-II-4)	-62 (21-II-4)	-20 (21-II-4)
122	10	-0.49 (14)	-0.25 (20-I-4)	0.26 (20-I-4)	-5 (21-II-4)	-37 (21-II-4)	-24 (21-II-4)
122	11	-0.54 (14)	0.21 (19)	0.24 (20-I-4)	2 (14)	-12 (21-II-4)	-25 (21-II-4)
122	12	-0.59 (14)	0.19 (19)	0.21 (20-I-4)	3 (14)	15 (21-II-2)	-24 (21-II-4)
122	13	-0.30 (15)	-0.28 (20-I-4)	0.18 (14)	-10 (21-II-4)	-72 (21-II-4)	-20 (21-II-4)
122	14	-0.33 (14)	-0.22 (20-I-4)	0.16 (14)	-6 (21-II-4)	-42 (21-II-4)	-23 (21-II-4)
122	15	-0.36 (14)	-0.18 (20-I-4)	0.13 (20-I-4)	2 (14)	-13 (21-II-4)	-24 (21-II-4)
122	16	-0.40 (14)	0.16 (14)	0.12 (20-I-4)	4 (21-II-2)	19 (21-II-2)	-24 (21-II-4)
123	1	-0.40 (15)	-0.37 (15)	0.19 (14)	-10 (21-II-4)	-213 (15)	-27 (20-II-4)
123	2	-0.35 (19)	-0.36 (15)	0.25 (14)	16 (15)	-91 (15)	-43 (20-II-4)
123	3	-0.39 (19)	-0.35 (15)	0.29 (14)	42 (15)	-28 (21-II-4)	-49 (21-I-2)
123	4	-0.43 (19)	-0.35 (15)	0.32 (14)	66 (15)	60 (15)	-48 (21-II-4)
123	5	-0.40 (21-II-4)	-0.24 (15)	0.18 (14)	-15 (15)	-173 (15)	-26 (14)
123	6	-0.36 (21-II-4)	-0.24 (15)	0.23 (14)	3 (21-I-4)	-88 (21-II-4)	-36 (20-II-4)
123	7	-0.37 (19)	0.26 (19)	0.28 (14)	16 (15)	-35 (21-II-4)	-42 (21-I-2)
123	8	-0.39 (19)	0.29 (19)	0.31 (14)	30 (15)	44 (15)	-42 (21-II-4)
123	9	-0.40 (21-II-4)	-0.26 (21-II-4)	0.17 (14)	-18 (15)	-197 (21-II-4)	-30 (14)
123	10	-0.34 (21-II-4)	-0.24 (20-I-4)	0.21 (14)	-12 (15)	-109 (21-II-4)	29 (15)
123	11	-0.32 (19)	-0.23 (20-I-4)	0.25 (14)	23 (21-I-4)	-42 (21-II-4)	34 (15)
123	12	-0.32 (19)	0.24 (19)	0.28 (14)	39 (21-I-4)	32 (21-I-4)	31 (15)
123	13	-0.34 (20-II-4)	-0.27 (21-II-4)	0.14 (14)	-16 (15)	-209 (21-II-4)	-29 (14)
123	14	-0.27 (21-II-4)	-0.24 (20-I-4)	0.18 (14)	-15 (15)	-118 (21-II-4)	-31 (14)
123	15	-0.25 (19)	-0.22 (20-I-4)	0.21 (14)	30 (21-I-4)	-48 (21-II-4)	-34 (14)
123	16	-0.24 (19)	-0.20 (20-I-4)	0.23 (14)	46 (21-I-4)	32 (21-I-4)	-32 (14)
124	1	-0.86 (14)	0.66 (14)	0.58 (14)	-17 (19)	33 (21-II-4)	20 (21-II-4)
124	2	-1.02 (14)	0.65 (14)	0.51 (14)	-8 (19)	18 (19)	19 (21-II-4)
124	3	-1.13 (14)	0.64 (14)	0.42 (14)	-9 (20-I-4)	38 (19)	16 (21-II-4)
124	4	-1.20 (14)	0.63 (14)	0.33 (14)	-12 (15)	58 (19)	13 (21-II-4)
124	5	-0.68 (14)	0.62 (14)	0.57 (14)	-14 (19)	39 (21-II-4)	18 (21-II-4)
124	6	-0.79 (14)	0.64 (14)	0.51 (14)	-6 (19)	18 (19)	20 (21-II-4)
124	7	-0.88 (14)	0.65 (14)	0.42 (14)	-7 (20-I-4)	45 (19)	18 (21-II-4)
124	8	-0.94 (14)	0.65 (14)	0.33 (14)	12 (14)	74 (19)	15 (21-II-4)
124	9	-0.52 (19)	0.55 (14)	0.53 (14)	-8 (19)	47 (21-II-4)	17 (21-II-4)
124	10	-0.58 (14)	0.58 (14)	0.48 (14)	-2 (20-I-4)	22 (14)	19 (21-II-4)
124	11	-0.63 (14)	0.61 (14)	0.40 (14)	8 (14)	51 (14)	19 (21-II-4)
124	12	-0.68 (14)	0.63 (14)	0.30 (14)	14 (14)	82 (19)	16 (21-II-4)
124	13	-0.36 (19)	0.46 (14)	0.46 (14)	8 (21-II-4)	55 (21-II-4)	16 (21-II-4)
124	14	-0.37 (14)	0.52 (14)	0.41 (14)	5 (14)	27 (14)	18 (21-II-4)
124	15	-0.40 (14)	0.57 (14)	0.34 (14)	10 (14)	57 (14)	18 (21-II-4)
124	16	-0.43 (14)	0.61 (14)	0.26 (14)	16 (14)	89 (14)	15 (21-II-4)
125	1	-0.61 (19)	0.54 (19)	0.41 (19)	89 (15)	95 (15)	-15 (14)
125	2	-0.63 (19)	0.61 (19)	0.43 (19)	64 (15)	27 (15)	22 (21-I-4)
125	3	-0.66 (19)	0.71 (19)	0.46 (19)	31 (15)	100 (14)	20 (21-I-4)
125	4	-0.67 (19)	0.80 (19)	0.50 (19)	-9 (21-I-4)	-264 (15)	-27 (15)
125	5	-0.52 (19)	0.52 (19)	0.41 (14)	44 (15)	78 (15)	-27 (15)
125	6	-0.55 (19)	0.59 (19)	0.42 (14)	28 (15)	24 (21-I-2)	-34 (15)
125	7	-0.57 (19)	0.68 (19)	0.44 (14)	13 (21-I-2)	104 (14)	-33 (15)
125	8	-0.59 (19)	0.77 (19)	0.45 (14)	16 (14)	233 (14)	-27 (15)
125	9	-0.40 (19)	0.43 (19)	0.39 (14)	57 (21-I-4)	75 (21-I-1)	-32 (15)
125	10	-0.42 (19)	0.48 (19)	0.40 (14)	41 (21-I-4)	29 (21-I-2)	-40 (15)
125	11	-0.44 (19)	0.54 (19)	0.43 (15)	22 (21-I-2)	92 (14)	-36 (15)
125	12	-0.46 (19)	0.61 (19)	0.47 (15)	20 (14)	197 (14)	-25 (13)
125	13	-0.27 (19)	0.34 (14)	0.34 (14)	64 (21-I-4)	78 (21-I-1)	-28 (15)

Muro	Pann.	Sxx	Syy	Sxy	Mxx	Myy	Mxy
125	14	-0.27 (19)	0.37 (14)	0.37 (15)	49 (21-I-2)	31 (21-I-2)	-33 (15)
125	15	-0.28 (19)	0.41 (14)	0.41 (15)	30 (21-I-2)	73 (14)	-28 (15)
125	16	-0.31 (19)	0.45 (14)	0.44 (15)	26 (14)	-187 (21-II-4)	-26 (21-II-4)
126	1	-0.98 (19)	1.51 (19)	0.29 (19)	75 (15)	38 (15)	-67 (21-II-4)
126	2	-1.19 (19)	2.17 (19)	0.16 (19)	120 (15)	127 (15)	-53 (21-II-4)
126	3	-1.16 (19)	2.95 (19)	-0.24 (19)	-141 (14)	138 (15)	-25 (21-II-4)
126	4	-0.56 (19)	3.66 (19)	-0.93 (19)	-134 (14)	-113 (14)	-40 (14)
126	5	-0.76 (19)	1.26 (19)	0.19 (15)	44 (15)	27 (15)	-63 (21-II-4)
126	6	-0.82 (19)	1.65 (19)	0.36 (15)	-85 (14)	117 (15)	-55 (21-II-4)
126	7	-0.62 (19)	1.98 (19)	-0.70 (19)	-104 (14)	-142 (14)	-32 (21-II-4)
126	8	-0.67 (15)	2.05 (19)	-1.01 (19)	-88 (14)	-118 (14)	-30 (15)
126	9	-0.53 (19)	0.88 (19)	-0.38 (19)	48 (21-I-4)	22 (14)	-43 (21-II-4)
126	10	-0.49 (19)	1.03 (19)	-0.56 (19)	82 (21-II-1)	107 (21-I-4)	-45 (21-II-4)
126	11	-0.40 (15)	1.06 (19)	-0.75 (19)	93 (21-II-1)	131 (21-I-1)	-35 (21-II-4)
126	12	-0.66 (15)	0.87 (19)	-0.81 (19)	78 (21-II-1)	104 (21-I-4)	-41 (15)
126	13	-0.32 (19)	0.53 (14)	-0.46 (19)	49 (21-I-4)	-24 (21-II-4)	-54 (14)
126	14	-0.26 (19)	0.57 (14)	-0.56 (19)	80 (21-II-2)	107 (21-I-4)	-41 (14)
126	15	-0.38 (15)	0.61 (14)	-0.60 (19)	91 (21-II-1)	139 (21-I-1)	-36 (21-II-4)
126	16	-0.59 (15)	0.76 (15)	-0.54 (19)	79 (21-II-4)	118 (21-II-4)	-42 (15)
127	1	-0.68 (19)	1.16 (19)	0.29 (19)	13 (15)	233 (14)	47 (14)
127	2	-0.73 (19)	1.15 (19)	0.29 (19)	20 (15)	194 (14)	-33 (21-II-4)
127	3	-0.76 (19)	1.21 (19)	0.29 (19)	28 (15)	158 (14)	-46 (21-II-4)
127	4	-0.78 (19)	1.27 (19)	0.29 (19)	37 (15)	125 (14)	-53 (21-II-4)
127	5	-0.61 (19)	1.02 (19)	0.10 (15)	14 (14)	231 (14)	45 (15)
127	6	-0.63 (19)	1.00 (19)	0.11 (15)	7 (14)	196 (14)	32 (15)
127	7	-0.66 (19)	1.04 (19)	0.12 (15)	10 (15)	162 (14)	-41 (21-II-4)
127	8	-0.68 (19)	1.08 (19)	0.12 (15)	16 (15)	131 (14)	-48 (21-II-4)
127	9	-0.47 (19)	0.73 (19)	-0.28 (19)	20 (14)	204 (14)	42 (15)
127	10	-0.49 (19)	0.73 (19)	-0.29 (19)	14 (14)	174 (14)	35 (15)
127	11	-0.50 (19)	0.75 (19)	-0.30 (19)	16 (21-I-4)	146 (14)	33 (15)
127	12	-0.52 (19)	0.72 (19)	-0.30 (19)	22 (21-I-4)	120 (14)	32 (15)
127	13	-0.31 (19)	0.45 (14)	-0.37 (19)	28 (14)	-215 (21-I-4)	32 (15)
127	14	-0.31 (19)	0.49 (14)	-0.38 (19)	23 (14)	-181 (21-II-4)	28 (15)
127	15	-0.31 (19)	0.50 (14)	-0.39 (19)	19 (14)	-150 (21-II-4)	-33 (14)
127	16	-0.32 (19)	0.52 (14)	-0.42 (19)	25 (21-I-4)	-122 (21-II-4)	-41 (14)
128	1	-0.47 (19)	0.35 (19)	0.34 (14)	87 (15)	105 (15)	-43 (21-II-4)
128	2	-0.52 (19)	0.39 (19)	0.36 (19)	102 (15)	133 (15)	-33 (21-II-4)
128	3	-0.55 (19)	0.43 (19)	0.38 (19)	108 (15)	141 (15)	-22 (21-II-4)
128	4	-0.58 (19)	0.48 (19)	0.39 (19)	104 (15)	129 (15)	-14 (14)
128	5	-0.41 (19)	0.32 (19)	0.34 (14)	42 (15)	86 (15)	-38 (21-II-4)
128	6	-0.44 (19)	0.37 (19)	0.36 (14)	52 (15)	113 (15)	-30 (21-II-4)
128	7	-0.47 (19)	0.41 (19)	0.38 (14)	55 (15)	121 (15)	-21 (21-II-4)
128	8	-0.50 (19)	0.46 (19)	0.39 (14)	53 (15)	110 (15)	-17 (15)
128	9	-0.33 (19)	0.26 (19)	0.31 (14)	53 (21-I-4)	71 (21-I-4)	-26 (14)
128	10	-0.35 (19)	0.30 (19)	0.34 (14)	63 (21-I-4)	96 (21-I-4)	-23 (21-II-4)
128	11	-0.37 (19)	0.34 (19)	0.36 (14)	67 (21-I-4)	105 (21-I-4)	-19 (21-II-4)
128	12	-0.38 (19)	0.38 (19)	0.37 (14)	65 (21-I-4)	99 (21-I-4)	-19 (15)
128	13	-0.24 (19)	0.20 (14)	0.25 (14)	59 (21-I-4)	72 (21-I-4)	-27 (14)
128	14	-0.25 (19)	0.24 (14)	0.28 (14)	69 (21-I-4)	99 (21-I-4)	-19 (14)
128	15	-0.25 (19)	0.27 (14)	0.30 (14)	73 (21-I-4)	109 (21-I-4)	-17 (21-II-4)
128	16	-0.26 (19)	0.31 (14)	0.32 (14)	71 (21-I-4)	102 (21-I-4)	-20 (21-II-4)
129	1	-0.55 (19)	-0.84 (15)	0.50 (14)	-26 (19)	-133 (19)	-46 (20-II-4)
129	2	-0.60 (19)	-0.73 (15)	0.57 (14)	-29 (19)	-94 (19)	-8 (20-II-4)
129	3	-0.67 (19)	0.65 (14)	0.61 (14)	-27 (19)	-62 (14)	8 (20-I-4)
129	4	-0.74 (19)	0.65 (14)	0.61 (14)	-23 (19)	44 (21-II-4)	15 (21-II-4)
129	5	-0.60 (20-II-4)	-0.62 (15)	0.50 (14)	-24 (19)	-128 (19)	-52 (14)
129	6	-0.56 (19)	0.59 (14)	0.55 (14)	-25 (19)	-94 (19)	-13 (14)
129	7	-0.60 (19)	0.60 (14)	0.59 (14)	-23 (19)	76 (21-II-4)	-9 (14)
129	8	-0.63 (19)	0.61 (14)	0.59 (14)	-20 (19)	60 (21-II-4)	13 (21-II-4)
129	9	-0.64 (20-II-4)	-0.60 (21-I-1)	0.47 (14)	-20 (19)	155 (21-II-4)	-56 (14)
129	10	-0.54 (20-II-4)	-0.54 (21-I-1)	0.53 (14)	-18 (19)	125 (21-II-4)	-18 (14)
129	11	-0.50 (19)	0.50 (14)	0.55 (14)	-16 (19)	99 (21-II-4)	-11 (14)
129	12	-0.51 (19)	0.52 (14)	0.56 (14)	-13 (19)	76 (21-II-4)	12 (21-II-4)
129	13	-0.58 (20-II-4)	-0.63 (21-I-1)	0.43 (14)	17 (21-II-4)	182 (21-II-4)	-55 (14)
129	14	-0.44 (20-II-4)	-0.55 (21-I-1)	0.47 (14)	17 (21-II-4)	148 (21-II-4)	-20 (14)
129	15	-0.38 (19)	-0.49 (21-I-1)	0.49 (14)	15 (21-II-4)	117 (21-II-4)	-12 (14)
129	16	-0.37 (19)	-0.44 (21-I-1)	0.49 (14)	12 (21-II-4)	88 (21-II-4)	12 (21-II-4)
130	1	-0.65 (15)	-0.76 (15)	0.37 (20-I-4)	-10 (21-II-4)	-84 (21-II-4)	6 (21-II-4)
130	2	-0.58 (15)	-0.70 (15)	0.43 (20-I-4)	-9 (21-II-4)	-74 (21-II-4)	-7 (14)
130	3	-0.57 (20-I-4)	-0.64 (15)	0.46 (20-I-4)	-8 (21-II-4)	-63 (21-II-4)	-10 (14)
130	4	-0.64 (19)	-0.58 (15)	0.47 (20-I-4)	-7 (21-II-4)	-52 (21-II-4)	-14 (21-II-4)
130	5	-0.52 (20-I-4)	-0.52 (15)	0.33 (20-I-4)	-14 (21-II-4)	-116 (21-II-4)	5 (21-II-4)
130	6	-0.49 (20-I-4)	-0.48 (15)	0.37 (20-I-4)	-12 (21-II-4)	-100 (21-II-4)	-5 (14)
130	7	-0.49 (20-I-4)	-0.45 (15)	0.39 (20-I-4)	-10 (21-II-4)	-84 (21-II-4)	-8 (14)

**POTENZIAMENTO DELL'IMPIANTO DI DEPURAZIONE E
DEL RECAPITO FINALE DI SQUINZANO (LE)
PROGETTO DEFINITIVO
Tabulati di calcolo strutturale-Filtrazione**

R.37.9

Maggio 2021

Pagina 138 di
364

Muro	Pann.	Sxx	Syy	Sxy	Mxx	Myy	Mxy
130	8	-0.51(20-I-4)	-0.42(15)	0.39(20-I-4)	-9(21-II-4)	-69(21-II-4)	-15(21-II-4)
130	9	-0.50(20-I-4)	-0.51(20-I-4)	0.26(20-I-4)	-17(21-II-4)	-146(21-II-4)	3(21-II-4)
130	10	-0.44(20-I-4)	-0.45(20-I-4)	0.28(20-I-4)	-15(21-II-4)	-125(21-II-4)	-5(15)
130	11	-0.40(20-I-4)	-0.41(20-I-4)	0.28(20-I-4)	-13(21-II-4)	-105(21-II-4)	-9(21-II-4)
130	12	-0.40(15)	-0.36(20-I-4)	0.28(20-I-4)	-11(21-II-4)	-85(21-II-4)	-15(21-II-4)
130	13	-0.43(20-I-4)	-0.49(20-I-4)	0.17(20-I-4)	-21(21-II-4)	-173(21-II-4)	-3(15)
130	14	-0.34(20-I-4)	-0.42(20-I-4)	0.17(14)	-18(21-II-4)	-149(21-II-4)	-5(15)
130	15	-0.30(20-I-4)	-0.37(20-I-4)	0.19(14)	-16(21-II-4)	-124(21-II-4)	-11(21-II-4)
130	16	-0.29(15)	-0.33(20-I-4)	0.19(14)	-13(21-II-4)	-99(21-II-4)	-16(21-II-4)
131	1	-0.44(15)	-0.47(15)	-0.14(19)	-199(15)	17(19)	21(15)
131	2	-0.29(15)	-0.39(20-II-1)	-0.13(14)	-161(15)	20(19)	23(15)
131	3	-0.30(21-I-1)	-0.39(20-I-1)	-0.12(14)	-189(21-II-4)	18(19)	19(15)
131	4	-0.33(21-I-1)	-0.34(20-I-1)	-0.10(14)	-197(21-II-4)	17(19)	12(15)
131	5	-0.40(15)	-0.40(15)	0.10(20-I-4)	-81(15)	7(15)	19(15)
131	6	-0.28(15)	-0.35(20-II-1)	-0.09(15)	-84(21-II-4)	7(19)	27(15)
131	7	-0.29(21-I-1)	-0.33(20-I-1)	-0.09(15)	-105(21-II-4)	-13(15)	22(15)
131	8	-0.30(21-I-1)	-0.26(20-I-1)	-0.07(14)	-116(21-II-4)	-12(15)	12(15)
131	9	-0.37(15)	-0.36(21-II-4)	0.14(20-I-4)	-26(21-II-4)	25(15)	-25(21-II-4)
131	10	-0.27(15)	-0.33(20-II-1)	0.12(20-I-4)	-34(21-II-4)	10(21-I-4)	26(15)
131	11	-0.27(21-I-1)	-0.28(20-II-1)	0.08(20-I-4)	-44(21-II-4)	16(21-I-4)	23(15)
131	12	-0.28(21-I-1)	-0.22(20-I-1)	-0.06(15)	-56(21-II-4)	19(21-I-4)	14(15)
131	13	-0.34(15)	-0.38(19)	0.17(20-I-4)	54(15)	40(15)	-25(21-II-4)
131	14	-0.26(15)	-0.32(20-II-1)	0.14(20-I-4)	-38(14)	17(21-I-4)	-21(21-II-4)
131	15	-0.25(21-I-1)	-0.26(20-II-1)	0.10(20-I-4)	-31(14)	26(21-I-4)	18(15)
131	16	-0.26(21-I-1)	-0.19(20-II-1)	-0.04(15)	-21(14)	28(21-I-4)	12(15)
132	1	-0.30(15)	-0.41(19)	0.19(20-I-4)	82(15)	49(15)	-19(21-II-4)
132	2	-0.25(15)	-0.34(19)	0.16(20-I-4)	-64(14)	22(20-I-4)	-19(21-II-4)
132	3	-0.22(21-I-1)	-0.27(19)	0.12(20-I-4)	-53(14)	32(20-I-1)	-16(21-II-4)
132	4	-0.23(21-I-1)	-0.19(19)	0.06(20-I-4)	-39(14)	34(21-I-4)	-13(21-II-4)
132	5	-0.27(15)	-0.43(19)	0.20(20-I-4)	70(15)	46(15)	10(19)
132	6	-0.23(15)	-0.36(19)	0.18(20-I-4)	-63(14)	-23(14)	-12(21-II-4)
132	7	-0.19(21-I-1)	-0.28(19)	0.14(20-I-4)	-55(14)	32(20-I-4)	-17(21-II-4)
132	8	-0.20(21-I-1)	-0.20(19)	0.09(20-I-4)	-43(14)	35(20-I-4)	-22(21-II-4)
132	9	-0.24(15)	-0.43(19)	0.23(21-I-4)	-26(19)	29(15)	-15(15)
132	10	0.20(14)	-0.36(19)	0.20(20-I-4)	-28(19)	-17(14)	-23(15)
132	11	0.17(14)	-0.29(19)	0.16(20-I-4)	-30(19)	23(20-I-4)	-21(15)
132	12	-0.17(20-II-4)	-0.21(19)	0.11(20-I-4)	-31(19)	28(20-I-4)	-26(21-II-4)
132	13	-0.21(15)	-0.43(20-I-4)	0.26(21-I-4)	-138(15)	-12(14)	-20(15)
132	14	0.19(14)	-0.37(20-I-4)	0.23(20-I-4)	-110(15)	-8(14)	-22(15)
132	15	0.16(14)	-0.30(20-I-4)	0.18(20-I-4)	-75(21-I-4)	-12(15)	-19(21-II-4)
132	16	-0.14(20-II-4)	-0.22(20-I-4)	0.12(20-I-4)	-64(21-I-4)	17(21-II-4)	-24(21-II-4)
133	1	-0.51(15)	0.34(19)	0.36(14)	-36(15)	-96(15)	26(20-II-1)
133	2	-0.53(15)	-0.38(20-I-2)	0.40(15)	-59(15)	-197(15)	25(20-II-1)
133	3	-0.54(15)	-0.44(21-I-1)	0.47(15)	-79(15)	-314(15)	26(19)
133	4	-0.51(15)	-0.50(21-I-1)	0.53(15)	-95(15)	-442(15)	43(19)
133	5	-0.79(15)	0.37(14)	0.44(14)	47(19)	-84(15)	25(20-II-1)
133	6	-0.83(15)	-0.34(20-II-1)	0.45(14)	37(19)	-199(15)	23(20-II-1)
133	7	-0.84(15)	-0.41(20-II-1)	0.54(15)	-43(15)	-336(15)	20(20-II-1)
133	8	-0.80(15)	-0.49(20-II-1)	0.64(15)	-72(15)	-496(15)	-45(15)
133	9	-1.14(15)	0.47(14)	0.52(14)	82(19)	-57(15)	-58(15)
133	10	-1.24(15)	0.41(14)	0.58(14)	73(19)	-178(15)	-45(15)
133	11	-1.26(15)	-0.41(20-II-1)	0.63(15)	60(19)	-337(15)	-38(15)
133	12	-1.20(15)	-0.53(20-II-1)	0.80(15)	-75(15)	-533(15)	-62(15)
133	13	-1.68(15)	0.66(14)	0.69(21-I-1)	114(19)	-41(19)	-126(15)
133	14	-1.74(15)	0.58(14)	0.95(21-I-1)	120(19)	-125(15)	-104(15)
133	15	-1.75(15)	-0.43(20-II-1)	0.99(21-I-1)	114(19)	-287(15)	-69(15)
133	16	-1.82(15)	-0.64(20-II-1)	0.92(15)	117(19)	-533(15)	-78(15)
134	1	-1.10(15)	3.66(19)	-1.41(19)	-107(14)	-66(14)	-55(14)
134	2	-1.61(15)	3.51(19)	-1.40(19)	-76(14)	-71(21-I-4)	-56(14)
134	3	-2.00(15)	3.17(19)	-1.06(19)	-38(14)	-162(15)	-49(14)
134	4	-2.02(15)	2.79(19)	0.43(15)	47(19)	-262(15)	-60(14)
134	5	-1.04(15)	1.82(19)	-1.02(19)	-57(14)	-60(14)	-41(15)
134	6	-1.19(15)	1.66(19)	-0.84(19)	-30(14)	-77(15)	-45(15)
134	7	-1.27(15)	1.47(19)	0.58(15)	9(21-II-4)	-165(15)	-48(15)
134	8	-1.20(15)	1.39(19)	0.34(15)	34(19)	-279(15)	-73(15)
134	9	-0.79(15)	0.68(19)	0.72(15)	56(21-II-4)	57(21-II-4)	-56(15)
134	10	-0.79(15)	0.55(19)	0.64(15)	36(21-II-4)	-86(15)	-60(15)
134	11	-0.72(15)	0.53(14)	0.50(15)	-16(15)	-158(15)	-60(15)
134	12	-0.60(15)	0.53(14)	0.30(15)	-24(15)	-244(15)	-76(15)
134	13	-0.61(15)	1.02(15)	0.46(15)	59(21-II-4)	74(21-II-4)	-55(15)
134	14	-0.53(15)	1.20(15)	0.45(15)	41(21-II-4)	-87(15)	-57(15)
134	15	-0.32(15)	1.31(15)	0.41(15)	21(21-II-4)	-138(15)	-53(15)
134	16	-0.20(19)	1.37(15)	0.26(15)	23(14)	-199(21-I-4)	-66(15)
135	1	-0.45(15)	1.52(15)	-0.24(19)	37(21-II-4)	77(21-II-4)	-49(15)

Muro	Pann.	Sxx	Syy	Sxy	Mxx	Myy	Mxy
135	2	-0.44 (15)	1.77 (15)	0.20 (15)	25 (21-II-4)	-85 (15)	-49 (15)
135	3	-0.21 (15)	2.02 (15)	0.25 (15)	20 (19)	-123 (15)	-44 (15)
135	4	-0.41 (19)	2.17 (15)	0.21 (20-I-2)	24 (19)	-169 (21-I-4)	-61 (15)
135	5	-0.49 (15)	1.64 (15)	-0.16 (19)	27 (21-II-4)	77 (21-II-4)	-47 (15)
135	6	-0.44 (15)	1.92 (15)	0.14 (20-I-1)	17 (21-II-4)	-84 (15)	-48 (15)
135	7	-0.20 (15)	2.27 (15)	0.18 (20-I-2)	21 (19)	-116 (15)	-43 (15)
135	8	-0.52 (19)	2.54 (15)	0.20 (20-I-2)	26 (19)	-152 (21-I-4)	-60 (15)
135	9	-0.46 (15)	1.70 (15)	0.09 (20-I-4)	19 (21-II-4)	77 (21-II-4)	-45 (15)
135	10	-0.43 (15)	1.98 (15)	0.12 (20-I-4)	16 (19)	-84 (15)	-46 (15)
135	11	-0.21 (15)	2.41 (15)	0.16 (21-I-1)	21 (19)	-110 (15)	-43 (15)
135	12	0.61 (15)	2.98 (15)	0.19 (20-I-2)	27 (19)	-134 (21-I-4)	-59 (15)
135	13	-0.41 (15)	1.72 (15)	-0.13 (15)	14 (19)	78 (21-II-4)	-44 (21-II-4)
135	14	-0.37 (15)	1.96 (15)	-0.23 (15)	15 (19)	-83 (15)	-44 (15)
135	15	-0.15 (15)	2.33 (15)	-0.35 (15)	18 (19)	-108 (15)	-43 (15)
135	16	0.68 (15)	3.15 (15)	-0.45 (15)	26 (19)	113 (19)	-70 (15)
136	1	-1.25 (14)	0.65 (14)	0.11 (15)	13 (14)	79 (14)	24 (14)
136	2	-1.28 (14)	0.67 (14)	-0.16 (14)	9 (14)	57 (14)	34 (14)
136	3	-1.27 (14)	0.69 (14)	-0.34 (21-II-4)	3 (14)	30 (14)	38 (14)
136	4	-1.19 (14)	0.71 (14)	-0.51 (21-II-4)	9 (15)	21 (21-I-4)	34 (14)
136	5	-0.98 (14)	0.68 (14)	0.07 (15)	18 (14)	109 (14)	22 (14)
136	6	-0.99 (14)	0.69 (14)	-0.18 (14)	10 (14)	70 (14)	30 (14)
136	7	-0.96 (14)	0.69 (14)	-0.33 (14)	-2 (20-I-4)	31 (14)	35 (14)
136	8	-0.90 (14)	0.68 (14)	-0.46 (14)	-10 (19)	16 (21-I-4)	32 (14)
136	9	-0.70 (14)	0.66 (14)	-0.06 (19)	21 (14)	133 (14)	21 (21-II-4)
136	10	-0.70 (14)	0.66 (14)	-0.18 (14)	12 (14)	82 (14)	28 (21-II-4)
136	11	-0.68 (14)	0.65 (14)	-0.31 (14)	3 (14)	33 (14)	31 (21-II-4)
136	12	-0.64 (14)	0.62 (14)	-0.43 (14)	-7 (19)	-17 (14)	30 (14)
136	13	-0.43 (14)	0.65 (14)	-0.05 (19)	24 (14)	153 (14)	21 (21-II-4)
136	14	-0.43 (14)	0.65 (14)	-0.16 (14)	14 (14)	94 (14)	28 (21-II-4)
136	15	-0.42 (14)	0.62 (14)	-0.27 (14)	5 (14)	36 (14)	32 (21-II-4)
136	16	-0.41 (14)	0.56 (14)	-0.36 (14)	-4 (14)	-20 (14)	31 (21-II-4)
137	1	-0.45 (15)	-0.42 (15)	0.24 (14)	-19 (14)	-227 (14)	32 (20-II-4)
137	2	-0.39 (15)	-0.40 (15)	0.30 (14)	-16 (15)	-132 (14)	33 (20-II-4)
137	3	-0.35 (15)	-0.39 (15)	0.34 (14)	-41 (15)	-59 (14)	33 (21-I-4)
137	4	-0.39 (19)	-0.37 (15)	0.37 (14)	-63 (15)	-64 (15)	27 (21-I-4)
137	5	-0.38 (21-I-4)	0.28 (14)	0.23 (14)	-21 (14)	-231 (14)	31 (20-II-4)
137	6	-0.34 (15)	0.28 (19)	0.29 (14)	-12 (21-II-4)	-143 (14)	29 (20-II-4)
137	7	-0.32 (19)	0.30 (19)	0.33 (14)	-22 (21-II-4)	-72 (14)	-32 (15)
137	8	-0.35 (19)	0.32 (19)	0.37 (14)	-31 (21-II-4)	-66 (21-II-4)	-32 (15)
137	9	-0.42 (21-I-4)	-0.27 (20-I-4)	0.22 (14)	-20 (14)	-216 (14)	32 (14)
137	10	-0.34 (21-I-4)	0.24 (14)	0.27 (14)	-17 (21-II-4)	-141 (14)	-29 (15)
137	11	-0.29 (21-I-4)	0.25 (19)	0.31 (14)	-32 (21-II-4)	-81 (14)	-38 (15)
137	12	-0.29 (19)	0.27 (19)	0.35 (14)	-46 (21-II-4)	-87 (21-II-4)	-38 (15)
137	13	-0.39 (20-I-4)	-0.26 (20-I-4)	0.19 (14)	-20 (14)	-188 (14)	29 (14)
137	14	-0.30 (21-I-4)	-0.22 (20-I-4)	0.23 (14)	-25 (21-II-4)	-135 (14)	-23 (15)
137	15	-0.24 (21-I-4)	0.21 (14)	0.26 (14)	-41 (21-II-4)	-89 (14)	-31 (15)
137	16	-0.22 (19)	0.24 (14)	0.29 (14)	-55 (21-II-4)	-100 (21-II-4)	-33 (15)
138	1	-0.47 (15)	0.81 (14)	0.20 (21-I-1)	38 (14)	212 (14)	99 (15)
138	2	-0.41 (15)	0.78 (14)	0.26 (21-I-1)	34 (14)	177 (14)	61 (14)
138	3	-0.36 (15)	0.74 (14)	0.31 (21-I-1)	39 (15)	146 (14)	48 (14)
138	4	-0.31 (19)	0.69 (14)	0.34 (15)	57 (15)	200 (15)	36 (14)
138	5	-0.77 (15)	0.77 (14)	0.20 (21-I-1)	45 (19)	-197 (15)	109 (15)
138	6	-0.72 (15)	0.72 (14)	0.30 (21-I-1)	57 (19)	148 (14)	66 (14)
138	7	-0.62 (15)	0.64 (14)	0.38 (21-I-1)	71 (19)	120 (14)	50 (14)
138	8	-0.50 (15)	0.56 (14)	0.46 (15)	89 (15)	185 (15)	36 (19)
138	9	-1.20 (15)	0.77 (14)	0.23 (21-I-1)	106 (19)	-325 (15)	124 (15)
138	10	-1.13 (15)	0.68 (14)	0.41 (21-I-1)	124 (19)	117 (14)	96 (15)
138	11	-0.95 (15)	0.54 (14)	0.52 (21-I-1)	138 (19)	88 (14)	82 (15)
138	12	-0.71 (15)	0.47 (19)	0.62 (15)	137 (19)	168 (15)	75 (15)
138	13	-1.93 (15)	0.73 (14)	0.30 (14)	236 (19)	-438 (15)	129 (15)
138	14	-1.73 (15)	0.60 (14)	0.67 (21-I-1)	230 (19)	106 (19)	142 (15)
138	15	-1.33 (15)	0.39 (14)	0.83 (21-I-1)	198 (19)	64 (15)	166 (15)
138	16	-0.90 (15)	0.32 (19)	0.84 (15)	161 (19)	128 (15)	158 (15)
139	1	0.51 (14)	-0.25 (19)	0.19 (19)	-233 (14)	-39 (14)	67 (15)
139	2	0.60 (19)	-0.40 (19)	0.15 (19)	-249 (14)	-30 (14)	75 (15)
139	3	0.75 (19)	-0.52 (19)	0.09 (14)	-253 (14)	-22 (14)	75 (15)
139	4	0.83 (19)	-0.60 (19)	0.32 (15)	-242 (14)	-20 (15)	73 (14)
139	5	0.57 (14)	-0.25 (19)	0.20 (19)	-207 (14)	-34 (14)	63 (15)
139	6	0.61 (19)	-0.40 (19)	0.15 (19)	-216 (14)	-24 (14)	67 (15)
139	7	0.74 (19)	-0.53 (19)	0.08 (14)	-215 (14)	-15 (14)	59 (15)
139	8	0.83 (19)	-0.63 (19)	0.31 (15)	-201 (14)	-28 (15)	47 (14)
139	9	0.58 (14)	-0.25 (19)	0.21 (19)	-181 (14)	-32 (21-I-4)	63 (15)
139	10	0.61 (19)	-0.41 (19)	0.16 (19)	-184 (14)	-28 (21-II-4)	65 (15)
139	11	0.75 (19)	-0.55 (19)	0.08 (14)	-180 (14)	-20 (15)	53 (15)

Muro	Pann.	Sxx	Syy	Sxy	Mxx	Myy	Mxy
139	12	0.85(19)	-0.65(19)	0.30(15)	-163(14)	-37(15)	36(14)
139	13	0.58(14)	-0.26(19)	0.23(19)	-156(14)	-38(21-II-4)	65(15)
139	14	0.54(19)	-0.42(19)	0.16(19)	-153(14)	-34(21-II-4)	66(15)
139	15	0.71(19)	-0.57(19)	0.08(14)	-146(14)	-27(15)	50(15)
139	16	0.84(19)	-0.66(19)	0.28(15)	-128(14)	-47(15)	-40(21-I-4)
140	1	-0.81(19)	1.04(19)	-0.27(15)	-93(15)	-33(15)	50(21-I-4)
140	2	-1.00(19)	1.46(19)	-0.18(15)	-157(15)	140(14)	-35(14)
140	3	-1.03(19)	1.93(19)	-0.38(19)	-191(15)	204(14)	-31(21-II-4)
140	4	-0.99(15)	2.18(19)	-1.06(19)	-181(15)	186(14)	-82(21-II-4)
140	5	-0.61(19)	0.88(19)	-0.08(19)	-59(15)	-32(21-II-4)	-54(15)
140	6	-0.65(19)	1.07(19)	-0.26(19)	-105(15)	136(14)	-49(15)
140	7	-0.63(21-I-4)	1.17(19)	-0.54(19)	-122(15)	206(14)	-40(21-II-4)
140	8	-1.00(15)	-0.96(15)	-0.76(19)	-98(15)	195(14)	-74(21-II-4)
140	9	-0.41(19)	0.69(19)	-0.21(19)	-64(21-II-4)	-45(21-II-4)	-76(15)
140	10	-0.39(19)	0.73(19)	-0.33(19)	-104(21-I-3)	117(14)	-68(15)
140	11	-0.49(15)	0.65(19)	-0.43(19)	-115(21-I-3)	194(14)	-41(14)
140	12	-0.77(15)	0.41(19)	-0.42(19)	-93(21-I-4)	204(14)	-51(21-II-4)
140	13	-0.25(19)	0.59(14)	-0.24(19)	-63(21-II-4)	-52(21-II-4)	-78(15)
140	14	-0.26(21-I-4)	0.58(14)	-0.28(19)	-93(21-II-3)	-123(21-II-4)	-70(15)
140	15	-0.35(15)	0.55(14)	-0.28(19)	-98(20-II-2)	175(14)	-40(14)
140	16	-0.50(15)	0.52(14)	-0.21(19)	-77(20-II-2)	208(14)	-48(14)
141	1	-0.57(19)	0.45(19)	0.37(19)	-85(15)	-87(15)	-43(21-II-4)
141	2	-0.58(19)	0.48(19)	0.39(19)	-59(15)	37(21-I-3)	-49(21-II-4)
141	3	-0.59(19)	0.53(19)	0.41(19)	-28(15)	106(15)	-41(21-II-4)
141	4	-0.59(19)	0.58(19)	0.43(19)	14(21-II-4)	293(15)	15(15)
141	5	-0.47(19)	0.45(19)	0.41(14)	-41(15)	-71(15)	-41(21-II-4)
141	6	-0.48(19)	0.49(19)	0.41(14)	-25(15)	35(21-I-3)	-46(21-II-4)
141	7	-0.50(19)	0.54(19)	0.42(14)	-6(21-II-2)	113(21-II-4)	-38(21-II-4)
141	8	-0.51(19)	0.59(19)	0.42(14)	-13(14)	248(15)	9(15)
141	9	-0.35(19)	0.42(19)	0.42(14)	-53(21-II-4)	-47(15)	-31(21-II-4)
141	10	-0.36(19)	0.45(19)	0.43(14)	-36(21-II-1)	35(21-I-3)	-34(14)
141	11	-0.37(19)	0.48(19)	0.43(14)	-14(21-II-3)	137(21-I-4)	-30(14)
141	12	-0.39(19)	0.53(19)	0.43(14)	-16(14)	285(21-II-4)	5(13)
141	13	-0.23(19)	0.41(14)	0.39(14)	-61(21-II-4)	-39(21-II-3)	-33(14)
141	14	-0.23(19)	0.45(14)	0.40(14)	-43(21-II-3)	39(21-II-4)	-37(14)
141	15	-0.24(19)	0.47(14)	0.40(14)	-21(21-I-4)	146(21-II-4)	-33(14)
141	16	-0.26(19)	0.51(14)	0.39(14)	-21(14)	298(21-II-4)	-9(15)
142	1	-1.03(14)	0.70(14)	-0.65(21-II-4)	-15(19)	-38(14)	26(14)
142	2	-0.83(14)	0.68(14)	-0.73(21-II-4)	-21(19)	-77(14)	16(21-II-4)
142	3	-0.68(15)	-0.65(15)	-0.73(21-II-4)	-25(19)	-123(14)	14(20-II-4)
142	4	-0.69(15)	-0.82(15)	-0.61(21-II-4)	-24(19)	-173(14)	43(20-II-3)
142	5	-0.80(14)	0.66(14)	-0.56(14)	-16(19)	-54(14)	26(14)
142	6	-0.67(14)	0.63(14)	-0.62(14)	-21(19)	-97(14)	18(21-II-4)
142	7	-0.63(20-I-4)	0.60(14)	-0.62(14)	-24(19)	-144(14)	14(20-II-3)
142	8	-0.66(20-II-4)	-0.60(15)	-0.56(14)	-25(19)	-193(14)	37(20-II-3)
142	9	-0.58(14)	0.58(14)	-0.51(14)	-13(19)	-65(14)	26(14)
142	10	-0.52(14)	0.54(14)	-0.56(14)	-18(19)	-111(14)	20(14)
142	11	-0.56(20-I-4)	-0.52(21-II-4)	-0.56(14)	-22(14)	-160(14)	13(14)
142	12	-0.68(20-II-4)	-0.62(21-II-4)	-0.51(14)	-29(14)	-209(14)	31(14)
142	13	-0.39(14)	0.50(14)	-0.43(14)	-12(14)	-73(14)	28(21-II-4)
142	14	-0.37(14)	0.44(14)	-0.47(14)	-18(14)	-122(14)	22(14)
142	15	-0.43(20-II-4)	-0.53(21-II-3)	-0.48(14)	-25(14)	-174(14)	15(14)
142	16	-0.61(20-II-4)	-0.63(21-II-4)	-0.45(14)	-35(14)	-226(14)	31(14)
143	1	-0.45(19)	0.37(19)	0.38(14)	-83(15)	-109(15)	18(21-I-4)
143	2	-0.49(19)	0.39(19)	0.39(14)	-98(15)	-135(15)	-12(14)
143	3	-0.53(19)	0.41(19)	0.38(14)	-103(15)	-140(15)	-18(21-II-4)
143	4	-0.55(19)	0.43(19)	0.37(14)	-99(15)	-126(15)	-32(21-II-4)
143	5	-0.38(19)	0.34(19)	0.39(14)	-41(15)	-94(15)	-27(15)
143	6	-0.41(19)	0.37(19)	0.40(14)	-50(15)	-118(15)	-18(15)
143	7	-0.43(19)	0.40(19)	0.41(14)	-53(15)	-123(15)	-18(21-II-4)
143	8	-0.45(19)	0.42(19)	0.41(14)	-50(15)	-109(15)	-31(21-II-4)
143	9	-0.30(19)	0.30(19)	0.37(14)	-58(21-II-4)	-108(21-II-4)	-33(15)
143	10	-0.32(19)	0.33(19)	0.39(14)	-66(21-II-4)	-114(21-II-4)	-22(15)
143	11	-0.33(19)	0.36(19)	0.41(14)	-68(21-II-4)	-105(21-II-4)	-20(21-II-4)
143	12	-0.34(19)	0.38(19)	0.42(14)	-64(21-II-4)	-81(21-II-4)	-26(21-II-4)
143	13	-0.22(19)	0.27(14)	0.32(14)	-67(21-II-4)	-120(21-II-4)	-29(15)
143	14	-0.22(19)	0.31(14)	0.34(14)	-74(21-II-4)	-124(21-II-4)	-22(21-II-4)
143	15	-0.23(19)	0.35(14)	0.36(14)	-76(21-II-4)	-113(21-II-4)	-22(21-II-4)
143	16	-0.23(19)	0.38(14)	0.37(14)	-71(21-II-4)	-86(21-II-4)	-23(14)
144	1	0.30(14)	-0.47(19)	0.08(14)	123(15)	90(15)	-34(14)
144	2	0.27(14)	-0.37(19)	0.07(14)	104(15)	45(20-I-4)	-29(15)
144	3	0.21(14)	-0.28(19)	0.08(15)	106(21-II-4)	60(20-I-4)	-34(15)
144	4	-0.21(21-II-3)	-0.20(19)	0.06(15)	106(21-II-4)	59(20-I-4)	-31(21-II-4)
144	5	-0.32(15)	-0.40(19)	0.08(14)	76(15)	67(15)	-32(14)

**POTENZIAMENTO DELL'IMPIANTO DI DEPURAZIONE E
DEL RECAPITO FINALE DI SQUINZANO (LE)
PROGETTO DEFINITIVO
Tabulati di calcolo strutturale-Filtrazione**

R.37.9

Maggio 2021

Pagina 141 di
364

Muro	Pann.	Sxx	Syy	Sxy	Mxx	Myy	Mxy
144	6	0.27 (14)	-0.33 (15)	0.09 (15)	74 (21-II-4)	36 (21-II-4)	-40 (15)
144	7	-0.22 (21-II-4)	-0.27 (15)	0.10 (15)	89 (21-II-4)	49 (21-II-4)	-46 (15)
144	8	-0.23 (21-II-3)	-0.20 (15)	0.08 (21-I-1)	92 (21-II-4)	50 (21-II-4)	-39 (15)
144	9	-0.37 (15)	-0.41 (15)	0.11 (14)	66 (14)	33 (15)	-26 (14)
144	10	0.27 (14)	-0.35 (15)	0.11 (14)	78 (14)	22 (21-II-4)	-42 (15)
144	11	-0.24 (21-II-4)	-0.28 (15)	0.12 (15)	85 (14)	31 (21-II-4)	-46 (15)
144	12	-0.25 (21-II-3)	-0.20 (20-I-3)	0.11 (14)	89 (14)	35 (21-II-4)	-38 (15)
144	13	-0.42 (15)	-0.48 (15)	0.16 (14)	198 (14)	16 (19)	-26 (14)
144	14	-0.29 (15)	-0.39 (15)	0.17 (14)	207 (14)	20 (19)	-32 (15)
144	15	-0.26 (21-II-4)	-0.34 (20-I-3)	0.16 (14)	195 (14)	23 (14)	-33 (15)
144	16	-0.27 (21-II-3)	-0.29 (20-I-3)	0.14 (14)	176 (14)	30 (14)	-26 (20-II-4)
145	1	-0.21 (15)	-0.45 (20-I-4)	-0.06 (15)	-161 (15)	-19 (14)	-33 (21-II-4)
145	2	0.19 (14)	-0.39 (20-I-4)	-0.06 (21-II-4)	-144 (15)	-16 (14)	-26 (21-II-4)
145	3	-0.16 (21-II-3)	-0.31 (20-I-4)	-0.06 (21-II-4)	-160 (21-II-4)	-16 (15)	21 (15)
145	4	-0.18 (21-II-3)	-0.23 (20-I-4)	-0.05 (21-II-1)	-166 (21-II-4)	-18 (15)	-24 (14)
145	5	0.22 (14)	-0.48 (19)	0.08 (14)	-61 (14)	52 (15)	-53 (21-II-4)
145	6	0.21 (14)	-0.40 (19)	-0.04 (21-II-4)	-72 (14)	-34 (14)	-43 (21-II-4)
145	7	0.17 (14)	-0.31 (19)	-0.04 (21-II-4)	-81 (14)	31 (20-I-4)	-37 (14)
145	8	-0.18 (21-II-3)	-0.22 (19)	-0.03 (21-II-1)	-86 (14)	32 (20-I-4)	-40 (14)
145	9	0.25 (14)	-0.50 (19)	0.09 (14)	-105 (14)	85 (15)	-45 (21-II-4)
145	10	0.23 (14)	-0.41 (19)	0.05 (14)	-109 (14)	-46 (14)	-39 (21-II-4)
145	11	0.18 (14)	-0.31 (19)	0.03 (14)	-103 (14)	53 (20-I-4)	-35 (14)
145	12	-0.18 (21-II-3)	-0.22 (19)	0.01 (15)	-90 (14)	51 (20-I-4)	-36 (14)
145	13	0.29 (14)	-0.50 (19)	0.09 (14)	133 (15)	97 (15)	-30 (14)
145	14	0.26 (14)	-0.40 (19)	0.06 (14)	112 (15)	48 (15)	-28 (14)
145	15	0.20 (14)	-0.31 (19)	0.05 (15)	100 (20-I-4)	63 (20-I-4)	-26 (14)
145	16	-0.19 (21-II-3)	-0.22 (19)	0.04 (15)	97 (20-I-4)	60 (20-I-4)	-26 (21-II-4)
146	1	-0.32 (21-I-1)	0.61 (14)	-0.21 (20-II-3)	58 (15)	311 (15)	55 (15)
146	2	-0.38 (15)	0.58 (14)	-0.27 (20-II-3)	61 (15)	402 (15)	80 (15)
146	3	-0.43 (15)	0.55 (14)	-0.31 (20-II-3)	66 (15)	500 (15)	107 (15)
146	4	-0.48 (15)	0.52 (14)	-0.34 (20-II-3)	88 (15)	603 (15)	56 (15)
146	5	-0.29 (15)	0.70 (15)	-0.20 (20-II-3)	56 (15)	324 (15)	54 (15)
146	6	-0.32 (15)	0.67 (15)	-0.25 (20-II-3)	60 (15)	416 (15)	78 (15)
146	7	-0.36 (15)	0.63 (15)	-0.30 (20-II-3)	66 (15)	517 (15)	105 (15)
146	8	-0.41 (15)	0.61 (15)	-0.33 (20-II-3)	82 (15)	620 (15)	58 (15)
146	9	-0.25 (15)	0.81 (15)	-0.19 (20-II-2)	54 (15)	337 (15)	52 (15)
146	10	-0.27 (21-I-3)	0.78 (15)	-0.23 (20-II-2)	58 (15)	430 (15)	75 (15)
146	11	-0.31 (13)	0.74 (15)	-0.28 (20-II-3)	64 (15)	533 (15)	103 (15)
146	12	-0.36 (13)	0.70 (15)	-0.32 (20-II-3)	79 (15)	638 (15)	58 (15)
146	13	-0.21 (15)	0.93 (15)	-0.17 (20-II-2)	49 (15)	350 (15)	49 (15)
146	14	-0.23 (21-I-3)	0.90 (15)	-0.21 (20-II-2)	53 (15)	444 (15)	72 (15)
146	15	-0.26 (20-II-2)	0.84 (15)	-0.26 (20-II-3)	59 (15)	549 (15)	100 (15)
146	16	-0.32 (20-II-2)	0.79 (15)	-0.30 (20-II-3)	76 (15)	655 (15)	59 (15)
147	1	-1.70 (15)	-1.86 (15)	-1.47 (19)	-143 (15)	103 (14)	-113 (21-I-2)
147	2	-2.15 (15)	-1.53 (15)	-1.41 (19)	-100 (15)	64 (15)	-114 (21-I-2)
147	3	-2.23 (15)	-1.08 (15)	-1.03 (19)	-49 (15)	132 (15)	-96 (20-II-2)
147	4	-1.55 (15)	-0.80 (15)	-0.54 (19)	-29 (14)	259 (15)	-88 (20-II-2)
147	5	-1.38 (15)	-0.71 (15)	-0.72 (19)	-64 (21-I-4)	133 (14)	-83 (21-II-4)
147	6	-1.44 (15)	-0.55 (15)	-0.57 (19)	-39 (21-I-4)	172 (15)	-75 (20-II-2)
147	7	-1.35 (15)	-0.39 (15)	-0.40 (19)	18 (19)	276 (15)	105 (15)
147	8	-1.08 (14)	-0.37 (15)	-0.48 (20-II-3)	40 (15)	421 (15)	72 (15)
147	9	-0.92 (15)	0.30 (14)	-0.32 (19)	-60 (21-I-4)	187 (15)	61 (15)
147	10	-0.94 (15)	0.29 (14)	-0.30 (14)	-34 (21-I-4)	272 (15)	93 (15)
147	11	-0.91 (15)	0.27 (14)	-0.37 (20-II-3)	44 (15)	374 (15)	123 (15)
147	12	-0.84 (15)	0.24 (14)	-0.44 (20-II-3)	59 (15)	490 (15)	79 (15)
147	13	-0.55 (15)	0.48 (14)	-0.23 (20-II-3)	51 (15)	267 (15)	63 (15)
147	14	-0.59 (15)	0.46 (14)	-0.29 (20-II-3)	57 (15)	356 (15)	90 (15)
147	15	-0.60 (15)	0.43 (14)	-0.34 (20-II-3)	64 (15)	454 (15)	117 (15)
147	16	-0.61 (15)	0.39 (14)	-0.38 (20-II-3)	74 (15)	555 (15)	75 (15)
148	1	-0.29 (14)	0.47 (14)	-0.37 (14)	-11 (14)	-76 (14)	28 (21-II-4)
148	2	-0.26 (14)	0.40 (14)	-0.41 (14)	-18 (14)	-127 (14)	23 (14)
148	3	-0.28 (20-II-4)	-0.44 (21-II-3)	-0.42 (14)	-24 (14)	-180 (14)	16 (14)
148	4	-0.50 (20-II-4)	-0.51 (21-II-4)	-0.41 (14)	-44 (14)	-237 (14)	42 (14)
148	5	-0.27 (14)	0.47 (14)	-0.36 (14)	-11 (14)	-77 (14)	28 (21-II-4)
148	6	-0.27 (14)	0.39 (14)	-0.40 (14)	-17 (14)	-128 (14)	22 (14)
148	7	-0.32 (20-II-2)	-0.43 (21-II-3)	-0.42 (14)	-24 (14)	-181 (14)	16 (14)
148	8	-0.52 (20-II-4)	-0.50 (21-II-4)	-0.40 (14)	-41 (14)	-238 (14)	40 (14)
148	9	-0.25 (14)	0.47 (14)	-0.34 (14)	-10 (14)	-77 (14)	27 (21-II-4)
148	10	-0.26 (14)	0.38 (14)	-0.38 (14)	-17 (14)	-128 (14)	21 (21-II-4)
148	11	-0.32 (20-II-4)	-0.41 (21-II-3)	-0.41 (14)	-25 (14)	-183 (14)	15 (14)
148	12	-0.51 (20-II-4)	-0.48 (21-II-4)	-0.39 (14)	-40 (14)	-239 (14)	39 (14)
148	13	-0.23 (14)	0.47 (14)	-0.33 (14)	-10 (14)	-77 (14)	27 (21-II-4)
148	14	-0.23 (14)	0.38 (14)	-0.37 (14)	-17 (14)	-129 (14)	21 (21-II-4)
148	15	-0.30 (20-II-4)	-0.39 (21-II-3)	-0.39 (14)	-24 (14)	-184 (14)	14 (14)

Muro	Pann.	Sxx	Syy	Sxy	Mxx	Myy	Mxy
148	16	-0.48 (20-II-4)	-0.45 (21-II-4)	-0.39 (14)	-40 (14)	-240 (14)	37 (14)
149	1	-0.19 (19)	0.47 (14)	0.35 (14)	-50 (21-II-3)	-35 (21-II-3)	-32 (14)
149	2	-0.18 (19)	0.52 (14)	0.37 (14)	-35 (21-II-3)	44 (21-II-4)	-36 (14)
149	3	-0.18 (19)	0.56 (14)	0.37 (14)	-18 (21-I-4)	148 (21-II-4)	-32 (14)
149	4	-0.16 (19)	0.59 (14)	0.37 (14)	-22 (14)	291 (21-II-4)	13 (19)
149	5	-0.17 (19)	0.48 (14)	0.34 (14)	-45 (21-II-3)	-33 (21-II-3)	-32 (14)
149	6	-0.16 (19)	0.53 (14)	0.36 (14)	-31 (21-II-3)	46 (21-II-4)	-37 (14)
149	7	-0.16 (19)	0.57 (14)	0.36 (14)	-16 (14)	147 (21-II-4)	-32 (14)
149	8	-0.16 (19)	0.61 (14)	0.36 (14)	-21 (14)	289 (21-II-4)	13 (19)
149	9	-0.15 (19)	0.50 (14)	0.33 (14)	-40 (21-II-3)	-31 (21-II-3)	-32 (14)
149	10	-0.15 (19)	0.55 (14)	0.35 (14)	-27 (21-I-4)	47 (21-II-4)	-37 (14)
149	11	-0.13 (19)	0.59 (14)	0.36 (14)	-16 (14)	147 (21-II-4)	-32 (14)
149	12	-0.14 (19)	0.64 (14)	0.35 (14)	-20 (14)	286 (21-II-4)	12 (19)
149	13	-0.14 (19)	0.51 (14)	0.32 (14)	-35 (21-II-3)	-29 (21-II-3)	-32 (14)
149	14	-0.13 (19)	0.57 (14)	0.34 (14)	-23 (21-I-4)	49 (21-II-4)	-37 (14)
149	15	-0.10 (19)	0.61 (14)	0.35 (14)	-15 (14)	148 (21-II-4)	-32 (14)
149	16	-0.11 (19)	0.66 (14)	0.34 (14)	-20 (14)	282 (21-II-4)	12 (19)
150	1	0.77 (14)	-0.15 (20-II-2)	0.20 (19)	-223 (14)	-43 (14)	59 (15)
150	2	0.76 (14)	-0.16 (15)	0.20 (19)	-223 (14)	-43 (14)	60 (15)
150	3	0.75 (14)	-0.18 (15)	0.18 (19)	-223 (14)	-43 (14)	60 (15)
150	4	0.77 (14)	-0.24 (15)	0.17 (19)	-223 (14)	-43 (14)	60 (15)
150	5	0.78 (14)	-0.14 (15)	0.20 (19)	-201 (14)	-39 (14)	56 (15)
150	6	0.76 (14)	-0.15 (15)	0.20 (19)	-202 (14)	-39 (14)	56 (15)
150	7	0.74 (14)	-0.16 (15)	0.19 (19)	-202 (14)	-39 (14)	57 (15)
150	8	0.72 (14)	-0.17 (20-II-2)	0.20 (19)	-202 (14)	-39 (14)	57 (15)
150	9	0.78 (14)	-0.13 (15)	0.20 (19)	-181 (14)	-35 (14)	57 (15)
150	10	0.76 (14)	-0.15 (15)	0.20 (19)	-182 (14)	-35 (14)	57 (15)
150	11	0.74 (14)	-0.16 (15)	0.21 (19)	-182 (14)	-35 (14)	58 (15)
150	12	0.71 (14)	-0.20 (15)	0.20 (19)	-181 (14)	-36 (14)	58 (15)
150	13	0.78 (14)	-0.14 (19)	0.19 (19)	-161 (14)	-33 (14)	58 (15)
150	14	0.76 (14)	-0.14 (21-I-4)	0.19 (19)	-163 (14)	-33 (14)	59 (15)
150	15	0.74 (14)	-0.16 (15)	0.19 (19)	-162 (14)	-34 (14)	60 (15)
150	16	0.72 (14)	-0.27 (15)	0.22 (19)	-160 (14)	-35 (14)	60 (15)
151	1	-0.28 (19)	0.72 (14)	-0.24 (19)	-44 (21-II-4)	-62 (14)	-72 (15)
151	2	-0.32 (19)	0.72 (14)	-0.23 (19)	-62 (21-II-3)	-121 (21-II-4)	-67 (15)
151	3	-0.28 (19)	0.70 (14)	-0.20 (19)	-63 (20-II-2)	164 (14)	-40 (14)
151	4	-0.30 (21-I-4)	0.65 (14)	-0.14 (19)	48 (15)	210 (14)	-45 (14)
151	5	-0.18 (19)	0.75 (14)	-0.23 (19)	-38 (21-II-4)	-64 (14)	-71 (15)
151	6	-0.18 (19)	0.76 (14)	-0.22 (19)	-52 (21-II-3)	-119 (21-II-4)	-65 (15)
151	7	-0.22 (21-I-4)	0.74 (14)	-0.18 (19)	-49 (20-II-2)	161 (14)	-38 (14)
151	8	-0.29 (15)	0.70 (14)	-0.13 (20-II-3)	48 (15)	210 (14)	-44 (14)
151	9	-0.16 (19)	0.78 (14)	-0.22 (19)	-33 (21-II-4)	-65 (14)	-70 (15)
151	10	-0.17 (21-I-4)	0.79 (14)	-0.20 (19)	-42 (21-II-3)	-117 (21-II-4)	-63 (15)
151	11	-0.20 (15)	0.78 (14)	-0.16 (19)	-37 (20-II-2)	158 (14)	-37 (14)
151	12	-0.25 (15)	0.80 (15)	-0.12 (20-II-3)	46 (15)	211 (14)	-43 (14)
151	13	-0.15 (19)	0.81 (14)	-0.21 (19)	-28 (21-II-4)	-68 (14)	-68 (15)
151	14	-0.16 (21-I-4)	0.83 (14)	-0.19 (19)	-34 (21-II-3)	-115 (21-II-4)	-62 (15)
151	15	-0.19 (15)	0.83 (14)	-0.15 (19)	33 (15)	155 (14)	-36 (14)
151	16	-0.22 (15)	0.91 (15)	-0.10 (20-II-3)	43 (15)	213 (15)	-41 (14)
152	1	-0.18 (19)	0.27 (14)	0.27 (14)	-56 (21-II-4)	-120 (21-II-4)	-30 (21-II-4)
152	2	-0.18 (19)	0.32 (14)	0.29 (14)	-61 (21-II-4)	-123 (21-II-4)	-28 (21-II-4)
152	3	-0.19 (19)	0.37 (14)	0.31 (14)	-62 (21-II-4)	-110 (21-II-4)	-24 (21-II-4)
152	4	-0.19 (19)	0.42 (14)	0.33 (14)	-59 (21-II-4)	-82 (21-II-4)	-24 (14)
152	5	-0.17 (19)	0.27 (14)	0.26 (14)	-52 (21-II-4)	-119 (21-II-4)	-31 (21-II-4)
152	6	-0.17 (19)	0.33 (14)	0.28 (14)	-57 (21-II-4)	-121 (21-II-4)	-28 (21-II-4)
152	7	-0.17 (19)	0.38 (14)	0.30 (14)	-57 (21-II-4)	-109 (21-II-4)	-24 (21-II-4)
152	8	-0.17 (19)	0.43 (14)	0.32 (14)	-53 (21-II-4)	-80 (21-II-4)	-24 (14)
152	9	-0.16 (19)	0.27 (14)	0.25 (14)	-47 (21-II-4)	-118 (21-II-4)	-32 (21-II-4)
152	10	-0.16 (19)	0.33 (14)	0.27 (14)	-51 (21-II-4)	-120 (21-II-4)	-28 (21-II-4)
152	11	-0.16 (19)	0.38 (14)	0.29 (14)	-51 (21-II-4)	-107 (21-II-4)	-24 (21-II-4)
152	12	-0.16 (19)	0.44 (14)	0.31 (14)	-48 (21-II-4)	-79 (21-II-4)	-24 (14)
152	13	-0.15 (19)	0.27 (14)	0.24 (14)	-42 (21-II-4)	-116 (21-II-4)	-32 (21-II-4)
152	14	-0.15 (19)	0.33 (14)	0.26 (14)	-45 (21-II-4)	-118 (21-II-4)	-29 (21-II-4)
152	15	-0.15 (19)	0.39 (14)	0.28 (14)	-45 (21-II-4)	-105 (21-II-4)	-24 (21-II-4)
152	16	-0.15 (19)	0.45 (14)	0.30 (14)	-42 (21-II-4)	-77 (21-II-4)	-24 (14)
153	1	-0.34 (21-I-4)	-0.16 (20-I-4)	0.17 (14)	-20 (14)	-172 (14)	28 (14)
153	2	-0.24 (21-I-4)	0.16 (14)	0.19 (14)	-24 (21-II-4)	-131 (14)	-22 (21-II-4)
153	3	-0.20 (21-I-4)	0.19 (14)	0.22 (14)	-37 (21-II-4)	-93 (14)	-29 (21-II-4)
153	4	-0.18 (19)	0.22 (14)	0.24 (14)	-48 (21-II-4)	-103 (21-II-4)	-31 (21-II-4)
153	5	-0.33 (20-I-4)	-0.15 (20-I-4)	0.16 (14)	-19 (14)	-171 (14)	27 (14)
153	6	-0.25 (21-I-4)	0.15 (14)	0.19 (14)	-22 (21-II-4)	-130 (14)	-23 (21-II-4)
153	7	-0.20 (21-I-4)	0.19 (14)	0.21 (14)	-34 (21-II-4)	-94 (14)	-30 (21-II-4)
153	8	-0.17 (19)	0.22 (14)	0.24 (14)	-44 (21-II-4)	-103 (21-II-4)	-32 (21-II-4)
153	9	-0.32 (20-I-4)	-0.14 (20-I-4)	0.16 (14)	-19 (14)	-170 (14)	27 (14)

Muro	Pann.	Sxx	Syy	Sxy	Mxx	Myy	Mxy
153	10	-0.24 (21-I-4)	0.15 (14)	0.18 (14)	-19 (21-II-4)	-130 (14)	-24 (21-II-4)
153	11	-0.19 (21-I-4)	0.18 (14)	0.20 (14)	-31 (21-II-4)	-94 (14)	-32 (21-II-4)
153	12	-0.17 (19)	0.22 (14)	0.23 (14)	-40 (21-II-4)	-102 (21-II-4)	-33 (21-II-4)
153	13	-0.31 (20-I-4)	-0.12 (20-I-4)	0.15 (14)	-19 (14)	-168 (14)	26 (14)
153	14	-0.24 (21-I-4)	0.15 (14)	0.17 (14)	-18 (14)	-129 (14)	-26 (21-II-4)
153	15	-0.19 (21-I-4)	0.18 (14)	0.20 (14)	-27 (21-II-4)	-95 (14)	-33 (21-II-4)
153	16	-0.16 (19)	0.22 (14)	0.22 (14)	-35 (21-II-4)	-101 (21-II-4)	-34 (21-II-4)
154	1	-0.20 (21-II-3)	-0.18 (19)	0.07 (21-I-1)	99 (21-II-4)	38 (21-II-4)	-35 (21-II-4)
154	2	-0.19 (21-II-3)	-0.16 (19)	0.07 (21-I-1)	97 (21-II-4)	33 (21-II-4)	-35 (21-II-4)
154	3	-0.19 (21-II-3)	-0.15 (15)	0.07 (21-I-1)	95 (21-II-4)	28 (21-II-4)	-35 (21-II-4)
154	4	-0.19 (21-II-3)	-0.15 (15)	0.07 (21-I-1)	93 (21-II-4)	23 (21-II-4)	-35 (21-II-4)
154	5	-0.21 (21-II-3)	-0.16 (15)	0.10 (21-I-1)	89 (21-II-4)	34 (21-II-4)	-40 (21-II-4)
154	6	-0.20 (21-II-3)	-0.15 (15)	0.10 (21-I-1)	88 (21-II-4)	29 (21-II-4)	-41 (21-II-4)
154	7	-0.19 (21-II-3)	-0.15 (15)	0.10 (21-I-1)	87 (21-II-4)	24 (21-II-4)	-41 (21-II-4)
154	8	-0.19 (21-II-3)	-0.14 (15)	0.10 (21-I-1)	85 (21-II-4)	21 (21-II-4)	-41 (21-II-4)
154	9	-0.22 (21-II-3)	-0.15 (15)	0.12 (20-II-4)	92 (14)	25 (21-II-4)	-38 (21-II-4)
154	10	-0.21 (21-II-3)	-0.15 (20-I-3)	0.12 (20-II-4)	92 (14)	23 (14)	-40 (21-II-4)
154	11	-0.20 (21-II-3)	-0.14 (20-I-3)	0.12 (20-II-4)	92 (14)	24 (14)	-40 (21-II-4)
154	12	-0.19 (21-II-3)	-0.13 (20-I-3)	0.12 (20-II-4)	92 (14)	24 (14)	-41 (21-II-4)
154	13	-0.22 (21-II-3)	-0.20 (20-I-3)	0.13 (14)	165 (14)	34 (14)	-29 (20-II-4)
154	14	-0.21 (21-II-3)	-0.20 (20-I-3)	0.13 (14)	163 (14)	34 (14)	-30 (20-II-4)
154	15	-0.20 (21-II-3)	-0.19 (20-I-3)	0.13 (14)	161 (14)	34 (14)	-30 (20-II-4)
154	16	-0.18 (21-II-3)	-0.18 (20-I-3)	0.13 (14)	158 (14)	33 (14)	-31 (20-II-4)
155	1	-0.36 (14)	0.68 (14)	-0.05 (19)	26 (14)	163 (14)	23 (21-II-4)
155	2	-0.36 (14)	0.66 (14)	-0.15 (14)	14 (14)	99 (14)	29 (21-II-4)
155	3	-0.36 (14)	0.62 (14)	-0.23 (14)	6 (14)	38 (14)	32 (21-II-4)
155	4	-0.33 (14)	0.55 (14)	-0.31 (14)	-5 (15)	-21 (14)	32 (21-II-4)
155	5	-0.28 (14)	0.69 (14)	-0.05 (14)	26 (14)	165 (14)	22 (21-II-4)
155	6	-0.29 (14)	0.67 (14)	-0.15 (14)	14 (14)	100 (14)	28 (21-II-4)
155	7	-0.29 (14)	0.63 (14)	-0.23 (14)	6 (14)	38 (14)	32 (21-II-4)
155	8	-0.28 (14)	0.55 (14)	-0.30 (14)	-5 (15)	-22 (14)	31 (21-II-4)
155	9	-0.26 (14)	0.69 (14)	-0.05 (14)	25 (14)	167 (14)	22 (21-II-4)
155	10	-0.26 (14)	0.68 (14)	-0.14 (14)	14 (14)	101 (14)	28 (21-II-4)
155	11	-0.26 (14)	0.63 (14)	-0.22 (14)	6 (14)	39 (14)	31 (21-II-4)
155	12	-0.26 (14)	0.56 (14)	-0.29 (14)	-5 (15)	-22 (14)	31 (21-II-4)
155	13	-0.26 (14)	0.70 (14)	-0.05 (14)	26 (14)	168 (14)	21 (21-II-4)
155	14	-0.26 (14)	0.69 (14)	-0.14 (14)	14 (14)	101 (14)	27 (21-II-4)
155	15	-0.26 (14)	0.64 (14)	-0.21 (14)	6 (14)	39 (14)	31 (21-II-4)
155	16	-0.25 (14)	0.56 (14)	-0.28 (14)	-5 (15)	-22 (14)	30 (21-II-4)
156	1	-0.18 (20-II-4)	-0.19 (20-I-4)	-0.04 (21-II-1)	-165 (21-II-4)	-16 (15)	-19 (14)
156	2	-0.18 (20-II-4)	-0.18 (20-I-4)	-0.04 (21-II-1)	-164 (21-II-4)	-15 (15)	-19 (14)
156	3	-0.18 (20-II-4)	-0.17 (20-I-4)	-0.04 (21-II-1)	-163 (21-II-4)	-14 (15)	-19 (14)
156	4	-0.18 (20-II-4)	-0.17 (20-I-4)	-0.04 (21-II-1)	-162 (21-II-4)	-13 (15)	-19 (14)
156	5	-0.18 (20-II-4)	-0.18 (19)	-0.03 (21-II-1)	-88 (14)	-17 (15)	-38 (14)
156	6	-0.18 (20-II-4)	-0.17 (19)	-0.03 (21-II-1)	-89 (14)	-17 (15)	-37 (14)
156	7	-0.18 (20-II-4)	-0.16 (19)	-0.03 (21-II-1)	-89 (14)	-16 (15)	-37 (14)
156	8	-0.19 (20-II-4)	-0.15 (19)	-0.03 (21-II-1)	-90 (14)	-16 (15)	-36 (14)
156	9	-0.19 (20-II-4)	-0.19 (19)	0.01 (21-I-1)	-82 (14)	31 (20-I-4)	-35 (14)
156	10	-0.19 (20-II-4)	-0.17 (19)	0.01 (21-I-1)	-81 (14)	26 (20-I-4)	-34 (14)
156	11	-0.18 (20-II-4)	-0.16 (19)	0.01 (21-I-1)	-80 (14)	21 (20-I-4)	-34 (14)
156	12	-0.18 (20-II-4)	-0.16 (19)	0.01 (21-I-1)	-79 (14)	-18 (15)	-33 (14)
156	13	-0.19 (21-II-3)	-0.19 (19)	0.04 (21-I-1)	89 (20-I-4)	38 (20-I-4)	-26 (21-II-4)
156	14	-0.19 (21-II-3)	-0.17 (19)	0.04 (21-I-1)	86 (20-I-4)	32 (20-I-4)	-26 (21-II-4)
156	15	-0.19 (20-II-3)	-0.16 (19)	0.04 (21-I-1)	84 (20-I-4)	27 (20-I-4)	-25 (21-II-4)
156	16	-0.18 (20-II-3)	-0.15 (19)	0.04 (21-I-1)	82 (20-I-4)	22 (20-I-4)	-25 (21-II-4)
157	1	-0.34 (15)	0.41 (19)	0.30 (14)	-34 (15)	26 (21-II-4)	30 (15)
157	2	-0.26 (15)	0.46 (19)	0.28 (14)	28 (19)	94 (15)	29 (21-II-4)
157	3	-0.22 (14)	0.52 (19)	0.26 (14)	27 (19)	169 (15)	29 (21-II-4)
157	4	-0.23 (19)	0.56 (19)	0.24 (14)	28 (15)	223 (15)	28 (21-II-4)
157	5	-0.28 (15)	0.42 (19)	0.27 (14)	-37 (15)	27 (21-II-4)	35 (15)
157	6	-0.22 (15)	0.47 (19)	0.25 (14)	25 (19)	89 (15)	29 (21-II-4)
157	7	-0.19 (14)	0.52 (19)	0.24 (14)	23 (19)	164 (15)	29 (21-II-4)
157	8	-0.19 (19)	0.57 (19)	0.22 (14)	22 (19)	218 (15)	28 (21-II-4)
157	9	-0.23 (15)	0.43 (19)	0.25 (14)	-38 (15)	27 (21-II-4)	39 (15)
157	10	-0.19 (15)	0.48 (19)	0.23 (14)	21 (19)	83 (15)	29 (21-II-4)
157	11	-0.16 (14)	0.53 (19)	0.21 (14)	19 (19)	158 (15)	29 (21-II-4)
157	12	-0.16 (19)	0.58 (19)	0.20 (14)	19 (19)	214 (15)	28 (21-II-4)
157	13	-0.19 (15)	0.44 (19)	0.22 (14)	-36 (15)	27 (21-II-4)	41 (15)
157	14	-0.16 (15)	0.48 (19)	0.20 (14)	-19 (15)	78 (15)	29 (21-II-4)
157	15	-0.14 (14)	0.53 (19)	0.19 (14)	16 (19)	153 (15)	29 (21-II-4)
157	16	-0.14 (19)	0.58 (19)	0.18 (14)	15 (19)	210 (15)	28 (21-II-4)
158	1	-1.34 (15)	0.61 (14)	0.49 (19)	105 (19)	54 (15)	-131 (15)
158	2	-0.88 (14)	0.47 (19)	0.36 (19)	108 (15)	120 (15)	-118 (15)
158	3	-0.76 (19)	0.42 (19)	0.29 (19)	132 (15)	159 (15)	-96 (15)

Muro	Pann.	Sxx	Syy	Sxy	Mxx	Myy	Mxy
158	4	-0.84 (19)	0.38 (19)	0.23 (19)	145 (15)	179 (15)	-66 (15)
158	5	-0.95 (15)	0.49 (14)	0.42 (19)	91 (15)	53 (15)	-70 (15)
158	6	-0.66 (14)	0.45 (19)	0.38 (19)	143 (15)	142 (15)	-74 (15)
158	7	-0.56 (14)	0.47 (19)	0.32 (19)	181 (15)	198 (15)	-66 (15)
158	8	-0.64 (19)	0.47 (19)	0.27 (14)	206 (15)	233 (15)	-50 (15)
158	9	-0.68 (15)	0.39 (14)	0.40 (14)	55 (19)	30 (15)	28 (21-II-4)
158	10	-0.50 (15)	0.43 (19)	0.35 (14)	96 (15)	132 (15)	31 (21-II-4)
158	11	-0.43 (14)	0.48 (19)	0.32 (14)	131 (15)	201 (15)	32 (21-II-4)
158	12	-0.45 (19)	0.51 (19)	0.31 (14)	157 (15)	247 (15)	32 (21-II-4)
158	13	-0.45 (15)	0.38 (19)	0.35 (14)	38 (19)	25 (21-II-4)	28 (21-II-4)
158	14	-0.35 (15)	0.45 (19)	0.32 (14)	38 (19)	109 (15)	30 (21-II-4)
158	15	-0.29 (14)	0.50 (19)	0.30 (14)	52 (15)	183 (15)	30 (21-II-4)
158	16	-0.30 (19)	0.54 (19)	0.28 (14)	72 (15)	235 (15)	30 (21-II-4)
159	1	-0.38 (15)	-0.46 (21-I-1)	0.49 (15)	-139 (15)	-420 (15)	48 (19)
159	2	-0.38 (15)	-0.44 (20-I-2)	0.42 (15)	-116 (15)	-292 (15)	28 (19)
159	3	-0.39 (15)	-0.41 (20-I-2)	0.36 (15)	-87 (15)	-187 (15)	27 (15)
159	4	-0.38 (15)	-0.38 (20-I-2)	0.31 (14)	-61 (15)	-98 (15)	34 (15)
159	5	-0.34 (15)	-0.47 (20-I-2)	0.48 (15)	-157 (15)	-417 (15)	48 (19)
159	6	-0.33 (15)	-0.45 (20-I-2)	0.41 (15)	-127 (15)	-280 (15)	27 (20-II-1)
159	7	-0.33 (15)	-0.42 (20-I-2)	0.34 (15)	-91 (15)	-181 (15)	35 (15)
159	8	-0.31 (15)	-0.39 (20-I-2)	0.29 (14)	-63 (15)	-98 (15)	40 (15)
159	9	-0.28 (15)	-0.49 (20-I-2)	0.48 (15)	-178 (15)	-414 (15)	45 (19)
159	10	-0.27 (15)	-0.46 (20-I-2)	0.37 (15)	-128 (15)	-267 (15)	30 (15)
159	11	-0.28 (15)	-0.43 (20-I-2)	0.31 (15)	-87 (15)	-176 (15)	44 (15)
159	12	-0.26 (15)	-0.40 (20-I-2)	0.26 (14)	-61 (15)	-99 (15)	46 (15)
159	13	-0.20 (15)	-0.52 (20-I-2)	0.43 (15)	-190 (15)	-397 (15)	43 (19)
159	14	-0.23 (15)	-0.47 (20-I-2)	0.32 (15)	-110 (15)	-254 (15)	44 (15)
159	15	-0.22 (15)	-0.44 (20-I-2)	0.28 (15)	-77 (15)	-172 (15)	53 (15)
159	16	-0.21 (15)	-0.41 (20-I-2)	0.23 (15)	-54 (15)	-100 (15)	51 (15)
160	1	-0.24 (19)	0.60 (19)	0.24 (14)	39 (15)	259 (15)	27 (21-II-4)
160	2	-0.25 (19)	0.63 (19)	0.25 (15)	45 (15)	276 (15)	24 (21-II-4)
160	3	-0.25 (19)	0.66 (14)	0.29 (15)	45 (15)	271 (15)	22 (19)
160	4	-0.24 (19)	0.73 (14)	0.30 (15)	42 (15)	245 (15)	26 (14)
160	5	-0.21 (19)	0.61 (19)	0.22 (14)	27 (15)	256 (15)	27 (21-II-4)
160	6	-0.22 (19)	0.64 (19)	0.23 (15)	33 (15)	273 (15)	24 (21-II-4)
160	7	-0.22 (19)	0.69 (15)	0.26 (15)	35 (15)	269 (15)	22 (19)
160	8	-0.21 (19)	0.79 (15)	0.28 (15)	34 (15)	245 (15)	26 (14)
160	9	-0.18 (19)	0.62 (19)	0.19 (14)	18 (19)	252 (15)	26 (21-II-4)
160	10	-0.19 (19)	0.66 (15)	0.20 (15)	24 (15)	270 (15)	24 (21-II-4)
160	11	-0.18 (19)	0.76 (15)	0.24 (15)	26 (15)	267 (15)	21 (19)
160	12	-0.18 (19)	0.85 (15)	0.25 (15)	27 (15)	245 (15)	26 (14)
160	13	-0.15 (19)	0.63 (19)	0.17 (14)	14 (19)	249 (15)	26 (21-II-4)
160	14	-0.15 (19)	0.71 (15)	0.18 (15)	16 (15)	268 (15)	24 (21-II-4)
160	15	-0.15 (19)	0.81 (15)	0.21 (15)	19 (15)	265 (15)	21 (21-II-4)
160	16	-0.15 (19)	0.92 (15)	0.22 (15)	22 (15)	245 (15)	27 (14)
161	1	-0.88 (19)	0.35 (19)	0.39 (15)	146 (15)	189 (15)	30 (21-II-4)
161	2	-0.88 (19)	0.32 (19)	0.54 (15)	137 (15)	193 (15)	32 (21-II-4)
161	3	-0.85 (19)	0.29 (19)	0.69 (15)	127 (19)	183 (15)	66 (15)
161	4	-0.80 (19)	-0.31 (21-I-1)	0.80 (15)	137 (19)	159 (15)	117 (15)
161	5	-0.69 (19)	0.47 (19)	0.36 (15)	217 (15)	253 (15)	32 (21-II-4)
161	6	-0.70 (19)	0.46 (19)	0.49 (15)	213 (15)	259 (15)	30 (21-II-4)
161	7	-0.69 (19)	0.45 (19)	0.60 (15)	189 (15)	250 (15)	32 (15)
161	8	-0.66 (19)	0.45 (19)	0.65 (15)	146 (15)	222 (15)	59 (15)
161	9	-0.50 (19)	0.53 (19)	0.32 (15)	171 (15)	274 (15)	30 (21-II-4)
161	10	-0.52 (19)	0.54 (19)	0.41 (15)	171 (15)	285 (15)	27 (21-II-4)
161	11	-0.52 (19)	0.55 (19)	0.48 (15)	155 (15)	276 (15)	23 (21-II-4)
161	12	-0.50 (19)	0.55 (19)	0.50 (15)	126 (15)	243 (15)	27 (19)
161	13	-0.33 (19)	0.57 (19)	0.28 (14)	85 (15)	269 (15)	28 (21-II-4)
161	14	-0.35 (19)	0.59 (19)	0.32 (15)	90 (15)	283 (15)	25 (21-II-4)
161	15	-0.35 (19)	0.61 (19)	0.36 (15)	85 (15)	275 (15)	22 (19)
161	16	-0.33 (19)	0.64 (14)	0.37 (15)	73 (15)	246 (15)	27 (19)
162	1	-0.23 (19)	0.80 (15)	0.28 (21-I-1)	37 (15)	208 (15)	36 (14)
162	2	-0.25 (15)	0.84 (15)	0.27 (21-I-1)	31 (15)	166 (15)	46 (14)
162	3	-0.30 (15)	0.86 (15)	0.25 (21-I-1)	34 (14)	194 (14)	59 (14)
162	4	-0.34 (15)	0.85 (15)	0.21 (21-I-1)	39 (14)	236 (14)	95 (15)
162	5	-0.20 (19)	0.86 (15)	0.27 (21-I-1)	32 (15)	211 (15)	36 (14)
162	6	-0.20 (15)	0.91 (15)	0.27 (21-I-1)	30 (15)	175 (15)	46 (14)
162	7	-0.23 (15)	0.93 (15)	0.24 (21-I-1)	33 (14)	199 (14)	59 (14)
162	8	-0.27 (15)	0.92 (15)	0.20 (21-I-1)	39 (14)	243 (14)	93 (15)
162	9	-0.17 (19)	0.93 (15)	0.25 (21-I-1)	28 (15)	214 (15)	36 (14)
162	10	-0.16 (15)	0.98 (15)	0.25 (21-I-1)	29 (15)	183 (15)	46 (14)
162	11	-0.17 (15)	1.00 (15)	0.24 (21-I-1)	31 (14)	204 (14)	59 (14)
162	12	-0.21 (15)	1.00 (15)	0.19 (21-I-1)	39 (14)	250 (14)	91 (15)
162	13	-0.14 (19)	1.01 (15)	0.23 (21-I-1)	24 (15)	217 (15)	36 (14)

Muro	Pann.	Sxx	Syy	Sxy	Mxx	Myy	Mxy
162	14	-0.13 (19)	1.07 (15)	0.24 (21-I-1)	27 (15)	192 (15)	46 (14)
162	15	-0.12 (15)	1.09 (15)	0.23 (21-I-1)	29 (15)	209 (14)	59 (14)
162	16	-0.16 (15)	1.09 (15)	0.18 (21-I-1)	37 (14)	256 (14)	91 (15)
163	1	-0.19 (19)	0.47 (19)	-0.57 (15)	-26 (21-II-2)	230 (15)	64 (15)
163	2	-0.25 (19)	0.47 (19)	-0.38 (15)	-22 (20-I-1)	138 (15)	86 (15)
163	3	-0.39 (19)	0.43 (19)	-0.34 (15)	-31 (20-II-2)	75 (15)	112 (15)
163	4	-0.50 (19)	0.40 (19)	-0.32 (15)	-41 (20-II-2)	32 (15)	129 (15)
163	5	-0.25 (19)	0.29 (19)	-0.50 (15)	29 (14)	318 (15)	73 (15)
163	6	-0.28 (19)	0.32 (19)	-0.43 (15)	-10 (20-II-2)	211 (15)	75 (15)
163	7	-0.32 (19)	0.33 (19)	-0.35 (15)	-19 (19)	128 (15)	92 (15)
163	8	-0.39 (19)	0.35 (19)	0.29 (19)	-42 (19)	65 (15)	106 (15)
163	9	-0.24 (19)	0.30 (19)	-0.46 (15)	48 (15)	367 (15)	64 (15)
163	10	-0.25 (19)	0.31 (19)	-0.40 (15)	29 (15)	255 (15)	58 (15)
163	11	-0.27 (19)	0.34 (19)	-0.34 (15)	20 (20-I-2)	165 (15)	67 (15)
163	12	-0.30 (19)	0.36 (19)	-0.29 (15)	35 (20-I-2)	94 (15)	77 (15)
163	13	-0.20 (15)	0.33 (19)	-0.38 (15)	65 (15)	385 (15)	64 (15)
163	14	-0.19 (19)	0.35 (19)	-0.34 (15)	49 (15)	274 (15)	46 (15)
163	15	-0.21 (19)	0.37 (19)	-0.30 (15)	32 (15)	186 (15)	47 (15)
163	16	-0.22 (19)	0.40 (19)	-0.26 (15)	34 (20-I-2)	114 (15)	51 (15)
164	1	-0.62 (19)	0.36 (19)	-0.29 (15)	-57 (19)	-29 (19)	140 (15)
164	2	-0.73 (19)	0.32 (19)	-0.26 (15)	-74 (19)	-51 (19)	139 (15)
164	3	-0.82 (19)	0.29 (19)	-0.22 (15)	-84 (19)	-64 (19)	130 (15)
164	4	-0.88 (19)	0.27 (19)	-0.18 (15)	-93 (20-II-2)	-71 (19)	115 (15)
164	5	-0.48 (19)	0.37 (19)	0.29 (19)	-69 (19)	-23 (19)	117 (15)
164	6	-0.57 (19)	0.37 (19)	0.26 (19)	-99 (19)	-64 (19)	122 (15)
164	7	-0.64 (19)	0.37 (19)	0.21 (19)	-122 (19)	-90 (19)	117 (15)
164	8	-0.69 (19)	0.37 (19)	0.16 (19)	-139 (19)	-106 (19)	107 (15)
164	9	-0.36 (19)	0.38 (19)	0.25 (19)	-57 (19)	25 (15)	86 (15)
164	10	-0.42 (19)	0.41 (19)	0.23 (19)	-86 (19)	-63 (19)	92 (15)
164	11	-0.47 (19)	0.43 (19)	0.20 (19)	-111 (19)	-99 (19)	92 (15)
164	12	-0.51 (19)	0.44 (19)	0.15 (19)	-131 (19)	-123 (19)	88 (15)
164	13	-0.25 (19)	0.43 (19)	-0.22 (15)	56 (20-I-2)	44 (15)	57 (15)
164	14	-0.28 (19)	0.46 (19)	0.19 (19)	78 (20-I-2)	75 (21-II-2)	64 (15)
164	15	-0.31 (19)	0.49 (19)	0.17 (19)	95 (20-I-2)	110 (20-II-2)	69 (15)
164	16	-0.34 (19)	0.51 (19)	0.13 (19)	108 (21-II-3)	136 (20-II-2)	69 (15)
165	1	-0.10 (20-II-2)	0.88 (15)	-0.34 (15)	15 (15)	138 (15)	-37 (21-II-2)
165	2	-0.11 (20-II-2)	0.69 (15)	-0.31 (15)	19 (15)	178 (15)	-34 (21-II-4)
165	3	-0.12 (20-II-1)	-0.56 (20-II-2)	-0.32 (15)	29 (15)	228 (15)	-29 (20-II-2)
165	4	-0.28 (15)	-0.53 (20-II-2)	-0.34 (15)	27 (15)	285 (15)	51 (15)
165	5	-0.07 (20-II-2)	0.93 (15)	-0.24 (15)	10 (15)	142 (15)	-35 (21-II-2)
165	6	-0.08 (20-II-2)	0.72 (15)	-0.22 (15)	14 (15)	185 (15)	-32 (20-II-1)
165	7	-0.11 (20-II-1)	-0.64 (20-II-2)	-0.24 (15)	24 (15)	240 (15)	-27 (20-II-2)
165	8	-0.29 (15)	-0.59 (20-II-2)	-0.30 (15)	31 (15)	309 (15)	51 (15)
165	9	-0.06 (15)	0.98 (15)	-0.14 (15)	6 (15)	145 (15)	-30 (21-II-2)
165	10	-0.05 (15)	0.76 (15)	-0.13 (15)	7 (15)	189 (15)	-28 (20-II-1)
165	11	-0.07 (15)	-0.79 (20-II-2)	-0.14 (20-II-2)	17 (15)	252 (15)	-23 (20-II-2)
165	12	-0.24 (15)	-0.74 (20-II-2)	-0.25 (15)	31 (15)	338 (15)	54 (15)
165	13	-0.09 (15)	1.03 (15)	-0.05 (15)	1 (15)	145 (15)	-16 (21-II-2)
165	14	-0.05 (15)	0.81 (15)	-0.04 (15)	2 (15)	190 (15)	-15 (21-II-4)
165	15	-0.06 (15)	-0.90 (20-II-2)	-0.04 (20-II-2)	2 (15)	249 (15)	-12 (21-II-4)
165	16	-0.16 (20-II-2)	-1.24 (20-II-2)	-0.18 (20-II-1)	27 (15)	395 (15)	59 (15)
166	1	-0.89 (19)	0.59 (19)	-0.70 (15)	73 (21-II-2)	35 (14)	-25 (15)
166	2	-0.69 (19)	0.53 (19)	-0.68 (15)	60 (20-I-1)	45 (14)	-10 (15)
166	3	-0.48 (19)	0.49 (19)	-0.60 (15)	45 (20-I-1)	66 (15)	11 (14)
166	4	0.44 (15)	0.46 (19)	-0.48 (15)	39 (15)	101 (19)	37 (15)
166	5	-0.70 (19)	0.64 (19)	-0.81 (15)	31 (20-II-1)	68 (14)	-28 (21-II-2)
166	6	-0.56 (19)	0.57 (19)	-0.75 (15)	27 (14)	87 (15)	-25 (20-II-1)
166	7	-0.40 (19)	0.49 (19)	-0.65 (15)	25 (14)	110 (15)	-23 (20-I-1)
166	8	-0.26 (19)	0.44 (14)	-0.48 (15)	25 (15)	128 (15)	50 (15)
166	9	-0.46 (19)	0.59 (15)	-0.78 (15)	23 (14)	98 (15)	-37 (21-II-2)
166	10	-0.38 (19)	0.53 (15)	-0.72 (15)	22 (14)	125 (15)	-35 (21-II-4)
166	11	-0.30 (19)	0.48 (15)	-0.63 (15)	22 (15)	151 (15)	-30 (20-II-2)
166	12	-0.23 (20-I-2)	0.45 (15)	-0.50 (15)	23 (15)	176 (15)	47 (15)
166	13	-0.22 (19)	0.80 (15)	-0.57 (15)	20 (15)	124 (15)	-39 (21-II-2)
166	14	-0.18 (19)	0.63 (15)	-0.52 (15)	23 (15)	159 (15)	-36 (21-II-4)
166	15	-0.17 (20-II-1)	0.50 (15)	-0.48 (15)	27 (15)	198 (15)	-31 (20-II-2)
166	16	-0.32 (15)	-0.44 (20-II-2)	-0.43 (15)	27 (15)	237 (15)	46 (15)
167	1	-0.26 (19)	0.56 (19)	-0.12 (19)	90 (20-II-2)	-172 (15)	60 (20-I-1)
167	2	-0.25 (19)	0.53 (19)	-0.15 (19)	81 (20-II-2)	-164 (15)	68 (20-II-1)
167	3	-0.23 (19)	0.49 (19)	-0.18 (19)	70 (20-II-2)	-149 (15)	73 (20-II-1)
167	4	-0.21 (19)	0.44 (19)	-0.20 (19)	55 (20-II-2)	-128 (15)	74 (20-II-1)
167	5	-0.22 (19)	0.58 (19)	-0.11 (19)	74 (20-II-2)	-174 (15)	58 (20-I-1)
167	6	-0.21 (19)	0.54 (19)	-0.14 (19)	66 (20-II-2)	-165 (15)	66 (20-II-1)
167	7	-0.20 (19)	0.50 (19)	-0.17 (19)	56 (20-II-2)	-150 (15)	71 (20-II-1)

Muro	Pann.	Sxx	Syy	Sxy	Mxx	Myy	Mxy
167	8	-0.18(19)	0.45(19)	-0.18(19)	42(20-II-2)	-128(15)	71(20-II-1)
167	9	-0.19(19)	0.60(19)	-0.10(19)	60(20-II-2)	-175(15)	57(20-I-1)
167	10	-0.18(19)	0.56(19)	-0.13(19)	53(20-II-2)	-166(15)	65(20-II-1)
167	11	-0.17(19)	0.51(19)	-0.15(19)	43(20-II-2)	-150(15)	69(20-II-1)
167	12	-0.15(19)	0.46(19)	-0.16(19)	31(20-II-2)	-128(15)	69(20-II-1)
167	13	-0.15(19)	0.62(19)	-0.09(19)	47(20-II-2)	-176(15)	56(20-I-1)
167	14	-0.15(19)	0.58(19)	-0.11(19)	41(20-II-2)	-167(15)	63(20-II-1)
167	15	-0.14(19)	0.53(19)	-0.13(19)	32(20-II-2)	-151(15)	67(20-II-1)
167	16	-0.13(19)	0.47(19)	-0.14(19)	21(20-II-2)	-128(15)	67(20-II-1)
168	1	-0.26(19)	0.58(19)	-0.07(15)	91(20-II-1)	165(20-II-2)	57(15)
168	2	-0.27(19)	0.60(19)	-0.06(15)	97(20-II-2)	176(20-II-2)	51(15)
168	3	-0.27(19)	0.60(19)	-0.06(15)	99(20-II-2)	177(20-II-2)	42(15)
168	4	-0.27(19)	0.58(19)	-0.08(19)	96(20-II-2)	-175(15)	48(21-II-2)
168	5	-0.22(19)	0.61(19)	0.07(19)	75(20-II-1)	168(20-II-2)	55(15)
168	6	-0.23(19)	0.62(19)	-0.06(15)	81(20-II-2)	179(20-II-2)	49(15)
168	7	-0.23(19)	0.62(19)	-0.05(15)	82(20-II-2)	180(20-II-2)	41(15)
168	8	-0.23(19)	0.60(19)	-0.07(19)	80(20-II-2)	-176(15)	47(21-II-2)
168	9	-0.19(19)	0.63(19)	0.06(19)	61(20-II-1)	170(20-II-2)	54(15)
168	10	-0.19(19)	0.64(19)	-0.05(15)	66(20-II-2)	182(20-II-2)	49(15)
168	11	-0.19(19)	0.64(19)	-0.05(15)	67(20-II-2)	184(20-II-2)	41(15)
168	12	-0.19(19)	0.63(19)	-0.06(19)	65(20-II-2)	-178(15)	47(21-II-2)
168	13	-0.15(19)	0.65(19)	0.05(19)	48(20-II-1)	173(20-II-2)	53(15)
168	14	-0.16(19)	0.67(19)	-0.04(15)	52(20-II-2)	186(20-II-2)	48(15)
168	15	-0.16(19)	0.67(19)	-0.04(15)	54(20-II-2)	187(20-II-2)	41(15)
168	16	-0.16(19)	0.65(19)	-0.06(19)	52(20-II-2)	-179(15)	46(21-II-2)
169	1	-0.92(19)	0.25(19)	-0.15(19)	-101(20-II-2)	-72(19)	71(21-II-2)
169	2	-0.89(19)	0.27(19)	-0.19(19)	-93(20-II-2)	-71(15)	85(20-I-1)
169	3	-0.83(19)	0.29(19)	-0.24(19)	-85(19)	-71(15)	96(20-II-1)
169	4	-0.76(19)	0.33(19)	-0.28(19)	-77(19)	-67(15)	104(20-II-1)
169	5	-0.73(19)	0.37(19)	-0.16(19)	-153(19)	-118(15)	76(21-II-2)
169	6	-0.70(19)	0.38(19)	-0.22(19)	-144(19)	-117(15)	92(20-I-1)
169	7	-0.65(19)	0.38(19)	-0.27(19)	-130(19)	-112(15)	104(20-II-1)
169	8	-0.59(19)	0.39(19)	-0.31(19)	-111(19)	-103(15)	113(20-II-2)
169	9	-0.54(19)	0.45(19)	-0.16(19)	-149(19)	-150(15)	72(20-I-1)
169	10	-0.51(19)	0.44(19)	-0.21(19)	-137(15)	-146(15)	86(20-II-1)
169	11	-0.48(19)	0.42(19)	-0.26(19)	-124(15)	-137(15)	96(20-II-1)
169	12	-0.43(19)	0.41(19)	-0.30(19)	-107(15)	-122(15)	103(20-II-2)
169	13	-0.36(19)	0.51(19)	-0.14(19)	118(20-II-2)	-167(15)	64(20-I-1)
169	14	-0.34(19)	0.49(19)	-0.18(19)	108(20-II-2)	-160(15)	75(20-II-1)
169	15	-0.31(19)	0.46(19)	-0.22(19)	96(20-II-2)	-147(15)	82(20-II-1)
169	16	-0.28(19)	0.42(19)	-0.24(19)	79(20-II-2)	-127(15)	85(20-II-2)
170	1	-0.92(19)	0.25(19)	-0.15(15)	-102(20-II-2)	-74(19)	96(15)
170	2	-0.94(19)	0.23(19)	-0.12(15)	-108(20-II-2)	-75(19)	73(15)
170	3	-0.94(19)	0.23(19)	-0.09(21-II-1)	-110(20-II-2)	-75(19)	48(15)
170	4	-0.94(19)	0.24(19)	-0.09(19)	-107(20-II-2)	-74(19)	54(21-II-2)
170	5	-0.73(19)	0.37(19)	-0.13(15)	-152(19)	-115(19)	91(15)
170	6	-0.75(19)	0.36(19)	-0.11(15)	-159(19)	-120(19)	71(15)
170	7	-0.76(19)	0.36(19)	-0.09(15)	-162(19)	-121(19)	48(15)
170	8	-0.75(19)	0.36(19)	-0.10(19)	-160(19)	-118(19)	57(21-II-2)
170	9	-0.54(19)	0.45(19)	-0.11(15)	-146(19)	-139(19)	78(15)
170	10	-0.56(19)	0.45(19)	-0.09(15)	-156(19)	-148(19)	63(15)
170	11	-0.56(19)	0.45(19)	-0.08(15)	-159(19)	-150(19)	46(15)
170	12	-0.56(19)	0.45(19)	-0.10(19)	-156(19)	-151(15)	55(21-II-2)
170	13	-0.36(19)	0.53(19)	-0.09(15)	118(20-II-3)	153(20-II-2)	64(15)
170	14	-0.37(19)	0.54(19)	-0.08(15)	125(20-II-2)	162(20-II-2)	55(15)
170	15	-0.37(19)	0.54(19)	-0.07(15)	127(20-II-2)	-164(19)	43(15)
170	16	-0.37(19)	0.53(19)	-0.09(19)	124(20-II-2)	-168(15)	51(21-II-2)
171	1	-0.19(19)	0.46(19)	-0.19(15)	32(20-I-2)	55(15)	45(15)
171	2	-0.21(19)	0.50(19)	0.16(19)	53(20-I-2)	76(21-II-2)	52(15)
171	3	-0.23(19)	0.53(19)	0.14(19)	68(21-II-3)	115(20-II-2)	57(15)
171	4	-0.25(19)	0.56(19)	0.11(19)	81(20-II-1)	145(20-II-2)	59(15)
171	5	-0.17(19)	0.47(19)	-0.17(15)	21(20-I-2)	58(15)	42(15)
171	6	-0.18(19)	0.51(19)	0.14(19)	40(20-I-2)	75(21-II-2)	50(15)
171	7	-0.20(19)	0.55(19)	0.13(19)	55(21-II-3)	116(20-II-2)	55(15)
171	8	-0.21(19)	0.58(19)	0.10(19)	66(20-II-1)	146(20-II-2)	57(15)
171	9	-0.14(19)	0.48(19)	-0.16(15)	13(20-I-2)	61(15)	40(15)
171	10	-0.16(19)	0.53(19)	0.13(19)	29(20-I-2)	74(21-II-2)	48(15)
171	11	-0.17(19)	0.57(19)	0.12(19)	42(20-II-1)	116(20-II-2)	53(15)
171	12	-0.18(19)	0.60(19)	0.09(19)	53(20-II-1)	148(20-II-2)	55(15)
171	13	-0.12(19)	0.49(19)	-0.14(15)	11(14)	63(15)	39(15)
171	14	-0.13(19)	0.54(19)	0.12(19)	21(20-I-2)	72(21-II-2)	46(15)
171	15	-0.14(19)	0.59(19)	0.10(19)	32(20-II-1)	116(20-II-2)	52(15)
171	16	-0.15(19)	0.62(19)	0.08(19)	41(20-II-1)	149(20-II-2)	54(15)
172	1	-0.19(15)	0.36(19)	-0.34(15)	-69(20-II-2)	381(15)	73(15)

**POTENZIAMENTO DELL'IMPIANTO DI DEPURAZIONE E
DEL RECAPITO FINALE DI SQUINZANO (LE)
PROGETTO DEFINITIVO
Tabulati di calcolo strutturale-Filtrazione**

R.37.9

Maggio 2021

Pagina 147 di
364

Muro	Pann.	Sxx	Syy	Sxy	Mxx	Myy	Mxy
172	2	-0.15 (15)	0.37 (19)	-0.29 (15)	53 (15)	273 (15)	45 (15)
172	3	-0.16 (19)	0.40 (19)	-0.26 (15)	40 (15)	189 (15)	38 (15)
172	4	-0.17 (19)	0.42 (19)	-0.22 (15)	26 (15)	123 (15)	39 (15)
172	5	-0.19 (15)	0.37 (15)	-0.31 (15)	-82 (20-II-2)	371 (14)	76 (15)
172	6	-0.15 (15)	0.38 (19)	-0.27 (15)	-59 (20-II-2)	266 (15)	44 (15)
172	7	-0.14 (19)	0.41 (19)	-0.23 (15)	38 (14)	187 (15)	36 (15)
172	8	-0.15 (19)	0.43 (19)	-0.21 (15)	26 (14)	125 (15)	36 (15)
172	9	-0.19 (15)	0.41 (15)	-0.27 (15)	-92 (20-II-2)	363 (14)	80 (15)
172	10	-0.14 (15)	0.38 (19)	-0.23 (15)	-62 (20-II-2)	256 (15)	45 (15)
172	11	-0.12 (19)	0.41 (19)	-0.21 (15)	-36 (20-II-2)	185 (15)	35 (15)
172	12	-0.13 (19)	0.44 (19)	-0.19 (15)	24 (14)	126 (15)	35 (15)
172	13	-0.18 (15)	0.42 (15)	-0.21 (15)	-90 (20-II-2)	340 (14)	92 (15)
172	14	-0.12 (15)	0.39 (19)	-0.19 (15)	-55 (20-II-2)	243 (14)	47 (15)
172	15	-0.10 (19)	0.42 (19)	-0.18 (15)	-35 (20-II-2)	181 (15)	34 (15)
172	16	-0.11 (19)	0.45 (19)	-0.17 (15)	21 (14)	127 (15)	34 (15)
173	1	-0.81 (19)	1.84 (19)	-0.60 (15)	95 (20-II-1)	37 (19)	-54 (15)
173	2	-1.22 (19)	1.33 (19)	-0.62 (15)	104 (20-II-2)	25 (21-II-1)	-58 (15)
173	3	-1.28 (19)	0.95 (19)	-0.65 (15)	99 (21-II-1)	27 (21-II-1)	-53 (15)
173	4	-1.12 (19)	0.71 (19)	-0.69 (15)	87 (21-II-2)	27 (21-II-1)	-40 (15)
173	5	-0.56 (19)	1.36 (19)	-0.89 (15)	28 (21-II-1)	-34 (15)	-46 (15)
173	6	-0.90 (19)	1.15 (19)	-0.92 (15)	41 (21-II-1)	18 (21-II-1)	-53 (14)
173	7	-0.97 (19)	0.93 (19)	-0.90 (15)	45 (21-II-1)	29 (14)	-51 (15)
173	8	-0.86 (19)	0.74 (19)	-0.86 (15)	39 (21-II-1)	49 (14)	-39 (15)
173	9	-0.43 (19)	0.82 (15)	-0.96 (15)	5 (13)	-42 (15)	-48 (15)
173	10	-0.59 (19)	0.80 (15)	-1.00 (15)	11 (19)	14 (19)	-51 (15)
173	11	-0.63 (19)	0.74 (15)	-0.94 (15)	16 (19)	35 (14)	-49 (14)
173	12	-0.56 (19)	0.66 (15)	-0.86 (15)	21 (14)	68 (14)	-40 (14)
173	13	-0.30 (19)	1.90 (15)	-0.88 (15)	-8 (14)	-58 (21-II-2)	-49 (15)
173	14	-0.30 (19)	1.63 (15)	-0.81 (15)	3 (15)	-16 (20-II-1)	-50 (15)
173	15	-0.29 (19)	1.32 (15)	-0.72 (15)	9 (15)	39 (14)	-46 (15)
173	16	-0.26 (19)	1.01 (15)	-0.63 (15)	15 (15)	82 (14)	-39 (14)
174	1	-0.17 (19)	2.71 (15)	-0.69 (15)	-7 (14)	-69 (21-II-2)	-49 (15)
174	2	-0.18 (19)	2.18 (15)	-0.54 (15)	-4 (20-II-1)	-23 (20-II-1)	-50 (15)
174	3	-0.19 (19)	1.67 (15)	-0.47 (15)	5 (15)	41 (14)	-47 (15)
174	4	-0.16 (19)	1.21 (15)	-0.40 (15)	10 (15)	90 (15)	-39 (14)
174	5	-0.11 (19)	3.02 (15)	-0.53 (15)	-6 (21-II-2)	-72 (21-II-2)	-47 (15)
174	6	-0.10 (19)	2.35 (15)	-0.41 (15)	-3 (20-II-1)	-25 (20-II-1)	-48 (15)
174	7	-0.09 (19)	1.77 (15)	-0.35 (15)	4 (15)	41 (14)	-44 (15)
174	8	-0.08 (19)	1.27 (15)	-0.29 (15)	7 (15)	93 (15)	-37 (14)
174	9	-0.05 (19)	3.30 (15)	-0.34 (15)	-3 (21-II-2)	-74 (21-II-2)	-41 (15)
174	10	-0.04 (19)	2.51 (15)	-0.26 (15)	-2 (20-II-1)	-26 (20-II-1)	-42 (15)
174	11	-0.05 (15)	1.88 (15)	-0.22 (15)	2 (15)	41 (14)	-39 (15)
174	12	-0.05 (15)	1.33 (15)	-0.18 (15)	4 (15)	95 (15)	-33 (14)
174	13	-0.03 (19)	3.53 (15)	-0.11 (15)	0	-75 (21-II-2)	-22 (15)
174	14	-0.03 (15)	2.67 (15)	-0.08 (15)	0	-26 (20-II-1)	-23 (15)
174	15	-0.08 (15)	1.97 (15)	-0.07 (15)	0	41 (14)	-21 (15)
174	16	-0.10 (15)	1.38 (15)	-0.06 (15)	0	95 (15)	-18 (14)
175	1	-1.57 (15)	2.54 (19)	-0.39 (15)	76 (19)	-104 (21-I-1)	23 (21-I-1)
175	2	-1.31 (15)	2.37 (19)	-0.49 (15)	81 (19)	-74 (15)	-38 (15)
175	3	-1.07 (15)	2.22 (19)	-0.55 (15)	86 (19)	-63 (15)	-48 (15)
175	4	-0.85 (15)	2.03 (19)	-0.58 (15)	86 (19)	55 (19)	-52 (15)
175	5	-0.97 (15)	1.50 (19)	-0.50 (15)	11 (19)	-158 (21-II-2)	48 (21-I-1)
175	6	-0.85 (15)	1.49 (19)	-0.62 (15)	10 (19)	-104 (21-II-2)	-28 (15)
175	7	-0.72 (15)	1.47 (19)	-0.72 (15)	14 (19)	-67 (15)	-36 (15)
175	8	-0.58 (15)	1.41 (19)	-0.80 (15)	18 (19)	-56 (15)	-39 (15)
175	9	-0.41 (15)	0.76 (15)	-0.51 (15)	-12 (14)	-166 (21-II-2)	44 (20-II-1)
175	10	-0.32 (15)	0.78 (15)	-0.62 (15)	-11 (14)	-125 (21-II-2)	-29 (15)
175	11	-0.25 (15)	0.79 (15)	-0.74 (15)	-9 (14)	-93 (21-II-2)	-39 (15)
175	12	-0.26 (19)	0.77 (15)	-0.83 (15)	-7 (14)	-71 (14)	-43 (15)
175	13	-0.32 (19)	1.74 (15)	-0.55 (15)	-15 (14)	-187 (21-II-2)	40 (20-II-1)
175	14	-0.36 (19)	1.84 (15)	-0.72 (15)	-15 (14)	-150 (21-II-2)	-28 (15)
175	15	-0.35 (19)	1.90 (15)	-0.83 (15)	-14 (14)	-119 (21-II-2)	-40 (15)
175	16	-0.32 (19)	1.90 (15)	-0.89 (15)	-12 (14)	-97 (14)	-45 (15)
176	1	0.81 (15)	2.91 (15)	-0.69 (15)	-19 (14)	-206 (21-II-2)	39 (20-II-1)
176	2	0.65 (15)	3.03 (15)	-0.90 (15)	-17 (14)	-171 (21-II-2)	-28 (15)
176	3	0.40 (15)	3.10 (15)	-0.92 (15)	-14 (14)	-139 (21-II-2)	-41 (15)
176	4	-0.29 (19)	3.07 (15)	-0.85 (15)	-12 (14)	-112 (21-II-2)	-45 (15)
176	5	1.06 (15)	3.45 (15)	-0.86 (15)	-21 (14)	-218 (21-II-2)	38 (20-II-1)
176	6	0.69 (15)	3.70 (15)	-1.02 (15)	-16 (14)	-180 (21-II-2)	-26 (15)
176	7	0.35 (15)	3.72 (15)	-0.89 (15)	-12 (14)	-146 (21-II-2)	-39 (15)
176	8	-0.20 (19)	3.50 (15)	-0.70 (15)	-9 (14)	-117 (21-II-2)	-43 (15)
176	9	1.31 (15)	4.40 (15)	-1.15 (15)	-24 (14)	-232 (21-II-2)	40 (20-I-2)
176	10	0.62 (15)	4.74 (15)	-1.11 (15)	-13 (21-I-2)	-189 (21-II-2)	-22 (15)
176	11	0.19 (15)	4.28 (15)	-0.65 (15)	-7 (14)	-151 (21-II-2)	-33 (15)

**POTENZIAMENTO DELL'IMPIANTO DI DEPURAZIONE E
DEL RECAPITO FINALE DI SQUINZANO (LE)
PROGETTO DEFINITIVO
Tabulati di calcolo strutturale-Filtrazione**

R.37.9

Maggio 2021

Pagina 148 di
364

Muro	Pann.	Sxx	Syy	Sxy	Mxx	Myy	Mxy
176	12	-0.11 (19)	3.93 (15)	-0.47 (15)	-5 (21-II-2)	-121 (21-II-2)	-37 (15)
176	13	1.60 (15)	7.22 (15)	-1.67 (15)	-25 (14)	-268 (21-II-2)	39 (21-II-2)
176	14	0.10 (15)	5.57 (15)	-0.41 (15)	-3 (21-I-1)	-188 (21-II-2)	-13 (15)
176	15	-0.05 (15)	4.81 (15)	-0.24 (15)	-2 (21-II-2)	-150 (21-II-2)	-18 (15)
176	16	-0.09 (19)	4.25 (15)	-0.17 (15)	-2 (21-II-2)	-121 (21-II-2)	-19 (15)
177	1	-0.48 (15)	0.27 (15)	0.20 (19)	-72 (15)	-246 (15)	42 (21-I-2)
177	2	-0.46 (15)	0.22 (15)	-0.18 (20-I-2)	-62 (15)	-155 (15)	32 (19)
177	3	-0.44 (15)	0.18 (15)	-0.19 (20-I-2)	-49 (15)	-75 (15)	43 (19)
177	4	-0.43 (15)	0.23 (19)	-0.20 (20-I-1)	64 (19)	52 (19)	66 (19)
177	5	-0.71 (15)	0.26 (15)	0.16 (19)	-41 (15)	-212 (15)	38 (21-I-2)
177	6	-0.65 (15)	0.22 (15)	0.15 (15)	-29 (15)	-124 (15)	43 (19)
177	7	-0.57 (15)	0.17 (15)	-0.17 (20-I-1)	-19 (15)	-46 (15)	50 (19)
177	8	-0.49 (15)	0.13 (15)	-0.21 (20-I-1)	15 (19)	36 (14)	56 (19)
177	9	-1.00 (15)	-0.14 (19)	0.25 (15)	-36 (15)	-174 (15)	35 (21-II-2)
177	10	-0.81 (15)	0.13 (15)	0.33 (15)	-27 (15)	-78 (15)	43 (19)
177	11	-0.58 (15)	-0.10 (20-II-1)	0.27 (15)	25 (19)	-21 (19)	41 (19)
177	12	-0.44 (15)	-0.12 (20-II-1)	-0.22 (20-I-2)	19 (19)	34 (15)	49 (14)
177	13	-1.28 (15)	-0.37 (20-II-1)	0.63 (15)	86 (19)	-114 (15)	40 (21-II-2)
177	14	-0.62 (15)	-0.34 (20-II-1)	0.34 (15)	77 (19)	-46 (19)	33 (14)
177	15	-0.40 (15)	-0.29 (20-II-1)	0.21 (15)	63 (19)	-32 (19)	37 (14)
177	16	-0.38 (21-II-1)	-0.29 (19)	-0.16 (14)	42 (19)	36 (15)	41 (14)
178	1	-0.37 (15)	0.19 (15)	-0.22 (20-I-1)	128 (19)	57 (19)	54 (21-II-2)
178	2	-0.35 (15)	0.20 (15)	-0.20 (20-I-2)	-77 (15)	-94 (15)	31 (20-II-1)
178	3	-0.34 (15)	0.23 (15)	-0.20 (20-I-2)	-98 (15)	-167 (15)	32 (20-II-1)
178	4	-0.35 (15)	0.24 (15)	-0.20 (20-I-2)	-118 (15)	-264 (15)	50 (21-II-2)
178	5	-0.32 (15)	0.21 (19)	-0.18 (20-I-1)	83 (19)	-64 (15)	39 (20-I-1)
178	6	-0.31 (15)	0.21 (15)	-0.20 (20-I-2)	-80 (15)	-102 (15)	30 (20-II-1)
178	7	-0.30 (15)	0.24 (15)	-0.20 (20-I-2)	-111 (15)	-165 (15)	30 (20-II-1)
178	8	-0.30 (15)	0.26 (15)	-0.21 (20-I-2)	-136 (15)	-263 (15)	50 (21-II-2)
178	9	-0.27 (15)	0.24 (19)	-0.16 (20-I-1)	-57 (15)	-76 (15)	34 (20-I-1)
178	10	-0.27 (15)	0.22 (15)	-0.19 (20-I-2)	-79 (15)	-111 (15)	28 (20-II-1)
178	11	-0.27 (15)	0.25 (15)	-0.20 (20-I-2)	-115 (15)	-164 (15)	-35 (15)
178	12	-0.24 (15)	0.30 (15)	-0.21 (20-I-2)	-157 (15)	-249 (15)	50 (21-II-2)
178	13	-0.23 (15)	0.25 (19)	-0.15 (20-I-1)	-53 (15)	-85 (15)	31 (20-I-1)
178	14	-0.24 (15)	0.24 (19)	-0.18 (20-I-2)	-72 (15)	-120 (15)	-35 (15)
178	15	-0.23 (15)	-0.26 (20-I-1)	-0.20 (20-I-2)	-103 (15)	-170 (15)	-51 (15)
178	16	-0.16 (15)	0.32 (15)	-0.20 (20-I-2)	-172 (15)	-227 (15)	51 (21-II-2)
179	1	-0.63 (14)	0.26 (14)	-0.26 (20-I-1)	-48 (15)	-24 (21-I-2)	37 (15)
179	2	-0.59 (15)	0.28 (14)	-0.28 (20-I-1)	-42 (15)	-31 (20-II-2)	26 (15)
179	3	-0.51 (15)	0.37 (14)	-0.31 (20-I-1)	-36 (15)	-34 (20-II-2)	27 (15)
179	4	-0.26 (15)	0.41 (20-II-1)	-0.38 (20-I-1)	-27 (15)	81 (14)	-18 (20-II-1)
179	5	-0.47 (15)	0.26 (14)	-0.36 (21-I-2)	4 (21-I-1)	-23 (21-II-2)	42 (15)
179	6	-0.42 (15)	0.28 (14)	-0.36 (21-I-2)	-5 (19)	-41 (20-II-2)	29 (15)
179	7	-0.32 (15)	0.25 (14)	-0.36 (21-I-2)	-8 (20-II-2)	-65 (20-II-2)	30 (15)
179	8	-0.27 (19)	0.25 (19)	-0.31 (20-I-1)	-12 (20-II-2)	-98 (20-II-2)	24 (14)
179	9	-0.37 (14)	0.27 (15)	-0.35 (20-I-1)	12 (20-I-2)	-28 (21-II-2)	39 (15)
179	10	-0.34 (15)	0.27 (15)	-0.33 (20-I-1)	5 (20-I-2)	-55 (20-II-2)	27 (15)
179	11	-0.29 (15)	0.27 (19)	-0.30 (20-I-1)	6 (15)	-94 (20-II-2)	31 (15)
179	12	-0.25 (19)	0.27 (19)	-0.26 (20-I-1)	14 (15)	-141 (20-II-2)	25 (14)
179	13	-0.37 (14)	0.30 (15)	-0.26 (20-I-1)	-33 (15)	30 (14)	47 (15)
179	14	-0.29 (15)	0.27 (19)	-0.25 (20-I-1)	-17 (15)	-67 (20-II-2)	46 (15)
179	15	-0.25 (15)	0.27 (19)	-0.23 (20-I-1)	-21 (20-II-2)	-117 (20-II-2)	51 (15)
179	16	-0.23 (15)	0.29 (19)	-0.20 (20-I-1)	-29 (20-II-2)	-182 (20-II-2)	37 (14)
180	1	-0.97 (14)	-0.25 (20-II-1)	-0.64 (14)	-12 (15)	13 (20-I-1)	-26 (15)
180	2	-0.77 (14)	-0.26 (20-II-1)	-0.71 (14)	-11 (15)	16 (14)	-21 (15)
180	3	-0.51 (21-II-1)	-0.25 (20-II-1)	-0.72 (14)	-5 (15)	26 (15)	-12 (15)
180	4	-0.21 (20-II-2)	-0.21 (20-II-1)	-0.58 (14)	-6 (15)	40 (15)	-5 (14)
180	5	-0.66 (14)	-0.18 (21-I-2)	-0.62 (14)	9 (20-I-1)	23 (15)	-21 (15)
180	6	-0.57 (14)	-0.23 (20-II-1)	-0.69 (14)	10 (20-II-1)	36 (15)	-12 (15)
180	7	-0.47 (21-II-1)	-0.30 (20-I-2)	-0.70 (14)	11 (20-II-1)	55 (15)	-3 (14)
180	8	-0.50 (21-I-2)	-0.37 (20-I-2)	-0.62 (14)	9 (15)	80 (15)	-9 (14)
180	9	-0.38 (14)	-0.08 (21-I-2)	-0.52 (14)	9 (15)	40 (15)	-20 (15)
180	10	-0.39 (14)	-0.16 (21-I-1)	-0.59 (14)	10 (15)	58 (15)	-14 (14)
180	11	-0.40 (14)	-0.24 (20-I-2)	-0.60 (14)	12 (15)	78 (15)	-6 (14)
180	12	-0.51 (20-II-1)	-0.35 (20-I-2)	-0.58 (14)	12 (15)	100 (15)	-16 (14)
180	13	-0.10 (14)	0.22 (21-II-2)	-0.24 (14)	3 (15)	50 (15)	-20 (15)
180	14	-0.12 (14)	-0.13 (15)	-0.31 (14)	5 (15)	71 (15)	-16 (14)
180	15	-0.18 (14)	-0.39 (15)	-0.41 (14)	4 (15)	98 (15)	-10 (14)
180	16	-0.36 (20-II-1)	-0.35 (15)	-0.54 (14)	9 (15)	126 (15)	-14 (14)
181	1	-0.23 (14)	0.24 (19)	-0.22 (20-I-1)	-21 (15)	-42 (20-II-2)	108 (15)
181	2	-0.21 (15)	0.26 (19)	-0.20 (20-I-1)	-32 (20-I-1)	-77 (20-II-2)	72 (15)
181	3	-0.20 (15)	0.28 (19)	-0.19 (20-I-1)	-43 (20-II-2)	-129 (20-II-2)	72 (15)
181	4	-0.20 (15)	0.28 (19)	-0.17 (20-I-1)	-57 (20-II-2)	-202 (20-II-2)	52 (15)
181	5	-0.28 (14)	0.30 (15)	-0.18 (20-I-1)	-14 (20-II-2)	-64 (20-II-2)	83 (15)

Muro	Pann.	Sxx	Syy	Sxy	Mxx	Myy	Mxy
181	6	-0.20 (14)	0.28 (19)	-0.18 (20-I-1)	-34 (20-II-2)	-84 (20-II-2)	78 (15)
181	7	-0.17 (15)	0.28 (19)	-0.18 (20-I-1)	-51 (20-II-2)	-131 (20-II-2)	76 (15)
181	8	-0.20 (15)	0.29 (19)	-0.16 (20-I-1)	-67 (20-II-2)	-201 (20-II-2)	60 (15)
181	9	-0.24 (14)	0.32 (15)	-0.15 (20-I-1)	-18 (20-II-2)	-69 (20-II-2)	71 (15)
181	10	-0.17 (14)	0.29 (19)	-0.16 (20-I-1)	-34 (20-II-2)	-94 (20-II-2)	76 (15)
181	11	-0.16 (15)	0.30 (19)	-0.16 (20-I-1)	-53 (20-II-2)	-133 (20-II-2)	80 (15)
181	12	-0.20 (15)	0.30 (19)	-0.14 (20-I-1)	-75 (20-II-2)	-192 (20-II-2)	70 (15)
181	13	-0.19 (14)	0.34 (15)	-0.12 (20-I-1)	-20 (20-II-2)	-72 (20-II-2)	64 (15)
181	14	-0.15 (14)	0.31 (15)	-0.14 (20-I-1)	-32 (20-II-2)	-101 (20-II-2)	73 (15)
181	15	-0.14 (15)	0.31 (19)	-0.13 (20-I-1)	-49 (20-II-2)	-140 (20-II-2)	82 (15)
181	16	-0.20 (15)	0.34 (19)	-0.12 (20-II-2)	-74 (20-II-2)	-176 (20-II-2)	87 (15)
182	1	-1.09 (19)	0.09 (19)	0.30 (21-I-1)	35 (14)	-11 (15)	-23 (15)
182	2	-1.20 (14)	-0.21 (21-II-1)	0.07 (20-I-1)	30 (14)	9 (21-II-3)	-29 (15)
182	3	-1.21 (14)	-0.27 (21-II-1)	-0.22 (14)	21 (21-II-1)	11 (21-II-4)	-30 (15)
182	4	-1.11 (14)	-0.28 (21-II-1)	-0.47 (14)	12 (21-II-1)	10 (20-I-1)	-27 (15)
182	5	-0.76 (19)	0.23 (19)	0.39 (21-II-1)	-7 (15)	-29 (15)	-22 (15)
182	6	-0.80 (14)	0.16 (19)	0.14 (21-II-1)	6 (21-I-2)	-12 (15)	-31 (15)
182	7	-0.80 (14)	0.09 (19)	-0.19 (14)	8 (21-I-2)	8 (21-I-1)	-33 (15)
182	8	-0.75 (14)	-0.12 (21-I-2)	-0.46 (14)	9 (20-I-1)	15 (21-II-2)	-29 (15)
182	9	-0.44 (19)	0.22 (14)	0.37 (19)	-11 (15)	-44 (15)	-20 (15)
182	10	-0.40 (19)	0.28 (14)	0.14 (19)	-6 (15)	-18 (15)	-28 (15)
182	11	-0.40 (14)	0.26 (14)	-0.13 (15)	3 (21-I-1)	10 (21-I-1)	-30 (15)
182	12	-0.39 (14)	0.17 (14)	-0.37 (14)	6 (21-II-2)	22 (14)	-27 (15)
182	13	-0.10 (19)	0.41 (15)	0.20 (19)	-5 (14)	-54 (15)	-20 (15)
182	14	-0.08 (19)	0.56 (14)	0.07 (19)	-3 (14)	-24 (15)	-26 (15)
182	15	-0.07 (14)	0.57 (14)	-0.05 (15)	0	10 (21-I-1)	-28 (15)
182	16	-0.08 (14)	0.40 (14)	-0.15 (14)	2 (15)	27 (14)	-26 (15)
183	1	-0.44 (14)	0.27 (19)	0.45 (21-II-1)	-5 (21-II-2)	-59 (14)	24 (14)
183	2	-0.62 (19)	0.32 (19)	0.49 (21-II-1)	17 (14)	-45 (15)	7 (19)
183	3	-0.80 (19)	0.26 (19)	0.47 (21-II-1)	26 (14)	-33 (15)	-8 (15)
183	4	-0.94 (19)	0.24 (19)	0.43 (21-II-1)	32 (14)	-23 (15)	-13 (15)
183	5	-0.44 (21-II-4)	0.29 (19)	0.53 (21-II-1)	-15 (15)	-83 (14)	41 (14)
183	6	-0.51 (19)	0.32 (19)	0.54 (21-II-1)	-14 (15)	-69 (15)	12 (19)
183	7	-0.60 (19)	0.29 (19)	0.53 (21-II-1)	-12 (15)	-58 (15)	-7 (15)
183	8	-0.68 (19)	0.28 (19)	0.51 (21-II-1)	-11 (15)	-47 (15)	-12 (15)
183	9	-0.42 (21-II-1)	0.20 (19)	0.47 (14)	-16 (15)	-109 (15)	41 (19)
183	10	-0.45 (19)	0.15 (19)	0.49 (14)	-16 (15)	-94 (15)	12 (19)
183	11	-0.47 (19)	0.19 (19)	0.50 (19)	-16 (15)	-80 (15)	-8 (15)
183	12	-0.46 (19)	0.18 (19)	0.48 (19)	-15 (15)	-67 (15)	-12 (15)
183	13	-0.61 (19)	0.15 (14)	0.60 (19)	-18 (14)	-145 (14)	43 (19)
183	14	-0.35 (19)	-0.42 (19)	0.49 (19)	-14 (14)	-114 (14)	11 (19)
183	15	-0.21 (19)	-0.28 (19)	0.39 (19)	-10 (14)	-94 (14)	-8 (15)
183	16	-0.15 (19)	0.28 (15)	0.31 (19)	-7 (14)	-79 (15)	-11 (15)
184	1	-0.36 (15)	0.21 (15)	0.29 (19)	56 (19)	-65 (15)	25 (21-I-2)
184	2	-0.26 (21-II-3)	0.17 (19)	0.21 (19)	37 (19)	28 (19)	22 (14)
184	3	-0.23 (20-I-1)	0.15 (19)	0.17 (19)	14 (19)	77 (21-I-2)	23 (14)
184	4	-0.26 (20-I-1)	-0.18 (21-I-1)	0.08 (19)	14 (21-I-2)	178 (21-I-2)	10 (19)
184	5	-0.39 (21-II-2)	0.17 (19)	0.31 (15)	-16 (20-I-2)	-47 (15)	16 (20-I-1)
184	6	-0.32 (21-II-3)	0.19 (19)	0.23 (19)	-18 (20-II-1)	31 (19)	26 (15)
184	7	-0.28 (20-I-1)	0.19 (19)	0.19 (19)	11 (19)	59 (21-I-2)	29 (15)
184	8	-0.28 (20-I-1)	0.18 (19)	0.10 (19)	13 (21-II-2)	138 (21-I-2)	17 (14)
184	9	-0.40 (21-II-1)	0.11 (14)	0.32 (15)	12 (19)	-45 (14)	18 (15)
184	10	-0.38 (21-I-2)	0.16 (14)	0.21 (15)	22 (19)	39 (14)	31 (15)
184	11	-0.31 (20-I-1)	0.19 (14)	0.18 (19)	20 (14)	49 (21-I-2)	31 (15)
184	12	-0.22 (20-I-1)	0.18 (19)	0.12 (19)	15 (20-II-1)	-93 (19)	25 (14)
184	13	-0.40 (21-II-1)	-0.31 (19)	0.21 (15)	49 (19)	-36 (19)	34 (14)
184	14	-0.45 (21-I-2)	0.14 (15)	0.13 (15)	89 (14)	36 (14)	35 (14)
184	15	-0.37 (21-I-2)	0.16 (15)	0.13 (15)	79 (21-I-2)	39 (21-I-2)	16 (20-II-1)
184	16	-0.14 (20-I-1)	0.09 (15)	0.13 (19)	43 (21-II-4)	-50 (19)	9 (14)
185	1	-0.74 (21-II-4)	0.13 (15)	-0.10 (19)	-85 (21-I-1)	-48 (15)	-36 (21-II-2)
185	2	-0.83 (21-II-4)	-0.18 (20-I-2)	-0.13 (19)	-110 (21-I-1)	-50 (15)	-33 (21-I-2)
185	3	-0.84 (21-II-4)	-0.22 (20-I-2)	-0.13 (19)	-117 (21-I-1)	-46 (15)	-50 (15)
185	4	-0.77 (21-II-4)	-0.22 (20-I-2)	-0.15 (20-II-1)	-105 (21-I-1)	-34 (15)	-72 (15)
185	5	-0.57 (21-II-4)	0.18 (19)	0.14 (20-I-1)	-69 (14)	-81 (15)	-55 (21-II-2)
185	6	-0.64 (21-II-4)	0.13 (19)	-0.07 (19)	-86 (14)	-85 (15)	-45 (21-I-2)
185	7	-0.64 (21-II-4)	-0.13 (21-I-1)	-0.09 (19)	-89 (14)	-75 (15)	-55 (15)
185	8	-0.58 (21-II-1)	-0.17 (21-I-1)	-0.12 (20-II-1)	-77 (14)	-58 (19)	-67 (15)
185	9	-0.40 (21-II-4)	0.17 (19)	0.13 (20-I-1)	-67 (15)	-101 (15)	-51 (21-I-2)
185	10	-0.45 (21-II-4)	0.14 (19)	0.08 (20-I-1)	-81 (14)	-103 (15)	-44 (15)
185	11	-0.46 (21-II-1)	0.11 (14)	0.06 (15)	-81 (14)	-87 (15)	-51 (15)
185	12	-0.42 (21-II-1)	-0.15 (21-I-1)	0.06 (15)	-67 (19)	-67 (19)	-50 (15)
185	13	-0.26 (14)	0.11 (19)	0.10 (20-I-1)	41 (21-I-1)	-106 (15)	-49 (15)
185	14	-0.30 (14)	0.10 (19)	0.07 (20-I-1)	57 (21-I-1)	-103 (15)	-49 (15)
185	15	-0.30 (14)	0.10 (14)	0.06 (15)	62 (21-I-1)	-83 (19)	-45 (15)

Muro	Pann.	Sxx	Syy	Sxy	Mxx	Myy	Mxy
185	16	-0.28 (21-II-1)	-0.10 (21-I-1)	0.07 (15)	58 (21-I-1)	82 (21-I-1)	-36 (15)
186	1	-0.66 (21-II-1)	-0.21 (20-I-2)	-0.20 (20-II-1)	-85 (21-I-1)	-22 (19)	-78 (15)
186	2	-0.54 (21-I-2)	-0.20 (20-II-2)	-0.21 (20-II-1)	-65 (21-I-1)	-8 (19)	-77 (15)
186	3	-0.39 (21-II-2)	-0.20 (21-I-1)	-0.19 (20-II-1)	-43 (21-I-1)	35 (15)	-67 (15)
186	4	-0.26 (20-II-1)	-0.18 (21-I-1)	-0.10 (20-I-1)	-27 (20-I-1)	89 (15)	-44 (15)
186	5	-0.50 (21-II-1)	-0.21 (20-II-2)	-0.16 (20-II-1)	-59 (14)	-37 (19)	-68 (15)
186	6	-0.44 (21-I-2)	-0.25 (20-II-1)	-0.17 (20-I-1)	-41 (14)	22 (20-II-1)	-61 (15)
186	7	-0.39 (21-II-1)	-0.29 (20-II-1)	-0.14 (20-I-1)	-21 (19)	70 (15)	-49 (15)
186	8	-0.40 (20-II-1)	-0.33 (21-I-1)	0.09 (15)	-6 (20-I-1)	150 (15)	-35 (15)
186	9	-0.38 (21-II-1)	-0.19 (21-I-1)	-0.08 (20-II-2)	-49 (19)	54 (21-I-2)	-43 (15)
186	10	-0.35 (21-II-1)	-0.23 (21-I-1)	-0.08 (20-II-2)	-32 (19)	43 (20-II-1)	-34 (15)
186	11	-0.35 (21-II-1)	-0.26 (21-I-1)	0.10 (15)	16 (20-II-1)	104 (15)	24 (21-I-1)
186	12	-0.39 (20-II-1)	-0.30 (21-II-2)	0.11 (15)	13 (15)	188 (15)	20 (21-I-1)
186	13	-0.27 (21-II-1)	-0.13 (21-I-1)	0.08 (15)	49 (21-II-2)	74 (21-I-2)	-26 (15)
186	14	-0.26 (21-II-1)	-0.15 (21-I-1)	0.09 (15)	38 (21-II-2)	69 (15)	-17 (15)
186	15	-0.27 (21-II-1)	-0.17 (21-I-1)	0.10 (15)	26 (21-II-2)	131 (15)	8 (21-I-1)
186	16	-0.30 (20-II-1)	-0.19 (21-I-1)	0.11 (15)	27 (15)	207 (15)	11 (21-I-1)
187	1	-0.25 (21-II-1)	0.17 (15)	0.14 (15)	15 (15)	194 (15)	28 (21-I-1)
187	2	-0.24 (21-II-2)	0.21 (15)	0.18 (15)	-4 (19)	117 (15)	33 (21-I-2)
187	3	-0.32 (14)	0.25 (15)	0.19 (15)	-26 (15)	42 (15)	17 (21-I-2)
187	4	-0.42 (14)	0.32 (15)	0.16 (19)	-37 (15)	-75 (15)	52 (15)
187	5	-0.22 (21-II-1)	0.16 (15)	0.14 (15)	16 (15)	197 (15)	27 (21-I-1)
187	6	-0.18 (21-II-2)	0.20 (15)	0.17 (15)	-5 (21-I-1)	118 (15)	33 (21-I-2)
187	7	-0.20 (14)	0.25 (15)	0.18 (15)	-19 (15)	44 (15)	14 (21-I-2)
187	8	-0.33 (14)	0.31 (15)	0.14 (19)	-18 (15)	-40 (20-II-1)	33 (15)
187	9	-0.18 (21-II-1)	0.15 (15)	0.13 (15)	17 (15)	199 (15)	26 (21-I-1)
187	10	-0.15 (21-II-2)	0.20 (15)	0.16 (15)	-7 (21-I-1)	120 (15)	31 (21-I-2)
187	11	-0.16 (14)	0.26 (15)	0.16 (15)	-12 (20-II-2)	45 (15)	14 (21-I-2)
187	12	-0.26 (14)	0.32 (15)	0.12 (19)	-13 (20-II-2)	-36 (20-II-1)	32 (15)
187	13	-0.15 (21-II-1)	0.15 (15)	0.12 (15)	16 (15)	200 (15)	24 (21-I-1)
187	14	-0.12 (21-II-2)	0.20 (15)	0.14 (15)	-7 (21-I-1)	121 (15)	30 (21-I-2)
187	15	-0.14 (14)	0.27 (15)	0.15 (15)	-11 (20-II-2)	47 (15)	15 (21-I-2)
187	16	-0.20 (14)	0.33 (15)	0.10 (15)	-13 (20-II-2)	-35 (20-II-1)	33 (15)
188	1	-0.20 (21-II-1)	0.09 (14)	0.07 (15)	37 (21-II-2)	80 (21-I-2)	-22 (21-II-1)
188	2	-0.20 (21-II-1)	0.09 (14)	0.08 (15)	28 (21-II-2)	84 (15)	-19 (21-II-1)
188	3	-0.20 (21-II-1)	0.10 (15)	0.09 (15)	23 (15)	144 (15)	-13 (21-II-1)
188	4	-0.21 (20-II-1)	0.10 (15)	0.11 (15)	33 (15)	214 (15)	-11 (15)
188	5	-0.18 (21-II-1)	0.09 (14)	0.06 (15)	29 (21-II-2)	81 (21-I-2)	-23 (21-II-1)
188	6	-0.18 (21-II-1)	0.10 (14)	0.07 (15)	22 (21-II-2)	88 (15)	-21 (21-II-1)
188	7	-0.18 (20-II-1)	0.10 (15)	0.09 (15)	25 (15)	148 (15)	-15 (21-II-1)
188	8	-0.18 (20-II-1)	0.11 (15)	0.11 (15)	35 (15)	215 (15)	-11 (15)
188	9	-0.15 (21-II-1)	0.09 (14)	0.05 (15)	22 (21-II-2)	82 (21-I-2)	-25 (21-II-1)
188	10	-0.16 (21-II-1)	0.09 (14)	0.07 (15)	18 (15)	93 (15)	-22 (21-II-1)
188	11	-0.16 (21-II-1)	0.10 (15)	0.08 (15)	25 (15)	151 (15)	-17 (21-II-1)
188	12	-0.16 (20-II-1)	0.11 (15)	0.10 (15)	35 (15)	216 (15)	-10 (15)
188	13	-0.13 (21-II-1)	0.08 (14)	0.05 (15)	17 (21-II-2)	82 (21-I-2)	-26 (21-II-1)
188	14	-0.13 (21-II-1)	0.09 (14)	0.06 (15)	18 (15)	96 (15)	-23 (21-II-1)
188	15	-0.13 (21-II-1)	0.10 (15)	0.07 (15)	24 (15)	153 (15)	-18 (21-II-1)
188	16	-0.13 (20-II-1)	0.11 (15)	0.10 (15)	33 (15)	216 (15)	-10 (15)
189	1	-0.24 (20-I-1)	-0.15 (21-I-1)	0.07 (19)	23 (21-I-2)	193 (21-I-2)	9 (19)
189	2	-0.21 (20-I-1)	-0.17 (21-I-1)	0.14 (19)	15 (19)	91 (21-I-2)	30 (19)
189	3	-0.25 (19)	0.18 (19)	0.18 (19)	32 (19)	28 (21-I-2)	34 (19)
189	4	-0.35 (19)	0.26 (19)	0.21 (19)	113 (19)	69 (19)	43 (21-I-2)
189	5	-0.20 (20-I-1)	-0.15 (21-I-1)	0.06 (19)	25 (21-I-2)	194 (21-I-2)	11 (19)
189	6	-0.17 (20-I-1)	-0.17 (21-I-1)	0.13 (19)	13 (19)	96 (21-I-2)	33 (19)
189	7	-0.19 (21-II-4)	0.17 (19)	0.17 (19)	34 (19)	32 (21-II-2)	41 (19)
189	8	-0.28 (14)	0.24 (19)	0.18 (19)	74 (19)	63 (19)	41 (19)
189	9	-0.17 (20-I-1)	-0.15 (21-I-1)	0.06 (19)	25 (21-I-2)	195 (21-I-2)	12 (19)
189	10	-0.15 (20-I-1)	-0.17 (21-I-1)	0.12 (19)	14 (20-I-1)	101 (21-I-2)	35 (19)
189	11	-0.16 (21-II-3)	-0.17 (21-I-1)	0.16 (19)	30 (19)	38 (21-II-2)	46 (19)
189	12	-0.23 (14)	0.23 (19)	0.16 (19)	49 (19)	56 (19)	45 (19)
189	13	-0.15 (21-II-1)	-0.14 (21-I-1)	0.05 (19)	24 (21-I-2)	195 (21-I-2)	13 (19)
189	14	-0.12 (20-I-1)	-0.17 (21-I-1)	0.11 (19)	15 (20-I-1)	106 (21-I-2)	38 (19)
189	15	-0.14 (21-II-3)	-0.18 (21-I-1)	0.14 (19)	24 (19)	44 (21-II-2)	49 (19)
189	16	-0.19 (14)	0.23 (19)	0.14 (19)	-35 (15)	-50 (15)	47 (19)
190	1	-0.28 (20-II-2)	0.18 (15)	0.18 (15)	-11 (20-I-1)	71 (15)	-20 (19)
190	2	-0.56 (21-II-1)	0.16 (15)	0.22 (15)	-17 (14)	45 (15)	27 (15)
190	3	-0.69 (14)	0.10 (19)	0.18 (19)	-29 (14)	33 (20-II-1)	48 (15)
190	4	-0.62 (14)	-0.12 (20-I-1)	0.20 (19)	-43 (14)	-21 (15)	50 (20-I-1)
190	5	-0.33 (20-II-1)	0.25 (15)	0.18 (15)	22 (15)	111 (15)	-10 (19)
190	6	-0.45 (21-II-1)	0.26 (14)	0.24 (15)	46 (20-II-1)	84 (21-I-2)	28 (15)
190	7	-0.53 (14)	0.26 (14)	0.23 (19)	46 (20-II-1)	71 (20-II-1)	42 (15)
190	8	-0.53 (14)	0.25 (14)	0.25 (19)	16 (21-II-2)	-43 (15)	27 (20-I-1)
190	9	-0.34 (20-II-1)	0.24 (15)	0.17 (15)	17 (15)	155 (15)	28 (21-I-1)

Muro	Pann.	Sxx	Syy	Sxy	Mxx	Myy	Mxy
190	10	-0.35 (21-II-1)	0.25 (15)	0.23 (15)	34 (20-II-1)	102 (15)	30 (21-I-2)
190	11	-0.39 (14)	0.27 (15)	0.23 (15)	35 (21-II-2)	72 (21-II-2)	37 (15)
190	12	-0.43 (14)	0.27 (15)	0.26 (19)	16 (21-II-2)	-67 (15)	23 (15)
190	13	-0.28 (21-II-1)	0.19 (15)	0.16 (15)	14 (15)	183 (15)	35 (21-I-1)
190	14	-0.24 (21-II-2)	0.22 (15)	0.20 (15)	17 (21-II-1)	113 (15)	35 (21-I-2)
190	15	-0.28 (14)	0.24 (15)	0.21 (15)	-30 (15)	54 (21-I-2)	25 (15)
190	16	-0.37 (14)	0.28 (15)	0.24 (19)	-55 (15)	-92 (15)	32 (15)
191	1	-0.20 (14)	-0.09 (21-II-2)	0.07 (14)	27 (21-I-1)	-106 (15)	-52 (15)
191	2	-0.23 (21-II-1)	0.07 (14)	0.06 (20-I-1)	42 (21-I-1)	-99 (15)	-50 (15)
191	3	-0.23 (21-II-1)	0.08 (14)	0.06 (15)	47 (21-I-1)	85 (21-I-1)	-43 (15)
191	4	-0.21 (21-II-1)	0.09 (14)	0.06 (15)	44 (21-I-1)	89 (21-I-1)	-32 (15)
191	5	-0.17 (14)	-0.08 (21-II-2)	0.07 (14)	19 (21-I-1)	-105 (15)	-52 (15)
191	6	-0.19 (14)	0.06 (14)	0.05 (20-I-1)	32 (21-I-1)	-97 (15)	-49 (15)
191	7	-0.20 (14)	0.08 (14)	0.05 (15)	37 (21-I-1)	85 (21-I-1)	-42 (15)
191	8	-0.18 (14)	0.09 (14)	0.05 (15)	35 (21-I-1)	89 (21-I-1)	-30 (15)
191	9	-0.15 (14)	-0.07 (21-II-2)	0.06 (14)	-14 (15)	-104 (15)	-52 (15)
191	10	-0.16 (14)	0.05 (14)	0.05 (14)	24 (21-I-1)	-95 (15)	-49 (15)
191	11	-0.17 (14)	0.07 (14)	0.05 (15)	29 (21-I-1)	85 (21-I-1)	-41 (15)
191	12	-0.16 (14)	0.08 (14)	0.05 (15)	27 (21-I-1)	90 (21-I-1)	-30 (15)
191	13	-0.13 (14)	-0.06 (21-II-2)	0.05 (14)	-11 (15)	-104 (15)	-51 (15)
191	14	-0.14 (14)	0.04 (14)	0.04 (14)	17 (21-I-1)	-93 (15)	-48 (15)
191	15	-0.14 (14)	0.06 (14)	0.04 (15)	22 (21-I-1)	85 (21-I-1)	-41 (15)
191	16	-0.14 (14)	0.08 (14)	0.04 (15)	21 (21-I-1)	90 (21-I-1)	-29 (15)
192	1	-0.35 (21-II-1)	0.22 (15)	0.10 (20-I-1)	-31 (19)	-23 (20-II-1)	34 (19)
192	2	-0.46 (21-II-1)	0.19 (15)	0.13 (20-I-1)	-40 (21-II-2)	-25 (20-II-1)	40 (19)
192	3	-0.55 (21-II-4)	0.17 (15)	0.13 (20-I-1)	-52 (21-II-1)	-36 (15)	42 (19)
192	4	-0.63 (21-II-4)	0.14 (15)	0.12 (20-I-1)	-63 (21-II-1)	-43 (15)	42 (19)
192	5	-0.32 (20-I-1)	0.22 (19)	0.17 (20-I-1)	-22 (15)	-57 (21-I-2)	-42 (21-I-1)
192	6	-0.37 (20-I-1)	0.22 (19)	0.18 (20-I-1)	-31 (14)	-43 (21-I-2)	-48 (21-I-1)
192	7	-0.43 (21-II-4)	0.21 (19)	0.18 (20-I-1)	-42 (14)	-54 (15)	-53 (21-I-1)
192	8	-0.48 (21-II-4)	0.20 (19)	0.17 (20-I-1)	-52 (14)	-67 (15)	-54 (21-I-1)
192	9	-0.29 (20-I-1)	0.18 (19)	0.14 (20-I-1)	-25 (15)	-93 (21-I-2)	-38 (21-I-1)
192	10	-0.30 (20-I-1)	0.18 (19)	0.15 (20-I-1)	-33 (15)	-67 (21-I-2)	-44 (21-I-1)
192	11	-0.32 (20-I-1)	0.18 (19)	0.16 (20-I-1)	-43 (15)	-74 (15)	-48 (21-I-1)
192	12	-0.35 (21-II-4)	0.17 (19)	0.16 (20-I-1)	-52 (15)	-87 (15)	-50 (21-I-1)
192	13	-0.22 (20-I-1)	-0.17 (21-II-2)	0.09 (20-I-1)	-19 (15)	-122 (21-I-2)	-24 (14)
192	14	-0.22 (20-I-1)	-0.16 (21-I-1)	0.10 (20-I-1)	-23 (15)	-89 (21-I-2)	-35 (15)
192	15	-0.23 (20-I-1)	-0.14 (21-I-1)	0.11 (20-I-2)	-28 (15)	-90 (15)	-41 (15)
192	16	-0.23 (21-II-4)	-0.13 (21-I-1)	0.11 (20-I-2)	-33 (15)	-98 (15)	-44 (15)
193	1	-0.18 (20-I-1)	-0.16 (21-II-2)	0.06 (20-I-1)	-16 (15)	-137 (21-I-2)	-26 (14)
193	2	-0.17 (20-I-1)	-0.14 (21-II-2)	0.07 (20-I-1)	-16 (15)	-102 (21-I-2)	-41 (15)
193	3	-0.17 (20-I-1)	-0.13 (21-II-2)	0.07 (20-I-2)	-18 (15)	-98 (15)	-48 (15)
193	4	-0.18 (14)	-0.11 (21-II-2)	0.08 (14)	-20 (15)	-102 (15)	-50 (15)
193	5	-0.16 (20-I-1)	-0.14 (21-II-2)	0.05 (14)	-15 (15)	-142 (21-I-2)	-25 (14)
193	6	-0.16 (20-I-1)	-0.13 (21-II-2)	0.06 (14)	-15 (15)	-107 (21-I-2)	-41 (15)
193	7	-0.15 (20-I-1)	-0.12 (21-II-2)	0.06 (14)	-16 (15)	-100 (15)	-48 (15)
193	8	-0.16 (21-II-4)	-0.11 (21-II-2)	0.07 (14)	-17 (15)	-103 (15)	-51 (15)
193	9	-0.15 (20-I-1)	-0.13 (21-II-2)	0.05 (14)	-17 (21-I-2)	-146 (21-I-2)	-25 (14)
193	10	-0.14 (20-I-1)	-0.12 (21-II-2)	0.05 (14)	-14 (15)	-112 (21-I-2)	-42 (15)
193	11	-0.13 (20-I-1)	-0.11 (21-II-2)	0.06 (14)	-14 (15)	-103 (15)	-48 (15)
193	12	-0.14 (21-II-4)	-0.10 (21-II-2)	0.06 (14)	-14 (15)	-104 (15)	-51 (15)
193	13	-0.13 (20-I-1)	-0.11 (21-II-2)	0.04 (14)	-19 (21-I-2)	-149 (21-I-2)	-24 (14)
193	14	-0.12 (20-I-1)	-0.11 (21-II-2)	0.05 (14)	-14 (15)	-116 (21-I-2)	-42 (15)
193	15	-0.11 (20-I-1)	-0.10 (21-II-2)	0.05 (14)	-13 (15)	-105 (15)	-48 (15)
193	16	-0.11 (14)	-0.09 (21-II-2)	0.05 (14)	-13 (15)	-105 (15)	-50 (15)
194	1	-0.31 (14)	0.21 (14)	0.12 (19)	-19 (15)	-167 (15)	-34 (15)
194	2	-0.23 (13)	-0.23 (20-II-2)	0.12 (19)	-14 (19)	-119 (15)	-48 (15)
194	3	-0.22 (21-I-1)	-0.26 (20-II-2)	0.12 (19)	-27 (19)	174 (20-II-2)	-52 (15)
194	4	-0.26 (21-I-1)	-0.26 (20-II-2)	0.14 (19)	45 (21-I-2)	362 (20-I-1)	-36 (15)
194	5	-0.26 (14)	-0.21 (20-II-2)	0.12 (19)	-19 (15)	-177 (15)	-34 (15)
194	6	-0.21 (13)	-0.23 (20-II-2)	0.12 (19)	-13 (19)	-124 (15)	-48 (15)
194	7	-0.21 (21-I-1)	-0.25 (20-II-2)	0.13 (19)	-27 (19)	180 (20-II-2)	-52 (15)
194	8	-0.23 (21-I-4)	-0.26 (20-II-2)	0.13 (19)	48 (21-I-2)	373 (20-I-1)	-35 (15)
194	9	-0.23 (14)	-0.21 (20-II-2)	0.12 (19)	-20 (15)	-187 (15)	-33 (15)
194	10	-0.19 (21-I-2)	-0.24 (20-II-2)	0.11 (19)	-13 (19)	-128 (15)	-48 (15)
194	11	-0.18 (21-I-1)	-0.25 (20-II-2)	0.12 (19)	26 (20-I-1)	185 (20-II-2)	-51 (15)
194	12	-0.20 (21-I-1)	-0.25 (20-II-2)	0.13 (19)	50 (21-I-2)	382 (20-I-1)	-34 (15)
194	13	-0.20 (14)	-0.22 (20-II-2)	0.11 (19)	-20 (15)	-198 (15)	-32 (15)
194	14	-0.16 (21-I-2)	-0.24 (20-II-2)	0.11 (19)	-11 (19)	-133 (15)	-47 (15)
194	15	-0.16 (21-I-4)	-0.25 (20-II-2)	0.12 (19)	26 (20-I-1)	190 (20-II-2)	-51 (15)
194	16	-0.17 (21-I-1)	-0.25 (20-II-2)	0.12 (19)	50 (21-I-2)	391 (20-I-1)	-33 (15)
195	1	-0.19 (19)	-0.43 (21-II-3)	-0.21 (19)	37 (21-I-2)	-98 (15)	70 (20-II-2)
195	2	-0.17 (19)	-0.44 (21-II-3)	-0.20 (19)	-19 (15)	-112 (21-II-2)	60 (20-II-2)
195	3	-0.17 (21-II-3)	-0.46 (21-II-3)	-0.18 (19)	13 (19)	-210 (21-I-2)	45 (20-II-2)

Muro	Pann.	Sxx	Syy	Sxy	Mxx	Myy	Mxy
195	4	-0.19 (21-II-3)	-0.45 (21-II-3)	-0.16 (19)	-35 (20-I-1)	-337 (20-I-1)	21 (19)
195	5	-0.16 (19)	-0.45 (21-II-3)	-0.19 (19)	25 (21-I-2)	-98 (15)	67 (20-II-2)
195	6	-0.15 (19)	-0.46 (21-II-3)	-0.18 (19)	-15 (15)	-119 (21-II-2)	56 (20-II-2)
195	7	-0.16 (21-II-3)	-0.47 (21-II-3)	-0.17 (19)	-19 (21-I-2)	-218 (21-I-2)	40 (20-II-2)
195	8	-0.19 (19)	-0.46 (21-II-3)	-0.14 (19)	-40 (20-I-1)	-347 (20-I-1)	21 (19)
195	9	-0.14 (19)	-0.46 (21-II-3)	-0.17 (19)	-19 (15)	-98 (15)	64 (20-II-2)
195	10	-0.13 (19)	-0.47 (21-II-3)	-0.16 (19)	-11 (15)	-125 (21-II-2)	53 (20-II-2)
195	11	-0.14 (19)	-0.48 (21-II-3)	-0.15 (19)	-24 (20-I-1)	-226 (21-I-2)	38 (20-II-2)
195	12	-0.18 (19)	-0.47 (21-II-3)	-0.13 (19)	-43 (20-I-1)	-354 (20-I-1)	20 (19)
195	13	-0.12 (19)	-0.48 (21-II-3)	-0.15 (19)	-15 (15)	-98 (15)	62 (20-II-2)
195	14	-0.11 (19)	-0.49 (21-II-3)	-0.14 (19)	-9 (21-II-2)	-131 (21-II-2)	51 (20-II-2)
195	15	-0.13 (19)	-0.49 (21-II-3)	-0.13 (19)	-26 (20-I-1)	-234 (21-I-2)	36 (20-II-2)
195	16	-0.16 (19)	-0.49 (21-II-3)	-0.12 (19)	-44 (20-I-1)	-362 (20-I-1)	20 (19)
196	1	-0.16 (19)	0.67 (15)	-0.49 (15)	-99 (15)	-554 (15)	-61 (15)
196	2	-0.20 (19)	0.62 (15)	-0.53 (15)	-65 (15)	-339 (15)	-40 (19)
196	3	-0.22 (19)	0.60 (15)	-0.54 (15)	-37 (15)	145 (19)	-34 (19)
196	4	-0.24 (19)	0.62 (15)	-0.57 (15)	25 (19)	234 (19)	-48 (15)
196	5	-0.17 (19)	0.68 (15)	-0.49 (15)	-101 (15)	-583 (15)	-59 (15)
196	6	-0.18 (19)	0.67 (15)	-0.50 (15)	-69 (15)	-356 (15)	-40 (19)
196	7	-0.20 (19)	0.64 (15)	-0.52 (15)	-38 (15)	155 (19)	-34 (19)
196	8	-0.21 (19)	0.61 (15)	-0.54 (15)	26 (19)	246 (19)	-44 (14)
196	9	-0.16 (19)	0.73 (15)	-0.47 (15)	-104 (15)	-612 (15)	-57 (15)
196	10	-0.17 (19)	0.71 (15)	-0.48 (15)	-71 (15)	-373 (15)	-40 (19)
196	11	-0.18 (19)	0.67 (15)	-0.49 (15)	-40 (15)	165 (19)	-33 (19)
196	12	-0.18 (19)	0.62 (15)	-0.50 (15)	27 (19)	259 (19)	-41 (14)
196	13	-0.14 (19)	0.78 (15)	-0.46 (15)	-107 (15)	-640 (15)	-56 (15)
196	14	-0.16 (19)	0.75 (15)	-0.46 (15)	-72 (15)	-389 (15)	-39 (19)
196	15	-0.17 (19)	0.70 (15)	-0.46 (15)	-40 (15)	176 (19)	-32 (19)
196	16	-0.16 (19)	0.65 (15)	-0.45 (15)	28 (19)	272 (19)	-38 (14)
197	1	-0.24 (19)	0.47 (15)	0.16 (19)	-28 (15)	-116 (15)	-3 (14)
197	2	-0.35 (14)	0.47 (15)	0.11 (19)	-22 (15)	-47 (15)	-27 (15)
197	3	-0.38 (14)	0.45 (15)	-0.06 (15)	-7 (21-II-3)	46 (19)	-26 (15)
197	4	-0.33 (14)	0.41 (15)	-0.08 (15)	7 (15)	61 (15)	-25 (15)
197	5	-0.23 (19)	0.49 (15)	0.15 (19)	-32 (15)	-121 (15)	-2 (14)
197	6	-0.32 (15)	0.47 (15)	0.11 (19)	-23 (15)	-49 (15)	-24 (15)
197	7	-0.33 (14)	0.44 (15)	-0.05 (15)	-7 (15)	47 (19)	-24 (15)
197	8	-0.29 (14)	0.40 (15)	-0.07 (15)	7 (15)	62 (15)	-23 (15)
197	9	-0.21 (19)	0.50 (15)	0.14 (19)	-34 (15)	-126 (15)	-2 (14)
197	10	-0.29 (15)	0.46 (15)	0.10 (19)	-25 (15)	-50 (15)	-22 (15)
197	11	-0.30 (15)	0.43 (15)	-0.04 (15)	-7 (15)	47 (19)	-22 (15)
197	12	-0.26 (14)	0.39 (15)	-0.06 (15)	7 (15)	63 (19)	-22 (15)
197	13	-0.18 (19)	0.51 (15)	0.13 (19)	-36 (15)	-129 (15)	-2 (14)
197	14	-0.26 (15)	0.45 (15)	0.09 (19)	-25 (15)	-52 (15)	-20 (15)
197	15	-0.27 (15)	0.41 (15)	-0.04 (15)	-7 (15)	47 (19)	-19 (15)
197	16	-0.24 (14)	0.38 (15)	-0.05 (15)	7 (15)	63 (19)	-20 (15)
198	1	-0.21 (21-I-4)	0.12 (15)	-0.28 (15)	-37 (15)	-87 (15)	-29 (21-II-2)
198	2	-0.19 (21-I-4)	0.10 (19)	-0.23 (15)	-22 (21-II-3)	-57 (21-I-2)	-18 (15)
198	3	-0.20 (21-I-1)	-0.08 (21-II-3)	-0.17 (15)	-13 (21-I-2)	58 (15)	-30 (15)
198	4	-0.27 (21-I-2)	-0.12 (21-I-2)	-0.11 (15)	11 (15)	95 (15)	-24 (15)
198	5	-0.18 (21-I-4)	0.10 (19)	-0.27 (15)	-37 (15)	-91 (15)	-28 (21-II-2)
198	6	-0.18 (21-I-4)	0.09 (19)	-0.21 (15)	-17 (15)	-53 (21-II-3)	-16 (15)
198	7	-0.20 (21-I-1)	-0.09 (21-II-3)	-0.15 (15)	-11 (19)	57 (15)	-28 (15)
198	8	-0.26 (21-I-2)	-0.12 (15)	-0.10 (15)	11 (21-I-2)	101 (15)	-22 (15)
198	9	-0.16 (21-I-4)	0.09 (19)	-0.26 (15)	-37 (15)	-95 (15)	-26 (21-II-2)
198	10	-0.16 (21-I-4)	0.08 (19)	-0.19 (15)	-18 (15)	-49 (21-II-3)	-15 (15)
198	11	-0.18 (21-II-2)	-0.09 (21-II-3)	-0.13 (15)	-12 (19)	56 (15)	-27 (15)
198	12	-0.25 (21-I-2)	-0.14 (15)	-0.08 (15)	14 (21-I-2)	106 (15)	-21 (15)
198	13	-0.15 (21-I-4)	0.08 (19)	-0.24 (15)	-36 (15)	-99 (15)	-24 (21-II-2)
198	14	-0.15 (21-I-4)	0.07 (19)	-0.17 (15)	-18 (15)	-45 (21-II-3)	-14 (15)
198	15	-0.17 (21-I-2)	-0.09 (21-II-3)	-0.12 (15)	-12 (19)	55 (15)	-25 (15)
198	16	-0.22 (21-I-2)	-0.15 (15)	-0.07 (15)	15 (21-II-2)	111 (15)	-19 (15)
199	1	-0.28 (19)	0.19 (19)	-0.20 (19)	31 (15)	184 (15)	12 (19)
199	2	-0.25 (19)	-0.15 (21-II-3)	-0.21 (19)	21 (15)	80 (15)	8 (15)
199	3	-0.22 (21-I-4)	-0.16 (21-II-3)	-0.19 (19)	10 (15)	-27 (19)	14 (15)
199	4	-0.25 (21-I-4)	-0.16 (21-II-3)	-0.14 (19)	-4 (20-I-3)	-97 (15)	7 (19)
199	5	-0.23 (19)	0.18 (19)	-0.19 (19)	34 (15)	195 (15)	12 (19)
199	6	-0.23 (19)	-0.15 (21-II-3)	-0.19 (19)	23 (15)	84 (15)	8 (15)
199	7	-0.20 (21-I-4)	-0.15 (21-II-3)	-0.17 (19)	11 (15)	-27 (19)	12 (15)
199	8	-0.24 (21-I-4)	-0.14 (21-II-3)	-0.13 (19)	-5 (20-I-3)	-105 (15)	7 (19)
199	9	-0.21 (19)	0.18 (19)	-0.17 (19)	36 (15)	204 (15)	11 (19)
199	10	-0.21 (19)	-0.14 (21-II-3)	-0.17 (19)	25 (15)	88 (15)	7 (15)
199	11	-0.19 (19)	-0.13 (21-II-3)	-0.16 (19)	11 (15)	-27 (19)	11 (15)
199	12	-0.22 (21-I-4)	-0.12 (21-II-3)	-0.12 (19)	-6 (20-I-3)	-112 (15)	7 (19)
199	13	-0.18 (19)	0.18 (19)	-0.16 (19)	38 (15)	213 (15)	10 (19)

Muro	Pann.	Sxx	Syy	Sxy	Mxx	Myy	Mxy
199	14	-0.19(19)	-0.14(21-II-3)	-0.15(19)	26(15)	91(15)	7(15)
199	15	-0.18(19)	-0.13(21-II-3)	-0.14(19)	11(15)	-28(19)	10(15)
199	16	-0.19(19)	-0.11(21-II-3)	-0.11(19)	-6(20-I-3)	-118(15)	7(19)
200	1	-0.15(19)	0.59(15)	-0.52(15)	39(15)	127(19)	42(15)
200	2	-0.17(19)	0.42(15)	-0.51(15)	8(13)	66(19)	7(15)
200	3	-0.24(21-I-4)	0.27(15)	-0.45(15)	-4(15)	-61(15)	6(15)
200	4	-0.39(21-I-2)	0.16(15)	-0.39(15)	-26(15)	-162(15)	27(15)
200	5	-0.10(19)	0.59(15)	-0.49(15)	36(15)	131(19)	37(15)
200	6	-0.17(21-I-4)	0.44(15)	-0.46(15)	10(21-I-2)	66(19)	6(15)
200	7	-0.25(21-I-3)	0.28(15)	-0.41(15)	-4(15)	-63(15)	5(15)
200	8	-0.37(21-I-2)	0.14(15)	-0.35(15)	-23(15)	-163(15)	25(15)
200	9	-0.08(19)	0.61(15)	-0.45(15)	36(15)	133(19)	33(15)
200	10	-0.16(21-I-4)	0.46(15)	-0.41(15)	12(21-I-2)	66(19)	5(15)
200	11	-0.24(21-I-3)	0.28(15)	-0.35(15)	5(20-II-2)	-64(15)	4(15)
200	12	-0.34(15)	0.14(15)	-0.31(15)	-22(15)	-162(15)	23(15)
200	13	-0.07(19)	0.63(15)	-0.40(15)	38(15)	136(19)	29(15)
200	14	-0.15(21-I-4)	0.47(15)	-0.35(15)	13(15)	67(19)	4(15)
200	15	-0.22(21-I-3)	0.28(15)	-0.30(15)	5(20-II-2)	-65(15)	-4(20-II-3)
200	16	-0.32(15)	0.13(15)	-0.27(15)	-21(15)	-162(15)	21(15)
201	1	-0.36(15)	1.04(15)	-0.30(15)	38(15)	286(15)	210(15)
201	2	-0.31(15)	0.95(15)	-0.37(15)	-15(15)	-105(19)	231(15)
201	3	-0.30(15)	0.86(15)	-0.41(15)	-64(15)	-489(15)	203(15)
201	4	-0.38(15)	0.81(15)	-0.49(15)	-120(15)	-894(15)	139(15)
201	5	-0.27(15)	1.08(15)	-0.29(15)	42(15)	314(15)	205(15)
201	6	-0.27(15)	1.01(15)	-0.34(15)	-15(19)	-110(19)	225(15)
201	7	-0.29(15)	0.92(15)	-0.39(15)	-67(15)	-511(15)	198(15)
201	8	-0.37(15)	0.83(15)	-0.45(15)	-124(15)	-945(15)	135(15)
201	9	-0.23(15)	1.16(15)	-0.27(15)	47(15)	341(15)	202(15)
201	10	-0.23(15)	1.07(15)	-0.31(15)	-14(19)	-115(19)	222(15)
201	11	-0.26(15)	0.97(15)	-0.36(15)	-69(15)	-533(15)	196(15)
201	12	-0.33(15)	0.87(15)	-0.42(15)	-128(15)	-994(15)	133(15)
201	13	-0.20(15)	1.24(15)	-0.25(15)	52(15)	366(15)	199(15)
201	14	-0.20(15)	1.14(15)	-0.28(15)	-13(19)	-119(19)	219(15)
201	15	-0.22(15)	1.03(15)	-0.32(15)	-68(15)	-554(15)	194(15)
201	16	-0.27(15)	0.92(15)	-0.39(15)	-131(15)	-1042(15)	131(15)
202	1	-0.32(14)	0.15(14)	0.05(20-I-4)	8(21-II-2)	56(21-II-4)	-21(21-II-4)
202	2	-0.36(14)	0.15(14)	0.03(20-I-4)	14(21-II-4)	97(21-II-4)	-17(21-II-4)
202	3	-0.40(14)	0.15(14)	-0.08(14)	19(21-II-4)	142(21-II-4)	-8(21-II-4)
202	4	-0.45(14)	0.15(14)	-0.15(14)	24(21-II-4)	189(21-II-4)	2(21-I-1)
202	5	-0.31(14)	0.15(14)	0.05(20-I-4)	8(21-II-4)	57(21-II-4)	-21(21-II-4)
202	6	-0.34(14)	0.15(14)	0.02(20-I-4)	14(21-II-4)	98(21-II-4)	-16(21-II-4)
202	7	-0.37(14)	0.15(14)	-0.08(14)	19(21-II-4)	143(21-II-4)	-8(21-II-4)
202	8	-0.40(14)	0.15(14)	-0.15(14)	25(21-II-4)	193(21-II-4)	2(21-I-1)
202	9	-0.29(14)	0.15(14)	0.04(20-I-4)	8(21-II-4)	57(21-II-4)	-20(21-II-4)
202	10	-0.32(14)	0.16(14)	0.02(20-I-4)	14(21-II-4)	100(21-II-4)	-15(21-II-4)
202	11	-0.36(14)	0.15(14)	-0.08(14)	19(21-II-4)	145(21-II-4)	-7(21-II-4)
202	12	-0.38(14)	0.15(14)	-0.15(14)	25(21-II-4)	196(21-II-4)	2(21-II-2)
202	13	-0.27(14)	0.15(14)	0.04(14)	8(21-II-4)	58(21-II-4)	-20(21-II-4)
202	14	-0.31(14)	0.16(14)	-0.02(14)	14(21-II-4)	101(21-II-4)	-15(21-II-4)
202	15	-0.35(14)	0.16(14)	-0.08(14)	19(21-II-4)	147(21-II-4)	-6(21-II-4)
202	16	-0.38(14)	0.15(14)	-0.15(14)	25(21-II-4)	198(21-II-4)	2(21-II-2)
203	1	-0.28(20-II-4)	-0.19(20-I-4)	0.12(14)	-14(15)	-206(21-II-4)	-27(14)
203	2	-0.22(21-II-4)	-0.19(20-I-4)	0.14(14)	-12(15)	-119(21-II-4)	-28(14)
203	3	-0.19(21-II-4)	-0.18(20-I-4)	0.17(14)	24(21-I-4)	-53(21-II-4)	-31(14)
203	4	-0.18(19)	-0.17(20-I-4)	0.19(14)	37(21-I-4)	28(21-II-4)	-30(14)
203	5	-0.27(20-II-4)	-0.18(21-II-4)	0.12(14)	-14(21-II-4)	-203(21-II-4)	-27(14)
203	6	-0.22(20-II-4)	-0.18(20-I-4)	0.14(14)	-12(15)	-119(21-II-4)	-28(14)
203	7	-0.19(19)	-0.18(20-I-4)	0.16(14)	21(21-I-4)	-55(21-II-4)	-31(14)
203	8	-0.18(19)	-0.16(20-I-4)	0.18(14)	33(21-I-4)	26(21-I-4)	-30(14)
203	9	-0.26(20-II-4)	-0.17(21-II-4)	0.11(14)	-15(21-II-4)	-201(21-II-4)	-26(14)
203	10	-0.21(20-II-4)	-0.17(20-I-4)	0.13(14)	-11(15)	-119(21-II-4)	-28(14)
203	11	-0.18(19)	-0.17(20-I-4)	0.15(14)	18(21-I-4)	-56(21-II-4)	-31(14)
203	12	-0.18(19)	-0.16(20-I-4)	0.17(14)	29(21-I-4)	24(21-I-4)	-29(14)
203	13	-0.25(20-II-4)	-0.16(21-II-4)	0.11(14)	-17(21-II-4)	-197(21-II-4)	-26(14)
203	14	-0.21(20-II-4)	-0.16(20-I-4)	0.13(14)	-10(15)	-119(21-II-4)	-28(14)
203	15	-0.18(19)	-0.16(20-I-4)	0.15(14)	14(21-I-4)	-57(21-II-4)	-30(14)
203	16	-0.17(19)	-0.15(20-I-4)	0.16(14)	24(21-I-4)	23(21-I-4)	-29(14)
204	1	-0.20(19)	0.37(14)	0.30(15)	52(21-I-1)	73(21-I-1)	-29(21-II-4)
204	2	-0.21(19)	0.41(14)	0.34(15)	41(21-I-2)	29(21-I-2)	-33(21-II-4)
204	3	-0.22(19)	0.45(14)	0.38(15)	27(21-II-4)	60(14)	-31(21-II-4)
204	4	-0.23(19)	0.48(14)	0.40(15)	28(14)	-175(21-I-4)	-34(14)
204	5	-0.19(19)	0.38(14)	0.29(15)	48(21-I-1)	71(21-I-1)	-29(21-II-4)
204	6	-0.18(19)	0.42(14)	0.33(15)	37(21-I-2)	28(21-I-2)	-34(21-II-4)
204	7	-0.19(19)	0.46(14)	0.37(15)	23(21-II-4)	58(14)	-33(21-II-4)

Muro	Pann.	Sxx	Syy	Sxy	Mxx	Myy	Mxy
204	8	-0.20 (19)	0.50 (14)	0.39 (15)	27 (14)	-172 (21-I-4)	-33 (14)
204	9	-0.17 (19)	0.38 (14)	0.28 (15)	43 (21-I-1)	70 (21-I-1)	-30 (21-II-4)
204	10	-0.17 (19)	0.43 (14)	0.32 (15)	33 (21-I-2)	26 (21-I-2)	-35 (21-II-4)
204	11	-0.16 (19)	0.47 (14)	0.36 (15)	20 (21-II-4)	-57 (21-I-4)	-35 (21-II-4)
204	12	-0.17 (19)	0.51 (14)	0.38 (15)	26 (14)	-167 (21-I-4)	-33 (14)
204	13	-0.16 (19)	0.39 (14)	0.27 (15)	37 (21-I-1)	68 (21-I-1)	-30 (21-II-4)
204	14	-0.14 (19)	0.44 (14)	0.31 (15)	29 (21-I-2)	25 (21-I-2)	-37 (21-II-4)
204	15	-0.12 (19)	0.48 (14)	0.35 (15)	19 (14)	-57 (21-I-4)	-36 (21-II-4)
204	16	-0.13 (19)	0.53 (14)	0.37 (15)	25 (14)	-163 (21-I-4)	-32 (14)
205	1	-0.23 (14)	-0.22 (20-I-4)	0.17 (14)	-10 (21-II-4)	-77 (21-II-4)	-20 (21-II-4)
205	2	-0.26 (14)	-0.18 (20-I-4)	0.15 (14)	-6 (21-II-4)	-45 (21-II-4)	-23 (21-II-4)
205	3	-0.27 (14)	0.14 (14)	0.12 (14)	-1 (21-II-4)	-13 (21-II-4)	-24 (21-II-4)
205	4	-0.29 (14)	0.15 (14)	0.09 (14)	4 (21-II-2)	21 (21-II-2)	-24 (21-II-4)
205	5	-0.22 (15)	-0.21 (20-I-4)	0.17 (14)	-10 (21-II-4)	-77 (21-II-4)	-20 (21-II-4)
205	6	-0.23 (14)	-0.17 (20-I-4)	0.15 (14)	-6 (21-II-4)	-45 (21-II-4)	-22 (21-II-4)
205	7	-0.26 (14)	0.14 (14)	0.12 (14)	-1 (21-II-4)	-13 (21-II-4)	-24 (21-II-4)
205	8	-0.28 (14)	0.15 (14)	0.09 (14)	4 (21-II-2)	21 (21-II-2)	-23 (21-II-4)
205	9	-0.21 (15)	-0.20 (20-I-4)	0.16 (14)	-10 (21-II-4)	-78 (21-II-4)	-19 (21-II-4)
205	10	-0.22 (14)	-0.16 (20-I-4)	0.15 (14)	-6 (21-II-4)	-46 (21-II-4)	-22 (21-II-4)
205	11	-0.24 (14)	0.14 (14)	0.12 (14)	-1 (21-II-4)	-13 (21-II-4)	-23 (21-II-4)
205	12	-0.26 (14)	0.15 (14)	0.09 (14)	4 (21-II-2)	21 (21-II-2)	-23 (21-II-4)
205	13	-0.20 (15)	-0.19 (20-I-4)	0.16 (14)	-10 (21-II-4)	-79 (21-II-4)	-19 (21-II-4)
205	14	-0.20 (14)	-0.15 (20-I-4)	0.14 (14)	-6 (21-II-4)	-46 (21-II-4)	-22 (21-II-4)
205	15	-0.22 (14)	0.13 (14)	0.12 (14)	-1 (21-II-4)	-14 (21-II-4)	-23 (21-II-4)
205	16	-0.25 (14)	0.15 (14)	0.08 (14)	4 (21-II-2)	22 (21-II-2)	-22 (21-II-4)
206	1	-0.30 (19)	0.42 (14)	0.40 (14)	8 (21-II-4)	59 (21-II-4)	16 (21-II-4)
206	2	-0.32 (14)	0.50 (14)	0.36 (14)	6 (14)	30 (14)	18 (21-II-4)
206	3	-0.35 (14)	0.57 (14)	0.30 (14)	10 (14)	60 (14)	19 (21-II-4)
206	4	-0.37 (14)	0.61 (14)	0.23 (14)	18 (14)	92 (14)	15 (21-II-4)
206	5	-0.26 (19)	0.42 (14)	0.39 (14)	8 (21-II-4)	59 (21-II-4)	15 (21-II-4)
206	6	-0.26 (14)	0.51 (14)	0.35 (14)	6 (14)	31 (14)	18 (21-II-4)
206	7	-0.27 (14)	0.57 (14)	0.29 (14)	10 (14)	61 (14)	18 (21-II-4)
206	8	-0.29 (14)	0.62 (14)	0.22 (14)	17 (14)	93 (14)	15 (21-II-4)
206	9	-0.24 (19)	0.42 (14)	0.38 (14)	8 (21-II-4)	60 (21-II-4)	15 (21-II-4)
206	10	-0.24 (14)	0.51 (14)	0.34 (14)	6 (14)	31 (14)	17 (21-II-4)
206	11	-0.24 (14)	0.58 (14)	0.29 (14)	10 (14)	61 (14)	17 (21-II-4)
206	12	-0.27 (14)	0.63 (14)	0.21 (14)	16 (14)	94 (14)	14 (21-II-4)
206	13	-0.22 (19)	0.42 (14)	0.37 (14)	8 (21-II-4)	60 (21-II-4)	14 (21-II-4)
206	14	-0.22 (14)	0.51 (14)	0.33 (14)	6 (14)	32 (14)	17 (21-II-4)
206	15	-0.24 (14)	0.58 (14)	0.28 (14)	10 (14)	62 (14)	17 (21-II-4)
206	16	-0.26 (14)	0.63 (14)	0.21 (14)	16 (14)	94 (14)	14 (21-II-4)
207	1	-0.35 (19)	0.58 (14)	-0.47 (19)	31 (21-I-4)	-35 (21-II-4)	-49 (14)
207	2	-0.40 (19)	0.62 (15)	-0.50 (19)	54 (21-II-2)	101 (21-I-4)	-39 (14)
207	3	-0.29 (19)	0.83 (15)	-0.47 (19)	61 (21-II-1)	136 (21-I-1)	-37 (21-II-4)
207	4	-0.37 (15)	1.18 (15)	-0.36 (19)	51 (21-II-4)	117 (21-II-4)	-40 (21-II-4)
207	5	-0.23 (19)	0.59 (14)	-0.44 (19)	26 (21-I-4)	-38 (21-II-4)	-51 (14)
207	6	-0.21 (19)	0.67 (15)	-0.47 (19)	44 (21-II-2)	99 (21-I-4)	-40 (14)
207	7	-0.26 (15)	0.91 (15)	-0.44 (19)	48 (21-II-1)	134 (21-I-1)	-37 (21-II-4)
207	8	-0.44 (15)	1.27 (15)	-0.29 (19)	39 (21-II-4)	115 (21-II-4)	-42 (21-II-4)
207	9	-0.21 (19)	0.60 (14)	-0.43 (19)	20 (21-I-4)	-40 (21-II-4)	-52 (14)
207	10	-0.17 (19)	0.74 (15)	-0.45 (19)	35 (21-II-2)	96 (21-I-4)	-40 (14)
207	11	-0.25 (15)	0.99 (15)	-0.40 (19)	38 (21-II-1)	132 (21-I-1)	-37 (21-II-4)
207	12	-0.40 (15)	1.35 (15)	-0.23 (19)	29 (21-II-4)	113 (21-II-4)	-43 (21-II-4)
207	13	-0.19 (19)	0.62 (14)	-0.41 (19)	16 (21-I-4)	-43 (21-II-4)	-53 (14)
207	14	-0.15 (15)	0.81 (15)	-0.43 (19)	28 (21-II-2)	93 (21-I-4)	-40 (14)
207	15	-0.25 (15)	1.08 (15)	-0.36 (19)	29 (21-II-1)	129 (21-I-1)	-36 (21-II-4)
207	16	-0.37 (15)	1.41 (15)	-0.17 (19)	21 (21-II-4)	111 (21-II-4)	-43 (21-II-4)
208	1	-0.33 (20-I-4)	-0.34 (20-I-4)	0.14 (14)	-24 (21-II-4)	-189 (21-II-4)	-2 (15)
208	2	-0.24 (20-I-4)	-0.33 (20-I-4)	0.16 (14)	-20 (21-II-4)	-161 (21-II-4)	-6 (15)
208	3	-0.21 (20-I-4)	-0.30 (20-I-4)	0.18 (14)	-17 (21-II-4)	-133 (21-II-4)	-12 (21-II-4)
208	4	-0.21 (19)	-0.26 (20-I-4)	0.18 (14)	-14 (21-II-4)	-106 (21-II-4)	-16 (21-II-4)
208	5	-0.30 (20-I-4)	-0.33 (20-I-4)	0.14 (14)	-24 (21-II-4)	-192 (21-II-4)	-2 (15)
208	6	-0.25 (20-I-4)	-0.31 (20-I-4)	0.16 (14)	-20 (21-II-4)	-163 (21-II-4)	-5 (15)
208	7	-0.22 (20-I-4)	-0.28 (20-I-4)	0.17 (14)	-17 (21-II-4)	-134 (21-II-4)	-11 (21-II-4)
208	8	-0.21 (15)	-0.25 (20-I-4)	0.17 (14)	-14 (21-II-4)	-107 (21-II-4)	-16 (21-II-4)
208	9	-0.29 (20-I-4)	-0.32 (20-I-4)	0.14 (14)	-24 (21-II-4)	-195 (21-II-4)	-2 (15)
208	10	-0.25 (20-I-4)	-0.29 (20-I-4)	0.16 (14)	-20 (21-II-4)	-165 (21-II-4)	-5 (15)
208	11	-0.21 (20-I-4)	-0.27 (20-I-4)	0.17 (14)	-17 (21-II-4)	-136 (21-II-4)	-11 (21-II-4)
208	12	-0.20 (15)	-0.24 (20-I-4)	0.17 (14)	-14 (21-II-4)	-108 (21-II-4)	-16 (21-II-4)
208	13	-0.28 (20-I-4)	-0.29 (20-I-4)	0.13 (14)	-24 (21-II-4)	-197 (21-II-4)	-2 (15)
208	14	-0.24 (20-I-4)	-0.27 (20-I-4)	0.15 (14)	-20 (21-II-4)	-166 (21-II-4)	-5 (15)
208	15	-0.20 (20-I-4)	-0.25 (20-I-4)	0.16 (14)	-17 (21-II-4)	-137 (21-II-4)	-11 (21-II-4)
208	16	-0.19 (15)	-0.22 (20-I-4)	0.17 (14)	-14 (21-II-4)	-109 (21-II-4)	-15 (21-II-4)
209	1	-0.21 (20-II-2)	0.59 (14)	-0.35 (19)	31 (14)	-219 (21-II-4)	25 (15)

Muro	Pann.	Sxx	Syy	Sxy	Mxx	Myy	Mxy
209	2	-0.19 (19)	0.57 (14)	-0.38 (19)	26 (14)	-187 (21-II-4)	-23 (14)
209	3	-0.18 (15)	0.57 (14)	-0.39 (19)	23 (14)	-158 (21-II-4)	-35 (14)
209	4	-0.37 (15)	0.57 (14)	-0.41 (19)	22 (14)	-134 (21-II-4)	-42 (14)
209	5	-0.18 (20-II-2)	0.58 (14)	-0.37 (19)	30 (14)	-218 (21-II-4)	25 (15)
209	6	-0.17 (20-II-2)	0.58 (14)	-0.37 (19)	26 (14)	-187 (21-II-4)	-23 (14)
209	7	-0.17 (20-II-2)	0.57 (14)	-0.40 (19)	23 (14)	-160 (21-II-4)	-36 (14)
209	8	-0.17 (21-I-2)	0.58 (14)	-0.38 (19)	21 (14)	-137 (21-II-4)	-43 (14)
209	9	-0.18 (20-II-2)	0.58 (14)	-0.38 (19)	29 (14)	-217 (21-II-4)	25 (15)
209	10	-0.17 (19)	0.58 (14)	-0.38 (19)	25 (14)	-188 (21-II-4)	-23 (14)
209	11	-0.16 (21-II-1)	0.58 (14)	-0.39 (19)	23 (14)	-161 (21-II-4)	-36 (14)
209	12	-0.16 (19)	0.59 (14)	-0.37 (19)	21 (14)	-138 (21-II-4)	-44 (14)
209	13	-0.19 (19)	0.59 (14)	-0.37 (19)	28 (14)	-217 (21-II-4)	24 (15)
209	14	-0.16 (20-I-1)	0.59 (14)	-0.38 (19)	25 (14)	-188 (21-II-4)	-24 (14)
209	15	-0.15 (21-I-2)	0.59 (14)	-0.38 (19)	22 (14)	-162 (21-II-4)	-37 (14)
209	16	-0.21 (19)	0.59 (14)	-0.37 (19)	20 (14)	-138 (21-II-4)	-45 (14)
210	1	-0.49 (20-II-4)	-0.49 (21-I-1)	0.40 (14)	-21 (14)	192 (21-II-4)	-59 (14)
210	2	-0.31 (20-II-4)	-0.48 (21-I-1)	0.42 (14)	18 (21-II-4)	157 (21-II-4)	-19 (14)
210	3	-0.29 (19)	-0.43 (21-I-1)	0.43 (14)	16 (21-II-4)	124 (21-II-4)	-11 (14)
210	4	-0.29 (19)	-0.38 (21-I-1)	0.43 (14)	13 (21-II-4)	94 (21-II-4)	12 (21-II-4)
210	5	-0.49 (20-II-4)	-0.49 (21-I-1)	0.39 (14)	-19 (14)	193 (21-II-4)	-58 (14)
210	6	-0.34 (20-II-4)	-0.46 (21-I-1)	0.42 (14)	18 (21-II-4)	157 (21-II-4)	-19 (14)
210	7	-0.29 (19)	-0.42 (21-I-1)	0.42 (14)	16 (21-II-4)	125 (21-II-4)	-11 (14)
210	8	-0.27 (19)	-0.37 (21-I-1)	0.42 (14)	13 (21-II-4)	95 (21-II-4)	12 (21-II-4)
210	9	-0.47 (20-II-4)	-0.48 (21-I-1)	0.38 (14)	-18 (14)	195 (21-II-4)	-56 (14)
210	10	-0.34 (20-II-4)	-0.44 (21-I-1)	0.41 (14)	19 (21-II-4)	158 (21-II-4)	-19 (14)
210	11	-0.28 (19)	-0.40 (21-I-1)	0.41 (14)	16 (21-II-4)	126 (21-II-4)	-11 (14)
210	12	-0.25 (19)	-0.36 (21-I-1)	0.41 (14)	13 (21-II-4)	96 (21-II-4)	12 (21-II-4)
210	13	-0.46 (20-II-4)	-0.45 (21-I-1)	0.38 (14)	18 (21-II-4)	196 (21-II-4)	-55 (14)
210	14	-0.33 (20-II-4)	-0.42 (21-I-1)	0.40 (14)	18 (21-II-4)	159 (21-II-4)	-18 (14)
210	15	-0.26 (19)	-0.38 (21-I-1)	0.40 (14)	16 (21-II-4)	126 (21-II-4)	-10 (14)
210	16	-0.23 (19)	-0.34 (21-I-1)	0.39 (14)	12 (21-II-4)	96 (21-II-4)	11 (21-II-4)
211	1	-0.19 (19)	0.19 (14)	0.21 (14)	48 (21-I-4)	67 (21-I-4)	-25 (14)
211	2	-0.19 (19)	0.23 (14)	0.23 (14)	56 (21-I-4)	93 (21-I-4)	-17 (14)
211	3	-0.20 (19)	0.28 (14)	0.26 (14)	59 (21-I-4)	103 (21-I-4)	-16 (21-II-4)
211	4	-0.20 (19)	0.32 (14)	0.28 (14)	58 (21-I-4)	97 (21-I-4)	-22 (21-II-4)
211	5	-0.18 (19)	0.19 (14)	0.20 (14)	43 (21-I-4)	65 (21-I-4)	-25 (14)
211	6	-0.18 (19)	0.23 (14)	0.23 (14)	51 (21-I-4)	92 (21-I-4)	-17 (14)
211	7	-0.19 (19)	0.28 (14)	0.25 (14)	54 (21-I-4)	102 (21-I-4)	-16 (21-II-4)
211	8	-0.19 (19)	0.33 (14)	0.27 (14)	53 (21-I-4)	95 (21-I-4)	-22 (21-II-4)
211	9	-0.17 (19)	0.18 (14)	0.19 (14)	38 (21-I-4)	63 (21-I-4)	-25 (14)
211	10	-0.17 (19)	0.23 (14)	0.22 (14)	45 (21-I-4)	90 (21-I-4)	-17 (14)
211	11	-0.17 (19)	0.28 (14)	0.24 (14)	48 (21-I-4)	100 (21-I-4)	-15 (21-II-4)
211	12	-0.18 (19)	0.33 (14)	0.26 (14)	48 (21-I-4)	93 (21-I-4)	-23 (21-II-4)
211	13	-0.17 (19)	0.18 (14)	0.18 (14)	33 (21-I-4)	61 (21-I-4)	-24 (14)
211	14	-0.17 (19)	0.23 (14)	0.21 (14)	39 (21-I-4)	87 (21-I-4)	-17 (14)
211	15	-0.17 (19)	0.28 (14)	0.23 (14)	42 (21-I-4)	97 (21-I-4)	-15 (21-II-4)
211	16	-0.17 (19)	0.33 (14)	0.25 (14)	42 (21-I-4)	91 (21-I-4)	-23 (21-II-4)
212	1	-0.21 (21-I-1)	-0.16 (19)	0.03 (20-I-4)	-30 (14)	18 (20-I-1)	-12 (21-II-4)
212	2	-0.21 (21-I-1)	-0.15 (19)	0.03 (20-I-4)	-29 (14)	13 (20-I-1)	-12 (21-II-4)
212	3	-0.20 (21-I-1)	-0.14 (15)	0.02 (20-I-4)	-28 (14)	-12 (15)	-11 (21-II-4)
212	4	-0.20 (21-I-1)	-0.14 (15)	0.02 (20-I-4)	-27 (14)	-11 (15)	-11 (21-II-4)
212	5	-0.18 (21-I-1)	-0.16 (19)	0.06 (20-I-4)	-37 (14)	20 (20-I-4)	-24 (21-II-4)
212	6	-0.18 (20-II-4)	-0.15 (19)	0.05 (20-I-4)	-36 (14)	16 (20-I-4)	-23 (21-II-4)
212	7	-0.18 (20-II-4)	-0.15 (19)	0.05 (20-I-4)	-35 (14)	-12 (15)	-23 (21-II-4)
212	8	-0.17 (20-II-4)	-0.14 (15)	0.05 (20-I-4)	-34 (14)	-11 (15)	-23 (21-II-4)
212	9	-0.16 (20-II-4)	-0.16 (19)	0.08 (20-I-4)	-31 (19)	17 (20-I-4)	-28 (21-II-4)
212	10	-0.16 (20-II-4)	-0.16 (19)	0.08 (20-I-4)	-31 (19)	13 (20-I-4)	-29 (21-II-4)
212	11	-0.15 (20-II-4)	-0.15 (15)	0.07 (20-I-4)	-31 (19)	10 (20-I-4)	-30 (21-II-4)
212	12	-0.15 (20-II-4)	-0.14 (15)	0.07 (20-I-4)	-31 (19)	-8 (15)	-30 (21-II-4)
212	13	-0.13 (20-II-4)	-0.18 (20-II-4)	0.10 (20-I-4)	-53 (21-I-4)	10 (21-II-4)	-26 (21-II-4)
212	14	-0.13 (20-II-4)	-0.17 (20-II-4)	0.09 (20-I-4)	-51 (21-I-4)	8 (21-II-4)	-26 (21-II-4)
212	15	-0.13 (20-II-4)	-0.16 (20-II-4)	0.09 (20-I-4)	-48 (21-I-4)	6 (21-II-4)	-26 (21-II-4)
212	16	-0.13 (20-II-4)	-0.16 (20-II-4)	0.08 (20-I-4)	-45 (21-I-4)	5 (21-II-4)	-26 (21-II-4)
213	1	-0.27 (21-I-1)	-0.29 (20-I-4)	-0.10 (14)	-191 (21-II-4)	17 (14)	13 (14)
213	2	-0.27 (21-I-1)	-0.27 (20-I-4)	-0.09 (14)	-189 (21-II-4)	-18 (21-II-4)	13 (14)
213	3	-0.26 (21-I-1)	-0.26 (20-I-4)	-0.09 (14)	-187 (21-II-4)	-19 (21-II-4)	12 (14)
213	4	-0.24 (21-I-1)	-0.25 (20-I-4)	-0.09 (14)	-185 (21-II-4)	-20 (21-II-4)	12 (14)
213	5	-0.27 (21-I-1)	-0.21 (20-I-1)	-0.07 (14)	-119 (21-II-4)	13 (19)	14 (21-I-4)
213	6	-0.26 (21-I-1)	-0.20 (20-I-1)	-0.07 (14)	-120 (21-II-4)	13 (19)	15 (21-I-4)
213	7	-0.25 (21-I-1)	-0.20 (20-I-1)	-0.07 (14)	-120 (21-II-4)	13 (19)	15 (21-I-4)
213	8	-0.24 (21-I-1)	-0.19 (20-I-1)	-0.07 (14)	-121 (21-II-4)	-13 (21-II-4)	16 (21-I-4)
213	9	-0.25 (21-I-1)	-0.18 (20-II-1)	-0.05 (14)	-65 (21-II-4)	11 (19)	12 (21-I-4)
213	10	-0.25 (21-I-1)	-0.17 (20-I-1)	-0.04 (14)	-67 (21-II-4)	11 (19)	12 (21-I-4)
213	11	-0.24 (21-I-1)	-0.16 (20-I-1)	-0.04 (14)	-68 (21-II-4)	11 (19)	13 (21-I-4)

Muro	Pann.	Sxx	Syy	Sxy	Mxx	Myy	Mxy
213	12	-0.23(21-I-1)	-0.15(20-I-1)	-0.04(14)	-70(21-II-4)	11(19)	13(21-I-4)
213	13	-0.24(21-I-1)	-0.17(19)	-0.03(15)	-24(21-II-4)	13(21-I-4)	7(15)
213	14	-0.23(21-I-1)	-0.15(20-II-1)	-0.03(15)	-27(21-II-4)	-12(15)	-7(14)
213	15	-0.22(21-I-1)	-0.14(20-II-1)	-0.03(15)	-29(21-II-4)	-11(15)	-7(14)
213	16	-0.22(21-I-1)	-0.14(15)	-0.03(20-II-4)	-31(21-II-4)	-10(15)	7(21-I-4)
214	1	-0.14(19)	0.18(14)	0.16(14)	19(21-I-4)	55(21-I-4)	-23(14)
214	2	-0.14(19)	0.23(14)	0.18(14)	24(21-I-4)	81(21-I-4)	-16(14)
214	3	-0.14(19)	0.28(14)	0.20(14)	27(21-I-4)	91(21-I-4)	-15(21-II-4)
214	4	-0.14(19)	0.34(14)	0.22(14)	26(21-I-1)	85(21-I-4)	-23(21-II-4)
214	5	-0.10(19)	0.17(14)	0.12(14)	-10(15)	47(21-I-4)	-21(14)
214	6	-0.10(19)	0.22(14)	0.13(14)	-12(15)	72(21-I-4)	-15(14)
214	7	-0.10(19)	0.29(14)	0.15(14)	-12(15)	82(21-I-4)	-15(21-II-4)
214	8	-0.10(19)	0.35(14)	0.17(14)	-11(15)	77(21-I-4)	-22(21-II-4)
214	9	-0.06(19)	0.15(14)	0.07(14)	-6(15)	40(21-I-4)	-18(14)
214	10	-0.06(19)	0.21(14)	0.08(14)	-7(15)	65(21-I-4)	-13(14)
214	11	-0.06(19)	0.29(14)	0.10(14)	-7(15)	75(21-I-4)	-14(21-II-4)
214	12	-0.06(19)	0.37(14)	0.11(14)	6(14)	70(21-I-4)	-21(21-II-4)
214	13	-0.02(15)	0.15(15)	0.02(14)	1(19)	37(21-I-4)	-11(14)
214	14	-0.03(14)	0.21(15)	0.03(14)	-2(15)	62(21-I-4)	-9(14)
214	15	-0.02(20-I-4)	0.28(15)	0.03(14)	2(19)	72(21-I-4)	-10(21-II-4)
214	16	-0.02(19)	0.36(15)	0.04(14)	2(14)	66(21-I-4)	-13(21-II-4)
215	1	-0.18(21-I-1)	-0.12(15)	-0.01(20-II-4)	-24(14)	-9(15)	-11(21-II-4)
215	2	-0.15(20-II-4)	-0.09(15)	-0.02(20-II-4)	-21(14)	-7(21-I-2)	-11(21-II-4)
215	3	-0.13(20-II-4)	-0.06(15)	-0.02(20-II-4)	-22(21-II-4)	-6(20-II-4)	-12(21-II-4)
215	4	-0.14(14)	-0.02(14)	-0.01(20-II-4)	-25(21-II-4)	-2(20-I-4)	-8(21-II-4)
215	5	-0.16(20-II-4)	-0.12(15)	0.04(20-I-4)	-32(14)	-9(15)	-23(21-II-4)
215	6	-0.15(20-II-4)	-0.09(15)	0.03(14)	-29(14)	-5(15)	-22(21-II-4)
215	7	-0.13(20-II-4)	-0.06(15)	0.02(14)	-27(14)	-4(20-II-4)	-21(21-II-4)
215	8	-0.13(20-II-4)	-0.02(14)	0.01(14)	-26(14)	-1(20-II-4)	-14(21-II-4)
215	9	-0.14(20-II-4)	-0.12(15)	0.06(20-I-4)	-31(19)	-6(15)	-30(21-II-4)
215	10	-0.13(20-II-4)	-0.09(15)	0.05(14)	-32(19)	-3(15)	-28(21-II-4)
215	11	-0.12(20-II-4)	-0.06(15)	0.04(14)	-33(19)	-2(21-I-4)	-25(21-II-4)
215	12	-0.12(20-II-4)	-0.02(20-II-4)	0.01(14)	-33(19)	0	-17(21-II-4)
215	13	-0.12(20-II-4)	-0.13(20-II-4)	0.07(20-I-4)	-37(21-I-4)	4(21-II-4)	-25(21-II-4)
215	14	-0.11(20-II-4)	-0.10(20-II-4)	0.06(14)	-40(19)	4(21-II-4)	-23(21-II-4)
215	15	-0.10(20-II-4)	-0.06(20-II-4)	0.05(14)	-48(19)	6(21-II-4)	-20(21-II-4)
215	16	-0.09(20-II-4)	-0.03(21-II-4)	0.03(14)	-52(19)	6(21-II-4)	-11(21-II-4)
216	1	-0.21(21-I-1)	-0.21(20-I-4)	-0.09(14)	-177(21-II-4)	-20(21-II-4)	10(20-II-4)
216	2	-0.15(21-I-1)	-0.14(20-I-4)	-0.08(14)	-166(21-II-4)	-19(21-II-4)	8(20-II-4)
216	3	-0.12(21-I-2)	-0.08(20-I-4)	-0.06(14)	-156(21-II-4)	-13(21-II-4)	8(20-II-4)
216	4	0.06(15)	0.02(14)	-0.05(14)	-151(21-II-4)	-4(21-II-4)	7(20-II-4)
216	5	-0.21(21-I-1)	-0.16(20-I-4)	-0.07(14)	-121(21-II-4)	-15(21-II-4)	15(21-I-4)
216	6	-0.16(21-I-1)	-0.11(20-I-4)	-0.06(14)	-121(21-II-4)	-15(21-II-4)	14(21-I-4)
216	7	-0.11(21-I-1)	-0.06(20-I-4)	-0.05(14)	-121(21-II-4)	-9(21-II-4)	11(21-I-4)
216	8	-0.10(14)	-0.02(19)	-0.02(20-II-4)	-121(21-II-4)	-2(21-I-4)	7(21-I-4)
216	9	-0.20(21-I-1)	-0.13(20-I-1)	-0.04(20-II-4)	-74(21-II-4)	-10(21-II-4)	13(21-I-4)
216	10	-0.16(21-I-1)	-0.10(20-II-2)	-0.05(20-II-4)	-80(21-II-4)	-12(21-II-4)	12(21-I-4)
216	11	-0.12(21-I-1)	-0.06(20-I-4)	-0.04(20-II-4)	-85(21-II-4)	-8(21-II-4)	9(21-I-4)
216	12	-0.13(14)	-0.02(20-II-4)	-0.02(20-II-4)	-88(21-II-4)	-2(20-I-1)	5(21-I-4)
216	13	-0.19(21-I-1)	-0.12(20-II-2)	-0.03(20-II-4)	-37(21-II-4)	9(19)	7(21-I-4)
216	14	-0.16(21-I-1)	-0.09(20-II-2)	-0.04(20-II-4)	-46(21-II-4)	-9(21-II-4)	6(21-I-4)
216	15	-0.12(21-I-1)	-0.06(19)	-0.03(20-II-4)	-53(21-II-4)	-7(21-I-2)	5(21-I-4)
216	16	-0.14(14)	-0.02(20-II-4)	-0.01(20-II-4)	-56(21-II-4)	-2(20-I-4)	-3(21-II-4)
217	1	-0.22(14)	0.16(14)	0.04(14)	8(21-II-4)	60(21-II-4)	-20(21-II-4)
217	2	-0.25(14)	0.16(14)	-0.02(14)	13(21-II-4)	104(21-II-4)	-15(21-II-4)
217	3	-0.28(14)	0.16(14)	-0.08(14)	19(21-II-4)	152(21-II-4)	-7(21-II-4)
217	4	-0.31(14)	0.15(14)	-0.14(14)	25(21-II-4)	206(21-II-4)	2(21-II-2)
217	5	-0.14(14)	0.18(14)	0.03(14)	7(21-II-4)	63(21-II-4)	-20(21-II-4)
217	6	-0.16(14)	0.18(14)	-0.02(20-II-4)	11(21-II-4)	109(21-II-4)	-16(21-II-4)
217	7	-0.20(14)	0.18(14)	-0.08(14)	17(21-II-4)	160(21-II-4)	-7(21-II-4)
217	8	-0.23(14)	0.17(14)	-0.13(14)	24(21-II-4)	218(21-II-4)	2(21-I-1)
217	9	-0.08(14)	0.21(14)	0.02(14)	4(21-II-4)	65(21-II-4)	-21(21-II-4)
217	10	-0.09(14)	0.21(14)	-0.02(20-II-4)	7(21-II-4)	113(21-II-4)	-16(21-II-4)
217	11	-0.10(14)	0.18(14)	-0.07(14)	11(21-II-4)	167(21-II-4)	-8(21-II-4)
217	12	-0.19(14)	0.20(14)	-0.11(14)	20(21-II-4)	229(21-II-4)	3(21-I-1)
217	13	-0.02(14)	0.27(14)	0.01(14)	1(21-II-4)	66(21-II-4)	-14(21-II-4)
217	14	-0.02(20-I-4)	0.27(14)	-0.01(20-II-4)	2(21-II-4)	115(21-II-4)	-12(21-II-4)
217	15	-0.02(20-I-4)	0.23(14)	-0.03(14)	2(21-II-4)	170(21-II-4)	-7(21-II-4)
217	16	-0.10(14)	0.10(15)	-0.10(14)	13(21-II-4)	234(21-II-4)	3(21-II-2)
218	1	-0.14(19)	0.41(14)	0.25(15)	23(21-I-1)	62(21-I-1)	-31(21-II-4)
218	2	-0.13(19)	0.47(14)	0.29(15)	17(21-II-4)	21(21-I-2)	-37(21-II-4)
218	3	-0.12(19)	0.52(14)	0.32(15)	16(14)	-57(21-I-4)	-38(21-II-4)
218	4	-0.12(19)	0.56(14)	0.34(15)	22(14)	-149(21-I-4)	-30(21-II-4)
218	5	-0.10(19)	0.43(14)	0.19(15)	10(14)	54(21-I-1)	-30(21-II-4)

**POTENZIAMENTO DELL'IMPIANTO DI DEPURAZIONE E
DEL RECAPITO FINALE DI SQUINZANO (LE)
PROGETTO DEFINITIVO
Tabulati di calcolo strutturale-Filtrazione**

R.37.9

Maggio 2021

Pagina 157 di
364

Muro	Pann.	Sxx	Syy	Sxy	Mxx	Myy	Mxy
218	6	-0.09 (19)	0.52 (14)	0.23 (15)	9 (14)	18 (14)	-37 (21-II-4)
218	7	-0.07 (19)	0.58 (14)	0.27 (15)	8 (14)	-55 (21-I-4)	-37 (21-II-4)
218	8	-0.05 (20-I-4)	0.63 (14)	0.28 (15)	14 (14)	-127 (21-I-4)	-28 (21-II-4)
218	9	-0.06 (19)	0.45 (14)	0.12 (15)	5 (14)	48 (21-I-1)	-28 (21-II-4)
218	10	-0.05 (19)	0.56 (14)	0.15 (15)	4 (14)	18 (14)	-33 (21-II-4)
218	11	-0.05 (21-II-4)	0.70 (14)	0.21 (14)	-2 (21-I-4)	-53 (21-I-4)	-34 (21-II-4)
218	12	0.16 (14)	0.76 (15)	0.20 (15)	-5 (21-I-4)	-109 (21-I-4)	-27 (21-II-4)
218	13	-0.02 (14)	0.47 (15)	0.05 (14)	1 (14)	45 (21-I-1)	-17 (21-II-4)
218	14	-0.04 (14)	0.62 (15)	0.06 (14)	0	18 (14)	-21 (21-II-4)
218	15	-0.03 (19)	0.78 (15)	0.08 (14)	-1 (19)	-51 (21-I-4)	-21 (21-II-4)
218	16	0.14 (14)	1.05 (14)	0.18 (14)	-7 (14)	-99 (21-I-4)	-23 (14)
219	1	-0.20 (20-II-4)	-0.14 (21-II-4)	0.10 (14)	-19 (21-II-4)	-188 (21-II-4)	-23 (14)
219	2	-0.17 (20-II-4)	-0.14 (20-I-4)	0.11 (14)	-9 (21-II-4)	-119 (21-II-4)	-26 (14)
219	3	-0.15 (19)	-0.14 (20-I-4)	0.13 (14)	-10 (15)	-61 (21-II-4)	-29 (14)
219	4	-0.14 (19)	-0.13 (20-I-4)	0.14 (14)	13 (21-I-4)	18 (21-I-4)	-28 (14)
219	5	-0.17 (14)	-0.11 (21-II-4)	0.08 (14)	-19 (21-II-4)	-172 (21-II-4)	-20 (14)
219	6	-0.12 (20-II-4)	-0.11 (20-I-4)	0.08 (14)	-12 (21-II-4)	-117 (21-II-4)	-23 (14)
219	7	-0.11 (19)	-0.11 (20-I-4)	0.09 (14)	-6 (21-II-4)	-67 (21-II-4)	-25 (14)
219	8	-0.10 (19)	0.12 (14)	0.10 (14)	-8 (15)	-23 (21-II-4)	-25 (14)
219	9	-0.13 (14)	-0.09 (21-II-4)	0.05 (14)	-13 (21-II-4)	-157 (21-II-4)	-17 (14)
219	10	-0.08 (14)	-0.08 (21-II-4)	0.06 (14)	-7 (21-II-4)	-115 (21-II-4)	-20 (14)
219	11	-0.07 (19)	-0.08 (20-I-4)	0.06 (14)	-5 (21-II-4)	-71 (21-II-4)	-22 (14)
219	12	-0.06 (19)	0.10 (14)	0.06 (14)	-4 (15)	-30 (21-II-4)	-21 (14)
219	13	-0.06 (14)	-0.06 (14)	0.05 (14)	-4 (21-I-2)	-146 (21-II-4)	-12 (14)
219	14	-0.02 (14)	0.03 (15)	0.03 (14)	-1 (21-I-2)	-114 (21-II-4)	-13 (14)
219	15	-0.02 (20-I-4)	0.07 (15)	0.02 (14)	-2 (21-I-2)	-73 (21-II-4)	-14 (14)
219	16	-0.02 (20-II-4)	0.10 (15)	0.02 (14)	-2 (20-I-1)	-33 (21-II-4)	-12 (14)
220	1	-0.13 (19)	0.71 (15)	-0.38 (19)	14 (14)	-49 (21-II-4)	-52 (14)
220	2	-0.13 (15)	0.94 (15)	-0.38 (19)	16 (21-I-1)	88 (21-I-4)	-39 (14)
220	3	-0.19 (15)	1.20 (15)	-0.30 (19)	18 (21-II-1)	126 (21-I-1)	-36 (21-II-4)
220	4	-0.27 (15)	1.48 (15)	-0.10 (19)	13 (21-II-4)	110 (21-II-4)	-43 (21-II-4)
220	5	-0.09 (19)	0.89 (15)	-0.31 (19)	10 (14)	-55 (21-I-4)	-50 (14)
220	6	-0.09 (15)	1.11 (15)	-0.29 (19)	-10 (15)	83 (21-I-4)	-37 (14)
220	7	-0.12 (15)	1.36 (15)	-0.22 (19)	-12 (15)	122 (21-I-1)	-36 (21-II-4)
220	8	-0.17 (15)	1.54 (15)	-0.07 (14)	10 (19)	108 (21-II-4)	-42 (21-II-4)
220	9	-0.05 (21-II-1)	1.05 (15)	-0.21 (19)	5 (14)	-61 (21-II-4)	-46 (14)
220	10	-0.05 (15)	1.29 (15)	-0.19 (19)	6 (14)	78 (21-I-4)	-33 (14)
220	11	-0.07 (15)	1.53 (15)	-0.13 (19)	-7 (15)	120 (21-I-1)	-34 (21-II-4)
220	12	-0.10 (15)	1.63 (15)	-0.06 (15)	6 (19)	107 (21-II-4)	-38 (21-II-4)
220	13	-0.03 (15)	1.20 (15)	-0.08 (19)	-2 (21-II-4)	-63 (21-II-4)	-28 (14)
220	14	-0.03 (15)	1.47 (15)	-0.06 (19)	1 (14)	76 (21-I-4)	-21 (14)
220	15	-0.05 (19)	1.72 (15)	-0.05 (19)	1 (14)	117 (21-I-1)	-22 (21-II-4)
220	16	-0.02 (19)	1.75 (15)	-0.03 (15)	1 (19)	106 (21-II-4)	-22 (21-II-4)
221	1	-0.19 (19)	0.41 (14)	0.33 (14)	7 (21-II-4)	61 (21-II-4)	14 (21-II-4)
221	2	-0.18 (19)	0.52 (14)	0.30 (14)	6 (14)	33 (14)	17 (21-II-4)
221	3	-0.17 (14)	0.60 (14)	0.25 (14)	10 (14)	63 (14)	17 (21-II-4)
221	4	-0.18 (14)	0.66 (14)	0.19 (14)	15 (14)	94 (14)	15 (21-II-4)
221	5	-0.13 (19)	0.41 (14)	0.26 (14)	6 (21-II-4)	63 (21-II-4)	15 (21-II-4)
221	6	-0.12 (19)	0.54 (14)	0.23 (14)	5 (14)	35 (14)	17 (21-II-4)
221	7	-0.11 (19)	0.65 (14)	0.21 (14)	7 (14)	64 (14)	17 (21-II-4)
221	8	-0.10 (20-I-4)	0.71 (14)	0.16 (14)	13 (14)	96 (14)	15 (21-II-4)
221	9	-0.07 (19)	0.42 (14)	0.16 (14)	3 (21-II-4)	65 (21-II-4)	16 (21-II-4)
221	10	-0.06 (19)	0.58 (14)	0.15 (14)	3 (14)	37 (14)	18 (21-II-4)
221	11	-0.06 (15)	0.72 (14)	0.14 (14)	4 (14)	66 (14)	17 (21-II-4)
221	12	-0.05 (20-I-4)	0.81 (14)	0.12 (14)	-8 (21-II-4)	96 (14)	14 (21-II-4)
221	13	-0.03 (14)	0.46 (14)	0.06 (14)	0	66 (21-II-4)	11 (21-II-4)
221	14	-0.04 (14)	0.65 (14)	0.05 (14)	0	38 (14)	13 (21-II-4)
221	15	-0.02 (20-I-4)	0.80 (14)	0.05 (14)	0	68 (14)	13 (21-II-4)
221	16	0.03 (14)	0.98 (14)	0.08 (14)	-7 (21-II-4)	95 (14)	7 (21-II-4)
222	1	-0.17 (15)	-0.15 (20-I-4)	0.15 (14)	-9 (21-II-4)	-81 (21-II-4)	-19 (21-II-4)
222	2	-0.17 (14)	-0.12 (20-I-4)	0.13 (14)	-5 (21-II-4)	-47 (21-II-4)	-22 (21-II-4)
222	3	-0.18 (14)	0.13 (14)	0.11 (14)	-1 (21-II-4)	-14 (21-II-4)	-23 (21-II-4)
222	4	-0.20 (14)	0.15 (14)	0.08 (14)	4 (21-II-2)	22 (21-II-2)	-22 (21-II-4)
222	5	-0.11 (15)	-0.09 (20-I-4)	0.12 (14)	-8 (21-II-4)	-83 (21-II-4)	-20 (21-II-4)
222	6	-0.12 (15)	0.11 (14)	0.11 (14)	-4 (21-II-4)	-49 (21-II-4)	-22 (21-II-4)
222	7	-0.12 (14)	0.14 (14)	0.09 (14)	0	-14 (21-II-4)	-23 (21-II-4)
222	8	-0.13 (14)	0.16 (14)	0.07 (14)	3 (21-II-2)	24 (21-II-2)	-23 (21-II-4)
222	9	-0.07 (15)	0.08 (15)	0.08 (14)	-5 (21-II-4)	-86 (21-II-4)	-20 (21-II-4)
222	10	-0.07 (15)	0.11 (14)	0.07 (14)	-3 (21-II-4)	-50 (21-II-4)	-23 (21-II-4)
222	11	-0.07 (14)	0.15 (14)	0.06 (14)	0	-14 (21-II-4)	-24 (21-II-4)
222	12	-0.07 (14)	0.19 (14)	0.05 (14)	2 (21-II-2)	25 (21-II-2)	-23 (21-II-4)
222	13	-0.02 (15)	0.13 (15)	0.03 (14)	-1 (21-II-4)	-88 (21-II-4)	-13 (21-II-4)
222	14	-0.02 (14)	0.15 (15)	0.02 (14)	0	-51 (21-II-4)	-16 (21-II-4)
222	15	-0.02 (20-I-4)	0.18 (14)	0.02 (14)	0	-14 (21-II-4)	-17 (21-II-4)

Muro	Pann.	Sxx	Syy	Sxy	Mxx	Myy	Mxy
222	16	-0.02 (20-I-4)	0.23 (14)	0.02 (14)	0	25 (21-II-2)	-15 (21-II-4)
223	1	-0.40 (20-II-4)	-0.39 (21-I-1)	0.35 (14)	19 (21-II-4)	198 (21-II-4)	-48 (14)
223	2	-0.29 (20-II-4)	-0.37 (21-I-1)	0.37 (14)	19 (21-II-4)	161 (21-II-4)	-17 (14)
223	3	-0.23 (19)	-0.33 (21-I-1)	0.37 (14)	15 (21-II-4)	129 (21-II-4)	-10 (14)
223	4	-0.21 (19)	0.32 (14)	0.36 (14)	12 (21-II-4)	98 (21-II-4)	11 (21-II-4)
223	5	-0.35 (14)	-0.29 (21-I-1)	0.31 (14)	18 (21-II-4)	203 (21-II-4)	-44 (14)
223	6	-0.24 (14)	-0.28 (21-I-1)	0.32 (14)	18 (21-II-4)	165 (21-II-4)	-16 (14)
223	7	-0.17 (14)	-0.25 (21-I-1)	0.31 (14)	13 (21-II-4)	132 (21-II-4)	-9 (14)
223	8	-0.14 (19)	0.30 (14)	0.28 (14)	10 (21-II-4)	101 (21-II-4)	12 (21-II-4)
223	9	-0.36 (14)	-0.19 (21-I-1)	0.25 (14)	16 (21-II-4)	209 (21-II-4)	-38 (14)
223	10	-0.16 (14)	-0.19 (21-I-1)	0.27 (14)	13 (21-II-4)	169 (21-II-4)	-16 (14)
223	11	-0.10 (14)	0.17 (14)	0.21 (14)	9 (21-II-4)	135 (21-II-4)	-9 (14)
223	12	-0.08 (19)	0.29 (14)	0.18 (14)	6 (21-II-4)	103 (21-II-4)	12 (21-II-4)
223	13	-0.22 (14)	-0.33 (14)	0.25 (14)	13 (21-II-4)	213 (21-II-4)	-27 (14)
223	14	-0.03 (19)	0.15 (15)	0.13 (14)	4 (21-II-4)	170 (21-II-4)	-11 (14)
223	15	-0.02 (20-I-4)	0.23 (15)	0.08 (14)	2 (21-II-4)	137 (21-II-4)	-7 (14)
223	16	-0.02 (20-I-4)	0.29 (15)	0.07 (14)	1 (21-II-4)	105 (21-II-4)	8 (21-II-4)
224	1	-0.24 (20-I-4)	-0.24 (20-I-4)	0.12 (14)	-24 (21-II-4)	-203 (21-II-4)	-3 (15)
224	2	-0.21 (20-I-4)	-0.22 (20-I-4)	0.14 (14)	-20 (21-II-4)	-171 (21-II-4)	-5 (21-II-4)
224	3	-0.18 (20-I-4)	-0.20 (20-I-4)	0.15 (14)	-17 (21-II-4)	-141 (21-II-4)	-11 (21-II-4)
224	4	-0.16 (15)	-0.18 (20-I-4)	0.15 (14)	-13 (21-II-4)	-112 (21-II-4)	-16 (21-II-4)
224	5	-0.17 (20-I-4)	-0.15 (20-I-4)	0.10 (14)	-23 (21-II-4)	-213 (21-II-4)	-2 (15)
224	6	-0.15 (20-I-4)	-0.14 (20-I-4)	0.12 (14)	-19 (21-II-4)	-179 (21-II-4)	-5 (21-II-4)
224	7	-0.13 (20-I-4)	-0.13 (20-I-4)	0.12 (14)	-14 (21-II-4)	-146 (21-II-4)	-11 (21-II-4)
224	8	-0.11 (15)	-0.11 (20-I-4)	0.12 (14)	-11 (21-II-4)	-116 (21-II-4)	-16 (21-II-4)
224	9	-0.13 (14)	-0.09 (14)	0.08 (14)	-20 (21-II-4)	-223 (21-II-4)	-2 (15)
224	10	-0.08 (20-I-4)	-0.08 (14)	0.09 (14)	-13 (21-II-4)	-186 (21-II-4)	-5 (21-II-2)
224	11	-0.07 (20-I-4)	-0.05 (20-I-4)	0.08 (14)	-9 (21-II-4)	-152 (21-II-4)	-11 (21-II-4)
224	12	-0.06 (15)	0.06 (15)	0.08 (14)	-7 (21-II-4)	-120 (21-II-4)	-16 (21-II-4)
224	13	-0.08 (14)	-0.21 (14)	0.07 (14)	-13 (21-II-4)	-226 (21-II-4)	3 (21-II-4)
224	14	-0.02 (14)	-0.13 (14)	0.04 (14)	-3 (21-II-4)	-189 (21-II-4)	-4 (21-II-2)
224	15	-0.02 (20-I-4)	-0.07 (19)	0.03 (14)	-3 (21-II-4)	-154 (21-II-4)	-9 (21-II-4)
224	16	-0.02 (20-I-4)	0.09 (15)	0.03 (14)	-2 (21-II-4)	-122 (21-II-4)	-11 (21-II-4)
225	1	-0.14 (19)	0.60 (14)	-0.35 (19)	26 (14)	-214 (21-II-4)	23 (15)
225	2	-0.13 (19)	0.60 (14)	-0.35 (19)	23 (14)	-187 (21-II-4)	-26 (14)
225	3	-0.13 (19)	0.62 (14)	-0.35 (19)	20 (14)	-162 (21-II-4)	-38 (14)
225	4	-0.14 (19)	0.64 (15)	-0.35 (19)	18 (14)	-138 (21-II-4)	-45 (14)
225	5	-0.08 (20-I-4)	0.72 (15)	-0.30 (19)	20 (14)	-211 (21-II-4)	19 (15)
225	6	-0.08 (20-I-4)	0.72 (15)	-0.31 (19)	17 (14)	-186 (21-II-4)	-29 (14)
225	7	-0.08 (19)	0.76 (15)	-0.31 (19)	14 (14)	-163 (21-II-4)	-40 (14)
225	8	-0.08 (20-I-4)	0.79 (15)	-0.32 (19)	12 (14)	-141 (21-II-4)	-46 (14)
225	9	-0.03 (20-I-4)	0.89 (15)	-0.26 (19)	-17 (21-II-4)	-205 (21-II-4)	-17 (14)
225	10	-0.04 (20-I-4)	0.90 (15)	-0.24 (19)	-14 (21-II-4)	-185 (21-II-4)	-33 (14)
225	11	-0.05 (20-I-4)	0.93 (15)	-0.23 (19)	-12 (21-II-4)	-164 (21-II-4)	-41 (14)
225	12	-0.05 (20-I-4)	0.94 (15)	-0.23 (19)	-10 (21-II-4)	-144 (21-II-4)	-45 (14)
225	13	0.02 (21-II-4)	1.03 (15)	-0.13 (19)	-16 (21-II-4)	-207 (21-II-4)	13 (15)
225	14	-0.02 (15)	1.04 (15)	-0.09 (19)	-8 (21-II-4)	-184 (21-II-4)	-22 (14)
225	15	-0.02 (15)	1.06 (15)	-0.09 (19)	-5 (21-II-4)	-163 (21-II-4)	-26 (14)
225	16	-0.03 (15)	1.06 (15)	-0.09 (19)	-4 (21-II-4)	-143 (21-II-4)	-26 (14)
226	1	-0.30 (15)	1.67 (15)	-0.22 (15)	12 (19)	78 (21-II-4)	-44 (21-II-4)
226	2	-0.27 (15)	1.81 (15)	-0.36 (15)	12 (19)	-83 (15)	-42 (15)
226	3	-0.14 (19)	1.97 (15)	-0.53 (15)	17 (19)	-106 (15)	42 (19)
226	4	0.90 (15)	2.17 (15)	-0.91 (15)	28 (15)	135 (19)	-84 (15)
226	5	-0.20 (15)	1.59 (15)	-0.27 (15)	9 (19)	79 (21-II-4)	-42 (21-II-4)
226	6	-0.14 (15)	1.61 (15)	-0.41 (15)	9 (19)	-84 (15)	-38 (21-II-4)
226	7	-0.12 (19)	1.54 (15)	-0.55 (15)	6 (19)	-106 (15)	-42 (15)
226	8	0.58 (15)	0.84 (15)	-0.21 (15)	16 (14)	160 (19)	-49 (15)
226	9	-0.11 (15)	1.51 (15)	-0.25 (15)	5 (19)	80 (21-II-4)	-37 (21-II-4)
226	10	-0.05 (15)	1.34 (15)	-0.35 (15)	4 (19)	-84 (15)	-34 (21-II-4)
226	11	-0.10 (19)	1.05 (15)	-0.28 (15)	-4 (21-I-4)	111 (19)	-35 (15)
226	12	-0.28 (19)	0.63 (15)	0.13 (20-I-2)	13 (14)	154 (19)	-38 (15)
226	13	-0.02 (20-I-4)	1.46 (15)	-0.11 (15)	2 (19)	80 (21-II-4)	-20 (21-II-4)
226	14	-0.04 (19)	1.07 (15)	-0.12 (15)	1 (19)	-84 (15)	-20 (21-II-4)
226	15	-0.04 (15)	0.68 (15)	-0.09 (15)	-1 (14)	111 (19)	-19 (15)
226	16	0.09 (15)	0.62 (15)	0.15 (15)	11 (19)	156 (19)	-29 (15)
227	1	-0.12 (19)	0.54 (14)	0.29 (14)	-21 (21-II-3)	-24 (21-II-3)	-32 (14)
227	2	-0.11 (19)	0.61 (14)	0.32 (14)	-12 (14)	53 (21-II-4)	-36 (14)
227	3	-0.10 (19)	0.67 (14)	0.33 (14)	-12 (14)	149 (21-II-4)	-32 (14)
227	4	-0.09 (19)	0.71 (14)	0.31 (14)	-17 (14)	270 (21-II-4)	-13 (15)
227	5	-0.09 (19)	0.59 (14)	0.23 (14)	-10 (14)	-16 (21-II-3)	-30 (14)
227	6	-0.08 (19)	0.69 (14)	0.26 (14)	-8 (14)	60 (21-II-4)	-34 (14)
227	7	-0.05 (19)	0.77 (14)	0.29 (14)	10 (21-II-4)	149 (21-II-4)	-32 (14)
227	8	0.03 (14)	0.82 (14)	0.27 (14)	19 (21-II-4)	251 (21-II-4)	-14 (15)
227	9	-0.06 (19)	0.64 (14)	0.15 (14)	-6 (14)	-13 (15)	-28 (14)

Muro	Pann.	Sxx	Syy	Sxy	Mxx	Myy	Mxy
227	10	-0.05 (19)	0.77 (14)	0.18 (14)	3 (21-II-4)	65 (21-II-4)	-31 (14)
227	11	-0.04 (19)	0.93 (14)	0.24 (14)	8 (21-II-4)	148 (21-II-4)	-29 (14)
227	12	0.17 (14)	0.95 (14)	0.21 (14)	17 (21-II-4)	236 (21-II-4)	-13 (15)
227	13	-0.02 (14)	0.68 (14)	0.06 (14)	-1 (14)	-12 (15)	-17 (14)
227	14	-0.04 (14)	0.85 (14)	0.07 (14)	1 (21-II-4)	68 (21-II-4)	-21 (14)
227	15	-0.02 (19)	1.05 (14)	0.09 (14)	2 (21-II-4)	147 (21-II-4)	-19 (14)
227	16	0.16 (14)	1.36 (14)	0.21 (14)	10 (21-II-4)	227 (21-II-4)	7 (19)
228	1	-0.17 (21-II-3)	-0.12 (15)	0.07 (21-I-1)	88 (21-II-4)	14 (14)	-35 (21-II-4)
228	2	-0.15 (20-II-3)	-0.09 (15)	0.06 (21-I-1)	81 (21-II-4)	12 (14)	-35 (21-II-4)
228	3	-0.14 (20-II-3)	-0.06 (15)	0.04 (20-II-4)	76 (21-II-4)	7 (14)	-33 (21-II-4)
228	4	-0.14 (14)	-0.02 (20-I-4)	0.02 (20-II-4)	73 (21-II-4)	2 (14)	-21 (21-II-4)
228	5	-0.17 (21-II-3)	-0.12 (15)	0.10 (21-I-1)	82 (21-II-4)	18 (14)	-42 (21-II-4)
228	6	-0.13 (21-II-3)	-0.09 (15)	0.09 (21-I-1)	79 (21-II-4)	14 (14)	-40 (21-II-4)
228	7	-0.10 (21-II-3)	-0.06 (15)	0.06 (20-II-4)	76 (21-II-4)	8 (14)	-37 (21-II-4)
228	8	-0.12 (14)	-0.03 (20-I-4)	0.02 (21-I-4)	75 (21-II-4)	2 (14)	-25 (21-II-4)
228	9	-0.16 (21-II-3)	-0.12 (20-I-3)	0.12 (20-II-4)	93 (14)	22 (14)	-41 (21-II-4)
228	10	-0.11 (21-II-3)	-0.08 (20-I-3)	0.10 (21-I-1)	94 (14)	17 (14)	-39 (21-II-4)
228	11	-0.04 (21-II-3)	-0.06 (20-I-4)	0.08 (21-I-4)	96 (14)	9 (14)	-35 (21-II-4)
228	12	-0.08 (14)	-0.02 (14)	0.03 (21-I-4)	97 (14)	2 (14)	-23 (21-II-4)
228	13	-0.14 (21-II-3)	-0.15 (20-I-3)	0.12 (14)	153 (14)	31 (14)	-29 (20-II-1)
228	14	-0.08 (21-II-2)	-0.09 (20-I-3)	0.11 (14)	147 (14)	26 (14)	-26 (20-II-1)
228	15	-0.03 (21-II-2)	0.03 (14)	0.08 (14)	140 (14)	16 (14)	-24 (20-II-1)
228	16	0.12 (21-I-3)	0.02 (14)	0.06 (21-I-4)	134 (14)	4 (14)	-16 (20-II-4)
229	1	-0.18 (20-II-4)	-0.14 (20-II-4)	-0.03 (21-I-1)	-158 (21-II-4)	-15 (21-II-4)	-20 (14)
229	2	-0.19 (20-II-4)	-0.10 (20-II-4)	-0.03 (14)	-151 (21-II-4)	-15 (21-II-4)	-19 (14)
229	3	-0.18 (20-II-4)	-0.05 (20-II-4)	-0.03 (14)	-145 (21-II-4)	-12 (21-II-4)	-18 (14)
229	4	-0.15 (20-II-4)	0.01 (14)	-0.03 (14)	-143 (21-II-4)	-8 (21-II-4)	-9 (14)
229	5	-0.18 (20-II-4)	-0.13 (19)	-0.03 (20-I-4)	-91 (14)	-14 (15)	-36 (14)
229	6	-0.18 (20-II-4)	-0.09 (19)	-0.03 (20-I-4)	-92 (14)	-10 (15)	-33 (14)
229	7	-0.18 (20-II-4)	-0.06 (15)	-0.02 (20-I-4)	-94 (14)	-6 (21-II-4)	-31 (14)
229	8	-0.19 (20-II-4)	-0.02 (20-II-4)	-0.01 (20-I-4)	-95 (14)	0	-21 (14)
229	9	-0.18 (20-II-4)	-0.13 (19)	-0.01 (19)	-76 (14)	-16 (15)	-32 (14)
229	10	-0.18 (20-II-4)	-0.10 (19)	-0.01 (19)	-72 (14)	-11 (15)	-31 (14)
229	11	-0.18 (20-II-4)	-0.06 (19)	-0.01 (19)	-69 (14)	-6 (15)	-29 (14)
229	12	-0.19 (20-II-4)	-0.02 (14)	-0.00 (19)	-67 (14)	-2 (21-II-4)	-20 (14)
229	13	-0.18 (20-II-3)	-0.13 (19)	0.04 (21-I-1)	76 (20-I-4)	-15 (15)	-25 (21-II-4)
229	14	-0.17 (20-II-4)	-0.10 (19)	0.03 (20-II-4)	68 (20-I-4)	-11 (15)	-25 (21-II-4)
229	15	-0.17 (20-II-4)	-0.06 (14)	0.02 (20-II-4)	61 (20-I-4)	-6 (15)	-25 (21-II-4)
229	16	-0.18 (20-II-4)	-0.02 (19)	0.01 (20-II-4)	58 (20-I-4)	-1 (15)	-16 (21-II-4)
230	1	-0.13 (19)	0.27 (14)	0.21 (14)	-28 (21-II-4)	-113 (21-II-4)	-34 (21-II-4)
230	2	-0.13 (19)	0.34 (14)	0.23 (14)	-30 (21-II-4)	-114 (21-II-4)	-29 (21-II-4)
230	3	-0.13 (19)	0.40 (14)	0.25 (14)	-30 (21-II-4)	-100 (21-II-4)	-24 (21-II-4)
230	4	-0.13 (19)	0.47 (14)	0.27 (14)	-27 (21-II-3)	-71 (21-II-4)	-23 (14)
230	5	-0.10 (19)	0.27 (14)	0.15 (14)	-13 (14)	-107 (21-II-4)	-35 (21-II-4)
230	6	-0.09 (19)	0.34 (14)	0.17 (14)	-14 (14)	-107 (21-II-4)	-30 (21-II-4)
230	7	-0.09 (19)	0.42 (14)	0.19 (14)	-13 (14)	-92 (21-II-4)	-25 (21-II-4)
230	8	-0.09 (19)	0.50 (14)	0.21 (14)	-12 (14)	-63 (21-II-4)	-23 (14)
230	9	-0.06 (19)	0.26 (14)	0.09 (14)	-8 (14)	-103 (21-II-4)	-33 (21-II-4)
230	10	-0.06 (19)	0.34 (14)	0.11 (14)	-8 (14)	-102 (21-II-4)	-30 (21-II-4)
230	11	-0.06 (19)	0.44 (14)	0.12 (14)	-8 (14)	-86 (21-II-4)	-25 (21-II-4)
230	12	-0.06 (19)	0.54 (14)	0.13 (14)	-7 (14)	-56 (21-II-4)	-22 (14)
230	13	-0.02 (15)	0.26 (14)	0.03 (14)	-2 (14)	-102 (21-II-4)	-20 (21-II-4)
230	14	-0.03 (14)	0.34 (14)	0.04 (14)	-2 (14)	-99 (21-II-4)	-20 (21-II-4)
230	15	-0.02 (20-I-3)	0.43 (14)	0.04 (14)	-2 (14)	-83 (21-II-4)	-18 (21-II-4)
230	16	-0.02 (19)	0.53 (14)	0.05 (14)	-2 (14)	-53 (21-II-4)	-14 (21-II-4)
231	1	-0.11 (21-I-4)	0.88 (14)	-0.19 (19)	-22 (14)	-72 (14)	-66 (15)
231	2	-0.12 (21-I-4)	0.90 (14)	-0.17 (19)	-22 (21-II-3)	-111 (21-II-4)	-60 (15)
231	3	-0.13 (15)	0.94 (15)	-0.12 (19)	29 (15)	151 (14)	-36 (14)
231	4	-0.15 (15)	1.06 (15)	-0.09 (20-II-2)	37 (15)	222 (15)	-40 (14)
231	5	-0.08 (21-I-4)	0.99 (14)	-0.16 (19)	-18 (14)	-78 (14)	-62 (15)
231	6	-0.09 (21-I-4)	0.99 (14)	-0.12 (19)	12 (15)	-107 (21-II-4)	-58 (15)
231	7	-0.09 (15)	1.13 (15)	0.09 (15)	22 (15)	147 (14)	-35 (14)
231	8	-0.10 (15)	1.24 (15)	-0.06 (20-II-2)	28 (15)	234 (15)	-39 (14)
231	9	-0.05 (15)	1.11 (14)	-0.11 (19)	-11 (14)	-83 (14)	-59 (15)
231	10	-0.06 (21-I-4)	1.16 (15)	-0.08 (19)	7 (15)	-104 (21-II-4)	-55 (15)
231	11	-0.06 (15)	1.33 (15)	0.06 (15)	12 (15)	144 (14)	-34 (14)
231	12	-0.06 (15)	1.44 (15)	-0.04 (20-II-2)	15 (15)	243 (15)	-36 (14)
231	13	-0.02 (15)	1.21 (14)	-0.04 (19)	-3 (14)	-86 (14)	-37 (15)
231	14	-0.03 (15)	1.35 (15)	-0.03 (19)	2 (15)	-103 (21-II-4)	-38 (15)
231	15	-0.03 (19)	1.53 (15)	0.02 (15)	2 (15)	142 (14)	-23 (14)
231	16	-0.02 (19)	1.65 (15)	-0.01 (20-II-2)	4 (15)	247 (15)	-21 (14)
232	1	-0.19 (14)	0.47 (14)	-0.29 (14)	-9 (15)	-79 (14)	27 (21-II-4)
232	2	-0.21 (14)	0.37 (14)	-0.33 (14)	-15 (14)	-131 (14)	21 (21-II-4)
232	3	-0.27 (20-II-4)	-0.34 (21-II-4)	-0.36 (14)	-23 (14)	-186 (14)	14 (14)

Muro	Pann.	Sxx	Syy	Sxy	Mxx	Myy	Mxy
232	4	-0.43 (20-II-4)	-0.39 (21-II-4)	-0.36 (14)	-37 (14)	-243 (14)	30 (14)
232	5	-0.13 (14)	0.48 (14)	-0.22 (14)	-8 (15)	-80 (14)	27 (21-II-4)
232	6	-0.14 (14)	0.35 (14)	-0.26 (14)	-12 (14)	-134 (14)	22 (21-II-4)
232	7	-0.21 (14)	0.24 (14)	-0.30 (14)	-18 (14)	-189 (14)	14 (14)
232	8	-0.35 (14)	-0.28 (21-II-4)	-0.31 (14)	-33 (14)	-249 (14)	27 (14)
232	9	-0.07 (14)	0.51 (14)	-0.14 (14)	-5 (15)	-82 (14)	27 (21-II-4)
232	10	-0.08 (14)	0.36 (14)	-0.16 (14)	-7 (15)	-137 (14)	22 (14)
232	11	-0.10 (20-I-4)	0.24 (15)	-0.23 (14)	-8 (15)	-193 (14)	15 (14)
232	12	-0.36 (14)	0.18 (15)	-0.25 (14)	-25 (14)	-248 (14)	23 (19)
232	13	-0.02 (21-I-4)	0.55 (14)	-0.05 (14)	-1 (15)	-83 (14)	17 (21-II-4)
232	14	-0.01 (21-I-4)	0.44 (15)	-0.06 (14)	-2 (15)	-138 (14)	16 (14)
232	15	-0.02 (19)	0.36 (15)	-0.08 (14)	-1 (21-II-4)	-196 (14)	12 (14)
232	16	-0.19 (14)	-0.21 (19)	-0.22 (14)	-9 (15)	-238 (14)	18 (14)
233	1	-0.18 (14)	0.73 (14)	-0.06 (14)	24 (14)	172 (14)	21 (21-II-4)
233	2	-0.19 (14)	0.71 (14)	-0.13 (14)	14 (14)	104 (14)	28 (21-II-4)
233	3	-0.19 (14)	0.66 (14)	-0.19 (14)	5 (14)	40 (14)	31 (21-II-4)
233	4	-0.19 (14)	0.57 (14)	-0.25 (14)	-4 (15)	-22 (14)	30 (21-II-4)
233	5	-0.11 (20-I-4)	0.80 (14)	-0.06 (14)	22 (14)	177 (14)	21 (21-II-4)
233	6	-0.12 (14)	0.77 (14)	-0.11 (14)	11 (14)	107 (14)	27 (21-II-4)
233	7	-0.12 (14)	0.70 (14)	-0.15 (14)	4 (14)	41 (14)	31 (21-II-4)
233	8	-0.12 (14)	0.60 (14)	-0.19 (14)	-4 (15)	-22 (14)	30 (21-II-4)
233	9	-0.07 (20-I-4)	0.90 (14)	-0.05 (14)	16 (14)	182 (14)	19 (21-II-4)
233	10	-0.06 (14)	0.86 (14)	-0.07 (14)	7 (14)	111 (14)	27 (21-II-4)
233	11	-0.06 (15)	0.76 (14)	-0.10 (14)	3 (14)	43 (14)	30 (21-II-4)
233	12	-0.07 (15)	0.64 (14)	-0.12 (14)	-2 (15)	-23 (14)	30 (21-II-4)
233	13	-0.04 (21-II-4)	1.05 (14)	-0.04 (14)	8 (21-II-4)	185 (14)	11 (21-II-4)
233	14	-0.02 (21-I-4)	0.96 (14)	-0.03 (14)	1 (14)	112 (14)	19 (21-II-4)
233	15	-0.03 (14)	0.85 (14)	-0.03 (14)	0	44 (14)	21 (21-II-4)
233	16	-0.03 (14)	0.71 (14)	-0.04 (14)	0	-23 (14)	19 (21-II-4)
234	1	-0.26 (20-I-4)	0.11 (14)	0.14 (14)	-15 (14)	-162 (14)	22 (14)
234	2	-0.20 (21-I-4)	0.14 (14)	0.15 (14)	-16 (14)	-127 (14)	-28 (21-II-4)
234	3	-0.16 (21-I-4)	0.18 (14)	0.17 (14)	-17 (21-II-4)	-96 (14)	-35 (21-II-4)
234	4	-0.14 (19)	0.22 (14)	0.19 (14)	-23 (21-II-4)	-99 (21-II-4)	-36 (21-II-4)
234	5	-0.21 (20-I-4)	0.10 (14)	0.11 (14)	-11 (14)	-152 (14)	18 (14)
234	6	-0.15 (21-I-4)	0.13 (14)	0.12 (14)	-13 (14)	-125 (14)	-30 (21-II-4)
234	7	-0.12 (21-I-4)	0.16 (14)	0.13 (14)	-13 (14)	-98 (14)	-36 (21-II-4)
234	8	-0.10 (19)	0.21 (14)	0.14 (14)	-13 (14)	-97 (21-II-4)	-37 (21-II-4)
234	9	-0.16 (21-I-4)	0.12 (14)	0.08 (14)	-7 (14)	-146 (14)	15 (14)
234	10	-0.09 (20-I-4)	0.10 (14)	0.09 (14)	-8 (14)	-123 (14)	-28 (21-I-2)
234	11	-0.07 (20-I-4)	0.15 (14)	0.09 (14)	-7 (14)	-100 (14)	-34 (21-II-4)
234	12	-0.06 (19)	0.20 (14)	0.09 (14)	-8 (14)	-95 (21-II-4)	-35 (21-II-4)
234	13	-0.08 (14)	0.09 (21-II-4)	0.08 (14)	-3 (13)	-144 (14)	12 (14)
234	14	-0.03 (14)	0.13 (20-II-4)	0.05 (14)	-2 (20-II-1)	-122 (14)	-18 (20-I-1)
234	15	-0.02 (20-I-4)	0.15 (20-II-4)	0.03 (14)	-2 (14)	-101 (14)	-21 (21-II-4)
234	16	-0.02 (20-I-4)	0.18 (15)	0.03 (14)	-2 (14)	-94 (21-II-4)	-21 (21-II-4)
235	1	-0.15 (21-I-3)	1.08 (15)	-0.14 (20-II-2)	42 (15)	363 (15)	46 (15)
235	2	-0.17 (21-I-3)	1.04 (15)	-0.19 (20-II-2)	45 (15)	459 (15)	68 (15)
235	3	-0.21 (20-II-2)	0.98 (15)	-0.24 (20-II-2)	51 (15)	567 (15)	97 (15)
235	4	-0.28 (20-II-2)	0.90 (15)	-0.28 (20-II-3)	71 (15)	675 (15)	63 (15)
235	5	-0.10 (21-I-3)	1.26 (15)	-0.10 (20-II-2)	31 (15)	376 (15)	-41 (19)
235	6	-0.12 (20-II-2)	1.22 (15)	-0.14 (20-II-2)	32 (15)	474 (15)	62 (15)
235	7	-0.15 (20-II-2)	1.14 (15)	-0.20 (20-II-2)	35 (15)	587 (15)	90 (15)
235	8	-0.23 (20-II-2)	1.04 (15)	-0.25 (20-II-3)	65 (15)	697 (15)	66 (15)
235	9	-0.05 (14)	1.45 (15)	-0.06 (20-II-2)	17 (15)	387 (15)	-36 (19)
235	10	-0.07 (19)	1.42 (15)	-0.09 (20-II-2)	17 (15)	487 (15)	51 (15)
235	11	-0.10 (20-II-2)	1.37 (15)	-0.14 (20-II-2)	15 (15)	604 (15)	76 (15)
235	12	-0.19 (20-II-2)	1.21 (15)	-0.21 (20-II-2)	57 (15)	713 (15)	67 (15)
235	13	-0.02 (15)	1.68 (15)	-0.02 (20-II-3)	5 (15)	390 (15)	-19 (19)
235	14	-0.01 (19)	1.65 (15)	-0.03 (20-II-2)	5 (15)	492 (15)	28 (15)
235	15	-0.02 (19)	1.60 (15)	-0.04 (20-II-2)	-4 (15)	611 (15)	37 (15)
235	16	-0.12 (20-II-2)	1.55 (15)	-0.15 (20-II-2)	42 (15)	723 (15)	49 (15)
236	1	1.32 (14)	-0.04 (15)	0.09 (19)	-211 (14)	-18 (14)	28 (15)
236	2	1.17 (14)	-0.04 (15)	0.18 (19)	-203 (14)	-27 (14)	47 (15)
236	3	0.97 (14)	-0.07 (21-I-4)	0.17 (19)	-206 (14)	-38 (14)	53 (15)
236	4	0.83 (14)	-0.11 (21-I-4)	0.19 (19)	-217 (14)	-42 (14)	58 (15)
236	5	1.28 (14)	-0.03 (15)	0.05 (19)	-201 (14)	-8 (14)	29 (15)
236	6	1.14 (14)	-0.06 (15)	0.15 (19)	-192 (14)	-21 (14)	45 (15)
236	7	0.95 (14)	-0.07 (21-I-4)	0.18 (19)	-191 (14)	-32 (14)	50 (15)
236	8	0.83 (14)	-0.11 (21-I-4)	0.19 (19)	-197 (14)	-38 (14)	54 (15)
236	9	1.28 (14)	-0.03 (15)	0.05 (19)	-186 (14)	-5 (14)	29 (15)
236	10	1.14 (14)	-0.06 (15)	0.14 (19)	-178 (14)	-17 (14)	46 (15)
236	11	0.97 (14)	-0.08 (21-I-4)	0.18 (19)	-175 (14)	-28 (14)	51 (15)
236	12	0.84 (14)	-0.11 (21-I-4)	0.19 (19)	-178 (14)	-34 (14)	55 (15)
236	13	1.26 (14)	-0.03 (15)	0.05 (19)	-168 (14)	-5 (14)	29 (15)

Muro	Pann.	Sxx	Syy	Sxy	Mxx	Myy	Mxy
236	14	1.12 (14)	-0.06 (20-I-3)	0.13 (19)	-162 (14)	-14 (14)	48 (15)
236	15	0.97 (14)	-0.08 (21-I-4)	0.17 (19)	-158 (14)	-25 (14)	53 (15)
236	16	0.85 (14)	-0.11 (21-I-4)	0.18 (19)	-158 (14)	-30 (14)	56 (15)
237	1	-0.12 (19)	-0.52 (20-I-2)	0.27 (15)	-123 (15)	-317 (15)	41 (19)
237	2	-0.14 (15)	-0.49 (20-I-2)	0.28 (15)	-77 (15)	-239 (15)	54 (15)
237	3	-0.17 (15)	-0.46 (20-I-2)	0.24 (15)	-58 (15)	-170 (15)	60 (15)
237	4	-0.16 (15)	-0.42 (20-I-2)	0.20 (15)	-43 (15)	-103 (15)	54 (15)
237	5	-0.10 (15)	-0.54 (20-I-2)	0.22 (15)	-26 (15)	-223 (15)	24 (20-II-1)
237	6	-0.13 (15)	-0.52 (20-I-2)	0.23 (15)	-36 (15)	-222 (15)	56 (15)
237	7	-0.11 (15)	-0.49 (20-I-2)	0.20 (15)	-33 (15)	-170 (15)	60 (15)
237	8	-0.10 (15)	-0.44 (20-I-2)	0.15 (15)	-28 (15)	-107 (15)	54 (15)
237	9	-0.15 (15)	-0.59 (20-I-2)	0.16 (15)	-10 (19)	-175 (15)	20 (19)
237	10	-0.06 (15)	-0.58 (20-I-2)	0.18 (15)	-6 (15)	-206 (15)	46 (15)
237	11	-0.06 (15)	-0.52 (20-I-2)	0.13 (15)	-13 (15)	-169 (15)	53 (15)
237	12	-0.05 (15)	-0.46 (20-I-2)	0.10 (15)	-13 (15)	-111 (15)	47 (15)
237	13	-0.09 (15)	-0.77 (20-I-2)	0.12 (15)	8 (15)	-147 (15)	17 (19)
237	14	-0.02 (15)	-0.63 (20-I-2)	0.07 (15)	2 (15)	-201 (15)	25 (15)
237	15	-0.02 (19)	-0.54 (20-I-2)	0.05 (15)	-2 (15)	-170 (15)	30 (15)
237	16	-0.02 (19)	-0.47 (20-I-2)	0.04 (14)	-3 (15)	-112 (15)	26 (15)
238	1	-0.14 (15)	0.44 (19)	0.18 (14)	-30 (15)	27 (21-II-4)	43 (15)
238	2	-0.12 (15)	0.49 (19)	0.17 (14)	-18 (15)	72 (15)	29 (21-II-4)
238	3	-0.11 (14)	0.54 (19)	0.15 (14)	12 (19)	148 (15)	28 (21-II-4)
238	4	-0.11 (19)	0.61 (15)	0.14 (14)	11 (19)	205 (15)	28 (21-II-4)
238	5	-0.09 (15)	0.45 (19)	0.14 (14)	-21 (15)	27 (21-II-4)	41 (15)
238	6	-0.08 (15)	0.52 (15)	0.12 (14)	-14 (15)	66 (15)	28 (21-II-4)
238	7	-0.08 (14)	0.59 (15)	0.11 (14)	-8 (15)	142 (15)	28 (21-II-4)
238	8	-0.08 (19)	0.66 (15)	0.11 (14)	7 (19)	200 (15)	27 (21-II-4)
238	9	-0.05 (15)	0.49 (15)	0.09 (14)	-11 (15)	-30 (15)	36 (15)
238	10	-0.05 (15)	0.58 (15)	0.08 (14)	-8 (15)	61 (15)	26 (21-II-4)
238	11	-0.04 (20-II-2)	0.65 (15)	0.07 (14)	-5 (15)	138 (15)	25 (21-II-4)
238	12	-0.04 (19)	0.72 (15)	0.07 (14)	3 (19)	197 (15)	25 (21-II-4)
238	13	-0.02 (19)	0.55 (15)	0.03 (14)	-3 (15)	-32 (15)	20 (15)
238	14	-0.02 (19)	0.64 (15)	0.03 (14)	-2 (15)	59 (15)	15 (21-II-4)
238	15	-0.02 (20-II-2)	0.71 (15)	0.02 (14)	-1 (15)	136 (15)	15 (21-II-4)
238	16	-0.02 (20-II-2)	0.77 (15)	0.02 (14)	0	195 (15)	14 (21-II-4)
239	1	-0.11 (19)	0.68 (15)	0.14 (14)	10 (19)	245 (15)	26 (21-II-4)
239	2	-0.12 (19)	0.78 (15)	0.15 (15)	10 (19)	265 (15)	24 (21-II-4)
239	3	-0.12 (19)	0.88 (15)	0.17 (15)	12 (15)	264 (15)	21 (21-II-4)
239	4	-0.11 (19)	1.00 (15)	0.19 (15)	16 (15)	246 (15)	26 (14)
239	5	-0.08 (19)	0.74 (15)	0.10 (14)	6 (19)	241 (15)	26 (21-II-4)
239	6	-0.08 (19)	0.84 (15)	0.11 (15)	6 (14)	262 (15)	24 (21-II-4)
239	7	-0.08 (19)	0.96 (15)	0.13 (15)	8 (14)	263 (15)	21 (21-II-4)
239	8	-0.08 (19)	1.08 (15)	0.14 (15)	10 (14)	247 (15)	26 (14)
239	9	-0.04 (19)	0.80 (15)	0.06 (14)	3 (19)	238 (15)	23 (21-II-4)
239	10	-0.04 (19)	0.90 (15)	0.07 (15)	3 (14)	261 (15)	22 (21-II-4)
239	11	-0.04 (19)	1.03 (15)	0.08 (15)	4 (14)	262 (15)	20 (21-II-4)
239	12	-0.04 (19)	1.17 (15)	0.09 (15)	5 (14)	248 (15)	23 (14)
239	13	-0.02 (15)	0.85 (15)	0.02 (14)	0	237 (15)	14 (21-II-4)
239	14	-0.02 (15)	0.96 (15)	0.02 (15)	0	260 (15)	13 (21-II-4)
239	15	-0.02 (21-I-4)	1.09 (15)	0.03 (15)	0	262 (15)	12 (21-II-4)
239	16	-0.02 (21-I-4)	1.26 (15)	0.03 (15)	1 (14)	248 (15)	13 (14)
240	1	-0.11 (19)	1.10 (15)	0.19 (21-I-1)	19 (15)	221 (15)	36 (14)
240	2	-0.10 (19)	1.17 (15)	0.21 (21-I-1)	24 (15)	201 (15)	46 (14)
240	3	-0.08 (19)	1.21 (15)	0.21 (21-I-1)	28 (15)	214 (14)	59 (14)
240	4	-0.11 (15)	1.21 (15)	0.17 (21-I-1)	34 (15)	262 (14)	90 (15)
240	5	-0.08 (19)	1.20 (15)	0.15 (15)	14 (15)	225 (15)	35 (14)
240	6	-0.07 (19)	1.30 (15)	0.16 (21-I-1)	19 (15)	211 (15)	45 (14)
240	7	-0.06 (19)	1.38 (15)	0.19 (21-I-1)	23 (15)	220 (14)	57 (14)
240	8	-0.04 (15)	1.38 (15)	0.16 (21-I-1)	31 (15)	267 (14)	87 (15)
240	9	-0.04 (19)	1.31 (15)	0.10 (15)	7 (15)	229 (15)	31 (14)
240	10	-0.05 (20-II-2)	1.44 (15)	0.11 (21-I-1)	11 (15)	218 (15)	40 (14)
240	11	-0.05 (20-II-2)	1.57 (15)	0.14 (21-I-1)	14 (15)	232 (15)	51 (14)
240	12	0.13 (20-II-2)	1.62 (15)	0.13 (21-I-1)	19 (15)	300 (15)	76 (15)
240	13	-0.02 (21-I-4)	1.42 (15)	0.03 (15)	1 (15)	230 (15)	18 (14)
240	14	-0.02 (20-II-2)	1.57 (15)	0.04 (21-I-1)	3 (15)	221 (15)	23 (14)
240	15	-0.02 (19)	1.75 (15)	0.05 (15)	3 (15)	238 (15)	30 (14)
240	16	0.10 (20-II-2)	2.01 (15)	0.14 (20-II-2)	-10 (20-II-2)	317 (15)	40 (15)
241	1	-0.12 (19)	0.69 (19)	0.05 (19)	34 (20-II-1)	175 (20-II-2)	52 (15)
241	2	-0.12 (19)	0.70 (19)	-0.03 (15)	38 (20-II-2)	189 (20-II-2)	47 (15)
241	3	-0.12 (19)	0.70 (19)	-0.03 (15)	39 (20-II-2)	190 (20-II-2)	40 (15)
241	4	-0.12 (19)	0.68 (19)	-0.05 (19)	37 (20-II-2)	-181 (15)	46 (21-II-2)
241	5	-0.08 (19)	0.73 (19)	0.04 (19)	21 (20-II-1)	178 (20-II-2)	50 (15)
241	6	-0.08 (19)	0.75 (19)	-0.02 (15)	24 (20-II-2)	193 (20-II-2)	46 (15)
241	7	-0.08 (19)	0.75 (19)	-0.02 (15)	24 (20-II-2)	194 (20-II-2)	40 (15)

Muro	Pann.	Sxx	Syy	Sxy	Mxx	Myy	Mxy
241	8	-0.08 (19)	0.72 (19)	-0.04 (19)	23 (20-II-2)	183 (20-II-2)	45 (21-II-2)
241	9	-0.04 (20-I-2)	0.77 (19)	0.02 (19)	10 (20-II-1)	181 (20-II-2)	46 (15)
241	10	-0.04 (20-I-2)	0.80 (19)	-0.01 (15)	11 (20-II-2)	196 (20-II-2)	42 (15)
241	11	-0.04 (20-I-2)	0.80 (19)	-0.01 (15)	11 (20-II-2)	198 (20-II-2)	36 (15)
241	12	-0.04 (20-I-2)	0.77 (19)	-0.02 (19)	11 (20-II-2)	186 (20-II-2)	41 (21-II-2)
241	13	-0.02 (15)	0.82 (19)	0.01 (19)	2 (20-II-1)	182 (20-II-2)	28 (15)
241	14	-0.01 (15)	0.85 (19)	-0.00 (15)	2 (20-II-1)	197 (20-II-2)	25 (15)
241	15	-0.01 (15)	0.85 (19)	-0.00 (15)	2 (20-II-2)	199 (20-II-2)	21 (15)
241	16	-0.01 (15)	0.82 (19)	-0.01 (19)	2 (20-II-2)	187 (20-II-2)	24 (21-II-2)
242	1	-0.12 (19)	0.65 (19)	-0.07 (19)	34 (20-II-2)	-178 (15)	55 (20-I-1)
242	2	-0.11 (19)	0.60 (19)	-0.09 (19)	29 (20-II-2)	-168 (15)	62 (20-II-1)
242	3	-0.11 (19)	0.55 (19)	-0.11 (19)	22 (20-II-2)	-151 (15)	66 (20-II-1)
242	4	-0.10 (19)	-0.49 (21-II-3)	-0.12 (19)	-14 (15)	-128 (15)	65 (20-II-1)
242	5	-0.08 (19)	0.68 (19)	-0.06 (19)	21 (20-II-2)	-180 (15)	54 (20-I-1)
242	6	-0.08 (19)	0.64 (19)	-0.07 (19)	17 (20-II-2)	-169 (15)	61 (20-II-1)
242	7	-0.07 (19)	0.58 (19)	-0.08 (19)	12 (20-II-2)	-152 (15)	64 (20-II-1)
242	8	-0.07 (19)	-0.52 (21-II-3)	-0.09 (19)	-9 (15)	-128 (15)	64 (20-II-1)
242	9	-0.04 (15)	0.73 (19)	-0.04 (19)	9 (20-II-2)	-181 (15)	50 (20-I-1)
242	10	-0.04 (15)	0.67 (19)	-0.04 (19)	8 (20-II-2)	-171 (15)	56 (20-II-1)
242	11	-0.04 (15)	0.60 (19)	-0.05 (19)	5 (20-II-2)	-153 (15)	59 (20-II-1)
242	12	-0.04 (15)	-0.55 (21-II-3)	-0.05 (19)	-4 (15)	-129 (15)	59 (20-II-1)
242	13	-0.01 (20-I-2)	0.77 (19)	-0.01 (19)	2 (20-II-2)	-181 (15)	29 (20-I-1)
242	14	-0.01 (20-I-2)	0.71 (19)	-0.02 (19)	1 (20-II-2)	-171 (15)	33 (20-II-1)
242	15	-0.01 (21-II-3)	0.64 (19)	-0.02 (19)	0	-153 (15)	35 (20-II-1)
242	16	-0.02 (21-II-3)	-0.57 (21-II-3)	-0.02 (19)	0	-129 (15)	36 (20-II-1)
243	1	-0.10 (19)	0.51 (19)	-0.12 (15)	10 (14)	66 (15)	39 (15)
243	2	-0.10 (19)	0.56 (19)	0.10 (19)	13 (20-I-2)	71 (21-II-2)	46 (15)
243	3	-0.11 (19)	0.61 (19)	0.09 (19)	21 (20-II-1)	116 (20-II-2)	51 (15)
243	4	-0.11 (19)	0.65 (19)	0.07 (19)	29 (20-II-1)	151 (20-II-2)	53 (15)
243	5	-0.07 (19)	0.52 (19)	-0.09 (15)	7 (14)	69 (15)	40 (15)
243	6	-0.07 (19)	0.58 (19)	0.07 (19)	6 (20-I-2)	69 (21-II-2)	46 (15)
243	7	-0.07 (19)	0.64 (19)	0.07 (19)	12 (20-II-1)	117 (20-II-2)	50 (15)
243	8	-0.08 (19)	0.69 (19)	0.05 (19)	17 (20-II-1)	153 (20-II-2)	52 (15)
243	9	-0.04 (19)	0.54 (19)	-0.06 (15)	3 (14)	70 (15)	38 (15)
243	10	-0.04 (19)	0.61 (19)	0.05 (19)	2 (20-I-2)	68 (21-II-2)	43 (15)
243	11	-0.04 (19)	0.67 (19)	0.04 (19)	5 (20-II-1)	117 (20-II-2)	47 (15)
243	12	-0.04 (20-I-2)	0.73 (19)	0.03 (19)	8 (20-II-1)	155 (20-II-2)	48 (15)
243	13	-0.02 (19)	0.55 (19)	-0.02 (15)	0	71 (15)	24 (15)
243	14	-0.02 (15)	0.63 (19)	0.02 (19)	0	68 (21-II-2)	26 (15)
243	15	-0.02 (15)	0.71 (19)	0.01 (19)	0	117 (20-II-2)	28 (15)
243	16	-0.02 (15)	0.77 (19)	0.01 (19)	1 (20-II-1)	155 (20-II-2)	29 (15)
244	1	-0.21 (15)	0.40 (15)	-0.14 (15)	-50 (20-II-2)	-282 (20-II-2)	96 (15)
244	2	-0.12 (15)	0.39 (19)	-0.16 (15)	-43 (20-II-2)	228 (14)	48 (15)
244	3	-0.09 (19)	0.43 (19)	-0.16 (15)	-28 (20-II-2)	178 (15)	35 (15)
244	4	-0.09 (19)	0.46 (19)	-0.14 (15)	-16 (20-II-2)	127 (15)	35 (15)
244	5	-0.13 (15)	0.41 (15)	-0.10 (15)	-19 (20-II-2)	-229 (20-II-2)	69 (15)
244	6	-0.07 (15)	0.40 (19)	-0.13 (15)	-23 (20-II-2)	212 (14)	49 (15)
244	7	-0.06 (19)	0.43 (19)	-0.12 (15)	-18 (20-II-2)	174 (14)	37 (15)
244	8	-0.07 (19)	0.47 (19)	-0.11 (15)	-12 (20-II-2)	128 (15)	36 (15)
244	9	-0.06 (15)	0.45 (15)	-0.07 (15)	-4 (20-II-2)	-214 (20-II-2)	59 (15)
244	10	-0.04 (15)	0.40 (19)	-0.09 (15)	-7 (20-II-2)	199 (14)	45 (15)
244	11	-0.04 (19)	0.44 (19)	-0.08 (15)	-8 (20-II-2)	171 (14)	37 (15)
244	12	-0.04 (19)	0.48 (19)	-0.07 (15)	-6 (20-II-2)	128 (14)	36 (15)
244	13	-0.01 (19)	0.51 (15)	-0.03 (15)	0	-208 (20-II-2)	33 (15)
244	14	-0.01 (20-II-1)	0.42 (15)	-0.03 (15)	0	194 (14)	27 (15)
244	15	-0.02 (20-II-1)	0.44 (19)	-0.03 (15)	-1 (20-II-2)	169 (14)	23 (15)
244	16	-0.02 (19)	0.49 (19)	-0.03 (15)	-2 (20-II-2)	128 (14)	22 (15)
245	1	-0.17 (15)	0.27 (19)	-0.13 (20-I-1)	-44 (15)	-94 (15)	34 (19)
245	2	-0.18 (15)	-0.28 (20-I-1)	-0.17 (20-I-2)	-58 (15)	-130 (15)	-42 (15)
245	3	-0.17 (15)	-0.31 (20-I-1)	-0.19 (20-I-2)	-73 (15)	-175 (15)	-59 (15)
245	4	-0.10 (15)	-0.33 (20-I-1)	-0.21 (20-I-2)	-113 (15)	-226 (15)	-58 (15)
245	5	-0.12 (15)	0.29 (19)	-0.11 (20-I-1)	-30 (15)	-104 (15)	37 (19)
245	6	-0.12 (15)	-0.33 (20-I-1)	-0.14 (20-I-2)	-37 (15)	-140 (15)	-44 (15)
245	7	-0.12 (15)	-0.39 (20-I-1)	-0.17 (20-I-2)	-36 (15)	-182 (15)	-62 (15)
245	8	-0.06 (20-I-1)	-0.45 (20-I-2)	-0.16 (20-I-2)	-26 (15)	-218 (15)	37 (19)
245	9	-0.06 (15)	-0.32 (20-I-1)	-0.07 (20-I-2)	-15 (15)	-112 (15)	37 (19)
245	10	-0.07 (15)	-0.39 (20-I-1)	-0.10 (20-I-2)	-16 (15)	-149 (15)	-40 (15)
245	11	-0.08 (15)	-0.47 (20-I-2)	-0.12 (20-I-2)	-11 (15)	-187 (15)	-48 (15)
245	12	-0.04 (21-II-2)	-0.56 (20-I-2)	-0.13 (20-I-2)	-10 (19)	-189 (15)	31 (21-II-2)
245	13	-0.02 (20-I-1)	-0.34 (20-I-1)	-0.03 (20-I-2)	-3 (15)	-114 (15)	22 (19)
245	14	-0.02 (14)	-0.43 (20-I-1)	-0.03 (20-I-2)	-3 (15)	-153 (15)	22 (19)
245	15	-0.03 (20-I-2)	-0.55 (20-I-2)	-0.04 (20-I-2)	0	-189 (15)	-26 (15)
245	16	-0.03 (15)	-0.69 (20-I-2)	-0.06 (20-I-2)	-7 (19)	-184 (15)	20 (21-II-2)
246	1	-0.14 (14)	0.37 (15)	-0.10 (20-I-1)	-18 (20-II-2)	-76 (20-II-2)	59 (15)

Muro	Pann.	Sxx	Syy	Sxy	Mxx	Myy	Mxy
246	2	-0.12 (14)	0.35 (15)	-0.11 (20-I-1)	-27 (20-II-2)	-108 (20-II-2)	69 (15)
246	3	-0.12 (15)	0.33 (15)	-0.10 (20-I-1)	-37 (20-II-2)	-147 (20-II-2)	80 (15)
246	4	-0.16 (15)	0.36 (19)	-0.08 (20-I-1)	-38 (20-II-2)	-191 (20-II-2)	102 (14)
246	5	-0.09 (14)	0.41 (15)	-0.07 (20-I-1)	-13 (20-II-2)	-81 (20-II-2)	55 (15)
246	6	-0.08 (14)	0.41 (15)	-0.08 (20-I-1)	-18 (20-II-2)	-115 (20-II-2)	65 (15)
246	7	-0.08 (15)	0.40 (15)	-0.07 (20-I-1)	-19 (20-II-2)	-155 (20-II-2)	75 (15)
246	8	-0.12 (15)	0.42 (15)	-0.08 (20-I-1)	-15 (20-II-2)	-211 (20-II-2)	79 (15)
246	9	-0.05 (14)	0.47 (15)	-0.04 (20-I-1)	-7 (20-II-2)	-85 (20-II-2)	48 (15)
246	10	-0.04 (19)	0.48 (15)	-0.05 (20-I-1)	-9 (20-II-2)	-121 (20-II-2)	56 (15)
246	11	-0.04 (15)	0.48 (15)	-0.05 (20-I-1)	-8 (20-II-2)	-162 (20-II-2)	64 (15)
246	12	-0.06 (15)	0.48 (15)	-0.05 (21-I-2)	-5 (20-II-2)	-202 (20-II-2)	66 (15)
246	13	-0.01 (20-II-2)	0.53 (15)	-0.01 (20-I-1)	2 (15)	-86 (20-II-2)	27 (15)
246	14	-0.01 (20-II-1)	0.55 (15)	-0.02 (20-I-1)	-2 (20-II-2)	-123 (20-II-2)	32 (15)
246	15	-0.01 (19)	0.57 (15)	-0.02 (20-I-1)	-1 (20-II-2)	-164 (20-II-2)	35 (15)
246	16	-0.01 (19)	0.56 (15)	-0.02 (21-I-2)	0	-198 (20-II-2)	37 (15)
247	1	-0.10 (21-II-1)	0.08 (14)	0.04 (15)	12 (21-II-2)	83 (21-I-2)	-26 (21-II-1)
247	2	-0.10 (21-II-1)	0.08 (14)	0.05 (15)	16 (15)	101 (15)	-24 (21-II-1)
247	3	-0.11 (21-II-1)	0.09 (15)	0.06 (15)	21 (15)	156 (15)	-18 (21-II-1)
247	4	-0.11 (20-II-2)	0.11 (15)	0.09 (15)	30 (15)	217 (15)	-9 (15)
247	5	-0.07 (21-II-1)	0.07 (14)	0.02 (15)	9 (15)	84 (21-I-2)	-26 (21-II-1)
247	6	-0.07 (21-II-1)	0.07 (14)	0.03 (15)	11 (15)	105 (15)	-24 (21-II-1)
247	7	-0.08 (21-II-1)	0.09 (14)	0.05 (15)	15 (15)	159 (15)	-18 (21-II-1)
247	8	-0.08 (20-II-2)	0.11 (15)	0.08 (15)	24 (15)	216 (15)	-8 (15)
247	9	-0.04 (21-II-1)	0.09 (21-I-1)	0.01 (15)	5 (15)	85 (21-I-2)	-24 (21-II-1)
247	10	-0.04 (21-II-1)	0.10 (21-I-1)	0.02 (15)	6 (15)	109 (15)	-21 (21-II-1)
247	11	-0.04 (21-II-1)	0.10 (20-I-2)	0.03 (15)	7 (15)	163 (15)	-17 (21-II-1)
247	12	-0.05 (20-II-2)	0.11 (21-II-3)	0.06 (15)	15 (15)	214 (15)	-7 (21-II-1)
247	13	-0.01 (19)	0.12 (21-I-1)	0.00 (15)	1 (15)	85 (21-I-2)	-14 (21-II-1)
247	14	-0.01 (19)	0.13 (21-I-1)	0.00 (15)	1 (15)	110 (15)	-12 (21-II-1)
247	15	-0.01 (19)	0.14 (20-I-2)	0.01 (15)	0	164 (15)	-10 (21-II-1)
247	16	-0.02 (21-II-1)	0.15 (20-II-1)	0.03 (15)	3 (14)	208 (15)	-5 (21-II-1)
248	1	-0.12 (21-II-1)	-0.14 (21-I-1)	0.04 (19)	22 (21-I-2)	196 (21-I-2)	14 (19)
248	2	-0.10 (21-II-1)	-0.17 (21-I-1)	0.09 (19)	14 (20-I-1)	111 (21-I-2)	39 (19)
248	3	-0.11 (21-II-3)	-0.19 (21-I-1)	0.12 (19)	16 (19)	49 (21-II-2)	50 (19)
248	4	-0.14 (14)	0.23 (19)	0.12 (19)	-29 (15)	-53 (15)	47 (19)
248	5	-0.08 (21-II-1)	-0.14 (21-I-1)	0.03 (15)	19 (21-I-2)	197 (21-I-2)	14 (19)
248	6	-0.07 (21-II-1)	-0.17 (21-I-1)	0.07 (15)	11 (20-I-1)	116 (21-I-2)	39 (19)
248	7	-0.07 (21-II-1)	-0.19 (21-I-1)	0.09 (19)	10 (19)	55 (21-II-2)	49 (19)
248	8	-0.10 (14)	0.23 (19)	0.09 (19)	-20 (15)	-58 (15)	46 (19)
248	9	-0.06 (15)	-0.15 (21-I-1)	0.03 (15)	14 (21-I-2)	198 (21-I-2)	13 (19)
248	10	-0.04 (21-II-1)	-0.17 (21-I-1)	0.05 (15)	5 (20-I-1)	121 (21-I-2)	36 (19)
248	11	-0.04 (15)	-0.20 (21-I-1)	0.06 (19)	-5 (15)	59 (21-II-2)	44 (19)
248	12	-0.05 (14)	-0.25 (20-I-1)	0.06 (19)	-10 (15)	-63 (15)	43 (19)
248	13	-0.04 (15)	-0.17 (15)	0.03 (15)	8 (15)	198 (21-I-2)	-11 (15)
248	14	-0.03 (19)	-0.17 (21-I-1)	0.01 (19)	-1 (15)	122 (21-I-2)	21 (19)
248	15	-0.02 (19)	-0.20 (21-I-1)	0.02 (19)	1 (20-I-1)	60 (21-II-2)	26 (19)
248	16	-0.01 (20-I-1)	-0.25 (20-I-1)	0.02 (19)	-3 (15)	-64 (15)	25 (19)
249	1	-0.10 (14)	-0.06 (15)	0.05 (14)	-8 (15)	-103 (15)	-50 (15)
249	2	-0.11 (14)	-0.03 (15)	0.04 (14)	11 (21-I-1)	-91 (15)	-47 (15)
249	3	-0.11 (14)	0.06 (14)	0.03 (15)	15 (21-I-1)	86 (21-I-1)	-41 (15)
249	4	-0.11 (14)	0.07 (14)	0.03 (15)	14 (21-I-1)	90 (21-I-1)	-29 (15)
249	5	-0.07 (19)	-0.08 (15)	0.03 (14)	-5 (15)	-103 (15)	-48 (15)
249	6	-0.08 (14)	-0.05 (15)	0.03 (14)	6 (21-I-1)	-90 (15)	-46 (15)
249	7	-0.08 (14)	0.05 (14)	0.02 (15)	8 (21-I-1)	86 (21-I-1)	-40 (15)
249	8	-0.07 (14)	0.06 (14)	0.02 (15)	8 (21-I-1)	91 (21-I-1)	-30 (15)
249	9	-0.04 (19)	-0.10 (15)	0.02 (14)	-2 (15)	-103 (15)	-43 (15)
249	10	-0.04 (21-II-1)	-0.08 (15)	0.02 (14)	2 (21-I-1)	-88 (15)	-42 (15)
249	11	-0.04 (21-II-1)	0.06 (21-I-2)	0.01 (15)	4 (21-I-1)	86 (21-I-1)	-37 (15)
249	12	-0.04 (21-II-1)	0.08 (21-I-2)	0.01 (15)	4 (21-II-1)	92 (21-I-1)	-28 (15)
249	13	-0.02 (15)	-0.12 (15)	0.01 (14)	0	-103 (15)	-26 (15)
249	14	-0.02 (15)	-0.10 (15)	0.01 (14)	0	-88 (15)	-25 (15)
249	15	-0.01 (15)	0.09 (21-I-2)	0.00 (15)	0	86 (21-I-1)	-22 (15)
249	16	-0.01 (15)	0.11 (21-I-2)	0.00 (15)	0	92 (21-I-1)	-17 (15)
250	1	-0.12 (15)	0.15 (15)	0.10 (15)	16 (15)	201 (15)	22 (21-I-1)
250	2	-0.10 (21-II-2)	0.21 (15)	0.12 (15)	6 (15)	122 (15)	28 (21-I-2)
250	3	-0.11 (14)	0.28 (15)	0.12 (15)	-10 (20-II-2)	51 (15)	16 (21-I-2)
250	4	-0.15 (14)	0.35 (15)	0.09 (15)	-12 (20-II-2)	-36 (20-II-1)	34 (15)
250	5	-0.10 (15)	0.15 (15)	0.08 (15)	13 (15)	202 (15)	19 (21-I-1)
250	6	-0.07 (21-II-2)	0.21 (15)	0.10 (15)	6 (15)	124 (15)	26 (21-I-2)
250	7	-0.08 (14)	0.30 (15)	0.10 (15)	-7 (20-II-2)	56 (15)	17 (21-I-2)
250	8	-0.10 (14)	0.38 (15)	0.07 (15)	-9 (20-II-2)	-38 (20-II-1)	35 (15)
250	9	-0.08 (15)	0.13 (15)	0.07 (15)	10 (15)	203 (15)	16 (21-I-1)
250	10	-0.04 (19)	0.21 (15)	0.07 (15)	4 (15)	126 (15)	23 (21-I-2)
250	11	-0.05 (15)	0.33 (15)	0.06 (15)	-4 (21-II-2)	60 (15)	17 (21-I-2)

Muro	Pann.	Sxx	Syy	Sxy	Mxx	Myy	Mxy
250	12	-0.05 (14)	0.42 (15)	0.05 (15)	6 (15)	-41 (20-II-1)	33 (15)
250	13	-0.08 (15)	0.08 (21-II-1)	0.05 (15)	5 (15)	205 (15)	10 (20-II-1)
250	14	-0.03 (15)	0.22 (15)	0.01 (15)	0	126 (15)	14 (21-I-2)
250	15	-0.01 (19)	0.35 (15)	0.02 (15)	0	62 (15)	10 (21-I-2)
250	16	-0.01 (20-II-1)	0.47 (15)	0.02 (15)	2 (15)	-42 (20-II-1)	20 (15)
251	1	-0.10 (20-I-1)	-0.10 (21-II-2)	0.04 (14)	-20 (21-I-2)	-152 (21-I-2)	-24 (14)
251	2	-0.09 (20-I-1)	-0.10 (21-II-2)	0.04 (14)	-15 (21-I-2)	-119 (21-I-2)	-41 (15)
251	3	-0.09 (20-I-1)	-0.08 (21-II-2)	0.04 (14)	-12 (15)	-106 (15)	-47 (15)
251	4	-0.09 (21-II-1)	-0.07 (21-II-2)	0.04 (14)	-10 (15)	-105 (15)	-49 (15)
251	5	-0.07 (20-I-1)	-0.10 (15)	0.03 (14)	-19 (21-I-2)	-154 (21-I-2)	-22 (14)
251	6	-0.06 (20-I-1)	-0.09 (15)	0.03 (14)	-13 (21-I-2)	-123 (21-I-2)	-40 (15)
251	7	-0.06 (21-II-1)	-0.09 (15)	0.03 (14)	-10 (15)	-108 (15)	-45 (15)
251	8	-0.07 (21-II-1)	-0.09 (15)	0.03 (14)	-8 (15)	-106 (15)	-47 (15)
251	9	-0.03 (20-I-1)	-0.11 (15)	-0.03 (15)	-16 (21-I-2)	-157 (21-I-2)	-19 (14)
251	10	-0.03 (19)	-0.10 (15)	-0.02 (15)	-9 (21-I-2)	-126 (21-I-2)	-36 (15)
251	11	-0.04 (19)	-0.11 (15)	0.02 (14)	-6 (15)	-108 (15)	-40 (15)
251	12	-0.04 (21-II-1)	-0.11 (15)	0.02 (14)	-4 (21-I-2)	-107 (15)	-41 (15)
251	13	0.04 (15)	-0.15 (19)	-0.04 (15)	-11 (21-I-2)	-158 (21-I-2)	-9 (14)
251	14	-0.01 (19)	-0.15 (19)	-0.01 (15)	-2 (15)	-126 (21-I-2)	-20 (15)
251	15	-0.01 (21-II-1)	-0.14 (19)	0.01 (14)	-1 (21-I-2)	-106 (15)	-22 (15)
251	16	-0.02 (14)	-0.13 (15)	0.01 (14)	-1 (21-I-2)	-106 (15)	-23 (15)
252	1	-0.12 (19)	0.86 (15)	-0.43 (15)	-108 (15)	-671 (15)	-53 (15)
252	2	-0.15 (19)	0.81 (15)	-0.42 (15)	-70 (15)	-407 (15)	-39 (19)
252	3	-0.16 (19)	0.74 (15)	-0.40 (15)	-38 (15)	188 (19)	-31 (19)
252	4	-0.14 (19)	0.67 (15)	-0.39 (15)	30 (19)	288 (19)	-36 (14)
252	5	-0.09 (19)	0.97 (15)	-0.38 (15)	-104 (15)	-703 (15)	-49 (15)
252	6	-0.13 (19)	0.89 (15)	-0.34 (15)	-61 (15)	-427 (15)	-38 (19)
252	7	-0.14 (19)	0.79 (15)	-0.32 (15)	-32 (15)	202 (19)	-31 (14)
252	8	-0.13 (19)	0.69 (15)	-0.30 (15)	31 (19)	307 (19)	-37 (15)
252	9	-0.06 (19)	1.12 (15)	-0.28 (15)	-89 (15)	-731 (15)	-37 (15)
252	10	-0.09 (19)	0.95 (15)	-0.22 (15)	-39 (15)	-449 (15)	-37 (19)
252	11	-0.12 (19)	0.83 (15)	-0.21 (15)	-19 (15)	219 (19)	-38 (15)
252	12	-0.12 (19)	0.70 (15)	-0.20 (15)	31 (19)	328 (19)	-41 (15)
252	13	-0.13 (15)	1.13 (15)	-0.05 (20-II-2)	-60 (15)	-749 (15)	-18 (19)
252	14	-0.02 (15)	0.99 (15)	-0.08 (15)	-3 (15)	-458 (15)	-27 (14)
252	15	-0.02 (19)	0.83 (15)	-0.08 (15)	-6 (15)	227 (19)	-32 (15)
252	16	-0.13 (19)	0.70 (15)	-0.15 (20-II-2)	26 (19)	355 (19)	-40 (15)
253	1	-0.16 (15)	0.50 (15)	0.12 (19)	-38 (15)	-132 (15)	-3 (14)
253	2	-0.24 (15)	0.43 (15)	0.08 (19)	-25 (15)	-53 (15)	-17 (15)
253	3	-0.24 (15)	0.39 (15)	-0.03 (15)	-7 (15)	47 (19)	-17 (15)
253	4	-0.21 (15)	0.37 (15)	-0.04 (15)	8 (15)	64 (19)	-17 (15)
253	5	-0.14 (15)	0.48 (15)	0.10 (19)	-39 (15)	-134 (15)	3 (19)
253	6	-0.20 (15)	0.39 (15)	0.06 (19)	-24 (15)	-55 (15)	-14 (15)
253	7	-0.20 (15)	0.36 (15)	0.03 (21-II-2)	-5 (15)	46 (19)	-15 (15)
253	8	-0.18 (15)	0.36 (15)	0.04 (21-II-2)	10 (15)	65 (19)	-14 (15)
253	9	-0.13 (15)	0.42 (15)	0.07 (14)	-40 (15)	-136 (15)	5 (19)
253	10	-0.16 (15)	0.34 (15)	0.05 (14)	-21 (15)	-58 (15)	-10 (15)
253	11	-0.16 (15)	0.32 (15)	0.03 (21-II-2)	-3 (15)	45 (19)	-13 (15)
253	12	-0.16 (15)	0.35 (15)	-0.04 (15)	13 (15)	68 (15)	-8 (15)
253	13	-0.11 (15)	0.32 (15)	0.09 (15)	-38 (15)	-138 (15)	12 (19)
253	14	-0.12 (15)	0.28 (15)	0.04 (14)	-14 (15)	-61 (15)	-8 (15)
253	15	-0.11 (15)	0.27 (15)	0.03 (21-II-2)	-2 (15)	44 (19)	-13 (15)
253	16	-0.13 (15)	0.30 (15)	-0.07 (15)	15 (15)	80 (15)	-14 (19)
254	1	-0.13 (21-I-4)	0.07 (19)	-0.22 (15)	-34 (15)	-102 (15)	-22 (21-II-2)
254	2	-0.13 (21-I-4)	0.05 (19)	-0.15 (15)	-17 (15)	-41 (21-II-3)	-13 (15)
254	3	-0.15 (21-I-2)	-0.09 (15)	-0.10 (15)	-11 (19)	54 (15)	-23 (15)
254	4	-0.20 (21-I-2)	-0.16 (15)	0.06 (19)	15 (21-II-2)	116 (15)	-17 (15)
254	5	-0.12 (21-I-4)	0.07 (15)	-0.19 (15)	-31 (15)	-105 (15)	-19 (21-II-2)
254	6	-0.11 (21-I-4)	-0.04 (21-II-3)	-0.13 (15)	-14 (15)	-37 (21-II-3)	-12 (15)
254	7	-0.12 (21-I-2)	-0.11 (15)	-0.07 (15)	-9 (19)	53 (15)	-21 (15)
254	8	-0.17 (21-I-2)	-0.17 (15)	0.06 (19)	14 (21-II-2)	122 (15)	-16 (15)
254	9	-0.09 (21-I-4)	0.06 (15)	-0.16 (15)	-27 (15)	-108 (15)	-16 (21-II-2)
254	10	-0.09 (21-I-4)	-0.04 (21-II-3)	-0.10 (15)	-11 (15)	-34 (21-II-4)	-12 (15)
254	11	-0.10 (21-I-2)	-0.12 (15)	-0.05 (15)	7 (21-II-2)	53 (15)	-20 (15)
254	12	-0.14 (21-I-2)	-0.18 (15)	0.06 (19)	13 (15)	127 (15)	-14 (15)
254	13	-0.07 (21-I-4)	0.05 (15)	-0.12 (15)	-21 (15)	-112 (15)	-14 (21-II-2)
254	14	-0.07 (21-I-4)	-0.06 (15)	-0.07 (15)	-8 (15)	-32 (21-II-4)	-13 (15)
254	15	-0.08 (21-I-2)	-0.14 (15)	-0.03 (15)	5 (21-II-2)	52 (15)	-19 (15)
254	16	-0.10 (21-I-2)	-0.19 (15)	0.05 (19)	12 (15)	132 (15)	-13 (15)
255	1	0.05 (15)	0.64 (15)	-0.34 (15)	40 (15)	137 (19)	24 (15)
255	2	-0.13 (19)	0.47 (15)	-0.28 (15)	14 (15)	66 (19)	-4 (19)
255	3	-0.21 (15)	0.28 (15)	-0.23 (15)	5 (20-II-2)	-65 (15)	-5 (20-II-3)
255	4	-0.31 (15)	0.13 (15)	-0.23 (15)	-18 (15)	-162 (15)	18 (15)
255	5	-0.04 (21-I-2)	0.66 (15)	-0.27 (15)	44 (15)	138 (19)	20 (15)

Muro	Pann.	Sxx	Syy	Sxy	Mxx	Myy	Mxy
255	6	-0.13(14)	0.45(15)	-0.19(15)	15(15)	65(19)	-4(19)
255	7	-0.18(15)	0.26(15)	-0.16(15)	4(20-II-2)	-65(15)	-4(20-II-3)
255	8	-0.26(15)	0.12(15)	-0.18(15)	-17(15)	-162(15)	16(15)
255	9	-0.05(19)	0.66(15)	-0.18(15)	46(15)	138(15)	14(15)
255	10	-0.11(15)	0.40(15)	-0.09(15)	14(15)	64(19)	-4(19)
255	11	-0.16(15)	0.23(15)	-0.09(15)	3(20-II-2)	-65(15)	-4(20-II-2)
255	12	-0.21(15)	0.12(15)	-0.13(15)	-15(15)	-161(15)	15(15)
255	13	-0.05(19)	0.53(15)	-0.03(15)	40(15)	135(15)	13(19)
255	14	-0.09(15)	0.31(15)	-0.02(15)	9(15)	62(19)	-2(19)
255	15	-0.12(15)	0.19(15)	-0.04(15)	3(19)	-64(15)	4(15)
255	16	-0.15(15)	0.11(15)	-0.09(15)	-13(15)	-160(15)	14(15)
256	1	-0.16(19)	0.18(19)	-0.14(19)	40(15)	222(15)	8(19)
256	2	-0.17(19)	-0.14(21-II-3)	-0.13(19)	26(15)	93(15)	7(15)
256	3	-0.16(19)	-0.12(21-II-3)	-0.11(19)	10(15)	-28(19)	8(15)
256	4	-0.18(19)	-0.09(21-II-3)	-0.09(19)	-6(20-I-3)	-124(15)	7(19)
256	5	-0.13(19)	0.17(19)	-0.11(19)	41(15)	230(15)	6(19)
256	6	-0.14(19)	-0.13(21-II-3)	-0.10(19)	25(15)	94(15)	7(15)
256	7	-0.14(19)	-0.11(21-II-3)	-0.09(19)	8(15)	-28(19)	7(15)
256	8	-0.16(19)	-0.09(15)	-0.08(19)	-8(15)	-130(15)	6(19)
256	9	-0.11(19)	-0.16(21-I-2)	-0.07(19)	40(15)	234(15)	10(15)
256	10	-0.12(19)	-0.12(21-II-3)	-0.07(19)	22(15)	94(15)	5(15)
256	11	-0.12(19)	-0.10(21-II-3)	-0.07(19)	5(15)	-29(19)	6(15)
256	12	-0.14(19)	-0.10(15)	-0.07(19)	-10(15)	-136(15)	6(19)
256	13	-0.08(19)	-0.15(21-II-3)	-0.07(15)	32(15)	225(15)	17(15)
256	14	-0.09(19)	-0.11(21-II-3)	-0.04(19)	16(15)	94(15)	5(19)
256	15	-0.09(19)	-0.11(15)	-0.05(19)	3(15)	-30(19)	6(15)
256	16	-0.11(19)	-0.11(15)	-0.06(19)	-10(15)	-141(15)	6(19)
257	1	-0.10(19)	-0.50(21-II-3)	-0.12(19)	-10(15)	-98(15)	60(20-II-2)
257	2	-0.10(19)	-0.51(21-II-3)	-0.12(19)	-11(21-II-2)	-138(21-II-2)	50(20-II-2)
257	3	-0.11(19)	-0.51(21-II-3)	-0.11(19)	-26(20-I-1)	-241(21-I-2)	35(20-II-2)
257	4	-0.14(19)	-0.51(21-II-3)	-0.10(19)	-42(20-II-1)	-369(20-I-1)	18(19)
257	5	-0.07(14)	-0.52(21-II-3)	-0.09(19)	-6(15)	-98(15)	59(20-II-2)
257	6	-0.07(19)	-0.53(21-II-3)	-0.09(19)	-10(21-II-2)	-145(21-II-2)	49(20-II-2)
257	7	-0.08(19)	-0.53(21-II-3)	-0.09(19)	-21(20-I-1)	-250(21-I-2)	34(20-II-2)
257	8	-0.11(19)	-0.54(21-II-3)	-0.09(19)	-36(20-II-1)	-378(20-I-1)	16(19)
257	9	-0.04(15)	-0.55(21-II-3)	-0.05(19)	-3(15)	-99(15)	55(20-II-2)
257	10	-0.05(19)	-0.55(21-II-3)	-0.05(19)	-6(21-II-4)	-150(21-II-2)	47(20-II-2)
257	11	-0.05(19)	-0.54(21-II-3)	-0.06(19)	-12(20-II-1)	-257(21-I-2)	32(20-II-2)
257	12	-0.09(19)	-0.56(21-II-3)	-0.07(19)	-24(20-II-2)	-384(20-I-1)	15(19)
257	13	-0.02(21-I-2)	-0.58(21-II-3)	-0.02(19)	0	-99(15)	34(20-II-2)
257	14	-0.02(21-I-2)	-0.57(21-II-3)	-0.02(19)	-2(21-II-4)	-153(21-II-2)	29(20-II-2)
257	15	-0.02(15)	-0.56(21-II-3)	-0.01(19)	-2(20-I-1)	-259(21-I-2)	21(20-II-2)
257	16	-0.08(19)	-0.52(21-II-3)	-0.06(19)	-6(20-II-2)	-385(20-I-1)	12(19)
258	1	-0.17(21-I-2)	-0.23(20-II-2)	0.10(19)	-20(15)	-211(15)	-30(15)
258	2	-0.14(19)	-0.25(20-II-2)	0.11(19)	-9(19)	-139(15)	-47(15)
258	3	-0.12(21-I-4)	-0.26(20-II-2)	0.11(19)	24(21-I-2)	194(20-II-2)	-50(15)
258	4	-0.13(21-I-1)	-0.26(20-II-2)	0.12(19)	48(21-I-2)	400(20-I-1)	-32(15)
258	5	-0.15(21-I-2)	-0.25(20-II-2)	0.09(19)	-19(15)	-229(15)	-28(15)
258	6	-0.11(19)	-0.27(20-II-2)	0.09(19)	-7(15)	-146(15)	-46(15)
258	7	-0.08(21-I-4)	-0.27(20-II-2)	0.09(19)	18(21-I-2)	199(20-II-2)	-49(15)
258	8	-0.09(21-I-1)	-0.27(20-II-2)	0.10(19)	42(21-I-2)	410(21-I-2)	-31(15)
258	9	-0.12(21-II-3)	-0.28(20-II-2)	0.09(19)	-18(15)	-249(15)	-22(15)
258	10	-0.07(19)	-0.28(20-II-2)	0.08(19)	-5(15)	-151(15)	-44(15)
258	11	-0.05(19)	-0.26(20-II-2)	0.05(19)	10(21-II-4)	204(20-II-2)	-45(15)
258	12	-0.05(13)	-0.28(20-II-2)	0.07(19)	29(21-II-3)	419(21-I-2)	-28(15)
258	13	-0.10(19)	-0.35(20-II-2)	0.10(19)	-15(15)	-273(15)	-8(13)
258	14	-0.03(21-II-3)	-0.26(20-II-2)	0.02(19)	0	-152(15)	-28(15)
258	15	-0.01(20-II-2)	-0.24(20-II-2)	0.01(19)	1(21-II-4)	205(20-II-2)	-28(15)
258	16	0.03(21-II-4)	-0.22(20-II-2)	0.04(19)	10(21-II-3)	422(21-I-2)	-18(15)
259	1	-0.16(15)	1.35(15)	-0.21(14)	55(15)	394(15)	196(15)
259	2	-0.15(15)	1.22(15)	-0.23(15)	-11(19)	-123(19)	219(15)
259	3	-0.18(15)	1.10(15)	-0.28(15)	-63(15)	-577(15)	194(15)
259	4	-0.21(15)	0.98(15)	-0.35(15)	-129(15)	-1098(15)	130(15)
259	5	-0.14(15)	1.47(15)	-0.17(14)	53(15)	428(15)	192(15)
259	6	-0.10(15)	1.31(15)	-0.17(14)	-8(19)	-126(19)	219(15)
259	7	-0.13(15)	1.18(15)	-0.22(15)	-50(15)	-600(15)	194(15)
259	8	-0.13(15)	1.06(15)	-0.29(15)	-120(15)	-1160(15)	126(15)
259	9	-0.10(15)	1.58(15)	-0.12(14)	40(15)	461(15)	178(15)
259	10	-0.04(15)	1.42(15)	-0.11(14)	-4(19)	-129(19)	209(15)
259	11	-0.06(15)	1.25(15)	-0.17(15)	-26(15)	-621(15)	186(15)
259	12	-0.07(21-II-1)	1.11(15)	-0.21(15)	-95(15)	-1213(15)	114(15)
259	13	-0.07(15)	1.65(15)	-0.05(19)	23(15)	467(15)	108(15)
259	14	0.05(15)	1.55(15)	-0.04(15)	-5(15)	-129(19)	132(15)
259	15	0.05(15)	1.34(15)	-0.05(15)	2(20-II-2)	-626(15)	120(15)

**POTENZIAMENTO DELL'IMPIANTO DI DEPURAZIONE E
DEL RECAPITO FINALE DI SQUINZANO (LE)
PROGETTO DEFINITIVO
Tabulati di calcolo strutturale-Filtrazione**

R.37.9

Maggio 2021

Pagina 166 di
364

Muro	Pann.	Sxx	Syy	Sxy	Mxx	Myy	Mxy
259	16	-0.09 (15)	1.01 (15)	-0.12 (15)	-47 (15)	-1220 (15)	73 (15)
260	1	-0.06 (21-I-3)	0.03 (15)	-0.09 (15)	-16 (15)	-115 (15)	-12 (21-II-2)
260	2	-0.05 (21-I-4)	-0.08 (15)	-0.05 (15)	-5 (15)	-31 (13)	-13 (15)
260	3	-0.05 (21-I-4)	-0.15 (15)	-0.02 (15)	3 (20-I-3)	52 (15)	-19 (15)
260	4	-0.06 (21-I-2)	-0.20 (15)	0.05 (19)	11 (15)	136 (15)	-12 (15)
260	5	-0.04 (21-I-3)	0.03 (21-II-2)	-0.07 (15)	-12 (15)	-118 (15)	-10 (21-II-2)
260	6	-0.04 (21-I-4)	-0.10 (15)	-0.04 (15)	-3 (15)	-30 (13)	-13 (15)
260	7	-0.04 (21-I-4)	-0.17 (15)	0.01 (19)	2 (21-II-4)	53 (15)	-18 (15)
260	8	-0.05 (21-I-2)	-0.20 (15)	0.04 (19)	8 (15)	138 (15)	-11 (15)
260	9	-0.02 (21-I-3)	0.02 (21-II-2)	-0.04 (15)	-8 (15)	-122 (15)	-8 (21-II-2)
260	10	-0.02 (21-I-3)	-0.12 (15)	-0.02 (15)	1 (21-II-4)	-30 (15)	-12 (15)
260	11	-0.03 (21-I-4)	-0.18 (15)	0.01 (19)	0	52 (15)	-15 (15)
260	12	-0.03 (21-I-2)	-0.20 (15)	0.03 (19)	5 (15)	139 (15)	-9 (15)
260	13	0.01 (15)	-0.03 (15)	-0.01 (15)	-5 (15)	-125 (15)	-4 (21-II-2)
260	14	-0.01 (21-I-4)	-0.15 (15)	-0.01 (15)	0	-30 (13)	-6 (15)
260	15	-0.02 (15)	-0.20 (15)	-0.00 (15)	0	52 (15)	-8 (15)
260	16	-0.02 (15)	-0.20 (15)	0.02 (19)	2 (15)	138 (15)	-6 (15)
261	1	-0.04 (19)	0.29 (15)	0.07 (19)	21 (15)	130 (15)	18 (19)
261	2	-0.07 (15)	0.23 (15)	0.02 (21-II-2)	7 (15)	61 (19)	3 (15)
261	3	-0.07 (15)	0.15 (15)	0.01 (21-I-3)	3 (15)	-64 (15)	5 (15)
261	4	-0.08 (15)	0.10 (15)	-0.07 (15)	-13 (15)	-160 (15)	13 (15)
261	5	0.04 (15)	0.12 (15)	0.02 (21-II-2)	9 (15)	127 (15)	12 (19)
261	6	-0.06 (15)	0.16 (15)	0.04 (15)	4 (15)	61 (19)	3 (15)
261	7	-0.05 (15)	0.12 (15)	0.02 (21-I-3)	2 (15)	-63 (15)	6 (15)
261	8	-0.08 (15)	0.09 (15)	-0.05 (15)	-10 (15)	-158 (15)	12 (15)
261	9	0.03 (15)	-0.06 (19)	-0.01 (15)	4 (15)	125 (15)	8 (19)
261	10	-0.04 (19)	0.09 (15)	0.04 (15)	1 (15)	60 (19)	3 (15)
261	11	-0.03 (21-I-4)	0.10 (15)	0.01 (21-I-3)	2 (15)	-63 (15)	6 (15)
261	12	-0.05 (15)	0.07 (15)	-0.04 (15)	-8 (15)	-156 (15)	11 (15)
261	13	0.02 (15)	-0.08 (19)	-0.02 (15)	1 (15)	123 (15)	5 (19)
261	14	-0.01 (19)	-0.06 (19)	0.02 (15)	0	60 (19)	2 (15)
261	15	0.01 (15)	0.09 (15)	0.01 (15)	2 (15)	-64 (15)	3 (15)
261	16	-0.04 (15)	0.07 (21-II-2)	-0.03 (15)	-5 (15)	-150 (15)	8 (15)
262	1	-0.05 (15)	-0.22 (19)	0.11 (15)	-21 (15)	-139 (15)	16 (19)
262	2	-0.08 (19)	0.24 (15)	0.03 (14)	-11 (15)	-63 (15)	-8 (15)
262	3	-0.09 (19)	0.24 (15)	0.02 (21-II-2)	2 (21-II-2)	45 (19)	-15 (15)
262	4	-0.09 (14)	0.22 (15)	-0.12 (15)	7 (15)	98 (15)	-20 (19)
262	5	-0.04 (19)	-0.14 (19)	0.07 (15)	-12 (15)	-139 (15)	10 (19)
262	6	-0.06 (15)	0.21 (15)	0.03 (15)	-7 (15)	-63 (15)	-6 (15)
262	7	-0.06 (15)	0.22 (15)	0.02 (21-II-2)	-1 (15)	46 (19)	-12 (15)
262	8	-0.05 (21-II-3)	0.15 (15)	-0.07 (15)	7 (15)	114 (15)	-15 (19)
262	9	-0.03 (19)	-0.10 (19)	0.03 (15)	-6 (15)	-139 (15)	7 (15)
262	10	-0.03 (15)	0.18 (15)	0.03 (15)	-3 (15)	-65 (15)	-5 (15)
262	11	-0.03 (15)	0.20 (15)	0.01 (19)	-2 (15)	46 (19)	-10 (15)
262	12	-0.03 (19)	0.10 (15)	-0.04 (15)	7 (15)	122 (15)	-10 (19)
262	13	0.01 (15)	-0.07 (19)	-0.01 (20-II-2)	-2 (15)	-139 (15)	5 (15)
262	14	-0.00 (21-I-2)	-0.16 (19)	0.01 (15)	0	-64 (15)	-4 (15)
262	15	-0.01 (21-II-3)	0.19 (15)	0.01 (19)	-2 (15)	45 (19)	-6 (15)
262	16	-0.03 (15)	0.07 (15)	-0.01 (15)	5 (15)	124 (15)	-6 (19)
263	1	-0.06 (19)	-0.12 (21-II-3)	-0.09 (15)	27 (15)	205 (15)	28 (15)
263	2	-0.06 (19)	-0.10 (21-II-3)	-0.03 (15)	9 (15)	94 (15)	5 (19)
263	3	-0.06 (19)	-0.11 (15)	-0.03 (19)	2 (15)	-31 (19)	7 (15)
263	4	-0.08 (19)	-0.13 (15)	-0.05 (19)	-10 (15)	-145 (15)	6 (19)
263	5	-0.04 (19)	-0.09 (21-II-3)	-0.08 (15)	18 (15)	187 (15)	17 (15)
263	6	-0.04 (19)	-0.10 (15)	-0.03 (15)	6 (15)	95 (15)	5 (15)
263	7	-0.04 (21-I-1)	-0.12 (15)	-0.02 (19)	0	-31 (19)	7 (15)
263	8	-0.06 (19)	-0.13 (15)	-0.04 (19)	-8 (15)	-147 (15)	6 (19)
263	9	-0.03 (19)	-0.06 (21-II-3)	-0.05 (15)	11 (15)	177 (15)	10 (15)
263	10	-0.03 (15)	-0.11 (15)	-0.02 (15)	2 (21-I-2)	96 (15)	5 (15)
263	11	-0.03 (15)	-0.13 (15)	0.01 (21-I-2)	0	-31 (19)	7 (15)
263	12	-0.04 (19)	-0.13 (15)	-0.03 (19)	-6 (15)	-148 (15)	5 (19)
263	13	0.02 (15)	-0.04 (20-II-3)	-0.01 (15)	6 (15)	171 (15)	3 (15)
263	14	-0.01 (15)	-0.13 (15)	-0.00 (15)	0	95 (15)	3 (15)
263	15	-0.02 (15)	-0.16 (15)	-0.00 (15)	0	-31 (19)	5 (15)
263	16	-0.02 (19)	-0.11 (15)	0.03 (21-I-2)	-3 (15)	-148 (15)	5 (19)

Verifica dei Muri in calcestruzzo

Scenario di calcolo: Set_NT_ 2018 A2_SLV_SLD_STR_GEO

Simbologia:

Muro	Indice del muro in verifica
Nodi	[n1-n2-n3-n4...] Indici dei nodi di attacco del muro
Pann.X	Numero di pannelli in direzione locale X del muro(per muri a pannelli)
Pann.Y	Numero di pannelli in direzione locale Y del muro(per muri a pannelli)
Pann	Numero totale di pannelli (per muri a mesh)
Spess [cm]	Spessore del muro
Criterio	Criterio di verifica adottato per la verifica
Pannello	Indice del pannello
Nx [kg]	Sforzo in direzione x locale per metro lineare ($N_x = s_{xx} \cdot \text{spessore}$)
Ny [kg]	Sforzo in direzione y locale per metro lineare ($N_y = s_{yy} \cdot \text{spessore}$)
Nxy [kg]	Sforzo tagliante locale per metro lineare ($N_{xy} = s_{xy} \cdot \text{spessore}$)
Mx [kg*m]	Momento in direzione x locale per metro lineare
My [kg*m]	Momento in direzione y locale per metro lineare
Mxy [kg*m]	Momento torcente locale per metro lineare
Ax [mq]	Armatura totale pannello in direzione x locale ⁽¹⁾
Ay [mq]	Armatura totale pannello in direzione y locale ⁽¹⁾
ϵ_c	Deformazione nel cls ⁽²⁾
ϵ_f	Deformazione nell'acciaio ⁽²⁾
Massimi	Armature massime riscontrate nel muro
Massimo	massima sigma ideale riscontrata nel muro
$\sigma_{id+}, \sigma_{id-}$ [N/mm ²]	$(\sigma_x^2 + \sigma_y^2 - \sigma_x \cdot \sigma_y + 3 \cdot \tau_{xy}^2)^{1/2}$ Tensioni ideali ai lembi della lastra (Acciaio)
$\sigma_{id+}, \sigma_{id-}$ [kg/cm ²]	$(\sigma_x^2 + \sigma_y^2 - \sigma_x \cdot \sigma_y + 3 \cdot \tau_{xy}^2)^{1/2}$ Tensioni ideali ai lembi della lastra (Legno)
Fatt.Ampl.Sisma	Fattore moltiplicativo di gruppo per le azioni sismiche (solo se diverso da 1.0)
Cs	Coefficiente di sicurezza definito dal rapporto $ M_r(N) / M_d $ ($M_r(N)$ =Momento resistente corrispondente allo sforzo normale N, M_d =momento agente), quando richiesto dal criterio di verifica
ζ_s	Livello di sicurezza sismico definito come rapporto tra l'accelerazione sopportabile e l'accelerazione di progetto, quando richiesto dal criterio di verifica

Note Verifica muri:

⁽¹⁾: Le armature Ax ed Ay vanno intese come a metro lineare di pannello.

⁽²⁾:Le deformazioni sono stampate a meno del fattore 10^{-3} ; esse si riferiscono alla verifica considerando quali sollecitazioni di progetto $M_x, d=M_x \pm |M_{xy}|, M_y, d=M_y \pm |M_{xy}|$ scegliendo il segno in modo tale da rendere massimo in valore assoluto il relativo momento flettente, le sollecitazioni stampate si riferiscono alle sollecitazioni in una data combinazione riferite al sistema locale del pannello

**POTENZIAMENTO DELL'IMPIANTO DI DEPURAZIONE E
DEL RECAPITO FINALE DI SQUINZANO (LE)
PROGETTO DEFINITIVO
Tabulati di calcolo strutturale-Filtrazione**

R.37.9

Maggio 2021

Pagina 168 di
364

Muro : 1 - Nodi: [9-109-110-10], Pann.X=4, Pann.Y=4Spess.=25 cm, Terreno=--,Criterio=CLS_Muri_ND,
Materiale=C35/45, $\zeta_e=126.853$ [(9+10)-XI-1] : **Verificato**

Armatura a maglia doppia

Pannello	Nx	Ny	Nxy	Mx	My	Mxy	Ax	Ay	C	Cs
	kg	kg	kg	kg*m	kg*m	kg*m	cmq	cmq		
1	-797	-98	175	-151	-56	-49	20.11	20.11	5	36
2	-1338	-272	499	-227	-43	-97	20.11	20.11	5	22
3	-1728	-355	672	-345	-42	-106	20.11	20.11	5	16
4	-2056	-387	648	-462	-48	-98	20.11	20.11	5	13
5	-1255	-633	422	-79	-128	-69	20.11	20.11	1	36
6	-1404	-687	561	-113	-59	-133	20.11	20.11	5	29
7	-1663	-698	680	-165	-18	-148	20.11	20.11	5	23
8	-1867	-688	654	-223	2	-137	20.11	20.11	5	20
9	-1714	-1261	276	-39	-214	-75	20.11	20.11	2	25
10	-1767	-1153	710	-31	-86	-155	20.11	20.11	2	30
11	-1578	-1105	646	-42	-4	-174	20.11	20.11	5	33
12	-1695	-1048	632	-57	44	-163	20.11	20.11	5	33
13	-2079	-1749	201	-18	-305	-73	20.11	20.11	2	19
14	-1876	-1599	590	15	-120	-154	20.11	20.11	2	26
15	-1843	-1435	771	41	0	-178	20.11	20.11	2	33
16	-1860	-1294	828	57	76	-170	20.11	20.11	2	29
Massimi/minimi										
1							20.11			
1								20.11		
4										13

Muro : 2 - Nodi: [10-110-111-11], Pann.X=4, Pann.Y=4Spess.=25 cm, Terreno=--,Criterio=CLS_Muri_ND,
Materiale=C35/45, $\zeta_e=117.718$ [(9+10)-IV-1] : **Verificato**

Armatura a maglia doppia

Pannello	Nx	Ny	Nxy	Mx	My	Mxy	Ax	Ay	C	Cs
	kg	kg	kg	kg*m	kg*m	kg*m	cmq	cmq		
1	-2190	-418	508	-566	-55	-76	20.11	20.11	5	11
2	-2190	-449	378	-644	-62	-42	20.11	20.11	5	11
3	-2269	-464	271	-680	-66	-3	20.11	20.11	5	11
4	-2455	-467	70	-675	-67	33	20.11	20.11	5	10
5	-1976	-701	533	-280	12	-106	20.11	20.11	5	19
6	-2003	-736	399	-326	15	-60	20.11	20.11	5	19
7	-2058	-752	268	-350	14	-9	20.11	20.11	5	20
8	-2147	-741	58	-349	9	40	20.11	20.11	5	19
9	-2019	-902	876	-68	72	-132	20.11	20.11	2	35
10	-1803	-1020	410	-96	86	-74	20.11	20.11	5	43
11	-1837	-1025	265	-108	87	-14	20.11	20.11	5	59
12	-1870	-1038	69	-112	79	44	20.11	20.11	5	46
13	-1876	-1174	817	67	125	-137	20.11	20.11	2	28
14	-1874	-1077	775	71	151	-83	20.11	20.11	2	31
15	-1872	-998	720	70	156	-21	20.11	20.11	2	40
16	-2016	-755	931	69	144	46	20.11	20.11	1	38
Massimi/minimi										
1							20.11			
1								20.11		
4										10

Muro : 3 - Nodi: [11-111-112-12], Pann.X=4, Pann.Y=4Spess.=25 cm, Terreno=--,Criterio=CLS_Muri_ND,
Materiale=C35/45, $\zeta_e=109.029$ [(9+10)-II-4] : **Verificato**

Armatura a maglia doppia

Pannello	Nx	Ny	Nxy	Mx	My	Mxy	Ax	Ay	C	Cs
	kg	kg	kg	kg*m	kg*m	kg*m	cmq	cmq		
1	-2402	-492	-303	-617	-64	64	20.11	20.11	5	11
2	-2072	-532	-597	-515	-60	86	20.11	20.11	5	12
3	-1867	-563	-752	-406	-65	79	20.11	20.11	5	15
4	-2498	-625	-661	-380	-78	13	20.11	20.11	5	19
5	-2100	-788	-258	-322	-0	85	20.11	20.11	5	18
6	-1873	-932	-528	-274	-22	113	20.11	20.11	5	19

**POTENZIAMENTO DELL'IMPIANTO DI DEPURAZIONE E
DEL RECAPITO FINALE DI SQUINZANO (LE)
PROGETTO DEFINITIVO
Tabulati di calcolo strutturale-Filtrazione**

R.37.9

Maggio 2021

Pagina 169 di
364

Pannello	Nx	Ny	Nxy	Mx	My	Mxy	Ax	Ay	C	Cs
7	-1709	-1134	-628	-230	-71	101	20.11	20.11	5	22
8	-2110	-1126	-809	-227	-137	-1	20.11	20.11	5	32
9	-1816	-1118	-184	-108	56	97	20.11	20.11	5	35
10	-1657	-1302	-404	-100	7	128	20.11	20.11	5	32
11	-1571	-1512	-533	-100	-86	113	20.11	20.11	5	34
12	-1935	-573	1348	-91	-256	-4	20.11	20.11	1	27
13	-1949	-696	911	58	106	99	20.11	20.11	1	35
14	-1834	-677	967	39	26	127	20.11	20.11	1	44
15	-1786	-653	1128	7	-121	103	20.11	20.11	1	32
16	-1897	-578	1306	-42	-371	-11	20.11	20.11	1	19
Massimi/minimi										
1							20.11			
1								20.11		
1										11

Muro : 4 - Nodi: [12-112-113-13], Pann.X=4, Pann.Y=4Spess.=25 cm, Terreno=--,Criterio=CLS_Muri_ND,
Materiale=C35/45, $\zeta_e=100.088$ [(9+10)-X-3] : **Verificato**

Armatura a maglia doppia

Pannello	Nx	Ny	Nxy	Mx	My	Mxy	Ax	Ay	C	Cs
	kg	kg	kg	kg*m	kg*m	kg*m	cmq	cmq		
1	-3072	-381	-2835	-406	-85	13	20.11	20.11	5	18
2	-2845	-464	-2526	-422	-83	-15	20.11	20.11	5	17
3	-3551	-33	-2495	-466	-80	-27	20.11	20.11	5	15
4	-3421	447	-3654	-505	-78	-55	20.11	20.11	5	13
5	-2218	-147	1392	-173	-130	-92	20.11	20.11	1	28
6	-2554	-1115	-2695	-257	-111	-59	20.11	20.11	5	23
7	-2512	-1180	-2908	-276	-94	-84	20.11	20.11	5	20
8	-2628	-1054	-2844	-300	-79	-95	20.11	20.11	5	19
9	-2057	-189	1342	-92	-184	-116	20.11	20.11	1	24
10	-2145	-172	1342	-95	-150	-144	20.11	20.11	1	24
11	-2219	-147	1354	-101	-118	-163	20.11	20.11	1	25
12	-2129	-2219	-2740	-155	-86	-139	20.11	20.11	5	25
13	-1981	-265	1256	-37	-259	-122	20.11	20.11	1	19
14	-2071	-224	1282	-30	-206	-153	20.11	20.11	1	20
15	-2154	-175	1306	-25	-157	-175	20.11	20.11	1	21
16	-2244	-83	1333	-21	-115	-189	20.11	20.11	1	23
Massimi/minimi										
1							20.11			
1								20.11		
4										13

Muro : 5 - Nodi: [13-113-114-14], Pann.X=4, Pann.Y=4Spess.=25 cm, Terreno=--,Criterio=CLS_Muri_ND,
Materiale=C35/45, $\zeta_e=35.638$ [(9+10)-II-4] : **Verificato**

Armatura a maglia doppia

Pannello	Nx	Ny	Nxy	Mx	My	Mxy	Ax	Ay	C	Cs
	kg	kg	kg	kg*m	kg*m	kg*m	cmq	cmq		
1	-3320	-845	-3899	-708	-85	-50	20.11	20.11	5	9.7
2	-4400	-1257	-6087	-1038	-114	-1	20.11	20.11	5	7.2
3	-4726	-1949	-10040	-1181	-130	74	20.11	20.11	5	6.0
4	-4520	-3417	-16132	-1061	-114	157	20.11	20.11	5	6.2
5	-2701	-1679	-3728	-433	-43	-107	20.11	20.11	5	14
6	-3363	-2555	-5843	-645	-32	-42	20.11	20.11	5	11
7	-3220	-4388	-9492	-749	-38	69	20.11	20.11	5	9.0
8	-2416	-8441	-14924	-694	-30	189	20.11	20.11	5	8.3
9	-2204	-2459	-3484	-222	-9	-153	20.11	20.11	5	19
10	-2401	-3781	-5394	-342	44	-77	20.11	20.11	5	17
11	-1812	-6573	-8477	-415	48	61	20.11	20.11	5	15
12	-526	-12660	-12738	-419	47	206	20.11	20.11	5	11
13	-1711	-3152	-3171	-68	18	-177	20.11	20.11	5	30
14	-3354	496	1685	-51	122	-134	20.11	20.11	1	28
15	-718	-8332	-7141	-163	131	51	20.11	20.11	5	33
16	785	-15692	-9810	-215	116	199	20.11	20.11	5	17
Massimi/minimi										

**POTENZIAMENTO DELL'IMPIANTO DI DEPURAZIONE E
DEL RECAPITO FINALE DI SQUINZANO (LE)
PROGETTO DEFINITIVO
Tabulati di calcolo strutturale-Filtrazione**

R.37.9

Maggio 2021

Pagina 170 di
364

Pannello	Nx	Ny	Nxy	Mx	My	Mxy	Ax	Ay	C	Cs
1							20.11			
1								20.11		
3										6.0

Muro : 6 - Nodi: [9-19-119-109], Pann.X=4, Pann.Y=4Spess.=25 cm, Terreno=--,Criterio=CLS_Muri_ND,
Materiale=C35/45,ζ=161.566 [(9+10)-V-1] : **Verificato**

Armatura a maglia doppia

Pannello	Nx	Ny	Nxy	Mx	My	Mxy	Ax	Ay	C	Cs
	kg	kg	kg	kg*m	kg*m	kg*m	cmq	cmq		
1	-32	-748	408	-58	-143	-20	20.11	20.11		1 44
2	-553	-1029	502	-135	-64	-37	20.11	20.11		2 41
3	-1136	-1480	486	-217	-26	-41	20.11	20.11		2 28
4	-1675	-1896	432	-302	-8	-37	20.11	20.11		2 21
5	-235	-1474	872	-39	-206	-60	20.11	20.11		1 27
6	-579	-1613	948	-52	-86	-82	20.11	20.11		1 43
7	-1059	-1620	983	-75	-9	-94	20.11	20.11		2 42
8	-1540	-1742	892	-104	29	-88	20.11	20.11		2 38
9	-334	-1930	1137	-33	-287	-69	20.11	20.11		1 20
10	-605	-1920	1150	-7	-115	-93	20.11	20.11		1 35
11	-984	-1764	1177	9	-2	-109	20.11	20.11		2 61
12	-1392	-1734	1093	18	59	-105	20.11	20.11		2 44
13	-371	-2247	1178	-34	-362	-58	20.11	20.11		1 17
14	-589	-1987	1243	16	-141	-82	20.11	20.11		2 33
15	-918	-1866	1220	56	-3	-93	20.11	20.11		2 48
16	-1267	-1758	1154	89	79	-92	20.11	20.11		2 40
Massimi/minimi										
1							20.11			
1								20.11		
13										17

Muro : 7 - Nodi: [19-29-129-119], Pann.X=4, Pann.Y=4Spess.=25 cm, Terreno=--,Criterio=CLS_Muri_ND,
Materiale=C35/45,ζ=254.297 [(9+10)-V-1] : **Verificato**

Armatura a maglia doppia

Pannello	Nx	Ny	Nxy	Mx	My	Mxy	Ax	Ay	C	Cs
	kg	kg	kg	kg*m	kg*m	kg*m	cmq	cmq		
1	-371	-2170	1180	-35	-406	-34	20.11	20.11		2 17
2	-597	-2032	1196	26	-166	-42	20.11	20.11		2 35
3	-868	-1891	1190	80	-8	-47	20.11	20.11		2 56
4	-1154	-1758	1149	127	88	-49	20.11	20.11		2 41
5	-348	-1916	1193	-36	-402	12	20.11	20.11		5 18
6	-605	-2060	1081	22	-170	19	20.11	20.11		1 38
7	-793	-1687	1177	72	-15	20	20.11	20.11		5 77
8	-1068	-1818	1047	115	80	17	20.11	20.11		1 54
9	-332	-1855	1181	-38	-331	37	20.11	20.11		5 20
10	-564	-1734	1200	-10	-147	54	20.11	20.11		5 36
11	-764	-1645	1195	12	-24	59	20.11	20.11		5 87
12	-1009	-1754	1068	28	52	54	20.11	20.11		1 69
13	-345	-1879	1236	-58	-281	3	20.11	20.11		5 26
14	-558	-1717	1226	-88	-140	5	20.11	20.11		5 50
15	-761	-1602	1253	-128	-51	3	20.11	20.11		5 55
16	-934	-1539	1273	-176	1	-6	20.11	20.11		5 40
Massimi/minimi										
1							20.11			
1								20.11		
1										17

Muro : 8 - Nodi: [29-129-130-30], Pann.X=4, Pann.Y=4Spess.=25 cm, Terreno=--,Criterio=CLS_Muri_ND,
Materiale=C35/45,ζ=135.287 [(9+10)-X-1] : **Verificato**

**POTENZIAMENTO DELL'IMPIANTO DI DEPURAZIONE E
DEL RECAPITO FINALE DI SQUINZANO (LE)
PROGETTO DEFINITIVO
Tabulati di calcolo strutturale-Filtrazione**

R.37.9

Maggio 2021

Pagina 171 di
364

Armatura a maglia doppia

Pannello	Nx kg	Ny kg	Nxy kg	Mx kg*m	My kg*m	Mxy kg*m	Ax cmq	Ay cmq	C	Cs
1	-328	106	445	38	-4	5	20.11	20.11	(9+10)-V-4	>100
2	-1520	6	560	34	0	-6	20.11	20.11	(9+10)-V-4	>100
3	-2610	-89	548	27	0	-12	20.11	20.11	(9+10)-V-4	>100
4	-3160	-180	199	21	-0	-21	20.11	20.11	(9+10)-V-4	>100
5	443	-555	2510	-4	-16	16	20.11	20.11	2	>100
6	-1165	-534	3468	-4	-16	14	20.11	20.11	2	>100
7	-2363	253	557	15	-8	-14	20.11	20.11	(9+10)-V-4	>100
8	-2921	139	373	13	-7	-22	20.11	20.11	(9+10)-V-4	>100
9	-737	-1737	2487	-5	-29	17	20.11	20.11	2	>100
10	-1388	-1542	3392	-5	-28	16	20.11	20.11	2	>100
11	-2073	414	689	4	-19	-13	20.11	20.11	(9+10)-V-2	>100
12	-2694	307	483	5	-13	-23	20.11	20.11	(9+10)-V-4	>100
13	-1679	-2805	2403	-6	-45	18	20.11	20.11	2	>100
14	-1639	-2518	3165	-6	-41	16	20.11	20.11	2	>100
15	-1923	474	750	-2	-29	-13	20.11	20.11	(9+10)-V-2	>100
16	-2491	389	573	-0	-21	-24	20.11	20.11	(9+10)-V-4	>100
Massimi/minimi										
1							20.11			
1								20.11		
13										>100

Muro : 9 - Nodi: [31-131-132-32], Pann.X=4, Pann.Y=4Spess.=25 cm, Terreno=--,Criterio=CLS_Muri_ND,
Materiale=C35/45, $\zeta_e=117.114$ [(9+10)-V-4] : **Verificato**

Armatura a maglia doppia

Pannello	Nx kg	Ny kg	Nxy kg	Mx kg*m	My kg*m	Mxy kg*m	Ax cmq	Ay cmq	C	Cs
1	-3571	-480	-462	-39	-5	-29	20.11	20.11	(9+10)-II-4	>100
2	-3043	-582	-784	-39	-4	-30	20.11	20.11	(9+10)-II-4	>100
3	-3757	-1577	1213	-42	-4	-15	20.11	20.11	5	>100
4	-7995	-2513	1567	-44	-1	-7	20.11	20.11	6	>100
5	-3367	-494	-436	-27	-3	-32	20.11	20.11	(9+10)-II-4	>100
6	-2990	-787	-562	-26	-0	-26	20.11	20.11	(9+10)-II-4	>100
7	-3943	-2853	1988	-27	2	-15	20.11	20.11	5	>100
8	-7791	-2744	1360	-23	8	-4	20.11	20.11	6	>100
9	-3210	-512	-298	-18	5	-32	20.11	20.11	(9+10)-II-4	>100
10	-3037	-864	-305	-7	14	-26	20.11	20.11	(9+10)-V-4	>100
11	-3210	-1241	30	-4	25	-13	20.11	20.11	(9+10)-V-4	>100
12	-4489	-1221	181	1	36	0	20.11	20.11	(9+10)-V-4	>100
13	-3162	-489	-141	-5	11	-35	20.11	20.11	(9+10)-V-4	>100
14	-3045	-786	-94	-3	22	-26	20.11	20.11	(9+10)-V-4	>100
15	-3340	-995	116	-1	36	-12	20.11	20.11	(9+10)-V-4	>100
16	-4185	-923	94	3	50	0	20.11	20.11	(9+10)-V-4	>100
Massimi/minimi										
1							20.11			
1								20.11		
2										>100

Muro : 10 - Nodi: [22-122-132-32], Pann.X=4, Pann.Y=4Spess.=25 cm, Terreno=--,Criterio=CLS_Muri_ND,
Materiale=C35/45, $\zeta_e=182.201$ [(9+10)-X-3] : **Verificato**

Armatura a maglia doppia

Pannello	Nx kg	Ny kg	Nxy kg	Mx kg*m	My kg*m	Mxy kg*m	Ax cmq	Ay cmq	C	Cs
1	-5349	-227	1325	137	19	-36	20.11	20.11	7	44
2	-6483	-831	2051	245	37	2	20.11	20.11	5	31
3	-6936	-884	1159	384	55	21	20.11	20.11	5	19
4	-6133	-885	-104	507	47	35	20.11	20.11	5	14
5	-5026	560	1438	105	17	-30	20.11	20.11	7	56
6	-5954	-856	2094	187	42	31	20.11	20.11	5	35
7	-6399	-871	1114	252	48	46	20.11	20.11	5	26
8	-5824	-1269	339	272	-14	39	20.11	20.11	5	24
9	-4598	-1007	2957	96	40	33	20.11	20.11	5	59

**POTENZIAMENTO DELL'IMPIANTO DI DEPURAZIONE E
DEL RECAPITO FINALE DI SQUINZANO (LE)
PROGETTO DEFINITIVO
Tabulati di calcolo strutturale-Filtrazione**

R.37.9

Maggio 2021

Pagina 172 di
364

Pannello	Nx	Ny	Nxy	Mx	My	Mxy	Ax	Ay	C	Cs
10	-5397	-1040	2120	131	44	51	20.11	20.11	5	42
11	-5761	-1120	1201	148	36	54	20.11	20.11	5	38
12	-5581	-1394	534	133	-59	34	20.11	20.11	5	45
13	-4090	-1419	2938	74	50	44	20.11	20.11	5	63
14	-4831	-1342	2128	85	44	58	20.11	20.11	5	53
15	-5186	-1381	1281	77	18	49	20.11	20.11	5	60
16	-4165	-1730	244	42	-89	33	20.11	20.11	2	59
Massimi/minimi										
1							20.11			
1								20.11		
4										14

Muro : 11 - Nodi: [12-112-122-22], Pann.X=4, Pann.Y=4Spess.=25 cm, Terreno=--,Criterio=CLS_Muri_ND,
Materiale=C35/45, $\zeta_e=166.913$ [(9+10)-V-3] : **Verificato**

Armatura a maglia doppia

Pannello	Nx	Ny	Nxy	Mx	My	Mxy	Ax	Ay	C	Cs
	kg	kg	kg	kg*m	kg*m	kg*m	cmq	cmq		
1	958	293	646	136	-8	-2	20.11	20.11	4	51
2	-1334	135	871	146	12	-23	20.11	20.11	4	43
3	-2836	5	836	144	17	-27	20.11	20.11	4	43
4	-3857	-104	737	136	18	-27	20.11	20.11	4	46
5	2590	-105	2593	39	-0	-83	20.11	20.11	5	56
6	-1400	-487	2143	59	37	-53	20.11	20.11	1	64
7	-2668	649	938	90	6	-25	20.11	20.11	4	64
8	-3618	550	817	95	14	-27	20.11	20.11	4	61
9	1194	-1244	2548	43	30	-98	20.11	20.11	5	49
10	-1631	-1461	2105	40	61	-48	20.11	20.11	1	66
11	-2584	-1373	2313	52	60	-21	20.11	20.11	1	89
12	-3396	1022	896	59	8	-24	20.11	20.11	4	90
13	-15	-2388	2453	43	71	-104	20.11	20.11	5	42
14	-1918	-2472	1924	29	89	-40	20.11	20.11	1	56
15	-2476	-2204	2198	41	82	-11	20.11	20.11	1	78
16	-2996	-1894	2465	54	68	20	20.11	20.11	2	82
Massimi/minimi										
1							20.11			
1								20.11		
13										42

Muro : 12 - Nodi: [125-25-15-115], Pann.X=4, Pann.Y=4Spess.=25 cm, Terreno=--,Criterio=CLS_Muri_ND,
Materiale=C35/45, $\zeta_e=7.704$ [(9+10)-XI-3] : **Verificato**

Armatura a maglia doppia

Pannello	Nx	Ny	Nxy	Mx	My	Mxy	Ax	Ay	C	Cs
	kg	kg	kg	kg*m	kg*m	kg*m	cmq	cmq		
1	-41369	-4704	-12525	3525	355	-103	20.11	20.11	6	3.0
2	-19655	-2586	-10232	3364	504	-51	20.11	20.11	6	2.6
3	-9344	-2157	-10442	3332	502	71	20.11	20.11	6	2.3
4	10570	-388	-14476	3371	339	194	20.11	20.11	5	1.7
5	-35288	4388	-5453	1130	-19	90	20.11	20.11	6	8.4
6	-19564	-2554	-10293	1334	322	22	20.11	20.11	6	6.5
7	-8689	-2713	-11249	1334	332	-13	20.11	20.11	6	5.9
8	2252	-6546	-7787	1133	-18	-10	20.11	20.11	6	6.0
9	-29595	3600	-2683	-487	-153	152	20.11	20.11	5	15
10	-17699	-1196	-8293	-471	28	83	20.11	20.11	5	16
11	-8479	-4219	-11009	-426	53	-56	20.11	20.11	5	16
12	-3395	-5225	-6603	-327	-145	-49	20.11	20.11	6	20
13	-26335	374	439	-2407	-320	75	20.11	20.11	5	3.8
14	-14415	-911	-6302	-2222	-261	78	20.11	20.11	5	3.7
15	-7649	-2464	-8404	-2122	-235	-7	20.11	20.11	6	3.7
16	-8356	-3595	-8355	-1949	-270	123	20.11	20.11	5	3.8
Massimi/minimi										
1							20.11			
1								20.11		
4										1.7

Muro : 13 - Nodi: [114-115-15-14], Pann.X=4, Pann.Y=4Spess.=25 cm, Terreno=--,Criterio=CLS_Muri_ND,
Materiale=C35/45, $\zeta_e=9.215$ [(9+10)-I-4] : **Verificato**

Armatura a maglia doppia

Pannello	Nx	Ny	Nxy	Mx	My	Mxy	Ax	Ay	C	Cs
	kg	kg	kg	kg*m	kg*m	kg*m	cmq	cmq		
1	-25365	1833	11372	68	-280	-274	20.11	20.11	5	12
2	-20465	331	16536	28	-406	-295	20.11	20.11	5	10
3	-13368	-2296	20327	-22	-573	-267	20.11	20.11	5	8.7
4	-5402	-5059	22044	-85	-823	-205	20.11	20.11	5	7.3
5	-34550	1944	11611	-22	-373	-280	20.11	20.11	5	11
6	-27822	-199	19495	-31	-414	-318	20.11	20.11	5	9.7
7	-17545	-2746	24496	-49	-460	-291	20.11	20.11	5	9.8
8	-6330	-4652	25783	-68	-549	-205	20.11	20.11	5	10.0
9	-47937	-3316	11372	-234	-501	-271	20.11	20.11	5	9.6
10	-38997	-4694	23953	-208	-437	-325	20.11	20.11	5	9.9
11	-19457	-4671	25890	-157	-338	-272	20.11	20.11	5	12
12	877	-469	-3487	-75	-376	-116	20.11	20.11	1	14
13	60503	26368	-16322	-310	-686	62	20.11	20.11	3	3.7
14	-37692	-20266	16133	-519	-488	-282	20.11	20.11	5	12
15	-20700	-6920	14581	-274	-270	-247	20.11	20.11	5	15
16	-75	2731	2829	-2	368	-105	20.11	20.11	(9+10)-XI-3	14
Massimi/minimi										
1							20.11			
1								20.11		
13										3.7

Muro [Platea]: 14 - Nodi: [25-24-14-15]Pann=9Spess.=35 cm, Terreno=terreno 1, ,Criterio=CLS_Platee_ND,
Materiale=C35/45, $\zeta_e=24.685$ [(9+10)-XI-2] : **Verificato**

Armatura a maglia doppia

Pannello	Nx	Ny	Nxy	Mx	My	Mxy	Ax	Ay	C	Cs
	kg	kg	kg	kg*m	kg*m	kg*m	cmq	cmq		
1	9802	1090	-910	-1346	-491	99	25.45	25.45	6	8.4
2	9573	1598	-3092	-675	80	111	25.45	25.45	6	16
3	-6198	-3207	782	338	250	-39	25.45	25.45	4	38
4	-7752	-1095	85	371	14	-40	25.45	25.45	3	36
5	10899	1279	38	-502	-370	327	25.45	25.45	6	15
6	14041	1942	1056	-935	-203	475	25.45	25.45	6	8.2
7	15441	-3874	265	-1332	367	213	25.45	25.45	5	7.4
8	10620	-208	-330	-1591	-189	36	25.45	25.45	6	7.4
9	9897	1133	531	-870	-290	472	25.45	25.45	6	9.1
Massimi/minimi										
1							25.45			
1								25.45		
7										7.4

Muro [Platea]: 15 - Nodi: [34-33-23-24]Pann=9Spess.=35 cm, Terreno=terreno 1, ,Criterio=CLS_Platee_ND,
Materiale=C35/45, $\zeta_e=130.556$ [(9+10)-XI-2] : **Verificato**

Armatura a maglia doppia

Pannello	Nx	Ny	Nxy	Mx	My	Mxy	Ax	Ay	C	Cs
	kg	kg	kg	kg*m	kg*m	kg*m	cmq	cmq		
1	-3514	-7417	1544	221	-21	-251	25.45	25.45	6	30
2	-2533	-8133	1734	290	385	-170	25.45	25.45	6	26
3	-4394	-9135	1282	387	769	-20	25.45	25.45	6	19
4	-3784	-4962	1420	247	550	-86	25.45	25.45	6	22
5	-3656	-3593	2558	12	235	-112	25.45	25.45	6	41
6	-2559	-3022	1724	-235	75	-219	25.45	25.45	5	31
7	-1292	-2933	1618	-125	-42	-272	25.45	25.45	5	35
8	-2593	-4916	1052	98	-196	-329	25.45	25.45	5	27

**POTENZIAMENTO DELL'IMPIANTO DI DEPURAZIONE E
DEL RECAPITO FINALE DI SQUINZANO (LE)
PROGETTO DEFINITIVO
Tabulati di calcolo strutturale-Filtrazione**

R.37.9

Maggio 2021

Pagina 174 di
364

Pannello	Nx	Ny	Nxy	Mx	My	Mxy	Ax	Ay	C	Cs
9	-3773	-5130	1637	175	206	-277	25.45	25.45		29
Massimi/minimi										
1							25.45			
1								25.45		
3										19

Muro [Platea]: 16 - Nodi: [24-23-13-14]Pann=8Spess.=35 cm, Terreno=terreno 1, ,Criterio=CLS_Platee_ND,
Materiale=C35/45, $\zeta_e=46.445$ [(9+10)-I-1] : **Verificato**

Armatura a maglia doppia

Pannello	Nx	Ny	Nxy	Mx	My	Mxy	Ax	Ay	C	Cs
	kg	kg	kg	kg*m	kg*m	kg*m	cmq	cmq		
1	-1186	295	1556	-12	393	-45	25.45	25.45	6	31
2	1129	2790	2228	-218	-619	3	25.45	25.45	5	21
3	-1408	1409	2043	243	636	-253	25.45	25.45	6	15
4	-476	2477	2168	-30	-881	-109	25.45	25.45	5	13
5	-1153	989	2898	187	532	-283	25.45	25.45	6	16
6	-311	2118	2116	-29	-729	-172	25.45	25.45	5	15
7	-155	271	2869	60	263	-302	25.45	25.45	6	24
8	830	1940	1524	-52	-394	-219	25.45	25.45	5	22
Massimi/minimi										
1							25.45			
1								25.45		
4										13

Muro [Platea]: 17 - Nodi: [33-32-22-23]Pann=8Spess.=35 cm, Terreno=terreno 1, ,Criterio=CLS_Platee_ND,
Materiale=C35/45, $\zeta_e=281.760$ [(9+10)-XI-1] : **Verificato**

Armatura a maglia doppia

Pannello	Nx	Ny	Nxy	Mx	My	Mxy	Ax	Ay	C	Cs
	kg	kg	kg	kg*m	kg*m	kg*m	cmq	cmq		
1	3037	-2455	-83	-2	148	20	25.45	25.45	7	83
2	3369	-2972	2081	79	235	-156	25.45	25.45	6	36
3	1917	-1870	2570	98	135	-156	25.45	25.45	6	47
4	1212	-2458	1652	39	158	-121	25.45	25.45	7	50
5	5517	-1377	383	-553	41	15	25.45	25.45	5	23
6	3947	-1821	1628	-502	87	-97	25.45	25.45	5	22
7	2427	-1347	2023	-350	47	-135	25.45	25.45	5	27
8	1653	-1416	2469	-218	70	-170	25.45	25.45	6	34
Massimi/minimi										
1							25.45			
1								25.45		
6										22

Muro [Platea]: 18 - Nodi: [23-22-12-13]Pann=8Spess.=35 cm, Terreno=terreno 1, ,Criterio=CLS_Platee_ND,
Materiale=C35/45, $\zeta_e=98.955$ [(9+10)-IV-1] : **Verificato**

Armatura a maglia doppia

Pannello	Nx	Ny	Nxy	Mx	My	Mxy	Ax	Ay	C	Cs
	kg	kg	kg	kg*m	kg*m	kg*m	cmq	cmq		
1	1626	1539	2510	-172	-118	-127	25.45	25.45	6	45
2	1161	2126	2491	-63	-134	-113	25.45	25.45	5	54
3	931	-2059	2290	-22	139	-115	25.45	25.45	7	54
4	1855	-246	2438	-112	47	-167	25.45	25.45	5	48
5	1322	1276	1922	-84	-72	-168	25.45	25.45	5	53
6	1530	1932	1641	-29	-98	-160	25.45	25.45	5	51
7	1702	3255	1584	-80	-208	-120	25.45	25.45	5	40
8	2172	2931	1651	-126	-235	-82	25.45	25.45	5	42
Massimi/minimi										
1							25.45			
1								25.45		

**POTENZIAMENTO DELL'IMPIANTO DI DEPURAZIONE E
DEL RECAPITO FINALE DI SQUINZANO (LE)
PROGETTO DEFINITIVO
Tabulati di calcolo strutturale-Filtrazione**

R.37.9

Maggio 2021

Pagina 175 di
364

Pannello	Nx	Ny	Nxy	Mx	My	Mxy	Ax	Ay	C	Cs
7										40

Muro [Platea]: 19 - Nodi: [32-31-21-22]Pann=16Spess.=35 cm, Terreno=terreno 1, ,Criterio=CLS_Platee_ND,
Materiale=C35/45,ζ=216.657 [(9+10)-I-1] : **Verificato**

Armatura a maglia doppia

Pannello	Nx	Ny	Nxy	Mx	My	Mxy	Ax	Ay	C	Cs
	kg	kg	kg	kg*m	kg*m	kg*m	cmq	cmq		
1	6644	-1057	-725	-594	-67	-80	25.45	25.45	5	19
2	4962	-1103	488	-658	38	-138	25.45	25.45	5	16
3	3592	-1255	1507	-572	64	-152	25.45	25.45	6	18
4	3440	-828	2236	-380	75	-87	25.45	25.45	6	28
5	4969	-1101	-1126	-351	-169	-67	25.45	25.45	5	31
6	3926	-1161	522	-275	89	-66	25.45	25.45	6	38
7	3008	-843	1187	-197	142	-71	25.45	25.45	6	49
8	1613	-840	317	-91	155	94	25.45	25.45	(9+10)-V-2	55
9	3065	-776	-944	-134	-186	-55	25.45	25.45	6	57
10	2071	-1387	8	11	108	-21	25.45	25.45	7	>100
11	1565	-1580	602	56	216	-16	25.45	25.45	7	59
12	747	-1468	1173	41	235	52	25.45	25.45	7	48
13	1019	680	-753	47	-144	55	25.45	25.45	3	68
14	1426	-505	-193	161	70	100	25.45	25.45	3	51
15	1310	-1185	-13	182	153	77	25.45	25.45	3	52
16	212	-1796	297	120	183	56	25.45	25.45	4	58
Massimi/minimi										
1							25.45			
1								25.45		
2										16

Muro [Platea]: 20 - Nodi: [31-30-20-21]Pann=16Spess.=35 cm, Terreno=terreno 1, ,Criterio=CLS_Platee_ND,
Materiale=C35/45,ζ=277.875 [(9+10)-V-3] : **Verificato**

Armatura a maglia doppia

Pannello	Nx	Ny	Nxy	Mx	My	Mxy	Ax	Ay	C	Cs
	kg	kg	kg	kg*m	kg*m	kg*m	cmq	cmq		
1	-413	237	-959	-33	-155	-27	25.45	25.45	7	74
2	-686	-1089	-1027	-27	72	-71	25.45	25.45	7	96
3	-809	-1977	-503	1	170	-64	25.45	25.45	7	59
4	-874	-2236	112	32	185	-31	25.45	25.45	7	64
5	-461	-43	-1058	-0	-243	32	25.45	25.45	3	49
6	-448	-626	-1215	35	60	67	25.45	25.45	(9+10)-V-2	>100
7	-670	-1056	-1050	56	155	56	25.45	25.45	(9+10)-V-2	65
8	-1352	-1602	-140	98	215	18	25.45	25.45	4	59
9	-965	-179	-608	42	-251	32	25.45	25.45	4	48
10	-568	-577	-972	67	59	82	25.45	25.45	(9+10)-V-2	92
11	-1381	-1132	-122	128	189	34	25.45	25.45	4	61
12	-1559	-1485	26	124	207	17	25.45	25.45	4	61
13	-1198	573	-181	71	-158	75	25.45	25.45	4	58
14	-1292	-553	223	106	52	115	25.45	25.45	4	62
15	-1463	-1352	247	115	138	78	25.45	25.45	4	63
16	-1587	-1679	171	107	152	23	25.45	25.45	4	79
Massimi/minimi										
1							25.45			
1								25.45		
9										48

Muro [Platea]: 21 - Nodi: [30-29-19-20]Pann=16Spess.=35 cm, Terreno=terreno 1, ,Criterio=CLS_Platee_ND,
Materiale=C35/45,ζ=86.031 [(9+10)-XI-2] : **Verificato**

Armatura a maglia doppia

**POTENZIAMENTO DELL'IMPIANTO DI DEPURAZIONE E
DEL RECAPITO FINALE DI SQUINZANO (LE)
PROGETTO DEFINITIVO
Tabulati di calcolo strutturale-Filtrazione**

R.37.9

Maggio 2021

Pagina 176 di
364

Pannello	Nx	Ny	Nxy	Mx	My	Mxy	Ax	Ay	C	Cs
	kg	kg	kg	kg*m	kg*m	kg*m	cmq	cmq		
1	-566	967	-1013	84	-108	40	25.45	25.45		3 91
2	-724	-513	-774	182	60	-35	25.45	25.45		7 63
3	-623	-1288	-428	221	129	-36	25.45	25.45		7 53
4	-932	-1574	44	161	138	-51	25.45	25.45		7 65
5	-936	310	-196	83	-156	57	25.45	25.45		4 64
6	-829	-272	-463	134	51	58	25.45	25.45		4 71
7	-836	-860	-350	152	119	29	25.45	25.45		4 76
8	-952	-1114	-30	115	141	-63	25.45	25.45		7 67
9	-679	27	-32	21	-110	72	25.45	25.45		4 74
10	1330	300	-324	-108	-4	65	25.45	25.45		2 77
11	1506	137	-366	-127	1	41	25.45	25.45		2 79
12	-740	-906	-28	38	114	-63	25.45	25.45		7 77
13	1643	190	-138	-213	-16	42	25.45	25.45		1 52
14	1370	200	-138	-328	-42	7	25.45	25.45		1 40
15	1618	261	-242	-390	-47	-3	25.45	25.45		1 34
16	2094	233	-458	-295	-51	-25	25.45	25.45		1 41
Massimi/minimi										
1							25.45			
1								25.45		
15										34

Muro [Platea]: 22 - Nodi: [22-21-11-12]Pann=16Spess.=35 cm, Terreno=terreno 1, ,Criterio=CLS_Platee_ND,
Materiale=C35/45,ζ=209.956 [(9+10)-XI-2] : **Verificato**

Armatura a maglia doppia

Pannello	Nx	Ny	Nxy	Mx	My	Mxy	Ax	Ay	C	Cs
	kg	kg	kg	kg*m	kg*m	kg*m	cmq	cmq		
1	2882	-273	1728	-259	51	-133	25.45	25.45		6 34
2	1444	400	2015	-254	2	-65	25.45	25.45		6 42
3	372	1127	1965	-167	-74	-41	25.45	25.45		6 65
4	-3	2136	1019	-61	-232	6	25.45	25.45		5 56
5	1772	45	707	-85	123	-119	25.45	25.45		6 56
6	786	-872	-145	-49	112	52	25.45	25.45		4 83
7	921	-193	-123	-64	10	80	25.45	25.45		3 93
8	707	1671	915	-86	-313	23	25.45	25.45		5 40
9	288	-1327	-291	31	209	-68	25.45	25.45		7 50
10	346	-1100	-458	39	140	49	25.45	25.45		4 72
11	1193	1638	238	-27	-116	30	25.45	25.45		2 91
12	942	2060	650	-70	-395	27	25.45	25.45		5 31
13	-88	-1792	-202	87	188	-49	25.45	25.45		7 58
14	229	-1523	-332	132	150	-38	25.45	25.45		7 73
15	979	2183	-200	36	-130	-82	25.45	25.45		5 63
16	880	3121	49	-25	-340	-30	25.45	25.45		5 36
Massimi/minimi										
1							25.45			
1								25.45		
12										31

Muro [Platea]: 23 - Nodi: [21-20-10-11]Pann=16Spess.=35 cm, Terreno=terreno 1, ,Criterio=CLS_Platee_ND,
Materiale=C35/45,ζ=83.335 [(9+10)-I-1] : **Verificato**

Armatura a maglia doppia

Pannello	Nx	Ny	Nxy	Mx	My	Mxy	Ax	Ay	C	Cs
	kg	kg	kg	kg*m	kg*m	kg*m	cmq	cmq		
1	-942	-1802	-109	44	181	26	25.45	25.45		4 67
2	-925	-1652	153	21	141	64	25.45	25.45		4 67
3	401	2325	644	-26	-156	94	25.45	25.45		2 53
4	548	3332	603	-68	-381	35	25.45	25.45		5 31
5	-1217	-1453	257	93	251	-30	25.45	25.45		7 49
6	-1071	-1430	389	73	183	-22	25.45	25.45		7 67
7	434	2242	-75	-12	-182	18	25.45	25.45		2 66
8	685	2638	191	-76	-508	2	25.45	25.45		5 26
9	-1385	-1327	326	114	242	-39	25.45	25.45		7 49
10	-1119	-1353	384	102	178	-47	25.45	25.45		7 61

**POTENZIAMENTO DELL'IMPIANTO DI DEPURAZIONE E
DEL RECAPITO FINALE DI SQUINZANO (LE)
PROGETTO DEFINITIVO
Tabulati di calcolo strutturale-Filtrazione**

R.37.9

Maggio 2021

Pagina 177 di
364

Pannello	Nx	Ny	Nxy	Mx	My	Mxy	Ax	Ay	C	Cs
11	411	2178	-129	-13	-179	-14	25.45	25.45	5	69
12	621	2427	-250	-74	-491	-3	25.45	25.45	1	27
13	-1395	-1550	394	100	169	-56	25.45	25.45	7	61
14	-1116	-1446	301	98	134	-96	25.45	25.45	7	60
15	337	2068	-745	-32	-142	-82	25.45	25.45	5	59
16	464	2785	-575	-63	-339	-34	25.45	25.45	1	35
Massimi/minimi										
1							25.45			
1								25.45		
8										26

Muro [Platea]: 24 - Nodi: [20-19-9-10]Pann=16Spess.=35 cm, Terreno=terreno 1, ,Criterio=CLS_Platee_ND,
Materiale=C35/45, $\zeta_s=246.538$ [(9+10)-VIII-4] : **Verificato**

Armatura a maglia doppia

Pannello	Nx	Ny	Nxy	Mx	My	Mxy	Ax	Ay	C	Cs
	kg	kg	kg	kg*m	kg*m	kg*m	cmq	cmq		
1	-626	-1063	-7	99	114	42	25.45	25.45	(9+10)-V-2	88
2	-702	-1326	1116	144	111	-32	25.45	25.45	7	78
3	888	1788	195	33	-98	69	25.45	25.45	2	80
4	703	2599	-8	-17	-249	33	25.45	25.45	2	47
5	-546	-696	165	69	127	43	25.45	25.45	(9+10)-V-2	80
6	-685	-1047	872	100	103	-81	25.45	25.45	7	75
7	-504	-756	716	79	54	-99	25.45	25.45	7	77
8	774	1575	-273	-48	-273	-26	25.45	25.45	1	45
9	1571	869	114	-82	57	53	25.45	25.45	2	99
10	-509	-847	651	29	76	-87	25.45	25.45	7	84
11	-344	-624	487	24	40	-100	25.45	25.45	7	98
12	823	1025	-338	-72	-197	-41	25.45	25.45	1	56
13	2248	597	23	-225	-4	17	25.45	25.45	1	55
14	1438	708	-292	-252	-44	-37	25.45	25.45	1	46
15	1048	786	-341	-189	-71	-48	25.45	25.45	1	57
16	691	778	-241	-95	-108	-39	25.45	25.45	2	91
Massimi/minimi										
1							25.45			
1								25.45		
8										45

Muro [Platea]: 25 - Nodi: [40-39-29-30]Pann=8Spess.=35 cm, Terreno=terreno 1, ,Criterio=CLS_Platee_ND,
Materiale=C35/45, $\zeta_s=109.653$ [(9+10)-XI-4] : **Verificato**

Armatura a maglia doppia

Pannello	Nx	Ny	Nxy	Mx	My	Mxy	Ax	Ay	C	Cs
	kg	kg	kg	kg*m	kg*m	kg*m	cmq	cmq		
1	1720	-118	-191	-54	-25	-34	25.45	25.45	5	>100
2	-1118	-111	42	196	4	17	25.45	25.45	4	64
3	-1414	-1643	-263	210	164	64	25.45	25.45	4	50
4	2822	-139	-61	-250	32	19	25.45	25.45	5	49
5	1928	-174	-467	-415	-20	-25	25.45	25.45	5	30
6	1561	-38	-416	-384	-34	-23	25.45	25.45	5	33
7	1777	-70	-240	-255	-39	-39	25.45	25.45	5	45
8	1742	-71	-352	-129	-51	-44	25.45	25.45	5	77
Massimi/minimi										
1							25.45			
1								25.45		
5										30

Muro [Platea]: 26 - Nodi: [41-40-30-31]Pann=8Spess.=35 cm, Terreno=terreno 1, ,Criterio=CLS_Platee_ND,
Materiale=C35/45, $\zeta_s=308.043$ [(9+10)-I-1] : **Verificato**

Armatura a maglia doppia

Pannello	Nx	Ny	Nxy	Mx	My	Mxy	Ax	Ay	C	Cs
	kg	kg	kg	kg*m	kg*m	kg*m	cmq	cmq		
1	-1526	-2918	-832	51	239	132	25.45	25.45		7 38
2	-723	-339	-455	-19	-51	110	25.45	25.45		3 85
3	-2038	-2165	-1108	146	289	68	25.45	25.45		7 39
4	-745	-808	-689	37	-91	66	25.45	25.45		3 87
5	-2294	-1978	-1238	183	278	43	25.45	25.45		7 43
6	-939	-775	-845	67	-88	37	25.45	25.45		3 >100
7	-2315	-2293	-1439	155	206	-4	25.45	25.45		7 66
8	-1572	-547	-833	96	-38	-39	25.45	25.45		7 >100
Massimi/minimi										
1							25.45			
1								25.45		
1										38

Muro [Platea]: 27 - Nodi: [43-42-33-34]Pann=4Spess.=35 cm, Terreno=terreno 1, ,Criterio=CLS_Platee_ND,
Materiale=C35/45, $\zeta_e=155.839$ [(9+10)-XI-1] : **Verificato**

Armatura a maglia doppia

Pannello	Nx	Ny	Nxy	Mx	My	Mxy	Ax	Ay	C	Cs
	kg	kg	kg	kg*m	kg*m	kg*m	cmq	cmq		
1	-4630	-5912	-3087	379	149	304	25.45	25.45		5 21
2	-5362	-8921	-3484	437	735	195	25.45	25.45		6 16
3	-3558	-3948	-2145	64	138	261	25.45	25.45		6 35
4	-3623	-5197	-2101	126	402	107	25.45	25.45		6 28
Massimi/minimi										
1							25.45			
1								25.45		
2										16

Muro [Platea]: 28 - Nodi: [54-53-43-44]Pann=8Spess.=35 cm, Terreno=terreno 1, ,Criterio=CLS_Platee_ND,
Materiale=C35/45, $\zeta_e=27.942$ [(9+10)-XI-1] : **Verificato**

Armatura a maglia doppia

Pannello	Nx	Ny	Nxy	Mx	My	Mxy	Ax	Ay	C	Cs
	kg	kg	kg	kg*m	kg*m	kg*m	cmq	cmq		
1	11853	8088	3272	-809	-435	-626	25.45	25.45		5 8.3
2	9868	7821	2781	156	-310	-369	25.45	25.45		5 18
3	-270	2433	3029	349	-159	-146	25.45	25.45		7 27
4	11561	12548	5388	-960	-764	-330	25.45	25.45		5 9.3
5	10009	9730	3488	-1790	-984	-405	25.45	25.45		5 5.5
6	11855	9353	3500	-1530	-848	-92	25.45	25.45		5 7.3
7	14291	8031	1472	-939	-127	-92	25.45	25.45		5 11
8	13682	9681	2179	-1170	-249	-476	25.45	25.45		5 7.1
Massimi/minimi										
1							25.45			
1								25.45		
5										5.5

Muro [Platea]: 29 - Nodi: [53-51-42-43]Pann=8Spess.=35 cm, Terreno=terreno 1, ,Criterio=CLS_Platee_ND,
Materiale=C35/45, $\zeta_e=32.138$ [(9+10)-XI-1] : **Verificato**

Armatura a maglia doppia

Pannello	Nx	Ny	Nxy	Mx	My	Mxy	Ax	Ay	C	Cs
	kg	kg	kg	kg*m	kg*m	kg*m	cmq	cmq		
1	-628	1023	-1990	-131	-1000	55	25.45	25.45		5 13
2	924	1684	-1581	-27	-575	139	25.45	25.45		5 19
3	377	1470	-2230	53	-155	340	25.45	25.45		5 27
4	-1019	550	-3084	138	105	330	25.45	25.45		6 29
5	-1578	-42	-2811	212	538	311	25.45	25.45		6 16
6	-3718	1694	-1702	239	349	68	25.45	25.45		6 32
7	209	3952	-1463	-71	-446	21	25.45	25.45		5 28

**POTENZIAMENTO DELL'IMPIANTO DI DEPURAZIONE E
DEL RECAPITO FINALE DI SQUINZANO (LE)
PROGETTO DEFINITIVO
Tabulati di calcolo strutturale-Filtrazione**

R.37.9

Maggio 2021

Pagina 179 di
364

Pannello	Nx	Ny	Nxy	Mx	My	Mxy	Ax	Ay	C	Cs
8	-1259	1296	-1974	-70	-1007	137	25.45	25.45		12
Massimi/minimi										
1							25.45			
1								25.45		
8										12

Muro [Platea]: 30 - Nodi: [42-32-33]Pann=8Spess.=35 cm, Terreno=terreno 1, ,Criterio=CLS_Platee_ND,
Materiale=C35/45, $\zeta_e=323.101$ [(9+10)-IV-1] : **Verificato**

Armatura a maglia doppia

Pannello	Nx	Ny	Nxy	Mx	My	Mxy	Ax	Ay	C	Cs
	kg	kg	kg	kg*m	kg*m	kg*m	cmq	cmq		
1	-1040	5390	1309	60	-343	-91	25.45	25.45	5	30
2	-1331	4458	1374	92	-176	-91	25.45	25.45	5	48
3	-1432	3605	2179	92	-160	-143	25.45	25.45	5	43
4	-1248	4389	1935	39	-533	-118	25.45	25.45	5	20
5	-1404	3224	1757	40	-515	-110	25.45	25.45	5	21
6	-1377	3385	1839	45	-463	-118	25.45	25.45	5	23
7	-1188	5082	1957	40	-540	-126	25.45	25.45	5	19
8	-1272	4277	1900	30	-612	-116	25.45	25.45	5	18
Massimi/minimi										
1							25.45			
1								25.45		
8										18

Muro [Platea]: 31 - Nodi: [42-41-31-32]Pann=12Spess.=35 cm, Terreno=terreno 1, ,Criterio=CLS_Platee_ND,
Materiale=C35/45, $\zeta_e=312.703$ [(9+10)-VIII-2] : **Verificato**

Armatura a maglia doppia

Pannello	Nx	Ny	Nxy	Mx	My	Mxy	Ax	Ay	C	Cs
	kg	kg	kg	kg*m	kg*m	kg*m	cmq	cmq		
1	1840	-2005	-2357	138	292	44	25.45	25.45	7	41
2	846	-2715	-2341	213	243	46	25.45	25.45	7	48
3	1024	-472	-1268	158	21	72	25.45	25.45	4	58
4	2319	-769	-945	-38	-78	101	25.45	25.45	3	77
5	4989	-929	323	-373	-166	130	25.45	25.45	5	26
6	6380	-765	27	-618	-80	128	25.45	25.45	5	17
7	4792	-1058	-892	-749	29	177	25.45	25.45	5	14
8	4273	-1145	-1502	-775	33	159	25.45	25.45	5	14
9	5149	-1054	-2372	-596	66	74	25.45	25.45	5	19
10	3669	-1046	-2713	-219	154	-4	25.45	25.45	5	58
11	3651	-996	-1641	-242	160	114	25.45	25.45	5	37
12	4145	-934	-827	-300	82	128	25.45	25.45	5	30
Massimi/minimi										
1							25.45			
1								25.45		
8										14

Muro [Platea]: 32 - Nodi: [50-49-40-41]Pann=12Spess.=35 cm, Terreno=terreno 1, ,Criterio=CLS_Platee_ND,
Materiale=C35/45, $\zeta_e=307.953$ [(9+10)-IV-4] : **Verificato**

Armatura a maglia doppia

Pannello	Nx	Ny	Nxy	Mx	My	Mxy	Ax	Ay	C	Cs
	kg	kg	kg	kg*m	kg*m	kg*m	cmq	cmq		
1	417	1675	-644	1	-339	112	25.45	25.45	5	30
2	458	1619	-207	-21	-163	104	25.45	25.45	5	50
3	-2150	-2359	-1352	172	212	149	25.45	25.45	7	39
4	-2393	-2103	-1564	171	295	110	25.45	25.45	7	34
5	-2339	-2460	-1422	160	303	93	25.45	25.45	7	35
6	-1958	-2896	-1551	86	240	66	25.45	25.45	7	46
7	-1828	-2746	-1986	40	208	14	25.45	25.45	7	63

**POTENZIAMENTO DELL'IMPIANTO DI DEPURAZIONE E
DEL RECAPITO FINALE DI SQUINZANO (LE)
PROGETTO DEFINITIVO
Tabulati di calcolo strutturale-Filtrazione**

R.37.9

Maggio 2021

Pagina 180 di
364

Pannello	Nx	Ny	Nxy	Mx	My	Mxy	Ax	Ay	C	Cs
8	-1893	-1959	-2173	-15	132	-3	25.45	25.45	7	>100
9	47	2953	-1510	-68	-380	-17	25.45	25.45	5	33
10	445	2212	-1028	-64	-525	39	25.45	25.45	5	23
11	-1654	-1762	-1481	91	126	96	25.45	25.45	7	62
12	-1911	-2277	-1668	123	269	94	25.45	25.45	7	38
Massimi/minimi										
1							25.45			
1								25.45		
10										23

Muro [Platea]: 33 - Nodi: [49-48-39-40]Pann=9Spess.=35 cm, Terreno=terreno 1, ,Criterio=CLS_Platee_ND,
Materiale=C35/45, $\zeta_e=90.943$ [(9+10)-VIII-4] : **Verificato**

Armatura a maglia doppia

Pannello	Nx kg	Ny kg	Nxy kg	Mx kg*m	My kg*m	Mxy kg*m	Ax cmq	Ay cmq	C	Cs
1	1038	1243	-65	-82	-128	49	25.45	25.45	5	76
2	1105	739	62	-125	-71	38	25.45	25.45	1	83
3	1446	830	192	-291	-81	41	25.45	25.45	1	40
4	1740	387	-208	-305	-68	57	25.45	25.45	5	37
5	2764	239	-739	-200	25	47	25.45	25.45	5	53
6	-1400	-2216	-2144	162	139	128	25.45	25.45	7	47
7	-817	-878	-1686	143	79	138	25.45	25.45	7	49
8	981	1222	-521	-86	-121	60	25.45	25.45	5	74
9	1535	733	-280	-133	-77	112	25.45	25.45	5	55
Massimi/minimi										
1							25.45			
1								25.45		
4										37

Muro [Platea]: 34 - Nodi: [51-50-41-42]Pann=16Spess.=35 cm, Terreno=terreno 1, ,Criterio=CLS_Platee_ND,
Materiale=C35/45, $\zeta_e=270.331$ [(9+10)-V-1] : **Verificato**

Armatura a maglia doppia

Pannello	Nx kg	Ny kg	Nxy kg	Mx kg*m	My kg*m	Mxy kg*m	Ax cmq	Ay cmq	C	Cs
1	-815	1939	-1847	-72	-260	2	25.45	25.45	5	51
2	527	737	-3269	-300	-60	71	25.45	25.45	5	36
3	2723	-814	-3098	-523	64	99	25.45	25.45	5	21
4	5364	-820	-1355	-528	74	133	25.45	25.45	5	19
5	158	1253	-1714	-77	-350	-15	25.45	25.45	5	37
6	963	724	-2245	-101	-12	49	25.45	25.45	5	90
7	951	-1765	-1867	-90	200	51	25.45	25.45	7	55
8	1927	-2388	-584	-121	195	185	25.45	25.45	7	36
9	542	1589	-1374	-40	-414	-16	25.45	25.45	5	31
10	220	-1408	-1210	103	141	21	25.45	25.45	7	85
11	554	-2059	-1203	124	248	45	25.45	25.45	7	47
12	401	-2419	-491	73	249	168	25.45	25.45	7	33
13	633	2856	-545	45	-330	77	25.45	25.45	5	32
14	305	-1637	-485	254	157	124	25.45	25.45	7	36
15	453	-2543	-629	293	244	107	25.45	25.45	7	34
16	-242	-2856	-674	192	242	119	25.45	25.45	7	39
Massimi/minimi										
1							25.45			
1								25.45		
4										19

Muro : 35 - Nodi: [154-54-44-144], Pann.X=4, Pann.Y=4Spess.=25 cm, Terreno=--,Criterio=CLS_Muri_ND,
Materiale=C35/45, $\zeta_e=10.120$ [(9+10)-V-3] : **Verificato**

Armatura a maglia doppia

**POTENZIAMENTO DELL'IMPIANTO DI DEPURAZIONE E
DEL RECAPITO FINALE DI SQUINZANO (LE)
PROGETTO DEFINITIVO
Tabulati di calcolo strutturale-Filtrazione**

R.37.9

Maggio 2021

Pagina 181 di
364

Pannello	Nx	Ny	Nxy	Mx	My	Mxy	Ax	Ay	C	Cs
	kg	kg	kg	kg*m	kg*m	kg*m	cmq	cmq		
1	-22678	-5752	-14877	4204	481	-72	20.11	20.11	6	2.1
2	-11853	-3582	-18548	3801	531	33	20.11	20.11	6	2.1
3	-10781	-1412	-19835	3573	478	98	20.11	20.11	6	2.2
4	-8307	2334	-14541	3518	397	150	20.11	20.11	6	2.1
5	-18211	-807	-10586	1404	70	124	20.11	20.11	6	5.7
6	-10067	-4147	-19512	1638	342	1	20.11	20.11	6	4.9
7	-11797	-2317	-21588	1502	259	34	20.11	20.11	6	5.3
8	-15016	-586	-12630	1140	40	-77	20.11	20.11	6	7.0
9	-10732	-766	-9090	-377	-137	184	20.11	20.11	5	14
10	-8603	-2688	-19054	-508	57	21	20.11	20.11	5	15
11	-10851	-4480	-22826	-620	-21	-58	20.11	20.11	5	12
12	-28469	1571	-15061	-673	-172	-159	20.11	20.11	5	12
13	-5142	1664	-9414	-2235	-315	23	20.11	20.11	5	3.3
14	-6133	-716	-18097	-2539	-270	5	20.11	20.11	5	3.0
15	-10815	-3328	-20914	-2701	-315	-118	20.11	20.11	5	2.9
16	-32842	-7554	-23050	-2923	-400	-75	20.11	20.11	5	3.3
Massimi/minimi										
1							20.11			
1								20.11		
2										2.1

Muro : 36 - Nodi: [53-153-154-54], Pann.X=4, Pann.Y=4Spess.=25 cm, Terreno=--,Criterio=CLS_Muri_ND,
Materiale=C35/45,ζ_e=10.752 [(9+10)-XI-2] : **Verificato**

Armatura a maglia doppia

Pannello	Nx	Ny	Nxy	Mx	My	Mxy	Ax	Ay	C	Cs
	kg	kg	kg	kg*m	kg*m	kg*m	cmq	cmq		
1	-5800	-6590	-23135	1348	195	53	20.11	20.11	5	5.4
2	-6931	-7684	-27392	1332	196	127	20.11	20.11	5	5.3
3	-6432	-6813	-26097	1311	179	164	20.11	20.11	5	5.2
4	-1260	-2677	-14942	1362	67	136	20.11	20.11	6	4.8
5	-3025	-15720	-21118	770	166	24	20.11	20.11	5	9.3
6	-4773	-20084	-25093	591	155	165	20.11	20.11	6	10.0
7	-4521	-3171	-3297	333	-29	366	20.11	20.11	7	11
8	-6132	-2584	142	232	-417	229	20.11	20.11	7	11
9	-3866	-3034	-2908	100	177	299	20.11	20.11	7	15
10	-5356	18394	10525	5	84	240	20.11	20.11	4	16
11	-942	26279	14751	-98	-104	232	20.11	20.11	4	14
12	11296	24987	11026	-263	-523	179	20.11	20.11	4	6.7
13	-3643	-3546	-2104	-28	190	242	20.11	20.11	7	17
14	-3959	-4953	-1950	-198	89	236	20.11	20.11	7	17
15	-2836	31933	5522	-224	-126	178	20.11	20.11	4	13
16	16906	55001	15760	-783	-753	57	20.11	20.11	4	2.2
Massimi/minimi										
1							20.11			
1								20.11		
16										2.2

Muro : 37 - Nodi: [48-148-149-49], Pann.X=4, Pann.Y=4Spess.=25 cm, Terreno=--,Criterio=CLS_Muri_ND,
Materiale=C35/45,ζ_e=129.336 [(9+10)-XI-4] : **Verificato**

Armatura a maglia doppia

Pannello	Nx	Ny	Nxy	Mx	My	Mxy	Ax	Ay	C	Cs
	kg	kg	kg	kg*m	kg*m	kg*m	cmq	cmq		
1	60	122	426	176	60	31	20.11	20.11	5	34
2	-937	-140	882	249	47	67	20.11	20.11	5	23
3	-1989	-264	1243	364	46	72	20.11	20.11	5	17
4	-2498	-371	857	484	51	69	20.11	20.11	5	13
5	-508	-415	701	85	135	57	20.11	20.11	1	37
6	-1128	-508	1023	127	64	101	20.11	20.11	5	31
7	-1826	-503	1171	179	24	116	20.11	20.11	5	25
8	-2244	-555	1042	237	3	107	20.11	20.11	5	21
9	-1109	-1042	696	43	219	66	20.11	20.11	1	25
10	-1466	-953	1289	36	92	124	20.11	20.11	1	33

**POTENZIAMENTO DELL'IMPIANTO DI DEPURAZIONE E
DEL RECAPITO FINALE DI SQUINZANO (LE)
PROGETTO DEFINITIVO
Tabulati di calcolo strutturale-Filtrazione**

R.37.9

Maggio 2021

Pagina 182 di
364

Pannello	Nx	Ny	Nxy	Mx	My	Mxy	Ax	Ay	C	Cs
11	-1697	-922	1142	52	10	142	20.11	20.11	5	37
12	-2012	-895	1076	67	-37	132	20.11	20.11	5	37
13	-1656	-1615	633	20	312	65	20.11	20.11	1	19
14	-1658	-1461	1171	-12	127	124	20.11	20.11	1	29
15	-1805	-1289	1404	-37	6	146	20.11	20.11	1	40
16	-1948	-1151	1458	-54	-70	139	20.11	20.11	1	34
Massimi/minimi										
1							20.11			
1								20.11		
4										13

Muro : 38 - Nodi: [39-48-148-139], Pann.X=4, Pann.Y=4Spess.=25 cm, Terreno=--,Criterio=CLS_Muri_ND,
Materiale=C35/45, $\zeta_s=104.742$ [(9+10)-IV-2] : **Verificato**

Armatura a maglia doppia

Pannello	Nx	Ny	Nxy	Mx	My	Mxy	Ax	Ay	C	Cs
	kg	kg	kg	kg*m	kg*m	kg*m	cmq	cmq		
1	-426	-2981	-871	-63	-639	39	20.11	20.11	1	11
2	-548	-2721	-905	11	-322	61	20.11	20.11	1	19
3	-783	-2465	-873	78	-97	76	20.11	20.11	1	42
4	-1051	-2234	-807	141	55	81	20.11	20.11	1	32
5	-388	-2316	-1110	-53	-514	60	20.11	20.11	2	13
6	-622	-2262	-1090	3	-252	108	20.11	20.11	1	20
7	-916	-2142	-1015	50	-73	133	20.11	20.11	1	35
8	-1235	-2019	-916	90	46	138	20.11	20.11	1	32
9	-274	-1537	-729	-45	-341	82	20.11	20.11	2	17
10	-619	-1611	-822	-29	-173	120	20.11	20.11	2	25
11	-955	-1541	-989	-22	-55	145	20.11	20.11	5	36
12	-1450	-1798	-786	-26	24	152	20.11	20.11	1	41
13	-33	-780	-209	-57	-218	41	20.11	20.11	2	28
14	-488	-968	-296	-107	-117	61	20.11	20.11	2	40
15	-1111	-1426	-320	-178	-51	75	20.11	20.11	1	28
16	-1647	-1774	-256	-255	-17	74	20.11	20.11	1	22
Massimi/minimi										
1							20.11			
1								20.11		
1										11

Muro : 39 - Nodi: [29-39-139-129], Pann.X=4, Pann.Y=4Spess.=25 cm, Terreno=--,Criterio=CLS_Muri_ND,
Materiale=C35/45, $\zeta_s=271.716$ [(9+10)-VIII-1] : **Verificato**

Armatura a maglia doppia

Pannello	Nx	Ny	Nxy	Mx	My	Mxy	Ax	Ay	C	Cs
	kg	kg	kg	kg*m	kg*m	kg*m	cmq	cmq		
1	-363	-1958	-323	-64	-314	-60	20.11	20.11	2	19
2	-597	-1835	-292	-96	-165	-80	20.11	20.11	2	30
3	-803	-1742	-311	-140	-67	-93	20.11	20.11	2	31
4	-976	-1688	-339	-192	-6	-95	20.11	20.11	2	25
5	-355	-2171	-245	-52	-452	-94	20.11	20.11	5	13
6	-603	-2041	-193	-16	-231	-134	20.11	20.11	2	20
7	-777	-1956	-210	12	-74	-156	20.11	20.11	2	32
8	-941	-1867	-227	33	31	-161	20.11	20.11	2	37
9	-402	-2638	-276	-63	-622	-58	20.11	20.11	5	11
10	-553	-2477	-224	8	-315	-87	20.11	20.11	2	18
11	-724	-2294	-254	71	-99	-104	20.11	20.11	2	36
12	-905	-2113	-274	128	48	-107	20.11	20.11	2	30
13	-427	-3038	-533	-68	-688	-16	20.11	20.11	2	10
14	-525	-2781	-511	11	-352	-16	20.11	20.11	2	20
15	-700	-2521	-507	85	-111	-16	20.11	20.11	2	58
16	-913	-2273	-491	154	53	-16	20.11	20.11	2	42
Massimi/minimi										
1							20.11			
1								20.11		
13										10

**POTENZIAMENTO DELL'IMPIANTO DI DEPURAZIONE E
DEL RECAPITO FINALE DI SQUINZANO (LE)
PROGETTO DEFINITIVO
Tabulati di calcolo strutturale-Filtrazione**

R.37.9

Maggio 2021

Pagina 183 di
364

Muro : 40 - Nodi: [51-152-153-53], Pann.X=4, Pann.Y=4Spess.=25 cm, Terreno=--,Criterio=CLS_Muri_ND,
Materiale=C35/45, $\zeta_e=71.134$ [(9+10)-V-2] : **Verificato**

Armatura a maglia doppia

Pannello	Nx	Ny	Nxy	Mx	My	Mxy	Ax	Ay	C	Cs
	kg	kg	kg	kg*m	kg*m	kg*m	cmq	cmq		
1	-5978	1720	-2010	545	116	-142	20.11	20.11	5	11
2	-4211	-237	260	860	190	-258	20.11	20.11	2	6.7
3	-5883	274	-387	1047	308	-391	20.11	20.11	2	5.3
4	-16111	7931	-11718	1178	348	-415	20.11	20.11	5	5.4
5	-5373	1081	-2425	405	22	-31	20.11	20.11	5	17
6	-7260	1499	-3774	601	70	-148	20.11	20.11	5	10
7	-5270	-210	-866	658	160	-249	20.11	20.11	2	8.3
8	-14109	2415	-13376	723	238	-261	20.11	20.11	5	8.5
9	-1564	-1241	1284	269	-94	86	20.11	20.11	1	20
10	-6397	377	-4378	367	-51	-44	20.11	20.11	5	19
11	-8606	21	-7647	386	56	-138	20.11	20.11	5	15
12	-11365	-3034	-13773	340	150	-148	20.11	20.11	5	17
13	-2530	-983	-80	178	-145	127	20.11	20.11	2	24
14	-1972	-1252	1701	135	-190	34	20.11	20.11	1	32
15	-3270	-310	-654	185	80	-40	20.11	20.11	(9+10)-II-1	33
16	-4656	-911	-945	211	67	163	20.11	20.11	7	20
Massimi/minimi										
1							20.11			
1								20.11		
3										5.3

Muro : 41 - Nodi: [151-152-51], Pann.X=4, Pann.Y=4Spess.=25 cm, Terreno=--,Criterio=CLS_Muri_ND,
Materiale=C35/45, $\zeta_e=179.295$ [(9+10)-V-1] : **Verificato**

Armatura a maglia doppia

Pannello	Nx	Ny	Nxy	Mx	My	Mxy	Ax	Ay	C	Cs
	kg	kg	kg	kg*m	kg*m	kg*m	cmq	cmq		
1	-446	-1951	-997	285	37	-105	20.11	20.11	1	18
2	-116	-2130	-466	274	48	-103	20.11	20.11	1	19
3	-305	-2046	-117	270	47	-101	20.11	20.11	1	19
4	-576	-2009	43	259	45	-97	20.11	20.11	1	20
5	-468	-2024	-689	225	23	-140	20.11	20.11	1	20
6	-520	-2065	-654	216	49	-126	20.11	20.11	1	21
7	-558	-2096	-633	212	69	-110	20.11	20.11	1	22
8	-346	-2067	-345	209	91	-85	20.11	20.11	1	24
9	-480	-2087	-645	170	24	-166	20.11	20.11	1	21
10	-415	-2121	-720	168	68	-146	20.11	20.11	1	23
11	-279	-2177	-652	162	111	-120	20.11	20.11	1	25
12	-292	-2288	-539	155	161	-80	20.11	20.11	1	30
13	-392	-2197	-722	125	27	-184	20.11	20.11	1	23
14	-361	-2184	-716	134	98	-158	20.11	20.11	1	24
15	-397	-2658	573	124	198	-97	20.11	20.11	2	25
16	-511	-3795	3050	115	364	24	20.11	20.11	5	19
Massimi/minimi										
1							20.11			
1								20.11		
1										18

Muro : 42 - Nodi: [42-142-151-51], Pann.X=4, Pann.Y=4Spess.=25 cm, Terreno=--,Criterio=CLS_Muri_ND,
Materiale=C35/45, $\zeta_e=74.614$ [(9+10)-V-4] : **Verificato**

Armatura a maglia doppia

Pannello	Nx	Ny	Nxy	Mx	My	Mxy	Ax	Ay	C	Cs
	kg	kg	kg	kg*m	kg*m	kg*m	cmq	cmq		
1	-6832	-337	-1521	178	23	60	20.11	20.11	7	33
2	-4536	-135	-1327	163	19	65	20.11	20.11	4	33
3	-2434	69	-1457	134	9	48	20.11	20.11	4	40

**POTENZIAMENTO DELL'IMPIANTO DI DEPURAZIONE E
DEL RECAPITO FINALE DI SQUINZANO (LE)
PROGETTO DEFINITIVO
Tabulati di calcolo strutturale-Filtrazione**

R.37.9

Maggio 2021

Pagina 184 di
364

Pannello	Nx	Ny	Nxy	Mx	My	Mxy	Ax	Ay	C	Cs
4	1052	404	-1319	138	-7	25	20.11	20.11		43
5	-6399	558	-1650	128	17	60	20.11	20.11		41
6	-4237	636	-1398	109	7	58	20.11	20.11		45
7	-2357	517	-1757	82	-1	52	20.11	20.11		54
8	1683	-105	-3545	39	-10	93	20.11	20.11		52
9	-5966	1226	-1772	91	10	56	20.11	20.11		52
10	-3952	1153	-1469	68	-5	52	20.11	20.11		62
11	-2321	-1326	-2959	44	46	61	20.11	20.11		67
12	496	-1209	-3492	42	4	105	20.11	20.11		48
13	-5534	1700	-1871	62	1	51	20.11	20.11		67
14	-3587	-1711	-3192	57	50	30	20.11	20.11		86
15	-2322	-2219	-2787	34	63	52	20.11	20.11		63
16	88	1694	-2201	13	-151	21	20.11	20.11		40
Massimi/minimi										
1							20.11			
1								20.11		
1										33

Muro : 43 - Nodi: [50-150-151-51], Pann.X=4, Pann.Y=4Spess.=25 cm, Terreno=--,Criterio=CLS_Muri_ND,
Materiale=C35/45, $\xi_e=235.631$ [(9+10)-XI-2] : **Verificato**

Armatura a maglia doppia

Pannello	Nx	Ny	Nxy	Mx	My	Mxy	Ax	Ay	C	Cs
	kg	kg	kg	kg*m	kg*m	kg*m	cmq	cmq		
1	-3221	-558	-126	618	66	-87	20.11	20.11		10
2	-2859	-611	-566	515	62	-103	20.11	20.11		12
3	-2603	-644	-745	408	68	-89	20.11	20.11		15
4	-3285	-711	-763	398	88	-10	20.11	20.11		18
5	-2850	-802	-91	324	5	-107	20.11	20.11		17
6	-2620	-961	-469	278	29	-130	20.11	20.11		18
7	-2422	-1184	-624	235	82	-111	20.11	20.11		21
8	-2819	-1184	-883	242	157	7	20.11	20.11		30
9	-2506	-1108	-19	112	-49	-119	20.11	20.11		32
10	-2356	-1303	-330	106	4	-144	20.11	20.11		29
11	-2245	-1526	-521	107	103	-121	20.11	20.11		32
12	-2131	-703	1274	102	272	13	20.11	20.11		25
13	-2161	-963	903	-49	-95	-119	20.11	20.11		33
14	-2009	-779	1126	-34	-13	-136	20.11	20.11		43
15	-2021	-1121	772	6	141	-112	20.11	20.11		28
16	-2022	-748	1294	50	390	21	20.11	20.11		17
Massimi/minimi										
1							20.11			
1								20.11		
1										10

Muro : 44 - Nodi: [32-132-142-42], Pann.X=4, Pann.Y=4Spess.=25 cm, Terreno=--,Criterio=CLS_Muri_ND,
Materiale=C35/45, $\xi_e=150.615$ [(9+10)-V-4] : **Verificato**

Armatura a maglia doppia

Pannello	Nx	Ny	Nxy	Mx	My	Mxy	Ax	Ay	C	Cs
	kg	kg	kg	kg*m	kg*m	kg*m	cmq	cmq		
1	-6610	-855	1419	500	51	-24	20.11	20.11		15
2	-7873	-952	-55	377	55	-9	20.11	20.11		20
3	-8056	-981	-969	265	39	13	20.11	20.11		28
4	-8136	-824	-1961	186	28	36	20.11	20.11		35
5	-6205	-1122	1087	277	0	-29	20.11	20.11		25
6	-7340	-887	77	263	54	-28	20.11	20.11		27
7	-7464	-937	-1014	212	44	-6	20.11	20.11		36
8	-7114	354	-1026	129	23	57	20.11	20.11		42
9	-5898	-1249	941	143	-36	-19	20.11	20.11		47
10	-6679	-1028	65	167	49	-30	20.11	20.11		39
11	-6855	-985	-1042	159	48	-19	20.11	20.11		43
12	-6692	1004	-1123	99	23	56	20.11	20.11		50
13	-3837	-1698	650	45	-59	-13	20.11	20.11		>100
14	-6060	-1201	11	98	38	-22	20.11	20.11		64

**POTENZIAMENTO DELL'IMPIANTO DI DEPURAZIONE E
DEL RECAPITO FINALE DI SQUINZANO (LE)
PROGETTO DEFINITIVO
Tabulati di calcolo strutturale-Filtrazione**

R.37.9

Maggio 2021

Pagina 185 di
364

Pannello	Nx	Ny	Nxy	Mx	My	Mxy	Ax	Ay	C	Cs
15	-6231	-1131	-1063	112	49	-23	20.11	20.11	5	57
16	-6264	1499	-1232	72	22	55	20.11	20.11	7	61
Massimi/minimi										
1							20.11			
1								20.11		
1										15

Muro : 45 - Nodi: [49-149-150-50], Pann.X=4, Pann.Y=4Spess.=25 cm, Terreno=--,Criterio=CLS_Muri_ND,
Materiale=C35/45, $\zeta_e=172.392$ [(9+10)-XI-4] : **Verificato**

Armatura a maglia doppia

Pannello	Nx	Ny	Nxy	Mx	My	Mxy	Ax	Ay	C	Cs
	kg	kg	kg	kg*m	kg*m	kg*m	cmq	cmq		
1	-2705	-432	908	581	58	51	20.11	20.11	5	12
2	-2715	-517	542	638	62	22	20.11	20.11	5	11
3	-2805	-518	565	666	65	-25	20.11	20.11	5	11
4	-3163	-522	311	672	67	-60	20.11	20.11	5	10
5	-2455	-641	873	290	-9	78	20.11	20.11	5	20
6	-2533	-716	663	328	-14	34	20.11	20.11	5	20
7	-2602	-791	537	347	-13	-17	20.11	20.11	5	20
8	-2809	-762	306	349	-7	-66	20.11	20.11	5	18
9	-2207	-918	912	85	-67	98	20.11	20.11	5	40
10	-2303	-975	721	101	-84	46	20.11	20.11	5	50
11	-1750	60	392	90	14	-39	20.11	20.11	(9+10)-V-4	56
12	-2493	-1033	310	115	-75	-69	20.11	20.11	5	40
13	-2044	-1046	1423	-65	-120	106	20.11	20.11	1	32
14	-2083	-969	1358	-71	-147	54	20.11	20.11	1	36
15	-2123	-996	1171	-65	-153	-13	20.11	20.11	2	43
16	-2170	-960	1049	-60	-137	-70	20.11	20.11	2	35
Massimi/minimi										
1							20.11			
1								20.11		
4										10

Muro : 46 - Nodi: [30-130-131-31], Pann.X=4, Pann.Y=4Spess.=25 cm, Terreno=--,Criterio=CLS_Muri_ND,
Materiale=C35/45, $\zeta_e=101.124$ [(9+10)-V-4] : **Verificato**

Armatura a maglia doppia

Pannello	Nx	Ny	Nxy	Mx	My	Mxy	Ax	Ay	C	Cs
	kg	kg	kg	kg*m	kg*m	kg*m	cmq	cmq		
1	-3479	-260	192	16	-0	-25	20.11	20.11	(9+10)-V-4	>100
2	-4909	-413	-1251	-34	-5	-10	20.11	20.11	7	>100
3	-3750	-374	-125	-23	-3	-29	20.11	20.11	(9+10)-II-4	>100
4	-3766	-413	-353	-30	-4	-31	20.11	20.11	(9+10)-II-4	>100
5	-3272	-5	218	9	-4	-28	20.11	20.11	(9+10)-V-4	>100
6	-3474	-121	53	-13	-5	-30	20.11	20.11	(9+10)-II-4	>100
7	-3555	-240	-102	-18	-4	-33	20.11	20.11	(9+10)-II-4	>100
8	-3544	-358	-269	-23	-3	-34	20.11	20.11	(9+10)-II-4	>100
9	-3060	174	317	3	-10	-31	20.11	20.11	(9+10)-V-4	>100
10	-3264	17	151	-12	-7	-34	20.11	20.11	(9+10)-II-4	>100
11	-3357	-138	-14	-15	-5	-36	20.11	20.11	(9+10)-II-4	>100
12	-3355	-299	-168	-17	-0	-36	20.11	20.11	(9+10)-II-4	>100
13	-2847	258	424	-0	-15	-32	20.11	20.11	(9+10)-V-4	>100
14	-3077	102	249	-2	-10	-38	20.11	20.11	(9+10)-V-4	>100
15	-3163	-70	99	-11	-4	-38	20.11	20.11	(9+10)-II-4	>100
16	-3115	-254	-38	-12	1	-37	20.11	20.11	(9+10)-II-4	>100
Massimi/minimi										
1							20.11			
1								20.11		
4										>100

**POTENZIAMENTO DELL'IMPIANTO DI DEPURAZIONE E
DEL RECAPITO FINALE DI SQUINZANO (LE)
PROGETTO DEFINITIVO
Tabulati di calcolo strutturale-Filtrazione**

R.37.9

Maggio 2021

Pagina 186 di
364

Muro [Platea]: 47 - Nodi: [138-137-127-128]Pann=16Spess.=35 cm, Terreno=terreno 1, ,Criterio=CLS_Platee_ND,
Materiale=C35/45, $\zeta_e=50.993$ [(9+10)-I-4] : **Verificato**

Armatura a maglia doppia

Pannello	Nx	Ny	Nxy	Mx	My	Mxy	Ax	Ay	C	Cs
	kg	kg	kg	kg*m	kg*m	kg*m	cmq	cmq		
1	5640	-585	-842	-699	-13	-60	25.45	25.45	1	17
2	3577	-90	-232	-865	-76	12	25.45	25.45	1	15
3	2872	119	43	-752	-80	16	25.45	25.45	1	17
4	3080	145	440	-460	-43	60	25.45	25.45	1	25
5	4127	-755	-1633	-307	23	-124	25.45	25.45	1	30
6	3183	-365	-387	-323	16	41	25.45	25.45	1	36
7	2572	-178	-85	-275	4	59	25.45	25.45	1	40
8	-1269	500	-2503	82	140	237	25.45	25.45	7	36
9	-3002	-941	-3174	202	-6	159	25.45	25.45	7	39
10	-2387	-736	-2896	201	24	231	25.45	25.45	7	32
11	-1896	-361	-2888	175	52	242	25.45	25.45	7	33
12	-1511	-80	-2813	126	78	238	25.45	25.45	7	38
13	-3218	-805	-3073	266	45	165	25.45	25.45	7	32
14	-2413	-740	-3054	285	53	200	25.45	25.45	7	29
15	-1916	-594	-3078	236	58	208	25.45	25.45	7	31
16	-1692	-430	-2950	157	45	199	25.45	25.45	7	39
Massimi/minimi										
1							25.45			
1								25.45		
2										15

Muro [Platea]: 48 - Nodi: [157-156-146-147]Pann=16Spess.=35 cm, Terreno=terreno 1, ,Criterio=CLS_Platee_ND,
Materiale=C35/45, $\zeta_e=90.440$ [(9+10)-II-1] : **Verificato**

Armatura a maglia doppia

Pannello	Nx	Ny	Nxy	Mx	My	Mxy	Ax	Ay	C	Cs
	kg	kg	kg	kg*m	kg*m	kg*m	cmq	cmq		
1	4558	-362	-314	-599	14	-77	25.45	25.45	1	19
2	3809	-199	314	-903	-70	-1	25.45	25.45	1	14
3	4284	-302	661	-977	-81	1	25.45	25.45	1	13
4	6282	-801	1238	-763	-33	66	25.45	25.45	1	15
5	3302	-498	-612	-243	77	-204	25.45	25.45	1	29
6	3366	-535	372	-336	32	-73	25.45	25.45	1	32
7	3806	-668	808	-371	13	-54	25.45	25.45	1	31
8	4962	-17	750	-340	-3	155	25.45	25.45	2	26
9	2032	-800	-377	6	102	-207	25.45	25.45	1	44
10	-2986	-1504	-726	287	89	35	25.45	25.45	7	43
11	-3259	-1332	-807	307	114	65	25.45	25.45	7	38
12	-3677	-1070	-644	280	133	138	25.45	25.45	7	34
13	1157	-1199	141	209	117	-108	25.45	25.45	1	42
14	2513	-1326	510	432	153	-66	25.45	25.45	1	27
15	2853	-1341	1100	450	148	-73	25.45	25.45	1	25
16	-3922	-1463	-1026	354	127	113	25.45	25.45	7	30
Massimi/minimi										
1							25.45			
1								25.45		
3										13

Muro [Platea]: 49 - Nodi: [128-127-117-118]Pann=16Spess.=35 cm, Terreno=terreno 1, ,Criterio=CLS_Platee_ND,
Materiale=C35/45, $\zeta_e=51.548$ [(9+10)-I-3] : **Verificato**

Armatura a maglia doppia

Pannello	Nx	Ny	Nxy	Mx	My	Mxy	Ax	Ay	C	Cs
	kg	kg	kg	kg*m	kg*m	kg*m	cmq	cmq		
1	2903	359	-531	-284	-24	-16	25.45	25.45	1	44
2	1669	763	-221	-284	-54	45	25.45	25.45	1	40
3	1126	1054	-85	-167	-78	59	25.45	25.45	1	59
4	1352	-705	-782	-17	201	-20	25.45	25.45	6	62
5	-744	-991	-2608	35	-144	197	25.45	25.45	6	40
6	-381	-619	-2126	45	-10	215	25.45	25.45	7	52

**POTENZIAMENTO DELL'IMPIANTO DI DEPURAZIONE E
DEL RECAPITO FINALE DI SQUINZANO (LE)
PROGETTO DEFINITIVO
Tabulati di calcolo strutturale-Filtrazione**

R.37.9

Maggio 2021

Pagina 187 di
364

Pannello	Nx	Ny	Nxy	Mx	My	Mxy	Ax	Ay	C	Cs
7	-65	-262	-1631	46	61	185	25.45	25.45	7	55
8	750	222	-1198	18	216	45	25.45	25.45	6	52
9	-1056	-510	-2892	51	-64	210	25.45	25.45	6	50
10	-1002	-467	-2543	55	-6	222	25.45	25.45	7	49
11	-619	-190	-1991	44	32	201	25.45	25.45	7	56
12	476	1309	-268	-36	-235	58	25.45	25.45	1	46
13	-1607	-426	-2944	86	15	181	25.45	25.45	7	52
14	-1435	-365	-2735	41	7	188	25.45	25.45	7	60
15	-1283	-85	-2258	-56	-5	184	25.45	25.45	6	57
16	20	1916	-529	6	-212	10	25.45	25.45	1	60
Massimi/minimi										
1							25.45			
1								25.45		
5										40

Muro [Platea]: 50 - Nodi: [147-146-137-138]Pann=16Spess.=35 cm, Terreno=terreno 1, ,Criterio=CLS_Platee_ND,
Materiale=C35/45, $\zeta_e=60.770$ [(9+10)-VIII-4] : **Verificato**

Armatura a maglia doppia

Pannello	Nx	Ny	Nxy	Mx	My	Mxy	Ax	Ay	C	Cs
	kg	kg	kg	kg*m	kg*m	kg*m	cmq	cmq		
1	6179	-504	-678	-820	-12	-71	25.45	25.45	1	14
2	4622	-145	42	-1119	-102	3	25.45	25.45	1	12
3	4526	-171	343	-1102	-102	-2	25.45	25.45	1	12
4	5821	-584	955	-788	-26	60	25.45	25.45	1	15
5	4693	-667	-1298	-361	42	-177	25.45	25.45	1	24
6	4861	306	-659	-424	-37	50	25.45	25.45	2	27
7	4792	449	-328	-417	-37	47	25.45	25.45	2	28
8	4425	-788	1656	-347	19	146	25.45	25.45	1	26
9	-3730	-1519	-2141	270	45	66	25.45	25.45	7	42
10	-3405	-1285	-1980	306	69	157	25.45	25.45	7	30
11	-3296	-871	-2154	299	78	182	25.45	25.45	7	29
12	-3240	-498	-2121	250	93	217	25.45	25.45	7	30
13	-3912	-1567	-2031	353	93	97	25.45	25.45	7	31
14	3457	-1147	14	538	160	-15	25.45	25.45	1	24
15	3420	-1154	473	531	159	-20	25.45	25.45	1	24
16	-3405	-853	-2399	310	75	178	25.45	25.45	7	29
Massimi/minimi										
1							25.45			
1								25.45		
2										12

Muro [Platea]: 51 - Nodi: [146-145-136-137]Pann=8Spess.=35 cm, Terreno=terreno 1, ,Criterio=CLS_Platee_ND,
Materiale=C35/45, $\zeta_e=65.797$ [(9+10)-V-2] : **Verificato**

Armatura a maglia doppia

Pannello	Nx	Ny	Nxy	Mx	My	Mxy	Ax	Ay	C	Cs
	kg	kg	kg	kg*m	kg*m	kg*m	cmq	cmq		
1	-5053	-1478	-1974	315	153	139	25.45	25.45	7	31
2	-4820	-1528	-2028	312	116	151	25.45	25.45	7	31
3	-4474	-1560	-2093	291	78	149	25.45	25.45	7	32
4	-4228	-1579	-2292	254	22	131	25.45	25.45	7	37
5	-6436	-1382	-1955	426	227	86	25.45	25.45	6	28
6	-4770	-1644	-1793	343	134	77	25.45	25.45	6	34
7	-3802	-1604	-1947	253	50	83	25.45	25.45	6	42
8	-3310	-1516	-1950	190	-34	107	25.45	25.45	6	47
Massimi/minimi										
1							25.45			
1								25.45		
5										28

**POTENZIAMENTO DELL'IMPIANTO DI DEPURAZIONE E
DEL RECAPITO FINALE DI SQUINZANO (LE)
PROGETTO DEFINITIVO
Tabulati di calcolo strutturale-Filtrazione**

R.37.9

Maggio 2021

Pagina 188 di
364

Muro [Platea]: 52 - Nodi: [137-136-126-127]Pann=8Spess.=35 cm, Terreno=terreno 1, ,Criterio=CLS_Platee_ND,
Materiale=C35/45, $\zeta_e=64.817$ [(9+10)-VIII-3] : **Verificato**

Armatura a maglia doppia

Pannello	Nx kg	Ny kg	Nxy kg	Mx kg*m	My kg*m	Mxy kg*m	Ax cmq	Ay cmq	C	Cs
1	-2963	-980	-2570	193	81	176	25.45	25.45	7	38
2	-3708	-773	-2279	230	115	150	25.45	25.45	7	37
3	-3585	-1656	426	241	171	-57	25.45	25.45	1	47
4	-2453	-1471	-1990	161	70	91	25.45	25.45	6	55
5	-2194	-1577	-2293	128	-5	120	25.45	25.45	7	56
6	-2197	-1425	-2573	114	-46	152	25.45	25.45	7	52
7	-2172	-885	-2740	118	-11	179	25.45	25.45	7	47
8	-2521	-872	-2739	152	50	192	25.45	25.45	7	40
Massimi/minimi										
1							25.45			
1								25.45		
2										37

Muro [Platea]: 53 - Nodi: [127-126-116-117]Pann=16Spess.=35 cm, Terreno=terreno 1, ,Criterio=CLS_Platee_ND,
Materiale=C35/45, $\zeta_e=57.443$ [(9+10)-I-1] : **Verificato**

Armatura a maglia doppia

Pannello	Nx kg	Ny kg	Nxy kg	Mx kg*m	My kg*m	Mxy kg*m	Ax cmq	Ay cmq	C	Cs
1	-1611	-131	-2468	134	88	188	25.45	25.45	7	43
2	-1026	-239	-2263	150	50	195	25.45	25.45	7	40
3	-538	-256	-1923	157	7	172	25.45	25.45	7	41
4	-436	1347	174	-16	-328	50	25.45	25.45	1	35
5	-1465	1136	-9	149	323	-20	25.45	25.45	1	39
6	-1469	-237	-1938	102	72	170	25.45	25.45	7	51
7	-1136	-42	-1942	17	-46	182	25.45	25.45	6	59
8	-675	920	146	-16	-503	16	25.45	25.45	1	26
9	-1578	1259	624	166	327	-36	25.45	25.45	1	37
10	-2066	-57	-2111	14	96	185	25.45	25.45	6	48
11	-1952	-140	-1650	-10	-50	190	25.45	25.45	6	57
12	-545	996	231	-15	-505	-17	25.45	25.45	1	26
13	-2916	-945	-2657	231	204	91	25.45	25.45	6	43
14	-3031	-662	-2462	263	137	99	25.45	25.45	6	39
15	-3248	-110	-1983	215	-0	87	25.45	25.45	6	46
16	88	1507	80	-36	-335	-60	25.45	25.45	1	34
Massimi/minimi										
1							25.45			
1								25.45		
12										26

Muro [Platea]: 54 - Nodi: [156-155-145-146]Pann=9Spess.=35 cm, Terreno=terreno 1, ,Criterio=CLS_Platee_ND,
Materiale=C35/45, $\zeta_e=107.708$ [(9+10)-XI-4] : **Verificato**

Armatura a maglia doppia

Pannello	Nx kg	Ny kg	Nxy kg	Mx kg*m	My kg*m	Mxy kg*m	Ax cmq	Ay cmq	C	Cs
1	-4023	-2423	-1830	253	93	118	25.45	25.45	7	38
2	-5072	-4295	-3229	391	224	160	25.45	25.45	6	26
3	-6486	-2939	-2079	458	221	196	25.45	25.45	6	22
4	-5087	-1855	-1836	300	151	109	25.45	25.45	7	35
5	-4713	-2093	-1693	269	162	100	25.45	25.45	7	38
6	-4476	-2082	-1609	213	120	66	25.45	25.45	7	51
7	-4028	-2124	-1486	199	55	55	25.45	25.45	7	55
8	-4121	-2476	-1750	237	35	83	25.45	25.45	7	44
9	-4382	-2420	-1820	283	143	107	25.45	25.45	7	36
Massimi/minimi										
1							25.45			
1								25.45		
3										22

Muro [Platea]: 55 - Nodi: [155-154-144-145]Pann=9Spess.=35 cm, Terreno=terreno 1, ,Criterio=CLS_Platee_ND,
Materiale=C35/45, $\zeta_e=29.216$ [(9+10)-VII-2] : **Verificato**

Armatura a maglia doppia

Pannello	Nx	Ny	Nxy	Mx	My	Mxy	Ax	Ay	C	Cs
	kg	kg	kg	kg*m	kg*m	kg*m	cmq	cmq		
1	-9142	-5529	-4601	540	673	179	25.45	25.45	6	17
2	7428	3475	-2629	-796	-218	181	25.45	25.45	3	13
3	-13361	-7566	-3267	1473	509	-143	25.45	25.45	6	9.5
4	-13170	-7650	-3580	1270	307	55	25.45	25.45	6	12
5	-16553	-5841	-2283	1187	232	177	25.45	25.45	6	12
6	-14433	-4404	-2048	475	109	297	25.45	25.45	6	20
7	-9614	-5680	-3776	226	364	295	25.45	25.45	6	22
8	-10422	-5607	-4149	354	508	230	25.45	25.45	6	19
9	-13335	-6154	-3581	927	486	244	25.45	25.45	6	13
Massimi/minimi										
1							25.45			
1								25.45		
3										9.5

Muro [Platea]: 56 - Nodi: [126-125-115-116]Pann=16Spess.=35 cm, Terreno=terreno 1, ,Criterio=CLS_Platee_ND,
Materiale=C35/45, $\zeta_e=27.553$ [(9+10)-IV-2] : **Verificato**

Armatura a maglia doppia

Pannello	Nx	Ny	Nxy	Mx	My	Mxy	Ax	Ay	C	Cs
	kg	kg	kg	kg*m	kg*m	kg*m	cmq	cmq		
1	-724	-2711	-1351	20	225	116	25.45	25.45	7	41
2	-1374	-2116	-1507	31	159	225	25.45	25.45	7	36
3	5045	-348	-1573	270	37	139	25.45	25.45	4	31
4	-6883	1412	845	30	-327	188	25.45	25.45	5	26
5	6933	-1306	858	-322	224	92	25.45	25.45	3	30
6	-1223	-2559	-1973	29	251	204	25.45	25.45	7	31
7	-9692	-1375	-1096	273	98	152	25.45	25.45	6	35
8	-8134	457	805	244	-470	198	25.45	25.45	5	20
9	8559	-1219	771	-551	221	84	25.45	25.45	3	19
10	7987	-611	-1539	-622	66	174	25.45	25.45	3	16
11	-9761	-4155	-2610	798	194	111	25.45	25.45	6	16
12	-10718	354	-150	608	-360	179	25.45	25.45	6	19
13	-9536	-7664	-2006	1020	625	-93	25.45	25.45	6	13
14	-9858	-6110	-1707	1444	546	-90	25.45	25.45	6	9.7
15	-9579	-5601	-2272	1292	382	-59	25.45	25.45	6	11
16	-13371	-7959	-5862	1252	360	293	25.45	25.45	5	9.9
Massimi/minimi										
1							25.45			
1								25.45		
14										9.7

Muro [Platea]: 57 - Nodi: [145-144-135-136]Pann=8Spess.=35 cm, Terreno=terreno 1, ,Criterio=CLS_Platee_ND,
Materiale=C35/45, $\zeta_e=70.689$ [(9+10)-V-1] : **Verificato**

Armatura a maglia doppia

Pannello	Nx	Ny	Nxy	Mx	My	Mxy	Ax	Ay	C	Cs
	kg	kg	kg	kg*m	kg*m	kg*m	cmq	cmq		
1	-7537	-989	1594	890	238	133	25.45	25.45	6	14
2	816	-1729	572	1161	182	121	25.45	25.45	6	10
3	2957	-135	-824	1326	181	94	25.45	25.45	6	9.3
4	3506	135	-1033	1372	170	82	25.45	25.45	6	9.0
5	-7555	-1738	3867	1000	222	151	25.45	25.45	6	13
6	2480	586	-1250	1205	102	95	25.45	25.45	6	10
7	3425	244	-1159	1402	150	14	25.45	25.45	6	9.2
8	3431	459	-1137	1444	174	-30	25.45	25.45	6	8.9

**POTENZIAMENTO DELL'IMPIANTO DI DEPURAZIONE E
DEL RECAPITO FINALE DI SQUINZANO (LE)
PROGETTO DEFINITIVO
Tabulati di calcolo strutturale-Filtrazione**

R.37.9

Maggio 2021

Pagina 190 di
364

Pannello	Nx	Ny	Nxy	Mx	My	Mxy	Ax	Ay	C	Cs
Massimi/minimi										
1							25.45			
1								25.45		
8										8.9

Muro [Platea]: 58 - Nodi: [136-135-125-126]Pann=8Spess.=35 cm, Terreno=terreno 1, ,Criterio=CLS_Platee_ND,
Materiale=C35/45, $\zeta_e=31.413$ [(9+10)-V-1] : **Verificato**

Armatura a maglia doppia

Pannello	Nx	Ny	Nxy	Mx	My	Mxy	Ax	Ay	C	Cs
	kg	kg	kg	kg*m	kg*m	kg*m	cmq	cmq		
1	-1712	-1008	-1961	744	174	-201	25.45	25.45		6
2	-591	-1040	-1783	777	169	-9	25.45	25.45		6
3	3514	93	-1046	1206	128	19	25.45	25.45		6
4	3539	522	-917	1354	119	-66	25.45	25.45		6
5	2222	747	-1009	1211	83	-113	25.45	25.45		6
6	3273	1157	-779	1045	114	-65	25.45	25.45		6
7	-5566	99	-1209	687	180	-296	25.45	25.45		6
8	-3855	-1318	-2074	605	272	-353	25.45	25.45		6
Massimi/minimi										
1							25.45			
1								25.45		
4										9.2

Muro [Platea]: 59 - Nodi: [25-35-34-24]Pann=4Spess.=35 cm, Terreno=terreno 1, ,Criterio=CLS_Platee_ND,
Materiale=C35/45, $\zeta_e=57.620$ [(9+10)-XI-2] : **Verificato**

Armatura a maglia doppia

Pannello	Nx	Ny	Nxy	Mx	My	Mxy	Ax	Ay	C	Cs
	kg	kg	kg	kg*m	kg*m	kg*m	cmq	cmq		
1	-8557	-666	-990	386	-54	52	25.45	25.45		7
2	-8234	-2036	97	383	185	47	25.45	25.45		7
3	-13655	-1315	-625	1012	31	-73	25.45	25.45		6
4	-12469	-2156	1687	978	230	21	25.45	25.45		6
Massimi/minimi										
1							25.45			
1								25.45		
3										14

Muro [Platea]: 60 - Nodi: [35-44-43-34]Pann=4Spess.=35 cm, Terreno=terreno 1, ,Criterio=CLS_Platee_ND,
Materiale=C35/45, $\zeta_e=28.994$ [(9+10)-II-3] : **Verificato**

Armatura a maglia doppia

Pannello	Nx	Ny	Nxy	Mx	My	Mxy	Ax	Ay	C	Cs
	kg	kg	kg	kg*m	kg*m	kg*m	cmq	cmq		
1	-12456	-1711	3577	1074	3	-76	25.45	25.45		6
2	-11018	-2769	882	1065	355	-319	25.45	25.45		6
3	-4879	1785	3670	-117	-391	-303	25.45	25.45		5
4	-4071	-2171	1705	-48	305	-302	25.45	25.45		7
Massimi/minimi										
1							25.45			
1								25.45		
2										11

Muro : 61 - Nodi: [160-260-263-163], Pann.X=4, Pann.Y=4Spess.=25 cm, Terreno=--,Criterio=CLS_Muri_ND,
Materiale=C35/45, $\zeta_e=169.808$ [(9+10)-II-2] : **Verificato**

Armatura a maglia doppia

Pannello	Nx kg	Ny kg	Nxy kg	Mx kg*m	My kg*m	Mxy kg*m	Ax cmq	Ay cmq	C	Cs
1	-2224	-551	-855	-120	-10	-15	20.11	20.11	2	54
2	-2077	-369	-882	-109	-5	-2	20.11	20.11	2	66
3	-2012	-292	-954	-98	-10	14	20.11	20.11	2	65
4	-1794	-216	-295	-66	-21	6	20.11	20.11	4	>100
5	-1703	-761	1494	-9	48	-31	20.11	20.11	6	91
6	-1721	-437	1141	-29	-9	9	20.11	20.11	5	>100
7	-1949	-453	-979	-26	3	18	20.11	20.11	2	>100
8	-1552	-87	1339	-42	10	-28	20.11	20.11	6	>100
9	-1971	-853	1342	-11	69	-32	20.11	20.11	6	71
10	-2132	-458	-255	21	50	-8	20.11	20.11	4	>100
11	-2106	-525	-295	16	24	15	20.11	20.11	4	>100
12	-824	-823	-1138	8	-74	14	20.11	20.11	1	81
13	-2105	-826	1180	-10	86	-32	20.11	20.11	6	61
14	-1992	-491	-205	38	67	-5	20.11	20.11	4	99
15	-1709	-223	801	-27	-38	-6	20.11	20.11	8	>100
16	-2089	-1254	-383	1	-105	2	20.11	20.11	2	68
Massimi/minimi										
1							20.11			
1								20.11		
1										54

Muro : 62 - Nodi: [159-259-262-162], Pann.X=4, Pann.Y=4Spess.=25 cm, Terreno=--,Criterio=CLS_Muri_ND,
Materiale=C35/45,ζ=267.831 [(9+10)-II-2] : **Verificato**

Armatura a maglia doppia

Pannello	Nx kg	Ny kg	Nxy kg	Mx kg*m	My kg*m	Mxy kg*m	Ax cmq	Ay cmq	C	Cs
1	-1988	-328	-1150	79	12	20	20.11	20.11	4	73
2	-2075	-215	-1029	154	15	4	20.11	20.11	4	46
3	-1869	-129	-1174	123	20	12	20.11	20.11	3	54
4	-579	118	-734	72	30	34	20.11	20.11	3	67
5	-1983	-348	-1206	32	9	43	20.11	20.11	4	98
6	-1932	-215	-1109	52	-5	3	20.11	20.11	4	>100
7	-1857	-149	-1263	43	18	8	20.11	20.11	3	>100
8	-986	-165	-699	37	69	25	20.11	20.11	3	75
9	-1691	-510	-1920	-15	17	53	20.11	20.11	1	>100
10	-1385	-325	-1403	26	36	-4	20.11	20.11	8	>100
11	-870	43	-1357	23	15	13	20.11	20.11	8	>100
12	-732	-486	-742	9	107	35	20.11	20.11	1	50
13	-1976	-897	-2240	-2	43	45	20.11	20.11	6	81
14	-1348	-271	-1594	29	47	-4	20.11	20.11	8	>100
15	-1054	-692	-1429	-24	21	16	20.11	20.11	1	>100
16	-1231	-755	-726	8	148	40	20.11	20.11	1	38
Massimi/minimi										
1							20.11			
1								20.11		
16										38

Muro : 63 - Nodi: [162-262-263-163], Pann.X=4, Pann.Y=4Spess.=25 cm, Terreno=--,Criterio=CLS_Muri_ND,
Materiale=C35/45,ζ=94.979 [(9+10)-II-1] : **Verificato**

Armatura a maglia doppia

Pannello	Nx kg	Ny kg	Nxy kg	Mx kg*m	My kg*m	Mxy kg*m	Ax cmq	Ay cmq	C	Cs
1	-1665	-353	-59	223	24	54	20.11	20.11	1	26
2	-1747	-294	25	305	22	17	20.11	20.11	1	22
3	-1698	-271	-81	275	22	-39	20.11	20.11	1	23
4	-1579	-225	155	168	28	-45	20.11	20.11	1	34
5	-1619	-494	-39	93	-4	72	20.11	20.11	1	44
6	-1627	-418	-18	118	-33	23	20.11	20.11	1	51
7	-1594	-411	-45	107	-25	-53	20.11	20.11	1	45
8	-1469	-468	156	74	33	-55	20.11	20.11	1	56

**POTENZIAMENTO DELL'IMPIANTO DI DEPURAZIONE E
DEL RECAPITO FINALE DI SQUINZANO (LE)
PROGETTO DEFINITIVO
Tabulati di calcolo strutturale-Filtrazione**

R.37.9

Maggio 2021

Pagina 192 di
364

Pannello	Nx	Ny	Nxy	Mx	My	Mxy	Ax	Ay	C	Cs
9	-1044	482	-1464	61	16	-83	20.11	20.11		50
10	-1509	-535	-48	-2	-82	25	20.11	20.11		67
11	-2176	-483	-621	-15	-66	-67	20.11	20.11		53
12	-1771	-647	-421	0	57	-70	20.11	20.11		56
13	-858	580	-1439	61	9	-81	20.11	20.11		50
14	-1426	-624	-68	-75	-124	22	20.11	20.11		49
15	-2029	-616	-583	-74	-97	-62	20.11	20.11		45
16	-1835	-811	-355	-26	78	-62	20.11	20.11		51
Massimi/minimi										
1							20.11			
1								20.11		
2										22

Muro [Platea]: 64 - Nodi: [159-158-154-155]Pann=16Spess.=35 cm, Terreno=terreno 1, ,Criterio=CLS_Platee_ND, Materiale=C35/45, $\zeta_e=49.639$ [(9+10)-V-2] : **Verificato**

Armatura a maglia doppia

Pannello	Nx	Ny	Nxy	Mx	My	Mxy	Ax	Ay	C	Cs
	kg	kg	kg	kg*m	kg*m	kg*m	cmq	cmq		
1	1420	2417	-160	-128	-232	-72	25.45	25.45		44
2	60	975	-1876	11	-74	-59	25.45	25.45		>100
3	-527	-1134	-2235	67	54	-91	25.45	25.45		86
4	-2848	-3438	-3099	180	323	62	25.45	25.45		36
5	1699	1347	-799	-106	-232	57	25.45	25.45		46
6	-49	978	-1496	3	-97	143	25.45	25.45		56
7	-1552	-1201	-1174	93	154	66	25.45	25.45		62
8	-2771	-2971	-2596	189	434	124	25.45	25.45		25
9	2024	1366	-778	-128	-208	77	25.45	25.45		47
10	30	1095	-972	-20	-91	207	25.45	25.45		45
11	-1716	-2011	-1153	96	163	88	25.45	25.45		55
12	-2677	-2948	-1782	210	422	101	25.45	25.45		27
13	1891	2456	-817	-100	-182	96	25.45	25.45		48
14	168	1075	-105	-17	-75	127	25.45	25.45		66
15	-1375	-3771	-470	53	217	139	25.45	25.45		39
16	1289	-5502	-256	-134	351	26	25.45	25.45		38
Massimi/minimi										
1							25.45			
1								25.45		
8										25

Muro [Platea]: 65 - Nodi: [161-160-156-157]Pann=16Spess.=35 cm, Terreno=terreno 1, ,Criterio=CLS_Platee_ND, Materiale=C35/45, $\zeta_e=96.414$ [(9+10)-XI-2] : **Verificato**

Armatura a maglia doppia

Pannello	Nx	Ny	Nxy	Mx	My	Mxy	Ax	Ay	C	Cs
	kg	kg	kg	kg*m	kg*m	kg*m	cmq	cmq		
1	440	-37	-112	-110	-36	-48	25.45	25.45		86
2	1138	136	-279	-279	-35	-32	25.45	25.45		43
3	2220	-31	557	-459	-23	-47	25.45	25.45		26
4	3980	-582	980	-455	-12	15	25.45	25.45		28
5	554	587	539	-53	-92	-94	25.45	25.45		73
6	1217	146	634	-97	20	-167	25.45	25.45		51
7	1913	-213	873	-154	51	-144	25.45	25.45		45
8	2758	-164	626	-183	28	84	25.45	25.45		49
9	307	392	756	-20	-147	-98	25.45	25.45		55
10	1065	-24	1000	10	49	-174	25.45	25.45		61
11	1548	-568	1238	29	94	-152	25.45	25.45		55
12	-2451	-492	484	203	180	27	25.45	25.45		60
13	-1164	1516	-573	100	-194	85	25.45	25.45		48
14	-1408	265	389	204	-5	82	25.45	25.45		48
15	-1790	-588	563	257	91	58	25.45	25.45		44
16	-2621	-958	168	248	151	57	25.45	25.45		46
Massimi/minimi										
1							25.45			
1								25.45		

**POTENZIAMENTO DELL'IMPIANTO DI DEPURAZIONE E
DEL RECAPITO FINALE DI SQUINZANO (LE)
PROGETTO DEFINITIVO
Tabulati di calcolo strutturale-Filtrazione**

R.37.9

Maggio 2021

Pagina 193 di
364

Pannello	Nx	Ny	Nxy	Mx	My	Mxy	Ax	Ay	C	Cs
3										26

Muro [Platea]: 66 - Nodi: [160-159-155-156]Pann=16Spess.=35 cm, Terreno=terreno 1, ,Criterio=CLS_Platee_ND,
Materiale=C35/45, $\zeta_e=128.156$ [(9+10)-VIII-1] : **Verificato**

Armatura a maglia doppia

Pannello	Nx	Ny	Nxy	Mx	My	Mxy	Ax	Ay	C	Cs
	kg	kg	kg	kg*m	kg*m	kg*m	cmq	cmq		
1	-1281	1975	-1071	32	-408	-14	25.45	25.45	6	31
2	-2077	992	-1582	87	-107	-73	25.45	25.45	6	74
3	-1146	-615	153	5	125	-136	25.45	25.45	1	52
4	-1365	-701	584	59	208	-61	25.45	25.45	1	51
5	-1255	1045	-712	-2	-624	20	25.45	25.45	6	21
6	-1735	805	-841	83	-180	6	25.45	25.45	6	72
7	-2914	437	-1248	204	190	50	25.45	25.45	7	55
8	-2845	729	-953	217	445	65	25.45	25.45	6	26
9	-1015	921	-495	-8	-651	29	25.45	25.45	6	20
10	-1390	629	-794	81	-195	30	25.45	25.45	6	60
11	-2517	104	-1279	188	210	93	25.45	25.45	7	45
12	-3196	478	-1167	259	531	95	25.45	25.45	6	22
13	-405	1859	399	-13	-435	56	25.45	25.45	6	27
14	-851	736	104	49	-128	171	25.45	25.45	6	45
15	-1954	-920	-668	137	160	187	25.45	25.45	7	39
16	-2874	-1364	-1363	240	406	162	25.45	25.45	6	24
Massimi/minimi										
1							25.45			
1								25.45		
9										20

Muro [Platea]: 67 - Nodi: [163-162-159-160]Pann=16Spess.=35 cm, Terreno=terreno 1, ,Criterio=CLS_Platee_ND,
Materiale=C35/45, $\zeta_e=143.103$ [(9+10)-VII-1] : **Verificato**

Armatura a maglia doppia

Pannello	Nx	Ny	Nxy	Mx	My	Mxy	Ax	Ay	C	Cs
	kg	kg	kg	kg*m	kg*m	kg*m	cmq	cmq		
1	30	527	-458	-88	-153	-73	25.45	25.45	3	60
2	-225	469	-377	-152	-2	-61	25.45	25.45	3	64
3	-326	548	-203	-175	12	16	25.45	25.45	4	71
4	-558	1534	-48	-35	-218	71	25.45	25.45	6	46
5	-343	471	-514	17	-306	-55	25.45	25.45	3	37
6	-771	-241	-456	149	162	-4	25.45	25.45	7	82
7	-834	-171	-472	155	117	42	25.45	25.45	7	69
8	-840	270	-299	59	-213	72	25.45	25.45	6	48
9	-485	531	-226	33	-345	4	25.45	25.45	3	39
10	-857	-318	-651	171	179	49	25.45	25.45	7	60
11	-1016	-295	-397	182	136	30	25.45	25.45	7	64
12	-910	201	-329	58	-214	19	25.45	25.45	6	58
13	-131	752	1	-17	-206	71	25.45	25.45	3	49
14	-1174	-202	-676	72	93	63	25.45	25.45	7	87
15	-1278	-33	376	58	97	6	25.45	25.45	3	>100
16	-849	1131	-112	22	-190	-39	25.45	25.45	6	59
Massimi/minimi										
1							25.45			
1								25.45		
5										37

Muro : 68 - Nodi: [158-258-259-159], Pann.X=4, Pann.Y=4Spess.=25 cm, Terreno=--,Criterio=CLS_Muri_ND,
Materiale=C35/45, $\zeta_e=48.347$ [(9+10)-V-3] : **Verificato**

Armatura a maglia doppia

**POTENZIAMENTO DELL'IMPIANTO DI DEPURAZIONE E
DEL RECAPITO FINALE DI SQUINZANO (LE)
PROGETTO DEFINITIVO
Tabulati di calcolo strutturale-Filtrazione**

R.37.9

Maggio 2021

Pagina 194 di
364

Pannello	Nx	Ny	Nxy	Mx	My	Mxy	Ax	Ay	C	Cs
	kg	kg	kg	kg*m	kg*m	kg*m	cmq	cmq		
1	-3515	-316	-2918	389	68	-88	20.11	20.11		5 16
2	-1703	-172	-1645	305	63	-27	20.11	20.11		6 22
3	-2260	-81	-1196	273	41	-4	20.11	20.11		6 26
4	-3069	124	-949	202	4	-10	20.11	20.11		6 35
5	-2476	131	-2257	217	68	-116	20.11	20.11		5 22
6	-2298	-134	-1835	203	77	-34	20.11	20.11		6 31
7	-2502	9	-1447	172	38	-25	20.11	20.11		6 37
8	-3040	178	-1266	118	-39	-59	20.11	20.11		6 42
9	-2031	324	-2153	124	51	-124	20.11	20.11		5 29
10	-2312	199	-1675	120	59	-41	20.11	20.11		6 45
11	-2621	206	-1613	102	27	-44	20.11	20.11		6 50
12	-2989	320	-1532	70	-53	-84	20.11	20.11		6 48
13	-1949	227	-2098	77	25	-134	20.11	20.11		5 35
14	-2202	310	-1665	70	29	-44	20.11	20.11		6 64
15	-2511	335	-1662	62	12	-50	20.11	20.11		6 65
16	-2876	399	-1706	44	-49	-96	20.11	20.11		6 49
Massimi/minimi										
1							20.11			
1								20.11		
1										16

Muro : 69 - Nodi: [160-260-261-161], Pann.X=4, Pann.Y=4Spess.=25 cm, Terreno=--,Criterio=CLS_Muri_ND,
Materiale=C35/45,ζ_e=199.027 [(9+10)-V-2] : **Verificato**

Armatura a maglia doppia

Pannello	Nx	Ny	Nxy	Mx	My	Mxy	Ax	Ay	C	Cs
	kg	kg	kg	kg*m	kg*m	kg*m	cmq	cmq		
1	-2102	-445	-120	129	24	13	20.11	20.11		1 51
2	-1705	-335	-296	148	32	30	20.11	20.11		1 41
3	-1042	-167	-69	160	37	60	20.11	20.11		1 33
4	-346	37	260	182	37	81	20.11	20.11		1 27
5	-2643	71	-943	45	-16	-78	20.11	20.11		6 59
6	-1679	-302	-307	86	49	31	20.11	20.11		1 62
7	-1119	-254	-170	96	62	66	20.11	20.11		1 44
8	-409	-91	145	103	62	83	20.11	20.11		1 38
9	-2535	284	-998	41	-35	-70	20.11	20.11		6 66
10	-1760	317	-952	57	26	-64	20.11	20.11		6 60
11	-1182	-430	-222	53	87	68	20.11	20.11		1 46
12	-639	-427	125	62	102	87	20.11	20.11		1 38
13	-2469	483	-1016	34	-53	-62	20.11	20.11		6 61
14	-1516	-622	-303	23	85	40	20.11	20.11		1 57
15	-1222	-711	-201	31	113	70	20.11	20.11		1 39
16	-974	-927	-421	32	198	44	20.11	20.11		2 30
Massimi/minimi										
1							20.11			
1								20.11		
4										27

Muro : 70 - Nodi: [159-259-260-160], Pann.X=4, Pann.Y=4Spess.=25 cm, Terreno=--,Criterio=CLS_Muri_ND,
Materiale=C35/45,ζ_e=160.378 [(9+10)-VIII-4] : **Verificato**

Armatura a maglia doppia

Pannello	Nx	Ny	Nxy	Mx	My	Mxy	Ax	Ay	C	Cs
	kg	kg	kg	kg*m	kg*m	kg*m	cmq	cmq		
1	-3492	-339	686	145	19	-16	20.11	20.11		6 46
2	-3914	-347	474	101	13	-27	20.11	20.11		6 58
3	-3289	-415	-1172	90	14	8	20.11	20.11		1 76
4	-2819	-353	-1510	107	8	-2	20.11	20.11		1 68
5	-3453	-24	629	99	13	-15	20.11	20.11		6 65
6	-3851	73	468	81	10	-39	20.11	20.11		6 62
7	-3835	174	244	45	2	-40	20.11	20.11		6 88
8	-3272	320	63	35	-4	-37	20.11	20.11		6 >100
9	-3352	293	603	68	5	-14	20.11	20.11		6 90
10	-3679	406	426	64	7	-47	20.11	20.11		6 67

**POTENZIAMENTO DELL'IMPIANTO DI DEPURAZIONE E
DEL RECAPITO FINALE DI SQUINZANO (LE)
PROGETTO DEFINITIVO
Tabulati di calcolo strutturale-Filtrazione**

R.37.9

Maggio 2021

Pagina 195 di
364

Pannello	Nx	Ny	Nxy	Mx	My	Mxy	Ax	Ay	C	Cs
11	-3670	545	185	45	2	-47	20.11	20.11	6	81
12	-3159	712	6	36	-3	-35	20.11	20.11	6	>100
13	-3218	605	557	48	-4	-12	20.11	20.11	6	>100
14	-3475	676	384	51	2	-50	20.11	20.11	6	73
15	-3471	827	117	42	3	-51	20.11	20.11	6	79
16	-3011	1011	-62	35	1	-35	20.11	20.11	6	>100
Massimi/minimi										
1							20.11			
1								20.11		
1										46

Muro : 71 - Nodi: [157-257-261-161], Pann.X=4, Pann.Y=4Spess.=25 cm, Terreno=--,Criterio=CLS_Muri_ND,
Materiale=C35/45,ζ=190.562 [(9+10)-VIII-3] : **Verificato**

Armatura a maglia doppia

Pannello	Nx	Ny	Nxy	Mx	My	Mxy	Ax	Ay	C	Cs
	kg	kg	kg	kg*m	kg*m	kg*m	cmq	cmq		
1	-3188	-267	-1471	-876	-102	99	20.11	20.11	1	7.6
2	-2224	-182	-1513	-627	-72	116	20.11	20.11	1	9.8
3	-1101	-9	-1335	-360	-44	130	20.11	20.11	1	15
4	604	318	-865	-161	-35	112	20.11	20.11	1	26
5	-2933	-121	-1484	-568	-47	166	20.11	20.11	1	10
6	-2136	-72	-1580	-396	-31	188	20.11	20.11	1	12
7	-1140	68	-1457	-227	-29	199	20.11	20.11	1	17
8	345	208	-965	-106	-60	151	20.11	20.11	1	27
9	-2695	-78	-1500	-329	1	227	20.11	20.11	1	13
10	-2015	-60	-1613	-220	1	251	20.11	20.11	1	15
11	-1141	-26	-1515	-124	-23	253	20.11	20.11	1	19
12	-871	-348	-195	-62	-130	155	20.11	20.11	2	25
13	-2473	-97	-1508	-147	43	267	20.11	20.11	1	18
14	-1890	-120	-1610	-89	26	288	20.11	20.11	1	19
15	-1351	-493	-490	-37	-57	278	20.11	20.11	2	21
16	-1014	-532	-188	-37	-201	165	20.11	20.11	2	20
Massimi/minimi										
1							20.11			
1								20.11		
1										7.6

Muro : 72 - Nodi: [154-254-258-158], Pann.X=4, Pann.Y=4Spess.=25 cm, Terreno=--,Criterio=CLS_Muri_ND,
Materiale=C35/45,ζ=25.552 [(9+10)-XI-2] : **Verificato**

Armatura a maglia doppia

Pannello	Nx	Ny	Nxy	Mx	My	Mxy	Ax	Ay	C	Cs
	kg	kg	kg	kg*m	kg*m	kg*m	cmq	cmq		
1	-10959	-709	-10068	459	246	-277	20.11	20.11	5	11
2	-1929	-111	-3667	287	52	-70	20.11	20.11	2	20
3	-884	-68	-418	112	-4	53	20.11	20.11	4	44
4	500	133	-336	77	1	17	20.11	20.11	4	74
5	-10795	1383	-6447	-221	156	172	20.11	20.11	6	21
6	-3246	-424	-5950	-13	134	-99	20.11	20.11	5	31
7	-841	416	-1725	-3	-30	89	20.11	20.11	7	59
8	1622	728	-1270	12	-89	54	20.11	20.11	7	49
9	-9544	2114	-5004	-344	-58	268	20.11	20.11	6	13
10	-4023	567	-5166	-178	97	95	20.11	20.11	6	27
11	-961	460	-2089	-19	-57	107	20.11	20.11	7	43
12	1156	755	-1353	5	-134	68	20.11	20.11	7	35
13	-8259	2516	-4045	-332	-145	306	20.11	20.11	6	12
14	-4360	1306	-4776	-209	36	179	20.11	20.11	6	19
15	-1139	633	-2227	-26	-89	124	20.11	20.11	7	33
16	683	694	-1467	-6	-180	79	20.11	20.11	7	27
Massimi/minimi										
1							20.11			
1								20.11		
1										11

**POTENZIAMENTO DELL'IMPIANTO DI DEPURAZIONE E
DEL RECAPITO FINALE DI SQUINZANO (LE)
PROGETTO DEFINITIVO
Tabulati di calcolo strutturale-Filtrazione**

R.37.9

Maggio 2021

Pagina 196 di
364

Muro : 73 - Nodi: [110-210-211-111], Pann.X=4, Pann.Y=4Spess.=25 cm, Terreno=--,Criterio=CLS_Muri_ND,
Materiale=C35/45,ζ_e=258.970 [(9+10)-V-1] : **Verificato**

Armatura a maglia doppia

Pannello	Nx	Ny	Nxy	Mx	My	Mxy	Ax	Ay	C	Cs
	kg	kg	kg	kg*m	kg*m	kg*m	cmq	cmq		
1	-1751	-1421	723	152	169	-130	20.11	20.11	2	24
2	-1737	-1285	704	171	207	-80	20.11	20.11	2	25
3	-1726	-1182	666	176	216	-23	20.11	20.11	2	30
4	-1889	-887	871	171	199	41	20.11	20.11	1	30
5	-1282	-1831	404	196	207	-113	20.11	20.11	5	23
6	-1615	-1463	615	228	254	-73	20.11	20.11	2	22
7	-1595	-1341	600	238	267	-23	20.11	20.11	2	25
8	-1778	-1000	796	230	245	34	20.11	20.11	1	26
9	-1171	-1995	339	218	233	-94	20.11	20.11	5	22
10	-1510	-1602	514	255	290	-62	20.11	20.11	2	21
11	-1481	-1467	525	268	306	-22	20.11	20.11	2	22
12	-1680	-1090	705	258	280	25	20.11	20.11	1	24
13	-1085	-2097	281	221	252	-74	20.11	20.11	5	22
14	-1005	-2034	306	258	319	-50	20.11	20.11	5	20
15	-1384	-1556	443	273	335	-21	20.11	20.11	2	20
16	-1593	-1155	602	263	306	15	20.11	20.11	1	22
Massimi/minimi										
1							20.11			
1								20.11		
14										20

Muro : 74 - Nodi: [112-212-222-122], Pann.X=4, Pann.Y=4Spess.=25 cm, Terreno=--,Criterio=CLS_Muri_ND,
Materiale=C35/45,ζ_e=61.265 [(9+10)-II-2] : **Verificato**

Armatura a maglia doppia

Pannello	Nx	Ny	Nxy	Mx	My	Mxy	Ax	Ay	C	Cs
	kg	kg	kg	kg*m	kg*m	kg*m	cmq	cmq		
1	-980	-3375	2311	42	118	-103	20.11	20.11	5	34
2	-2218	-3370	1667	23	120	-32	20.11	20.11	1	49
3	-2285	-2882	2352	37	104	3	20.11	20.11	2	69
4	-2715	-2555	2288	43	85	27	20.11	20.11	2	65
5	-1700	-4148	2136	40	164	-98	20.11	20.11	5	29
6	-2194	-3993	1763	28	155	-21	20.11	20.11	2	42
7	-2239	-3554	2034	33	127	9	20.11	20.11	2	55
8	-2484	-3152	2030	34	101	30	20.11	20.11	2	56
9	-2205	-4699	1937	39	206	-90	20.11	20.11	5	25
10	-2389	-4496	1439	28	185	-15	20.11	20.11	2	37
11	-2216	-4069	1692	30	148	13	20.11	20.11	2	47
12	-2302	-3640	1726	28	116	31	20.11	20.11	2	50
13	-2545	-4871	1681	39	244	-82	20.11	20.11	5	23
14	-2511	-4827	1156	28	213	-10	20.11	20.11	2	34
15	-2198	-4426	1357	28	167	15	20.11	20.11	2	41
16	-2157	-4001	1406	24	128	31	20.11	20.11	2	47
Massimi/minimi										
1							20.11			
1								20.11		
13										23

Muro : 75 - Nodi: [122-222-232-132], Pann.X=4, Pann.Y=4Spess.=25 cm, Terreno=--,Criterio=CLS_Muri_ND,
Materiale=C35/45,ζ_e=173.282 [(9+10)-V-2] : **Verificato**

Armatura a maglia doppia

Pannello	Nx	Ny	Nxy	Mx	My	Mxy	Ax	Ay	C	Cs
	kg	kg	kg	kg*m	kg*m	kg*m	cmq	cmq		
1	-3187	-2265	1947	46	65	47	20.11	20.11	2	65
2	-4290	-1692	2093	50	41	57	20.11	20.11	5	70
3	-4657	-1641	1314	33	-0	42	20.11	20.11	5	>100

**POTENZIAMENTO DELL'IMPIANTO DI DEPURAZIONE E
DEL RECAPITO FINALE DI SQUINZANO (LE)
PROGETTO DEFINITIVO
Tabulati di calcolo strutturale-Filtrazione**

R.37.9

Maggio 2021

Pagina 197 di
364

Pannello	Nx	Ny	Nxy	Mx	My	Mxy	Ax	Ay	C	Cs
4	-3824	-1970	243	3	-110	31	20.11	20.11	2	52
5	-2832	-2760	1770	31	72	47	20.11	20.11	2	61
6	-3157	-2447	1283	20	35	53	20.11	20.11	2	83
7	-3343	-2287	740	1	-21	38	20.11	20.11	2	>100
8	-3454	-2212	217	-18	-123	30	20.11	20.11	2	48
9	-2527	-3187	1543	21	78	45	20.11	20.11	2	60
10	-2789	-2797	1145	6	31	48	20.11	20.11	2	94
11	-2966	-2567	670	-12	-34	34	20.11	20.11	2	>100
12	-3079	-2445	176	-29	-133	29	20.11	20.11	2	45
13	-2269	-3524	1288	14	83	42	20.11	20.11	2	59
14	-2468	-3085	975	-2	26	42	20.11	20.11	2	>100
15	-2620	-2806	572	-19	-45	30	20.11	20.11	2	98
16	-2718	-2651	128	-34	-139	29	20.11	20.11	2	44
Massimi/minimi										
1							20.11			
1								20.11		
16										44

Muro : 76 - Nodi: [111-211-212-112], Pann.X=4, Pann.Y=4Spess.=25 cm, Terreno=--,Criterio=CLS_Muri_ND,
Materiale=C35/45, $\xi_s=130.587$ [(9+10)-V-4] : **Verificato**

Armatura a maglia doppia

Pannello	Nx	Ny	Nxy	Mx	My	Mxy	Ax	Ay	C	Cs
	kg	kg	kg	kg*m	kg*m	kg*m	cmq	cmq		
1	-1848	-799	877	148	147	90	20.11	20.11	1	30
2	-1789	-734	945	107	38	115	20.11	20.11	1	33
3	-1784	-662	1087	52	-156	90	20.11	20.11	1	29
4	-1872	-559	1252	-14	-482	-18	20.11	20.11	1	14
5	-1759	-883	821	199	179	76	20.11	20.11	1	26
6	-1742	-778	895	145	44	95	20.11	20.11	1	30
7	-1767	-664	1024	74	-191	71	20.11	20.11	1	27
8	-1851	-529	1177	-2	-579	-24	20.11	20.11	1	12
9	-1680	-949	745	222	202	57	20.11	20.11	1	26
10	-1691	-812	822	160	45	71	20.11	20.11	1	31
11	-1741	-664	939	80	-222	49	20.11	20.11	1	26
12	-1824	-497	1083	-1	-658	-28	20.11	20.11	1	10
13	-1609	-996	653	225	218	38	20.11	20.11	1	27
14	-853	-2329	245	160	57	46	20.11	20.11	5	35
15	-1707	-669	836	78	-251	25	20.11	20.11	1	26
16	-1770	-488	964	-4	-716	-33	20.11	20.11	1	9.5
Massimi/minimi										
1							20.11			
1								20.11		
16										9.5

Muro : 77 - Nodi: [109-209-210-110], Pann.X=4, Pann.Y=4Spess.=25 cm, Terreno=--,Criterio=CLS_Muri_ND,
Materiale=C35/45, $\xi_s=288.463$ [(9+10)-V-3] : **Verificato**

Armatura a maglia doppia

Pannello	Nx	Ny	Nxy	Mx	My	Mxy	Ax	Ay	C	Cs
	kg	kg	kg	kg*m	kg*m	kg*m	cmq	cmq		
1	-2356	-2099	120	-9	-390	-64	20.11	20.11	2	16
2	-1978	-1945	444	40	-156	-140	20.11	20.11	2	25
3	-1826	-1755	625	86	-0	-164	20.11	20.11	2	29
4	-1772	-1580	705	123	101	-159	20.11	20.11	2	26
5	-2535	-2317	45	-9	-463	-53	20.11	20.11	2	14
6	-2059	-2175	295	50	-191	-117	20.11	20.11	2	24
7	-1412	-2068	335	106	-1	-140	20.11	20.11	5	29
8	-1707	-1803	562	158	119	-138	20.11	20.11	2	25
9	-2624	-2422	-21	-13	-519	-39	20.11	20.11	2	13
10	-2106	-2294	157	50	-220	-91	20.11	20.11	2	23
11	-1383	-2215	228	113	-7	-112	20.11	20.11	5	32
12	-1248	-2099	305	170	134	-112	20.11	20.11	5	26
13	-2628	-2393	-91	-19	-559	-27	20.11	20.11	2	12
14	-2125	-2332	54	45	-245	-66	20.11	20.11	2	23

**POTENZIAMENTO DELL'IMPIANTO DI DEPURAZIONE E
DEL RECAPITO FINALE DI SQUINZANO (LE)
PROGETTO DEFINITIVO
Tabulati di calcolo strutturale-Filtrazione**

R.37.9

Maggio 2021

Pagina 198 di
364

Pannello	Nx	Ny	Nxy	Mx	My	Mxy	Ax	Ay	C	Cs
15	-1357	-2280	140	111	-15	-84	20.11	20.11	5	37
16	-1184	-2186	224	170	140	-86	20.11	20.11	5	28
Massimi/minimi										
1							20.11			
1								20.11		
13										12

Muro : 78 - Nodi: [113-213-214-114], Pann.X=4, Pann.Y=4Spess.=25 cm, Terreno=--,Criterio=CLS_Muri_ND,
Materiale=C35/45,ζ_e=36.427 [(9+10)-I-4] : **Verificato**

Armatura a maglia doppia

Pannello	Nx	Ny	Nxy	Mx	My	Mxy	Ax	Ay	C	Cs
	kg	kg	kg	kg*m	kg*m	kg*m	cmq	cmq		
1	-2559	37	1374	74	31	-208	20.11	20.11	1	26
2	-3249	633	1478	105	185	-139	20.11	20.11	1	22
3	-2493	-1896	-761	72	223	24	20.11	20.11	2	29
4	-2018	-3262	-1378	4	191	169	20.11	20.11	2	21
5	-2491	47	1225	137	39	-195	20.11	20.11	1	22
6	-3108	704	1249	212	239	-135	20.11	20.11	1	19
7	-2237	-2052	-503	193	291	14	20.11	20.11	2	24
8	-3541	3115	351	162	223	134	20.11	20.11	1	19
9	-2406	29	1057	173	41	-172	20.11	20.11	1	21
10	-2945	713	1011	279	284	-123	20.11	20.11	1	17
11	-3320	1635	662	302	339	-2	20.11	20.11	1	20
12	-3140	2827	-101	234	263	110	20.11	20.11	1	18
13	-2279	-12	877	188	39	-141	20.11	20.11	1	22
14	-2753	666	782	316	318	-105	20.11	20.11	1	17
15	-3059	1506	372	348	385	-8	20.11	20.11	1	18
16	-2778	2402	-418	278	294	85	20.11	20.11	1	18
Massimi/minimi										
1							20.11			
1								20.11		
14										17

Muro : 79 - Nodi: [112-212-213-113], Pann.X=4, Pann.Y=4Spess.=25 cm, Terreno=--,Criterio=CLS_Muri_ND,
Materiale=C35/45,ζ_e=58.450 [(9+10)-V-4] : **Verificato**

Armatura a maglia doppia

Pannello	Nx	Ny	Nxy	Mx	My	Mxy	Ax	Ay	C	Cs
	kg	kg	kg	kg*m	kg*m	kg*m	cmq	cmq		
1	-1952	-333	1141	-4	-342	-115	20.11	20.11	1	16
2	-2034	-279	1178	10	-270	-147	20.11	20.11	1	17
3	-2116	-216	1214	23	-206	-170	20.11	20.11	1	19
4	-2208	-114	1251	36	-149	-185	20.11	20.11	1	21
5	-1944	-397	1006	13	-425	-101	20.11	20.11	1	14
6	-2015	-339	1050	32	-337	-132	20.11	20.11	1	15
7	-2090	-269	1090	51	-258	-154	20.11	20.11	1	17
8	-2170	-185	1132	69	-188	-169	20.11	20.11	1	20
9	-1937	-456	868	19	-499	-84	20.11	20.11	1	12
10	-1994	-407	903	41	-399	-111	20.11	20.11	1	14
11	-2069	-329	943	63	-309	-131	20.11	20.11	1	16
12	-2131	-278	991	85	-228	-144	20.11	20.11	1	19
13	-1919	-465	720	16	-561	-67	20.11	20.11	1	11
14	-1976	-442	772	40	-450	-89	20.11	20.11	1	13
15	-2033	-398	802	63	-351	-105	20.11	20.11	1	16
16	-2111	-366	818	85	-261	-117	20.11	20.11	1	19
Massimi/minimi										
1							20.11			
1								20.11		
13										11

Muro : 80 - Nodi: [109-119-219-209], Pann.X=4, Pann.Y=4Spess.=25 cm, Terreno=--,Criterio=CLS_Muri_ND,
Materiale=C35/45, $\zeta_e=165.643$ [(9+10)-V-3] : **Verificato**

Armatura a maglia doppia

Pannello	Nx	Ny	Nxy	Mx	My	Mxy	Ax	Ay	C	Cs
	kg	kg	kg	kg*m	kg*m	kg*m	cmq	cmq		
1	-2102	-2234	366	-380	-4	-28	20.11	20.11		2 18
2	-2400	-2474	300	-445	-7	-19	20.11	20.11		2 16
3	-2578	-2617	241	-495	-14	-11	20.11	20.11		2 14
4	-2615	-2670	176	-529	-21	-5	20.11	20.11		2 14
5	-1948	-1858	761	-135	46	-73	20.11	20.11		2 35
6	-2251	-1957	618	-165	48	-54	20.11	20.11		2 33
7	-2440	-2026	478	-192	43	-36	20.11	20.11		2 32
8	-2539	-2063	365	-215	34	-19	20.11	20.11		2 31
9	-1760	-1718	965	21	90	-91	20.11	20.11		2 40
10	-2052	-1714	814	17	99	-72	20.11	20.11		2 42
11	-2256	-1715	661	10	95	-53	20.11	20.11		2 49
12	-2374	-1715	518	0	85	-34	20.11	20.11		2 61
13	-1591	-1670	1050	113	121	-82	20.11	20.11		2 36
14	-1862	-1603	919	129	137	-69	20.11	20.11		2 35
15	-2064	-1554	776	137	136	-54	20.11	20.11		2 38
16	-2194	-1611	580	143	127	-35	20.11	20.11		1 41
Massimi/minimi										
1							20.11			
1								20.11		
4										14

Muro : 81 - Nodi: [129-229-230-130], Pann.X=4, Pann.Y=4Spess.=25 cm, Terreno=--,Criterio=CLS_Muri_ND,
Materiale=C35/45, $\zeta_e=196.144$ [(9+10)-V-2] : **Verificato**

Armatura a maglia doppia

Pannello	Nx	Ny	Nxy	Mx	My	Mxy	Ax	Ay	C	Cs
	kg	kg	kg	kg*m	kg*m	kg*m	cmq	cmq		
1	-2354	-3642	2267	-8	-63	19	20.11	20.11		2 91
2	-1882	-3312	2860	-7	-55	16	20.11	20.11		2 >100
3	-1883	471	723	-5	-39	-15	20.11	20.11	(9+10)-V-4	>100
4	-2308	393	653	-4	-32	-24	20.11	20.11	(9+10)-V-4	>100
5	-2789	-4224	2094	-9	-82	18	20.11	20.11		2 75
6	-2081	-3878	2523	-9	-70	15	20.11	20.11		2 88
7	-1771	418	773	-8	-50	-14	20.11	20.11	(9+10)-V-4	>100
8	-2144	356	721	-5	-40	-24	20.11	20.11	(9+10)-V-4	>100
9	-3029	-4575	1894	-11	-100	17	20.11	20.11		2 64
10	-2218	-4208	2173	-10	-84	14	20.11	20.11		2 77
11	-1672	322	812	-10	-61	-14	20.11	20.11	(9+10)-V-4	94
12	-1994	276	776	-8	-49	-24	20.11	20.11	(9+10)-V-4	96
13	-3113	-4624	1644	-12	-116	15	20.11	20.11		2 57
14	-2295	-4349	1850	-11	-97	12	20.11	20.11		2 69
15	-1580	196	838	-11	-72	-14	20.11	20.11	(9+10)-V-4	82
16	-1860	172	813	-9	-58	-24	20.11	20.11	(9+10)-V-4	86
Massimi/minimi										
1							20.11			
1								20.11		
13										57

Muro : 82 - Nodi: [119-129-229-219], Pann.X=4, Pann.Y=4Spess.=25 cm, Terreno=--,Criterio=CLS_Muri_ND,
Materiale=C35/45, $\zeta_e=323.851$ [(9+10)-V-1] : **Verificato**

Armatura a maglia doppia

Pannello	Nx	Ny	Nxy	Mx	My	Mxy	Ax	Ay	C	Cs
	kg	kg	kg	kg*m	kg*m	kg*m	cmq	cmq		
1	-1425	-1641	1076	165	139	-47	20.11	20.11		2 34
2	-1662	-1541	976	193	160	-44	20.11	20.11		2 31
3	-1849	-1462	860	210	161	-39	20.11	20.11		2 29
4	-1980	-1403	738	219	151	-35	20.11	20.11		2 29
5	-1290	-1704	1001	150	131	10	20.11	20.11		1 45
6	-1479	-1512	1014	177	153	-5	20.11	20.11		2 40

**POTENZIAMENTO DELL'IMPIANTO DI DEPURAZIONE E
DEL RECAPITO FINALE DI SQUINZANO (LE)
PROGETTO DEFINITIVO
Tabulati di calcolo strutturale-Filtrazione**

R.37.9

Maggio 2021

Pagina 200 di
364

Pannello	Nx	Ny	Nxy	Mx	My	Mxy	Ax	Ay	C	Cs
7	-1641	-1428	927	194	155	-14	20.11	20.11	2	35
8	-1758	-1361	829	202	146	-23	20.11	20.11	2	32
9	-1196	-1674	1037	38	92	41	20.11	20.11	1	55
10	-1359	-1601	989	43	107	25	20.11	20.11	1	55
11	-1494	-1536	924	45	108	7	20.11	20.11	1	63
12	-1580	-1407	926	46	100	-16	20.11	20.11	2	62
13	-1078	-1507	1268	-221	27	-16	20.11	20.11	5	30
14	-1196	-1492	1235	-261	36	-27	20.11	20.11	5	25
15	-1289	-1480	1175	-290	35	-36	20.11	20.11	5	22
16	-1360	-1460	1093	-307	29	-44	20.11	20.11	5	21
Massimi/minimi										
1							20.11			
1								20.11		
16										21

Muro : 83 - Nodi: [130-230-231-131], Pann.X=4, Pann.Y=4Spess.=25 cm, Terreno=--,Criterio=CLS_Muri_ND,
Materiale=C35/45, $\zeta_e=113.097$ [(9+10)-I-3] : **Verificato**

Armatura a maglia doppia

Pannello	Nx	Ny	Nxy	Mx	My	Mxy	Ax	Ay	C	Cs
	kg	kg	kg	kg*m	kg*m	kg*m	cmq	cmq		
1	-2643	286	523	-3	-23	-33	20.11	20.11	(9+10)-V-4	>100
2	-2873	137	361	-3	-15	-39	20.11	20.11	(9+10)-V-4	>100
3	-2994	-29	207	-3	-6	-42	20.11	20.11	(9+10)-V-4	>100
4	-2962	-213	99	-9	3	-38	20.11	20.11	(9+10)-II-4	>100
5	-2452	262	611	-5	-30	-33	20.11	20.11	(9+10)-V-4	>100
6	-2678	134	464	-4	-18	-39	20.11	20.11	(9+10)-V-4	>100
7	-2812	-13	322	-3	-6	-42	20.11	20.11	(9+10)-V-4	>100
8	-2886	-173	209	-2	6	-41	20.11	20.11	(9+10)-V-4	>100
9	-2272	205	683	-7	-36	-33	20.11	20.11	(9+10)-V-4	>100
10	-2491	105	552	-4	-22	-40	20.11	20.11	(9+10)-V-4	>100
11	-2635	-15	420	-3	-7	-42	20.11	20.11	(9+10)-V-4	>100
12	-2732	-141	310	-1	8	-41	20.11	20.11	(9+10)-V-4	>100
13	-2103	126	735	-8	-43	-33	20.11	20.11	(9+10)-V-4	93
14	-2312	55	619	-5	-26	-39	20.11	20.11	(9+10)-V-4	>100
15	-2463	-30	496	-3	-8	-42	20.11	20.11	(9+10)-V-4	>100
16	-2578	-121	385	-1	10	-41	20.11	20.11	(9+10)-V-4	>100
Massimi/minimi										
1							20.11			
1								20.11		
13										93

Muro : 84 - Nodi: [131-231-232-132], Pann.X=4, Pann.Y=4Spess.=25 cm, Terreno=--,Criterio=CLS_Muri_ND,
Materiale=C35/45, $\zeta_e=103.886$ [(9+10)-I-4] : **Verificato**

Armatura a maglia doppia

Pannello	Nx	Ny	Nxy	Mx	My	Mxy	Ax	Ay	C	Cs
	kg	kg	kg	kg*m	kg*m	kg*m	cmq	cmq		
1	-3053	-426	15	-2	16	-36	20.11	20.11	(9+10)-V-4	>100
2	-3031	-644	45	-1	31	-26	20.11	20.11	(9+10)-V-4	>100
3	-3344	-744	136	2	47	-12	20.11	20.11	(9+10)-V-4	>100
4	-3891	-660	25	5	63	1	20.11	20.11	(9+10)-V-4	>100
5	-2855	-346	139	-0	22	-36	20.11	20.11	(9+10)-V-4	>100
6	-2977	-494	129	1	39	-26	20.11	20.11	(9+10)-V-4	>100
7	-3262	-533	126	4	58	-11	20.11	20.11	(9+10)-V-4	>100
8	-3618	-453	-31	7	78	2	20.11	20.11	(9+10)-V-4	90
9	-2738	-270	228	1	27	-36	20.11	20.11	(9+10)-V-4	>100
10	-2883	-363	176	3	48	-26	20.11	20.11	(9+10)-V-4	96
11	-3128	-370	106	6	70	-11	20.11	20.11	(9+10)-V-4	88
12	-3413	-317	-79	9	92	2	20.11	20.11	(9+10)-V-4	75
13	-2605	-207	288	2	32	-36	20.11	20.11	(9+10)-V-4	>100
14	-2757	-260	201	5	56	-26	20.11	20.11	(9+10)-V-4	86
15	-2963	-266	85	8	81	-11	20.11	20.11	(9+10)-V-4	77
16	-3159	-213	-118	10	107	2	20.11	20.11	(9+10)-V-4	65
Massimi/minimi										

**POTENZIAMENTO DELL'IMPIANTO DI DEPURAZIONE E
DEL RECAPITO FINALE DI SQUINZANO (LE)
PROGETTO DEFINITIVO
Tabulati di calcolo strutturale-Filtrazione**

R.37.9

Maggio 2021

Pagina 201 di
364

Pannello	Nx	Ny	Nxy	Mx	My	Mxy	Ax	Ay	C	Cs
1							20.11			
1								20.11		
16										65

Muro : 85 - Nodi: [114-214-215-115], Pann.X=4, Pann.Y=4Spess.=25 cm, Terreno=--,Criterio=CLS_Muri_ND,
Materiale=C35/45,ζ=10.834 [(9+10)-I-4] : **Verificato**

Armatura a maglia doppia

Pannello	Nx	Ny	Nxy	Mx	My	Mxy	Ax	Ay	C	Cs
	kg	kg	kg	kg*m	kg*m	kg*m	cmq	cmq		
1	1563	-26656	-5905	-172	90	225	20.11	20.11	5	17
2	659	-35311	-3629	-288	-30	201	20.11	20.11	5	14
3	-3113	-47496	1466	-508	-264	159	20.11	20.11	5	11
4	21053	47602	-10550	-345	-312	-218	20.11	20.11	3	4.5
5	-1198	-60	-659	-290	-44	-105	20.11	20.11	7	18
6	-545	-411	-598	-326	-14	-127	20.11	20.11	7	16
7	175	-745	-348	-353	14	-164	20.11	20.11	7	14
8	2159	4782	-943	-183	-600	26	20.11	20.11	1	11
9	-1100	91	-453	-268	-64	-118	20.11	20.11	7	19
10	-580	-171	-376	-267	-24	-143	20.11	20.11	7	17
11	-5	-426	-101	-247	16	-157	20.11	20.11	7	18
12	-2615	-4708	881	-135	-696	-27	20.11	20.11	2	10
13	-1005	228	-282	-231	-82	-118	20.11	20.11	7	21
14	-594	-5	-195	-206	-33	-135	20.11	20.11	7	21
15	47	2512	-1067	53	-344	70	20.11	20.11	1	17
16	435	2182	-153	104	-682	24	20.11	20.11	1	9.7
Massimi/minimi										
1							20.11			
1								20.11		
4										4.5

Muro : 86 - Nodi: [225-125-115-215], Pann.X=4, Pann.Y=4Spess.=25 cm, Terreno=--,Criterio=CLS_Muri_ND,
Materiale=C35/45,ζ=16.125 [(9+10)-VIII-4] : **Verificato**

Armatura a maglia doppia

Pannello	Nx	Ny	Nxy	Mx	My	Mxy	Ax	Ay	C	Cs
	kg	kg	kg	kg*m	kg*m	kg*m	cmq	cmq		
1	-2936	2264	2318	11	-32	263	20.11	20.11	3	23
2	-7979	-901	3725	-97	-94	-229	20.11	20.11	6	22
3	-6999	-2475	4445	-168	-303	-125	20.11	20.11	6	17
4	7631	4074	576	50	663	-36	20.11	20.11	4	9.6
5	-10735	739	2282	-73	-36	-275	20.11	20.11	6	23
6	-9396	-467	5085	-92	-46	-274	20.11	20.11	6	22
7	-7021	-2485	5790	-171	-171	-168	20.11	20.11	6	22
8	-6725	-3524	3723	-169	-696	-55	20.11	20.11	5	9.9
9	-14030	893	2616	-146	-88	-254	20.11	20.11	6	20
10	-2453	2525	3216	-67	-35	257	20.11	20.11	4	23
11	-6095	-1592	6830	-8	-49	-249	20.11	20.11	6	24
12	-2696	-3915	2794	-1	-660	-34	20.11	20.11	5	11
13	-18478	-1419	3078	-359	-94	-208	20.11	20.11	6	15
14	-3396	675	3492	-213	-41	237	20.11	20.11	4	16
15	2671	893	4731	-392	-55	282	20.11	20.11	3	10
16	1223	-217	3830	551	-233	-42	20.11	20.11	6	12
Massimi/minimi										
1							20.11			
1								20.11		
4										9.6

Muro : 87 - Nodi: [254-154-144-244], Pann.X=4, Pann.Y=4Spess.=25 cm, Terreno=--,Criterio=CLS_Muri_ND,
Materiale=C35/45,ζ=21.581 [(9+10)-XI-3] : **Verificato**

Armatura a maglia doppia

Pannello	Nx kg	Ny kg	Nxy kg	Mx kg*m	My kg*m	Mxy kg*m	Ax cmq	Ay cmq	C	Cs
1	-10026	1106	385	-463	-983	105	20.11	20.11	5	6.4
2	-7677	910	2849	-323	-103	288	20.11	20.11	6	13
3	-5180	-118	3748	-167	105	360	20.11	20.11	6	14
4	-2553	-1603	3672	-10	122	320	20.11	20.11	5	16
5	-12003	1334	736	-469	-1005	125	20.11	20.11	5	6.2
6	-8507	483	3544	-306	-18	369	20.11	20.11	6	12
7	-5585	-471	4252	-176	92	408	20.11	20.11	6	13
8	596	-1045	1622	279	8	-192	20.11	20.11	3	15
9	-14566	1079	1604	-248	-929	197	20.11	20.11	5	6.2
10	-9038	-432	4232	-104	45	456	20.11	20.11	6	14
11	-1750	-150	2814	314	-6	-217	20.11	20.11	3	14
12	1527	-863	2037	495	87	-157	20.11	20.11	3	11
13	-17617	-1004	3231	626	-347	162	20.11	20.11	5	11
14	-10398	-813	4124	580	93	430	20.11	20.11	5	8.0
15	-1860	-209	2627	415	34	-138	20.11	20.11	3	13
16	2568	29	2744	846	132	-115	20.11	20.11	3	7.1
Massimi/minimi										
1							20.11			
1								20.11		
5										6.2

Muro : 88 - Nodi: [153-253-254-154], Pann.X=4, Pann.Y=4Spess.=25 cm, Terreno=--,Criterio=CLS_Muri_ND,
Materiale=C35/45,ζ_e=12.524 [(9+10)-VII-3] : **Verificato**

Armatura a maglia doppia

Pannello	Nx kg	Ny kg	Nxy kg	Mx kg*m	My kg*m	Mxy kg*m	Ax cmq	Ay cmq	C	Cs
1	493	-28618	-3921	-228	35	-178	20.11	20.11	5	17
2	-1313	-38343	-736	-298	41	-230	20.11	20.11	5	14
3	-8140	-51921	5508	-522	-53	-256	20.11	20.11	5	10
4	9459	41099	-11017	-381	-502	60	20.11	20.11	4	5.4
5	-1630	-25218	1053	-324	-17	-217	20.11	20.11	5	13
6	-5672	-30343	5443	-359	-6	-259	20.11	20.11	5	12
7	-14359	-34586	12048	-295	-40	-328	20.11	20.11	5	13
8	-8364	-2043	-532	-234	-720	-127	20.11	20.11	7	8.6
9	-3938	-20324	3823	-361	-61	-222	20.11	20.11	5	13
10	-8191	-21813	7150	-318	-22	-250	20.11	20.11	5	14
11	-2837	218	-967	-81	237	-246	20.11	20.11	1	15
12	-4332	-67	-821	14	558	-196	20.11	20.11	1	9.4
13	-5388	-15548	4608	-353	-88	-205	20.11	20.11	5	14
14	-4989	-4527	1870	-221	-15	-242	20.11	20.11	2	16
15	-2868	-104	-705	-65	263	-209	20.11	20.11	1	15
16	-3971	-185	-810	32	627	-169	20.11	20.11	1	8.9
Massimi/minimi										
1							20.11			
1								20.11		
4										5.4

Muro : 89 - Nodi: [132-232-242-142], Pann.X=4, Pann.Y=4Spess.=25 cm, Terreno=--,Criterio=CLS_Muri_ND,
Materiale=C35/45,ζ_e=128.945 [(9+10)-V-1] : **Verificato**

Armatura a maglia doppia

Pannello	Nx kg	Ny kg	Nxy kg	Mx kg*m	My kg*m	Mxy kg*m	Ax cmq	Ay cmq	C	Cs
1	-3511	-1959	615	9	-73	-8	20.11	20.11	1	90
2	-5836	1395	-212	41	54	39	20.11	20.11	7	75
3	-6054	1635	-700	50	42	50	20.11	20.11	7	76
4	-5841	1867	-1334	49	19	53	20.11	20.11	7	75
5	-4169	1170	-198	14	54	34	20.11	20.11	4	80
6	-5538	1708	-312	28	58	44	20.11	20.11	7	68
7	-5681	1929	-805	33	43	52	20.11	20.11	7	73
8	-5430	2132	-1421	31	15	52	20.11	20.11	7	92
9	-4033	1401	-232	13	70	36	20.11	20.11	4	66

**POTENZIAMENTO DELL'IMPIANTO DI DEPURAZIONE E
DEL RECAPITO FINALE DI SQUINZANO (LE)
PROGETTO DEFINITIVO
Tabulati di calcolo strutturale-Filtrazione**

R.37.9

Maggio 2021

Pagina 203 di
364

Pannello	Nx	Ny	Nxy	Mx	My	Mxy	Ax	Ay	C	Cs
10	-5232	1958	-399	20	62	47	20.11	20.11	7	63
11	-5310	2149	-897	21	43	54	20.11	20.11	7	71
12	-4201	1877	-1041	8	11	56	20.11	20.11	4	>100
13	-3868	1581	-257	14	86	36	20.11	20.11	4	57
14	-4915	2150	-471	15	67	48	20.11	20.11	7	60
15	-4939	2305	-973	13	42	54	20.11	20.11	7	72
16	-3917	1980	-1103	-0	7	54	20.11	20.11	4	>100
Massimi/minimi										
1							20.11			
1								20.11		
13										57

Muro : 90 - Nodi: [142-242-251-151], Pann.X=4, Pann.Y=4Spess.=25 cm, Terreno=--,Criterio=CLS_Muri_ND,
Materiale=C35/45,ζ=70.358 [(9+10)-VIII-3] : **Verificato**

Armatura a maglia doppia

Pannello	Nx	Ny	Nxy	Mx	My	Mxy	Ax	Ay	C	Cs
	kg	kg	kg	kg*m	kg*m	kg*m	cmq	cmq		
1	-5120	2029	-1941	40	-9	46	20.11	20.11	7	88
2	-3001	-2530	-2506	43	69	18	20.11	20.11	1	84
3	-2370	-3053	-2508	28	81	43	20.11	20.11	1	59
4	-200	1944	-2189	3	-176	25	20.11	20.11	7	34
5	-3123	-2663	-1895	42	65	-3	20.11	20.11	1	>100
6	-2752	-3128	-2229	36	80	12	20.11	20.11	1	80
7	-2441	-3746	-2169	25	99	35	20.11	20.11	1	56
8	-430	2119	-2183	-7	-196	29	20.11	20.11	7	31
9	-2782	-3094	-1666	33	71	-5	20.11	20.11	1	97
10	-3394	2389	-2352	-1	-74	23	20.11	20.11	7	71
11	-2089	2304	-2442	-9	-134	-5	20.11	20.11	7	50
12	-602	2225	-2169	-13	-213	33	20.11	20.11	7	28
13	-4045	2489	-2018	-0	-39	38	20.11	20.11	7	90
14	-3164	2460	-2317	-9	-88	21	20.11	20.11	7	63
15	-2029	2368	-2381	-15	-150	-4	20.11	20.11	7	44
16	-724	2249	-2152	-15	-224	37	20.11	20.11	7	26
Massimi/minimi										
1							20.11			
1								20.11		
16										26

Muro : 91 - Nodi: [129-139-239-229], Pann.X=4, Pann.Y=4Spess.=25 cm, Terreno=--,Criterio=CLS_Muri_ND,
Materiale=C35/45,ζ=260.419 [(9+10)-XI-1] : **Verificato**

Armatura a maglia doppia

Pannello	Nx	Ny	Nxy	Mx	My	Mxy	Ax	Ay	C	Cs
	kg	kg	kg	kg*m	kg*m	kg*m	cmq	cmq		
1	-1122	-1658	-361	-244	27	-88	20.11	20.11	2	22
2	-1245	-1637	-370	-290	41	-76	20.11	20.11	2	20
3	-1346	-1616	-365	-328	45	-61	20.11	20.11	2	19
4	-1426	-1586	-346	-353	40	-43	20.11	20.11	2	18
5	-1097	-1773	-240	49	96	-151	20.11	20.11	2	29
6	-1240	-1680	-246	60	131	-132	20.11	20.11	2	28
7	-1365	-1588	-241	66	146	-107	20.11	20.11	2	29
8	-1469	-1500	-225	68	148	-79	20.11	20.11	2	32
9	-1085	-1941	-280	178	142	-102	20.11	20.11	2	26
10	-1254	-1781	-270	219	196	-90	20.11	20.11	2	23
11	-1404	-1636	-247	250	222	-75	20.11	20.11	2	22
12	-1524	-1512	-213	273	228	-58	20.11	20.11	2	22
13	-1131	-2048	-456	216	159	-15	20.11	20.11	2	31
14	-1336	-1849	-403	268	220	-15	20.11	20.11	2	25
15	-1512	-1677	-336	310	250	-14	20.11	20.11	2	22
16	-1651	-1536	-261	340	257	-14	20.11	20.11	2	20
Massimi/minimi										
1							20.11			
1								20.11		
4										18

Muro : 92 - Nodi: [148-248-249-149], Pann.X=4, Pann.Y=4Spess.=25 cm, Terreno=--,Criterio=CLS_Muri_ND,
Materiale=C35/45, $\zeta_e=115.282$ [(9+10)-V-4] : **Verificato**

Armatura a maglia doppia

Pannello	Nx	Ny	Nxy	Mx	My	Mxy	Ax	Ay	C	Cs
	kg	kg	kg	kg*m	kg*m	kg*m	cmq	cmq		
1	-2101	-2069	550	12	400	57	20.11	20.11	1	16
2	-1838	-1896	1012	-37	165	109	20.11	20.11	1	27
3	-1806	-1682	1248	-82	8	132	20.11	20.11	1	34
4	-1849	-1489	1333	-119	-95	127	20.11	20.11	1	29
5	-2430	-2391	467	11	475	46	20.11	20.11	1	14
6	-1991	-2220	838	-47	200	88	20.11	20.11	1	25
7	-1823	-1992	1061	-104	13	109	20.11	20.11	1	34
8	-1779	-1773	1172	-153	-112	107	20.11	20.11	1	28
9	-2646	-2595	386	16	533	34	20.11	20.11	1	13
10	-2105	-2420	662	-47	231	63	20.11	20.11	1	25
11	-1480	-2308	683	-108	15	84	20.11	20.11	5	38
12	-1429	-2158	755	-163	-127	83	20.11	20.11	5	29
13	-2753	-2614	280	22	573	24	20.11	20.11	1	12
14	-2182	-2522	516	-42	256	40	20.11	20.11	1	25
15	-1465	-2435	561	-105	23	57	20.11	20.11	5	44
16	-1351	-2301	646	-162	-134	58	20.11	20.11	5	33
Massimi/minimi										
1							20.11			
1								20.11		
13										12

Muro : 93 - Nodi: [251-252-152-151], Pann.X=4, Pann.Y=4Spess.=25 cm, Terreno=--,Criterio=CLS_Muri_ND,
Materiale=C35/45, $\zeta_e=131.100$ [(9+10)-XI-1] : **Verificato**

Armatura a maglia doppia

Pannello	Nx	Ny	Nxy	Mx	My	Mxy	Ax	Ay	C	Cs
	kg	kg	kg	kg*m	kg*m	kg*m	cmq	cmq		
1	-704	-1852	-382	535	-20	-58	20.11	20.11	1	12
2	-715	-1876	-461	476	-21	-75	20.11	20.11	1	13
3	-666	-1899	-527	404	-13	-92	20.11	20.11	1	14
4	-589	-1952	-523	324	7	-103	20.11	20.11	1	17
5	-716	-1894	-436	425	-44	-88	20.11	20.11	1	14
6	-676	-1921	-492	376	-43	-110	20.11	20.11	1	15
7	-563	-1967	-552	317	-32	-132	20.11	20.11	1	16
8	-461	-1958	-626	253	-5	-146	20.11	20.11	1	18
9	-698	-1926	-467	327	-67	-108	20.11	20.11	1	16
10	-628	-1973	-530	288	-65	-134	20.11	20.11	1	17
11	-534	-2015	-607	240	-51	-158	20.11	20.11	1	18
12	-424	-2013	-656	189	-18	-175	20.11	20.11	1	20
13	-695	-1965	-484	238	-89	-121	20.11	20.11	1	20
14	-636	-2000	-570	209	-87	-149	20.11	20.11	1	20
15	-553	-2052	-635	171	-70	-174	20.11	20.11	1	21
16	-381	-2146	-760	132	-35	-195	20.11	20.11	1	22
Massimi/minimi										
1							20.11			
1								20.11		
1										12

Muro : 94 - Nodi: [139-148-248-239], Pann.X=4, Pann.Y=4Spess.=25 cm, Terreno=--,Criterio=CLS_Muri_ND,
Materiale=C35/45, $\zeta_e=119.387$ [(9+10)-XI-2] : **Verificato**

Armatura a maglia doppia

Pannello	Nx	Ny	Nxy	Mx	My	Mxy	Ax	Ay	C	Cs
	kg	kg	kg	kg*m	kg*m	kg*m	cmq	cmq		
1	-1315	-2031	-717	196	151	76	20.11	20.11	1	26

**POTENZIAMENTO DELL'IMPIANTO DI DEPURAZIONE E
DEL RECAPITO FINALE DI SQUINZANO (LE)
PROGETTO DEFINITIVO
Tabulati di calcolo strutturale-Filtrazione**

R.37.9

Maggio 2021

Pagina 205 di
364

Pannello	Nx	Ny	Nxy	Mx	My	Mxy	Ax	Ay	C	Cs
2	-1553	-1857	-608	241	207	66	20.11	20.11	1	24
3	-1749	-1710	-488	276	232	52	20.11	20.11	1	22
4	-1892	-1589	-365	302	237	38	20.11	20.11	1	21
5	-1541	-1907	-786	123	120	129	20.11	20.11	1	29
6	-1805	-1810	-635	148	160	110	20.11	20.11	1	27
7	-2008	-1730	-477	166	178	87	20.11	20.11	1	27
8	-2145	-1663	-325	177	179	62	20.11	20.11	1	30
9	-1819	-1837	-648	-33	67	139	20.11	20.11	1	35
10	-2107	-1873	-485	-43	89	117	20.11	20.11	1	35
11	-2302	-1899	-321	-54	95	90	20.11	20.11	1	39
12	-2417	-1902	-179	-66	93	61	20.11	20.11	1	47
13	-2071	-2082	-166	-330	-1	66	20.11	20.11	1	18
14	-2366	-2321	-74	-396	4	53	20.11	20.11	1	16
15	-2541	-2478	10	-449	2	38	20.11	20.11	1	15
16	-2588	-2558	87	-486	-4	23	20.11	20.11	1	14
Massimi/minimi										
1							20.11			
1								20.11		
16										14

Muro : 95 - Nodi: [149-249-250-150], Pann.X=4, Pann.Y=4Spess.=25 cm, Terreno=--,Criterio=CLS_Muri_ND,
Materiale=C35/45,ζ_e=156.316 [(9+10)-II-3] : **Verificato**

Armatura a maglia doppia

Pannello	Nx kg	Ny kg	Nxy kg	Mx kg*m	My kg*m	Mxy kg*m	Ax cmq	Ay cmq	C	Cs
1	-1901	-1321	1334	-148	-164	99	20.11	20.11	1	27
2	-1933	-1182	1291	-168	-202	51	20.11	20.11	1	28
3	-1943	-1187	1137	-169	-210	-12	20.11	20.11	2	32
4	-1975	-1138	1032	-161	-189	-66	20.11	20.11	2	28
5	-1582	-1814	831	-188	-201	84	20.11	20.11	5	26
6	-1796	-1379	1192	-223	-247	43	20.11	20.11	1	25
7	-1773	-1364	1087	-230	-259	-12	20.11	20.11	2	27
8	-1799	-1296	1005	-220	-233	-58	20.11	20.11	2	25
9	-1434	-2027	756	-210	-228	65	20.11	20.11	5	25
10	-1456	-1940	695	-243	-286	32	20.11	20.11	5	23
11	-1620	-1513	1021	-259	-296	-13	20.11	20.11	2	23
12	-1641	-1425	965	-248	-266	-50	20.11	20.11	2	23
13	-1317	-2175	676	-213	-246	46	20.11	20.11	5	25
14	-1303	-2081	652	-249	-312	21	20.11	20.11	5	22
15	-1485	-1626	942	-264	-324	-14	20.11	20.11	2	21
16	-1310	-2061	512	-251	-296	-38	20.11	20.11	5	22
Massimi/minimi										
1							20.11			
1								20.11		
15										21

Muro : 96 - Nodi: [150-250-251-151], Pann.X=4, Pann.Y=4Spess.=25 cm, Terreno=--,Criterio=CLS_Muri_ND,
Materiale=C35/45,ζ_e=172.745 [(9+10)-XI-3] : **Verificato**

Armatura a maglia doppia

Pannello	Nx kg	Ny kg	Nxy kg	Mx kg*m	My kg*m	Mxy kg*m	Ax cmq	Ay cmq	C	Cs
1	-1973	-1127	920	-138	-132	-111	20.11	20.11	2	29
2	-1931	-1165	840	-97	-18	-130	20.11	20.11	2	32
3	-1914	-1229	819	-41	180	-99	20.11	20.11	2	26
4	-1949	-778	1245	21	505	29	20.11	20.11	1	13
5	-1806	-1265	922	-189	-161	-96	20.11	20.11	2	25
6	-1794	-1276	864	-135	-20	-110	20.11	20.11	2	30
7	-1799	-1310	852	-64	219	-80	20.11	20.11	2	24
8	-1838	-1376	862	11	609	39	20.11	20.11	2	11
9	-1657	-1374	909	-213	-181	-78	20.11	20.11	2	25
10	-1475	-2211	203	-148	-29	-89	20.11	20.11	5	30
11	-1698	-1369	871	-72	256	-58	20.11	20.11	2	23
12	-1730	-1399	906	8	696	43	20.11	20.11	2	9.8

Pannello	Nx	Ny	Nxy	Mx	My	Mxy	Ax	Ay	C	Cs
13	-1529	-1451	883	-216	-193	-60	20.11	20.11	2	26
14	-1325	-2304	323	-151	-25	-65	20.11	20.11	5	33
15	-1608	-1409	871	-70	290	-34	20.11	20.11	2	22
16	-1599	-1436	908	11	763	47	20.11	20.11	2	8.9
Massimi/minimi										
1							20.11			
1								20.11		
16										8.9

Muro : 97 - Nodi: [152-252-253-153], Pann.X=4, Pann.Y=4Spess.=25 cm, Terreno=--,Criterio=CLS_Muri_ND,
Materiale=C35/45,ζ=38.739 [(9+10)-XI-2] : **Verificato**

Armatura a maglia doppia

Pannello	Nx	Ny	Nxy	Mx	My	Mxy	Ax	Ay	C	Cs
	kg	kg	kg	kg*m	kg*m	kg*m	cmq	cmq		
1	-2282	-406	782	-70	-38	210	20.11	20.11	1	26
2	-2942	-124	846	-98	-185	137	20.11	20.11	1	22
3	-3104	-1039	-1322	131	201	32	20.11	20.11	7	31
4	-3320	-2153	-1516	44	232	132	20.11	20.11	7	20
5	-2268	-441	715	-136	-49	197	20.11	20.11	1	22
6	-2831	-114	731	-212	-241	131	20.11	20.11	1	19
7	-3424	372	463	-233	-273	-14	20.11	20.11	1	25
8	142	-17574	-2464	-285	-93	-124	20.11	20.11	5	17
9	-2186	-484	630	-175	-54	174	20.11	20.11	1	21
10	-2678	-135	608	-285	-289	118	20.11	20.11	1	17
11	-397	-10183	-2393	-347	-238	-8	20.11	20.11	5	20
12	-825	-15856	-60	-368	-146	-136	20.11	20.11	5	14
13	-2079	-525	538	-193	-56	143	20.11	20.11	1	22
14	-2512	-175	491	-327	-327	98	20.11	20.11	1	17
15	-516	-9713	-1178	-407	-284	-18	20.11	20.11	5	17
16	-1595	-13521	1452	-403	-190	-134	20.11	20.11	5	13
Massimi/minimi										
1							20.11			
1								20.11		
16										13

Muro : 98 - Nodi: [125-225-235-135], Pann.X=4, Pann.Y=4Spess.=25 cm, Terreno=--,Criterio=CLS_Muri_ND,
Materiale=C35/45,ζ=40.951 [(9+10)-XI-2] : **Verificato**

Armatura a maglia doppia

Pannello	Nx	Ny	Nxy	Mx	My	Mxy	Ax	Ay	C	Cs
	kg	kg	kg	kg*m	kg*m	kg*m	cmq	cmq		
1	-8451	-3643	-3824	-571	-159	-231	20.11	20.11	6	9.8
2	-2989	839	-285	688	85	141	20.11	20.11	3	8.9
3	-2912	-366	-389	834	82	88	20.11	20.11	3	8.0
4	-3066	-899	-107	935	88	57	20.11	20.11	3	7.4
5	-8370	-680	-2133	-272	-54	-184	20.11	20.11	6	17
6	-2730	171	-390	403	-1	148	20.11	20.11	3	13
7	-2951	-74	-22	512	14	122	20.11	20.11	3	12
8	-3042	-522	60	583	18	82	20.11	20.11	3	11
9	-4247	1689	201	88	-36	233	20.11	20.11	3	23
10	-2873	420	-117	181	-45	191	20.11	20.11	3	20
11	-2842	18	144	254	-44	151	20.11	20.11	3	18
12	-2940	-262	207	305	-43	103	20.11	20.11	3	18
13	-3446	1611	867	3	-69	255	20.11	20.11	3	21
14	-2330	-952	-704	-3	124	-192	20.11	20.11	6	23
15	-388	-937	165	-7	160	-154	20.11	20.11	6	23
16	357	-636	864	-14	167	-99	20.11	20.11	6	27
Massimi/minimi										
1							20.11			
1								20.11		
4										7.4

**POTENZIAMENTO DELL'IMPIANTO DI DEPURAZIONE E
DEL RECAPITO FINALE DI SQUINZANO (LE)
PROGETTO DEFINITIVO
Tabulati di calcolo strutturale-Filtrazione**

R.37.9

Maggio 2021

Pagina 207 di
364

Muro : 99 - Nodi: [135-235-244-144], Pann.X=4, Pann.Y=4Spess.=25 cm, Terreno=--,Criterio=CLS_Muri_ND,
Materiale=C35/45, $\zeta_e=34.837$ [(9+10)-XI-3] : **Verificato**

Armatura a maglia doppia

Pannello	Nx	Ny	Nxy	Mx	My	Mxy	Ax	Ay	C	Cs
	kg	kg	kg	kg*m	kg*m	kg*m	cmq	cmq		
1	-3119	-1256	32	987	83	20	20.11	20.11		7.3
2	-3167	-1432	164	1001	76	-19	20.11	20.11		7.2
3	-2677	-1270	580	975	71	-84	20.11	20.11		6.9
4	196	1484	-1631	1021	157	-114	20.11	20.11		6.2
5	-3077	-798	134	628	15	36	20.11	20.11		11
6	-3028	-842	183	651	7	-17	20.11	20.11		11
7	-2786	-170	-257	659	-9	-53	20.11	20.11		10
8	525	-437	-764	624	71	-73	20.11	20.11		10
9	-2976	-460	200	341	-48	49	20.11	20.11		19
10	-2870	-424	71	366	-58	-8	20.11	20.11		20
11	-2283	-237	-384	374	-55	-50	20.11	20.11		17
12	84	-834	-253	342	-1	-102	20.11	20.11		16
13	-2016	-1158	663	231	71	26	20.11	20.11		28
14	-2144	-1262	546	241	69	36	20.11	20.11		26
15	32	-1585	2358	8	166	137	20.11	20.11		24
16	-858	-1826	2954	14	132	226	20.11	20.11		20
Massimi/minimi										
1							20.11			
1								20.11		
4										6.2

Muro : 100 - Nodi: [138-238-247-147], Pann.X=4, Pann.Y=4Spess.=25 cm, Terreno=--,Criterio=CLS_Muri_ND,
Materiale=C35/45, $\zeta_e=136.749$ [(9+10)-X-4] : **Verificato**

Armatura a maglia doppia

Pannello	Nx	Ny	Nxy	Mx	My	Mxy	Ax	Ay	C	Cs
	kg	kg	kg	kg*m	kg*m	kg*m	cmq	cmq		
1	-4278	-464	494	-1449	-175	-53	20.11	20.11		5.0
2	-3876	-498	214	-1510	-182	-32	20.11	20.11		4.8
3	-3951	-499	113	-1538	-185	-7	20.11	20.11		4.8
4	-4494	-460	-166	-1535	-186	14	20.11	20.11		4.8
5	-3912	-383	538	-1013	-106	-76	20.11	20.11		6.8
6	-3705	-465	222	-1069	-111	-44	20.11	20.11		6.7
7	-3786	-444	92	-1092	-114	-10	20.11	20.11		6.7
8	-4139	-317	-220	-1081	-114	23	20.11	20.11		6.8
9	-3578	-356	561	-651	-41	-102	20.11	20.11		9.8
10	-3509	-399	238	-697	-45	-57	20.11	20.11		9.8
11	-3591	-361	49	-715	-47	-12	20.11	20.11		10
12	-3810	-243	-270	-703	-47	34	20.11	20.11		10
13	-3274	-343	557	-358	20	-121	20.11	20.11		15
14	-3291	-333	240	-392	18	-67	20.11	20.11		16
15	-3372	-284	8	-404	17	-13	20.11	20.11		18
16	-3507	-191	-308	-394	18	43	20.11	20.11		17
Massimi/minimi										
1							20.11			
1								20.11		
3										4.8

Muro : 101 - Nodi: [147-247-257-157], Pann.X=4, Pann.Y=4Spess.=25 cm, Terreno=--,Criterio=CLS_Muri_ND,
Materiale=C35/45, $\zeta_e=138.392$ [(9+10)-X-4] : **Verificato**

Armatura a maglia doppia

Pannello	Nx	Ny	Nxy	Mx	My	Mxy	Ax	Ay	C	Cs
	kg	kg	kg	kg*m	kg*m	kg*m	cmq	cmq		
1	-4409	-439	-757	-1478	-178	24	20.11	20.11		5.0
2	-3791	-453	-948	-1369	-164	41	20.11	20.11		5.3
3	-3577	-421	-950	-1237	-146	64	20.11	20.11		5.7
4	-3634	-343	-1135	-1080	-127	84	20.11	20.11		6.4

**POTENZIAMENTO DELL'IMPIANTO DI DEPURAZIONE E
DEL RECAPITO FINALE DI SQUINZANO (LE)
PROGETTO DEFINITIVO
Tabulati di calcolo strutturale-Filtrazione**

R.37.9

Maggio 2021

Pagina 208 di
364

Pannello	Nx	Ny	Nxy	Mx	My	Mxy	Ax	Ay	C	Cs
5	-4061	-296	-713	-1033	-107	51	20.11	20.11	1	6.9
6	-3642	-372	-941	-952	-95	79	20.11	20.11	1	7.2
7	-3435	-327	-1006	-848	-80	109	20.11	20.11	1	7.7
8	-3357	-193	-1199	-721	-65	138	20.11	20.11	1	8.6
9	-3746	-218	-680	-665	-41	76	20.11	20.11	1	10
10	-3458	-268	-924	-606	-30	115	20.11	20.11	1	10
11	-3254	-237	-1062	-528	-19	154	20.11	20.11	1	11
12	-3092	-136	-1259	-435	-8	192	20.11	20.11	1	12
13	-3456	-165	-664	-367	22	95	20.11	20.11	1	16
14	-3244	-190	-915	-325	31	141	20.11	20.11	1	16
15	-3048	-175	-1096	-272	39	187	20.11	20.11	1	16
16	-2845	-121	-1298	-211	44	230	20.11	20.11	1	17
Massimi/minimi										
1							20.11			
1								20.11		
1										5.0

Muro : 102 - Nodi: [118-218-228-128], Pann.X=4, Pann.Y=4Spess.=25 cm, Terreno=--,Criterio=CLS_Muri_ND,
Materiale=C35/45,ζ=39.116 [(9+10)-I-3] : **Verificato**

Armatura a maglia doppia

Pannello	Nx	Ny	Nxy	Mx	My	Mxy	Ax	Ay	C	Cs
	kg	kg	kg	kg*m	kg*m	kg*m	cmq	cmq		
1	286	86	-1669	-186	12	93	20.11	20.11	7	25
2	-1273	-139	1648	-261	-46	-98	20.11	20.11	1	20
3	-1891	-389	2079	-407	-56	-111	20.11	20.11	1	14
4	-2418	-456	2066	-566	-71	-117	20.11	20.11	1	11
5	1164	670	-1740	-81	84	110	20.11	20.11	6	36
6	-1549	-652	1931	-163	-61	-145	20.11	20.11	1	23
7	-1875	-841	2155	-250	-51	-169	20.11	20.11	1	17
8	-2188	-772	2041	-353	-47	-180	20.11	20.11	1	14
9	-317	-485	350	-40	-151	-101	20.11	20.11	3	28
10	-732	-628	699	-73	-92	-182	20.11	20.11	3	26
11	-1723	-1428	2047	-133	-57	-219	20.11	20.11	1	21
12	-1939	-1171	1912	-193	-32	-236	20.11	20.11	1	17
13	-487	-1499	493	28	-260	-102	20.11	20.11	3	20
14	-719	-1140	624	-25	-145	-199	20.11	20.11	3	21
15	-1542	-1928	1718	-50	-74	-248	20.11	20.11	1	23
16	-1726	-1508	1678	-77	-25	-269	20.11	20.11	1	21
Massimi/minimi										
1							20.11			
1								20.11		
4										11

Muro : 103 - Nodi: [117-217-218-118], Pann.X=4, Pann.Y=4Spess.=25 cm, Terreno=--,Criterio=CLS_Muri_ND,
Materiale=C35/45,ζ=48.034 [(9+10)-IV-1] : **Verificato**

Armatura a maglia doppia

Pannello	Nx	Ny	Nxy	Mx	My	Mxy	Ax	Ay	C	Cs
	kg	kg	kg	kg*m	kg*m	kg*m	cmq	cmq		
1	-2125	-334	-1325	-335	-41	6	20.11	20.11	1	21
2	-1660	-292	-1319	-296	-37	6	20.11	20.11	1	24
3	-1127	-123	-991	-257	-39	1	20.11	20.11	1	28
4	-316	201	-336	-218	-50	-18	20.11	20.11	1	30
5	-1971	-485	-1311	-140	-17	16	20.11	20.11	1	47
6	-1638	-528	-1347	-122	-15	16	20.11	20.11	1	52
7	-1284	-429	-1147	-106	-32	11	20.11	20.11	1	61
8	2415	821	-1518	-27	84	37	20.11	20.11	7	58
9	251	996	-2362	-210	-15	-21	20.11	20.11	7	31
10	725	1018	-2319	-193	-9	-10	20.11	20.11	7	35
11	1310	923	-2190	-168	16	6	20.11	20.11	7	40
12	1656	941	-1521	-121	134	52	20.11	20.11	7	38
13	343	1328	-2380	-317	-21	-0	20.11	20.11	7	22
14	788	1290	-2288	-313	-14	13	20.11	20.11	7	22
15	1290	1183	-2023	-305	12	30	20.11	20.11	7	21

**POTENZIAMENTO DELL'IMPIANTO DI DEPURAZIONE E
DEL RECAPITO FINALE DI SQUINZANO (LE)
PROGETTO DEFINITIVO
Tabulati di calcolo strutturale-Filtrazione**

R.37.9

Maggio 2021

Pagina 209 di
364

Pannello	Nx	Ny	Nxy	Mx	My	Mxy	Ax	Ay	C	Cs
16	937	1045	-1690	-303	117	48	20.11	20.11		20
Massimi/minimi										
1							20.11			
1								20.11		
16										20

Muro : 104 - Nodi: [128-228-238-138], Pann.X=4, Pann.Y=4Spess.=25 cm, Terreno=--,Criterio=CLS_Muri_ND,
Materiale=C35/45, $\zeta_e=144.847$ [(9+10)-I-3] : **Verificato**

Armatura a maglia doppia

Pannello	Nx	Ny	Nxy	Mx	My	Mxy	Ax	Ay	C	Cs
	kg	kg	kg	kg*m	kg*m	kg*m	cmq	cmq		
1	-2736	-462	1796	-758	-91	-115	20.11	20.11	1	8.4
2	-2900	-477	1569	-971	-115	-100	20.11	20.11	1	6.9
3	-3338	-479	1439	-1166	-139	-80	20.11	20.11	1	5.9
4	-4102	-453	1138	-1334	-160	-63	20.11	20.11	1	5.3
5	-2478	-694	1787	-489	-50	-176	20.11	20.11	1	11
6	-2720	-640	1562	-648	-61	-158	20.11	20.11	1	9.1
7	-3136	-553	1406	-795	-78	-131	20.11	20.11	1	8.0
8	-3720	-406	1082	-920	-94	-104	20.11	20.11	1	7.3
9	-2225	-944	1712	-280	-17	-234	20.11	20.11	1	14
10	-2520	-766	1507	-388	-14	-213	20.11	20.11	1	12
11	-2918	-595	1323	-492	-22	-181	20.11	20.11	1	11
12	-3378	-417	1013	-581	-33	-144	20.11	20.11	1	10
13	-2009	-1150	1563	-121	10	-270	20.11	20.11	1	19
14	-2321	-857	1400	-185	28	-250	20.11	20.11	1	17
15	-2691	-629	1221	-250	30	-215	20.11	20.11	1	16
16	-3073	-436	938	-309	25	-172	20.11	20.11	1	15
Massimi/minimi										
1							20.11			
1								20.11		
4										5.3

Muro : 105 - Nodi: [116-216-217-117], Pann.X=4, Pann.Y=4Spess.=25 cm, Terreno=--,Criterio=CLS_Muri_ND,
Materiale=C35/45, $\zeta_e=79.512$ [(9+10)-II-1] : **Verificato**

Armatura a maglia doppia

Pannello	Nx	Ny	Nxy	Mx	My	Mxy	Ax	Ay	C	Cs
	kg	kg	kg	kg*m	kg*m	kg*m	cmq	cmq		
1	-2075	-48	-923	-422	-51	9	20.11	20.11	1	17
2	-2530	-234	-807	-417	-52	13	20.11	20.11	1	17
3	-2597	-305	-958	-400	-50	12	20.11	20.11	1	18
4	-2477	-332	-1107	-369	-46	10	20.11	20.11	1	19
5	-57	2906	-2628	-178	-15	-55	20.11	20.11	4	31
6	-1083	1365	-2028	-178	-14	-40	20.11	20.11	4	33
7	-1389	717	-1802	-174	-16	-29	20.11	20.11	4	36
8	-1265	347	-1719	-159	-15	-20	20.11	20.11	4	40
9	-13	3883	-1601	-220	-13	-51	20.11	20.11	4	26
10	-333	553	-1794	-221	-23	-51	20.11	20.11	7	26
11	-373	732	-2049	-228	-23	-44	20.11	20.11	7	26
12	-191	910	-2270	-223	-19	-32	20.11	20.11	7	28
13	5	611	-1489	-259	-30	-47	20.11	20.11	7	23
14	-59	813	-1860	-291	-29	-40	20.11	20.11	7	21
15	-109	999	-2122	-309	-28	-29	20.11	20.11	7	21
16	40	1195	-2326	-317	-26	-15	20.11	20.11	7	21
Massimi/minimi										
1							20.11			
1								20.11		
1										17

Muro : 106 - Nodi: [115-215-216-116], Pann.X=4, Pann.Y=4Spess.=25 cm, Terreno=--,Criterio=CLS_Muri_ND,
Materiale=C35/45, $\zeta_e=32.235$ [(9+10)-II-2] : **Verificato**

Armatura a maglia doppia

Pannello	Nx	Ny	Nxy	Mx	My	Mxy	Ax	Ay	C	Cs
	kg	kg	kg	kg*m	kg*m	kg*m	cmq	cmq		
1	1306	1799	-1768	-400	-109	94	20.11	20.11		14
2	-925	1023	-1771	-407	-76	24	20.11	20.11		17
3	-1357	558	-1361	-413	-58	6	20.11	20.11		17
4	-1786	285	-1127	-420	-51	4	20.11	20.11		17
5	-11620	-17607	662	-291	-352	-75	20.11	20.11		20
6	436	-366	148	-193	-82	-44	20.11	20.11		30
7	1685	7077	-2594	-186	-34	-54	20.11	20.11		29
8	854	5149	-2896	-188	-20	-54	20.11	20.11		29
9	8449	8958	46	-210	-121	-25	20.11	20.11		27
10	5530	8365	614	-235	-67	-60	20.11	20.11		22
11	2915	7245	-277	-238	-42	-66	20.11	20.11		22
12	1418	5963	-1091	-234	-27	-64	20.11	20.11		23
13	7801	6037	850	-375	-127	-95	20.11	20.11		13
14	5866	6142	862	-344	-68	-77	20.11	20.11		16
15	3828	5989	568	-318	-34	-64	20.11	20.11		18
16	2194	5478	52	-295	-16	-52	20.11	20.11		20
Massimi/minimi										
1							20.11			
1								20.11		
13										13

Muro [Platea]: 107 - Nodi: [216-215-205-206]Pann=16Spess.=35 cm, Terreno=terreno 1, ,Criterio=CLS_Platee_ND,
Materiale=C35/45, $\zeta_e=45.363$ [(9+10)-XI-4] : **Verificato**

Armatura a maglia doppia

Pannello	Nx	Ny	Nxy	Mx	My	Mxy	Ax	Ay	C	Cs
	kg	kg	kg	kg*m	kg*m	kg*m	cmq	cmq		
1	-4553	-1629	1356	-17	63	240	25.45	25.45		45
2	-2648	-1205	872	78	70	234	25.45	25.45		45
3	-758	125	312	102	183	169	25.45	25.45		38
4	-1119	228	264	95	167	145	25.45	25.45		43
5	-4379	-1843	1508	-33	60	263	25.45	25.45		43
6	-389	12	274	53	88	199	25.45	25.45		47
7	-755	19	284	77	160	169	25.45	25.45		41
8	-976	51	220	79	165	134	25.45	25.45		45
9	-4077	-2004	1658	-63	53	262	25.45	25.45		43
10	-436	55	302	20	66	199	25.45	25.45		51
11	-735	-207	335	37	124	157	25.45	25.45		48
12	-885	-217	180	41	150	112	25.45	25.45		52
13	597	535	168	-106	-34	170	25.45	25.45		49
14	-471	-274	647	-22	48	170	25.45	25.45		62
15	-728	-1325	364	-38	149	81	25.45	25.45		60
16	-1111	-1773	198	-30	136	17	25.45	25.45		90
Massimi/minimi										
1							25.45			
1								25.45		
3										38

Muro [Platea]: 108 - Nodi: [217-216-206-207]Pann=16Spess.=35 cm, Terreno=terreno 1, ,Criterio=CLS_Platee_ND,
Materiale=C35/45, $\zeta_e=60.933$ [(9+10)-I-4] : **Verificato**

Armatura a maglia doppia

Pannello	Nx	Ny	Nxy	Mx	My	Mxy	Ax	Ay	C	Cs
	kg	kg	kg	kg*m	kg*m	kg*m	cmq	cmq		
1	-1391	566	605	86	128	107	25.45	25.45		57
2	-1503	459	984	108	217	147	25.45	25.45		37
3	-1606	413	1297	114	199	164	25.45	25.45		37
4	-1727	382	1544	95	82	199	25.45	25.45		47
5	-2366	251	589	79	115	136	25.45	25.45		54
6	-2205	165	982	99	211	174	25.45	25.45		35

**POTENZIAMENTO DELL'IMPIANTO DI DEPURAZIONE E
DEL RECAPITO FINALE DI SQUINZANO (LE)
PROGETTO DEFINITIVO
Tabulati di calcolo strutturale-Filtrazione**

R.37.9

Maggio 2021

Pagina 211 di
364

Pannello	Nx	Ny	Nxy	Mx	My	Mxy	Ax	Ay	C	Cs
7	-2092	178	1227	107	198	179	25.45	25.45	6	36
8	-1310	722	1152	108	134	147	25.45	25.45	7	48
9	-3332	-221	620	64	87	164	25.45	25.45	6	54
10	-2792	-297	980	92	178	199	25.45	25.45	6	36
11	-979	533	839	124	227	145	25.45	25.45	7	36
12	-1280	586	789	112	148	149	25.45	25.45	7	45
13	-4496	-1427	983	24	73	194	25.45	25.45	5	52
14	-2937	-946	980	88	122	224	25.45	25.45	6	40
15	-850	268	513	120	208	160	25.45	25.45	7	37
16	-1152	399	417	116	162	149	25.45	25.45	7	43
Massimi/minimi										
1							25.45			
1								25.45		
6										35

Muro [Platea]: 109 - Nodi: [218-217-207-208]Pann=16Spess.=35 cm, Terreno=terreno 1, ,Criterio=CLS_Platee_ND,
Materiale=C35/45, $\zeta_e=69.156 [(9+10)-I-3]$: **Verificato**

Armatura a maglia doppia

Pannello	Nx	Ny	Nxy	Mx	My	Mxy	Ax	Ay	C	Cs
	kg	kg	kg	kg*m	kg*m	kg*m	cmq	cmq		
1	212	1752	273	-269	-95	-34	25.45	25.45	6	45
2	-301	850	-63	-237	3	29	25.45	25.45	6	51
3	-146	314	74	-212	36	72	25.45	25.45	6	48
4	100	-305	361	-152	33	144	25.45	25.45	6	46
5	279	-1418	-385	-70	-77	-129	25.45	25.45	3	67
6	-297	881	521	-22	83	90	25.45	25.45	6	77
7	-457	439	668	-13	103	144	25.45	25.45	6	55
8	-405	-41	1037	-7	76	209	25.45	25.45	6	48
9	-58	-1341	-435	-41	-80	-107	25.45	25.45	3	73
10	-593	683	763	70	155	107	25.45	25.45	6	52
11	-759	465	1064	76	151	153	25.45	25.45	6	44
12	-928	210	1413	58	70	214	25.45	25.45	6	48
13	-720	610	544	85	120	79	25.45	25.45	6	68
14	-937	568	897	101	198	124	25.45	25.45	6	42
15	-1117	461	1231	108	180	156	25.45	25.45	6	40
16	-1345	401	1556	85	73	207	25.45	25.45	6	47
Massimi/minimi										
1							25.45			
1								25.45		
15										40

Muro [Platea]: 110 - Nodi: [206-205-201-202]Pann=16Spess.=35 cm, Terreno=terreno 1, ,Criterio=CLS_Platee_ND,
Materiale=C35/45, $\zeta_e=109.556 [(9+10)-II-1]$: **Verificato**

Armatura a maglia doppia

Pannello	Nx	Ny	Nxy	Mx	My	Mxy	Ax	Ay	C	Cs
	kg	kg	kg	kg*m	kg*m	kg*m	cmq	cmq		
1	-1069	-182	709	92	-50	194	25.45	25.45	7	48
2	-903	-132	372	175	271	121	25.45	25.45	7	35
3	-625	99	201	168	316	-7	25.45	25.45	7	42
4	-1983	-1248	-115	-6	-422	-29	25.45	25.45	3	30
5	-931	-488	703	72	-47	200	25.45	25.45	7	50
6	-697	-414	330	138	224	125	25.45	25.45	7	39
7	-508	-156	80	143	264	-19	25.45	25.45	7	48
8	-1475	-1033	-133	-22	-346	-35	25.45	25.45	3	36
9	-804	-784	669	29	-33	189	25.45	25.45	7	62
10	-464	-731	283	77	171	123	25.45	25.45	7	46
11	-361	-522	-43	99	204	-28	25.45	25.45	7	59
12	-1030	-647	-111	-52	-260	-31	25.45	25.45	3	47
13	-914	-970	537	-45	13	132	25.45	25.45	7	78
14	-1319	-1554	460	-192	61	36	25.45	25.45	3	60
15	-607	-291	-242	-137	-72	-70	25.45	25.45	1	66
16	-250	241	-77	-83	-195	-13	25.45	25.45	1	65
Massimi/minimi										

**POTENZIAMENTO DELL'IMPIANTO DI DEPURAZIONE E
DEL RECAPITO FINALE DI SQUINZANO (LE)
PROGETTO DEFINITIVO
Tabulati di calcolo strutturale-Filtrazione**

R.37.9

Maggio 2021

Pagina 212 di
364

Pannello	Nx	Ny	Nxy	Mx	My	Mxy	Ax	Ay	C	Cs
1							25.45			
1								25.45		
4										30

Muro [Platea]: 111 - Nodi: [207-206-202-203]Pann=16Spess.=35 cm, Terreno=terreno 1, ,Criterio=CLS_Platee_ND,
Materiale=C35/45,ζ=61.757 [(9+10)-II-1] : **Verificato**

Armatura a maglia doppia

Pannello	Nx	Ny	Nxy	Mx	My	Mxy	Ax	Ay	C	Cs
	kg	kg	kg	kg*m	kg*m	kg*m	cmq	cmq		
1	-1621	665	595	104	9	121	25.45	25.45	6	61
2	-1273	814	344	186	394	114	25.45	25.45	7	26
3	-974	691	269	162	411	184	25.45	25.45	7	23
4	-1172	-1813	162	-59	-589	-34	25.45	25.45	1	22
5	-1705	477	703	93	-23	148	25.45	25.45	6	57
6	-1236	915	476	192	432	114	25.45	25.45	7	25
7	-861	836	384	169	471	132	25.45	25.45	7	22
8	-3026	-1965	10	-18	-681	12	25.45	25.45	3	20
9	-1525	826	615	114	-21	138	25.45	25.45	7	55
10	-1153	778	526	196	417	113	25.45	25.45	7	25
11	-736	795	446	174	468	79	25.45	25.45	7	25
12	-1922	-1937	-189	-39	-655	15	25.45	25.45	2	21
13	-1296	325	656	115	-41	176	25.45	25.45	7	47
14	-1015	360	465	196	344	119	25.45	25.45	7	29
15	-623	523	362	181	395	24	25.45	25.45	7	32
16	-2468	-1661	-57	11	-541	-13	25.45	25.45	3	25
Massimi/minimi										
1							25.45			
1								25.45		
8										20

Muro [Platea]: 112 - Nodi: [208-207-203-204]Pann=16Spess.=35 cm, Terreno=terreno 1, ,Criterio=CLS_Platee_ND,
Materiale=C35/45,ζ=157.036 [(9+10)-IV-4] : **Verificato**

Armatura a maglia doppia

Pannello	Nx	Ny	Nxy	Mx	My	Mxy	Ax	Ay	C	Cs
	kg	kg	kg	kg*m	kg*m	kg*m	cmq	cmq		
1	-139	-952	-72	-242	19	77	25.45	25.45	5	43
2	-991	-1013	240	-402	28	128	25.45	25.45	5	26
3	-827	-1250	244	-353	58	169	25.45	25.45	7	26
4	-791	-957	382	-181	-56	151	25.45	25.45	7	41
5	-817	-1465	-957	-82	-2	-78	25.45	25.45	3	85
6	-920	-449	409	-65	153	163	25.45	25.45	6	43
7	-855	-516	482	-69	147	251	25.45	25.45	6	34
8	-631	-247	169	-63	-38	234	25.45	25.45	7	46
9	-1027	264	167	59	51	78	25.45	25.45	6	>100
10	-1056	47	495	84	229	156	25.45	25.45	6	35
11	-1049	72	175	61	249	236	25.45	25.45	7	28
12	-603	-1088	193	-64	-366	-40	25.45	25.45	1	34
13	-1318	526	371	95	35	94	25.45	25.45	6	73
14	-1286	505	204	154	329	117	25.45	25.45	7	30
15	-1084	403	186	131	329	219	25.45	25.45	7	25
16	-919	-1403	193	-60	-479	-38	25.45	25.45	1	27
Massimi/minimi										
1							25.45			
1								25.45		
15										25

Muro : 113 - Nodi: [260-360-361-261], Pann.X=4, Pann.Y=4Spess.=25 cm, Terreno=--,Criterio=CLS_Muri_ND,
Materiale=C35/45,ζ=85.643 [(9+10)-VII-2] : **Verificato**

Armatura a maglia doppia

Pannello	Nx kg	Ny kg	Nxy kg	Mx kg*m	My kg*m	Mxy kg*m	Ax cmq	Ay cmq	C	Cs
1	-1327	-804	-25	3	96	44	20.11	20.11	1	51
2	-1301	-1041	-79	8	120	44	20.11	20.11	1	44
3	-1289	-1264	27	18	173	73	20.11	20.11	1	29
4	-1469	-1572	-275	36	321	55	20.11	20.11	2	19
5	-1916	980	-864	3	-126	-46	20.11	20.11	6	41
6	-1067	-1533	316	8	173	50	20.11	20.11	1	32
7	-1316	-1737	420	20	258	75	20.11	20.11	1	22
8	-1753	-2044	-96	52	486	48	20.11	20.11	2	14
9	-1542	1019	-722	-11	-173	-49	20.11	20.11	6	32
10	-899	-1628	593	11	219	55	20.11	20.11	1	26
11	-1178	-1738	668	24	321	74	20.11	20.11	1	18
12	-1560	-1928	23	63	590	35	20.11	20.11	2	12
13	-1149	919	-542	-23	-226	-53	20.11	20.11	6	25
14	-734	-1439	680	16	264	55	20.11	20.11	1	23
15	-903	-1453	730	27	359	72	20.11	20.11	1	17
16	-1128	-1563	74	70	640	25	20.11	20.11	2	11
Massimi/minimi										
1							20.11			
1								20.11		
16										11

Muro : 114 - Nodi: [257-357-361-261], Pann.X=4, Pann.Y=4Spess.=25 cm, Terreno=--,Criterio=CLS_Muri_ND,
Materiale=C35/45,ζ=48.810 [(9+10)-VIII-3] : **Verificato**

Armatura a maglia doppia

Pannello	Nx kg	Ny kg	Nxy kg	Mx kg*m	My kg*m	Mxy kg*m	Ax cmq	Ay cmq	C	Cs
1	-2083	-203	-1461	78	102	289	20.11	20.11	1	18
2	-1536	-677	-526	73	15	303	20.11	20.11	2	19
3	-1331	-763	-417	36	-109	274	20.11	20.11	2	19
4	-1204	-836	-149	-14	-334	174	20.11	20.11	2	14
5	-1369	-873	-394	217	108	255	20.11	20.11	2	15
6	-1411	-530	-1275	150	43	246	20.11	20.11	1	18
7	-1258	-1073	-280	64	-199	206	20.11	20.11	2	18
8	-1341	-1150	-102	-17	-496	126	20.11	20.11	2	12
9	-1191	-406	-984	206	147	169	20.11	20.11	1	19
10	-1149	-595	-983	132	11	157	20.11	20.11	1	25
11	-1090	-1250	-147	38	-281	119	20.11	20.11	2	18
12	-1272	-1322	-62	-39	-591	70	20.11	20.11	2	11
13	-813	-261	-667	132	123	99	20.11	20.11	1	31
14	-754	-1197	-60	61	-118	81	20.11	20.11	2	36
15	-834	-1265	-34	-1	-342	54	20.11	20.11	2	18
16	-1009	-1321	-22	-60	-626	29	20.11	20.11	2	11
Massimi/minimi										
1							20.11			
1								20.11		
12										11

Muro : 115 - Nodi: [258-358-359-259], Pann.X=4, Pann.Y=4Spess.=25 cm, Terreno=--,Criterio=CLS_Muri_ND,
Materiale=C35/45,ζ=48.036 [(9+10)-II-1] : **Verificato**

Armatura a maglia doppia

Pannello	Nx kg	Ny kg	Nxy kg	Mx kg*m	My kg*m	Mxy kg*m	Ax cmq	Ay cmq	C	Cs
1	-1835	584	-1922	21	-104	-114	20.11	20.11	6	32
2	-1282	-465	-1484	-6	57	-46	20.11	20.11	1	70
3	-1291	-485	-1512	-6	60	-35	20.11	20.11	1	75
4	-2246	440	-2250	14	-34	-92	20.11	20.11	5	56
5	-1892	840	-2147	-30	-276	-107	20.11	20.11	6	18
6	-1882	894	-2084	-12	-158	-35	20.11	20.11	6	36
7	-888	-666	-1421	-8	89	-38	20.11	20.11	1	56
8	-817	-843	-1405	-4	96	-50	20.11	20.11	1	49
9	-1572	1319	-2053	-71	-473	-92	20.11	20.11	6	12

**POTENZIAMENTO DELL'IMPIANTO DI DEPURAZIONE E
DEL RECAPITO FINALE DI SQUINZANO (LE)
PROGETTO DEFINITIVO
Tabulati di calcolo strutturale-Filtrazione**

R.37.9

Maggio 2021

Pagina 214 di
364

Pannello	Nx	Ny	Nxy	Mx	My	Mxy	Ax	Ay	C	Cs
10	-1491	1396	-2093	-42	-287	-24	20.11	20.11	6	22
11	-668	-697	-1168	-2	124	-39	20.11	20.11	1	44
12	-695	493	-1063	8	124	-59	20.11	20.11	(9+10)-I-4	38
13	-986	1782	-1833	-112	-680	-80	20.11	20.11	6	9.1
14	-883	1844	-1936	-75	-420	-19	20.11	20.11	6	16
15	-555	-718	-846	8	174	-35	20.11	20.11	1	34
16	-381	462	-896	10	182	-51	20.11	20.11	(9+10)-I-4	30
Massimi/minimi										
1							20.11			
1								20.11		
13										9.1

Muro : 116 - Nodi: [259-359-360-260], Pann.X=4, Pann.Y=4Spess.=25 cm, Terreno=--,Criterio=CLS_Muri_ND,
Materiale=C35/45,ζ=104.835 [(9+10)-VIII-2] : **Verificato**

Armatura a maglia doppia

Pannello	Nx	Ny	Nxy	Mx	My	Mxy	Ax	Ay	C	Cs
	kg	kg	kg	kg*m	kg*m	kg*m	cmq	cmq		
1	-2801	905	541	27	-26	-19	20.11	20.11	6	>100
2	-3080	1083	267	34	-10	-52	20.11	20.11	6	86
3	-3081	1264	-8	34	4	-56	20.11	20.11	6	82
4	-2783	1427	-207	31	16	-41	20.11	20.11	6	>100
5	-2208	1253	351	8	-63	-16	20.11	20.11	6	89
6	-2442	1449	79	15	-29	-50	20.11	20.11	6	88
7	-2482	1605	-170	22	6	-56	20.11	20.11	6	94
8	-2313	1726	-353	25	43	-42	20.11	20.11	6	81
9	-1613	1506	127	-10	-104	-13	20.11	20.11	6	60
10	-1858	1661	-92	-2	-48	-47	20.11	20.11	6	73
11	-1927	1740	-270	11	7	-52	20.11	20.11	6	>100
12	-1808	1773	-425	20	65	-43	20.11	20.11	6	64
13	-1073	1753	-64	-30	-147	-11	20.11	20.11	6	44
14	-1358	1770	-176	-21	-65	-42	20.11	20.11	6	65
15	-1435	1727	-262	-3	7	-44	20.11	20.11	6	>100
16	-1302	1637	-375	13	77	-39	20.11	20.11	6	60
Massimi/minimi										
1							20.11			
1								20.11		
13										44

Muro : 117 - Nodi: [262-362-363-263], Pann.X=4, Pann.Y=4Spess.=25 cm, Terreno=--,Criterio=CLS_Muri_ND,
Materiale=C35/45,ζ=150.714 [(9+10)-X-2] : **Verificato**

Armatura a maglia doppia

Pannello	Nx	Ny	Nxy	Mx	My	Mxy	Ax	Ay	C	Cs
	kg	kg	kg	kg*m	kg*m	kg*m	cmq	cmq		
1	-1261	-782	-244	-76	-69	43	20.11	20.11	1	60
2	-1272	-730	-78	-124	-175	13	20.11	20.11	1	38
3	-1816	-767	-472	-109	-128	-44	20.11	20.11	2	42
4	-1988	-943	-260	-43	105	-45	20.11	20.11	2	48
5	-1457	-678	-606	-74	-86	-21	20.11	20.11	2	67
6	-1501	-675	-464	-107	-199	-15	20.11	20.11	2	33
7	-1237	-652	148	-94	-150	0	20.11	20.11	1	48
8	-1883	-805	-214	-30	124	-3	20.11	20.11	2	57
9	-1283	-401	-531	-49	-83	-46	20.11	20.11	2	55
10	-1309	-485	-401	-63	-172	-21	20.11	20.11	2	37
11	-662	282	-1019	40	100	-51	20.11	20.11	6	47
12	-1599	-516	-242	-9	117	21	20.11	20.11	2	52
13	-485	297	-997	-49	-117	-32	20.11	20.11	5	47
14	-1069	-268	-305	-27	-124	-21	20.11	20.11	2	49
15	-550	6	-790	14	92	-49	20.11	20.11	6	50
16	-686	-226	-553	24	111	-41	20.11	20.11	6	47
Massimi/minimi										
1							20.11			
1								20.11		
6										33

Muro : 118 - Nodi: [260-360-363-263], Pann.X=4, Pann.Y=4Spess.=25 cm, Terreno=--,Criterio=CLS_Muri_ND,
Materiale=C35/45, $\zeta_e=112.607$ [(9+10)-II-4] : **Verificato**

Armatura a maglia doppia

Pannello	Nx	Ny	Nxy	Mx	My	Mxy	Ax	Ay	C	Cs
	kg	kg	kg	kg*m	kg*m	kg*m	cmq	cmq		
1	-2268	-633	879	-3	110	-26	20.11	20.11	6	52
2	-1768	-550	-15	40	78	0	20.11	20.11	4	92
3	-1212	-282	627	-17	-46	2	20.11	20.11	5	>100
4	-2434	-1597	-130	1	-137	-7	20.11	20.11	2	50
5	-2117	-348	439	3	145	-22	20.11	20.11	6	43
6	-1486	-518	267	22	72	4	20.11	20.11	4	94
7	-1011	-324	351	-9	-52	8	20.11	20.11	5	>100
8	-2398	-1553	182	-11	-158	-12	20.11	20.11	2	42
9	-1703	-174	134	13	187	-19	20.11	20.11	6	34
10	-1149	-10	95	3	64	2	20.11	20.11	6	>100
11	-856	-397	220	-7	-50	14	20.11	20.11	5	>100
12	-1935	-1171	373	-19	-147	-8	20.11	20.11	2	47
13	-1154	-130	-16	32	242	-16	20.11	20.11	6	27
14	-826	-70	-92	19	101	8	20.11	20.11	6	65
15	-1043	-584	0	-17	-58	-7	20.11	20.11	1	>100
16	-643	-457	310	-5	-133	6	20.11	20.11	5	51
Massimi/minimi										
1							20.11			
1								20.11		
13										27

Muro : 119 - Nodi: [259-359-362-262], Pann.X=4, Pann.Y=4Spess.=25 cm, Terreno=--,Criterio=CLS_Muri_ND,
Materiale=C35/45, $\zeta_e=142.669$ [(9+10)-VIII-3] : **Verificato**

Armatura a maglia doppia

Pannello	Nx	Ny	Nxy	Mx	My	Mxy	Ax	Ay	C	Cs
	kg	kg	kg	kg*m	kg*m	kg*m	cmq	cmq		
1	-1879	-260	-2557	9	60	40	20.11	20.11	6	71
2	-1229	-132	-1810	26	62	-1	20.11	20.11	8	>100
3	-1289	-924	-1211	-13	43	18	20.11	20.11	1	>100
4	-1814	-1197	-652	12	187	39	20.11	20.11	1	32
5	-1437	440	-2732	14	84	49	20.11	20.11	6	53
6	-1049	113	-1871	21	75	2	20.11	20.11	8	92
7	-1458	-878	-766	8	72	16	20.11	20.11	1	81
8	324	682	-1968	-15	-208	21	20.11	20.11	6	31
9	-875	1039	-2638	22	108	52	20.11	20.11	6	43
10	-853	343	-1678	21	78	4	20.11	20.11	8	86
11	-1333	-632	-364	21	82	9	20.11	20.11	1	79
12	-331	643	-1907	-22	-226	26	20.11	20.11	6	28
13	-316	1561	-2234	31	133	51	20.11	20.11	6	38
14	-681	-202	-111	25	79	0	20.11	20.11	1	90
15	-705	897	-2017	-6	-82	5	20.11	20.11	6	80
16	-939	502	-1610	-28	-231	26	20.11	20.11	6	27
Massimi/minimi										
1							20.11			
1								20.11		
16										27

Muro : 120 - Nodi: [254-354-358-258], Pann.X=4, Pann.Y=4Spess.=25 cm, Terreno=--,Criterio=CLS_Muri_ND,
Materiale=C35/45, $\zeta_e=45.752$ [(9+10)-XI-1] : **Verificato**

Armatura a maglia doppia

Pannello	Nx	Ny	Nxy	Mx	My	Mxy	Ax	Ay	C	Cs
	kg	kg	kg	kg*m	kg*m	kg*m	cmq	cmq		
1	-6094	3010	-2990	-203	-127	323	20.11	20.11	6	15

**POTENZIAMENTO DELL'IMPIANTO DI DEPURAZIONE E
DEL RECAPITO FINALE DI SQUINZANO (LE)
PROGETTO DEFINITIVO
Tabulati di calcolo strutturale-Filtrazione**

R.37.9

Maggio 2021

Pagina 216 di
364

Pannello	Nx	Ny	Nxy	Mx	My	Mxy	Ax	Ay	C	Cs
2	-4090	1984	-3833	-160	-54	277	20.11	20.11	6	17
3	-2191	1321	-3629	-96	-124	197	20.11	20.11	6	22
4	-966	1072	-2690	-46	-248	137	20.11	20.11	6	18
5	-3871	2902	-1982	-54	-5	314	20.11	20.11	6	20
6	-3153	2266	-2619	-64	-117	329	20.11	20.11	6	15
7	-2405	1714	-2744	-68	-284	273	20.11	20.11	6	12
8	-2002	1342	-2386	-76	-498	187	20.11	20.11	6	10
9	-2456	2726	-1506	13	154	312	20.11	20.11	6	15
10	-2247	2415	-1892	-21	-128	336	20.11	20.11	6	15
11	-2084	2059	-2085	-57	-444	291	20.11	20.11	6	9.4
12	-2061	1769	-2067	-103	-792	200	20.11	20.11	6	7.0
13	-1456	2987	-1220	42	314	311	20.11	20.11	6	11
14	-1482	2840	-1458	-18	-132	340	20.11	20.11	6	14
15	-1544	2576	-1651	-77	-604	296	20.11	20.11	6	7.6
16	-1738	2272	-1765	-143	-1094	197	20.11	20.11	6	5.3
Massimi/minimi										
1							20.11			
1								20.11		
16										5.3

Muro : 121 - Nodi: [231-331-332-232], Pann.X=4, Pann.Y=4Spess.=25 cm, Terreno=--,Criterio=CLS_Muri_ND,
Materiale=C35/45, $\zeta_e=68.871$ [(9+10)-V-1] : **Verificato**

Armatura a maglia doppia

Pannello	Nx kg	Ny kg	Nxy kg	Mx kg*m	My kg*m	Mxy kg*m	Ax cmq	Ay cmq	C	Cs
1	-2305	-137	339	4	43	-37	20.11	20.11	(9+10)-V-4	89
2	-2444	-154	206	7	74	-27	20.11	20.11	(9+10)-V-4	71
3	-2583	-122	45	11	105	-12	20.11	20.11	(9+10)-V-4	61
4	-2694	-70	-167	15	137	3	20.11	20.11	(9+10)-V-4	51
5	-1857	-148	316	6	59	-37	20.11	20.11	(9+10)-V-4	74
6	-1961	-104	162	11	100	-27	20.11	20.11	(9+10)-V-4	56
7	-2040	-62	-13	17	142	-12	20.11	20.11	(9+10)-V-4	46
8	-2084	-26	-214	22	185	3	20.11	20.11	(9+10)-V-4	38
9	-1303	-167	295	9	74	-32	20.11	20.11	(9+10)-V-2	67
10	-1417	-111	82	16	125	-27	20.11	20.11	(9+10)-V-4	47
11	-1462	-64	-68	22	178	-12	20.11	20.11	(9+10)-V-4	37
12	-1463	-40	-232	29	233	3	20.11	20.11	(9+10)-V-4	30
13	-851	-147	156	12	88	-32	20.11	20.11	(9+10)-V-2	59
14	-928	-96	-4	20	149	-27	20.11	20.11	(9+10)-V-4	40
15	-957	-57	-116	28	215	-13	20.11	20.11	(9+10)-V-4	31
16	-943	-50	-227	36	283	3	20.11	20.11	(9+10)-V-4	25
Massimi/minimi										
1							20.11			
1								20.11		
16										25

Muro : 122 - Nodi: [230-330-331-231], Pann.X=4, Pann.Y=4Spess.=25 cm, Terreno=--,Criterio=CLS_Muri_ND,
Materiale=C35/45, $\zeta_e=102.972$ [(9+10)-VIII-4] : **Verificato**

Armatura a maglia doppia

Pannello	Nx kg	Ny kg	Nxy kg	Mx kg*m	My kg*m	Mxy kg*m	Ax cmq	Ay cmq	C	Cs
1	-1801	-60	778	-9	-56	-33	20.11	20.11	(9+10)-V-4	80
2	-1977	-70	683	-6	-33	-40	20.11	20.11	(9+10)-V-4	98
3	-2123	-91	571	-3	-10	-43	20.11	20.11	(9+10)-V-4	>100
4	-2249	-116	458	-1	14	-42	20.11	20.11	(9+10)-V-4	>100
5	-1397	-330	720	-11	-74	-33	20.11	20.11	(9+10)-V-4	66
6	-1516	-270	648	-7	-44	-40	20.11	20.11	(9+10)-V-4	85
7	-1634	-219	553	-3	-12	-42	20.11	20.11	(9+10)-V-4	>100
8	-1746	-191	445	0	21	-42	20.11	20.11	(9+10)-V-4	>100
9	-995	-508	548	-14	-92	-33	20.11	20.11	(9+10)-V-4	57
10	-1059	-406	494	-9	-54	-39	20.11	20.11	(9+10)-V-4	77
11	-1176	-313	421	-3	-15	-41	20.11	20.11	(9+10)-V-4	>100
12	-1259	-250	331	2	26	-41	20.11	20.11	(9+10)-V-4	>100

**POTENZIAMENTO DELL'IMPIANTO DI DEPURAZIONE E
DEL RECAPITO FINALE DI SQUINZANO (LE)
PROGETTO DEFINITIVO
Tabulati di calcolo strutturale-Filtrazione**

R.37.9

Maggio 2021

Pagina 217 di
364

Pannello	Nx	Ny	Nxy	Mx	My	Mxy	Ax	Ay	C	Cs
13	-673	-504	322	-16	-109	-33	20.11	20.11	(9+10)-V-4	50
14	-699	-396	292	-10	-63	-38	20.11	20.11	(9+10)-V-4	71
15	-744	-315	245	-3	-17	-40	20.11	20.11	(9+10)-V-4	>100
16	-821	-233	183	3	32	-40	20.11	20.11	(9+10)-V-4	100
Massimi/minimi										
1							20.11			
1								20.11		
13										50

Muro : 123 - Nodi: [209-309-310-210], Pann.X=4, Pann.Y=4Spess.=25 cm, Terreno=--,Criterio=CLS_Muri_ND,
Materiale=C35/45,ζ=96.261 [(9+10)-I-1] : **Verificato**

Armatura a maglia doppia

Pannello	Nx	Ny	Nxy	Mx	My	Mxy	Ax	Ay	C	Cs
	kg	kg	kg	kg*m	kg*m	kg*m	cmq	cmq		
1	-2495	-2342	-137	-34	-579	-2	20.11	20.11	2	13
2	-2059	-2236	-100	27	-269	-15	20.11	20.11	2	26
3	-860	0	618	-27	-78	-39	20.11	20.11	(9+10)-V-2	61
4	-1098	-2180	116	144	135	-30	20.11	20.11	5	41
5	-2036	-1855	-160	-46	-541	29	20.11	20.11	2	13
6	-1775	-1824	-212	-1	-271	42	20.11	20.11	2	23
7	-803	-205	530	-14	-99	-43	20.11	20.11	(9+10)-V-2	50
8	-1539	-1660	-196	87	112	40	20.11	20.11	1	48
9	-1495	-1301	-159	-48	-447	43	20.11	20.11	2	15
10	-1366	-1328	-223	-19	-240	69	20.11	20.11	2	23
11	-710	-349	402	-4	-114	-35	20.11	20.11	(9+10)-V-2	48
12	-1262	-1264	-319	35	75	71	20.11	20.11	1	50
13	-971	-819	-137	-41	-340	45	20.11	20.11	2	19
14	-930	-860	-190	-25	-200	73	20.11	20.11	2	26
15	-884	-877	-215	-12	-80	79	20.11	20.11	2	45
16	-508	-305	277	14	-89	-23	20.11	20.11	(9+10)-V-2	64
Massimi/minimi										
1							20.11			
1								20.11		
1										13

Muro : 124 - Nodi: [222-322-332-232], Pann.X=4, Pann.Y=4Spess.=25 cm, Terreno=--,Criterio=CLS_Muri_ND,
Materiale=C35/45,ζ=118.563 [(9+10)-VIII-4] : **Verificato**

Armatura a maglia doppia

Pannello	Nx	Ny	Nxy	Mx	My	Mxy	Ax	Ay	C	Cs
	kg	kg	kg	kg*m	kg*m	kg*m	cmq	cmq		
1	-1886	-3873	773	9	88	36	20.11	20.11	2	60
2	-1946	-3446	602	-7	19	35	20.11	20.11	2	>100
3	-2034	-3144	337	-23	-59	26	20.11	20.11	2	87
4	-2086	-2969	15	-38	-148	24	20.11	20.11	2	43
5	-1484	-3754	128	8	92	27	20.11	20.11	2	63
6	-1775	-25	797	-2	22	28	20.11	20.11	(9+10)-XI-4	>100
7	-1385	-3207	-1	-22	-71	21	20.11	20.11	2	80
8	-1373	-3067	-143	-37	-158	22	20.11	20.11	2	41
9	-1161	-3118	-252	9	92	20	20.11	20.11	2	66
10	-1218	-297	641	2	26	28	20.11	20.11	(9+10)-XI-4	>100
11	-964	-2827	-234	-19	-77	17	20.11	20.11	2	78
12	-913	-2751	-245	-34	-163	19	20.11	20.11	2	40
13	-740	-487	524	12	82	23	20.11	20.11	(9+10)-V-4	68
14	-751	-305	438	5	30	28	20.11	20.11	(9+10)-XI-4	>100
15	-673	-2165	-338	-17	-80	14	20.11	20.11	2	78
16	-624	-2147	-278	-30	-165	16	20.11	20.11	2	40
Massimi/minimi										
1							20.11			
1								20.11		
16										40

**POTENZIAMENTO DELL'IMPIANTO DI DEPURAZIONE E
DEL RECAPITO FINALE DI SQUINZANO (LE)
PROGETTO DEFINITIVO
Tabulati di calcolo strutturale-Filtrazione**

R.37.9

Maggio 2021

Pagina 218 di
364

Muro : 125 - Nodi: [211-311-312-212], Pann.X=4, Pann.Y=4Spess.=25 cm, Terreno=--,Criterio=CLS_Muri_ND,
Materiale=C35/45, $\zeta_e=74.723$ [(9+10)-XI-4] : **Verificato**

Armatura a maglia doppia

Pannello	Nx	Ny	Nxy	Mx	My	Mxy	Ax	Ay	C	Cs
	kg	kg	kg	kg*m	kg*m	kg*m	cmq	cmq		
1	-1201	-1425	403	196	228	-5	20.11	20.11	2	31
2	-1230	-1337	477	135	40	-7	20.11	20.11	2	51
3	-1608	-658	603	56	-282	-13	20.11	20.11	1	24
4	-1752	-423	700	-20	-750	-31	20.11	20.11	1	9.1
5	-487	-1968	600	125	212	-45	20.11	20.11	5	28
6	-1045	-1256	327	76	20	-61	20.11	20.11	2	52
7	-1403	-684	254	16	-287	-55	20.11	20.11	1	21
8	-1527	-483	302	-41	-706	-29	20.11	20.11	1	9.7
9	-413	-1416	696	57	165	-68	20.11	20.11	5	31
10	-865	-1064	190	26	4	-88	20.11	20.11	2	63
11	-1141	-719	-22	-12	-247	-71	20.11	20.11	1	22
12	-1235	-584	-2	-50	-567	-21	20.11	20.11	1	12
13	-369	-716	673	11	111	-72	20.11	20.11	5	39
14	-801	-811	-203	-5	-21	-85	20.11	20.11	1	68
15	-845	-758	-178	-22	-183	-71	20.11	20.11	1	28
16	-902	-694	-171	-44	-391	-13	20.11	20.11	1	18
Massimi/minimi										
1							20.11			
1								20.11		
4										9.1

Muro : 126 - Nodi: [213-313-314-214], Pann.X=4, Pann.Y=4Spess.=25 cm, Terreno=--,Criterio=CLS_Muri_ND,
Materiale=C35/45, $\zeta_e=37.971$ [(9+10)-V-4] : **Verificato**

Armatura a maglia doppia

Pannello	Nx	Ny	Nxy	Mx	My	Mxy	Ax	Ay	C	Cs
	kg	kg	kg	kg*m	kg*m	kg*m	cmq	cmq		
1	-2097	-129	545	180	26	-83	20.11	20.11	1	28
2	-2390	440	387	319	350	-70	20.11	20.11	1	17
3	-2464	1031	-48	361	434	-16	20.11	20.11	1	16
4	-2030	1475	-682	294	327	37	20.11	20.11	1	19
5	-281	-3725	657	124	26	10	20.11	20.11	5	53
6	-1270	-1501	423	238	355	-22	20.11	20.11	2	19
7	-1348	-1596	505	273	452	-37	20.11	20.11	2	15
8	-1440	-1690	589	216	330	-48	20.11	20.11	2	19
9	-407	-2300	1237	63	1	65	20.11	20.11	5	56
10	-1255	-560	-232	144	305	26	20.11	20.11	1	22
11	-1079	-1173	519	166	405	-43	20.11	20.11	2	16
12	-1139	-1102	563	130	296	-92	20.11	20.11	2	19
13	-898	-992	-199	9	-51	90	20.11	20.11	1	51
14	-818	-992	-261	53	234	42	20.11	20.11	1	26
15	-795	-771	420	66	329	-44	20.11	20.11	2	19
16	-824	-612	455	52	243	-110	20.11	20.11	2	20
Massimi/minimi										
1							20.11			
1								20.11		
7										15

Muro : 127 - Nodi: [212-312-313-213], Pann.X=4, Pann.Y=4Spess.=25 cm, Terreno=--,Criterio=CLS_Muri_ND,
Materiale=C35/45, $\zeta_e=52.835$ [(9+10)-I-4] : **Verificato**

Armatura a maglia doppia

Pannello	Nx	Ny	Nxy	Mx	My	Mxy	Ax	Ay	C	Cs
	kg	kg	kg	kg*m	kg*m	kg*m	cmq	cmq		
1	-1866	-692	465	-2	-629	-28	20.11	20.11	1	11
2	-1875	-543	493	21	-510	-41	20.11	20.11	1	13
3	-1893	-455	511	46	-402	-51	20.11	20.11	1	16
4	-1909	-377	520	71	-303	-60	20.11	20.11	1	20

**POTENZIAMENTO DELL'IMPIANTO DI DEPURAZIONE E
DEL RECAPITO FINALE DI SQUINZANO (LE)
PROGETTO DEFINITIVO
Tabulati di calcolo strutturale-Filtrazione**

R.37.9

Maggio 2021

Pagina 219 di
364

Pannello	Nx	Ny	Nxy	Mx	My	Mxy	Ax	Ay	C	Cs
5	-1634	-871	148	-28	-654	15	20.11	20.11	1	11
6	-1631	-714	155	-9	-541	16	20.11	20.11	1	13
7	-1636	-652	163	11	-437	17	20.11	20.11	1	16
8	-1647	-608	173	31	-341	16	20.11	20.11	1	20
9	-1324	-1008	-64	-48	-588	37	20.11	20.11	1	11
10	-1313	-882	-67	-34	-496	49	20.11	20.11	1	13
11	-1311	-855	-69	-20	-409	58	20.11	20.11	1	15
12	-1312	-864	-68	-5	-328	62	20.11	20.11	1	18
13	-961	-1106	-145	-53	-480	45	20.11	20.11	1	14
14	-946	-1028	-154	-44	-413	61	20.11	20.11	1	15
15	-938	-1028	-161	-36	-349	72	20.11	20.11	1	17
16	-938	-1053	-179	-27	-288	80	20.11	20.11	1	20
Massimi/minimi										
1							20.11			
1								20.11		
5										11

Muro : 128 - Nodi: [210-310-311-211], Pann.X=4, Pann.Y=4Spess.=25 cm, Terreno=--,Criterio=CLS_Muri_ND,
Materiale=C35/45,ζ=80.123 [(9+10)-V-4] : **Verificato**

Armatura a maglia doppia

Pannello	Nx	Ny	Nxy	Mx	My	Mxy	Ax	Ay	C	Cs
	kg	kg	kg	kg*m	kg*m	kg*m	cmq	cmq		
1	-951	-2126	198	193	259	-30	20.11	20.11	5	25
2	-839	-2098	271	229	336	-25	20.11	20.11	5	20
3	-760	-2099	327	242	358	-16	20.11	20.11	5	19
4	-1200	-1523	339	231	323	-11	20.11	20.11	2	22
5	-1395	-1567	-141	122	234	27	20.11	20.11	1	28
6	-1297	-1444	-73	148	311	9	20.11	20.11	1	23
7	-596	-1875	375	159	338	-13	20.11	20.11	5	21
8	-529	-1912	483	152	308	-30	20.11	20.11	5	22
9	-1160	-1237	-301	55	177	52	20.11	20.11	1	31
10	-1082	-1183	-262	69	244	24	20.11	20.11	1	27
11	-512	-1389	414	77	271	-11	20.11	20.11	5	26
12	-452	-1400	547	72	246	-41	20.11	20.11	5	25
13	-859	-886	-326	8	112	56	20.11	20.11	1	42
14	-495	-813	285	15	170	23	20.11	20.11	5	37
15	-439	-791	399	18	189	-11	20.11	20.11	5	36
16	-398	-757	526	16	172	-43	20.11	20.11	5	33
Massimi/minimi										
1							20.11			
1								20.11		
3										19

Muro : 129 - Nodi: [212-312-322-222], Pann.X=4, Pann.Y=4Spess.=25 cm, Terreno=--,Criterio=CLS_Muri_ND,
Materiale=C35/45,ζ=51.833 [(9+10)-V-3] : **Verificato**

Armatura a maglia doppia

Pannello	Nx	Ny	Nxy	Mx	My	Mxy	Ax	Ay	C	Cs
	kg	kg	kg	kg*m	kg*m	kg*m	cmq	cmq		
1	-3398	-5453	530	32	317	-28	20.11	20.11	2	22
2	-2605	-5040	643	31	250	2	20.11	20.11	2	30
3	-2152	-4682	756	27	194	18	20.11	20.11	2	35
4	-1947	-4313	809	21	145	29	20.11	20.11	2	43
5	-2877	-4719	238	36	355	-4	20.11	20.11	2	21
6	-2339	-4477	113	34	282	14	20.11	20.11	2	25
7	-1932	-4267	99	28	218	20	20.11	20.11	2	31
8	-1664	-4048	118	21	160	24	20.11	20.11	2	41
9	-2071	-3512	27	38	354	12	20.11	20.11	2	20
10	-1794	-3445	-145	34	286	22	20.11	20.11	2	24
11	-1546	-3348	-225	28	222	21	20.11	20.11	2	30
12	-1341	-3252	-252	20	163	21	20.11	20.11	2	40
13	-1297	-2281	-78	37	336	21	20.11	20.11	2	20
14	-1186	-2292	-221	32	275	26	20.11	20.11	2	24
15	-1066	-2268	-319	25	216	22	20.11	20.11	2	31

**POTENZIAMENTO DELL'IMPIANTO DI DEPURAZIONE E
DEL RECAPITO FINALE DI SQUINZANO (LE)
PROGETTO DEFINITIVO
Tabulati di calcolo strutturale-Filtrazione**

R.37.9

Maggio 2021

Pagina 220 di
364

Pannello	Nx	Ny	Nxy	Mx	My	Mxy	Ax	Ay	C	Cs
16	-951	-2253	-374	18	159	19	20.11	20.11		41
Massimi/minimi										
1							20.11			
1								20.11		
9										20

Muro : 130 - Nodi: [229-329-330-230], Pann.X=4, Pann.Y=4Spess.=25 cm, Terreno=--,Criterio=CLS_Muri_ND,
Materiale=C35/45,ζ=88.106 [(9+10)-V-2] : **Verificato**

Armatura a maglia doppia

Pannello	Nx	Ny	Nxy	Mx	My	Mxy	Ax	Ay	C	Cs
	kg	kg	kg	kg*m	kg*m	kg*m	cmq	cmq		
1	-2963	-4568	1225	-15	-143	11	20.11	20.11	2	49
2	-2328	-4219	1292	-14	-120	6	20.11	20.11	2	59
3	-1429	-75	840	-13	-93	-15	20.11	20.11	(9+10)-V-4	66
4	-1616	-61	833	-11	-76	-25	20.11	20.11	(9+10)-V-4	71
5	-1179	-582	676	-20	-171	6	20.11	20.11	(9+10)-V-2	40
6	-1184	-523	782	-18	-149	-2	20.11	20.11	(9+10)-V-2	47
7	-1186	-447	755	-17	-126	-15	20.11	20.11	(9+10)-V-4	51
8	-1254	-391	757	-14	-102	-25	20.11	20.11	(9+10)-V-4	56
9	-1183	-916	568	-25	-216	5	20.11	20.11	(9+10)-V-2	32
10	-1063	-808	628	-22	-187	-5	20.11	20.11	(9+10)-V-2	37
11	-972	-700	582	-21	-157	-16	20.11	20.11	(9+10)-V-4	41
12	-962	-611	576	-18	-127	-25	20.11	20.11	(9+10)-V-4	47
13	-1039	-984	405	-30	-262	3	20.11	20.11	(9+10)-V-2	27
14	-838	-846	394	-27	-225	-6	20.11	20.11	(9+10)-V-2	31
15	-717	-716	341	-26	-188	-17	20.11	20.11	(9+10)-V-4	35
16	-675	-615	337	-21	-150	-26	20.11	20.11	(9+10)-V-4	41
Massimi/minimi										
1							20.11			
1								20.11		
13										27

Muro : 131 - Nodi: [209-219-319-309], Pann.X=4, Pann.Y=4Spess.=25 cm, Terreno=--,Criterio=CLS_Muri_ND,
Materiale=C35/45,ζ=121.680 [(9+10)-I-1] : **Verificato**

Armatura a maglia doppia

Pannello	Nx	Ny	Nxy	Mx	My	Mxy	Ax	Ay	C	Cs
	kg	kg	kg	kg*m	kg*m	kg*m	cmq	cmq		
1	-2642	-2574	116	-545	-37	6	20.11	20.11	2	13
2	-2161	-2144	82	-512	-49	9	20.11	20.11	2	14
3	-1537	-1598	72	-426	-50	4	20.11	20.11	2	17
4	-976	-1077	69	-327	-43	1	20.11	20.11	2	22
5	-2517	-2042	183	-241	12	6	20.11	20.11	2	30
6	-2114	-1806	37	-252	-14	24	20.11	20.11	2	26
7	-1550	-1423	6	-232	-26	26	20.11	20.11	2	28
8	-990	-998	17	-200	-28	20	20.11	20.11	2	33
9	379	-841	-34	-32	-5	-33	20.11	20.11	(9+10)-V-2	>100
10	-2060	-1529	66	-56	16	21	20.11	20.11	2	95
11	-1538	-1259	-6	-80	-8	27	20.11	20.11	2	68
12	-989	-914	-11	-94	-18	23	20.11	20.11	2	61
13	-2252	-1542	336	127	92	-11	20.11	20.11	1	53
14	-1984	-1401	91	88	42	11	20.11	20.11	1	73
15	646	-771	-36	-53	-15	-16	20.11	20.11	4	>100
16	386	-575	-17	-40	0	-19	20.11	20.11	4	>100
Massimi/minimi										
1							20.11			
1								20.11		
1										13

**POTENZIAMENTO DELL'IMPIANTO DI DEPURAZIONE E
DEL RECAPITO FINALE DI SQUINZANO (LE)
PROGETTO DEFINITIVO
Tabulati di calcolo strutturale-Filtrazione**

R.37.9

Maggio 2021

Pagina 221 di
364

Muro : 132 - Nodi: [219-229-329-319], Pann.X=4, Pann.Y=4Spess.=25 cm, Terreno=--,Criterio=CLS_Muri_ND,
Materiale=C35/45, $\zeta_e=84.563$ [(9+10)-V-2] : **Verificato**

Armatura a maglia doppia

Pannello	Nx	Ny	Nxy	Mx	My	Mxy	Ax	Ay	C	Cs
	kg	kg	kg	kg*m	kg*m	kg*m	cmq	cmq		
1	-2069	-1297	503	208	113	-26	20.11	20.11	2	31
2	-1886	-1167	230	167	56	-17	20.11	20.11	2	40
3	-1473	-1044	41	113	19	-7	20.11	20.11	1	60
4	379	-608	50	-58	-3	-11	20.11	20.11	4	>100
5	-1865	-1240	626	195	110	-35	20.11	20.11	2	32
6	-1739	-1097	356	162	56	-44	20.11	20.11	2	35
7	-1391	-932	169	115	20	-45	20.11	20.11	2	45
8	-932	-713	59	69	2	-41	20.11	20.11	2	65
9	-1675	-1303	742	38	73	-39	20.11	20.11	2	64
10	-1584	-1146	473	30	35	-58	20.11	20.11	2	77
11	-1288	-957	258	27	11	-61	20.11	20.11	2	82
12	-872	-725	116	28	2	-55	20.11	20.11	2	86
13	-1440	-1401	894	-301	16	-45	20.11	20.11	5	21
14	-1377	-1226	602	-257	0	-48	20.11	20.11	5	24
15	-1139	-1014	363	-177	-7	-39	20.11	20.11	5	33
16	-789	-755	198	-90	-5	-31	20.11	20.11	5	59
Massimi/minimi										
1							20.11			
1								20.11		
13										21

Muro : 133 - Nodi: [325-225-215-315], Pann.X=4, Pann.Y=4Spess.=25 cm, Terreno=--,Criterio=CLS_Muri_ND,
Materiale=C35/45, $\zeta_e=55.234$ [(9+10)-I-1] : **Verificato**

Armatura a maglia doppia

Pannello	Nx	Ny	Nxy	Mx	My	Mxy	Ax	Ay	C	Cs
	kg	kg	kg	kg*m	kg*m	kg*m	cmq	cmq		
1	-1714	-715	793	-43	-125	55	20.11	20.11	5	40
2	-1883	622	1382	-88	-292	21	20.11	20.11	6	22
3	-15	-1747	4	96	484	13	20.11	20.11	3	15
4	-1795	338	1898	-141	-654	-61	20.11	20.11	6	9.9
5	-225	-1038	825	-24	139	43	20.11	20.11	3	39
6	45	-1271	622	19	305	31	20.11	20.11	3	21
7	252	-1546	339	60	507	27	20.11	20.11	3	14
8	-2846	121	2269	-108	-736	-69	20.11	20.11	6	8.8
9	-324	-380	1488	-55	83	113	20.11	20.11	3	36
10	328	-753	1371	2	258	86	20.11	20.11	3	21
11	-4521	-111	2170	-60	-500	-56	20.11	20.11	6	13
12	-4345	-257	2817	-114	-793	-92	20.11	20.11	6	8.0
13	-1269	1001	2198	-28	11	206	20.11	20.11	3	31
14	-6214	-753	2194	-44	-182	-152	20.11	20.11	6	21
15	-6316	-1487	2694	-105	-427	-99	20.11	20.11	6	14
16	-6644	-1087	3199	-168	-799	-115	20.11	20.11	6	7.9
Massimi/minimi										
1							20.11			
1								20.11		
16										7.9

Muro : 134 - Nodi: [214-314-315-215], Pann.X=4, Pann.Y=4Spess.=25 cm, Terreno=--,Criterio=CLS_Muri_ND,
Materiale=C35/45, $\zeta_e=42.222$ [(9+10)-V-4] : **Verificato**

Armatura a maglia doppia

Pannello	Nx	Ny	Nxy	Mx	My	Mxy	Ax	Ay	C	Cs
	kg	kg	kg	kg*m	kg*m	kg*m	cmq	cmq		
1	-1314	1442	-1045	198	116	56	20.11	20.11	1	28
2	3320	9212	-3068	-118	5	-76	20.11	20.11	4	35
3	-418	1152	-745	61	-375	46	20.11	20.11	1	17
4	-542	1107	-267	-31	-758	61	20.11	20.11	1	8.5
5	-1539	-1676	610	133	101	-51	20.11	20.11	2	39
6	-4328	-5499	2874	69	-152	-55	20.11	20.11	5	37

Pannello	Nx	Ny	Nxy	Mx	My	Mxy	Ax	Ay	C	Cs
7	-4636	-5099	2078	-4	-426	-58	20.11	20.11	5	16
8	-4366	-5024	1140	-78	-781	-93	20.11	20.11	5	8.6
9	-1141	-1056	547	75	92	-109	20.11	20.11	2	36
10	-2804	-1228	2282	25	-159	-113	20.11	20.11	5	26
11	-2608	-1001	1726	-22	-402	-106	20.11	20.11	5	14
12	-2203	-1012	993	-68	-705	-114	20.11	20.11	5	8.8
13	-771	-525	469	26	82	-132	20.11	20.11	2	33
14	-1803	2604	1644	-5	-149	-133	20.11	20.11	5	24
15	-1133	2956	1445	-29	-335	-117	20.11	20.11	5	15
16	-212	3164	901	-53	-557	-109	20.11	20.11	5	10
Massimi/minimi										
1							20.11			
1								20.11		
4										8.5

Muro : 135 - Nodi: [314-514-515-315], Pann.X=4, Pann.Y=4Spess.=25 cm, Terreno=--,Criterio=CLS_Muri_ND,
Materiale=C35/45, $\zeta_e=30.955$ [(9+10)-IV-3] : **Verificato**

Armatura a maglia doppia

Pannello	Nx	Ny	Nxy	Mx	My	Mxy	Ax	Ay	C	Cs
	kg	kg	kg	kg*m	kg*m	kg*m	cmq	cmq		
1	-546	-194	390	-2	75	-129	20.11	20.11	2	35
2	-1408	4632	878	-22	-139	-130	20.11	20.11	5	25
3	-700	5415	957	-33	-284	-109	20.11	20.11	5	17
4	1136	5827	681	-49	-449	-104	20.11	20.11	5	12
5	-518	-90	345	-9	72	-128	20.11	20.11	2	36
6	-1400	5212	496	-25	-135	-129	20.11	20.11	5	25
7	-624	6285	606	-34	-263	-108	20.11	20.11	5	17
8	1622	7088	451	-49	-405	-103	20.11	20.11	5	13
9	-467	-2	289	-13	70	-125	20.11	20.11	2	36
10	-1345	5533	11	-25	-132	-126	20.11	20.11	5	25
11	-629	6855	-44	-32	-244	-108	20.11	20.11	5	18
12	1950	8569	106	-47	-353	-101	20.11	20.11	5	14
13	-414	75	226	-14	68	-120	20.11	20.11	2	38
14	-1175	5588	-471	-23	-129	-122	20.11	20.11	5	26
15	-472	6774	-842	-26	-228	-107	20.11	20.11	5	19
16	2177	9279	-1162	-43	-302	-113	20.11	20.11	5	15
Massimi/minimi										
1							20.11			
1								20.11		
4										12

Muro : 136 - Nodi: [232-332-342-242], Pann.X=4, Pann.Y=4Spess.=25 cm, Terreno=--,Criterio=CLS_Muri_ND,
Materiale=C35/45, $\zeta_e=78.368$ [(9+10)-IV-3] : **Verificato**

Armatura a maglia doppia

Pannello	Nx	Ny	Nxy	Mx	My	Mxy	Ax	Ay	C	Cs
	kg	kg	kg	kg*m	kg*m	kg*m	cmq	cmq		
1	-4172	2318	-138	19	114	34	20.11	20.11	7	47
2	-4285	2387	-569	13	79	47	20.11	20.11	7	54
3	-4237	2475	-1072	5	41	54	20.11	20.11	7	72
4	-3374	2065	-1195	-9	-1	50	20.11	20.11	4	>100
5	-3270	2433	-181	26	155	31	20.11	20.11	7	37
6	-3302	2458	-640	14	98	42	20.11	20.11	7	49
7	-3220	2473	-1126	3	42	49	20.11	20.11	7	75
8	-2992	2453	-1584	-8	-18	46	20.11	20.11	7	>100
9	-2345	2370	-191	30	188	28	20.11	20.11	7	32
10	-2334	2363	-635	17	116	37	20.11	20.11	7	45
11	-2268	2320	-1076	4	45	44	20.11	20.11	7	77
12	-2127	2227	-1473	-8	-26	43	20.11	20.11	7	99
13	-1450	2322	-190	34	215	26	20.11	20.11	7	28
14	-1435	2295	-575	20	131	33	20.11	20.11	7	42
15	-1406	2194	-933	7	50	40	20.11	20.11	7	77
16	-1348	2019	-1250	-6	-31	40	20.11	20.11	7	97
Massimi/minimi										

**POTENZIAMENTO DELL'IMPIANTO DI DEPURAZIONE E
DEL RECAPITO FINALE DI SQUINZANO (LE)
PROGETTO DEFINITIVO
Tabulati di calcolo strutturale-Filtrazione**

R.37.9

Maggio 2021

Pagina 223 di
364

Pannello	Nx	Ny	Nxy	Mx	My	Mxy	Ax	Ay	C	Cs
1							20.11			
1								20.11		
13										28

Muro : 137 - Nodi: [248-348-349-249], Pann.X=4, Pann.Y=4Spess.=25 cm, Terreno=--,Criterio=CLS_Muri_ND,
Materiale=C35/45,ζ=94.205 [(9+10)-IV-4] : **Verificato**

Armatura a maglia doppia

Pannello	Nx	Ny	Nxy	Mx	My	Mxy	Ax	Ay	C	Cs
	kg	kg	kg	kg*m	kg*m	kg*m	cmq	cmq		
1	-2744	-2648	190	36	588	-0	20.11	20.11		12
2	-2217	-2495	285	-24	275	-6	20.11	20.11		26
3	-914	1213	1255	21	-89	-13	20.11	20.11		68
4	-1250	-2368	471	-137	-133	5	20.11	20.11		51
5	-2362	-2178	116	46	533	-23	20.11	20.11		13
6	-2003	-2094	73	2	262	-54	20.11	20.11		23
7	-890	1142	1125	9	-110	10	20.11	20.11		58
8	-1358	-1936	295	-81	-121	-62	20.11	20.11		40
9	-1794	-1533	63	44	406	-31	20.11	20.11		17
10	-1592	-1520	-17	16	206	-74	20.11	20.11		26
11	-826	989	979	-0	-124	24	20.11	20.11		47
12	-1146	-1428	141	-34	-98	-91	20.11	20.11		38
13	-828	553	592	-31	-296	37	20.11	20.11		21
14	-745	678	699	-25	-211	29	20.11	20.11		29
15	-693	776	774	-17	-137	26	20.11	20.11		43
16	-857	-850	69	-5	-77	-96	20.11	20.11		41
Massimi/minimi										
1							20.11			
1								20.11		
1										12

Muro : 138 - Nodi: [354-254-244-344], Pann.X=4, Pann.Y=4Spess.=25 cm, Terreno=--,Criterio=CLS_Muri_ND,
Materiale=C35/45,ζ=49.241 [(9+10)-V-3] : **Verificato**

Armatura a maglia doppia

Pannello	Nx	Ny	Nxy	Mx	My	Mxy	Ax	Ay	C	Cs
	kg	kg	kg	kg*m	kg*m	kg*m	cmq	cmq		
1	-1023	-631	-166	-42	-369	-71	20.11	20.11		16
2	-1094	2651	692	48	258	90	20.11	20.11		20
3	-994	2497	874	45	211	70	20.11	20.11		24
4	-963	2043	1293	82	291	-14	20.11	20.11		23
5	-2647	329	479	-72	-543	96	20.11	20.11		11
6	-1568	-980	-218	-41	-269	-68	20.11	20.11		21
7	-1632	2185	1215	40	173	73	20.11	20.11		28
8	-1594	1246	1725	128	271	27	20.11	20.11		23
9	-4235	149	287	-141	-723	104	20.11	20.11		8.6
10	-3831	82	1266	-69	-303	75	20.11	20.11		19
11	-3159	997	1961	43	102	118	20.11	20.11		32
12	-2289	563	2330	127	247	110	20.11	20.11		20
13	-6997	484	184	-308	-877	99	20.11	20.11		7.2
14	-5994	149	1908	-209	-276	142	20.11	20.11		17
15	-4432	469	2884	-77	96	243	20.11	20.11		21
16	-2838	-156	3133	34	192	235	20.11	20.11		17
Massimi/minimi										
1							20.11			
1								20.11		
13										7.2

Muro : 139 - Nodi: [351-352-252-251], Pann.X=4, Pann.Y=4Spess.=25 cm, Terreno=--,Criterio=CLS_Muri_ND,
Materiale=C35/45,ζ=55.040 [(9+10)-V-4] : **Verificato**

Armatura a maglia doppia

Pannello	Nx kg	Ny kg	Nxy kg	Mx kg*m	My kg*m	Mxy kg*m	Ax cmq	Ay cmq	C	Cs
1	-719	-892	62	427	42	61	20.11	20.11	1	15
2	-924	-1250	1	544	38	53	20.11	20.11	1	12
3	-1027	-1556	-118	617	20	28	20.11	20.11	1	11
4	-978	-1796	-260	598	-5	-17	20.11	20.11	1	12
5	-596	-873	69	360	34	73	20.11	20.11	1	16
6	-752	-1227	3	452	24	59	20.11	20.11	1	14
7	-834	-1537	-124	505	0	23	20.11	20.11	1	14
8	-824	-1783	-292	481	-28	-38	20.11	20.11	1	14
9	-588	-863	73	297	25	82	20.11	20.11	1	19
10	-721	-1218	4	366	9	65	20.11	20.11	1	17
11	-782	-1532	-131	401	-20	20	20.11	20.11	1	17
12	-764	-1785	-311	374	-53	-51	20.11	20.11	1	17
13	-600	-860	82	235	16	90	20.11	20.11	1	22
14	-716	-1213	1	285	-5	69	20.11	20.11	1	20
15	-750	-1532	-139	306	-41	18	20.11	20.11	1	22
16	-720	-1791	-324	276	-78	-62	20.11	20.11	1	21
Massimi/minimi										
1							20.11			
1								20.11		
3										11

Muro : 140 - Nodi: [252-352-353-253], Pann.X=4, Pann.Y=4Spess.=25 cm, Terreno=--,Criterio=CLS_Muri_ND,
Materiale=C35/45,ζ=38.001 [(9+10)-IV-4] : **Verificato**

Armatura a maglia doppia

Pannello	Nx kg	Ny kg	Nxy kg	Mx kg*m	My kg*m	Mxy kg*m	Ax cmq	Ay cmq	C	Cs
1	-1539	-1770	3	-194	-45	77	20.11	20.11	2	27
2	-2201	-289	290	-335	-367	58	20.11	20.11	1	17
3	-2466	-15	20	-385	-451	-11	20.11	20.11	1	15
4	-3390	-9057	2186	-383	-231	-104	20.11	20.11	5	15
5	-715	-3451	24	-151	-43	-52	20.11	20.11	5	35
6	-1724	-436	59	-266	-382	-3	20.11	20.11	1	19
7	-1889	-266	-127	-311	-487	-7	20.11	20.11	1	14
8	-1991	-208	-332	-254	-387	-16	20.11	20.11	1	18
9	-708	-2100	569	-84	-39	-121	20.11	20.11	5	35
10	-1270	-904	265	-169	-331	-65	20.11	20.11	2	18
11	-1399	-424	-201	-194	-455	-3	20.11	20.11	1	16
12	-1505	-389	-353	-158	-364	35	20.11	20.11	1	18
13	-586	-552	730	-32	-41	-150	20.11	20.11	5	37
14	-910	-286	168	-71	-273	-85	20.11	20.11	2	20
15	-946	-505	-222	-86	-390	-1	20.11	20.11	1	18
16	-1290	1822	-437	46	302	-69	20.11	20.11	7	19
Massimi/minimi										
1							20.11			
1								20.11		
7										14

Muro : 141 - Nodi: [250-350-351-251], Pann.X=4, Pann.Y=4Spess.=25 cm, Terreno=--,Criterio=CLS_Muri_ND,
Materiale=C35/45,ζ=77.149 [(9+10)-V-4] : **Verificato**

Armatura a maglia doppia

Pannello	Nx kg	Ny kg	Nxy kg	Mx kg*m	My kg*m	Mxy kg*m	Ax cmq	Ay cmq	C	Cs
1	-1015	-2238	547	-187	-207	-25	20.11	20.11	5	32
2	-1030	-2362	526	-127	-9	-21	20.11	20.11	5	49
3	-1553	-912	848	-49	325	7	20.11	20.11	1	22
4	-1568	-1310	889	25	812	38	20.11	20.11	2	8.5
5	-724	-2006	682	-116	-182	16	20.11	20.11	5	37
6	-1216	-1029	515	-65	40	40	20.11	20.11	1	68
7	-1172	-1212	737	-8	354	39	20.11	20.11	2	18
8	-1331	-1110	792	46	789	29	20.11	20.11	2	8.8
9	-552	-1439	735	-50	-133	37	20.11	20.11	5	42

**POTENZIAMENTO DELL'IMPIANTO DI DEPURAZIONE E
DEL RECAPITO FINALE DI SQUINZANO (LE)
PROGETTO DEFINITIVO
Tabulati di calcolo strutturale-Filtrazione**

R.37.9

Maggio 2021

Pagina 225 di
364

Pannello	Nx	Ny	Nxy	Mx	My	Mxy	Ax	Ay	C	Cs
10	-970	-873	263	-15	67	64	20.11	20.11	1	55
11	-934	-872	589	21	328	52	20.11	20.11	2	19
12	-1069	-769	634	58	668	14	20.11	20.11	2	10
13	-698	1520	968	4	72	-49	20.11	20.11	4	57
14	-715	-641	85	13	85	65	20.11	20.11	1	48
15	-677	-427	436	32	276	48	20.11	20.11	2	22
16	-772	-325	461	53	507	1	20.11	20.11	2	14
Massimi/minimi										
1							20.11			
1								20.11		
4										8.5

Muro : 142 - Nodi: [242-342-351-251], Pann.X=4, Pann.Y=4Spess.=25 cm, Terreno=--,Criterio=CLS_Muri_ND,
Materiale=C35/45,ζ=78.549 [(9+10)-V-1] : **Verificato**

Armatura a maglia doppia

Pannello	Nx	Ny	Nxy	Mx	My	Mxy	Ax	Ay	C	Cs
	kg	kg	kg	kg*m	kg*m	kg*m	cmq	cmq		
1	-3429	2533	-2008	-11	-57	37	20.11	20.11	7	73
2	-2738	2476	-2244	-17	-112	22	20.11	20.11	7	51
3	-1878	2389	-2279	-21	-176	2	20.11	20.11	7	39
4	-954	2336	-2055	-24	-246	29	20.11	20.11	7	25
5	-2636	2390	-1919	-17	-79	37	20.11	20.11	7	59
6	-2205	2303	-2095	-23	-140	26	20.11	20.11	7	41
7	-1687	2200	-2102	-27	-207	12	20.11	20.11	7	31
8	-1129	2104	-1909	-34	-277	38	20.11	20.11	7	22
9	-1930	2101	-1756	-18	-95	37	20.11	20.11	7	52
10	-1717	1971	-1907	-26	-161	29	20.11	20.11	7	36
11	-1486	1840	-1919	-31	-231	19	20.11	20.11	7	28
12	-1227	1730	-1750	-41	-300	43	20.11	20.11	7	20
13	-1274	1803	-1484	-17	-106	37	20.11	20.11	7	49
14	-1227	1593	-1624	-26	-176	31	20.11	20.11	7	34
15	-1230	1383	-1664	-35	-249	22	20.11	20.11	7	26
16	-1304	1175	-1544	-49	-325	43	20.11	20.11	7	19
Massimi/minimi										
1							20.11			
1								20.11		
16										19

Muro : 143 - Nodi: [249-349-350-250], Pann.X=4, Pann.Y=4Spess.=25 cm, Terreno=--,Criterio=CLS_Muri_ND,
Materiale=C35/45,ζ=153.225 [(9+10)-V-4] : **Verificato**

Armatura a maglia doppia

Pannello	Nx	Ny	Nxy	Mx	My	Mxy	Ax	Ay	C	Cs
	kg	kg	kg	kg*m	kg*m	kg*m	cmq	cmq		
1	-1362	-2045	675	-185	-256	-4	20.11	20.11	2	28
2	-1291	-1877	734	-219	-326	-10	20.11	20.11	2	22
3	-1265	-1732	766	-231	-340	-17	20.11	20.11	2	20
4	-1018	-2180	568	-222	-310	-20	20.11	20.11	5	22
5	-1196	-1835	369	-115	-237	-53	20.11	20.11	2	25
6	-1085	-1715	447	-140	-306	-39	20.11	20.11	2	21
7	-773	-1973	557	-151	-328	-17	20.11	20.11	5	21
8	-734	-1978	620	-143	-289	-0	20.11	20.11	5	25
9	-1006	-1379	186	-52	-190	-78	20.11	20.11	2	27
10	-689	-1479	437	-68	-253	-48	20.11	20.11	5	24
11	-613	-1459	532	-72	-265	-19	20.11	20.11	5	25
12	-567	-1446	629	-66	-228	10	20.11	20.11	5	30
13	-761	-826	87	-11	-138	-83	20.11	20.11	2	33
14	-540	-810	377	-16	-182	-51	20.11	20.11	5	31
15	-481	-768	469	-17	-187	-20	20.11	20.11	5	35
16	-446	-718	571	-14	-156	11	20.11	20.11	5	43
Massimi/minimi										
1							20.11			
1								20.11		
3										20

Muro : 144 - Nodi: [239-248-348-339], Pann.X=4, Pann.Y=4Spess.=25 cm, Terreno=--,Criterio=CLS_Muri_ND,
Materiale=C35/45, $\zeta_e=89.935$ [(9+10)-V-1] : **Verificato**

Armatura a maglia doppia

Pannello	Nx	Ny	Nxy	Mx	My	Mxy	Ax	Ay	C	Cs
	kg	kg	kg	kg*m	kg*m	kg*m	cmq	cmq		
1	-2019	-1397	-141	318	209	8	20.11	20.11	1	22
2	-1846	-1127	173	307	137	-37	20.11	20.11	2	21
3	-1459	-925	278	255	69	-56	20.11	20.11	2	23
4	-962	-694	278	192	21	-60	20.11	20.11	2	28
5	-2188	-1476	-0	187	154	6	20.11	20.11	2	38
6	-1952	-1294	256	174	97	-51	20.11	20.11	2	32
7	-1483	-1061	339	146	47	-79	20.11	20.11	2	32
8	-937	-773	313	117	14	-85	20.11	20.11	2	36
9	1109	-869	476	103	-13	-37	20.11	20.11	4	50
10	1009	-736	456	124	-2	-14	20.11	20.11	4	51
11	813	-602	411	136	9	3	20.11	20.11	4	51
12	542	-434	363	145	26	10	20.11	20.11	4	45
13	-2595	-2509	169	-501	-16	0	20.11	20.11	1	15
14	-2109	-2130	207	-458	-28	-29	20.11	20.11	1	15
15	-1471	-1606	188	-351	-31	-40	20.11	20.11	1	18
16	590	-367	465	275	46	-6	20.11	20.11	4	25
Massimi/minimi										
1							20.11			
1								20.11		
13										15

Muro : 145 - Nodi: [229-239-339-329], Pann.X=4, Pann.Y=4Spess.=25 cm, Terreno=--,Criterio=CLS_Muri_ND,
Materiale=C35/45, $\zeta_e=67.349$ [(9+10)-IV-4] : **Verificato**

Armatura a maglia doppia

Pannello	Nx	Ny	Nxy	Mx	My	Mxy	Ax	Ay	C	Cs
	kg	kg	kg	kg*m	kg*m	kg*m	cmq	cmq		
1	-1538	-1506	-280	-365	27	-19	20.11	20.11	2	19
2	-1447	-1235	-262	-338	3	25	20.11	20.11	5	20
3	-1243	-1014	-169	-275	-12	42	20.11	20.11	5	23
4	-921	-758	-97	-201	-18	44	20.11	20.11	5	29
5	-1593	-1341	-178	61	126	-33	20.11	20.11	2	45
6	714	-1253	233	-104	-48	-43	20.11	20.11	4	48
7	568	-986	131	-115	-37	-56	20.11	20.11	4	41
8	328	-709	52	-122	-16	-60	20.11	20.11	4	39
9	-1670	-1288	-127	285	201	-28	20.11	20.11	2	23
10	-1659	-1069	-69	272	134	16	20.11	20.11	1	25
11	-1387	-861	29	222	67	33	20.11	20.11	1	28
12	-973	-649	75	160	19	35	20.11	20.11	1	37
13	-1800	-1293	-105	361	228	-15	20.11	20.11	2	19
14	-1735	-1045	86	346	152	-16	20.11	20.11	2	20
15	-1425	-845	189	285	78	-18	20.11	20.11	2	24
16	-982	-639	207	210	23	-19	20.11	20.11	2	31
Massimi/minimi										
1							20.11			
1								20.11		
1										19

Muro : 146 - Nodi: [353-553-554-354], Pann.X=4, Pann.Y=4Spess.=25 cm, Terreno=--,Criterio=CLS_Muri_ND,
Materiale=C35/45, $\zeta_e=57.417$ [(9+10)-VIII-1] : **Verificato**

Armatura a maglia doppia

Pannello	Nx	Ny	Nxy	Mx	My	Mxy	Ax	Ay	C	Cs
	kg	kg	kg	kg*m	kg*m	kg*m	cmq	cmq		
1	-1005	2090	-273	86	451	84	20.11	20.11	6	13

**POTENZIAMENTO DELL'IMPIANTO DI DEPURAZIONE E
DEL RECAPITO FINALE DI SQUINZANO (LE)
PROGETTO DEFINITIVO
Tabulati di calcolo strutturale-Filtrazione**

R.37.9

Maggio 2021

Pagina 227 di
364

Pannello	Nx	Ny	Nxy	Mx	My	Mxy	Ax	Ay	C	Cs
2	-1304	1997	-623	91	585	121	20.11	20.11	6	9.8
3	-1478	1918	-900	98	730	160	20.11	20.11	6	7.8
4	-1582	1045	-1179	129	912	81	20.11	20.11	5	7.0
5	-997	2501	-234	84	472	83	20.11	20.11	6	12
6	-1100	2408	-538	89	607	118	20.11	20.11	6	9.5
7	-1209	2280	-851	98	755	157	20.11	20.11	6	7.5
8	-1387	2190	-1135	121	907	88	20.11	20.11	6	6.9
9	-845	2906	-214	79	490	80	20.11	20.11	6	12
10	-915	2815	-482	85	627	113	20.11	20.11	6	9.2
11	-1010	2669	-787	95	778	153	20.11	20.11	6	7.3
12	-1179	2525	-1084	116	932	89	20.11	20.11	6	6.7
13	-704	3368	-191	73	509	75	20.11	20.11	6	12
14	-725	3241	-423	78	647	109	20.11	20.11	6	9.0
15	-799	3060	-711	88	801	150	20.11	20.11	6	7.1
16	-963	2866	-1010	112	958	90	20.11	20.11	6	6.5
Massimi/minimi										
1							20.11			
1								20.11		
16										6.5

Muro : 147 - Nodi: [253-353-354-254], Pann.X=4, Pann.Y=4Spess.=25 cm, Terreno=--,Criterio=CLS_Muri_ND,
Materiale=C35/45,ζ_e=27.458 [(9+10)-II-3] : **Verificato**

Armatura a maglia doppia

Pannello	Nx kg	Ny kg	Nxy kg	Mx kg*m	My kg*m	Mxy kg*m	Ax cmq	Ay cmq	C	Cs
1	-3900	-2252	1042	-259	-161	-146	20.11	20.11	2	18
2	-4503	-1756	853	-170	4	-145	20.11	20.11	2	24
3	-2719	-235	-562	-42	291	-132	20.11	20.11	1	17
4	-3064	-262	-756	52	675	-122	20.11	20.11	1	8.9
5	-3097	432	-808	52	190	-31	20.11	20.11	7	32
6	-5115	-2123	112	-39	249	102	20.11	20.11	6	21
7	-4767	-2046	-735	-6	480	97	20.11	20.11	5	13
8	-3525	-1922	-1301	75	861	58	20.11	20.11	5	7.9
9	-3247	-685	-52	16	269	93	20.11	20.11	6	20
10	-3294	-419	-586	41	396	141	20.11	20.11	6	13
11	-3116	-852	-1050	43	583	158	20.11	20.11	5	9.7
12	-2651	-992	-1340	98	909	89	20.11	20.11	5	7.2
13	-1922	965	-293	75	387	96	20.11	20.11	6	14
14	-2026	1069	-666	85	519	136	20.11	20.11	6	11
15	-2072	1054	-983	95	663	175	20.11	20.11	6	8.3
16	-1919	200	-1249	112	911	101	20.11	20.11	5	7.0
Massimi/minimi										
1							20.11			
1								20.11		
16										7.0

Muro : 148 - Nodi: [342-442-451-351], Pann.X=4, Pann.Y=4Spess.=25 cm, Terreno=--,Criterio=CLS_Muri_ND,
Materiale=C35/45,ζ_e=68.772 [(9+10)-V-1] : **Verificato**

Armatura a maglia doppia

Pannello	Nx kg	Ny kg	Nxy kg	Mx kg*m	My kg*m	Mxy kg*m	Ax cmq	Ay cmq	C	Cs
1	-966	1691	-1269	-15	-110	38	20.11	20.11	7	47
2	-851	1421	-1405	-25	-183	33	20.11	20.11	7	32
3	-817	1170	-1451	-34	-258	23	20.11	20.11	7	25
4	-986	984	-1414	-62	-340	57	20.11	20.11	7	18
5	-884	1678	-1237	-15	-111	36	20.11	20.11	7	47
6	-901	1391	-1371	-25	-183	31	20.11	20.11	7	32
7	-1002	1124	-1430	-35	-260	22	20.11	20.11	7	25
8	-1244	902	-1373	-59	-341	55	20.11	20.11	7	18
9	-821	1668	-1194	-15	-112	35	20.11	20.11	7	47
10	-855	1369	-1328	-24	-184	30	20.11	20.11	7	32
11	-989	1089	-1395	-35	-262	21	20.11	20.11	7	25
12	-1272	852	-1347	-57	-342	53	20.11	20.11	7	18

**POTENZIAMENTO DELL'IMPIANTO DI DEPURAZIONE E
DEL RECAPITO FINALE DI SQUINZANO (LE)
PROGETTO DEFINITIVO
Tabulati di calcolo strutturale-Filtrazione**

R.37.9

Maggio 2021

Pagina 228 di
364

Pannello	Nx	Ny	Nxy	Mx	My	Mxy	Ax	Ay	C	Cs
13	-754	1660	-1152	-14	-112	34	20.11	20.11	7	47
14	-765	1350	-1284	-24	-185	29	20.11	20.11	7	32
15	-897	1059	-1356	-35	-263	20	20.11	20.11	7	25
16	-1202	815	-1317	-56	-343	51	20.11	20.11	7	18
Massimi/minimi										
1							20.11			
1								20.11		
4										18

Muro : 149 - Nodi: [350-450-451-351], Pann.X=4, Pann.Y=4Spess.=25 cm, Terreno=--,Criterio=CLS_Muri_ND,
Materiale=C35/45,ζ=119.700 [(9+10)-II-3] : **Verificato**

Armatura a maglia doppia

Pannello	Nx	Ny	Nxy	Mx	My	Mxy	Ax	Ay	C	Cs
	kg	kg	kg	kg*m	kg*m	kg*m	cmq	cmq		
1	-563	1540	839	-10	61	-48	20.11	20.11	4	64
2	-572	-501	20	27	93	53	20.11	20.11	1	49
3	-465	-172	356	36	245	34	20.11	20.11	2	25
4	-391	-95	405	55	418	-11	20.11	20.11	2	17
5	-493	1549	814	-12	59	-48	20.11	20.11	4	65
6	-544	-474	11	30	94	54	20.11	20.11	1	48
7	-498	-125	337	37	240	36	20.11	20.11	2	26
8	-470	-40	384	52	405	-9	20.11	20.11	2	17
9	-455	1557	790	-13	58	-47	20.11	20.11	4	66
10	-518	-448	5	31	95	55	20.11	20.11	1	48
11	-483	-75	320	38	235	37	20.11	20.11	2	26
12	-478	13	365	50	391	-9	20.11	20.11	2	18
13	-420	1567	763	-13	56	-47	20.11	20.11	4	67
14	-488	-422	-1	32	96	55	20.11	20.11	1	47
15	-451	-26	305	38	230	37	20.11	20.11	2	27
16	-463	65	348	49	376	-8	20.11	20.11	2	18
Massimi/minimi										
1							20.11			
1								20.11		
4										17

Muro : 150 - Nodi: [451-452-352-351], Pann.X=4, Pann.Y=4Spess.=25 cm, Terreno=--,Criterio=CLS_Muri_ND,
Materiale=C35/45,ζ=40.339 [(9+10)-V-4] : **Verificato**

Armatura a maglia doppia

Pannello	Nx	Ny	Nxy	Mx	My	Mxy	Ax	Ay	C	Cs
	kg	kg	kg	kg*m	kg*m	kg*m	cmq	cmq		
1	-420	-571	75	324	42	63	20.11	20.11	1	18
2	-430	-606	66	336	44	63	20.11	20.11	1	18
3	-421	-664	51	348	46	63	20.11	20.11	1	17
4	-330	-778	52	359	48	62	20.11	20.11	1	17
5	-424	-548	78	281	37	74	20.11	20.11	1	20
6	-422	-590	76	291	38	74	20.11	20.11	1	20
7	-430	-624	76	300	38	74	20.11	20.11	1	19
8	-466	-651	93	308	38	73	20.11	20.11	1	19
9	-422	-535	77	238	32	85	20.11	20.11	1	22
10	-424	-576	83	247	32	84	20.11	20.11	1	22
11	-438	-604	94	254	32	82	20.11	20.11	1	21
12	-496	-614	88	258	33	82	20.11	20.11	1	21
13	-418	-544	73	198	29	93	20.11	20.11	1	25
14	-428	-582	81	206	29	91	20.11	20.11	1	24
15	-451	-585	82	212	30	89	20.11	20.11	1	24
16	-509	-482	95	211	31	86	20.11	20.11	1	24
Massimi/minimi										
1							20.11			
1								20.11		
4										17

**POTENZIAMENTO DELL'IMPIANTO DI DEPURAZIONE E
DEL RECAPITO FINALE DI SQUINZANO (LE)
PROGETTO DEFINITIVO
Tabulati di calcolo strutturale-Filtrazione**

R.37.9

Maggio 2021

Pagina 229 di
364

Muro : 151 - Nodi: [352-452-553-353], Pann.X=4, Pann.Y=4Spess.=25 cm, Terreno=--,Criterio=CLS_Muri_ND,
Materiale=C35/45, $\zeta_e=59.737$ [(9+10)-VIII-1] : **Verificato**

Armatura a maglia doppia

Pannello	Nx	Ny	Nxy	Mx	My	Mxy	Ax	Ay	C	Cs
	kg	kg	kg	kg*m	kg*m	kg*m	cmq	cmq		
1	-186	409	738	-4	-43	-138	20.11	20.11		5 39
2	-566	94	116	-21	-237	-78	20.11	20.11		2 22
3	-779	-527	-208	-29	-347	-1	20.11	20.11		1 20
4	-910	2308	-345	26	304	-66	20.11	20.11		7 19
5	-390	529	689	1	-44	-142	20.11	20.11		5 38
6	-604	171	104	-9	-229	-81	20.11	20.11		2 23
7	-641	-516	-197	-13	-336	-1	20.11	20.11		1 21
8	-802	2489	-312	21	304	-64	20.11	20.11		7 19
9	-393	689	656	5	-44	-144	20.11	20.11		5 37
10	-574	256	95	0	-221	-82	20.11	20.11		2 23
11	-571	-509	-185	-2	-325	-1	20.11	20.11		1 22
12	-688	2676	-273	17	305	-62	20.11	20.11		7 19
13	-384	855	627	7	-44	-145	20.11	20.11		5 37
14	-564	339	92	7	-212	-81	20.11	20.11		2 24
15	-533	-503	-168	6	-313	-2	20.11	20.11		1 23
16	-590	2872	-231	14	305	-60	20.11	20.11		7 19
Massimi/minimi										
1							20.11			
1								20.11		
4										19

Muro : 152 - Nodi: [349-449-450-350], Pann.X=4, Pann.Y=4Spess.=25 cm, Terreno=--,Criterio=CLS_Muri_ND,
Materiale=C35/45, $\zeta_e=137.112$ [(9+10)-V-4] : **Verificato**

Armatura a maglia doppia

Pannello	Nx	Ny	Nxy	Mx	My	Mxy	Ax	Ay	C	Cs
	kg	kg	kg	kg*m	kg*m	kg*m	cmq	cmq		
1	-315	84	340	-58	-148	-36	20.11	20.11	(9+10)-V-4	38
2	-486	-425	324	9	-142	-49	20.11	20.11		5 37
3	-477	-364	409	10	-144	-21	20.11	20.11		5 43
4	-463	-297	509	11	-116	7	20.11	20.11		5 58
5	-280	106	320	-54	-148	-37	20.11	20.11	(9+10)-V-4	38
6	-438	-358	316	14	-137	-49	20.11	20.11		5 38
7	-396	-293	398	15	-138	-21	20.11	20.11		5 45
8	-372	-218	493	16	-110	7	20.11	20.11		5 61
9	-271	129	300	-49	-148	-37	20.11	20.11	(9+10)-V-4	38
10	-419	-293	304	18	-131	-48	20.11	20.11		5 40
11	-378	-223	384	19	-131	-21	20.11	20.11		5 47
12	-233	480	495	-46	-78	-35	20.11	20.11	(9+10)-V-4	63
13	-269	154	280	-45	-147	-38	20.11	20.11	(9+10)-V-4	38
14	-247	271	344	-47	-136	-38	20.11	20.11	(9+10)-V-4	41
15	-234	390	409	-45	-112	-36	20.11	20.11	(9+10)-V-4	47
16	-224	511	475	-41	-76	-34	20.11	20.11	(9+10)-V-4	64
Massimi/minimi										
1							20.11			
1								20.11		
2										37

Muro : 153 - Nodi: [348-448-449-349], Pann.X=4, Pann.Y=4Spess.=25 cm, Terreno=--,Criterio=CLS_Muri_ND,
Materiale=C35/45, $\zeta_e=131.648$ [(9+10)-V-4] : **Verificato**

Armatura a maglia doppia

Pannello	Nx	Ny	Nxy	Mx	My	Mxy	Ax	Ay	C	Cs
	kg	kg	kg	kg*m	kg*m	kg*m	cmq	cmq		
1	-790	535	510	-33	-273	35	20.11	20.11		4 23
2	-612	574	564	-29	-206	23	20.11	20.11		4 31
3	-566	673	625	-26	-144	22	20.11	20.11		4 42
4	-377	-25	282	-52	-147	-34	20.11	20.11	(9+10)-V-4	39

**POTENZIAMENTO DELL'IMPIANTO DI DEPURAZIONE E
DEL RECAPITO FINALE DI SQUINZANO (LE)
PROGETTO DEFINITIVO
Tabulati di calcolo strutturale-Filtrazione**

R.37.9

Maggio 2021

Pagina 230 di
364

Pannello	Nx	Ny	Nxy	Mx	My	Mxy	Ax	Ay	C	Cs
5	-824	498	495	-31	-272	35	20.11	20.11		23
6	-646	559	549	-30	-205	23	20.11	20.11		31
7	-570	659	603	-27	-145	22	20.11	20.11		42
8	-353	3	265	-48	-147	-35	20.11	20.11	(9+10)-V-4	39
9	-827	470	482	-31	-269	34	20.11	20.11		23
10	-651	541	529	-29	-204	23	20.11	20.11		31
11	-566	646	577	-27	-145	22	20.11	20.11		42
12	-339	30	245	-44	-147	-35	20.11	20.11	(9+10)-V-4	39
13	-838	442	472	-31	-267	33	20.11	20.11		23
14	-667	525	504	-28	-203	23	20.11	20.11		31
15	-567	633	549	-27	-146	21	20.11	20.11		42
16	-333	58	227	-40	-147	-36	20.11	20.11	(9+10)-V-4	39
Massimi/minimi										
1							20.11			
1								20.11		
1										23

Muro : 154 - Nodi: [339-348-448-439], Pann.X=4, Pann.Y=4Spess.=25 cm, Terreno=--,Criterio=CLS_Muri_ND,
Materiale=C35/45,ζ=73.680 [(9+10)-V-1] : **Verificato**

Armatura a maglia doppia

Pannello	Nx	Ny	Nxy	Mx	My	Mxy	Ax	Ay	C	Cs
	kg	kg	kg	kg*m	kg*m	kg*m	cmq	cmq		
1	-679	-532	250	158	-4	-56	20.11	20.11	2	33
2	-631	-532	244	153	-9	-56	20.11	20.11	2	34
3	-583	-509	237	148	-12	-55	20.11	20.11	2	35
4	-534	-485	229	142	-15	-55	20.11	20.11	2	36
5	-629	-593	276	101	-4	-76	20.11	20.11	2	40
6	-580	-574	269	99	-8	-77	20.11	20.11	2	41
7	-531	-545	260	97	-10	-76	20.11	20.11	2	41
8	-481	-511	251	94	-12	-76	20.11	20.11	2	42
9	378	-287	346	149	35	6	20.11	20.11	4	45
10	354	-325	331	149	35	7	20.11	20.11	4	45
11	332	-311	324	150	35	8	20.11	20.11	4	45
12	312	-275	318	150	35	9	20.11	20.11	4	44
13	403	-56	435	259	50	-15	20.11	20.11	4	26
14	377	-170	431	257	50	-13	20.11	20.11	4	26
15	361	-180	422	254	50	-12	20.11	20.11	4	27
16	349	-145	414	250	49	-11	20.11	20.11	4	27
Massimi/minimi										
1							20.11			
1								20.11		
13										26

Muro : 155 - Nodi: [332-432-442-342], Pann.X=4, Pann.Y=4Spess.=25 cm, Terreno=--,Criterio=CLS_Muri_ND,
Materiale=C35/45,ζ=74.742 [(9+10)-IV-3] : **Verificato**

Armatura a maglia doppia

Pannello	Nx	Ny	Nxy	Mx	My	Mxy	Ax	Ay	C	Cs
	kg	kg	kg	kg*m	kg*m	kg*m	cmq	cmq		
1	-1189	2385	-189	37	230	31	20.11	20.11	7	26
2	-1208	2336	-521	20	139	34	20.11	20.11	7	40
3	-1201	2192	-815	8	52	40	20.11	20.11	7	74
4	-1114	1953	-1069	-5	-32	41	20.11	20.11	7	94
5	-942	2417	-190	36	233	29	20.11	20.11	7	26
6	-954	2370	-508	20	140	32	20.11	20.11	7	40
7	-960	2218	-791	8	53	39	20.11	20.11	7	75
8	-553	-168	-491	-6	-31	43	20.11	20.11	(9+10)-XI-2	96
9	-857	2441	-191	36	235	28	20.11	20.11	7	26
10	-874	2393	-495	20	141	31	20.11	20.11	7	40
11	-880	2234	-766	8	53	37	20.11	20.11	7	76
12	-508	-141	-462	-6	-32	43	20.11	20.11	(9+10)-XI-2	96
13	-856	2462	-192	36	237	27	20.11	20.11	7	26
14	-875	2412	-482	20	142	30	20.11	20.11	7	40
15	-867	2247	-740	8	54	36	20.11	20.11	7	76

**POTENZIAMENTO DELL'IMPIANTO DI DEPURAZIONE E
DEL RECAPITO FINALE DI SQUINZANO (LE)
PROGETTO DEFINITIVO
Tabulati di calcolo strutturale-Filtrazione**

R.37.9

Maggio 2021

Pagina 231 di
364

Pannello	Nx	Ny	Nxy	Mx	My	Mxy	Ax	Ay	C	Cs
16	-479	-113	-434	-6	-32	42	20.11	20.11	(9+10)-XI-2	96
Massimi/minimi										
1							20.11			
1								20.11		
13										26

Muro : 156 - Nodi: [329-339-439-429], Pann.X=4, Pann.Y=4Spess.=25 cm, Terreno=--,Criterio=CLS_Muri_ND,
Materiale=C35/45, $\zeta_e=105.439$ [(9+10)-IV-4] : **Verificato**

Armatura a maglia doppia

Pannello	Nx	Ny	Nxy	Mx	My	Mxy	Ax	Ay	C	Cs
	kg	kg	kg	kg*m	kg*m	kg*m	cmq	cmq		
1	-251	-474	-125	-205	-11	-15	20.11	20.11	(9+10)-V-4	32
2	-261	-455	-118	-206	-13	-13	20.11	20.11	(9+10)-V-4	32
3	-271	-436	-111	-207	-15	-12	20.11	20.11	(9+10)-V-4	32
4	-282	-428	-105	-207	-17	-11	20.11	20.11	(9+10)-V-4	33
5	165	-576	16	-124	-5	-57	20.11	20.11	4	39
6	138	-535	12	-125	-4	-57	20.11	20.11	4	39
7	109	-507	7	-125	-3	-56	20.11	20.11	4	39
8	79	-495	1	-126	-2	-55	20.11	20.11	4	39
9	212	-591	3	-118	0	-50	20.11	20.11	7	42
10	184	-526	-1	-117	2	-50	20.11	20.11	7	43
11	152	-499	-6	-115	4	-49	20.11	20.11	7	43
12	119	-492	-11	-113	5	-48	20.11	20.11	7	44
13	-714	-489	190	169	-5	-20	20.11	20.11	2	38
14	-672	-494	186	163	-10	-20	20.11	20.11	2	39
15	-628	-476	182	157	-14	-20	20.11	20.11	2	40
16	-583	-458	176	151	-18	-19	20.11	20.11	2	42
Massimi/minimi										
1							20.11			
1								20.11		
1										32

Muro : 157 - Nodi: [325-525-535-335], Pann.X=4, Pann.Y=4Spess.=25 cm, Terreno=--,Criterio=CLS_Muri_ND,
Materiale=C35/45, $\zeta_e=59.424$ [(9+10)-I-3] : **Verificato**

Armatura a maglia doppia

Pannello	Nx	Ny	Nxy	Mx	My	Mxy	Ax	Ay	C	Cs
	kg	kg	kg	kg*m	kg*m	kg*m	cmq	cmq		
1	-1103	-448	517	-42	8	69	20.11	20.11	5	65
2	-785	-358	377	-9	141	53	20.11	20.11	5	37
3	-480	-267	359	16	242	34	20.11	20.11	5	26
4	-349	1267	604	41	328	-4	20.11	20.11	6	21
5	-893	-360	472	-48	2	74	20.11	20.11	5	59
6	-669	-244	331	-18	133	57	20.11	20.11	5	37
7	-464	-128	312	3	234	37	20.11	20.11	5	26
8	-392	1436	543	25	322	-1	20.11	20.11	6	22
9	-747	-259	426	-49	-3	78	20.11	20.11	5	56
10	-573	-124	289	-24	125	60	20.11	20.11	5	38
11	-418	6	267	-6	226	39	20.11	20.11	5	27
12	-367	1593	479	13	315	1	20.11	20.11	6	22
13	-608	-154	375	-46	-9	81	20.11	20.11	5	56
14	-478	-1	243	-26	117	61	20.11	20.11	5	40
15	-362	139	220	-11	218	41	20.11	20.11	5	27
16	-322	1746	411	4	308	3	20.11	20.11	6	22
Massimi/minimi										
1							20.11			
1								20.11		
4										21

**POTENZIAMENTO DELL'IMPIANTO DI DEPURAZIONE E
DEL RECAPITO FINALE DI SQUINZANO (LE)
PROGETTO DEFINITIVO
Tabulati di calcolo strutturale-Filtrazione**

R.37.9

Maggio 2021

Pagina 232 di
364

Muro : 158 - Nodi: [225-325-335-235], Pann.X=4, Pann.Y=4Spess.=25 cm, Terreno=--,Criterio=CLS_Muri_ND,
Materiale=C35/45, $\zeta_e=69.018$ [(9+10)-VII-1] : **Verificato**

Armatura a maglia doppia

Pannello	Nx	Ny	Nxy	Mx	My	Mxy	Ax	Ay	C	Cs
	kg	kg	kg	kg*m	kg*m	kg*m	cmq	cmq		
1	-2156	1021	1417	-89	-85	226	20.11	20.11		3 22
2	-2409	596	830	-135	-144	213	20.11	20.11		3 20
3	-867	-975	139	185	231	-143	20.11	20.11		6 19
4	35	-964	738	203	258	-98	20.11	20.11		6 20
5	-1050	-49	1374	-126	-66	139	20.11	20.11		3 27
6	-1545	5	1108	-200	-176	151	20.11	20.11		3 21
7	-1142	-548	371	265	291	-99	20.11	20.11		6 18
8	-438	-622	733	302	340	-75	20.11	20.11		6 17
9	-610	-794	942	-79	-21	61	20.11	20.11		3 51
10	-1688	225	593	141	195	-41	20.11	20.11		6 30
11	-1076	94	593	194	296	-46	20.11	20.11		6 21
12	-625	59	775	231	363	-43	20.11	20.11		6 17
13	-619	-532	531	6	46	41	20.11	20.11	(9+10)-XI-2	82
14	-1050	-679	412	40	164	36	20.11	20.11		5 36
15	-690	-650	417	75	266	20	20.11	20.11		5 25
16	-577	821	711	106	346	-16	20.11	20.11		6 19
Massimi/minimi										
1							20.11			
1								20.11		
8										17

Muro : 159 - Nodi: [315-515-525-325], Pann.X=4, Pann.Y=4Spess.=25 cm, Terreno=--,Criterio=CLS_Muri_ND,
Materiale=C35/45, $\zeta_e=59.536$ [(9+10)-IV-1] : **Verificato**

Armatura a maglia doppia

Pannello	Nx	Ny	Nxy	Mx	My	Mxy	Ax	Ay	C	Cs
	kg	kg	kg	kg*m	kg*m	kg*m	cmq	cmq		
1	-1350	510	1765	-206	-621	-68	20.11	20.11		6 10
2	-56	-1784	-164	124	456	12	20.11	20.11		3 15
3	-1367	673	1257	-129	-276	39	20.11	20.11		6 22
4	-1298	-525	708	-77	-126	73	20.11	20.11		5 36
5	-1202	387	1744	-233	-617	-65	20.11	20.11		6 10
6	-1156	495	1462	-189	-414	22	20.11	20.11		6 16
7	-1153	664	1198	-135	-267	51	20.11	20.11		6 22
8	-1097	803	986	-94	-145	58	20.11	20.11		6 34
9	-982	173	1733	-266	-612	-52	20.11	20.11		6 11
10	-951	435	1345	-191	-394	44	20.11	20.11		6 16
11	-965	681	1108	-130	-260	65	20.11	20.11		6 22
12	-912	847	912	-91	-146	67	20.11	20.11		6 33
13	-707	-108	1557	-283	-587	-32	20.11	20.11		6 11
14	-825	486	1150	-164	-376	65	20.11	20.11		6 16
15	-773	697	1004	-115	-254	78	20.11	20.11		6 21
16	-726	883	825	-81	-148	75	20.11	20.11		6 31
Massimi/minimi										
1							20.11			
1								20.11		
1										10

Muro : 160 - Nodi: [335-535-544-344], Pann.X=4, Pann.Y=4Spess.=25 cm, Terreno=--,Criterio=CLS_Muri_ND,
Materiale=C35/45, $\zeta_e=60.582$ [(9+10)-I-3] : **Verificato**

Armatura a maglia doppia

Pannello	Nx	Ny	Nxy	Mx	My	Mxy	Ax	Ay	C	Cs
	kg	kg	kg	kg*m	kg*m	kg*m	cmq	cmq		
1	-229	1462	727	57	382	-15	20.11	20.11		6 17
2	-208	1728	898	66	406	-24	20.11	20.11		6 16
3	-297	2045	1042	66	397	-28	20.11	20.11		6 16
4	-469	2380	1107	61	360	-29	20.11	20.11		6 18
5	-305	1651	656	40	376	-13	20.11	20.11		6 18
6	-287	1931	814	49	401	-23	20.11	20.11		6 16

**POTENZIAMENTO DELL'IMPIANTO DI DEPURAZIONE E
DEL RECAPITO FINALE DI SQUINZANO (LE)
PROGETTO DEFINITIVO
Tabulati di calcolo strutturale-Filtrazione**

R.37.9

Maggio 2021

Pagina 233 di
364

Pannello	Nx	Ny	Nxy	Mx	My	Mxy	Ax	Ay	C	Cs
7	-343	2259	953	51	395	-28	20.11	20.11	6	16
8	-449	2604	1022	50	359	-29	20.11	20.11	6	18
9	-302	1826	582	26	371	-12	20.11	20.11	6	18
10	-288	2122	725	35	397	-21	20.11	20.11	6	16
11	-326	2465	855	38	392	-27	20.11	20.11	6	16
12	-396	2827	927	40	359	-27	20.11	20.11	6	18
13	-271	1994	502	15	366	-10	20.11	20.11	6	18
14	-259	2306	631	23	393	-20	20.11	20.11	6	17
15	-287	2668	751	28	389	-26	20.11	20.11	6	16
16	-336	3054	824	31	359	-26	20.11	20.11	6	18
Massimi/minimi										
1							20.11			
1								20.11		
2										16

Muro : 161 - Nodi: [235-335-344-244], Pann.X=4, Pann.Y=4Spess.=25 cm, Terreno=--,Criterio=CLS_Muri_ND,
Materiale=C35/45, $\zeta_e=67.118$ [(9+10)-IV-4] : **Verificato**

Armatura a maglia doppia

Pannello	Nx	Ny	Nxy	Mx	My	Mxy	Ax	Ay	C	Cs
	kg	kg	kg	kg*m	kg*m	kg*m	cmq	cmq		
1	391	-897	1341	205	273	-37	20.11	20.11	6	23
2	478	-1695	1905	228	272	55	20.11	20.11	5	22
3	-139	-1620	2404	200	258	121	20.11	20.11	5	19
4	-1431	-582	2909	114	235	175	20.11	20.11	6	17
5	-86	-592	1233	318	369	-40	20.11	20.11	6	17
6	107	-1561	1717	317	364	27	20.11	20.11	5	19
7	-599	-202	2171	275	368	49	20.11	20.11	6	17
8	-1369	143	2393	210	328	88	20.11	20.11	6	17
9	-361	117	1094	252	403	-32	20.11	20.11	6	16
10	-362	298	1457	251	419	-16	20.11	20.11	6	16
11	-621	570	1738	228	406	1	20.11	20.11	6	17
12	-1080	915	1843	183	357	14	20.11	20.11	6	19
13	-421	961	893	125	395	-22	20.11	20.11	6	17
14	-399	1183	1124	132	416	-24	20.11	20.11	6	16
15	-514	1468	1309	124	405	-24	20.11	20.11	6	16
16	-730	1782	1376	106	361	-22	20.11	20.11	6	18
Massimi/minimi										
1							20.11			
1								20.11		
14										16

Muro : 162 - Nodi: [344-544-554-354], Pann.X=4, Pann.Y=4Spess.=25 cm, Terreno=--,Criterio=CLS_Muri_ND,
Materiale=C35/45, $\zeta_e=40.590$ [(9+10)-V-3] : **Verificato**

Armatura a maglia doppia

Pannello	Nx	Ny	Nxy	Mx	My	Mxy	Ax	Ay	C	Cs
	kg	kg	kg	kg*m	kg*m	kg*m	cmq	cmq		
1	-643	2663	1063	54	303	-21	20.11	20.11	6	21
2	-690	2780	722	43	231	68	20.11	20.11	7	23
3	-802	2863	594	49	283	87	20.11	20.11	7	18
4	-834	2868	469	57	345	92	20.11	20.11	7	16
5	-551	2887	999	47	308	-20	20.11	20.11	6	21
6	-561	2896	696	42	237	68	20.11	20.11	7	22
7	-601	2977	586	48	290	87	20.11	20.11	7	18
8	-653	3007	451	56	356	92	20.11	20.11	7	15
9	-457	3127	923	41	313	-19	20.11	20.11	6	20
10	-454	3034	657	39	243	68	20.11	20.11	7	22
11	-459	3127	569	45	298	87	20.11	20.11	7	18
12	-521	3160	438	56	366	91	20.11	20.11	7	15
13	-375	3384	836	35	317	-17	20.11	20.11	6	20
14	-363	3193	607	35	249	68	20.11	20.11	7	21
15	-338	3303	549	41	305	87	20.11	20.11	7	17
16	-396	3340	430	54	375	92	20.11	20.11	7	15
Massimi/minimi										

**POTENZIAMENTO DELL'IMPIANTO DI DEPURAZIONE E
DEL RECAPITO FINALE DI SQUINZANO (LE)
PROGETTO DEFINITIVO
Tabulati di calcolo strutturale-Filtrazione**

R.37.9

Maggio 2021

Pagina 234 di
364

Pannello	Nx	Ny	Nxy	Mx	My	Mxy	Ax	Ay	C	Cs
1							20.11			
1								20.11		
16										15

Muro : 163 - Nodi: [218-318-328-228], Pann.X=4, Pann.Y=4Spess.=25 cm, Terreno=--,Criterio=CLS_Muri_ND,
Materiale=C35/45,ζ=60.446 [(9+10)-II-3] : **Verificato**

Armatura a maglia doppia

Pannello	Nx	Ny	Nxy	Mx	My	Mxy	Ax	Ay	C	Cs
	kg	kg	kg	kg*m	kg*m	kg*m	cmq	cmq		
1	-2309	-2306	647	-48	-486	-132	20.11	20.11		12
2	-1756	-2415	749	6	-274	-198	20.11	20.11		15
3	-1532	-2018	978	33	-133	-252	20.11	20.11		19
4	-1014	-1170	498	68	-25	-274	20.11	20.11		21
5	-1650	-1228	583	-49	-693	-97	20.11	20.11		9.1
6	-1595	-1261	521	5	-431	-157	20.11	20.11		12
7	-1511	-1179	530	61	-232	-200	20.11	20.11		17
8	-1444	-1086	598	115	-86	-229	20.11	20.11		21
9	-1214	-666	452	-77	-800	-68	20.11	20.11		8.2
10	-1205	-629	429	-27	-533	-102	20.11	20.11		11
11	-1196	-580	409	27	-318	-128	20.11	20.11		16
12	-1182	-511	406	82	-147	-150	20.11	20.11		24
13	-816	-215	289	-116	-832	-55	20.11	20.11		8.0
14	-833	-122	283	-78	-579	-65	20.11	20.11		11
15	-830	-57	274	-34	-367	-72	20.11	20.11		16
16	-831	13	264	13	-195	-82	20.11	20.11		26
Massimi/minimi										
1							20.11			
1								20.11		
13										8.0

Muro : 164 - Nodi: [228-328-338-238], Pann.X=4, Pann.Y=4Spess.=25 cm, Terreno=--,Criterio=CLS_Muri_ND,
Materiale=C35/45,ζ=50.089 [(9+10)-IV-4] : **Verificato**

Armatura a maglia doppia

Pannello	Nx	Ny	Nxy	Mx	My	Mxy	Ax	Ay	C	Cs
	kg	kg	kg	kg*m	kg*m	kg*m	cmq	cmq		
1	-1207	-988	563	86	51	-283	20.11	20.11		20
2	-1442	-842	592	94	104	-265	20.11	20.11		19
3	-2270	-654	984	66	115	-244	20.11	20.11		20
4	-2543	-441	773	54	126	-199	20.11	20.11		22
5	-1461	-930	670	175	42	-249	20.11	20.11		17
6	-1574	-701	695	235	142	-249	20.11	20.11		15
7	-1739	-487	637	281	202	-227	20.11	20.11		14
8	-1908	-305	514	314	238	-190	20.11	20.11		14
9	-1177	-430	414	149	14	-169	20.11	20.11		23
10	-1219	-293	413	224	151	-177	20.11	20.11		18
11	-1296	-154	378	286	242	-170	20.11	20.11		16
12	-1389	-29	303	335	301	-148	20.11	20.11		15
13	-834	89	253	72	-24	-95	20.11	20.11		43
14	-854	181	237	137	133	-107	20.11	20.11		29
15	-889	272	209	193	246	-110	20.11	20.11		20
16	-934	352	159	237	326	-101	20.11	20.11		17
Massimi/minimi										
1							20.11			
1								20.11		
7										14

Muro : 165 - Nodi: [317-517-518-318], Pann.X=4, Pann.Y=4Spess.=25 cm, Terreno=--,Criterio=CLS_Muri_ND,
Materiale=C35/45,ζ=43.993 [(9+10)-I-3] : **Verificato**

Armatura a maglia doppia

Pannello	Nx kg	Ny kg	Nxy kg	Mx kg*m	My kg*m	Mxy kg*m	Ax cmq	Ay cmq	C	Cs
1	-234	3187	-1235	21	203	-38	20.11	20.11	6	28
2	-243	2486	-1091	28	263	-21	20.11	20.11	6	24
3	-347	1783	-1104	41	337	7	20.11	20.11	6	20
4	-965	1267	-1185	40	420	72	20.11	20.11	6	14
5	-193	3370	-876	15	209	-36	20.11	20.11	6	28
6	-169	2590	-785	21	273	-19	20.11	20.11	6	23
7	-282	1826	-821	35	354	11	20.11	20.11	6	19
8	-1014	1207	-1045	45	456	72	20.11	20.11	6	13
9	-210	3529	-518	8	214	-32	20.11	20.11	6	27
10	-179	2757	-457	10	279	-18	20.11	20.11	6	23
11	-234	1979	-459	24	372	13	20.11	20.11	6	18
12	-817	1123	-862	45	498	77	20.11	20.11	6	12
13	-343	3701	-181	2	214	-17	20.11	20.11	6	29
14	-199	2928	-153	2	280	-10	20.11	20.11	6	23
15	-229	2276	-107	3	369	0	20.11	20.11	6	19
16	-372	1290	-477	38	581	84	20.11	20.11	6	10
Massimi/minimi										
1							20.11			
1								20.11		
16										10

Muro : 166 - Nodi: [217-317-318-218], Pann.X=4, Pann.Y=4Spess.=25 cm, Terreno=--,Criterio=CLS_Muri_ND,
Materiale=C35/45,ζ_e=113.006 [(9+10)-II-3] : **Verificato**

Armatura a maglia doppia

Pannello	Nx kg	Ny kg	Nxy kg	Mx kg*m	My kg*m	Mxy kg*m	Ax cmq	Ay cmq	C	Cs
1	-2174	-1066	-583	147	19	14	20.11	20.11	3	45
2	-1940	-1543	-643	111	-8	8	20.11	20.11	3	61
3	94	1610	-1312	48	93	16	20.11	20.11	7	63
4	1764	1449	-1640	59	145	53	20.11	20.11	6	35
5	-737	1881	-1536	42	100	-30	20.11	20.11	7	53
6	177	1553	-2620	30	128	-8	20.11	20.11	6	51
7	358	1612	-2267	31	162	20	20.11	20.11	6	38
8	550	1593	-1661	37	189	70	20.11	20.11	6	27
9	-532	2021	-1310	33	142	-38	20.11	20.11	7	38
10	-86	1910	-2545	31	184	-14	20.11	20.11	6	35
11	-220	1757	-2205	32	224	12	20.11	20.11	6	29
12	-423	1644	-1735	33	260	67	20.11	20.11	6	21
13	-131	2877	-2035	29	183	-37	20.11	20.11	6	31
14	-225	2280	-1857	34	235	-20	20.11	20.11	6	27
15	-496	1818	-1706	39	292	6	20.11	20.11	6	23
16	-1066	1541	-1484	40	350	65	20.11	20.11	6	17
Massimi/minimi										
1							20.11			
1								20.11		
16										17

Muro : 167 - Nodi: [347-547-557-357], Pann.X=4, Pann.Y=4Spess.=25 cm, Terreno=--,Criterio=CLS_Muri_ND,
Materiale=C35/45,ζ_e=39.597 [(9+10)-VII-2] : **Verificato**

Armatura a maglia doppia

Pannello	Nx kg	Ny kg	Nxy kg	Mx kg*m	My kg*m	Mxy kg*m	Ax cmq	Ay cmq	C	Cs
1	-739	534	-318	190	424	49	20.11	20.11	1	15
2	-705	423	-380	169	380	65	20.11	20.11	1	16
3	-665	282	-426	142	315	74	20.11	20.11	1	18
4	-624	112	-453	109	224	75	20.11	20.11	1	24
5	-634	610	-285	155	427	46	20.11	20.11	1	15
6	-604	498	-337	137	381	61	20.11	20.11	1	16
7	-567	358	-373	113	313	69	20.11	20.11	1	18
8	-531	192	-393	84	220	69	20.11	20.11	1	24
9	-535	692	-251	124	430	43	20.11	20.11	1	15

**POTENZIAMENTO DELL'IMPIANTO DI DEPURAZIONE E
DEL RECAPITO FINALE DI SQUINZANO (LE)
PROGETTO DEFINITIVO
Tabulati di calcolo strutturale-Filtrazione**

R.37.9

Maggio 2021

Pagina 236 di
364

Pannello	Nx	Ny	Nxy	Mx	My	Mxy	Ax	Ay	C	Cs
10	-512	580	-294	108	382	57	20.11	20.11	1	16
11	-483	443	-322	88	311	65	20.11	20.11	1	19
12	-455	282	-334	63	215	64	20.11	20.11	1	25
13	-444	782	-216	96	433	41	20.11	20.11	1	15
14	-426	669	-251	83	383	54	20.11	20.11	1	16
15	-404	534	-271	65	310	61	20.11	20.11	1	19
16	-383	379	-276	45	212	61	20.11	20.11	1	26
Massimi/minimi										
1							20.11			
1								20.11		
13										15

Muro : 168 - Nodi: [338-538-547-347], Pann.X=4, Pann.Y=4Spess.=25 cm, Terreno=--,Criterio=CLS_Muri_ND,
Materiale=C35/45,ζ=115.880 [(9+10)-VII-2] : **Verificato**

Armatura a maglia doppia

Pannello	Nx	Ny	Nxy	Mx	My	Mxy	Ax	Ay	C	Cs
	kg	kg	kg	kg*m	kg*m	kg*m	cmq	cmq		
1	-737	673	38	179	396	-61	20.11	20.11	1	15
2	-765	693	-43	199	439	-36	20.11	20.11	1	15
3	-626	-882	-44	207	458	20	20.11	20.11	2	15
4	-633	-900	-48	201	442	49	20.11	20.11	2	15
5	-629	769	30	146	398	-57	20.11	20.11	1	15
6	-650	782	-42	164	443	-34	20.11	20.11	1	15
7	-548	-896	-39	170	462	20	20.11	20.11	2	15
8	-553	-915	-41	165	446	47	20.11	20.11	2	15
9	-534	870	23	116	401	-53	20.11	20.11	1	15
10	-549	878	-40	131	447	-32	20.11	20.11	1	15
11	-474	-909	-34	137	467	20	20.11	20.11	2	15
12	-477	-929	-34	132	450	46	20.11	20.11	2	14
13	-445	976	17	89	403	-50	20.11	20.11	1	15
14	-457	979	-37	102	451	-30	20.11	20.11	1	15
15	-402	-923	-29	106	471	20	20.11	20.11	2	15
16	-404	-943	-28	102	454	44	20.11	20.11	2	14
Massimi/minimi										
1							20.11			
1								20.11		
16										14

Muro : 169 - Nodi: [247-347-357-257], Pann.X=4, Pann.Y=4Spess.=25 cm, Terreno=--,Criterio=CLS_Muri_ND,
Materiale=C35/45,ζ=35.357 [(9+10)-I-3] : **Verificato**

Armatura a maglia doppia

Pannello	Nx	Ny	Nxy	Mx	My	Mxy	Ax	Ay	C	Cs
	kg	kg	kg	kg*m	kg*m	kg*m	cmq	cmq		
1	-2129	-487	-206	72	141	144	20.11	20.11	2	25
2	-2078	-508	-309	82	139	195	20.11	20.11	2	21
3	-1996	-533	-390	92	131	240	20.11	20.11	2	19
4	-2016	-538	-361	95	118	274	20.11	20.11	3	18
5	-1639	-646	-181	359	271	141	20.11	20.11	2	14
6	-1606	-678	-254	341	254	186	20.11	20.11	2	14
7	-1545	-727	-321	312	227	223	20.11	20.11	2	14
8	-1463	-790	-371	272	181	247	20.11	20.11	2	14
9	-1207	-788	-138	388	352	115	20.11	20.11	2	14
10	-1181	-828	-179	358	320	147	20.11	20.11	2	14
11	-1138	-887	-214	317	271	169	20.11	20.11	2	15
12	-1087	-963	-234	264	198	178	20.11	20.11	2	16
13	-875	-861	32	284	399	81	20.11	20.11	3	15
14	-957	228	-506	260	371	86	20.11	20.11	1	15
15	-900	92	-583	226	315	100	20.11	20.11	1	17
16	-844	-74	-638	183	235	105	20.11	20.11	1	21
Massimi/minimi										
1							20.11			
1								20.11		
7										14

Muro : 170 - Nodi: [238-338-347-247], Pann.X=4, Pann.Y=4Spess.=25 cm, Terreno=--,Criterio=CLS_Muri_ND,
Materiale=C35/45, $\zeta_e=60.554$ [(9+10)-VII-2] : **Verificato**

Armatura a maglia doppia

Pannello	Nx	Ny	Nxy	Mx	My	Mxy	Ax	Ay	C	Cs
	kg	kg	kg	kg*m	kg*m	kg*m	cmq	cmq		
1	-2735	-300	487	41	131	-143	20.11	20.11	1	26
2	-2837	-230	202	30	134	-79	20.11	20.11		33
3	-1476	-20	-12	-124	3	46	20.11	20.11	(9+10)-X-2	42
4	-2114	-493	-79	64	143	85	20.11	20.11	2	31
5	-2057	-162	332	336	259	-140	20.11	20.11	1	15
6	-2160	-70	108	350	272	-78	20.11	20.11	1	17
7	-1586	-657	-23	373	285	18	20.11	20.11	2	18
8	-1636	-636	-100	370	281	84	20.11	20.11	2	16
9	-1481	77	182	372	341	-112	20.11	20.11	1	15
10	-1551	149	19	396	366	-63	20.11	20.11	1	16
11	-1182	-763	-49	414	381	19	20.11	20.11	2	17
12	-1211	-763	-92	407	373	72	20.11	20.11	2	15
13	-980	416	79	273	383	-79	20.11	20.11	1	15
14	-1018	454	-31	297	419	-46	20.11	20.11	1	15
15	-817	-844	-51	308	437	20	20.11	20.11	2	16
16	-830	-859	-66	301	424	57	20.11	20.11	2	15
Massimi/minimi										
1							20.11			
1								20.11		
16										15

Muro : 171 - Nodi: [328-528-538-338], Pann.X=4, Pann.Y=4Spess.=25 cm, Terreno=--,Criterio=CLS_Muri_ND,
Materiale=C35/45, $\zeta_e=125.375$ [(9+10)-VII-2] : **Verificato**

Armatura a maglia doppia

Pannello	Nx	Ny	Nxy	Mx	My	Mxy	Ax	Ay	C	Cs
	kg	kg	kg	kg*m	kg*m	kg*m	cmq	cmq		
1	-322	444	-703	12	79	67	20.11	20.11	6	48
2	-632	495	155	70	116	-74	20.11	20.11	1	37
3	-667	567	133	114	239	-80	20.11	20.11	1	22
4	-704	628	96	150	330	-76	20.11	20.11	1	17
5	-310	430	-654	15	84	63	20.11	20.11	6	48
6	-480	-1129	57	54	134	-46	20.11	20.11	3	40
7	-579	676	114	87	236	-73	20.11	20.11	1	23
8	-605	730	82	120	329	-70	20.11	20.11	1	18
9	-291	418	-597	16	88	60	20.11	20.11	6	47
10	-423	-1141	50	36	128	-40	20.11	20.11	3	43
11	-497	788	96	65	232	-67	20.11	20.11	1	23
12	-516	837	68	93	328	-66	20.11	20.11	1	18
13	-269	406	-532	16	92	59	20.11	20.11	6	47
14	-364	-1156	43	23	122	-35	20.11	20.11	3	46
15	-418	904	80	46	228	-63	20.11	20.11	1	24
16	-432	948	56	70	328	-62	20.11	20.11	1	18
Massimi/minimi										
1							20.11			
1								20.11		
4										17

Muro : 172 - Nodi: [318-518-528-328], Pann.X=4, Pann.Y=4Spess.=25 cm, Terreno=--,Criterio=CLS_Muri_ND,
Materiale=C35/45, $\zeta_e=70.662$ [(9+10)-IV-4] : **Verificato**

Armatura a maglia doppia

Pannello	Nx	Ny	Nxy	Mx	My	Mxy	Ax	Ay	C	Cs
	kg	kg	kg	kg*m	kg*m	kg*m	cmq	cmq		
1	-638	118	136	-156	-838	-53	20.11	20.11	1	7.9

**POTENZIAMENTO DELL'IMPIANTO DI DEPURAZIONE E
DEL RECAPITO FINALE DI SQUINZANO (LE)
PROGETTO DEFINITIVO
Tabulati di calcolo strutturale-Filtrazione**

R.37.9

Maggio 2021

Pagina 238 di
364

Pannello	Nx	Ny	Nxy	Mx	My	Mxy	Ax	Ay	C	Cs
2	-617	207	169	-119	-586	-52	20.11	20.11	1	11
3	-601	283	176	-76	-381	-44	20.11	20.11	1	17
4	-591	338	175	-33	-217	-47	20.11	20.11	1	27
5	-593	261	93	-168	-841	-52	20.11	20.11	1	7.9
6	-556	348	126	-129	-578	-44	20.11	20.11	1	11
7	-541	414	144	-84	-381	-35	20.11	20.11	1	17
8	-535	468	149	-43	-223	-38	20.11	20.11	1	27
9	-545	420	45	-174	-840	-52	20.11	20.11	1	7.9
10	-504	511	91	-125	-566	-36	20.11	20.11	1	12
11	-474	543	122	-83	-380	-26	20.11	20.11	1	17
12	-468	594	124	-47	-228	-30	20.11	20.11	1	27
13	-506	725	-45	-160	-822	-59	20.11	20.11	1	8.0
14	-442	643	104	-104	-546	-31	20.11	20.11	1	12
15	-416	679	99	-74	-378	-18	20.11	20.11	1	18
16	-402	726	100	-45	-233	-24	20.11	20.11	1	27
Massimi/minimi										
1							20.11			
1								20.11		
9										7.9

Muro : 173 - Nodi: [216-316-317-217], Pann.X=4, Pann.Y=4Spess.=25 cm, Terreno=--,Criterio=CLS_Muri_ND,
Materiale=C35/45,ζ_e=68.367 [(9+10)-II-3] : **Verificato**

Armatura a maglia doppia

Pannello	Nx kg	Ny kg	Nxy kg	Mx kg*m	My kg*m	Mxy kg*m	Ax cmq	Ay cmq	C	Cs
1	-1523	2516	743	201	58	-16	20.11	20.11	3	33
2	-2591	1439	275	209	56	-8	20.11	20.11	3	34
3	-2764	433	-112	200	49	4	20.11	20.11	3	36
4	-2489	-443	-412	177	37	13	20.11	20.11	3	38
5	-1079	-514	-3319	-7	-52	-67	20.11	20.11	6	60
6	-1158	1941	-1278	35	15	-78	20.11	20.11	7	63
7	-1203	1977	-1442	42	43	-75	20.11	20.11	7	59
8	-1039	1947	-1543	43	72	-56	20.11	20.11	7	54
9	-325	2847	-3593	-1	-64	-70	20.11	20.11	6	51
10	-90	2791	-3707	5	-11	-74	20.11	20.11	6	80
11	-752	2484	-1330	22	51	-72	20.11	20.11	7	55
12	-671	2233	-1354	30	100	-58	20.11	20.11	7	44
13	255	6923	-3321	-3	-71	-72	20.11	20.11	6	45
14	-23	5919	-3030	4	-11	-73	20.11	20.11	6	78
15	-411	2998	-952	10	57	-68	20.11	20.11	7	55
16	-372	2510	-909	20	121	-58	20.11	20.11	7	38
Massimi/minimi										
1							20.11			
1								20.11		
1										33

Muro : 174 - Nodi: [316-516-517-317], Pann.X=4, Pann.Y=4Spess.=25 cm, Terreno=--,Criterio=CLS_Muri_ND,
Materiale=C35/45,ζ_e=52.685 [(9+10)-I-3] : **Verificato**

Armatura a maglia doppia

Pannello	Nx kg	Ny kg	Nxy kg	Mx kg*m	My kg*m	Mxy kg*m	Ax cmq	Ay cmq	C	Cs
1	46	9952	-2582	-4	-75	-72	20.11	20.11	6	42
2	-139	7944	-2033	2	-9	-74	20.11	20.11	6	76
3	-122	6045	-1735	8	57	-68	20.11	20.11	6	52
4	-104	4374	-1453	15	132	-55	20.11	20.11	6	36
5	47	11089	-2006	-3	-76	-68	20.11	20.11	6	42
6	-92	8582	-1543	2	-9	-70	20.11	20.11	6	79
7	-135	6444	-1296	5	58	-65	20.11	20.11	6	53
8	-135	4601	-1062	10	136	-52	20.11	20.11	6	35
9	-20	12121	-1282	-2	-77	-60	20.11	20.11	6	43
10	-117	9189	-968	1	-9	-61	20.11	20.11	6	89
11	-161	6808	-806	3	60	-57	20.11	20.11	6	55
12	-176	4808	-649	5	139	-45	20.11	20.11	6	36

**POTENZIAMENTO DELL'IMPIANTO DI DEPURAZIONE E
DEL RECAPITO FINALE DI SQUINZANO (LE)
PROGETTO DEFINITIVO
Tabulati di calcolo strutturale-Filtrazione**

R.37.9

Maggio 2021

Pagina 239 di
364

Pannello	Nx	Ny	Nxy	Mx	My	Mxy	Ax	Ay	C	Cs
13	4	5432	-137	-1	-104	-24	20.11	20.11	7	51
14	-20	-356	-30	-0	-30	-19	20.11	20.11	(9+10) -XI-2	>100
15	-297	7135	-258	0	60	-31	20.11	20.11	6	70
16	-375	4980	-213	1	140	-25	20.11	20.11	6	40
Massimi/minimi										
1							20.11			
1								20.11		
8										35

Muro : 175 - Nodi: [215-315-316-216], Pann.X=4, Pann.Y=4Spess.=25 cm, Terreno=--,Criterio=CLS_Muri_ND,
Materiale=C35/45,ζ=56.250 [(9+10)-II-3] : **Verificato**

Armatura a maglia doppia

Pannello	Nx	Ny	Nxy	Mx	My	Mxy	Ax	Ay	C	Cs
	kg	kg	kg	kg*m	kg*m	kg*m	cmq	cmq		
1	-1898	-2805	-418	-3	-179	32	20.11	20.11	2	35
2	-4735	-6256	-1670	-57	-128	-46	20.11	20.11	5	44
3	1026	3905	772	155	11	-16	20.11	20.11	4	41
4	12	3596	827	171	34	-27	20.11	20.11	4	36
5	1497	121	155	-6	-207	80	20.11	20.11	3	25
6	1088	251	640	3	-116	61	20.11	20.11	3	40
7	-2517	-789	-2716	-10	-102	-53	20.11	20.11	6	46
8	-1996	-690	-2990	-10	-86	-57	20.11	20.11	6	50
9	259	-2056	194	-19	-204	69	20.11	20.11	3	27
10	39	-1942	550	-14	-140	62	20.11	20.11	3	36
11	-819	2755	-2796	-4	-111	-58	20.11	20.11	6	40
12	-586	2682	-3135	-3	-97	-63	20.11	20.11	6	43
13	489	3449	-971	-23	-240	37	20.11	20.11	7	24
14	494	3654	-1143	-23	-208	-10	20.11	20.11	7	31
15	366	3749	-1225	-21	-175	-29	20.11	20.11	7	33
16	622	6915	-3359	-7	-111	-66	20.11	20.11	6	36
Massimi/minimi										
1							20.11			
1								20.11		
13										24

Muro : 176 - Nodi: [315-515-516-316], Pann.X=4, Pann.Y=4Spess.=25 cm, Terreno=--,Criterio=CLS_Muri_ND,
Materiale=C35/45,ζ=19.831 [(9+10)-IV-3] : **Verificato**

Armatura a maglia doppia

Pannello	Nx	Ny	Nxy	Mx	My	Mxy	Ax	Ay	C	Cs
	kg	kg	kg	kg*m	kg*m	kg*m	cmq	cmq		
1	1276	4897	-1166	-28	-283	36	20.11	20.11	7	21
2	984	5051	-1427	-25	-242	-14	20.11	20.11	7	26
3	552	5170	-1376	-21	-201	-32	20.11	20.11	7	28
4	869	11297	-3203	-10	-122	-67	20.11	20.11	6	32
5	1626	5567	-1398	-32	-305	38	20.11	20.11	7	19
6	1030	5926	-1575	-24	-255	-12	20.11	20.11	7	24
7	469	5932	-1323	-18	-209	-31	20.11	20.11	7	27
8	617	12893	-2647	-9	-125	-63	20.11	20.11	6	31
9	1980	6839	-1827	-36	-333	43	20.11	20.11	7	17
10	907	7291	-1688	-20	-267	-9	20.11	20.11	7	23
11	239	6599	-949	-10	-214	-27	20.11	20.11	7	27
12	45	6097	-652	-8	-174	-35	20.11	20.11	7	31
13	5998	26836	-6238	-34	-284	30	20.11	20.11	6	14
14	124	8304	-607	-5	-259	-7	20.11	20.11	7	24
15	-95	7182	-337	-3	-211	-15	20.11	20.11	7	28
16	78	6386	-234	-2	-173	-19	20.11	20.11	7	34
Massimi/minimi										
1							20.11			
1								20.11		
13										14

**POTENZIAMENTO DELL'IMPIANTO DI DEPURAZIONE E
DEL RECAPITO FINALE DI SQUINZANO (LE)
PROGETTO DEFINITIVO
Tabulati di calcolo strutturale-Filtrazione**

R.37.9

Maggio 2021

Pagina 240 di
364

Muro : 177 - Nodi: [315-215-205-305], Pann.X=4, Pann.Y=4Spess.=25 cm, Terreno=--,Criterio=CLS_Muri_ND,
Materiale=C35/45, $\zeta_e=41.811$ [(9+10)-I-1] : **Verificato**

Armatura a maglia doppia

Pannello	Nx	Ny	Nxy	Mx	My	Mxy	Ax	Ay	C	Cs
	kg	kg	kg	kg*m	kg*m	kg*m	cmq	cmq		
1	-1681	909	-93	-106	-362	17	20.11	20.11		6
2	-1600	725	80	-92	-228	-16	20.11	20.11		6
3	-499	-945	-1016	42	75	63	20.11	20.11		3
4	-709	-406	-1009	50	89	76	20.11	20.11		4
5	-2530	920	234	-61	-313	7	20.11	20.11		6
6	-2295	756	434	-43	-183	-17	20.11	20.11		6
7	-342	-343	-1233	9	36	54	20.11	20.11		4
8	-1177	186	-670	4	56	63	20.11	20.11		7
9	-934	-72	-238	-32	-231	40	20.11	20.11		7
10	-2892	484	1101	-40	-113	-17	20.11	20.11		6
11	-706	306	-678	-0	-14	40	20.11	20.11	(9+10)-I-1	>100
12	-1147	101	-880	14	48	71	20.11	20.11		7
13	2397	751	-1448	106	136	58	20.11	20.11		3
14	174	950	-1487	81	11	33	20.11	20.11		4
15	-1083	-132	-673	61	8	56	20.11	20.11		7
16	-1038	-226	-675	50	28	61	20.11	20.11		7
Massimi/minimi										
1							20.11			
1								20.11		
1										18

Muro : 178 - Nodi: [305-505-515-315], Pann.X=4, Pann.Y=4Spess.=25 cm, Terreno=--,Criterio=CLS_Muri_ND,
Materiale=C35/45, $\zeta_e=71.845$ [(9+10)-VIII-2] : **Verificato**

Armatura a maglia doppia

Pannello	Nx	Ny	Nxy	Mx	My	Mxy	Ax	Ay	C	Cs
	kg	kg	kg	kg*m	kg*m	kg*m	cmq	cmq		
1	-707	-763	-920	112	102	76	20.11	20.11		4
2	-1223	656	38	-116	-139	-19	20.11	20.11		6
3	-1198	732	-74	-147	-246	-20	20.11	20.11		6
4	-1218	740	-195	-175	-389	36	20.11	20.11		6
5	-717	-1125	-903	80	97	67	20.11	20.11		3
6	-1080	676	-5	-121	-151	-27	20.11	20.11		6
7	-1059	757	-97	-165	-243	-31	20.11	20.11		6
8	-1061	832	-271	-202	-387	37	20.11	20.11		6
9	-605	-1190	-787	66	96	66	20.11	20.11		3
10	-949	684	-43	-119	-165	-40	20.11	20.11		6
11	-933	801	-155	-172	-242	-53	20.11	20.11		6
12	-839	950	-314	-234	-367	30	20.11	20.11		6
13	-483	-1279	-687	54	98	68	20.11	20.11		3
14	-825	672	-91	-108	-177	-52	20.11	20.11		6
15	-813	800	-245	-154	-250	-77	20.11	20.11		6
16	-529	1043	-479	-256	-333	-12	20.11	20.11		6
Massimi/minimi										
1							20.11			
1								20.11		
4										17

Muro : 179 - Nodi: [208-308-318-218], Pann.X=4, Pann.Y=4Spess.=25 cm, Terreno=--,Criterio=CLS_Muri_ND,
Materiale=C35/45, $\zeta_e=84.187$ [(9+10)-I-3] : **Verificato**

Armatura a maglia doppia

Pannello	Nx	Ny	Nxy	Mx	My	Mxy	Ax	Ay	C	Cs
	kg	kg	kg	kg*m	kg*m	kg*m	cmq	cmq		
1	-2152	913	-659	-67	-22	55	20.11	20.11		6
2	-2017	948	-707	-58	-21	41	20.11	20.11		6
3	-1700	1245	-851	-49	11	42	20.11	20.11		6
4	-2055	-2108	1414	-23	-158	-57	20.11	20.11		1

**POTENZIAMENTO DELL'IMPIANTO DI DEPURAZIONE E
DEL RECAPITO FINALE DI SQUINZANO (LE)
PROGETTO DEFINITIVO
Tabulati di calcolo strutturale-Filtrazione**

R.37.9

Maggio 2021

Pagina 241 di
364

Pannello	Nx	Ny	Nxy	Mx	My	Mxy	Ax	Ay	C	Cs
5	-1502	369	-735	4	-23	56	20.11	20.11		89
6	-1348	450	-764	-2	-37	35	20.11	20.11		98
7	-1411	-1064	1164	15	-113	-30	20.11	20.11		50
8	-1501	-1189	1087	2	-230	-66	20.11	20.11		24
9	-1152	268	-707	10	-23	48	20.11	20.11		99
10	-968	-715	944	8	-91	-11	20.11	20.11		70
11	-1056	-625	964	-7	-179	-34	20.11	20.11		34
12	-1113	-600	959	-23	-309	-66	20.11	20.11		19
13	-1208	1008	-478	-48	42	69	20.11	20.11		61
14	-702	-275	709	2	-140	-36	20.11	20.11		40
15	-757	-172	737	-27	-230	-53	20.11	20.11		25
16	-773	-72	760	-53	-353	-70	20.11	20.11		17
Massimi/minimi										
1							20.11			
1								20.11		
16										17

Muro : 180 - Nodi: [207-307-308-208], Pann.X=4, Pann.Y=4Spess.=20 cm, Terreno=--,Criterio=CLS_Muri_ND,
Materiale=C35/45,ζ=115.857 [(9+10)-II-4] : **Verificato**

Armatura a maglia doppia

Pannello	Nx	Ny	Nxy	Mx	My	Mxy	Ax	Ay	C	Cs
	kg	kg	kg	kg*m	kg*m	kg*m	cmq	cmq		
1	-2546	-439	-1611	-16	15	-37	20.11	20.11	6	>100
2	-2077	-433	-1817	-14	25	-30	20.11	20.11	6	98
3	-1361	-385	-1845	-5	39	-17	20.11	20.11	6	95
4	-255	-248	-1503	-8	58	-6	20.11	20.11	6	82
5	-1745	-62	-1577	8	35	-31	20.11	20.11	6	81
6	-1528	-130	-1758	12	54	-18	20.11	20.11	6	73
7	-1251	-215	-1802	16	81	-3	20.11	20.11	6	63
8	-1064	-421	-1600	14	117	-8	20.11	20.11	6	42
9	-997	44	-1323	13	60	-30	20.11	20.11	6	58
10	-1040	-79	-1507	16	85	-20	20.11	20.11	6	50
11	-1079	-186	-1538	18	115	-8	20.11	20.11	6	43
12	-1075	-430	-1492	18	148	-19	20.11	20.11	6	32
13	-265	166	-619	5	74	-29	20.11	20.11	6	51
14	-329	-421	-812	7	106	-23	20.11	20.11	6	41
15	-480	-1138	-1095	6	145	-13	20.11	20.11	6	34
16	-786	-1016	-1448	14	186	-15	20.11	20.11	6	27
Massimi/minimi										
1							20.11			
1								20.11		
16										27

Muro : 181 - Nodi: [308-508-518-318], Pann.X=4, Pann.Y=4Spess.=25 cm, Terreno=--,Criterio=CLS_Muri_ND,
Materiale=C35/45,ζ=57.616 [(9+10)-II-3] : **Verificato**

Armatura a maglia doppia

Pannello	Nx	Ny	Nxy	Mx	My	Mxy	Ax	Ay	C	Cs
	kg	kg	kg	kg*m	kg*m	kg*m	cmq	cmq		
1	-718	776	-281	-30	42	157	20.11	20.11	6	35
2	-528	-72	549	-21	-168	-66	20.11	20.11	1	30
3	-562	67	563	-52	-251	-74	20.11	20.11	1	22
4	-612	211	604	-85	-361	-79	20.11	20.11	1	16
5	-471	-91	435	-12	-94	-61	20.11	20.11	1	46
6	-471	8	472	-34	-176	-74	20.11	20.11	1	28
7	-517	143	487	-62	-254	-83	20.11	20.11	1	21
8	-591	301	532	-95	-350	-85	20.11	20.11	1	16
9	-419	15	397	-26	-107	-60	20.11	20.11	1	42
10	-416	103	419	-41	-184	-79	20.11	20.11	1	27
11	-450	196	412	-67	-259	-95	20.11	20.11	1	20
12	-573	383	443	-102	-329	-95	20.11	20.11	1	17
13	-357	112	355	-32	-122	-59	20.11	20.11	1	39
14	-352	201	371	-42	-196	-81	20.11	20.11	1	26
15	-393	288	387	-65	-274	-108	20.11	20.11	1	18

**POTENZIAMENTO DELL'IMPIANTO DI DEPURAZIONE E
DEL RECAPITO FINALE DI SQUINZANO (LE)
PROGETTO DEFINITIVO
Tabulati di calcolo strutturale-Filtrazione**

R.37.9

Maggio 2021

Pagina 242 di
364

Pannello	Nx	Ny	Nxy	Mx	My	Mxy	Ax	Ay	C	Cs
16	-536	314	286	-98	-309	-123	20.11	20.11		16
Massimi/minimi										
1							20.11			
1								20.11		
4										16

Muro : 182 - Nodi: [206-306-307-207], Pann.X=4, Pann.Y=4Spess.=20 cm, Terreno=--,Criterio=CLS_Muri_ND,
Materiale=C35/45,ζ=95.535 [(9+10)-X-4] : **Verificato**

Armatura a maglia doppia

Pannello	Nx	Ny	Nxy	Mx	My	Mxy	Ax	Ay	C	Cs
	kg	kg	kg	kg*m	kg*m	kg*m	cmq	cmq		
1	-2915	39	713	54	1	-33	20.11	20.11	7	63
2	-3272	-330	59	47	11	-39	20.11	20.11	7	64
3	-3303	-498	-634	29	13	-37	20.11	20.11	7	83
4	-2805	-533	-1196	-10	7	-40	20.11	20.11	6	>100
5	-1439	250	695	-10	-43	-32	20.11	20.11	6	70
6	-1743	190	135	-4	-17	-46	20.11	20.11	6	84
7	-2190	202	-526	12	10	-45	20.11	20.11	7	95
8	-2052	82	-1278	13	22	-38	20.11	20.11	7	88
9	-709	456	575	-17	-65	-29	20.11	20.11	6	55
10	-839	589	147	-9	-27	-41	20.11	20.11	6	77
11	-1073	691	-361	3	11	-41	20.11	20.11	7	>100
12	-1059	435	-1022	9	34	-37	20.11	20.11	7	73
13	-167	1117	211	-7	-80	-29	20.11	20.11	6	48
14	-171	1341	66	-4	-35	-38	20.11	20.11	6	71
15	-197	1555	-135	-0	10	-38	20.11	20.11	7	>100
16	-217	816	-395	3	39	-39	20.11	20.11	6	67
Massimi/minimi										
1							20.11			
1								20.11		
13										48

Muro : 183 - Nodi: [205-305-306-206], Pann.X=4, Pann.Y=4Spess.=20 cm, Terreno=--,Criterio=CLS_Muri_ND,
Materiale=C35/45,ζ=96.460 [(9+10)-II-4] : **Verificato**

Armatura a maglia doppia

Pannello	Nx	Ny	Nxy	Mx	My	Mxy	Ax	Ay	C	Cs
	kg	kg	kg	kg*m	kg*m	kg*m	cmq	cmq		
1	-1212	732	1127	3	-87	34	20.11	20.11	7	43
2	-1128	600	820	8	-67	-1	20.11	20.11	6	77
3	-1464	526	804	14	-48	-12	20.11	20.11	6	87
4	-2412	541	1066	50	-14	-18	20.11	20.11	7	80
5	-1137	505	1467	-19	-125	58	20.11	20.11	7	29
6	-1329	572	1460	-16	-100	15	20.11	20.11	7	46
7	-1087	259	971	-18	-86	-9	20.11	20.11	6	55
8	-1196	264	938	-16	-70	-18	20.11	20.11	6	60
9	-1063	354	1317	-21	-160	53	20.11	20.11	7	25
10	-1054	304	1364	-21	-138	11	20.11	20.11	7	35
11	-679	206	851	-24	-119	-11	20.11	20.11	6	41
12	-658	244	779	-22	-99	-17	20.11	20.11	6	45
13	-1077	385	1156	-26	-215	48	20.11	20.11	7	20
14	-607	-202	954	-20	-170	8	20.11	20.11	7	30
15	-185	628	321	-12	-139	-12	20.11	20.11	6	35
16	-164	782	285	-10	-118	-16	20.11	20.11	6	39
Massimi/minimi										
1							20.11			
1								20.11		
13										20

**POTENZIAMENTO DELL'IMPIANTO DI DEPURAZIONE E
DEL RECAPITO FINALE DI SQUINZANO (LE)
PROGETTO DEFINITIVO
Tabulati di calcolo strutturale-Filtrazione**

R.37.9

Maggio 2021

Pagina 243 di
364

Muro : 184 - Nodi: [305-205-201-301], Pann.X=4, Pann.Y=4Spess.=25 cm, Terreno=--,Criterio=CLS_Muri_ND,
Materiale=C35/45, $\zeta_e=125.694 [(9+10)-II-3]$: **Verificato**

Armatura a maglia doppia

Pannello	Nx	Ny	Nxy	Mx	My	Mxy	Ax	Ay	C	Cs
	kg	kg	kg	kg*m	kg*m	kg*m	cmq	cmq		
1	-1243	713	752	-56	-97	16	20.11	20.11		62
2	-805	-119	441	-52	4	24	20.11	20.11		95
3	-582	-182	-205	-6	96	18	20.11	20.11	(9+10)-II-1	62
4	-1136	-952	-195	28	286	-19	20.11	20.11		24
5	-1239	516	1015	-22	-68	18	20.11	20.11		82
6	-952	570	270	3	42	32	20.11	20.11		94
7	-677	-198	389	-8	75	31	20.11	20.11		67
8	-1431	-1182	-238	25	302	-22	20.11	20.11		22
9	-1150	410	336	6	-65	26	20.11	20.11		78
10	-846	460	641	25	50	46	20.11	20.11		74
11	-657	11	408	12	57	40	20.11	20.11		73
12	-1356	-1063	-252	14	240	-19	20.11	20.11		28
13	-1208	-101	57	64	-45	51	20.11	20.11		63
14	-1401	421	-79	122	51	52	20.11	20.11		42
15	-1239	572	86	109	41	20	20.11	20.11		56
16	-868	-207	-148	43	126	-15	20.11	20.11		51
Massimi/minimi										
1							20.11			
1								20.11		
8										22

Muro : 185 - Nodi: [202-302-303-203], Pann.X=4, Pann.Y=4Spess.=25 cm, Terreno=--,Criterio=CLS_Muri_ND,
Materiale=C35/45, $\zeta_e=56.875 [(9+10)-II-1]$: **Verificato**

Armatura a maglia doppia

Pannello	Nx	Ny	Nxy	Mx	My	Mxy	Ax	Ay	C	Cs
	kg	kg	kg	kg*m	kg*m	kg*m	cmq	cmq		
1	-2184	-845	597	-96	31	-94	20.11	20.11		38
2	-2526	-906	339	-135	38	-48	20.11	20.11		40
3	-2106	-270	34	-122	-26	-51	20.11	20.11		42
4	-1828	-709	-303	-110	37	75	20.11	20.11		39
5	-1647	-843	534	121	101	-94	20.11	20.11		34
6	-1875	-750	323	147	135	-52	20.11	20.11		36
7	-1569	348	189	-126	-108	-81	20.11	20.11		35
8	-1358	-799	-185	139	125	76	20.11	20.11		34
9	-987	374	252	-99	-149	-49	20.11	20.11		36
10	-1137	361	260	-119	-151	-64	20.11	20.11		33
11	-1034	-688	-13	197	201	17	20.11	20.11		33
12	-984	-772	-34	168	166	40	20.11	20.11		34
13	-691	149	221	-61	-157	-71	20.11	20.11		31
14	-793	205	240	-69	-152	-72	20.11	20.11		32
15	-874	-455	66	133	211	-13	20.11	20.11		32
16	-843	-484	-0	113	180	-13	20.11	20.11		37
Massimi/minimi										
1							20.11			
1								20.11		
13										31

Muro : 186 - Nodi: [203-303-304-204], Pann.X=4, Pann.Y=4Spess.=25 cm, Terreno=--,Criterio=CLS_Muri_ND,
Materiale=C35/45, $\zeta_e=127.446 [(9+10)-IV-1]$: **Verificato**

Armatura a maglia doppia

Pannello	Nx	Ny	Nxy	Mx	My	Mxy	Ax	Ay	C	Cs
	kg	kg	kg	kg*m	kg*m	kg*m	cmq	cmq		
1	-1580	-771	-393	-79	27	102	20.11	20.11		40
2	-1391	-855	-405	-54	7	114	20.11	20.11		43
3	-1071	48	-126	-38	51	-98	20.11	20.11		48
4	-721	-69	22	-21	128	-63	20.11	20.11		37
5	-1226	-935	-214	112	84	101	20.11	20.11		34
6	-1157	-1039	-180	80	28	109	20.11	20.11		38

**POTENZIAMENTO DELL'IMPIANTO DI DEPURAZIONE E
DEL RECAPITO FINALE DI SQUINZANO (LE)
PROGETTO DEFINITIVO
Tabulati di calcolo strutturale-Filtrazione**

R.37.9

Maggio 2021

Pagina 244 di
364

Pannello	Nx	Ny	Nxy	Mx	My	Mxy	Ax	Ay	C	Cs
7	-947	-75	144	-27	101	-73	20.11	20.11	6	41
8	-1236	-1317	35	-3	-226	55	20.11	20.11	1	26
9	-937	-887	-14	126	102	49	20.11	20.11	1	41
10	-936	-963	27	84	23	47	20.11	20.11	1	55
11	-799	148	324	-8	153	-35	20.11	20.11	6	38
12	-726	123	371	19	275	-26	20.11	20.11	6	23
13	-805	-546	-26	83	118	-14	20.11	20.11	2	54
14	-655	311	298	-1	101	-25	20.11	20.11	6	56
15	-556	330	336	18	192	-11	20.11	20.11	6	35
16	-433	379	359	38	305	-11	20.11	20.11	6	22
Massimi/minimi										
1							20.11			
1								20.11		
16										22

Muro : 187 - Nodi: [304-504-508-308], Pann.X=4, Pann.Y=4Spess.=25 cm, Terreno=--,Criterio=CLS_Muri_ND,
Materiale=C35/45, $\zeta_e=118.822$ [(9+10)-II-2] : **Verificato**

Armatura a maglia doppia

Pannello	Nx	Ny	Nxy	Mx	My	Mxy	Ax	Ay	C	Cs
	kg	kg	kg	kg*m	kg*m	kg*m	cmq	cmq		
1	-598	618	452	23	286	1	20.11	20.11	6	24
2	-752	729	561	-1	174	18	20.11	20.11	6	37
3	-1037	855	577	-37	64	22	20.11	20.11	6	82
4	-1389	1067	475	-53	-108	77	20.11	20.11	6	38
5	-552	577	439	24	291	-2	20.11	20.11	6	24
6	-538	711	544	2	175	14	20.11	20.11	6	37
7	-661	858	547	-27	67	14	20.11	20.11	6	87
8	-1054	1057	375	-26	-55	49	20.11	20.11	6	67
9	-483	553	409	25	293	-3	20.11	20.11	6	24
10	-444	709	502	5	177	11	20.11	20.11	6	37
11	-527	880	508	-13	68	12	20.11	20.11	6	88
12	-824	1072	325	-8	-25	47	20.11	20.11	6	97
13	-413	542	372	25	295	-4	20.11	20.11	6	24
14	-369	714	456	8	179	9	20.11	20.11	6	37
15	-434	912	460	-3	71	14	20.11	20.11	6	83
16	-343	-35	328	-21	-56	-20	20.11	20.11	1	93
Massimi/minimi										
1							20.11			
1								20.11		
13										24

Muro : 188 - Nodi: [303-503-504-304], Pann.X=4, Pann.Y=4Spess.=25 cm, Terreno=--,Criterio=CLS_Muri_ND,
Materiale=C35/45, $\zeta_e=130.479$ [(9+10)-II-3] : **Verificato**

Armatura a maglia doppia

Pannello	Nx	Ny	Nxy	Mx	My	Mxy	Ax	Ay	C	Cs
	kg	kg	kg	kg*m	kg*m	kg*m	cmq	cmq		
1	-599	-340	25	42	109	-32	20.11	20.11	2	50
2	-501	331	266	20	123	-18	20.11	20.11	6	50
3	-397	368	303	33	212	-6	20.11	20.11	6	32
4	-221	368	361	48	315	-15	20.11	20.11	6	21
5	-512	-98	242	34	105	-35	20.11	20.11	5	51
6	-446	326	243	24	130	-17	20.11	20.11	6	48
7	-344	372	290	36	217	-6	20.11	20.11	6	32
8	-187	413	342	50	317	-14	20.11	20.11	6	21
9	-448	-54	224	28	107	-36	20.11	20.11	5	49
10	-394	317	217	26	136	-16	20.11	20.11	6	46
11	-301	375	268	36	222	-6	20.11	20.11	6	31
12	-144	420	328	50	318	-13	20.11	20.11	6	21
13	-384	-12	201	23	109	-37	20.11	20.11	5	48
14	-342	301	188	26	142	-16	20.11	20.11	6	45
15	-259	370	243	35	226	-6	20.11	20.11	6	30
16	-102	421	310	48	319	-13	20.11	20.11	6	21
Massimi/minimi										

**POTENZIAMENTO DELL'IMPIANTO DI DEPURAZIONE E
DEL RECAPITO FINALE DI SQUINZANO (LE)
PROGETTO DEFINITIVO
Tabulati di calcolo strutturale-Filtrazione**

R.37.9

Maggio 2021

Pagina 245 di
364

Pannello	Nx	Ny	Nxy	Mx	My	Mxy	Ax	Ay	C	Cs
1							20.11			
1								20.11		
16										21

Muro : 189 - Nodi: [301-501-505-305], Pann.X=4, Pann.Y=4Spess.=25 cm, Terreno=--,Criterio=CLS_Muri_ND,
Materiale=C35/45,ζ=55.697 [(9+10)-IV-2] : **Verificato**

Armatura a maglia doppia

Pannello	Nx	Ny	Nxy	Mx	My	Mxy	Ax	Ay	C	Cs
	kg	kg	kg	kg*m	kg*m	kg*m	cmq	cmq		
1	-1063	-670	-164	36	259	-8	20.11	20.11		27
2	-548	-222	-228	7	115	16	20.11	20.11	(9+10)-II-1	54
3	-654	-182	-210	-2	34	34	20.11	20.11	(9+10)-IV-2	>100
4	-1004	-280	-356	93	53	41	20.11	20.11		53
5	-541	-362	79	25	252	-17	20.11	20.11		26
6	-436	-224	-214	14	122	15	20.11	20.11	(9+10)-II-1	52
7	-511	-197	-221	6	40	35	20.11	20.11	(9+10)-IV-2	95
8	-791	-932	-613	64	67	48	20.11	20.11		62
9	-493	-357	77	27	255	-19	20.11	20.11		26
10	-376	-435	-199	17	129	14	20.11	20.11	(9+10)-II-1	50
11	-427	-449	-215	11	46	35	20.11	20.11	(9+10)-IV-2	88
12	-649	-1003	-592	55	75	51	20.11	20.11		57
13	-441	-353	76	27	258	-20	20.11	20.11		26
14	-322	-495	-179	19	136	15	20.11	20.11	(9+10)-II-1	47
15	-434	-872	-474	38	71	22	20.11	20.11		77
16	-519	-1063	-548	47	81	53	20.11	20.11		54
Massimi/minimi										
1							20.11			
1								20.11		
13										26

Muro : 190 - Nodi: [204-304-308-208], Pann.X=4, Pann.Y=4Spess.=25 cm, Terreno=--,Criterio=CLS_Muri_ND,
Materiale=C35/45,ζ=104.732 [(9+10)-V-1] : **Verificato**

Armatura a maglia doppia

Pannello	Nx	Ny	Nxy	Mx	My	Mxy	Ax	Ay	C	Cs
	kg	kg	kg	kg*m	kg*m	kg*m	cmq	cmq		
1	-273	646	613	15	103	-11	20.11	20.11		61
2	-1699	590	700	-11	67	39	20.11	20.11		66
3	-2125	-1	442	-14	40	66	20.11	20.11		67
4	-2099	-73	342	-59	-32	64	20.11	20.11		59
5	-966	-1332	345	6	-168	18	20.11	20.11		39
6	-1286	953	768	38	122	41	20.11	20.11		43
7	-1620	243	616	54	84	53	20.11	20.11		51
8	-1669	248	498	13	-72	41	20.11	20.11		63
9	-572	888	554	26	228	14	20.11	20.11		29
10	-996	932	723	13	152	43	20.11	20.11		36
11	-1180	153	544	30	83	41	20.11	20.11		57
12	-1406	977	674	-18	-98	35	20.11	20.11		53
13	-575	682	509	20	269	11	20.11	20.11		25
14	-714	780	641	-5	167	29	20.11	20.11		36
15	-834	68	401	-3	66	30	20.11	20.11		74
16	-1195	954	710	-80	-132	46	20.11	20.11		39
Massimi/minimi										
1							20.11			
1								20.11		
13										25

Muro : 191 - Nodi: [302-502-503-303], Pann.X=4, Pann.Y=4Spess.=25 cm, Terreno=--,Criterio=CLS_Muri_ND,
Materiale=C35/45,ζ=57.195 [(9+10)-II-1] : **Verificato**

Armatura a maglia doppia

Pannello	Nx kg	Ny kg	Nxy kg	Mx kg*m	My kg*m	Mxy kg*m	Ax cmq	Ay cmq	C	Cs
1	-518	4	173	-33	-156	-76	20.11	20.11	6	31
2	-606	86	199	-33	-146	-73	20.11	20.11	6	32
3	-689	-303	62	73	204	-15	20.11	20.11	2	33
4	-645	-311	34	61	171	-25	20.11	20.11	2	36
5	-461	-48	149	-26	-155	-76	20.11	20.11	6	31
6	-531	42	183	-24	-143	-72	20.11	20.11	6	33
7	-566	-242	57	52	199	-16	20.11	20.11	2	33
8	-546	-243	36	43	166	-27	20.11	20.11	2	37
9	-402	-96	126	-21	-154	-75	20.11	20.11	6	31
10	-460	-3	163	-17	-141	-71	20.11	20.11	6	33
11	-482	-177	52	36	194	-16	20.11	20.11	2	34
12	-469	-171	39	29	161	-28	20.11	20.11	2	38
13	-344	-142	104	-16	-154	-74	20.11	20.11	6	31
14	-390	-50	142	-11	-138	-71	20.11	20.11	6	34
15	-406	-109	46	23	189	-16	20.11	20.11	2	35
16	-397	-96	39	18	157	-29	20.11	20.11	2	38
Massimi/minimi										
1							20.11			
1								20.11		
1										31

Muro : 192 - Nodi: [201-301-302-202], Pann.X=4, Pann.Y=4Spess.=25 cm, Terreno=--,Criterio=CLS_Muri_ND,
Materiale=C35/45,ζ_e=70.155 [(9+10)-I-4] : **Verificato**

Armatura a maglia doppia

Pannello	Nx kg	Ny kg	Nxy kg	Mx kg*m	My kg*m	Mxy kg*m	Ax cmq	Ay cmq	C	Cs
1	-1318	-807	645	-18	-38	-90	20.11	20.11	2	56
2	-1726	-858	858	-38	4	-101	20.11	20.11	3	52
3	-1677	-807	695	-46	9	-110	20.11	20.11	2	46
4	-1836	-819	676	-63	20	-106	20.11	20.11	2	43
5	-1189	-1093	559	25	-109	-84	20.11	20.11	2	37
6	-1256	-1057	593	50	-38	-98	20.11	20.11	2	49
7	-1342	-1002	608	73	14	-104	20.11	20.11	2	41
8	-1439	-946	607	92	53	-104	20.11	20.11	2	37
9	-1043	-1071	308	23	-153	-34	20.11	20.11	2	38
10	-754	-337	219	-10	-105	-49	20.11	20.11	5	46
11	-799	-316	258	-6	-86	-58	20.11	20.11	5	49
12	-840	376	213	-77	-129	-37	20.11	20.11	6	43
13	-582	-536	59	-13	-170	-20	20.11	20.11	5	37
14	-574	-498	104	-4	-138	-40	20.11	20.11	5	40
15	-581	96	153	-43	-134	-60	20.11	20.11	6	37
16	-613	124	183	-50	-145	-64	20.11	20.11	6	34
Massimi/minimi										
1							20.11			
1								20.11		
16										34

Muro : 193 - Nodi: [301-501-502-302], Pann.X=4, Pann.Y=4Spess.=25 cm, Terreno=--,Criterio=CLS_Muri_ND,
Materiale=C35/45,ζ_e=108.035 [(9+10)-II-1] : **Verificato**

Armatura a maglia doppia

Pannello	Nx kg	Ny kg	Nxy kg	Mx kg*m	My kg*m	Mxy kg*m	Ax cmq	Ay cmq	C	Cs
1	-474	-559	-18	-17	-192	-11	20.11	20.11	5	35
2	-439	-129	69	-24	-138	-60	20.11	20.11	6	36
3	-447	-93	101	-27	-145	-70	20.11	20.11	6	33
4	-481	-65	132	-30	-151	-74	20.11	20.11	6	32
5	-446	-539	-38	-21	-200	-12	20.11	20.11	5	34
6	-393	-184	46	-23	-145	-61	20.11	20.11	6	35
7	-399	-151	79	-24	-149	-70	20.11	20.11	6	32
8	-421	-113	105	-25	-152	-74	20.11	20.11	6	31
9	-399	-510	-44	-24	-206	-13	20.11	20.11	5	33

**POTENZIAMENTO DELL'IMPIANTO DI DEPURAZIONE E
DEL RECAPITO FINALE DI SQUINZANO (LE)
PROGETTO DEFINITIVO
Tabulati di calcolo strutturale-Filtrazione**

R.37.9

Maggio 2021

Pagina 247 di
364

Pannello	Nx	Ny	Nxy	Mx	My	Mxy	Ax	Ay	C	Cs
10	-345	-225	30	-22	-151	-61	20.11	20.11		6 33
11	-349	-196	54	-22	-152	-70	20.11	20.11		6 32
12	-365	-161	79	-22	-154	-74	20.11	20.11		6 31
13	-337	-484	-48	-26	-210	-13	20.11	20.11		5 32
14	-290	-263	12	-21	-157	-61	20.11	20.11		6 33
15	-297	-235	31	-20	-155	-70	20.11	20.11		6 32
16	-311	-206	54	-19	-155	-73	20.11	20.11		6 31
Massimi/minimi										
1							20.11			
1								20.11		
16										31

Muro : 194 - Nodi: [360-560-561-361], Pann.X=4, Pann.Y=4Spess.=25 cm, Terreno=--,Criterio=CLS_Muri_ND,
Materiale=C35/45,ζ=72.437 [(9+10)-VII-2] : **Verificato**

Armatura a maglia doppia

Pannello	Nx	Ny	Nxy	Mx	My	Mxy	Ax	Ay	C	Cs
	kg	kg	kg	kg*m	kg*m	kg*m	cmq	cmq		
1	-993	780	-385	-29	-263	-54	20.11	20.11		6 22
2	-631	-1304	656	27	292	53	20.11	20.11		1 21
3	-706	-1240	694	35	375	66	20.11	20.11		1 16
4	-901	-1257	59	80	656	15	20.11	20.11		2 11
5	-847	705	-335	-30	-278	-53	20.11	20.11		6 21
6	-599	-1244	637	30	302	53	20.11	20.11		1 20
7	-692	-1225	131	54	419	27	20.11	20.11		3 16
8	-743	-1217	62	81	658	15	20.11	20.11		2 11
9	-745	641	-277	-30	-294	-52	20.11	20.11		6 20
10	-552	-1206	612	31	311	53	20.11	20.11		1 20
11	-600	-1176	121	53	422	26	20.11	20.11		3 16
12	-633	-1164	52	80	658	14	20.11	20.11		2 11
13	-651	576	-217	-31	-310	-50	20.11	20.11		6 20
14	-503	-1182	586	29	320	52	20.11	20.11		1 19
15	-500	-1136	110	50	425	24	20.11	20.11		3 16
16	-538	-1123	39	77	657	12	20.11	20.11		2 11
Massimi/minimi										
1							20.11			
1								20.11		
8										11

Muro : 195 - Nodi: [357-557-561-361], Pann.X=4, Pann.Y=4Spess.=25 cm, Terreno=--,Criterio=CLS_Muri_ND,
Materiale=C35/45,ζ=61.151 [(9+10)-I-3] : **Verificato**

Armatura a maglia doppia

Pannello	Nx	Ny	Nxy	Mx	My	Mxy	Ax	Ay	C	Cs
	kg	kg	kg	kg*m	kg*m	kg*m	cmq	cmq		
1	-591	-80	-467	71	104	68	20.11	20.11		1 41
2	-558	-1170	7	15	-151	53	20.11	20.11		2 35
3	-611	-1210	13	-31	-370	33	20.11	20.11		2 18
4	-774	-1208	-15	-77	-636	16	20.11	20.11		2 11
5	-512	6	-403	50	97	62	20.11	20.11		1 45
6	-503	-1148	21	0	-161	47	20.11	20.11		2 35
7	-563	-1182	17	-41	-378	27	20.11	20.11		2 18
8	-698	-1186	-6	-80	-638	12	20.11	20.11		2 11
9	-435	-539	-117	-29	-148	12	20.11	20.11		6 44
10	-437	-1125	35	-10	-171	42	20.11	20.11		2 34
11	-489	-1159	23	-46	-385	23	20.11	20.11		2 18
12	-628	-1161	-10	-81	-637	11	20.11	20.11		2 11
13	-377	-652	-113	-22	-148	14	20.11	20.11		6 44
14	-369	-1097	49	-16	-180	40	20.11	20.11		2 33
15	-407	-1134	32	-46	-392	20	20.11	20.11		2 17
16	-552	-1143	-14	-79	-636	9	20.11	20.11		2 11
Massimi/minimi										
1							20.11			
1								20.11		
4										11

Muro : 196 - Nodi: [358-558-559-359], Pann.X=4, Pann.Y=4Spess.=25 cm, Terreno=--,Criterio=CLS_Muri_ND,
Materiale=C35/45, $\zeta_e=47.174$ [(9+10)-X-2] : **Verificato**

Armatura a maglia doppia

Pannello	Nx	Ny	Nxy	Mx	My	Mxy	Ax	Ay	C	Cs
	kg	kg	kg	kg*m	kg*m	kg*m	cmq	cmq		
1	-481	2423	-1697	-142	-806	-80	20.11	20.11	6	7.7
2	-484	2258	-1816	-94	-500	-20	20.11	20.11	6	13
3	-508	-755	-649	21	210	-31	20.11	20.11	1	30
4	-368	674	-813	17	217	-46	20.11	20.11	(9+10)-I-4	27
5	-371	2487	-1677	-145	-848	-77	20.11	20.11	6	7.4
6	-373	2434	-1736	-100	-527	-21	20.11	20.11	6	13
7	-512	-799	-591	25	224	-31	20.11	20.11	1	28
8	-284	426	-703	19	232	-48	20.11	20.11	(9+10)-V-4	25
9	-257	2653	-1632	-150	-892	-75	20.11	20.11	6	7.1
10	-269	2571	-1673	-103	-552	-21	20.11	20.11	6	12
11	-502	-879	-544	27	237	-30	20.11	20.11	1	27
12	-234	386	-649	21	246	-46	20.11	20.11	(9+10)-V-4	24
13	-154	2849	-1566	-154	-933	-74	20.11	20.11	6	6.8
14	-184	2736	-1582	-104	-576	-21	20.11	20.11	6	11
15	-494	-984	-514	29	250	-29	20.11	20.11	1	26
16	-252	349	-593	23	261	-44	20.11	20.11	(9+10)-V-4	23
Massimi/minimi										
1							20.11			
1								20.11		
13										6.8

Muro : 197 - Nodi: [359-559-560-360], Pann.X=4, Pann.Y=4Spess.=25 cm, Terreno=--,Criterio=CLS_Muri_ND,
Materiale=C35/45, $\zeta_e=115.097$ [(9+10)-VII-2] : **Verificato**

Armatura a maglia doppia

Pannello	Nx	Ny	Nxy	Mx	My	Mxy	Ax	Ay	C	Cs
	kg	kg	kg	kg*m	kg*m	kg*m	cmq	cmq		
1	-666	1736	-197	-41	-172	-2	20.11	20.11	6	40
2	-1190	1758	-155	-32	-73	-39	20.11	20.11	6	62
3	-564	-1334	-15	4	44	5	20.11	20.11	1	>100
4	-1077	1531	-279	10	80	-36	20.11	20.11	6	59
5	-676	1828	-161	-46	-180	-1	20.11	20.11	6	38
6	-1074	1751	-135	-34	-75	-35	20.11	20.11	6	63
7	-447	-1358	12	6	45	5	20.11	20.11	1	>100
8	-959	1496	-245	10	81	-34	20.11	20.11	6	60
9	-629	1877	-135	-50	-186	-1	20.11	20.11	6	37
10	-984	1735	-105	-36	-77	-32	20.11	20.11	6	63
11	-377	-1380	30	7	46	4	20.11	20.11	1	>100
12	-873	1464	-207	10	81	-32	20.11	20.11	6	62
13	-578	1901	-101	-52	-192	-2	20.11	20.11	6	36
14	-901	1700	-65	-37	-80	-28	20.11	20.11	6	64
15	-315	-1398	45	8	47	3	20.11	20.11	1	>100
16	-795	1436	-171	10	81	-29	20.11	20.11	6	63
Massimi/minimi										
1							20.11			
1								20.11		
13										36

Muro : 198 - Nodi: [362-562-563-363], Pann.X=4, Pann.Y=4Spess.=25 cm, Terreno=--,Criterio=CLS_Muri_ND,
Materiale=C35/45, $\zeta_e=190.393$ [(9+10)-VIII-2] : **Verificato**

Armatura a maglia doppia

Pannello	Nx	Ny	Nxy	Mx	My	Mxy	Ax	Ay	C	Cs
	kg	kg	kg	kg*m	kg*m	kg*m	cmq	cmq		
1	-527	314	-818	-48	-124	-41	20.11	20.11	5	43

**POTENZIAMENTO DELL'IMPIANTO DI DEPURAZIONE E
DEL RECAPITO FINALE DI SQUINZANO (LE)
PROGETTO DEFINITIVO
Tabulati di calcolo strutturale-Filtrazione**

R.37.9

Maggio 2021

Pagina 249 di
364

Pannello	Nx	Ny	Nxy	Mx	My	Mxy	Ax	Ay	C	Cs
2	-853	-159	-242	-2	-93	-18	20.11	20.11		64
3	-403	-150	-624	-1	86	-44	20.11	20.11		54
4	-640	-379	-442	18	138	-36	20.11	20.11		41
5	-411	250	-785	-43	-126	-39	20.11	20.11		43
6	-795	-132	-221	7	-83	-17	20.11	20.11		71
7	-428	-200	-565	-3	85	-41	20.11	20.11		56
8	-645	-457	-376	17	146	-33	20.11	20.11		40
9	-378	209	-740	-39	-127	-36	20.11	20.11		43
10	-728	-109	-197	12	-73	-16	20.11	20.11		79
11	-407	-250	-501	-5	83	-39	20.11	20.11		58
12	-622	-510	-322	18	154	-31	20.11	20.11		39
13	-363	185	-686	-36	-129	-33	20.11	20.11		44
14	-653	-88	-174	15	-64	-15	20.11	20.11		90
15	-372	-296	-436	-5	81	-36	20.11	20.11		61
16	-582	-548	-272	18	161	-28	20.11	20.11		38
Massimi/minimi										
1							20.11			
1								20.11		
16										38

Muro : 199 - Nodi: [360-560-563-363], Pann.X=4, Pann.Y=4Spess.=25 cm, Terreno=--,Criterio=CLS_Muri_ND,
Materiale=C35/45,ζ_e=90.366 [(9+10)-II-4] : **Verificato**

Armatura a maglia doppia

Pannello	Nx kg	Ny kg	Nxy kg	Mx kg*m	My kg*m	Mxy kg*m	Ax cmq	Ay cmq	C	Cs
1	-798	-154	-42	46	282	-7	20.11	20.11	6	25
2	-644	-149	-127	32	124	12	20.11	20.11	6	52
3	-813	-368	74	-15	-57	-4	20.11	20.11	1	>100
4	-486	-464	291	-3	-155	2	20.11	20.11	5	45
5	-669	-185	-45	51	297	-6	20.11	20.11	6	23
6	-550	-179	-124	36	131	11	20.11	20.11	6	50
7	-777	-309	81	-14	-56	-3	20.11	20.11	1	>100
8	-477	-430	280	-4	-163	2	20.11	20.11	5	43
9	-548	-222	-53	55	311	-4	20.11	20.11	6	23
10	-475	-207	-123	38	136	11	20.11	20.11	6	48
11	-711	-256	82	-13	-54	-2	20.11	20.11	1	>100
12	-438	-397	260	-5	-169	1	20.11	20.11	5	42
13	-433	-262	-66	58	325	-2	20.11	20.11	6	22
14	-407	-235	-125	40	141	10	20.11	20.11	6	47
15	-640	-208	78	-13	-52	-1	20.11	20.11	1	>100
16	-391	-373	237	-6	-173	1	20.11	20.11	5	41
Massimi/minimi										
1							20.11			
1								20.11		
13										22

Muro : 200 - Nodi: [359-559-562-362], Pann.X=4, Pann.Y=4Spess.=25 cm, Terreno=--,Criterio=CLS_Muri_ND,
Materiale=C35/45,ζ_e=91.532 [(9+10)-II-4] : **Verificato**

Armatura a maglia doppia

Pannello	Nx kg	Ny kg	Nxy kg	Mx kg*m	My kg*m	Mxy kg*m	Ax cmq	Ay cmq	C	Cs
1	-200	2088	-1818	53	153	59	20.11	20.11	6	32
2	-508	-113	-1	20	82	-0	20.11	20.11	1	86
3	-650	960	-1592	-7	-90	8	20.11	20.11	6	71
4	-1044	576	-1385	-37	-233	38	20.11	20.11	6	26
5	47	2103	-1697	49	159	53	20.11	20.11	6	32
6	-507	-92	10	19	82	-1	20.11	20.11	1	86
7	-744	1001	-1439	-7	-93	7	20.11	20.11	6	70
8	-1149	508	-1238	-34	-233	35	20.11	20.11	6	26
9	117	2153	-1556	49	165	47	20.11	20.11	6	32
10	-473	-77	22	18	81	-1	20.11	20.11	1	86
11	-738	1009	-1250	-5	-94	6	20.11	20.11	6	70
12	-1154	486	-1103	-31	-232	32	20.11	20.11	6	27

**POTENZIAMENTO DELL'IMPIANTO DI DEPURAZIONE E
DEL RECAPITO FINALE DI SQUINZANO (LE)
PROGETTO DEFINITIVO
Tabulati di calcolo strutturale-Filtrazione**

R.37.9

Maggio 2021

Pagina 250 di
364

Pannello	Nx	Ny	Nxy	Mx	My	Mxy	Ax	Ay	C	Cs
13	128	2216	-1394	52	171	41	20.11	20.11	6	32
14	-437	-60	28	15	80	-2	20.11	20.11	1	87
15	-706	1006	-1051	-3	-96	5	20.11	20.11	6	69
16	-1091	470	-963	-30	-232	29	20.11	20.11	6	27
Massimi/minimi										
1							20.11			
1								20.11		
4										26

Muro : 201 - Nodi: [354-554-558-358], Pann.X=4, Pann.Y=4Spess.=25 cm, Terreno=--,Criterio=CLS_Muri_ND,
Materiale=C35/45,ζ=41.110 [(9+10)-II-4] : **Verificato**

Armatura a maglia doppia

Pannello	Nx	Ny	Nxy	Mx	My	Mxy	Ax	Ay	C	Cs
	kg	kg	kg	kg*m	kg*m	kg*m	cmq	cmq		
1	-1227	3624	-983	54	419	309	20.11	20.11	6	9.3
2	-1076	3325	-1207	-21	-132	342	20.11	20.11	6	14
3	-1018	3045	-1374	-93	-702	301	20.11	20.11	6	6.8
4	-1293	2859	-1662	-173	-1289	203	20.11	20.11	6	4.6
5	-904	3778	-960	61	460	302	20.11	20.11	6	8.8
6	-929	3536	-1125	-20	-130	333	20.11	20.11	6	15
7	-1009	3244	-1310	-98	-735	294	20.11	20.11	6	6.6
8	-1259	2936	-1531	-180	-1363	198	20.11	20.11	6	4.4
9	-769	4034	-896	69	499	297	20.11	20.11	6	8.4
10	-797	3756	-1025	-18	-128	329	20.11	20.11	6	15
11	-886	3427	-1199	-100	-767	291	20.11	20.11	6	6.4
12	-1121	3090	-1433	-186	-1434	195	20.11	20.11	6	4.2
13	-684	4329	-805	76	537	293	20.11	20.11	6	8.0
14	-676	3992	-910	-14	-125	325	20.11	20.11	6	15
15	-753	3630	-1076	-99	-797	289	20.11	20.11	6	6.2
16	-925	3263	-1330	-190	-1505	193	20.11	20.11	6	4.0
Massimi/minimi										
1							20.11			
1								20.11		
16										4.0

Muro : 202 - Nodi: [331-431-432-332], Pann.X=4, Pann.Y=4Spess.=25 cm, Terreno=--,Criterio=CLS_Muri_ND,
Materiale=C35/45,ζ=60.055 [(9+10)-V-1] : **Verificato**

Armatura a maglia doppia

Pannello	Nx	Ny	Nxy	Mx	My	Mxy	Ax	Ay	C	Cs
	kg	kg	kg	kg*m	kg*m	kg*m	cmq	cmq		
1	-647	-104	85	13	95	-32	20.11	20.11	(9+10)-V-2	56
2	-721	-63	-44	22	161	-28	20.11	20.11	(9+10)-V-4	37
3	-768	-33	-134	30	234	-15	20.11	20.11	(9+10)-V-4	28
4	-810	-21	-223	40	312	1	20.11	20.11	(9+10)-V-4	23
5	-610	-94	76	13	95	-31	20.11	20.11	(9+10)-V-2	56
6	-670	-56	-49	22	163	-27	20.11	20.11	(9+10)-V-4	37
7	-693	-27	-134	30	237	-14	20.11	20.11	(9+10)-V-4	28
8	-689	-19	-218	40	318	1	20.11	20.11	(9+10)-V-4	22
9	-567	-83	67	13	97	-30	20.11	20.11	(9+10)-V-2	56
10	-624	-48	-53	22	165	-26	20.11	20.11	(9+10)-V-4	37
11	-650	-22	-137	31	240	-13	20.11	20.11	(9+10)-V-4	28
12	-646	-20	-215	41	323	2	20.11	20.11	(9+10)-V-4	22
13	-530	-71	59	13	98	-30	20.11	20.11	(9+10)-V-2	56
14	-589	-41	-58	22	167	-26	20.11	20.11	(9+10)-V-4	37
15	-623	-18	-138	31	243	-12	20.11	20.11	(9+10)-V-4	28
16	-630	-21	-211	41	327	2	20.11	20.11	(9+10)-V-4	22
Massimi/minimi										
1							20.11			
1								20.11		
16										22

**POTENZIAMENTO DELL'IMPIANTO DI DEPURAZIONE E
DEL RECAPITO FINALE DI SQUINZANO (LE)
PROGETTO DEFINITIVO
Tabulati di calcolo strutturale-Filtrazione**

R.37.9

Maggio 2021

Pagina 251 di
364

Muro : 203 - Nodi: [309-409-410-310], Pann.X=4, Pann.Y=4Spess.=25 cm, Terreno=--,Criterio=CLS_Muri_ND,
Materiale=C35/45, $\zeta_e=135.736$ [(9+10)-V-3] : **Verificato**

Armatura a maglia doppia

Pannello	Nx	Ny	Nxy	Mx	My	Mxy	Ax	Ay	C	Cs
	kg	kg	kg	kg*m	kg*m	kg*m	cmq	cmq		
1	-767	-613	-127	-41	-284	38	20.11	20.11		22
2	-748	-612	-151	-29	-178	65	20.11	20.11		29
3	-693	-645	-179	-24	-84	71	20.11	20.11		46
4	-431	-267	181	9	-92	-12	20.11	20.11	(9+10)-V-2	68
5	-672	-555	-119	-39	-275	38	20.11	20.11		23
6	-680	-579	-152	-31	-175	66	20.11	20.11		30
7	-661	-612	-172	-26	-85	71	20.11	20.11		46
8	-412	-252	166	7	-92	-11	20.11	20.11	(9+10)-V-2	69
9	-616	-509	-112	-38	-267	38	20.11	20.11		23
10	-634	-542	-145	-31	-172	65	20.11	20.11		30
11	-621	-579	-163	-28	-86	71	20.11	20.11		46
12	-396	-239	152	5	-93	-9	20.11	20.11	(9+10)-V-2	69
13	-569	-467	-107	-37	-258	38	20.11	20.11		24
14	-591	-506	-136	-31	-169	65	20.11	20.11		31
15	-582	-547	-154	-29	-86	70	20.11	20.11		46
16	-382	-226	138	3	-93	-8	20.11	20.11	(9+10)-V-2	70
Massimi/minimi										
1							20.11			
1								20.11		
1										22

Muro : 204 - Nodi: [311-411-412-312], Pann.X=4, Pann.Y=4Spess.=25 cm, Terreno=--,Criterio=CLS_Muri_ND,
Materiale=C35/45, $\zeta_e=73.276$ [(9+10)-XI-4] : **Verificato**

Armatura a maglia doppia

Pannello	Nx	Ny	Nxy	Mx	My	Mxy	Ax	Ay	C	Cs
	kg	kg	kg	kg*m	kg*m	kg*m	cmq	cmq		
1	-350	-325	611	-11	83	-64	20.11	20.11		48
2	-632	-800	-235	-19	-25	-74	20.11	20.11		72
3	-654	-788	-218	-26	-146	-59	20.11	20.11		35
4	-644	-780	-190	-44	-293	-1	20.11	20.11		24
5	-322	-260	591	-15	78	-64	20.11	20.11		50
6	-521	-676	33	-19	-9	-82	20.11	20.11		71
7	-644	-793	-221	-28	-139	-60	20.11	20.11		36
8	-647	-780	-198	-41	-278	-3	20.11	20.11		25
9	-313	-196	573	-19	74	-64	20.11	20.11		51
10	-504	-655	27	-21	-10	-82	20.11	20.11		70
11	-623	-796	-223	-28	-134	-61	20.11	20.11		37
12	-637	-785	-206	-39	-262	-4	20.11	20.11		27
13	-297	-132	555	-21	70	-64	20.11	20.11		53
14	-483	-634	23	-22	-11	-81	20.11	20.11		69
15	-596	-800	-224	-28	-128	-62	20.11	20.11		38
16	-612	-794	-212	-37	-246	-4	20.11	20.11		29
Massimi/minimi										
1							20.11			
1								20.11		
4										24

Muro : 205 - Nodi: [330-430-431-331], Pann.X=4, Pann.Y=4Spess.=25 cm, Terreno=--,Criterio=CLS_Muri_ND,
Materiale=C35/45, $\zeta_e=103.843$ [(9+10)-VIII-2] : **Verificato**

Armatura a maglia doppia

Pannello	Nx	Ny	Nxy	Mx	My	Mxy	Ax	Ay	C	Cs
	kg	kg	kg	kg*m	kg*m	kg*m	cmq	cmq		
1	-516	-416	202	-17	-117	-33	20.11	20.11	(9+10)-V-4	47
2	-539	-317	186	-10	-68	-38	20.11	20.11	(9+10)-V-4	68
3	-564	-247	154	-3	-18	-40	20.11	20.11	(9+10)-V-4	>100
4	-614	-174	106	3	34	-40	20.11	20.11	(9+10)-V-4	96

**POTENZIAMENTO DELL'IMPIANTO DI DEPURAZIONE E
DEL RECAPITO FINALE DI SQUINZANO (LE)
PROGETTO DEFINITIVO
Tabulati di calcolo strutturale-Filtrazione**

R.37.9

Maggio 2021

Pagina 252 di
364

Pannello	Nx	Ny	Nxy	Mx	My	Mxy	Ax	Ay	C	Cs
5	-484	-391	187	-17	-118	-32	20.11	20.11	(9+10)-V-4	47
6	-499	-298	171	-10	-68	-37	20.11	20.11	(9+10)-V-4	68
7	-545	-231	140	-3	-18	-39	20.11	20.11	(9+10)-V-4	>100
8	-583	-163	95	3	34	-39	20.11	20.11	(9+10)-V-4	97
9	-457	-367	172	-17	-120	-32	20.11	20.11	(9+10)-V-4	47
10	-467	-277	156	-10	-69	-36	20.11	20.11	(9+10)-V-4	68
11	-509	-215	128	-3	-18	-38	20.11	20.11	(9+10)-V-4	>100
12	-543	-150	86	3	35	-38	20.11	20.11	(9+10)-V-4	98
13	-422	-341	157	-17	-121	-31	20.11	20.11	(9+10)-V-4	47
14	-433	-255	142	-10	-70	-36	20.11	20.11	(9+10)-V-4	67
15	-474	-197	116	-3	-19	-38	20.11	20.11	(9+10)-V-4	>100
16	-507	-136	77	3	35	-37	20.11	20.11	(9+10)-V-4	98
Massimi/minimi										
1							20.11			
1								20.11		
13										47

Muro : 206 - Nodi: [322-422-432-332], Pann.X=4, Pann.Y=4Spess.=25 cm, Terreno=--,Criterio=CLS_Muri_ND,
Materiale=C35/45,ζ_e=112.309 [(9+10)-VIII-4] : **Verificato**

Armatura a maglia doppia

Pannello	Nx	Ny	Nxy	Mx	My	Mxy	Ax	Ay	C	Cs
	kg	kg	kg	kg*m	kg*m	kg*m	cmq	cmq		
1	-609	-427	374	13	89	24	20.11	20.11	(9+10)-V-4	63
2	-673	-239	324	5	33	29	20.11	20.11	(9+10)-XI-4	>100
3	-640	-1755	-350	-15	-81	16	20.11	20.11		2 75
4	-648	-1779	-273	-27	-166	19	20.11	20.11		2 39
5	-525	-399	358	13	90	23	20.11	20.11	(9+10)-V-4	63
6	-528	-209	309	5	33	28	20.11	20.11	(9+10)-XI-4	>100
7	-527	-1676	-342	-15	-81	14	20.11	20.11		2 76
8	-510	-1701	-270	-27	-166	18	20.11	20.11		2 39
9	-484	-373	337	13	91	22	20.11	20.11	(9+10)-V-4	63
10	-477	-184	291	5	33	27	20.11	20.11	(9+10)-XI-4	>100
11	-809	2036	990	14	83	8	20.11	20.11		7 76
12	-474	-1632	-267	-26	-166	17	20.11	20.11		2 39
13	-442	-345	316	13	92	22	20.11	20.11	(9+10)-V-4	63
14	-450	-157	274	5	34	26	20.11	20.11	(9+10)-XI-4	>100
15	-791	2046	963	14	84	8	20.11	20.11		7 75
16	-445	-1563	-264	-26	-166	16	20.11	20.11		2 40
Massimi/minimi										
1							20.11			
1								20.11		
4										39

Muro : 207 - Nodi: [313-413-514-314], Pann.X=4, Pann.Y=4Spess.=25 cm, Terreno=--,Criterio=CLS_Muri_ND,
Materiale=C35/45,ζ_e=58.047 [(9+10)-I-4] : **Verificato**

Armatura a maglia doppia

Pannello	Nx	Ny	Nxy	Mx	My	Mxy	Ax	Ay	C	Cs
	kg	kg	kg	kg*m	kg*m	kg*m	cmq	cmq		
1	-790	-1150	-210	-19	-62	73	20.11	20.11		1 53
2	25	762	1448	8	193	34	20.11	20.11		5 31
3	-563	-554	335	12	282	-44	20.11	20.11		2 22
4	-597	-351	362	8	208	-104	20.11	20.11		2 23
5	-659	-1157	-196	-23	-64	79	20.11	20.11		1 50
6	-426	961	1360	-3	184	36	20.11	20.11		5 32
7	-555	-504	308	-2	270	-44	20.11	20.11		2 23
8	-571	-275	320	-4	197	-104	20.11	20.11		2 24
9	-614	-1180	-187	-26	-66	83	20.11	20.11		1 48
10	-465	1203	1281	-11	175	37	20.11	20.11		5 33
11	-506	-452	280	-12	257	-44	20.11	20.11		2 24
12	-509	-204	275	-11	187	-102	20.11	20.11		2 25
13	-577	-1204	-179	-28	-69	85	20.11	20.11		1 47
14	-478	1441	1206	-17	165	36	20.11	20.11		5 34
15	-456	-400	251	-18	245	-44	20.11	20.11		2 25

**POTENZIAMENTO DELL'IMPIANTO DI DEPURAZIONE E
DEL RECAPITO FINALE DI SQUINZANO (LE)
PROGETTO DEFINITIVO
Tabulati di calcolo strutturale-Filtrazione**

R.37.9

Maggio 2021

Pagina 253 di
364

Pannello	Nx	Ny	Nxy	Mx	My	Mxy	Ax	Ay	C	Cs
16	-450	-141	230	-16	178	-99	20.11	20.11	2	26
Massimi/minimi										
1							20.11			
1								20.11		
3										22

Muro : 208 - Nodi: [329-429-430-330], Pann.X=4, Pann.Y=4Spess.=25 cm, Terreno=--,Criterio=CLS_Muri_ND,
Materiale=C35/45,ζ=75.851 [(9+10)-V-2] : **Verificato**

Armatura a maglia doppia

Pannello	Nx	Ny	Nxy	Mx	My	Mxy	Ax	Ay	C	Cs
	kg	kg	kg	kg*m	kg*m	kg*m	cmq	cmq		
1	-753	-715	327	-34	-288	2	20.11	20.11	(9+10)-V-2	25
2	-577	-686	250	-29	-246	-7	20.11	20.11	(9+10)-V-2	28
3	-522	-587	211	-28	-204	-18	20.11	20.11	(9+10)-V-4	32
4	-503	-503	209	-23	-162	-26	20.11	20.11	(9+10)-V-4	38
5	-728	-699	296	-34	-293	2	20.11	20.11	(9+10)-V-2	24
6	-610	-642	243	-29	-249	-7	20.11	20.11	(9+10)-V-2	28
7	-535	-554	197	-28	-206	-18	20.11	20.11	(9+10)-V-4	32
8	-491	-477	195	-23	-164	-26	20.11	20.11	(9+10)-V-4	37
9	-702	-664	275	-34	-297	2	20.11	20.11	(9+10)-V-2	24
10	-598	-604	233	-29	-252	-7	20.11	20.11	(9+10)-V-2	28
11	-518	-520	183	-28	-209	-18	20.11	20.11	(9+10)-V-4	32
12	-471	-450	179	-23	-166	-25	20.11	20.11	(9+10)-V-4	37
13	-685	-620	256	-34	-301	2	20.11	20.11	(9+10)-V-2	24
14	-571	-566	221	-29	-255	-6	20.11	20.11	(9+10)-V-2	27
15	-485	-486	169	-28	-211	-17	20.11	20.11	(9+10)-V-4	31
16	-436	-421	164	-23	-168	-25	20.11	20.11	(9+10)-V-4	37
Massimi/minimi										
1							20.11			
1								20.11		
13										24

Muro : 209 - Nodi: [312-412-413-313], Pann.X=4, Pann.Y=4Spess.=25 cm, Terreno=--,Criterio=CLS_Muri_ND,
Materiale=C35/45,ζ=88.237 [(9+10)-V-4] : **Verificato**

Armatura a maglia doppia

Pannello	Nx	Ny	Nxy	Mx	My	Mxy	Ax	Ay	C	Cs
	kg	kg	kg	kg*m	kg*m	kg*m	cmq	cmq		
1	-788	-1009	-135	-59	-417	45	20.11	20.11	1	16
2	-706	-1107	-162	-49	-365	61	20.11	20.11	1	17
3	-661	-1137	-162	-43	-315	70	20.11	20.11	1	19
4	-499	-1139	-169	-42	-268	75	20.11	20.11	1	21
5	-720	-1089	-133	-56	-407	47	20.11	20.11	1	16
6	-688	-1094	-149	-49	-358	61	20.11	20.11	1	17
7	-669	-1093	-169	-43	-312	71	20.11	20.11	1	19
8	-657	-1110	-142	-40	-269	78	20.11	20.11	1	21
9	-683	-1110	-138	-54	-397	47	20.11	20.11	1	16
10	-664	-1110	-148	-48	-350	61	20.11	20.11	1	17
11	-647	-1119	-152	-43	-306	73	20.11	20.11	1	19
12	-645	-1125	-142	-40	-265	80	20.11	20.11	1	21
13	-654	-1122	-137	-53	-386	46	20.11	20.11	1	17
14	-631	-1136	-141	-47	-342	62	20.11	20.11	1	18
15	-624	-1136	-146	-43	-299	73	20.11	20.11	1	19
16	-641	-1123	-140	-39	-257	82	20.11	20.11	1	21
Massimi/minimi										
1							20.11			
1								20.11		
1										16

**POTENZIAMENTO DELL'IMPIANTO DI DEPURAZIONE E
DEL RECAPITO FINALE DI SQUINZANO (LE)
PROGETTO DEFINITIVO
Tabulati di calcolo strutturale-Filtrazione**

R.37.9

Maggio 2021

Pagina 254 di
364

Muro : 210 - Nodi: [312-412-422-322], Pann.X=4, Pann.Y=4Spess.=25 cm, Terreno=--,Criterio=CLS_Muri_ND,
Materiale=C35/45, $\zeta_e=65.267$ [(9+10)-V-2] : **Verificato**

Armatura a maglia doppia

Pannello	Nx	Ny	Nxy	Mx	My	Mxy	Ax	Ay	C	Cs
	kg	kg	kg	kg*m	kg*m	kg*m	cmq	cmq		
1	-1117	-1664	-104	37	324	22	20.11	20.11	2	21
2	-843	-1621	-204	30	266	28	20.11	20.11	2	25
3	-655	-1649	-315	23	210	23	20.11	20.11	2	31
4	-589	-1679	-375	16	156	20	20.11	20.11	2	41
5	-927	-1534	-111	35	323	22	20.11	20.11	2	21
6	-794	-1533	-224	30	265	27	20.11	20.11	2	25
7	-724	-1556	-310	22	209	22	20.11	20.11	2	31
8	-667	-1587	-365	15	155	19	20.11	20.11	2	41
9	-834	-1421	-118	35	320	22	20.11	20.11	2	21
10	-750	-1437	-223	30	263	26	20.11	20.11	2	25
11	-696	-1463	-302	22	208	21	20.11	20.11	2	31
12	-645	-1494	-358	15	155	18	20.11	20.11	2	42
13	-758	-1311	-123	34	318	21	20.11	20.11	2	21
14	-688	-1338	-216	29	261	25	20.11	20.11	2	25
15	-650	-1370	-293	21	207	20	20.11	20.11	2	32
16	-621	-1401	-350	14	154	17	20.11	20.11	2	42
Massimi/minimi										
1							20.11			
1								20.11		
1										21

Muro : 211 - Nodi: [310-410-411-311], Pann.X=4, Pann.Y=4Spess.=25 cm, Terreno=--,Criterio=CLS_Muri_ND,
Materiale=C35/45, $\zeta_e=113.260$ [(9+10)-V-4] : **Verificato**

Armatura a maglia doppia

Pannello	Nx	Ny	Nxy	Mx	My	Mxy	Ax	Ay	C	Cs
	kg	kg	kg	kg*m	kg*m	kg*m	cmq	cmq		
1	-652	-705	-297	-16	77	50	20.11	20.11	1	56
2	-455	-511	258	-13	126	20	20.11	20.11	5	49
3	-439	-469	359	-12	144	-10	20.11	20.11	5	46
4	-417	-414	477	-11	130	-39	20.11	20.11	5	42
5	-644	-678	-289	-20	71	50	20.11	20.11	1	59
6	-417	-461	253	-18	120	20	20.11	20.11	5	51
7	-379	-415	351	-17	137	-10	20.11	20.11	5	49
8	-353	-351	462	-16	124	-39	20.11	20.11	5	44
9	-613	-651	-280	-23	66	50	20.11	20.11	1	62
10	-401	-413	245	-22	113	20	20.11	20.11	5	53
11	-365	-362	340	-21	130	-10	20.11	20.11	5	51
12	-338	-292	447	-20	118	-39	20.11	20.11	5	45
13	-585	-624	-271	-26	60	50	20.11	20.11	1	65
14	-384	-366	236	-25	106	20	20.11	20.11	5	56
15	-346	-310	327	-24	123	-10	20.11	20.11	5	54
16	-317	-234	431	-23	112	-38	20.11	20.11	5	47
Massimi/minimi										
1							20.11			
1								20.11		
4										42

Muro : 212 - Nodi: [319-329-429-419], Pann.X=4, Pann.Y=4Spess.=25 cm, Terreno=--,Criterio=CLS_Muri_ND,
Materiale=C35/45, $\zeta_e=73.849$ [(9+10)-V-2] : **Verificato**

Armatura a maglia doppia

Pannello	Nx	Ny	Nxy	Mx	My	Mxy	Ax	Ay	C	Cs
	kg	kg	kg	kg*m	kg*m	kg*m	cmq	cmq		
1	228	-517	52	-46	8	-11	20.11	20.11	4	>100
2	201	-468	48	-44	9	-11	20.11	20.11	4	>100
3	173	-446	46	-42	10	-11	20.11	20.11	4	>100
4	145	-426	45	-40	10	-11	20.11	20.11	4	>100
5	-658	-508	22	46	-10	-36	20.11	20.11	2	87
6	-616	-534	18	43	-13	-35	20.11	20.11	2	92

**POTENZIAMENTO DELL'IMPIANTO DI DEPURAZIONE E
DEL RECAPITO FINALE DI SQUINZANO (LE)
PROGETTO DEFINITIVO
Tabulati di calcolo strutturale-Filtrazione**

R.37.9

Maggio 2021

Pagina 255 di
364

Pannello	Nx	Ny	Nxy	Mx	My	Mxy	Ax	Ay	C	Cs
7	-571	-520	13	39	-15	-35	20.11	20.11		97
8	-525	-496	9	36	-16	-34	20.11	20.11		>100
9	-616	-549	62	30	-5	-45	20.11	20.11		96
10	-575	-545	58	30	-8	-45	20.11	20.11		95
11	-532	-529	51	30	-9	-45	20.11	20.11		95
12	-489	-508	45	30	-10	-44	20.11	20.11		95
13	-42	-423	265	-50	8	-17	20.11	20.11	(9+10)-V-3	>100
14	-48	-412	257	-49	6	-17	20.11	20.11	(9+10)-V-3	>100
15	-54	-393	248	-48	4	-17	20.11	20.11	(9+10)-V-3	>100
16	-59	-381	241	-45	2	-17	20.11	20.11	(9+10)-V-3	>100
Massimi/minimi										
1							20.11			
1								20.11		
5										87

Muro : 213 - Nodi: [309-319-419-409], Pann.X=4, Pann.Y=4Spess.=25 cm, Terreno=--,Criterio=CLS_Muri_ND,
Materiale=C35/45, $\zeta_e=134.783$ [(9+10)-V-2] : **Verificato**

Armatura a maglia doppia

Pannello	Nx	Ny	Nxy	Mx	My	Mxy	Ax	Ay	C	Cs
	kg	kg	kg	kg*m	kg*m	kg*m	cmq	cmq		
1	-696	-947	60	-275	-44	-3	20.11	20.11		26
2	-635	-813	62	-268	-43	-2	20.11	20.11		26
3	-584	-755	60	-261	-43	-1	20.11	20.11		27
4	-536	-716	59	-253	-42	-1	20.11	20.11		28
5	-682	-818	33	-182	-32	13	20.11	20.11		37
6	-640	-737	24	-180	-34	14	20.11	20.11		37
7	-595	-694	25	-177	-34	14	20.11	20.11		37
8	-550	-654	28	-174	-34	14	20.11	20.11		38
9	-693	-696	-4	-101	-26	16	20.11	20.11		61
10	-648	-676	-4	-102	-28	17	20.11	20.11		60
11	-603	-640	-2	-103	-29	17	20.11	20.11		60
12	-559	-601	-1	-104	-30	17	20.11	20.11		59
13	212	-530	-16	-32	10	-18	20.11	20.11		>100
14	-140	-365	-37	-41	8	-11	20.11	20.11	(9+10)-V-4	>100
15	-144	-344	-39	-43	5	-11	20.11	20.11	(9+10)-V-4	>100
16	-148	-325	-41	-45	2	-10	20.11	20.11	(9+10)-V-4	>100
Massimi/minimi										
1							20.11			
1								20.11		
1										26

Muro : 214 - Nodi: [410-610-611-411], Pann.X=4, Pann.Y=4Spess.=25 cm, Terreno=--,Criterio=CLS_Muri_ND,
Materiale=C35/45, $\zeta_e=101.775$ [(9+10)-V-4] : **Verificato**

Armatura a maglia doppia

Pannello	Nx	Ny	Nxy	Mx	My	Mxy	Ax	Ay	C	Cs
	kg	kg	kg	kg*m	kg*m	kg*m	cmq	cmq		
1	-490	-552	-243	-29	48	46	20.11	20.11		76
2	-344	-243	209	-30	91	18	20.11	20.11		65
3	-322	-175	291	-29	107	-9	20.11	20.11		61
4	-305	-86	384	-28	97	-36	20.11	20.11		53
5	-311	275	181	9	-47	-34	20.11	20.11		87
6	-267	-62	156	-29	68	15	20.11	20.11		86
7	-255	20	221	-29	83	-9	20.11	20.11		77
8	-245	128	294	-26	75	-32	20.11	20.11		66
9	-141	-68	36	-2	-63	-12	20.11	20.11	(9+10)-V-2	95
10	-187	278	119	8	-44	-24	20.11	20.11		>100
11	-174	188	139	-19	64	-8	20.11	20.11		97
12	-169	315	185	-17	59	-27	20.11	20.11		82
13	-51	-56	9	-1	-65	-9	20.11	20.11	(9+10)-V-2	96
14	-75	184	40	2	-40	-16	20.11	20.11		>100
15	-57	295	47	-5	55	-6	20.11	20.11		>100
16	-60	428	70	-5	51	-16	20.11	20.11		>100
Massimi/minimi										

**POTENZIAMENTO DELL'IMPIANTO DI DEPURAZIONE E
DEL RECAPITO FINALE DI SQUINZANO (LE)
PROGETTO DEFINITIVO
Tabulati di calcolo strutturale-Filtrazione**

R.37.9

Maggio 2021

Pagina 256 di
364

Pannello	Nx	Ny	Nxy	Mx	My	Mxy	Ax	Ay	C	Cs
1							20.11			
1								20.11		
4										53

Muro : 215 - Nodi: [419-429-629-619], Pann.X=4, Pann.Y=4Spess.=25 cm, Terreno=--,Criterio=CLS_Muri_ND,
Materiale=C35/45,ζ=73.877 [(9+10)-V-2] : **Verificato**

Armatura a maglia doppia

Pannello	Nx	Ny	Nxy	Mx	My	Mxy	Ax	Ay	C	Cs
	kg	kg	kg	kg*m	kg*m	kg*m	cmq	cmq		
1	69	-375	41	-37	10	-11	20.11	20.11	4	>100
2	-67	-283	34	-31	8	-10	20.11	20.11	4	>100
3	-201	-141	-5	-28	-4	-20	20.11	20.11	(9+10)-V-4	>100
4	-263	-53	-1	-31	-1	-13	20.11	20.11	(9+10)-V-4	>100
5	-403	-428	-1	28	-18	-33	20.11	20.11	2	>100
6	-83	-193	128	21	-0	-29	20.11	20.11	(9+10)-IV-2	>100
7	-104	-125	84	17	-2	-28	20.11	20.11	(9+10)-IV-2	>100
8	-434	-82	30	-34	1	2	20.11	20.11	7	>100
9	-373	-438	31	31	-10	-42	20.11	20.11	2	97
10	-40	-217	125	35	4	-35	20.11	20.11	(9+10)-V-2	>100
11	-96	-141	86	36	2	-33	20.11	20.11	(9+10)-V-2	>100
12	-131	-42	32	36	-0	-23	20.11	20.11	(9+10)-V-2	>100
13	11	-319	176	33	10	-32	20.11	20.11	(9+10)-V-2	>100
14	24	-226	152	46	10	-30	20.11	20.11	(9+10)-V-2	93
15	29	-237	10	69	9	-17	20.11	20.11	2	82
16	150	-128	-19	82	9	-9	20.11	20.11	2	78
Massimi/minimi										
1							20.11			
1								20.11		
16										78

Muro : 216 - Nodi: [409-419-619-609], Pann.X=4, Pann.Y=4Spess.=25 cm, Terreno=--,Criterio=CLS_Muri_ND,
Materiale=C35/45,ζ=109.030 [(9+10)-V-2] : **Verificato**

Armatura a maglia doppia

Pannello	Nx	Ny	Nxy	Mx	My	Mxy	Ax	Ay	C	Cs
	kg	kg	kg	kg*m	kg*m	kg*m	cmq	cmq		
1	-427	-607	68	-233	-38	-2	20.11	20.11	2	30
2	-271	-458	71	-204	-30	-2	20.11	20.11	2	34
3	-223	-127	-62	-199	-16	4	20.11	20.11	(9+10)-V-2	35
4	-81	2	-78	-198	-6	5	20.11	20.11	(9+10)-V-2	35
5	-439	-556	34	-168	-33	12	20.11	20.11	2	40
6	-257	-383	30	-158	-26	9	20.11	20.11	2	42
7	-17	-211	-8	-152	-14	8	20.11	20.11	2	44
8	-153	-45	-55	-153	-3	-2	20.11	20.11	(9+10)-V-2	46
9	-437	-508	-2	-106	-30	15	20.11	20.11	2	59
10	-231	-348	-14	-109	-23	10	20.11	20.11	2	59
11	2	-196	-32	-112	-13	6	20.11	20.11	2	60
12	-203	-54	-29	-110	-2	-7	20.11	20.11	(9+10)-V-2	61
13	-157	-283	-46	-51	-4	-10	20.11	20.11	(9+10)-V-4	>100
14	-178	-211	-48	-60	-8	-10	20.11	20.11	(9+10)-V-4	>100
15	-204	-138	-41	-67	-6	-11	20.11	20.11	(9+10)-V-4	91
16	-257	-51	-18	-71	-1	-8	20.11	20.11	(9+10)-V-4	90
Massimi/minimi										
1							20.11			
1								20.11		
1										30

Muro : 217 - Nodi: [431-631-632-432], Pann.X=4, Pann.Y=4Spess.=25 cm, Terreno=--,Criterio=CLS_Muri_ND,
Materiale=C35/45,ζ=49.960 [(9+10)-V-1] : **Verificato**

Armatura a maglia doppia

Pannello	Nx kg	Ny kg	Nxy kg	Mx kg*m	My kg*m	Mxy kg*m	Ax cmq	Ay cmq	C	Cs
1	-433	-37	38	13	100	-30	20.11	20.11	(9+10)-V-2	54
2	-477	-18	-66	21	172	-26	20.11	20.11	(9+10)-V-4	36
3	-505	-3	-139	31	251	-13	20.11	20.11	(9+10)-V-4	27
4	-518	-11	-199	41	339	2	20.11	20.11	(9+10)-V-4	21
5	-295	34	14	10	105	-31	20.11	20.11	(9+10)-V-2	52
6	-326	32	-69	18	179	-27	20.11	20.11	(9+10)-V-4	34
7	-358	30	-135	27	263	-14	20.11	20.11	(9+10)-V-4	26
8	-392	17	-179	39	359	1	20.11	20.11	(9+10)-V-4	20
9	-166	127	3	6	108	-31	20.11	20.11	(9+10)-V-2	51
10	-185	102	-54	11	186	-28	20.11	20.11	(9+10)-V-4	33
11	-199	55	-120	18	275	-14	20.11	20.11	(9+10)-V-4	24
12	-297	57	-150	32	378	2	20.11	20.11	(9+10)-V-4	19
13	-53	242	-4	2	110	-21	20.11	20.11	(9+10)-V-2	54
14	-40	198	-24	3	190	-21	20.11	20.11	(9+10)-V-4	33
15	-52	126	-48	4	280	-12	20.11	20.11	(9+10)-V-4	24
16	-148	-49	-129	21	387	2	20.11	20.11	(9+10)-V-4	18
Massimi/minimi										
1							20.11			
1								20.11		
16										18

Muro : 218 - Nodi: [411-611-612-412], Pann.X=4, Pann.Y=4Spess.=25 cm, Terreno=--,Criterio=CLS_Muri_ND,
Materiale=C35/45,ζ=59.223 [(9+10)-XI-4] : **Verificato**

Armatura a maglia doppia

Pannello	Nx kg	Ny kg	Nxy kg	Mx kg*m	My kg*m	Mxy kg*m	Ax cmq	Ay cmq	C	Cs
1	-290	33	496	-24	59	-60	20.11	20.11	5	59
2	-421	-581	10	-22	-12	-77	20.11	20.11	2	72
3	-517	-809	-220	-24	-113	-60	20.11	20.11	1	41
4	-550	-821	-210	-29	-204	-5	20.11	20.11	1	34
5	-237	277	382	-22	44	-52	20.11	20.11	5	73
6	-346	-790	-193	-17	-29	-62	20.11	20.11	1	78
7	-383	-840	-201	-12	-90	-53	20.11	20.11	1	50
8	-439	-877	-183	-13	-138	-4	20.11	20.11	1	51
9	-162	478	244	-13	33	-44	20.11	20.11	5	92
10	-207	-790	-134	-8	-31	-52	20.11	20.11	1	87
11	-222	-905	-163	-1	-71	-45	20.11	20.11	1	62
12	215	649	308	-6	-92	-23	20.11	20.11	(9+10)-V-3	61
13	-70	642	91	-4	27	-25	20.11	20.11	5	>100
14	-49	-798	-49	-2	-31	-32	20.11	20.11	1	>100
15	-64	-937	-59	2	-61	-28	20.11	20.11	1	80
16	221	1341	309	-6	-92	-18	20.11	20.11	(9+10)-V-3	63
Massimi/minimi										
1							20.11			
1								20.11		
4										34

Muro : 219 - Nodi: [409-609-610-410], Pann.X=4, Pann.Y=4Spess.=25 cm, Terreno=--,Criterio=CLS_Muri_ND,
Materiale=C35/45,ζ=112.761 [(9+10)-V-3] : **Verificato**

Armatura a maglia doppia

Pannello	Nx kg	Ny kg	Nxy kg	Mx kg*m	My kg*m	Mxy kg*m	Ax cmq	Ay cmq	C	Cs
1	-464	-379	-83	-31	-235	37	20.11	20.11	2	26
2	-495	-425	-109	-29	-160	61	20.11	20.11	2	32
3	-492	-465	-131	-28	-88	65	20.11	20.11	2	46
4	-324	-291	105	-1	-94	-6	20.11	20.11	(9+10)-V-2	71
5	-319	-288	-52	-21	-202	32	20.11	20.11	2	30
6	-338	-319	-68	-19	-147	53	20.11	20.11	2	35
7	-338	-339	-100	-22	-90	56	20.11	20.11	2	49
8	-240	-253	56	-3	-96	-6	20.11	20.11	(9+10)-V-2	69
9	-187	-238	-21	-11	-170	29	20.11	20.11	2	36

**POTENZIAMENTO DELL'IMPIANTO DI DEPURAZIONE E
DEL RECAPITO FINALE DI SQUINZANO (LE)
PROGETTO DEFINITIVO
Tabulati di calcolo strutturale-Filtrazione**

R.37.9

Maggio 2021

Pagina 258 di
364

Pannello	Nx	Ny	Nxy	Mx	My	Mxy	Ax	Ay	C	Cs
10	-183	-183	-66	-8	-137	45	20.11	20.11	2	39
11	-191	-212	-75	-11	-92	46	20.11	20.11	2	51
12	-147	-91	18	-3	-99	-8	20.11	20.11	(9+10)-V-2	66
13	-90	-231	35	-3	-194	-0	20.11	20.11	(9+10)-V-2	37
14	-50	-182	2	-1	-166	-2	20.11	20.11	(9+10)-V-2	42
15	-52	-183	-0	-1	-134	-5	20.11	20.11	(9+10)-V-2	51
16	-51	-62	2	-1	-101	-6	20.11	20.11	(9+10)-V-2	66
Massimi/minimi										
1							20.11			
1								20.11		
1										26

Muro : 220 - Nodi: [413-613-614-514], Pann.X=4, Pann.Y=4Spess.=25 cm, Terreno=--,Criterio=CLS_Muri_ND,
Materiale=C35/45,ζ_e=64.537 [(9+10)-V-3] : **Verificato**

Armatura a maglia doppia

Pannello	Nx	Ny	Nxy	Mx	My	Mxy	Ax	Ay	C	Cs
	kg	kg	kg	kg*m	kg*m	kg*m	cmq	cmq		
1	-472	-1264	-159	-29	-74	80	20.11	20.11	1	47
2	-427	1876	1043	-23	149	35	20.11	20.11	5	38
3	-381	-328	207	-24	228	-42	20.11	20.11	2	26
4	-358	-74	173	-18	169	-94	20.11	20.11	2	27
5	-333	-1350	-127	-25	-80	70	20.11	20.11	1	48
6	-293	2495	791	-23	128	29	20.11	20.11	5	44
7	-272	-234	148	-23	208	-41	20.11	20.11	2	29
8	-258	-1	112	-16	158	-88	20.11	20.11	2	29
9	-194	-1426	-90	-15	-85	60	20.11	20.11	1	50
10	-175	3111	513	-15	112	23	20.11	20.11	5	50
11	-169	-142	90	-15	193	-38	20.11	20.11	2	31
12	-162	70	60	-10	150	-77	20.11	20.11	2	31
13	-70	-470	32	-6	-94	28	20.11	20.11	2	59
14	-117	3750	152	-3	105	14	20.11	20.11	5	57
15	-32	-48	29	-3	186	-25	20.11	20.11	2	34
16	-42	144	20	-3	146	-44	20.11	20.11	2	37
Massimi/minimi										
1							20.11			
1								20.11		
3										26

Muro : 221 - Nodi: [422-622-632-432], Pann.X=4, Pann.Y=4Spess.=25 cm, Terreno=--,Criterio=CLS_Muri_ND,
Materiale=C35/45,ζ_e=104.241 [(9+10)-VII-4] : **Verificato**

Armatura a maglia doppia

Pannello	Nx	Ny	Nxy	Mx	My	Mxy	Ax	Ay	C	Cs
	kg	kg	kg	kg*m	kg*m	kg*m	cmq	cmq		
1	-378	-228	259	12	94	22	20.11	20.11	(9+10)-V-4	61
2	-358	-76	228	5	35	26	20.11	20.11	(9+10)-XI-4	>100
3	-566	2094	879	13	85	8	20.11	20.11	7	74
4	-398	-1385	-251	-24	-165	16	20.11	20.11	2	40
5	-257	-59	166	10	98	23	20.11	20.11	(9+10)-V-4	59
6	-242	88	157	3	36	27	20.11	20.11	(9+10)-XI-4	>100
7	-345	2243	715	10	87	8	20.11	20.11	7	72
8	-309	-1117	-218	-21	-164	16	20.11	20.11	2	40
9	-145	143	86	6	101	23	20.11	20.11	(9+10)-V-4	57
10	-142	278	91	2	37	27	20.11	20.11	(9+10)-XI-4	>100
11	-187	2492	499	5	90	6	20.11	20.11	7	71
12	-207	-882	-165	-15	-164	14	20.11	20.11	2	40
13	-53	377	22	1	103	16	20.11	20.11	(9+10)-V-4	60
14	-64	500	24	0	38	20	20.11	20.11	(9+10)-XI-4	>100
15	-15	2764	169	1	92	3	20.11	20.11	7	72
16	-42	-686	-71	-9	-164	8	20.11	20.11	2	42
Massimi/minimi										
1							20.11			
1								20.11		
4										40

**POTENZIAMENTO DELL'IMPIANTO DI DEPURAZIONE E
DEL RECAPITO FINALE DI SQUINZANO (LE)
PROGETTO DEFINITIVO
Tabulati di calcolo strutturale-Filtrazione**

R.37.9

Maggio 2021

Pagina 259 di
364

Muro : 222 - Nodi: [430-630-631-431], Pann.X=4, Pann.Y=4Spess.=25 cm, Terreno=--,Criterio=CLS_Muri_ND,
Materiale=C35/45, $\zeta_e=100.875$ [(9+10)-II-4] : **Verificato**

Armatura a maglia doppia

Pannello	Nx	Ny	Nxy	Mx	My	Mxy	Ax	Ay	C	Cs
	kg	kg	kg	kg*m	kg*m	kg*m	cmq	cmq		
1	-367	-267	120	-15	-124	-32	20.11	20.11	(9+10)-V-4	46
2	-368	-192	108	-9	-71	-36	20.11	20.11	(9+10)-V-4	66
3	-383	-144	87	-2	-19	-38	20.11	20.11	(9+10)-V-4	>100
4	-418	-94	55	3	36	-37	20.11	20.11	(9+10)-V-4	96
5	-257	-134	68	-13	-129	-32	20.11	20.11	(9+10)-V-4	44
6	-257	-75	62	-7	-74	-37	20.11	20.11	(9+10)-V-4	64
7	-265	-22	49	-2	-20	-39	20.11	20.11	(9+10)-V-4	>100
8	-286	-10	27	3	38	-38	20.11	20.11	(9+10)-V-4	93
9	-150	16	30	-8	-134	-33	20.11	20.11	(9+10)-V-4	43
10	-157	59	29	-4	-77	-37	20.11	20.11	(9+10)-V-4	62
11	-153	98	22	-1	-20	-39	20.11	20.11	(9+10)-V-4	>100
12	-158	91	11	2	39	-39	20.11	20.11	(9+10)-V-4	90
13	-52	180	5	-2	-136	-22	20.11	20.11	(9+10)-V-4	45
14	-52	210	4	-1	-78	-27	20.11	20.11	(9+10)-V-4	67
15	-49	236	5	-0	-21	-28	20.11	20.11	(9+10)-V-4	>100
16	-51	258	8	1	44	-23	20.11	20.11	(9+10)-V-2	>100
Massimi/minimi										
1							20.11			
1								20.11		
9										43

Muro : 223 - Nodi: [412-612-622-422], Pann.X=4, Pann.Y=4Spess.=25 cm, Terreno=--,Criterio=CLS_Muri_ND,
Materiale=C35/45, $\zeta_e=48.644$ [(9+10)-V-2] : **Verificato**

Armatura a maglia doppia

Pannello	Nx	Ny	Nxy	Mx	My	Mxy	Ax	Ay	C	Cs
	kg	kg	kg	kg*m	kg*m	kg*m	cmq	cmq		
1	-629	-1054	-107	34	312	23	20.11	20.11	2	21
2	-581	-1088	-197	27	257	24	20.11	20.11	2	26
3	-536	-1113	-276	19	205	20	20.11	20.11	2	32
4	-498	-1144	-332	12	152	17	20.11	20.11	2	42
5	-818	-415	339	30	312	-14	20.11	20.11	(9+10)-V-2	22
6	-370	-665	-170	22	251	23	20.11	20.11	2	26
7	-344	-664	-255	14	201	19	20.11	20.11	2	32
8	-313	-229	192	15	154	17	20.11	20.11	(9+10)-V-4	41
9	-620	-187	289	27	328	-13	20.11	20.11	(9+10)-V-2	21
10	-338	-220	228	20	264	5	20.11	20.11	(9+10)-V-2	26
11	-232	-121	144	12	209	12	20.11	20.11	(9+10)-V-4	32
12	-169	20	95	10	159	18	20.11	20.11	(9+10)-V-4	40
13	-409	-246	286	18	338	-18	20.11	20.11	(9+10)-V-2	20
14	-58	37	94	6	268	4	20.11	20.11	(9+10)-V-2	26
15	-45	145	47	3	213	9	20.11	20.11	(9+10)-V-4	32
16	-51	282	29	2	162	12	20.11	20.11	(9+10)-V-4	41
Massimi/minimi										
1							20.11			
1								20.11		
13										20

Muro : 224 - Nodi: [429-629-630-430], Pann.X=4, Pann.Y=4Spess.=25 cm, Terreno=--,Criterio=CLS_Muri_ND,
Materiale=C35/45, $\zeta_e=62.187$ [(9+10)-V-2] : **Verificato**

Armatura a maglia doppia

Pannello	Nx	Ny	Nxy	Mx	My	Mxy	Ax	Ay	C	Cs
	kg	kg	kg	kg*m	kg*m	kg*m	cmq	cmq		
1	-584	-509	229	-34	-312	2	20.11	20.11	(9+10)-V-2	23

**POTENZIAMENTO DELL'IMPIANTO DI DEPURAZIONE E
DEL RECAPITO FINALE DI SQUINZANO (LE)
PROGETTO DEFINITIVO
Tabulati di calcolo strutturale-Filtrazione**

R.37.9

Maggio 2021

Pagina 260 di
364

Pannello	Nx	Ny	Nxy	Mx	My	Mxy	Ax	Ay	C	Cs
2	-504	-469	192	-29	-264	-7	20.11	20.11	(9+10)-V-2	26
3	-432	-394	138	-27	-217	-18	20.11	20.11	(9+10)-V-4	30
4	-387	-336	128	-21	-172	-25	20.11	20.11	(9+10)-V-4	36
5	-437	-344	198	-33	-331	1	20.11	20.11	(9+10)-V-2	21
6	-366	-314	155	-26	-277	-7	20.11	20.11	(9+10)-V-2	25
7	-300	-242	94	-23	-227	-18	20.11	20.11	(9+10)-V-4	29
8	-273	-191	76	-18	-180	-26	20.11	20.11	(9+10)-V-4	35
9	-311	-200	153	-27	-347	2	20.11	20.11	(9+10)-V-2	20
10	-214	-169	115	-18	-289	-7	20.11	20.11	(9+10)-V-2	24
11	-172	-73	48	-15	-236	-18	20.11	20.11	(9+10)-V-4	28
12	-157	-29	33	-11	-186	-26	20.11	20.11	(9+10)-V-4	33
13	-158	-82	102	-20	-354	5	20.11	20.11	(9+10)-V-2	20
14	-54	30	38	-4	-295	-6	20.11	20.11	(9+10)-V-2	24
15	-50	124	12	-4	-241	-14	20.11	20.11	(9+10)-V-4	28
16	-53	153	9	-3	-190	-18	20.11	20.11	(9+10)-V-4	34
Massimi/minimi										
1							20.11			
1								20.11		
13										20

Muro : 225 - Nodi: [412-612-613-413], Pann.X=4, Pann.Y=4Spess.=25 cm, Terreno=--,Criterio=CLS_Muri_ND,
Materiale=C35/45,ζ=75.415 [(9+10)-I-4] : **Verificato**

Armatura a maglia doppia

Pannello	Nx kg	Ny kg	Nxy kg	Mx kg*m	My kg*m	Mxy kg*m	Ax cmq	Ay cmq	C	Cs
1	-497	-833	191	-47	-362	38	20.11	20.11	2	18
2	-552	-1184	-124	-43	-317	60	20.11	20.11	1	19
3	-540	-1201	-126	-40	-278	72	20.11	20.11	1	21
4	-534	-1225	-129	-36	-239	79	20.11	20.11	1	23
5	-366	-761	154	-37	-319	35	20.11	20.11	2	20
6	-362	-731	159	-34	-289	49	20.11	20.11	2	21
7	-349	-716	155	-32	-258	58	20.11	20.11	2	23
8	-343	-682	153	-29	-226	64	20.11	20.11	2	25
9	-235	-745	148	-26	-283	38	20.11	20.11	2	22
10	-200	-708	116	-22	-264	48	20.11	20.11	2	23
11	-195	-661	102	-19	-242	53	20.11	20.11	2	24
12	-194	-630	97	-17	-215	57	20.11	20.11	2	26
13	-14	-661	47	-20	-277	37	20.11	20.11	2	23
14	-32	-611	13	-9	-260	35	20.11	20.11	2	24
15	-57	-586	24	-6	-238	33	20.11	20.11	2	26
16	-69	-583	33	-7	-214	31	20.11	20.11	2	29
Massimi/minimi										
1							20.11			
1								20.11		
1										18

Muro : 226 - Nodi: [514-614-615-515], Pann.X=4, Pann.Y=4Spess.=25 cm, Terreno=--,Criterio=CLS_Muri_ND,
Materiale=C35/45,ζ=31.294 [(9+10)-IV-3] : **Verificato**

Armatura a maglia doppia

Pannello	Nx kg	Ny kg	Nxy kg	Mx kg*m	My kg*m	Mxy kg*m	Ax cmq	Ay cmq	C	Cs
1	-329	129	156	-12	67	-115	20.11	20.11	2	39
2	-839	5256	-914	-16	-126	-117	20.11	20.11	5	27
3	141	5832	-1446	-25	-212	-105	20.11	20.11	5	21
4	2856	6539	-2605	15	-287	-131	20.11	20.11	5	15
5	117	-3671	663	12	160	-27	20.11	20.11	3	40
6	-459	4775	-1115	-12	-124	-108	20.11	20.11	5	29
7	206	4683	-1553	-8	-198	-103	20.11	20.11	5	22
8	1897	2634	-508	0	-280	-90	20.11	20.11	5	18
9	18	-3733	559	7	164	-25	20.11	20.11	3	39
10	-151	4109	-986	-4	-122	-94	20.11	20.11	5	31
11	-216	-1801	614	5	267	40	20.11	20.11	4	24
12	-280	-986	328	19	342	28	20.11	20.11	4	19

**POTENZIAMENTO DELL'IMPIANTO DI DEPURAZIONE E
DEL RECAPITO FINALE DI SQUINZANO (LE)
PROGETTO DEFINITIVO
Tabulati di calcolo strutturale-Filtrazione**

R.37.9

Maggio 2021

Pagina 261 di
364

Pannello	Nx	Ny	Nxy	Mx	My	Mxy	Ax	Ay	C	Cs
13	-51	-3938	264	2	166	-14	20.11	20.11	3	42
14	-96	-2437	194	2	191	15	20.11	20.11	4	36
15	-24	-1732	173	-1	269	19	20.11	20.11	4	25
16	-30	-1267	21	12	341	21	20.11	20.11	4	20
Massimi/minimi										
1							20.11			
1								20.11		
4										15

Muro : 227 - Nodi: [450-650-651-451], Pann.X=4, Pann.Y=4Spess.=25 cm, Terreno=--,Criterio=CLS_Muri_ND,
Materiale=C35/45,ζ=77.087 [(9+10)-V-4] : **Verificato**

Armatura a maglia doppia

Pannello	Nx	Ny	Nxy	Mx	My	Mxy	Ax	Ay	C	Cs
	kg	kg	kg	kg*m	kg*m	kg*m	cmq	cmq		
1	-364	1599	684	-13	52	-46	20.11	20.11	4	71
2	-424	-350	-12	31	99	51	20.11	20.11	1	48
3	-394	108	271	34	218	35	20.11	20.11	2	28
4	-427	191	299	41	337	-9	20.11	20.11	2	20
5	-268	1659	532	-10	46	-44	20.11	20.11	4	77
6	-308	-237	-20	24	103	42	20.11	20.11	1	49
7	-279	320	216	22	198	28	20.11	20.11	2	31
8	8	1174	483	22	281	-7	20.11	20.11	(9+10)-V-4	24
9	-175	1705	341	-6	42	-41	20.11	20.11	4	83
10	-189	-126	-16	12	106	32	20.11	20.11	1	51
11	-176	558	156	8	183	21	20.11	20.11	2	34
12	298	1426	371	22	279	-6	20.11	20.11	(9+10)-V-4	24
13	-70	1036	76	1	59	-16	20.11	20.11	3	93
14	-105	1275	96	2	119	-13	20.11	20.11	3	52
15	-71	1561	141	3	187	-8	20.11	20.11	3	35
16	336	2472	415	14	279	1	20.11	20.11	(9+10)-V-4	24
Massimi/minimi										
1							20.11			
1								20.11		
4										20

Muro : 228 - Nodi: [439-448-648-639], Pann.X=4, Pann.Y=4Spess.=25 cm, Terreno=--,Criterio=CLS_Muri_ND,
Materiale=C35/45,ζ=112.895 [(9+10)-V-1] : **Verificato**

Armatura a maglia doppia

Pannello	Nx	Ny	Nxy	Mx	My	Mxy	Ax	Ay	C	Cs
	kg	kg	kg	kg*m	kg*m	kg*m	cmq	cmq		
1	-405	-414	208	130	-20	-53	20.11	20.11	2	39
2	-199	-304	165	112	-20	-48	20.11	20.11	2	44
3	-4	-188	110	98	-13	-42	20.11	20.11	2	50
4	184	-71	41	92	-4	-25	20.11	20.11	2	60
5	-347	-438	229	88	-15	-72	20.11	20.11	2	44
6	-226	-188	151	112	10	-43	20.11	20.11	(9+10)-V-2	46
7	-174	-123	112	112	4	-41	20.11	20.11	(9+10)-V-2	47
8	-138	-67	44	112	1	-28	20.11	20.11	(9+10)-V-2	51
9	-286	-290	230	118	20	-43	20.11	20.11	(9+10)-V-4	44
10	-185	-207	208	124	15	-41	20.11	20.11	(9+10)-V-4	43
11	-68	-145	159	131	9	-39	20.11	20.11	(9+10)-V-4	42
12	-1	-41	59	134	2	-26	20.11	20.11	(9+10)-V-4	44
13	312	-143	392	243	46	-7	20.11	20.11	4	28
14	255	-37	342	234	38	-6	20.11	20.11	4	29
15	147	98	253	224	23	-3	20.11	20.11	4	31
16	101	43	178	216	6	-4	20.11	20.11	4	32
Massimi/minimi										
1							20.11			
1								20.11		
13										28

**POTENZIAMENTO DELL'IMPIANTO DI DEPURAZIONE E
DEL RECAPITO FINALE DI SQUINZANO (LE)
PROGETTO DEFINITIVO
Tabulati di calcolo strutturale-Filtrazione**

R.37.9

Maggio 2021

Pagina 262 di
364

Muro : 229 - Nodi: [429-439-639-629], Pann.X=4, Pann.Y=4Spess.=25 cm, Terreno=--,Criterio=CLS_Muri_ND,
Materiale=C35/45, $\zeta_e=113.382$ [(9+10)-X-1] : **Verificato**

Armatura a maglia doppia

Pannello	Nx	Ny	Nxy	Mx	My	Mxy	Ax	Ay	C	Cs
	kg	kg	kg	kg*m	kg*m	kg*m	cmq	cmq		
1	-310	-345	-91	-207	-20	-12	20.11	20.11	(9+10)-V-4	33
2	-349	-236	-76	-206	-21	-13	20.11	20.11	(9+10)-V-4	32
3	-372	-84	-70	-206	-18	-10	20.11	20.11	(9+10)-V-4	33
4	-295	49	-74	-207	-11	-4	20.11	20.11	(9+10)-V-4	34
5	6	-406	-13	-127	-2	-54	20.11	20.11	4	39
6	-118	-292	-33	-129	-3	-50	20.11	20.11	4	39
7	-240	-182	-40	-132	-3	-46	20.11	20.11	4	40
8	-390	-69	-11	-133	-0	-32	20.11	20.11	4	43
9	33	-405	-21	-108	7	-47	20.11	20.11	7	46
10	-119	-300	-30	-102	6	-45	20.11	20.11	7	48
11	-286	-194	-25	-98	4	-42	20.11	20.11	7	51
12	-479	-77	-12	-96	1	-29	20.11	20.11	7	57
13	-463	-393	159	136	-23	-19	20.11	20.11	2	46
14	-274	-292	125	114	-24	-20	20.11	20.11	2	53
15	-92	-188	82	98	-16	-19	20.11	20.11	2	61
16	58	-63	33	89	-4	-13	20.11	20.11	2	69
Massimi/minimi										
1							20.11			
1								20.11		
2										32

Muro : 230 - Nodi: [449-649-650-450], Pann.X=4, Pann.Y=4Spess.=25 cm, Terreno=--,Criterio=CLS_Muri_ND,
Materiale=C35/45, $\zeta_e=121.707$ [(9+10)-V-4] : **Verificato**

Armatura a maglia doppia

Pannello	Nx	Ny	Nxy	Mx	My	Mxy	Ax	Ay	C	Cs
	kg	kg	kg	kg*m	kg*m	kg*m	cmq	cmq		
1	-231	226	228	-32	-146	-39	20.11	20.11	(9+10)-V-4	38
2	-213	342	289	-33	-134	-39	20.11	20.11	(9+10)-V-4	41
3	-206	464	353	-31	-109	-37	20.11	20.11	(9+10)-V-4	48
4	-201	592	417	-27	-73	-34	20.11	20.11	(9+10)-V-4	66
5	-181	340	147	-16	-144	-40	20.11	20.11	(9+10)-V-4	38
6	-169	454	200	-16	-130	-40	20.11	20.11	(9+10)-V-4	41
7	-166	581	257	-14	-105	-38	20.11	20.11	(9+10)-V-4	49
8	-162	722	313	-11	-67	-35	20.11	20.11	(9+10)-V-4	69
9	-119	442	74	-6	-144	-40	20.11	20.11	(9+10)-V-4	38
10	-113	544	115	-6	-128	-39	20.11	20.11	(9+10)-V-4	42
11	-121	687	157	-4	-102	-38	20.11	20.11	(9+10)-V-4	50
12	-120	847	196	-2	-63	-36	20.11	20.11	(9+10)-V-4	71
13	-46	532	21	-1	-143	-25	20.11	20.11	(9+10)-V-4	42
14	-57	621	36	-1	-127	-27	20.11	20.11	(9+10)-V-4	45
15	-38	729	52	-0	-100	-27	20.11	20.11	(9+10)-V-4	55
16	-42	893	74	0	-62	-23	20.11	20.11	(9+10)-XI-4	83
Massimi/minimi										
1							20.11			
1								20.11		
1										38

Muro : 231 - Nodi: [452-652-653-553], Pann.X=4, Pann.Y=4Spess.=25 cm, Terreno=--,Criterio=CLS_Muri_ND,
Materiale=C35/45, $\zeta_e=54.411$ [(9+10)-VIII-1] : **Verificato**

Armatura a maglia doppia

Pannello	Nx	Ny	Nxy	Mx	My	Mxy	Ax	Ay	C	Cs
	kg	kg	kg	kg*m	kg*m	kg*m	cmq	cmq		
1	-382	1252	552	9	-44	-140	20.11	20.11	5	38
2	-422	507	71	15	-197	-79	20.11	20.11	2	25
3	-389	-481	-147	14	-298	-3	20.11	20.11	1	24
4	-434	3129	-185	11	306	-59	20.11	20.11	7	19

**POTENZIAMENTO DELL'IMPIANTO DI DEPURAZIONE E
DEL RECAPITO FINALE DI SQUINZANO (LE)
PROGETTO DEFINITIVO
Tabulati di calcolo strutturale-Filtrazione**

R.37.9

Maggio 2021

Pagina 263 di
364

Pannello	Nx	Ny	Nxy	Mx	My	Mxy	Ax	Ay	C	Cs
5	-257	2929	396	-2	-83	-93	20.11	20.11	6	39
6	-304	750	53	17	-179	-73	20.11	20.11	2	28
7	-276	-452	-109	16	-280	-3	20.11	20.11	1	25
8	-292	3457	-123	7	307	-56	20.11	20.11	7	19
9	-172	3568	262	-2	-88	-87	20.11	20.11	6	38
10	-181	1000	37	12	-165	-64	20.11	20.11	2	31
11	-164	3869	-9	-3	211	-49	20.11	20.11	7	26
12	-190	5229	84	23	353	7	20.11	20.11	6	18
13	-85	4148	107	0	-92	-55	20.11	20.11	6	46
14	-57	1267	4	2	-159	-41	20.11	20.11	2	35
15	-74	-367	-22	2	-261	-1	20.11	20.11	1	27
16	-32	5995	44	6	359	3	20.11	20.11	6	18
Massimi/minimi										
1							20.11			
1								20.11		
16										18

Muro : 232 - Nodi: [442-642-651-451], Pann.X=4, Pann.Y=4Spess.=25 cm, Terreno=--,Criterio=CLS_Muri_ND,
Materiale=C35/45,ζ_e=56.323 [(9+10)-V-1] : **Verificato**

Armatura a maglia doppia

Pannello	Nx	Ny	Nxy	Mx	My	Mxy	Ax	Ay	C	Cs
	kg	kg	kg	kg*m	kg*m	kg*m	cmq	cmq		
1	-633	1650	-1021	-13	-114	35	20.11	20.11	7	47
2	-687	1301	-1151	-22	-188	29	20.11	20.11	7	32
3	-875	978	-1244	-33	-266	21	20.11	20.11	7	24
4	-1248	726	-1231	-52	-348	42	20.11	20.11	7	18
5	-412	1672	-771	-9	-116	36	20.11	20.11	7	46
6	-471	1247	-896	-17	-192	30	20.11	20.11	7	31
7	-684	858	-1035	-25	-271	20	20.11	20.11	7	24
8	-1163	568	-1074	-48	-356	37	20.11	20.11	7	18
9	-218	1760	-480	-5	-119	37	20.11	20.11	7	45
10	-250	1255	-570	-10	-196	31	20.11	20.11	7	31
11	-313	625	-782	-12	-277	21	20.11	20.11	7	24
12	-1214	481	-838	-36	-355	32	20.11	20.11	7	18
13	-46	1885	-182	-1	-120	25	20.11	20.11	7	48
14	29	1314	-199	-3	-199	23	20.11	20.11	7	31
15	-62	656	-266	-1	-281	17	20.11	20.11	7	24
16	-649	-551	-755	-13	-341	24	20.11	20.11	7	20
Massimi/minimi										
1							20.11			
1								20.11		
8										18

Muro : 233 - Nodi: [432-632-642-442], Pann.X=4, Pann.Y=4Spess.=25 cm, Terreno=--,Criterio=CLS_Muri_ND,
Materiale=C35/45,ζ_e=71.141 [(9+10)-IV-3] : **Verificato**

Armatura a maglia doppia

Pannello	Nx	Ny	Nxy	Mx	My	Mxy	Ax	Ay	C	Cs
	kg	kg	kg	kg*m	kg*m	kg*m	cmq	cmq		
1	-592	2551	-194	34	242	25	20.11	20.11	7	26
2	-617	2497	-445	20	145	30	20.11	20.11	7	39
3	-633	2308	-662	8	55	36	20.11	20.11	7	75
4	-382	-29	-357	-5	-33	42	20.11	20.11	(9+10)-XI-2	94
5	-331	2778	-195	31	250	24	20.11	20.11	7	25
6	-385	2694	-369	16	150	30	20.11	20.11	7	38
7	-407	2449	-513	6	57	37	20.11	20.11	7	73
8	-257	136	-237	-4	-35	42	20.11	20.11	(9+10)-XI-2	92
9	-100	3127	-185	22	257	21	20.11	20.11	7	24
10	-207	2969	-253	9	155	30	20.11	20.11	7	37
11	-208	2640	-334	4	59	38	20.11	20.11	7	71
12	-141	325	-131	-2	-36	42	20.11	20.11	(9+10)-XI-2	90
13	-15	3632	-141	9	260	14	20.11	20.11	7	25
14	-27	3299	-89	1	158	23	20.11	20.11	7	37
15	-108	2935	-106	1	60	28	20.11	20.11	7	77

**POTENZIAMENTO DELL'IMPIANTO DI DEPURAZIONE E
DEL RECAPITO FINALE DI SQUINZANO (LE)
PROGETTO DEFINITIVO
Tabulati di calcolo strutturale-Filtrazione**

R.37.9

Maggio 2021

Pagina 264 di
364

Pannello	Nx	Ny	Nxy	Mx	My	Mxy	Ax	Ay	C	Cs
16	-57	539	-39	-0	-37	27	20.11	20.11	(9+10)-XI-2	>100
Massimi/minimi										
1							20.11			
1								20.11		
9										24

Muro : 234 - Nodi: [448-648-649-449], Pann.X=4, Pann.Y=4Spess.=25 cm, Terreno=--,Criterio=CLS_Muri_ND,
Materiale=C35/45,ζ=106.635 [(9+10)-V-4] : **Verificato**

Armatura a maglia doppia

Pannello	Nx	Ny	Nxy	Mx	My	Mxy	Ax	Ay	C	Cs
	kg	kg	kg	kg*m	kg*m	kg*m	cmq	cmq		
1	-710	392	418	-26	-258	27	20.11	20.11	4	25
2	-567	490	442	-26	-201	20	20.11	20.11	4	32
3	-344	61	151	-25	-140	-33	20.11	20.11	(9+10)-V-4	41
4	-282	133	180	-29	-147	-38	20.11	20.11	(9+10)-V-4	38
5	-597	363	333	-20	-245	22	20.11	20.11	4	26
6	-453	455	339	-21	-198	15	20.11	20.11	4	33
7	-262	188	96	-16	-145	-36	20.11	20.11	(9+10)-V-4	39
8	-216	252	111	-16	-148	-39	20.11	20.11	(9+10)-V-4	38
9	-488	424	231	-14	-237	19	20.11	20.11	4	28
10	-310	341	282	-13	-196	13	20.11	20.11	4	34
11	-165	318	49	-8	-150	-34	20.11	20.11	(9+10)-V-4	38
12	-136	374	50	-7	-149	-38	20.11	20.11	(9+10)-V-4	38
13	-256	-46	260	-6	-234	15	20.11	20.11	4	28
14	-86	188	153	-3	-195	7	20.11	20.11	4	35
15	-49	440	14	-2	-152	-22	20.11	20.11	(9+10)-V-4	40
16	-48	475	13	-1	-150	-23	20.11	20.11	(9+10)-V-4	41
Massimi/minimi										
1							20.11			
1								20.11		
1										25

Muro : 235 - Nodi: [553-653-654-554], Pann.X=4, Pann.Y=4Spess.=25 cm, Terreno=--,Criterio=CLS_Muri_ND,
Materiale=C35/45,ζ=43.979 [(9+10)-VII-1] : **Verificato**

Armatura a maglia doppia

Pannello	Nx	Ny	Nxy	Mx	My	Mxy	Ax	Ay	C	Cs
	kg	kg	kg	kg*m	kg*m	kg*m	cmq	cmq		
1	-481	3891	-142	62	528	70	20.11	20.11	6	11
2	-516	3764	-337	66	669	103	20.11	20.11	6	8.7
3	-579	3546	-595	75	827	145	20.11	20.11	6	6.9
4	-756	3288	-902	105	986	96	20.11	20.11	6	6.3
5	-309	4571	-87	45	548	63	20.11	20.11	6	11
6	-308	4440	-221	48	692	93	20.11	20.11	6	8.5
7	-332	4170	-419	52	857	135	20.11	20.11	6	6.7
8	-474	3794	-720	95	1018	101	20.11	20.11	6	6.0
9	-151	5281	-52	25	563	51	20.11	20.11	6	11
10	-114	5184	-116	26	710	78	20.11	20.11	6	8.4
11	-167	4991	-180	22	882	114	20.11	20.11	6	6.6
12	-217	4423	-443	84	1042	102	20.11	20.11	6	5.8
13	-68	6120	-50	8	567	25	20.11	20.11	6	11
14	-21	6021	-27	8	718	43	20.11	20.11	6	8.6
15	19	5851	-32	-6	892	56	20.11	20.11	6	6.9
16	-10	5728	93	62	1057	74	20.11	20.11	6	5.8
Massimi/minimi										
1							20.11			
1								20.11		
16										5.8

**POTENZIAMENTO DELL'IMPIANTO DI DEPURAZIONE E
DEL RECAPITO FINALE DI SQUINZANO (LE)
PROGETTO DEFINITIVO
Tabulati di calcolo strutturale-Filtrazione**

R.37.9

Maggio 2021

Pagina 265 di
364

Muro : 236 - Nodi: [651-652-452-451], Pann.X=4, Pann.Y=4Spess.=25 cm, Terreno=--,Criterio=CLS_Muri_ND,
Materiale=C35/45, $\zeta_e=43.126$ [(9+10)-IV-4] : **Verificato**

Armatura a maglia doppia

Pannello	Nx	Ny	Nxy	Mx	My	Mxy	Ax	Ay	C	Cs
	kg	kg	kg	kg*m	kg*m	kg*m	cmq	cmq		
1	4617	-72	260	-303	-26	1	20.11	20.11	7	22
2	4090	60	465	-293	-39	18	20.11	20.11	7	22
3	3396	-68	240	-298	-53	34	20.11	20.11	7	20
4	2897	-225	166	-314	-60	41	20.11	20.11	7	19
5	4477	-95	38	-289	-11	-4	20.11	20.11	7	23
6	3994	-88	301	-277	-30	-0	20.11	20.11	7	24
7	3326	-76	267	-276	-46	8	20.11	20.11	7	24
8	-370	-497	83	253	33	73	20.11	20.11	1	22
9	4476	-78	47	-266	-7	-4	20.11	20.11	7	25
10	4012	-134	240	-256	-24	-7	20.11	20.11	7	25
11	3407	-138	246	-252	-40	-4	20.11	20.11	7	26
12	-376	-489	77	215	29	83	20.11	20.11	1	24
13	4405	-54	42	-240	-7	-4	20.11	20.11	7	27
14	3933	-144	200	-232	-20	-10	20.11	20.11	7	28
15	3410	-172	216	-226	-35	-10	20.11	20.11	7	29
16	-376	-491	68	177	26	90	20.11	20.11	1	27
Massimi/minimi										
1							20.11			
1								20.11		
4										19

Muro : 237 - Nodi: [515-615-625-525], Pann.X=4, Pann.Y=4Spess.=25 cm, Terreno=--,Criterio=CLS_Muri_ND,
Materiale=C35/45, $\zeta_e=45.386$ [(9+10)-I-2] : **Verificato**

Armatura a maglia doppia

Pannello	Nx	Ny	Nxy	Mx	My	Mxy	Ax	Ay	C	Cs
	kg	kg	kg	kg*m	kg*m	kg*m	cmq	cmq		
1	-439	-1823	-169	109	478	41	20.11	20.11	3	14
2	-488	378	1005	-115	-353	79	20.11	20.11	6	16
3	-582	684	872	-87	-251	88	20.11	20.11	6	21
4	-556	944	708	-64	-152	80	20.11	20.11	6	30
5	-244	-2041	-130	34	369	16	20.11	20.11	3	19
6	-446	471	851	-55	-327	83	20.11	20.11	6	17
7	-392	740	704	-50	-250	89	20.11	20.11	6	21
8	-356	1029	546	-42	-158	79	20.11	20.11	6	29
9	-172	-2186	-60	6	323	12	20.11	20.11	3	22
10	-197	325	649	-9	-304	68	20.11	20.11	6	19
11	-202	788	476	-19	-250	79	20.11	20.11	6	21
12	-184	1164	353	-20	-164	70	20.11	20.11	6	30
13	-147	-2539	38	3	300	5	20.11	20.11	3	24
14	-72	314	243	3	-295	37	20.11	20.11	6	21
15	-20	908	179	-3	-250	44	20.11	20.11	6	24
16	-36	1354	129	-4	-166	39	20.11	20.11	6	34
Massimi/minimi										
1							20.11			
1								20.11		
1										14

Muro : 238 - Nodi: [525-625-635-535], Pann.X=4, Pann.Y=4Spess.=25 cm, Terreno=--,Criterio=CLS_Muri_ND,
Materiale=C35/45, $\zeta_e=57.323$ [(9+10)-I-3] : **Verificato**

Armatura a maglia doppia

Pannello	Nx	Ny	Nxy	Mx	My	Mxy	Ax	Ay	C	Cs
	kg	kg	kg	kg*m	kg*m	kg*m	cmq	cmq		
1	-466	-22	308	-39	-16	82	20.11	20.11	5	59
2	-376	146	188	-25	109	61	20.11	20.11	5	42
3	-300	292	165	-14	209	40	20.11	20.11	5	28
4	-276	1919	328	-2	301	4	20.11	20.11	6	23
5	-308	143	224	-27	-24	79	20.11	20.11	5	67
6	-259	322	125	-19	100	58	20.11	20.11	5	45

**POTENZIAMENTO DELL'IMPIANTO DI DEPURAZIONE E
DEL RECAPITO FINALE DI SQUINZANO (LE)
PROGETTO DEFINITIVO
Tabulati di calcolo strutturale-Filtrazione**

R.37.9

Maggio 2021

Pagina 266 di
364

Pannello	Nx	Ny	Nxy	Mx	My	Mxy	Ax	Ay	C	Cs	
7	-218	463	106	-13	200	38	20.11	20.11		5	30
8	-204	2107	232	-5	295	3	20.11	20.11		6	23
9	-167	1522	241	-16	-45	53	20.11	20.11		6	71
10	-147	512	66	-11	92	51	20.11	20.11		5	49
11	-136	631	54	-8	193	33	20.11	20.11		5	31
12	-131	2290	136	-4	289	2	20.11	20.11		6	24
13	-62	-2385	34	3	81	-4	20.11	20.11		3	86
14	-35	718	21	-2	90	28	20.11	20.11		5	60
15	-43	2265	43	-2	200	8	20.11	20.11		6	33
16	-63	2464	48	-1	287	0	20.11	20.11		6	24
Massimi/minimi											
1							20.11				
1								20.11			
4											23

Muro : 239 - Nodi: [535-635-644-544], Pann.X=4, Pann.Y=4Spess.=25 cm, Terreno=--,Criterio=CLS_Muri_ND,
Materiale=C35/45, $\zeta_e=58.493 [(9+10)-I-3]$: **Verificato**

Armatura a maglia doppia

Armatura a maglia doppia										
Pannello	Nx	Ny	Nxy	Mx	My	Mxy	Ax	Ay	C	Cs
	kg	kg	kg	kg*m	kg*m	kg*m	cmq	cmq		
1	-244	2181	406	7	360	-9	20.11	20.11	6	19
2	-235	2510	517	13	389	-19	20.11	20.11	6	17
3	-247	2895	622	18	387	-24	20.11	20.11	6	17
4	-269	3315	692	23	360	-23	20.11	20.11	6	18
5	-187	2378	293	1	355	-9	20.11	20.11	6	19
6	-183	2726	381	6	386	-18	20.11	20.11	6	17
7	-191	3144	464	10	385	-22	20.11	20.11	6	17
8	-202	3613	525	14	361	-19	20.11	20.11	6	18
9	-128	2561	177	-1	351	-9	20.11	20.11	6	19
10	-127	2925	235	2	383	-16	20.11	20.11	6	17
11	-130	3379	291	4	384	-18	20.11	20.11	6	17
12	-131	3905	334	7	362	-15	20.11	20.11	6	18
13	-75	2726	60	-0	349	-6	20.11	20.11	6	19
14	-77	3105	80	0	382	-9	20.11	20.11	6	17
15	-70	3596	99	1	384	-11	20.11	20.11	6	17
16	-57	4186	115	1	363	-8	20.11	20.11	6	18
Massimi/minimi										
1							20.11			
1								20.11		
3										17

Muro : 240 - Nodi: [544-644-654-554], Pann.X=4, Pann.Y=4Spess.=25 cm, Terreno=--,Criterio=CLS_Muri_ND,
Materiale=C35/45, $\zeta_e=37.155 [(9+10)-V-3]$: **Verificato**

Armatura a maglia doppia

Armatura a maglia doppia										
Pannello	Nx	Ny	Nxy	Mx	My	Mxy	Ax	Ay	C	Cs
	kg	kg	kg	kg*m	kg*m	kg*m	cmq	cmq		
1	-282	3690	717	28	323	-13	20.11	20.11	6	20
2	-270	3396	534	29	255	68	20.11	20.11	7	21
3	-230	3547	520	35	312	86	20.11	20.11	7	17
4	-260	3587	417	48	383	93	20.11	20.11	7	14
5	-206	4054	556	20	329	-9	20.11	20.11	6	20
6	-185	3646	426	21	262	65	20.11	20.11	7	21
7	-142	3883	469	24	321	84	20.11	20.11	7	17
8	-145	4771	457	46	390	129	20.11	20.11	6	13
9	-134	4426	360	10	334	-5	20.11	20.11	6	20
10	-148	4915	390	16	318	14	20.11	20.11	6	20
11	-159	4297	357	12	327	75	20.11	20.11	7	17
12	199	5598	395	28	440	112	20.11	20.11	6	12
13	-54	4782	128	2	336	-2	20.11	20.11	6	20
14	-43	5359	143	4	322	9	20.11	20.11	6	20
15	28	6020	170	5	348	29	20.11	20.11	6	17
16	83	6970	350	7	466	60	20.11	20.11	6	12
Massimi/minimi										

**POTENZIAMENTO DELL'IMPIANTO DI DEPURAZIONE E
DEL RECAPITO FINALE DI SQUINZANO (LE)
PROGETTO DEFINITIVO
Tabulati di calcolo strutturale-Filtrazione**

R.37.9

Maggio 2021

Pagina 267 di
364

Pannello	Nx	Ny	Nxy	Mx	My	Mxy	Ax	Ay	C	Cs
1							20.11			
1								20.11		
12										12

Muro : 241 - Nodi: [538-638-647-547], Pann.X=4, Pann.Y=4Spess.=25 cm, Terreno=--,Criterio=CLS_Muri_ND,
Materiale=C35/45,ζ=102.399 [(9+10)-VII-2] : **Verificato**

Armatura a maglia doppia

Pannello	Nx	Ny	Nxy	Mx	My	Mxy	Ax	Ay	C	Cs
	kg	kg	kg	kg*m	kg*m	kg*m	cmq	cmq		
1	-343	1103	12	62	405	-48	20.11	20.11		15
2	-349	1101	-32	73	456	-29	20.11	20.11		14
3	-320	-938	-23	76	476	20	20.11	20.11		14
4	-330	-930	47	73	463	38	20.11	20.11		14
5	-239	1253	8	37	408	-46	20.11	20.11		15
6	-242	1247	-24	44	461	-28	20.11	20.11		14
7	-244	1205	-62	47	483	-5	20.11	20.11		14
8	-243	1125	-99	45	474	18	20.11	20.11		14
9	-137	1410	5	16	411	-43	20.11	20.11		15
10	-138	1402	-15	20	466	-26	20.11	20.11		14
11	-139	1357	-38	21	488	-5	20.11	20.11		14
12	-140	1270	-61	21	479	17	20.11	20.11		14
13	-37	1575	1	3	412	-26	20.11	20.11		16
14	-35	1567	-5	4	467	-16	20.11	20.11		14
15	-35	1518	-13	4	490	-3	20.11	20.11		14
16	-39	1425	-20	4	481	10	20.11	20.11		14
Massimi/minimi										
1							20.11			
1								20.11		
12										14

Muro : 242 - Nodi: [547-647-657-557], Pann.X=4, Pann.Y=4Spess.=25 cm, Terreno=--,Criterio=CLS_Muri_ND,
Materiale=C35/45,ζ=40.898 [(9+10)-VII-2] : **Verificato**

Armatura a maglia doppia

Pannello	Nx	Ny	Nxy	Mx	My	Mxy	Ax	Ay	C	Cs
	kg	kg	kg	kg*m	kg*m	kg*m	cmq	cmq		
1	-343	890	-175	68	436	39	20.11	20.11		15
2	-331	776	-201	58	384	52	20.11	20.11		16
3	-316	644	-214	44	309	59	20.11	20.11		19
4	-302	496	-212	28	208	59	20.11	20.11		26
5	-239	1021	-128	41	440	37	20.11	20.11		15
6	-232	905	-146	34	386	50	20.11	20.11		16
7	-224	773	-152	25	308	57	20.11	20.11		19
8	-215	633	-145	14	204	58	20.11	20.11		27
9	-139	1160	-79	18	444	35	20.11	20.11		15
10	-137	1039	-89	15	389	46	20.11	20.11		16
11	-135	908	-91	10	308	53	20.11	20.11		19
12	-132	773	-84	5	202	55	20.11	20.11		27
13	-43	1306	-26	3	445	21	20.11	20.11		15
14	-45	1179	-29	3	389	28	20.11	20.11		17
15	-47	1043	-29	2	308	33	20.11	20.11		21
16	-51	913	-26	1	201	34	20.11	20.11		30
Massimi/minimi										
1							20.11			
1								20.11		
9										15

Muro : 243 - Nodi: [528-628-638-538], Pann.X=4, Pann.Y=4Spess.=25 cm, Terreno=--,Criterio=CLS_Muri_ND,
Materiale=C35/45,ζ=110.414 [(9+10)-VII-2] : **Verificato**

Armatura a maglia doppia

Pannello	Nx kg	Ny kg	Nxy kg	Mx kg*m	My kg*m	Mxy kg*m	Ax cmq	Ay cmq	C	Cs
1	-228	383	-447	13	96	59	20.11	20.11	6	45
2	-298	-1176	36	11	116	-33	20.11	20.11	3	48
3	-328	1039	62	29	225	-60	20.11	20.11	1	25
4	-335	1079	43	47	327	-59	20.11	20.11	1	18
5	-179	346	-339	9	100	60	20.11	20.11	6	44
6	-218	-1204	27	4	110	-33	20.11	20.11	3	50
7	-231	1195	43	15	221	-59	20.11	20.11	1	25
8	-235	1232	30	27	328	-57	20.11	20.11	1	18
9	-121	289	-215	5	103	58	20.11	20.11	6	44
10	-135	-1239	17	0	106	-33	20.11	20.11	3	52
11	-136	1355	25	5	219	-55	20.11	20.11	1	25
12	-136	1391	18	11	328	-53	20.11	20.11	1	18
13	-49	206	-73	1	104	35	20.11	20.11	6	51
14	-50	-1280	6	-0	104	-21	20.11	20.11	3	57
15	-50	-1241	10	1	241	-23	20.11	20.11	3	27
16	-41	1555	5	2	328	-32	20.11	20.11	1	19
Massimi/minimi										
1							20.11			
1								20.11		
4										18

Muro : 244 - Nodi: [518-618-628-528], Pann.X=4, Pann.Y=4Spess.=25 cm, Terreno=--,Criterio=CLS_Muri_ND,
Materiale=C35/45,ζ=68.274 [(9+10)-I-4] : **Verificato**

Armatura a maglia doppia

Pannello	Nx kg	Ny kg	Nxy kg	Mx kg*m	My kg*m	Mxy kg*m	Ax cmq	Ay cmq	C	Cs
1	-510	894	208	-85	-683	-108	20.11	20.11	1	8.8
2	-396	822	89	-78	-523	-25	20.11	20.11	1	13
3	-339	842	79	-55	-377	-14	20.11	20.11	1	18
4	-322	877	75	-37	-238	-22	20.11	20.11	1	27
5	-322	898	139	-27	-540	-66	20.11	20.11	1	12
6	-258	975	83	-38	-496	-27	20.11	20.11	1	13
7	-238	1008	53	-32	-375	-16	20.11	20.11	1	18
8	-230	1047	49	-25	-244	-23	20.11	20.11	1	26
9	-169	1067	83	-3	-504	-59	20.11	20.11	1	12
10	-145	1136	44	-9	-473	-29	20.11	20.11	1	14
11	-139	1185	31	-13	-373	-20	20.11	20.11	1	18
12	-136	1220	26	-12	-249	-26	20.11	20.11	1	25
13	-42	1270	26	2	-489	-33	20.11	20.11	1	13
14	-43	1333	12	0	-464	-19	20.11	20.11	1	14
15	-45	1369	8	-2	-372	-15	20.11	20.11	1	18
16	-47	1397	7	-2	-251	-18	20.11	20.11	1	26
Massimi/minimi										
1							20.11			
1								20.11		
1										8.8

Muro : 245 - Nodi: [505-605-615-515], Pann.X=4, Pann.Y=4Spess.=25 cm, Terreno=--,Criterio=CLS_Muri_ND,
Materiale=C35/45,ζ=59.942 [(9+10)-I-4] : **Verificato**

Armatura a maglia doppia

Pannello	Nx kg	Ny kg	Nxy kg	Mx kg*m	My kg*m	Mxy kg*m	Ax cmq	Ay cmq	C	Cs
1	-591	520	27	-66	-140	-37	20.11	20.11	6	40
2	-633	594	-153	-86	-193	-63	20.11	20.11	6	28
3	-583	709	-341	-109	-258	-89	20.11	20.11	6	20
4	-327	932	-696	-170	-333	-88	20.11	20.11	6	17
5	-396	466	-14	-45	-155	-41	20.11	20.11	6	36
6	-430	498	-194	-55	-208	-66	20.11	20.11	6	26
7	-416	511	-398	-55	-268	-93	20.11	20.11	6	19
8	-147	309	-403	-39	-322	-54	20.11	20.11	6	19
9	-205	432	-29	-23	-166	-39	20.11	20.11	6	34

**POTENZIAMENTO DELL'IMPIANTO DI DEPURAZIONE E
DEL RECAPITO FINALE DI SQUINZANO (LE)
PROGETTO DEFINITIVO
Tabulati di calcolo strutturale-Filtrazione**

R.37.9

Maggio 2021

Pagina 269 di
364

Pannello	Nx	Ny	Nxy	Mx	My	Mxy	Ax	Ay	C	Cs
10	-235	397	-165	-25	-221	-60	20.11	20.11	6	25
11	-277	252	-294	-17	-277	-73	20.11	20.11	6	20
12	-48	11	-391	4	-278	-33	20.11	20.11	6	23
13	-12	426	-11	-5	-170	-22	20.11	20.11	6	37
14	-44	316	-53	-5	-227	-33	20.11	20.11	6	27
15	-98	51	-104	-1	-280	-39	20.11	20.11	6	22
16	-90	-334	-190	4	-272	-15	20.11	20.11	6	25
Massimi/minimi										
1							20.11			
1								20.11		
4										17

Muro : 246 - Nodi: [508-608-618-518], Pann.X=4, Pann.Y=4Spess.=25 cm, Terreno=--,Criterio=CLS_Muri_ND,
Materiale=C35/45,ζ=70.759 [(9+10)-I-4] : **Verificato**

Armatura a maglia doppia

Pannello	Nx	Ny	Nxy	Mx	My	Mxy	Ax	Ay	C	Cs
	kg	kg	kg	kg*m	kg*m	kg*m	cmq	cmq		
1	-279	218	301	-33	-138	-57	20.11	20.11	1	36
2	-276	312	322	-38	-210	-81	20.11	20.11	1	24
3	-297	397	339	-49	-293	-110	20.11	20.11	1	17
4	-402	407	424	-47	-382	-185	20.11	20.11	1	12
5	-203	347	233	-27	-155	-54	20.11	20.11	1	34
6	-201	460	256	-30	-227	-76	20.11	20.11	1	23
7	-221	569	288	-24	-316	-107	20.11	20.11	1	17
8	-294	758	252	-16	-456	-115	20.11	20.11	1	12
9	-126	474	151	-16	-168	-46	20.11	20.11	1	33
10	-123	615	172	-16	-241	-66	20.11	20.11	1	23
11	-135	776	181	-12	-336	-85	20.11	20.11	1	17
12	-165	942	148	-4	-442	-86	20.11	20.11	1	13
13	-36	592	52	-4	-172	-26	20.11	20.11	1	36
14	-44	769	61	-4	-247	-36	20.11	20.11	1	25
15	-43	965	63	-2	-340	-45	20.11	20.11	1	18
16	-42	1147	49	0	-436	-45	20.11	20.11	1	14
Massimi/minimi										
1							20.11			
1								20.11		
8										12

Muro : 247 - Nodi: [503-603-604-504], Pann.X=4, Pann.Y=4Spess.=25 cm, Terreno=--,Criterio=CLS_Muri_ND,
Materiale=C35/45,ζ=111.639 [(9+10)-II-2] : **Verificato**

Armatura a maglia doppia

Pannello	Nx	Ny	Nxy	Mx	My	Mxy	Ax	Ay	C	Cs
	kg	kg	kg	kg*m	kg*m	kg*m	cmq	cmq		
1	-307	29	169	17	112	-38	20.11	20.11	5	47
2	-280	271	149	23	148	-17	20.11	20.11	6	43
3	-210	355	208	30	230	-6	20.11	20.11	6	30
4	-59	422	285	43	319	-11	20.11	20.11	6	21
5	-222	72	126	11	115	-37	20.11	20.11	5	47
6	-210	220	99	17	155	-19	20.11	20.11	6	41
7	-163	321	155	22	235	-8	20.11	20.11	6	29
8	-13	418	250	35	320	-10	20.11	20.11	6	21
9	-134	108	78	6	117	-35	20.11	20.11	5	47
10	-133	145	50	9	160	-20	20.11	20.11	6	39
11	-111	248	86	11	240	-9	20.11	20.11	6	28
12	12	397	196	22	317	-8	20.11	20.11	6	22
13	-36	136	26	1	117	-20	20.11	20.11	5	51
14	-45	48	13	2	162	-13	20.11	20.11	6	41
15	-40	113	18	1	241	-7	20.11	20.11	6	28
16	-4	283	99	5	309	-6	20.11	20.11	6	22
Massimi/minimi										
1							20.11			
1								20.11		
4										21

Muro : 248 - Nodi: [501-601-605-505], Pann.X=4, Pann.Y=4Spess.=25 cm, Terreno=--,Criterio=CLS_Muri_ND,
Materiale=C35/45, $\zeta_e=81.489$ [(9+10)-II-4] : **Verificato**

Armatura a maglia doppia

Pannello	Nx	Ny	Nxy	Mx	My	Mxy	Ax	Ay	C	Cs
	kg	kg	kg	kg*m	kg*m	kg*m	cmq	cmq		
1	-380	-355	77	26	261	-21	20.11	20.11	5	25
2	-232	-519	-150	18	143	15	20.11	20.11	(9+10)-II-1	45
3	-333	-866	-409	32	82	24	20.11	20.11	3	68
4	-395	-1122	-475	37	88	53	20.11	20.11	3	51
5	-299	-375	81	23	264	-22	20.11	20.11	5	25
6	-162	-546	-114	14	150	16	20.11	20.11	(9+10)-II-1	43
7	-229	-851	-314	22	92	26	20.11	20.11	3	61
8	-265	-1179	-369	25	95	52	20.11	20.11	3	49
9	-200	-425	86	19	267	-22	20.11	20.11	5	25
10	-95	-571	-73	7	156	17	20.11	20.11	(9+10)-II-1	41
11	-127	-829	-198	12	99	24	20.11	20.11	3	58
12	-150	-1221	-237	13	101	48	20.11	20.11	3	48
13	-83	-514	83	12	271	-18	20.11	20.11	5	25
14	-31	-589	-20	-0	158	12	20.11	20.11	(9+10)-II-1	42
15	-41	-794	-67	2	102	14	20.11	20.11	3	62
16	-69	-1242	-79	3	103	28	20.11	20.11	3	55
Massimi/minimi										
1							20.11			
1								20.11		
9										25

Muro : 249 - Nodi: [502-602-603-503], Pann.X=4, Pann.Y=4Spess.=25 cm, Terreno=--,Criterio=CLS_Muri_ND,
Materiale=C35/45, $\zeta_e=57.088$ [(9+10)-II-1] : **Verificato**

Armatura a maglia doppia

Pannello	Nx	Ny	Nxy	Mx	My	Mxy	Ax	Ay	C	Cs
	kg	kg	kg	kg*m	kg*m	kg*m	cmq	cmq		
1	-282	-195	80	-12	-153	-73	20.11	20.11	6	31
2	-313	-104	117	-6	-135	-70	20.11	20.11	6	35
3	-319	-29	39	12	183	-16	20.11	20.11	2	36
4	-313	-8	37	9	152	-28	20.11	20.11	2	39
5	-207	-259	56	-7	-153	-70	20.11	20.11	6	32
6	-226	-168	87	-2	-133	-68	20.11	20.11	6	35
7	-228	63	29	4	178	-15	20.11	20.11	2	37
8	-224	93	31	3	148	-27	20.11	20.11	2	41
9	-131	-331	34	-3	-153	-64	20.11	20.11	6	33
10	-138	-235	55	-0	-131	-62	20.11	20.11	6	37
11	-138	157	18	1	174	-14	20.11	20.11	2	38
12	-136	195	21	0	144	-23	20.11	20.11	2	42
13	-56	-414	12	-0	-152	-37	20.11	20.11	6	38
14	-63	-200	-2	0	163	8	20.11	20.11	1	42
15	-49	250	6	0	173	-8	20.11	20.11	2	39
16	-46	295	7	-0	143	-13	20.11	20.11	2	45
Massimi/minimi										
1							20.11			
1								20.11		
1										31

Muro : 250 - Nodi: [504-604-608-508], Pann.X=4, Pann.Y=4Spess.=25 cm, Terreno=--,Criterio=CLS_Muri_ND,
Materiale=C35/45, $\zeta_e=110.791$ [(9+10)-II-2] : **Verificato**

Armatura a maglia doppia

Pannello	Nx	Ny	Nxy	Mx	My	Mxy	Ax	Ay	C	Cs
	kg	kg	kg	kg*m	kg*m	kg*m	cmq	cmq		
1	-375	541	326	23	296	-4	20.11	20.11	6	23

Pannello	Nx	Ny	Nxy	Mx	My	Mxy	Ax	Ay	C	Cs
2	-312	725	397	10	181	8	20.11	20.11	6	37
3	-339	958	394	5	77	17	20.11	20.11	6	74
4	-273	67	267	-25	-72	-21	20.11	20.11	1	76
5	-308	530	274	20	297	-4	20.11	20.11	6	23
6	-225	733	319	9	183	9	20.11	20.11	6	36
7	-241	1025	304	8	84	21	20.11	20.11	6	66
8	-202	180	197	-22	-87	-21	20.11	20.11	1	65
9	-263	473	224	14	299	-5	20.11	20.11	6	23
10	-136	737	216	6	186	10	20.11	20.11	6	36
11	-150	1110	196	5	90	23	20.11	20.11	6	62
12	-128	285	123	-13	-100	-18	20.11	20.11	1	60
13	-261	257	180	7	302	-7	20.11	20.11	6	23
14	-99	784	46	1	186	8	20.11	20.11	6	36
15	-42	1199	68	1	92	14	20.11	20.11	6	65
16	-54	378	40	-3	-104	-11	20.11	20.11	1	61
Massimi/minimi										
1							20.11			
1								20.11		
13										23

Muro : 251 - Nodi: [501-601-602-502], Pann.X=4, Pann.Y=4Spess.=25 cm, Terreno=--,Criterio=CLS_Muri_ND,
Materiale=C35/45, $\zeta_e=104.487$ [(9+10)-II-1] : **Verificato**

Armatura a maglia doppia

Pannello	Nx kg	Ny kg	Nxy kg	Mx kg*m	My kg*m	Mxy kg*m	Ax cmq	Ay cmq	C	Cs
1	-247	-455	-55	-26	-213	-14	20.11	20.11	5	31
2	-221	-304	-13	-20	-162	-60	20.11	20.11	6	32
3	-235	-274	4	-18	-158	-68	20.11	20.11	6	31
4	-253	-247	30	-16	-157	-71	20.11	20.11	6	31
5	-131	-412	-73	-24	-216	-13	20.11	20.11	5	31
6	-141	-337	-43	-18	-167	-58	20.11	20.11	6	32
7	-169	-315	-20	-14	-160	-65	20.11	20.11	6	32
8	-189	-301	11	-11	-158	-68	20.11	20.11	6	31
9	0	-323	-109	-20	-217	-11	20.11	20.11	5	31
10	-65	-357	-67	-13	-167	-52	20.11	20.11	6	32
11	-111	-364	-22	-8	-161	-58	20.11	20.11	6	33
12	-125	-362	2	-6	-159	-60	20.11	20.11	6	32
13	138	-134	-142	-15	-214	-1	20.11	20.11	5	33
14	-37	-241	-41	-3	-175	-16	20.11	20.11	5	37
15	-45	-435	-6	-2	-158	-32	20.11	20.11	6	37
16	-54	-437	4	-0	-157	-33	20.11	20.11	6	37
Massimi/minimi										
1							20.11			
1								20.11		
5										31

Muro : 252 - Nodi: [558-658-659-559], Pann.X=4, Pann.Y=4Spess.=25 cm, Terreno=--,Criterio=CLS_Muri_ND,
Materiale=C35/45, $\zeta_e=41.055$ [(9+10)-VII-2] : **Verificato**

Armatura a maglia doppia

Pannello	Nx kg	Ny kg	Nxy kg	Mx kg*m	My kg*m	Mxy kg*m	Ax cmq	Ay cmq	C	Cs
1	-78	3130	-1475	-155	-977	-71	20.11	20.11	6	6.5
2	-128	2972	-1436	-102	-602	-23	20.11	20.11	6	11
3	-490	-1135	-487	29	264	-26	20.11	20.11	1	25
4	-167	626	-510	25	289	-28	20.11	20.11	(9+10)-II-4	22
5	-49	3566	-1306	-149	-1025	-65	20.11	20.11	6	6.2
6	-111	3278	-1178	-89	-632	-27	20.11	20.11	6	10
7	-474	-1399	-480	28	279	-22	20.11	20.11	1	24
8	-153	566	-425	27	313	-26	20.11	20.11	(9+10)-II-4	21
9	-137	4122	-971	-128	-1066	-49	20.11	20.11	6	6.0
10	-175	3534	-735	-56	-665	-32	20.11	20.11	6	9.7
11	-53	3117	-690	-29	-242	-52	20.11	20.11	6	23
12	-129	420	-344	27	341	-24	20.11	20.11	(9+10)-II-4	19

**POTENZIAMENTO DELL'IMPIANTO DI DEPURAZIONE E
DEL RECAPITO FINALE DI SQUINZANO (LE)
PROGETTO DEFINITIVO
Tabulati di calcolo strutturale-Filtrazione**

R.37.9

Maggio 2021

Pagina 272 di
364

Pannello	Nx	Ny	Nxy	Mx	My	Mxy	Ax	Ay	C	Cs
13	-466	4223	-84	-86	-1092	-5	20.11	20.11	6	6.1
14	-72	3725	-267	-5	-678	-34	20.11	20.11	6	9.5
15	-27	3189	-259	-9	-245	-45	20.11	20.11	6	23
16	-148	-29	-253	23	367	-11	20.11	20.11	(9+10)-II-4	19
Massimi/minimi										
1							20.11			
1								20.11		
9										6.0

Muro : 253 - Nodi: [559-659-660-560], Pann.X=4, Pann.Y=4Spess.=25 cm, Terreno=--,Criterio=CLS_Muri_ND,
Materiale=C35/45,ζ_e=117.340 [(9+10)-VII-2] : **Verificato**

Armatura a maglia doppia

Pannello	Nx	Ny	Nxy	Mx	My	Mxy	Ax	Ay	C	Cs
	kg	kg	kg	kg*m	kg*m	kg*m	cmq	cmq		
1	-527	1894	-37	-55	-196	-3	20.11	20.11	6	35
2	-807	1627	-10	-37	-82	-24	20.11	20.11	6	65
3	-247	-1408	64	8	48	2	20.11	20.11	1	>100
4	-711	1415	-138	12	82	-25	20.11	20.11	6	65
5	-478	1820	60	-57	-200	-3	20.11	20.11	6	34
6	-691	1499	59	-36	-85	-20	20.11	20.11	6	66
7	-177	-1396	94	7	48	1	20.11	20.11	1	>100
8	-629	1400	-121	15	84	-20	20.11	20.11	6	67
9	-443	1645	188	-58	-201	0	20.11	20.11	6	34
10	-555	1321	123	-31	-89	-14	20.11	20.11	6	67
11	-139	-1340	142	6	48	1	20.11	20.11	1	>100
12	-555	1379	-149	19	89	-11	20.11	20.11	6	70
13	-381	1275	353	-56	-204	8	20.11	20.11	6	33
14	-405	1119	144	-21	-93	-12	20.11	20.11	6	66
15	-120	-1243	173	4	48	1	20.11	20.11	1	>100
16	-443	1233	-289	22	106	6	20.11	20.11	6	62
Massimi/minimi										
1							20.11			
1								20.11		
13										33

Muro : 254 - Nodi: [562-662-663-563], Pann.X=4, Pann.Y=4Spess.=25 cm, Terreno=--,Criterio=CLS_Muri_ND,
Materiale=C35/45,ζ_e=175.563 [(9+10)-VIII-2] : **Verificato**

Armatura a maglia doppia

Pannello	Nx	Ny	Nxy	Mx	My	Mxy	Ax	Ay	C	Cs
	kg	kg	kg	kg*m	kg*m	kg*m	cmq	cmq		
1	-213	247	-769	-49	-144	-16	20.11	20.11	6	44
2	-336	-84	-452	-10	-52	-20	20.11	20.11	5	99
3	-349	-346	-361	-4	80	-34	20.11	20.11	6	63
4	-561	-582	-221	19	169	-26	20.11	20.11	6	37
5	-200	227	-668	-44	-149	-14	20.11	20.11	6	43
6	-291	-114	-374	-7	-50	-18	20.11	20.11	5	>100
7	-300	-400	-277	-2	79	-31	20.11	20.11	6	65
8	-489	-617	-173	20	177	-23	20.11	20.11	6	36
9	-173	201	-557	-38	-154	-12	20.11	20.11	6	43
10	-243	-146	-293	-4	-49	-17	20.11	20.11	5	>100
11	-251	-455	-198	-1	78	-29	20.11	20.11	6	67
12	-410	-652	-131	20	185	-21	20.11	20.11	6	35
13	-125	159	-433	-30	-159	-10	20.11	20.11	6	42
14	-187	-186	-208	-2	-48	-18	20.11	20.11	5	>100
15	-207	-511	-123	-0	78	-28	20.11	20.11	6	67
16	-325	-691	-98	18	192	-19	20.11	20.11	6	34
Massimi/minimi										
1							20.11			
1								20.11		
16										34

**POTENZIAMENTO DELL'IMPIANTO DI DEPURAZIONE E
DEL RECAPITO FINALE DI SQUINZANO (LE)
PROGETTO DEFINITIVO
Tabulati di calcolo strutturale-Filtrazione**

R.37.9

Maggio 2021

Pagina 273 di
364

Muro : 255 - Nodi: [559-659-662-562], Pann.X=4, Pann.Y=4Spess.=25 cm, Terreno=--,Criterio=CLS_Muri_ND,
Materiale=C35/45, $\zeta_s=78.470$ [(9+10)-II-4] : **Verificato**

Armatura a maglia doppia

Pannello	Nx	Ny	Nxy	Mx	My	Mxy	Ax	Ay	C	Cs
	kg	kg	kg	kg*m	kg*m	kg*m	cmq	cmq		
1	191	2270	-1196	55	177	34	20.11	20.11	6	33
2	-394	-39	35	13	78	-2	20.11	20.11	1	88
3	-688	989	-816	-1	-96	5	20.11	20.11	6	69
4	-1038	461	-801	-26	-231	26	20.11	20.11	6	27
5	164	2336	-949	61	183	27	20.11	20.11	6	33
6	-346	-20	47	9	76	-2	20.11	20.11	1	91
7	-615	930	-554	1	-96	4	20.11	20.11	6	70
8	-878	441	-628	-24	-231	23	20.11	20.11	6	28
9	73	2333	-636	64	187	19	20.11	20.11	6	33
10	-283	-25	69	4	72	-1	20.11	20.11	1	96
11	-519	831	-324	2	-96	4	20.11	20.11	6	70
12	-693	417	-466	-22	-231	21	20.11	20.11	6	28
13	-20	1873	-97	56	184	11	20.11	20.11	6	36
14	-219	-54	79	1	68	-0	20.11	20.11	1	>100
15	-399	693	-141	3	-95	5	20.11	20.11	6	70
16	-493	388	-326	-18	-230	19	20.11	20.11	6	28
Massimi/minimi										
1							20.11			
1								20.11		
4										27

Muro : 256 - Nodi: [560-660-663-563], Pann.X=4, Pann.Y=4Spess.=25 cm, Terreno=--,Criterio=CLS_Muri_ND,
Materiale=C35/45, $\zeta_s=88.328$ [(9+10)-II-4] : **Verificato**

Armatura a maglia doppia

Pannello	Nx	Ny	Nxy	Mx	My	Mxy	Ax	Ay	C	Cs
	kg	kg	kg	kg*m	kg*m	kg*m	cmq	cmq		
1	-297	-310	-90	61	338	2	20.11	20.11	6	21
2	-328	-267	-128	41	144	10	20.11	20.11	6	46
3	-554	-160	68	-11	-50	-0	20.11	20.11	1	>100
4	-252	-276	93	-7	-180	-1	20.11	20.11	6	39
5	-167	-354	-133	62	351	7	20.11	20.11	6	20
6	-250	-297	-132	39	145	9	20.11	20.11	6	46
7	-459	-111	54	-9	-48	1	20.11	20.11	1	>100
8	-221	-317	85	-11	-189	-1	20.11	20.11	6	37
9	-68	-376	-195	59	356	13	20.11	20.11	6	19
10	-170	-328	-133	34	145	7	20.11	20.11	6	47
11	-364	-64	41	-7	-46	1	20.11	20.11	1	>100
12	-183	-362	80	-13	-197	-1	20.11	20.11	6	36
13	-23	-392	-254	47	341	26	20.11	20.11	6	19
14	-112	-350	-133	24	145	6	20.11	20.11	6	47
15	-264	-18	28	-5	-45	1	20.11	20.11	1	>100
16	-140	-412	78	-15	-204	0	20.11	20.11	6	35
Massimi/minimi										
1							20.11			
1								20.11		
9										19

Muro : 257 - Nodi: [557-657-661-561], Pann.X=4, Pann.Y=4Spess.=25 cm, Terreno=--,Criterio=CLS_Muri_ND,
Materiale=C35/45, $\zeta_s=57.777$ [(9+10)-I-3] : **Verificato**

Armatura a maglia doppia

Pannello	Nx	Ny	Nxy	Mx	My	Mxy	Ax	Ay	C	Cs
	kg	kg	kg	kg*m	kg*m	kg*m	cmq	cmq		
1	-308	-789	-105	-16	-149	14	20.11	20.11	6	44
2	-290	-1058	62	-19	-189	39	20.11	20.11	2	31
3	-306	-1097	49	-43	-399	20	20.11	20.11	2	17
4	-447	-1130	-17	-72	-634	8	20.11	20.11	2	11

**POTENZIAMENTO DELL'IMPIANTO DI DEPURAZIONE E
DEL RECAPITO FINALE DI SQUINZANO (LE)
PROGETTO DEFINITIVO
Tabulati di calcolo strutturale-Filtrazione**

R.37.9

Maggio 2021

Pagina 274 di
364

Pannello	Nx	Ny	Nxy	Mx	My	Mxy	Ax	Ay	C	Cs
5	-226	-954	-90	-9	-149	13	20.11	20.11	6	44
6	-202	-1005	67	-16	-199	41	20.11	20.11	2	30
7	-197	-1025	76	-33	-408	21	20.11	20.11	2	17
8	-315	-1100	-8	-59	-633	7	20.11	20.11	2	11
9	-140	-1127	-63	-4	-150	11	20.11	20.11	6	45
10	-114	-955	51	-9	-207	42	20.11	20.11	2	29
11	-113	-897	97	-18	-416	22	20.11	20.11	2	16
12	-134	-995	28	-37	-631	4	20.11	20.11	2	11
13	-49	-1307	-23	-1	-150	6	20.11	20.11	6	46
14	-65	-895	21	-2	-209	28	20.11	20.11	2	30
15	-42	-784	23	-3	-417	18	20.11	20.11	2	16
16	131	-577	106	-11	-628	1	20.11	20.11	2	11
Massimi/minimi										
1							20.11			
1								20.11		
4										11

Muro : 258 - Nodi: [560-660-661-561], Pann.X=4, Pann.Y=4Spess.=25 cm, Terreno=--,Criterio=CLS_Muri_ND,
Materiale=C35/45,ζ=62.023 [(9+10)-I-2] : **Verificato**

Armatura a maglia doppia

Pannello	Nx	Ny	Nxy	Mx	My	Mxy	Ax	Ay	C	Cs
	kg	kg	kg	kg*m	kg*m	kg*m	cmq	cmq		
1	-544	501	-147	-30	-331	-47	20.11	20.11	6	19
2	-446	-1180	558	26	329	50	20.11	20.11	1	19
3	-380	-1098	103	43	427	22	20.11	20.11	3	16
4	-424	-1097	24	69	654	11	20.11	20.11	2	11
5	-406	418	-75	-29	-358	-43	20.11	20.11	6	18
6	-359	-1232	524	19	339	46	20.11	20.11	1	19
7	-238	-1038	105	31	430	17	20.11	20.11	3	16
8	-304	-1070	14	56	651	10	20.11	20.11	2	11
9	-234	364	-34	-27	-391	-35	20.11	20.11	6	17
10	-228	-1398	437	11	348	39	20.11	20.11	1	19
11	-113	-902	115	17	445	2	20.11	20.11	2	16
12	-148	-993	34	36	646	9	20.11	20.11	2	11
13	-18	594	-81	-23	-427	-10	20.11	20.11	6	16
14	-118	-1416	129	1	350	23	20.11	20.11	1	19
15	-59	-717	36	3	445	-4	20.11	20.11	2	16
16	113	-556	119	11	641	7	20.11	20.11	2	11
Massimi/minimi										
1							20.11			
1								20.11		
4										11

Muro : 259 - Nodi: [554-654-658-558], Pann.X=4, Pann.Y=4Spess.=25 cm, Terreno=--,Criterio=CLS_Muri_ND,
Materiale=C35/45,ζ=30.889 [(9+10)-VIII-2] : **Verificato**

Armatura a maglia doppia

Pannello	Nx	Ny	Nxy	Mx	My	Mxy	Ax	Ay	C	Cs
	kg	kg	kg	kg*m	kg*m	kg*m	cmq	cmq		
1	-570	4688	-669	79	579	290	20.11	20.11	6	7.6
2	-523	4267	-755	-9	-122	324	20.11	20.11	6	15
3	-614	3881	-928	-93	-830	289	20.11	20.11	6	6.0
4	-702	3485	-1184	-188	-1586	191	20.11	20.11	6	3.8
5	-484	5104	-461	77	628	284	20.11	20.11	6	7.2
6	-345	4592	-550	-5	-120	323	20.11	20.11	6	15
7	-434	4161	-760	-74	-864	288	20.11	20.11	6	5.8
8	-415	3744	-989	-176	-1678	186	20.11	20.11	6	3.6
9	-372	5472	-215	59	677	262	20.11	20.11	6	7.0
10	-144	4950	-316	-4	-116	308	20.11	20.11	6	16
11	-197	4400	-573	-38	-895	275	20.11	20.11	6	5.7
12	-217	3933	-737	-138	-1756	168	20.11	20.11	6	3.5
13	-237	5698	50	34	685	159	20.11	20.11	6	7.8
14	182	5392	-150	-8	-119	194	20.11	20.11	6	21
15	183	4710	-162	2	-902	177	20.11	20.11	6	6.2

**POTENZIAMENTO DELL'IMPIANTO DI DEPURAZIONE E
DEL RECAPITO FINALE DI SQUINZANO (LE)
PROGETTO DEFINITIVO
Tabulati di calcolo strutturale-Filtrazione**

R.37.9

Maggio 2021

Pagina 275 di
364

Pannello	Nx	Ny	Nxy	Mx	My	Mxy	Ax	Ay	C	Cs
16	-325	3559	-430	-69	-1766	107	20.11	20.11	6	3.6
Massimi/minimi										
1							20.11			
1								20.11		
12										3.5

Muro : 260 - Nodi: [662-762-763-663], Pann.X=4, Pann.Y=4Spess.=25 cm, Terreno=--,Criterio=CLS_Muri_ND,
Materiale=C35/45, $\zeta_e=174.197$ [(9+10)-VIII-2] : **Verificato**

Armatura a maglia doppia

Pannello	Nx	Ny	Nxy	Mx	My	Mxy	Ax	Ay	C	Cs
	kg	kg	kg	kg*m	kg*m	kg*m	cmq	cmq		
1	-161	113	-323	-23	-164	-9	20.11	20.11	6	41
2	-148	-224	-145	-1	-48	-18	20.11	20.11	5	>100
3	-125	-558	-71	-0	78	-27	20.11	20.11	6	68
4	-179	-722	-73	16	197	-18	20.11	20.11	6	33
5	-116	63	-237	-17	-168	-7	20.11	20.11	6	40
6	-108	-260	-104	0	-48	-17	20.11	20.11	5	>100
7	-104	-598	-43	-1	78	-25	20.11	20.11	6	69
8	-130	-741	-50	12	199	-16	20.11	20.11	6	33
9	-66	-8	-141	-12	-173	-5	20.11	20.11	6	40
10	-72	-303	-62	1	-47	-15	20.11	20.11	5	>100
11	-76	-645	-21	-1	78	-22	20.11	20.11	6	72
12	-67	-744	-27	7	201	-13	20.11	20.11	6	33
13	54	-103	-32	-7	-177	-0	20.11	20.11	6	40
14	-22	-353	-17	1	-47	-8	20.11	20.11	5	>100
15	-62	-705	-7	-1	77	-12	20.11	20.11	6	81
16	-60	-724	-4	2	200	-9	20.11	20.11	6	34
Massimi/minimi										
1							20.11			
1								20.11		
8										33

Muro : 261 - Nodi: [659-759-762-662], Pann.X=4, Pann.Y=4Spess.=25 cm, Terreno=--,Criterio=CLS_Muri_ND,
Materiale=C35/45, $\zeta_e=120.802$ [(9+10)-VIII-2] : **Verificato**

Armatura a maglia doppia

Pannello	Nx	Ny	Nxy	Mx	My	Mxy	Ax	Ay	C	Cs
	kg	kg	kg	kg*m	kg*m	kg*m	cmq	cmq		
1	-23	1049	218	29	178	6	20.11	20.11	6	38
2	-179	405	108	6	66	2	20.11	20.11	(9+10)-VIII-2	>100
3	-232	554	-43	4	-94	7	20.11	20.11	6	69
4	-275	348	-236	-18	-229	19	20.11	20.11	6	28
5	135	449	60	13	175	4	20.11	20.11	6	39
6	-156	270	136	4	66	3	20.11	20.11	(9+10)-VIII-2	>100
7	-181	445	-12	3	-94	9	20.11	20.11	6	69
8	-253	313	-181	-14	-227	17	20.11	20.11	6	29
9	100	93	-35	5	172	4	20.11	20.11	6	40
10	-96	109	114	1	66	4	20.11	20.11	(9+10)-VIII-2	>100
11	-63	353	12	3	-94	9	20.11	20.11	6	69
12	-184	240	-142	-11	-223	15	20.11	20.11	6	30
13	61	-162	-77	2	171	4	20.11	20.11	6	41
14	-23	-83	59	-0	66	2	20.11	20.11	(9+10)-II-4	>100
15	21	321	31	2	-94	5	20.11	20.11	6	71
16	-125	74	-111	-7	-215	12	20.11	20.11	6	31
Massimi/minimi										
1							20.11			
1								20.11		
4										28

Muro : 262 - Nodi: [659-759-760-660], Pann.X=4, Pann.Y=4Spess.=25 cm, Terreno=--,Criterio=CLS_Muri_ND,
Materiale=C35/45, $\zeta_e=146.858$ [(9+10)-VII-3] : **Verificato**

Armatura a maglia doppia

Pannello	Nx	Ny	Nxy	Mx	My	Mxy	Ax	Ay	C	Cs
	kg	kg	kg	kg*m	kg*m	kg*m	cmq	cmq		
1	-164	806	433	-31	-204	9	20.11	20.11		6
2	-231	964	114	-16	-96	-11	20.11	20.11		6
3	-256	-1200	94	1	49	3	20.11	20.11		1
4	-301	904	-489	10	135	20	20.11	20.11		6
5	-9	473	272	-17	-204	10	20.11	20.11		6
6	-198	857	128	-10	-97	-9	20.11	20.11		6
7	-52	-1168	125	1	51	0	20.11	20.11		1
8	-161	603	-300	11	160	9	20.11	20.11		6
9	33	247	134	-9	-203	9	20.11	20.11		6
10	-108	753	106	-4	-99	-7	20.11	20.11		6
11	-6	-1132	109	1	52	-0	20.11	20.11		1
12	-106	417	-159	10	172	2	20.11	20.11		6
13	58	89	9	-3	-202	7	20.11	20.11		6
14	8	661	56	0	-98	-5	20.11	20.11		6
15	1	-1122	44	1	52	0	20.11	20.11		1
16	-99	264	-48	7	176	-1	20.11	20.11		6
Massimi/minimi										
1							20.11			
1								20.11		
1										33

Muro : 263 - Nodi: [660-760-763-663], Pann.X=4, Pann.Y=4Spess.=25 cm, Terreno=--,Criterio=CLS_Muri_ND,
Materiale=C35/45, $\zeta_e=105.922$ [(9+10)-X-1] : **Verificato**

Armatura a maglia doppia

Pannello	Nx	Ny	Nxy	Mx	My	Mxy	Ax	Ay	C	Cs
	kg	kg	kg	kg*m	kg*m	kg*m	cmq	cmq		
1	-65	-346	-341	39	309	43	20.11	20.11		6
2	-149	-363	-112	14	145	6	20.11	20.11		6
3	-195	18	21	-3	-44	0	20.11	20.11		1
4	-93	-451	78	-14	-209	1	20.11	20.11		6
5	-70	-239	-279	25	279	26	20.11	20.11		6
6	-111	-391	-102	9	147	7	20.11	20.11		6
7	-112	49	17	-1	-44	0	20.11	20.11		1
8	-69	-473	79	-12	-212	1	20.11	20.11		6
9	-60	-149	-179	15	263	15	20.11	20.11		6
10	-85	-422	-73	3	147	8	20.11	20.11		6
11	-64	82	11	-1	-44	-0	20.11	20.11		1
12	-11	-465	84	-9	-214	1	20.11	20.11		6
13	60	-75	-51	9	255	5	20.11	20.11		6
14	-43	-472	-13	-1	147	5	20.11	20.11		6
15	-14	116	7	-0	-43	-0	20.11	20.11		1
16	-28	-378	99	-5	-214	0	20.11	20.11		6
Massimi/minimi										
1							20.11			
1								20.11		
1										20

Verifica dei Muri (Stati limite esercizio)

Scenario di calcolo: **Set_NT_ 2018 A2_SLV_SLD_STR_GEO**

Simbologia

P.	Numero pannello
Nx [kg/cmq]	Sforzo normale in direzione x
Ny [kg/cmq]	Sforzo normale in direzione y
Nxy [kg/cmq]	Sforzo tagliante in direzione xy
Mx [kg]	Momento flettente in direzione x
My [kg]	Momento flettente in direzione y
Mxy [kg]	Momento torcente
Afx [cmq/m]	Area acciaio in direzione x per metro lineare
Afy [cmq/m]	Area acciaio in direzione y per metro lineare

σ_c [kg/cmq]	Tensione nel calcestruzzo compresso
σ_f [kg/cmq]	Tensione nell'acciaio
σ_{ct} [kg/cmq]	Tensione nel calcestruzzo teso
σ_{sct} [kg/cmq]	Tensione nel calcestruzzo teso (quando richiesto dalla verifica)
σ_{sca} [kg/cmq]	Tensione ammissibile nel calcestruzzo
σ_{sfa} [kg/cmq]	Tensione ammissibile nell'acciaio
σ_{scta} [kg/cmq]	Tensione ammissibile nel calcestruzzo teso
Cbc	Combinazione generatore della tensione nel cls compresso
Cbct	Combinazione generatore della tensione nel cls teso
Cbf	Combinazione generatore della tensione nell'acciaio
Cb	Combinazione
σ_{fmed} [kg/cmq]	Tensione media dell'acciaio
Wd [mm]	Apertura delle fessure
Wk [mm]	Apertura caratteristica delle fessure
Wamm_Freq [mm]	Apertura ammissibile delle fessure per combinazione Frequente
Wamm_Qp [mm]	Apertura ammissibile delle fessure per combinazione Quasi Permanente
Wamm_Rara [mm]	Apertura ammissibile delle fessure per combinazione Rara
Cs	Coefficiente di sicurezza definito come minimo di σ_{Am}/σ tra acciaio e calcestruzzo oppure Wamm/Wk

Muro : 1 - Nodi: [9-109-110-10], Pann.X=4, Pann.Y=4Spess.=25 cm, Terreno=--,Criterio=CLS_Muri_ND, Materiale=C35/45

Armatura a maglia doppia, Stampa elementi piu' gravosi

Combinazione Rara: σ_{ca} [kg/cmq]=224 σ_{fa} [kg/cmq]=3600

P.	Afx	Afy	σ_c	σ_f	Cbc	Cbf	Ver	Cs
	cmq/m	cmq/m	kg/cmq	kg/cmq				
4	20.11	20.11	-4	61	15	15	Si	59

Combinazione QP: σ_{ca} [kg/cmq]=168 σ_{fa} [kg/cmq]=3600

P.	Afx	Afy	σ_c	σ_f	Cbc	Cbf	Ver	Cs
	cmq/m	cmq/m	kg/cmq	kg/cmq				
13	20.11	20.11	-1	77	19	19	Si	47

Verifica aperture fessure:Wamm Freq[mm]=0.300 Wamm Qp[mm]=0.200

P.	Nx	Ny	Nxy	Mx	My	Mxy	σ_{fmed}	Wd	Wk	Cb	Ver	Cs
	kg/cmq	kg/cmq	kg/cmq	kg	kg	kg	kg/cmq	mm	mm			
5	-0.11	-0.10	0.14	-42	-57	-36	20	0.002	0.002	17 (Fr)	Si	>100
15	-0.36	0.08	0.23	-22	-5	-6	13	0.002	0.002	18 (Qp)	Si	85

Muro : 2 - Nodi: [10-110-111-11], Pann.X=4, Pann.Y=4Spess.=25 cm, Terreno=--,Criterio=CLS_Muri_ND, Materiale=C35/45

Armatura a maglia doppia, Stampa elementi piu' gravosi

Combinazione Rara: σ_{ca} [kg/cmq]=224 σ_{fa} [kg/cmq]=3600

P.	Afx	Afy	σ_c	σ_f	Cbc	Cbf	Ver	Cs
	cmq/m	cmq/m	kg/cmq	kg/cmq				
4	20.11	20.11	-6	102	15	15	Si	35
3	20.11	20.11	-6	107	15	15	Si	34

Combinazione QP: σ_{ca} [kg/cmq]=168 σ_{fa} [kg/cmq]=3600

P.	Afx	Afy	σ_c	σ_f	Cbc	Cbf	Ver	Cs
	cmq/m	cmq/m	kg/cmq	kg/cmq				
3	20.11	20.11	-1	0	19	19	Si	>100
15	20.11	20.11	-1	60	19	19	Si	60

Verifica aperture fessure:Wamm Freq[mm]=0.300 Wamm Qp[mm]=0.200

P.	Nx	Ny	Nxy	Mx	My	Mxy	σ_{fmed}	Wd	Wk	Cb	Ver	Cs
	kg/cmq	kg/cmq	kg/cmq	kg	kg	kg	kg/cmq	mm	mm			
13	-0.45	-0.22	0.24	32	57	-57	7	0.001	0.001	17 (Fr)	Si	>100
16	-0.57	0.01	0.23	-45	-11	-12	7	0.001	0.001	18 (Qp)	Si	>100

Muro : 3 - Nodi: [11-111-112-12], Pann.X=4, Pann.Y=4Spess.=25 cm, Terreno=--,Criterio=CLS_Muri_ND, Materiale=C35/45

Armatura a maglia doppia, Stampa elementi piu' gravosi

Combinazione Rara: σ_{ca} [kg/cmq]=224 σ_{fa} [kg/cmq]=3600

P.	Afx	Afy	σ_c	σ_f	Cbc	Cbf	Ver	Cs
	cmq/m	cmq/m	kg/cmq	kg/cmq				
1	20.11	20.11	-5	92	15	15	Si	39

Combinazione QP: σ_{ca} [kg/cmq]=168 σ_{fa} [kg/cmq]=3600

P.	Afx	Afy	σ_c	σ_f	Cbc	Cbf	Ver	Cs
	cmq/m	cmq/m	kg/cmq	kg/cmq				
16	20.11	20.11	-2	107	19	19	Si	34

Verifica aperture fessure:Wamm Freq[mm]=0.300 Wamm Qp[mm]=0.200

P.	Nx	Ny	Nxy	Mx	My	Mxy	σ_{fmed}	Wd	Wk	Cb	Ver	Cs
	kg/cmq	kg/cmq	kg/cmq	kg	kg	kg	kg/cmq	mm	mm			
16	-0.47	-0.12	0.36	-39	44	-14	11	0.001	0.001	18 (Qp)	Si	>100
16	-0.47	-0.12	0.36	-39	44	-14	11	0.001	0.001	16 (Fr)	Si	>100

Muro : 4 - Nodi: [12-112-113-13], Pann.X=4, Pann.Y=4Spess.=25 cm, Terreno=--,Criterio=CLS_Muri_ND, Materiale=C35/45

Armatura a maglia doppia, Stampa elementi piu' gravosi

Combinazione Rara: σ_{ca} [kg/cmq]=224 σ_{fa} [kg/cmq]=3600

P.	Afx	Afy	σ_c	σ_f	Cbc	Cbf	Ver	Cs
	cmq/m	cmq/m	kg/cmq	kg/cmq				

P.	Afx	Afy	σ_c	σ_f	Cbc	Cbf	Ver	Cs
4	20.11	20.11	-5	53	15	15	Si	48

Combinazione QP: σ_{ca} [kg/cmq]=168 σ_{fa} [kg/cmq]=3600

P.	Afx	Afy	σ_c	σ_f	Cbc	Cbf	Ver	Cs
	cmq/m	cmq/m	kg/cmq	kg/cmq				
13	20.11	20.11	-1	140	19	19	Si	26

Verifica aperture fessure:Wamm Freq[mm]=0.300 Wamm Qp[mm]=0.200

P.	Nx	Ny	Nxy	Mx	My	Mxy	σ_{fmed}	Wd	Wk	Cb	Ver	Cs
	kg/cmq	kg/cmq	kg/cmq	kg	kg	kg	kg/cmq	mm	mm			
3	-0.72	0.00	0.16	-119	-14	40	8	0.001	0.001	16 (Fr)	Si	>100
13	-0.47	-0.00	0.10	-44	36	32	20	0.002	0.002	18 (Qp)	Si	>100

Muro : 5 - Nodi: [13-113-114-14], Pann.X=4, Pann.Y=4Spess.=25 cm, Terreno=--,Criterio=CLS_Muri_ND, Materiale=C35/45

Armatura a maglia doppia, Stampa elementi piu' gravosi

Combinazione Rara: σ_{ca} [kg/cmq]=224 σ_{fa} [kg/cmq]=3600

P.	Afx	Afy	σ_c	σ_f	Cbc	Cbf	Ver	Cs
	cmq/m	cmq/m	kg/cmq	kg/cmq				
3	20.11	20.11	-10	172	15	15	Si	21

Combinazione QP: σ_{ca} [kg/cmq]=168 σ_{fa} [kg/cmq]=3600

P.	Afx	Afy	σ_c	σ_f	Cbc	Cbf	Ver	Cs
	cmq/m	cmq/m	kg/cmq	kg/cmq				
16	20.11	20.11	-2	677	19	19	Si	5.3

Verifica aperture fessure:Wamm Freq[mm]=0.300 Wamm Qp[mm]=0.200

P.	Nx	Ny	Nxy	Mx	My	Mxy	σ_{fmed}	Wd	Wk	Cb	Ver	Cs
	kg/cmq	kg/cmq	kg/cmq	kg	kg	kg	kg/cmq	mm	mm			
16	-0.86	0.15	-0.13	-160	-1	30	19	0.005	0.005	18 (Qp)	Si	42
16	-0.86	0.15	-0.13	-160	-1	30	19	0.005	0.005	16 (Fr)	Si	63

Muro : 6 - Nodi: [9-19-119-109], Pann.X=4, Pann.Y=4Spess.=25 cm, Terreno=--,Criterio=CLS_Muri_ND, Materiale=C35/45

Armatura a maglia doppia, Stampa elementi piu' gravosi

Combinazione Rara: σ_{ca} [kg/cmq]=224 σ_{fa} [kg/cmq]=3600

P.	Afx	Afy	σ_c	σ_f	Cbc	Cbf	Ver	Cs
	cmq/m	cmq/m	kg/cmq	kg/cmq				
13	20.11	20.11	-3	40	15	15	Si	73

Combinazione QP: σ_{ca} [kg/cmq]=168 σ_{fa} [kg/cmq]=3600

P.	Afx	Afy	σ_c	σ_f	Cbc	Cbf	Ver	Cs
	cmq/m	cmq/m	kg/cmq	kg/cmq				
4	20.11	20.11	-1	73	19	19	Si	49

Verifica aperture fessure:Wamm Freq[mm]=0.300 Wamm Qp[mm]=0.200

P.	Nx	Ny	Nxy	Mx	My	Mxy	σ_{fmed}	Wd	Wk	Cb	Ver	Cs
	kg/cmq	kg/cmq	kg/cmq	kg	kg	kg	kg/cmq	mm	mm			
1	0.01	-0.17	-0.03	-1	-49	10	9	0.001	0.001	16 (Fr)	Si	>100
8	0.18	-0.38	-0.12	27	-21	31	23	0.002	0.002	19 (Qp)	Si	>100

Muro : 7 - Nodi: [19-29-129-119], Pann.X=4, Pann.Y=4Spess.=25 cm, Terreno=--,Criterio=CLS_Muri_ND, Materiale=C35/45

Armatura a maglia doppia, Stampa elementi piu' gravosi

Combinazione Rara: σ_{ca} [kg/cmq]=224 σ_{fa} [kg/cmq]=3600

P.	Afx	Afy	σ_c	σ_f	Cbc	Cbf	Ver	Cs
	cmq/m	cmq/m	kg/cmq	kg/cmq				
1	20.11	20.11	-3	46	15	15	Si	67

Combinazione QP: σ_{ca} [kg/cmq]=168 σ_{fa} [kg/cmq]=3600

P.	Afx	Afy	σ_c	σ_f	Cbc	Cbf	Ver	Cs
	cmq/m	cmq/m	kg/cmq	kg/cmq				
4	20.11	20.11	-1	43	19	19	Si	83

Verifica aperture fessure:Wamm Freq[mm]=0.300 Wamm Qp[mm]=0.200

P.	Nx	Ny	Nxy	Mx	My	Mxy	σ_{fmed}	Wd	Wk	Cb	Ver	Cs
	kg/cmq	kg/cmq	kg/cmq	kg	kg	kg	kg/cmq	mm	mm			
4	0.05	-0.55	0.04	-14	-29	0	8	0.001	0.001	16 (Fr)	Si	>100
7	0.01	-0.57	0.01	-11	-34	-4	7	0.001	0.001	18 (Qp)	Si	>100

Muro : 8 - Nodi: [29-129-130-30], Pann.X=4, Pann.Y=4Spess.=25 cm, Terreno=--,Criterio=CLS_Muri_ND, Materiale=C35/45

Armatura a maglia doppia, Stampa elementi piu' gravosi

Combinazione Rara: σ_{ca} [kg/cmq]=224 σ_{fa} [kg/cmq]=3600

P.	Afx	Afy	σ_c	σ_f	Cbc	Cbf	Ver	Cs
	cmq/m	cmq/m	kg/cmq	kg/cmq				
4	20.11	20.11	-1	-2	15	15	Si	>100
13	20.11	20.11	-1	35	15	14	Si	>100

Combinazione QP: σ_{ca} [kg/cmq]=168 σ_{fa} [kg/cmq]=3600

P.	Afx	Afy	σ_c	σ_f	Cbc	Cbf	Ver	Cs
	cmq/m	cmq/m	kg/cmq	kg/cmq				
4	20.11	20.11	-1	-1	19	19	Si	>100
13	20.11	20.11	-0	39	19	19	Si	92

Verifica aperture fessure:Wamm Freq[mm]=0.300 Wamm Qp[mm]=0.200

P.	Nx	Ny	Nxy	Mx	My	Mxy	σ_{fmed}	Wd	Wk	Cb	Ver	Cs
	kg/cmq	kg/cmq	kg/cmq	kg	kg	kg	kg/cmq	mm	mm			
1	-0.13	0.03	0.20	-1	-1	3	4	0.001	0.001	16 (Fr)	Si	>100
11	-0.83	0.09	0.26	-6	-9	-4	17	0.003	0.003	18 (Qp)	Si	75

Muro : 9 - Nodi: [31-131-132-32], Pann.X=4, Pann.Y=4Spess.=25 cm, Terreno=--,Criterio=CLS_Muri_ND, Materiale=C35/45

Armatura a maglia doppia, Stampa elementi piu' gravosi

Combinazione Rara: σ_{ca} [kg/cmq]=224 σ_{fa} [kg/cmq]=3600

P.	Afx	Afy	σ_c	σ_f	Cbc	Cbf	Ver	Cs
	cmq/m	cmq/m	kg/cmq	kg/cmq				
4	20.11	20.11	-2	-10	15	15	Si	95
1	20.11	20.11	-1	-3	15	15	Si	>100

Combinazione QP: σ_{ca} [kg/cmq]=168 σ_{fa} [kg/cmq]=3600

P.	Afx	Afy	σ_c	σ_f	Cbc	Cbf	Ver	Cs
	cmq/m	cmq/m	kg/cmq	kg/cmq				
1	20.11	20.11	-1	-2	19	19	Si	>100
13	20.11	20.11	-1	0	19	19	Si	>100

Verifica aperture fessure:Wamm Freq[mm]=0.300 Wamm Qp[mm]=0.200

P.	Nx	Ny	Nxy	Mx	My	Mxy	σ_{fmed}	Wd	Wk	Cb	Ver	Cs
	kg/cmq	kg/cmq	kg/cmq	kg	kg	kg	kg/cmq	mm	mm			
1	-1.40	-0.19	-0.19	-34	-4	-13	0	0.000	0.000	18 (Qp)	Si	>100
1	-1.40	-0.19	-0.19	-34	-4	-13	0	0.000	0.000	16 (Fr)	Si	>100

Muro : 10 - Nodi: [22-122-132-32], Pann.X=4, Pann.Y=4Spess.=25 cm, Terreno=--,Criterio=CLS_Muri_ND, Materiale=C35/45

Armatura a maglia doppia, Stampa elementi piu' gravosi

Combinazione Rara: σ_{ca} [kg/cmq]=224 σ_{fa} [kg/cmq]=3600

P.	Afx	Afy	σ_c	σ_f	Cbc	Cbf	Ver	Cs
	cmq/m	cmq/m	kg/cmq	kg/cmq				
4	20.11	20.11	-5	8	15	15	Si	48

Combinazione QP: σ_{ca} [kg/cmq]=168 σ_{fa} [kg/cmq]=3600

P.	Afx	Afy	σ_c	σ_f	Cbc	Cbf	Ver	Cs
	cmq/m	cmq/m	kg/cmq	kg/cmq				
3	20.11	20.11	-2	0	19	19	Si	80
13	20.11	20.11	-1	49	19	19	Si	74

Verifica aperture fessure:Wamm_Freq[mm]=0.300 Wamm_Qp[mm]=0.200

P.	Nx	Ny	Nxy	Mx	My	Mxy	σ_{fmed}	Wd	Wk	Cb	Ver	Cs
	kg/cmq	kg/cmq	kg/cmq	kg	kg	kg	kg/cmq	mm	mm			
10	-1.68	-0.11	0.62	90	31	14	5	0.000	0.000	17 (Fr)	Si	>100
13	-1.30	0.22	0.50	40	20	2	40	0.007	0.007	18 (Qp)	Si	31

Muro : 11 - Nodi: [12-112-122-22], Pann.X=4, Pann.Y=4Spess.=25 cm, Terreno=--,Criterio=CLS_Muri_ND, Materiale=C35/45

Armatura a maglia doppia, Stampa elementi piu' gravosi
Combinazione Rara: σ_{ca} [kg/cmq]=224 σ_{fa} [kg/cmq]=3600

P.	Afx	Afy	σ_c	σ_f	Cbc	Cbf	Ver	Cs
	cmq/m	cmq/m	kg/cmq	kg/cmq				
4	20.11	20.11	-2	-1	15	15	Si	>100
1	20.11	20.11	0	176	13	15	Si	21

Combinazione QP: σ_{ca} [kg/cmq]=168 σ_{fa} [kg/cmq]=3600

P.	Afx	Afy	σ_c	σ_f	Cbc	Cbf	Ver	Cs
	cmq/m	cmq/m	kg/cmq	kg/cmq				
2	20.11	20.11	-2	23	19	19	Si	82
13	20.11	20.11	-1	107	19	19	Si	34

Verifica aperture fessure:Wamm Freq[mm]=0.300 Wamm Qp[mm]=0.200

P.	Nx	Ny	Nxy	Mx	My	Mxy	σ_{fmed}	Wd	Wk	Cb	Ver	Cs
	kg/cmq	kg/cmq	kg/cmq	kg	kg	kg	kg/cmq	mm	mm			
1	0.70	0.19	0.45	69	-9	-10	133	0.021	0.021	16 (Fr)	Si	14
15	-0.72	0.26	0.63	22	-1	-2	33	0.008	0.008	18 (Qp)	Si	25

Muro : 12 - Nodi: [125-25-15-115], Pann.X=4, Pann.Y=4Spess.=25 cm, Terreno=--,Criterio=CLS_Muri_ND, Materiale=C35/45

Armatura a maglia doppia, Stampa elementi piu' gravosi
Combinazione Rara: σ_{ca} [kg/cmq]=224 σ_{fa} [kg/cmq]=3600

P.	Afx	Afy	σ_c	σ_f	Cbc	Cbf	Ver	Cs
	cmq/m	cmq/m	kg/cmq	kg/cmq				
4	20.11	20.11	-36	1561	15	15	Si	2.3

Combinazione QP: σ_{ca} [kg/cmq]=168 σ_{fa} [kg/cmq]=3600

P.	Afx	Afy	σ_c	σ_f	Cbc	Cbf	Ver	Cs
	cmq/m	cmq/m	kg/cmq	kg/cmq				
1	20.11	20.11	-49	1635	19	19	Si	2.2
3	20.11	20.11	-45	1837	19	19	Si	2.0

Verifica aperture fessure:Wamm Freq[mm]=0.300 Wamm Qp[mm]=0.200

P.	Nx	Ny	Nxy	Mx	My	Mxy	σ_{fmed}	Wd	Wk	Cb	Ver	Cs
	kg/cmq	kg/cmq	kg/cmq	kg	kg	kg	kg/cmq	mm	mm			
4	4.38	0.28	-2.79	-22	-2	20	559	0.137	0.137	18 (Qp)	Si	1.5
4	4.38	0.28	-2.79	-22	-2	20	559	0.137	0.137	16 (Fr)	Si	2.2

Muro : 13 - Nodi: [114-115-15-14], Pann.X=4, Pann.Y=4Spess.=25 cm, Terreno=--,Criterio=CLS_Muri_ND, Materiale=C35/45

Armatura a maglia doppia, Stampa elementi piu' gravosi
Combinazione Rara: σ_{ca} [kg/cmq]=224 σ_{fa} [kg/cmq]=3600

P.	Afx	Afy	σ_c	σ_f	Cbc	Cbf	Ver	Cs
	cmq/m	cmq/m	kg/cmq	kg/cmq				
13	20.11	20.11	-22	373	15	14	Si	9.6

Combinazione QP: σ_{ca} [kg/cmq]=168 σ_{fa} [kg/cmq]=3600

P.	Afx	Afy	σ_c	σ_f	Cbc	Cbf	Ver	Cs
	cmq/m	cmq/m	kg/cmq	kg/cmq				
13	20.11	20.11	-11	3220	18	19	Si	1.1

Verifica aperture fessure:Wamm Freq[mm]=0.300 Wamm Qp[mm]=0.200

P.	Nx	Ny	Nxy	Mx	My	Mxy	σ_{fmed}	Wd	Wk	Cb	Ver	Cs
	kg/cmq	kg/cmq	kg/cmq	kg	kg	kg	kg/cmq	mm	mm			
13	-0.04	0.60	0.24	-259	-636	-4	436	0.045	0.045	18 (Qp)	Si	4.5
16	-0.01	0.74	0.60	-6	116	-48	98	0.008	0.008	16 (Fr)	Si	38

Muro [Platea]: 14 - Nodi: [25-24-14-15]Pann=9Spess.=35 cm, Terreno=terreno 1, ,Criterio=CLS_Platee_ND,
Materiale=C35/45

Armatura a maglia doppia, Stampa elementi piu' gravosi

Combinazione Rara: σ_{ca} [kg/cmq]=224 σ_{fa} [kg/cmq]=3600

P.	Afx	Afy	σ_c	σ_f	Cbc	Cbf	Ver	Cs
	cmq/m	cmq/m	kg/cmq	kg/cmq				
8	25.45	25.45	-6	590	15	15	Si	6.1
7	25.45	25.45	-2	652	15	15	Si	5.5

Combinazione QP: σ_{ca} [kg/cmq]=168 σ_{fa} [kg/cmq]=3600

P.	Afx	Afy	σ_c	σ_f	Cbc	Cbf	Ver	Cs
	cmq/m	cmq/m	kg/cmq	kg/cmq				
7	25.45	25.45	-6	187	19	19	Si	19

Verifica aperture fessure:Wamm Freq[mm]=0.300 Wamm Qp[mm]=0.200

P.	Nx	Ny	Nxy	Mx	My	Mxy	σ_{fmed}	Wd	Wk	Cb	Ver	Cs
	kg/cmq	kg/cmq	kg/cmq	kg	kg	kg	kg/cmq	mm	mm			
7	-3.40	0.67	0.02	789	-310	-41	101	0.009	0.009	19 (Qp)	Si	23
7	0.19	-0.53	0.07	-195	72	67	84	0.010	0.010	16 (Fr)	Si	30

Muro [Platea]: 15 - Nodi: [34-33-23-24]Pann=9Spess.=35 cm, Terreno=terreno 1, ,Criterio=CLS_Platee_ND,
Materiale=C35/45

Armatura a maglia doppia, Stampa elementi piu' gravosi

Combinazione Rara: σ_{ca} [kg/cmq]=224 σ_{fa} [kg/cmq]=3600

P.	Afx	Afy	σ_c	σ_f	Cbc	Cbf	Ver	Cs
	cmq/m	cmq/m	kg/cmq	kg/cmq				
3	25.45	25.45	-4	2	15	15	Si	54
4	25.45	25.45	-3	12	15	15	Si	78

Combinazione QP: σ_{ca} [kg/cmq]=168 σ_{fa} [kg/cmq]=3600

P.	Afx	Afy	σ_c	σ_f	Cbc	Cbf	Ver	Cs
	cmq/m	cmq/m	kg/cmq	kg/cmq				
3	25.45	25.45	-3	-0	18	19	Si	52
1	25.45	25.45	-2	1	18	19	Si	>100

Verifica aperture fessure:Wamm Freq[mm]=0.300 Wamm Qp[mm]=0.200

P.	Nx	Ny	Nxy	Mx	My	Mxy	σ_{fmed}	Wd	Wk	Cb	Ver	Cs
	kg/cmq	kg/cmq	kg/cmq	kg	kg	kg	kg/cmq	mm	mm			
2	-0.85	-0.78	0.02	242	167	-17	0	0.000	0.000	19 (Qp)	Si	>100
4	-0.75	-0.88	0.13	155	295	-12	5	0.000	0.000	16 (Fr)	Si	>100

Muro [Platea]: 16 - Nodi: [24-23-13-14]Pann=8Spess.=35 cm, Terreno=terreno 1, ,Criterio=CLS_Platee_ND,
Materiale=C35/45

Armatura a maglia doppia, Stampa elementi piu' gravosi

Combinazione Rara: σ_{ca} [kg/cmq]=224 σ_{fa} [kg/cmq]=3600

P.	Afx	Afy	σ_c	σ_f	Cbc	Cbf	Ver	Cs
	cmq/m	cmq/m	kg/cmq	kg/cmq				
4	25.45	25.45	-4	190	15	15	Si	19

Combinazione QP: σ_{ca} [kg/cmq]=168 σ_{fa} [kg/cmq]=3600

P.	Afx	Afy	σ_c	σ_f	Cbc	Cbf	Ver	Cs
	cmq/m	cmq/m	kg/cmq	kg/cmq				
2	25.45	25.45	-2	-2	19	19	Si	74
5	25.45	25.45	-2	26	19	19	Si	>100

Verifica aperture fessure:Wamm Freq[mm]=0.300 Wamm Qp[mm]=0.200

P.	Nx	Ny	Nxy	Mx	My	Mxy	σ_{fmed}	Wd	Wk	Cb	Ver	Cs
	kg/cmq	kg/cmq	kg/cmq	kg	kg	kg	kg/cmq	mm	mm			
3	-0.55	-0.23	0.29	177	394	-75	84	0.009	0.009	16 (Fr)	Si	33
5	-0.40	-0.29	0.31	95	213	-39	26	0.003	0.003	19 (Qp)	Si	79

Muro [Platea]: 17 - Nodi: [33-32-22-23]Pann=8Spess.=35 cm, Terreno=terreno 1, ,Criterio=CLS_Platee_ND,
Materiale=C35/45

Armatura a maglia doppia, Stampa elementi piu' gravosi

Combinazione Rara: $\sigma_{ca}[kg/cm^2]=224$ $\sigma_{fa}[kg/cm^2]=3600$

P.	Afx	Afy	σ_c	σ_f	Cbc	Cbf	Ver	Cs
	cmq/m	cmq/m	kg/cmq	kg/cmq				
6	25.45	25.45	-2	206	15	15	Si	17
5	25.45	25.45	-1	259	15	15	Si	14

Combinazione QP: $\sigma_{ca}[kg/cm^2]=168$ $\sigma_{fa}[kg/cm^2]=3600$

P.	Afx	Afy	σ_c	σ_f	Cbc	Cbf	Ver	Cs
	cmq/m	cmq/m	kg/cmq	kg/cmq				
6	25.45	25.45	-1	105	19	19	Si	34
5	25.45	25.45	-1	119	19	19	Si	30

Verifica aperture fessure:Wamm Freq[mm]=0.300 Wamm Qp[mm]=0.200

P.	Nx	Ny	Nxy	Mx	My	Mxy	σ_{fmed}	Wd	Wk	Cb	Ver	Cs
	kg/cmq	kg/cmq	kg/cmq	kg	kg	kg	kg/cmq	mm	mm			
1	0.46	-0.28	-0.01	-8	57	9	66	0.015	0.015	19 (Qp)	Si	14
1	0.79	-0.42	-0.06	-26	87	21	117	0.025	0.025	16 (Fr)	Si	12

Muro [Platea]: 18 - Nodi: [23-22-12-13]Pann=8Spess.=35 cm, Terreno=terreno 1, ,Criterio=CLS_Platee_ND,
Materiale=C35/45

Armatura a maglia doppia, Stampa elementi piu' gravosi

Combinazione Rara: $\sigma_{ca}[kg/cm^2]=224$ $\sigma_{fa}[kg/cm^2]=3600$

P.	Afx	Afy	σ_c	σ_f	Cbc	Cbf	Ver	Cs
	cmq/m	cmq/m	kg/cmq	kg/cmq				
3	25.45	25.45	-0	52	15	15	Si	69
7	25.45	25.45	0	128	13	15	Si	28

Combinazione QP: $\sigma_{ca}[kg/cm^2]=168$ $\sigma_{fa}[kg/cm^2]=3600$

P.	Afx	Afy	σ_c	σ_f	Cbc	Cbf	Ver	Cs
	cmq/m	cmq/m	kg/cmq	kg/cmq				
3	25.45	25.45	-1	40	19	19	Si	90
8	25.45	25.45	-0	83	19	19	Si	43

Verifica aperture fessure:Wamm Freq[mm]=0.300 Wamm Qp[mm]=0.200

P.	Nx	Ny	Nxy	Mx	My	Mxy	σ_{fmed}	Wd	Wk	Cb	Ver	Cs
	kg/cmq	kg/cmq	kg/cmq	kg	kg	kg	kg/cmq	mm	mm			
8	0.41	0.07	0.15	-87	-31	-34	83	0.013	0.013	19 (Qp)	Si	15
8	0.42	0.25	0.26	-89	-78	-50	86	0.014	0.014	16 (Fr)	Si	22

Muro [Platea]: 19 - Nodi: [32-31-21-22]Pann=16Spess.=35 cm, Terreno=terreno 1, ,Criterio=CLS_Platee_ND,
Materiale=C35/45

Armatura a maglia doppia, Stampa elementi piu' gravosi

Combinazione Rara: $\sigma_{ca}[kg/cm^2]=224$ $\sigma_{fa}[kg/cm^2]=3600$

P.	Afx	Afy	σ_c	σ_f	Cbc	Cbf	Ver	Cs
	cmq/m	cmq/m	kg/cmq	kg/cmq				
3	25.45	25.45	-2	235	15	15	Si	15
1	25.45	25.45	-0	319	15	15	Si	11

Combinazione QP: $\sigma_{ca}[kg/cm^2]=168$ $\sigma_{fa}[kg/cm^2]=3600$

P.	Afx	Afy	σ_c	σ_f	Cbc	Cbf	Ver	Cs
	cmq/m	cmq/m	kg/cmq	kg/cmq				
3	25.45	25.45	-2	153	19	19	Si	24
1	25.45	25.45	-1	180	19	19	Si	20

Verifica aperture fessure:Wamm Freq[mm]=0.300 Wamm Qp[mm]=0.200

P.	Nx	Ny	Nxy	Mx	My	Mxy	σ_{fmed}	Wd	Wk	Cb	Ver	Cs
	kg/cmq	kg/cmq	kg/cmq	kg	kg	kg	kg/cmq	mm	mm			
5	0.50	-0.23	-0.18	-140	-100	-57	113	0.016	0.016	19 (Qp)	Si	12
5	0.79	-0.31	-0.28	-206	-111	-46	174	0.026	0.026	16 (Fr)	Si	12

Muro [Platea]: 20 - Nodi: [31-30-20-21]Pann=16Spess.=35 cm, Terreno=terreno 1, ,Criterio=CLS_Platee_ND,
Materiale=C35/45

Armatura a maglia doppia, Stampa elementi piu' gravosi

Combinazione Rara: $\sigma_{ca}[kg/cm^2]=224$ $\sigma_{fa}[kg/cm^2]=3600$

P.	Afx	Afy	σ_c	σ_f	Cbc	Cbf	Ver	Cs
	cmq/m	cmq/m	kg/cmq	kg/cmq				
5	25.45	25.45	-1	43	15	15	Si	84
1	25.45	25.45	-1	46	15	15	Si	79

Combinazione QP: $\sigma_{ca}[kg/cm^2]=168$ $\sigma_{fa}[kg/cm^2]=3600$

P.	Afx	Afy	σ_c	σ_f	Cbc	Cbf	Ver	Cs
	cmq/m	cmq/m	kg/cmq	kg/cmq				
5	25.45	25.45	-2	52	19	19	Si	69
13	25.45	25.45	-1	54	19	19	Si	66

Verifica aperture fessure:Wamm Freq[mm]=0.300 Wamm Qp[mm]=0.200

P.	Nx	Ny	Nxy	Mx	My	Mxy	σ_{fmed}	Wd	Wk	Cb	Ver	Cs
	kg/cmq	kg/cmq	kg/cmq	kg	kg	kg	kg/cmq	mm	mm			
1	-0.03	0.10	-0.24	-37	-120	-11	49	0.006	0.006	18 (Qp)	Si	35
1	0.11	0.10	-0.13	-55	-106	-21	46	0.005	0.005	17 (Fr)	Si	55

Muro [Platea]: 21 - Nodi: [30-29-19-20]Pann=16Spess.=35 cm, Terreno=terreno 1, ,Criterio=CLS_Platee_ND, Materiale=C35/45

Armatura a maglia doppia, Stampa elementi piu' gravosi

Combinazione Rara: $\sigma_{ca}[kg/cm^2]=224$ $\sigma_{fa}[kg/cm^2]=3600$

P.	Afx	Afy	σ_c	σ_f	Cbc	Cbf	Ver	Cs
	cmq/m	cmq/m	kg/cmq	kg/cmq				
15	25.45	25.45	-2	99	15	15	Si	36

Combinazione QP: $\sigma_{ca}[kg/cm^2]=168$ $\sigma_{fa}[kg/cm^2]=3600$

P.	Afx	Afy	σ_c	σ_f	Cbc	Cbf	Ver	Cs
	cmq/m	cmq/m	kg/cmq	kg/cmq				
3	25.45	25.45	-1	35	19	19	Si	>100
1	25.45	25.45	-1	59	19	19	Si	61

Verifica aperture fessure:Wamm Freq[mm]=0.300 Wamm Qp[mm]=0.200

P.	Nx	Ny	Nxy	Mx	My	Mxy	σ_{fmed}	Wd	Wk	Cb	Ver	Cs
	kg/cmq	kg/cmq	kg/cmq	kg	kg	kg	kg/cmq	mm	mm			
5	-0.10	0.05	-0.03	45	-93	45	35	0.004	0.004	18 (Qp)	Si	49
15	-0.07	-0.13	0.01	-178	10	22	43	0.005	0.005	16 (Fr)	Si	64

Muro [Platea]: 22 - Nodi: [22-21-11-12]Pann=16Spess.=35 cm, Terreno=terreno 1, ,Criterio=CLS_Platee_ND, Materiale=C35/45

Armatura a maglia doppia, Stampa elementi piu' gravosi

Combinazione Rara: $\sigma_{ca}[kg/cm^2]=224$ $\sigma_{fa}[kg/cm^2]=3600$

P.	Afx	Afy	σ_c	σ_f	Cbc	Cbf	Ver	Cs
	cmq/m	cmq/m	kg/cmq	kg/cmq				
12	25.45	25.45	-2	116	15	15	Si	31
1	25.45	25.45	-1	147	14	15	Si	24

Combinazione QP: $\sigma_{ca}[kg/cm^2]=168$ $\sigma_{fa}[kg/cm^2]=3600$

P.	Afx	Afy	σ_c	σ_f	Cbc	Cbf	Ver	Cs
	cmq/m	cmq/m	kg/cmq	kg/cmq				
2	25.45	25.45	-1	84	19	19	Si	43
1	25.45	25.45	-0	114	19	19	Si	31

Verifica aperture fessure:Wamm Freq[mm]=0.300 Wamm Qp[mm]=0.200

P.	Nx	Ny	Nxy	Mx	My	Mxy	σ_{fmed}	Wd	Wk	Cb	Ver	Cs
	kg/cmq	kg/cmq	kg/cmq	kg	kg	kg	kg/cmq	mm	mm			
5	0.22	-0.24	-0.11	-42	99	-46	44	0.007	0.007	19 (Qp)	Si	28
5	0.32	-0.20	-0.05	-58	102	-54	62	0.010	0.010	16 (Fr)	Si	30

Muro [Platea]: 23 - Nodi: [21-20-10-11]Pann=16Spess.=35 cm, Terreno=terreno 1, ,Criterio=CLS_Platee_ND, Materiale=C35/45

Armatura a maglia doppia, Stampa elementi piu' gravosi

Combinazione Rara: σ_{ca} [kg/cmq]=224 σ_{fa} [kg/cmq]=3600

P.	Afx	Afy	σ_c	σ_f	Cbc	Cbf	Ver	Cs
	cmq/m	cmq/m	kg/cmq	kg/cmq				
8	25.45	25.45	-2	138	15	15	Si	26

Combinazione QP: σ_{ca} [kg/cmq]=168 σ_{fa} [kg/cmq]=3600

P.	Afx	Afy	σ_c	σ_f	Cbc	Cbf	Ver	Cs
	cmq/m	cmq/m	kg/cmq	kg/cmq				
5	25.45	25.45	-1	20	19	19	Si	>100
9	25.45	25.45	-1	22	19	19	Si	>100

Verifica aperture fessure:Wamm_Freq[mm]=0.300 Wamm_Qp[mm]=0.200

P.	Nx	Ny	Nxy	Mx	My	Mxy	σ_{fmed}	Wd	Wk	Cb	Ver	Cs
	kg/cmq	kg/cmq	kg/cmq	kg	kg	kg	kg/cmq	mm	mm			
8	-0.10	-0.09	0.05	-7	-190	9	43	0.005	0.005	16 (Fr)	Si	63
9	-0.33	-0.27	0.06	93	187	-28	22	0.002	0.002	19 (Qp)	Si	94

Muro [Platea]: 24 - Nodi: [20-19-9-10]Pann=16Spess.=35 cm, Terreno=terreno 1, ,Criterio=CLS_Platee_ND, Materiale=C35/45

Armatura a maglia doppia, Stampa elementi piu' gravosi

Combinazione Rara: σ_{ca} [kg/cmq]=224 σ_{fa} [kg/cmq]=3600

P.	Afx	Afy	σ_c	σ_f	Cbc	Cbf	Ver	Cs
	cmq/m	cmq/m	kg/cmq	kg/cmq				
14	25.45	25.45	-1	75	15	15	Si	48
4	25.45	25.45	-0	95	15	15	Si	38

Combinazione QP: σ_{ca} [kg/cmq]=168 σ_{fa} [kg/cmq]=3600

P.	Afx	Afy	σ_c	σ_f	Cbc	Cbf	Ver	Cs
	cmq/m	cmq/m	kg/cmq	kg/cmq				
14	25.45	25.45	-1	29	19	19	Si	>100
16	25.45	25.45	-0	32	19	19	Si	>100

Verifica aperture fessure:Wamm_Freq[mm]=0.300 Wamm_Qp[mm]=0.200

P.	Nx	Ny	Nxy	Mx	My	Mxy	σ_{fmed}	Wd	Wk	Cb	Ver	Cs
	kg/cmq	kg/cmq	kg/cmq	kg	kg	kg	kg/cmq	mm	mm			
13	0.34	0.02	0.06	-134	1	4	49	0.004	0.004	17 (Fr)	Si	69
14	-0.06	-0.18	0.10	-125	27	-27	29	0.003	0.003	19 (Qp)	Si	64

Muro [Platea]: 25 - Nodi: [40-39-29-30]Pann=8Spess.=35 cm, Terreno=terreno 1, ,Criterio=CLS_Platee_ND, Materiale=C35/45

Armatura a maglia doppia, Stampa elementi piu' gravosi

Combinazione Rara: σ_{ca} [kg/cmq]=224 σ_{fa} [kg/cmq]=3600

P.	Afx	Afy	σ_c	σ_f	Cbc	Cbf	Ver	Cs
	cmq/m	cmq/m	kg/cmq	kg/cmq				
5	25.45	25.45	-2	104	15	15	Si	35

Combinazione QP: σ_{ca} [kg/cmq]=168 σ_{fa} [kg/cmq]=3600

P.	Afx	Afy	σ_c	σ_f	Cbc	Cbf	Ver	Cs
	cmq/m	cmq/m	kg/cmq	kg/cmq				
3	25.45	25.45	-1	12	19	19	Si	>100
7	25.45	25.45	-1	30	19	19	Si	>100

Verifica aperture fessure:Wamm_Freq[mm]=0.300 Wamm_Qp[mm]=0.200

P.	Nx	Ny	Nxy	Mx	My	Mxy	σ_{fmed}	Wd	Wk	Cb	Ver	Cs
	kg/cmq	kg/cmq	kg/cmq	kg	kg	kg	kg/cmq	mm	mm			
6	-0.08	-0.07	-0.10	-170	-9	-52	39	0.004	0.004	16 (Fr)	Si	71
7	0.00	0.02	-0.07	-100	-60	-42	29	0.003	0.003	18 (Qp)	Si	60

Muro [Platea]: 26 - Nodi: [41-40-30-31]Pann=8Spess.=35 cm, Terreno=terreno 1, ,Criterio=CLS_Platee_ND, Materiale=C35/45

Armatura a maglia doppia, Stampa elementi piu' gravosi

Combinazione Rara: σ_{ca} [kg/cmq]=224 σ_{fa} [kg/cmq]=3600

P.	Afx	Afy	σ_c	σ_f	Cbc	Cbf	Ver	Cs
	cmq/m	cmq/m	kg/cmq	kg/cmq				
3	25.45	25.45	-1	10	15	15	Si	>100
2	25.45	25.45	-0	17	15	15	Si	>100

Combinazione QP: σ_{ca} [kg/cmq]=168 σ_{fa} [kg/cmq]=3600

P.	Afx	Afy	σ_c	σ_f	Cbc	Cbf	Ver	Cs
	cmq/m	cmq/m	kg/cmq	kg/cmq				
3	25.45	25.45	-1	13	19	19	Si	>100
5	25.45	25.45	-1	13	19	19	Si	>100

Verifica aperture fessure:Wamm Freq[mm]=0.300 Wamm Qp[mm]=0.200

P.	Nx	Ny	Nxy	Mx	My	Mxy	σ_{fmed}	Wd	Wk	Cb	Ver	Cs
	kg/cmq	kg/cmq	kg/cmq	kg	kg	kg	kg/cmq	mm	mm			
5	-0.40	-0.37	-0.25	118	188	30	13	0.001	0.001	18 (Qp)	Si	>100
5	-0.19	-0.30	-0.15	69	152	17	10	0.001	0.001	17 (Fr)	Si	>100

Muro [Platea]: 27 - Nodi: [43-42-33-34]Pann=4Spess.=35 cm, Terreno=terreno 1, ,Criterio=CLS_Platee_ND, Materiale=C35/45

Armatura a maglia doppia, Stampa elementi piu' gravosi

Combinazione Rara: σ_{ca} [kg/cmq]=224 σ_{fa} [kg/cmq]=3600

P.	Afx	Afy	σ_c	σ_f	Cbc	Cbf	Ver	Cs
	cmq/m	cmq/m	kg/cmq	kg/cmq				
2	25.45	25.45	-4	1	15	15	Si	56

Combinazione QP: σ_{ca} [kg/cmq]=168 σ_{fa} [kg/cmq]=3600

P.	Afx	Afy	σ_c	σ_f	Cbc	Cbf	Ver	Cs
	cmq/m	cmq/m	kg/cmq	kg/cmq				
2	25.45	25.45	-3	-0	18	19	Si	56
1	25.45	25.45	-2	-1	19	19	Si	88

Verifica aperture fessure:Wamm Freq[mm]=0.300 Wamm Qp[mm]=0.200

P.	Nx	Ny	Nxy	Mx	My	Mxy	σ_{fmed}	Wd	Wk	Cb	Ver	Cs
	kg/cmq	kg/cmq	kg/cmq	kg	kg	kg	kg/cmq	mm	mm			
1	-1.08	-1.06	-0.53	291	127	170	0	0.000	0.000	18 (Qp)	Si	>100
1	-1.08	-1.06	-0.53	291	127	170	0	0.000	0.000	16 (Fr)	Si	>100

Muro [Platea]: 28 - Nodi: [54-53-43-44]Pann=8Spess.=35 cm, Terreno=terreno 1, ,Criterio=CLS_Platee_ND, Materiale=C35/45

Armatura a maglia doppia, Stampa elementi piu' gravosi

Combinazione Rara: σ_{ca} [kg/cmq]=224 σ_{fa} [kg/cmq]=3600

P.	Afx	Afy	σ_c	σ_f	Cbc	Cbf	Ver	Cs
	cmq/m	cmq/m	kg/cmq	kg/cmq				
5	25.45	25.45	-7	605	15	15	Si	6.0

Combinazione QP: σ_{ca} [kg/cmq]=168 σ_{fa} [kg/cmq]=3600

P.	Afx	Afy	σ_c	σ_f	Cbc	Cbf	Ver	Cs
	cmq/m	cmq/m	kg/cmq	kg/cmq				
7	25.45	25.45	-7	293	19	19	Si	12
4	25.45	25.45	-4	391	19	18	Si	9.2

Verifica aperture fessure:Wamm Freq[mm]=0.300 Wamm Qp[mm]=0.200

P.	Nx	Ny	Nxy	Mx	My	Mxy	σ_{fmed}	Wd	Wk	Cb	Ver	Cs
	kg/cmq	kg/cmq	kg/cmq	kg	kg	kg	kg/cmq	mm	mm			
7	-3.39	1.30	0.17	936	-363	-3	293	0.042	0.042	19 (Qp)	Si	4.7
7	-0.01	1.95	0.34	128	-277	-40	355	0.062	0.062	16 (Fr)	Si	4.9

Muro [Platea]: 29 - Nodi: [53-51-42-43]Pann=8Spess.=35 cm, Terreno=terreno 1, ,Criterio=CLS_Platee_ND, Materiale=C35/45

Armatura a maglia doppia, Stampa elementi piu' gravosi

Combinazione Rara: σ_{ca} [kg/cmq]=224 σ_{fa} [kg/cmq]=3600

P.	Afx	Afy	σ_c	σ_f	Cbc	Cbf	Ver	Cs
	cmq/m	cmq/m	kg/cmq	kg/cmq				

**POTENZIAMENTO DELL'IMPIANTO DI DEPURAZIONE E
DEL RECAPITO FINALE DI SQUINZANO (LE)
PROGETTO DEFINITIVO
Tabulati di calcolo strutturale-Filtrazione**

R.37.9

Maggio 2021

Pagina 287 di
364

P.	Afx	Afy	σ_c	σ_f	Cbc	Cbf	Ver	Cs
1	25.45	25.45	-5	185	15	15	Si	19

Combinazione QP: σ_{ca} [kg/cmq]=168 σ_{fa} [kg/cmq]=3600

P.	Afx	Afy	σ_c	σ_f	Cbc	Cbf	Ver	Cs
	cmq/m	cmq/m	kg/cmq	kg/cmq				
6	25.45	25.45	-2	16	19	19	Si	87
2	25.45	25.45	-1	35	19	19	Si	>100

Verifica aperture fessure:Wamm Freq[mm]=0.300 Wamm Qp[mm]=0.200

P.	Nx	Ny	Nxy	Mx	My	Mxy	σ_{fmed}	Wd	Wk	Cb	Ver	Cs
	kg/cmq	kg/cmq	kg/cmq	kg	kg	kg	kg/cmq	mm	mm			
1	-0.24	-0.29	-0.35	-47	-411	70	83	0.009	0.009	16 (Fr)	Si	34
5	-0.23	-0.31	-0.40	52	214	81	24	0.002	0.002	19 (Qp)	Si	85

Muro [Platea]: 30 - Nodi: [42-32-33]Pann=8Spess.=35 cm, Terreno=terreno 1, ,Criterio=CLS_Platee_ND, Materiale=C35/45

Armatura a maglia doppia, Stampa elementi piu' gravosi

Combinazione Rara: σ_{ca} [kg/cmq]=224 σ_{fa} [kg/cmq]=3600

P.	Afx	Afy	σ_c	σ_f	Cbc	Cbf	Ver	Cs
	cmq/m	cmq/m	kg/cmq	kg/cmq				
8	25.45	25.45	-2	245	15	15	Si	15
7	25.45	25.45	-1	260	15	15	Si	14

Combinazione QP: σ_{ca} [kg/cmq]=168 σ_{fa} [kg/cmq]=3600

P.	Afx	Afy	σ_c	σ_f	Cbc	Cbf	Ver	Cs
	cmq/m	cmq/m	kg/cmq	kg/cmq				
8	25.45	25.45	-1	140	19	19	Si	26
7	25.45	25.45	-1	150	19	19	Si	24

Verifica aperture fessure:Wamm Freq[mm]=0.300 Wamm Qp[mm]=0.200

P.	Nx	Ny	Nxy	Mx	My	Mxy	σ_{fmed}	Wd	Wk	Cb	Ver	Cs
	kg/cmq	kg/cmq	kg/cmq	kg	kg	kg	kg/cmq	mm	mm			
1	-0.20	0.48	0.17	38	-111	-39	101	0.016	0.016	19 (Qp)	Si	13
1	-0.29	0.79	0.31	58	-177	-71	164	0.025	0.025	16 (Fr)	Si	12

Muro [Platea]: 31 - Nodi: [42-41-31-32]Pann=12Spess.=35 cm, Terreno=terreno 1, ,Criterio=CLS_Platee_ND, Materiale=C35/45

Armatura a maglia doppia, Stampa elementi piu' gravosi

Combinazione Rara: σ_{ca} [kg/cmq]=224 σ_{fa} [kg/cmq]=3600

P.	Afx	Afy	σ_c	σ_f	Cbc	Cbf	Ver	Cs
	cmq/m	cmq/m	kg/cmq	kg/cmq				
8	25.45	25.45	-3	291	15	15	Si	12
6	25.45	25.45	-1	317	15	15	Si	11

Combinazione QP: σ_{ca} [kg/cmq]=168 σ_{fa} [kg/cmq]=3600

P.	Afx	Afy	σ_c	σ_f	Cbc	Cbf	Ver	Cs
	cmq/m	cmq/m	kg/cmq	kg/cmq				
8	25.45	25.45	-3	187	19	19	Si	19

Verifica aperture fessure:Wamm Freq[mm]=0.300 Wamm Qp[mm]=0.200

P.	Nx	Ny	Nxy	Mx	My	Mxy	σ_{fmed}	Wd	Wk	Cb	Ver	Cs
	kg/cmq	kg/cmq	kg/cmq	kg	kg	kg	kg/cmq	mm	mm			
5	0.79	-0.26	-0.02	-220	-106	116	179	0.026	0.026	16 (Fr)	Si	12
8	0.43	-0.26	-0.19	-429	27	90	187	0.022	0.022	19 (Qp)	Si	8.9

Muro [Platea]: 32 - Nodi: [50-49-40-41]Pann=12Spess.=35 cm, Terreno=terreno 1, ,Criterio=CLS_Platee_ND, Materiale=C35/45

Armatura a maglia doppia, Stampa elementi piu' gravosi

Combinazione Rara: σ_{ca} [kg/cmq]=224 σ_{fa} [kg/cmq]=3600

P.	Afx	Afy	σ_c	σ_f	Cbc	Cbf	Ver	Cs
	cmq/m	cmq/m	kg/cmq	kg/cmq				
10	25.45	25.45	-2	133	15	15	Si	27

Combinazione QP: $\sigma_{ca}[kg/cm^2]=168$ $\sigma_{fa}[kg/cm^2]=3600$

P.	Afx	Afy	σ_c	σ_f	Cbc	Cbf	Ver	Cs
	cmq/m	cmq/m	kg/cmq	kg/cmq				
4	25.45	25.45	-1	14	19	19	Si	>100

Verifica aperture fessure:Wamm Freq[mm]=0.300 Wamm Qp[mm]=0.200

P.	Nx	Ny	Nxy	Mx	My	Mxy	σ_{fmed}	Wd	Wk	Cb	Ver	Cs
	kg/cmq	kg/cmq	kg/cmq	kg	kg	kg	kg/cmq	mm	mm			
4	-0.50	-0.39	-0.19	130	201	52	14	0.001	0.001	19 (Qp)	Si	>100
10	-0.17	-0.15	-0.26	6	-221	24	45	0.005	0.005	16 (Fr)	Si	62

Muro [Platea]: 33 - Nodi: [49-48-39-40]Pann=9Spess.=35 cm, Terreno=terreno 1, ,Criterio=CLS_Platee_ND, Materiale=C35/45

Armatura a maglia doppia, Stampa elementi piu' gravosi

Combinazione Rara: $\sigma_{ca}[kg/cm^2]=224$ $\sigma_{fa}[kg/cm^2]=3600$

P.	Afx	Afy	σ_c	σ_f	Cbc	Cbf	Ver	Cs
	cmq/m	cmq/m	kg/cmq	kg/cmq				
4	25.45	25.45	-1	87	15	15	Si	42

Combinazione QP: $\sigma_{ca}[kg/cm^2]=168$ $\sigma_{fa}[kg/cm^2]=3600$

P.	Afx	Afy	σ_c	σ_f	Cbc	Cbf	Ver	Cs
	cmq/m	cmq/m	kg/cmq	kg/cmq				
3	25.45	25.45	-1	34	19	19	Si	>100

Verifica aperture fessure:Wamm Freq[mm]=0.300 Wamm Qp[mm]=0.200

P.	Nx	Ny	Nxy	Mx	My	Mxy	σ_{fmed}	Wd	Wk	Cb	Ver	Cs
	kg/cmq	kg/cmq	kg/cmq	kg	kg	kg	kg/cmq	mm	mm			
3	-0.06	-0.14	-0.13	-142	7	33	34	0.004	0.004	19 (Qp)	Si	54
3	0.03	-0.07	-0.14	-144	-5	32	46	0.005	0.005	16 (Fr)	Si	57

Muro [Platea]: 34 - Nodi: [51-50-41-42]Pann=16Spess.=35 cm, Terreno=terreno 1, ,Criterio=CLS_Platee_ND, Materiale=C35/45

Armatura a maglia doppia, Stampa elementi piu' gravosi

Combinazione Rara: $\sigma_{ca}[kg/cm^2]=224$ $\sigma_{fa}[kg/cm^2]=3600$

P.	Afx	Afy	σ_c	σ_f	Cbc	Cbf	Ver	Cs
	cmq/m	cmq/m	kg/cmq	kg/cmq				
3	25.45	25.45	-2	188	15	15	Si	19
4	25.45	25.45	-1	273	15	15	Si	13

Combinazione QP: $\sigma_{ca}[kg/cm^2]=168$ $\sigma_{fa}[kg/cm^2]=3600$

P.	Afx	Afy	σ_c	σ_f	Cbc	Cbf	Ver	Cs
	cmq/m	cmq/m	kg/cmq	kg/cmq				
3	25.45	25.45	-2	129	19	19	Si	28
4	25.45	25.45	-1	186	19	19	Si	19

Verifica aperture fessure:Wamm Freq[mm]=0.300 Wamm Qp[mm]=0.200

P.	Nx	Ny	Nxy	Mx	My	Mxy	σ_{fmed}	Wd	Wk	Cb	Ver	Cs
	kg/cmq	kg/cmq	kg/cmq	kg	kg	kg	kg/cmq	mm	mm			
3	0.27	-0.28	-0.29	-314	54	30	129	0.015	0.015	19 (Qp)	Si	13
8	0.48	-0.42	-0.12	-102	132	136	98	0.015	0.015	16 (Fr)	Si	20

Muro : 35 - Nodi: [154-54-44-144], Pann.X=4, Pann.Y=4Spess.=25 cm, Terreno=--,Criterio=CLS_Muri_ND, Materiale=C35/45

Armatura a maglia doppia, Stampa elementi piu' gravosi

Combinazione Rara: $\sigma_{ca}[kg/cm^2]=224$ $\sigma_{fa}[kg/cm^2]=3600$

P.	Afx	Afy	σ_c	σ_f	Cbc	Cbf	Ver	Cs
	cmq/m	cmq/m	kg/cmq	kg/cmq				
1	20.11	20.11	-44	766	15	15	Si	4.7
2	20.11	20.11	-41	972	15	15	Si	3.7

Combinazione QP: $\sigma_{ca}[kg/cm^2]=168$ $\sigma_{fa}[kg/cm^2]=3600$

P.	Afx	Afy	σ_c	σ_f	Cbc	Cbf	Ver	Cs
	cmq/m	cmq/m	kg/cmq	kg/cmq				
4	20.11	20.11	-51	1951	19	19	Si	1.8

Verifica aperture fessure:Wamm Freq[mm]=0.300 Wamm Qp[mm]=0.200

P.	Nx	Ny	Nxy	Mx	My	Mxy	σ_{fmed}	Wd	Wk	Cb	Ver	Cs
	kg/cmq	kg/cmq	kg/cmq	kg	kg	kg	kg/cmq	mm	mm			
4	0.60	1.04	-4.55	89	15	12	139	0.032	0.032	18 (Qp)	Si	6.3
4	0.60	1.04	-4.55	89	15	12	139	0.032	0.032	16 (Fr)	Si	9.4

Muro : 36 - Nodi: [53-153-154-54], Pann.X=4, Pann.Y=4Spess.=25 cm, Terreno=--,Criterio=CLS_Muri_ND, Materiale=C35/45

Armatura a maglia doppia, Stampa elementi piu' gravosi

Combinazione Rara: σ_{ca} [kg/cmq]=224 σ_{fa} [kg/cmq]=3600

P.	Afx	Afy	σ_c	σ_f	Cbc	Cbf	Ver	Cs
	cmq/m	cmq/m	kg/cmq	kg/cmq				
16	20.11	20.11	-24	195	15	14	Si	9.2
4	20.11	20.11	-16	489	15	15	Si	7.4

Verifica aperture fessure:Wamm Freq[mm]=0.300 Wamm Qp[mm]=0.200

P.	Nx	Ny	Nxy	Mx	My	Mxy	σ_{fmed}	Wd	Wk	Cb	Ver	Cs
	kg/cmq	kg/cmq	kg/cmq	kg	kg	kg	kg/cmq	mm	mm			
3	-0.93	-0.28	-0.91	725	84	210	290	0.028	0.028	18 (Qp)	Si	7.2
4	-0.96	-0.08	0.13	830	8	176	346	0.033	0.033	16 (Fr)	Si	9.0

Muro : 37 - Nodi: [48-148-149-49], Pann.X=4, Pann.Y=4Spess.=25 cm, Terreno=--,Criterio=CLS_Muri_ND, Materiale=C35/45

Armatura a maglia doppia, Stampa elementi piu' gravosi

Combinazione Rara: σ_{ca} [kg/cmq]=224 σ_{fa} [kg/cmq]=3600

P.	Afx	Afy	σ_c	σ_f	Cbc	Cbf	Ver	Cs
	cmq/m	cmq/m	kg/cmq	kg/cmq				
4	20.11	20.11	-4	55	15	15	Si	56
9	20.11	20.11	-1	76	15	14	Si	47

Combinazione QP: σ_{ca} [kg/cmq]=168 σ_{fa} [kg/cmq]=3600

P.	Afx	Afy	σ_c	σ_f	Cbc	Cbf	Ver	Cs
	cmq/m	cmq/m	kg/cmq	kg/cmq				
13	20.11	20.11	-2	93	19	19	Si	39

Verifica aperture fessure:Wamm Freq[mm]=0.300 Wamm Qp[mm]=0.200

P.	Nx	Ny	Nxy	Mx	My	Mxy	σ_{fmed}	Wd	Wk	Cb	Ver	Cs
	kg/cmq	kg/cmq	kg/cmq	kg	kg	kg	kg/cmq	mm	mm			
1	0.35	0.12	0.18	50	-1	-1	16	0.004	0.004	16 (Fr)	Si	77
11	-0.39	0.14	0.35	37	-4	-16	20	0.004	0.004	18 (Qp)	Si	47

Muro : 38 - Nodi: [39-48-148-139], Pann.X=4, Pann.Y=4Spess.=25 cm, Terreno=--,Criterio=CLS_Muri_ND, Materiale=C35/45

Armatura a maglia doppia, Stampa elementi piu' gravosi

Combinazione Rara: σ_{ca} [kg/cmq]=224 σ_{fa} [kg/cmq]=3600

P.	Afx	Afy	σ_c	σ_f	Cbc	Cbf	Ver	Cs
	cmq/m	cmq/m	kg/cmq	kg/cmq				
1	20.11	20.11	-5	73	15	15	Si	44

Combinazione QP: σ_{ca} [kg/cmq]=168 σ_{fa} [kg/cmq]=3600

P.	Afx	Afy	σ_c	σ_f	Cbc	Cbf	Ver	Cs
	cmq/m	cmq/m	kg/cmq	kg/cmq				
16	20.11	20.11	-2	81	19	19	Si	45

Verifica aperture fessure:Wamm Freq[mm]=0.300 Wamm Qp[mm]=0.200

P.	Nx	Ny	Nxy	Mx	My	Mxy	σ_{fmed}	Wd	Wk	Cb	Ver	Cs
	kg/cmq	kg/cmq	kg/cmq	kg	kg	kg	kg/cmq	mm	mm			
12	0.10	-0.38	0.00	8	-31	-21	18	0.003	0.003	18 (Qp)	Si	66
13	0.03	-0.11	0.09	-2	-94	-21	39	0.004	0.004	16 (Fr)	Si	81

Muro : 39 - Nodi: [29-39-139-129], Pann.X=4, Pann.Y=4Spess.=25 cm, Terreno=--,Criterio=CLS_Muri_ND, Materiale=C35/45

Armatura a maglia doppia, Stampa elementi piu' gravosi

Combinazione Rara: σ_{ca} [kg/cmq]=224 σ_{fa} [kg/cmq]=3600

P.	Afx	Afy	σ_c	σ_f	Cbc	Cbf	Ver	Cs
	cmq/m	cmq/m	kg/cmq	kg/cmq				
13	20.11	20.11	-5	80	15	15	Si	41

Combinazione QP: σ_{ca} [kg/cmq]=168 σ_{fa} [kg/cmq]=3600

P.	Afx	Afy	σ_c	σ_f	Cbc	Cbf	Ver	Cs
	cmq/m	cmq/m	kg/cmq	kg/cmq				
13	20.11	20.11	-1	-1	19	19	Si	>100
16	20.11	20.11	-1	53	19	19	Si	68

Verifica aperture fessure:Wamm Freq[mm]=0.300 Wamm Qp[mm]=0.200

P.	Nx	Ny	Nxy	Mx	My	Mxy	σ_{fmed}	Wd	Wk	Cb	Ver	Cs
	kg/cmq	kg/cmq	kg/cmq	kg	kg	kg	kg/cmq	mm	mm			
11	0.07	-0.75	0.23	-31	-19	5	14	0.001	0.001	19 (Qp)	Si	>100
16	0.09	-0.76	0.10	-16	-48	-28	12	0.001	0.001	16 (Fr)	Si	>100

Muro : 40 - Nodi: [51-152-153-53], Pann.X=4, Pann.Y=4Spess.=25 cm, Terreno=--,Criterio=CLS_Muri_ND, Materiale=C35/45

Armatura a maglia doppia, Stampa elementi piu' gravosi

Combinazione Rara: σ_{ca} [kg/cmq]=224 σ_{fa} [kg/cmq]=3600

P.	Afx	Afy	σ_c	σ_f	Cbc	Cbf	Ver	Cs
	cmq/m	cmq/m	kg/cmq	kg/cmq				
4	20.11	20.11	-10	360	15	15	Si	10.0

Combinazione QP: σ_{ca} [kg/cmq]=168 σ_{fa} [kg/cmq]=3600

P.	Afx	Afy	σ_c	σ_f	Cbc	Cbf	Ver	Cs
	cmq/m	cmq/m	kg/cmq	kg/cmq				
12	20.11	20.11	-3	127	18	19	Si	28
16	20.11	20.11	-1	286	19	19	Si	13

Verifica aperture fessure:Wamm Freq[mm]=0.300 Wamm Qp[mm]=0.200

P.	Nx	Ny	Nxy	Mx	My	Mxy	σ_{fmed}	Wd	Wk	Cb	Ver	Cs
	kg/cmq	kg/cmq	kg/cmq	kg	kg	kg	kg/cmq	mm	mm			
1	-0.79	0.05	-0.04	89	63	-71	42	0.004	0.004	18 (Qp)	Si	47
1	-0.79	0.05	-0.04	89	63	-71	42	0.004	0.004	16 (Fr)	Si	70

Muro : 41 - Nodi: [151-152-51], Pann.X=4, Pann.Y=4Spess.=25 cm, Terreno=--,Criterio=CLS_Muri_ND, Materiale=C35/45

Armatura a maglia doppia, Stampa elementi piu' gravosi

Combinazione Rara: σ_{ca} [kg/cmq]=224 σ_{fa} [kg/cmq]=3600

P.	Afx	Afy	σ_c	σ_f	Cbc	Cbf	Ver	Cs
	cmq/m	cmq/m	kg/cmq	kg/cmq				
16	20.11	20.11	-3	19	15	15	Si	67
13	20.11	20.11	-1	25	14	14	Si	>100

Combinazione QP: σ_{ca} [kg/cmq]=168 σ_{fa} [kg/cmq]=3600

P.	Afx	Afy	σ_c	σ_f	Cbc	Cbf	Ver	Cs
	cmq/m	cmq/m	kg/cmq	kg/cmq				
1	20.11	20.11	-2	128	19	19	Si	28
2	20.11	20.11	-1	138	19	19	Si	26

Verifica aperture fessure:Wamm Freq[mm]=0.300 Wamm Qp[mm]=0.200

P.	Nx	Ny	Nxy	Mx	My	Mxy	σ_{fmed}	Wd	Wk	Cb	Ver	Cs
	kg/cmq	kg/cmq	kg/cmq	kg	kg	kg	kg/cmq	mm	mm			
2	0.04	-0.60	0.31	-46	53	51	32	0.003	0.003	18 (Qp)	Si	62
2	-0.37	-0.63	0.85	81	45	27	7	0.001	0.001	17 (Fr)	Si	>100

Muro : 42 - Nodi: [42-142-151-51], Pann.X=4, Pann.Y=4Spess.=25 cm, Terreno=--,Criterio=CLS_Muri_ND, Materiale=C35/45

Armatura a maglia doppia, Stampa elementi piu' gravosi

Combinazione Rara: σ_{ca} [kg/cmq]=224 σ_{fa} [kg/cmq]=3600

P.	Afx	Afy	σ_c	σ_f	Cbc	Cbf	Ver	Cs
	cmq/m	cmq/m	kg/cmq	kg/cmq				
1	20.11	20.11	-3	-1	15	15	Si	75
16	20.11	20.11	-0	126	15	14	Si	29

Combinazione QP: σ_{ca} [kg/cmq]=168 σ_{fa} [kg/cmq]=3600

P.	Afx	Afy	σ_c	σ_f	Cbc	Cbf	Ver	Cs
	cmq/m	cmq/m	kg/cmq	kg/cmq				
1	20.11	20.11	-2	0	19	19	Si	71
16	20.11	20.11	-1	105	19	19	Si	34

Verifica aperture fessure:Wamm Freq[mm]=0.300 Wamm Qp[mm]=0.200

P.	Nx	Ny	Nxy	Mx	My	Mxy	σ_{fmed}	Wd	Wk	Cb	Ver	Cs
	kg/cmq	kg/cmq	kg/cmq	kg	kg	kg	kg/cmq	mm	mm			
4	0.50	0.18	-0.68	71	-10	17	29	0.005	0.005	16 (Fr)	Si	56
14	-1.27	0.30	-0.77	36	-4	26	40	0.009	0.009	18 (Qp)	Si	22

Muro : 43 - Nodi: [50-150-151-51], Pann.X=4, Pann.Y=4Spess.=25 cm, Terreno=--,Criterio=CLS_Muri_ND, Materiale=C35/45

Armatura a maglia doppia, Stampa elementi piu' gravosi

Combinazione Rara: σ_{ca} [kg/cmq]=224 σ_{fa} [kg/cmq]=3600

P.	Afx	Afy	σ_c	σ_f	Cbc	Cbf	Ver	Cs
	cmq/m	cmq/m	kg/cmq	kg/cmq				
1	20.11	20.11	-5	72	15	15	Si	43

Combinazione QP: σ_{ca} [kg/cmq]=168 σ_{fa} [kg/cmq]=3600

P.	Afx	Afy	σ_c	σ_f	Cbc	Cbf	Ver	Cs
	cmq/m	cmq/m	kg/cmq	kg/cmq				
16	20.11	20.11	-2	86	19	19	Si	42

Verifica aperture fessure:Wamm Freq[mm]=0.300 Wamm Qp[mm]=0.200

P.	Nx	Ny	Nxy	Mx	My	Mxy	σ_{fmed}	Wd	Wk	Cb	Ver	Cs
	kg/cmq	kg/cmq	kg/cmq	kg	kg	kg	kg/cmq	mm	mm			
4	-0.67	-0.16	0.14	127	6	-10	6	0.000	0.000	16 (Fr)	Si	>100
13	-0.72	-0.03	0.19	55	18	-14	7	0.001	0.001	18 (Qp)	Si	>100

Muro : 44 - Nodi: [32-132-142-42], Pann.X=4, Pann.Y=4Spess.=25 cm, Terreno=--,Criterio=CLS_Muri_ND, Materiale=C35/45

Armatura a maglia doppia, Stampa elementi piu' gravosi

Combinazione Rara: σ_{ca} [kg/cmq]=224 σ_{fa} [kg/cmq]=3600

P.	Afx	Afy	σ_c	σ_f	Cbc	Cbf	Ver	Cs
	cmq/m	cmq/m	kg/cmq	kg/cmq				
1	20.11	20.11	-5	2	15	15	Si	48
15	20.11	20.11	-2	9	15	15	Si	93

Combinazione QP: σ_{ca} [kg/cmq]=168 σ_{fa} [kg/cmq]=3600

P.	Afx	Afy	σ_c	σ_f	Cbc	Cbf	Ver	Cs
	cmq/m	cmq/m	kg/cmq	kg/cmq				
4	20.11	20.11	-2	-1	19	19	Si	74
16	20.11	20.11	-2	48	19	19	Si	75

Verifica aperture fessure:Wamm Freq[mm]=0.300 Wamm Qp[mm]=0.200

P.	Nx	Ny	Nxy	Mx	My	Mxy	σ_{fmed}	Wd	Wk	Cb	Ver	Cs
	kg/cmq	kg/cmq	kg/cmq	kg	kg	kg	kg/cmq	mm	mm			
15	-1.96	-0.09	-0.29	77	36	-2	9	0.001	0.001	17 (Fr)	Si	>100
16	-1.82	0.22	-0.41	58	22	28	42	0.007	0.007	18 (Qp)	Si	30

Muro : 45 - Nodi: [49-149-150-50], Pann.X=4, Pann.Y=4Spess.=25 cm, Terreno=--,Criterio=CLS_Muri_ND, Materiale=C35/45

Armatura a maglia doppia, Stampa elementi piu' gravosi

Combinazione Rara: σ_{ca} [kg/cmq]=224 σ_{fa} [kg/cmq]=3600

P.	Afx	Afy	σ_c	σ_f	Cbc	Cbf	Ver	Cs
	cmq/m	cmq/m	kg/cmq	kg/cmq				
4	20.11	20.11	-6	82	15	15	Si	40
3	20.11	20.11	-5	87	15	15	Si	41

Combinazione QP: σ_{ca} [kg/cmq]=168 σ_{fa} [kg/cmq]=3600

P.	Afx	Afy	σ_c	σ_f	Cbc	Cbf	Ver	Cs
	cmq/m	cmq/m	kg/cmq	kg/cmq				

P.	Afx	Afy	σ_c	σ_f	Cbc	Cbf	Ver	Cs
3	20.11	20.11	-1	-0	19	19	Si	>100
15	20.11	20.11	-1	57	19	19	Si	63

Verifica aperture fessure:Wamm Freq[mm]=0.300 Wamm Qp[mm]=0.200

P.	Nx	Ny	Nxy	Mx	My	Mxy	σ_{fmed}	Wd	Wk	Cb	Ver	Cs
	kg/cmq	kg/cmq	kg/cmq	kg	kg	kg	kg/cmq	mm	mm			
13	-0.61	0.11	0.31	42	4	-18	17	0.003	0.003	18 (Qp)	Si	58
14	-0.64	-0.21	0.22	-25	-64	19	12	0.001	0.001	17 (Fr)	Si	>100

Muro : 46 - Nodi: [30-130-131-31], Pann.X=4, Pann.Y=4Spess.=25 cm, Terreno=--,Criterio=CLS_Muri_ND, Materiale=C35/45

Armatura a maglia doppia, Stampa elementi piu' gravosi

Combinazione Rara: σ_{ca} [kg/cmq]=224 σ_{fa} [kg/cmq]=3600

P.	Afx	Afy	σ_c	σ_f	Cbc	Cbf	Ver	Cs
	cmq/m	cmq/m	kg/cmq	kg/cmq				
4	20.11	20.11	-1	-2	15	15	Si	>100
1	20.11	20.11	-1	-2	15	15	Si	>100

Combinazione QP: σ_{ca} [kg/cmq]=168 σ_{fa} [kg/cmq]=3600

P.	Afx	Afy	σ_c	σ_f	Cbc	Cbf	Ver	Cs
	cmq/m	cmq/m	kg/cmq	kg/cmq				
3	20.11	20.11	-2	-2	19	19	Si	>100
13	20.11	20.11	-1	30	19	19	Si	>100

Verifica aperture fessure:Wamm Freq[mm]=0.300 Wamm Qp[mm]=0.200

P.	Nx	Ny	Nxy	Mx	My	Mxy	σ_{fmed}	Wd	Wk	Cb	Ver	Cs
	kg/cmq	kg/cmq	kg/cmq	kg	kg	kg	kg/cmq	mm	mm			
1	-1.32	-0.11	0.09	-13	-3	-7	0	0.000	0.000	16 (Fr)	Si	>100
13	-1.07	0.05	0.16	-8	-10	-12	7	0.001	0.001	18 (Qp)	Si	>100

Muro [Platea]: 47 - Nodi: [138-137-127-128]Pann=16Spess.=35 cm, Terreno=terreno 1, ,Criterio=CLS_Platee_ND, Materiale=C35/45

Armatura a maglia doppia, Stampa elementi piu' gravosi

Combinazione Rara: σ_{ca} [kg/cmq]=224 σ_{fa} [kg/cmq]=3600

P.	Afx	Afy	σ_c	σ_f	Cbc	Cbf	Ver	Cs
	cmq/m	cmq/m	kg/cmq	kg/cmq				
14	25.45	25.45	-1	8	15	15	Si	>100
1	25.45	25.45	-0	62	14	13	Si	58

Combinazione QP: σ_{ca} [kg/cmq]=168 σ_{fa} [kg/cmq]=3600

P.	Afx	Afy	σ_c	σ_f	Cbc	Cbf	Ver	Cs
	cmq/m	cmq/m	kg/cmq	kg/cmq				
14	25.45	25.45	-4	63	19	19	Si	42

Verifica aperture fessure:Wamm Freq[mm]=0.300 Wamm Qp[mm]=0.200

P.	Nx	Ny	Nxy	Mx	My	Mxy	σ_{fmed}	Wd	Wk	Cb	Ver	Cs
	kg/cmq	kg/cmq	kg/cmq	kg	kg	kg	kg/cmq	mm	mm			
12	-0.07	0.02	-0.38	52	43	147	16	0.002	0.002	16 (Fr)	Si	>100
14	-0.10	-0.11	-0.48	198	39	115	44	0.005	0.005	18 (Qp)	Si	42

Muro [Platea]: 48 - Nodi: [157-156-146-147]Pann=16Spess.=35 cm, Terreno=terreno 1, ,Criterio=CLS_Platee_ND, Materiale=C35/45

Armatura a maglia doppia, Stampa elementi piu' gravosi

Combinazione Rara: σ_{ca} [kg/cmq]=224 σ_{fa} [kg/cmq]=3600

P.	Afx	Afy	σ_c	σ_f	Cbc	Cbf	Ver	Cs
	cmq/m	cmq/m	kg/cmq	kg/cmq				
15	25.45	25.45	-2	21	15	15	Si	>100
3	25.45	25.45	-1	72	15	13	Si	50

Combinazione QP: σ_{ca} [kg/cmq]=168 σ_{fa} [kg/cmq]=3600

P.	Afx	Afy	σ_c	σ_f	Cbc	Cbf	Ver	Cs
	cmq/m	cmq/m	kg/cmq	kg/cmq				
15	25.45	25.45	-4	56	19	19	Si	40

Verifica aperture fessure:Wamm Freq[mm]=0.300 Wamm Qp[mm]=0.200

P.	Nx	Ny	Nxy	Mx	My	Mxy	σ_{fmed}	Wd	Wk	Cb	Ver	Cs
	kg/cmq	kg/cmq	kg/cmq	kg	kg	kg	kg/cmq	mm	mm			
15	-0.90	-0.59	0.27	563	170	-35	56	0.005	0.005	19 (Qp)	Si	38
15	-0.59	-0.37	-0.13	304	110	53	21	0.002	0.002	17 (Fr)	Si	>100

Muro [Platea]: 49 - Nodi: [128-127-117-118]Pann=16Spess.=35 cm, Terreno=terreno 1, ,Criterio=CLS_Platee_ND, Materiale=C35/45

Armatura a maglia doppia, Stampa elementi piu' gravosi

Combinazione Rara: σ_{ca} [kg/cmq]=224 σ_{fa} [kg/cmq]=3600

P.	Afx	Afy	σ_c	σ_f	Cbc	Cbf	Ver	Cs
	cmq/m	cmq/m	kg/cmq	kg/cmq				
4	25.45	25.45	-1	43	15	15	Si	83
8	25.45	25.45	-1	49	15	15	Si	73

Combinazione QP: σ_{ca} [kg/cmq]=168 σ_{fa} [kg/cmq]=3600

P.	Afx	Afy	σ_c	σ_f	Cbc	Cbf	Ver	Cs
	cmq/m	cmq/m	kg/cmq	kg/cmq				
13	25.45	25.45	-1	14	19	19	Si	>100
16	25.45	25.45	-1	82	19	19	Si	44

Verifica aperture fessure:Wamm Freq[mm]=0.300 Wamm Qp[mm]=0.200

P.	Nx	Ny	Nxy	Mx	My	Mxy	σ_{fmed}	Wd	Wk	Cb	Ver	Cs
	kg/cmq	kg/cmq	kg/cmq	kg	kg	kg	kg/cmq	mm	mm			
4	0.21	0.02	-0.13	-29	37	28	38	0.007	0.007	19 (Qp)	Si	30
4	0.24	-0.08	-0.12	-22	93	-3	40	0.008	0.008	16 (Fr)	Si	40

Muro [Platea]: 50 - Nodi: [147-146-137-138]Pann=16Spess.=35 cm, Terreno=terreno 1, ,Criterio=CLS_Platee_ND, Materiale=C35/45

Armatura a maglia doppia, Stampa elementi piu' gravosi

Combinazione Rara: σ_{ca} [kg/cmq]=224 σ_{fa} [kg/cmq]=3600

P.	Afx	Afy	σ_c	σ_f	Cbc	Cbf	Ver	Cs
	cmq/m	cmq/m	kg/cmq	kg/cmq				
14	25.45	25.45	-2	19	15	15	Si	>100
2	25.45	25.45	-1	79	15	13	Si	45

Combinazione QP: σ_{ca} [kg/cmq]=168 σ_{fa} [kg/cmq]=3600

P.	Afx	Afy	σ_c	σ_f	Cbc	Cbf	Ver	Cs
	cmq/m	cmq/m	kg/cmq	kg/cmq				
14	25.45	25.45	-5	74	19	19	Si	34
15	25.45	25.45	-5	76	19	19	Si	35

Verifica aperture fessure:Wamm Freq[mm]=0.300 Wamm Qp[mm]=0.200

P.	Nx	Ny	Nxy	Mx	My	Mxy	σ_{fmed}	Wd	Wk	Cb	Ver	Cs
	kg/cmq	kg/cmq	kg/cmq	kg	kg	kg	kg/cmq	mm	mm			
8	-0.03	0.01	-0.18	-15	60	142	19	0.002	0.002	16 (Fr)	Si	>100
15	-0.13	-0.17	-0.35	285	69	88	66	0.007	0.007	18 (Qp)	Si	28

Muro [Platea]: 51 - Nodi: [146-145-136-137]Pann=8Spess.=35 cm, Terreno=terreno 1, ,Criterio=CLS_Platee_ND, Materiale=C35/45

Armatura a maglia doppia, Stampa elementi piu' gravosi

Combinazione Rara: σ_{ca} [kg/cmq]=224 σ_{fa} [kg/cmq]=3600

P.	Afx	Afy	σ_c	σ_f	Cbc	Cbf	Ver	Cs
	cmq/m	cmq/m	kg/cmq	kg/cmq				
5	25.45	25.45	-3	10	15	15	Si	86

Combinazione QP: σ_{ca} [kg/cmq]=168 σ_{fa} [kg/cmq]=3600

P.	Afx	Afy	σ_c	σ_f	Cbc	Cbf	Ver	Cs
	cmq/m	cmq/m	kg/cmq	kg/cmq				
2	25.45	25.45	-4	-3	19	19	Si	48
5	25.45	25.45	-3	2	19	18	Si	65

Verifica aperture fessure:Wamm Freq[mm]=0.300 Wamm Qp[mm]=0.200

P.	Nx	Ny	Nxy	Mx	My	Mxy	σ_{fmed}	Wd	Wk	Cb	Ver	Cs
	kg/cmq	kg/cmq	kg/cmq	kg	kg	kg	kg/cmq	mm	mm			
1	-1.92	-0.73	0.02	419	109	13	0	0.000	0.000	19 (Qp)	Si	>100
5	-0.94	-0.21	-0.31	198	80	57	2	0.000	0.000	16 (Fr)	Si	>100

Muro [Platea]: 52 - Nodi: [137-136-126-127]Pann=8Spess.=35 cm, Terreno=terreno 1, ,Criterio=CLS_Platee_ND, Materiale=C35/45

Armatura a maglia doppia, Stampa elementi piu' gravosi

Combinazione Rara: σ_{ca} [kg/cmq]=224 σ_{fa} [kg/cmq]=3600

P.	Afx	Afy	σ_c	σ_f	Cbc	Cbf	Ver	Cs
	cmq/m	cmq/m	kg/cmq	kg/cmq				
2	25.45	25.45	-1	5	15	15	Si	>100

Combinazione QP: σ_{ca} [kg/cmq]=168 σ_{fa} [kg/cmq]=3600

P.	Afx	Afy	σ_c	σ_f	Cbc	Cbf	Ver	Cs
	cmq/m	cmq/m	kg/cmq	kg/cmq				
2	25.45	25.45	-3	10	19	19	Si	53

Verifica aperture fessure:Wamm Freq[mm]=0.300 Wamm Qp[mm]=0.200

P.	Nx	Ny	Nxy	Mx	My	Mxy	σ_{fmed}	Wd	Wk	Cb	Ver	Cs
	kg/cmq	kg/cmq	kg/cmq	kg	kg	kg	kg/cmq	mm	mm			
2	-0.59	-0.13	-0.36	128	74	81	6	0.001	0.001	18 (Qp)	Si	>100
2	-0.71	-0.16	-0.54	143	81	114	5	0.000	0.000	17 (Fr)	Si	>100

Muro [Platea]: 53 - Nodi: [127-126-116-117]Pann=16Spess.=35 cm, Terreno=terreno 1, ,Criterio=CLS_Platee_ND, Materiale=C35/45

Armatura a maglia doppia, Stampa elementi piu' gravosi

Combinazione Rara: σ_{ca} [kg/cmq]=224 σ_{fa} [kg/cmq]=3600

P.	Afx	Afy	σ_c	σ_f	Cbc	Cbf	Ver	Cs
	cmq/m	cmq/m	kg/cmq	kg/cmq				
12	25.45	25.45	-2	66	15	15	Si	55
16	25.45	25.45	-1	67	15	15	Si	54

Combinazione QP: σ_{ca} [kg/cmq]=168 σ_{fa} [kg/cmq]=3600

P.	Afx	Afy	σ_c	σ_f	Cbc	Cbf	Ver	Cs
	cmq/m	cmq/m	kg/cmq	kg/cmq				
8	25.45	25.45	-4	133	19	19	Si	27

Verifica aperture fessure:Wamm Freq[mm]=0.300 Wamm Qp[mm]=0.200

P.	Nx	Ny	Nxy	Mx	My	Mxy	σ_{fmed}	Wd	Wk	Cb	Ver	Cs
	kg/cmq	kg/cmq	kg/cmq	kg	kg	kg	kg/cmq	mm	mm			
12	-0.20	0.02	-0.22	15	-165	-8	51	0.006	0.006	18 (Qp)	Si	35
12	-0.20	0.02	-0.22	15	-165	-8	51	0.006	0.006	16 (Fr)	Si	52

Muro [Platea]: 54 - Nodi: [156-155-145-146]Pann=9Spess.=35 cm, Terreno=terreno 1, ,Criterio=CLS_Platee_ND, Materiale=C35/45

Armatura a maglia doppia, Stampa elementi piu' gravosi

Combinazione Rara: σ_{ca} [kg/cmq]=224 σ_{fa} [kg/cmq]=3600

P.	Afx	Afy	σ_c	σ_f	Cbc	Cbf	Ver	Cs
	cmq/m	cmq/m	kg/cmq	kg/cmq				
3	25.45	25.45	-3	-1	15	15	Si	83
4	25.45	25.45	-2	2	15	15	Si	>100

Combinazione QP: σ_{ca} [kg/cmq]=168 σ_{fa} [kg/cmq]=3600

P.	Afx	Afy	σ_c	σ_f	Cbc	Cbf	Ver	Cs
	cmq/m	cmq/m	kg/cmq	kg/cmq				
4	25.45	25.45	-3	4	19	19	Si	49
9	25.45	25.45	-3	5	19	19	Si	51

Verifica aperture fessure:Wamm Freq[mm]=0.300 Wamm Qp[mm]=0.200

P.	Nx	Ny	Nxy	Mx	My	Mxy	σ_{fmed}	Wd	Wk	Cb	Ver	Cs
	kg/cmq	kg/cmq	kg/cmq	kg	kg	kg	kg/cmq	mm	mm			

P.	Nx	Ny	Nxy	Mx	My	Mxy	σ_{fmed}	Wd	Wk	Cb	Ver	Cs
1	-0.68	-0.45	-0.29	162	70	59	0	0.000	0.000	18 (Qp)	Si	>100
1	-0.68	-0.45	-0.29	162	70	59	0	0.000	0.000	16 (Fr)	Si	>100

Muro [Platea]: 55 - Nodi: [155-154-144-145]Pann=9Spess.=35 cm, Terreno=terreno 1, ,Criterio=CLS_Platee_ND, Materiale=C35/45

Armatura a maglia doppia, Stampa elementi piu' gravosi

Combinazione Rara: σ_{ca} [kg/cm²]=224 σ_{fa} [kg/cm²]=3600

P.	Afx	Afy	σ_c	σ_f	Cbc	Cbf	Ver	Cs
	cmq/m	cmq/m	kg/cm ²	kg/cm ²				
3	25.45	25.45	-7	24	15	15	Si	33

Combinazione QP: σ_{ca} [kg/cm²]=168 σ_{fa} [kg/cm²]=3600

P.	Afx	Afy	σ_c	σ_f	Cbc	Cbf	Ver	Cs
	cmq/m	cmq/m	kg/cm ²	kg/cm ²				
3	25.45	25.45	-7	551	19	19	Si	6.5

Verifica aperture fessure:Wamm Freq[mm]=0.300 Wamm Qp[mm]=0.200

P.	Nx	Ny	Nxy	Mx	My	Mxy	σ_{fmed}	Wd	Wk	Cb	Ver	Cs
	kg/cm ²	kg/cm ²	kg/cm ²	kg	kg	kg	kg/cm ²	mm	mm			
1	-0.07	-0.64	-0.55	-7	304	119	18	0.002	0.002	18 (Qp)	Si	>100
1	-0.07	-0.64	-0.55	-7	304	119	18	0.002	0.002	16 (Fr)	Si	>100

Muro [Platea]: 56 - Nodi: [126-125-115-116]Pann=16Spess.=35 cm, Terreno=terreno 1, ,Criterio=CLS_Platee_ND, Materiale=C35/45

Armatura a maglia doppia, Stampa elementi piu' gravosi

Combinazione Rara: σ_{ca} [kg/cm²]=224 σ_{fa} [kg/cm²]=3600

P.	Afx	Afy	σ_c	σ_f	Cbc	Cbf	Ver	Cs
	cmq/m	cmq/m	kg/cm ²	kg/cm ²				
14	25.45	25.45	-7	64	15	15	Si	33
8	25.45	25.45	-2	100	15	15	Si	36

Combinazione QP: σ_{ca} [kg/cm²]=168 σ_{fa} [kg/cm²]=3600

P.	Afx	Afy	σ_c	σ_f	Cbc	Cbf	Ver	Cs
	cmq/m	cmq/m	kg/cm ²	kg/cm ²				
15	25.45	25.45	-6	540	19	19	Si	6.7
16	25.45	25.45	-3	614	19	19	Si	5.9

Verifica aperture fessure:Wamm Freq[mm]=0.300 Wamm Qp[mm]=0.200

P.	Nx	Ny	Nxy	Mx	My	Mxy	σ_{fmed}	Wd	Wk	Cb	Ver	Cs
	kg/cm ²	kg/cm ²	kg/cm ²	kg	kg	kg	kg/cm ²	mm	mm			
8	-0.48	-0.01	-0.22	89	-169	48	48	0.005	0.005	16 (Fr)	Si	55
13	0.28	-0.85	-0.16	18	273	-38	44	0.009	0.009	18 (Qp)	Si	23

Muro [Platea]: 57 - Nodi: [145-144-135-136]Pann=8Spess.=35 cm, Terreno=terreno 1, ,Criterio=CLS_Platee_ND, Materiale=C35/45

Armatura a maglia doppia, Stampa elementi piu' gravosi

Combinazione Rara: σ_{ca} [kg/cm²]=224 σ_{fa} [kg/cm²]=3600

P.	Afx	Afy	σ_c	σ_f	Cbc	Cbf	Ver	Cs
	cmq/m	cmq/m	kg/cm ²	kg/cm ²				
8	25.45	25.45	-7	383	15	15	Si	9.4
4	25.45	25.45	-7	385	15	15	Si	9.3

Combinazione QP: σ_{ca} [kg/cm²]=168 σ_{fa} [kg/cm²]=3600

P.	Afx	Afy	σ_c	σ_f	Cbc	Cbf	Ver	Cs
	cmq/m	cmq/m	kg/cm ²	kg/cm ²				
4	25.45	25.45	-6	216	19	19	Si	17

Verifica aperture fessure:Wamm Freq[mm]=0.300 Wamm Qp[mm]=0.200

P.	Nx	Ny	Nxy	Mx	My	Mxy	σ_{fmed}	Wd	Wk	Cb	Ver	Cs
	kg/cm ²	kg/cm ²	kg/cm ²	kg	kg	kg	kg/cm ²	mm	mm			
4	0.04	-0.11	-0.14	362	60	30	111	0.013	0.013	18 (Qp)	Si	16
4	0.04	-0.11	-0.14	362	60	30	111	0.013	0.013	16 (Fr)	Si	24

Muro [Platea]: 58 - Nodi: [136-135-125-126]Pann=8Spess.=35 cm, Terreno=terreno 1, ,Criterio=CLS_Platee_ND, Materiale=C35/45

Armatura a maglia doppia, Stampa elementi piu' gravosi

Combinazione Rara: σ_{ca} [kg/cmq]=224 σ_{fa} [kg/cmq]=3600

P.	Afx	Afy	σ_c	σ_f	Cbc	Cbf	Ver	Cs
	cmq/m	cmq/m	kg/cmq	kg/cmq				
4	25.45	25.45	-7	369	15	15	Si	9.8

Combinazione QP: σ_{ca} [kg/cmq]=168 σ_{fa} [kg/cmq]=3600

P.	Afx	Afy	σ_c	σ_f	Cbc	Cbf	Ver	Cs
	cmq/m	cmq/m	kg/cmq	kg/cmq				
3	25.45	25.45	-5	190	19	19	Si	19

Verifica aperture fessure:Wamm Freq[mm]=0.300 Wamm Qp[mm]=0.200

P.	Nx	Ny	Nxy	Mx	My	Mxy	σ_{fmed}	Wd	Wk	Cb	Ver	Cs
	kg/cmq	kg/cmq	kg/cmq	kg	kg	kg	kg/cmq	mm	mm			
3	0.06	-0.13	-0.10	334	52	-4	106	0.012	0.012	18 (Qp)	Si	17
3	0.06	-0.13	-0.10	334	52	-4	106	0.012	0.012	16 (Fr)	Si	25

Muro [Platea]: 59 - Nodi: [25-35-34-24]Pann=4Spess.=35 cm, Terreno=terreno 1, ,Criterio=CLS_Platee_ND, Materiale=C35/45

Armatura a maglia doppia, Stampa elementi piu' gravosi

Combinazione Rara: σ_{ca} [kg/cmq]=224 σ_{fa} [kg/cmq]=3600

P.	Afx	Afy	σ_c	σ_f	Cbc	Cbf	Ver	Cs
	cmq/m	cmq/m	kg/cmq	kg/cmq				
3	25.45	25.45	-6	-3	15	15	Si	40
1	25.45	25.45	-3	85	15	15	Si	42

Combinazione QP: σ_{ca} [kg/cmq]=168 σ_{fa} [kg/cmq]=3600

P.	Afx	Afy	σ_c	σ_f	Cbc	Cbf	Ver	Cs
	cmq/m	cmq/m	kg/cmq	kg/cmq				
4	25.45	25.45	-2	3	19	19	Si	90

Verifica aperture fessure:Wamm Freq[mm]=0.300 Wamm Qp[mm]=0.200

P.	Nx	Ny	Nxy	Mx	My	Mxy	σ_{fmed}	Wd	Wk	Cb	Ver	Cs
	kg/cmq	kg/cmq	kg/cmq	kg	kg	kg	kg/cmq	mm	mm			
4	-2.08	-0.47	0.32	512	156	-27	2	0.000	0.000	18 (Qp)	Si	>100
4	-2.08	-0.47	0.32	512	156	-27	2	0.000	0.000	16 (Fr)	Si	>100

Muro [Platea]: 60 - Nodi: [35-44-43-34]Pann=4Spess.=35 cm, Terreno=terreno 1, ,Criterio=CLS_Platee_ND, Materiale=C35/45

Armatura a maglia doppia, Stampa elementi piu' gravosi

Combinazione Rara: σ_{ca} [kg/cmq]=224 σ_{fa} [kg/cmq]=3600

P.	Afx	Afy	σ_c	σ_f	Cbc	Cbf	Ver	Cs
	cmq/m	cmq/m	kg/cmq	kg/cmq				
1	25.45	25.45	-6	4	15	15	Si	39
3	25.45	25.45	-2	121	15	15	Si	30

Combinazione QP: σ_{ca} [kg/cmq]=168 σ_{fa} [kg/cmq]=3600

P.	Afx	Afy	σ_c	σ_f	Cbc	Cbf	Ver	Cs
	cmq/m	cmq/m	kg/cmq	kg/cmq				
2	25.45	25.45	-2	13	19	18	Si	87
3	25.45	25.45	-1	40	18	18	Si	91

Verifica aperture fessure:Wamm Freq[mm]=0.300 Wamm Qp[mm]=0.200

P.	Nx	Ny	Nxy	Mx	My	Mxy	σ_{fmed}	Wd	Wk	Cb	Ver	Cs
	kg/cmq	kg/cmq	kg/cmq	kg	kg	kg	kg/cmq	mm	mm			
2	-0.89	-0.40	0.15	260	165	-90	6	0.000	0.000	19 (Qp)	Si	>100
3	-0.70	-0.07	0.82	-88	-168	-239	40	0.004	0.004	16 (Fr)	Si	69

Muro : 61 - Nodi: [160-260-263-163], Pann.X=4, Pann.Y=4Spess.=25 cm, Terreno=--,Criterio=CLS_Muri_ND, Materiale=C35/45

Armatura a maglia doppia, Stampa elementi piu' gravosi

Combinazione Rara: $\sigma_{ca}[\text{kg/cm}^2]=224$ $\sigma_{fa}[\text{kg/cm}^2]=3600$

P.	Afx	Afy	σ_c	σ_f	Cbc	Cbf	Ver	Cs
	cmq/m	cmq/m	kg/cmq	kg/cmq				
13	20.11	20.11	-1	6	15	15	Si	>100
16	20.11	20.11	-0	15	15	15	Si	>100

Combinazione QP: $\sigma_{ca}[\text{kg/cm}^2]=168$ $\sigma_{fa}[\text{kg/cm}^2]=3600$

P.	Afx	Afy	σ_c	σ_f	Cbc	Cbf	Ver	Cs
	cmq/m	cmq/m	kg/cmq	kg/cmq				
13	20.11	20.11	-1	-2	19	19	Si	>100
16	20.11	20.11	-0	28	19	19	Si	>100

Verifica aperture fessure:Wamm Freq[mm]=0.300 Wamm Qp[mm]=0.200

P.	Nx	Ny	Nxy	Mx	My	Mxy	σ_{fmed}	Wd	Wk	Cb	Ver	Cs
	kg/cmq	kg/cmq	kg/cmq	kg	kg	kg	kg/cmq	mm	mm			
15	-0.32	0.03	0.03	-12	-15	-13	6	0.000	0.000	19 (Qp)	Si	>100
15	-0.49	-0.06	0.19	-19	-26	-4	7	0.001	0.001	16 (Fr)	Si	>100

Muro : 62 - Nodi: [159-259-262-162], Pann.X=4, Pann.Y=4Spess.=25 cm, Terreno=--,Criterio=CLS_Muri_ND, Materiale=C35/45

Armatura a maglia doppia, Stampa elementi piu' gravosi

Combinazione Rara: $\sigma_{ca}[\text{kg/cm}^2]=224$ $\sigma_{fa}[\text{kg/cm}^2]=3600$

P.	Afx	Afy	σ_c	σ_f	Cbc	Cbf	Ver	Cs
	cmq/m	cmq/m	kg/cmq	kg/cmq				
16	20.11	20.11	-1	60	15	15	Si	60

Combinazione QP: $\sigma_{ca}[\text{kg/cm}^2]=168$ $\sigma_{fa}[\text{kg/cm}^2]=3600$

P.	Afx	Afy	σ_c	σ_f	Cbc	Cbf	Ver	Cs
	cmq/m	cmq/m	kg/cmq	kg/cmq				
16	20.11	20.11	-1	58	19	19	Si	63

Verifica aperture fessure:Wamm Freq[mm]=0.300 Wamm Qp[mm]=0.200

P.	Nx	Ny	Nxy	Mx	My	Mxy	σ_{fmed}	Wd	Wk	Cb	Ver	Cs
	kg/cmq	kg/cmq	kg/cmq	kg	kg	kg	kg/cmq	mm	mm			
4	0.10	0.07	-0.34	-3	-10	12	14	0.003	0.003	16 (Fr)	Si	>100
16	0.05	0.11	-0.19	7	-77	9	29	0.002	0.002	19 (Qp)	Si	91

Muro : 63 - Nodi: [162-262-263-163], Pann.X=4, Pann.Y=4Spess.=25 cm, Terreno=--,Criterio=CLS_Muri_ND, Materiale=C35/45

Armatura a maglia doppia, Stampa elementi piu' gravosi

Combinazione Rara: $\sigma_{ca}[\text{kg/cm}^2]=224$ $\sigma_{fa}[\text{kg/cm}^2]=3600$

P.	Afx	Afy	σ_c	σ_f	Cbc	Cbf	Ver	Cs
	cmq/m	cmq/m	kg/cmq	kg/cmq				
1	20.11	20.11	-1	3	15	15	Si	>100
14	20.11	20.11	-1	45	15	15	Si	80

Combinazione QP: $\sigma_{ca}[\text{kg/cm}^2]=168$ $\sigma_{fa}[\text{kg/cm}^2]=3600$

P.	Afx	Afy	σ_c	σ_f	Cbc	Cbf	Ver	Cs
	cmq/m	cmq/m	kg/cmq	kg/cmq				
14	20.11	20.11	-1	46	19	19	Si	79

Verifica aperture fessure:Wamm Freq[mm]=0.300 Wamm Qp[mm]=0.200

P.	Nx	Ny	Nxy	Mx	My	Mxy	σ_{fmed}	Wd	Wk	Cb	Ver	Cs
	kg/cmq	kg/cmq	kg/cmq	kg	kg	kg	kg/cmq	mm	mm			
13	-0.44	0.16	-0.26	26	-8	-21	25	0.005	0.005	18 (Qp)	Si	43
13	-0.44	0.16	-0.26	26	-8	-21	25	0.005	0.005	16 (Fr)	Si	64

Muro [Platea]: 64 - Nodi: [159-158-154-155]Pann=16Spess.=35 cm, Terreno=terreno 1, ,Criterio=CLS_Platee_ND, Materiale=C35/45

Armatura a maglia doppia, Stampa elementi piu' gravosi

Combinazione Rara: $\sigma_{ca}[\text{kg/cm}^2]=224$ $\sigma_{fa}[\text{kg/cm}^2]=3600$

P.	Afx	Afy	σ_c	σ_f	Cbc	Cbf	Ver	Cs
	cmq/m	cmq/m	kg/cmq	kg/cmq				
8	25.45	25.45	-2	19	15	15	Si	>100
1	25.45	25.45	-0	128	15	15	Si	28

Combinazione QP: σ_{ca} [kg/cmq]=168 σ_{fa} [kg/cmq]=3600

P.	Afx	Afy	σ_c	σ_f	Cbc	Cbf	Ver	Cs
	cmq/m	cmq/m	kg/cmq	kg/cmq				
16	25.45	25.45	-3	29	19	19	Si	64
13	25.45	25.45	-0	68	19	18	Si	53

Verifica aperture fessure:Wamm Freq[mm]=0.300 Wamm Qp[mm]=0.200

P.	Nx	Ny	Nxy	Mx	My	Mxy	σ_{fmed}	Wd	Wk	Cb	Ver	Cs
	kg/cmq	kg/cmq	kg/cmq	kg	kg	kg	kg/cmq	mm	mm			
9	0.23	0.12	-0.15	-56	-120	58	50	0.008	0.008	16 (Fr)	Si	40
13	0.11	0.11	-0.14	-42	-29	49	24	0.004	0.004	19 (Qp)	Si	56

Muro [Platea]: 65 - Nodi: [161-160-156-157]Pann=16Spess.=35 cm, Terreno=terreno 1, ,Criterio=CLS_Platee_ND, Materiale=C35/45

Armatura a maglia doppia, Stampa elementi piu' gravosi

Combinazione Rara: σ_{ca} [kg/cmq]=224 σ_{fa} [kg/cmq]=3600

P.	Afx	Afy	σ_c	σ_f	Cbc	Cbf	Ver	Cs
	cmq/m	cmq/m	kg/cmq	kg/cmq				
15	25.45	25.45	-1	10	15	15	Si	>100
13	25.45	25.45	-1	90	14	15	Si	40

Combinazione QP: σ_{ca} [kg/cmq]=168 σ_{fa} [kg/cmq]=3600

P.	Afx	Afy	σ_c	σ_f	Cbc	Cbf	Ver	Cs
	cmq/m	cmq/m	kg/cmq	kg/cmq				
15	25.45	25.45	-2	24	19	19	Si	80
13	25.45	25.45	-1	71	19	19	Si	51

Verifica aperture fessure:Wamm Freq[mm]=0.300 Wamm Qp[mm]=0.200

P.	Nx	Ny	Nxy	Mx	My	Mxy	σ_{fmed}	Wd	Wk	Cb	Ver	Cs
	kg/cmq	kg/cmq	kg/cmq	kg	kg	kg	kg/cmq	mm	mm			
13	-0.17	0.24	-0.04	66	-118	35	36	0.003	0.003	18 (Qp)	Si	63
13	-0.17	0.24	-0.04	66	-118	35	36	0.003	0.003	16 (Fr)	Si	95

Muro [Platea]: 66 - Nodi: [160-159-155-156]Pann=16Spess.=35 cm, Terreno=terreno 1, ,Criterio=CLS_Platee_ND, Materiale=C35/45

Armatura a maglia doppia, Stampa elementi piu' gravosi

Combinazione Rara: σ_{ca} [kg/cmq]=224 σ_{fa} [kg/cmq]=3600

P.	Afx	Afy	σ_c	σ_f	Cbc	Cbf	Ver	Cs
	cmq/m	cmq/m	kg/cmq	kg/cmq				
9	25.45	25.45	-4	171	15	15	Si	21

Combinazione QP: σ_{ca} [kg/cmq]=168 σ_{fa} [kg/cmq]=3600

P.	Afx	Afy	σ_c	σ_f	Cbc	Cbf	Ver	Cs
	cmq/m	cmq/m	kg/cmq	kg/cmq				
5	25.45	25.45	-4	150	19	19	Si	24

Verifica aperture fessure:Wamm Freq[mm]=0.300 Wamm Qp[mm]=0.200

P.	Nx	Ny	Nxy	Mx	My	Mxy	σ_{fmed}	Wd	Wk	Cb	Ver	Cs
	kg/cmq	kg/cmq	kg/cmq	kg	kg	kg	kg/cmq	mm	mm			
5	-0.29	0.12	-0.15	14	-397	10	132	0.015	0.015	18 (Qp)	Si	13
5	-0.29	0.12	-0.15	14	-397	10	132	0.015	0.015	16 (Fr)	Si	20

Muro [Platea]: 67 - Nodi: [163-162-159-160]Pann=16Spess.=35 cm, Terreno=terreno 1, ,Criterio=CLS_Platee_ND, Materiale=C35/45

Armatura a maglia doppia, Stampa elementi piu' gravosi

Combinazione Rara: σ_{ca} [kg/cmq]=224 σ_{fa} [kg/cmq]=3600

P.	Afx	Afy	σ_c	σ_f	Cbc	Cbf	Ver	Cs
	cmq/m	cmq/m	kg/cmq	kg/cmq				

P.	Afx	Afy	σ_c	σ_f	Cbc	Cbf	Ver	Cs
12	25.45	25.45	-1	52	15	15	Si	69
4	25.45	25.45	-1	93	15	15	Si	39

Combinazione QP: $\sigma_{ca}[\text{kg/cm}^2]=168$ $\sigma_{fa}[\text{kg/cm}^2]=3600$

P.	Afx	Afy	σ_c	σ_f	Cbc	Cbf	Ver	Cs
	cmq/m	cmq/m	kg/cmq	kg/cmq				
11	25.45	25.45	-1	19	19	19	Si	>100
4	25.45	25.45	-0	60	19	19	Si	60

Verifica aperture fessure:Wamm Freq[mm]=0.300 Wamm Qp[mm]=0.200

P.	Nx	Ny	Nxy	Mx	My	Mxy	σ_{fmed}	Wd	Wk	Cb	Ver	Cs
	kg/cmq	kg/cmq	kg/cmq	kg	kg	kg	kg/cmq	mm	mm			
3	-0.15	0.10	-0.03	-88	-0	29	14	0.003	0.003	18 (Qp)	Si	64
10	-0.18	-0.00	-0.10	117	107	28	31	0.003	0.003	16 (Fr)	Si	87

Muro : 68 - Nodi: [158-258-259-159], Pann.X=4, Pann.Y=4Spess.=25 cm, Terreno=--,Criterio=CLS_Muri_ND, Materiale=C35/45

Armatura a maglia doppia, Stampa elementi piu' gravosi

Combinazione Rara: $\sigma_{ca}[\text{kg/cm}^2]=224$ $\sigma_{fa}[\text{kg/cm}^2]=3600$

P.	Afx	Afy	σ_c	σ_f	Cbc	Cbf	Ver	Cs
	cmq/m	cmq/m	kg/cmq	kg/cmq				
1	20.11	20.11	-5	56	15	15	Si	49
2	20.11	20.11	-4	63	15	15	Si	57

Combinazione QP: $\sigma_{ca}[\text{kg/cm}^2]=168$ $\sigma_{fa}[\text{kg/cm}^2]=3600$

P.	Afx	Afy	σ_c	σ_f	Cbc	Cbf	Ver	Cs
	cmq/m	cmq/m	kg/cmq	kg/cmq				
1	20.11	20.11	-2	23	19	19	Si	94
13	20.11	20.11	-1	71	19	19	Si	51

Verifica aperture fessure:Wamm Freq[mm]=0.300 Wamm Qp[mm]=0.200

P.	Nx	Ny	Nxy	Mx	My	Mxy	σ_{fmed}	Wd	Wk	Cb	Ver	Cs
	kg/cmq	kg/cmq	kg/cmq	kg	kg	kg	kg/cmq	mm	mm			
15	-0.64	0.13	-0.36	27	0	-31	17	0.004	0.004	18 (Qp)	Si	48
15	-0.75	0.10	-0.48	44	9	-37	19	0.003	0.003	17 (Fr)	Si	97

Muro : 69 - Nodi: [160-260-261-161], Pann.X=4, Pann.Y=4Spess.=25 cm, Terreno=--,Criterio=CLS_Muri_ND, Materiale=C35/45

Armatura a maglia doppia, Stampa elementi piu' gravosi

Combinazione Rara: $\sigma_{ca}[\text{kg/cm}^2]=224$ $\sigma_{fa}[\text{kg/cm}^2]=3600$

P.	Afx	Afy	σ_c	σ_f	Cbc	Cbf	Ver	Cs
	cmq/m	cmq/m	kg/cmq	kg/cmq				
1	20.11	20.11	-1	-1	15	15	Si	>100
16	20.11	20.11	-1	54	15	15	Si	67

Combinazione QP: $\sigma_{ca}[\text{kg/cm}^2]=168$ $\sigma_{fa}[\text{kg/cm}^2]=3600$

P.	Afx	Afy	σ_c	σ_f	Cbc	Cbf	Ver	Cs
	cmq/m	cmq/m	kg/cmq	kg/cmq				
16	20.11	20.11	-2	94	19	19	Si	38

Verifica aperture fessure:Wamm Freq[mm]=0.300 Wamm Qp[mm]=0.200

P.	Nx	Ny	Nxy	Mx	My	Mxy	σ_{fmed}	Wd	Wk	Cb	Ver	Cs
	kg/cmq	kg/cmq	kg/cmq	kg	kg	kg	kg/cmq	mm	mm			
4	0.09	0.04	-0.14	3	-1	-6	13	0.003	0.003	18 (Qp)	Si	72
16	-0.07	0.06	-0.17	24	3	-16	9	0.002	0.002	16 (Fr)	Si	>100

Muro : 70 - Nodi: [159-259-260-160], Pann.X=4, Pann.Y=4Spess.=25 cm, Terreno=--,Criterio=CLS_Muri_ND, Materiale=C35/45

Armatura a maglia doppia, Stampa elementi piu' gravosi

Combinazione Rara: $\sigma_{ca}[\text{kg/cm}^2]=224$ $\sigma_{fa}[\text{kg/cm}^2]=3600$

P.	Afx	Afy	σ_c	σ_f	Cbc	Cbf	Ver	Cs
	cmq/m	cmq/m	kg/cmq	kg/cmq				
1	20.11	20.11	-2	-0	15	15	Si	>100
16	20.11	20.11	-1	36	15	15	Si	99

Combinazione QP: $\sigma_{ca}[kg/cm^2]=168$ $\sigma_{fa}[kg/cm^2]=3600$

P.	Afx	Afy	σ_c	σ_f	Cbc	Cbf	Ver	Cs
	cmq/m	cmq/m	kg/cmq	kg/cmq				
4	20.11	20.11	-2	-1	19	19	Si	100
13	20.11	20.11	-1	54	19	19	Si	67

Verifica aperture fessure:Wamm Freq[mm]=0.300 Wamm Qp[mm]=0.200

P.	Nx	Ny	Nxy	Mx	My	Mxy	σ_{fmed}	Wd	Wk	Cb	Ver	Cs
	kg/cmq	kg/cmq	kg/cmq	kg	kg	kg	kg/cmq	mm	mm			
16	-0.89	0.20	-0.20	16	3	-14	27	0.006	0.006	18 (Qp)	Si	32
16	-0.89	0.20	-0.20	16	3	-14	27	0.006	0.006	16 (Fr)	Si	48

Muro : 71 - Nodi: [157-257-261-161], Pann.X=4, Pann.Y=4Spess.=25 cm, Terreno=--,Criterio=CLS_Muri_ND, Materiale=C35/45

Armatura a maglia doppia, Stampa elementi piu' gravosi

Combinazione Rara: $\sigma_{ca}[kg/cm^2]=224$ $\sigma_{fa}[kg/cm^2]=3600$

P.	Afx	Afy	σ_c	σ_f	Cbc	Cbf	Ver	Cs
	cmq/m	cmq/m	kg/cmq	kg/cmq				
1	20.11	20.11	-2	21	15	15	Si	90
16	20.11	20.11	-0	62	15	15	Si	58

Combinazione QP: $\sigma_{ca}[kg/cm^2]=168$ $\sigma_{fa}[kg/cm^2]=3600$

P.	Afx	Afy	σ_c	σ_f	Cbc	Cbf	Ver	Cs
	cmq/m	cmq/m	kg/cmq	kg/cmq				
1	20.11	20.11	-2	2	19	19	Si	>100
16	20.11	20.11	-1	106	19	19	Si	34

Verifica aperture fessure:Wamm Freq[mm]=0.300 Wamm Qp[mm]=0.200

P.	Nx	Ny	Nxy	Mx	My	Mxy	σ_{fmed}	Wd	Wk	Cb	Ver	Cs
	kg/cmq	kg/cmq	kg/cmq	kg	kg	kg	kg/cmq	mm	mm			
12	-0.15	0.15	0.07	-33	-10	-7	26	0.005	0.005	16 (Fr)	Si	65
16	-0.14	0.16	0.06	-28	-16	-4	31	0.005	0.005	18 (Qp)	Si	42

Muro : 72 - Nodi: [154-254-258-158], Pann.X=4, Pann.Y=4Spess.=25 cm, Terreno=--,Criterio=CLS_Muri_ND, Materiale=C35/45

Armatura a maglia doppia, Stampa elementi piu' gravosi

Combinazione Rara: $\sigma_{ca}[kg/cm^2]=224$ $\sigma_{fa}[kg/cm^2]=3600$

P.	Afx	Afy	σ_c	σ_f	Cbc	Cbf	Ver	Cs
	cmq/m	cmq/m	kg/cmq	kg/cmq				
1	20.11	20.11	-4	41	15	15	Si	51
13	20.11	20.11	-4	148	15	15	Si	24

Combinazione QP: $\sigma_{ca}[kg/cm^2]=168$ $\sigma_{fa}[kg/cm^2]=3600$

P.	Afx	Afy	σ_c	σ_f	Cbc	Cbf	Ver	Cs
	cmq/m	cmq/m	kg/cmq	kg/cmq				
1	20.11	20.11	-7	188	19	19	Si	19

Verifica aperture fessure:Wamm Freq[mm]=0.300 Wamm Qp[mm]=0.200

P.	Nx	Ny	Nxy	Mx	My	Mxy	σ_{fmed}	Wd	Wk	Cb	Ver	Cs
	kg/cmq	kg/cmq	kg/cmq	kg	kg	kg	kg/cmq	mm	mm			
4	0.34	0.12	-0.13	27	-34	41	60	0.010	0.010	19 (Qp)	Si	20
4	0.53	0.14	-0.51	2	-17	20	68	0.017	0.017	16 (Fr)	Si	18

Muro : 73 - Nodi: [110-210-211-111], Pann.X=4, Pann.Y=4Spess.=25 cm, Terreno=--,Criterio=CLS_Muri_ND, Materiale=C35/45

Armatura a maglia doppia, Stampa elementi piu' gravosi

Combinazione Rara: $\sigma_{ca}[kg/cm^2]=224$ $\sigma_{fa}[kg/cm^2]=3600$

P.	Afx	Afy	σ_c	σ_f	Cbc	Cbf	Ver	Cs
	cmq/m	cmq/m	kg/cmq	kg/cmq				
15	20.11	20.11	-2	36	15	15	Si	99

Combinazione QP: $\sigma_{ca}[kg/cm^2]=168$ $\sigma_{fa}[kg/cm^2]=3600$

P.	Afx	Afy	σ_c	σ_f	Cbc	Cbf	Ver	Cs
	cmq/m	cmq/m	kg/cmq	kg/cmq				

P.	Afx	Afy	σ_c	σ_f	Cbc	Cbf	Ver	Cs
15	20.11	20.11	-1	107	19	19	Si	34
16	20.11	20.11	-1	107	19	19	Si	34

Verifica aperture fessure:Wamm Freq[mm]=0.300 Wamm Qp[mm]=0.200

P.	Nx	Ny	Nxy	Mx	My	Mxy	σ_{fmed}	Wd	Wk	Cb	Ver	Cs
	kg/cmq	kg/cmq	kg/cmq	kg	kg	kg	kg/cmq	mm	mm			
16	-0.45	0.04	0.28	-16	-4	-12	7	0.001	0.001	18 (Qp)	Si	>100
16	-0.45	0.04	0.28	-16	-4	-12	7	0.001	0.001	16 (Fr)	Si	>100

Muro : 74 - Nodi: [112-212-222-122], Pann.X=4, Pann.Y=4Spess.=25 cm, Terreno=--,Criterio=CLS_Muri_ND, Materiale=C35/45

Armatura a maglia doppia, Stampa elementi piu' gravosi

Combinazione Rara: σ_{ca} [kg/cmq]=224 σ_{fa} [kg/cmq]=3600

P.	Afx	Afy	σ_c	σ_f	Cbc	Cbf	Ver	Cs
	cmq/m	cmq/m	kg/cmq	kg/cmq				
13	20.11	20.11	-1	154	15	14	Si	23

Combinazione QP: σ_{ca} [kg/cmq]=168 σ_{fa} [kg/cmq]=3600

P.	Afx	Afy	σ_c	σ_f	Cbc	Cbf	Ver	Cs
	cmq/m	cmq/m	kg/cmq	kg/cmq				
13	20.11	20.11	-2	150	19	19	Si	24

Verifica aperture fessure:Wamm Freq[mm]=0.300 Wamm Qp[mm]=0.200

P.	Nx	Ny	Nxy	Mx	My	Mxy	σ_{fmed}	Wd	Wk	Cb	Ver	Cs
	kg/cmq	kg/cmq	kg/cmq	kg	kg	kg	kg/cmq	mm	mm			
1	-0.16	-0.55	0.71	23	13	-67	0	0.000	0.000	17 (Fr)	Si	>100
4	-0.95	0.26	0.60	18	10	3	38	0.008	0.008	18 (Qp)	Si	26

Muro : 75 - Nodi: [122-222-232-132], Pann.X=4, Pann.Y=4Spess.=25 cm, Terreno=--,Criterio=CLS_Muri_ND, Materiale=C35/45

Armatura a maglia doppia, Stampa elementi piu' gravosi

Combinazione Rara: σ_{ca} [kg/cmq]=224 σ_{fa} [kg/cmq]=3600

P.	Afx	Afy	σ_c	σ_f	Cbc	Cbf	Ver	Cs
	cmq/m	cmq/m	kg/cmq	kg/cmq				
3	20.11	20.11	-2	-1	15	15	Si	>100
8	20.11	20.11	-1	6	15	15	Si	>100

Combinazione QP: σ_{ca} [kg/cmq]=168 σ_{fa} [kg/cmq]=3600

P.	Afx	Afy	σ_c	σ_f	Cbc	Cbf	Ver	Cs
	cmq/m	cmq/m	kg/cmq	kg/cmq				
2	20.11	20.11	-1	56	19	19	Si	64
16	20.11	20.11	-1	77	19	19	Si	47

Verifica aperture fessure:Wamm Freq[mm]=0.300 Wamm Qp[mm]=0.200

P.	Nx	Ny	Nxy	Mx	My	Mxy	σ_{fmed}	Wd	Wk	Cb	Ver	Cs
	kg/cmq	kg/cmq	kg/cmq	kg	kg	kg	kg/cmq	mm	mm			
1	-1.20	0.24	0.52	24	20	5	43	0.007	0.007	18 (Qp)	Si	28
8	-1.42	-0.19	0.27	-3	-48	3	6	0.001	0.001	17 (Fr)	Si	>100

Muro : 76 - Nodi: [111-211-212-112], Pann.X=4, Pann.Y=4Spess.=25 cm, Terreno=--,Criterio=CLS_Muri_ND, Materiale=C35/45

Armatura a maglia doppia, Stampa elementi piu' gravosi

Combinazione Rara: σ_{ca} [kg/cmq]=224 σ_{fa} [kg/cmq]=3600

P.	Afx	Afy	σ_c	σ_f	Cbc	Cbf	Ver	Cs
	cmq/m	cmq/m	kg/cmq	kg/cmq				
16	20.11	20.11	-4	73	15	15	Si	49

Combinazione QP: σ_{ca} [kg/cmq]=168 σ_{fa} [kg/cmq]=3600

P.	Afx	Afy	σ_c	σ_f	Cbc	Cbf	Ver	Cs
	cmq/m	cmq/m	kg/cmq	kg/cmq				
16	20.11	20.11	-3	216	19	19	Si	17

Verifica aperture fessure:Wamm_Freq[mm]=0.300 Wamm_Qp[mm]=0.200

P.	Nx	Ny	Nxy	Mx	My	Mxy	σ_{fmed}	Wd	Wk	Cb	Ver	Cs
	kg/cmq	kg/cmq	kg/cmq	kg	kg	kg	kg/cmq	mm	mm			
16	-0.45	0.01	0.39	-8	42	-23	24	0.002	0.002	18 (Qp)	Si	82
16	-0.45	0.01	0.39	-8	42	-23	24	0.002	0.002	16 (Fr)	Si	>100

Muro : 77 - Nodi: [109-209-210-110], Pann.X=4, Pann.Y=4Spess.=25 cm, Terreno=--,Criterio=CLS_Muri_ND, Materiale=C35/45

Armatura a maglia doppia, Stampa elementi piu' gravosi

Combinazione Rara: σ_{ca} [kg/cmq]=224 σ_{fa} [kg/cmq]=3600

P.	Afx	Afy	σ_c	σ_f	Cbc	Cbf	Ver	Cs
	cmq/m	cmq/m	kg/cmq	kg/cmq				
13	20.11	20.11	-4	72	15	15	Si	50

Combinazione QP: σ_{ca} [kg/cmq]=168 σ_{fa} [kg/cmq]=3600

P.	Afx	Afy	σ_c	σ_f	Cbc	Cbf	Ver	Cs
	cmq/m	cmq/m	kg/cmq	kg/cmq				
13	20.11	20.11	-2	120	19	19	Si	30

Verifica aperture fessure:Wamm Freq[mm]=0.300 Wamm Qp[mm]=0.200

P.	Nx	Ny	Nxy	Mx	My	Mxy	σ_{fmed}	Wd	Wk	Cb	Ver	Cs
	kg/cmq	kg/cmq	kg/cmq	kg	kg	kg	kg/cmq	mm	mm			
3	-0.35	0.07	0.23	-18	-6	-10	13	0.002	0.002	18 (Qp)	Si	92
13	-0.25	0.03	0.11	-4	1	-17	4	0.001	0.001	16 (Fr)	Si	>100

Muro : 78 - Nodi: [113-213-214-114], Pann.X=4, Pann.Y=4Spess.=25 cm, Terreno=--,Criterio=CLS_Muri_ND, Materiale=C35/45

Armatura a maglia doppia, Stampa elementi piu' gravosi

Combinazione Rara: σ_{ca} [kg/cmq]=224 σ_{fa} [kg/cmq]=3600

P.	Afx	Afy	σ_c	σ_f	Cbc	Cbf	Ver	Cs
	cmq/m	cmq/m	kg/cmq	kg/cmq				
8	20.11	20.11	-5	72	15	14	Si	49
16	20.11	20.11	-4	93	15	14	Si	39

Combinazione QP: σ_{ca} [kg/cmq]=168 σ_{fa} [kg/cmq]=3600

P.	Afx	Afy	σ_c	σ_f	Cbc	Cbf	Ver	Cs
	cmq/m	cmq/m	kg/cmq	kg/cmq				
4	20.11	20.11	-3	751	19	19	Si	4.8
8	20.11	20.11	-3	764	19	19	Si	4.7

Verifica aperture fessure:Wamm Freq[mm]=0.300 Wamm Qp[mm]=0.200

P.	Nx	Ny	Nxy	Mx	My	Mxy	σ_{fmed}	Wd	Wk	Cb	Ver	Cs
	kg/cmq	kg/cmq	kg/cmq	kg	kg	kg	kg/cmq	mm	mm			
15	-0.68	0.18	-0.01	-84	-3	-6	25	0.006	0.006	18 (Qp)	Si	36
15	-0.68	0.18	-0.01	-84	-3	-6	25	0.006	0.006	16 (Fr)	Si	54

Muro : 79 - Nodi: [112-212-213-113], Pann.X=4, Pann.Y=4Spess.=25 cm, Terreno=--,Criterio=CLS_Muri_ND, Materiale=C35/45

Armatura a maglia doppia, Stampa elementi piu' gravosi

Combinazione Rara: σ_{ca} [kg/cmq]=224 σ_{fa} [kg/cmq]=3600

P.	Afx	Afy	σ_c	σ_f	Cbc	Cbf	Ver	Cs
	cmq/m	cmq/m	kg/cmq	kg/cmq				
13	20.11	20.11	-2	18	15	15	Si	92
3	20.11	20.11	-1	66	15	14	Si	55

Combinazione QP: σ_{ca} [kg/cmq]=168 σ_{fa} [kg/cmq]=3600

P.	Afx	Afy	σ_c	σ_f	Cbc	Cbf	Ver	Cs
	cmq/m	cmq/m	kg/cmq	kg/cmq				
13	20.11	20.11	-2	236	19	19	Si	15

Verifica aperture fessure:Wamm Freq[mm]=0.300 Wamm Qp[mm]=0.200

P.	Nx	Ny	Nxy	Mx	My	Mxy	σ_{fmed}	Wd	Wk	Cb	Ver	Cs
	kg/cmq	kg/cmq	kg/cmq	kg	kg	kg	kg/cmq	mm	mm			
13	-0.46	0.04	0.05	-10	47	23	32	0.003	0.003	18 (Qp)	Si	61
13	-0.29	-0.68	-0.31	16	-163	26	18	0.001	0.001	17 (Fr)	Si	>100

Muro : 80 - Nodi: [109-119-219-209], Pann.X=4, Pann.Y=4Spess.=25 cm, Terreno=--,Criterio=CLS_Muri_ND, Materiale=C35/45

Armatura a maglia doppia, Stampa elementi piu' gravosi

Combinazione Rara: σ_{ca} [kg/cmq]=224 σ_{fa} [kg/cmq]=3600

P.	Afx	Afy	σ_c	σ_f	Cbc	Cbf	Ver	Cs
	cmq/m	cmq/m	kg/cmq	kg/cmq				
4	20.11	20.11	-3	62	15	15	Si	58

Combinazione QP: σ_{ca} [kg/cmq]=168 σ_{fa} [kg/cmq]=3600

P.	Afx	Afy	σ_c	σ_f	Cbc	Cbf	Ver	Cs
	cmq/m	cmq/m	kg/cmq	kg/cmq				
4	20.11	20.11	-2	116	19	19	Si	31

Verifica aperture fessure:Wamm Freq[mm]=0.300 Wamm Qp[mm]=0.200

P.	Nx	Ny	Nxy	Mx	My	Mxy	σ_{fmed}	Wd	Wk	Cb	Ver	Cs
	kg/cmq	kg/cmq	kg/cmq	kg	kg	kg	kg/cmq	mm	mm			
4	0.03	-0.26	-0.05	-0	-4	10	3	0.001	0.001	16 (Fr)	Si	>100
5	0.06	-0.31	0.02	-3	-13	3	9	0.002	0.002	18 (Qp)	Si	>100

Muro : 81 - Nodi: [129-229-230-130], Pann.X=4, Pann.Y=4Spess.=25 cm, Terreno=--,Criterio=CLS_Muri_ND, Materiale=C35/45

Armatura a maglia doppia, Stampa elementi piu' gravosi

Combinazione Rara: σ_{ca} [kg/cmq]=224 σ_{fa} [kg/cmq]=3600

P.	Afx	Afy	σ_c	σ_f	Cbc	Cbf	Ver	Cs
	cmq/m	cmq/m	kg/cmq	kg/cmq				
13	20.11	20.11	-1	59	15	14	Si	61

Combinazione QP: σ_{ca} [kg/cmq]=168 σ_{fa} [kg/cmq]=3600

P.	Afx	Afy	σ_c	σ_f	Cbc	Cbf	Ver	Cs
	cmq/m	cmq/m	kg/cmq	kg/cmq				
4	20.11	20.11	-1	40	19	19	Si	90
9	20.11	20.11	-0	60	18	19	Si	60

Verifica aperture fessure:Wamm Freq[mm]=0.300 Wamm Qp[mm]=0.200

P.	Nx	Ny	Nxy	Mx	My	Mxy	σ_{fmed}	Wd	Wk	Cb	Ver	Cs
	kg/cmq	kg/cmq	kg/cmq	kg	kg	kg	kg/cmq	mm	mm			
1	-0.59	-0.70	0.43	-3	-18	6	0	0.000	0.000	17 (Fr)	Si	>100
13	-0.38	0.03	0.22	-5	-36	2	24	0.002	0.002	18 (Qp)	Si	81

Muro : 82 - Nodi: [119-129-229-219], Pann.X=4, Pann.Y=4Spess.=25 cm, Terreno=--,Criterio=CLS_Muri_ND, Materiale=C35/45

Armatura a maglia doppia, Stampa elementi piu' gravosi

Combinazione Rara: σ_{ca} [kg/cmq]=224 σ_{fa} [kg/cmq]=3600

P.	Afx	Afy	σ_c	σ_f	Cbc	Cbf	Ver	Cs
	cmq/m	cmq/m	kg/cmq	kg/cmq				
16	20.11	20.11	-2	55	15	15	Si	65

Combinazione QP: σ_{ca} [kg/cmq]=168 σ_{fa} [kg/cmq]=3600

P.	Afx	Afy	σ_c	σ_f	Cbc	Cbf	Ver	Cs
	cmq/m	cmq/m	kg/cmq	kg/cmq				
16	20.11	20.11	-1	52	19	19	Si	69
4	20.11	20.11	-1	67	19	19	Si	54

Verifica aperture fessure:Wamm Freq[mm]=0.300 Wamm Qp[mm]=0.200

P.	Nx	Ny	Nxy	Mx	My	Mxy	σ_{fmed}	Wd	Wk	Cb	Ver	Cs
	kg/cmq	kg/cmq	kg/cmq	kg	kg	kg	kg/cmq	mm	mm			
1	0.06	-0.51	0.05	-15	-24	-1	9	0.001	0.001	18 (Qp)	Si	>100
1	0.06	-0.51	0.05	-15	-24	-1	9	0.001	0.001	16 (Fr)	Si	>100

Muro : 83 - Nodi: [130-230-231-131], Pann.X=4, Pann.Y=4Spess.=25 cm, Terreno=--,Criterio=CLS_Muri_ND, Materiale=C35/45

Armatura a maglia doppia, Stampa elementi piu' gravosi

Combinazione Rara: σ_{ca} [kg/cmq]=224 σ_{fa} [kg/cmq]=3600

P.	Afx	Afy	σ_c	σ_f	Cbc	Cbf	Ver	Cs
	cmq/m	cmq/m	kg/cmq	kg/cmq				

P.	Afx	Afy	σ_c	σ_f	Cbc	Cbf	Ver	Cs
4	20.11	20.11	-1	-5	15	15	Si	>100
1	20.11	20.11	-1	-5	15	15	Si	>100

Combinazione QP: σ_{ca} [kg/cmq]=168 σ_{fa} [kg/cmq]=3600

P.	Afx	Afy	σ_c	σ_f	Cbc	Cbf	Ver	Cs
	cmq/m	cmq/m	kg/cmq	kg/cmq				
3	20.11	20.11	-1	24	19	19	Si	>100
13	20.11	20.11	-1	45	19	19	Si	80

Verifica aperture fessure:Wamm Freq[mm]=0.300 Wamm Qp[mm]=0.200

P.	Nx	Ny	Nxy	Mx	My	Mxy	σ_{fmed}	Wd	Wk	Cb	Ver	Cs
	kg/cmq	kg/cmq	kg/cmq	kg	kg	kg	kg/cmq	mm	mm			
1	-0.78	-0.43	0.54	-7	-11	-6	0	0.000	0.000	17 (Fr)	Si	>100
14	-0.87	0.01	0.20	-3	-12	-17	9	0.001	0.001	18 (Qp)	Si	>100

Muro : 84 - Nodi: [131-231-232-132], Pann.X=4, Pann.Y=4Spess.=25 cm, Terreno=--,Criterio=CLS_Muri_ND, Materiale=C35/45

Armatura a maglia doppia, Stampa elementi piu' gravosi

Combinazione Rara: σ_{ca} [kg/cmq]=224 σ_{fa} [kg/cmq]=3600

P.	Afx	Afy	σ_c	σ_f	Cbc	Cbf	Ver	Cs
	cmq/m	cmq/m	kg/cmq	kg/cmq				
4	20.11	20.11	-1	-4	15	15	Si	>100
16	20.11	20.11	-1	1	15	15	Si	>100

Combinazione QP: σ_{ca} [kg/cmq]=168 σ_{fa} [kg/cmq]=3600

P.	Afx	Afy	σ_c	σ_f	Cbc	Cbf	Ver	Cs
	cmq/m	cmq/m	kg/cmq	kg/cmq				
1	20.11	20.11	-1	5	19	19	Si	>100
13	20.11	20.11	-1	19	19	19	Si	>100

Verifica aperture fessure:Wamm Freq[mm]=0.300 Wamm Qp[mm]=0.200

P.	Nx	Ny	Nxy	Mx	My	Mxy	σ_{fmed}	Wd	Wk	Cb	Ver	Cs
	kg/cmq	kg/cmq	kg/cmq	kg	kg	kg	kg/cmq	mm	mm			
15	-1.06	0.05	-0.22	-1	7	-1	6	0.000	0.000	19 (Qp)	Si	>100
16	-1.15	-0.16	0.12	2	26	3	1	0.000	0.000	17 (Fr)	Si	>100

Muro : 85 - Nodi: [114-214-215-115], Pann.X=4, Pann.Y=4Spess.=25 cm, Terreno=--,Criterio=CLS_Muri_ND, Materiale=C35/45

Armatura a maglia doppia, Stampa elementi piu' gravosi

Combinazione Rara: σ_{ca} [kg/cmq]=224 σ_{fa} [kg/cmq]=3600

P.	Afx	Afy	σ_c	σ_f	Cbc	Cbf	Ver	Cs
	cmq/m	cmq/m	kg/cmq	kg/cmq				
4	20.11	20.11	-17	269	15	14	Si	13

Combinazione QP: σ_{ca} [kg/cmq]=168 σ_{fa} [kg/cmq]=3600

P.	Afx	Afy	σ_c	σ_f	Cbc	Cbf	Ver	Cs
	cmq/m	cmq/m	kg/cmq	kg/cmq				
4	20.11	20.11	-6	2514	18	19	Si	1.4

Verifica aperture fessure:Wamm Freq[mm]=0.300 Wamm Qp[mm]=0.200

P.	Nx	Ny	Nxy	Mx	My	Mxy	σ_{fmed}	Wd	Wk	Cb	Ver	Cs
	kg/cmq	kg/cmq	kg/cmq	kg	kg	kg	kg/cmq	mm	mm			
2	-0.23	0.10	-0.29	-252	-10	-5	112	0.011	0.011	16 (Fr)	Si	28
3	0.16	0.01	-0.27	-363	-61	-12	225	0.023	0.023	18 (Qp)	Si	8.8

Muro : 86 - Nodi: [225-125-115-215], Pann.X=4, Pann.Y=4Spess.=25 cm, Terreno=--,Criterio=CLS_Muri_ND, Materiale=C35/45

Armatura a maglia doppia, Stampa elementi piu' gravosi

Combinazione Rara: σ_{ca} [kg/cmq]=224 σ_{fa} [kg/cmq]=3600

P.	Afx	Afy	σ_c	σ_f	Cbc	Cbf	Ver	Cs
	cmq/m	cmq/m	kg/cmq	kg/cmq				
4	20.11	20.11	-8	116	15	15	Si	29
16	20.11	20.11	-6	257	15	15	Si	14

Combinazione QP: $\sigma_{ca}[kg/cm^2]=168$ $\sigma_{fa}[kg/cm^2]=3600$

P.	Afx	Afy	σ_c	σ_f	Cbc	Cbf	Ver	Cs
	cmq/m	cmq/m	kg/cmq	kg/cmq				
15	20.11	20.11	-10	398	19	19	Si	9.1
16	20.11	20.11	-4	652	19	19	Si	5.5

Verifica aperture fessure:Wamm Freq[mm]=0.300 Wamm Qp[mm]=0.200

P.	Nx	Ny	Nxy	Mx	My	Mxy	σ_{fmed}	Wd	Wk	Cb	Ver	Cs
	kg/cmq	kg/cmq	kg/cmq	kg	kg	kg	kg/cmq	mm	mm			
12	1.73	-0.10	1.08	21	-14	-35	228	0.053	0.053	18 (Qp)	Si	3.7
16	0.43	-0.02	1.13	356	-153	-32	257	0.026	0.026	17 (Fr)	Si	11

Muro : 87 - Nodi: [254-154-144-244], Pann.X=4, Pann.Y=4Spess.=25 cm, Terreno=---,Criterio=CLS_Muri_ND, Materiale=C35/45

Armatura a maglia doppia, Stampa elementi piu' gravosi

Combinazione Rara: $\sigma_{ca}[kg/cm^2]=224$ $\sigma_{fa}[kg/cm^2]=3600$

P.	Afx	Afy	σ_c	σ_f	Cbc	Cbf	Ver	Cs
	cmq/m	cmq/m	kg/cmq	kg/cmq				
5	20.11	20.11	-9	377	15	15	Si	9.5

Combinazione QP: $\sigma_{ca}[kg/cm^2]=168$ $\sigma_{fa}[kg/cm^2]=3600$

P.	Afx	Afy	σ_c	σ_f	Cbc	Cbf	Ver	Cs
	cmq/m	cmq/m	kg/cmq	kg/cmq				
13	20.11	20.11	-11	341	19	19	Si	11
9	20.11	20.11	-11	393	19	19	Si	9.2

Verifica aperture fessure:Wamm Freq[mm]=0.300 Wamm Qp[mm]=0.200

P.	Nx	Ny	Nxy	Mx	My	Mxy	σ_{fmed}	Wd	Wk	Cb	Ver	Cs
	kg/cmq	kg/cmq	kg/cmq	kg	kg	kg	kg/cmq	mm	mm			
5	-2.49	0.56	0.38	-35	-4	22	72	0.017	0.017	18 (Qp)	Si	12
5	-2.49	0.56	0.38	-35	-4	22	72	0.017	0.017	16 (Fr)	Si	17

Muro : 88 - Nodi: [153-253-254-154], Pann.X=4, Pann.Y=4Spess.=25 cm, Terreno=---,Criterio=CLS_Muri_ND, Materiale=C35/45

Armatura a maglia doppia, Stampa elementi piu' gravosi

Combinazione Rara: $\sigma_{ca}[kg/cm^2]=224$ $\sigma_{fa}[kg/cm^2]=3600$

P.	Afx	Afy	σ_c	σ_f	Cbc	Cbf	Ver	Cs
	cmq/m	cmq/m	kg/cmq	kg/cmq				
4	20.11	20.11	-19	172	15	14	Si	12
8	20.11	20.11	-8	225	15	14	Si	16

Combinazione QP: $\sigma_{ca}[kg/cm^2]=168$ $\sigma_{fa}[kg/cm^2]=3600$

P.	Afx	Afy	σ_c	σ_f	Cbc	Cbf	Ver	Cs
	cmq/m	cmq/m	kg/cmq	kg/cmq				
4	20.11	20.11	-7	2627	18	19	Si	1.4

Verifica aperture fessure:Wamm Freq[mm]=0.300 Wamm Qp[mm]=0.200

P.	Nx	Ny	Nxy	Mx	My	Mxy	σ_{fmed}	Wd	Wk	Cb	Ver	Cs
	kg/cmq	kg/cmq	kg/cmq	kg	kg	kg	kg/cmq	mm	mm			
3	-2.20	-12.95	1.39	-363	-97	-85	6	0.000	0.000	17 (Fr)	Si	>100
8	-2.62	-0.80	-0.17	-155	-362	-152	106	0.010	0.010	18 (Qp)	Si	21

Muro : 89 - Nodi: [132-232-242-142], Pann.X=4, Pann.Y=4Spess.=25 cm, Terreno=---,Criterio=CLS_Muri_ND, Materiale=C35/45

Armatura a maglia doppia, Stampa elementi piu' gravosi

Combinazione Rara: $\sigma_{ca}[kg/cm^2]=224$ $\sigma_{fa}[kg/cm^2]=3600$

P.	Afx	Afy	σ_c	σ_f	Cbc	Cbf	Ver	Cs
	cmq/m	cmq/m	kg/cmq	kg/cmq				
3	20.11	20.11	-2	9	15	15	Si	>100

Combinazione QP: $\sigma_{ca}[kg/cm^2]=168$ $\sigma_{fa}[kg/cm^2]=3600$

P.	Afx	Afy	σ_c	σ_f	Cbc	Cbf	Ver	Cs
	cmq/m	cmq/m	kg/cmq	kg/cmq				
3	20.11	20.11	-1	57	19	19	Si	63
13	20.11	20.11	-1	83	19	19	Si	43

Verifica aperture fessure:Wamm Freq[mm]=0.300 Wamm Qp[mm]=0.200

P.	Nx	Ny	Nxy	Mx	My	Mxy	σ_{fmed}	Wd	Wk	Cb	Ver	Cs
	kg/cmq	kg/cmq	kg/cmq	kg	kg	kg	kg/cmq	mm	mm			
3	-1.79	-0.09	-0.30	52	35	0	9	0.001	0.001	17 (Fr)	Si	>100
12	-1.42	0.29	-0.46	16	18	25	49	0.009	0.009	18 (Qp)	Si	23

Muro : 90 - Nodi: [142-242-251-151], Pann.X=4, Pann.Y=4Spess.=25 cm, Terreno=--,Criterio=CLS_Muri_ND, Materiale=C35/45

Armatura a maglia doppia, Stampa elementi piu' gravosi

Combinazione Rara: σ_{ca} [kg/cmq]=224 σ_{fa} [kg/cmq]=3600

P.	Afx	Afy	σ_c	σ_f	Cbc	Cbf	Ver	Cs
	cmq/m	cmq/m	kg/cmq	kg/cmq				
1	20.11	20.11	-2	0	15	15	Si	>100
16	20.11	20.11	-1	171	15	14	Si	21

Combinazione QP: σ_{ca} [kg/cmq]=168 σ_{fa} [kg/cmq]=3600

P.	Afx	Afy	σ_c	σ_f	Cbc	Cbf	Ver	Cs
	cmq/m	cmq/m	kg/cmq	kg/cmq				
16	20.11	20.11	-2	155	19	19	Si	23

Verifica aperture fessure:Wamm Freq[mm]=0.300 Wamm Qp[mm]=0.200

P.	Nx	Ny	Nxy	Mx	My	Mxy	σ_{fmed}	Wd	Wk	Cb	Ver	Cs
	kg/cmq	kg/cmq	kg/cmq	kg	kg	kg	kg/cmq	mm	mm			
1	-1.50	-0.13	-0.86	48	22	7	0	0.000	0.000	17 (Fr)	Si	>100
5	-1.37	0.31	-0.63	21	5	23	42	0.009	0.009	18 (Qp)	Si	21

Muro : 91 - Nodi: [129-139-239-229], Pann.X=4, Pann.Y=4Spess.=25 cm, Terreno=--,Criterio=CLS_Muri_ND, Materiale=C35/45

Armatura a maglia doppia, Stampa elementi piu' gravosi

Combinazione Rara: σ_{ca} [kg/cmq]=224 σ_{fa} [kg/cmq]=3600

P.	Afx	Afy	σ_c	σ_f	Cbc	Cbf	Ver	Cs
	cmq/m	cmq/m	kg/cmq	kg/cmq				
4	20.11	20.11	-3	65	15	15	Si	55

Combinazione QP: σ_{ca} [kg/cmq]=168 σ_{fa} [kg/cmq]=3600

P.	Afx	Afy	σ_c	σ_f	Cbc	Cbf	Ver	Cs
	cmq/m	cmq/m	kg/cmq	kg/cmq				
16	20.11	20.11	-2	91	19	19	Si	40

Verifica aperture fessure:Wamm Freq[mm]=0.300 Wamm Qp[mm]=0.200

P.	Nx	Ny	Nxy	Mx	My	Mxy	σ_{fmed}	Wd	Wk	Cb	Ver	Cs
	kg/cmq	kg/cmq	kg/cmq	kg	kg	kg	kg/cmq	mm	mm			
4	0.00	-0.45	0.01	-31	-16	-12	17	0.002	0.002	16 (Fr)	Si	>100
8	0.03	-0.49	0.05	-28	-18	-27	19	0.002	0.002	18 (Qp)	Si	>100

Muro : 92 - Nodi: [148-248-249-149], Pann.X=4, Pann.Y=4Spess.=25 cm, Terreno=--,Criterio=CLS_Muri_ND, Materiale=C35/45

Armatura a maglia doppia, Stampa elementi piu' gravosi

Combinazione Rara: σ_{ca} [kg/cmq]=224 σ_{fa} [kg/cmq]=3600

P.	Afx	Afy	σ_c	σ_f	Cbc	Cbf	Ver	Cs
	cmq/m	cmq/m	kg/cmq	kg/cmq				
13	20.11	20.11	-4	68	15	15	Si	53

Combinazione QP: σ_{ca} [kg/cmq]=168 σ_{fa} [kg/cmq]=3600

P.	Afx	Afy	σ_c	σ_f	Cbc	Cbf	Ver	Cs
	cmq/m	cmq/m	kg/cmq	kg/cmq				
13	20.11	20.11	-3	150	19	19	Si	24

Verifica aperture fessure:Wamm Freq[mm]=0.300 Wamm Qp[mm]=0.200

P.	Nx	Ny	Nxy	Mx	My	Mxy	σ_{fmed}	Wd	Wk	Cb	Ver	Cs
	kg/cmq	kg/cmq	kg/cmq	kg	kg	kg	kg/cmq	mm	mm			
9	-0.13	0.07	0.21	-1	-58	22	42	0.004	0.004	18 (Qp)	Si	46
9	-0.13	0.07	0.21	-1	-58	22	42	0.004	0.004	16 (Fr)	Si	70

Muro : 93 - Nodi: [251-252-152-151], Pann.X=4, Pann.Y=4Spess.=25 cm, Terreno=--,Criterio=CLS_Muri_ND, Materiale=C35/45

Armatura a maglia doppia, Stampa elementi piu' gravosi

Combinazione Rara: σ_{ca} [kg/cmq]=224 σ_{fa} [kg/cmq]=3600

P.	Afx	Afy	σ_c	σ_f	Cbc	Cbf	Ver	Cs
	cmq/m	cmq/m	kg/cmq	kg/cmq				
1	20.11	20.11	-2	16	15	15	Si	98
12	20.11	20.11	-1	47	15	14	Si	76

Combinazione QP: σ_{ca} [kg/cmq]=168 σ_{fa} [kg/cmq]=3600

P.	Afx	Afy	σ_c	σ_f	Cbc	Cbf	Ver	Cs
	cmq/m	cmq/m	kg/cmq	kg/cmq				
1	20.11	20.11	-3	202	19	19	Si	18

Verifica aperture fessure:Wamm Freq[mm]=0.300 Wamm Qp[mm]=0.200

P.	Nx	Ny	Nxy	Mx	My	Mxy	σ_{fmed}	Wd	Wk	Cb	Ver	Cs
	kg/cmq	kg/cmq	kg/cmq	kg	kg	kg	kg/cmq	mm	mm			
1	-0.06	-0.52	0.17	-55	5	42	23	0.002	0.002	18 (Qp)	Si	90
1	-0.64	-0.42	0.50	153	-23	43	16	0.001	0.001	17 (Fr)	Si	>100

Muro : 94 - Nodi: [139-148-248-239], Pann.X=4, Pann.Y=4Spess.=25 cm, Terreno=--,Criterio=CLS_Muri_ND, Materiale=C35/45

Armatura a maglia doppia, Stampa elementi piu' gravosi

Combinazione Rara: σ_{ca} [kg/cmq]=224 σ_{fa} [kg/cmq]=3600

P.	Afx	Afy	σ_c	σ_f	Cbc	Cbf	Ver	Cs
	cmq/m	cmq/m	kg/cmq	kg/cmq				
16	20.11	20.11	-3	50	15	15	Si	71
12	20.11	20.11	-1	72	15	14	Si	50

Combinazione QP: σ_{ca} [kg/cmq]=168 σ_{fa} [kg/cmq]=3600

P.	Afx	Afy	σ_c	σ_f	Cbc	Cbf	Ver	Cs
	cmq/m	cmq/m	kg/cmq	kg/cmq				
16	20.11	20.11	-3	133	19	19	Si	27

Verifica aperture fessure:Wamm Freq[mm]=0.300 Wamm Qp[mm]=0.200

P.	Nx	Ny	Nxy	Mx	My	Mxy	σ_{fmed}	Wd	Wk	Cb	Ver	Cs
	kg/cmq	kg/cmq	kg/cmq	kg	kg	kg	kg/cmq	mm	mm			
15	0.07	-0.20	0.10	53	-3	-16	38	0.004	0.004	18 (Qp)	Si	50
15	0.07	-0.20	0.10	53	-3	-16	38	0.004	0.004	16 (Fr)	Si	76

Muro : 95 - Nodi: [149-249-250-150], Pann.X=4, Pann.Y=4Spess.=25 cm, Terreno=--,Criterio=CLS_Muri_ND, Materiale=C35/45

Armatura a maglia doppia, Stampa elementi piu' gravosi

Combinazione Rara: σ_{ca} [kg/cmq]=224 σ_{fa} [kg/cmq]=3600

P.	Afx	Afy	σ_c	σ_f	Cbc	Cbf	Ver	Cs
	cmq/m	cmq/m	kg/cmq	kg/cmq				
15	20.11	20.11	-2	36	15	15	Si	>100

Combinazione QP: σ_{ca} [kg/cmq]=168 σ_{fa} [kg/cmq]=3600

P.	Afx	Afy	σ_c	σ_f	Cbc	Cbf	Ver	Cs
	cmq/m	cmq/m	kg/cmq	kg/cmq				
8	20.11	20.11	-1	83	19	19	Si	43
15	20.11	20.11	-1	100	19	19	Si	36

Verifica aperture fessure:Wamm Freq[mm]=0.300 Wamm Qp[mm]=0.200

P.	Nx	Ny	Nxy	Mx	My	Mxy	σ_{fmed}	Wd	Wk	Cb	Ver	Cs
	kg/cmq	kg/cmq	kg/cmq	kg	kg	kg	kg/cmq	mm	mm			
5	-0.51	0.11	0.34	27	-3	-10	15	0.003	0.003	18 (Qp)	Si	60
10	-0.52	0.08	0.33	24	0	-12	11	0.003	0.003	16 (Fr)	Si	>100

Muro : 96 - Nodi: [150-250-251-151], Pann.X=4, Pann.Y=4Spess.=25 cm, Terreno=--,Criterio=CLS_Muri_ND, Materiale=C35/45

Armatura a maglia doppia, Stampa elementi piu' gravosi

Combinazione Rara: σ_{ca} [kg/cmq]=224 σ_{fa} [kg/cmq]=3600

P.	Afx	Afy	σ_c	σ_f	Cbc	Cbf	Ver	Cs
	cmq/m	cmq/m	kg/cmq	kg/cmq				
16	20.11	20.11	-5	89	15	15	Si	40

Combinazione QP: σ_{ca} [kg/cmq]=168 σ_{fa} [kg/cmq]=3600

P.	Afx	Afy	σ_c	σ_f	Cbc	Cbf	Ver	Cs
	cmq/m	cmq/m	kg/cmq	kg/cmq				
16	20.11	20.11	-3	176	19	19	Si	20

Verifica aperture fessure:Wamm Freq[mm]=0.300 Wamm Qp[mm]=0.200

P.	Nx	Ny	Nxy	Mx	My	Mxy	σ_{fmed}	Wd	Wk	Cb	Ver	Cs
	kg/cmq	kg/cmq	kg/cmq	kg	kg	kg	kg/cmq	mm	mm			
13	-0.53	0.01	0.30	19	16	-19	10	0.001	0.001	18 (Qp)	Si	>100
13	-0.43	-0.40	0.17	-102	-89	-23	11	0.001	0.001	17 (Fr)	Si	>100

Muro : 97 - Nodi: [152-252-253-153], Pann.X=4, Pann.Y=4Spess.=25 cm, Terreno=---,Criterio=CLS_Muri_ND, Materiale=C35/45

Armatura a maglia doppia, Stampa elementi piu' gravosi

Combinazione Rara: σ_{ca} [kg/cmq]=224 σ_{fa} [kg/cmq]=3600

P.	Afx	Afy	σ_c	σ_f	Cbc	Cbf	Ver	Cs
	cmq/m	cmq/m	kg/cmq	kg/cmq				
4	20.11	20.11	-4	47	15	15	Si	52
15	20.11	20.11	-3	75	15	15	Si	48

Combinazione QP: σ_{ca} [kg/cmq]=168 σ_{fa} [kg/cmq]=3600

P.	Afx	Afy	σ_c	σ_f	Cbc	Cbf	Ver	Cs
	cmq/m	cmq/m	kg/cmq	kg/cmq				
4	20.11	20.11	-3	676	19	19	Si	5.3

Verifica aperture fessure:Wamm Freq[mm]=0.300 Wamm Qp[mm]=0.200

P.	Nx	Ny	Nxy	Mx	My	Mxy	σ_{fmed}	Wd	Wk	Cb	Ver	Cs
	kg/cmq	kg/cmq	kg/cmq	kg	kg	kg	kg/cmq	mm	mm			
11	-0.85	-0.36	-0.24	29	74	2	5	0.000	0.000	18 (Qp)	Si	>100
11	-0.85	-0.36	-0.24	29	74	2	5	0.000	0.000	16 (Fr)	Si	>100

Muro : 98 - Nodi: [125-225-235-135], Pann.X=4, Pann.Y=4Spess.=25 cm, Terreno=---,Criterio=CLS_Muri_ND, Materiale=C35/45

Armatura a maglia doppia, Stampa elementi piu' gravosi

Combinazione Rara: σ_{ca} [kg/cmq]=224 σ_{fa} [kg/cmq]=3600

P.	Afx	Afy	σ_c	σ_f	Cbc	Cbf	Ver	Cs
	cmq/m	cmq/m	kg/cmq	kg/cmq				
4	20.11	20.11	-8	279	15	15	Si	13

Combinazione QP: σ_{ca} [kg/cmq]=168 σ_{fa} [kg/cmq]=3600

P.	Afx	Afy	σ_c	σ_f	Cbc	Cbf	Ver	Cs
	cmq/m	cmq/m	kg/cmq	kg/cmq				
4	20.11	20.11	-4	32	19	19	Si	40
13	20.11	20.11	-1	101	19	19	Si	36

Verifica aperture fessure:Wamm Freq[mm]=0.300 Wamm Qp[mm]=0.200

P.	Nx	Ny	Nxy	Mx	My	Mxy	σ_{fmed}	Wd	Wk	Cb	Ver	Cs
	kg/cmq	kg/cmq	kg/cmq	kg	kg	kg	kg/cmq	mm	mm			
2	-0.64	0.40	0.16	53	35	-18	73	0.012	0.012	16 (Fr)	Si	25
13	-1.56	0.38	0.12	-1	-14	13	57	0.012	0.012	18 (Qp)	Si	17

Muro : 99 - Nodi: [135-235-244-144], Pann.X=4, Pann.Y=4Spess.=25 cm, Terreno=---,Criterio=CLS_Muri_ND, Materiale=C35/45

Armatura a maglia doppia, Stampa elementi piu' gravosi

Combinazione Rara: σ_{ca} [kg/cmq]=224 σ_{fa} [kg/cmq]=3600

P.	Afx	Afy	σ_c	σ_f	Cbc	Cbf	Ver	Cs
	cmq/m	cmq/m	kg/cmq	kg/cmq				
4	20.11	20.11	-9	290	15	15	Si	12
2	20.11	20.11	-9	304	15	15	Si	12

Combinazione QP: σ_{ca} [kg/cmq]=168 σ_{fa} [kg/cmq]=3600

P.	Afx	Afy	σ_c	σ_f	Cbc	Cbf	Ver	Cs
	cmq/m	cmq/m	kg/cmq	kg/cmq				
1	20.11	20.11	-4	32	19	19	Si	38
13	20.11	20.11	-2	69	19	19	Si	52

Verifica aperture fessure:Wamm Freq[mm]=0.300 Wamm Qp[mm]=0.200

P.	Nx	Ny	Nxy	Mx	My	Mxy	σ_{fmed}	Wd	Wk	Cb	Ver	Cs
	kg/cmq	kg/cmq	kg/cmq	kg	kg	kg	kg/cmq	mm	mm			
4	0.19	-0.41	0.02	60	-18	29	32	0.003	0.003	16 (Fr)	Si	>100
5	-0.41	0.01	0.23	56	22	9	13	0.001	0.001	18 (Qp)	Si	>100

Muro : 100 - Nodi: [138-238-247-147], Pann.X=4, Pann.Y=4Spess.=25 cm, Terreno=--,Criterio=CLS_Muri_ND,
Materiale=C35/45

Armatura a maglia doppia, Stampa elementi piu' gravosi

Combinazione Rara: σ_{ca} [kg/cmq]=224 σ_{fa} [kg/cmq]=3600

P.	Afx	Afy	σ_c	σ_f	Cbc	Cbf	Ver	Cs
	cmq/m	cmq/m	kg/cmq	kg/cmq				
3	20.11	20.11	-5	113	15	15	Si	32

Combinazione QP: σ_{ca} [kg/cmq]=168 σ_{fa} [kg/cmq]=3600

P.	Afx	Afy	σ_c	σ_f	Cbc	Cbf	Ver	Cs
	cmq/m	cmq/m	kg/cmq	kg/cmq				
3	20.11	20.11	-4	22	19	19	Si	44
13	20.11	20.11	-1	41	19	19	Si	88

Verifica aperture fessure:Wamm Freq[mm]=0.300 Wamm Qp[mm]=0.200

P.	Nx	Ny	Nxy	Mx	My	Mxy	σ_{fmed}	Wd	Wk	Cb	Ver	Cs
	kg/cmq	kg/cmq	kg/cmq	kg	kg	kg	kg/cmq	mm	mm			
2	-0.64	-0.08	-0.07	-178	-22	31	28	0.002	0.002	16 (Fr)	Si	>100
3	-1.17	-0.11	-0.01	258	28	7	22	0.002	0.002	19 (Qp)	Si	>100

Muro : 101 - Nodi: [147-247-257-157], Pann.X=4, Pann.Y=4Spess.=25 cm, Terreno=--,Criterio=CLS_Muri_ND,
Materiale=C35/45

Armatura a maglia doppia, Stampa elementi piu' gravosi

Combinazione Rara: σ_{ca} [kg/cmq]=224 σ_{fa} [kg/cmq]=3600

P.	Afx	Afy	σ_c	σ_f	Cbc	Cbf	Ver	Cs
	cmq/m	cmq/m	kg/cmq	kg/cmq				
1	20.11	20.11	-5	85	15	15	Si	43

Combinazione QP: σ_{ca} [kg/cmq]=168 σ_{fa} [kg/cmq]=3600

P.	Afx	Afy	σ_c	σ_f	Cbc	Cbf	Ver	Cs
	cmq/m	cmq/m	kg/cmq	kg/cmq				
1	20.11	20.11	-3	8	19	19	Si	51
16	20.11	20.11	-1	48	19	19	Si	75

Verifica aperture fessure:Wamm Freq[mm]=0.300 Wamm Qp[mm]=0.200

P.	Nx	Ny	Nxy	Mx	My	Mxy	σ_{fmed}	Wd	Wk	Cb	Ver	Cs
	kg/cmq	kg/cmq	kg/cmq	kg	kg	kg	kg/cmq	mm	mm			
12	-0.68	0.01	0.03	-92	-19	28	12	0.001	0.001	18 (Qp)	Si	>100
15	-0.66	0.01	0.01	-91	-17	36	11	0.001	0.001	16 (Fr)	Si	>100

Muro : 102 - Nodi: [118-218-228-128], Pann.X=4, Pann.Y=4Spess.=25 cm, Terreno=--,Criterio=CLS_Muri_ND,
Materiale=C35/45

Armatura a maglia doppia, Stampa elementi piu' gravosi

Combinazione Rara: σ_{ca} [kg/cmq]=224 σ_{fa} [kg/cmq]=3600

P.	Afx	Afy	σ_c	σ_f	Cbc	Cbf	Ver	Cs
	cmq/m	cmq/m	kg/cmq	kg/cmq				
1	20.11	20.11	-2	82	15	15	Si	44
13	20.11	20.11	-2	196	15	15	Si	18

Combinazione QP: σ_{ca} [kg/cmq]=168 σ_{fa} [kg/cmq]=3600

P.	Afx	Afy	σ_c	σ_f	Cbc	Cbf	Ver	Cs
	cmq/m	cmq/m	kg/cmq	kg/cmq				

P.	Afx	Afy	σc	σf	Cbc	Cbf	Ver	Cs
1	20.11	20.11	-3	121	19	19	Si	30
13	20.11	20.11	-1	162	19	19	Si	22

Verifica aperture fessure:Wamm Freq[mm]=0.300 Wamm Qp[mm]=0.200

P.	Nx	Ny	Nxy	Mx	My	Mxy	σfmed	Wd	Wk	Cb	Ver	Cs
	kg/cmq	kg/cmq	kg/cmq	kg	kg	kg	kg/cmq	mm	mm			
13	0.77	0.85	-0.76	12	143	58	104	0.024	0.024	17 (Fr)	Si	13
14	0.06	0.45	-0.32	-21	-1	10	56	0.014	0.014	18 (Qp)	Si	14

Muro : 103 - Nodi: [117-217-218-118], Pann.X=4, Pann.Y=4Spess.=25 cm, Terreno=--,Criterio=CLS_Muri_ND,
Materiale=C35/45

Armatura a maglia doppia, Stampa elementi piu' gravosi

Combinazione Rara: σca[kg/cmq]=224 σfa[kg/cmq]=3600

P.	Afx	Afy	σc	σf	Cbc	Cbf	Ver	Cs
	cmq/m	cmq/m	kg/cmq	kg/cmq				
13	20.11	20.11	-2	100	15	15	Si	36
16	20.11	20.11	-2	142	15	15	Si	25

Combinazione QP: σca[kg/cmq]=168 σfa[kg/cmq]=3600

P.	Afx	Afy	σc	σf	Cbc	Cbf	Ver	Cs
	cmq/m	cmq/m	kg/cmq	kg/cmq				
1	20.11	20.11	-3	12	19	19	Si	66
4	20.11	20.11	-1	104	19	19	Si	35

Verifica aperture fessure:Wamm Freq[mm]=0.300 Wamm Qp[mm]=0.200

P.	Nx	Ny	Nxy	Mx	My	Mxy	σfmed	Wd	Wk	Cb	Ver	Cs
	kg/cmq	kg/cmq	kg/cmq	kg	kg	kg	kg/cmq	mm	mm			
4	0.66	0.20	-0.35	-10	6	6	88	0.020	0.020	16 (Fr)	Si	15
14	0.14	0.16	-0.56	-150	-9	10	102	0.010	0.010	18 (Qp)	Si	19

Muro : 104 - Nodi: [128-228-238-138], Pann.X=4, Pann.Y=4Spess.=25 cm, Terreno=--,Criterio=CLS_Muri_ND,
Materiale=C35/45

Armatura a maglia doppia, Stampa elementi piu' gravosi

Combinazione Rara: σca[kg/cmq]=224 σfa[kg/cmq]=3600

P.	Afx	Afy	σc	σf	Cbc	Cbf	Ver	Cs
	cmq/m	cmq/m	kg/cmq	kg/cmq				
4	20.11	20.11	-4	86	15	15	Si	42

Combinazione QP: σca[kg/cmq]=168 σfa[kg/cmq]=3600

P.	Afx	Afy	σc	σf	Cbc	Cbf	Ver	Cs
	cmq/m	cmq/m	kg/cmq	kg/cmq				
4	20.11	20.11	-3	28	19	18	Si	60
13	20.11	20.11	-1	53	19	19	Si	68

Verifica aperture fessure:Wamm Freq[mm]=0.300 Wamm Qp[mm]=0.200

P.	Nx	Ny	Nxy	Mx	My	Mxy	σfmed	Wd	Wk	Cb	Ver	Cs
	kg/cmq	kg/cmq	kg/cmq	kg	kg	kg	kg/cmq	mm	mm			
13	-0.33	0.16	-0.20	-69	-10	17	27	0.005	0.005	18 (Qp)	Si	42
13	-0.33	0.16	-0.20	-69	-10	17	27	0.005	0.005	16 (Fr)	Si	63

Muro : 105 - Nodi: [116-216-217-117], Pann.X=4, Pann.Y=4Spess.=25 cm, Terreno=--,Criterio=CLS_Muri_ND,
Materiale=C35/45

Armatura a maglia doppia, Stampa elementi piu' gravosi

Combinazione Rara: σca[kg/cmq]=224 σfa[kg/cmq]=3600

P.	Afx	Afy	σc	σf	Cbc	Cbf	Ver	Cs
	cmq/m	cmq/m	kg/cmq	kg/cmq				
1	20.11	20.11	-2	12	15	14	Si	>100
14	20.11	20.11	-1	93	15	14	Si	39

Combinazione QP: σca[kg/cmq]=168 σfa[kg/cmq]=3600

P.	Afx	Afy	σc	σf	Cbc	Cbf	Ver	Cs
	cmq/m	cmq/m	kg/cmq	kg/cmq				

P.	Afx	Afy	σ_c	σ_f	Cbc	Cbf	Ver	Cs
1	20.11	20.11	-5	125	19	19	Si	29
13	20.11	20.11	-1	240	19	19	Si	15

Verifica aperture fessure:Wamm Freq[mm]=0.300 Wamm Qp[mm]=0.200

P.	Nx	Ny	Nxy	Mx	My	Mxy	σ_{fmed}	Wd	Wk	Cb	Ver	Cs
	kg/cmq	kg/cmq	kg/cmq	kg	kg	kg	kg/cmq	mm	mm			
16	-0.05	0.18	-0.57	-149	-11	-3	77	0.008	0.008	18 (Qp)	Si	26
16	-0.05	0.18	-0.57	-149	-11	-3	77	0.008	0.008	16 (Fr)	Si	39

Muro : 106 - Nodi: [115-215-216-116], Pann.X=4, Pann.Y=4Spess.=25 cm, Terreno=--,Criterio=CLS_Muri_ND,
Materiale=C35/45

Armatura a maglia doppia, Stampa elementi piu' gravosi

Combinazione Rara: σ_{ca} [kg/cmq]=224 σ_{fa} [kg/cmq]=3600

P.	Afx	Afy	σ_c	σ_f	Cbc	Cbf	Ver	Cs
	cmq/m	cmq/m	kg/cmq	kg/cmq				
1	20.11	20.11	-6	160	15	14	Si	23

Combinazione QP: σ_{ca} [kg/cmq]=168 σ_{fa} [kg/cmq]=3600

P.	Afx	Afy	σ_c	σ_f	Cbc	Cbf	Ver	Cs
	cmq/m	cmq/m	kg/cmq	kg/cmq				
4	20.11	20.11	-5	161	19	19	Si	22
5	20.11	20.11	-3	766	18	19	Si	4.7

Verifica aperture fessure:Wamm Freq[mm]=0.300 Wamm Qp[mm]=0.200

P.	Nx	Ny	Nxy	Mx	My	Mxy	σ_{fmed}	Wd	Wk	Cb	Ver	Cs
	kg/cmq	kg/cmq	kg/cmq	kg	kg	kg	kg/cmq	mm	mm			
1	-3.54	-2.76	2.39	-307	-151	-36	0	0.000	0.000	17 (Fr)	Si	>100
6	0.08	0.01	0.00	-144	-54	-31	91	0.009	0.009	18 (Qp)	Si	22

Muro [Platea]: 107 - Nodi: [216-215-205-206]Pann=16Spess.=35 cm, Terreno=terreno 1, ,Criterio=CLS_Platee_ND,
Materiale=C35/45

Armatura a maglia doppia, Stampa elementi piu' gravosi

Combinazione Rara: σ_{ca} [kg/cmq]=224 σ_{fa} [kg/cmq]=3600

P.	Afx	Afy	σ_c	σ_f	Cbc	Cbf	Ver	Cs
	cmq/m	cmq/m	kg/cmq	kg/cmq				
13	25.45	25.45	-1	43	15	14	Si	83

Combinazione QP: σ_{ca} [kg/cmq]=168 σ_{fa} [kg/cmq]=3600

P.	Afx	Afy	σ_c	σ_f	Cbc	Cbf	Ver	Cs
	cmq/m	cmq/m	kg/cmq	kg/cmq				
3	25.45	25.45	-1	54	19	19	Si	67
1	25.45	25.45	-0	160	19	19	Si	22

Verifica aperture fessure:Wamm Freq[mm]=0.300 Wamm Qp[mm]=0.200

P.	Nx	Ny	Nxy	Mx	My	Mxy	σ_{fmed}	Wd	Wk	Cb	Ver	Cs
	kg/cmq	kg/cmq	kg/cmq	kg	kg	kg	kg/cmq	mm	mm			
3	-0.20	-0.12	0.07	65	138	100	25	0.003	0.003	18 (Qp)	Si	76
3	-0.33	-0.20	0.07	64	62	130	0	0.000	0.000	17 (Fr)	Si	>100

Muro [Platea]: 108 - Nodi: [217-216-206-207]Pann=16Spess.=35 cm, Terreno=terreno 1, ,Criterio=CLS_Platee_ND,
Materiale=C35/45

Armatura a maglia doppia, Stampa elementi piu' gravosi

Combinazione Rara: σ_{ca} [kg/cmq]=224 σ_{fa} [kg/cmq]=3600

P.	Afx	Afy	σ_c	σ_f	Cbc	Cbf	Ver	Cs
	cmq/m	cmq/m	kg/cmq	kg/cmq				
6	25.45	25.45	-1	48	15	15	Si	75
2	25.45	25.45	-1	56	15	15	Si	64

Combinazione QP: σ_{ca} [kg/cmq]=168 σ_{fa} [kg/cmq]=3600

P.	Afx	Afy	σ_c	σ_f	Cbc	Cbf	Ver	Cs
	cmq/m	cmq/m	kg/cmq	kg/cmq				
15	25.45	25.45	-1	62	19	19	Si	58

P.	Afx	Afy	σ_c	σ_f	Cbc	Cbf	Ver	Cs
13	25.45	25.45	-0	140	19	19	Si	26

Verifica aperture fessure:Wamm Freq[mm]=0.300 Wamm Qp[mm]=0.200

P.	Nx	Ny	Nxy	Mx	My	Mxy	σ_{fmed}	Wd	Wk	Cb	Ver	Cs
	kg/cmq	kg/cmq	kg/cmq	kg	kg	kg	kg/cmq	mm	mm			
3	-0.18	0.01	0.20	73	156	53	47	0.005	0.005	16 (Fr)	Si	56
7	0.12	0.05	0.23	76	138	9	48	0.006	0.006	19 (Qp)	Si	36

Muro [Platea]: 109 - Nodi: [218-217-207-208]Pann=16Spess.=35 cm, Terreno=terreno 1, ,Criterio=CLS_Platee_ND, Materiale=C35/45

Armatura a maglia doppia, Stampa elementi piu' gravosi

Combinazione Rara: σ_{ca} [kg/cmq]=224 σ_{fa} [kg/cmq]=3600

P.	Afx	Afy	σ_c	σ_f	Cbc	Cbf	Ver	Cs
	cmq/m	cmq/m	kg/cmq	kg/cmq				
1	25.45	25.45	-1	79	15	14	Si	45

Combinazione QP: σ_{ca} [kg/cmq]=168 σ_{fa} [kg/cmq]=3600

P.	Afx	Afy	σ_c	σ_f	Cbc	Cbf	Ver	Cs
	cmq/m	cmq/m	kg/cmq	kg/cmq				
1	25.45	25.45	-1	72	19	19	Si	50

Verifica aperture fessure:Wamm Freq[mm]=0.300 Wamm Qp[mm]=0.200

P.	Nx	Ny	Nxy	Mx	My	Mxy	σ_{fmed}	Wd	Wk	Cb	Ver	Cs
	kg/cmq	kg/cmq	kg/cmq	kg	kg	kg	kg/cmq	mm	mm			
1	0.17	0.33	0.11	-157	-66	-41	66	0.010	0.010	18 (Qp)	Si	19
1	0.06	0.30	0.07	-196	-68	-26	63	0.010	0.010	17 (Fr)	Si	31

Muro [Platea]: 110 - Nodi: [206-205-201-202]Pann=16Spess.=35 cm, Terreno=terreno 1, ,Criterio=CLS_Platee_ND, Materiale=C35/45

Armatura a maglia doppia, Stampa elementi piu' gravosi

Combinazione Rara: σ_{ca} [kg/cmq]=224 σ_{fa} [kg/cmq]=3600

P.	Afx	Afy	σ_c	σ_f	Cbc	Cbf	Ver	Cs
	cmq/m	cmq/m	kg/cmq	kg/cmq				
3	25.45	25.45	-1	52	15	15	Si	69

Combinazione QP: σ_{ca} [kg/cmq]=168 σ_{fa} [kg/cmq]=3600

P.	Afx	Afy	σ_c	σ_f	Cbc	Cbf	Ver	Cs
	cmq/m	cmq/m	kg/cmq	kg/cmq				
3	25.45	25.45	-2	59	19	19	Si	61

Verifica aperture fessure:Wamm Freq[mm]=0.300 Wamm Qp[mm]=0.200

P.	Nx	Ny	Nxy	Mx	My	Mxy	σ_{fmed}	Wd	Wk	Cb	Ver	Cs
	kg/cmq	kg/cmq	kg/cmq	kg	kg	kg	kg/cmq	mm	mm			
3	-0.15	-0.08	0.06	97	148	-7	33	0.004	0.004	18 (Qp)	Si	56
3	-0.15	-0.08	0.06	97	148	-7	33	0.004	0.004	16 (Fr)	Si	85

Muro [Platea]: 111 - Nodi: [207-206-202-203]Pann=16Spess.=35 cm, Terreno=terreno 1, ,Criterio=CLS_Platee_ND, Materiale=C35/45

Armatura a maglia doppia, Stampa elementi piu' gravosi

Combinazione Rara: σ_{ca} [kg/cmq]=224 σ_{fa} [kg/cmq]=3600

P.	Afx	Afy	σ_c	σ_f	Cbc	Cbf	Ver	Cs
	cmq/m	cmq/m	kg/cmq	kg/cmq				
7	25.45	25.45	-2	97	15	15	Si	37

Combinazione QP: σ_{ca} [kg/cmq]=168 σ_{fa} [kg/cmq]=3600

P.	Afx	Afy	σ_c	σ_f	Cbc	Cbf	Ver	Cs
	cmq/m	cmq/m	kg/cmq	kg/cmq				
11	25.45	25.45	-2	110	19	19	Si	33

Verifica aperture fessure:Wamm_Freq[mm]=0.300 Wamm_Qp[mm]=0.200

P.	Nx	Ny	Nxy	Mx	My	Mxy	σ_{fmed}	Wd	Wk	Cb	Ver	Cs
	kg/cmq	kg/cmq	kg/cmq	kg	kg	kg	kg/cmq	mm	mm			
6	-0.28	0.00	0.09	119	260	61	77	0.009	0.009	18 (Qp)	Si	23
6	-0.28	0.00	0.09	119	260	61	77	0.009	0.009	16 (Fr)	Si	35

Muro [Platea]: 112 - Nodi: [208-207-203-204] Pann=16Spess.=35 cm, Terreno=terreno 1, , Criterio=CLS_Platee_ND, Materiale=C35/45

Armatura a maglia doppia, Stampa elementi piu' gravosi

Combinazione Rara: σ_{ca} [kg/cmq]=224 σ_{fa} [kg/cmq]=3600

P.	Afx	Afy	σ_c	σ_f	Cbc	Cbf	Ver	Cs
	cmq/m	cmq/m	kg/cmq	kg/cmq				
2	25.45	25.45	-2	60	15	15	Si	60
14	25.45	25.45	-2	68	15	15	Si	53

Combinazione QP: σ_{ca} [kg/cmq]=168 σ_{fa} [kg/cmq]=3600

P.	Afx	Afy	σ_c	σ_f	Cbc	Cbf	Ver	Cs
	cmq/m	cmq/m	kg/cmq	kg/cmq				
2	25.45	25.45	-2	49	19	19	Si	73
15	25.45	25.45	-1	67	19	19	Si	54

Verifica aperture fessure:Wamm Freq[mm]=0.300 Wamm Qp[mm]=0.200

P.	Nx	Ny	Nxy	Mx	My	Mxy	σ_{fmed}	Wd	Wk	Cb	Ver	Cs
	kg/cmq	kg/cmq	kg/cmq	kg	kg	kg	kg/cmq	mm	mm			
2	-0.12	-0.26	0.07	-259	44	102	60	0.007	0.007	17 (Fr)	Si	46
14	-0.28	-0.01	0.02	92	196	64	56	0.006	0.006	18 (Qp)	Si	32

Muro : 113 - Nodi: [260-360-361-261], Pann.X=4, Pann.Y=4Spess.=25 cm, Terreno=--, Criterio=CLS_Muri_ND, Materiale=C35/45

Armatura a maglia doppia, Stampa elementi piu' gravosi

Combinazione Rara: σ_{ca} [kg/cmq]=224 σ_{fa} [kg/cmq]=3600

P.	Afx	Afy	σ_c	σ_f	Cbc	Cbf	Ver	Cs
	cmq/m	cmq/m	kg/cmq	kg/cmq				
13	20.11	20.11	-2	114	15	15	Si	32

Combinazione QP: σ_{ca} [kg/cmq]=168 σ_{fa} [kg/cmq]=3600

P.	Afx	Afy	σ_c	σ_f	Cbc	Cbf	Ver	Cs
	cmq/m	cmq/m	kg/cmq	kg/cmq				
16	20.11	20.11	-4	169	19	19	Si	21
12	20.11	20.11	-4	173	19	19	Si	21

Verifica aperture fessure:Wamm Freq[mm]=0.300 Wamm Qp[mm]=0.200

P.	Nx	Ny	Nxy	Mx	My	Mxy	σ_{fmed}	Wd	Wk	Cb	Ver	Cs
	kg/cmq	kg/cmq	kg/cmq	kg	kg	kg	kg/cmq	mm	mm			
13	-0.31	-0.02	-0.10	-11	-72	-22	39	0.004	0.004	16 (Fr)	Si	78
16	-0.26	-0.13	-0.07	17	162	-13	74	0.007	0.007	18 (Qp)	Si	28

Muro : 114 - Nodi: [257-357-361-261], Pann.X=4, Pann.Y=4Spess.=25 cm, Terreno=--, Criterio=CLS_Muri_ND, Materiale=C35/45

Armatura a maglia doppia, Stampa elementi piu' gravosi

Combinazione Rara: σ_{ca} [kg/cmq]=224 σ_{fa} [kg/cmq]=3600

P.	Afx	Afy	σ_c	σ_f	Cbc	Cbf	Ver	Cs
	cmq/m	cmq/m	kg/cmq	kg/cmq				
13	20.11	20.11	-2	57	15	15	Si	63
8	20.11	20.11	-1	81	15	15	Si	44

Combinazione QP: σ_{ca} [kg/cmq]=168 σ_{fa} [kg/cmq]=3600

P.	Afx	Afy	σ_c	σ_f	Cbc	Cbf	Ver	Cs
	cmq/m	cmq/m	kg/cmq	kg/cmq				
16	20.11	20.11	-4	167	19	19	Si	22
12	20.11	20.11	-4	170	19	19	Si	21

Verifica aperture fessure:Wamm_Freq[mm]=0.300 Wamm_Qp[mm]=0.200

P.	Nx	Ny	Nxy	Mx	My	Mxy	σ_{fmed}	Wd	Wk	Cb	Ver	Cs
	kg/cmq	kg/cmq	kg/cmq	kg	kg	kg	kg/cmq	mm	mm			
12	-0.23	-0.10	0.04	-10	-115	14	51	0.005	0.005	16 (Fr)	Si	60
16	-0.20	-0.19	0.04	-10	-154	10	63	0.006	0.006	18 (Qp)	Si	33

Muro : 115 - Nodi: [258-358-359-259], Pann.X=4, Pann.Y=4Spess.=25 cm, Terreno=--,Criterio=CLS_Muri_ND, Materiale=C35/45

Armatura a maglia doppia, Stampa elementi piu' gravosi
Combinazione Rara: σ_{ca} [kg/cmq]=224 σ_{fa} [kg/cmq]=3600

P.	Afx	Afy	σ_c	σ_f	Cbc	Cbf	Ver	Cs
	cmq/m	cmq/m	kg/cmq	kg/cmq				
13	20.11	20.11	-8	328	15	15	Si	11

Combinazione QP: σ_{ca} [kg/cmq]=168 σ_{fa} [kg/cmq]=3600

P.	Afx	Afy	σ_c	σ_f	Cbc	Cbf	Ver	Cs
	cmq/m	cmq/m	kg/cmq	kg/cmq				
16	20.11	20.11	-3	134	19	19	Si	27

Verifica aperture fessure:Wamm Freq[mm]=0.300 Wamm Qp[mm]=0.200

P.	Nx	Ny	Nxy	Mx	My	Mxy	σ_{fmed}	Wd	Wk	Cb	Ver	Cs
	kg/cmq	kg/cmq	kg/cmq	kg	kg	kg	kg/cmq	mm	mm			
3	-0.56	0.20	-0.37	10	-9	-32	31	0.006	0.006	18 (Qp)	Si	34
13	-0.20	0.24	-0.35	-42	-199	-58	143	0.015	0.015	16 (Fr)	Si	20

Muro : 116 - Nodi: [259-359-360-260], Pann.X=4, Pann.Y=4Spess.=25 cm, Terreno=--,Criterio=CLS_Muri_ND, Materiale=C35/45

Armatura a maglia doppia, Stampa elementi piu' gravosi
Combinazione Rara: σ_{ca} [kg/cmq]=224 σ_{fa} [kg/cmq]=3600

P.	Afx	Afy	σ_c	σ_f	Cbc	Cbf	Ver	Cs
	cmq/m	cmq/m	kg/cmq	kg/cmq				
13	20.11	20.11	-1	121	15	15	Si	30

Combinazione QP: σ_{ca} [kg/cmq]=168 σ_{fa} [kg/cmq]=3600

P.	Afx	Afy	σ_c	σ_f	Cbc	Cbf	Ver	Cs
	cmq/m	cmq/m	kg/cmq	kg/cmq				
3	20.11	20.11	-1	69	19	19	Si	52
8	20.11	20.11	-1	85	19	19	Si	43

Verifica aperture fessure:Wamm Freq[mm]=0.300 Wamm Qp[mm]=0.200

P.	Nx	Ny	Nxy	Mx	My	Mxy	σ_{fmed}	Wd	Wk	Cb	Ver	Cs
	kg/cmq	kg/cmq	kg/cmq	kg	kg	kg	kg/cmq	mm	mm			
6	-0.70	0.33	-0.01	5	-3	-23	42	0.010	0.010	18 (Qp)	Si	20
6	-0.70	0.33	-0.01	5	-3	-23	42	0.010	0.010	16 (Fr)	Si	30

Muro : 117 - Nodi: [262-362-363-263], Pann.X=4, Pann.Y=4Spess.=25 cm, Terreno=--,Criterio=CLS_Muri_ND, Materiale=C35/45

Armatura a maglia doppia, Stampa elementi piu' gravosi
Combinazione Rara: σ_{ca} [kg/cmq]=224 σ_{fa} [kg/cmq]=3600

P.	Afx	Afy	σ_c	σ_f	Cbc	Cbf	Ver	Cs
	cmq/m	cmq/m	kg/cmq	kg/cmq				
16	20.11	20.11	-1	36	15	15	Si	>100
13	20.11	20.11	-1	56	15	15	Si	64

Combinazione QP: σ_{ca} [kg/cmq]=168 σ_{fa} [kg/cmq]=3600

P.	Afx	Afy	σ_c	σ_f	Cbc	Cbf	Ver	Cs
	cmq/m	cmq/m	kg/cmq	kg/cmq				
13	20.11	20.11	-1	35	18	19	Si	>100
6	20.11	20.11	-1	56	19	19	Si	64

Verifica aperture fessure:Wamm Freq[mm]=0.300 Wamm Qp[mm]=0.200

P.	Nx	Ny	Nxy	Mx	My	Mxy	σ_{fmed}	Wd	Wk	Cb	Ver	Cs
	kg/cmq	kg/cmq	kg/cmq	kg	kg	kg	kg/cmq	mm	mm			
16	-0.16	0.10	0.05	-2	-11	-15	20	0.003	0.003	19 (Qp)	Si	65

P.	Nx	Ny	Nxy	Mx	My	Mxy	σ_{fmed}	Wd	Wk	Cb	Ver	Cs
16	-0.28	-0.04	-0.11	5	69	-8	34	0.003	0.003	16 (Fr)	Si	89

Muro : 118 - Nodi: [260-360-363-263], Pann.X=4, Pann.Y=4Spess.=25 cm, Terreno=--,Criterio=CLS_Muri_ND, Materiale=C35/45

Armatura a maglia doppia, Stampa elementi piu' gravosi

Combinazione Rara: σ_{ca} [kg/cmq]=224 σ_{fa} [kg/cmq]=3600

P.	Afx	Afy	σ_c	σ_f	Cbc	Cbf	Ver	Cs
	cmq/m	cmq/m	kg/cmq	kg/cmq				
13	20.11	20.11	-3	85	15	15	Si	42

Combinazione QP: σ_{ca} [kg/cmq]=168 σ_{fa} [kg/cmq]=3600

P.	Afx	Afy	σ_c	σ_f	Cbc	Cbf	Ver	Cs
	cmq/m	cmq/m	kg/cmq	kg/cmq				
13	20.11	20.11	-1	63	19	19	Si	57

Verifica aperture fessure:Wamm Freq[mm]=0.300 Wamm Qp[mm]=0.200

P.	Nx	Ny	Nxy	Mx	My	Mxy	σ_{fmed}	Wd	Wk	Cb	Ver	Cs
	kg/cmq	kg/cmq	kg/cmq	kg	kg	kg	kg/cmq	mm	mm			
13	-0.36	0.15	-0.24	-12	-77	9	33	0.003	0.003	19 (Qp)	Si	80
13	-0.30	-0.10	0.03	16	102	-11	45	0.004	0.004	16 (Fr)	Si	68

Muro : 119 - Nodi: [259-359-362-262], Pann.X=4, Pann.Y=4Spess.=25 cm, Terreno=--,Criterio=CLS_Muri_ND, Materiale=C35/45

Armatura a maglia doppia, Stampa elementi piu' gravosi

Combinazione Rara: σ_{ca} [kg/cmq]=224 σ_{fa} [kg/cmq]=3600

P.	Afx	Afy	σ_c	σ_f	Cbc	Cbf	Ver	Cs
	cmq/m	cmq/m	kg/cmq	kg/cmq				
16	20.11	20.11	-3	108	15	15	Si	33
13	20.11	20.11	-1	116	15	15	Si	31

Combinazione QP: σ_{ca} [kg/cmq]=168 σ_{fa} [kg/cmq]=3600

P.	Afx	Afy	σ_c	σ_f	Cbc	Cbf	Ver	Cs
	cmq/m	cmq/m	kg/cmq	kg/cmq				
13	20.11	20.11	-2	94	19	19	Si	38

Verifica aperture fessure:Wamm Freq[mm]=0.300 Wamm Qp[mm]=0.200

P.	Nx	Ny	Nxy	Mx	My	Mxy	σ_{fmed}	Wd	Wk	Cb	Ver	Cs
	kg/cmq	kg/cmq	kg/cmq	kg	kg	kg	kg/cmq	mm	mm			
16	-0.37	-0.01	-0.29	-9	-75	4	41	0.004	0.004	18 (Qp)	Si	49
16	-0.37	-0.01	-0.29	-9	-75	4	41	0.004	0.004	16 (Fr)	Si	73

Muro : 120 - Nodi: [254-354-358-258], Pann.X=4, Pann.Y=4Spess.=25 cm, Terreno=--,Criterio=CLS_Muri_ND, Materiale=C35/45

Armatura a maglia doppia, Stampa elementi piu' gravosi

Combinazione Rara: σ_{ca} [kg/cmq]=224 σ_{fa} [kg/cmq]=3600

P.	Afx	Afy	σ_c	σ_f	Cbc	Cbf	Ver	Cs
	cmq/m	cmq/m	kg/cmq	kg/cmq				
16	20.11	20.11	-13	512	15	15	Si	7.0

Combinazione QP: σ_{ca} [kg/cmq]=168 σ_{fa} [kg/cmq]=3600

P.	Afx	Afy	σ_c	σ_f	Cbc	Cbf	Ver	Cs
	cmq/m	cmq/m	kg/cmq	kg/cmq				
8	20.11	20.11	-5	202	19	19	Si	18

Verifica aperture fessure:Wamm Freq[mm]=0.300 Wamm Qp[mm]=0.200

P.	Nx	Ny	Nxy	Mx	My	Mxy	σ_{fmed}	Wd	Wk	Cb	Ver	Cs
	kg/cmq	kg/cmq	kg/cmq	kg	kg	kg	kg/cmq	mm	mm			
8	-0.33	0.19	-0.49	-19	-189	48	131	0.013	0.013	18 (Qp)	Si	15
16	-0.36	0.30	-0.37	-44	-345	37	234	0.024	0.024	16 (Fr)	Si	13

Muro : 121 - Nodi: [231-331-332-232], Pann.X=4, Pann.Y=4Spess.=25 cm, Terreno=--,Criterio=CLS_Muri_ND, Materiale=C35/45

Armatura a maglia doppia, Stampa elementi piu' gravosi

Combinazione Rara: σ_{ca} [kg/cm²]=224 σ_{fa} [kg/cm²]=3600

P.	Afx	Afy	σ_c	σ_f	Cbc	Cbf	Ver	Cs
	cmq/m	cmq/m	kg/cm ²	kg/cm ²				
16	20.11	20.11	-1	39	15	15	Si	93

Combinazione QP: σ_{ca} [kg/cm²]=168 σ_{fa} [kg/cm²]=3600

P.	Afx	Afy	σ_c	σ_f	Cbc	Cbf	Ver	Cs
	cmq/m	cmq/m	kg/cm ²	kg/cm ²				
12	20.11	20.11	-2	29	18	19	Si	>100
16	20.11	20.11	-1	34	19	19	Si	>100

Verifica aperture fessure:Wamm Freq[mm]=0.300 Wamm Qp[mm]=0.200

P.	Nx	Ny	Nxy	Mx	My	Mxy	σ_{fmed}	Wd	Wk	Cb	Ver	Cs
	kg/cm ²	kg/cm ²	kg/cm ²	kg	kg	kg	kg/cm ²	mm	mm			
10	-0.57	0.02	0.03	7	51	-10	31	0.003	0.003	18 (Qp)	Si	64
16	-0.32	0.02	-0.05	9	64	2	39	0.004	0.004	17 (Fr)	Si	77

Muro : 122 - Nodi: [230-330-331-231], Pann.X=4, Pann.Y=4Spess.=25 cm, Terreno=--,Criterio=CLS_Muri_ND, Materiale=C35/45

Armatura a maglia doppia, Stampa elementi piu' gravosi

Combinazione Rara: σ_{ca} [kg/cm²]=224 σ_{fa} [kg/cm²]=3600

P.	Afx	Afy	σ_c	σ_f	Cbc	Cbf	Ver	Cs
	cmq/m	cmq/m	kg/cm ²	kg/cm ²				
4	20.11	20.11	-1	-4	15	15	Si	>100
13	20.11	20.11	-0	7	15	15	Si	>100

Combinazione QP: σ_{ca} [kg/cm²]=168 σ_{fa} [kg/cm²]=3600

P.	Afx	Afy	σ_c	σ_f	Cbc	Cbf	Ver	Cs
	cmq/m	cmq/m	kg/cm ²	kg/cm ²				
4	20.11	20.11	-1	30	19	19	Si	>100
1	20.11	20.11	-1	45	19	19	Si	80

Verifica aperture fessure:Wamm Freq[mm]=0.300 Wamm Qp[mm]=0.200

P.	Nx	Ny	Nxy	Mx	My	Mxy	σ_{fmed}	Wd	Wk	Cb	Ver	Cs
	kg/cm ²	kg/cm ²	kg/cm ²	kg	kg	kg	kg/cm ²	mm	mm			
1	-0.68	0.00	0.25	-3	-23	-15	13	0.001	0.001	18 (Qp)	Si	>100
13	-0.30	-0.08	0.08	-3	-28	-8	7	0.001	0.001	17 (Fr)	Si	>100

Muro : 123 - Nodi: [209-309-310-210], Pann.X=4, Pann.Y=4Spess.=25 cm, Terreno=--,Criterio=CLS_Muri_ND, Materiale=C35/45

Armatura a maglia doppia, Stampa elementi piu' gravosi

Combinazione Rara: σ_{ca} [kg/cm²]=224 σ_{fa} [kg/cm²]=3600

P.	Afx	Afy	σ_c	σ_f	Cbc	Cbf	Ver	Cs
	cmq/m	cmq/m	kg/cm ²	kg/cm ²				
1	20.11	20.11	-4	74	15	15	Si	49

Combinazione QP: σ_{ca} [kg/cm²]=168 σ_{fa} [kg/cm²]=3600

P.	Afx	Afy	σ_c	σ_f	Cbc	Cbf	Ver	Cs
	cmq/m	cmq/m	kg/cm ²	kg/cm ²				
1	20.11	20.11	-3	123	19	19	Si	29

Verifica aperture fessure:Wamm Freq[mm]=0.300 Wamm Qp[mm]=0.200

P.	Nx	Ny	Nxy	Mx	My	Mxy	σ_{fmed}	Wd	Wk	Cb	Ver	Cs
	kg/cm ²	kg/cm ²	kg/cm ²	kg	kg	kg	kg/cm ²	mm	mm			
13	-0.28	-0.10	0.07	-4	-72	-9	28	0.003	0.003	18 (Qp)	Si	74
13	-0.28	-0.10	0.07	-4	-72	-9	28	0.003	0.003	16 (Fr)	Si	>100

Muro : 124 - Nodi: [222-322-332-232], Pann.X=4, Pann.Y=4Spess.=25 cm, Terreno=--,Criterio=CLS_Muri_ND, Materiale=C35/45

Armatura a maglia doppia, Stampa elementi piu' gravosi

Combinazione Rara: σ_{ca} [kg/cm²]=224 σ_{fa} [kg/cm²]=3600

P.	Afx	Afy	σ_c	σ_f	Cbc	Cbf	Ver	Cs
	cmq/m	cmq/m	kg/cmq	kg/cmq				
4	20.11	20.11	-1	1	15	15	Si	>100
16	20.11	20.11	-1	10	14	15	Si	>100

Combinazione QP: σ_{ca} [kg/cmq]=168 σ_{fa} [kg/cmq]=3600

P.	Afx	Afy	σ_c	σ_f	Cbc	Cbf	Ver	Cs
	cmq/m	cmq/m	kg/cmq	kg/cmq				
16	20.11	20.11	-1	109	19	19	Si	33
12	20.11	20.11	-1	110	19	19	Si	33

Verifica aperture fessure:Wamm Freq[mm]=0.300 Wamm Qp[mm]=0.200

P.	Nx	Ny	Nxy	Mx	My	Mxy	σ_{fmed}	Wd	Wk	Cb	Ver	Cs
	kg/cmq	kg/cmq	kg/cmq	kg	kg	kg	kg/cmq	mm	mm			
3	-1.01	0.19	0.33	-4	7	3	28	0.006	0.006	18 (Qp)	Si	35
14	-0.30	-0.01	0.19	-0	15	-8	7	0.001	0.001	17 (Fr)	Si	>100

Muro : 125 - Nodi: [211-311-312-212], Pann.X=4, Pann.Y=4Spess.=25 cm, Terreno=--,Criterio=CLS_Muri_ND,
Materiale=C35/45

Armatura a maglia doppia, Stampa elementi piu' gravosi

Combinazione Rara: σ_{ca} [kg/cmq]=224 σ_{fa} [kg/cmq]=3600

P.	Afx	Afy	σ_c	σ_f	Cbc	Cbf	Ver	Cs
	cmq/m	cmq/m	kg/cmq	kg/cmq				
4	20.11	20.11	-4	81	15	15	Si	45

Combinazione QP: σ_{ca} [kg/cmq]=168 σ_{fa} [kg/cmq]=3600

P.	Afx	Afy	σ_c	σ_f	Cbc	Cbf	Ver	Cs
	cmq/m	cmq/m	kg/cmq	kg/cmq				
4	20.11	20.11	-3	227	19	19	Si	16

Verifica aperture fessure:Wamm Freq[mm]=0.300 Wamm Qp[mm]=0.200

P.	Nx	Ny	Nxy	Mx	My	Mxy	σ_{fmed}	Wd	Wk	Cb	Ver	Cs
	kg/cmq	kg/cmq	kg/cmq	kg	kg	kg	kg/cmq	mm	mm			
12	-0.30	0.15	0.30	8	-14	-25	28	0.005	0.005	18 (Qp)	Si	44
12	-0.30	0.15	0.30	8	-14	-25	28	0.005	0.005	16 (Fr)	Si	66

Muro : 126 - Nodi: [213-313-314-214], Pann.X=4, Pann.Y=4Spess.=25 cm, Terreno=--,Criterio=CLS_Muri_ND,
Materiale=C35/45

Armatura a maglia doppia, Stampa elementi piu' gravosi

Combinazione Rara: σ_{ca} [kg/cmq]=224 σ_{fa} [kg/cmq]=3600

P.	Afx	Afy	σ_c	σ_f	Cbc	Cbf	Ver	Cs
	cmq/m	cmq/m	kg/cmq	kg/cmq				
4	20.11	20.11	-3	108	15	14	Si	33
8	20.11	20.11	-2	123	15	14	Si	29

Combinazione QP: σ_{ca} [kg/cmq]=168 σ_{fa} [kg/cmq]=3600

P.	Afx	Afy	σ_c	σ_f	Cbc	Cbf	Ver	Cs
	cmq/m	cmq/m	kg/cmq	kg/cmq				
3	20.11	20.11	-2	452	19	19	Si	8.0
4	20.11	20.11	-2	522	19	19	Si	6.9

Verifica aperture fessure:Wamm Freq[mm]=0.300 Wamm Qp[mm]=0.200

P.	Nx	Ny	Nxy	Mx	My	Mxy	σ_{fmed}	Wd	Wk	Cb	Ver	Cs
	kg/cmq	kg/cmq	kg/cmq	kg	kg	kg	kg/cmq	mm	mm			
11	-0.30	0.22	0.00	18	24	-26	43	0.007	0.007	18 (Qp)	Si	30
16	-0.21	0.27	0.04	31	30	-18	54	0.008	0.008	16 (Fr)	Si	37

Muro : 127 - Nodi: [212-312-313-213], Pann.X=4, Pann.Y=4Spess.=25 cm, Terreno=--,Criterio=CLS_Muri_ND,
Materiale=C35/45

Armatura a maglia doppia, Stampa elementi piu' gravosi

Combinazione Rara: σ_{ca} [kg/cmq]=224 σ_{fa} [kg/cmq]=3600

P.	Afx	Afy	σ_c	σ_f	Cbc	Cbf	Ver	Cs
	cmq/m	cmq/m	kg/cmq	kg/cmq				

P.	Afx	Afy	σ_c	σ_f	Cbc	Cbf	Ver	Cs
1	20.11	20.11	-3	15	15	15	Si	86
14	20.11	20.11	-1	53	15	15	Si	68

Combinazione QP: σ_{ca} [kg/cmq]=168 σ_{fa} [kg/cmq]=3600

P.	Afx	Afy	σ_c	σ_f	Cbc	Cbf	Ver	Cs
	cmq/m	cmq/m	kg/cmq	kg/cmq				
5	20.11	20.11	-3	255	19	19	Si	14
1	20.11	20.11	-2	274	19	19	Si	13

Verifica aperture fessure:Wamm Freq[mm]=0.300 Wamm Qp[mm]=0.200

P.	Nx	Ny	Nxy	Mx	My	Mxy	σ_{fmed}	Wd	Wk	Cb	Ver	Cs
	kg/cmq	kg/cmq	kg/cmq	kg	kg	kg	kg/cmq	mm	mm			
12	-0.31	0.15	-0.02	9	-6	-23	23	0.005	0.005	18 (Qp)	Si	44
16	-0.13	0.23	0.30	-9	-34	28	30	0.002	0.002	17 (Fr)	Si	>100

Muro : 128 - Nodi: [210-310-311-211], Pann.X=4, Pann.Y=4Spess.=25 cm, Terreno=--,Criterio=CLS_Muri_ND,
Materiale=C35/45

Armatura a maglia doppia, Stampa elementi piu' gravosi

Combinazione Rara: σ_{ca} [kg/cmq]=224 σ_{fa} [kg/cmq]=3600

P.	Afx	Afy	σ_c	σ_f	Cbc	Cbf	Ver	Cs
	cmq/m	cmq/m	kg/cmq	kg/cmq				
3	20.11	20.11	-2	38	15	15	Si	96

Combinazione QP: σ_{ca} [kg/cmq]=168 σ_{fa} [kg/cmq]=3600

P.	Afx	Afy	σ_c	σ_f	Cbc	Cbf	Ver	Cs
	cmq/m	cmq/m	kg/cmq	kg/cmq				
3	20.11	20.11	-1	113	19	19	Si	32
4	20.11	20.11	-1	115	19	19	Si	31

Verifica aperture fessure:Wamm Freq[mm]=0.300 Wamm Qp[mm]=0.200

P.	Nx	Ny	Nxy	Mx	My	Mxy	σ_{fmed}	Wd	Wk	Cb	Ver	Cs
	kg/cmq	kg/cmq	kg/cmq	kg	kg	kg	kg/cmq	mm	mm			
3	-0.38	0.04	0.28	-6	1	-15	6	0.001	0.001	18 (Qp)	Si	>100
3	-0.38	0.04	0.28	-6	1	-15	6	0.001	0.001	16 (Fr)	Si	>100

Muro : 129 - Nodi: [212-312-322-222], Pann.X=4, Pann.Y=4Spess.=25 cm, Terreno=--,Criterio=CLS_Muri_ND,
Materiale=C35/45

Armatura a maglia doppia, Stampa elementi piu' gravosi

Combinazione Rara: σ_{ca} [kg/cmq]=224 σ_{fa} [kg/cmq]=3600

P.	Afx	Afy	σ_c	σ_f	Cbc	Cbf	Ver	Cs
	cmq/m	cmq/m	kg/cmq	kg/cmq				
1	20.11	20.11	-1	161	15	14	Si	22

Combinazione QP: σ_{ca} [kg/cmq]=168 σ_{fa} [kg/cmq]=3600

P.	Afx	Afy	σ_c	σ_f	Cbc	Cbf	Ver	Cs
	cmq/m	cmq/m	kg/cmq	kg/cmq				
5	20.11	20.11	-2	151	19	19	Si	24
1	20.11	20.11	-2	163	19	19	Si	22

Verifica aperture fessure:Wamm Freq[mm]=0.300 Wamm Qp[mm]=0.200

P.	Nx	Ny	Nxy	Mx	My	Mxy	σ_{fmed}	Wd	Wk	Cb	Ver	Cs
	kg/cmq	kg/cmq	kg/cmq	kg	kg	kg	kg/cmq	mm	mm			
4	-0.68	0.13	0.54	-5	11	5	23	0.004	0.004	18 (Qp)	Si	52
16	-0.30	-0.08	0.22	-0	22	-7	4	0.000	0.000	17 (Fr)	Si	>100

Muro : 130 - Nodi: [229-329-330-230], Pann.X=4, Pann.Y=4Spess.=25 cm, Terreno=--,Criterio=CLS_Muri_ND,
Materiale=C35/45

Armatura a maglia doppia, Stampa elementi piu' gravosi

Combinazione Rara: σ_{ca} [kg/cmq]=224 σ_{fa} [kg/cmq]=3600

P.	Afx	Afy	σ_c	σ_f	Cbc	Cbf	Ver	Cs
	cmq/m	cmq/m	kg/cmq	kg/cmq				
13	20.11	20.11	-1	28	15	15	Si	>100

P.	Afx	Afy	σ_c	σ_f	Cbc	Cbf	Ver	Cs
1	20.11	20.11	-1	65	15	14	Si	55

Combinazione QP: σ_{ca} [kg/cmq]=168 σ_{fa} [kg/cmq]=3600

P.	Afx	Afy	σ_c	σ_f	Cbc	Cbf	Ver	Cs
	cmq/m	cmq/m	kg/cmq	kg/cmq				
13	20.11	20.11	-2	31	18	19	Si	90
1	20.11	20.11	-1	60	18	19	Si	60

Verifica aperture fessure:Wamm Freq[mm]=0.300 Wamm Qp[mm]=0.200

P.	Nx	Ny	Nxy	Mx	My	Mxy	σ_{fmed}	Wd	Wk	Cb	Ver	Cs
	kg/cmq	kg/cmq	kg/cmq	kg	kg	kg	kg/cmq	mm	mm			
9	-0.35	-0.15	0.18	-11	-93	2	33	0.003	0.003	18 (Qp)	Si	64
13	-0.22	-0.08	0.10	-9	-69	-3	28	0.003	0.003	17 (Fr)	Si	>100

Muro : 131 - Nodi: [209-219-319-309], Pann.X=4, Pann.Y=4Spess.=25 cm, Terreno=--,Criterio=CLS_Muri_ND, Materiale=C35/45

Armatura a maglia doppia, Stampa elementi piu' gravosi

Combinazione Rara: σ_{ca} [kg/cmq]=224 σ_{fa} [kg/cmq]=3600

P.	Afx	Afy	σ_c	σ_f	Cbc	Cbf	Ver	Cs
	cmq/m	cmq/m	kg/cmq	kg/cmq				
1	20.11	20.11	-3	59	15	15	Si	61

Combinazione QP: σ_{ca} [kg/cmq]=168 σ_{fa} [kg/cmq]=3600

P.	Afx	Afy	σ_c	σ_f	Cbc	Cbf	Ver	Cs
	cmq/m	cmq/m	kg/cmq	kg/cmq				
1	20.11	20.11	-2	122	19	19	Si	30

Verifica aperture fessure:Wamm Freq[mm]=0.300 Wamm Qp[mm]=0.200

P.	Nx	Ny	Nxy	Mx	My	Mxy	σ_{fmed}	Wd	Wk	Cb	Ver	Cs
	kg/cmq	kg/cmq	kg/cmq	kg	kg	kg	kg/cmq	mm	mm			
4	-0.10	-0.23	-0.05	-68	1	7	26	0.002	0.002	18 (Qp)	Si	81
4	-0.10	-0.23	-0.05	-68	1	7	26	0.002	0.002	16 (Fr)	Si	>100

Muro : 132 - Nodi: [219-229-329-319], Pann.X=4, Pann.Y=4Spess.=25 cm, Terreno=--,Criterio=CLS_Muri_ND, Materiale=C35/45

Armatura a maglia doppia, Stampa elementi piu' gravosi

Combinazione Rara: σ_{ca} [kg/cmq]=224 σ_{fa} [kg/cmq]=3600

P.	Afx	Afy	σ_c	σ_f	Cbc	Cbf	Ver	Cs
	cmq/m	cmq/m	kg/cmq	kg/cmq				
13	20.11	20.11	-2	52	15	15	Si	70

Combinazione QP: σ_{ca} [kg/cmq]=168 σ_{fa} [kg/cmq]=3600

P.	Afx	Afy	σ_c	σ_f	Cbc	Cbf	Ver	Cs
	cmq/m	cmq/m	kg/cmq	kg/cmq				
5	20.11	20.11	-1	65	19	19	Si	56
1	20.11	20.11	-1	68	19	19	Si	53

Verifica aperture fessure:Wamm Freq[mm]=0.300 Wamm Qp[mm]=0.200

P.	Nx	Ny	Nxy	Mx	My	Mxy	σ_{fmed}	Wd	Wk	Cb	Ver	Cs
	kg/cmq	kg/cmq	kg/cmq	kg	kg	kg	kg/cmq	mm	mm			
15	-0.01	-0.28	0.12	-24	1	-9	13	0.001	0.001	18 (Qp)	Si	>100
15	-0.01	-0.28	0.12	-24	1	-9	13	0.001	0.001	16 (Fr)	Si	>100

Muro : 133 - Nodi: [325-225-215-315], Pann.X=4, Pann.Y=4Spess.=25 cm, Terreno=--,Criterio=CLS_Muri_ND, Materiale=C35/45

Armatura a maglia doppia, Stampa elementi piu' gravosi

Combinazione Rara: σ_{ca} [kg/cmq]=224 σ_{fa} [kg/cmq]=3600

P.	Afx	Afy	σ_c	σ_f	Cbc	Cbf	Ver	Cs
	cmq/m	cmq/m	kg/cmq	kg/cmq				
12	20.11	20.11	-9	291	15	15	Si	12

Combinazione QP: σ_{ca} [kg/cmq]=168 σ_{fa} [kg/cmq]=3600

P.	Afx	Afy	σ_c	σ_f	Cbc	Cbf	Ver	Cs
	cmq/m	cmq/m	kg/cmq	kg/cmq				
16	20.11	20.11	-3	223	19	19	Si	16

Verifica aperture fessure:Wamm Freq[mm]=0.300 Wamm Qp[mm]=0.200

P.	Nx	Ny	Nxy	Mx	My	Mxy	σ_{fmed}	Wd	Wk	Cb	Ver	Cs
	kg/cmq	kg/cmq	kg/cmq	kg	kg	kg	kg/cmq	mm	mm			
13	-1.08	0.28	0.64	10	-9	5	41	0.008	0.008	18 (Qp)	Si	24
14	-0.84	0.14	0.86	10	-4	-2	20	0.004	0.004	16 (Fr)	Si	72

Muro : 134 - Nodi: [214-314-315-215], Pann.X=4, Pann.Y=4Spess.=25 cm, Terreno=--,Criterio=CLS_Muri_ND, Materiale=C35/45

Armatura a maglia doppia, Stampa elementi piu' gravosi

Combinazione Rara: σ_{ca} [kg/cmq]=224 σ_{fa} [kg/cmq]=3600

P.	Afx	Afy	σ_c	σ_f	Cbc	Cbf	Ver	Cs
	cmq/m	cmq/m	kg/cmq	kg/cmq				
4	20.11	20.11	-4	101	15	14	Si	36
16	20.11	20.11	-2	296	15	15	Si	12

Combinazione QP: σ_{ca} [kg/cmq]=168 σ_{fa} [kg/cmq]=3600

P.	Afx	Afy	σ_c	σ_f	Cbc	Cbf	Ver	Cs
	cmq/m	cmq/m	kg/cmq	kg/cmq				
12	20.11	20.11	-3	170	19	19	Si	21
1	20.11	20.11	-1	489	19	19	Si	7.4

Verifica aperture fessure:Wamm Freq[mm]=0.300 Wamm Qp[mm]=0.200

P.	Nx	Ny	Nxy	Mx	My	Mxy	σ_{fmed}	Wd	Wk	Cb	Ver	Cs
	kg/cmq	kg/cmq	kg/cmq	kg	kg	kg	kg/cmq	mm	mm			
9	-0.19	0.19	0.09	12	3	-3	26	0.006	0.006	18 (Qp)	Si	34
15	-0.07	0.32	0.16	13	-10	1	46	0.010	0.010	16 (Fr)	Si	31

Muro : 135 - Nodi: [314-514-515-315], Pann.X=4, Pann.Y=4Spess.=25 cm, Terreno=--,Criterio=CLS_Muri_ND, Materiale=C35/45

Armatura a maglia doppia, Stampa elementi piu' gravosi

Combinazione Rara: σ_{ca} [kg/cmq]=224 σ_{fa} [kg/cmq]=3600

P.	Afx	Afy	σ_c	σ_f	Cbc	Cbf	Ver	Cs
	cmq/m	cmq/m	kg/cmq	kg/cmq				
5	20.11	20.11	-1	238	15	15	Si	15
16	20.11	20.11	0	464	13	15	Si	7.8

Combinazione QP: σ_{ca} [kg/cmq]=168 σ_{fa} [kg/cmq]=3600

P.	Afx	Afy	σ_c	σ_f	Cbc	Cbf	Ver	Cs
	cmq/m	cmq/m	kg/cmq	kg/cmq				
16	20.11	20.11	-3	79	19	18	Si	45

Verifica aperture fessure:Wamm Freq[mm]=0.300 Wamm Qp[mm]=0.200

P.	Nx	Ny	Nxy	Mx	My	Mxy	σ_{fmed}	Wd	Wk	Cb	Ver	Cs
	kg/cmq	kg/cmq	kg/cmq	kg	kg	kg	kg/cmq	mm	mm			
13	0.14	-1.02	0.02	14	24	31	27	0.004	0.004	19 (Qp)	Si	48
16	0.16	0.61	0.06	2	6	-10	79	0.019	0.019	16 (Fr)	Si	16

Muro : 136 - Nodi: [232-332-342-242], Pann.X=4, Pann.Y=4Spess.=25 cm, Terreno=--,Criterio=CLS_Muri_ND, Materiale=C35/45

Armatura a maglia doppia, Stampa elementi piu' gravosi

Combinazione Rara: σ_{ca} [kg/cmq]=224 σ_{fa} [kg/cmq]=3600

P.	Afx	Afy	σ_c	σ_f	Cbc	Cbf	Ver	Cs
	cmq/m	cmq/m	kg/cmq	kg/cmq				
9	20.11	20.11	-2	15	14	15	Si	>100
13	20.11	20.11	-1	44	15	15	Si	81

Combinazione QP: σ_{ca} [kg/cmq]=168 σ_{fa} [kg/cmq]=3600

P.	Afx	Afy	σ_c	σ_f	Cbc	Cbf	Ver	Cs
	cmq/m	cmq/m	kg/cmq	kg/cmq				
13	20.11	20.11	-2	129	19	19	Si	28

Verifica aperture fessure:Wamm Freq[mm]=0.300 Wamm Qp[mm]=0.200

P.	Nx	Ny	Nxy	Mx	My	Mxy	σ_{fmed}	Wd	Wk	Cb	Ver	Cs
	kg/cmq	kg/cmq	kg/cmq	kg	kg	kg	kg/cmq	mm	mm			
3	-1.15	0.25	-0.29	2	27	30	49	0.008	0.008	18 (Qp)	Si	27
13	-0.32	0.09	0.02	6	58	14	22	0.002	0.002	17 (Fr)	Si	>100

Muro : 137 - Nodi: [248-348-349-249], Pann.X=4, Pann.Y=4Spess.=25 cm, Terreno=--,Criterio=CLS_Muri_ND,
Materiale=C35/45

Armatura a maglia doppia, Stampa elementi piu' gravosi

Combinazione Rara: σ_{ca} [kg/cmq]=224 σ_{fa} [kg/cmq]=3600

P.	Afx	Afy	σ_c	σ_f	Cbc	Cbf	Ver	Cs
	cmq/m	cmq/m	kg/cmq	kg/cmq				
1	20.11	20.11	-3	67	15	15	Si	54
7	20.11	20.11	-0	79	15	14	Si	46

Combinazione QP: σ_{ca} [kg/cmq]=168 σ_{fa} [kg/cmq]=3600

P.	Afx	Afy	σ_c	σ_f	Cbc	Cbf	Ver	Cs
	cmq/m	cmq/m	kg/cmq	kg/cmq				
5	20.11	20.11	-3	155	19	19	Si	23
1	20.11	20.11	-3	158	19	19	Si	23

Verifica aperture fessure:Wamm Freq[mm]=0.300 Wamm Qp[mm]=0.200

P.	Nx	Ny	Nxy	Mx	My	Mxy	σ_{fmed}	Wd	Wk	Cb	Ver	Cs
	kg/cmq	kg/cmq	kg/cmq	kg	kg	kg	kg/cmq	mm	mm			
1	-0.23	0.04	0.20	-5	-55	22	36	0.004	0.004	18 (Qp)	Si	55
1	-0.23	0.04	0.20	-5	-55	22	36	0.004	0.004	16 (Fr)	Si	83

Muro : 138 - Nodi: [354-254-244-344], Pann.X=4, Pann.Y=4Spess.=25 cm, Terreno=--,Criterio=CLS_Muri_ND,
Materiale=C35/45

Armatura a maglia doppia, Stampa elementi piu' gravosi

Combinazione Rara: σ_{ca} [kg/cmq]=224 σ_{fa} [kg/cmq]=3600

P.	Afx	Afy	σ_c	σ_f	Cbc	Cbf	Ver	Cs
	cmq/m	cmq/m	kg/cmq	kg/cmq				
13	20.11	20.11	-7	304	15	15	Si	12

Combinazione QP: σ_{ca} [kg/cmq]=168 σ_{fa} [kg/cmq]=3600

P.	Afx	Afy	σ_c	σ_f	Cbc	Cbf	Ver	Cs
	cmq/m	cmq/m	kg/cmq	kg/cmq				
13	20.11	20.11	-6	240	19	19	Si	15

Verifica aperture fessure:Wamm Freq[mm]=0.300 Wamm Qp[mm]=0.200

P.	Nx	Ny	Nxy	Mx	My	Mxy	σ_{fmed}	Wd	Wk	Cb	Ver	Cs
	kg/cmq	kg/cmq	kg/cmq	kg	kg	kg	kg/cmq	mm	mm			
13	-1.43	0.46	0.27	-11	-9	19	63	0.014	0.014	18 (Qp)	Si	14
13	-1.43	0.46	0.27	-11	-9	19	63	0.014	0.014	16 (Fr)	Si	22

Muro : 139 - Nodi: [351-352-252-251], Pann.X=4, Pann.Y=4Spess.=25 cm, Terreno=--,Criterio=CLS_Muri_ND,
Materiale=C35/45

Armatura a maglia doppia, Stampa elementi piu' gravosi

Combinazione Rara: σ_{ca} [kg/cmq]=224 σ_{fa} [kg/cmq]=3600

P.	Afx	Afy	σ_c	σ_f	Cbc	Cbf	Ver	Cs
	cmq/m	cmq/m	kg/cmq	kg/cmq				
1	20.11	20.11	-4	19	14	15	Si	61
13	20.11	20.11	-2	42	14	15	Si	85

Combinazione QP: σ_{ca} [kg/cmq]=168 σ_{fa} [kg/cmq]=3600

P.	Afx	Afy	σ_c	σ_f	Cbc	Cbf	Ver	Cs
	cmq/m	cmq/m	kg/cmq	kg/cmq				
3	20.11	20.11	-3	228	19	19	Si	16

**POTENZIAMENTO DELL'IMPIANTO DI DEPURAZIONE E
DEL RECAPITO FINALE DI SQUINZANO (LE)
PROGETTO DEFINITIVO
Tabulati di calcolo strutturale-Filtrazione**

R.37.9

Maggio 2021

Pagina 322 di
364

P.	Afx	Afy	σ_c	σ_f	Cbc	Cbf	Ver	Cs
4	20.11	20.11	-3	236	19	19	Si	15

Verifica aperture fessure:Wamm Freq[mm]=0.300 Wamm Qp[mm]=0.200

P.	Nx	Ny	Nxy	Mx	My	Mxy	σ_{fmed}	Wd	Wk	Cb	Ver	Cs
	kg/cmq	kg/cmq	kg/cmq	kg	kg	kg	kg/cmq	mm	mm			
1	0.47	-0.25	0.19	-179	-27	17	87	0.007	0.007	19 (Qp)	Si	30
13	0.19	-0.17	-0.15	-30	-1	65	25	0.002	0.002	17 (Fr)	Si	>100

Muro : 140 - Nodi: [252-352-353-253], Pann.X=4, Pann.Y=4Spess.=25 cm, Terreno=--,Criterio=CLS_Muri_ND,
Materiale=C35/45

Armatura a maglia doppia, Stampa elementi piu' gravosi

Combinazione Rara: σ_{ca} [kg/cmq]=224 σ_{fa} [kg/cmq]=3600

P.	Afx	Afy	σ_c	σ_f	Cbc	Cbf	Ver	Cs
	cmq/m	cmq/m	kg/cmq	kg/cmq				
11	20.11	20.11	-3	154	14	14	Si	23

Combinazione QP: σ_{ca} [kg/cmq]=168 σ_{fa} [kg/cmq]=3600

P.	Afx	Afy	σ_c	σ_f	Cbc	Cbf	Ver	Cs
	cmq/m	cmq/m	kg/cmq	kg/cmq				
12	20.11	20.11	-2	126	19	19	Si	29
4	20.11	20.11	-1	363	19	19	Si	9.9

Verifica aperture fessure:Wamm Freq[mm]=0.300 Wamm Qp[mm]=0.200

P.	Nx	Ny	Nxy	Mx	My	Mxy	σ_{fmed}	Wd	Wk	Cb	Ver	Cs
	kg/cmq	kg/cmq	kg/cmq	kg	kg	kg	kg/cmq	mm	mm			
14	-0.22	0.48	-0.28	14	69	10	61	0.005	0.005	19 (Qp)	Si	40
16	-0.40	0.30	-0.14	-25	46	-32	39	0.003	0.003	16 (Fr)	Si	96

Muro : 141 - Nodi: [250-350-351-251], Pann.X=4, Pann.Y=4Spess.=25 cm, Terreno=--,Criterio=CLS_Muri_ND,
Materiale=C35/45

Armatura a maglia doppia, Stampa elementi piu' gravosi

Combinazione Rara: σ_{ca} [kg/cmq]=224 σ_{fa} [kg/cmq]=3600

P.	Afx	Afy	σ_c	σ_f	Cbc	Cbf	Ver	Cs
	cmq/m	cmq/m	kg/cmq	kg/cmq				
4	20.11	20.11	-5	97	15	15	Si	37

Combinazione QP: σ_{ca} [kg/cmq]=168 σ_{fa} [kg/cmq]=3600

P.	Afx	Afy	σ_c	σ_f	Cbc	Cbf	Ver	Cs
	cmq/m	cmq/m	kg/cmq	kg/cmq				
4	20.11	20.11	-3	186	19	19	Si	19

Verifica aperture fessure:Wamm Freq[mm]=0.300 Wamm Qp[mm]=0.200

P.	Nx	Ny	Nxy	Mx	My	Mxy	σ_{fmed}	Wd	Wk	Cb	Ver	Cs
	kg/cmq	kg/cmq	kg/cmq	kg	kg	kg	kg/cmq	mm	mm			
8	-0.40	0.04	0.37	2	69	8	45	0.005	0.005	16 (Fr)	Si	66
13	-0.16	0.20	0.31	-24	-1	-17	26	0.006	0.006	18 (Qp)	Si	31

Muro : 142 - Nodi: [242-342-351-251], Pann.X=4, Pann.Y=4Spess.=25 cm, Terreno=--,Criterio=CLS_Muri_ND,
Materiale=C35/45

Armatura a maglia doppia, Stampa elementi piu' gravosi

Combinazione Rara: σ_{ca} [kg/cmq]=224 σ_{fa} [kg/cmq]=3600

P.	Afx	Afy	σ_c	σ_f	Cbc	Cbf	Ver	Cs
	cmq/m	cmq/m	kg/cmq	kg/cmq				
11	20.11	20.11	-2	-0	14	15	Si	93
8	20.11	20.11	-1	184	15	14	Si	20

Combinazione QP: σ_{ca} [kg/cmq]=168 σ_{fa} [kg/cmq]=3600

P.	Afx	Afy	σ_c	σ_f	Cbc	Cbf	Ver	Cs
	cmq/m	cmq/m	kg/cmq	kg/cmq				
16	20.11	20.11	-3	126	19	19	Si	28
4	20.11	20.11	-2	168	19	19	Si	21

Verifica aperture fessure:Wamm Freq[mm]=0.300 Wamm Qp[mm]=0.200

P.	Nx	Ny	Nxy	Mx	My	Mxy	σ_{fmed}	Wd	Wk	Cb	Ver	Cs
	kg/cm ²	kg/cm ²	kg/cm ²	kg	kg	kg	kg/cm ²	mm	mm			
1	-0.96	0.21	-0.58	-2	-11	20	33	0.006	0.006	18 (Qp)	Si	32
16	-0.36	-0.08	-0.25	-17	-94	-2	43	0.004	0.004	17 (Fr)	Si	72

Muro : 143 - Nodi: [249-349-350-250], Pann.X=4, Pann.Y=4Spess.=25 cm, Terreno=--,Criterio=CLS_Muri_ND, Materiale=C35/45

Armatura a maglia doppia, Stampa elementi piu' gravosi

Combinazione Rara: σ_{ca} [kg/cm²]=224 σ_{fa} [kg/cm²]=3600

P.	Afx	Afy	σ_c	σ_f	Cbc	Cbf	Ver	Cs
	cmq/m	cmq/m	kg/cm ²	kg/cm ²				
3	20.11	20.11	-2	37	15	15	Si	98
15	20.11	20.11	-1	37	15	15	Si	98

Combinazione QP: σ_{ca} [kg/cm²]=168 σ_{fa} [kg/cm²]=3600

P.	Afx	Afy	σ_c	σ_f	Cbc	Cbf	Ver	Cs
	cmq/m	cmq/m	kg/cm ²	kg/cm ²				
3	20.11	20.11	-1	105	19	19	Si	34
4	20.11	20.11	-1	106	19	19	Si	34

Verifica aperture fessure:Wamm Freq[mm]=0.300 Wamm Qp[mm]=0.200

P.	Nx	Ny	Nxy	Mx	My	Mxy	σ_{fmed}	Wd	Wk	Cb	Ver	Cs
	kg/cm ²	kg/cm ²	kg/cm ²	kg	kg	kg	kg/cm ²	mm	mm			
13	-0.18	0.06	0.23	-28	-60	-13	42	0.004	0.004	18 (Qp)	Si	46
13	-0.18	-0.00	0.19	14	-51	-29	28	0.003	0.003	17 (Fr)	Si	>100

Muro : 144 - Nodi: [239-248-348-339], Pann.X=4, Pann.Y=4Spess.=25 cm, Terreno=--,Criterio=CLS_Muri_ND, Materiale=C35/45

Armatura a maglia doppia, Stampa elementi piu' gravosi

Combinazione Rara: σ_{ca} [kg/cm²]=224 σ_{fa} [kg/cm²]=3600

P.	Afx	Afy	σ_c	σ_f	Cbc	Cbf	Ver	Cs
	cmq/m	cmq/m	kg/cm ²	kg/cm ²				
16	20.11	20.11	-3	118	14	14	Si	30

Combinazione QP: σ_{ca} [kg/cm²]=168 σ_{fa} [kg/cm²]=3600

P.	Afx	Afy	σ_c	σ_f	Cbc	Cbf	Ver	Cs
	cmq/m	cmq/m	kg/cm ²	kg/cm ²				
14	20.11	20.11	-3	141	19	19	Si	26
13	20.11	20.11	-3	142	19	19	Si	25

Verifica aperture fessure:Wamm Freq[mm]=0.300 Wamm Qp[mm]=0.200

P.	Nx	Ny	Nxy	Mx	My	Mxy	σ_{fmed}	Wd	Wk	Cb	Ver	Cs
	kg/cm ²	kg/cm ²	kg/cm ²	kg	kg	kg	kg/cm ²	mm	mm			
13	0.03	-0.25	0.12	51	4	-12	32	0.003	0.003	18 (Qp)	Si	61
13	0.03	-0.25	0.12	51	4	-12	32	0.003	0.003	16 (Fr)	Si	92

Muro : 145 - Nodi: [229-239-339-329], Pann.X=4, Pann.Y=4Spess.=25 cm, Terreno=--,Criterio=CLS_Muri_ND, Materiale=C35/45

Armatura a maglia doppia, Stampa elementi piu' gravosi

Combinazione Rara: σ_{ca} [kg/cm²]=224 σ_{fa} [kg/cm²]=3600

P.	Afx	Afy	σ_c	σ_f	Cbc	Cbf	Ver	Cs
	cmq/m	cmq/m	kg/cm ²	kg/cm ²				
1	20.11	20.11	-3	65	15	15	Si	55

Combinazione QP: σ_{ca} [kg/cm²]=168 σ_{fa} [kg/cm²]=3600

P.	Afx	Afy	σ_c	σ_f	Cbc	Cbf	Ver	Cs
	cmq/m	cmq/m	kg/cm ²	kg/cm ²				
14	20.11	20.11	-2	91	19	19	Si	40
13	20.11	20.11	-2	95	19	19	Si	38

Verifica aperture fessure:Wamm Freq[mm]=0.300 Wamm Qp[mm]=0.200

P.	Nx	Ny	Nxy	Mx	My	Mxy	σ_{fmed}	Wd	Wk	Cb	Ver	Cs
	kg/cmq	kg/cmq	kg/cmq	kg	kg	kg	kg/cmq	mm	mm			
3	0.15	-0.30	-0.01	3	-10	-17	20	0.004	0.004	19 (Qp)	Si	45
3	-0.15	-0.29	-0.04	-114	-16	21	45	0.004	0.004	17 (Fr)	Si	70

Muro : 146 - Nodi: [353-553-554-354], Pann.X=4, Pann.Y=4Spess.=25 cm, Terreno=--,Criterio=CLS_Muri_ND,
Materiale=C35/45

Armatura a maglia doppia, Stampa elementi piu' gravosi
Combinazione Rara: σ_{ca} [kg/cmq]=224 σ_{fa} [kg/cmq]=3600

P.	Afx	Afy	σ_c	σ_f	Cbc	Cbf	Ver	Cs
	cmq/m	cmq/m	kg/cmq	kg/cmq				
16	20.11	20.11	-11	473	15	15	Si	7.6

Combinazione QP: σ_{ca} [kg/cmq]=168 σ_{fa} [kg/cmq]=3600

P.	Afx	Afy	σ_c	σ_f	Cbc	Cbf	Ver	Cs
	cmq/m	cmq/m	kg/cmq	kg/cmq				
16	20.11	20.11	-5	9	18	19	Si	35
1	20.11	20.11	-1	37	19	19	Si	96

Verifica aperture fessure:Wamm Freq[mm]=0.300 Wamm Qp[mm]=0.200

P.	Nx	Ny	Nxy	Mx	My	Mxy	σ_{fmed}	Wd	Wk	Cb	Ver	Cs
	kg/cmq	kg/cmq	kg/cmq	kg	kg	kg	kg/cmq	mm	mm			
1	-0.27	0.03	-0.09	-2	58	-49	37	0.004	0.004	19 (Qp)	Si	53
16	-0.31	0.36	-0.30	37	293	-7	213	0.022	0.022	16 (Fr)	Si	14

Muro : 147 - Nodi: [253-353-354-254], Pann.X=4, Pann.Y=4Spess.=25 cm, Terreno=--,Criterio=CLS_Muri_ND,
Materiale=C35/45

Armatura a maglia doppia, Stampa elementi piu' gravosi
Combinazione Rara: σ_{ca} [kg/cmq]=224 σ_{fa} [kg/cmq]=3600

P.	Afx	Afy	σ_c	σ_f	Cbc	Cbf	Ver	Cs
	cmq/m	cmq/m	kg/cmq	kg/cmq				
16	20.11	20.11	-9	347	15	15	Si	10

Combinazione QP: σ_{ca} [kg/cmq]=168 σ_{fa} [kg/cmq]=3600

P.	Afx	Afy	σ_c	σ_f	Cbc	Cbf	Ver	Cs
	cmq/m	cmq/m	kg/cmq	kg/cmq				
15	20.11	20.11	-3	4	18	19	Si	61
1	20.11	20.11	-1	281	19	19	Si	13

Verifica aperture fessure:Wamm Freq[mm]=0.300 Wamm Qp[mm]=0.200

P.	Nx	Ny	Nxy	Mx	My	Mxy	σ_{fmed}	Wd	Wk	Cb	Ver	Cs
	kg/cmq	kg/cmq	kg/cmq	kg	kg	kg	kg/cmq	mm	mm			
12	-0.80	-0.04	-0.25	1	-100	-52	51	0.005	0.005	19 (Qp)	Si	40
16	-0.55	0.20	-0.38	26	220	-10	150	0.015	0.015	16 (Fr)	Si	20

Muro : 148 - Nodi: [342-442-451-351], Pann.X=4, Pann.Y=4Spess.=25 cm, Terreno=--,Criterio=CLS_Muri_ND,
Materiale=C35/45

Armatura a maglia doppia, Stampa elementi piu' gravosi
Combinazione Rara: σ_{ca} [kg/cmq]=224 σ_{fa} [kg/cmq]=3600

P.	Afx	Afy	σ_c	σ_f	Cbc	Cbf	Ver	Cs
	cmq/m	cmq/m	kg/cmq	kg/cmq				
16	20.11	20.11	-2	79	15	15	Si	45

Combinazione QP: σ_{ca} [kg/cmq]=168 σ_{fa} [kg/cmq]=3600

P.	Afx	Afy	σ_c	σ_f	Cbc	Cbf	Ver	Cs
	cmq/m	cmq/m	kg/cmq	kg/cmq				
4	20.11	20.11	-3	117	19	19	Si	31

Verifica aperture fessure:Wamm Freq[mm]=0.300 Wamm Qp[mm]=0.200

P.	Nx	Ny	Nxy	Mx	My	Mxy	σ_{fmed}	Wd	Wk	Cb	Ver	Cs
	kg/cmq	kg/cmq	kg/cmq	kg	kg	kg	kg/cmq	mm	mm			
16	-0.40	-0.10	-0.28	-28	-149	24	71	0.007	0.007	18 (Qp)	Si	29
16	-0.40	-0.10	-0.28	-28	-149	24	71	0.007	0.007	16 (Fr)	Si	43

Muro : 149 - Nodi: [350-450-451-351], Pann.X=4, Pann.Y=4Spess.=25 cm, Terreno=--,Criterio=CLS_Muri_ND, Materiale=C35/45

Armatura a maglia doppia, Stampa elementi piu' gravosi

Combinazione Rara: σ_{ca} [kg/cmq]=224 σ_{fa} [kg/cmq]=3600

P.	Afx	Afy	σ_c	σ_f	Cbc	Cbf	Ver	Cs
	cmq/m	cmq/m	kg/cmq	kg/cmq				
4	20.11	20.11	-1	69	15	15	Si	52
16	20.11	20.11	-0	75	15	15	Si	48

Combinazione QP: σ_{ca} [kg/cmq]=168 σ_{fa} [kg/cmq]=3600

P.	Afx	Afy	σ_c	σ_f	Cbc	Cbf	Ver	Cs
	cmq/m	cmq/m	kg/cmq	kg/cmq				
4	20.11	20.11	-1	87	19	19	Si	41

Verifica aperture fessure:Wamm Freq[mm]=0.300 Wamm Qp[mm]=0.200

P.	Nx	Ny	Nxy	Mx	My	Mxy	σ_{fmed}	Wd	Wk	Cb	Ver	Cs
	kg/cmq	kg/cmq	kg/cmq	kg	kg	kg	kg/cmq	mm	mm			
14	-0.09	0.35	0.27	-7	34	-13	66	0.011	0.011	18 (Qp)	Si	19
14	-0.09	0.29	0.28	9	3	4	38	0.009	0.009	17 (Fr)	Si	33

Muro : 150 - Nodi: [451-452-352-351], Pann.X=4, Pann.Y=4Spess.=25 cm, Terreno=--,Criterio=CLS_Muri_ND, Materiale=C35/45

Armatura a maglia doppia, Stampa elementi piu' gravosi

Combinazione Rara: σ_{ca} [kg/cmq]=224 σ_{fa} [kg/cmq]=3600

P.	Afx	Afy	σ_c	σ_f	Cbc	Cbf	Ver	Cs
	cmq/m	cmq/m	kg/cmq	kg/cmq				
3	20.11	20.11	-3	95	14	15	Si	38
1	20.11	20.11	-1	108	15	15	Si	33

Combinazione QP: σ_{ca} [kg/cmq]=168 σ_{fa} [kg/cmq]=3600

P.	Afx	Afy	σ_c	σ_f	Cbc	Cbf	Ver	Cs
	cmq/m	cmq/m	kg/cmq	kg/cmq				
4	20.11	20.11	-2	156	19	19	Si	23

Verifica aperture fessure:Wamm Freq[mm]=0.300 Wamm Qp[mm]=0.200

P.	Nx	Ny	Nxy	Mx	My	Mxy	σ_{fmed}	Wd	Wk	Cb	Ver	Cs
	kg/cmq	kg/cmq	kg/cmq	kg	kg	kg	kg/cmq	mm	mm			
4	0.50	-0.13	0.17	-159	-31	13	84	0.007	0.007	19 (Qp)	Si	31
5	0.47	-0.14	-0.13	-76	-11	56	63	0.005	0.005	17 (Fr)	Si	60

Muro : 151 - Nodi: [352-452-553-353], Pann.X=4, Pann.Y=4Spess.=25 cm, Terreno=--,Criterio=CLS_Muri_ND, Materiale=C35/45

Armatura a maglia doppia, Stampa elementi piu' gravosi

Combinazione Rara: σ_{ca} [kg/cmq]=224 σ_{fa} [kg/cmq]=3600

P.	Afx	Afy	σ_c	σ_f	Cbc	Cbf	Ver	Cs
	cmq/m	cmq/m	kg/cmq	kg/cmq				
16	20.11	20.11	-3	243	15	15	Si	15

Combinazione QP: σ_{ca} [kg/cmq]=168 σ_{fa} [kg/cmq]=3600

P.	Afx	Afy	σ_c	σ_f	Cbc	Cbf	Ver	Cs
	cmq/m	cmq/m	kg/cmq	kg/cmq				
3	20.11	20.11	-2	86	19	19	Si	42

Verifica aperture fessure:Wamm Freq[mm]=0.300 Wamm Qp[mm]=0.200

P.	Nx	Ny	Nxy	Mx	My	Mxy	σ_{fmed}	Wd	Wk	Cb	Ver	Cs
	kg/cmq	kg/cmq	kg/cmq	kg	kg	kg	kg/cmq	mm	mm			
5	-0.18	0.43	-0.23	-15	-40	24	80	0.013	0.013	19 (Qp)	Si	15
15	-0.17	0.56	-0.03	-12	4	-31	73	0.018	0.018	16 (Fr)	Si	17

Muro : 152 - Nodi: [349-449-450-350], Pann.X=4, Pann.Y=4Spess.=25 cm, Terreno=--,Criterio=CLS_Muri_ND, Materiale=C35/45

Armatura a maglia doppia, Stampa elementi piu' gravosi

Combinazione Rara: σ_{ca} [kg/cm²]=224 σ_{fa} [kg/cm²]=3600

P.	Afx	Afy	σ_c	σ_f	Cbc	Cbf	Ver	Cs
	cmq/m	cmq/m	kg/cm ²	kg/cm ²				
2	20.11	20.11	-1	39	15	15	Si	92
16	20.11	20.11	-0	46	15	15	Si	78

Combinazione QP: σ_{ca} [kg/cm²]=168 σ_{fa} [kg/cm²]=3600

P.	Afx	Afy	σ_c	σ_f	Cbc	Cbf	Ver	Cs
	cmq/m	cmq/m	kg/cm ²	kg/cm ²				
1	20.11	20.11	-1	33	18	19	Si	>100
4	20.11	20.11	-0	58	19	19	Si	62

Verifica aperture fessure:Wamm Freq[mm]=0.300 Wamm Qp[mm]=0.200

P.	Nx	Ny	Nxy	Mx	My	Mxy	σ_{fmed}	Wd	Wk	Cb	Ver	Cs
	kg/cm ²	kg/cm ²	kg/cm ²	kg	kg	kg	kg/cm ²	mm	mm			
16	-0.11	0.26	0.22	-15	-20	-17	45	0.008	0.008	18 (Qp)	Si	26
16	-0.11	0.20	0.22	15	-33	-3	27	0.002	0.002	17 (Fr)	Si	>100

Muro : 153 - Nodi: [348-448-449-349], Pann.X=4, Pann.Y=4Spess.=25 cm, Terreno=--,Criterio=CLS_Muri_ND,
Materiale=C35/45

Armatura a maglia doppia, Stampa elementi piu' gravosi

Combinazione Rara: σ_{ca} [kg/cm²]=224 σ_{fa} [kg/cm²]=3600

P.	Afx	Afy	σ_c	σ_f	Cbc	Cbf	Ver	Cs
	cmq/m	cmq/m	kg/cm ²	kg/cm ²				
1	20.11	20.11	-3	7	14	15	Si	79
16	20.11	20.11	-1	29	15	15	Si	>100

Combinazione QP: σ_{ca} [kg/cm²]=168 σ_{fa} [kg/cm²]=3600

P.	Afx	Afy	σ_c	σ_f	Cbc	Cbf	Ver	Cs
	cmq/m	cmq/m	kg/cm ²	kg/cm ²				
1	20.11	20.11	-2	94	19	19	Si	38

Verifica aperture fessure:Wamm Freq[mm]=0.300 Wamm Qp[mm]=0.200

P.	Nx	Ny	Nxy	Mx	My	Mxy	σ_{fmed}	Wd	Wk	Cb	Ver	Cs
	kg/cm ²	kg/cm ²	kg/cm ²	kg	kg	kg	kg/cm ²	mm	mm			
4	-0.17	0.04	0.15	11	-36	-27	26	0.003	0.003	17 (Fr)	Si	>100
14	-0.21	0.01	0.12	-10	-73	-9	43	0.004	0.004	18 (Qp)	Si	46

Muro : 154 - Nodi: [339-348-448-439], Pann.X=4, Pann.Y=4Spess.=25 cm, Terreno=--,Criterio=CLS_Muri_ND,
Materiale=C35/45

Armatura a maglia doppia, Stampa elementi piu' gravosi

Combinazione Rara: σ_{ca} [kg/cm²]=224 σ_{fa} [kg/cm²]=3600

P.	Afx	Afy	σ_c	σ_f	Cbc	Cbf	Ver	Cs
	cmq/m	cmq/m	kg/cm ²	kg/cm ²				
13	20.11	20.11	-3	105	14	14	Si	34

Combinazione QP: σ_{ca} [kg/cm²]=168 σ_{fa} [kg/cm²]=3600

P.	Afx	Afy	σ_c	σ_f	Cbc	Cbf	Ver	Cs
	cmq/m	cmq/m	kg/cm ²	kg/cm ²				
13	20.11	20.11	-2	86	19	19	Si	42

Verifica aperture fessure:Wamm Freq[mm]=0.300 Wamm Qp[mm]=0.200

P.	Nx	Ny	Nxy	Mx	My	Mxy	σ_{fmed}	Wd	Wk	Cb	Ver	Cs
	kg/cm ²	kg/cm ²	kg/cm ²	kg	kg	kg	kg/cm ²	mm	mm			
16	-0.02	-0.10	0.11	72	19	-20	38	0.004	0.004	18 (Qp)	Si	54
16	-0.00	-0.09	0.08	24	5	-21	13	0.001	0.001	17 (Fr)	Si	>100

Muro : 155 - Nodi: [332-432-442-342], Pann.X=4, Pann.Y=4Spess.=25 cm, Terreno=--,Criterio=CLS_Muri_ND,
Materiale=C35/45

Armatura a maglia doppia, Stampa elementi piu' gravosi

Combinazione Rara: σ_{ca} [kg/cm²]=224 σ_{fa} [kg/cm²]=3600

P.	Afx	Afy	σ_c	σ_f	Cbc	Cbf	Ver	Cs
	cmq/m	cmq/m	kg/cmq	kg/cmq				
13	20.11	20.11	-1	75	15	15	Si	48

Combinazione QP: σ_{ca} [kg/cmq]=168 σ_{fa} [kg/cmq]=3600

P.	Afx	Afy	σ_c	σ_f	Cbc	Cbf	Ver	Cs
	cmq/m	cmq/m	kg/cmq	kg/cmq				
13	20.11	20.11	-2	136	19	19	Si	26

Verifica aperture fessure:Wamm Freq[mm]=0.300 Wamm Qp[mm]=0.200

P.	Nx	Ny	Nxy	Mx	My	Mxy	σ_{fmed}	Wd	Wk	Cb	Ver	Cs
	kg/cmq	kg/cmq	kg/cmq	kg	kg	kg	kg/cmq	mm	mm			
16	-0.21	0.17	-0.17	-2	-8	26	27	0.005	0.005	18 (Qp)	Si	39
16	-0.21	0.17	-0.17	-2	-8	26	27	0.005	0.005	16 (Fr)	Si	58

Muro : 156 - Nodi: [329-339-439-429], Pann.X=4, Pann.Y=4Spess.=25 cm, Terreno=--,Criterio=CLS_Muri_ND, Materiale=C35/45

Armatura a maglia doppia, Stampa elementi piu' gravosi

Combinazione Rara: σ_{ca} [kg/cmq]=224 σ_{fa} [kg/cmq]=3600

P.	Afx	Afy	σ_c	σ_f	Cbc	Cbf	Ver	Cs
	cmq/m	cmq/m	kg/cmq	kg/cmq				
1	20.11	20.11	-1	33	15	15	Si	>100

Combinazione QP: σ_{ca} [kg/cmq]=168 σ_{fa} [kg/cmq]=3600

P.	Afx	Afy	σ_c	σ_f	Cbc	Cbf	Ver	Cs
	cmq/m	cmq/m	kg/cmq	kg/cmq				
9	20.11	20.11	-1	49	19	19	Si	74

Verifica aperture fessure:Wamm Freq[mm]=0.300 Wamm Qp[mm]=0.200

P.	Nx	Ny	Nxy	Mx	My	Mxy	σ_{fmed}	Wd	Wk	Cb	Ver	Cs
	kg/cmq	kg/cmq	kg/cmq	kg	kg	kg	kg/cmq	mm	mm			
2	-0.08	-0.17	-0.03	-77	-15	9	33	0.003	0.003	17 (Fr)	Si	96
4	0.04	-0.15	-0.03	-58	-1	-16	38	0.004	0.004	19 (Qp)	Si	52

Muro : 157 - Nodi: [325-525-535-335], Pann.X=4, Pann.Y=4Spess.=25 cm, Terreno=--,Criterio=CLS_Muri_ND, Materiale=C35/45

Armatura a maglia doppia, Stampa elementi piu' gravosi

Combinazione Rara: σ_{ca} [kg/cmq]=224 σ_{fa} [kg/cmq]=3600

P.	Afx	Afy	σ_c	σ_f	Cbc	Cbf	Ver	Cs
	cmq/m	cmq/m	kg/cmq	kg/cmq				
4	20.11	20.11	-4	180	15	15	Si	20
16	20.11	20.11	-3	192	15	15	Si	19

Combinazione QP: σ_{ca} [kg/cmq]=168 σ_{fa} [kg/cmq]=3600

P.	Afx	Afy	σ_c	σ_f	Cbc	Cbf	Ver	Cs
	cmq/m	cmq/m	kg/cmq	kg/cmq				
1	20.11	20.11	-0	55	19	19	Si	65
16	20.11	20.11	-0	95	19	19	Si	38

Verifica aperture fessure:Wamm Freq[mm]=0.300 Wamm Qp[mm]=0.200

P.	Nx	Ny	Nxy	Mx	My	Mxy	σ_{fmed}	Wd	Wk	Cb	Ver	Cs
	kg/cmq	kg/cmq	kg/cmq	kg	kg	kg	kg/cmq	mm	mm			
16	-0.12	0.10	0.14	1	24	15	15	0.001	0.001	18 (Qp)	Si	>100
16	-0.12	0.10	0.14	1	24	15	15	0.001	0.001	16 (Fr)	Si	>100

Muro : 158 - Nodi: [225-325-335-235], Pann.X=4, Pann.Y=4Spess.=25 cm, Terreno=--,Criterio=CLS_Muri_ND, Materiale=C35/45

Armatura a maglia doppia, Stampa elementi piu' gravosi

Combinazione Rara: σ_{ca} [kg/cmq]=224 σ_{fa} [kg/cmq]=3600

P.	Afx	Afy	σ_c	σ_f	Cbc	Cbf	Ver	Cs
	cmq/m	cmq/m	kg/cmq	kg/cmq				
12	20.11	20.11	-4	146	15	15	Si	25
16	20.11	20.11	-4	169	15	15	Si	21

Combinazione QP: σ_{ca} [kg/cmq]=168 σ_{fa} [kg/cmq]=3600

P.	Afx	Afy	σ_c	σ_f	Cbc	Cbf	Ver	Cs
	cmq/m	cmq/m	kg/cmq	kg/cmq				
4	20.11	20.11	-2	84	19	19	Si	43
16	20.11	20.11	-1	89	19	19	Si	41

Verifica aperture fessure:Wamm Freq[mm]=0.300 Wamm Qp[mm]=0.200

P.	Nx	Ny	Nxy	Mx	My	Mxy	σ_{fmed}	Wd	Wk	Cb	Ver	Cs
	kg/cmq	kg/cmq	kg/cmq	kg	kg	kg	kg/cmq	mm	mm			
1	-1.07	0.27	0.31	10	-4	13	36	0.008	0.008	18 (Qp)	Si	24
2	-0.80	0.10	0.13	12	10	16	20	0.003	0.003	16 (Fr)	Si	98

Muro : 159 - Nodi: [315-515-525-325], Pann.X=4, Pann.Y=4Spess.=25 cm, Terreno=--,Criterio=CLS_Muri_ND, Materiale=C35/45

Armatura a maglia doppia, Stampa elementi piu' gravosi

Combinazione Rara: σ_{ca} [kg/cmq]=224 σ_{fa} [kg/cmq]=3600

P.	Afx	Afy	σ_c	σ_f	Cbc	Cbf	Ver	Cs
	cmq/m	cmq/m	kg/cmq	kg/cmq				
1	20.11	20.11	-7	259	15	15	Si	14

Combinazione QP: σ_{ca} [kg/cmq]=168 σ_{fa} [kg/cmq]=3600

P.	Afx	Afy	σ_c	σ_f	Cbc	Cbf	Ver	Cs
	cmq/m	cmq/m	kg/cmq	kg/cmq				
13	20.11	20.11	-2	60	19	19	Si	60
14	20.11	20.11	-1	63	19	19	Si	57

Verifica aperture fessure:Wamm Freq[mm]=0.300 Wamm Qp[mm]=0.200

P.	Nx	Ny	Nxy	Mx	My	Mxy	σ_{fmed}	Wd	Wk	Cb	Ver	Cs
	kg/cmq	kg/cmq	kg/cmq	kg	kg	kg	kg/cmq	mm	mm			
13	-0.13	-0.29	0.18	-36	-1	8	5	0.000	0.000	18 (Qp)	Si	>100
13	-0.13	-0.29	0.18	-36	-1	8	5	0.000	0.000	16 (Fr)	Si	>100

Muro : 160 - Nodi: [335-535-544-344], Pann.X=4, Pann.Y=4Spess.=25 cm, Terreno=--,Criterio=CLS_Muri_ND, Materiale=C35/45

Armatura a maglia doppia, Stampa elementi piu' gravosi

Combinazione Rara: σ_{ca} [kg/cmq]=224 σ_{fa} [kg/cmq]=3600

P.	Afx	Afy	σ_c	σ_f	Cbc	Cbf	Ver	Cs
	cmq/m	cmq/m	kg/cmq	kg/cmq				
2	20.11	20.11	-4	228	15	15	Si	16
16	20.11	20.11	-4	262	15	15	Si	14

Combinazione QP: σ_{ca} [kg/cmq]=168 σ_{fa} [kg/cmq]=3600

P.	Afx	Afy	σ_c	σ_f	Cbc	Cbf	Ver	Cs
	cmq/m	cmq/m	kg/cmq	kg/cmq				
2	20.11	20.11	-0	103	19	19	Si	35
15	20.11	20.11	-0	110	19	19	Si	33

Verifica aperture fessure:Wamm Freq[mm]=0.300 Wamm Qp[mm]=0.200

P.	Nx	Ny	Nxy	Mx	My	Mxy	σ_{fmed}	Wd	Wk	Cb	Ver	Cs
	kg/cmq	kg/cmq	kg/cmq	kg	kg	kg	kg/cmq	mm	mm			
16	-0.11	0.44	0.19	5	37	20	79	0.013	0.013	18 (Qp)	Si	15
16	-0.11	0.92	0.22	22	245	-16	144	0.011	0.011	17 (Fr)	Si	27

Muro : 161 - Nodi: [235-335-344-244], Pann.X=4, Pann.Y=4Spess.=25 cm, Terreno=--,Criterio=CLS_Muri_ND, Materiale=C35/45

Armatura a maglia doppia, Stampa elementi piu' gravosi

Combinazione Rara: σ_{ca} [kg/cmq]=224 σ_{fa} [kg/cmq]=3600

P.	Afx	Afy	σ_c	σ_f	Cbc	Cbf	Ver	Cs
	cmq/m	cmq/m	kg/cmq	kg/cmq				
10	20.11	20.11	-5	177	15	15	Si	20
15	20.11	20.11	-4	217	15	15	Si	17

Combinazione QP: σ_{ca} [kg/cmq]=168 σ_{fa} [kg/cmq]=3600

P.	Afx	Afy	σ_c	σ_f	Cbc	Cbf	Ver	Cs
	cmq/m	cmq/m	kg/cmq	kg/cmq				
4	20.11	20.11	-2	46	19	19	Si	78
14	20.11	20.11	-1	98	19	19	Si	37

Verifica aperture fessure:Wamm Freq[mm]=0.300 Wamm Qp[mm]=0.200

P.	Nx	Ny	Nxy	Mx	My	Mxy	σ_{fmed}	Wd	Wk	Cb	Ver	Cs
	kg/cmq	kg/cmq	kg/cmq	kg	kg	kg	kg/cmq	mm	mm			
16	-0.23	0.26	0.31	7	32	18	33	0.003	0.003	18 (Qp)	Si	75
16	-0.23	0.26	0.31	7	32	18	33	0.003	0.003	16 (Fr)	Si	>100

Muro : 162 - Nodi : [344-544-554-354], Pann.X=4, Pann.Y=4Spess.=25 cm, Terreno=--,Criterio=CLS_Muri_ND, Materiale=C35/45

Armatura a maglia doppia, Stampa elementi piu' gravosi

Combinazione Rara: σ_{ca} [kg/cmq]=224 σ_{fa} [kg/cmq]=3600

P.	Afx	Afy	σ_c	σ_f	Cbc	Cbf	Ver	Cs
	cmq/m	cmq/m	kg/cmq	kg/cmq				
8	20.11	20.11	-4	188	14	15	Si	19
13	20.11	20.11	-3	259	15	15	Si	14

Combinazione QP: σ_{ca} [kg/cmq]=168 σ_{fa} [kg/cmq]=3600

P.	Afx	Afy	σ_c	σ_f	Cbc	Cbf	Ver	Cs
	cmq/m	cmq/m	kg/cmq	kg/cmq				
4	20.11	20.11	-0	98	18	19	Si	37
16	20.11	20.11	-0	129	19	19	Si	28

Verifica aperture fessure:Wamm Freq[mm]=0.300 Wamm Qp[mm]=0.200

P.	Nx	Ny	Nxy	Mx	My	Mxy	σ_{fmed}	Wd	Wk	Cb	Ver	Cs
	kg/cmq	kg/cmq	kg/cmq	kg	kg	kg	kg/cmq	mm	mm			
15	-0.10	0.61	0.19	11	57	34	113	0.018	0.018	18 (Qp)	Si	11
15	-0.12	1.09	0.17	29	177	38	145	0.012	0.012	17 (Fr)	Si	26

Muro : 163 - Nodi : [218-318-328-228], Pann.X=4, Pann.Y=4Spess.=25 cm, Terreno=--,Criterio=CLS_Muri_ND, Materiale=C35/45

Armatura a maglia doppia, Stampa elementi piu' gravosi

Combinazione Rara: σ_{ca} [kg/cmq]=224 σ_{fa} [kg/cmq]=3600

P.	Afx	Afy	σ_c	σ_f	Cbc	Cbf	Ver	Cs
	cmq/m	cmq/m	kg/cmq	kg/cmq				
13	20.11	20.11	-6	254	15	15	Si	14

Combinazione QP: σ_{ca} [kg/cmq]=168 σ_{fa} [kg/cmq]=3600

P.	Afx	Afy	σ_c	σ_f	Cbc	Cbf	Ver	Cs
	cmq/m	cmq/m	kg/cmq	kg/cmq				
13	20.11	20.11	-5	213	19	19	Si	17

Verifica aperture fessure:Wamm Freq[mm]=0.300 Wamm Qp[mm]=0.200

P.	Nx	Ny	Nxy	Mx	My	Mxy	σ_{fmed}	Wd	Wk	Cb	Ver	Cs
	kg/cmq	kg/cmq	kg/cmq	kg	kg	kg	kg/cmq	mm	mm			
2	0.05	0.32	-0.38	-6	138	86	63	0.005	0.005	17 (Fr)	Si	62
3	-0.11	0.21	-0.16	-19	-1	-4	27	0.007	0.007	18 (Qp)	Si	30

Muro : 164 - Nodi : [228-328-338-238], Pann.X=4, Pann.Y=4Spess.=25 cm, Terreno=--,Criterio=CLS_Muri_ND, Materiale=C35/45

Armatura a maglia doppia, Stampa elementi piu' gravosi

Combinazione Rara: σ_{ca} [kg/cmq]=224 σ_{fa} [kg/cmq]=3600

P.	Afx	Afy	σ_c	σ_f	Cbc	Cbf	Ver	Cs
	cmq/m	cmq/m	kg/cmq	kg/cmq				
12	20.11	20.11	-2	74	15	15	Si	49

Combinazione QP: σ_{ca} [kg/cmq]=168 σ_{fa} [kg/cmq]=3600

P.	Afx	Afy	σ_c	σ_f	Cbc	Cbf	Ver	Cs
	cmq/m	cmq/m	kg/cmq	kg/cmq				

P.	Afx	Afy	σ_c	σ_f	Cbc	Cbf	Ver	Cs
8	20.11	20.11	-2	110	19	19	Si	33
16	20.11	20.11	-2	140	19	19	Si	26

Verifica aperture fessure:Wamm Freq[mm]=0.300 Wamm Qp[mm]=0.200

P.	Nx	Ny	Nxy	Mx	My	Mxy	σ_{fmed}	Wd	Wk	Cb	Ver	Cs
	kg/cmq	kg/cmq	kg/cmq	kg	kg	kg	kg/cmq	mm	mm			
1	-0.29	0.14	-0.13	-39	-3	3	19	0.004	0.004	18 (Qp)	Si	47
1	-0.29	0.14	-0.13	-39	-3	3	19	0.004	0.004	16 (Fr)	Si	71

Muro : 165 - Nodi: [317-517-518-318], Pann.X=4, Pann.Y=4Spess.=25 cm, Terreno=--,Criterio=CLS_Muri_ND,
Materiale=C35/45

Armatura a maglia doppia, Stampa elementi piu' gravosi

Combinazione Rara: σ_{ca} [kg/cmq]=224 σ_{fa} [kg/cmq]=3600

P.	Afx	Afy	σ_c	σ_f	Cbc	Cbf	Ver	Cs
	cmq/m	cmq/m	kg/cmq	kg/cmq				
16	20.11	20.11	-7	266	15	15	Si	14

Combinazione QP: σ_{ca} [kg/cmq]=168 σ_{fa} [kg/cmq]=3600

P.	Afx	Afy	σ_c	σ_f	Cbc	Cbf	Ver	Cs
	cmq/m	cmq/m	kg/cmq	kg/cmq				
16	20.11	20.11	-2	171	19	19	Si	21

Verifica aperture fessure:Wamm Freq[mm]=0.300 Wamm Qp[mm]=0.200

P.	Nx	Ny	Nxy	Mx	My	Mxy	σ_{fmed}	Wd	Wk	Cb	Ver	Cs
	kg/cmq	kg/cmq	kg/cmq	kg	kg	kg	kg/cmq	mm	mm			
8	-0.11	-0.22	-0.11	13	134	8	47	0.004	0.004	18 (Qp)	Si	45
8	-0.11	-0.22	-0.11	13	134	8	47	0.004	0.004	16 (Fr)	Si	67

Muro : 166 - Nodi: [217-317-318-218], Pann.X=4, Pann.Y=4Spess.=25 cm, Terreno=--,Criterio=CLS_Muri_ND,
Materiale=C35/45

Armatura a maglia doppia, Stampa elementi piu' gravosi

Combinazione Rara: σ_{ca} [kg/cmq]=224 σ_{fa} [kg/cmq]=3600

P.	Afx	Afy	σ_c	σ_f	Cbc	Cbf	Ver	Cs
	cmq/m	cmq/m	kg/cmq	kg/cmq				
16	20.11	20.11	-4	189	15	15	Si	19

Combinazione QP: σ_{ca} [kg/cmq]=168 σ_{fa} [kg/cmq]=3600

P.	Afx	Afy	σ_c	σ_f	Cbc	Cbf	Ver	Cs
	cmq/m	cmq/m	kg/cmq	kg/cmq				
16	20.11	20.11	-2	112	19	19	Si	32
4	20.11	20.11	-1	119	19	19	Si	30

Verifica aperture fessure:Wamm Freq[mm]=0.300 Wamm Qp[mm]=0.200

P.	Nx	Ny	Nxy	Mx	My	Mxy	σ_{fmed}	Wd	Wk	Cb	Ver	Cs
	kg/cmq	kg/cmq	kg/cmq	kg	kg	kg	kg/cmq	mm	mm			
9	-0.20	0.04	-0.31	14	50	-30	33	0.003	0.003	18 (Qp)	Si	59
9	-0.20	0.04	-0.31	14	50	-30	33	0.003	0.003	16 (Fr)	Si	89

Muro : 167 - Nodi: [347-547-557-357], Pann.X=4, Pann.Y=4Spess.=25 cm, Terreno=--,Criterio=CLS_Muri_ND,
Materiale=C35/45

Armatura a maglia doppia, Stampa elementi piu' gravosi

Combinazione Rara: σ_{ca} [kg/cmq]=224 σ_{fa} [kg/cmq]=3600

P.	Afx	Afy	σ_c	σ_f	Cbc	Cbf	Ver	Cs
	cmq/m	cmq/m	kg/cmq	kg/cmq				
13	20.11	20.11	-3	90	15	15	Si	40
1	20.11	20.11	-3	94	15	15	Si	38

Combinazione QP: σ_{ca} [kg/cmq]=168 σ_{fa} [kg/cmq]=3600

P.	Afx	Afy	σ_c	σ_f	Cbc	Cbf	Ver	Cs
	cmq/m	cmq/m	kg/cmq	kg/cmq				
1	20.11	20.11	-2	158	19	19	Si	23
13	20.11	20.11	-2	167	19	19	Si	22

Verifica aperture fessure:Wamm Freq[mm]=0.300 Wamm Qp[mm]=0.200

P.	Nx	Ny	Nxy	Mx	My	Mxy	σ_{fmed}	Wd	Wk	Cb	Ver	Cs
	kg/cmq	kg/cmq	kg/cmq	kg	kg	kg	kg/cmq	mm	mm			
1	-0.20	-0.16	-0.02	33	32	42	2	0.000	0.000	18 (Qp)	Si	>100
1	-0.20	-0.16	-0.02	33	32	42	2	0.000	0.000	16 (Fr)	Si	>100

Muro : 168 - Nodi: [338-538-547-347], Pann.X=4, Pann.Y=4Spess.=25 cm, Terreno=--,Criterio=CLS_Muri_ND, Materiale=C35/45

Armatura a maglia doppia, Stampa elementi piu' gravosi

Combinazione Rara: σ_{ca} [kg/cmq]=224 σ_{fa} [kg/cmq]=3600

P.	Afx	Afy	σ_c	σ_f	Cbc	Cbf	Ver	Cs
	cmq/m	cmq/m	kg/cmq	kg/cmq				
16	20.11	20.11	-3	94	15	15	Si	38
4	20.11	20.11	-3	98	15	15	Si	37

Combinazione QP: σ_{ca} [kg/cmq]=168 σ_{fa} [kg/cmq]=3600

P.	Afx	Afy	σ_c	σ_f	Cbc	Cbf	Ver	Cs
	cmq/m	cmq/m	kg/cmq	kg/cmq				
3	20.11	20.11	-2	175	19	19	Si	21
15	20.11	20.11	-2	186	19	19	Si	19

Verifica aperture fessure:Wamm Freq[mm]=0.300 Wamm Qp[mm]=0.200

P.	Nx	Ny	Nxy	Mx	My	Mxy	σ_{fmed}	Wd	Wk	Cb	Ver	Cs
	kg/cmq	kg/cmq	kg/cmq	kg	kg	kg	kg/cmq	mm	mm			
1	-0.18	-0.15	-0.00	38	55	18	13	0.001	0.001	18 (Qp)	Si	>100
1	-0.18	-0.15	-0.00	38	55	18	13	0.001	0.001	16 (Fr)	Si	>100

Muro : 169 - Nodi: [247-347-357-257], Pann.X=4, Pann.Y=4Spess.=25 cm, Terreno=--,Criterio=CLS_Muri_ND, Materiale=C35/45

Armatura a maglia doppia, Stampa elementi piu' gravosi

Combinazione Rara: σ_{ca} [kg/cmq]=224 σ_{fa} [kg/cmq]=3600

P.	Afx	Afy	σ_c	σ_f	Cbc	Cbf	Ver	Cs
	cmq/m	cmq/m	kg/cmq	kg/cmq				
13	20.11	20.11	-3	97	15	15	Si	37

Combinazione QP: σ_{ca} [kg/cmq]=168 σ_{fa} [kg/cmq]=3600

P.	Afx	Afy	σ_c	σ_f	Cbc	Cbf	Ver	Cs
	cmq/m	cmq/m	kg/cmq	kg/cmq				
9	20.11	20.11	-2	137	19	19	Si	26
13	20.11	20.11	-2	150	19	19	Si	24

Verifica aperture fessure:Wamm Freq[mm]=0.300 Wamm Qp[mm]=0.200

P.	Nx	Ny	Nxy	Mx	My	Mxy	σ_{fmed}	Wd	Wk	Cb	Ver	Cs
	kg/cmq	kg/cmq	kg/cmq	kg	kg	kg	kg/cmq	mm	mm			
8	-0.45	0.01	-0.04	-18	-17	53	11	0.001	0.001	18 (Qp)	Si	>100
8	-0.45	0.01	-0.04	-18	-17	53	11	0.001	0.001	16 (Fr)	Si	>100

Muro : 170 - Nodi: [238-338-347-247], Pann.X=4, Pann.Y=4Spess.=25 cm, Terreno=--,Criterio=CLS_Muri_ND, Materiale=C35/45

Armatura a maglia doppia, Stampa elementi piu' gravosi

Combinazione Rara: σ_{ca} [kg/cmq]=224 σ_{fa} [kg/cmq]=3600

P.	Afx	Afy	σ_c	σ_f	Cbc	Cbf	Ver	Cs
	cmq/m	cmq/m	kg/cmq	kg/cmq				
16	20.11	20.11	-3	99	15	15	Si	36

Combinazione QP: σ_{ca} [kg/cmq]=168 σ_{fa} [kg/cmq]=3600

P.	Afx	Afy	σ_c	σ_f	Cbc	Cbf	Ver	Cs
	cmq/m	cmq/m	kg/cmq	kg/cmq				
15	20.11	20.11	-2	164	19	19	Si	22

Verifica aperture fessure:Wamm Freq[mm]=0.300 Wamm Qp[mm]=0.200

P.	Nx	Ny	Nxy	Mx	My	Mxy	σ_{fmed}	Wd	Wk	Cb	Ver	Cs
	kg/cmq	kg/cmq	kg/cmq	kg	kg	kg	kg/cmq	mm	mm			
13	-0.24	-0.11	-0.01	45	49	17	14	0.001	0.001	18 (Qp)	Si	>100
13	-0.24	-0.11	-0.01	45	49	17	14	0.001	0.001	16 (Fr)	Si	>100

Muro : 171 - Nodi: [328-528-538-338], Pann.X=4, Pann.Y=4Spess.=25 cm, Terreno=--,Criterio=CLS_Muri_ND, Materiale=C35/45

Armatura a maglia doppia, Stampa elementi piu' gravosi
Combinazione Rara: σ_{ca} [kg/cmq]=224 σ_{fa} [kg/cmq]=3600

P.	Afx	Afy	σ_c	σ_f	Cbc	Cbf	Ver	Cs
	cmq/m	cmq/m	kg/cmq	kg/cmq				
4	20.11	20.11	-2	69	15	15	Si	52

Combinazione QP: σ_{ca} [kg/cmq]=168 σ_{fa} [kg/cmq]=3600

P.	Afx	Afy	σ_c	σ_f	Cbc	Cbf	Ver	Cs
	cmq/m	cmq/m	kg/cmq	kg/cmq				
4	20.11	20.11	-2	146	19	19	Si	25
16	20.11	20.11	-2	153	19	19	Si	23

Verifica aperture fessure:Wamm Freq[mm]=0.300 Wamm Qp[mm]=0.200

P.	Nx	Ny	Nxy	Mx	My	Mxy	σ_{fmed}	Wd	Wk	Cb	Ver	Cs
	kg/cmq	kg/cmq	kg/cmq	kg	kg	kg	kg/cmq	mm	mm			
4	-0.17	-0.14	-0.01	36	53	12	12	0.001	0.001	18 (Qp)	Si	>100
4	-0.17	-0.14	-0.01	36	53	12	12	0.001	0.001	16 (Fr)	Si	>100

Muro : 172 - Nodi: [318-518-528-328], Pann.X=4, Pann.Y=4Spess.=25 cm, Terreno=--,Criterio=CLS_Muri_ND, Materiale=C35/45

Armatura a maglia doppia, Stampa elementi piu' gravosi
Combinazione Rara: σ_{ca} [kg/cmq]=224 σ_{fa} [kg/cmq]=3600

P.	Afx	Afy	σ_c	σ_f	Cbc	Cbf	Ver	Cs
	cmq/m	cmq/m	kg/cmq	kg/cmq				
1	20.11	20.11	-6	256	15	15	Si	14
5	20.11	20.11	-6	258	15	15	Si	14

Combinazione QP: σ_{ca} [kg/cmq]=168 σ_{fa} [kg/cmq]=3600

P.	Afx	Afy	σ_c	σ_f	Cbc	Cbf	Ver	Cs
	cmq/m	cmq/m	kg/cmq	kg/cmq				
1	20.11	20.11	-5	215	19	19	Si	17

Verifica aperture fessure:Wamm Freq[mm]=0.300 Wamm Qp[mm]=0.200

P.	Nx	Ny	Nxy	Mx	My	Mxy	σ_{fmed}	Wd	Wk	Cb	Ver	Cs
	kg/cmq	kg/cmq	kg/cmq	kg	kg	kg	kg/cmq	mm	mm			
13	-0.12	0.00	-0.15	-31	-68	29	39	0.004	0.004	18 (Qp)	Si	52
13	-0.12	0.00	-0.15	-31	-68	29	39	0.004	0.004	16 (Fr)	Si	78

Muro : 173 - Nodi: [216-316-317-217], Pann.X=4, Pann.Y=4Spess.=25 cm, Terreno=--,Criterio=CLS_Muri_ND, Materiale=C35/45

Armatura a maglia doppia, Stampa elementi piu' gravosi
Combinazione Rara: σ_{ca} [kg/cmq]=224 σ_{fa} [kg/cmq]=3600

P.	Afx	Afy	σ_c	σ_f	Cbc	Cbf	Ver	Cs
	cmq/m	cmq/m	kg/cmq	kg/cmq				
1	20.11	20.11	-1	44	15	14	Si	82
13	20.11	20.11	-0	268	14	15	Si	13

Combinazione QP: σ_{ca} [kg/cmq]=168 σ_{fa} [kg/cmq]=3600

P.	Afx	Afy	σ_c	σ_f	Cbc	Cbf	Ver	Cs
	cmq/m	cmq/m	kg/cmq	kg/cmq				
2	20.11	20.11	-2	179	19	19	Si	20
1	20.11	20.11	-1	253	19	19	Si	14

Verifica aperture fessure:Wamm Freq[mm]=0.300 Wamm Qp[mm]=0.200

P.	Nx	Ny	Nxy	Mx	My	Mxy	σ_{fmed}	Wd	Wk	Cb	Ver	Cs
	kg/cmq	kg/cmq	kg/cmq	kg	kg	kg	kg/cmq	mm	mm			

P.	Nx	Ny	Nxy	Mx	My	Mxy	σ_{fmed}	Wd	Wk	Cb	Ver	Cs
9	-0.18	0.24	-0.26	5	-26	-21	47	0.007	0.007	18 (Qp)	Si	28
14	-0.12	0.28	-0.22	-0	-6	-32	39	0.009	0.009	16 (Fr)	Si	34

Muro : 174 - Nodi: [316-516-517-317], Pann.X=4, Pann.Y=4Spess.=25 cm, Terreno=--,Criterio=CLS_Muri_ND, Materiale=C35/45

Armatura a maglia doppia, Stampa elementi piu' gravosi

Combinazione Rara: σ_{ca} [kg/cmq]=224 σ_{fa} [kg/cmq]=3600

P.	Afx	Afy	σ_c	σ_f	Cbc	Cbf	Ver	Cs
	cmq/m	cmq/m	kg/cmq	kg/cmq				
4	20.11	20.11	-0	210	15	15	Si	17
13	20.11	20.11	-0	474	14	15	Si	7.6

Combinazione QP: σ_{ca} [kg/cmq]=168 σ_{fa} [kg/cmq]=3600

P.	Afx	Afy	σ_c	σ_f	Cbc	Cbf	Ver	Cs
	cmq/m	cmq/m	kg/cmq	kg/cmq				
13	20.11	20.11	-1	111	19	18	Si	32

Verifica aperture fessure:Wamm Freq[mm]=0.300 Wamm Qp[mm]=0.200

P.	Nx	Ny	Nxy	Mx	My	Mxy	σ_{fmed}	Wd	Wk	Cb	Ver	Cs
	kg/cmq	kg/cmq	kg/cmq	kg	kg	kg	kg/cmq	mm	mm			
4	-0.16	0.18	0.17	6	53	-14	30	0.002	0.002	19 (Qp)	Si	87
13	-0.00	0.58	-0.03	-1	-59	-11	111	0.017	0.017	16 (Fr)	Si	17

Muro : 175 - Nodi: [215-315-316-216], Pann.X=4, Pann.Y=4Spess.=25 cm, Terreno=--,Criterio=CLS_Muri_ND, Materiale=C35/45

Armatura a maglia doppia, Stampa elementi piu' gravosi

Combinazione Rara: σ_{ca} [kg/cmq]=224 σ_{fa} [kg/cmq]=3600

P.	Afx	Afy	σ_c	σ_f	Cbc	Cbf	Ver	Cs
	cmq/m	cmq/m	kg/cmq	kg/cmq				
1	20.11	20.11	-2	63	15	14	Si	57
14	20.11	20.11	-1	296	14	15	Si	12

Combinazione QP: σ_{ca} [kg/cmq]=168 σ_{fa} [kg/cmq]=3600

P.	Afx	Afy	σ_c	σ_f	Cbc	Cbf	Ver	Cs
	cmq/m	cmq/m	kg/cmq	kg/cmq				
9	20.11	20.11	-2	120	18	19	Si	30
1	20.11	20.11	-1	349	18	19	Si	10

Verifica aperture fessure:Wamm Freq[mm]=0.300 Wamm Qp[mm]=0.200

P.	Nx	Ny	Nxy	Mx	My	Mxy	σ_{fmed}	Wd	Wk	Cb	Ver	Cs
	kg/cmq	kg/cmq	kg/cmq	kg	kg	kg	kg/cmq	mm	mm			
5	-0.20	0.09	-0.25	-6	-126	35	83	0.008	0.008	18 (Qp)	Si	24
13	0.02	0.34	-0.23	-10	-160	33	70	0.005	0.005	16 (Fr)	Si	56

Muro : 176 - Nodi: [315-515-516-316], Pann.X=4, Pann.Y=4Spess.=25 cm, Terreno=--,Criterio=CLS_Muri_ND, Materiale=C35/45

Armatura a maglia doppia, Stampa elementi piu' gravosi

Combinazione Rara: σ_{ca} [kg/cmq]=224 σ_{fa} [kg/cmq]=3600

P.	Afx	Afy	σ_c	σ_f	Cbc	Cbf	Ver	Cs
	cmq/m	cmq/m	kg/cmq	kg/cmq				
13	20.11	20.11	-2	1027	13	15	Si	3.5

Combinazione QP: σ_{ca} [kg/cmq]=168 σ_{fa} [kg/cmq]=3600

P.	Afx	Afy	σ_c	σ_f	Cbc	Cbf	Ver	Cs
	cmq/m	cmq/m	kg/cmq	kg/cmq				
13	20.11	20.11	-5	340	19	18	Si	11

Verifica aperture fessure:Wamm Freq[mm]=0.300 Wamm Qp[mm]=0.200

P.	Nx	Ny	Nxy	Mx	My	Mxy	σ_{fmed}	Wd	Wk	Cb	Ver	Cs
	kg/cmq	kg/cmq	kg/cmq	kg	kg	kg	kg/cmq	mm	mm			
13	0.37	1.51	-0.39	-23	-239	35	199	0.016	0.016	16 (Fr)	Si	19
15	0.01	-2.29	0.17	-0	-80	-2	2	0.000	0.000	19 (Qp)	Si	>100

Muro : 177 - Nodi: [315-215-205-305], Pann.X=4, Pann.Y=4Spess.=25 cm, Terreno=--,Criterio=CLS_Muri_ND, Materiale=C35/45

Armatura a maglia doppia, Stampa elementi piu' gravosi

Combinazione Rara: σ_{ca} [kg/cmq]=224 σ_{fa} [kg/cmq]=3600

P.	Afx	Afy	σ_c	σ_f	Cbc	Cbf	Ver	Cs
	cmq/m	cmq/m	kg/cmq	kg/cmq				
1	20.11	20.11	-4	174	15	15	Si	21

Combinazione QP: σ_{ca} [kg/cmq]=168 σ_{fa} [kg/cmq]=3600

P.	Afx	Afy	σ_c	σ_f	Cbc	Cbf	Ver	Cs
	cmq/m	cmq/m	kg/cmq	kg/cmq				
1	20.11	20.11	-3	108	19	19	Si	33
13	20.11	20.11	-1	143	19	19	Si	25

Verifica aperture fessure:Wamm Freq[mm]=0.300 Wamm Qp[mm]=0.200

P.	Nx	Ny	Nxy	Mx	My	Mxy	σ_{fmed}	Wd	Wk	Cb	Ver	Cs
	kg/cmq	kg/cmq	kg/cmq	kg	kg	kg	kg/cmq	mm	mm			
1	-0.25	0.00	-0.10	-27	-133	35	75	0.007	0.007	18 (Qp)	Si	27
1	-0.25	0.00	-0.10	-27	-133	35	75	0.007	0.007	16 (Fr)	Si	40

Muro : 178 - Nodi: [305-505-515-315], Pann.X=4, Pann.Y=4Spess.=25 cm, Terreno=--,Criterio=CLS_Muri_ND, Materiale=C35/45

Armatura a maglia doppia, Stampa elementi piu' gravosi

Combinazione Rara: σ_{ca} [kg/cmq]=224 σ_{fa} [kg/cmq]=3600

P.	Afx	Afy	σ_c	σ_f	Cbc	Cbf	Ver	Cs
	cmq/m	cmq/m	kg/cmq	kg/cmq				
4	20.11	20.11	-4	179	15	15	Si	20
8	20.11	20.11	-4	182	15	15	Si	20

Combinazione QP: σ_{ca} [kg/cmq]=168 σ_{fa} [kg/cmq]=3600

P.	Afx	Afy	σ_c	σ_f	Cbc	Cbf	Ver	Cs
	cmq/m	cmq/m	kg/cmq	kg/cmq				
16	20.11	20.11	-3	133	19	19	Si	27

Verifica aperture fessure:Wamm Freq[mm]=0.300 Wamm Qp[mm]=0.200

P.	Nx	Ny	Nxy	Mx	My	Mxy	σ_{fmed}	Wd	Wk	Cb	Ver	Cs
	kg/cmq	kg/cmq	kg/cmq	kg	kg	kg	kg/cmq	mm	mm			
4	-0.18	-0.07	-0.12	-39	-145	40	72	0.007	0.007	18 (Qp)	Si	28
4	-0.18	-0.07	-0.12	-39	-145	40	72	0.007	0.007	16 (Fr)	Si	42

Muro : 179 - Nodi: [208-308-318-218], Pann.X=4, Pann.Y=4Spess.=25 cm, Terreno=--,Criterio=CLS_Muri_ND, Materiale=C35/45

Armatura a maglia doppia, Stampa elementi piu' gravosi

Combinazione Rara: σ_{ca} [kg/cmq]=224 σ_{fa} [kg/cmq]=3600

P.	Afx	Afy	σ_c	σ_f	Cbc	Cbf	Ver	Cs
	cmq/m	cmq/m	kg/cmq	kg/cmq				
12	20.11	20.11	-1	74	15	15	Si	49
4	20.11	20.11	-1	82	15	15	Si	44

Combinazione QP: σ_{ca} [kg/cmq]=168 σ_{fa} [kg/cmq]=3600

P.	Afx	Afy	σ_c	σ_f	Cbc	Cbf	Ver	Cs
	cmq/m	cmq/m	kg/cmq	kg/cmq				
16	20.11	20.11	-2	100	19	19	Si	36

Verifica aperture fessure:Wamm Freq[mm]=0.300 Wamm Qp[mm]=0.200

P.	Nx	Ny	Nxy	Mx	My	Mxy	σ_{fmed}	Wd	Wk	Cb	Ver	Cs
	kg/cmq	kg/cmq	kg/cmq	kg	kg	kg	kg/cmq	mm	mm			
3	-0.44	0.22	-0.25	-26	-11	15	34	0.006	0.006	16 (Fr)	Si	46
16	-0.18	-0.05	-0.15	-9	-74	5	36	0.003	0.003	18 (Qp)	Si	57

Muro : 180 - Nodi: [207-307-308-208], Pann.X=4, Pann.Y=4Spess.=20 cm, Terreno=--,Criterio=CLS_Muri_ND, Materiale=C35/45

Armatura a maglia doppia, Stampa elementi piu' gravosi

Combinazione Rara: $\sigma_{ca}[kg/cm^2]=224$ $\sigma_{fa}[kg/cm^2]=3600$

P.	Afx	Afy	σ_c	σ_f	Cbc	Cbf	Ver	Cs
	cmq/m	cmq/m	kg/cmq	kg/cmq				
16	20.11	20.11	-3	59	15	15	Si	61
12	20.11	20.11	-3	60	15	15	Si	60

Combinazione QP: $\sigma_{ca}[kg/cm^2]=168$ $\sigma_{fa}[kg/cm^2]=3600$

P.	Afx	Afy	σ_c	σ_f	Cbc	Cbf	Ver	Cs
	cmq/m	cmq/m	kg/cmq	kg/cmq				
8	20.11	20.11	-1	19	19	19	Si	>100
13	20.11	20.11	-1	23	19	19	Si	>100

Verifica aperture fessure:Wamm Freq[mm]=0.300 Wamm Qp[mm]=0.200

P.	Nx	Ny	Nxy	Mx	My	Mxy	σ_{fmed}	Wd	Wk	Cb	Ver	Cs
	kg/cmq	kg/cmq	kg/cmq	kg	kg	kg	kg/cmq	mm	mm			
12	-0.31	-0.11	-0.36	5	39	-12	19	0.002	0.002	19 (Qp)	Si	>100
14	-0.10	-0.01	-0.21	3	52	-12	39	0.003	0.003	16 (Fr)	Si	88

Muro : 181 - Nodi: [308-508-518-318], Pann.X=4, Pann.Y=4Spess.=25 cm, Terreno=--,Criterio=CLS_Muri_ND,
Materiale=C35/45

Armatura a maglia doppia, Stampa elementi piu' gravosi

Combinazione Rara: $\sigma_{ca}[kg/cm^2]=224$ $\sigma_{fa}[kg/cm^2]=3600$

P.	Afx	Afy	σ_c	σ_f	Cbc	Cbf	Ver	Cs
	cmq/m	cmq/m	kg/cmq	kg/cmq				
15	20.11	20.11	-1	81	15	15	Si	45

Combinazione QP: $\sigma_{ca}[kg/cm^2]=168$ $\sigma_{fa}[kg/cm^2]=3600$

P.	Afx	Afy	σ_c	σ_f	Cbc	Cbf	Ver	Cs
	cmq/m	cmq/m	kg/cmq	kg/cmq				
4	20.11	20.11	-2	98	19	19	Si	37

Verifica aperture fessure:Wamm Freq[mm]=0.300 Wamm Qp[mm]=0.200

P.	Nx	Ny	Nxy	Mx	My	Mxy	σ_{fmed}	Wd	Wk	Cb	Ver	Cs
	kg/cmq	kg/cmq	kg/cmq	kg	kg	kg	kg/cmq	mm	mm			
4	-0.16	-0.08	-0.13	-24	-89	10	40	0.004	0.004	18 (Qp)	Si	52
16	-0.13	-0.09	-0.07	-33	-75	14	31	0.003	0.003	16 (Fr)	Si	>100

Muro : 182 - Nodi: [206-306-307-207], Pann.X=4, Pann.Y=4Spess.=20 cm, Terreno=--,Criterio=CLS_Muri_ND,
Materiale=C35/45

Armatura a maglia doppia, Stampa elementi piu' gravosi

Combinazione Rara: $\sigma_{ca}[kg/cm^2]=224$ $\sigma_{fa}[kg/cm^2]=3600$

P.	Afx	Afy	σ_c	σ_f	Cbc	Cbf	Ver	Cs
	cmq/m	cmq/m	kg/cmq	kg/cmq				
13	20.11	20.11	-1	86	15	15	Si	42

Combinazione QP: $\sigma_{ca}[kg/cm^2]=168$ $\sigma_{fa}[kg/cm^2]=3600$

P.	Afx	Afy	σ_c	σ_f	Cbc	Cbf	Ver	Cs
	cmq/m	cmq/m	kg/cmq	kg/cmq				
1	20.11	20.11	-1	15	19	19	Si	>100
14	20.11	20.11	-0	39	19	19	Si	92

Verifica aperture fessure:Wamm Freq[mm]=0.300 Wamm Qp[mm]=0.200

P.	Nx	Ny	Nxy	Mx	My	Mxy	σ_{fmed}	Wd	Wk	Cb	Ver	Cs
	kg/cmq	kg/cmq	kg/cmq	kg	kg	kg	kg/cmq	mm	mm			
15	-0.07	0.36	-0.03	0	3	-10	38	0.007	0.007	19 (Qp)	Si	27
15	-0.07	0.45	-0.03	0	6	-21	51	0.009	0.009	16 (Fr)	Si	33

Muro : 183 - Nodi: [205-305-306-206], Pann.X=4, Pann.Y=4Spess.=20 cm, Terreno=--,Criterio=CLS_Muri_ND,
Materiale=C35/45

Armatura a maglia doppia, Stampa elementi piu' gravosi

Combinazione Rara: $\sigma_{ca}[kg/cm^2]=224$ $\sigma_{fa}[kg/cm^2]=3600$

P.	Afx	Afy	σ_c	σ_f	Cbc	Cbf	Ver	Cs
	cmq/m	cmq/m	kg/cmq	kg/cmq				
13	20.11	20.11	-4	110	15	15	Si	33

Combinazione QP: σ_{ca} [kg/cmq]=168 σ_{fa} [kg/cmq]=3600

P.	Afx	Afy	σ_c	σ_f	Cbc	Cbf	Ver	Cs
	cmq/m	cmq/m	kg/cmq	kg/cmq				
13	20.11	20.11	-2	77	19	19	Si	47

Verifica aperture fessure:Wamm Freq[mm]=0.300 Wamm Qp[mm]=0.200

P.	Nx	Ny	Nxy	Mx	My	Mxy	σ_{fmed}	Wd	Wk	Cb	Ver	Cs
	kg/cmq	kg/cmq	kg/cmq	kg	kg	kg	kg/cmq	mm	mm			
13	-0.61	0.10	0.60	-17	-86	43	39	0.003	0.003	19 (Qp)	Si	74
13	-0.34	0.03	0.34	-13	-120	29	94	0.008	0.008	16 (Fr)	Si	36

Muro : 184 - Nodi: [305-205-201-301], Pann.X=4, Pann.Y=4Spess.=25 cm, Terreno=--,Criterio=CLS_Muri_ND,
Materiale=C35/45

Armatura a maglia doppia, Stampa elementi piu' gravosi

Combinazione Rara: σ_{ca} [kg/cmq]=224 σ_{fa} [kg/cmq]=3600

P.	Afx	Afy	σ_c	σ_f	Cbc	Cbf	Ver	Cs
	cmq/m	cmq/m	kg/cmq	kg/cmq				
14	20.11	20.11	-1	38	15	15	Si	95
1	20.11	20.11	-1	65	15	15	Si	55

Combinazione QP: σ_{ca} [kg/cmq]=168 σ_{fa} [kg/cmq]=3600

P.	Afx	Afy	σ_c	σ_f	Cbc	Cbf	Ver	Cs
	cmq/m	cmq/m	kg/cmq	kg/cmq				
8	20.11	20.11	-1	77	19	19	Si	47

Verifica aperture fessure:Wamm Freq[mm]=0.300 Wamm Qp[mm]=0.200

P.	Nx	Ny	Nxy	Mx	My	Mxy	σ_{fmed}	Wd	Wk	Cb	Ver	Cs
	kg/cmq	kg/cmq	kg/cmq	kg	kg	kg	kg/cmq	mm	mm			
8	-0.04	0.18	0.10	-4	-93	11	40	0.003	0.003	19 (Qp)	Si	66
8	-0.21	-0.05	-0.04	9	87	4	42	0.004	0.004	16 (Fr)	Si	72

Muro : 185 - Nodi: [202-302-303-203], Pann.X=4, Pann.Y=4Spess.=25 cm, Terreno=--,Criterio=CLS_Muri_ND,
Materiale=C35/45

Armatura a maglia doppia, Stampa elementi piu' gravosi

Combinazione Rara: σ_{ca} [kg/cmq]=224 σ_{fa} [kg/cmq]=3600

P.	Afx	Afy	σ_c	σ_f	Cbc	Cbf	Ver	Cs
	cmq/m	cmq/m	kg/cmq	kg/cmq				
13	20.11	20.11	-2	65	15	15	Si	55
10	20.11	20.11	-2	72	15	15	Si	50

Combinazione QP: σ_{ca} [kg/cmq]=168 σ_{fa} [kg/cmq]=3600

P.	Afx	Afy	σ_c	σ_f	Cbc	Cbf	Ver	Cs
	cmq/m	cmq/m	kg/cmq	kg/cmq				
10	20.11	20.11	-1	68	19	19	Si	53

Verifica aperture fessure:Wamm Freq[mm]=0.300 Wamm Qp[mm]=0.200

P.	Nx	Ny	Nxy	Mx	My	Mxy	σ_{fmed}	Wd	Wk	Cb	Ver	Cs
	kg/cmq	kg/cmq	kg/cmq	kg	kg	kg	kg/cmq	mm	mm			
16	-0.27	-0.04	0.01	32	43	-22	19	0.002	0.002	18 (Qp)	Si	>100
16	-0.24	0.08	0.07	-28	-35	-36	16	0.001	0.001	17 (Fr)	Si	>100

Muro : 186 - Nodi: [203-303-304-204], Pann.X=4, Pann.Y=4Spess.=25 cm, Terreno=--,Criterio=CLS_Muri_ND,
Materiale=C35/45

Armatura a maglia doppia, Stampa elementi piu' gravosi

Combinazione Rara: σ_{ca} [kg/cmq]=224 σ_{fa} [kg/cmq]=3600

P.	Afx	Afy	σ_c	σ_f	Cbc	Cbf	Ver	Cs
	cmq/m	cmq/m	kg/cmq	kg/cmq				
16	20.11	20.11	-3	130	15	15	Si	28

Combinazione QP: σ_{ca} [kg/cmq]=168 σ_{fa} [kg/cmq]=3600

P.	Afx	Afy	σ_c	σ_f	Cbc	Cbf	Ver	Cs
	cmq/m	cmq/m	kg/cmq	kg/cmq				
12	20.11	20.11	-2	63	19	19	Si	57
16	20.11	20.11	-2	70	19	19	Si	51

Verifica aperture fessure:Wamm Freq[mm]=0.300 Wamm Qp[mm]=0.200

P.	Nx	Ny	Nxy	Mx	My	Mxy	σ_{fmed}	Wd	Wk	Cb	Ver	Cs
	kg/cmq	kg/cmq	kg/cmq	kg	kg	kg	kg/cmq	mm	mm			
14	-0.24	-0.07	0.01	26	56	-8	22	0.002	0.002	16 (Fr)	Si	>100
15	-0.23	-0.09	0.01	20	55	-2	20	0.002	0.002	18 (Qp)	Si	>100

Muro : 187 - Nodi: [304-504-508-308], Pann.X=4, Pann.Y=4Spess.=25 cm, Terreno=--,Criterio=CLS_Muri_ND, Materiale=C35/45

Armatura a maglia doppia, Stampa elementi piu' gravosi

Combinazione Rara: σ_{ca} [kg/cmq]=224 σ_{fa} [kg/cmq]=3600

P.	Afx	Afy	σ_c	σ_f	Cbc	Cbf	Ver	Cs
	cmq/m	cmq/m	kg/cmq	kg/cmq				
13	20.11	20.11	-3	132	15	15	Si	27

Combinazione QP: σ_{ca} [kg/cmq]=168 σ_{fa} [kg/cmq]=3600

P.	Afx	Afy	σ_c	σ_f	Cbc	Cbf	Ver	Cs
	cmq/m	cmq/m	kg/cmq	kg/cmq				
1	20.11	20.11	-2	70	19	19	Si	51

Verifica aperture fessure:Wamm Freq[mm]=0.300 Wamm Qp[mm]=0.200

P.	Nx	Ny	Nxy	Mx	My	Mxy	σ_{fmed}	Wd	Wk	Cb	Ver	Cs
	kg/cmq	kg/cmq	kg/cmq	kg	kg	kg	kg/cmq	mm	mm			
13	-0.14	0.01	0.02	5	83	14	48	0.005	0.005	18 (Qp)	Si	42
13	-0.14	0.01	0.02	5	83	14	48	0.005	0.005	16 (Fr)	Si	63

Muro : 188 - Nodi: [303-503-504-304], Pann.X=4, Pann.Y=4Spess.=25 cm, Terreno=--,Criterio=CLS_Muri_ND, Materiale=C35/45

Armatura a maglia doppia, Stampa elementi piu' gravosi

Combinazione Rara: σ_{ca} [kg/cmq]=224 σ_{fa} [kg/cmq]=3600

P.	Afx	Afy	σ_c	σ_f	Cbc	Cbf	Ver	Cs
	cmq/m	cmq/m	kg/cmq	kg/cmq				
16	20.11	20.11	-4	137	15	15	Si	26

Combinazione QP: σ_{ca} [kg/cmq]=168 σ_{fa} [kg/cmq]=3600

P.	Afx	Afy	σ_c	σ_f	Cbc	Cbf	Ver	Cs
	cmq/m	cmq/m	kg/cmq	kg/cmq				
4	20.11	20.11	-2	66	19	19	Si	55

Verifica aperture fessure:Wamm Freq[mm]=0.300 Wamm Qp[mm]=0.200

P.	Nx	Ny	Nxy	Mx	My	Mxy	σ_{fmed}	Wd	Wk	Cb	Ver	Cs
	kg/cmq	kg/cmq	kg/cmq	kg	kg	kg	kg/cmq	mm	mm			
16	-0.10	0.03	0.02	12	81	-6	50	0.005	0.005	18 (Qp)	Si	40
16	-0.10	0.03	0.02	12	81	-6	50	0.005	0.005	16 (Fr)	Si	59

Muro : 189 - Nodi: [301-501-505-305], Pann.X=4, Pann.Y=4Spess.=25 cm, Terreno=--,Criterio=CLS_Muri_ND, Materiale=C35/45

Armatura a maglia doppia, Stampa elementi piu' gravosi

Combinazione Rara: σ_{ca} [kg/cmq]=224 σ_{fa} [kg/cmq]=3600

P.	Afx	Afy	σ_c	σ_f	Cbc	Cbf	Ver	Cs
	cmq/m	cmq/m	kg/cmq	kg/cmq				
13	20.11	20.11	-2	59	15	15	Si	61
4	20.11	20.11	-1	59	15	15	Si	61

Combinazione QP: σ_{ca} [kg/cmq]=168 σ_{fa} [kg/cmq]=3600

P.	Afx	Afy	σ_c	σ_f	Cbc	Cbf	Ver	Cs
	cmq/m	cmq/m	kg/cmq	kg/cmq				
13	20.11	20.11	-3	10	18	19	Si	66

P.	Afx	Afy	σ_c	σ_f	Cbc	Cbf	Ver	Cs
4	20.11	20.11	-2	74	19	19	Si	49

Verifica aperture fessure:Wamm Freq[mm]=0.300 Wamm Qp[mm]=0.200

P.	Nx	Ny	Nxy	Mx	My	Mxy	σ_{fmed}	Wd	Wk	Cb	Ver	Cs
	kg/cm ²	kg/cm ²	kg/cm ²	kg	kg	kg	kg/cm ²	mm	mm			
10	-0.13	-0.10	-0.01	9	78	7	31	0.003	0.003	18 (Qp)	Si	67
13	-0.09	-0.00	0.04	8	106	-10	59	0.006	0.006	17 (Fr)	Si	51

Muro : 190 - Nodi: [204-304-308-208], Pann.X=4, Pann.Y=4Spess.=25 cm, Terreno=--,Criterio=CLS_Muri_ND, Materiale=C35/45

Armatura a maglia doppia, Stampa elementi piu' gravosi

Combinazione Rara: σ_{ca} [kg/cm²]=224 σ_{fa} [kg/cm²]=3600

P.	Afx	Afy	σ_c	σ_f	Cbc	Cbf	Ver	Cs
	cmq/m	cmq/m	kg/cm ²	kg/cm ²				
13	20.11	20.11	-3	127	15	15	Si	28

Combinazione QP: σ_{ca} [kg/cm²]=168 σ_{fa} [kg/cm²]=3600

P.	Afx	Afy	σ_c	σ_f	Cbc	Cbf	Ver	Cs
	cmq/m	cmq/m	kg/cm ²	kg/cm ²				
13	20.11	20.11	-2	75	19	19	Si	48
9	20.11	20.11	-1	78	19	19	Si	46

Verifica aperture fessure:Wamm Freq[mm]=0.300 Wamm Qp[mm]=0.200

P.	Nx	Ny	Nxy	Mx	My	Mxy	σ_{fmed}	Wd	Wk	Cb	Ver	Cs
	kg/cm ²	kg/cm ²	kg/cm ²	kg	kg	kg	kg/cm ²	mm	mm			
10	-0.24	0.23	0.20	9	70	8	38	0.003	0.003	19 (Qp)	Si	68
10	-0.29	0.25	0.23	8	102	29	48	0.004	0.004	17 (Fr)	Si	81

Muro : 191 - Nodi: [302-502-503-303], Pann.X=4, Pann.Y=4Spess.=25 cm, Terreno=--,Criterio=CLS_Muri_ND, Materiale=C35/45

Armatura a maglia doppia, Stampa elementi piu' gravosi

Combinazione Rara: σ_{ca} [kg/cm²]=224 σ_{fa} [kg/cm²]=3600

P.	Afx	Afy	σ_c	σ_f	Cbc	Cbf	Ver	Cs
	cmq/m	cmq/m	kg/cm ²	kg/cm ²				
1	20.11	20.11	-2	59	15	15	Si	61

Combinazione QP: σ_{ca} [kg/cm²]=168 σ_{fa} [kg/cm²]=3600

P.	Afx	Afy	σ_c	σ_f	Cbc	Cbf	Ver	Cs
	cmq/m	cmq/m	kg/cm ²	kg/cm ²				
2	20.11	20.11	-1	53	19	19	Si	68

Verifica aperture fessure:Wamm Freq[mm]=0.300 Wamm Qp[mm]=0.200

P.	Nx	Ny	Nxy	Mx	My	Mxy	σ_{fmed}	Wd	Wk	Cb	Ver	Cs
	kg/cm ²	kg/cm ²	kg/cm ²	kg	kg	kg	kg/cm ²	mm	mm			
12	-0.15	0.00	0.02	18	51	-25	29	0.003	0.003	18 (Qp)	Si	69
15	-0.13	0.00	0.03	12	32	-29	19	0.002	0.002	16 (Fr)	Si	>100

Muro : 192 - Nodi: [201-301-302-202], Pann.X=4, Pann.Y=4Spess.=25 cm, Terreno=--,Criterio=CLS_Muri_ND, Materiale=C35/45

Armatura a maglia doppia, Stampa elementi piu' gravosi

Combinazione Rara: σ_{ca} [kg/cm²]=224 σ_{fa} [kg/cm²]=3600

P.	Afx	Afy	σ_c	σ_f	Cbc	Cbf	Ver	Cs
	cmq/m	cmq/m	kg/cm ²	kg/cm ²				
16	20.11	20.11	-2	59	15	15	Si	61
12	20.11	20.11	-1	63	15	15	Si	57

Combinazione QP: σ_{ca} [kg/cm²]=168 σ_{fa} [kg/cm²]=3600

P.	Afx	Afy	σ_c	σ_f	Cbc	Cbf	Ver	Cs
	cmq/m	cmq/m	kg/cm ²	kg/cm ²				
8	20.11	20.11	-1	47	19	19	Si	76
5	20.11	20.11	-0	50	19	19	Si	72

Verifica aperture fessure:Wamm Freq[mm]=0.300 Wamm Qp[mm]=0.200

P.	Nx	Ny	Nxy	Mx	My	Mxy	σfmed	Wd	Wk	Cb	Ver	Cs
	kg/cmq	kg/cmq	kg/cmq	kg	kg	kg	kg/cmq	mm	mm			
13	-0.20	-0.10	0.07	-6	-95	-19	40	0.004	0.004	16 (Fr)	Si	77
14	-0.21	-0.09	0.08	-0	-76	-24	31	0.003	0.003	18 (Qp)	Si	67

Muro : 193 - Nodi: [301-501-502-302], Pann.X=4, Pann.Y=4Spess.=25 cm, Terreno=--,Criterio=CLS_Muri_ND, Materiale=C35/45

Armatura a maglia doppia, Stampa elementi piu' gravosi

Combinazione Rara: σca[kg/cmq]=224 σfa[kg/cmq]=3600

P.	Afx	Afy	σc	σf	Cbc	Cbf	Ver	Cs
	cmq/m	cmq/m	kg/cmq	kg/cmq				
13	20.11	20.11	-2	50	15	15	Si	72
4	20.11	20.11	-2	55	15	15	Si	66

Combinazione QP: σca[kg/cmq]=168 σfa[kg/cmq]=3600

P.	Afx	Afy	σc	σf	Cbc	Cbf	Ver	Cs
	cmq/m	cmq/m	kg/cmq	kg/cmq				
13	20.11	20.11	-2	7	18	19	Si	82
4	20.11	20.11	-1	32	19	19	Si	>100

Verifica aperture fessure:Wamm Freq[mm]=0.300 Wamm Qp[mm]=0.200

P.	Nx	Ny	Nxy	Mx	My	Mxy	σfmed	Wd	Wk	Cb	Ver	Cs
	kg/cmq	kg/cmq	kg/cmq	kg	kg	kg	kg/cmq	mm	mm			
12	-0.13	-0.07	0.05	-4	-61	-23	26	0.002	0.002	18 (Qp)	Si	81
13	-0.09	-0.08	-0.01	-15	-107	-21	50	0.005	0.005	17 (Fr)	Si	61

Muro : 194 - Nodi: [360-560-561-361], Pann.X=4, Pann.Y=4Spess.=25 cm, Terreno=--,Criterio=CLS_Muri_ND, Materiale=C35/45

Armatura a maglia doppia, Stampa elementi piu' gravosi

Combinazione Rara: σca[kg/cmq]=224 σfa[kg/cmq]=3600

P.	Afx	Afy	σc	σf	Cbc	Cbf	Ver	Cs
	cmq/m	cmq/m	kg/cmq	kg/cmq				
13	20.11	20.11	-3	131	15	15	Si	28

Combinazione QP: σca[kg/cmq]=168 σfa[kg/cmq]=3600

P.	Afx	Afy	σc	σf	Cbc	Cbf	Ver	Cs
	cmq/m	cmq/m	kg/cmq	kg/cmq				
4	20.11	20.11	-4	162	19	19	Si	22

Verifica aperture fessure:Wamm Freq[mm]=0.300 Wamm Qp[mm]=0.200

P.	Nx	Ny	Nxy	Mx	My	Mxy	σfmed	Wd	Wk	Cb	Ver	Cs
	kg/cmq	kg/cmq	kg/cmq	kg	kg	kg	kg/cmq	mm	mm			
13	-0.19	-0.07	-0.01	-7	-92	-21	43	0.004	0.004	16 (Fr)	Si	72
16	-0.15	-0.12	-0.03	30	210	-12	103	0.010	0.010	18 (Qp)	Si	20

Muro : 195 - Nodi: [357-557-561-361], Pann.X=4, Pann.Y=4Spess.=25 cm, Terreno=--,Criterio=CLS_Muri_ND, Materiale=C35/45

Armatura a maglia doppia, Stampa elementi piu' gravosi

Combinazione Rara: σca[kg/cmq]=224 σfa[kg/cmq]=3600

P.	Afx	Afy	σc	σf	Cbc	Cbf	Ver	Cs
	cmq/m	cmq/m	kg/cmq	kg/cmq				
3	20.11	20.11	-2	0	13	15	Si	>100
1	20.11	20.11	-2	48	15	15	Si	76

Combinazione QP: σca[kg/cmq]=168 σfa[kg/cmq]=3600

P.	Afx	Afy	σc	σf	Cbc	Cbf	Ver	Cs
	cmq/m	cmq/m	kg/cmq	kg/cmq				
4	20.11	20.11	-4	165	19	19	Si	22

Verifica aperture fessure:Wamm Freq[mm]=0.300 Wamm Qp[mm]=0.200

P.	Nx	Ny	Nxy	Mx	My	Mxy	σfmed	Wd	Wk	Cb	Ver	Cs
	kg/cmq	kg/cmq	kg/cmq	kg	kg	kg	kg/cmq	mm	mm			

P.	Nx	Ny	Nxy	Mx	My	Mxy	σ_{fmed}	Wd	Wk	Cb	Ver	Cs
10	-0.12	-0.23	0.01	-5	-84	32	20	0.002	0.002	16 (Fr)	Si	>100
16	-0.11	-0.22	0.03	-23	-198	4	83	0.008	0.008	18 (Qp)	Si	25

Muro : 196 - Nodi : [358-558-559-359], Pann.X=4, Pann.Y=4Spess.=25 cm, Terreno=--,Criterio=CLS_Muri_ND, Materiale=C35/45

Armatura a maglia doppia, Stampa elementi piu' gravosi

Combinazione Rara: σ_{ca} [kg/cmq]=224 σ_{fa} [kg/cmq]=3600

P.	Afx	Afy	σ_c	σ_f	Cbc	Cbf	Ver	Cs
	cmq/m	cmq/m	kg/cmq	kg/cmq				
13	20.11	20.11	-11	463	15	15	Si	7.8

Combinazione QP: σ_{ca} [kg/cmq]=168 σ_{fa} [kg/cmq]=3600

P.	Afx	Afy	σ_c	σ_f	Cbc	Cbf	Ver	Cs
	cmq/m	cmq/m	kg/cmq	kg/cmq				
16	20.11	20.11	-5	155	19	19	Si	23
13	20.11	20.11	-4	182	18	18	Si	20

Verifica aperture fessure:Wamm Freq[mm]=0.300 Wamm Qp[mm]=0.200

P.	Nx	Ny	Nxy	Mx	My	Mxy	σ_{fmed}	Wd	Wk	Cb	Ver	Cs
	kg/cmq	kg/cmq	kg/cmq	kg	kg	kg	kg/cmq	mm	mm			
3	-0.14	0.28	-0.32	-14	1	-26	35	0.009	0.009	18 (Qp)	Si	23
13	-0.08	0.32	-0.30	-49	-249	-52	182	0.019	0.019	16 (Fr)	Si	16

Muro : 197 - Nodi : [359-559-560-360], Pann.X=4, Pann.Y=4Spess.=25 cm, Terreno=--,Criterio=CLS_Muri_ND, Materiale=C35/45

Armatura a maglia doppia, Stampa elementi piu' gravosi

Combinazione Rara: σ_{ca} [kg/cmq]=224 σ_{fa} [kg/cmq]=3600

P.	Afx	Afy	σ_c	σ_f	Cbc	Cbf	Ver	Cs
	cmq/m	cmq/m	kg/cmq	kg/cmq				
13	20.11	20.11	-2	141	15	15	Si	26

Combinazione QP: σ_{ca} [kg/cmq]=168 σ_{fa} [kg/cmq]=3600

P.	Afx	Afy	σ_c	σ_f	Cbc	Cbf	Ver	Cs
	cmq/m	cmq/m	kg/cmq	kg/cmq				
16	20.11	20.11	-1	39	19	19	Si	91
4	20.11	20.11	-1	54	19	19	Si	66

Verifica aperture fessure:Wamm Freq[mm]=0.300 Wamm Qp[mm]=0.200

P.	Nx	Ny	Nxy	Mx	My	Mxy	σ_{fmed}	Wd	Wk	Cb	Ver	Cs
	kg/cmq	kg/cmq	kg/cmq	kg	kg	kg	kg/cmq	mm	mm			
2	-0.29	0.19	0.02	-11	-15	-15	33	0.006	0.006	16 (Fr)	Si	54
15	-0.22	0.03	0.02	2	47	-2	30	0.003	0.003	19 (Qp)	Si	66

Muro : 198 - Nodi : [362-562-563-363], Pann.X=4, Pann.Y=4Spess.=25 cm, Terreno=--,Criterio=CLS_Muri_ND, Materiale=C35/45

Armatura a maglia doppia, Stampa elementi piu' gravosi

Combinazione Rara: σ_{ca} [kg/cmq]=224 σ_{fa} [kg/cmq]=3600

P.	Afx	Afy	σ_c	σ_f	Cbc	Cbf	Ver	Cs
	cmq/m	cmq/m	kg/cmq	kg/cmq				
16	20.11	20.11	-2	44	15	15	Si	82
13	20.11	20.11	-2	66	15	15	Si	55

Combinazione QP: σ_{ca} [kg/cmq]=168 σ_{fa} [kg/cmq]=3600

P.	Afx	Afy	σ_c	σ_f	Cbc	Cbf	Ver	Cs
	cmq/m	cmq/m	kg/cmq	kg/cmq				
16	20.11	20.11	-1	8	18	19	Si	>100
1	20.11	20.11	-1	35	19	19	Si	>100

Verifica aperture fessure:Wamm Freq[mm]=0.300 Wamm Qp[mm]=0.200

P.	Nx	Ny	Nxy	Mx	My	Mxy	σ_{fmed}	Wd	Wk	Cb	Ver	Cs
	kg/cmq	kg/cmq	kg/cmq	kg	kg	kg	kg/cmq	mm	mm			
2	-0.17	0.03	-0.15	-17	-39	-14	26	0.003	0.003	18 (Qp)	Si	77

P.	Nx	Ny	Nxy	Mx	My	Mxy	σ_{fmed}	Wd	Wk	Cb	Ver	Cs
5	-0.15	0.07	-0.17	-25	-74	-22	51	0.005	0.005	16 (Fr)	Si	57

Muro : 199 - Nodi: [360-560-563-363], Pann.X=4, Pann.Y=4Spess.=25 cm, Terreno=--,Criterio=CLS_Muri_ND, Materiale=C35/45

Armatura a maglia doppia, Stampa elementi piu' gravosi

Combinazione Rara: σ_{ca} [kg/cmq]=224 σ_{fa} [kg/cmq]=3600

P.	Afx	Afy	σ_c	σ_f	Cbc	Cbf	Ver	Cs
	cmq/m	cmq/m	kg/cmq	kg/cmq				
13	20.11	20.11	-4	112	15	15	Si	32

Combinazione QP: σ_{ca} [kg/cmq]=168 σ_{fa} [kg/cmq]=3600

P.	Afx	Afy	σ_c	σ_f	Cbc	Cbf	Ver	Cs
	cmq/m	cmq/m	kg/cmq	kg/cmq				
13	20.11	20.11	-1	72	19	19	Si	50
9	20.11	20.11	-1	72	19	19	Si	50

Verifica aperture fessure:Wamm Freq[mm]=0.300 Wamm Qp[mm]=0.200

P.	Nx	Ny	Nxy	Mx	My	Mxy	σ_{fmed}	Wd	Wk	Cb	Ver	Cs
	kg/cmq	kg/cmq	kg/cmq	kg	kg	kg	kg/cmq	mm	mm			
9	-0.21	0.18	-0.17	-10	-85	11	37	0.003	0.003	19 (Qp)	Si	70
13	-0.14	-0.13	0.03	26	136	-4	60	0.006	0.006	16 (Fr)	Si	51

Muro : 200 - Nodi: [359-559-562-362], Pann.X=4, Pann.Y=4Spess.=25 cm, Terreno=--,Criterio=CLS_Muri_ND, Materiale=C35/45

Armatura a maglia doppia, Stampa elementi piu' gravosi

Combinazione Rara: σ_{ca} [kg/cmq]=224 σ_{fa} [kg/cmq]=3600

P.	Afx	Afy	σ_c	σ_f	Cbc	Cbf	Ver	Cs
	cmq/m	cmq/m	kg/cmq	kg/cmq				
12	20.11	20.11	-3	109	15	15	Si	33
13	20.11	20.11	-2	156	15	15	Si	23

Combinazione QP: σ_{ca} [kg/cmq]=168 σ_{fa} [kg/cmq]=3600

P.	Afx	Afy	σ_c	σ_f	Cbc	Cbf	Ver	Cs
	cmq/m	cmq/m	kg/cmq	kg/cmq				
13	20.11	20.11	-2	115	19	19	Si	31

Verifica aperture fessure:Wamm Freq[mm]=0.300 Wamm Qp[mm]=0.200

P.	Nx	Ny	Nxy	Mx	My	Mxy	σ_{fmed}	Wd	Wk	Cb	Ver	Cs
	kg/cmq	kg/cmq	kg/cmq	kg	kg	kg	kg/cmq	mm	mm			
4	-0.35	0.05	-0.24	-15	-82	9	53	0.005	0.005	18 (Qp)	Si	37
16	-0.30	0.05	-0.16	-13	-91	5	58	0.006	0.006	16 (Fr)	Si	51

Muro : 201 - Nodi: [354-554-558-358], Pann.X=4, Pann.Y=4Spess.=25 cm, Terreno=--,Criterio=CLS_Muri_ND, Materiale=C35/45

Armatura a maglia doppia, Stampa elementi piu' gravosi

Combinazione Rara: σ_{ca} [kg/cmq]=224 σ_{fa} [kg/cmq]=3600

P.	Afx	Afy	σ_c	σ_f	Cbc	Cbf	Ver	Cs
	cmq/m	cmq/m	kg/cmq	kg/cmq				
16	20.11	20.11	-17	707	15	15	Si	5.1

Combinazione QP: σ_{ca} [kg/cmq]=168 σ_{fa} [kg/cmq]=3600

P.	Afx	Afy	σ_c	σ_f	Cbc	Cbf	Ver	Cs
	cmq/m	cmq/m	kg/cmq	kg/cmq				
4	20.11	20.11	-3	156	19	19	Si	23

Verifica aperture fessure:Wamm Freq[mm]=0.300 Wamm Qp[mm]=0.200

P.	Nx	Ny	Nxy	Mx	My	Mxy	σ_{fmed}	Wd	Wk	Cb	Ver	Cs
	kg/cmq	kg/cmq	kg/cmq	kg	kg	kg	kg/cmq	mm	mm			
4	-0.14	0.33	-0.17	-29	-198	-40	79	0.006	0.006	19 (Qp)	Si	33
16	-0.21	0.49	-0.27	-56	-454	39	320	0.033	0.033	16 (Fr)	Si	9.1

Muro : 202 - Nodi: [331-431-432-332], Pann.X=4, Pann.Y=4Spess.=25 cm, Terreno=--,Criterio=CLS_Muri_ND,
Materiale=C35/45

Armatura a maglia doppia, Stampa elementi piu' gravosi

Combinazione Rara: σ_{ca} [kg/cmq]=224 σ_{fa} [kg/cmq]=3600

P.	Afx	Afy	σ_c	σ_f	Cbc	Cbf	Ver	Cs
	cmq/m	cmq/m	kg/cmq	kg/cmq				
16	20.11	20.11	-1	48	15	15	Si	76

Combinazione QP: σ_{ca} [kg/cmq]=168 σ_{fa} [kg/cmq]=3600

P.	Afx	Afy	σ_c	σ_f	Cbc	Cbf	Ver	Cs
	cmq/m	cmq/m	kg/cmq	kg/cmq				
10	20.11	20.11	-1	31	18	19	Si	>100
16	20.11	20.11	-1	40	19	19	Si	90

Verifica aperture fessure:Wamm Freq[mm]=0.300 Wamm Qp[mm]=0.200

P.	Nx	Ny	Nxy	Mx	My	Mxy	σ_{fmed}	Wd	Wk	Cb	Ver	Cs
	kg/cmq	kg/cmq	kg/cmq	kg	kg	kg	kg/cmq	mm	mm			
16	-0.32	0.11	-0.11	7	44	1	21	0.002	0.002	19 (Qp)	Si	>100
16	-0.22	0.05	-0.05	10	73	1	48	0.005	0.005	17 (Fr)	Si	62

Muro : 203 - Nodi: [309-409-410-310], Pann.X=4, Pann.Y=4Spess.=25 cm, Terreno=--,Criterio=CLS_Muri_ND,
Materiale=C35/45

Armatura a maglia doppia, Stampa elementi piu' gravosi

Combinazione Rara: σ_{ca} [kg/cmq]=224 σ_{fa} [kg/cmq]=3600

P.	Afx	Afy	σ_c	σ_f	Cbc	Cbf	Ver	Cs
	cmq/m	cmq/m	kg/cmq	kg/cmq				
1	20.11	20.11	-1	25	15	15	Si	>100

Combinazione QP: σ_{ca} [kg/cmq]=168 σ_{fa} [kg/cmq]=3600

P.	Afx	Afy	σ_c	σ_f	Cbc	Cbf	Ver	Cs
	cmq/m	cmq/m	kg/cmq	kg/cmq				
1	20.11	20.11	-1	50	19	19	Si	72

Verifica aperture fessure:Wamm Freq[mm]=0.300 Wamm Qp[mm]=0.200

P.	Nx	Ny	Nxy	Mx	My	Mxy	σ_{fmed}	Wd	Wk	Cb	Ver	Cs
	kg/cmq	kg/cmq	kg/cmq	kg	kg	kg	kg/cmq	mm	mm			
1	-0.20	-0.00	0.09	-14	-45	-1	25	0.002	0.002	17 (Fr)	Si	>100
13	-0.23	-0.06	0.05	-9	-74	-5	34	0.003	0.003	18 (Qp)	Si	60

Muro : 204 - Nodi: [311-411-412-312], Pann.X=4, Pann.Y=4Spess.=25 cm, Terreno=--,Criterio=CLS_Muri_ND,
Materiale=C35/45

Armatura a maglia doppia, Stampa elementi piu' gravosi

Combinazione Rara: σ_{ca} [kg/cmq]=224 σ_{fa} [kg/cmq]=3600

P.	Afx	Afy	σ_c	σ_f	Cbc	Cbf	Ver	Cs
	cmq/m	cmq/m	kg/cmq	kg/cmq				
4	20.11	20.11	-2	67	14	15	Si	53
16	20.11	20.11	-1	71	14	15	Si	51

Combinazione QP: σ_{ca} [kg/cmq]=168 σ_{fa} [kg/cmq]=3600

P.	Afx	Afy	σ_c	σ_f	Cbc	Cbf	Ver	Cs
	cmq/m	cmq/m	kg/cmq	kg/cmq				
4	20.11	20.11	-1	85	19	19	Si	43

Verifica aperture fessure:Wamm Freq[mm]=0.300 Wamm Qp[mm]=0.200

P.	Nx	Ny	Nxy	Mx	My	Mxy	σ_{fmed}	Wd	Wk	Cb	Ver	Cs
	kg/cmq	kg/cmq	kg/cmq	kg	kg	kg	kg/cmq	mm	mm			
14	-0.10	0.18	0.19	12	14	-16	32	0.005	0.005	18 (Qp)	Si	37
16	-0.07	0.25	0.20	9	-22	-29	45	0.007	0.007	16 (Fr)	Si	41

Muro : 205 - Nodi: [330-430-431-331], Pann.X=4, Pann.Y=4Spess.=25 cm, Terreno=--,Criterio=CLS_Muri_ND,
Materiale=C35/45

Armatura a maglia doppia, Stampa elementi piu' gravosi

Combinazione Rara: $\sigma_{ca}[\text{kg/cm}^2]=224$ $\sigma_{fa}[\text{kg/cm}^2]=3600$

P.	Afx	Afy	σ_c	σ_f	Cbc	Cbf	Ver	Cs
	cmq/m	cmq/m	kg/cmq	kg/cmq				
13	20.11	20.11	-0	16	15	15	Si	>100

Combinazione QP: $\sigma_{ca}[\text{kg/cm}^2]=168$ $\sigma_{fa}[\text{kg/cm}^2]=3600$

P.	Afx	Afy	σ_c	σ_f	Cbc	Cbf	Ver	Cs
	cmq/m	cmq/m	kg/cmq	kg/cmq				
13	20.11	20.11	-1	16	18	19	Si	>100
4	20.11	20.11	-0	22	19	19	Si	>100

Verifica aperture fessure:Wamm Freq[mm]=0.300 Wamm Qp[mm]=0.200

P.	Nx	Ny	Nxy	Mx	My	Mxy	σ_{fmed}	Wd	Wk	Cb	Ver	Cs
	kg/cmq	kg/cmq	kg/cmq	kg	kg	kg	kg/cmq	mm	mm			
13	-0.17	-0.06	0.10	-6	-48	-14	20	0.002	0.002	18 (Qp)	Si	>100
13	-0.20	-0.00	0.07	-3	-29	-8	16	0.002	0.002	17 (Fr)	Si	>100

Muro : 206 - Nodi: [322-422-432-332], Pann.X=4, Pann.Y=4Spess.=25 cm, Terreno=--,Criterio=CLS_Muri_ND, Materiale=C35/45

Armatura a maglia doppia, Stampa elementi piu' gravosi

Combinazione Rara: $\sigma_{ca}[\text{kg/cm}^2]=224$ $\sigma_{fa}[\text{kg/cm}^2]=3600$

P.	Afx	Afy	σ_c	σ_f	Cbc	Cbf	Ver	Cs
	cmq/m	cmq/m	kg/cmq	kg/cmq				
4	20.11	20.11	-1	26	14	15	Si	>100
16	20.11	20.11	-1	36	14	15	Si	100

Combinazione QP: $\sigma_{ca}[\text{kg/cm}^2]=168$ $\sigma_{fa}[\text{kg/cm}^2]=3600$

P.	Afx	Afy	σ_c	σ_f	Cbc	Cbf	Ver	Cs
	cmq/m	cmq/m	kg/cmq	kg/cmq				
4	20.11	20.11	-1	110	19	19	Si	33
16	20.11	20.11	-1	112	19	19	Si	32

Verifica aperture fessure:Wamm Freq[mm]=0.300 Wamm Qp[mm]=0.200

P.	Nx	Ny	Nxy	Mx	My	Mxy	σ_{fmed}	Wd	Wk	Cb	Ver	Cs
	kg/cmq	kg/cmq	kg/cmq	kg	kg	kg	kg/cmq	mm	mm			
16	-0.23	0.48	0.14	14	84	1	65	0.005	0.005	19 (Qp)	Si	39
16	-0.21	0.19	0.10	3	19	-1	36	0.006	0.006	17 (Fr)	Si	53

Muro : 207 - Nodi: [313-413-514-314], Pann.X=4, Pann.Y=4Spess.=25 cm, Terreno=--,Criterio=CLS_Muri_ND, Materiale=C35/45

Armatura a maglia doppia, Stampa elementi piu' gravosi

Combinazione Rara: $\sigma_{ca}[\text{kg/cm}^2]=224$ $\sigma_{fa}[\text{kg/cm}^2]=3600$

P.	Afx	Afy	σ_c	σ_f	Cbc	Cbf	Ver	Cs
	cmq/m	cmq/m	kg/cmq	kg/cmq				
8	20.11	20.11	-1	160	15	15	Si	23
16	20.11	20.11	-0	182	15	15	Si	20

Combinazione QP: $\sigma_{ca}[\text{kg/cm}^2]=168$ $\sigma_{fa}[\text{kg/cm}^2]=3600$

P.	Afx	Afy	σ_c	σ_f	Cbc	Cbf	Ver	Cs
	cmq/m	cmq/m	kg/cmq	kg/cmq				
3	20.11	20.11	-1	27	19	19	Si	>100
2	20.11	20.11	-1	43	19	19	Si	83

Verifica aperture fessure:Wamm Freq[mm]=0.300 Wamm Qp[mm]=0.200

P.	Nx	Ny	Nxy	Mx	My	Mxy	σ_{fmed}	Wd	Wk	Cb	Ver	Cs
	kg/cmq	kg/cmq	kg/cmq	kg	kg	kg	kg/cmq	mm	mm			
1	-0.35	0.23	-0.47	11	15	-42	38	0.007	0.007	19 (Qp)	Si	30
14	-0.13	0.26	-0.04	15	26	-27	49	0.008	0.008	16 (Fr)	Si	39

Muro : 208 - Nodi: [329-429-430-330], Pann.X=4, Pann.Y=4Spess.=25 cm, Terreno=--,Criterio=CLS_Muri_ND, Materiale=C35/45

Armatura a maglia doppia, Stampa elementi piu' gravosi

Combinazione Rara: $\sigma_{ca}[\text{kg/cm}^2]=224$ $\sigma_{fa}[\text{kg/cm}^2]=3600$

P.	Afx	Afy	σ_c	σ_f	Cbc	Cbf	Ver	Cs
	cmq/m	cmq/m	kg/cmq	kg/cmq				
13	20.11	20.11	-1	36	15	15	Si	99

Combinazione QP: σ_{ca} [kg/cmq]=168 σ_{fa} [kg/cmq]=3600

P.	Afx	Afy	σ_c	σ_f	Cbc	Cbf	Ver	Cs
	cmq/m	cmq/m	kg/cmq	kg/cmq				
3	20.11	20.11	-1	21	18	19	Si	>100
1	20.11	20.11	-0	26	19	19	Si	>100

Verifica aperture fessure:Wamm Freq[mm]=0.300 Wamm Qp[mm]=0.200

P.	Nx	Ny	Nxy	Mx	My	Mxy	σ_{fmed}	Wd	Wk	Cb	Ver	Cs
	kg/cmq	kg/cmq	kg/cmq	kg	kg	kg	kg/cmq	mm	mm			
9	-0.17	0.03	0.10	-4	-32	2	23	0.002	0.002	19 (Qp)	Si	86
13	-0.16	-0.04	0.08	-9	-73	-2	36	0.004	0.004	17 (Fr)	Si	84

Muro : 209 - Nodi: [312-412-413-313], Pann.X=4, Pann.Y=4Spess.=25 cm, Terreno=--,Criterio=CLS_Muri_ND,
Materiale=C35/45

Armatura a maglia doppia, Stampa elementi piu' gravosi

Combinazione Rara: σ_{ca} [kg/cmq]=224 σ_{fa} [kg/cmq]=3600

P.	Afx	Afy	σ_c	σ_f	Cbc	Cbf	Ver	Cs
	cmq/m	cmq/m	kg/cmq	kg/cmq				
1	20.11	20.11	-2	80	14	15	Si	45

Combinazione QP: σ_{ca} [kg/cmq]=168 σ_{fa} [kg/cmq]=3600

P.	Afx	Afy	σ_c	σ_f	Cbc	Cbf	Ver	Cs
	cmq/m	cmq/m	kg/cmq	kg/cmq				
1	20.11	20.11	-2	105	19	19	Si	34

Verifica aperture fessure:Wamm Freq[mm]=0.300 Wamm Qp[mm]=0.200

P.	Nx	Ny	Nxy	Mx	My	Mxy	σ_{fmed}	Wd	Wk	Cb	Ver	Cs
	kg/cmq	kg/cmq	kg/cmq	kg	kg	kg	kg/cmq	mm	mm			
1	-0.18	0.25	-0.05	8	-57	10	37	0.003	0.003	18 (Qp)	Si	69
1	-0.18	0.25	-0.05	8	-57	10	37	0.003	0.003	16 (Fr)	Si	>100

Muro : 210 - Nodi: [312-412-422-322], Pann.X=4, Pann.Y=4Spess.=25 cm, Terreno=--,Criterio=CLS_Muri_ND,
Materiale=C35/45

Armatura a maglia doppia, Stampa elementi piu' gravosi

Combinazione Rara: σ_{ca} [kg/cmq]=224 σ_{fa} [kg/cmq]=3600

P.	Afx	Afy	σ_c	σ_f	Cbc	Cbf	Ver	Cs
	cmq/m	cmq/m	kg/cmq	kg/cmq				
1	20.11	20.11	-1	2	14	15	Si	>100
16	20.11	20.11	-0	16	15	15	Si	>100

Combinazione QP: σ_{ca} [kg/cmq]=168 σ_{fa} [kg/cmq]=3600

P.	Afx	Afy	σ_c	σ_f	Cbc	Cbf	Ver	Cs
	cmq/m	cmq/m	kg/cmq	kg/cmq				
1	20.11	20.11	-1	70	19	19	Si	52

Verifica aperture fessure:Wamm Freq[mm]=0.300 Wamm Qp[mm]=0.200

P.	Nx	Ny	Nxy	Mx	My	Mxy	σ_{fmed}	Wd	Wk	Cb	Ver	Cs
	kg/cmq	kg/cmq	kg/cmq	kg	kg	kg	kg/cmq	mm	mm			
8	-0.22	0.02	0.19	-2	18	-6	13	0.001	0.001	17 (Fr)	Si	>100
9	-0.39	-0.12	0.26	1	70	-35	25	0.002	0.002	18 (Qp)	Si	84

Muro : 211 - Nodi: [310-410-411-311], Pann.X=4, Pann.Y=4Spess.=25 cm, Terreno=--,Criterio=CLS_Muri_ND,
Materiale=C35/45

Armatura a maglia doppia, Stampa elementi piu' gravosi

Combinazione Rara: σ_{ca} [kg/cmq]=224 σ_{fa} [kg/cmq]=3600

P.	Afx	Afy	σ_c	σ_f	Cbc	Cbf	Ver	Cs
	cmq/m	cmq/m	kg/cmq	kg/cmq				
3	20.11	20.11	-1	34	15	15	Si	>100
16	20.11	20.11	-0	40	15	15	Si	89

Combinazione QP: σ_{ca} [kg/cmq]=168 σ_{fa} [kg/cmq]=3600

P.	Afx	Afy	σ_c	σ_f	Cbc	Cbf	Ver	Cs
	cmq/m	cmq/m	kg/cmq	kg/cmq				
3	20.11	20.11	-1	52	19	19	Si	69
4	20.11	20.11	-0	53	19	19	Si	68

Verifica aperture fessure:Wamm Freq[mm]=0.300 Wamm Qp[mm]=0.200

P.	Nx	Ny	Nxy	Mx	My	Mxy	σ_{fmed}	Wd	Wk	Cb	Ver	Cs
	kg/cmq	kg/cmq	kg/cmq	kg	kg	kg	kg/cmq	mm	mm			
16	-0.12	0.11	0.15	14	22	-12	16	0.001	0.001	18 (Qp)	Si	>100
16	-0.12	0.11	0.15	14	22	-12	16	0.001	0.001	16 (Fr)	Si	>100

Muro : 212 - Nodi: [319-329-429-419], Pann.X=4, Pann.Y=4Spess.=25 cm, Terreno=--,Criterio=CLS_Muri_ND, Materiale=C35/45

Armatura a maglia doppia, Stampa elementi piu' gravosi

Combinazione Rara: σ_{ca} [kg/cmq]=224 σ_{fa} [kg/cmq]=3600

P.	Afx	Afy	σ_c	σ_f	Cbc	Cbf	Ver	Cs
	cmq/m	cmq/m	kg/cmq	kg/cmq				
13	20.11	20.11	-0	8	15	15	Si	>100

Combinazione QP: σ_{ca} [kg/cmq]=168 σ_{fa} [kg/cmq]=3600

P.	Afx	Afy	σ_c	σ_f	Cbc	Cbf	Ver	Cs
	cmq/m	cmq/m	kg/cmq	kg/cmq				
5	20.11	20.11	-1	28	19	19	Si	>100

Verifica aperture fessure:Wamm Freq[mm]=0.300 Wamm Qp[mm]=0.200

P.	Nx	Ny	Nxy	Mx	My	Mxy	σ_{fmed}	Wd	Wk	Cb	Ver	Cs
	kg/cmq	kg/cmq	kg/cmq	kg	kg	kg	kg/cmq	mm	mm			
13	0.07	-0.16	0.05	-18	4	-1	11	0.001	0.001	19 (Qp)	Si	>100
13	-0.06	-0.17	0.04	-27	-8	-5	8	0.001	0.001	17 (Fr)	Si	>100

Muro : 213 - Nodi: [309-319-419-409], Pann.X=4, Pann.Y=4Spess.=25 cm, Terreno=--,Criterio=CLS_Muri_ND, Materiale=C35/45

Armatura a maglia doppia, Stampa elementi piu' gravosi

Combinazione Rara: σ_{ca} [kg/cmq]=224 σ_{fa} [kg/cmq]=3600

P.	Afx	Afy	σ_c	σ_f	Cbc	Cbf	Ver	Cs
	cmq/m	cmq/m	kg/cmq	kg/cmq				
1	20.11	20.11	-1	18	15	15	Si	>100
2	20.11	20.11	-1	18	15	15	Si	>100

Combinazione QP: σ_{ca} [kg/cmq]=168 σ_{fa} [kg/cmq]=3600

P.	Afx	Afy	σ_c	σ_f	Cbc	Cbf	Ver	Cs
	cmq/m	cmq/m	kg/cmq	kg/cmq				
1	20.11	20.11	-1	48	19	19	Si	75

Verifica aperture fessure:Wamm Freq[mm]=0.300 Wamm Qp[mm]=0.200

P.	Nx	Ny	Nxy	Mx	My	Mxy	σ_{fmed}	Wd	Wk	Cb	Ver	Cs
	kg/cmq	kg/cmq	kg/cmq	kg	kg	kg	kg/cmq	mm	mm			
2	-0.03	-0.11	-0.07	-39	-4	10	18	0.002	0.002	17 (Fr)	Si	>100
4	-0.07	-0.15	-0.05	-71	-3	8	31	0.003	0.003	18 (Qp)	Si	67

Muro : 214 - Nodi: [410-610-611-411], Pann.X=4, Pann.Y=4Spess.=25 cm, Terreno=--,Criterio=CLS_Muri_ND, Materiale=C35/45

Armatura a maglia doppia, Stampa elementi piu' gravosi

Combinazione Rara: σ_{ca} [kg/cmq]=224 σ_{fa} [kg/cmq]=3600

P.	Afx	Afy	σ_c	σ_f	Cbc	Cbf	Ver	Cs
	cmq/m	cmq/m	kg/cmq	kg/cmq				
3	20.11	20.11	-0	38	15	15	Si	95
16	20.11	20.11	-0	51	15	15	Si	71

Combinazione QP: σ_{ca} [kg/cmq]=168 σ_{fa} [kg/cmq]=3600

P.	Afx	Afy	σ_c	σ_f	Cbc	Cbf	Ver	Cs
	cmq/m	cmq/m	kg/cmq	kg/cmq				
3	20.11	20.11	-0	41	19	19	Si	89
4	20.11	20.11	-0	42	19	19	Si	87

Verifica aperture fessure:Wamm Freq[mm]=0.300 Wamm Qp[mm]=0.200

P.	Nx	Ny	Nxy	Mx	My	Mxy	σ_{fmed}	Wd	Wk	Cb	Ver	Cs
	kg/cmq	kg/cmq	kg/cmq	kg	kg	kg	kg/cmq	mm	mm			
10	-0.05	0.06	0.04	-0	6	-8	11	0.002	0.002	16 (Fr)	Si	>100
12	-0.06	0.14	0.03	6	-17	3	17	0.001	0.001	19 (Qp)	Si	>100

Muro : 215 - Nodi: [419-429-629-619], Pann.X=4, Pann.Y=4Spess.=25 cm, Terreno=--,Criterio=CLS_Muri_ND, Materiale=C35/45

Armatura a maglia doppia, Stampa elementi piu' gravosi

Combinazione Rara: σ_{ca} [kg/cmq]=224 σ_{fa} [kg/cmq]=3600

P.	Afx	Afy	σ_c	σ_f	Cbc	Cbf	Ver	Cs
	cmq/m	cmq/m	kg/cmq	kg/cmq				
4	20.11	20.11	-0	8	15	15	Si	>100
16	20.11	20.11	-0	9	15	15	Si	>100

Combinazione QP: σ_{ca} [kg/cmq]=168 σ_{fa} [kg/cmq]=3600

P.	Afx	Afy	σ_c	σ_f	Cbc	Cbf	Ver	Cs
	cmq/m	cmq/m	kg/cmq	kg/cmq				
16	20.11	20.11	-1	28	19	19	Si	>100

Verifica aperture fessure:Wamm Freq[mm]=0.300 Wamm Qp[mm]=0.200

P.	Nx	Ny	Nxy	Mx	My	Mxy	σ_{fmed}	Wd	Wk	Cb	Ver	Cs
	kg/cmq	kg/cmq	kg/cmq	kg	kg	kg	kg/cmq	mm	mm			
13	-0.03	-0.12	0.06	-20	3	-14	7	0.001	0.001	18 (Qp)	Si	>100
13	-0.04	-0.13	0.04	-19	-3	-4	6	0.001	0.001	17 (Fr)	Si	>100

Muro : 216 - Nodi: [409-419-619-609], Pann.X=4, Pann.Y=4Spess.=25 cm, Terreno=--,Criterio=CLS_Muri_ND, Materiale=C35/45

Armatura a maglia doppia, Stampa elementi piu' gravosi

Combinazione Rara: σ_{ca} [kg/cmq]=224 σ_{fa} [kg/cmq]=3600

P.	Afx	Afy	σ_c	σ_f	Cbc	Cbf	Ver	Cs
	cmq/m	cmq/m	kg/cmq	kg/cmq				
1	20.11	20.11	-1	16	15	15	Si	>100
4	20.11	20.11	-0	21	15	15	Si	>100

Combinazione QP: σ_{ca} [kg/cmq]=168 σ_{fa} [kg/cmq]=3600

P.	Afx	Afy	σ_c	σ_f	Cbc	Cbf	Ver	Cs
	cmq/m	cmq/m	kg/cmq	kg/cmq				
1	20.11	20.11	-1	35	19	19	Si	>100

Verifica aperture fessure:Wamm Freq[mm]=0.300 Wamm Qp[mm]=0.200

P.	Nx	Ny	Nxy	Mx	My	Mxy	σ_{fmed}	Wd	Wk	Cb	Ver	Cs
	kg/cmq	kg/cmq	kg/cmq	kg	kg	kg	kg/cmq	mm	mm			
1	-0.07	-0.13	-0.05	-70	-4	7	31	0.003	0.003	18 (Qp)	Si	66
1	-0.01	-0.08	-0.06	-31	-0	7	16	0.002	0.002	17 (Fr)	Si	>100

Muro : 217 - Nodi: [431-631-632-432], Pann.X=4, Pann.Y=4Spess.=25 cm, Terreno=--,Criterio=CLS_Muri_ND, Materiale=C35/45

Armatura a maglia doppia, Stampa elementi piu' gravosi

Combinazione Rara: σ_{ca} [kg/cmq]=224 σ_{fa} [kg/cmq]=3600

P.	Afx	Afy	σ_c	σ_f	Cbc	Cbf	Ver	Cs
	cmq/m	cmq/m	kg/cmq	kg/cmq				
16	20.11	20.11	-1	60	15	15	Si	60
12	20.11	20.11	-1	61	15	15	Si	59

Combinazione QP: σ_{ca} [kg/cmq]=168 σ_{fa} [kg/cmq]=3600

P.	Afx	Afy	σ_c	σ_f	Cbc	Cbf	Ver	Cs
	cmq/m	cmq/m	kg/cmq	kg/cmq				

P.	Afx	Afy	σ_c	σ_f	Cbc	Cbf	Ver	Cs
16	20.11	20.11	-1	36	19	19	Si	>100
12	20.11	20.11	-1	48	19	19	Si	76

Verifica aperture fessure:Wamm Freq[mm]=0.300 Wamm Qp[mm]=0.200

P.	Nx	Ny	Nxy	Mx	My	Mxy	σ_{fmed}	Wd	Wk	Cb	Ver	Cs
	kg/cmq	kg/cmq	kg/cmq	kg	kg	kg	kg/cmq	mm	mm			
16	-0.08	0.04	-0.08	3	54	1	36	0.004	0.004	19 (Qp)	Si	55
16	-0.05	0.10	-0.04	5	84	2	60	0.006	0.006	17 (Fr)	Si	48

Muro : 218 - Nodi: [411-611-612-412], Pann.X=4, Pann.Y=4Spess.=25 cm, Terreno=--,Criterio=CLS_Muri_ND, Materiale=C35/45

Armatura a maglia doppia, Stampa elementi piu' gravosi

Combinazione Rara: σ_{ca} [kg/cmq]=224 σ_{fa} [kg/cmq]=3600

P.	Afx	Afy	σ_c	σ_f	Cbc	Cbf	Ver	Cs
	cmq/m	cmq/m	kg/cmq	kg/cmq				
4	20.11	20.11	-1	73	14	15	Si	49
16	20.11	20.11	0	131	13	15	Si	28

Combinazione QP: σ_{ca} [kg/cmq]=168 σ_{fa} [kg/cmq]=3600

P.	Afx	Afy	σ_c	σ_f	Cbc	Cbf	Ver	Cs
	cmq/m	cmq/m	kg/cmq	kg/cmq				
4	20.11	20.11	-1	58	19	19	Si	62

Verifica aperture fessure:Wamm Freq[mm]=0.300 Wamm Qp[mm]=0.200

P.	Nx	Ny	Nxy	Mx	My	Mxy	σ_{fmed}	Wd	Wk	Cb	Ver	Cs
	kg/cmq	kg/cmq	kg/cmq	kg	kg	kg	kg/cmq	mm	mm			
16	0.08	0.33	0.09	-5	-22	-16	56	0.010	0.010	19 (Qp)	Si	20
16	0.08	0.58	0.12	-3	-24	-18	88	0.017	0.017	16 (Fr)	Si	17

Muro : 219 - Nodi: [409-609-610-410], Pann.X=4, Pann.Y=4Spess.=25 cm, Terreno=--,Criterio=CLS_Muri_ND, Materiale=C35/45

Armatura a maglia doppia, Stampa elementi piu' gravosi

Combinazione Rara: σ_{ca} [kg/cmq]=224 σ_{fa} [kg/cmq]=3600

P.	Afx	Afy	σ_c	σ_f	Cbc	Cbf	Ver	Cs
	cmq/m	cmq/m	kg/cmq	kg/cmq				
1	20.11	20.11	-1	18	15	15	Si	>100

Combinazione QP: σ_{ca} [kg/cmq]=168 σ_{fa} [kg/cmq]=3600

P.	Afx	Afy	σ_c	σ_f	Cbc	Cbf	Ver	Cs
	cmq/m	cmq/m	kg/cmq	kg/cmq				
1	20.11	20.11	-1	35	19	19	Si	>100

Verifica aperture fessure:Wamm Freq[mm]=0.300 Wamm Qp[mm]=0.200

P.	Nx	Ny	Nxy	Mx	My	Mxy	σ_{fmed}	Wd	Wk	Cb	Ver	Cs
	kg/cmq	kg/cmq	kg/cmq	kg	kg	kg	kg/cmq	mm	mm			
1	-0.19	-0.05	0.04	-10	-72	-4	34	0.003	0.003	18 (Qp)	Si	60
1	-0.17	0.01	0.08	-9	-31	1	18	0.002	0.002	17 (Fr)	Si	>100

Muro : 220 - Nodi: [413-613-614-514], Pann.X=4, Pann.Y=4Spess.=25 cm, Terreno=--,Criterio=CLS_Muri_ND, Materiale=C35/45

Armatura a maglia doppia, Stampa elementi piu' gravosi

Combinazione Rara: σ_{ca} [kg/cmq]=224 σ_{fa} [kg/cmq]=3600

P.	Afx	Afy	σ_c	σ_f	Cbc	Cbf	Ver	Cs
	cmq/m	cmq/m	kg/cmq	kg/cmq				
4	20.11	20.11	-0	192	15	15	Si	19
16	20.11	20.11	-0	231	15	15	Si	16

Combinazione QP: σ_{ca} [kg/cmq]=168 σ_{fa} [kg/cmq]=3600

P.	Afx	Afy	σ_c	σ_f	Cbc	Cbf	Ver	Cs
	cmq/m	cmq/m	kg/cmq	kg/cmq				
15	20.11	20.11	-1	51	19	18	Si	70

Verifica aperture fessure:Wamm Freq[mm]=0.300 Wamm Qp[mm]=0.200

P.	Nx	Ny	Nxy	Mx	My	Mxy	σfmed	Wd	Wk	Cb	Ver	Cs
	kg/cmq	kg/cmq	kg/cmq	kg	kg	kg	kg/cmq	mm	mm			
1	-0.13	0.06	-0.38	12	17	-44	10	0.001	0.001	19 (Qp)	Si	>100
13	-0.02	0.34	-0.02	-0	-12	-14	51	0.010	0.010	16 (Fr)	Si	29

Muro : 221 - Nodi: [422-622-632-432], Pann.X=4, Pann.Y=4Spess.=25 cm, Terreno=--,Criterio=CLS_Muri_ND, Materiale=C35/45

Armatura a maglia doppia, Stampa elementi piu' gravosi

Combinazione Rara: σca[kg/cmq]=224 σfa[kg/cmq]=3600

P.	Afx	Afy	σc	σf	Cbc	Cbf	Ver	Cs
	cmq/m	cmq/m	kg/cmq	kg/cmq				
4	20.11	20.11	-1	44	14	15	Si	81
16	20.11	20.11	-0	93	15	15	Si	39

Combinazione QP: σca[kg/cmq]=168 σfa[kg/cmq]=3600

P.	Afx	Afy	σc	σf	Cbc	Cbf	Ver	Cs
	cmq/m	cmq/m	kg/cmq	kg/cmq				
4	20.11	20.11	-1	114	19	19	Si	32
16	20.11	20.11	-0	144	18	19	Si	25

Verifica aperture fessure:Wamm Freq[mm]=0.300 Wamm Qp[mm]=0.200

P.	Nx	Ny	Nxy	Mx	My	Mxy	σfmed	Wd	Wk	Cb	Ver	Cs
	kg/cmq	kg/cmq	kg/cmq	kg	kg	kg	kg/cmq	mm	mm			
16	0.01	0.52	0.05	-4	5	3	67	0.016	0.016	18 (Qp)	Si	13
16	0.01	0.52	0.05	-4	5	3	67	0.016	0.016	16 (Fr)	Si	19

Muro : 222 - Nodi: [430-630-631-431], Pann.X=4, Pann.Y=4Spess.=25 cm, Terreno=--,Criterio=CLS_Muri_ND, Materiale=C35/45

Armatura a maglia doppia, Stampa elementi piu' gravosi

Combinazione Rara: σca[kg/cmq]=224 σfa[kg/cmq]=3600

P.	Afx	Afy	σc	σf	Cbc	Cbf	Ver	Cs
	cmq/m	cmq/m	kg/cmq	kg/cmq				
1	20.11	20.11	-0	19	15	15	Si	>100
13	20.11	20.11	-0	34	15	15	Si	>100

Combinazione QP: σca[kg/cmq]=168 σfa[kg/cmq]=3600

P.	Afx	Afy	σc	σf	Cbc	Cbf	Ver	Cs
	cmq/m	cmq/m	kg/cmq	kg/cmq				
5	20.11	20.11	-1	12	18	19	Si	>100
16	20.11	20.11	-0	27	18	19	Si	>100

Verifica aperture fessure:Wamm Freq[mm]=0.300 Wamm Qp[mm]=0.200

P.	Nx	Ny	Nxy	Mx	My	Mxy	σfmed	Wd	Wk	Cb	Ver	Cs
	kg/cmq	kg/cmq	kg/cmq	kg	kg	kg	kg/cmq	mm	mm			
15	-0.02	0.11	0.01	-0	-3	-12	16	0.003	0.003	18 (Qp)	Si	59
15	-0.02	0.11	0.01	-0	-3	-12	16	0.003	0.003	16 (Fr)	Si	88

Muro : 223 - Nodi: [412-612-622-422], Pann.X=4, Pann.Y=4Spess.=25 cm, Terreno=--,Criterio=CLS_Muri_ND, Materiale=C35/45

Armatura a maglia doppia, Stampa elementi piu' gravosi

Combinazione Rara: σca[kg/cmq]=224 σfa[kg/cmq]=3600

P.	Afx	Afy	σc	σf	Cbc	Cbf	Ver	Cs
	cmq/m	cmq/m	kg/cmq	kg/cmq				
11	20.11	20.11	-1	26	13	15	Si	>100
16	20.11	20.11	-1	44	13	15	Si	81

Combinazione QP: σca[kg/cmq]=168 σfa[kg/cmq]=3600

P.	Afx	Afy	σc	σf	Cbc	Cbf	Ver	Cs
	cmq/m	cmq/m	kg/cmq	kg/cmq				
1	20.11	20.11	-1	48	19	19	Si	75
2	20.11	20.11	-1	49	19	19	Si	74

Verifica aperture fessure:Wamm Freq[mm]=0.300 Wamm Qp[mm]=0.200

P.	Nx	Ny	Nxy	Mx	My	Mxy	σfmed	Wd	Wk	Cb	Ver	Cs
	kg/cmq	kg/cmq	kg/cmq	kg	kg	kg	kg/cmq	mm	mm			
8	-0.13	0.05	0.15	5	46	3	33	0.003	0.003	18 (Qp)	Si	59
14	-0.03	-0.01	0.07	3	75	-4	41	0.004	0.004	16 (Fr)	Si	73

Muro : 224 - Nodi: [429-629-630-430], Pann.X=4, Pann.Y=4Spess.=25 cm, Terreno=--,Criterio=CLS_Muri_ND, Materiale=C35/45

Armatura a maglia doppia, Stampa elementi piu' gravosi

Combinazione Rara: σca[kg/cmq]=224 σfa[kg/cmq]=3600

P.	Afx	Afy	σc	σf	Cbc	Cbf	Ver	Cs
	cmq/m	cmq/m	kg/cmq	kg/cmq				
13	20.11	20.11	-1	43	15	15	Si	84
9	20.11	20.11	-1	44	15	15	Si	82

Combinazione QP: σca[kg/cmq]=168 σfa[kg/cmq]=3600

P.	Afx	Afy	σc	σf	Cbc	Cbf	Ver	Cs
	cmq/m	cmq/m	kg/cmq	kg/cmq				
9	20.11	20.11	-1	17	19	19	Si	>100
1	20.11	20.11	-1	20	19	19	Si	>100

Verifica aperture fessure:Wamm Freq[mm]=0.300 Wamm Qp[mm]=0.200

P.	Nx	Ny	Nxy	Mx	My	Mxy	σfmed	Wd	Wk	Cb	Ver	Cs
	kg/cmq	kg/cmq	kg/cmq	kg	kg	kg	kg/cmq	mm	mm			
1	-0.17	-0.00	0.09	-4	-37	2	20	0.002	0.002	19 (Qp)	Si	>100
9	-0.09	-0.00	0.05	-7	-79	-2	44	0.004	0.004	17 (Fr)	Si	69

Muro : 225 - Nodi: [412-612-613-413], Pann.X=4, Pann.Y=4Spess.=25 cm, Terreno=--,Criterio=CLS_Muri_ND, Materiale=C35/45

Armatura a maglia doppia, Stampa elementi piu' gravosi

Combinazione Rara: σca[kg/cmq]=224 σfa[kg/cmq]=3600

P.	Afx	Afy	σc	σf	Cbc	Cbf	Ver	Cs
	cmq/m	cmq/m	kg/cmq	kg/cmq				
1	20.11	20.11	-1	83	14	15	Si	43
16	20.11	20.11	-0	138	15	15	Si	26

Combinazione QP: σca[kg/cmq]=168 σfa[kg/cmq]=3600

P.	Afx	Afy	σc	σf	Cbc	Cbf	Ver	Cs
	cmq/m	cmq/m	kg/cmq	kg/cmq				
1	20.11	20.11	-1	73	19	19	Si	49

Verifica aperture fessure:Wamm Freq[mm]=0.300 Wamm Qp[mm]=0.200

P.	Nx	Ny	Nxy	Mx	My	Mxy	σfmed	Wd	Wk	Cb	Ver	Cs
	kg/cmq	kg/cmq	kg/cmq	kg	kg	kg	kg/cmq	mm	mm			
11	-0.04	0.05	-0.23	5	49	-34	34	0.004	0.004	19 (Qp)	Si	57
15	-0.02	0.44	-0.03	-3	-47	-10	86	0.013	0.013	16 (Fr)	Si	23

Muro : 226 - Nodi: [514-614-615-515], Pann.X=4, Pann.Y=4Spess.=25 cm, Terreno=--,Criterio=CLS_Muri_ND, Materiale=C35/45

Armatura a maglia doppia, Stampa elementi piu' gravosi

Combinazione Rara: σca[kg/cmq]=224 σfa[kg/cmq]=3600

P.	Afx	Afy	σc	σf	Cbc	Cbf	Ver	Cs
	cmq/m	cmq/m	kg/cmq	kg/cmq				
16	20.11	20.11	-2	164	15	15	Si	22
4	20.11	20.11	0	353	13	15	Si	10

Combinazione QP: σca[kg/cmq]=168 σfa[kg/cmq]=3600

P.	Afx	Afy	σc	σf	Cbc	Cbf	Ver	Cs
	cmq/m	cmq/m	kg/cmq	kg/cmq				
4	20.11	20.11	-2	71	19	18	Si	50

Verifica aperture fessure:Wamm Freq[mm]=0.300 Wamm Qp[mm]=0.200

P.	Nx	Ny	Nxy	Mx	My	Mxy	σ_{fmed}	Wd	Wk	Cb	Ver	Cs
	kg/cmq	kg/cmq	kg/cmq	kg	kg	kg	kg/cmq	mm	mm			
4	0.19	0.44	-0.03	6	25	-10	71	0.013	0.013	16 (Fr)	Si	23
12	-0.28	-0.57	0.01	8	154	33	22	0.002	0.002	19 (Qp)	Si	>100

Muro : 227 - Nodi: [450-650-651-451], Pann.X=4, Pann.Y=4Spess.=25 cm, Terreno=--,Criterio=CLS_Muri_ND, Materiale=C35/45

Armatura a maglia doppia, Stampa elementi piu' gravosi

Combinazione Rara: σ_{ca} [kg/cmq]=224 σ_{fa} [kg/cmq]=3600

P.	Afx	Afy	σ_c	σ_f	Cbc	Cbf	Ver	Cs
	cmq/m	cmq/m	kg/cmq	kg/cmq				
12	20.11	20.11	-1	95	13	15	Si	38
16	20.11	20.11	-1	136	13	15	Si	26

Combinazione QP: σ_{ca} [kg/cmq]=168 σ_{fa} [kg/cmq]=3600

P.	Afx	Afy	σ_c	σ_f	Cbc	Cbf	Ver	Cs
	cmq/m	cmq/m	kg/cmq	kg/cmq				
12	20.11	20.11	-1	72	18	19	Si	50
16	20.11	20.11	-1	116	18	19	Si	31

Verifica aperture fessure:Wamm Freq[mm]=0.300 Wamm Qp[mm]=0.200

P.	Nx	Ny	Nxy	Mx	My	Mxy	σ_{fmed}	Wd	Wk	Cb	Ver	Cs
	kg/cmq	kg/cmq	kg/cmq	kg	kg	kg	kg/cmq	mm	mm			
15	-0.02	0.50	0.05	2	11	-13	70	0.015	0.015	19 (Qp)	Si	13
15	-0.02	0.77	0.07	1	77	-9	147	0.023	0.023	16 (Fr)	Si	13

Muro : 228 - Nodi: [439-448-648-639], Pann.X=4, Pann.Y=4Spess.=25 cm, Terreno=--,Criterio=CLS_Muri_ND, Materiale=C35/45

Armatura a maglia doppia, Stampa elementi piu' gravosi

Combinazione Rara: σ_{ca} [kg/cmq]=224 σ_{fa} [kg/cmq]=3600

P.	Afx	Afy	σ_c	σ_f	Cbc	Cbf	Ver	Cs
	cmq/m	cmq/m	kg/cmq	kg/cmq				
16	20.11	20.11	-1	47	15	15	Si	77

Combinazione QP: σ_{ca} [kg/cmq]=168 σ_{fa} [kg/cmq]=3600

P.	Afx	Afy	σ_c	σ_f	Cbc	Cbf	Ver	Cs
	cmq/m	cmq/m	kg/cmq	kg/cmq				
13	20.11	20.11	-2	74	19	19	Si	48

Verifica aperture fessure:Wamm Freq[mm]=0.300 Wamm Qp[mm]=0.200

P.	Nx	Ny	Nxy	Mx	My	Mxy	σ_{fmed}	Wd	Wk	Cb	Ver	Cs
	kg/cmq	kg/cmq	kg/cmq	kg	kg	kg	kg/cmq	mm	mm			
15	0.02	0.01	0.07	98	11	-14	57	0.006	0.006	18 (Qp)	Si	35
15	0.03	0.01	0.05	57	8	-14	36	0.004	0.004	17 (Fr)	Si	83

Muro : 229 - Nodi: [429-439-639-629], Pann.X=4, Pann.Y=4Spess.=25 cm, Terreno=--,Criterio=CLS_Muri_ND, Materiale=C35/45

Armatura a maglia doppia, Stampa elementi piu' gravosi

Combinazione Rara: σ_{ca} [kg/cmq]=224 σ_{fa} [kg/cmq]=3600

P.	Afx	Afy	σ_c	σ_f	Cbc	Cbf	Ver	Cs
	cmq/m	cmq/m	kg/cmq	kg/cmq				
1	20.11	20.11	-1	32	15	15	Si	>100
4	20.11	20.11	-1	38	15	15	Si	95

Combinazione QP: σ_{ca} [kg/cmq]=168 σ_{fa} [kg/cmq]=3600

P.	Afx	Afy	σ_c	σ_f	Cbc	Cbf	Ver	Cs
	cmq/m	cmq/m	kg/cmq	kg/cmq				
4	20.11	20.11	-2	49	19	19	Si	74

Verifica aperture fessure:Wamm Freq[mm]=0.300 Wamm Qp[mm]=0.200

P.	Nx	Ny	Nxy	Mx	My	Mxy	σ_{fmed}	Wd	Wk	Cb	Ver	Cs
	kg/cmq	kg/cmq	kg/cmq	kg	kg	kg	kg/cmq	mm	mm			
4	-0.03	0.00	-0.02	-94	-4	-8	49	0.005	0.005	19 (Qp)	Si	41

P.	Nx	Ny	Nxy	Mx	My	Mxy	σ_{fmed}	Wd	Wk	Cb	Ver	Cs
4	-0.01	-0.00	-0.02	-69	-3	3	38	0.004	0.004	17 (Fr)	Si	80

Muro : 230 - Nodi: [449-649-650-450], Pann.X=4, Pann.Y=4Spess.=25 cm, Terreno=--,Criterio=CLS_Muri_ND, Materiale=C35/45

Armatura a maglia doppia, Stampa elementi piu' gravosi

Combinazione Rara: $\sigma_{ca}[kg/cm^2]=224$ $\sigma_{fa}[kg/cm^2]=3600$

P.	Afx	Afy	σ_c	σ_f	Cbc	Cbf	Ver	Cs
	cmq/m	cmq/m	kg/cmq	kg/cmq				
1	20.11	20.11	-1	39	15	15	Si	92
16	20.11	20.11	-0	68	15	15	Si	53

Combinazione QP: $\sigma_{ca}[kg/cm^2]=168$ $\sigma_{fa}[kg/cm^2]=3600$

P.	Afx	Afy	σ_c	σ_f	Cbc	Cbf	Ver	Cs
	cmq/m	cmq/m	kg/cmq	kg/cmq				
13	20.11	20.11	-0	36	19	19	Si	99
4	20.11	20.11	-0	49	19	19	Si	73

Verifica aperture fessure:Wamm Freq[mm]=0.300 Wamm Qp[mm]=0.200

P.	Nx	Ny	Nxy	Mx	My	Mxy	σ_{fmed}	Wd	Wk	Cb	Ver	Cs
	kg/cmq	kg/cmq	kg/cmq	kg	kg	kg	kg/cmq	mm	mm			
8	-0.09	0.29	0.10	-10	11	-16	43	0.009	0.009	19 (Qp)	Si	23
16	-0.02	0.38	0.04	0	-15	-12	58	0.012	0.012	16 (Fr)	Si	26

Muro : 231 - Nodi: [452-652-653-553], Pann.X=4, Pann.Y=4Spess.=25 cm, Terreno=--,Criterio=CLS_Muri_ND, Materiale=C35/45

Armatura a maglia doppia, Stampa elementi piu' gravosi

Combinazione Rara: $\sigma_{ca}[kg/cm^2]=224$ $\sigma_{fa}[kg/cm^2]=3600$

P.	Afx	Afy	σ_c	σ_f	Cbc	Cbf	Ver	Cs
	cmq/m	cmq/m	kg/cmq	kg/cmq				
4	20.11	20.11	-3	268	15	15	Si	13
16	20.11	20.11	-2	364	15	15	Si	9.9

Combinazione QP: $\sigma_{ca}[kg/cm^2]=168$ $\sigma_{fa}[kg/cm^2]=3600$

P.	Afx	Afy	σ_c	σ_f	Cbc	Cbf	Ver	Cs
	cmq/m	cmq/m	kg/cmq	kg/cmq				
3	20.11	20.11	-1	64	19	19	Si	56
1	20.11	20.11	-0	79	19	19	Si	46

Verifica aperture fessure:Wamm Freq[mm]=0.300 Wamm Qp[mm]=0.200

P.	Nx	Ny	Nxy	Mx	My	Mxy	σ_{fmed}	Wd	Wk	Cb	Ver	Cs
	kg/cmq	kg/cmq	kg/cmq	kg	kg	kg	kg/cmq	mm	mm			
1	-0.11	0.40	-0.19	-16	-44	25	79	0.012	0.012	19 (Qp)	Si	17
15	-0.02	0.89	0.00	-1	8	-19	116	0.028	0.028	16 (Fr)	Si	11

Muro : 232 - Nodi: [442-642-651-451], Pann.X=4, Pann.Y=4Spess.=25 cm, Terreno=--,Criterio=CLS_Muri_ND, Materiale=C35/45

Armatura a maglia doppia, Stampa elementi piu' gravosi

Combinazione Rara: $\sigma_{ca}[kg/cm^2]=224$ $\sigma_{fa}[kg/cm^2]=3600$

P.	Afx	Afy	σ_c	σ_f	Cbc	Cbf	Ver	Cs
	cmq/m	cmq/m	kg/cmq	kg/cmq				
16	20.11	20.11	-3	129	15	15	Si	28

Combinazione QP: $\sigma_{ca}[kg/cm^2]=168$ $\sigma_{fa}[kg/cm^2]=3600$

P.	Afx	Afy	σ_c	σ_f	Cbc	Cbf	Ver	Cs
	cmq/m	cmq/m	kg/cmq	kg/cmq				
4	20.11	20.11	-2	104	19	19	Si	35

Verifica aperture fessure:Wamm Freq[mm]=0.300 Wamm Qp[mm]=0.200

P.	Nx	Ny	Nxy	Mx	My	Mxy	σ_{fmed}	Wd	Wk	Cb	Ver	Cs
	kg/cmq	kg/cmq	kg/cmq	kg	kg	kg	kg/cmq	mm	mm			
8	-0.32	-0.05	-0.24	-24	-169	16	89	0.009	0.009	18 (Qp)	Si	23
12	-0.29	0.00	-0.19	-19	-178	13	101	0.010	0.010	16 (Fr)	Si	30

Muro : 233 - Nodi: [432-632-642-442], Pann.X=4, Pann.Y=4Spess.=25 cm, Terreno=--,Criterio=CLS_Muri_ND, Materiale=C35/45

Armatura a maglia doppia, Stampa elementi piu' gravosi

Combinazione Rara: σ_{ca} [kg/cm²]=224 σ_{fa} [kg/cm²]=3600

P.	Afx	Afy	σ_c	σ_f	Cbc	Cbf	Ver	Cs
	cmq/m	cmq/m	kg/cm ²	kg/cm ²				
5	20.11	20.11	-1	103	15	15	Si	35
13	20.11	20.11	-1	140	15	15	Si	26

Combinazione QP: σ_{ca} [kg/cm²]=168 σ_{fa} [kg/cm²]=3600

P.	Afx	Afy	σ_c	σ_f	Cbc	Cbf	Ver	Cs
	cmq/m	cmq/m	kg/cm ²	kg/cm ²				
1	20.11	20.11	-2	139	19	19	Si	26
13	20.11	20.11	-1	173	19	19	Si	21

Verifica aperture fessure:Wamm Freq[mm]=0.300 Wamm Qp[mm]=0.200

P.	Nx	Ny	Nxy	Mx	My	Mxy	σ_{fmed}	Wd	Wk	Cb	Ver	Cs
	kg/cm ²	kg/cm ²	kg/cm ²	kg	kg	kg	kg/cm ²	mm	mm			
15	-0.03	0.49	-0.01	1	33	19	83	0.015	0.015	18 (Qp)	Si	14
15	-0.03	0.49	-0.01	1	33	19	83	0.015	0.015	16 (Fr)	Si	21

Muro : 234 - Nodi: [448-648-649-449], Pann.X=4, Pann.Y=4Spess.=25 cm, Terreno=--,Criterio=CLS_Muri_ND, Materiale=C35/45

Armatura a maglia doppia, Stampa elementi piu' gravosi

Combinazione Rara: σ_{ca} [kg/cm²]=224 σ_{fa} [kg/cm²]=3600

P.	Afx	Afy	σ_c	σ_f	Cbc	Cbf	Ver	Cs
	cmq/m	cmq/m	kg/cm ²	kg/cm ²				
13	20.11	20.11	-1	48	15	15	Si	75

Combinazione QP: σ_{ca} [kg/cm²]=168 σ_{fa} [kg/cm²]=3600

P.	Afx	Afy	σ_c	σ_f	Cbc	Cbf	Ver	Cs
	cmq/m	cmq/m	kg/cm ²	kg/cm ²				
1	20.11	20.11	-2	81	19	19	Si	44

Verifica aperture fessure:Wamm Freq[mm]=0.300 Wamm Qp[mm]=0.200

P.	Nx	Ny	Nxy	Mx	My	Mxy	σ_{fmed}	Wd	Wk	Cb	Ver	Cs
	kg/cm ²	kg/cm ²	kg/cm ²	kg	kg	kg	kg/cm ²	mm	mm			
9	-0.12	0.08	0.05	-6	-105	13	69	0.007	0.007	19 (Qp)	Si	28
13	-0.06	0.06	0.05	-3	-72	-0	48	0.005	0.005	17 (Fr)	Si	62

Muro : 235 - Nodi: [553-653-654-554], Pann.X=4, Pann.Y=4Spess.=25 cm, Terreno=--,Criterio=CLS_Muri_ND, Materiale=C35/45

Armatura a maglia doppia, Stampa elementi piu' gravosi

Combinazione Rara: σ_{ca} [kg/cm²]=224 σ_{fa} [kg/cm²]=3600

P.	Afx	Afy	σ_c	σ_f	Cbc	Cbf	Ver	Cs
	cmq/m	cmq/m	kg/cm ²	kg/cm ²				
12	20.11	20.11	-12	561	15	15	Si	6.4
16	20.11	20.11	-11	613	15	15	Si	5.9

Combinazione QP: σ_{ca} [kg/cm²]=168 σ_{fa} [kg/cm²]=3600

P.	Afx	Afy	σ_c	σ_f	Cbc	Cbf	Ver	Cs
	cmq/m	cmq/m	kg/cm ²	kg/cm ²				
12	20.11	20.11	-5	238	18	18	Si	15

Verifica aperture fessure:Wamm Freq[mm]=0.300 Wamm Qp[mm]=0.200

P.	Nx	Ny	Nxy	Mx	My	Mxy	σ_{fmed}	Wd	Wk	Cb	Ver	Cs
	kg/cm ²	kg/cm ²	kg/cm ²	kg	kg	kg	kg/cm ²	mm	mm			
1	-0.12	-0.04	-0.04	-6	47	-44	21	0.002	0.002	19 (Qp)	Si	98
16	-0.10	0.41	-0.12	17	319	2	233	0.024	0.024	16 (Fr)	Si	13

Muro : 236 - Nodi: [651-652-452-451], Pann.X=4, Pann.Y=4Spess.=25 cm, Terreno=--,Criterio=CLS_Muri_ND, Materiale=C35/45

Armatura a maglia doppia, Stampa elementi piu' gravosi

Combinazione Rara: $\sigma_{ca}[kg/cm^2]=224$ $\sigma_{fa}[kg/cm^2]=3600$

P.	Afx	Afy	σ_c	σ_f	Cbc	Cbf	Ver	Cs
	cmq/m	cmq/m	kg/cmq	kg/cmq				
16	20.11	20.11	-2	127	14	15	Si	28
1	20.11	20.11	-1	239	15	15	Si	15

Combinazione QP: $\sigma_{ca}[kg/cm^2]=168$ $\sigma_{fa}[kg/cm^2]=3600$

P.	Afx	Afy	σ_c	σ_f	Cbc	Cbf	Ver	Cs
	cmq/m	cmq/m	kg/cmq	kg/cmq				
4	20.11	20.11	-2	140	19	19	Si	26
1	20.11	20.11	-1	144	19	19	Si	25

Verifica aperture fessure:Wamm Freq[mm]=0.300 Wamm Qp[mm]=0.200

P.	Nx	Ny	Nxy	Mx	My	Mxy	σ_{fmed}	Wd	Wk	Cb	Ver	Cs
	kg/cmq	kg/cmq	kg/cmq	kg	kg	kg	kg/cmq	mm	mm			
1	0.58	-0.01	0.09	-116	-11	-8	82	0.006	0.006	19 (Qp)	Si	31
13	0.95	-0.02	0.01	-71	-1	11	166	0.028	0.028	16 (Fr)	Si	11

Muro : 237 - Nodi: [515-615-625-525], Pann.X=4, Pann.Y=4Spess.=25 cm, Terreno=--,Criterio=CLS_Muri_ND, Materiale=C35/45

Armatura a maglia doppia, Stampa elementi piu' gravosi

Combinazione Rara: $\sigma_{ca}[kg/cm^2]=224$ $\sigma_{fa}[kg/cm^2]=3600$

P.	Afx	Afy	σ_c	σ_f	Cbc	Cbf	Ver	Cs
	cmq/m	cmq/m	kg/cmq	kg/cmq				
1	20.11	20.11	-5	187	15	15	Si	19

Combinazione QP: $\sigma_{ca}[kg/cm^2]=168$ $\sigma_{fa}[kg/cm^2]=3600$

P.	Afx	Afy	σ_c	σ_f	Cbc	Cbf	Ver	Cs
	cmq/m	cmq/m	kg/cmq	kg/cmq				
13	20.11	20.11	-2	150	19	19	Si	24

Verifica aperture fessure:Wamm Freq[mm]=0.300 Wamm Qp[mm]=0.200

P.	Nx	Ny	Nxy	Mx	My	Mxy	σ_{fmed}	Wd	Wk	Cb	Ver	Cs
	kg/cmq	kg/cmq	kg/cmq	kg	kg	kg	kg/cmq	mm	mm			
1	-0.09	-0.29	0.13	-25	-5	17	4	0.000	0.000	18 (Qp)	Si	>100
1	-0.09	-0.29	0.13	-25	-5	17	4	0.000	0.000	16 (Fr)	Si	>100

Muro : 238 - Nodi: [525-625-635-535], Pann.X=4, Pann.Y=4Spess.=25 cm, Terreno=--,Criterio=CLS_Muri_ND, Materiale=C35/45

Armatura a maglia doppia, Stampa elementi piu' gravosi

Combinazione Rara: $\sigma_{ca}[kg/cm^2]=224$ $\sigma_{fa}[kg/cm^2]=3600$

P.	Afx	Afy	σ_c	σ_f	Cbc	Cbf	Ver	Cs
	cmq/m	cmq/m	kg/cmq	kg/cmq				
4	20.11	20.11	-3	196	15	15	Si	18
16	20.11	20.11	-3	214	15	15	Si	17

Combinazione QP: $\sigma_{ca}[kg/cm^2]=168$ $\sigma_{fa}[kg/cm^2]=3600$

P.	Afx	Afy	σ_c	σ_f	Cbc	Cbf	Ver	Cs
	cmq/m	cmq/m	kg/cmq	kg/cmq				
1	20.11	20.11	-0	59	19	19	Si	61
16	20.11	20.11	-0	104	19	19	Si	35

Verifica aperture fessure:Wamm Freq[mm]=0.300 Wamm Qp[mm]=0.200

P.	Nx	Ny	Nxy	Mx	My	Mxy	σ_{fmed}	Wd	Wk	Cb	Ver	Cs
	kg/cmq	kg/cmq	kg/cmq	kg	kg	kg	kg/cmq	mm	mm			
16	-0.02	0.13	0.02	0	25	8	18	0.001	0.001	18 (Qp)	Si	>100
16	-0.02	0.13	0.02	0	25	8	18	0.001	0.001	16 (Fr)	Si	>100

Muro : 239 - Nodi: [535-635-644-544], Pann.X=4, Pann.Y=4Spess.=25 cm, Terreno=--,Criterio=CLS_Muri_ND, Materiale=C35/45

Armatura a maglia doppia, Stampa elementi piu' gravosi

Combinazione Rara: $\sigma_{ca}[kg/cmq]=224$ $\sigma_{fa}[kg/cmq]=3600$

P.	Afx	Afy	σ_c	σ_f	Cbc	Cbf	Ver	Cs
	cmq/m	cmq/m	kg/cmq	kg/cmq				
2	20.11	20.11	-4	253	15	15	Si	14
16	20.11	20.11	-3	310	15	15	Si	12

Combinazione QP: $\sigma_{ca}[kg/cmq]=168$ $\sigma_{fa}[kg/cmq]=3600$

P.	Afx	Afy	σ_c	σ_f	Cbc	Cbf	Ver	Cs
	cmq/m	cmq/m	kg/cmq	kg/cmq				
1	20.11	20.11	-0	106	19	19	Si	34
15	20.11	20.11	-0	126	19	19	Si	29

Verifica aperture fessure:Wamm Freq[mm]=0.300 Wamm Qp[mm]=0.200

P.	Nx	Ny	Nxy	Mx	My	Mxy	σ_{fmed}	Wd	Wk	Cb	Ver	Cs
	kg/cmq	kg/cmq	kg/cmq	kg	kg	kg	kg/cmq	mm	mm			
16	-0.02	0.59	0.03	0	40	11	100	0.018	0.018	18 (Qp)	Si	11
16	-0.02	1.26	0.03	1	248	-5	176	0.014	0.014	17 (Fr)	Si	22

Muro : 240 - Nodi : [544-644-654-554], Pann.X=4, Pann.Y=4Spess.=25 cm, Terreno=--,Criterio=CLS_Muri_ND, Materiale=C35/45

Armatura a maglia doppia, Stampa elementi piu' gravosi

Combinazione Rara: $\sigma_{ca}[kg/cmq]=224$ $\sigma_{fa}[kg/cmq]=3600$

P.	Afx	Afy	σ_c	σ_f	Cbc	Cbf	Ver	Cs
	cmq/m	cmq/m	kg/cmq	kg/cmq				
12	20.11	20.11	-4	388	15	15	Si	9.3
16	20.11	20.11	-3	451	15	15	Si	8.0

Combinazione QP: $\sigma_{ca}[kg/cmq]=168$ $\sigma_{fa}[kg/cmq]=3600$

P.	Afx	Afy	σ_c	σ_f	Cbc	Cbf	Ver	Cs
	cmq/m	cmq/m	kg/cmq	kg/cmq				
16	20.11	20.11	-1	188	19	19	Si	19

Verifica aperture fessure:Wamm Freq[mm]=0.300 Wamm Qp[mm]=0.200

P.	Nx	Ny	Nxy	Mx	My	Mxy	σ_{fmed}	Wd	Wk	Cb	Ver	Cs
	kg/cmq	kg/cmq	kg/cmq	kg	kg	kg	kg/cmq	mm	mm			
14	-0.02	0.82	-0.00	-1	-16	7	112	0.025	0.025	19 (Qp)	Si	8.0
16	0.03	2.01	0.10	4	317	40	264	0.021	0.021	17 (Fr)	Si	14

Muro : 241 - Nodi : [538-638-647-547], Pann.X=4, Pann.Y=4Spess.=25 cm, Terreno=--,Criterio=CLS_Muri_ND, Materiale=C35/45

Armatura a maglia doppia, Stampa elementi piu' gravosi

Combinazione Rara: $\sigma_{ca}[kg/cmq]=224$ $\sigma_{fa}[kg/cmq]=3600$

P.	Afx	Afy	σ_c	σ_f	Cbc	Cbf	Ver	Cs
	cmq/m	cmq/m	kg/cmq	kg/cmq				
16	20.11	20.11	-3	87	15	15	Si	42
3	20.11	20.11	-3	93	15	15	Si	39

Combinazione QP: $\sigma_{ca}[kg/cmq]=168$ $\sigma_{fa}[kg/cmq]=3600$

P.	Afx	Afy	σ_c	σ_f	Cbc	Cbf	Ver	Cs
	cmq/m	cmq/m	kg/cmq	kg/cmq				
3	20.11	20.11	-2	192	19	19	Si	19
15	20.11	20.11	-2	213	19	19	Si	17

Verifica aperture fessure:Wamm Freq[mm]=0.300 Wamm Qp[mm]=0.200

P.	Nx	Ny	Nxy	Mx	My	Mxy	σ_{fmed}	Wd	Wk	Cb	Ver	Cs
	kg/cmq	kg/cmq	kg/cmq	kg	kg	kg	kg/cmq	mm	mm			
1	-0.10	-0.22	0.00	15	60	19	9	0.001	0.001	18 (Qp)	Si	>100
1	-0.10	-0.22	0.00	15	60	19	9	0.001	0.001	16 (Fr)	Si	>100

Muro : 242 - Nodi : [547-647-657-557], Pann.X=4, Pann.Y=4Spess.=25 cm, Terreno=--,Criterio=CLS_Muri_ND, Materiale=C35/45

Armatura a maglia doppia, Stampa elementi piu' gravosi

Combinazione Rara: $\sigma_{ca}[kg/cmq]=224$ $\sigma_{fa}[kg/cmq]=3600$

P.	Afx	Afy	σ_c	σ_f	Cbc	Cbf	Ver	Cs
	cmq/m	cmq/m	kg/cmq	kg/cmq				
13	20.11	20.11	-3	81	15	15	Si	45
1	20.11	20.11	-3	88	15	15	Si	41

Combinazione QP: σ_{ca} [kg/cmq]=168 σ_{fa} [kg/cmq]=3600

P.	Afx	Afy	σ_c	σ_f	Cbc	Cbf	Ver	Cs
	cmq/m	cmq/m	kg/cmq	kg/cmq				
1	20.11	20.11	-2	171	19	19	Si	21
13	20.11	20.11	-2	188	19	19	Si	19

Verifica aperture fessure:Wamm Freq[mm]=0.300 Wamm Qp[mm]=0.200

P.	Nx	Ny	Nxy	Mx	My	Mxy	σ_{fmed}	Wd	Wk	Cb	Ver	Cs
	kg/cmq	kg/cmq	kg/cmq	kg	kg	kg	kg/cmq	mm	mm			
1	-0.10	-0.23	-0.01	12	35	40	0	0.000	0.000	18 (Qp)	Si	>100
1	-0.10	-0.23	-0.01	12	35	40	0	0.000	0.000	16 (Fr)	Si	>100

Muro : 243 - Nodi: [528-628-638-538], Pann.X=4, Pann.Y=4Spess.=25 cm, Terreno=--,Criterio=CLS_Muri_ND,
Materiale=C35/45

Armatura a maglia doppia, Stampa elementi piu' gravosi

Combinazione Rara: σ_{ca} [kg/cmq]=224 σ_{fa} [kg/cmq]=3600

P.	Afx	Afy	σ_c	σ_f	Cbc	Cbf	Ver	Cs
	cmq/m	cmq/m	kg/cmq	kg/cmq				
4	20.11	20.11	-2	61	15	15	Si	59
5	20.11	20.11	-1	62	15	15	Si	58

Combinazione QP: σ_{ca} [kg/cmq]=168 σ_{fa} [kg/cmq]=3600

P.	Afx	Afy	σ_c	σ_f	Cbc	Cbf	Ver	Cs
	cmq/m	cmq/m	kg/cmq	kg/cmq				
4	20.11	20.11	-1	157	19	19	Si	23
16	20.11	20.11	-1	172	19	19	Si	21

Verifica aperture fessure:Wamm Freq[mm]=0.300 Wamm Qp[mm]=0.200

P.	Nx	Ny	Nxy	Mx	My	Mxy	σ_{fmed}	Wd	Wk	Cb	Ver	Cs
	kg/cmq	kg/cmq	kg/cmq	kg	kg	kg	kg/cmq	mm	mm			
4	-0.09	-0.22	-0.00	14	57	14	8	0.001	0.001	18 (Qp)	Si	>100
4	-0.09	-0.22	-0.00	14	57	14	8	0.001	0.001	16 (Fr)	Si	>100

Muro : 244 - Nodi: [518-618-628-528], Pann.X=4, Pann.Y=4Spess.=25 cm, Terreno=--,Criterio=CLS_Muri_ND,
Materiale=C35/45

Armatura a maglia doppia, Stampa elementi piu' gravosi

Combinazione Rara: σ_{ca} [kg/cmq]=224 σ_{fa} [kg/cmq]=3600

P.	Afx	Afy	σ_c	σ_f	Cbc	Cbf	Ver	Cs
	cmq/m	cmq/m	kg/cmq	kg/cmq				
1	20.11	20.11	-4	197	15	15	Si	18

Combinazione QP: σ_{ca} [kg/cmq]=168 σ_{fa} [kg/cmq]=3600

P.	Afx	Afy	σ_c	σ_f	Cbc	Cbf	Ver	Cs
	cmq/m	cmq/m	kg/cmq	kg/cmq				
1	20.11	20.11	-4	175	19	19	Si	21

Verifica aperture fessure:Wamm Freq[mm]=0.300 Wamm Qp[mm]=0.200

P.	Nx	Ny	Nxy	Mx	My	Mxy	σ_{fmed}	Wd	Wk	Cb	Ver	Cs
	kg/cmq	kg/cmq	kg/cmq	kg	kg	kg	kg/cmq	mm	mm			
1	-0.13	-0.02	-0.10	-14	-67	23	34	0.003	0.003	18 (Qp)	Si	59
1	-0.13	-0.02	-0.10	-14	-67	23	34	0.003	0.003	16 (Fr)	Si	88

Muro : 245 - Nodi: [505-605-615-515], Pann.X=4, Pann.Y=4Spess.=25 cm, Terreno=--,Criterio=CLS_Muri_ND,
Materiale=C35/45

Armatura a maglia doppia, Stampa elementi piu' gravosi

Combinazione Rara: σ_{ca} [kg/cmq]=224 σ_{fa} [kg/cmq]=3600

P.	Afx	Afy	σ_c	σ_f	Cbc	Cbf	Ver	Cs
	cmq/m	cmq/m	kg/cmq	kg/cmq				

P.	Afx	Afy	σ_c	σ_f	Cbc	Cbf	Ver	Cs
4	20.11	20.11	-4	167	15	15	Si	22

Combinazione QP: σ_{ca} [kg/cmq]=168 σ_{fa} [kg/cmq]=3600

P.	Afx	Afy	σ_c	σ_f	Cbc	Cbf	Ver	Cs
	cmq/m	cmq/m	kg/cmq	kg/cmq				
4	20.11	20.11	-2	120	19	19	Si	30
16	20.11	20.11	-2	149	19	19	Si	24

Verifica aperture fessure:Wamm Freq[mm]=0.300 Wamm Qp[mm]=0.200

P.	Nx	Ny	Nxy	Mx	My	Mxy	σ_{fmed}	Wd	Wk	Cb	Ver	Cs
	kg/cmq	kg/cmq	kg/cmq	kg	kg	kg	kg/cmq	mm	mm			
4	-0.07	-0.17	-0.16	-38	-116	26	44	0.004	0.004	18 (Qp)	Si	48
4	-0.07	-0.17	-0.16	-38	-116	26	44	0.004	0.004	16 (Fr)	Si	71

Muro : 246 - Nodi: [508-608-618-518], Pann.X=4, Pann.Y=4Spess.=25 cm, Terreno=--,Criterio=CLS_Muri_ND,
Materiale=C35/45

Armatura a maglia doppia, Stampa elementi piu' gravosi

Combinazione Rara: σ_{ca} [kg/cmq]=224 σ_{fa} [kg/cmq]=3600

P.	Afx	Afy	σ_c	σ_f	Cbc	Cbf	Ver	Cs
	cmq/m	cmq/m	kg/cmq	kg/cmq				
8	20.11	20.11	-2	142	15	15	Si	25
16	20.11	20.11	-2	159	15	15	Si	23

Combinazione QP: σ_{ca} [kg/cmq]=168 σ_{fa} [kg/cmq]=3600

P.	Afx	Afy	σ_c	σ_f	Cbc	Cbf	Ver	Cs
	cmq/m	cmq/m	kg/cmq	kg/cmq				
8	20.11	20.11	-2	129	19	19	Si	28

Verifica aperture fessure:Wamm Freq[mm]=0.300 Wamm Qp[mm]=0.200

P.	Nx	Ny	Nxy	Mx	My	Mxy	σ_{fmed}	Wd	Wk	Cb	Ver	Cs
	kg/cmq	kg/cmq	kg/cmq	kg	kg	kg	kg/cmq	mm	mm			
15	-0.01	0.05	-0.01	-0	-55	6	37	0.004	0.004	18 (Qp)	Si	53
15	-0.01	0.05	-0.01	-0	-55	6	37	0.004	0.004	16 (Fr)	Si	80

Muro : 247 - Nodi: [503-603-604-504], Pann.X=4, Pann.Y=4Spess.=25 cm, Terreno=--,Criterio=CLS_Muri_ND,
Materiale=C35/45

Armatura a maglia doppia, Stampa elementi piu' gravosi

Combinazione Rara: σ_{ca} [kg/cmq]=224 σ_{fa} [kg/cmq]=3600

P.	Afx	Afy	σ_c	σ_f	Cbc	Cbf	Ver	Cs
	cmq/m	cmq/m	kg/cmq	kg/cmq				
4	20.11	20.11	-4	137	15	15	Si	26

Combinazione QP: σ_{ca} [kg/cmq]=168 σ_{fa} [kg/cmq]=3600

P.	Afx	Afy	σ_c	σ_f	Cbc	Cbf	Ver	Cs
	cmq/m	cmq/m	kg/cmq	kg/cmq				
4	20.11	20.11	-2	56	19	19	Si	64

Verifica aperture fessure:Wamm Freq[mm]=0.300 Wamm Qp[mm]=0.200

P.	Nx	Ny	Nxy	Mx	My	Mxy	σ_{fmed}	Wd	Wk	Cb	Ver	Cs
	kg/cmq	kg/cmq	kg/cmq	kg	kg	kg	kg/cmq	mm	mm			
4	-0.04	0.04	0.05	14	91	1	56	0.006	0.006	19 (Qp)	Si	35
16	-0.01	0.11	0.01	2	103	-4	72	0.007	0.007	16 (Fr)	Si	41

Muro : 248 - Nodi: [501-601-605-505], Pann.X=4, Pann.Y=4Spess.=25 cm, Terreno=--,Criterio=CLS_Muri_ND,
Materiale=C35/45

Armatura a maglia doppia, Stampa elementi piu' gravosi

Combinazione Rara: σ_{ca} [kg/cmq]=224 σ_{fa} [kg/cmq]=3600

P.	Afx	Afy	σ_c	σ_f	Cbc	Cbf	Ver	Cs
	cmq/m	cmq/m	kg/cmq	kg/cmq				
13	20.11	20.11	-3	66	15	15	Si	54
9	20.11	20.11	-2	70	15	15	Si	52

**POTENZIAMENTO DELL'IMPIANTO DI DEPURAZIONE E
DEL RECAPITO FINALE DI SQUINZANO (LE)
PROGETTO DEFINITIVO
Tabulati di calcolo strutturale-Filtrazione**

R.37.9

Maggio 2021

Pagina 357 di
364

Combinazione QP: $\sigma_{ca}[kg/cmq]=168$ $\sigma_{fa}[kg/cmq]=3600$

P.	Afx	Afy	σ_c	σ_f	Cbc	Cbf	Ver	Cs
	cmq/m	cmq/m	kg/cmq	kg/cmq				
1	20.11	20.11	-3	9	18	19	Si	65
4	20.11	20.11	-0	55	19	19	Si	66

Verifica aperture fessure:Wamm Freq[mm]=0.300 Wamm Qp[mm]=0.200

P.	Nx	Ny	Nxy	Mx	My	Mxy	σ_{fmed}	Wd	Wk	Cb	Ver	Cs
	kg/cmq	kg/cmq	kg/cmq	kg	kg	kg	kg/cmq	mm	mm			
9	-0.05	-0.01	0.02	7	39	13	20	0.002	0.002	19 (Qp)	Si	100
9	-0.06	-0.09	0.03	11	144	-13	70	0.007	0.007	17 (Fr)	Si	44

Muro : 249 - Nodi: [502-602-603-503], Pann.X=4, Pann.Y=4Spess.=25 cm, Terreno=--,Criterio=CLS_Muri_ND, Materiale=C35/45

Armatura a maglia doppia, Stampa elementi piu' gravosi

Combinazione Rara: $\sigma_{ca}[kg/cmq]=224$ $\sigma_{fa}[kg/cmq]=3600$

P.	Afx	Afy	σ_c	σ_f	Cbc	Cbf	Ver	Cs
	cmq/m	cmq/m	kg/cmq	kg/cmq				
1	20.11	20.11	-2	51	15	15	Si	71

Combinazione QP: $\sigma_{ca}[kg/cmq]=168$ $\sigma_{fa}[kg/cmq]=3600$

P.	Afx	Afy	σ_c	σ_f	Cbc	Cbf	Ver	Cs
	cmq/m	cmq/m	kg/cmq	kg/cmq				
2	20.11	20.11	-1	39	19	19	Si	92

Verifica aperture fessure:Wamm Freq[mm]=0.300 Wamm Qp[mm]=0.200

P.	Nx	Ny	Nxy	Mx	My	Mxy	σ_{fmed}	Wd	Wk	Cb	Ver	Cs
	kg/cmq	kg/cmq	kg/cmq	kg	kg	kg	kg/cmq	mm	mm			
11	-0.04	0.04	0.01	2	33	-26	23	0.002	0.002	18 (Qp)	Si	83
11	-0.04	0.04	0.01	2	33	-26	23	0.002	0.002	16 (Fr)	Si	>100

Muro : 250 - Nodi: [504-604-608-508], Pann.X=4, Pann.Y=4Spess.=25 cm, Terreno=--,Criterio=CLS_Muri_ND, Materiale=C35/45

Armatura a maglia doppia, Stampa elementi piu' gravosi

Combinazione Rara: $\sigma_{ca}[kg/cmq]=224$ $\sigma_{fa}[kg/cmq]=3600$

P.	Afx	Afy	σ_c	σ_f	Cbc	Cbf	Ver	Cs
	cmq/m	cmq/m	kg/cmq	kg/cmq				
13	20.11	20.11	-3	124	15	15	Si	29
1	20.11	20.11	-3	132	15	15	Si	27

Combinazione QP: $\sigma_{ca}[kg/cmq]=168$ $\sigma_{fa}[kg/cmq]=3600$

P.	Afx	Afy	σ_c	σ_f	Cbc	Cbf	Ver	Cs
	cmq/m	cmq/m	kg/cmq	kg/cmq				
1	20.11	20.11	-1	59	19	19	Si	61

Verifica aperture fessure:Wamm Freq[mm]=0.300 Wamm Qp[mm]=0.200

P.	Nx	Ny	Nxy	Mx	My	Mxy	σ_{fmed}	Wd	Wk	Cb	Ver	Cs
	kg/cmq	kg/cmq	kg/cmq	kg	kg	kg	kg/cmq	mm	mm			
5	-0.09	0.06	0.05	4	83	-6	55	0.006	0.006	19 (Qp)	Si	36
13	-0.03	0.06	0.01	2	102	5	64	0.007	0.007	16 (Fr)	Si	46

Muro : 251 - Nodi: [501-601-602-502], Pann.X=4, Pann.Y=4Spess.=25 cm, Terreno=--,Criterio=CLS_Muri_ND, Materiale=C35/45

Armatura a maglia doppia, Stampa elementi piu' gravosi

Combinazione Rara: $\sigma_{ca}[kg/cmq]=224$ $\sigma_{fa}[kg/cmq]=3600$

P.	Afx	Afy	σ_c	σ_f	Cbc	Cbf	Ver	Cs
	cmq/m	cmq/m	kg/cmq	kg/cmq				
9	20.11	20.11	-2	56	15	15	Si	64

Combinazione QP: $\sigma_{ca}[kg/cmq]=168$ $\sigma_{fa}[kg/cmq]=3600$

P.	Afx	Afy	σ_c	σ_f	Cbc	Cbf	Ver	Cs
	cmq/m	cmq/m	kg/cmq	kg/cmq				
1	20.11	20.11	-2	8	18	19	Si	79

**POTENZIAMENTO DELL'IMPIANTO DI DEPURAZIONE E
DEL RECAPITO FINALE DI SQUINZANO (LE)
PROGETTO DEFINITIVO
Tabulati di calcolo strutturale-Filtrazione**

R.37.9

Maggio 2021

Pagina 358 di
364

P.	Afx	Afy	σ_c	σ_f	Cbc	Cbf	Ver	Cs
13	20.11	20.11	-0	69	19	18	Si	52

Verifica aperture fessure:Wamm Freq[mm]=0.300 Wamm Qp[mm]=0.200

P.	Nx	Ny	Nxy	Mx	My	Mxy	σ_{fmed}	Wd	Wk	Cb	Ver	Cs
	kg/cm ²	kg/cm ²	kg/cm ²	kg	kg	kg	kg/cm ²	mm	mm			
4	-0.09	-0.01	0.02	-1	-38	-23	20	0.002	0.002	19 (Qp)	Si	>100
9	-0.00	-0.11	-0.03	-12	-124	-19	56	0.005	0.005	17 (Fr)	Si	55

Muro : 252 - Nodi : [558-658-659-559], Pann.X=4, Pann.Y=4Spess.=25 cm, Terreno=--,Criterio=CLS_Muri_ND,
Materiale=C35/45

Armatura a maglia doppia, Stampa elementi piu' gravosi

Combinazione Rara: σ_{ca} [kg/cm²]=224 σ_{fa} [kg/cm²]=3600

P.	Afx	Afy	σ_c	σ_f	Cbc	Cbf	Ver	Cs
	cmq/m	cmq/m	kg/cm ²	kg/cm ²				
13	20.11	20.11	-12	571	15	15	Si	6.3

Combinazione QP: σ_{ca} [kg/cm²]=168 σ_{fa} [kg/cm²]=3600

P.	Afx	Afy	σ_c	σ_f	Cbc	Cbf	Ver	Cs
	cmq/m	cmq/m	kg/cm ²	kg/cm ²				
16	20.11	20.11	-6	129	19	19	Si	28
9	20.11	20.11	-5	206	18	18	Si	17

Verifica aperture fessure:Wamm Freq[mm]=0.300 Wamm Qp[mm]=0.200

P.	Nx	Ny	Nxy	Mx	My	Mxy	σ_{fmed}	Wd	Wk	Cb	Ver	Cs
	kg/cm ²	kg/cm ²	kg/cm ²	kg	kg	kg	kg/cm ²	mm	mm			
9	-0.03	0.37	-0.17	-42	-280	-35	206	0.021	0.021	16 (Fr)	Si	14
12	-0.06	0.15	-0.14	12	193	-27	129	0.013	0.013	18 (Qp)	Si	15

Muro : 253 - Nodi : [559-659-660-560], Pann.X=4, Pann.Y=4Spess.=25 cm, Terreno=--,Criterio=CLS_Muri_ND,
Materiale=C35/45

Armatura a maglia doppia, Stampa elementi piu' gravosi

Combinazione Rara: σ_{ca} [kg/cm²]=224 σ_{fa} [kg/cm²]=3600

P.	Afx	Afy	σ_c	σ_f	Cbc	Cbf	Ver	Cs
	cmq/m	cmq/m	kg/cm ²	kg/cm ²				
13	20.11	20.11	-2	120	15	15	Si	30
1	20.11	20.11	-2	142	15	15	Si	25

Combinazione QP: σ_{ca} [kg/cm²]=168 σ_{fa} [kg/cm²]=3600

P.	Afx	Afy	σ_c	σ_f	Cbc	Cbf	Ver	Cs
	cmq/m	cmq/m	kg/cm ²	kg/cm ²				
8	20.11	20.11	-1	27	19	19	Si	>100
4	20.11	20.11	-1	34	19	19	Si	>100

Verifica aperture fessure:Wamm Freq[mm]=0.300 Wamm Qp[mm]=0.200

P.	Nx	Ny	Nxy	Mx	My	Mxy	σ_{fmed}	Wd	Wk	Cb	Ver	Cs
	kg/cm ²	kg/cm ²	kg/cm ²	kg	kg	kg	kg/cm ²	mm	mm			
4	-0.18	0.09	0.02	6	35	-11	17	0.001	0.001	18 (Qp)	Si	>100
9	-0.10	0.02	0.04	-17	-54	2	34	0.003	0.003	16 (Fr)	Si	88

Muro : 254 - Nodi : [562-662-663-563], Pann.X=4, Pann.Y=4Spess.=25 cm, Terreno=--,Criterio=CLS_Muri_ND,
Materiale=C35/45

Armatura a maglia doppia, Stampa elementi piu' gravosi

Combinazione Rara: σ_{ca} [kg/cm²]=224 σ_{fa} [kg/cm²]=3600

P.	Afx	Afy	σ_c	σ_f	Cbc	Cbf	Ver	Cs
	cmq/m	cmq/m	kg/cm ²	kg/cm ²				
16	20.11	20.11	-2	51	15	15	Si	71
13	20.11	20.11	-2	69	15	15	Si	52

Combinazione QP: σ_{ca} [kg/cm²]=168 σ_{fa} [kg/cm²]=3600

P.	Afx	Afy	σ_c	σ_f	Cbc	Cbf	Ver	Cs
	cmq/m	cmq/m	kg/cm ²	kg/cm ²				
12	20.11	20.11	-1	9	18	19	Si	>100

P.	Afx	Afy	σ_c	σ_f	Cbc	Cbf	Ver	Cs
1	20.11	20.11	-1	32	19	19	Si	>100

Verifica aperture fessure:Wamm Freq[mm]=0.300 Wamm Qp[mm]=0.200

P.	Nx	Ny	Nxy	Mx	My	Mxy	σ_{fmed}	Wd	Wk	Cb	Ver	Cs
	kg/cm ²	kg/cm ²	kg/cm ²	kg	kg	kg	kg/cm ²	mm	mm			
1	-0.11	0.05	-0.14	-18	-75	-17	49	0.005	0.005	16 (Fr)	Si	60
9	-0.08	0.05	-0.07	-12	-41	3	30	0.003	0.003	19 (Qp)	Si	66

Muro : 255 - Nodi: [559-659-662-562], Pann.X=4, Pann.Y=4Spess.=25 cm, Terreno=--,Criterio=CLS_Muri_ND,
Materiale=C35/45

Armatura a maglia doppia, Stampa elementi piu' gravosi

Combinazione Rara: σ_{ca} [kg/cm²]=224 σ_{fa} [kg/cm²]=3600

P.	Afx	Afy	σ_c	σ_f	Cbc	Cbf	Ver	Cs
	cmq/m	cmq/m	kg/cm ²	kg/cm ²				
4	20.11	20.11	-3	108	15	15	Si	33
9	20.11	20.11	-2	167	15	15	Si	22

Combinazione QP: σ_{ca} [kg/cm²]=168 σ_{fa} [kg/cm²]=3600

P.	Afx	Afy	σ_c	σ_f	Cbc	Cbf	Ver	Cs
	cmq/m	cmq/m	kg/cm ²	kg/cm ²				
1	20.11	20.11	-2	117	19	19	Si	31
9	20.11	20.11	-2	122	19	19	Si	30

Verifica aperture fessure:Wamm Freq[mm]=0.300 Wamm Qp[mm]=0.200

P.	Nx	Ny	Nxy	Mx	My	Mxy	σ_{fmed}	Wd	Wk	Cb	Ver	Cs
	kg/cm ²	kg/cm ²	kg/cm ²	kg	kg	kg	kg/cm ²	mm	mm			
9	-0.05	0.34	-0.11	25	136	10	64	0.005	0.005	19 (Qp)	Si	40
16	-0.12	0.06	-0.05	-8	-99	3	64	0.006	0.006	16 (Fr)	Si	46

Muro : 256 - Nodi: [560-660-663-563], Pann.X=4, Pann.Y=4Spess.=25 cm, Terreno=--,Criterio=CLS_Muri_ND,
Materiale=C35/45

Armatura a maglia doppia, Stampa elementi piu' gravosi

Combinazione Rara: σ_{ca} [kg/cm²]=224 σ_{fa} [kg/cm²]=3600

P.	Afx	Afy	σ_c	σ_f	Cbc	Cbf	Ver	Cs
	cmq/m	cmq/m	kg/cm ²	kg/cm ²				
9	20.11	20.11	-4	120	15	15	Si	30

Combinazione QP: σ_{ca} [kg/cm²]=168 σ_{fa} [kg/cm²]=3600

P.	Afx	Afy	σ_c	σ_f	Cbc	Cbf	Ver	Cs
	cmq/m	cmq/m	kg/cm ²	kg/cm ²				
1	20.11	20.11	-1	71	19	19	Si	51

Verifica aperture fessure:Wamm Freq[mm]=0.300 Wamm Qp[mm]=0.200

P.	Nx	Ny	Nxy	Mx	My	Mxy	σ_{fmed}	Wd	Wk	Cb	Ver	Cs
	kg/cm ²	kg/cm ²	kg/cm ²	kg	kg	kg	kg/cm ²	mm	mm			
1	-0.16	0.18	-0.14	-11	-84	8	37	0.003	0.003	19 (Qp)	Si	71
9	-0.05	-0.14	-0.01	26	147	3	65	0.006	0.006	16 (Fr)	Si	47

Muro : 257 - Nodi: [557-657-661-561], Pann.X=4, Pann.Y=4Spess.=25 cm, Terreno=--,Criterio=CLS_Muri_ND,
Materiale=C35/45

Armatura a maglia doppia, Stampa elementi piu' gravosi

Combinazione Rara: σ_{ca} [kg/cm²]=224 σ_{fa} [kg/cm²]=3600

P.	Afx	Afy	σ_c	σ_f	Cbc	Cbf	Ver	Cs
	cmq/m	cmq/m	kg/cm ²	kg/cm ²				
1	20.11	20.11	-2	33	15	15	Si	>100
16	20.11	20.11	-0	90	15	13	Si	40

Combinazione QP: σ_{ca} [kg/cm²]=168 σ_{fa} [kg/cm²]=3600

P.	Afx	Afy	σ_c	σ_f	Cbc	Cbf	Ver	Cs
	cmq/m	cmq/m	kg/cm ²	kg/cm ²				
4	20.11	20.11	-4	164	19	19	Si	22

Verifica aperture fessure:Wamm_Freq[mm]=0.300 Wamm_Qp[mm]=0.200

P.	Nx	Ny	Nxy	Mx	My	Mxy	σ_{fmed}	Wd	Wk	Cb	Ver	Cs
	kg/cm ²	kg/cm ²	kg/cm ²	kg	kg	kg	kg/cm ²	mm	mm			
2	-0.09	-0.19	-0.03	-6	-63	9	13	0.001	0.001	17 (Fr)	Si	>100
16	0.02	-0.27	0.02	-4	-220	2	90	0.009	0.009	18 (Qp)	Si	23

Muro : 258 - Nodi: [560-660-661-561], Pann.X=4, Pann.Y=4Spess.=25 cm, Terreno=--,Criterio=CLS_Muri_ND, Materiale=C35/45

Armatura a maglia doppia, Stampa elementi piu' gravosi

Combinazione Rara: σ_{ca} [kg/cm²]=224 σ_{fa} [kg/cm²]=3600

P.	Afx	Afy	σ_c	σ_f	Cbc	Cbf	Ver	Cs
	cmq/m	cmq/m	kg/cm ²	kg/cm ²				
13	20.11	20.11	-5	168	15	15	Si	21

Combinazione QP: σ_{ca} [kg/cm²]=168 σ_{fa} [kg/cm²]=3600

P.	Afx	Afy	σ_c	σ_f	Cbc	Cbf	Ver	Cs
	cmq/m	cmq/m	kg/cm ²	kg/cm ²				
4	20.11	20.11	-4	157	19	19	Si	23

Verifica aperture fessure:Wamm_Freq[mm]=0.300 Wamm_Qp[mm]=0.200

P.	Nx	Ny	Nxy	Mx	My	Mxy	σ_{fmed}	Wd	Wk	Cb	Ver	Cs
	kg/cm ²	kg/cm ²	kg/cm ²	kg	kg	kg	kg/cm ²	mm	mm			
13	-0.05	-0.13	0.04	-7	-134	-8	59	0.006	0.006	16 (Fr)	Si	53
16	-0.00	-0.12	-0.00	6	236	-8	117	0.012	0.012	18 (Qp)	Si	17

Muro : 259 - Nodi: [554-654-658-558], Pann.X=4, Pann.Y=4Spess.=25 cm, Terreno=--,Criterio=CLS_Muri_ND, Materiale=C35/45

Armatura a maglia doppia, Stampa elementi piu' gravosi

Combinazione Rara: σ_{ca} [kg/cm²]=224 σ_{fa} [kg/cm²]=3600

P.	Afx	Afy	σ_c	σ_f	Cbc	Cbf	Ver	Cs
	cmq/m	cmq/m	kg/cm ²	kg/cm ²				
16	20.11	20.11	-20	819	15	15	Si	4.4
12	20.11	20.11	-20	828	15	15	Si	4.3

Combinazione QP: σ_{ca} [kg/cm²]=168 σ_{fa} [kg/cm²]=3600

P.	Afx	Afy	σ_c	σ_f	Cbc	Cbf	Ver	Cs
	cmq/m	cmq/m	kg/cm ²	kg/cm ²				
4	20.11	20.11	-3	144	19	19	Si	25
13	20.11	20.11	-1	178	19	19	Si	20

Verifica aperture fessure:Wamm_Freq[mm]=0.300 Wamm_Qp[mm]=0.200

P.	Nx	Ny	Nxy	Mx	My	Mxy	σ_{fmed}	Wd	Wk	Cb	Ver	Cs
	kg/cm ²	kg/cm ²	kg/cm ²	kg	kg	kg	kg/cm ²	mm	mm			
13	-0.01	0.81	-0.05	-4	-119	-22	105	0.008	0.008	19 (Qp)	Si	24
16	-0.05	0.64	-0.06	-19	-525	23	380	0.039	0.039	16 (Fr)	Si	7.7

Muro : 260 - Nodi: [662-762-763-663], Pann.X=4, Pann.Y=4Spess.=25 cm, Terreno=--,Criterio=CLS_Muri_ND, Materiale=C35/45

Armatura a maglia doppia, Stampa elementi piu' gravosi

Combinazione Rara: σ_{ca} [kg/cm²]=224 σ_{fa} [kg/cm²]=3600

P.	Afx	Afy	σ_c	σ_f	Cbc	Cbf	Ver	Cs
	cmq/m	cmq/m	kg/cm ²	kg/cm ²				
12	20.11	20.11	-2	53	15	15	Si	68
1	20.11	20.11	-2	69	15	15	Si	52

Combinazione QP: σ_{ca} [kg/cm²]=168 σ_{fa} [kg/cm²]=3600

P.	Afx	Afy	σ_c	σ_f	Cbc	Cbf	Ver	Cs
	cmq/m	cmq/m	kg/cm ²	kg/cm ²				
13	20.11	20.11	-1	25	19	19	Si	>100
1	20.11	20.11	-1	28	19	19	Si	>100

Verifica aperture fessure:Wamm_Freq[mm]=0.300 Wamm_Qp[mm]=0.200

P.	Nx	Ny	Nxy	Mx	My	Mxy	σ_{fmed}	Wd	Wk	Cb	Ver	Cs
	kg/cmq	kg/cmq	kg/cmq	kg	kg	kg	kg/cmq	mm	mm			
1	-0.05	0.02	-0.04	-6	-44	3	28	0.003	0.003	19 (Qp)	Si	72
1	-0.06	0.03	-0.05	-9	-79	-9	48	0.005	0.005	16 (Fr)	Si	61

Muro : 261 - Nodi: [659-759-762-662], Pann.X=4, Pann.Y=4Spess.=25 cm, Terreno=--,Criterio=CLS_Muri_ND, Materiale=C35/45

Armatura a maglia doppia, Stampa elementi piu' gravosi

Combinazione Rara: σ_{ca} [kg/cmq]=224 σ_{fa} [kg/cmq]=3600

P.	Afx	Afy	σ_c	σ_f	Cbc	Cbf	Ver	Cs
	cmq/m	cmq/m	kg/cmq	kg/cmq				
4	20.11	20.11	-3	103	15	15	Si	35
1	20.11	20.11	-2	112	15	15	Si	32

Combinazione QP: σ_{ca} [kg/cmq]=168 σ_{fa} [kg/cmq]=3600

P.	Afx	Afy	σ_c	σ_f	Cbc	Cbf	Ver	Cs
	cmq/m	cmq/m	kg/cmq	kg/cmq				
1	20.11	20.11	-2	74	19	19	Si	49

Verifica aperture fessure:Wamm Freq[mm]=0.300 Wamm Qp[mm]=0.200

P.	Nx	Ny	Nxy	Mx	My	Mxy	σ_{fmed}	Wd	Wk	Cb	Ver	Cs
	kg/cmq	kg/cmq	kg/cmq	kg	kg	kg	kg/cmq	mm	mm			
4	-0.07	0.06	-0.03	-9	-100	4	64	0.006	0.006	16 (Fr)	Si	46
5	0.00	-0.01	0.02	3	92	12	51	0.005	0.005	19 (Qp)	Si	40

Muro : 262 - Nodi: [659-759-760-660], Pann.X=4, Pann.Y=4Spess.=25 cm, Terreno=--,Criterio=CLS_Muri_ND, Materiale=C35/45

Armatura a maglia doppia, Stampa elementi piu' gravosi

Combinazione Rara: σ_{ca} [kg/cmq]=224 σ_{fa} [kg/cmq]=3600

P.	Afx	Afy	σ_c	σ_f	Cbc	Cbf	Ver	Cs
	cmq/m	cmq/m	kg/cmq	kg/cmq				
13	20.11	20.11	-2	80	15	15	Si	45
1	20.11	20.11	-2	104	15	15	Si	35

Combinazione QP: σ_{ca} [kg/cmq]=168 σ_{fa} [kg/cmq]=3600

P.	Afx	Afy	σ_c	σ_f	Cbc	Cbf	Ver	Cs
	cmq/m	cmq/m	kg/cmq	kg/cmq				
4	20.11	20.11	-1	12	19	19	Si	>100
13	20.11	20.11	-0	36	19	18	Si	100

Verifica aperture fessure:Wamm Freq[mm]=0.300 Wamm Qp[mm]=0.200

P.	Nx	Ny	Nxy	Mx	My	Mxy	σ_{fmed}	Wd	Wk	Cb	Ver	Cs
	kg/cmq	kg/cmq	kg/cmq	kg	kg	kg	kg/cmq	mm	mm			
12	-0.03	-0.05	0.02	0	36	-10	14	0.001	0.001	19 (Qp)	Si	>100
16	-0.02	0.00	-0.00	3	73	0	41	0.004	0.004	16 (Fr)	Si	73

Muro : 263 - Nodi: [660-760-763-663], Pann.X=4, Pann.Y=4Spess.=25 cm, Terreno=--,Criterio=CLS_Muri_ND, Materiale=C35/45

Armatura a maglia doppia, Stampa elementi piu' gravosi

Combinazione Rara: σ_{ca} [kg/cmq]=224 σ_{fa} [kg/cmq]=3600

P.	Afx	Afy	σ_c	σ_f	Cbc	Cbf	Ver	Cs
	cmq/m	cmq/m	kg/cmq	kg/cmq				
1	20.11	20.11	-3	104	15	15	Si	35

Combinazione QP: σ_{ca} [kg/cmq]=168 σ_{fa} [kg/cmq]=3600

P.	Afx	Afy	σ_c	σ_f	Cbc	Cbf	Ver	Cs
	cmq/m	cmq/m	kg/cmq	kg/cmq				
1	20.11	20.11	-1	43	19	19	Si	84
16	20.11	20.11	-0	54	19	18	Si	67

Verifica aperture fessure:Wamm Freq[mm]=0.300 Wamm Qp[mm]=0.200

P.	Nx	Ny	Nxy	Mx	My	Mxy	σ_{fmed}	Wd	Wk	Cb	Ver	Cs
	kg/cmq	kg/cmq	kg/cmq	kg	kg	kg	kg/cmq	mm	mm			

**POTENZIAMENTO DELL'IMPIANTO DI DEPURAZIONE E
DEL RECAPITO FINALE DI SQUINZANO (LE)
PROGETTO DEFINITIVO
Tabulati di calcolo strutturale-Filtrazione**

R.37.9

Maggio 2021

Pagina 362 di
364

P.	Nx	Ny	Nxy	Mx	My	Mxy	σ_{fmed}	Wd	Wk	Cb	Ver	Cs
1	-0.03	-0.10	-0.06	19	127	15	58	0.006	0.006	16 (Fr)	Si	53
10	-0.02	-0.08	-0.01	2	55	2	20	0.002	0.002	18 (Qp)	Si	>100

Verifica Degli Spostamenti Relativi

Scenario di calcolo: **Set_NT_ 2018 A2_SLV_SLD_STR_GEO**

Interp.	Comb.	η_{Xv}	η_{Xh}	η_{Yv}	η_{Yh}	Nodo1	Nodo2	η	η_{Amm}	Cs
		mm	mm	mm	mm			mm	mm	
0-1	(20+21)-XI-4	0.00	0.00	0.02	0.01	9	109	0.02	2.75	>100
0-1	(20+21)-XI-4	0.00	0.00	0.02	0.01	10	110	0.02	2.75	>100
0-1	(20+21)-XI-4	0.00	0.00	0.02	0.01	11	111	0.02	2.75	>100
0-1	(20+21)-XI-3	0.00	0.00	0.02	0.01	12	112	0.02	2.75	>100
0-1	(20+21)-XI-3	0.00	0.00	0.02	0.01	13	113	0.02	2.75	>100
0-1	(20+21)-XI-3	0.00	0.00	0.01	0.00	14	114	0.01	2.75	>100
0-1	(20+21)-XII-4	0.00	0.00	0.00	0.00	15	115	0.00	2.75	>100
0-1	(20+21)-XI-4	0.00	0.00	0.02	0.01	19	119	0.02	2.75	>100
0-1	(20+21)-XI-3	0.00	0.00	0.02	0.01	22	122	0.03	2.75	>100
0-1	(20+21)-XII-4	0.00	0.00	0.00	0.00	25	125	0.00	2.75	>100
0-1	(20+21)-XI-4	0.00	0.00	0.02	0.01	29	129	0.02	2.75	>100
0-1	(20+21)-XI-4	0.00	0.00	0.02	0.01	30	130	0.02	2.75	>100
0-1	(20+21)-XI-4	0.00	0.00	0.02	0.01	31	131	0.03	2.75	>100
0-1	(20+21)-XI-3	0.00	0.00	0.02	0.01	32	132	0.03	2.75	>100
0-1	(20+21)-I-4	0.00	0.00	0.00	0.00	35	135	0.00	2.75	>100
0-1	(20+21)-XI-4	0.00	0.00	0.02	0.01	39	139	0.02	2.75	>100
0-1	(20+21)-XI-4	0.00	0.00	0.02	0.01	42	142	0.03	2.75	>100
0-1	(20+21)-XII-4	0.00	0.00	0.00	0.00	44	144	0.00	2.75	>100
0-1	(20+21)-XI-4	0.01	0.00	0.02	0.01	48	148	0.02	2.75	>100
0-1	(20+21)-XI-4	0.01	0.00	0.02	0.01	49	149	0.03	2.75	>100
0-1	(20+21)-XI-4	0.01	0.00	0.02	0.01	50	150	0.03	2.75	95
0-1	(20+21)-XI-3	0.01	0.00	0.02	0.01	51	151	0.03	2.75	96
0-1	(20+21)-XI-3	0.01	0.00	0.02	0.00	53	153	0.02	2.75	>100
0-1	(20+21)-XII-4	0.00	0.00	0.00	0.00	54	154	0.00	2.75	>100
1-2	(20+21)-XI-4	0.00	0.00	0.02	0.01	109	209	0.02	2.75	>100
1-2	(20+21)-XI-4	0.00	0.00	0.02	0.01	110	210	0.03	2.75	>100
1-2	(20+21)-XI-4	0.00	0.00	0.02	0.01	111	211	0.03	2.75	94
1-2	(20+21)-XI-3	0.00	0.00	0.02	0.01	112	212	0.03	2.75	99
1-2	(20+21)-XI-3	0.00	0.00	0.02	0.01	113	213	0.03	2.75	95
1-2	(20+21)-XI-3	0.00	0.00	0.02	0.00	114	214	0.03	2.75	97
1-2	(20+21)-XI-3	0.00	0.00	0.03	0.01	115	215	0.03	2.75	81
1-2	(20+21)-XI-3	0.00	0.00	0.03	0.01	116	216	0.04	2.75	78
1-2	(20+21)-XI-4	0.00	0.00	0.03	0.01	117	217	0.04	2.75	71
1-2	(20+21)-XI-4	0.00	0.00	0.03	0.01	118	218	0.04	2.75	71
1-2	(20+21)-XI-4	0.00	0.00	0.02	0.01	119	219	0.02	2.75	>100
1-2	(20+21)-XI-3	0.00	0.00	0.02	0.01	122	222	0.03	2.75	>100
1-2	(20+21)-XI-3	0.00	0.00	0.03	0.01	125	225	0.03	2.75	80
1-2	(20+21)-XI-4	0.00	0.00	0.03	0.01	128	228	0.04	2.75	69
1-2	(20+21)-XI-4	0.00	0.00	0.02	0.01	129	229	0.02	2.75	>100
1-2	(20+21)-XI-4	0.00	0.00	0.02	0.01	130	230	0.02	2.75	>100
1-2	(20+21)-XI-4	0.00	0.00	0.02	0.01	131	231	0.03	2.75	>100
1-2	(20+21)-V-3	0.00	0.00	0.02	0.01	132	232	0.03	2.75	>100
1-2	(20+21)-XI-3	0.00	0.00	0.03	0.01	135	235	0.03	2.75	81
1-2	(20+21)-XI-4	0.00	0.00	0.03	0.01	138	238	0.04	2.75	69
1-2	(20+21)-XI-4	0.01	0.00	0.02	0.01	139	239	0.02	2.75	>100
1-2	(20+21)-XI-4	0.01	0.00	0.02	0.01	142	242	0.03	2.75	>100
1-2	(20+21)-XI-3	0.00	0.00	0.03	0.01	144	244	0.03	2.75	84
1-2	(20+21)-XI-4	0.00	0.00	0.03	0.01	147	247	0.04	2.75	70
1-2	(20+21)-XI-4	0.01	0.00	0.02	0.01	148	248	0.02	2.75	>100
1-2	(20+21)-XI-4	0.01	0.00	0.01	0.01	149	249	0.02	2.75	>100
1-2	(20+21)-XI-4	0.01	0.00	0.02	0.01	150	250	0.02	2.75	>100
1-2	(20+21)-XI-4	0.01	0.00	0.02	0.01	151	251	0.03	2.75	>100
1-2	(20+21)-XI-3	0.01	0.00	0.02	0.01	152	252	0.02	2.75	>100
1-2	(20+21)-XI-3	0.01	0.00	0.01	0.00	153	253	0.02	2.75	>100
1-2	(20+21)-XI-3	0.01	0.00	0.03	0.01	154	254	0.03	2.75	81
1-2	(20+21)-XI-4	0.01	0.00	0.03	0.01	157	257	0.04	2.75	70
1-2	(20+21)-XI-3	0.01	0.00	0.03	0.01	158	258	0.04	2.75	77
1-2	(20+21)-XI-3	0.01	0.00	0.03	0.01	159	259	0.04	2.75	76
1-2	(20+21)-XI-4	0.01	0.00	0.03	0.01	160	260	0.04	2.75	71
1-2	(20+21)-XI-4	0.01	0.00	0.03	0.01	161	261	0.04	2.75	68
1-2	(20+21)-XI-3	0.01	0.00	0.03	0.01	162	262	0.04	2.75	77
1-2	(20+21)-XI-4	0.01	0.00	0.03	0.01	163	263	0.04	2.75	71

**POTENZIAMENTO DELL'IMPIANTO DI DEPURAZIONE E
DEL RECAPITO FINALE DI SQUINZANO (LE)
PROGETTO DEFINITIVO
Tabulati di calcolo strutturale-Filtrazione**

R.37.9

Maggio 2021

Pagina 363 di
364

Interp .	Comb .	η_{Xv}	η_{Xh}	η_{Yv}	η_{Yh}	Nodo1	Nodo2	η	η_{Amm}	Cs
2-3	(20+21)-XI-3	0.02	0.01	0.09	0.02	201	301	0.10	8.25	79
2-3	(20+21)-XI-3	0.01	0.01	0.09	0.02	202	302	0.11	8.25	74
2-3	(20+21)-XI-3	0.02	0.01	0.11	0.02	203	303	0.13	8.25	64
2-3	(20+21)-VIII-4	0.02	0.00	0.11	0.02	204	304	0.13	8.25	66
2-3	(20+21)-XI-3	0.01	0.01	0.08	0.02	205	305	0.10	8.25	81
2-3	(20+21)-XI-3	0.01	0.01	0.08	0.02	206	306	0.10	8.25	81
2-3	(20+21)-XI-3	0.01	0.01	0.10	0.02	207	307	0.12	8.25	67
2-3	(20+21)-VIII-4	0.00	0.00	0.11	0.02	208	308	0.13	8.25	66
2-3	(20+21)-XI-4	0.00	0.01	0.05	0.02	209	309	0.07	8.25	>100
2-3	(20+21)-XI-4	0.00	0.01	0.06	0.02	210	310	0.08	8.25	>100
2-3	(20+21)-XI-4	0.00	0.01	0.06	0.02	211	311	0.08	8.25	98
2-3	(20+21)-XI-3	0.00	0.00	0.06	0.02	212	312	0.08	8.25	99
2-3	(20+21)-XI-3	0.00	0.00	0.07	0.02	213	313	0.09	8.25	95
2-3	(20+21)-XI-3	0.00	0.00	0.09	0.02	214	314	0.11	8.25	78
2-3	(20+21)-XI-3	0.00	0.01	0.08	0.02	215	315	0.10	8.25	81
2-3	(20+21)-XI-3	0.00	0.01	0.08	0.02	216	316	0.10	8.25	81
2-3	(20+21)-XI-3	0.00	0.01	0.10	0.02	217	317	0.12	8.25	69
2-3	(20+21)-VIII-4	0.00	0.00	0.11	0.02	218	318	0.13	8.25	65
2-3	(20+21)-XI-4	0.00	0.01	0.05	0.02	219	319	0.07	8.25	>100
2-3	(20+21)-XI-3	0.00	0.00	0.06	0.02	222	322	0.08	8.25	>100
2-3	(20+21)-XI-3	0.00	0.00	0.08	0.02	225	325	0.10	8.25	81
2-3	(20+21)-XI-4	0.02	0.00	0.11	0.02	228	328	0.13	8.25	65
2-3	(20+21)-XI-4	0.01	0.01	0.05	0.02	229	329	0.07	8.25	>100
2-3	(20+21)-XI-4	0.01	0.01	0.05	0.02	230	330	0.07	8.25	>100
2-3	(20+21)-XI-4	0.01	0.01	0.06	0.02	231	331	0.08	8.25	>100
2-3	(20+21)-XI-3	0.01	0.00	0.06	0.02	232	332	0.08	8.25	>100
2-3	(20+21)-XI-3	0.01	0.00	0.08	0.02	235	335	0.10	8.25	82
2-3	(20+21)-VIII-4	0.04	0.00	0.11	0.02	238	338	0.12	8.25	67
2-3	(20+21)-XI-4	0.02	0.01	0.05	0.02	239	339	0.07	8.25	>100
2-3	(20+21)-XI-4	0.02	0.01	0.06	0.02	242	342	0.08	8.25	>100
2-3	(20+21)-XI-3	0.02	0.00	0.08	0.02	244	344	0.10	8.25	82
2-3	(20+21)-XI-4	0.03	0.01	0.10	0.02	247	347	0.12	8.25	70
2-3	(20+21)-XI-4	0.02	0.01	0.05	0.02	248	348	0.07	8.25	>100
2-3	(20+21)-XI-4	0.02	0.01	0.04	0.02	249	349	0.07	8.25	>100
2-3	(20+21)-XI-4	0.02	0.01	0.05	0.02	250	350	0.07	8.25	>100
2-3	(20+21)-XI-3	0.02	0.00	0.06	0.02	251	351	0.08	8.25	>100
2-3	(20+21)-XI-3	0.02	0.00	0.05	0.02	252	352	0.08	8.25	>100
2-3	(20+21)-XI-3	0.02	0.00	0.07	0.02	253	353	0.09	8.25	93
2-3	(20+21)-XI-3	0.03	0.00	0.08	0.02	254	354	0.10	8.25	82
2-3	(20+21)-XI-4	0.01	0.01	0.10	0.02	257	357	0.11	8.25	72
2-3	(20+21)-XI-3	0.04	0.00	0.08	0.02	258	358	0.10	8.25	81
2-3	(20+21)-XI-3	0.04	0.00	0.09	0.02	259	359	0.10	8.25	79
2-3	(20+21)-XI-4	0.04	0.01	0.10	0.02	260	360	0.11	8.25	73
2-3	(20+21)-XI-4	0.04	0.01	0.10	0.02	261	361	0.12	8.25	71
2-3	(20+21)-XI-3	0.04	0.00	0.09	0.02	262	362	0.11	8.25	78
2-3	(20+21)-XI-4	0.04	0.01	0.10	0.02	263	363	0.11	8.25	73
3-5	(20+21)-XI-3	0.00	0.00	0.02	0.00	301	501	0.02	1.75	80
3-5	(20+21)-XI-3	0.00	0.00	0.02	0.00	302	502	0.02	1.75	79
3-5	(20+21)-VII-3	0.00	0.00	0.02	0.01	303	503	0.04	1.75	49
3-5	(20+21)-XI-4	0.00	0.00	0.02	0.00	304	504	0.03	1.75	67
3-5	(20+21)-XI-3	0.00	0.00	0.02	0.00	305	505	0.02	1.75	83
3-5	(20+21)-XI-4	0.00	0.00	0.02	0.00	308	508	0.03	1.75	67
3-4	(20+21)-XI-4	0.00	0.00	0.00	0.00	309	409	0.01	0.75	>100
3-4	(20+21)-XI-4	0.00	0.00	0.00	0.00	310	410	0.01	0.75	>100
3-4	(20+21)-XI-4	0.00	0.00	0.00	0.00	311	411	0.01	0.75	>100
3-4	(20+21)-XI-3	0.00	0.00	0.01	0.00	312	412	0.01	0.75	>100
3-4	(20+21)-XI-3	0.00	0.00	0.01	0.00	313	413	0.01	0.75	>100
3-5	(20+21)-XI-3	0.00	0.00	0.02	0.00	314	514	0.02	1.75	91
3-5	(20+21)-XI-3	0.00	0.00	0.02	0.00	315	515	0.02	1.75	83
3-5	(20+21)-VII-3	0.00	0.00	0.02	0.01	316	516	0.03	1.75	59
3-5	(20+21)-XI-3	0.00	0.00	0.02	0.00	317	517	0.02	1.75	72
3-5	(20+21)-XI-4	0.00	0.00	0.02	0.00	318	518	0.03	1.75	66
3-4	(20+21)-XI-4	0.00	0.00	0.00	0.00	319	419	0.01	0.75	>100
3-4	(20+21)-XI-3	0.00	0.00	0.01	0.00	322	422	0.01	0.75	>100
3-5	(20+21)-XI-3	0.00	0.00	0.02	0.00	325	525	0.02	1.75	83
3-5	(20+21)-XI-4	0.00	0.00	0.02	0.00	328	528	0.03	1.75	66
3-4	(20+21)-XI-4	0.00	0.00	0.00	0.00	329	429	0.01	0.75	>100
3-4	(20+21)-XI-4	0.00	0.00	0.00	0.00	330	430	0.01	0.75	>100
3-4	(20+21)-XI-4	0.00	0.00	0.01	0.00	331	431	0.01	0.75	>100
3-4	(20+21)-XI-3	0.00	0.00	0.01	0.00	332	432	0.01	0.75	>100
3-5	(20+21)-XI-3	0.00	0.00	0.02	0.00	335	535	0.02	1.75	83
3-5	(20+21)-XI-4	0.00	0.00	0.02	0.00	338	538	0.03	1.75	67
3-4	(20+21)-XI-4	0.00	0.00	0.00	0.00	339	439	0.01	0.75	>100

**POTENZIAMENTO DELL'IMPIANTO DI DEPURAZIONE E
DEL RECAPITO FINALE DI SQUINZANO (LE)
PROGETTO DEFINITIVO
Tabulati di calcolo strutturale-Filtrazione**

R.37.9

Maggio 2021

Pagina 364 di
364

Interp .	Comb .	η_{Xv}	η_{Xh}	η_{Yv}	η_{Yh}	Nodo1	Nodo2	η	η_{Amm}	Cs
3-4	(20+21)-XI-4	0.00	0.00	0.01	0.00	342	442	0.01	0.75	>100
3-5	(20+21)-XI-3	0.00	0.00	0.02	0.00	344	544	0.02	1.75	82
3-5	(20+21)-XI-4	0.00	0.00	0.02	0.00	347	547	0.03	1.75	70
3-4	(20+21)-XI-4	0.00	0.00	0.00	0.00	348	448	0.01	0.75	>100
3-4	(20+21)-XI-4	0.00	0.00	0.01	0.00	349	449	0.01	0.75	>100
3-4	(20+21)-XI-4	0.00	0.00	0.01	0.00	350	450	0.01	0.75	96
3-4	(20+21)-XI-3	0.00	0.00	0.01	0.00	351	451	0.01	0.75	98
3-4	(20+21)-XI-3	0.00	0.00	0.01	0.00	352	452	0.01	0.75	93
3-5	(20+21)-XI-3	0.01	0.00	0.02	0.00	353	553	0.02	1.75	75
3-5	(20+21)-XI-3	0.01	0.00	0.02	0.00	354	554	0.02	1.75	81
3-5	(20+21)-XI-4	0.01	0.00	0.02	0.00	357	557	0.02	1.75	71
3-5	(20+21)-XI-3	0.01	0.00	0.02	0.00	358	558	0.02	1.75	79
3-5	(20+21)-XI-3	0.01	0.00	0.02	0.00	359	559	0.02	1.75	76
3-5	(20+21)-XI-4	0.01	0.00	0.02	0.00	360	560	0.02	1.75	72
3-5	(20+21)-XI-4	0.01	0.00	0.02	0.00	361	561	0.03	1.75	70
3-5	(20+21)-XI-3	0.01	0.00	0.02	0.00	362	562	0.02	1.75	75
3-5	(20+21)-XI-4	0.01	0.00	0.02	0.00	363	563	0.02	1.75	73
4-6	(20+21)-XI-4	0.00	0.00	0.02	0.01	409	609	0.03	3.25	>100
4-6	(20+21)-XI-4	0.00	0.00	0.02	0.01	410	610	0.03	3.25	>100
4-6	(20+21)-XI-4	0.00	0.00	0.02	0.01	411	611	0.03	3.25	>100
4-6	(20+21)-XI-3	0.00	0.00	0.02	0.01	412	612	0.03	3.25	>100
4-6	(20+21)-XI-3	0.00	0.00	0.02	0.01	413	613	0.03	3.25	>100
4-6	(20+21)-XI-4	0.00	0.00	0.02	0.01	419	619	0.03	3.25	>100
4-6	(20+21)-XI-3	0.00	0.00	0.02	0.01	422	622	0.03	3.25	>100
4-6	(20+21)-XI-4	0.00	0.00	0.02	0.01	429	629	0.03	3.25	>100
4-6	(20+21)-XI-4	0.00	0.00	0.02	0.01	430	630	0.03	3.25	>100
4-6	(20+21)-XI-4	0.00	0.00	0.02	0.01	431	631	0.03	3.25	>100
4-6	(20+21)-IV-4	0.00	0.00	0.02	0.02	432	632	0.04	3.25	79
4-6	(20+21)-XI-4	0.00	0.00	0.02	0.01	439	639	0.03	3.25	>100
4-6	(20+21)-XI-4	0.01	0.00	0.02	0.01	442	642	0.03	3.25	>100
4-6	(20+21)-XI-4	0.01	0.00	0.02	0.01	448	648	0.03	3.25	>100
4-6	(20+21)-XI-4	0.01	0.00	0.02	0.01	449	649	0.03	3.25	>100
4-6	(20+21)-XI-4	0.01	0.00	0.03	0.01	450	650	0.03	3.25	94
4-6	(20+21)-IV-3	0.01	0.00	0.03	0.02	451	651	0.04	3.25	75
4-6	(20+21)-XI-3	0.01	0.00	0.03	0.01	452	652	0.04	3.25	92
5-6	(20+21)-XI-3	0.00	0.00	0.02	0.00	501	601	0.03	2.25	80
5-6	(20+21)-XI-3	0.00	0.00	0.02	0.00	502	602	0.03	2.25	79
5-6	(20+21)-XI-3	0.00	0.00	0.03	0.00	503	603	0.03	2.25	69
5-6	(20+21)-XI-4	0.00	0.00	0.03	0.00	504	604	0.03	2.25	67
5-6	(20+21)-XI-3	0.00	0.00	0.02	0.00	505	605	0.03	2.25	81
5-6	(20+21)-XI-4	0.00	0.00	0.03	0.00	508	608	0.03	2.25	66
5-6	(20+21)-XI-3	0.00	0.00	0.02	0.00	514	614	0.02	2.25	91
5-6	(20+21)-XI-3	0.00	0.00	0.02	0.00	515	615	0.03	2.25	83
5-6	(20+21)-XI-4	0.00	0.00	0.03	0.00	518	618	0.03	2.25	65
5-6	(20+21)-XI-3	0.00	0.00	0.02	0.00	525	625	0.03	2.25	84
5-6	(20+21)-VII-4	0.00	0.00	0.03	0.02	528	628	0.05	2.25	49
5-6	(20+21)-XI-3	0.00	0.00	0.02	0.00	535	635	0.03	2.25	84
5-6	(20+21)-XI-4	0.00	0.00	0.03	0.00	538	638	0.03	2.25	67
5-6	(20+21)-XI-3	0.01	0.00	0.02	0.00	544	644	0.03	2.25	83
5-6	(20+21)-XI-4	0.00	0.00	0.03	0.00	547	647	0.03	2.25	69
5-6	(20+21)-XI-3	0.01	0.00	0.02	0.01	553	653	0.03	2.25	75
5-6	(20+21)-VII-3	0.01	0.00	0.02	0.01	554	654	0.04	2.25	59
5-6	(20+21)-XI-4	0.01	0.00	0.03	0.00	557	657	0.03	2.25	70
5-6	(20+21)-XI-3	0.01	0.00	0.02	0.00	558	658	0.03	2.25	78
5-6	(20+21)-XI-3	0.01	0.00	0.03	0.00	559	659	0.03	2.25	75
5-6	(20+21)-XI-4	0.01	0.00	0.03	0.00	560	660	0.03	2.25	73
5-6	(20+21)-XI-4	0.01	0.00	0.03	0.00	561	661	0.03	2.25	69
5-6	(20+21)-XI-3	0.01	0.00	0.03	0.00	562	662	0.03	2.25	74
5-6	(20+21)-XI-4	0.01	0.00	0.03	0.00	563	663	0.03	2.25	73
6-7	(20+21)-XI-3	0.01	0.00	0.01	0.00	659	759	0.02	1.25	74
6-7	(20+21)-XI-4	0.01	0.00	0.01	0.00	660	760	0.02	1.25	74
6-7	(20+21)-XI-3	0.01	0.00	0.01	0.00	662	762	0.02	1.25	74
6-7	(20+21)-XI-4	0.01	0.00	0.01	0.00	663	763	0.02	1.25	73
Minimo										
5-6	(20+21)-VII-4	0.00	0.00	0.03	0.02	528	628	0.05	2.25	49